



انجنييري پوهنځی

د موادو میخانیک

دوهم ټوک

د موادو میخانیک لومړی ټوک

حفیظ الله وردک او زرجان بها

حفیظ الله وردک او زرجان بها



Shaikh Zayed University, Khost, Engineering Faculty

Afghanic

Hafizullah Wardak & Zarjon Baha

Mechanics of Materials II

د موادو میخانیک دویم ټوک کتاب د لومړي ټوک یوه برخه ده، له اتم څپرکي څخه پیل کېږي، چې له دې موضوعگانو څخه بحث کوي؛ په اتم څپرکي کې د یوځای شوي بارونو په اړه، نهم څپرکي کې د سټریس بدلون، لسم څپرکي کې د سټرین بدلون، یوولسم څپرکي کې د بېمونو او شافتونو ډیزاین، دولسم څپرکي کې د بېمونو او شافتونو بېخایه کېدل، دیارلسم څپرکي کې د پایو کړو پېدل او همدارنگه په څوارلسم څپرکي کې د انرژي طریقې په اړه بحث شوی دی.

حفیظه الله وردک د حاجي بسم الله خان زوی، د وردکو جغتو ولسوالۍ کې زېږېدلی دی.

نوموړي خپل لېسانس سند د امریکا له هاوايي پوهنتون، ماسټري سند يې له کیس وسترن ریزور پوهنتون او دوکتورا درسونه يې په الباما پوهنتون کې بشپړه کړي.



ښاغلی حفیظ الله شپږ کاله د کابل پوهنتون په انجنييري پوهنځي کې استاد و. له هغه وروسته په امریکا کې شپږ کاله د سارجنت لنډی د اتومي انرژي کمپني، بیا د بوینگ له کمپني سره د پرش کاله د عالي رتبې انجنيير په حیث، د فضايي هډي (International Space Station) د ناسا (NASA) مربوطه او هم د بوینگ کمپني د ډول ډول موډلونو د نویو الوتکو په انجنييري کارونو کې د مشر سټر کچر انجنيير په حیث، د عالي رتبې انجنيير (تکنیکل فیلو) په صفت کار کړی. د بوینگ سره یوه اختراع هم لري او دا اختراع د امریکا د پټنټ په اداره کې رسمي ثبت شوې ده.

په کال ۲۰۲۲ کې د انجنييري په مسلک کې درهبري اولاسته راوړلو پر بنسټ د نړۍ د انجنييرانو د سټرت مور په لسټ (Who's Who Worldwide) کې د انجنيير په توگه پېژندل شوی دی.

زرجان بها د بهاول زوی دی، د وردک سیدآباد ولسوالۍ کې زېږېدلی دی. نوموړي خپل لوړي زده کړي د کابل پوهنتون په انجنييري پوهنځي کې بشپړه کړي دي، همدارنگه د ماسټري سند له واشنگتن پوهنتون او دوکتورا سند له نارت کرلینا پوهنتون څخه ترلاسه کړي دي.



ښاغلی بها د کابل پوهنتون د انجنييري استاد، د زراعت او سیول ډیپارټمنټ مشر، د یاد پوهنځي رییس، د کرنې په وزارت کې د احصایي او ورتري کورسونو استاد، د یاد پوهنځي په CECSAR کې مشاور، په پورډو پوهنتون کې د مېلمه پروفیسور په توگه، د پورډو انټرنشنل پروگرام کې د Resident Program Coordinator په توگه دندې ترسره کړي دي.

ISBN 978-9936-622-69-2



Funded by
Kinderhilfe-Afghanistan

Not for Sale

بسم الله الرحمن الرحيم

اقراً باسم ربك الذي خلق

د موادو میخانیک

دوهم ټوک

لومړی چاپ

حفیظ الله وردک او زرگان بها

د موادو میخانیک (دوهم ټوک)	د کتاب نوم
حفیظ الله وردک او زرجان بها	ژباړونکي
شیخ زاید پوهنتون، خوست، انجنیري پوهنځی	خپرنډوی
www.szu.edu.af	وېب پاڼه
۱۴۰۲، لومړی چاپ	د چاپ کال
۱۰۰۰	چاپ شمېر
۳۸۸	مسلسل نمبر
www.ecampus-afghanistan.org	ډاونلوډ



دا کتاب د افغان ماشومانو لپاره د جرمني کمېټې، په جرمني کې د Eroes کورنۍ یوې خیریه ټولنې لخوا تمویل شوی دی. اداري او تخنیکي چارې یې د افغانیک لخوا ترسره شوي دي. د کتاب د محتوا او لیکنې مسوولیت د کتاب په ژباړن او اړوند پوهنځي پورې اړه لري. مرسته کوونکي او تطبیق کوونکي ټولنې په دې اړه مسوولیت نه لري.

د تدریسي کتابونو د چاپولو لپاره له مور سره اړیکه ونیسئ:
 ډاکتر یحیی وردک، د لوړو زده کړو وزارت، کارته ۴، کابل
 موبایل ۰۷۰۶۳۲۰۸۴۴، ۰۷۸۰۲۳۲۳۱۰
 ایمېل info@ecampus-afghanistan.org

د چاپ ټول حقوق له مؤلف سره خوندي دي.

ای اس بی ان ۲-۶۹-۶۲۲-۹۹۳۶-۹۷۸

د درسي کتابونو چاپول

قدرمنو استادانو او گرانو محصلينو!

د افغانستان په پوهنتونونو کې د درسي کتابونو کموالی او نشتوالی له لویو ستونزو څخه گڼل کېږي. یو زیات شمېر استادان او محصلین نویو معلوماتو ته لاسرسی نه لري، په زاړه مېتود تدریس کوي او له هغو کتابونو او چپترونو څخه گټه اخلي چې پخواني دي او په بازار کې په ټیټ کیفیت فوتوکاپي کېږي.

موږ د ۲۰۱۰ څخه تر ۲۰۲۳ کال پورې د ننگرهار، خوست، کندهار، هرات، بلخ، البیروني، کابل پوهنتون، د کابل طبي پوهنتون او د کابل پولي تخنیک پوهنتون لپاره ۳۸۹ عنوانه مختلف درسي کتابونه د طب، ساینس، انجنیري، اقتصاد، ژورنالېزم او کرهڼې پوهنځیو لپاره چاپ کړي دي.

د یادونې وړ ده، چې نوموړي چاپ شوي کتابونه د هېواد ټولو اړوندو پوهنتونونو او یو زیات شمېر ادارو او موسساتو ته په وړیا توگه وپشل شوي دي. ټول چاپ شوي کتابونه له

www.ecampus-afghanistan.org ویب پاڼې څخه ډانلود کولی شئ.

دا کړنې په داسې حال کې ترسره کېږي چې د افغانستان د لوړو زده کړو وزارت د (۲۰۱۰-۲۰۱۴) کلونو په ملي ستراتیژیک پلان کې راغلي دي چې:

"د لوړو زده کړو او د ښوونې د ښه کیفیت او زده کوونکو ته د نویو، کره او علمي معلوماتو د برابرولو لپاره اړینه ده، چې په دري او پښتو ژبو د درسي کتابونو د لیکلو فرصت برابر شي، د تعلیمي نصاب د ریفورم لپاره له انگریزي ژبې نه دري او پښتو ژبو ته د کتابونو او درسي موادو ژباړل اړین دي، له دغو امکاناتو پرته د پوهنتونونو محصلین او استادان عصري، نویو، تازه او کره معلوماتو ته لاسرسی نه شي پیدا کولای."

موږ غواړو چې د درسي کتابونو په برابرولو سره د هېواد له پوهنتونونو سره مرسته وکړو او د چپتر او لکچرنوټ دوران ته د پای ټکی کېږدو. د دې لپاره اړینه ده چې د افغانستان د پوهنتونونو لپاره هر کال لږ تر لږه ۱۰۰ عنوانه درسي کتابونه چاپ شي.

له ټولو درنو استادانو څخه هيله کوو، چې په خپلو مسلکي برخو کې نوي کتابونه وليکي، ويې ژباړي او يا هم خپل پخواني ليکل شوي کتابونه، لکچرنوټونه او چپټرونه اېډيټ او د چاپ لپاره تيار کړي، زموږ په واک کې يې راکړي چې په ښه کيفيت چاپ او وروسته يې د اړوند پوهنځيو، استادانو او محصلينو ته په واک کې ورکړو. همدارنگه د يادو ټکو په اړه خپل وړاندیزونه او نظريات له مور سره شريک کړي، چې په گډه په دې برخه کې اغېزمن گامونه پورته کړو.

د ليکوالانو او خپروونکو له خوا پوره زيار ايستل شوی، چې د کتابونو محتويات د نړيوالو علمي معيارونو پر اساس برابر شي، خو بيا هم کېدای شي د کتاب په محتوا کې ځينې تېروتنې او ستونزې وليدل شي، نو له درنو لوستونکو څخه هيله لرو چې خپل نظريات او نيوکې ليکوال او يا مور ته په ليکلې بڼه راولېږي، چې په راتلونکي چاپ کې اصلاح شي.

د افغان ماشومانو لپاره د جرمني کمېټې او د هغې له مشر ډاکټر اېروس څخه ډېره مننه کوو چې د دغه کتاب د چاپ لگښت يې ورکړی دی. دوی تر دې مهاله د ننگرهار پوهنتون د ۲۵۰ عنوانه طبي او غير طبي کتابونو د چاپ لگښت پر غاړه اخيستی دی.

د پوهنتونونو رئيسانو، د پوهنځيو رئيسانو او استادانو څخه مننه کوم چې د کتابونو د چاپ لړۍ يې هڅولې او مرسته يې ورسره کړې ده. د دغه کتاب له ليکوال نه ډېر مندوی يم او ستاينه يې کوم، چې د کلونو - کلونو زيار محصول يې په وړيا توگه گرانو محصلينو ته وړاندې کړ.

همدارنگه د خپل دفتر له همکارانو هر يو ښاغلي حکمت الله عزيز، ښاغلي فهيم حبيبي، ښاغلي گل آغا احمدي او ښاغلي هېواد صافی څخه هم مننه کوم، چې د کتابونو د چاپ په برخه کې يې نه سترې کېدونکې هلې ځلې کړې دي.

ډاکټر يحيی وردک

د لوړو زده کړو وزارت، کابل، جون، ۲۰۲۳

د دفتر ټيليفون: ۰۷۰۶۳۲۰۸۴۴، ۰۷۸۰۲۳۲۳۱۰

ايميل: info@ecampus-afghanistan.org

د موادو د میخانیک بنیادي معادلي

Fundamental Equations of Mechanics of Materials

Axial Load

Normal Stress

$$\sigma = \frac{N}{A}$$

Displacement

$$\delta = \int_0^L \frac{N(x)dx}{A(x)E}$$

$$\delta = \sum \frac{NL}{AE}$$

$$\delta_T = \alpha \Delta TL$$

Torsion

Shear stress in circular shaft

$$\tau = \frac{T\rho}{J}$$

where

$$J = \frac{\pi}{2} c^4 \quad \text{solid cross section}$$

$$J = \frac{\pi}{2} (c_o^4 - c_i^4) \quad \text{tubular cross section}$$

Power

$$P = T\omega = 2\pi fT$$

Angle of twist

$$\phi = \int_0^L \frac{T(x)dx}{J(x)G}$$

$$\phi = \sum \frac{TL}{JG}$$

Average shear stress in a thin-walled tube

$$\tau_{avg} = \frac{T}{2tA_m}$$

Shear Flow

$$q = \tau_{avg}t = \frac{T}{2A_m}$$

Bending

Normal stress

$$\sigma = \frac{My}{I}$$

Unsymmetric bending

$$\sigma = -\frac{M_z y}{I_z} + \frac{M_y z}{I_y}, \quad \tan \alpha = \frac{I_z}{I_y} \tan \theta$$

Shear

Average direct shear stress

$$\tau_{avg} = \frac{V}{A}$$

Transverse shear stress

$$\tau = \frac{VQ}{It}$$

Shear flow

$$q = \tau t = \frac{VQ}{I}$$

Stress in Thin-Walled Pressure Vessel

Cylinder

$$\sigma_1 = \frac{pr}{t} \quad \sigma_2 = \frac{pr}{2t}$$

Sphere

$$\sigma_1 = \sigma_2 = \frac{pr}{2t}$$

Stress Transformation Equations

$$\sigma_{x'} = \frac{\sigma_x + \sigma_y}{2} + \frac{\sigma_x - \sigma_y}{2} \cos 2\theta + \tau_{xy} \sin 2\theta$$

$$\tau_{x'y'} = -\frac{\sigma_x - \sigma_y}{2} \sin 2\theta + \tau_{xy} \cos 2\theta$$

Principal Stress

$$\tan 2\theta_p = \frac{\tau_{xy}}{(\sigma_x - \sigma_y)/2}$$

$$\sigma_{1,2} = \frac{\sigma_x + \sigma_y}{2} \pm \sqrt{\left(\frac{\sigma_x - \sigma_y}{2}\right)^2 + \tau_{xy}^2}$$

Maximum in-plane shear stress

$$\tan 2\theta_s = -\frac{(\sigma_x - \sigma_y)/2}{\tau_{xy}}$$

$$\tau_{max} = \sqrt{\left(\frac{\sigma_x - \sigma_y}{2}\right)^2 + \tau_{xy}^2}$$

$$\sigma_{avg} = \frac{\sigma_x + \sigma_y}{2}$$

Absolute maximum shear stress

$$\tau_{abs_{max}} = \frac{\sigma_{max}}{2} \text{ for } \sigma_{max}, \sigma_{min} \text{ same sign}$$

$$\tau_{abs_{max}} = \frac{\sigma_{max} - \sigma_{min}}{2} \text{ for } \sigma_{max}, \sigma_{min} \text{ opposite signs}$$

د هندسي شكونو د مساحت خاصيتونه

Geometric Properties of Area Elements

Material Property Relations

Poisson's ratio

$$\nu = -\frac{\epsilon_{lat}}{\epsilon_{long}}$$

Generalized Hooke's Law

$$\epsilon_x = \frac{1}{E} [\sigma_x - \nu(\sigma_y + \sigma_z)]$$

$$\epsilon_y = \frac{1}{E} [\sigma_y - \nu(\sigma_x + \sigma_z)]$$

$$\epsilon_z = \frac{1}{E} [\sigma_z - \nu(\sigma_x + \sigma_y)]$$

$$\gamma_{xy} = \frac{1}{G} \tau_{xy}, \gamma_{yz} = \frac{1}{G} \tau_{yz}, \gamma_{zx} = \frac{1}{G} \tau_{zx}$$

where

$$G = \frac{E}{2(1 + \nu)}$$

Relations Between w , V , M

$$\frac{dV}{dx} = w(x), \quad \frac{dM}{dx} = V$$

Elastic Curve

$$\frac{1}{\rho} = \frac{M}{EI}$$

$$EI \frac{d^4 v}{dx^4} = w(x)$$

$$EI \frac{d^3 v}{dx^3} = V(x)$$

$$EI \frac{d^2 v}{dx^2} = M(x)$$

Buckling

Critical axial load

$$P_{cr} = \frac{\pi^2 EI}{(KL)^2}$$

Critical stress

$$\sigma_{cr} = \frac{\pi^2 E}{(KL/r)^2}, \quad r = \sqrt{I/A}$$

Secant formula

$$\sigma_{max} = \frac{P}{A} \left[1 + \frac{ec}{r^2} \sec \left(\frac{L}{2r} \sqrt{\frac{P}{EA}} \right) \right]$$

Energy Methods

Conservation of energy

$$U_e = U_i$$

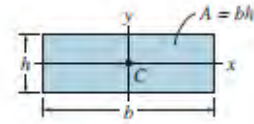
Strain energy

$$U_i = \frac{N^2 L}{2AE} \quad \text{constant axial load}$$

$$U_i = \int_0^L \frac{M^2 dx}{2EI} \quad \text{bending moment}$$

$$U_i = \int_0^L \frac{f_s V^2 dx}{2GA} \quad \text{transverse shear}$$

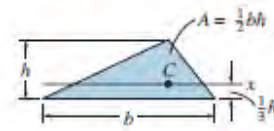
$$U_i = \int_0^L \frac{T^2 dx}{2GJ} \quad \text{torsional moment}$$



Rectangular area

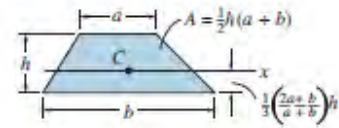
$$I_x = \frac{1}{12} bh^3$$

$$I_y = \frac{1}{12} hb^3$$

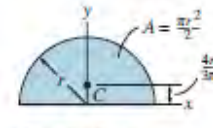


Triangular area

$$I_x = \frac{1}{36} bh^3$$



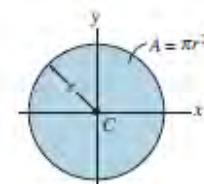
Trapezoidal area



Semicircular area

$$I_x = \frac{1}{8} \pi r^4$$

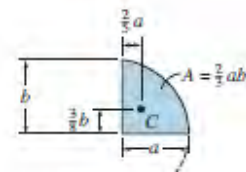
$$I_y = \frac{1}{8} \pi r^4$$



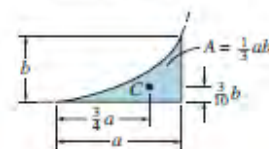
Circular area

$$I_x = \frac{1}{4} \pi r^4$$

$$I_y = \frac{1}{4} \pi r^4$$



Semiparabolic area



Exparabolic area

د موادو میخانیک

پښتو ژبی ژباړنه

د دی کتاب (د موادو میخانیک) ژباړنه پښتو ژبی ته، د پیرسن کمپنی په اجازه سره شوی ده. پښتو ژباړنه له انگلیسی نسخې د کال 2017 ، د موادو میخانیک لسمه نسخه رسل هیبلر ، کوم چی د پیرسن (Pearson Education, Inc. Hoboken, NJ 07030) لخوا چاپ شوی بشپړه شوی ده. خپرول یی د نسخې © 2017 حق دی . [د انگلیسی ژبی د چاپ حق د پیرسن کمپنی سره خوندي دي].

ټول حقونه خوندي دي. د دی کتاب د انگلیسی ژبی چاپ شوی نسخې هیخ برخه یی په هره بڼه یا په هره وسیله، بیا تولید یا لیردول شوی، الکترونیکی یا میخانیکي، د فوتوکاپی په گډون، ثبت کول یا د هر ډول معلوماتو ذخیره کولو سیستم له لاری، بدون له اجازی د Pearson Education, Inc، له خوا مجاز ندي او د چاپ حق © خوندي دي. د پښتو ژبی چاپ کال 2023.

Library of Congress Cataloging-in-Publication Data

Hibbeler, R. C. ,

Mechanics of materials / R.C. Hibbeler.

Tenth edition. | Hoboken, NJ: Pearson, 2015. | Includes index.

LCCN 2015044964 | ISBN 9780134319650

Materials. | Mechanics, Applied. | Strength of materials. | Structural analysis

(Engineering) | Materials—Problems, exercises, etc. | Mechanics, Applied—Problems,

exercises, etc. | Strength of materials—Problems, exercises, etc. | Structural analysis

(Engineering)—Problems, exercises, etc.

LCC TA405.H47 2015 | DDC 620.1/123—dc23

LC record available at <http://lcn.loc.gov/2015044964>

10 9 8 7 6 5 4 3 2 1

ISBN 10: 0-13-431965-6

ISBN 13: 978-0-13-431965-0

زده کوونکیو ته:

د دې امید سره چې دا کار به د موادو میخانیک کی علاقه رامینځته کړي او د پوهیدو لپاره به د منلو وړ لارښود چمتو کړي.

سریزه (PREFACE)

دلته هدف دادی چی زده کونکي په ډیره واضح او مکمله توگه د موادو د میخانیکیت په تیوری او دهغو په استعمال وپوهیږی. ددی موخی د رسیدولپاره، د ډیروکلونو په اوردوکی د سلهاووپوهنتون استادانود وړاندیزونو او د کتاب لیکونکي زده کونکیوله تبصروڅخه گټه اخستل شوی. لسم چاپ د پخوانیو چاپونو خورا ښه شوی دی او هیله ده چی زدکونکي او استادان به لدی ښه توب نه گټه واخلي.

ددی چاپ نوی شیان (NEW TO THIS EDITION)

. **د موادو نوی کول.** ډیر عنوانونه پدی کتاب کی له سره لیکل شوی تر څو پوهیدل یی اسانه شی. ځنی انځورونه لوی او ښه شوی دی تر څو د ډول بدلیدونه گټور تمام شی.

. **د نوی ډیزاین طرحه.** د ډیزاین نوری ځانگړتیاوی اضافه شوی تر څو مواد ښه وښودلشی. ډیری عنوانونه په یوه او یا دوو مخوکی راغلی تر څو د ډیرو مخونو اړولوته ضرورت نه وی.

. **د لمرنیزو او بنسټیزو سوالونو ښه کول.** دا ډول پوښتنی د مثالونو دحل نه وروسته راغلی. زدکونکیو ته د هری برخی د مفهومو عملیکول وړښی تر څو وکرلیشی د سوالونه دحلولو توان پیدا کړی پخوا لدی چی معیاری سوالونو ته ورسیری. دا شمیر سوالونه هم کیدی شی د مثالو په ډله کی راشی ځکه چی مکمل حل یی د کتاب په پای کی راغلی. همدارنگه ددی سوالونو حل د زدکونکیو د پاره دا موقع برابره وی چی د ازموینی د پاره یی وگوری او حتی د انجینری مسلکی لایسنس اخستو د پاره د بنسټیزی برخی د ازموینی د پاره کار تری واخستل شی.

. **نوی عکسونه.** د ښی پوهی د پاره ۱۴ نوی او یا ښه شوی د واقعی ژوند عکسونه ددی چاپ د پاره اضافه شوی دی. دا عکسونه ښی چی په څه ډول ددی مضمون اساسات د واقعی ژوند په حالاتو کی کارکوی او مواد تر بار لاندی په څه ډول عکسالعمل ښی.

. **نوی سوالونه.** ددی چاپ د پاره، ۳۰٪ یا ۴۳۰ نوی سوالونه اضافه شوی چی د مختلفو انجینری ساحو د پاره تری گټه اخستل کیدی شی.

. **د بیا کتنی نوی سوالونه.** نوی د بیا کتنی سوالونه دهر څبرگی په پای کی په ځای شوی، تر څو ښونکی وکرلی شی د زدکونکیو د ازموینی د تیاری لباره د کورنی کار په توگه ورکا.

محتویات (CONTENTS)

محتویات په ۱۴ فصلونو کی ترتیب شوی. اول فصل د سټیټیک مهم موضوعات بحثکوی چی ورپسی په اساسی توگه نارمل او شیر سټیریس تعریفوی، چی نارمل سټیریس په هغو اعضاو کی

چی د محور په اوږدوالی بار ورباندی پلې شوی او اوسط شیر ستریس چی د مستقیم شیر له امله پینیری، بحث کوی.

په دوهم فصل کی نارمل او شیر ستریس تعریف شوی، په ۳ فصل کی د موادو ځنی مهم خواص بحث شوی دی. په ځانگړی توگه د محوری بار، تاویدونکی، او کزیدونکی په ۴، ۵ او ۶ فصلونو کی په ترتیب سره معامله شویدی. په ټولو فصلونو کی دواړه، خطی الاستیکی او پلاستیکی حالت د موادو په نظر کی نیول شوی کله چی ستریس د یوځای شوی بار نه پیداشوی. په ۹ فصل کی د څو اړخیزه ستریسو اړول وړاندی شوی. په همدی ډول ۱۰ فصل د سترین اړول او د ماتیدو مختلفی تیوری گانی وړاندی شوی. ۱۱ فصل یو ځل بیا د بیمونو او شافتونو د ډیزاین له لاری د موادو بیا کتنه کوی. په ۱۲ فصل کی مختلفی لاری څیرل شوی چی د بیمونو او شافتونو بیخایه کیدنه (Deflection) معلومه کړی. همدارنگه د دی ډول غړیو ریکشنونه پیداکوی که سټیکلی نا معلوم وی. ۱۳ فصل د ستنی (Column) په بیخایه کیدنه یا بکلینگ (Buckling) باندی بحث کوی، او به ۱۴ فصل کی د امپکت (Impact) موضوع او د انرژي مختلفی طریقې د بیخایه کیدنی د پاره بحث کوی.

هغه حصی ددی کتاب چی پر مختللی موضوعات څیری، د ستوری علامه ورباندی لگیدلی، چی کی وختوی په مضمون کی داخلیدی شی. همدارنگه دا مواد کیدی شی د ریفرینس مناسب مواد د لمرنیو اساساساتو د پاره حساب شی کله چی د نورو مضمونو او یا پروژو د پاره تری گار واخستل شی.

ددی مضمون دویلو دپاره بله لاره: ځنی استادان ممکن اول دستریس او سترین اړول لمری بحثکا پخوا لدی چی د محوری بار، تاویدل، کزیدل او شیر استعمال وڅیری. یوه لاره ممکن دا وی چی ستریس او د هغو اړول په ۱ او ۹ فصلو کی اوبیا د سترین اړول چی په ۲ فصل او په اوله برخه د ۱۰ فصل کی راغلی. ددی فصلونو بحث او مثالونه داسی ترتیب شوی چی دا کار کیدونکی دی. د سوالونو سټ داسی ویشل شوی چی بیله دی چی مخکنی بوهه ولری دا کار کیدی شی. د ۳ نه تر ۸ څیر گیو بیا داسی ویل کیری چی نارمل دوام ته کومه ستونزه نه پینیری.

مهم عناصر (HALLMARK ELEMENTS)

ترتیب اوتگلاره. په هر فصل کی موضوعگانی په روبنانه برخو ویشل شوی چی مواد بحث شوی، تشریحی سوالونه، او په پای کی د کورنی کار سوالونه راغلی. عنوانونه په هره برخه کی په ځانته گروپو ویشل شوی. ددی کار موخه داده چی نوی تعریفونه او موضوعگانی وښودل شی، او کتاب د ماخذ او بیا کتنی د پاره آسانتیا راولی.

د فصلونو مواد. هر فصل په پوره مخکی چی عمومی تطبیقونه د فصل تشریحکوی شروع کیری. د فصل موخی وړاندی شوی تر څوپه عمومی توگه د فصل مواد وښودل شی.

د تحلیل کرنلاری. پس د ډیروبرخو د کتاب نه دا روښانه شوی، چی دا تگلاره د زدکونکیو دپاره ښه لاره ده چی نظریه به عملی توگه استعمال کری. تشریح شوی سوالونه همدا تگلاره تعقیبوی تر څو نظریه په شمیرنی سوالونو پلی شی. دابنایی چی وپوهیدل شی کله چی زدکونکی وپوهیږی او په ځان ډاډه شی، کری شی دخپله ځانه د سوالونو د حل لاری د ځان د پاره انتخاب کری.

انځورونه. ډیر انځورونه په کتاب کی راغلی تر څو زدکونکی وپوهیږی چی د موادو دمیکخانکیت اساسات په څه ډول د واقعی ژوند اړوند ستونزی حلکوی.

مهم تکی. دا برخه دبیباکتنی اولنډیزد مهمو موضوعگانو په هره برخه کی په گوته کوی تر څو زدکونکی وکری شی له نظریو څخه د سوالونو د حل د پاره گټه واخلي.

مثالی سوالونه. ټول مثالی سوالونه په ډبره واضحه توگه ښودل شوی چی په اسانی وپوهیدلشی.

د کورنی کار سوالونه. پدی کتاب کی برسیره پر لومړنی، اساسی، او مفهومی سوالونو، یو شمیر عددی معیاری سوالونه شته چی دانجینری واقعی حالتوته ورته دی. هیله ده چی زدکونکی ددی واقعیت نه گټه پورته کری او دا توان پیداکا چی د موضوع د شرحی او فزیکي ما ډل د پاره د اساساتو د استعمال نه گټه واخلي. په کتاب کی کوشش شوی چی د بین المللی واحدو (SI) او فټ، پونډ، او ثانیه (FPS) واحدو سیستمو څخه د انډول په توگه کار واخستل شی. همدارنگه په هره برخه سوالو کی کوشش شوی چی د سختوالی اندازه یی په تدریجی ډول اضافه شی. د سوالو ځوابونه بیله هر څلورم سوال نه د کتاب په اخر کی راغلی. ددی د پاره چی زدکونکی وپوهیږی د هغو سوالو د پاره چی ځواب یی په کتاب کی نشته د سوال سره د ستوری (*) علامه ایښودل شوی. ځوابونه تر دریو مهمو شمیر راغلی که څه هم د موادو د خواصو مهمه شمیره به تر دریو کمه وی. که څه هم دا به ښه کار نه وی خو لدی کبله چی ټول وکړلی شی چی زدکونکی په دوامداره توگه وکړیشی خپل ځوابونه مقایسه کری .

ضمیمی (Appendices). ضمیمی د دی کتاب د بیباکتنی دپاره او یو لړ د کار ور جدولونه لری. د A ضمیمه د ساحی د مرکز او د انرشیا د مومنت په هکله معلومات لری. د B او C ضمیمی د ساخمنانی څیرو جدولونه د یو شمیر بیمو او شافتو انحنای او میلان په گوته کوی.

د دروستی کتل. لسم چاپ د کتاب د جدی دریخله درستی کتلو څخه تیر شوی. برسیره د کتاب د لیکونکی چی ټول مخونه او ارت یی کتلی، دا لاندی کسانو هم کتلی دی:

Scott Hendrick, Virginia Polytechnic University

Karim Nohra, University of Florida

Kurt Norlin, Bittner Development Group

Kai Beng Yap, Engineering Consultant

یادونه او مننه (ACKNOWLEDGEMENTS)

د کلونو په اوردوکی دا کتاب د ډیرو دوستانو چی درسونه ورکوی د پاملرنی وړ او پر بنه توب کی یی برخه اخستی. د دوی تشویق او د بنه توب دپاره انتقادونو زه منندوی کړی یم او هیله ده چی دا بینامه منندویی قبوله کړی. چا چی دا کتاب کتلی زمامنه ورته وړاندی ده.

S. Apple, Arkansas Tech University

A. Bazar, University of California, Fullerton

M. Hughes, Auburn University

R. Jackson, Auburn University

E. Tazel, Alfred State College

H. Zhao, Clemson University

یو شمیر کسان دی چی دلته د ځانگړتیا مننه تری کوم. زما ډیر پخوانی ملگری او همکار، Kai Beng Yap، چی زما سره یی د سوالونو په حلولو کی خورا مرسته کړی. خاصه مننه په همدی هکله Kurt Norlin ته وړاندی کیری. د Rose Kernan څخه مننه کوم چی دډیرو کلو راهیسی زما دچاپیدو ایډیتر دی، او زما له میرمنی چی دا کتاب یی تایپ کړی چی د چاپ دپاره تیار شی.

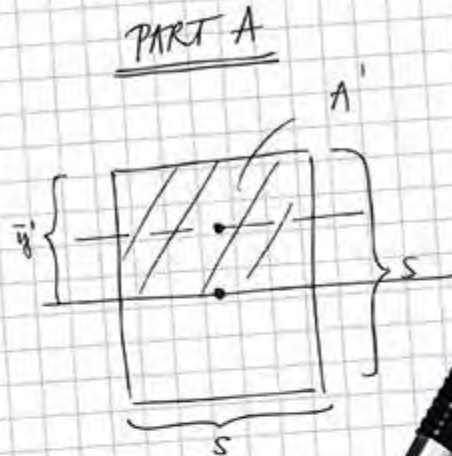
زه غواړم چی د هغوټولو زدکونکیو څخه مننه وکړم چی پخوانی چاپ یی لوستلی او د بنه توب وړاندیزونه یی کړی او په خاصه توگه هغه پخوانی زدکونکی چی اوس درس ورکوی او له هغوچی ماته یی بریښنا لیکونه راستولی او په خاصه توگه له G. H. Nazari څخه.

زه به ډیر خوشحاله شم که تاسو ددی چاپ د بهبود لپاره خپلی نیوکی او تبصری را سره شریکی کړی.

Russell Charles Hibbeler

hibbeler@bellsouth.net

your work...



$$s = 6.75 \text{ in}$$

$$\bar{y}' = \frac{s}{2} = \frac{6.75 \text{ in}}{2} = 3.375 \text{ in}$$

$$A' = s \times 0.5 \times s = 6.75 \text{ in} \times 0.5 \times 6.75 \text{ in} = 22.8 \text{ in}^2$$

$$Q = \bar{y}' A' = 3.375 \text{ in} \times 22.8 \text{ in}^2 = 76.9 \text{ in}^3$$

$$Q = 76.9 \text{ in}^3$$

ددى كتاب پښتو ترجمه

ددى كتاب د ژباړې لپاره مور (حفيظ الله وردك او زرجان بها) دوه فكتورنه په نظر كې نيولي: (۱) داچې په دې رشته كې تحول په كرارې سره دى، او ډير وخت نيسي چې كوم بنيادى تحول پكې راشي. (۲) داچې دا كتاب په امريكايي بنه شهرت لري او په ډيرو معتبرو پوهنتونونو كې اوس تدريس كيږي. د موادو ميخانكيټ داسې يوه موضوع ده چې زموږ اول شرط يې پوره كړي. ممكن هغه بنه كتابونه چې پنځوس كاله مخ كې پدې ساحه كې ليكل شوي وي اوس هم د گټې وړ وي. همدا رنگه دا كتاب چې مورږ خو بسكړي په ډيرد پوهنتونو كې تدريس كيږي چې زموږ دوهم شرط پوره كوي. ددې كتاب پوره معلومات په انگليسي ژبه په لاندې ډول دي:

Mechanics of Materials

By Hibbeler , 10th edition 2017

Publisher is Pearson

دا كتاب ر.س. هيبيلر ليكلي چې د پيرسن كمپني چاپ كړي او لسم چاپ يې په ۲۰۱۷ كال كې راوتلي.

لمړي موربايد د نشرونكي كمپني نه د ترجمي اجازه واخيستله چې ډيره اوږده مرحله وه او نيږدې درې كاله وخت يې ونيو. كه څه هم مورږ يو اندازه پيښي هم وركړي چې د ترجمي اجازه واخلو خو دا زموږ د پاره كوم دياډولو وړ خبره نه وه. مورږ دواړه ژباړونكي د پيرسن كمپني د صلاحيت لرونكيو څخه، په خاصه توگه دښاغلي رندينا پابلو (Rendina, Pablo) نه، د زړه له كومي مننه كوو چې مورږ ته يې اجازه راكړه (9780134319650_Mechanics of Materials) چې ددوي يو مشهور كتاب د افغانستان په ملي ژبه پښتو تر جمه كړو. هيله ده چې په افغانستان كې اوسني او راتلونكي انجينران ترې پوره گټه پورته كړي.

په امريكا كې داكتاب د سيول انجينري او ميخانيك انجينري زده كونكيو دپاره دى، هيله ده چې په افغانستان كې هم پدې دوو انجينري رشتو كې تدريس شي. پدې كتاب كې په كافي اندازه مواد شته چې د دوو سمټرو د پاره كار وركا. دا ممكن په استاد او رشته پوري اړه ولري چې كوم څپرگي په يوه سمستر كې وړاندې شي.

مورږ كوشش كړي چې به ډيرو ځايو كې په قوسو كې د انگليسي لغتونه هم استعمال كړو چې زموږ د ترجمي پوره معنا لوستونكي وپوهيږي. مورږ كوشش ندې كړي چې پدې برخه كې نور اثار چې په پښتو ليكل شوي دي ولولو او يا دهغو اصطلاحات استعمال كړو. كوشش مو كړي چې په ډيره رواجي ژبه داكتاب وليكو. هيله ده چې د ټولو افغانانو د پاره اسانه وي چې د موضوع مطلب ترې تر لاسه كړي.

منن ليک (حفيظ الله وردک)

ډير خوشحاله يم ، الحمد لله ، چي الله (ج) دا توانايي راکړه چي د موادو ميخانیک کتاب (Mechanics of Materials by R.C. Hibbeler) ژباړنه په ساده او روانه پښتو ژبه، د خپل فاميل په مرسته، د يو شمير محترمو او معززو استادانو او ملگرو په لارښودنه او هڅونو، د گران افغانستان د انجینري محصلينو او د افغانستان انجینرانو د زدکړي او ريفرينس لپاره تکميل کړم . ددی کتاب په ژباړنه کی زما گران او محترم استاد د کابل پوهنتون د انجینري پوهنځی پخوانی ریئس او د پورډو یونیورسټی پخوانی پروفیسور ډاکتر زرگان بها چي په انډیانا کی ژوند کوي زما سره ملگری وه او د هغه په مرسته موددی کتاب ژباړنه تکميل کړه.

دلته غواړم چي له له ډير قدرمن د کابل پوهنتون د انجینري پوهنځی پخوانی زما استاد او د ژوند ملگری محترم پروفیسور ډاکتر سورگل وردک، چي اوس په گلیفورنیا یونیورسټی کی پروفیسور دی او هلته ژوند کړي د هغه له ارزښت ډکو لارښونو، د یو څو فصلونو بیا کتنه، هڅونو او نظریاتو او ملا تر په ډير قدر یاده ونه او مننه کړم.

له خپلی میرمنی ثریاجانی چي په ډیره حوصله مندی په کور کی یي هر ډول آسنتیاووی ماته برابرې کړي او ملاتړیې کړي په ډير قدریادونه او مننه کوم. زما دوه زامنو د طبی پوهنتون پروفیسور ډاکتر ذبیح الله وردک او میرمن یي ډاکتر انجیلا فاروقی ، او بل زوی ډاکتر نجیب الله وردک او میرمن یي لانه میره کي ، او دوه لورگانو ډاکتر لمیا وردک او خاوند یي پروفیسور ډاکتر بنالان ، او بله لور می انجینره وژمه وردک او اولادونه یي ، ددوی له بیحده مرستو ، هڅونو، او دعاگانو په قدر یادونه او مننه کوم. زما دکور د دفتر وسایل په پښتو او انگلیسی ژبوسمبالول او زما د کمپیوتري ستونزو له مینځه وړل د څو کلونورا پدی خوا کله چي ما خپل رسمی کار له بوینگ کمپنی سره وروسته له دیرش کلونو بس کړي، ماته د قدر او منني وړ دی او له دوی ټولو د محبت ډکه مننه کوم.

په آخر کی غواړم چي د محترم ډاکتر صاحب یحیی وردک او د هغوی له ټیم څخه چي ددی کتاب په چاپ کی یي مرسته کړي ډیره مننه کوم. او هم د گران افغانستان د خوست ولایت د شیخ زاید پوهنتون محترم رییس حسین گل آریوبي، د انجینري پوهنځی له محترم رییس ریدی گل همدرد، او د سیول انجینری دپارتمنت مشر نصرت الله نصرت څخه ډیره مننه کوم، چي دا کتاب یي په کوریکلم د انجینری پوهنځی کی شامل کړي. او هم له پیرسن (Pearson) کمپني ډير مننه کوم چي د دی با ارزښته کتاب د ژباړني پښتو ژبی ته یي اجازه راکړه.

له ټولو لوستونکیو زما هیله دا ده چي خپل نظریات او انتقادات زمور سره شریک کړی تر څو به بل چاپ کی هغه په نظر کی ونیسو. او که چیری کوم اشتباحات شوی له ټولو بښنه غواړو.

په درناوي حفيظ الله وردک

من لیک (زر جان بها)

تر هر څه د مخه زه د کایناتو د جوړوونکي **الله سبحان الله و تعالیٰ** دی بی ساریه لورینونه چی په ماباندی یی کری منند وی یم.

زما په ژوند کی زما پلار ډیر مثبت رول لوبولی چی په کوچنوالی کی یی ماته واک راکا چی کری شم ددینی زده کړو د پاره د طالبی لار ونیسم او یا د عمومی زده کړو د باره بنونخی ته ولاړ شم چی ما بنونخی خوښکا او د تکیی په بنونخی کی داخل شوم. او پدی کار کی زما تره چی ملک واک هم رول در لود چی ارزو یی وه چی زه په بنونخی کی لیک او لوست زده کړم تر څو وکړی شم د خپل پلار په څیر د وولس د پاره گتور تمام شم. زما پلار زمور د تولی که لی (قلعی) بنونکی واک چی نجونی او هلکان به هر سهار زمو کورته د درس ویلو د پاره راتلل. لږ تر لږه به تولو د قران مجید لوستل زده کړل. د سبق ویلو د پاره یو شمیرنوری نجونی او بنخی د نورو نیردی که لونه هم را غلی دی. دقران مجید له لوستلو نه پس که چا غوښتل نور درس وواپی په هلکانو به یی پنجکتاب چی په دری ژبه واک او په نجونو به یی رشید بیان چی په پښتو ژبه واک شروع کړل او دا دده دپاره اخری مرحله د تدریس وه.

په دوهمه مرحله کی زما میرمنی فاطمی (گول) زما به ژوند کی مثبت رول درلود چی په دوامداره توگه یی په ډیره حوصله رېږونه پر ځان قبول کری وو تر څو زه وکړی شم د ارزو سره سم خپلو زده کړوته دوام ورکړم. همدارنگه نوموړی د دریسو اولادو په روزنه کی د کورنی د نورو غړیو په مرسته پوره ونډه اخستی وه چی ډیر وخت ځان ملامت بولم چی زه د افغانستان په جوړولو کی دومره مصروف وم چی دوی ته می ډیر کم وخت درلود او بښنه تری غواړم.

زه ډیر طالع من یم چی اولادونو می عبدالغفور چی د ژوند شریکه یی ملالی، عبد الرؤف چی د ژوند شریکه یی هیلی. او وسیمه چی د ژوند شریک یی عبدالحکیم دی، نه یواځی په کوچنوالی کی ماته هیڅ تکلیف ندی راکړی، او اوس چی لوی شوی او دژوند د شریکانو او اولادوسره په خپلو کورونو کی ژوند کوی زما او د گول بی نهایته احترام او هر اړخیزه پام لرنه لری.

یو ډیر نیردی ملگری می ډاکتر محمد رسول وردگ چی مور دواړه په یوه وخت کی د کابل په پوهنتون کی وو او پس له پوهنتونه دواړه په پوهنتون کی د استادانو په توگه پاتی شوو. نوموړی څو کاله پخوا په سویس کی چی ډاکتر واک وفات شو. نوموړی دما دپاره د صداقت او دیانت نمونه واک او زما په ژوند کی چی وکړی شم پر خپلو کړنلارو کی بریالی شم مثبت اغیزه درلوده.

ددی کتاب به لیکلو کی زما خواخوږی ملگری چی د کابل د انجینری پوهنخی په استادانو کی یی خاص او ډیر پیاوړی ځای در لود، حفیظ الله وردگ، ددی کتاب په لیکلو کی بی ساریه زیاریستلی او زه تری مننه کوم چی ماته یی ددی کتاب په لیکلو کی برخه راکړه. هیله لرو چی په راتلونکی وخت کی مور په گډه سره وکړی شو د افغانستان د پاره د نورو علمی پروژو په تکمیلولو کی بریالی شو.

لیکچر

1

ستریس (Stress)

1

2 د فصل موخي (Chapter Objective)

1.1 پیژندنه (Introduction) 2

1.2 د ارتجاعی جسمونو تعادل (Equilibrium of a Deformable Body) 3

1.3 ستریس (Stress) 32

1.4 نارمل اوسط ستریس په یوه محوری بارشویي میله کی (Average Normal Stress in an Axially Loaded Bar) 35

1.5 اوسط مماسی (غوڅوونکی) ستریس (Average Shear Stress) 47

1.6 د منلو وړ د ستریس ډیزاین (Allowable Stress Design) 73

1.7 د محدود حالت ډیزاین (Limit State Design) 76

106

سترین (Strain)

2

107 د فصل موخي (Chapter Objective)

2.1 د شکل بدلون (Deformation) 107

2.2 سترین (Strain) 108

134	(Chapter Objective)	د فصل موخې
134	3.1 کشش (کشکولو) او د کمپرشن (تیلوهلو) آزمیني (Tension and Compression Test)	
136	3.2 د سترس-ستریډ دایگرام (The Stress-Strain Diagram)	
143	3.3 د سترس-ستریډ چلند دغوژیدونکیو او ماتیدونکیو موادو (Stress -Strain Behavior of Ductile and Brittle Material)	
150	3.4 سترین انرژي (Strain Energy)	
169	3.5 د پویسان (پویزان) تناسب (Poisson's Ratio)	
173	3.6 د شیری سترس-ستریډ دایگرام (The Shear Stress Strain Diagram)	
178	3.7 د موادو خرابیدل د کریپ او ستر یا له امله (Failure of Materials Due to Creep and Fatigue)	

د فصل موخې (Chapter Objective) 196

- 4.1 د سنت وینانت اصول (Saint-Venant's Principle) 197
- 4.2 د یوه محوري بار شوی غړی د شکل ارتجاعی بدلون: Elastic (Deformation of) 199
An Axially Loaded Member
- 4.3 د سوپر پوزیشن اصول (Principle of Superposition) 224
- 4.4 ستاتیکی مجهول محوري بار شوی غړی (Statically Indeterminate Axially Loaded Members) 225
- 4.5 د محوري بار شویو غړیو لپاره د قوو د تحلیل طریقه (The Force Method of Analysis for Axially Loaded Members) 237
- 4.6 حرارتي سترس (Thermal Stress) 254
- 4.7 د ستریس غلظت (Stress Concentrations) 267
- 4.8* محوري غیر ایلستیکی بی حایه کیدل (Inelastic Axial Deformation) 271
- 4.9* پاتي شوي سترس (Residual Stress) 274

	300	(Chapter Objective) د فصل موخي
5.1	301	د تاویدو له امله د دایرویی غوڅی شافت د شکل تغیر (Torsional Deformation of a Circular Shaft)
5.2	303	د تاویدنی فورمول (The Torsion Formula)
5.3	315	د توانایی لیردول (Power Transmission)
5.4	337	د تاویدنی زاویه (Angle of Twist)
5.5	363	په ستیا تیکلی نا معلوم غریو د تورک بار (Statically Indeterminate Torque-Loaded Members)
5.6*	375	جامد (پک) شافتونه چی غوڅه برخه یی گرده نده (Solid Non-Circular Shafts)
5.7*	379	د نازک ضخامت شافتونه کوم چی ترلشوی غوڅی برخی لری (Thin-Walled Tubes Having Closed Cross Sections)
5.8	396	د سترس غلظت (Stress Concentration)
5.9*	401	غیر ارتجاعي تورژن (Inelastic Torsion)
5.10*	405	پاتیکیدونکی ستریس (Residual Stress)

432 کرونکی (انحنایي) مؤمنت (Bending)

د فصل موخي (Chapter Objective) 432

- 6.1 شیبیر او مؤمنت ډایگرامونه (Shear and Moment Diagrams) 433
- 6.2 د شیبیر او مؤمنت ډایگرامونو جوړه ول په گرافیکی طریقہ (Graphical Method for Constructing Shear and Moment Diagrams) 443
- 6.3 دیوه مستقیم غړی د کړیدو بیخایه کیدنه (Bending Deformation of a Straight Member) 477
- 6.4 د کړیدو فورمول (The Flexure Formula) 482
- 6.5 نامتناظر کوروالي (Unsymmetric Bending) 514
- 6.6* مرکب بیمونه (Composite Beams) 532
- 6.7* د وسپنیز کانکریټ بیمونه (Reinforced Concrete Beams) 536
- 6.8* کاره (منحنی) بیمونه (Curved Beams) 544
- 6.9 د سټریس غلظت (Stress Concentration) 555
- 6.10 غیر ایلاستیکی کوریدنه (Inelastic Bending) 574

د فصل موخي (Chapter Objective) 614

7.1 په مستقيمو غړيو كې شپير (Shear in Straight Members) 615

7.2 د شپير فورمل (Shear Formula) 617

7.3 د شپير بهير په جوړ شويو (مركب) غړيو كې (Shear Flow in Built-Up Members) 646

7.4 شپير بهير د نازك ديوال په غړيو كې (Shear Flow in Thin-Walled Members) 665

7.5* شپير مركز د نري ديوال خلاصو غړيو كې (Shear Center for open Thin-Walled Members) 674

695 يوځاي شوي بارونه (Combined Loadings)

د فصل موخي (Chapter Objectives) 695

8.1 د نري ديوال د فشار مخزنونه (Thin-Walled Pressure Vessels) 696

8.2 ستريس حالت د يوځاي شويو بارونو له امله (State of Stress Caused by Combined Loading) 707

د فصل موخی (Chapter Objective) 857

- 9.1 د سطحی سٹریس بدلون (Plane Stress Transformation) 858
- 9.2 د سطحی سٹریس د بدلون عمومی معادلہ (General Equation of Plane Stress Transformation) 865
- 9.3 مهم (اصلی) سٹریسونه او پہ - داخلی سطحہ کی اعظمی شیئر سٹریس (Principal Stresses and Maximum In-Plane Shear Stress) 872
- 9.4 د موہر دایرہ - سطحی سٹریس (Mohr's Circle- Plane Stress) 906
- 9.5 مطلق اعظمی شیئر سٹریس (Absolute Maximum Shear Stress) 930

د فصل موخی (Chapter Objective) 948

- 10.1 سطحی سٹرین (Plane Strain) 949
- 10.2 د سطحی سٹرین بدلون عمومی معادلات (General Equations of Plane-Strain Transformation) 949
- 10.3* موہر دایرہ- سطحی-سٹرین (Mohr's Circle- Plane Strain) 964
- 10.4* مطلق اعظمی شیئر سٹرین (Absolute Maximum Shear Strain) 979
- 10.5 د روزیتونو سٹرین (Strain Rosettes) 982
- 10.6* د موادو د خاصیتونو اریکی (Material Property Relationships) 991
- 10.7* د رنگیڈو تیوری (Theories of Failure) 1011

1038 د بيمونو او شافتونو ډيزاين (Design of Beams and Shafts)

د فصل موخي (Chapter Objectives) 1039

11.1 د بيم ډيزاين اساسات (Basis for Beam Design) 1040

11.2 د پريزماتيک بيم ډيزاين (Prismatic Beam Design) 1042

11.3* په بشپړ ډول ستريس شوي بيمونه (Fully Stressed Beams) 1067

11.4* د شافت ډيزاين (Shaft Design) 1073

1091 د بيمونو او شافتونو بيخايه كيدل (Deflection of Beams and Shafts)

د فصل موخي (Chapter Objective) 1092

12.1 ايلستيک منحنی (The Elastic Curve) 1093

12.2 ميلان او بيخايه كيدنه په انتيگریشن سره (Slope and Displacement by Integration) 1097

12.3* غوڅ توابع (Discontinuity Functions) 1126

12.4* ميلان او بيخايه كيدنه د مؤمنت-مساحت په طريقه (Slope and Displacement by Moment-Area Method) 1144

12.5 د سوپر پوزیشن طريقه (Method of Superposition) 1170

12.6 ستاتيکلی نامعلوم بيمونه او شافتونه (Statically Indeterminate Beams and Shafts) 1182

12.7 ستاتيکلی نامعلوم بيمونه او شافتونه-د انتيگریشن په طريقه (Statically Indeterminate Beams and Shafts--Method of Integration) 1183

12.8* ستاتيکلی نامعلوم بيمونه او شافتونه-د مؤمنت-مساحت په طريقه (Statically Indeterminate Beams and Shafts-Moment-Area Method) 1191

12.9 ستاتيکلی نامعلوم بيمونه او شافتونه-د سوپر پوزیشن په طريقه (Statically Indeterminate Beams and Shafts-Superposition Method) 1200

- د فصل موخي (Chapter Objective) 1224
- 13.1 بحراني بار (Critical Load) 1125
- 13.2 خيالي كالم د پين اتكاوو سره (Ideal Column with Pin Supports) 1127
- 13.3 كالمونه چي مختلفي اتكاوي لري (Columns Having Various Types of Supports) 1237
- 13.4* د سيكنټ فورمول (The Secant Formula) 1264
- 13.5* غير ايلستيكي كروپيدل (Inelastic Buckling) 1273
- 13.6* د كالم ډيزاين د متمرکز بار لپاره (Design of Columns for Concentric Loading) 1288
- 13.7* د كالم ډيزاين د نا متمرکز بارونو لپاره (Design of Columns for Eccentric Loading) 1307

د فصل موخي (Chapter Objective) 1330

14.1 بهرنی کار او سترین انرژي (External Work and Strain Energy) 1331

14.2 د مختلف ډول بارونو ایلستیکي سترین انرژي (Elastic Strain Energy for Various Types of Loading) 1337

14.3 د انرژي زیرمه یا ساتنه (Conservation of Energy) 1360

14.4 د تکر بار (Impact Loading) 1374

14.5* د مجازی کار اصول (Principal of Virtual Work) 1394

14.6* د مجازی قواوو پلی کیدل په ترس (Method of Virtual Forces Applied to Trusses) 1399

14.7* د مجازی قوا وود طريقي تطبيق په بیمونو (Method of Virtual Forces Applied to Beams) 1414

14.8* د کاستگلیانو قضیه (Castigliano's Theorem) 1430

14.9* د کاستگلیانو قضي پلی کول په ترس (Castigliano's Theorem's Applied to Trusses) 1432

14.10* د کاستگلیانو قضي پلی کول په بیم (Castigliano's Theorem's Applied to Beams) 1438

ضمیمي (Appendix)

1552 A د یوی ساحی هندسي خاصیتونه (Geometric Properties of an Area)

B د ساختماني شکلونو هندسی خاصیتونه (Geometric Properties)

1477 (of Structural Shapes

1485 C د بيمونو ميلان او بيخايه كيدنه (Slopes and Deflections of Beams)

د ابتدایي سوالونو حل او ځوابونه د لومړنی پوښتنې (Solutions and Answers for

1487 Preliminary Problems)

بنسټيز سوالونو جزوی حلونه او ځوابونه (Fundamental Problems Partial Solutions

1498 and Answers)

1521 د انتخاب شويو سوالونو ځوابونه (Selected Answers)

نهم فصل

(CHAPTER 9)



(© R.G. Henry/Fotolia)

ددی توربین پری د ستریس له پیچلی ډول سره مخامخ دي. د ډیزاین لپاره دا اړینه ده چی معلومه کړي چی چیرته او په کوم لور اعظمی ستریس واقع کیږي.

د ستړيس بدلون

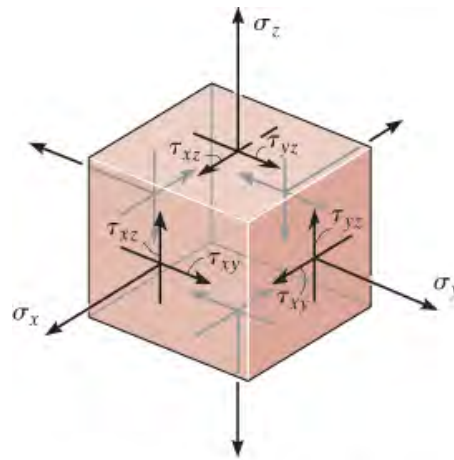
(STRESS TRANSFORMATION)

د فصل موخي CHAPTER OBJECTIVES

پدې فصل کې به مور وښيو چې څنگه د ستړيس اجزای چې په يوه نقطه د يو عنصر کې عمل کړی ، هغوی په يو اړونده عنصر باندې چې يو مختلف سمت ولري بدل کړو. يوځل چې د دې عمل اجرا کولو لپاره طريقه رامینځته شي ، مور به بيا توان ولرو چې څنگه اعظمي نارمل او اعظمي شپير ستړيس په يوه نقطه کې پيدا او هم د هغه عناصرو لورې ومومو په کوم کې چې دوی عمل کوي

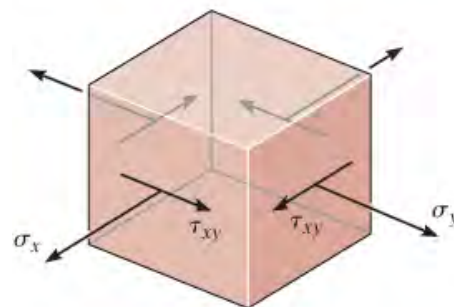
9.1 د سطحی ستیریس بدلون (PLANE STRESS TRANSFORMATION)

په 1.3 برخه کی وښودل شول چی د ستیریس عمومي حالت د نارمل او شیبیر ستیریس په شپږو اجزاوو، څنگه چی په انځور 9-1a کی ښودل شوي مشخص کیږي. په هر صورت، د ستیریس د دی حالت سره ډیری وختونه په انجینری پرکټس کی نه مخامخ کیږي. پرځای یې، ډیری بارونه په عین سطحه (coplanar) کی واقع کیږي، او له همدی امله ستیریس چی جوړیږي هغه په یوه سطحه کی تحلیل کیږي شي. کله چی دا حالت وی، نو ویل کیږي چی مواد د **پلین ستیریس** (plane stress) سره مخامخ شوي.



General state of stress

(a)



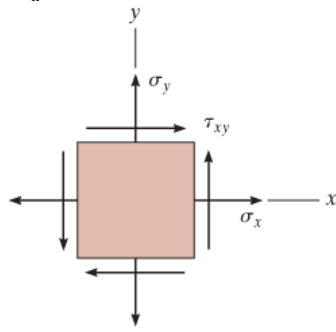
Plane stress

(b)

انځور 9-1

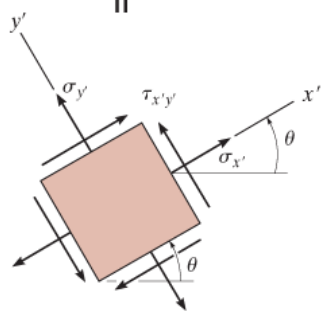
د سطحی ستریس (plane stress) عمومي حالت په یوه نقطه کې، څرنګه چې په شکل 9-1b کې ښودل شوی دی، د ستریس حالت په ترکیب د دوو نارمل ستریس اجزاوو s_x, s_y او یو د شیبیر ستریس t_{xy} جز لخوا ښودل کیږي، او دا یوازې په څلورو مخونو د عنصر عمل کوي. د آسانتیا لپاره، پدې متن کې به مور دا حالت به د $x-y$ په سطحه وګورو، لکه څنګه چې په انځور 9-2a کې ښودل شوي. په هر صورت، پوه شئ چې که دا د ستریس حالت په یو عنصر کې رامینځته شي چې مختلف جهت په زاویه q ولري، لکه څنګه چې په انځور 9-2b کې ښودل شوي، نو دا به د درېو مختلف ستریسو اجزاو تابع وي، s_x, s_y, t_{xy} چې نسبت x', y' محورونو ته اندازه شوی. په بل عبارت، د سطحی ستریس حالت په نقطه کې په ځانګړي ډول استازیتوب یې شوی په دوو نارمل ستریس اجزاوو او یوه د شیبیر ستریس جز چې په یوه عنصر عمل کوي. او ددی لپاره چې معادل وی، دا درې اجزاوی به د هر ځانګړي سمت q د عنصر لپاره په دی تکی کی توپیر ولري.

که چیرې دا درې د ستریس اجزا چې په انځور 9-2a کې په عنصر باندې عمل وکړي، مور به اوس وښیو چې د دوی ارزښتونه به څه وي، کله چې دوی عمل وکړي په یو عنصر چې په انځور 9-2b کې ښودل شوی. دا یو ډولدی چې د دوو قوو اجزاوی F_x او F_y چې د x, y محورونو په لور عمل کوي، او بیا د F_x' او F_y' قواو اجزاوو موندلو لپاره چې د x', y' محورونو په لور عمل کوي، داسی چې د دوي محصله ورته پایله لرونکی قوه جوړه کړي. د قواو بدلون یوازې د قوی د اجزاوو اندازه او جهت محاسبه کوي. اما د ستریس د اجزاو بدلون، له دې څخه ډیر ستونزمن دی ځکه چې باید د هر ستریس شدت او جهت باید محاسبه شي او هم د هغه ساحې لوری چې په هغه عمل کوي په فکر کې ونیول شي.



(a)

||

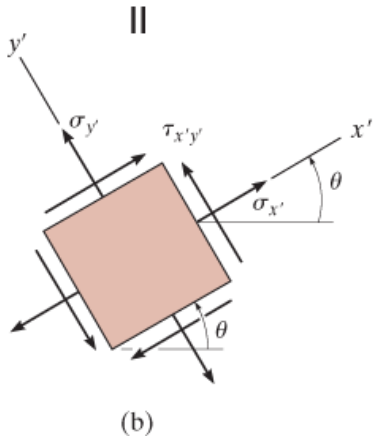
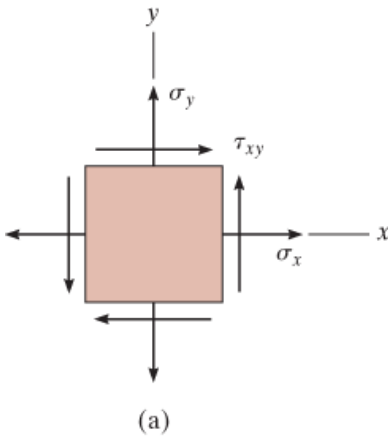


(b)

انځور 9-2

د تحلیل کرنلاره

PROCEDURE FOR ANALYSIS



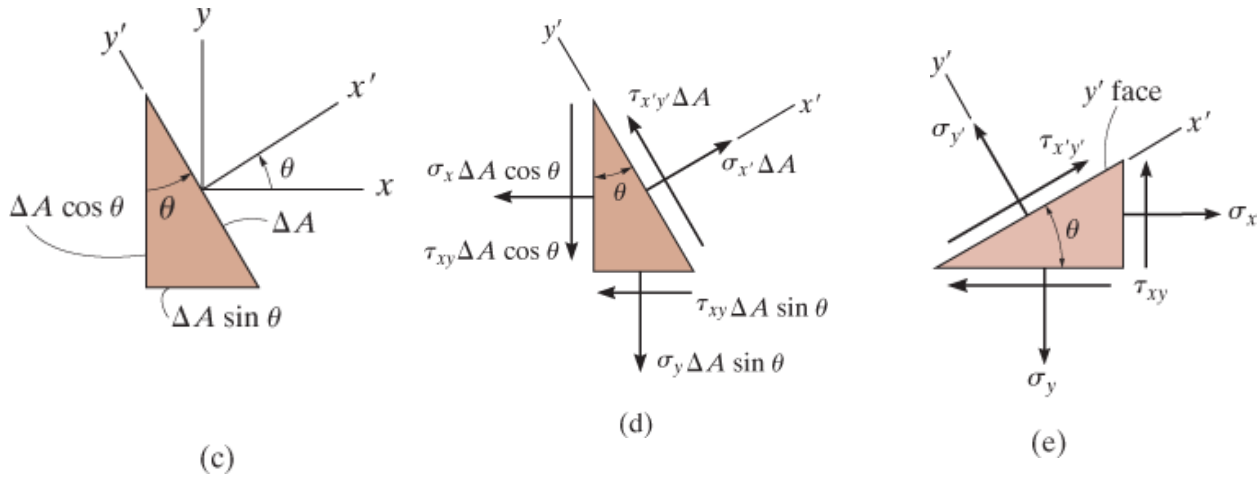
که چیری په یوه نقطه کی د ستریس حالت د یو ټاکل شوی لوري د یو عنصر لپاره پیژندل شوی وی ، انخوړ 9-3a ، نو بیا د ستریس حالت په یو عنصر چی کوم بل جهت یا میلان q ولری ، انخوړ 9-3b ، په دی لاندی طریقہ ټاکل کیدی شي.

- نارمل او شییر ستریس اجزای s_x ، t_{xy} چی په x مخ د عنصر ، انخوړ 9-3b ، عمل کړي ، کیدی شي له یو د خپل خوښی برخی د عنصر انخوړ 9-3a ، څرنگه چی په انخوړ 9-3c کی بنودل شوي ، و ټاکل شي. که د قطع شوی برخی ساحه DA وی نو د برخی نردي سیمی ساحی به $DA \sin q$ او $DA \cos q$ وی.

- د برخی آزاد ډایگرام رسم کړي او قواوي چی په دی برخه باندی عمل کړي و ښيي ، انخوړ 9-3d وگوري . کله چی د ستریس جز په هر مخ چی ضرب د هغه ساحی چی ورباندی پلی شوي ، کړي، دا ټاکل کیدی شي.

- کله چی معادله $\sum F_x = 0$ په آزاد ډایگرام تطبیق کړي، ساحه DA به له هر لور د معادلی له منځه ووزي، او د s_x لپاره به مستقیم حل لاس ته راشي. په ورته ډول $\sum F_y = 0$ به t_{xy} حاصل کړي.

- که چیری غواړو s_y چی په مخ y د عنصر ، انخوړ 9-3b، وټاکو بیا یو په خپل خوښه برخه د عنصر په پام کی نیسو، او دا په انخوړ 9-3e کی بنودل شوي. دلته معادله د $\sum F_y = 0$ په آزاد ډایگرام تطبیق کوو او دا به s_y حاصل کړي.

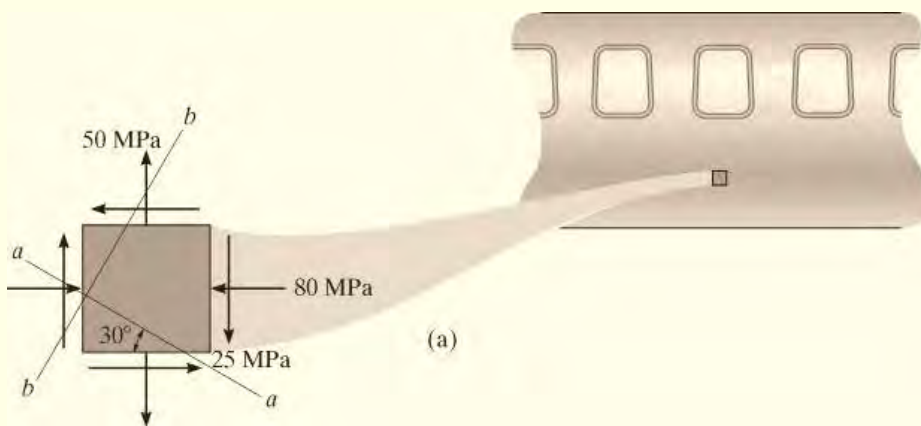


انځور 9-3

مثالونه

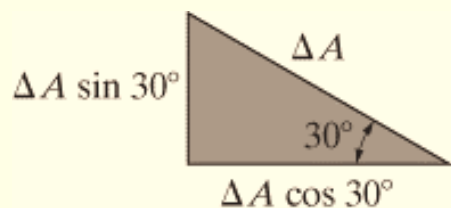
مثال 9.1

د الوتکې د فیزلاج (دالوتکې کبېن) په سطحه، په یو نقطه کې د سطحی سټریس (plane stress) حالت، څنګه چې په یو ه ټوټه لکه چې په انځور 9-4a کې بنودل شوی، تشریح شوي. د سټریس حالت په دی ټکی کې چې 30° د ساعت حرکت په لور زاویه جوړوی وښیي.



حل (SOLUTION)

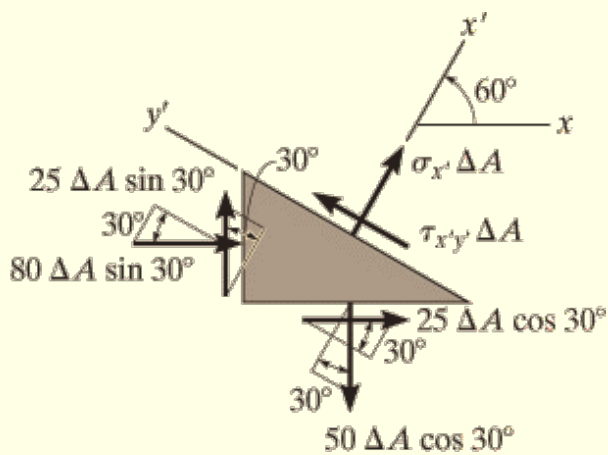
څرخیدلي ټوټه په انځور 9-4d کې ښودل شوي. ددی لپاره چې د سټریس اجزاوی په دی ټوټه وټاکومور به اول د انځور 9-4a عنصر په کرښه $a-a$ قطع کړو. لاندی برخه لری کوو، او فرض کوو چې قطعه شوی (مایل) مخ DA ساحه لري، افقی او عمودي مخو ساحی په انځور 9-4b کې ښودل شوي. ددی برخی آزاد ډایگرام په انځور 9-4c کې ښودل شوي. په یاد ولری چې قطعه شوی x' مخ د وتلی نارمل x محور له خوا تعریف شوي، او y' محور د مخ په اوږدوالی موقعیت لری.



(b)

توازن (Equilibrium)

د قواو توازن معادلی په سمت x' او y' تطبیق کوو، د x او y سمتونه په پام کی نه نیسو. کولای شو چې په مستقیم ډول د $S_{x'}$ او $t_{x'y'}$ حل لاس ته راوړو.



(c)

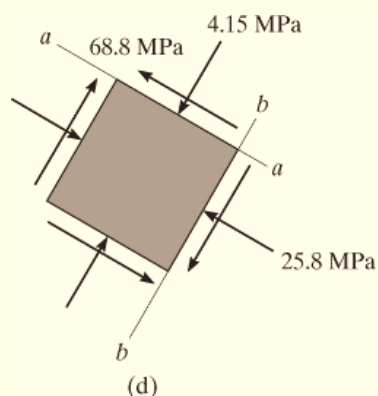
انځور 9-4 (تکرار)

دلته

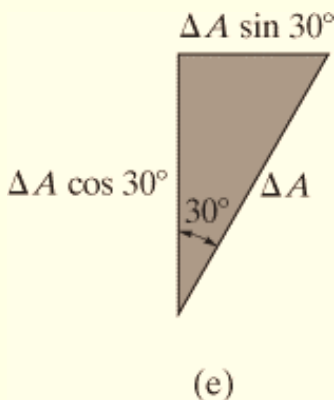
$$\begin{aligned}
 +\nearrow \Sigma F_{x'} &= 0; & \sigma_{x'} \Delta A - (50 \Delta A \cos 30^\circ) \cos 30^\circ \\
 & & + (25 \Delta A \cos 30^\circ) \sin 30^\circ + (80 \Delta A \sin 30^\circ) \sin 30^\circ \\
 & & + (25 \Delta A \sin 30^\circ) \cos 30^\circ = 0 \\
 \sigma_{x'} &= -4.15 \text{ MPa} & \text{Ans.}
 \end{aligned}$$

$$\begin{aligned}
 +\nwarrow \Sigma F_{y'} &= 0; & \tau_{x'y'} \Delta A - (50 \Delta A \cos 30^\circ) \sin 30^\circ \\
 & & - (25 \Delta A \cos 30^\circ) \cos 30^\circ - (80 \Delta A \sin 30^\circ) \cos 30^\circ \\
 & & + (25 \Delta A \sin 30^\circ) \sin 30^\circ = 0 \\
 \tau_{x'y'} &= 68.8 \text{ MPa} & \text{Ans.}
 \end{aligned}$$

وینو چی $\sigma_{x'}$ منفي دی ، په دی معني دا خلاف د هغه سمت چی په انخوړ 9-4c کی بنودل شوي دی. پایلی په پورتنی برخه د عنصر په انخوړ 9-4d کی بنودل شوي دا ځکه چی دا هغه سطحه ده چی په انخوړ 9-4c کی په پام کی نیول شوی ده.



مور اوس د ستړیس ټاکلو لپاره، په عمودی سطحه $b-b$ ورته پروسیجر باید تکرار کړو. د انخوړ 9-4a عنصر په سطحه $b-b$ قطعہ کوواو پایلی په هغه برخه، چی مخونه او ساحی یی په انخوړ 9-4e کی بنودل شوي، لیدل کیږي. د محور x' سمت پورته لور ته ، عمود په قطع شوی مخ بنايو، او آزاد ډایگرام یی په انخوړ 9-4f کی بنودل شوي.

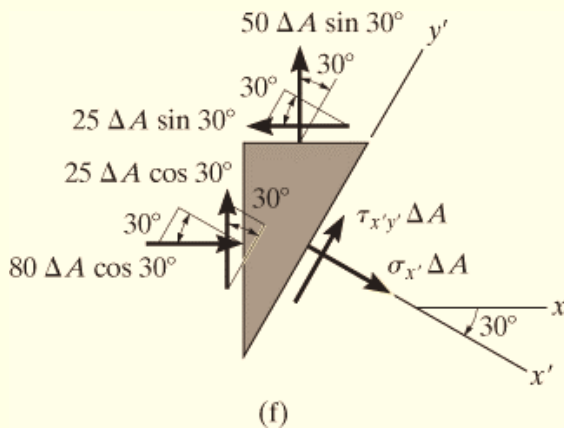


$$\begin{aligned}
 +\searrow \Sigma F_{x'} = 0; \quad & \sigma_{x'} \Delta A - (25 \Delta A \cos 30^\circ) \sin 30^\circ \\
 & + (80 \Delta A \cos 30^\circ) \cos 30^\circ - (25 \Delta A \sin 30^\circ) \cos 30^\circ \\
 & - (50 \Delta A \sin 30^\circ) \sin 30^\circ = 0 \\
 \sigma_{x'} = & -25.8 \text{ MPa} \quad \text{Ans.}
 \end{aligned}$$

$$\begin{aligned}
 +\nearrow \Sigma F_{y'} = 0; \quad & \tau_{x'y'} \Delta A + (25 \Delta A \cos 30^\circ) \cos 30^\circ \\
 & + (80 \Delta A \cos 30^\circ) \sin 30^\circ - (25 \Delta A \sin 30^\circ) \sin 30^\circ \\
 & + (50 \Delta A \sin 30^\circ) \cos 30^\circ = 0 \\
 \tau_{x'y'} = & -68.8 \text{ MPa} \quad \text{Ans.}
 \end{aligned}$$

څرنګه چې دواړه s_x او $t_{x'y'}$ منفي ارزښتونه دي، دوی خلاف د هغه سمت چې په انځور 9-4d کې ښودل شوي عمل کړي. د سټریس اجزاوی په ښي اړخ د عنصر په انځور 9-4f کې ښودل شوي.

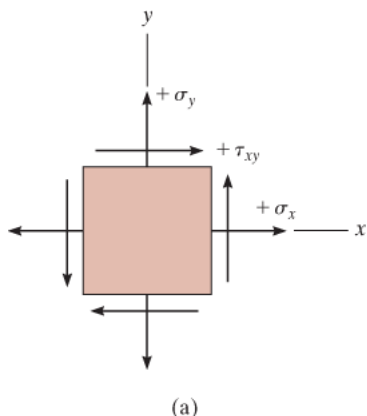
له دې تحلیل موږ ممکن دي پایلې ته ورسېږو چې د سټریس حالت په یوه نقطه کې کیدی شي په اجزاو د سټریس په یو عنصر چې له فیوسلاج (د الوتکې کبین) راجلا شوی او جهت شوي څنګه چې په انځور 9-4a ښودل شوي، او یا په یو عنصر چې جلا شوی او جهت شوی لکه هغه چې په انځور 9-4d کې ښودل شوي. په بل عبارت د سټریس دا حالتونه د یو بل سره معادل دي.



انځور 9-4 تکرار)

9.2 د سطحی ستیریس د بدلون عمومی معادله (GENERAL EQUATION OF PLANE-STRESS TRANSFORMATION)

د نارمل او شیبیر ستیریس اجزاو بدلولو میتود له x ، او y څخه به x' ، y' محورونو، لکه څنګه چې په تیرو برخو کې بحث شوی، په عمومی ډول وده کولی شي او د یوې عمومی د ستیریس-بدلون معادلې په توګه څرګند کیدی شي.



انځور 9-5

د نشاني يا علامی کنوانسیون (Sign Convention) . د دي

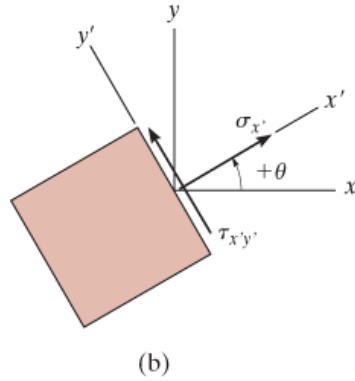
معادلو پلي کولو لپاره مور باید لومړی د ستیریس اجزاو د علامی بنودلو کنوانسیون تاسیس کړو. لکه څنګه چې په انځور 9-5 کې ښودل شوي، $+x$ او $+x'$ محورونه د عنصر په بني مخ کې د بهر لور ته د نارمل تعريف کولو لپاره کارول کيږي، نو ځکه s_x او s_x' مثبت دي کله چې دوی عمل کوي په مثبت x او x' سمت، او t_{xy} او $t_{x'y'}$ مثبت دي کله چې دوی عمل کوي په مثبت y او y' سمتونو.

د مخ لوری چې په هغې باندې د نارمل او شیبیر ستیریس اجزا باید وټاکل شي د q زاویې لخوا تعريف کيږي، کوم چې دی د $+x$ محور څخه $+x'$ محور ته اندازه شوی، انځور 9-5b وګوري. په یاد ولری چې د پرایم (prime) او انپرایم (unprime) محورونه په دې انځور کې دواړه د بنی لاس محوری سیستم جوړه وي. په دی معني چې مثبت z (او یا z') محورونه تل له صفحې بهر سمت ته په ګوته کيږي. زاویه q به مثبت وي کله چې دا د بنی لاس د ګوتو تاو تعقیب کړي، د بیلګې په توګه، د ساعت په مقابل ګرزیدا کی لکه څنګه چې په انځور 9-5b کې ښودل شوي.

نارمل او د شیبیر ستیریس اجزا (Normal and Shear Stress Components)

د دي تاسیس شوی کنوانسیون په کارولو سره د انځور 9-6a عنصر په مایل (inclined) سطحه قطع کوو، او دا جلا شوي برخه په انځور 9-6b کې ښودل شوي. فرض کوو چې ددی جلا شوی

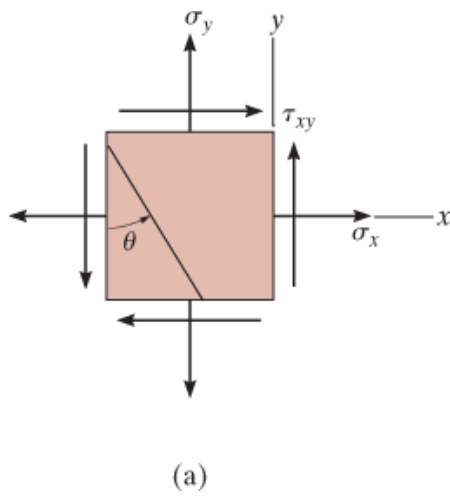
برخی ساحه DA ده، بیا په افقي او عمودي مخونو ددی جلا شوی برخی ساحه په ترتیب سره $DA \sin q$ او $DA \cos q$ وی.



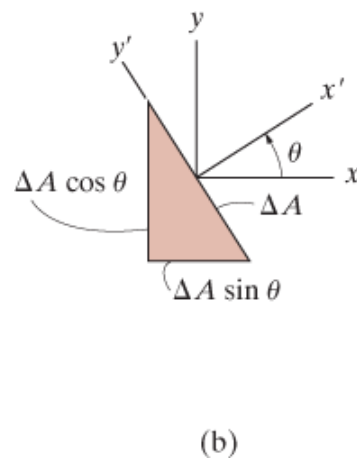
(b)

Positive sign convention

انځور 9-5 (تکرار)



(a)



(b)

انځور 9-6

د برخی په پایله کی آزاد-بدن-دایگرام د برخی په انځور 9-6c کی بنودل شوي. که چیری په محورونو x' او y' د توازن معادلی تطبیق کړو مور په مستقیم ډول حل د s_x' او s_y' په لاس راځي. او مور لرو

$$\begin{aligned}
 +\nearrow \Sigma F_{x'} = 0; & \quad \sigma_{x'} \Delta A - (\tau_{xy} \Delta A \sin \theta) \cos \theta - (\sigma_y \Delta A \sin \theta) \sin \theta \\
 & \quad - (\tau_{xy} \Delta A \cos \theta) \sin \theta - (\sigma_x \Delta A \cos \theta) \cos \theta = 0 \\
 \sigma_{x'} = & \quad \sigma_x \cos^2 \theta + \sigma_y \sin^2 \theta + \tau_{xy} (2 \sin \theta \cos \theta)
 \end{aligned}$$

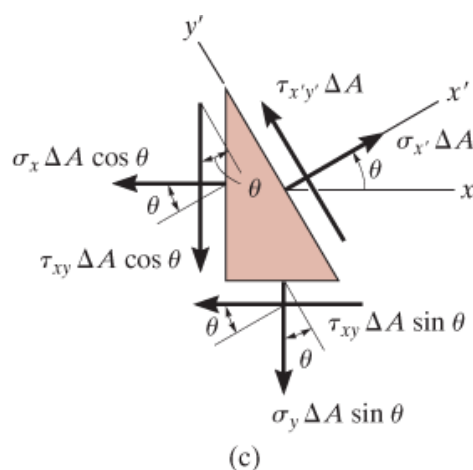
$$\begin{aligned}
 +\nwarrow \Sigma F_{y'} = 0; & \quad \tau_{x'y'} \Delta A + (\tau_{xy} \Delta A \sin \theta) \sin \theta - (\sigma_y \Delta A \sin \theta) \cos \theta \\
 & \quad - (\tau_{xy} \Delta A \cos \theta) \cos \theta + (\sigma_x \Delta A \cos \theta) \sin \theta = 0 \\
 \tau_{x'y'} = & \quad (\sigma_y - \sigma_x) \sin \theta \cos \theta + \tau_{xy} (\cos^2 \theta - \sin^2 \theta)
 \end{aligned}$$

ددی لپاره چی دا معادلی ساده کړو له مثلثاتی عینی قضیو کار اخلو، یعنی

$$\sin 2\theta = 2 \sin \theta \cos \theta, \quad \sin^2 \theta = (1 - \cos 2\theta)/2,$$

او

$$\cos^2 \theta = (1 + \cos 2\theta)/2$$



انځور 9-6 (تکرار)

له همدی امله

$$\sigma_{x'} = \frac{\sigma_x + \sigma_y}{2} + \frac{\sigma_x - \sigma_y}{2} \cos 2\theta + \tau_{xy} \sin 2\theta \quad (9-1)$$

$$\tau_{x'y'} = -\frac{\sigma_x - \sigma_y}{2} \sin 2\theta + \tau_{xy} \cos 2\theta \quad (9-2)$$

د سټریس اجزاوی چی په امتداد د محورنو x' او y' عمل کړي.

که چیری اړتیا وی چی سټریس په y' محور و ټاکل شي، بیا په آسانی سره $q + 90^\circ$ په معادله 9-6d کی د q لپاره x' په q کوی او دا په لاس راکوي

$$\sigma_{y'} = \frac{\sigma_x + \sigma_y}{2} - \frac{\sigma_x - \sigma_y}{2} \cos 2\theta - \tau_{xy} \sin 2\theta \quad (9-3)$$

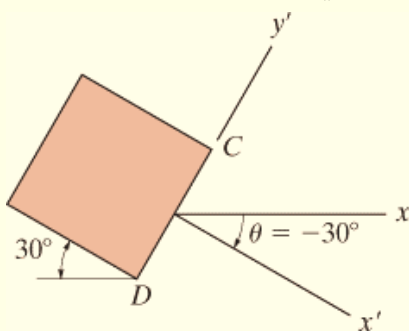
حل (SOLUTION)

دا سوال په مثال 9.1 کې د اصلی اصولو په کارولو سره حل شوی دی. دلته به مور د معادلو 9-1 او 9-2 په کارولو دا حل کړو. د تاسیس شوی علامو کنوانسیون سره، انځور 9-5 دا وینو چی

$$\sigma_x = -80 \text{ MPa} \quad \sigma_y = 50 \text{ MPa} \quad \tau_{xy} = -25 \text{ MPa}$$

سطحه CD . په سطحه CD د ستریس اجزاو پیژندلو لپاره ، انځور 9-7b ، مثبت x' محور باید بهر لور ته، عمود په سطحه CD وی، او مربوطه y' محور به د CD سره په اوږدو وی.

زاویه له x د x' محور په لور عبارت دی په $\theta = -30^\circ$ (ساعت په لور). معادلی 9-1 او 9-2 تطبیق کوو او دا لاندی پایلی په لاس راځی



(b)

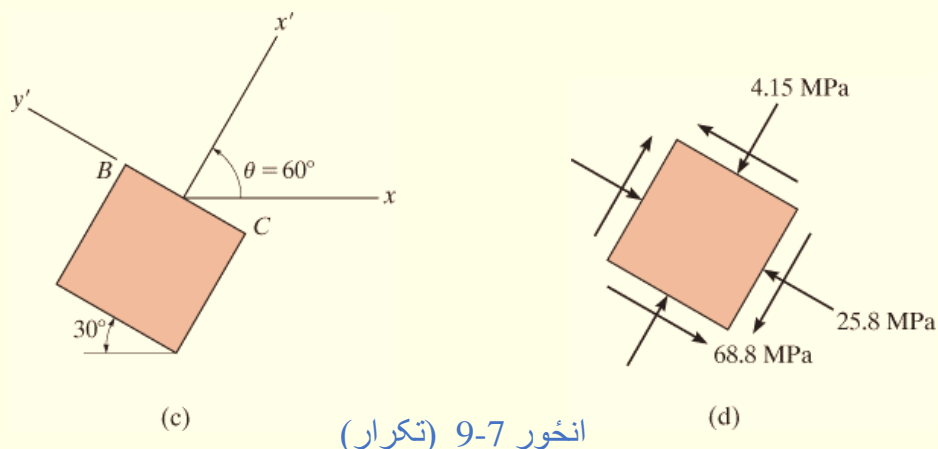
انځور 9-7 (تکرار)

$$\begin{aligned} \sigma_{x'} &= \frac{\sigma_x + \sigma_y}{2} + \frac{\sigma_x - \sigma_y}{2} \cos 2\theta + \tau_{xy} \sin 2\theta \\ &= \frac{-80 + 50}{2} + \frac{-80 - 50}{2} \cos 2(-30^\circ) + (-25) \sin 2(-30^\circ) \\ &= -25.8 \text{ MPa} \end{aligned}$$

Ans.

$$\begin{aligned} \tau_{x'y'} &= -\frac{\sigma_x - \sigma_y}{2} \sin 2\theta + \tau_{xy} \cos 2\theta \\ &= -\frac{-80 - 50}{2} \sin 2(-30^\circ) + (-25) \cos 2(-30^\circ) \\ &= -68.8 \text{ MPa} \end{aligned}$$

Ans.



سطحه BC .

انخور 9-7c ، د محور x' سمت له سطحی BC بهر لور ته ټاکو، بیا د x او x' محورونوپه منځ کی $q = 60^\circ$ (د ساعت خلاف جهت). له 9-1 او 9-2 معادلو څخه مور لرو:

$$\sigma_{x'} = \frac{-80 + 50}{2} + \frac{-80 - 50}{2} \cos 2(60^\circ) + (-25) \sin 2(60^\circ)$$

$$= -4.15 \text{ MPa} \quad \text{Ans.}$$

$$\tau_{x'y'} = -\frac{-80 - 50}{2} \sin 2(60^\circ) + (-25) \cos 2(60^\circ)$$

$$= 68.8 \text{ MPa} \quad \text{Ans.}$$

دلته $t_{x'y'}$ د چک کولو لپاره دوه ځل محاسبه شوي. منفي علامه د s_x په دی معنی چی ستیریس د منفي جهت د x' جهته دی ، انخور 9-7c ووینی. پایلی په انخور 9-7d په عنصر سره بنودل شوي.

* په بدیل سره مور کولای شو چی معادله 9-3 تطبیق کرو $q = -30^\circ$ په خای د معادله 9-1 .

9.3 مهم (اصلی) سٹریسونه او په - داخلی سطحه کی اعظمی شییر

سٹریس

(PRINCIPAL STRESSES AND MAXIMUM IN-PLANE SHEAR STRESS)

څرنګه چې σ_x , σ_y , τ_{xy} ټول ثابت دی، له معادلو 9-1 او 9-2 داسی لیدل کیږي چې اندازه د $\sigma_{x'}$ او $\tau_{x'y'}$ یوازې د هغی سطحی په زاویه q پوری اړه لري، کوم چې سٹریس ورباندی عمل کړی. د انجینری په پراکتس کی مهمه ده چې هغه سمت و موندل شي چې نارمل سٹریس ورباندی اعظمی وی، او هغه سمت چې شییر سٹریس ورباندی اعظمی وی. مورن به دا قضیې اوس و څیرو.

په داخل - سطحه کی اصلی سٹریسونه (In-Plane Principal Stresses).

د اعظمی او کوچنی نارمل سٹریس ټاکلو لپاره مورن 9-1 معادلی مشتق (differentiate) نظر زاویه q ته نیسو او پایلی مساوی په صفر کوو. دا راکوي

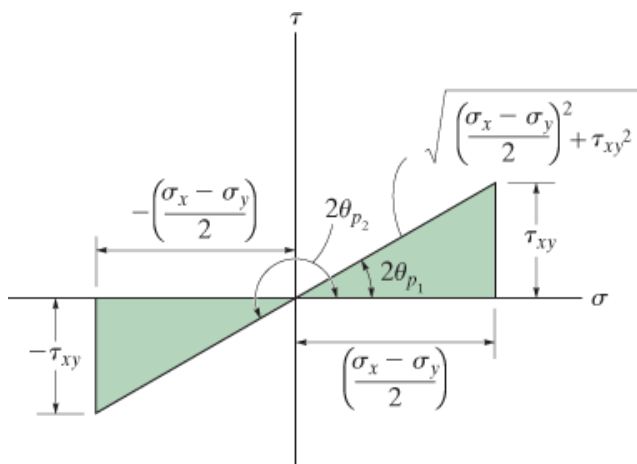
$$\frac{d\sigma_{x'}}{d\theta} = -\frac{\sigma_x - \sigma_y}{2}(2 \sin 2\theta) + 2\tau_{xy} \cos 2\theta = 0$$

دا حل کوو، او د اعظمی او کوچنی نارمل سٹریس سطحی سمت د $q = q_p$ په لاس راکوي

$$\tan 2\theta_p = \frac{\tau_{xy}}{(\sigma_x - \sigma_y)/2} \quad (9-4)$$

د اصلی سطحو سمت

حل دوه ځوابه (roots) لری، q_{p1} او q_{p2} . په ځانګړی توګه د $2q_{p1}$ او $2q_{p2}$ اړبنتونه له یوبل 180° فاصله لري، په دی معنی چې q_{p1} او q_{p2} له یوبل 90° واټن لري.



انځور 9-8



ددی کانکریتی بیم درزونو لامل کششی ستیریس دی، که څه هم په بیم کی داخلی مؤمنت او شییر دواړه منځ ته راغلي. کیدی شی چی د ستیریس بدلون له معادلو، د درزونو د سمت او هغه اصلی نارمل ستیریونه چی د دی درزونو لامل شوی وړاندوینی له پاره وکارول شی.

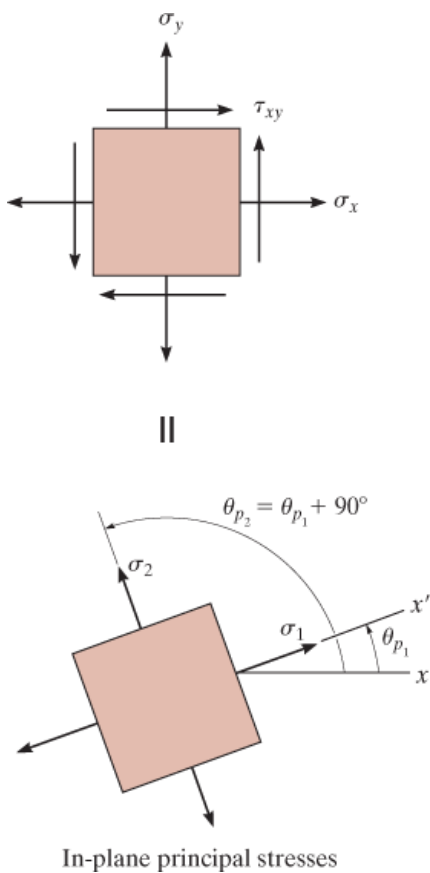
د اعظمی او لږ تر لږ نارمل سترس تر لاسه کولو لپاره د زاویې په معادله 9-1 کی اچول کیږی. دلته هغه اړین ساین او کوساین د $2q_{p1}$ او $2q_{p2}$ له هغه سیوری شوی مثلثونو چی د معادلی 9-4 په بنسټ جوړ او په انځور 9-8 کی بنودل شوي پیدا کړو، دلته فرض شوی وه چی t_{xy} او $(S_x - S_y)$ دواړه مثبت یا منفي مقدارونه دی.

کله چی دا تطبیق شوی، او وروسته له ساده کولو موږ دوه حله S_1 او S_2 لاس ته راوړو، هغه عبارت دی په

$$\sigma_{1,2} = \frac{\sigma_x + \sigma_y}{2} \pm \sqrt{\left(\frac{\sigma_x - \sigma_y}{2}\right)^2 + \tau_{xy}^2}$$

اصلي سٽريسونه
(9-5)

دا دوه ارزښتونه کوم چي $S_1 = > S_2$ ، په نامه د سطحی داخل **اصلي** - **سٽريسونو** (principal stresses) په نامه يادول کيږي، او هغه سطحی چي دوی ورباندی عمل کيږي په نامه د سٽريسو **اصلي** - **سطحي** (principal planes) ياديږي، انځور 9-9 و گوري. که چيري مثلثاتي اړيکی د q_{p1} او q_{p2} په معادله 9-2 کي ځای په ځای کړو دا به وليدل شي چي $t_{x'y'} = 0$ دی ، په بل عبارت په **اصلي سطحه شپير سٽريس عمل نکړي**، انځور 9-9 ووينی.



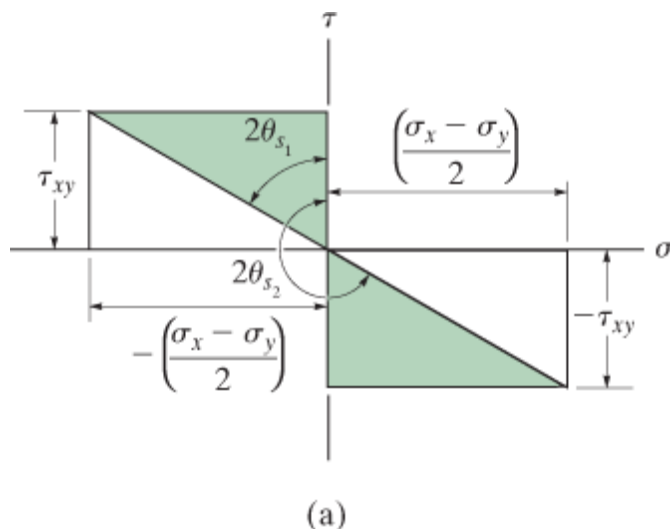
انځور 9-9

اعظمي شپير سٽريس په داخلي سطحه کي (Maximum In-Plane Shear Stress)

د ټوټي هغه سمت چي اعظمي شپير سٽريس ورباندي عمل کړي په مشتق (derivative) نيولو د معادلي 9-2 نظر زاويه q ته او پايلي مساوي په صفر کړل شي. دا راکوي

$$\tan 2\theta_s = \frac{-(\sigma_x - \sigma_y)/2}{\tau_{xy}} \quad (9-6)$$

د اعظمي شپير سٽريس جهت په سطحه



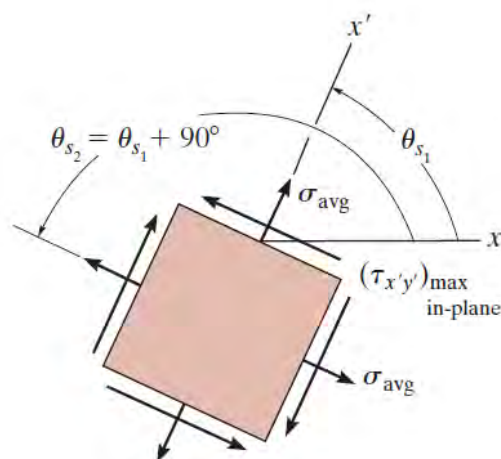
ددی معادلی دوه حله q_{s1} او q_{s2} کیدي شي چي له سيوري شوی مثلثونو چي په انځور 9-10a کي ښودل شوي. څرنگه چي تانجانټ ($\tan 2q_s$) معادله 9-6 منفي معکوس (reciprocal) د $\tan 2q_p$ ، معادله 9-4 ، نو بيا هر حل $2q_s$ عبارت دی په 90° ، او حل q_s او q_p عبارت دی په 45° . له همدې امله

هغه عنصر چي اعظمي شپير سٽريس ورباندي عمل کړي سمت يي بايد 45° له هغه حالت د عنصر چي اصلي سٽريس (principal stress) ورباندي عمل کړي ، موقعيت لري.

که چيري مثلثاتي ارزښتونو د $\sin 2q_s$ او $\cos 2q_s$ له معادلي 9-10 معلوم ، او بيا هغوي په معادله 9-2 کي ځای په ځای شي ، اعظمي شپير سٽريس ټاکل کیدی شي. پايلي عبارت دی:

$$\tau_{\max \text{ in-plane}} = \sqrt{\left(\frac{\sigma_x - \sigma_y}{2}\right)^2 + \tau_{xy}^2} \quad (9-7)$$

اعظمي شپير سٽريس په سطحه



په سطحه اعظمي شيبير سنٽريس

انځور 9-10

دلته $t_{\max \text{ in-plane}}$ تر ټولو لوړ شيبير سنٽريس په سطحه کي معرفي شوي، او د امله دی چي د عنصر په $x-y$ سطحه عمل کړي.

په نهايت کي، کله چي ارزښتونه د $\sin 2q_s$ او $\cos 2q_s$ په معادله 9-1 کي ځاي په ځاتي شي، مور وينو چي هلته يو اوسط نارمل سنٽريس د اعظمي شير سنٽريس په سطحه (in-plane shear) شتون لري. هغه دی

$$\sigma_{\text{avg}} = \frac{\sigma_x + \sigma_y}{2} \quad (9-8)$$

د عددي حالتونو لپاره وړانديز کيږي چي معادلي 9-1 تر 9-8 په يوه پاکتي کلکو لپټرکي پرگرام کړي.

مهم ٽڪي

(IMPORTANT POINTS)

- اصلي سٽريسونه استازيتوب د اعظمي او لڙ تر لڙ نارمل سٽريس په يوه نقطه کي کوي.
- که چيري په يوه عنصر کي حالت د سٽريس، اصلي سٽريس (principal stress) وي، بيا هلته شپير سٽريس شتون نلري.
- د سٽريس حالت په يوه نقطه کي کيدي شي چي اعظمي شپير سٽريس په سطحه و ښودل شي. په دي حالت کي اوسط نارمل سٽريس هم په دي عنصر عمل کري.
- هغه عنصر چي استازيتوب د اعظمي شپير سٽريس او اړوند اوسط نارمل سٽريس په سطحه استازيتوب کوي سمت يي 45^0 له هغه عنصر چي اصلي سٽريسونه ورباندي عمل کري موقعيت لري.

مثالونه

مثال 9.3

مخ کي لږي چي يو شافت مات شي د سٽريس حالت په يوه نقطه کي په انځور 9-11a کي ښودل شوي. د سٽريس حالت په اصلي سٽريس و ښايي.



انځور 9-11

حل (SOLUTION)

د مثل شوی علامی کنوانسیون له مخی مور لرو

$$\sigma_x = -20 \text{ MPa} \quad \sigma_y = 90 \text{ MPa} \quad \tau_{xy} = 60 \text{ MPa}$$

د عنصر سمت (Orientation of Element).

معادله 9-4 تطبیق کوو

$$\tan 2\theta_p = \frac{\tau_{xy}}{(\sigma_x - \sigma_y)/2} = \frac{60}{(-20 - 90)/2}$$

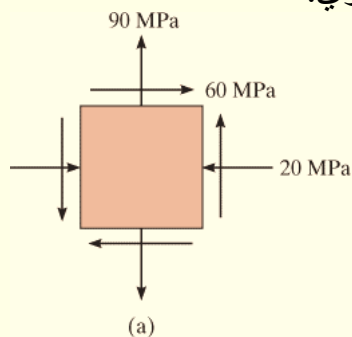
دا معادله حل کوو، او لمړی زاویه q_{p2} په توگه مور لرو

$$2\theta_{p2} = -47.49^\circ \quad \theta_{p2} = -23.7^\circ$$

څرنگه چی توپیر تر منځ د $2q_{p1}$ او $2q_{p2}$ عبارت دی په 180° ، دومه زاویه عبارت دی په

$$2\theta_{p1} = 180^\circ + 2\theta_{p2} = 132.51^\circ \quad \theta_{p1} = 66.3^\circ$$

په دواړو حالتونو کی q باید خلاف د ساعت (*counterclockwise*) له محور x چی بهر ته وتلی نارمل (x محور) د عنصر په مخ، او عنصر چی اصلي ستریسونه بنایي سمت به یی داسی وی لکه چی په انځور 9-11b کی ښودل شوی.



انځور 9-11 (تکرار)

اصلي ستريس (Principal Stress). مور لرو

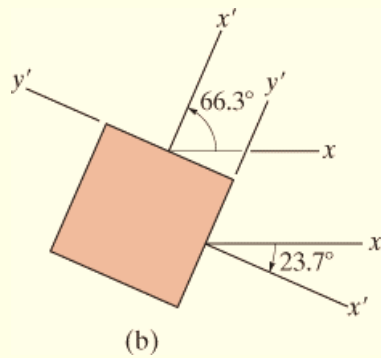
$$\begin{aligned}\sigma_{1,2} &= \frac{\sigma_x + \sigma_y}{2} \pm \sqrt{\left(\frac{\sigma_x - \sigma_y}{2}\right)^2 + \tau_{xy}^2} \\ &= \frac{-20 + 90}{2} \pm \sqrt{\left(\frac{-20 - 90}{2}\right)^2 + (60)^2} \\ &= 35.0 \pm 81.4\end{aligned}$$

$$\sigma_1 = 116 \text{ MPa}$$

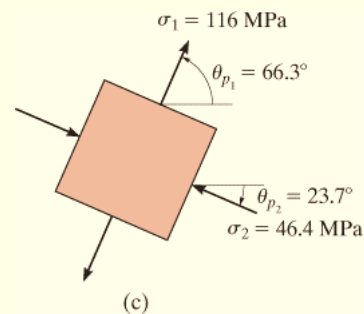
Ans.

$$\sigma_2 = -46.4 \text{ MPa}$$

Ans.



(b)



(c)

انځور 9-11 (تکرار)

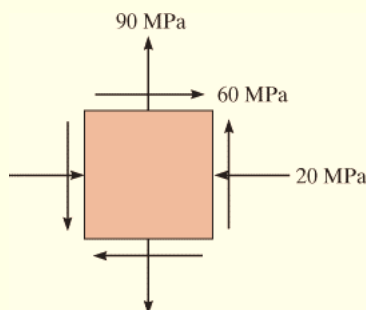
اصلي سطح چي نارمل ستريس ورباندي عمل کړي په تطبيق د معادلي 9-1 ټاکل کیدی شي، وایو
 $q = q_{p2} = -23.70$. مور لرو.

$$\begin{aligned}\sigma_{x'} &= \frac{\sigma_x + \sigma_y}{2} + \frac{\sigma_x - \sigma_y}{2} \cos 2\theta + \tau_{xy} \sin 2\theta \\ &= \frac{-20 + 90}{2} + \frac{-20 - 90}{2} \cos 2(-23.7^\circ) + 60 \sin 2(-23.7^\circ) \\ &= -46.4 \text{ MPa}\end{aligned}$$

په دی توگه ، $s_2 = -46.4 \text{ MPa}$ ، عمل کړی په سطحه چی تعریف کیري په $q_{p2} = -23.7^0$ ، کوم چی ، او $s_1 = 116 \text{ MPa}$ عمل کړي په تعریف شوی سطحه $q_{p1} = 66.3^0$ ، انځور 9-11c. په یاد ولري چی شییر ستریس په دی عنصر عمل نکړي.

مثال 9.4

د ستریس حالت په یوه نقطه د یو جسم په عنصر، په انځور 9-12a کی بنودل شوي. دا حالت د ستریس د سطحی په اعظمی شییر او اړوند اوسط نارمل ستریس وښيي.



(a)

حل (SOLUTION)

انځور 9-12

د عنصر سمت (Orientation of Element).

څنگه چی $s_x = -20 \text{ MPa}$, $s_y = 90 \text{ MPa}$ او $t_{xy} = 60 \text{ MPa}$ ، معادله 9-6 تطبیق کړي. دو زاویي عبارت دی په:

$$\tan 2\theta_s = \frac{-(\sigma_x - \sigma_y)/2}{\tau_{xy}} = \frac{-(-20 - 90)/2}{60}$$

$$2\theta_{s_2} = 42.5^\circ$$

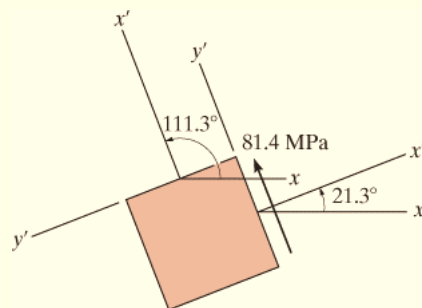
$$\theta_{s_2} = 21.3^\circ$$

$$2\theta_{s_1} = 180^\circ + 2\theta_{s_2}$$

$$\theta_{s_1} = 111.3^\circ$$

په یاد ولري چې څنگه دا زاويي تر مينځ د x او x' را مينځته کيږي، انځور 9-12b. دا په 45° د ستريس له اصلي سطحو څنگه چې په مثال 9.3 کې پيدا شوي، موقعيت لري.

اعظمی شير ستريس په سطحه کې (Maximum In-Plane Shear Stress).



(b)

انځور 9-12 (تکرار)

$$\tau_{\text{max in-plane}} = \sqrt{\left(\frac{\sigma_x - \sigma_y}{2}\right)^2 + \tau_{xy}^2} = \sqrt{\left(\frac{-20 - 90}{2}\right)^2 + (60)^2}$$

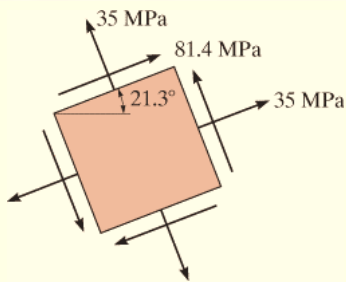
$$= \pm 81.4 \text{ MPa} \quad \text{Ans.}$$

د $t_{\text{max in-plane}}$ پيدا کولو، چې په عنصر وټاکل شي، سمه لار دا ده چې $q = q_{s2} = 21.3^\circ$ په معادله 9-2 کې تطبيق شي. مور لرو

$$\tau_{x'y'} = -\left(\frac{\sigma_x - \sigma_y}{2}\right) \sin 2\theta + \tau_{xy} \cos 2\theta$$

$$= -\left(\frac{-20 - 90}{2}\right) \sin 2(21.3^\circ) + 60 \cos 2(21.3^\circ)$$

$$= 81.4 \text{ MPa}$$



(c)

انځور 9-12 (ادامه)

دا مثبت پایلي په گوته کوي چی $t_{\max \text{ in-plane}}$ عمل کړي په مثبت y مخ ($q = 21.3^0$) ، انځور 9-12b وگوري. دا شپير ستريس په نورو دريو مخونو په انځور 9-12c کی بنودل شوي.

اوسط نارمل ستريس (Average Normal Stress).

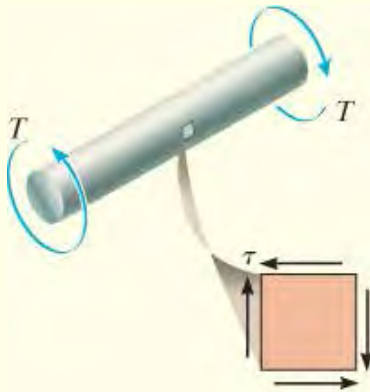
سربيره په اعظمی شپير ستريس په عنصر اوسط نارمل ستريس هم عمل کړی او هغه د معادلی 9-8 په تطبیق سره ټاکلی شو، هغه دی

$$\sigma_{\text{avg}} = \frac{\sigma_x + \sigma_y}{2} = \frac{-20 + 90}{2} = 35 \text{ MPa} \quad \text{Ans.}$$

دا کششی ستريس دی. پایلي په انځور 9-12c کی بنودل شوي.

مثال 9.5

کله چی تورژن (T torsion load) په یوه میله پلي شي، انځور 9-13a، دا په موادو کی خالص شیبیر (pure shear) را منځ ته کوي. معلوم کړي (a) اعظمی شیبیر ستریس په سطحه او اړونده اوسط نارمل ستریس، (b) اصلی ستریس.



(a)

انځور 9-13

حل (SOLUTION)

له تاسیس شوی علامی کنوانسیون له مخی داسی لیکلی شو

$$\sigma_x = 0 \quad \sigma_y = 0 \quad \tau_{xy} = -\tau$$

په- سطحه اعظمی شیبیر ستریس (Maximum In-Plane Shear Stress).

معادلي 9-7 او 9-8 تطبیق کوو، مور لرو

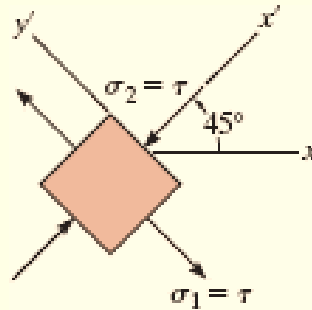
$$\tau_{\max \text{ in-plane}} = \sqrt{\left(\frac{\sigma_x - \sigma_y}{2}\right)^2 + \tau_{xy}^2} = \sqrt{(0)^2 + (-\tau)^2} = \pm \tau \quad \text{Ans.}$$

$$\sigma_{\text{avg}} = \frac{\sigma_x + \sigma_y}{2} = \frac{0 + 0}{2} = 0 \quad \text{Ans.}$$



په دی توگه، لکه څنګه چې تمه کیده په سطحه اعظمی شیبیر ستریس په عنصر ، په انځور 9-13a کی بنودل شوی

نوټ . له تجربو دا بنودل شوي هغه مواد چې نرم (ductile) دی د شیبیر ستریس له امله ماتیري. که چیری د انځور 9-13a میله له نرم فولادو (mild steel) جوړه شوی وی ، اعظمی په سطحه شیبیر ستریس به لامل ددی کیری چی میله لکه څنګه چی بنودل شوی مات شي.



(b)

انځور 9-13 (ادامه)

اصلي ستریس (Principal Stress).

د معادلي 9-4 او 9-5 تطبیق نه دا لاندی راګوي

$$\tan 2\theta_p = \frac{\tau_{xy}}{(\sigma_x - \sigma_y)/2} = \frac{-\tau}{(0 - 0)/2}, \theta_{p_2} = 45^\circ, \theta_{p_1} = -45^\circ$$

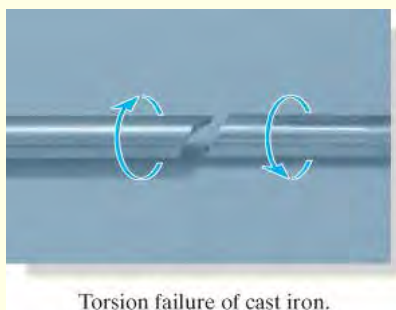
$$\sigma_{1,2} = \frac{\sigma_x + \sigma_y}{2} \pm \sqrt{\left(\frac{\sigma_x - \sigma_y}{2}\right)^2 + \tau_{xy}^2} = 0 \pm \sqrt{(0)^2 + \tau^2} = \pm \tau \text{ Ans.}$$

که مور اوس معادله 9-1 د $\theta = 45^\circ$ تطبيق کړو ، نو بيا

$$\begin{aligned}\sigma_{x'} &= \frac{\sigma_x + \sigma_y}{2} + \frac{\sigma_x - \sigma_y}{2} \cos 2\theta + \tau_{xy} \sin 2\theta \\ &= 0 + 0 + (-\tau) \sin 90^\circ = -\tau\end{aligned}$$

په دې توگه ، $s_2 = -t$ عمل کړی په $\theta = 45^\circ$ لکه څنګه چې په انځور 9-13b ښودل شوي، او $s_1 = t$ عمل کړی په بل مخ $\theta = -45^\circ$.

نوټ. هغه مواد چې ماتيدونکي (brittle) دي دنارمل سترييس له امله خرابيږي. له همدې امله که چيري د انځور 9-13a ميله له کاست و سپني (cast iron) جوړه شوی وی دا به په کشش کې په 45° ميلان لکه څنګه چې په لاندې عکس کې ښودل شوی ماته شي.

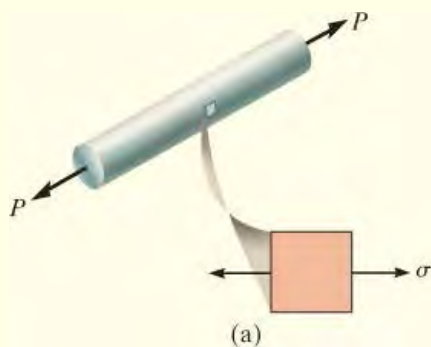


Torsion failure of cast iron.

مثال 9.6

کله چې محوری بار په د لاندې انځور 9-14a کې ښودل شوی ميله باندې پلي شي، يو کششي سترييس په موادو کې منځ ته راځي. معلوم کړی (a) اصلی سترييس او (b) اعظمی شپير سترييس په سطحه او اړوند اوسط نارمل سترييس.

حل (SOLUTION)



انځور 9-14 (a)

له تاسيس شوی کنوانسیون دعلامی لپاره داسی لیکلی شو

$$\sigma_x = \sigma \quad \sigma_y = 0 \quad \tau_{xy} = 0$$

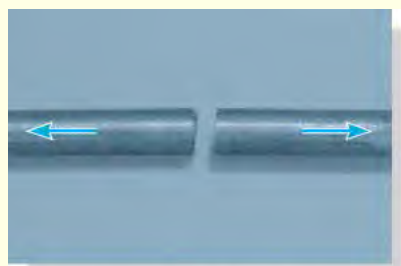
اصلی ستیریس (Principal Stress).

په لیدو د بنودل شوی جهت دعنصر ، انځور 9-14a ، څرنگه چی اصلی ستیریس حالت څرگندوي کوم چی شییر ستیریس په دی عنصر عمل نه دي کړي. دا د مستقیم بدیل لخوا ، کله چی پورتنی ارزښتونه په معادلو 9-4 او 9-5 کی تطبیق شي، بنودل کیدی شي. په دی توگه،

$$\sigma_1 = \sigma \quad \sigma_2 = 0$$

Ans.

نوټ. ماتیدونکی مواد (brittle materials) د نارمل ستیریس له امله ماتیري، له همدی امله کی د انځور 9-14a میله له کست اوسپنی څخه جوړه شوی وی هغه به لکه څنگه چي په لاندی عکس کی بنودل شوی مات شي.



Axial failure of cast iron.

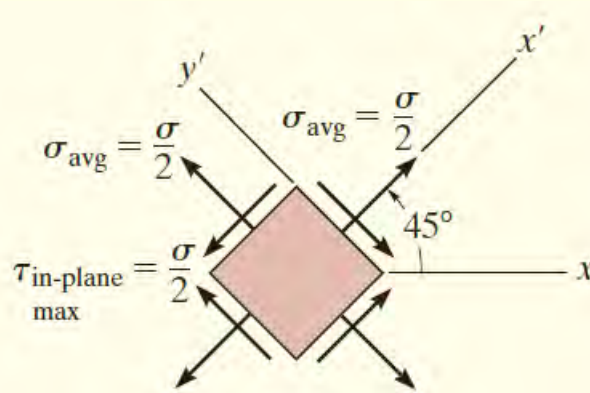
اعظمی شییر سٹریس په- سطحه کی (Maximum In-Plane Shear Stress).

معادلي 9-6, 9-7 او 9-8 تطبيق کوو او مور لرو

$$\tan 2\theta_s = \frac{-(\sigma_x - \sigma_y)/2}{\tau_{xy}} = \frac{-(\sigma - 0)/2}{0}; \theta_{s_1} = 45^\circ, \theta_{s_2} = -45^\circ$$

$$\tau_{\text{in-plane}}^{\text{max}} = \sqrt{\left(\frac{\sigma_x - \sigma_y}{2}\right)^2 + \tau_{xy}^2} = \sqrt{\left(\frac{\sigma - 0}{2}\right)^2 + (0)^2} = \pm \frac{\sigma}{2} \quad \text{Ans.}$$

$$\sigma_{\text{avg}} = \frac{\sigma_x + \sigma_y}{2} = \frac{\sigma + 0}{2} = \frac{\sigma}{2} \quad \text{Ans.}$$



(b)

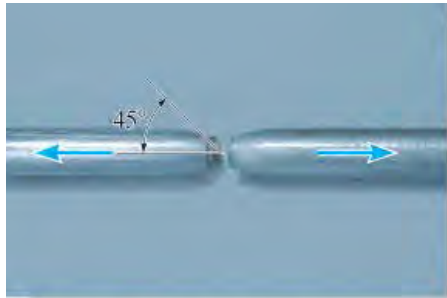
انخور 9-14 (تكرار)

د عنصر مناسب لوري ټاكلو لپاره معادلو 9-2 تطبيق کوو.

$$\tau_{x'y'} = -\frac{\sigma_x - \sigma_y}{2} \sin 2\theta + \tau_{xy} \cos 2\theta = -\frac{\sigma - 0}{2} \sin 90^\circ + 0 = -\frac{\sigma}{2}$$

دا منفی شییر سٹریس په x' مخ عمل کړي د منفی y' په سمت، لکه څنگه چی په انخور 9-14b کی بنودل شوي.

نوټ. که چیری د انځور 9-14a میله له نرم موادو (ductile material) لکه نرم فولاد جوړ شوي، بیا شییر ستریس لامل د ماتیدو کیږي. دا په دی لاندی عکس کی لیدل کیږي، چیری چی په ساحه د غاړه کیدو (necking) کی، شییر ستریس لامل د بنویدو (slipping) د فولادو په کرسټالین سرحدو (crystalline boundaries) چی په یو سطحه یی ماتیدل رامنځ ته کړي، لیدل کیږي. او یو مخروط (cone) یی جوړکړي چی نږدې 45^0 جهت لري، لکه څنگه چی پورته محاسبه شوي.

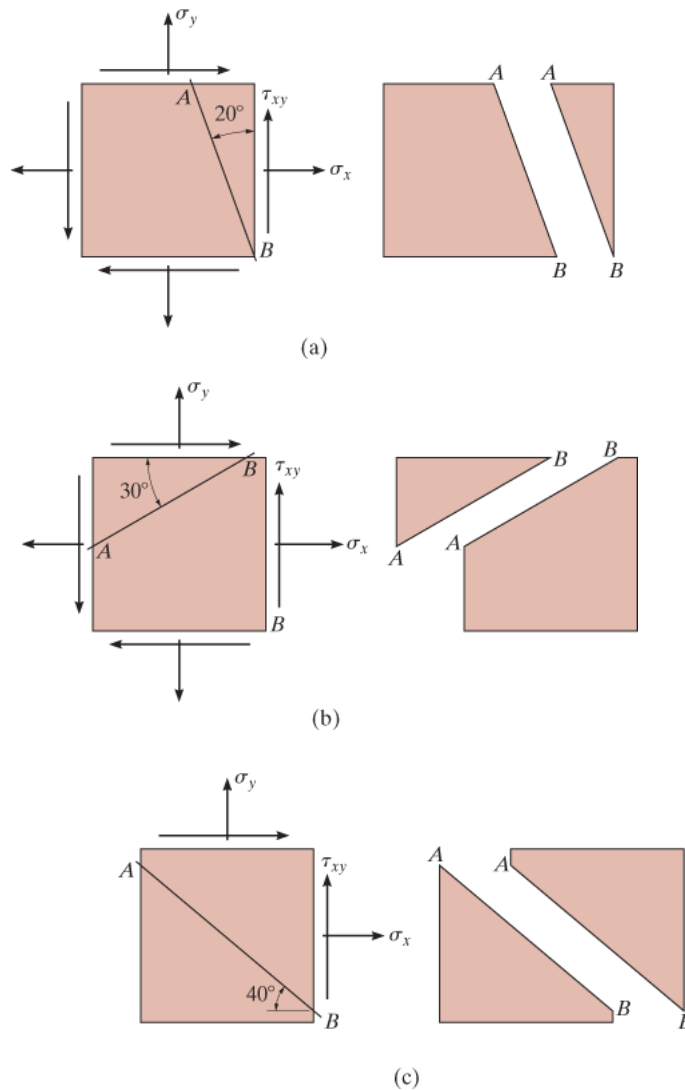


Axial failure of mild steel.

لمرني سوالونه

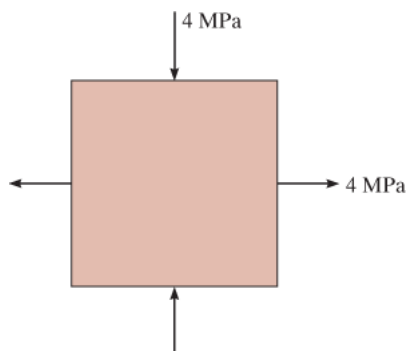
PROCEDURE FOR ANALYSIS

ل 9-1. په هره قضيه كې د ستريس حالت s_x, s_y, t_{xy} نارمل او شپير ستريس په سطحه AB جوړه وي. كله چې د ستريس بدلون له معادلو كار واخيستل شي د ستريس ارزښتونه عبارت كيږي په $s_{x'} = -5 \text{ kPa}$ او $t_{x'y'} = -8 \text{ kPa}$. د x' او y' محورونه د هري قضوي لپاره تاسيس كړي او زاويه q و ټاكي، بيا پايلي چې په هر برخه عمل كړي و بنښي.



ل 9-1

ل 9-2. د ستريس حالت د عنصر په دی لاندې ډول بنودل شوي. د s_{avg} او $t_{max \text{ in-plane}}$ و ټاکي او پایلي د عنصر په سمت په سمه توگه وښايي.

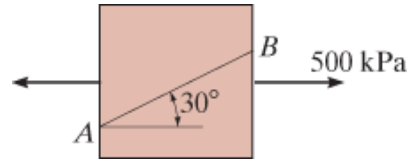


ل 9-2

بنسټيز سوالونه

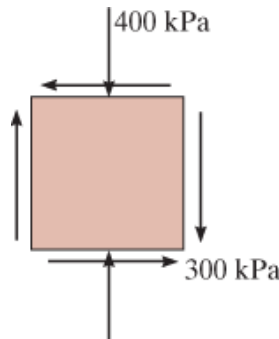
FUNDAMENTAL PROBLEMS

ب 9-1. په سطحه AB نارمل سټریس او شپیر سټریس وټاکي. پایلی په غوڅ شوی برخه د عنصر سکیچ کړي.



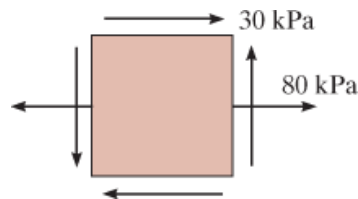
ب 9-1

ب 9-2. په یو عنصر معادل حالت د سټریس په ورته نقطه کی چی لاندی بنودل شوی کله چی عنصر په 45° د ساعت لور سمت لری مشخص کړي.



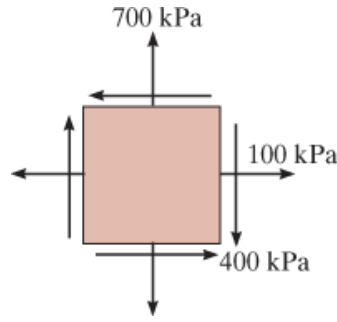
ب 9-2

ب 9-3. په یو عنصر معادل حالت د سټریس په ورته نقطه کی چی استازیتویب د اصلی سټریسونو په دی نقطه کی کوي. او هم سمت د هغه عنصر نظر دی لاندی بنودل شوي عنصر ته معلوم کړي.



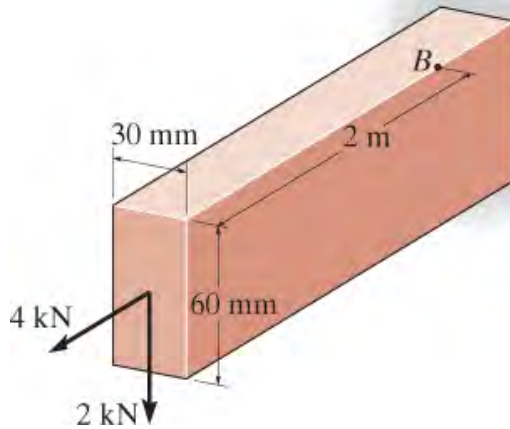
ب 9-3

ب 9-4. په يو عنصر معادل حالت د سټريس په ورته نقطه کې چې استازيتويب د اعظمي شپير سټريس په سطحه په دې نقطه کې کوي.



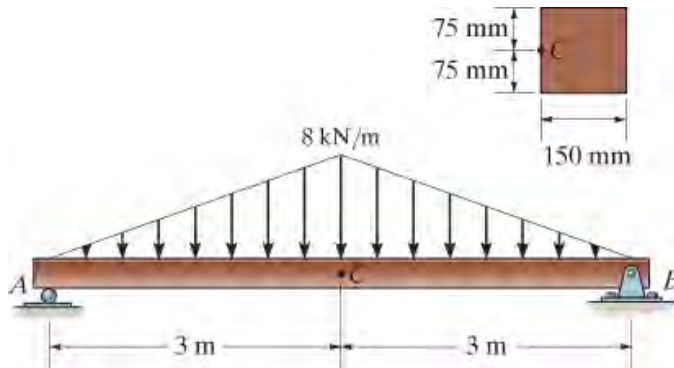
ب 9-4

ب 9-5. په دې لاندې بيم بنودل شوی بار په پای کې پلي شوي. اعظمي اصلي سټريس په ټکي B کې وټاکي.



ب 9-5

ب 9-6. په دې لاندې بيم بنودل شوی بار ورباندې پلي شوي. اصلي سټريس په ټکي C کې وټاکي.



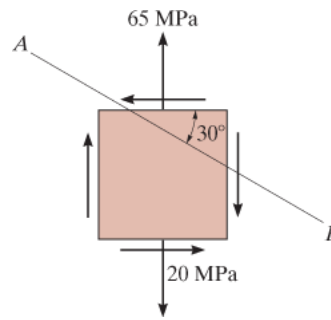
ب 9-6

سوالونه

PROBLEMS

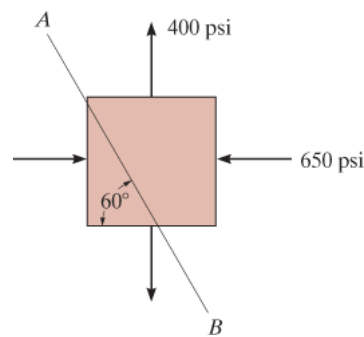
س 9-1. ثابت کړی چی مجموعه د نارمل سټریسونو $s_x + s_y = s_x' + s_y'$. انځورونه 9-2a او 9-2b وگوري.

س 9-2. د سټریس اجزای چی په سطحه AB عمل کړي پیدا کړي. له هغه میتود د توازن چی په برخه 9.1 کی بیان شوه کار واخلي.



س 9-1/2

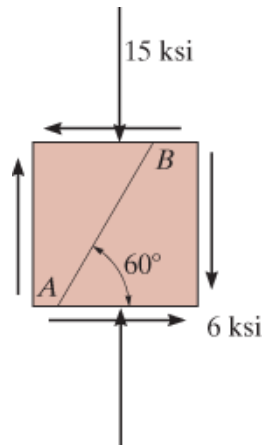
س 9-3. د سټریس اجزای چی په سطحه AB عمل کړي پیدا کړي. له هغه میتود د توازن چی په برخه 9.1 کی بیان شوه کار واخلي.



س 9 - 3

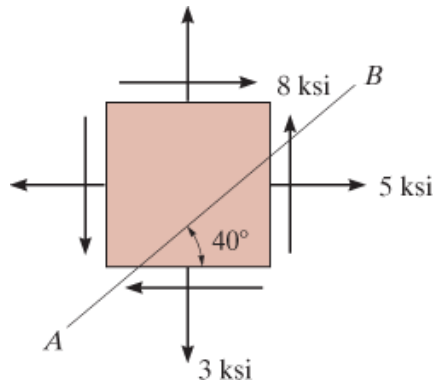
س 9-4* نارمل سټریس او شییر سټریس چی په سطحه AB عمل کړي پیدا کړي. له هغه میتود د توازن چی په برخه 9.1 کی بیان شوه کار واخلي.

س 9-5 نارمل سټریس او شییر سټریس چی په سطحه AB عمل کړي پیدا کړي. د سټریس بدلون له معادلو کار واخلي. پایلي په غوڅ شوی برخه د عنصر و بنیي.



س 9-4/5

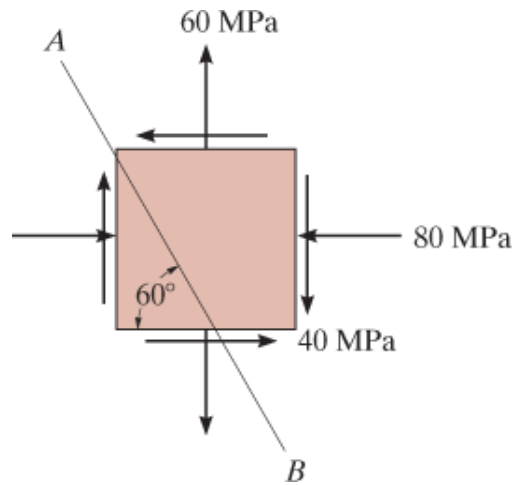
س 9-6 د سټریس اجزای چی په سطحه AB عمل کړي پیدا کړي. له هغه طریقو د توازن چی په 9.1 برخه کی بیان شوه کار واخلي.



س 9 - 6

س 9-7. د ستیریس اجزای چی په سطحه AB عمل کړي پیدا کړي. له هغه طریقو د توازن چی په 9.1 برخه کی بیان شوه کار واخلي.

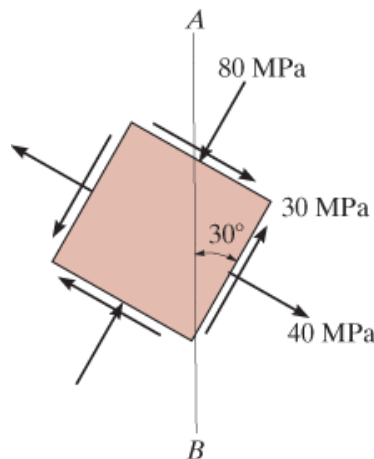
س 9-8*. سوال 9-7 حل کړي، د حل لپاره ، هغه د ستیریس بدلون معادلي چی په 9.2 برخه کی رامنځ ته شوی کار واخلي.



س 9-7/8

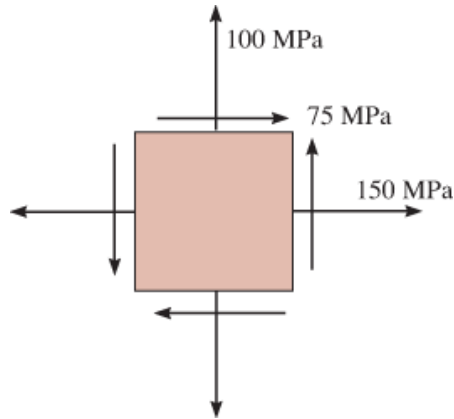
س 9-9. د ستیریس اجزای چی په سطحه AB عمل کړي پیدا کړي. له هغه طریقو د توازن چی په 9.1 برخه کی بیان شوه کار واخلي.

س 9-10. سوال 9-9 حل کړي، د حل لپاره هغه د ستیریس بدلون معادلي چی په 9.2 برخه کی رامنځ ته شوی کار واخلي.



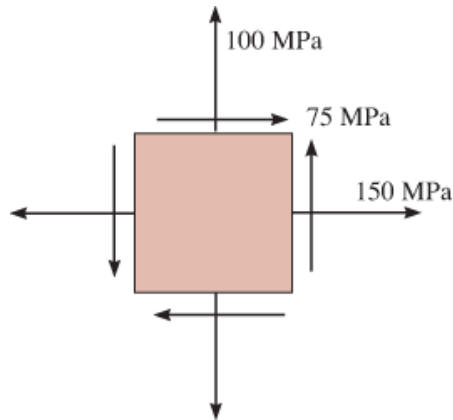
س - 9-9/10

س 9-11. په یو عنصر، د ستریس معادل حالت په ورته نقطه کی، چی له لاندی بنودل شوی عنصر په 60° د ساعت په لور سمت لري مشخص کړي. او پایلي په دی عنصر سکیچ کړي.



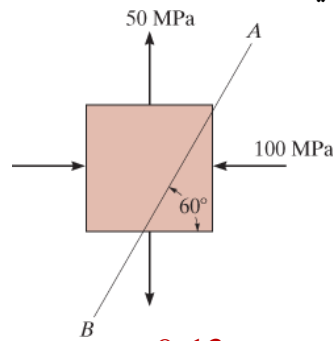
س - 9-11

س 9-12*. په یو عنصر، د ستریس معادل حالت په ورته نقطه کی، چی له لاندی بنودل شوی عنصر په 60° خلاف د ساعت لور سمت لري مشخص کړي. او او پایلي په دی عنصر سکیچ کړي.



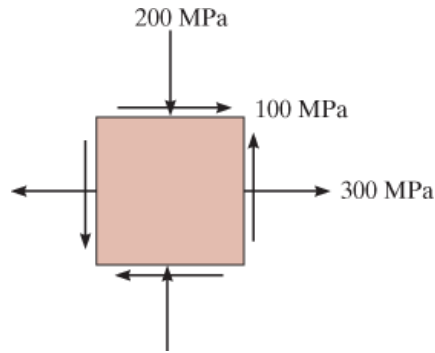
س - 9-12

س 9-13. د ستریس اجزای چی په سطحه AB عمل کړي پیدا کړي. له هغو طریقو د توازن چی په 9.1 برخه کی بیان شوه کار واخلي.



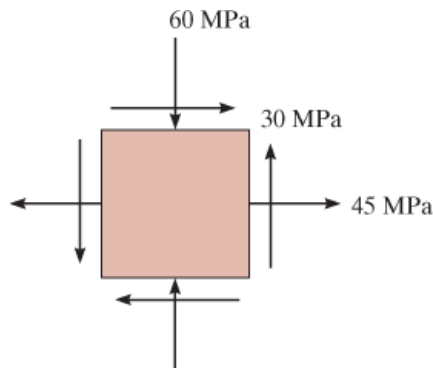
س - 9-13

س 9-14. معلوم کړي (a) اصلي (عمده) سټریسونه او (b) اعظمی شیبیر سټریس په سطحه کی او اوسط نارمل سټریس په ټکی کی. د عنصر سمت په هر قضیه کی و ټاکي.



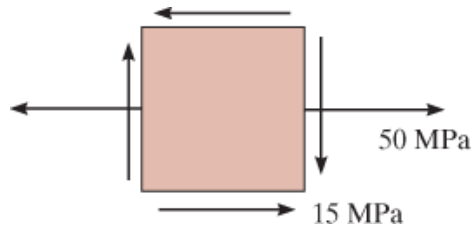
س - 9-14

س 9-15. د سټریس حالت په یوه نقطه کی په لاندی عنصر کی بنودل شوي. معلوم کړي: (a) اصلي سټریسونه او (b) اعظمی شیبیر سټریس په سطحه او اوسط نارمل سټریس په ټکی کی. د عنصر سمت په هر قضیه کی وټیي.



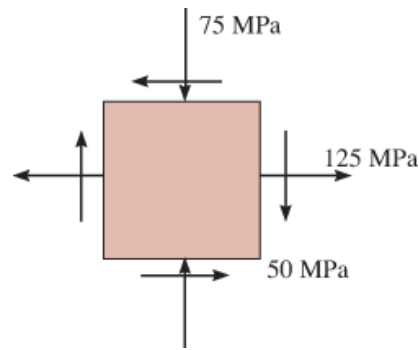
س - 9-15

س *9-16. د سټریس معادل حالت په لاندی عنصر په یوه نقطه کی چی استازیتوب کوي (a) د اصلي سټریسونو (b) د اعظمی شیبیر سټریس په سطحه او اړوند اوسط نارمل سټریس معلوم کړي. په هر حالت کی د عنصر اړوند سمت نظر بنودل شوي حالت ته ، او پایلی په عنصر و ټیي.



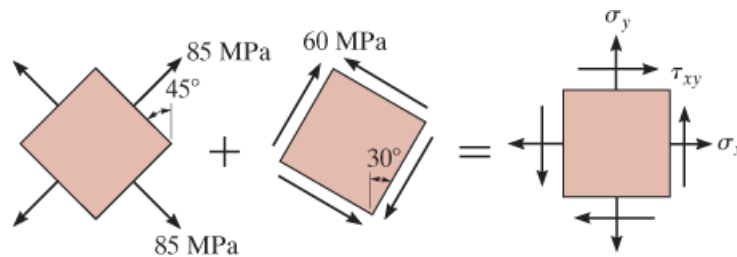
س - 9-16

س 9-17. د ستريس معادل حالت په لاندی عنصر په یوه نقطه کی چی استازیتوب کوي (a) د اصلی ستريسونو (b) اعظمی شپير ستريس په سطحه او اړوند اوسط نارمل ستريس، معلوم کړي. او په هر حالت کی اړوند سمت د عنصر نظر بنودل شوي عنصر ته ، او پایلی په عنصر و بنیي.



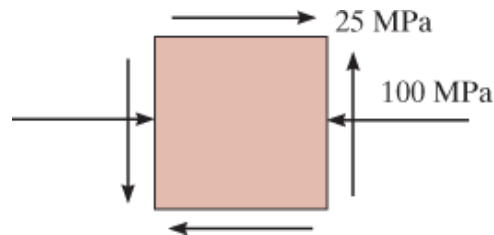
س - 9-17

س 9-18. د نازکی تختي په یوه نقطه کی د ستريس دوی اجزای پلي شوي. د ستريس محصله په عنصر کی لکه څنگه چی سمت يي په بني خوا کی بنودل شوي، معلوم کړي.



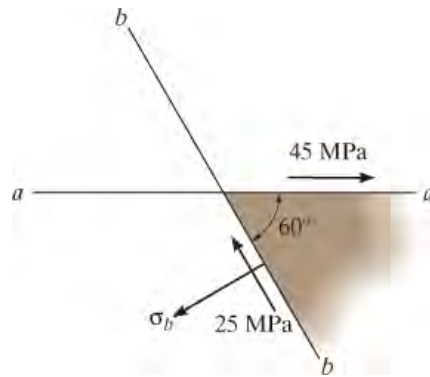
س - 9-18

س 9-19. د ستريس معادل حالت په لاندی عنصر په یوه نقطه کی چی استازیتوب کوي (a) د اصلی ستريسونو (b) اعظمی شپير ستريس په سطحه کی او اړوند اوسط نارمل ستريس، معلوم کړي. او په هر حالت کی اړوند سمت د عنصر نظر بنودل شوي عنصر ته ، او پایلی په عنصر و بنیي.



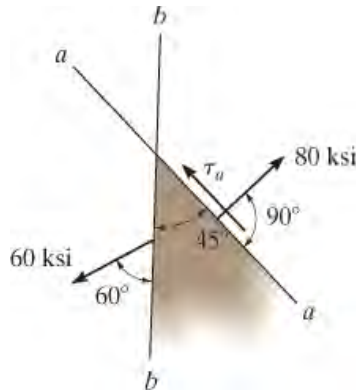
س - 9-19

س 9-20* ستريس په دوو سطحو په لاندی انځور کی بنودل شوي. نارمل ستريس ستريس په سطحه $b-b$ او اصلی ستريسونه په دی نقطه کی و ټاکي.



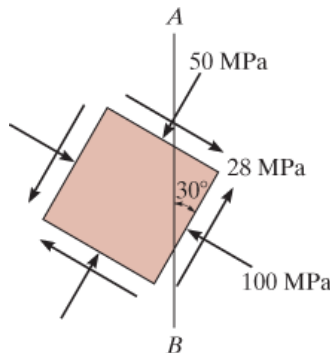
س - 9-20

س 9-21 ستريس په دوو سطحو په يوه نقطه په لاندی انځور کی بنودل شوي. شپير ستريس په سطحه $a-a$ او اصلی ستريسوته په دی نقطه کی و ټاکي.



س - 9-21

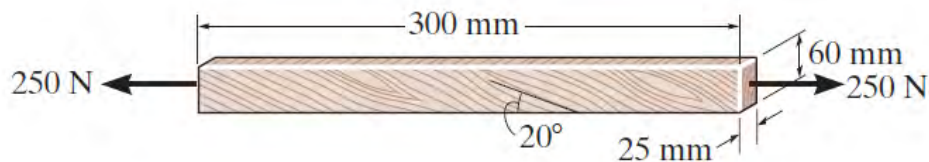
س 9-22 د ستريس حالت په يوه نقطه کی په لاندی انځور کی بنودل شوي. د ستريس اجزاي چی په سطحه AB عمل کوی و ټاکي.



س - 9-22

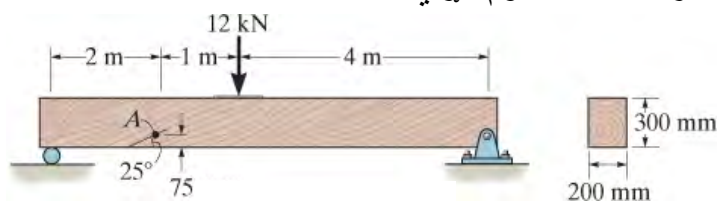
په دی لاندی سوالونو کی له هغه موادو کار اخیستل کیری چی په 8 فصل کی تفیصل شوي.

س 9-23. د لرگیو داخلی رگونه، دیوی تختی، په زاویه 20° له افقی کرښی سره موقعیت لري. نارمل او شیبیر ستریس (عمود او موازي) په رگونو که چیری په دی تخته یو محوري بار پلی شوي، وټاکي.



س - 9-23

س 9-24. د لرگیو په بیم یو بهرنی بار 12 kN پلی شوي. که چیری د لرگیو رگونه ددی بیم په نقطه A کی زاویه 25° له افقی کرښی سره جوړه کړي، نارمل او شیبیر ستریس (عمود او موازی) په دی رگونو له بهرنی بار له امله معلوم کړي.

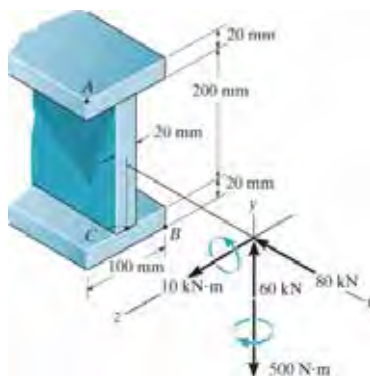


س - 9-23

س 9-25. داخلی بارونه په یوه برخه د بیم په لاندی انځور کی بنودل شوي. په سطحه - اصلی ستریسونه په ټکی A کی وټاکي. او هم اعظمی شیبیر ستریس په سطحه په دی ټکی وټاکي.

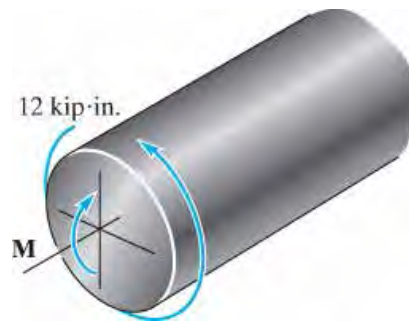
س 9-26. سوال 9-25 په ټکی B حل کړي.

س 9-27. سوال 9-25 په ټکی C حل کړي.



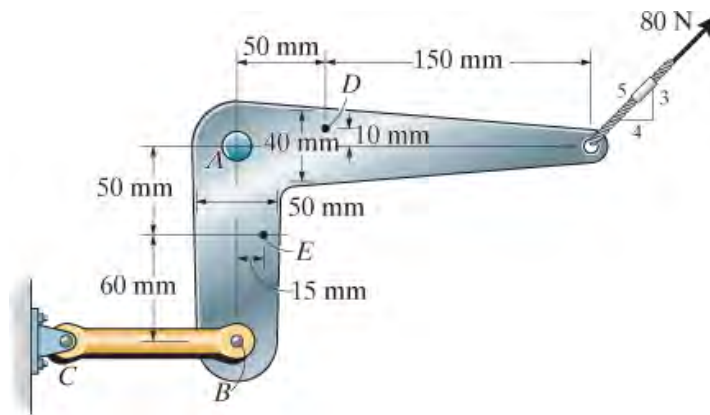
س 9-25/26/27

س *9-28. یو د گردی غوڅی برخی میله 2 in قطر لري. تورک 12 kip.in او مؤمنت M په دی میله پلی شوي. لوي اصلي ستریس په هغه ټکی، چی اعظمی کوروالي ستریس 15 ksi جوړ شوي، شتون لري. د کورروالي مؤمنت مقدار معلوم کړي.



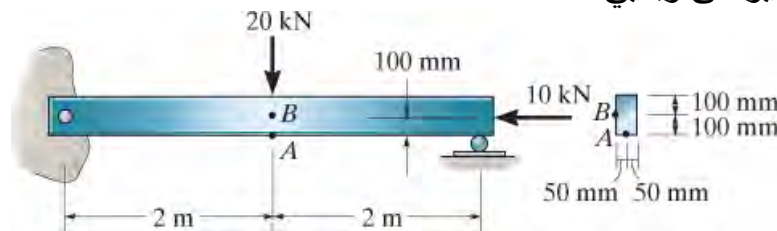
س - 9-28

س 9-29. د زنگ لاس پنډه په اتکاء A کې پښ شوي او د یو لنډی میلی BC په ذریعه تړل شوی. یو قوه 80 N پری پلې شوي، اصلی ستریس معلوم کړي (a) په ټکی D او (b) ټکی E . د زنگ لنډه میله له المونیم تختي چی 20 mm ضخامت لري جوړه شوي.



س - 9-29

س 9-30. لاندی بيم مستطیلی غوڅه برخه لري او بنودل شوی بار ورباندی پلي شوي. په ټکیو A او B کې اصلی ستریسونه و ټاکي. دا ټکي په چپ لور د بهرني بار موقعیت لري. پایلی په عناصرو په دی ټکیو کی وښيي.

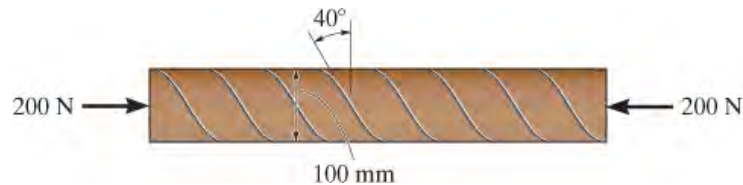


س - 9-30

س 9-31. د کاغذ یو تیوب، په تاویدو د کاغذی تختی په یوه برخه، د مار پیچ په شکل جوړ شوي دی، او بیا یی خواوی لکه څنګه چی په انځور کی بنودل شوي سریش شوي. د درز په اوږدو شیبیر

ستریس و ټاکی، درز له افقی کرښی سره 50° موقعیت لري، کله چی یوه محوري ټیلوهونکی قوه 200N ورباندی عمل کړی. کاغذی تخته 2mm پندوالی لري اود تیوب بیرونی قطر 100 mm دي.

س 9-32* سوال 9-31 حل کولو لپاره لپاره نارمل ستریس چی عمود په درز عمل کړي و ټاکی.



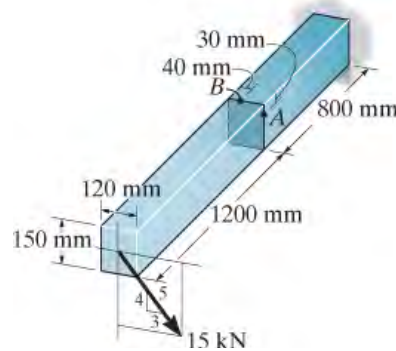
س - 9-31/32

س 9-33 شافت AB د یو هلیکوپتر 2-in قطر لري، او یو محوری کششی بار 10,000 lb او یو تورک د 300 lb.ft ورباندی پلی شوي. اصلی ستریسونه او اعظمی شییر ستریس په سطحه چی په یوه ټکی د شافت په سطحه عمل کړی و ټاکی.



س - 9-33

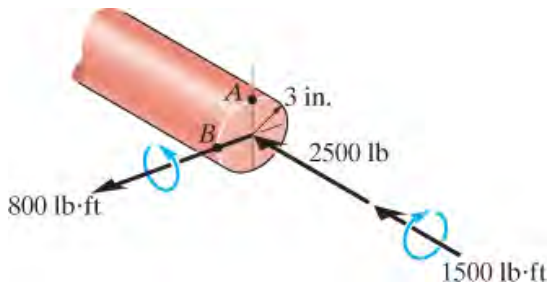
س 9-34 په دی لاندی کنټیلور بیم اصلی ستریسونه په ټکیو A او B کی و ټاکی.



س - 9-34

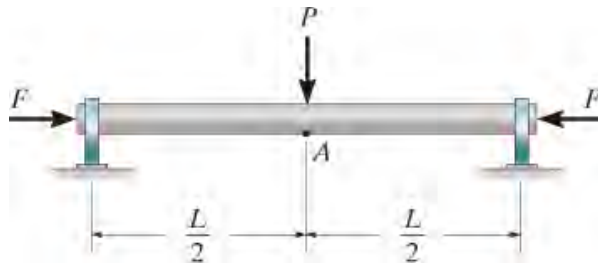
س 9-35. د یو توربین شافت 6-in قطر لري، او داخلي بارونه په غوڅه برخه د شافت په ذریعه یو محوری قوه 2500 lb او یو کږیدونکی مؤمنت 800 lb.ft او یو تاویدونکی مؤمنت 1500 ft.lb ورباندې پلي شوی. اصلي ستریسونه په ټکی A کې وټاکي. او هم اعظمی شیبیر ستریس په سطحه، په دی ټکي کې مشخص کړي.

س *9-36. د یو توربین شافت 6-in قطر لري، او داخلي بارونه په غوڅه برخه د شافت په ذریعه یو محوری قوه 2500 lb او یو کږیدونکی مؤمنت 800 lb.ft او یو تاویدونکی مؤمنت 1500 ft.lb ورباندې پلي شوی. اصلي ستریسونه په ټکی B کې وټاکي. او هم اعظمی شیبیر ستریس په سطحه، په دی ټکي کې مشخص کړي.



س - 9-35/36

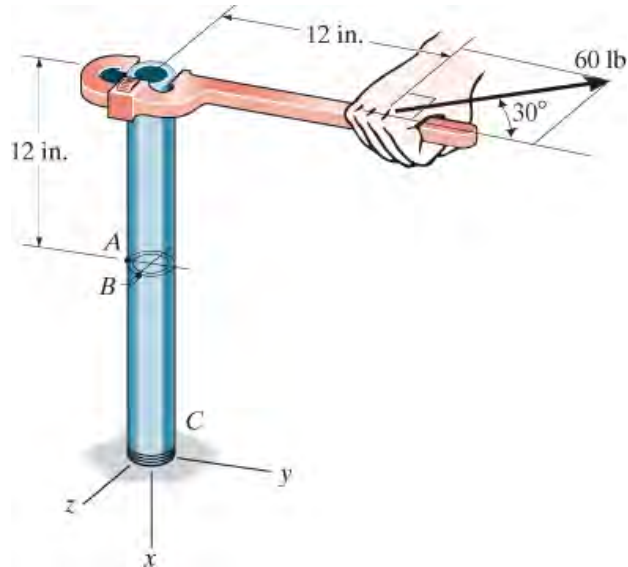
س 9-37. د شافت قطر d دی او بنودل شوي بهرني بارونه ورباندې پلي شوي. اصلي ستریسونه او اعظمی شیبیر ستریس په سطحه، په ټکی A کې وټاکي. بیرینگونه تنها عمودی ریکشن په اتکاو کې جوړه وي.



س - 9-37

س 9-38. د یو فولادی پایپ داخلی قطر 2.75 in او بیرونی قطر یې 3 in دی. که چیرې دا په اتکا C کې تړل شوي وی او یوه افقي قوه 60-lb په لاس نیوکی د رینچ پلي شي، اصلی ستریسونه په ټکی A د پایپ چې په بیرونی سطحه یې موقعیت لري پیدا کړي.

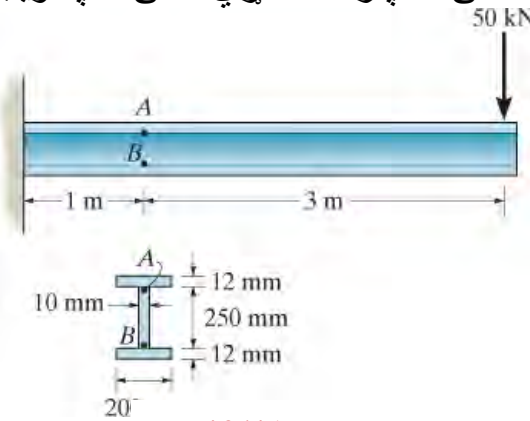
س 9-39. سوال 9-38 د ټکی B لپاره، چې په بیرونی سطحه موقعیت لري، حل کړي.



س 9-38/39

س 9-40*. په لاندې پراخه فلنج بیم، 50-kN قوه پلي شوي. په ټکی A چې په ویب، د پورتنی فلنج بنکته خوا کې موقعیت لري، اصلی ستریس هلته و ټاکي. که څه هم دا دقیق نه دی، شیبیر ستریس د شیبیر فورمول په تطبیق سره و ټاکي.

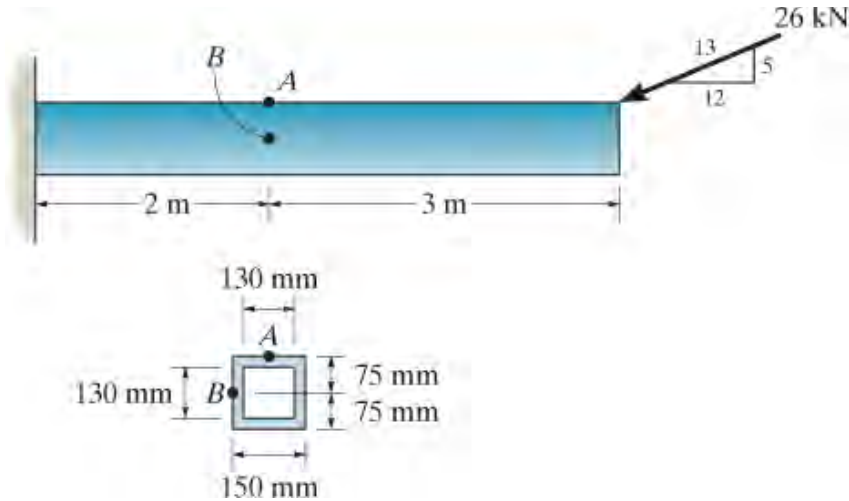
س 9-41. سوال 9-40 د ټکی B لپاره حل کړي. ټکی B په ویب د بنکته فلنج په پورته برخه کې موقعیت لري.



س 9-40/41

س 9-42. په دی لاندی باکس بیم د عرض په مرکز کی، چی له هر اړخ 75 mm فاصله لري، یو 26-kN قوه پلی شوي. اصلی ستریسونه په ټکی A کی وټاکي او پایلي په یو عنصر په هغه ټکی کی وټیږي. د شییر ستریس پیدا کولو لپاره له شییر فورل څخه کار واخلي.

س 9-43. سوال 9-42 د ټکی B لپاره حل کړي.

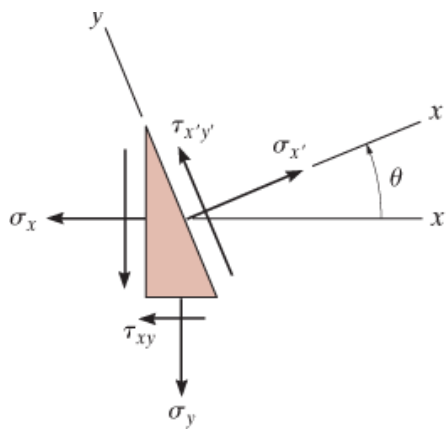


س 9- 42/43

9.4 د مهردايره - سطحی ستريس (MOHR'S CIRCLE- PLANE STRESS)

مور به په دې برخه کې و بنیو ، چې څنگه د ستريس بدلون معادلی په گرافيکی طرز العمل سره چې کارول او يادول يې ډيری وختونه آسان دی تطبيق شي. سربيره پر دې، دا طریقه به مور ته روښانه کړي چې څنگه د نارمل ستريس او شير ستريس اجزاوی σ_x او $\tau_{x'y}$ ، که چيري هغه سطحه چې دوي ورباندې عمل کړی، د سمت بدلون ومومي، د دې اجزاو بدلون ورسره په اساني" وليدل شي"، انځور 9-15a و گوري.

که چيري معادلي 9-1 او 9-2 داسی وليکو



(a)

انځور 9-15

$$\sigma_{x'} - \left(\frac{\sigma_x + \sigma_y}{2} \right) = \left(\frac{\sigma_x - \sigma_y}{2} \right) \cos 2\theta + \tau_{xy} \sin 2\theta \quad (9-9)$$

$$\tau_{x'y'} = - \left(\frac{\sigma_x - \sigma_y}{2} \right) \sin 2\theta + \tau_{xy} \cos 2\theta \quad (9-10)$$

که چيري هره معادله مربع (squared) کړو اوبيا يې يو ځاي يا جمع کړو، دا فکتور q له منځ ځي.

پايلی په دې ډول دی

$$\left[\sigma_{x'} - \left(\frac{\sigma_x + \sigma_y}{2} \right) \right]^2 + \tau_{x'y'}^2 = \left(\frac{\sigma_x - \sigma_y}{2} \right)^2 + \tau_{xy}^2$$

په پای کی، خکه چی s_x, s_y, t_{xy} پیژندل شوی ثابت اجزاوی دی، بیا دا معادلی په دا پورتنی معادله داسی لیکلی شو

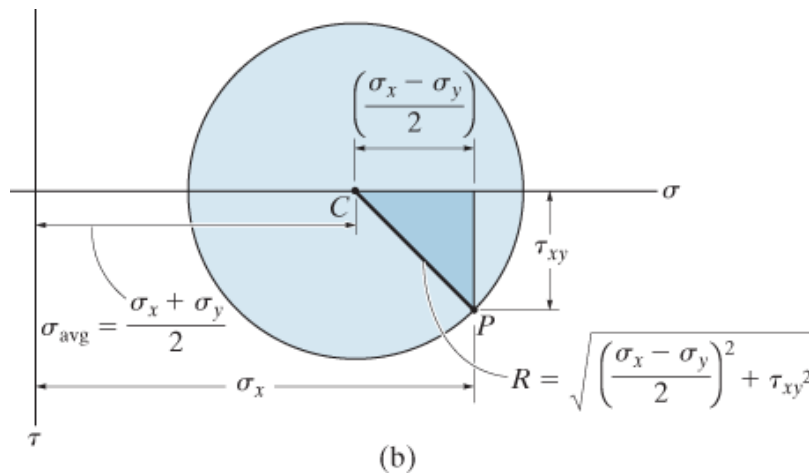
$$(\sigma_{x'} - \sigma_{\text{avg}})^2 + \tau_{x'y'}^2 = R^2 \quad (9-11)$$

کوم چی

$$\sigma_{\text{avg}} = \frac{\sigma_x + \sigma_y}{2}$$

$$R = \sqrt{\left(\frac{\sigma_x - \sigma_y}{2}\right)^2 + \tau_{xy}^2} \quad (9-12)$$

که مور داسی محوری سیستم جور کورو چیری چی مثبت سمت د s په بني لور وی، او مثبت لور د t په بنکته لور شي، بیا معادله 9-11 رسم کړو، دا به ولیدل شي چی دا معادله د دایری استازیتوب کوي، کوم چی شعاع یی R او مرکز یی د s محور په ټکی C ($s_{\text{avg}}, 0$) کی دی، انځور 9-15b وگوري. دا دایره په نامه د **مهوردايره (Mohr's Circle)** بلل کیږي، خکه چی دا د یوه جرمني انجینر او تومهر لخوا رامینځته شوی .

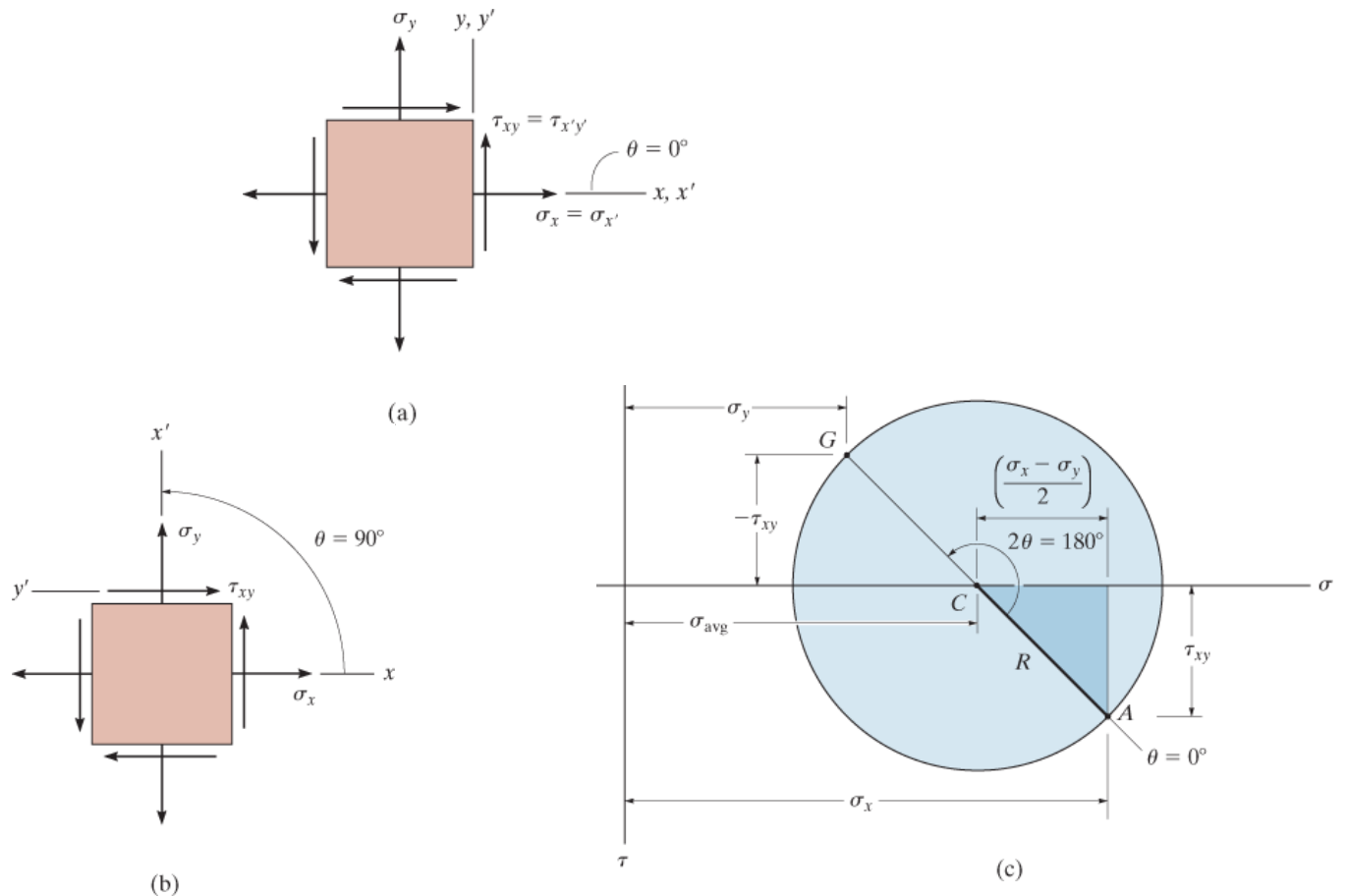


انځور 9-15 (تکرار)

د مهر په دایره کې هر ټکی د ستریس له دوه برخو استازیتوب کوي s_x او t_{xy} چې د وتلي محور x' لخوا تعریف شوي او د عنصر په اړخ باندې عمل کړي، کله چې دا محور په یو ځانګړي لوري q کې وي. د مثال په توګه، کله چې x' د x محور سره تطابق کړی وي لکه څنګه چې په انځور 9-16a کې ښودل شوي، بیا $q=0^\circ$ او $s_x = s_x$ ، $t_{xy} = t_{xy}$. مور به دې ته د "ریفرنس نقطه" A په توګه اشاره وکړو او محوری موقعیت (s_x, t_{xy}) به یې پلاټ کړو، انځور 9-16c وګوري.

اوس د x' محور په 90° د ساعت په مقابل لوری څرخوو، انځور 9-16b وګوري. بیا $s_x = s_y$ ، $t_{xy} = -t_{xy}$ دا ارزښتونه د ټکي G محوری موقعیت په $(s_y, -t_{xy})$ په دایره کې دی، انځور 9-16c. په دې توګه، د شعاع کرښه 180° د ساعت د ستنې په مخالف لوري له "ریفرنس کرښې" CA څخه موقعیت لري. په بل عبارت، د q څرخ د محور x' په عنصر کې به مطابقت ولري د $2q$ ګرزیدا په دایره کې په ورته لوري.

لکه څنګه چې په لاندې کرڼاره کې به بحث وشي، د مهر دایره د اصلي ستریسونو، اعظمی شپیر ستریس په سطحه او یا په خپلسري سطحه کې د ستریس ټاکلو لپاره کارول کېدی شي.



انځور 9-16

د تحلیل کرنلاره

PROCEDURE FOR ANALYSIS

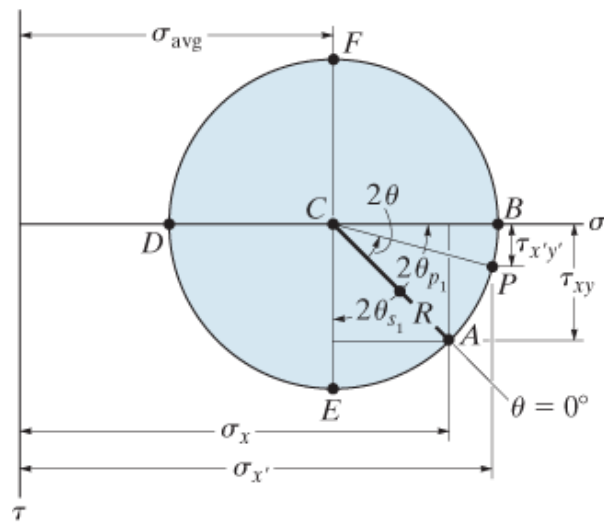
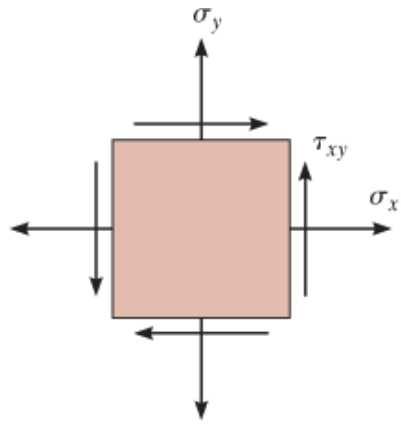
د مهردايره رسمولو او کارولو لپاره لاندې مرحلو ته اړتيا ده.

د دايري جوړول (Construction of the Circle).

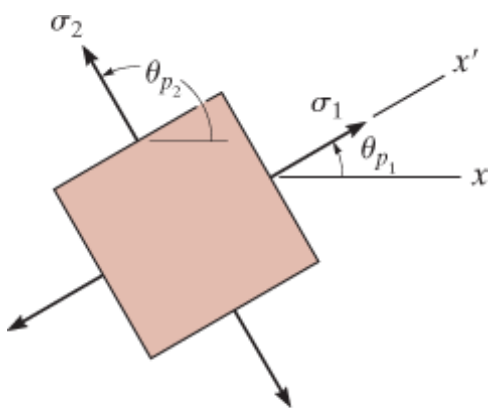
- محوري سيستم داسي رامینځته کړئ، کوم چې افقی محور د نارمل سټریس، s ، استازیتوب وکړي او په بني خوا به مثبت وي. عمودی محور، t ، د شیبیر سټریس استازیتوب کوي چې مثبت به یې په لاندی لوري وي، انځور 9-17a* وگوري.
- د s_x ، s_y ، t_{xy} ، انځور 9-17a، پلاټ لپاره د مثبت نښان کنوانسیون کارول کيږي او د دايري مرکز C ، کوم چې د s په محور کې په فاصله د $s_{avg} = (s_x + s_y) / 2$ له مرکز څخه موقعیت لري، انځور 9-17a .
- د "ریفرینس نقطه" A چې کوارډینات يې (s_x, t_{xy}) دي پلاټ کوو. دا ټکی د عنصر په بني لاس عمودي مخ کې د نارمل او شیبیر سټریس اجزا وی څرگندوي، او ځکه چې د x' محور په x محور سره مطابقت لري، دا څرگند وي چې $q = 0^0$ ، انځور 9-17 وويني.
- نقطه A د دايري د مرکز C سره وصل کړئ او د مثلثاتو په واسطه CA مشخص کړئ. دا د دايري R د شعاع استازیتوب کوي، انځور 9-17a وگوري.
- کله چې R وټاکل شي، دايره سکيچ کړئ.

اصلي سټریس (Principal Stress)

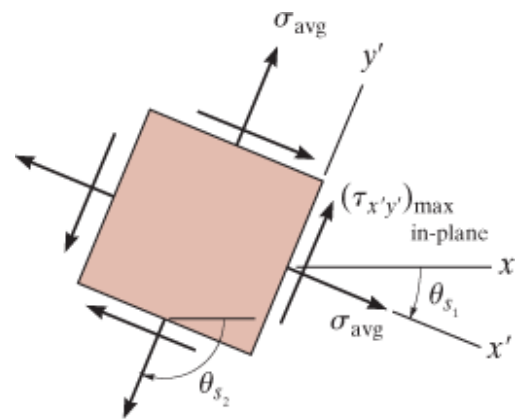
- اصلي سټریسونه s_1 او s_2 ($s_1 > s_2$) کورډینات د B او D دی، چېرته چې دايره د s محور سره یو ځای نیښلوي، د بیلگې په توگه، کله چې $t = 0$ ، انځور 9-17a .
- دا سټریسونه په هغه سطحه باندې عمل کوي چې د q_{p1} او q_{p2} زاویو لخوا تعریف شوي، انځور 9-17b وگوري. له دې زاویو څخه یوه په دايره کې په q_{p2} بنودل کيږي. دا اندازه کيږي له شعاعی رفرینس کرښې CA څخه تر کرښې CB .
- د مثلثاتو په کارولو سره، د دايري څخه q_{p1} مشخص کړئ. په یاد ولرئ دا چې د گرزیدا لوري $2q_p$ په دايره کې (دلته دا د ساعت د ستنې په مخالف لوري پینښیږي) استازیتوب د ورته سمت د گرزیدا q_p له رفرینس محور $(+x)$ څخه تر اصلی سطحې $(+x')$ انځور 9-17b* وگوري.



(a)



(b)



(c)

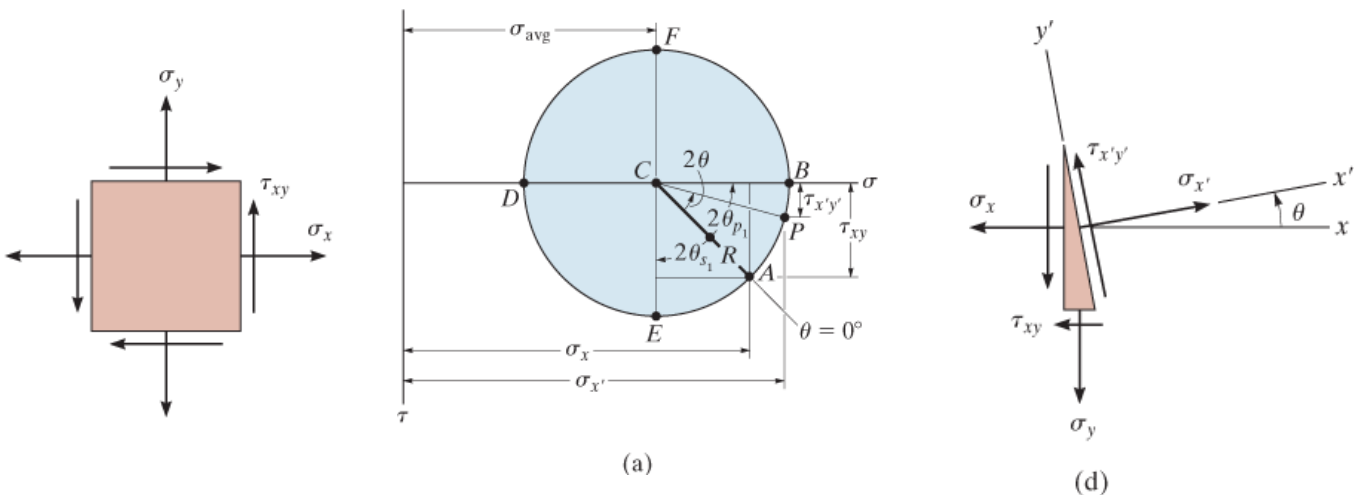
انخور 9-17

اعظمی شییر ستریس په سطحه کی (Maximum In-Plane Shear Stress).

- منحنی نارمل ستریس او په سطحه کی ترټولو اعظمی ستریس اجزای له دایری څخه د کوردینات په توگه د هرې یوی نقطې E یا F څخه ټاکل کیږي، انځور 9-17a وگوري.
- په دې حالت کې زاویې q_{s1} او q_{s2} جهت د هغوسطحی وړاندې کوي چی دا اجزای ورباندې عمل کوي، انځور 9-17c وگوري. زاویه $2q_{s1}$ په انځور 9-17a کې بنودل شوی او د مثلثاتو په کارولو سره ټاکل کیدی شي. دلته گرزیدا د ساعت د سنتی لوري په څیر واقع شوي، له CA څخه تر CE پورې، او q_{s1} باید په عنصر کې د ساعت د سنتی په لور وي، انځور 9-17c* وگوري.

ستریس په خپل سری (انتخابی) سطحو (Stresses on Arbitrary Plane)

- د نارمل او شییر ستریس اجزا s_x او t_{xy} په ټاکل شوي سطحه یا x' محور باندې، کوم چی په زاویه q تعریف شوی، عمل کړي انځور 9-17d. دا اجزای په موندلو د نقطې P کواردینات په دایره باندې د هندسی په کارولو سره ترلاسه کیدی شي، انځور 9-17a.
- د نقطې P د موندلو لپاره، پېژندل شوي زاویه q (په دې حالت کې د ساعت د سنتی په مخالف لوري)، انځور 9-17d، باید په دایره باندې په ورته لور (د ساعت د سنتی په مخالف لوري) په اندازه $2q$ ، له ریفرنس کرښې CA تر شعاعی کرښې CP پورې، انځور 9-17a*، اندازه شي.
- * که t محور پورته مثبت جوړ شوی وي، نو بیا په دایره کې دا زاویه د $2q$ ، اندازه کیږي په مخالف لوري د زاویه q سمت د x' محور کې.



انځور 9-17 (تکرار)

مثالونه

مثال 9.7

د پلي شوي بهرني بار له امله په ټكي A د شافت كې د ستريس حالت په انځور 9-18a كې ښودل شوي. اصلي ستريسونه په دې ټكي كې و مومي.

حل (SOLUTION)

د دايري جوړه ول (Construction of the Circle)

له انځور 9-18a مور لرو

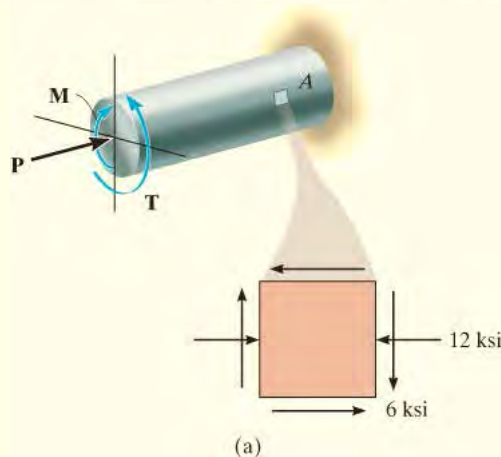
$$\sigma_x = -12 \text{ ksi} \quad \sigma_y = 0 \quad \tau_{xy} = -6 \text{ ksi}$$

د دايري مركز په محور S موقعيت لري په دې لاندې نقطه كې

$$\sigma_{\text{avg}} = \frac{-12 + 0}{2} = -6 \text{ ksi}$$

د ريفرينس نقطه $A(-12, -6)$ او د دايري مركز $C(-6, 0)$ پلات كو، چې په انځور 9-18b كې ښودل شوي. له سيوري شوي مثلث د دايري شعاع داسې موندل كيږي

$$R = \sqrt{(12 - 6)^2 + (6)^2} = 8.49 \text{ ksi}$$



انځور 9-18

اصلي ستريس (Principal Stress)

اصلي ستريسونه په کوارډيناټو د ټکيو B او D سره په گوته کيږي. مور لرو د $s_1 > s_2$

$$\sigma_1 = 8.49 - 6 = 2.49 \text{ ksi} \quad \text{Ans.}$$

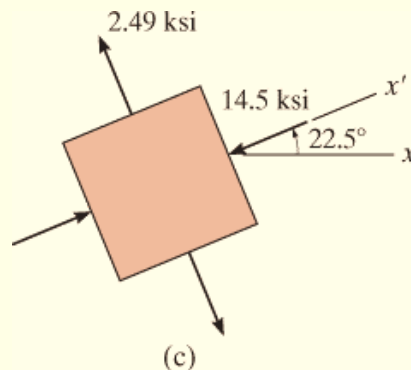
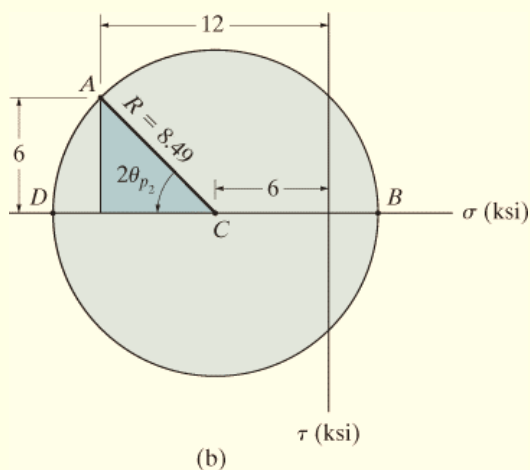
$$\sigma_2 = -6 - 8.49 = -14.5 \text{ ksi} \quad \text{Ans.}$$

د عنصر جهت په محاسبه کولو د زاويې $2\theta_{p2}$ چې په انځور 9-18b کې بنودل شوي موندل کيږي شي. دا زاويه د ساعت د سټي مخالف جهت له CA تر CD ده. دا جهت q_{p2} د s_2 او د هغې اړوند اصلي سطحه تعريفوي. مور لرو

$$2\theta_{p2} = \tan^{-1} \frac{6}{12 - 6} = 45.0^\circ$$

$$\theta_{p2} = 22.5^\circ$$

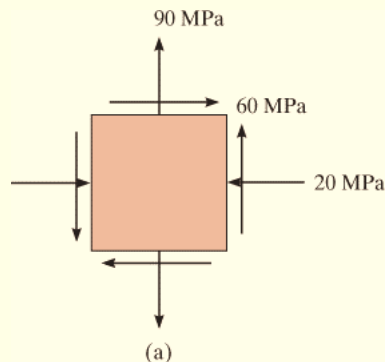
دا عنصر داسې جهت شوی چې د x' محور يا s_2 لار بنودل شوي په 22.5° د ساعت د سټي په مخالف جهت له افقي محور (x محور)، لکه څنگه چې په انځور 9-18c کې بنودل شوي.



انځور 9-18 (تکرار)

مثال 9.8

د ستړیس حالت په یو ټکی کې په انځور 9-19a کې ښودل شوي. اعظمی شیبیر ستړیس په سطحه په دی ټکی وټاکي.



انځور 9-19

حل (SOLUTION)

د دایری جوړه ول (Construction of the Circle)

له انځور 9-19a دا لاندی دیتا په لاس راځي:

$$\sigma_x = -20 \text{ MPa} \quad \sigma_y = 90 \text{ MPa} \quad \tau_{xy} = 60 \text{ MPa}$$

د t او s محورونه جوړ شوی او هغه په انځور 9-19b کې ښودل شوي. د دایری مرکز په C په محور S موقعیت لری، او په دی ټکی کې

$$\sigma_{\text{avg}} = \frac{-20 + 90}{2} = 35 \text{ MPa}$$

ټکی C او ریفرینس نقطه A ($-20, 60$) پلات کوو. په سیوری شوی مثلث د پیناگورم (Pythagorean theorem) قضیه تطبیق کوو ترڅو د دایری شعاع CA په لاس راوړو، مور لرو

$$R = \sqrt{(60)^2 + (55)^2} = 81.4 \text{ MPa}$$

اعظمی شیبیر ستیریس په سطحه کی (Maximum In-Plane Shear Stress)

اعظمی شیبیر ستیریس په سطحه کی او اوسط نارمل ستیریس په ټکی E (او یا F) په دایره باندي بنودل شوي. کوار دینات د ټکی E عبارت دی په $(35, 81.4)$ او هغه راکوي

$$\sigma_{\text{avg}} = 35 \text{ MPa} \quad \text{Ans.}$$

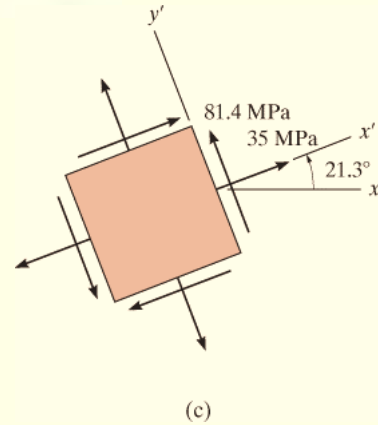
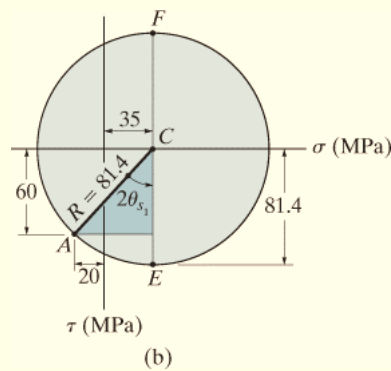
$$\tau_{\text{in-plane}}^{\text{max}} = 81.4 \text{ MPa} \quad \text{Ans.}$$

زاویه q_{s1} چی له CA تر CE د ساعت د سنتي مخالف اندازه شوي لډی دایری پیدا کیدی شي، هغه په $2q_{s1}$ بنودل شوي. مور لرو

$$2\theta_{s1} = \tan^{-1}\left(\frac{20 + 35}{60}\right) = 42.5^\circ$$

$$\theta_{s1} = 21.3^\circ$$

Ans.

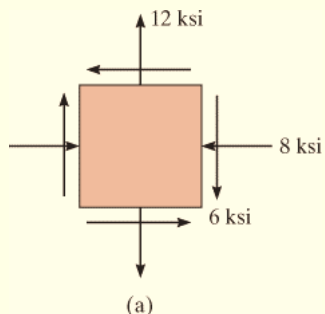


انځور 9-19 (تکرار)

د زاویه چی د ساعت د سنتي مخالف جهت لري د x' محور سمت ټاکي، انځور 9-19c. ځکه چی د ټکی E کور دینات مثبت دی، نو بیا اوسط نارمل ستیریس او اعظمی شیبیر ستیریس په سطحه، دواړه په مثبت جهت د x' او y' لکه څنگه چی بنودل شوی، عمل کړي.

مثال 9.9

د ستیریس حالت په یو ټکی کې په انځور 9-20 a کې بنودل شوي. د ستیریس حالت په یو عنصر چې 30° د ساعت د ستنې مخالف جهت له بنودل شوی حالت څخه و لري و بڼي.



انځور 9-20 (a)

حل (SOLUTION)

د دايری جوړه ول (Construction of the Circle)

له انځور 9-20a څخه دا لاندی دیتا په لاس راځي:

$$\sigma_x = -8 \text{ ksi} \quad \sigma_y = 12 \text{ ksi} \quad \tau_{xy} = -6 \text{ ksi}$$

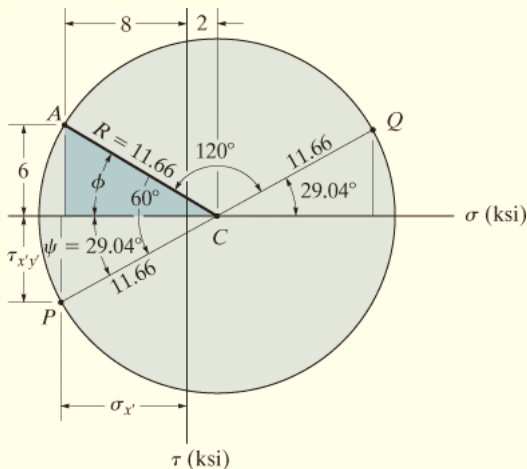
د S او t محورونه جوړ شوی او هغه په انځور 9-20b کې بنودل شوي. د دايری مرکز په C کې په محور S موقعیت لری، او په دی ټکی کې

$$\sigma_{\text{avg}} = \frac{-8 + 12}{2} = 2 \text{ ksi}$$

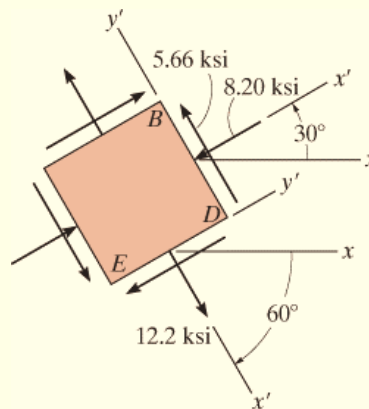
د ریفرینس نقطه د $q=0^\circ$ کواریډینات $A(-8, -6)$ دي. له سیوری شوی مثلث د دايری شعاع CA په لاس راوړو، مور لرو

$$R = \sqrt{(10)^2 + (6)^2} = 11.66$$

ستریس په 30° عنصر (Stress on 30° Element)



(b) انځور 20-9 (تکرار)



(c)

ځکه چې عنصر 30° د ساعت د سنتي مخالف جهت گرزیدا کړي ، مور باید شعاعي کرښه CP په اندازه د 60° = 2(30°) د ساعت د سنتي مخالف جهت له CA (q=0°) اندازه کړو، انځور 9-20b. کوارډینات د ټکی P (s_{x'}, t_{x'y'}) باید وټاکو. د دایرې له هندسی داسی لیکلی شو

$$\phi = \tan^{-1} \frac{6}{10} = 30.96^\circ \quad \psi = 60^\circ - 30.96^\circ = 29.04^\circ$$

$$\sigma_{x'} = 2 - 11.66 \cos 29.04^\circ = -8.20 \text{ ksi}$$

Ans.

$$\tau_{x'y'} = 11.66 \sin 29.04^\circ = 5.66 \text{ ksi}$$

Ans.

دا دوه د ستریس اجزای د هغه عنصر په مخ BD باندې عمل کوي چې په انځور 9-20c کې بنودل شوي ، ځکه چې د دې مخ لپاره د x محور د ساعت د سنتي په مخالف جهت 30° درجې کی د x محور څخه بنودل شوي دی.

د ستریس اجزا کوم چې د عنصر څنگ ته مخ DE باندې عمل کوي ، دا د مثبت x محور څخه د ساعت سنتي په لور 60° درجې موقعیت لري انځور 9-20c و گوري، په دایره کې د Q نقطې کوارډینات په واسطه بنودل شوي . دا ټکی په شعاعی کرښه CQ پروت دی، او دا 180° درجې له CP څخه یا د CA څخه په 120° درجې د ساعت د سنتي په لور موقعیت لري. د Q نقطې کورډینات عبارت دی په

$$\sigma_{x'} = 2 + 11.66 \cos 29.04^\circ = 12.2 \text{ ksi}$$

Ans.

$$\tau_{x'y'} = -(11.66 \sin 29.04) = -5.66 \text{ ksi} \quad (\text{check})$$

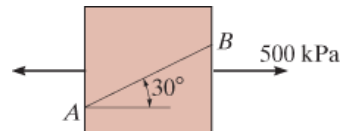
Ans.

نوټ: دلته $t_{x'y'}$ په سمت د $-y'$ عمل کړی، انځور 9-20c وويني.

بنسټيز سوالونه

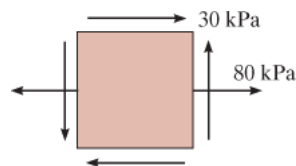
FUNDAMENTAL PROBLEMS

ب 9-7. نارمل او شپيرستريس چي په سطحه AB عمل کړی وټاکي. د موهر له دايري کار واخلي.



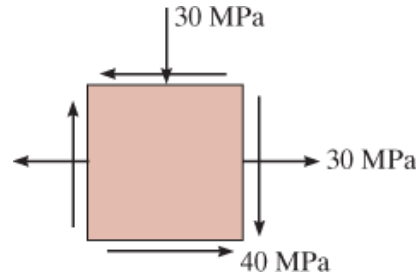
ب 9-7

ب 9-8. د موهر له دايري کار واخلي تر څو اصلي ستړسونه په ټکي کي وټاکي. او هم د عنصر اړوند سمت نظر لاندی بنودل شوی عنصر ته معلوم کړي.



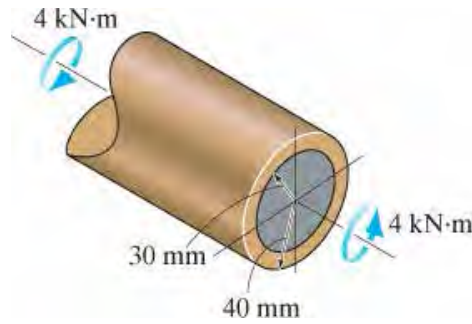
ب 9-8

ب 9-9. د موهر دايره رسم کړي او اصلي سټريسونه وټاکي.



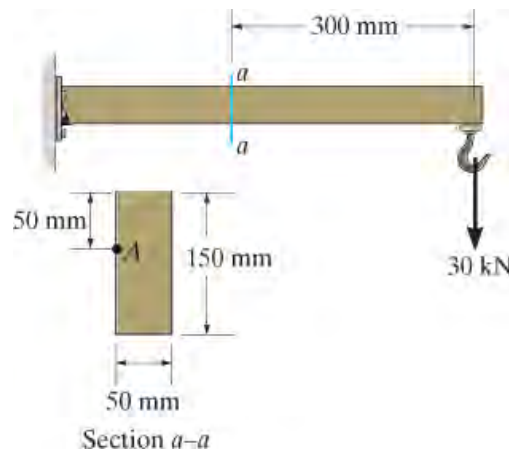
ب 9-9

ب 9-10. په دی لاندی خالی گردی شافت یو تورک 4 kN.m پلي شوي. د شافت په سطحه په یوه ټکی کی اصلي سټريسونه وټاکي.



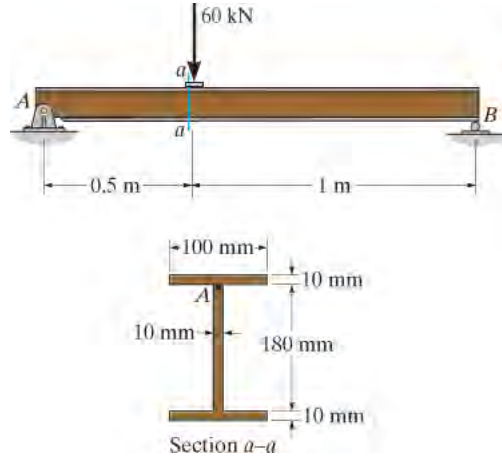
ب 9-

ب 9-11. د A په ټکی کی د بیم په $a-a$ غوڅه برخه کی اصلي سټريسونه وټاکي.



ب 9-11

ب 9-12. د A په ټکی کې د بیم د $a-a$ په غوڅه برخې کې اعظمی شیبیر سټریس په سطحه کې وټاکي. دا برخه په کین اړخ د 60-kN بهرنی بار موقعیت لري. ټکی A له فلنج لاندی موقعیت لري.



ب 9-12

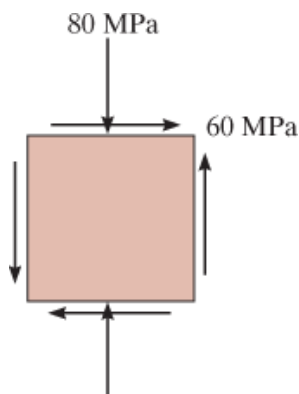
سوالونه

PROBLEMS

- س 9-44* 9-2 سوال د موهر دایری په کار ولو سره حل کړي.
- س 9-45 9-3 سوال د موهر دایری په کار ولو سره حل کړي.
- س 9-46 9-6 سوال د موهر دایری په کار ولو سره حل کړي.
- س 9-47 9-11 سوال د موهر دایری په کار ولو سره حل کړي.
- س 9-48 9-15 سوال د موهر دایری په کار ولو سره حل کړي.
- س 9-49 9-16 سوال د موهر دایری په کار ولو سره حل کړي.

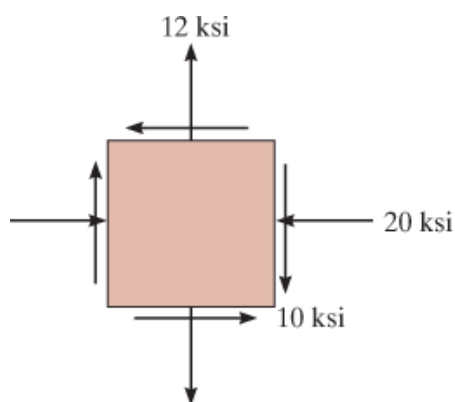
س 9-50. د انځور 9-17a د ستړیس حالت د موهر دایری په کارولو سره وټاکي. وښیي چی د ټکی $P (s_x, t_{xy})$ کواردینات په دایره ورته ارزښتونه لري لکه د ستړیس بدلون معادلي 9-1 او 9-2.

س 9-51. معلوم کړي (a) اصلی ستړیسونه او (b) اعظمی شیبیر ستړیس په سطحه او اوسط نارمل ستړیس. د عنصر سمت په هر حالت کی وټاکي.



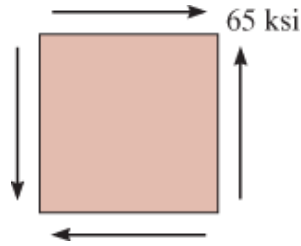
ب 9-51

س 9-52*. معلوم کړي (a) اصلی ستړیسونه او (b) اعظمی شیبیر ستړیس په سطحه او اوسط نارمل ستړیس. د عنصر سمت په هر حالت کی وټاکي.



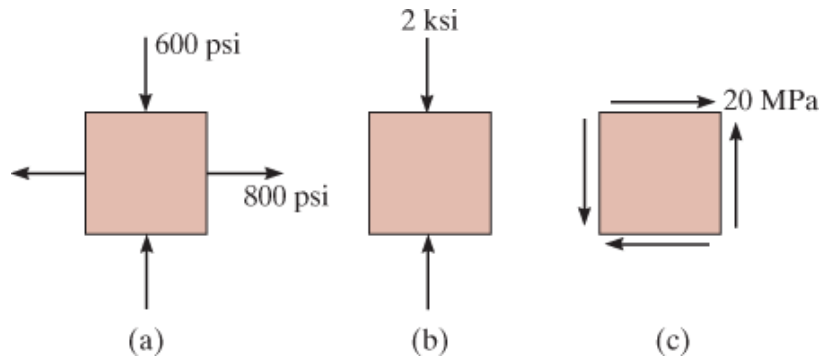
ب 9-52

س 9-53. د ستړیس معادل حالت په یوه عنصر، چی جهت یی 60° د ساعت د سنټی په سمت له لاندی عنصر څخه وی، معلوم کړي.



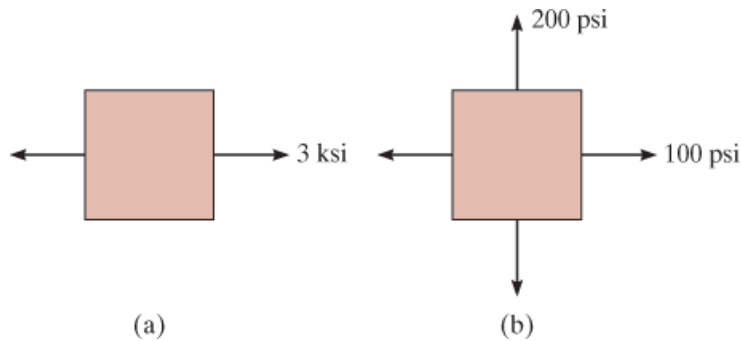
ب 9-53

س 9-54. د موهر دايره رسم كړي تر څو دا لاندې د سټريس حالتونه تشریح كړي.



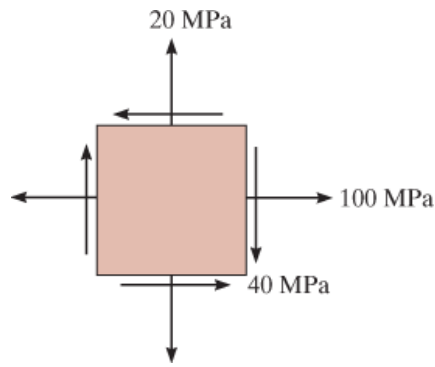
ب 9-54

س 9-55. د موهر دايره رسم كړي تر څو دا لاندې د سټريس حالتونه تشریح كړي.



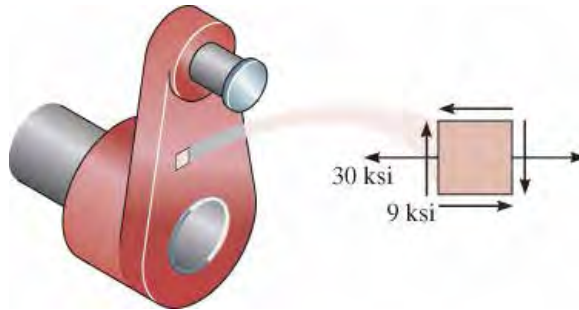
ب 9-55

س 9-56*. معلوم كړي (a) اصلی سټريسونه او (b) اعظمی شیبیر سټريس په سطحه او اوسط نارمل سټريس. د عنصر سمت په هر حالت كی وټاکی.



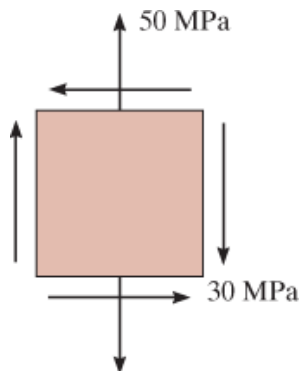
ب 9-56

س 9-57. معلوم کړي (a) اصلی سټریسونه او (b) اعظمی شپیر سټریس په سطحه او اوسط نارمل سټریس. د عنصر سمت په هر حالت کی وټاکي.



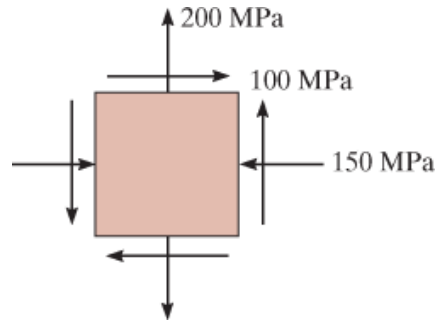
ب 9-57

س 9-58. معلوم کړي (a) اصلی سټریسونه او (b) اعظمی شپیر سټریس په سطحه او اوسط نارمل سټریس. د عنصر سمت په هر حالت کی وټاکي.



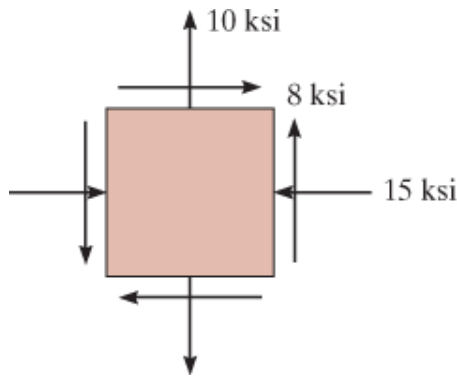
ب 9-58

س 9-59. معلوم کړي (a) اصلی ستړیسونه او (b) اعظمی شپیر ستړیس په سطحه او اوسط نارمل ستړیس. د عنصر سمت په هر حالت کی وټاکي.



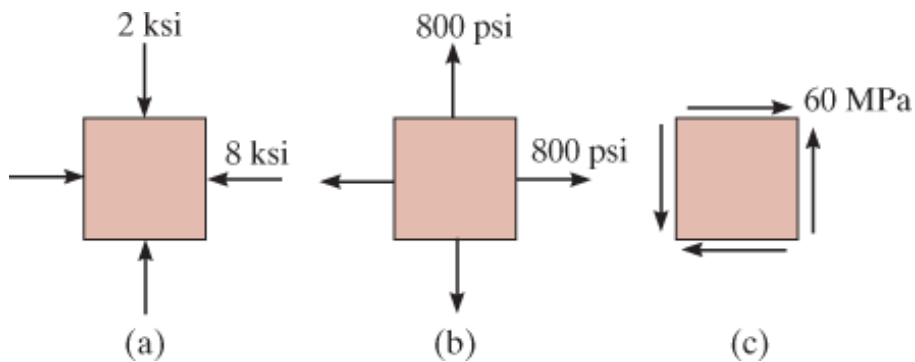
ب 9-59

س 9-60*. معلوم کړي (a) اصلی ستړیسونه او (b) اعظمی شپیر ستړیس په سطحه او اوسط نارمل ستړیس. د عنصر سمت په هر حالت کی وټاکي.



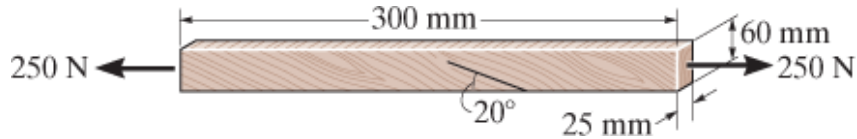
ب 9-60

س 9-61. د موهر دایره رسم کړي تر څو دا لاندی د ستړیس حالتونه تشریح کړي.



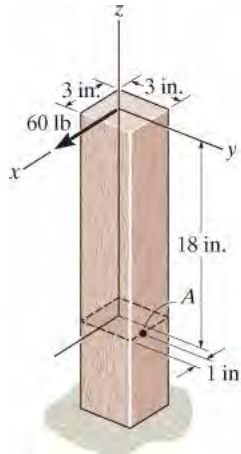
ب 9-61

س 9-62. دلرگي رگونه له افقی کرښی سره 20° زاویه جوړه وي. نارمل او شیبیر سټریس چی عمود او موازي په رگونو د تختی عمل کړي وټاکي. په تخته باندی 250 N محوری بار پلی شوي.



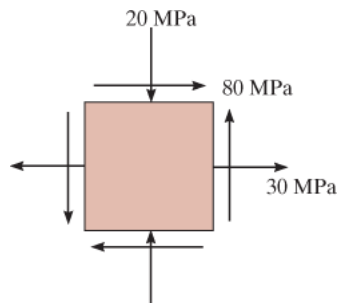
ب 9-62

س 9-63. دا لاندی سنتي په بنکته پای کی کلکه ټرل شوي او یو افقی قوه ورباندی پلی شوي. معلوم کړي (a) اعظمی شیبیر سټریس په سطحه په ټکی A کی او (b) اصلی سټریسونه په A کی.



ب 9-63

س 9-64*. اصلی سټریسونه او اعظمی شیبیر سټریس په سطحه او اوسط نارمل سټریس معلوم کړي. د عنصر سمت په هر حالت کی وټاکي.



ب 9-64

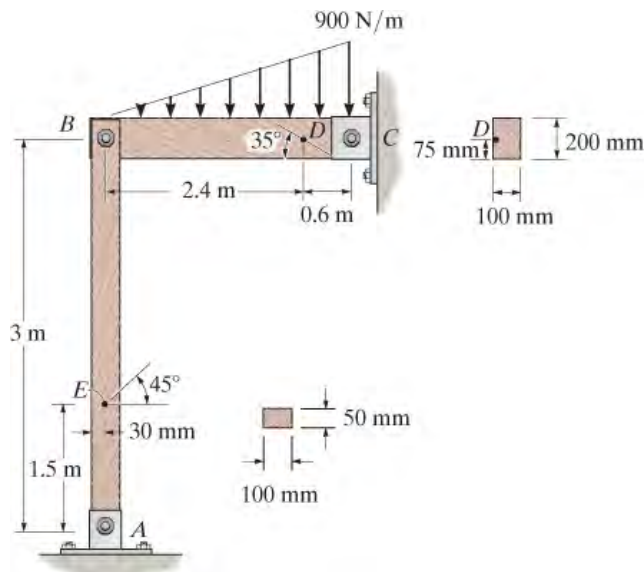
س 9-65. د نازک دیوال پایپ داخلي قطر 0.5 in او ضخامت يې 0.025 in دي. که چیرې داخلي فشار 500 psi او محوری کششی او تاویدونکي (torsional) بار، لکه څنګه چې په لاندې انځور کې ښودل شوي، ورباندې پلي شي. اصلی ستیریس په یوه ټکی په سطحه د پایپ و ټاکي.



ب 9-65

س 9-66. په دی لاندې چوکات باندې یو مثلثی ویش بهرنی بار پلي شوي. نارمل او شیبیر ستیریس په ټکی D کې چې په عمودي او موازي لورونو په ترتیب سره له رګونو د لرګي سره عمل کړي وټاکي. د لرګي رګونه د افقی محور سره 35° درجې زاویه جوړه وي.

س 9-67. په دی لاندې چوکات باندې یو مثلثی ویش بهرنی بار پلي شوي. نارمل او شیبیر ستیریس په ټکی E کې چې په عمودي او موازي لورونو په ترتیب سره له رګونو د لرګي سره عمل کړي وټاکي. د لرګي رګونه د افقی محور سره 45° درجې زاویه جوړه وي.



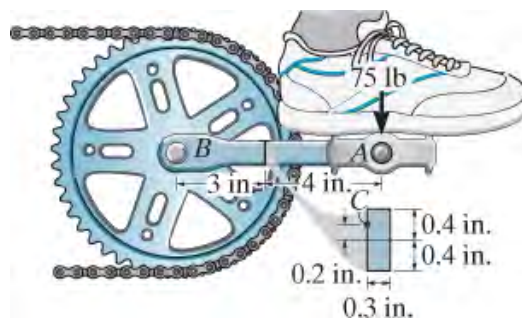
ب 9-66/67

س 9-68* د هلیکوپتر تاویدونکي شافت باندی کششی قوه او تاویدونکی مؤمنت عمل کوی لکه چی بنودل شوی تر خو د شافت گرزیدونکی پری د پورته کیدو داسی قوه جوړه کړی چی هلیکوپتر په هوا کی ودریدلی شی. که د شافت قطر 6 in وي اصلی ستریسونه او اعظمی شیبیر ستریس په سطحه په یوه ټکی کی د شافت په سطحه و ټاکي.



ب 9-68

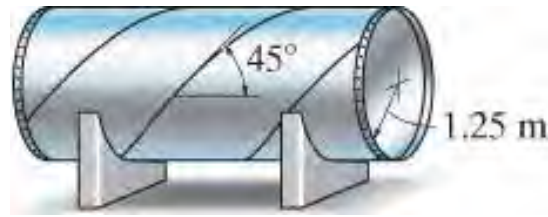
س 9-69 د بایسکل د پینسی میلی غوڅه برخه په لاندی انځور کی بنودل شوي. که چیری دا میلیه د گیر سره په B کی کلکه تړل شوی او حرکت و نکړي کله چی یوه 75 lb قوه ورباندی عمل وکړي. اصلی ستریسونه په غوڅه برخه، په ټکی C کی وټاکي.



ب 9-69

س 9-70 د یو کروي فشار ټانک داخلی شعاع 5 ft فته او د دیوال ضخامت یی 0.5 in انچه دی. د ستریس حالت معلومولو لپاره د موهر (Mohr's) دایره جوړه کړي او د ستریس حالت په یوه ټکی په سطحه د کوری تشریح کړي. داخلی فشار په کوره کی 80 psi دي.

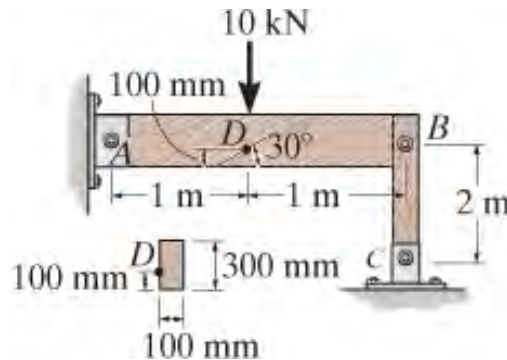
س 9-71. د یو سلندري فشار ټانک داخلي شعاع 1.25 m او د دیوال ضخامت یې 15 mm ملي متره دی. دا له فولادی تختو چې په 45° درز ویل شوي، جوړ شوي. د نارمل او شیبیر سټریس اجزای د درز په اوږدوالی وټاکي. داخلي فشار د ټانک 8 MPa دی.



ب 9-71

س *9-72. په ټکي D کې نارمل او شیبیر سټریس چې عمود او موازي د لرگی په رگونو دی و ټاکي. د لرگی رگونه د افقي کرښې سره 30° درجې زاویه جوړه وي. ټکي D د 10-kN بهرنی قوی په کین اړخ کې موقعیت لري.

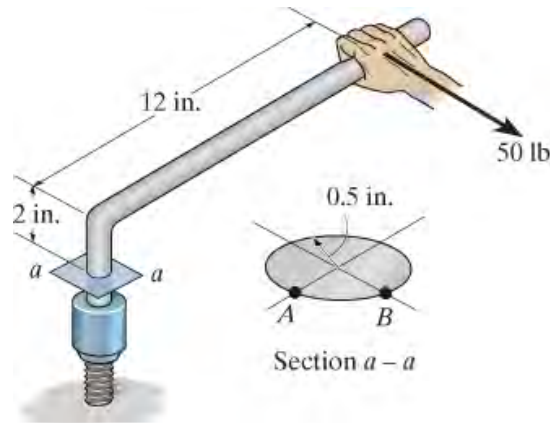
س 9-73. په ټکي D کې اصلی سټریس و ټاکي. ټکي D د 10-kN بهرنی قوی په کین اړخ کې موقعیت لري.



ب 9-72/73

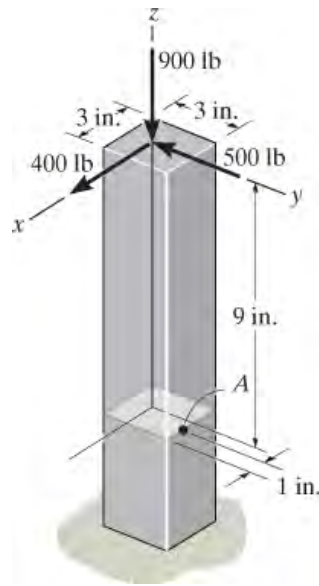
س 9-74. د باکس رینچ په لاستی یوه 50 lb پوند قوه پلي شوي ده، اصلی سټریسونه او اعظمی شیبیر سټریس په سطحه په ټکي A د رینچ دغوڅی برخې چې په سطحه $a-a$ موقعیت لری و ټاکي. سمتونه ددی سټریسونو او پایلي یې په دی ټکي په یوه عنصر و ښيي.

س 9-75. د باکس رینچ په لاستی یوه 50 lb پوند قوه پلی شوي ده، اصلی ستریسونه او اعظمی شپیر ستریس په سطحه په تکی B د رینچ دغوخی برخی په سطحه a-a موقعیت لری و تاکي. سمتونه ددی ستریسونو او پایلي یي په دی تکی کی په یوه عنصر و بنیي.



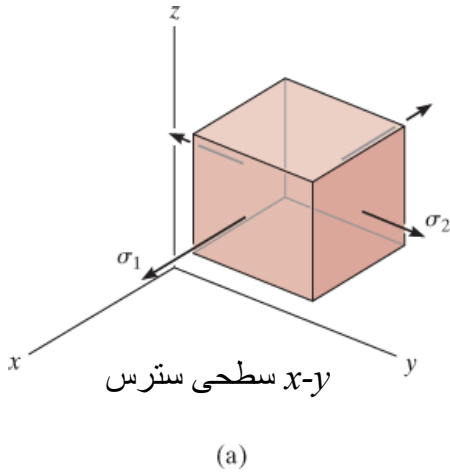
ب 9-74/75

س *9-76. دا لاندی پایه په بنکته پای کی په کلکه اتکا ټینگه تړل شوي ، او بهرني بار چی ورباندی پلی شوي په لاندی انخور کی لیدل کیږي . تاسو و تاکي (a) اعظمی شپیر ستریس په سطحه په A کی او (b) اصلی ستریسونه په A کی.

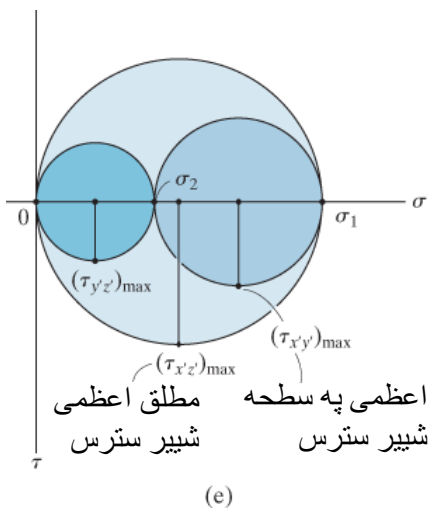


ب 9-76

9.5 مطلق اعظمی شییر ستریس (ABSOLUTE MAXIMUM SHEAR STRESS)



خُکِه چي د نرمو (ductile) موادو مقاومت د شییر ستریس په مقابل کی په توانایی پورې اړه لري ، کله چي یو بهرنی بار ورباندی پلي شي، دا مهمه ده چي **مطلق اعظمی شییر ستریس** په موادو کي ومومی. د بنودلو لپاره چي دا څنگه موندل کیدی شي، مور به خپل پام یوازي تر ټولو عمومي حالت د سطحی ستریس* (plane stress*) ته محدود کړو لکه څنگه چي په انځور 9-21a کي بنودل شوي. دلته دواړه s_1 او s_2 کششی ستریسونه دی. که مور عنصر په یو وخت کی په دوو ابعادو کي وگورو، په سطحی $x-z$ ، $y-z$ ، او $x-y$ ، انځورونه 9-21b، 9-21c، او 9-21d، بیا مور د موهر دایره د هر یوه حالت لپاره وکاروو تر څو اعظمی شییر ستریس په سطحه د هر حالت لپاره و ټاکو. د مثال په توگه، د موهر دایره د 0 او s_2 ترمنځ دوام لری د هغه حالت لپاره چي په انځور 9-21b کي بنودل شوي. له دې دایري څخه، انځور 9-21e و گوري، اعظمی شییر ستریس په سطحه کی عبارت دی په $t_{\max \text{ in plan}} = s_2/2$. د دوو نورو حالتو لپاره د موهر دایره په انځور 9-21e کي بنودل شوي. د ټولو دریو دایرو په پرتله کولو، مطلق تر ټولو لوړ شییر ستریس عبارت دی په



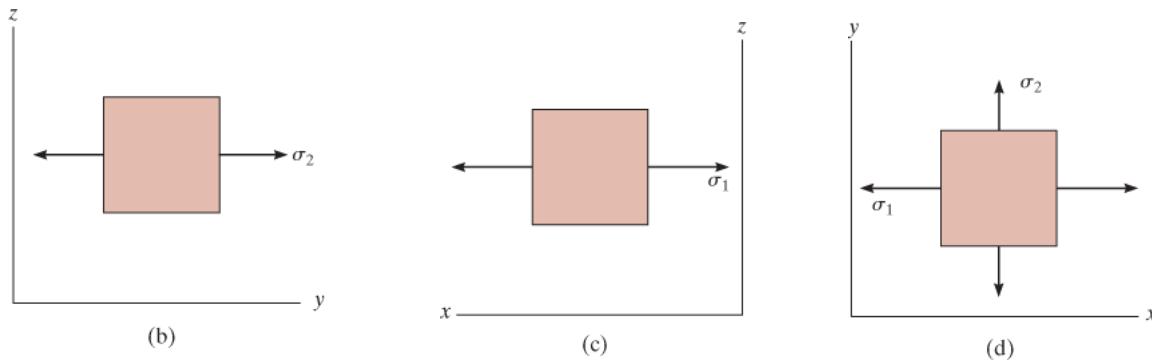
انځور 9-21

$$\tau_{\max}^{\text{abs}} = \frac{\sigma_1}{2}$$

(9-13)

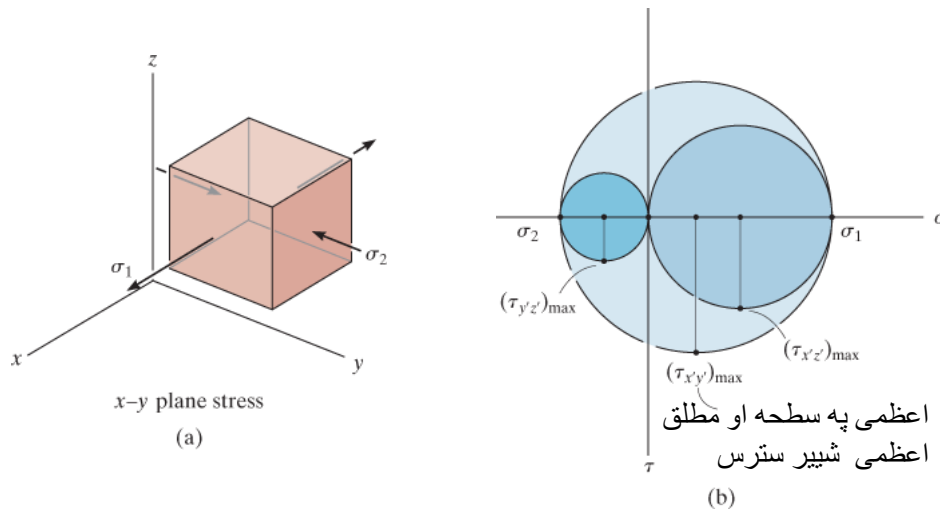
σ_1 and σ_2 have the same sign

دا په یوه عنصر چی پر y محور یی 45° درجی له بنودل شوي عنصر گرزیدل کړي ، نځور 9-21a یا 9-21c . دا همغه له سطحی وتلی شییر سٹریس دی چی د مواد و د ماتیدو لامل کیږي ، نه هغه $t_{\max \text{ in-plane}}$.



انځور 9-21 (تکرار)

* د دری اړخیز سٹریس قضیه په پرمختللي میخانیکونو پوري اړوند کتابونو کی لکه د موادو او ایلسټیستی قضیې کتاب بحث شوي، او کیدی شی هغه وگوري.



انځور 9-22

په ورته ډول، که په سطحه کې یو له اصلي سترونو څخه د بل برعکس علامه ولري، انځور 9-22a، بیا د مور درې دایرې د ستړیس حالت د عنصر لپاره تشریح کوي کله چې له هرې سطحې څخه ولیدل شي، انځور 9-22b کې ښودل شوي. په ښکاره ډول، په دې حالت کې

$$\tau_{\max}^{\text{abs}} = \frac{\sigma_1 - \sigma_2}{2} \quad (9-14)$$

σ_1 and σ_2 have opposite signs

دلته مطلق اعظمی شپیر ستړیس مساوی دی په اعظمی شپیر ستړیس په سطحه چې د عنصر په 45° درجو گرزیدا ورکولو د z په محور لاس ته راځي، انځور 9-22a وگوري.

مهم ټکي

(IMPORTANT POINTS)

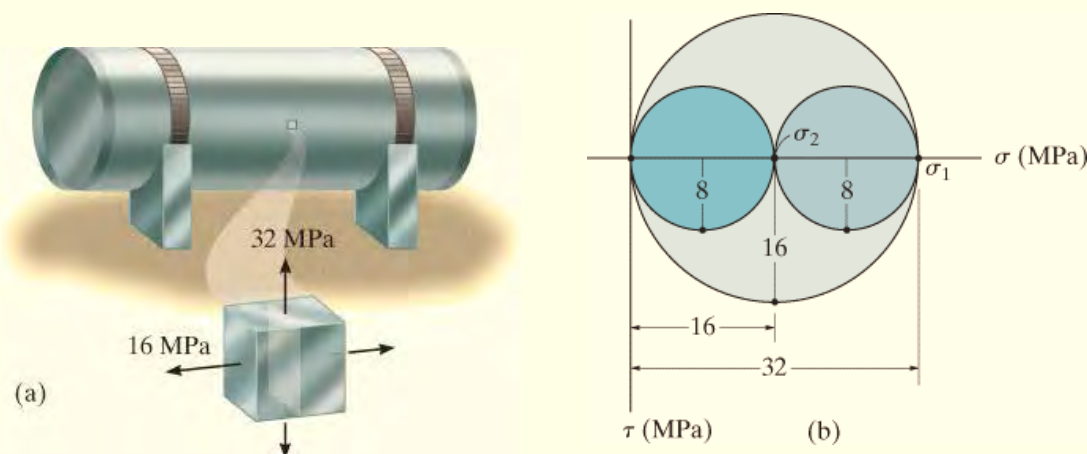
- که چیرې په سطحه کې اصلي ستړیس دواړه ورته نښه ولري، مطلق اعظمی شپیر ستړیس به د سطحې څخه بهر واقع شي اعظمی ارزښت به یې $t_{\text{abs max}} = s_{\text{max}}/2$ وي. دا ارزښت به له هغه شپیر ستړیس چې په په سطحه کې ډیر دی.
- که په سطحه کې اصلي ستړیسونه د مخالفو نښو څخه وي، نو بیا مطلق اعظمی شپیر ستړیس به د اعظمی شپیر ستړیس په سطحه سره مساوي وي؛ یعنې،

$$\tau_{\max}^{\text{abs}} = |(\sigma_{\max} - \sigma_{\min})/2|$$

مثالونه

مثال 9.10

یوه نقطه د فشار ټانک په سطحه کی څرنگه چی په انځور 9-23a کی بنودل شوي ، د سطحی سټریس (plane stress) حالت لری. مطلق اعظمی شیبر سټریس په دی نقطه کی و ټاکي.



انځور 9-23

حل (SOLUTION)

اصلی سټریسونه مساوی دی په $s_1 = 32 \text{ MPa}$ او $s_2 = 16 \text{ MPa}$. که دا سټریسونه په امتداد د S محور پلات کړو ، دري د موهر دایری به جوړی شي او دا به د سټریس حالت په هره یوه عمود ی سطحه و بنیي، انځور 9-23b وگوري. دلوی دایری شعاع 16 MPa او دا د سټریس حالت په سطحه چی شامل د $s_1 = 32 \text{ MPa}$ دی تشریح کوي، او دا په سیوره شوی ساحه په انځور 9-23a کی بنودل شوي. د یوه عنصر سمت 45° درجی په دی سطحه د مطلق اعظمی شیبر سټریس حالت او اړوند اوسط نارمل سټریس بنیي، هغه دی

$$\tau_{\text{max}}^{\text{abs}} = 16 \text{ MPa}$$

$$\sigma_{\text{avg}} = 16 \text{ MPa}$$

Ans.

ورته پایله د $t_{abs\ max}$ په مستقیم ډول د معادلی 9-13 له تطبیقه حاصل کیدی شي.

$$\tau_{\max}^{\text{abs}} = \frac{\sigma_1}{2} = \frac{32}{2} = 16 \text{ MPa}$$

Ans.

$$\sigma_{\text{avg}} = \frac{32 + 0}{2} = 16 \text{ MPa}$$

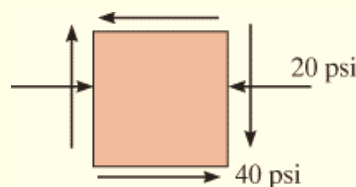
په پرتله کولو سره اعظمی شیبیر سټریس په سطحه له موهر دایری چی د $s_1 = 32\text{MPa}$ او $s_2 = 16\text{MPa}$ په منځ کی دی، انځور 9-23b څخه مشخص کیدی شي.

$$\tau_{\max}^{\text{in-plane}} = \frac{32 - 16}{2} = 8 \text{ MPa}$$

$$\sigma_{\text{avg}} = \frac{32 + 16}{2} = 24 \text{ MPa}$$

مثال 9.11

د بهرنی بار له امله په یوه عنصر د یو ماشین شافت باندی د سټریس حالت په انځور 9-24a کی بنودل شوي. اصلی سټریسونه او مطلق اعظمی شیبیر سټریس په هغه ټکی کی مشخص کړي.

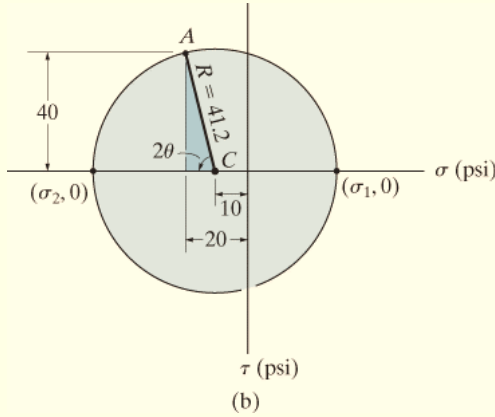


(a)

انځور 9-24

حل (SOLUTION)

اصلي ستريس (Principal Stress).



په سطحه اصلي ستريس د موهر دایري په واسطه پیدا کیدی شي. د دایري مرکز په S محور $(-20 + 0)/2 = -10 \text{ psi}$

د ریفرنس ټکی $A (-20, -40)$ پلات کوو، د دایري شعاع CA تشکیل شو او دایره لکه څنګه چې په انځور 9-24b کی بنودل شوي رسم کوو. شعاع یی عبارت دی په

انځور 9-24 تکرار

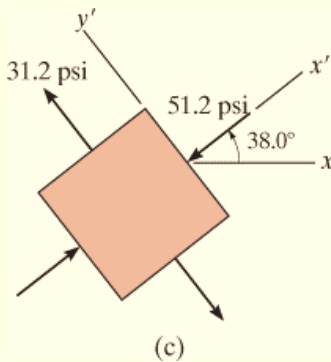
$$R = \sqrt{(20 - 10)^2 + (40)^2} = 41.2 \text{ psi}$$

په هغه ټکیو چې دایره د S محور قطع کوی هغه ټکی اصلي ستريسونه دی، چې عبارت دی په

$$\sigma_1 = -10 + 41.2 = 31.2 \text{ psi}$$

$$\sigma_2 = -10 - 41.2 = -51.2 \text{ psi}$$

په دی دایره کی ، خلاف د ساعت د سنتي زاویه 2θ له CA څخه تر د S محور عبارت ده په



$$2\theta = \tan^{-1}\left(\frac{40}{20 - 10}\right) = 76.0^\circ$$

په دی توګه

$$\theta = 38.0^\circ$$

دا گردش چې مخالف د ساعت د سنتي دی سمت د x' محور او تعریف کوی، انځور 9-24c وګوري. مور لرو

انځور 9-24 تکرار

$$\sigma_1 = 31.2 \text{ psi} \quad \sigma_2 = -51.2 \text{ psi}$$

Ans.

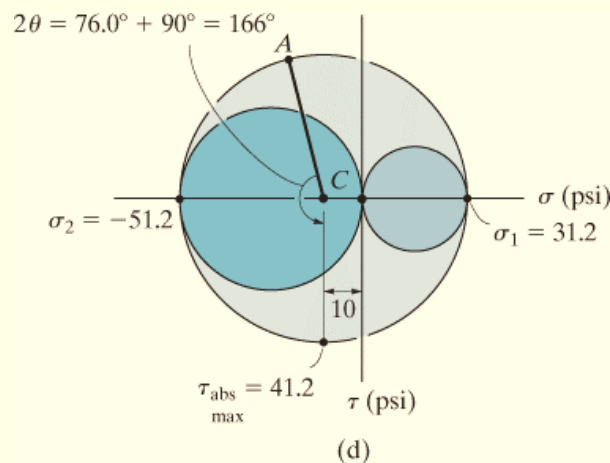
مطلق اعظمی شیبیر ستریس (Absolute Maximum Shear Stress).

ځکه چې دا ستریسونه مخالفې نښې لري، معادلی 9-14 تطبیق کوو، مور لرو

$$\tau_{\text{abs max}} = \frac{\sigma_1 - \sigma_2}{2} = \frac{31.2 - (-51.2)}{2} = 41.2 \text{ psi} \quad \text{Ans.}$$

$$\sigma_{\text{avg}} = \frac{31.2 - 51.2}{2} = -10 \text{ psi}$$

ورته پایلي د موهر دایري په رسمولو د عنصر د هر سمت x, y, z محورونو، انځور 9-24d، هم لاس ته راوړل کیدی شي. ځکه چې S_1 او S_2 مخالفې علامې لري، بیا مطلق اعظمی شیبیر ستریس مساوی دی په اعظمی شیبیر ستریس په سطحه.

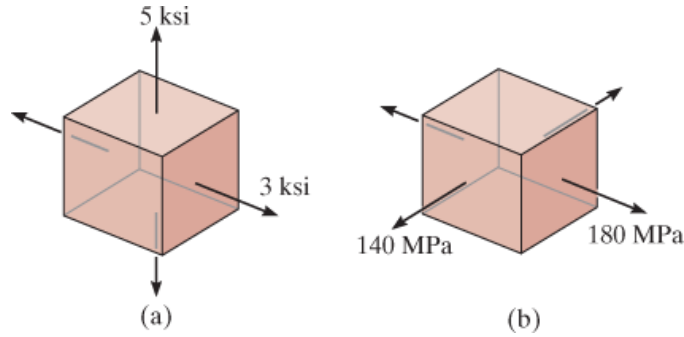


انځور 9-24 تکرار

سوالونه

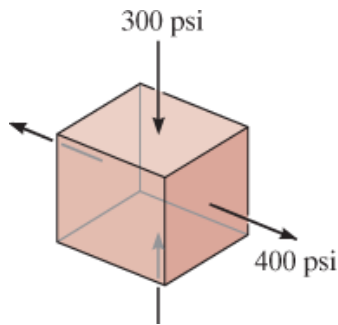
PROBLEMS

س 9-77. ددی لاندی ستریس حالتونو لپاره دري د موهر دایري رسم کړي.



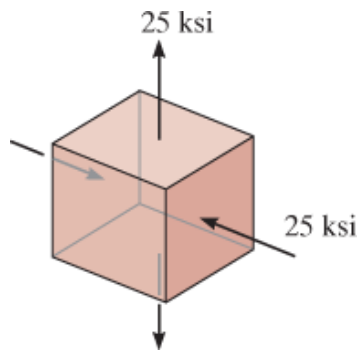
س 9-77

س 9-78. د موهر دري دایري رسم کړئ تر څو دا لاندی د ستریس حالت تشریح کړي.



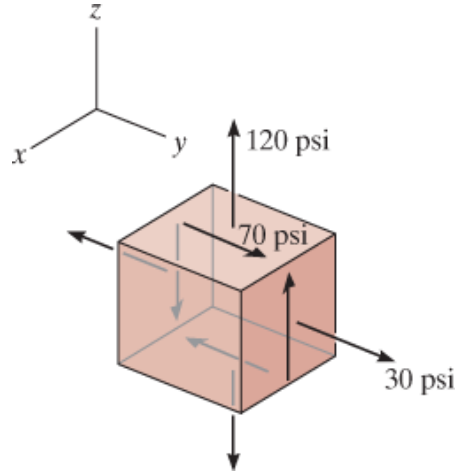
س 9-78

س 9-79. د موهر دري دایري رسم کړئ تر څو دا لاندی د ستریس حالت تشریح کړي.



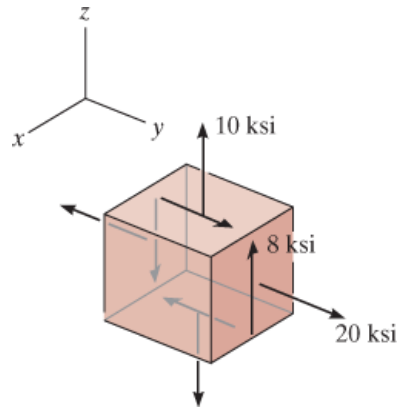
س 9-79

س 9-80* اصلی ستريسونه او مطلق اعظمی شپير ستريس وټاکي.



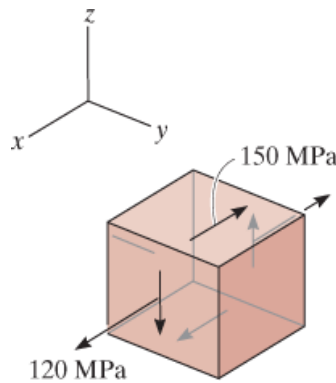
س 9-80

س 9-81 اصلی ستريسونه او مطلق اعظمی شپير ستريس وټاکي.



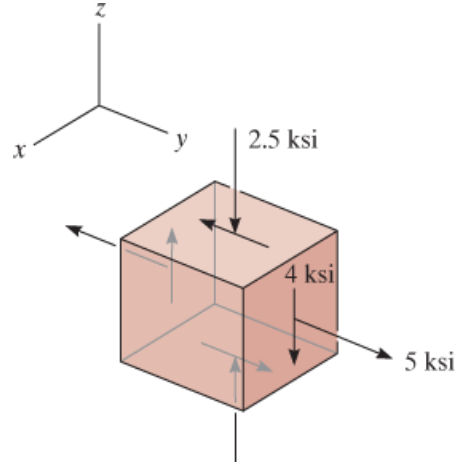
س 9-81

س 9-82 اصلی ستريسونه او مطلق اعظمی شپير ستريس وټاکي.



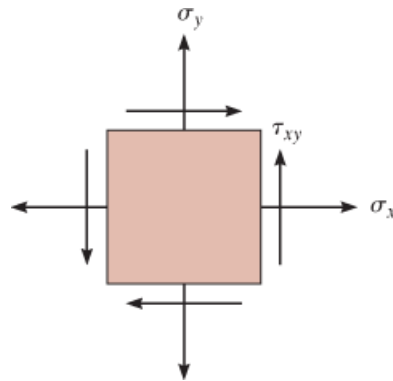
س 9-82

س 9-83. اصلی ستریسونه او مطلق اعظمی شپیر ستریس و تکی.



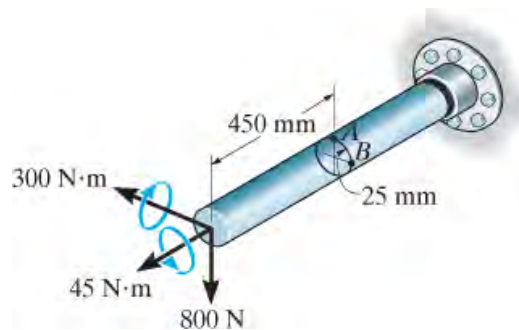
س 9-83

س 9-84* دا لاندی د سطحی ستریس حالت چی بنودل شوي، په پام کی ونیسي. یو کمپیوتری پروگرام داسی ولیکي تر څو د دریو موهر دایری رسمول د یو عنصر لپاره ونیسي، او هم د اعظمی شپیر ستریس په سطحه او مطلق اعظمی شپیر ستریس ټاکل کری.



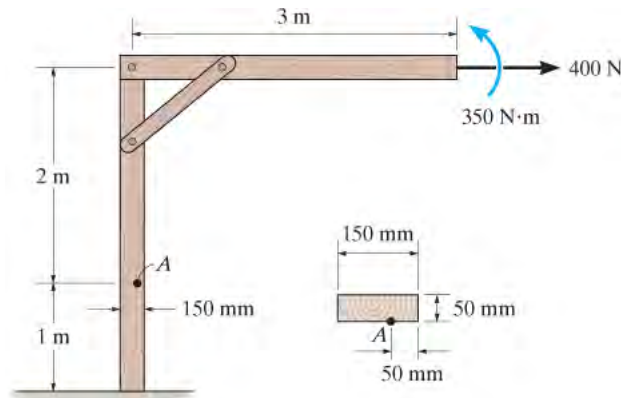
س 9-84

س 9-85. په دی لاندی شافت یو تورک، کزیدونکی مؤمنت او شپیر قوه پلی شوي. په ټکیو A او B کی اصلی ستریسونه او مطلق اعظمی شپیر ستریس معلوم کری.



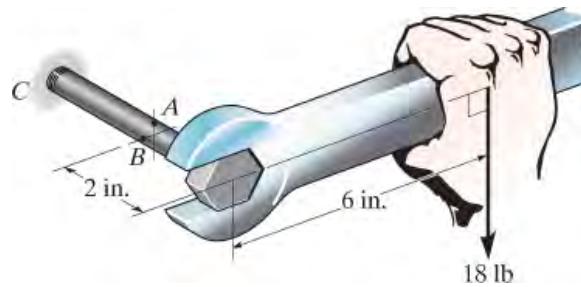
س 9-85

س 9-86. په دی لاندی چوکاټ یوه افقی قوه او کپل (couple) مؤمنت پلی شوي. په ټکی A کی اصلی سټریسونه او مطلق اعظمی شییر سټریس وټاکي. د غړی غوڅه برخه په دی حای کی په لاندی انځور کی بنودل شوي.



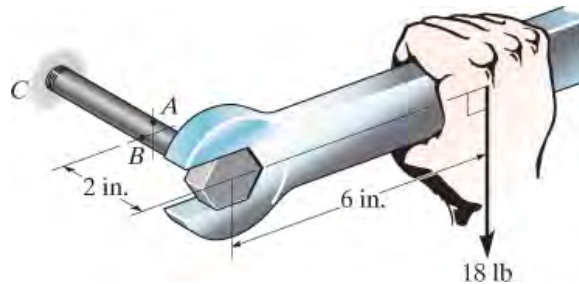
س 9-86

س 9-87. دا بنودل شوی بولټ په اتکا C کی کلک ټرل شوي دي. یوه قوه د 18 lb پونډه په رنچ پلی شوی ترڅو دا بولټ ټینګ کړي، اصلی سټریسونه او مطلق اعظمی شییر سټریس په ټکی A د بولټ کی مشخص کړي. پایلی په یوه عنصر په دی حای کی وښيي. د بولټ د لنگي قطر 0.25 in دي.



س 9-87

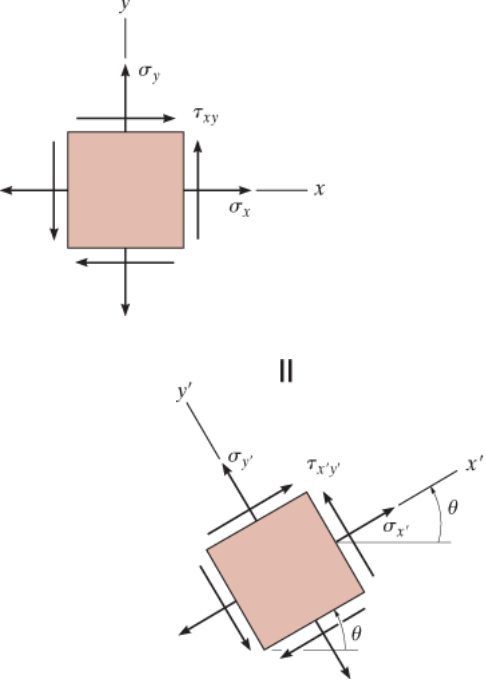
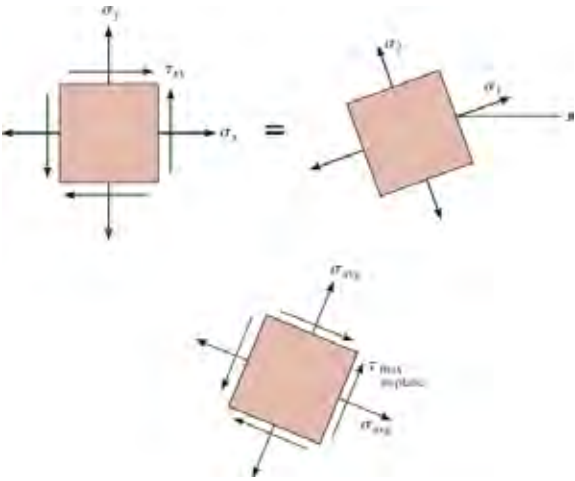
س 9-88*. دا بنودل شوی بولټ په اتکا C کی کلک ټرل شوي دي. یوه قوه د 18 lb پونډه په رنچ پلی شوی ترڅو دا بولټ ټینګ کړي، اصلی سټریسونه او مطلق اعظمی شییر سټریس په ټکی B د بولټ کی مشخص کړي. پایلی په یوه عنصر په دی حای کی وښيي. د بولټ د لنگي قطر 0.25 in دي.



س 9-88

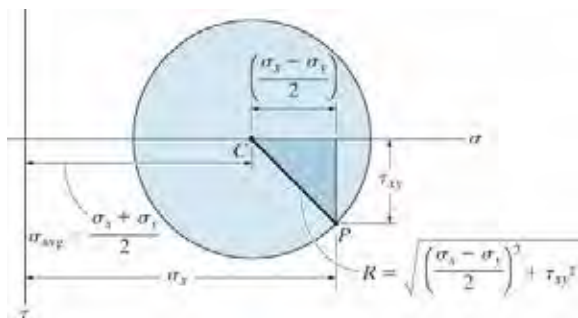
د فصل بیا کتنه

CHAPTER REVIEW

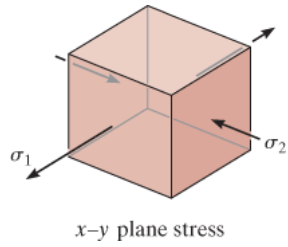
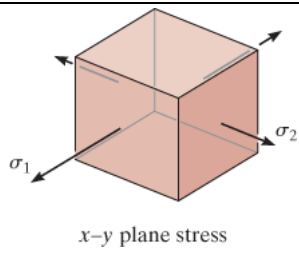
	<p>سطحي سترييس (plane stress) هغه وخت په يوه ټکي کې واقع کيږي کله چې دوه نارمل سترييسونه σ_x او σ_y او يو شيبير سترييس τ_{xy} پری پلي شوي وي. دا اجزای بايد معلومي وي، بيا دسترييس اجزای په يو بل عنصر چې د زاويه θ سمت ولري د سترييس د بدلون د تعادل معادلو په واسطه پيدا کيدی شي</p> $\sigma_{x'} = \frac{\sigma_x + \sigma_y}{2} + \frac{\sigma_x - \sigma_y}{2} \cos 2\theta + \tau_{xy} \sin 2\theta$ $\tau_{x'y'} = -\frac{\sigma_x - \sigma_y}{2} \sin 2\theta + \tau_{xy} \cos 2\theta$
	<p>د ډيزاين لپاره دا مهمه ده چې په يو ټکي کې اعظمی اصلي سترييس او يا اعظمی شيبير سترييس په سطحه و ټاکل شي. د اصلي سترييس په سطحو شيبير سترييس شتون نلري، چيرته چې</p> $\sigma_{1,2} = \frac{\sigma_x + \sigma_y}{2} \pm \sqrt{\left(\frac{\sigma_x - \sigma_y}{2}\right)^2 + \tau_{xy}^2}$ <p>د اعظمی شيبير سترييس په سطحو، هلته اړوند اوسط نارمل سترييس شتون لري، چيرته چې</p>

$$\tau_{\max \text{ in-plane}} = \sqrt{\left(\frac{\sigma_x - \sigma_y}{2}\right)^2 + \tau_{xy}^2}$$

$$\sigma_{\text{avg}} = \frac{\sigma_x + \sigma_y}{2}$$



د موهر دایری نیم گرافیکي طریقہ د سترس پیدا کولو په هره یوه سطحه باندې، یا اصلی نارمل ستریسونه او یا اعظمی شیبیر ستریس په سطحه لپاره ده. ددی لپاره چی د موهر دایره رسم کرو اول باید د s او د t محورونه وټاکل شي. بیا د دایری مرکز $C[(s_x + s_y)/2, 0]$ او د ریفرینس ټکی $A(s_x, t_{xy})$ په دایره و پیژندل شي. شعاع R د دایری د مرکز او د ریفرینس ټکی په اوږدوالی د مثلثاتو اصلو په تطبیق کولو موندل کیږي.



که چیری σ_1 او σ_2 یو شان علامه ولري بیا مطلق اعظمی شییر ستریس به په یوه ټکی کی له سطحی وتلی موقعیت ولري.

$$\tau_{\max}^{\text{abs}} = \frac{\sigma_1}{2}$$

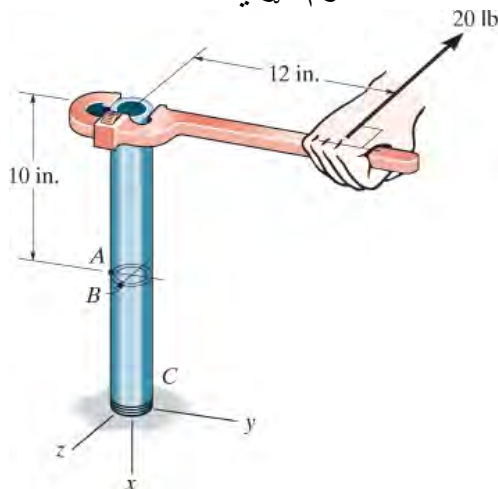
که چیری σ_1 او σ_2 برخلاف د یو بل علامه ولري بیا مطلق اعظمی شییر ستریس به مساوی وی په اعظمی شییر ستریس په سطحه کی.

$$\tau_{\max}^{\text{abs}} = \frac{\sigma_1 - \sigma_2}{2}$$

د بيا کتنی سوالونه

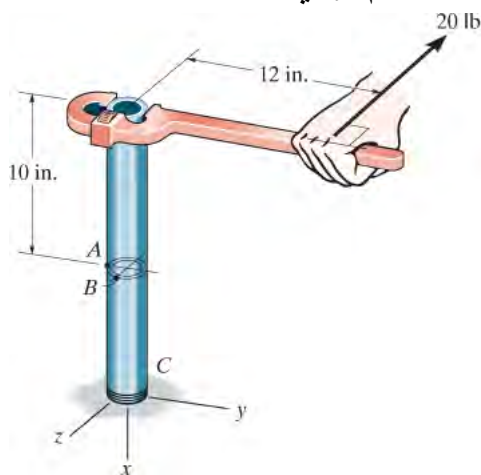
REVIEW PROBLEMS

ب 9-1. دا لاندی فولادی پایپ داخلی قطر 2.75 in او بهرنی قطر یې 3 in لري. دا پایپ په C اتکا کی کلک تړلي شوي، او یوه افقي قوه 20 lb د رنچ په لاستي پلي شوي. اصلی ستریسونه په تکی A کی چی د پایپ په سطحه ده معلوم کړي.



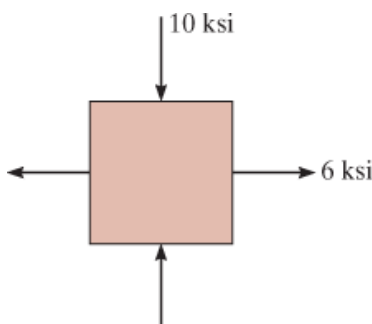
ب 9-1

ب 9-2. دا لاندی فولادی پایپ داخلی قطر 2.75 in او بهرنی قطر یې 3 in لري. دا پایپ په C اتکا کی کلک تړلي شوي، او یوه افقي قوه 20 lb د رنچ په لاستي پلي شوي. اصلی ستریسونه په تکی B کی چی د پایپ په سطحه ده معلوم کړي.



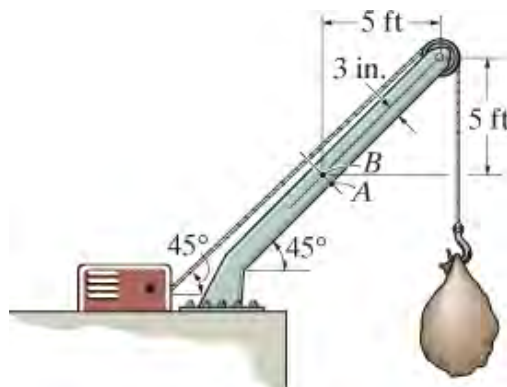
ب 9-2

ب 9-3. ددی لاندی بنودل شوی ستریس حالت معادل، په یوه عنصر چی 40° د ساعت د ستنې په لور له بنودل شوی عنصر سره جهت لري، پیدا کړي. د موهر له دایري کار واخلي.



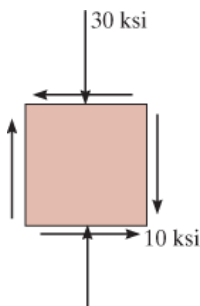
ب 9-3

ب 9-4* دا لاندی جری ثقیل یا کرین د 350-lb بار ملاتړ کوي. اصلی ستریسونه د بوم (boom) د A او B په ټکیو کی معلوم کړي. غوڅه برخه یې مستطیلی ده کوم چی عرض یې 6 in او پندوالي یې 3 in دی. له موهر دایری کار واخلي.



ب 9-4

ب 9-5 د بنودل شوی عنصر ستریس حالت معادل داسی وټاکي کوم چی استازیتوب کوي (a) اصلی ستریسونو او (b) اعظمی شیبیر ستریس په سطحه، او اړوند اوسط نارمل ستریس. همدارنگه د هری حالت لپاره اړونده د عنصر جهت، د بنودل شوي عنصر جهت ته معلوم کړی، او پایلي په یوه عنصر وښايي.



ب 9-5

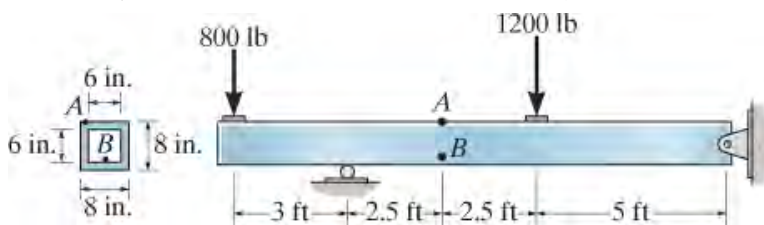
ب 9-6 په مخ کښونکي (propeller) شافت د یوی کښولو کښنتي، لکه څنگه چی په لاندی انځور کی بنودل شوي، یو تیلوهونکی قوه او تورک پلی شوي. د شافت داخلی قطر 100 mm او

بهروني قطر يي 150 mm دي. اصلی ستريسونه په يو ټکی A چی په وتلی سطحه موقعیت لري وټاکي.



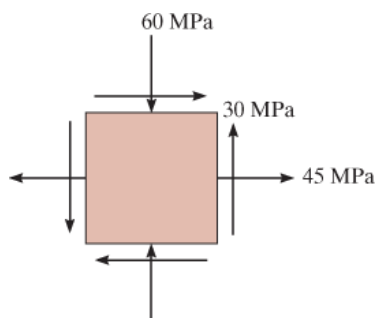
ب 9-6

ب 9-7. په ټکیو A او B د باکس بیم، اصلی ستريسونه مشخص کړي.



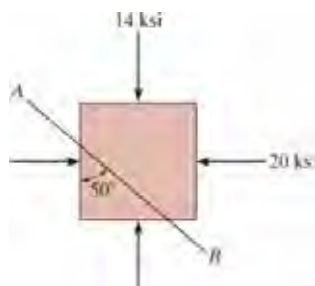
ب 9-7

ب 9-8*. معلوم کړي (a) اصلی ستريسونه او (b) اعظمی شير ستريس په سطحه، او اوسط نارمل ستريس په ټکي کی. په هر حالت کی جهت د عنصر وټاکي.



ب 9-8

ب 9-9. د ستريس اجزای په مایل سطحه AB مسح کړي. د سوال د حل لپاره د توازن له طریقی چی په 9.1 برخه کی تعریف شوی کار واخلي.



ب 9-9

لسم فصل

(CHAPTER 10)



(© Peter Steiner/Alamy)

د پله لپاره دا پن اتکا د سټریس گيجونو سره ازمول شوی، ترڅو ډاډ ترلاسه شي چې اصلی سټرین په موادو کې د موادو د ماتیدو له معیار څخه زیات نه شي.

د سترين بدلون

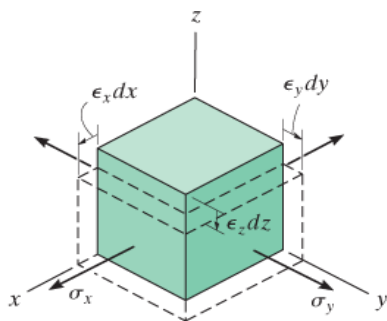
(STRAIN TRANSFORMATION)

د فصل موخي CHAPTER OBJECTIVES

پدې فصل کې به مور وښيو چې څنگه د سترين بدلون په يوه نقطه کې د ستريس بدلون په شان اجرا کيږي، او په پايله کې د مخکينې فصل طريقې به په دې فصل کې تطبيق شي. دلته به هم د سترين اندازه کولو لپاره د بيلابيلو لارو په اړه بحث وشي او د ځينې موادو د خاصيتونو مهم اړيکي، په شمول د عمومي بڼه د هوک د قانون به رامینځته کړل شي. د فصل په پای کې، يو څو هغه تيوري گانو بحث وکړو چې د موادو د ماتيدو او يا له منځه وړلو وړاندوينې لپاره کارول کيږي.

10.1 سطحی سترین (PLANE STRAIN)

لکه څنگه چې په 2.2 برخه کې تشریح شوي، د سترین عمومي حالت د جسم په یوه نقطه کې د نارمل سترین د دريو برخو ترکیب لخوا e_x, e_y, e_z او د شیبیر سترین دريو برخو، g_{xy}, g_{yz}, g_{zx} ، له خوا بنودل کيږي، انځور 2-4c وگورئ. نارمل سترینونه د عنصر په حجم کې د بدلون لامل کيږي او د شیبیر سترین برخې په شکل د جسم کې د بدلون لامل کيږي. د ستریس په څیر، دا شیبیر برخې د عنصر په لور یا جهت پورې اړه لري، او په ډیری حالتونو کې، انجینران باید سترینونه بدل کړي ترڅو ارزښتونه په نورو جهتونو ترلاسه کړي.



سطحی ستریس s_x, s_y لامل د سطحی سترین په $x-y$ سطحه کې نه کيږي ځکه چې $\epsilon_z \neq 0$.

انځور 10-1

نارمل سترین e_z هم شتون لري، او دا بنایي چې د سطحی سترین قضیه نه ده.

په حقیقت کې، د سطحی سترین قضیه په ندرت سره په عمل کې پیښیږي، ځکه چې ډیری مواد هیڅکله د سختو سطحو تر مینځ محدود نه وي ترڅو د z په لور کې تحریف ته اجازه ورنه کړئ شي (عکس وگورئ). له دې سره سره، د سطحی سترین تحلیل، لکه څنگه چې په لاندې برخه کې بیان شوی، لاهم ډیر اهمیت لري، ځکه چې دا به مور ته اجازه را کړي چې د سترین گيچ ډینا کوم چې په سطحه د یو جسم په یوه نقطه کې اندازه شوي وي، په سطحی ستریس په هغه نقطه کې بدل کړو.

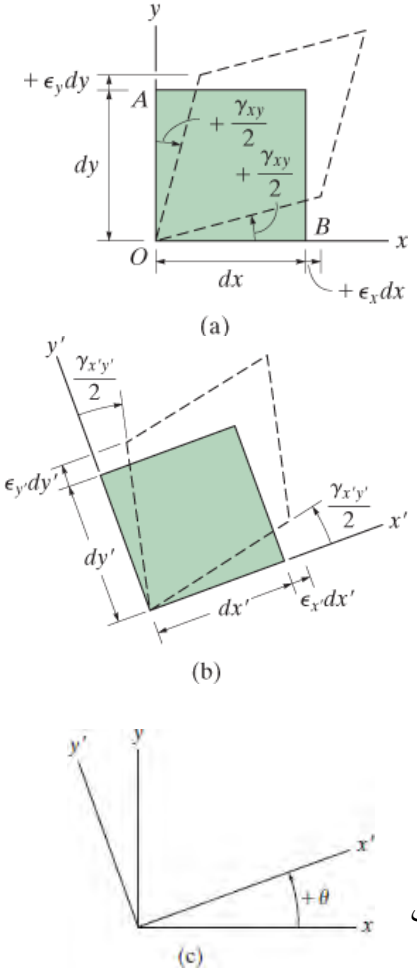
10.2 د سطحی سترین بدلون عمومي معادلات (GENERAL EQUATIONS OF PLANE-STRAIN TRANSFORMATION)

د سطحی سترین تحلیل لپاره مهمه ده چې د سترین بدلون معادلی رامینځته کړو، ترڅو دا معادلی په یوه ټکی کې، د نارمل او شیبیر سترین اجزاوو g_{xy}, e_x, e_y ، انځور 10-2b، ټاکلو لپاره وکارول

شي. په دی تکی کی باید اجزای e_x, e_y, g_{xy} پیژندل شوي وي، انځور 10-2a. نو په بل عبارت که مور پوهیږو چې د یو عنصر مواد، انځور 10-2a، څنگه بیخایه (deform) کیږي، مور غواړو پوه شو چې څنگه به مواد د عنصر چی په انځور 10-2b کی بنودل شوي بیخایه شي. د دی اجرا کولو لپاره اړتیا ده تړون او ترتبات د بیخایه کیدلو او د خطي برخو گردش، کوم چی استازیتوب کوي د توپیری عناصرو اړخونو چی موازي دی په x, y او x', y' محورونو سره، معلوم شي.

د علامی کنوانسیون (Sign Convention).

د پیل کولو لپاره، مور باید لومړی د سترین لپاره د علامی کنوانسیون جوړ کړو. په انځور 10-2a کی نارمل سترینونه ترتیب سره e_x او e_y مثبت دي که دوی د x او y محورونو په اوږدو کی د اوږدوالي لامل شي، او د شیر سترین g_{xy} مثبت دی که چیرې داخلي زاویه AOB له 90° درجو څخه کوچنی شي. دا کنوانسیون هم د ورته کارول شوي کنوانسیون پیروي کوي چی د سطحی ستریس له پاره کارول شوي وو انځور 9-5a، کوم چی مثبت s_x, s_y, t_{xy} به عنصر لامل د بیخایه کیدو په ترتیب سره په مثبت e_x, e_y, g_{xy} جهت شي. په پای کی، که د x او x' محورونو تر مینځ زاویه q وی، بیا د سطحی ستریس په څیر، زاویه به مثبت وی په دی شرط چی دا د بني لاس د گوتو تاو تعقیب کړي، د بیلگي په توگه مخالف د ساعت د سنتي کی، لکه څنگه چی په انځور 10-2c کی بنودل شوي.

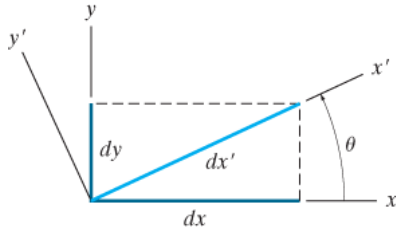


* د دري اړخیز سترین تحلیل پر مختللي میخانیک د موادو او یا د ایلستیستی تیوری کتابونو کی بحث شوی.

انځور 10-2

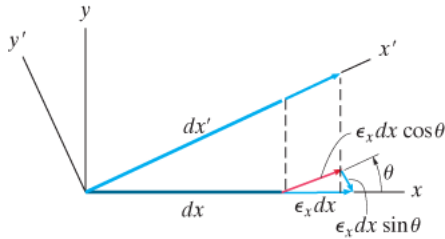
نارمل او شیر سترینونه (Normal and Shear Strains).

د e_x ټاکلو لپاره مور باید اوږدوالی د برخی dx' د کرني x' په اوږدو چی د سترین اجزای e_x, e_y, g_{xy} ورباندی عمل کړی و پیژنو. څرنگه چی په انځور 10-3a کی بنودل شوي اجزای د کرني dx' په اوږدو د x او y محور عبارت دی په



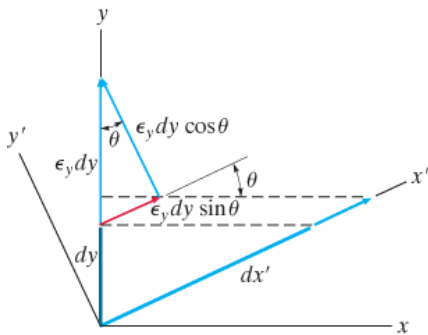
Before deformation

(a)



Normal strain ϵ_x

(b)



Normal strain ϵ_y

(c)

$$\begin{aligned} dx &= dx' \cos \theta \\ dy &= dx' \sin \theta \end{aligned} \quad (10-1)$$

کله چې مثبت نارمل سترین ϵ_x واقع شي، په dx کې $\epsilon_x dx$ په اندازه اوږدوالي راځي، انځور 10-3b. اودا لامل د $\epsilon_x dx \cos \theta$ اوږدوالي په dx' کې کيږي. په ورته ډول، کله چې ϵ_y واقع کيږي په dy کې اوږدوالي $\epsilon_y dy$ ، انځور 10-3c، کوم چې د dx' لامل د اوږدولو $\epsilon_y dy \sin \theta$ کيږي. په نهایت کې، فرض کړئ چې dx په موقعیت کې ثابت پاتې کيږي، شیبیر سترین ϵ_y انځور 10-3d کې، کوم چې د dx او dy تر منځ د زاویې بدلون دی، د دې لامل کيږي چې د کرښې dy پورتنۍ برخه ښي خوا ته $\epsilon_{xy} dy$ بی ځایه شي. او دا لامل گرځي چې dx' په اندازه د $\epsilon_{xy} dy \cos \theta$ اوږدوالي و مومي. که دا درې واړه (سره رنگ) اوږدوالي سره یوځای کې اضافه شي، د dx' پایله اوږدوالی به راکړي او هغه عبارت دی

$$\delta x' = \epsilon_x dx \cos \theta + \epsilon_y dy \sin \theta + \gamma_{xy} dy \cos \theta$$

څرنگه چې نارمل سترین په اوږدو د کرښې dx' عبارت دی په $\epsilon_{x'} = dx'/dx'$ نو بیا د معادلی 10-1 په تطبیق سره مور لرو

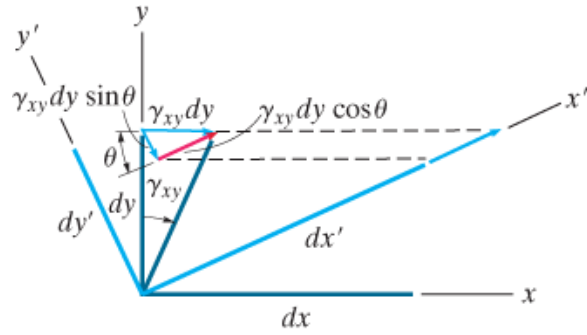
$$\epsilon_{x'} = \epsilon_x \cos^2 \theta + \epsilon_y \sin^2 \theta + \gamma_{xy} \sin \theta \cos \theta \quad (10-2)$$

دا نارمل سترین په انځور 10-2b کې ښودل شوي

$$\delta y' = -\epsilon_x dx \sin \theta + \epsilon_y dy \cos \theta - \gamma_{xy} dy \sin \theta$$



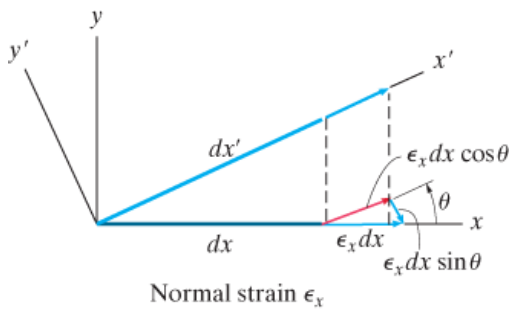
د ربر نمونه د دوه ثابت اتکاوو تر مینځ محدوده ده، او له همدې امله سطحی سترین رامینځ ته کیږي، کله چې بارونه په افقی سطحه کی پلي شي.



Shear strain γ_{xy}

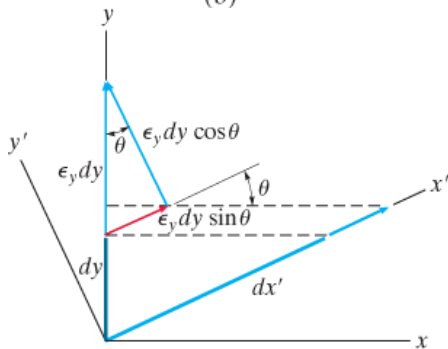
(d)

انځور 10-3



Normal strain ϵ_x

(b)



Normal strain ϵ_y

(c)

د دې لپاره چې $g_{y'}$ معلوم کړو، مور باید څرخیدل د هرې ټوټې د کرښې dx' او dy' د څرخیدو په اړه پوه شو، کله چې دوی د سترین د اجزاو e_x , e_y , g_{xy} تابع وي. لومړی به مور د ساعت د سنتي مخالف گردش a د dx' په پام کې ونیسو، انځور 10-3e وگوري. دلته $a = dy' / dx'$ بی ځایه کیدنه dy' له دریو بی ځایه کیدو اجزاو څخه جوړه ده:

یو له $e_x dx \sin q$ څخه، چې هغه راکوي

انځور 10-3b، او بل د $e_y dy$ څخه چې هغه راکوي، د

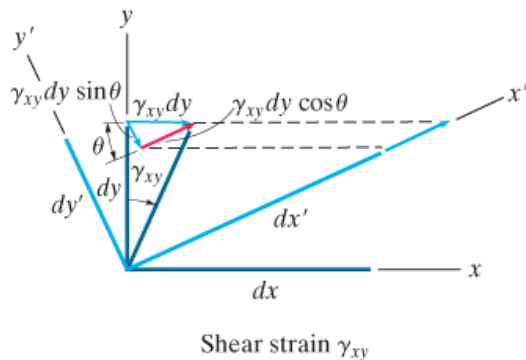
$\cos q$ ، انځور 10-3c وگوري؛ او وروستی د g_{xy} څخه، په

لاس راځی، $-g_{xy} dy \sin q$ ، انځور 10-3d، په دې توگه

dy' دا دی

د معادلی 10-1 په تطبیق سره مور لرو

$$\alpha = \frac{\delta y'}{dx'} = (-\epsilon_x + \epsilon_y) \sin \theta \cos \theta - \gamma_{xy} \sin^2 \theta \quad (10-3)$$



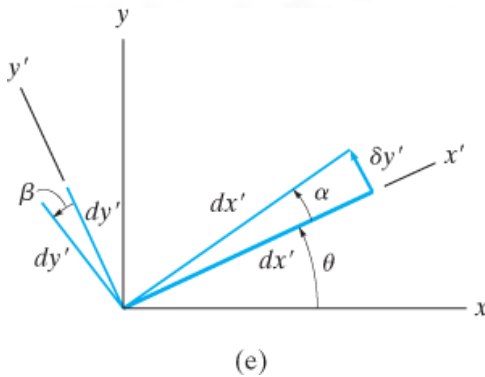
(d)

په نهایت کی کرښه dy' څرخ مومی په اندازه b ، انځور 10-3e. مور گولای شو چی دا زاویه په ورته ډول تحلیل کړو، او یا په آسانی سره په معادله 10-3 کی $(q + 90^\circ)$ د زاویه q لپاره تطبیق کړو. دلته مثلثاتی مساواتو $\sin(q + 90^\circ) = \cos q$ او $\cos(q + 90^\circ) = -\sin q$ څخه کار اخلو او لرو

$$\begin{aligned} \beta &= (-\epsilon_x + \epsilon_y) \sin(\theta + 90^\circ) \cos(\theta + 90^\circ) - \gamma_{xy} \sin^2(\theta + 90^\circ) \\ &= -(-\epsilon_x + \epsilon_y) \cos \theta \sin \theta - \gamma_{xy} \cos^2 \theta \end{aligned}$$

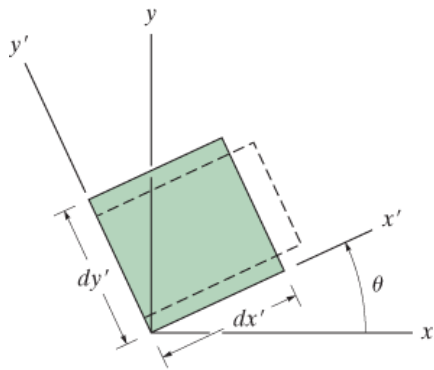
له هغه ځایه چی a او b باید د dx' او dy' اړخونو د گردش استازیتوب وکړي، لکه څنگه چی په انځور 10-3c کی بنودل شوي، بیا عنصر باندي دا لاندی شپیر سترین عمل کړي دی

$$\gamma_{x'y'} = \alpha - \beta = -2(\epsilon_x - \epsilon_y) \sin \theta \cos \theta + \gamma_{xy}(\cos^2 \theta - \sin^2 \theta) \quad (10-4)$$



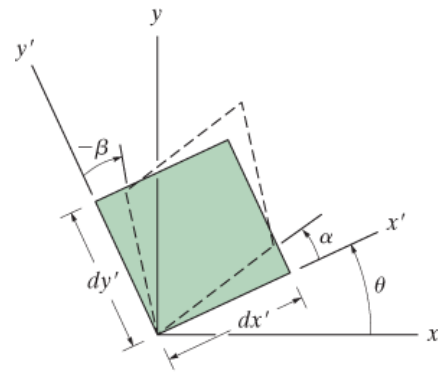
(e)

انځور 10-3 (تکرار)



Positive normal strain, $\epsilon_{x'}$

(a)



Positive shear strain, $\gamma_{x'y'}$

(b)

انځور 10-4

له مثلثاتی قضیو په کار اخیستلو $\sin 2q = 2 \sin q \cos q$, $\cos^2 q = (1 + \cos 2q)/2$ او له $\sin^2 q + \cos^2 q = 1$ ، کیدی شي چی معادلي 10-2 او 10-4 په دی لاندی وروستی بڼه ولیکو

$$\epsilon_{x'} = \frac{\epsilon_x + \epsilon_y}{2} + \frac{\epsilon_x - \epsilon_y}{2} \cos 2\theta + \frac{\gamma_{xy}}{2} \sin 2\theta \quad (10-5)$$

$$\frac{\gamma_{x'y'}}{2} = -\left(\frac{\epsilon_x - \epsilon_y}{2}\right) \sin 2\theta + \frac{\gamma_{xy}}{2} \cos 2\theta \quad (10-6)$$

Normal and Shear Strain Components

زموږ د علامی کنوانسیون له مخی که چیری ϵ_x مثبت وی عنصر به د مثبت x' په لور اوږدوالی ولری، انځور 10-4a، او که چیری $\gamma_{x'y'}$ مثبت وی عنصر به بیخایه شی لکه څنگه چی په انځور 10-4b کی ښودل شوي.

که چیری نارمل سترین په سمت د y' اړتیا وی دا کیدی شي چی له معادلی 10-5 په لاس روارل شی کله چی د زاوی q پر بدلولو سره $(q+90^\circ)$ ځای په ځای شي. پایلی به داسي وی

$$\epsilon_{y'} = \frac{\epsilon_x + \epsilon_y}{2} - \frac{\epsilon_x - \epsilon_y}{2} \cos 2\theta - \frac{\gamma_{xy}}{2} \sin 2\theta \quad (10-7)$$

د پورتنیو دری معادلو ورته والی له سطحی ستریس بدلون معادلی 9-1، 9-2، او 9-3 باید په پام کی ونیول شي. پرتله کول د s_x, s_y, s_x', s_y' د e_x, e_y, e_x', e_y' سره مطابقت لري او پرتله $t_{xy}, t_{x'y'}$ پرتله کیری له $g_{xy/2}, g_{x'y/2}$ سره.

اصلي سترين (Principal Strains).

د ستریس په څیر، یو عنصر په یوه نقطه کې داسی ایښودل کیدی شي چې د عنصر بیخایه کیدل یوازې د نارمل سترینونو له امله رامینځته شي، پرتله له شیبیر سترین. کله چې دا داسی واقع شي نارمل سترینونه د اصلي سترینو په توگه معرفي کیری. که چیرې مواد آیسوتزافیک (isotropic) وي، هغه محورونه چې دا سترینونه ور باندی واقع کیری د اصلي ستریسو له محورونو سره سمون (coincide) لري.

د ستریس او سترین تر مینځ د دی ډول ارتباط څخه، بیا د معادلی 9-4 او 9-5 په څیر سمت د x' محور او د اصلي سترینونو دوه ارزښتونه e او e' له لاندی څخه ټاکل کیری

$$\tan 2\theta_p = \frac{\gamma_{xy}}{\epsilon_x - \epsilon_y} \quad (10-8)$$

Orientation of principal planes

$$\epsilon_{1,2} = \frac{\epsilon_x + \epsilon_y}{2} \pm \sqrt{\left(\frac{\epsilon_x - \epsilon_y}{2}\right)^2 + \left(\frac{\gamma_{xy}}{2}\right)^2} \quad (10-9)$$

Principal strains



د ترون په جا ینتوکی چی سلندري او نیمه کروی برخی د ټانکونو سره وصل کیری پیچلی ستریسونه هلته مینځ ته راځي. دا ستریسونه د سترین په اندازه کولو سره ټاکل کیری.

اعظمی شییر سترین په سطحه (Maximum In-Plane Shear Strains)

د 9-6, 9-7 او 9-8 معادلو ته ورته د x' محور جهت او د اعظمی شییر سترین په سطحه او اړوند منحنی نارمل سترینونه له دی لاندی معادلو ټاکل کیدی شی:

$$\tan 2\theta_s = -\left(\frac{\epsilon_x - \epsilon_y}{\gamma_{xy}}\right) \quad (10-10)$$

Orientation of maximum in-plane shear strain

$$\frac{\gamma_{\text{in-plane}}^{\text{max}}}{2} = \sqrt{\left(\frac{\epsilon_x - \epsilon_y}{2}\right)^2 + \left(\frac{\gamma_{xy}}{2}\right)^2} \quad (10-11)$$

Maximum in-plane shear strain

$$\epsilon_{\text{avg}} = \frac{\epsilon_x + \epsilon_y}{2} \quad (10-12)$$

Average normal strain

مهم تکی

(IMPORTANT POINTS)

- د سطحی ستریس او سطحی سترین تحلیل په سطحه کی امکان لري چی وکارول شی تر څو د سترین گيجو د ډیټا تحلیل شي. تاسو دا په یاد ولری، چی یو نارمل سترین په گيج باندي په عمودي ډول د پویسان (Poisson) اغیزی له امله امکان لري.
- کله چې د سترین حالت د اصلي سترینو لخوا بنودل شوی وي ، په داسی حالت کی هیڅ شییر سترین به په عنصر باندي عمل ونه کړي.
- کله چې د سترین حالت د اعظمی شییر سترین په سطحه کی بنودل شوی وي، په دی حالت کی یو اوسط نارمل سترین به هم په عنصر عمل وکړي .

مثالونه

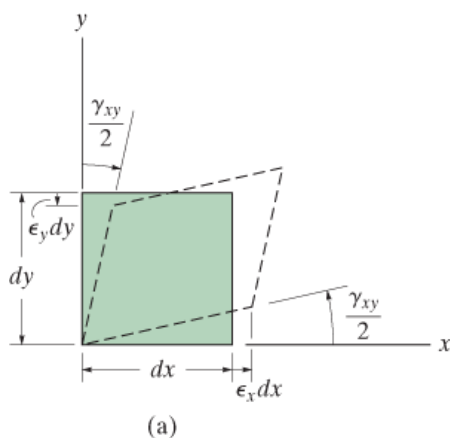
مثال 10.1

د سترین حالت په یوه تکی دا ډول اجزای لري:

$$\epsilon_x = 500(10^{-6}), \epsilon_y = -300(10^{-6}),$$

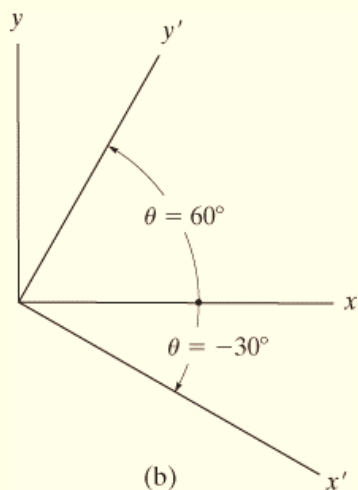
او $\gamma_{xy} = 200(10^{-6})$ د عنصر شکل ته یی داسی تحریف

ورکړی کوم چی په انځور 10-5a کی بنودل شوي. د سترین معادل حالت د عنصر چی 30° د ساعت د ستنی په مخالف لورجهت لری معلوم کړی.



حل (SOLUTION)

د حل لپاره به د سترين د بدلون معادلو 10-5 او 10-6 څخه کار واخلو. څرنگه چې زاويه q مثبت خلاف د ساعت د ستنې ده، نو بيا ددی سوال لپاره $q = -30^\circ$ په دی توگه



$$\begin{aligned}\epsilon_{x'} &= \frac{\epsilon_x + \epsilon_y}{2} + \frac{\epsilon_x - \epsilon_y}{2} \cos 2\theta + \frac{\gamma_{xy}}{2} \sin 2\theta \\ &= \left[\frac{500 + (-300)}{2} \right] (10^{-6}) + \left[\frac{500 - (-300)}{2} \right] (10^{-6}) \cos(2(-30^\circ)) \\ &\quad + \left[\frac{200(10^{-6})}{2} \right] \sin(2(-30^\circ)) \\ \epsilon_{x'} &= 213(10^{-6})\end{aligned}$$

Ans

$$\begin{aligned}\frac{\gamma_{x'y'}}{2} &= -\left(\frac{\epsilon_x - \epsilon_y}{2} \right) \sin 2\theta + \frac{\gamma_{xy}}{2} \cos 2\theta \\ &= -\left[\frac{500 - (-300)}{2} \right] (10^{-6}) \sin(2(-30^\circ)) + \frac{200(10^{-6})}{2} \cos(2(-30^\circ)) \\ \gamma_{x'y'} &= 793(10^{-6})\end{aligned}$$

Ans

انځور 10-5

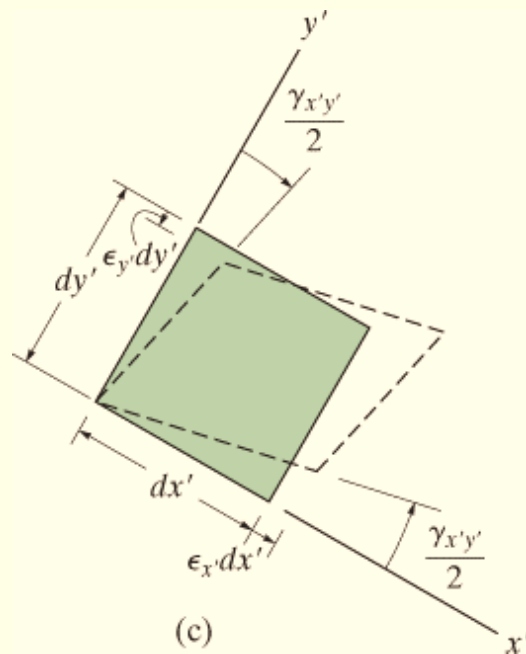
سترين د y' په سمت کيدی شی چې له معادلی 10-7 له $q = -30^\circ$ سره و ټاکو. مور کولای شو چې e_1 له معادلی 10-5 د $q = 60^\circ$ ($q = -30^\circ + 90^\circ$) سره انځور 10-5b هم پیدا کړو. مور لرو له e_1 په عوض د e_2

$$\begin{aligned}\epsilon_{y'} &= \frac{\epsilon_x + \epsilon_y}{2} + \frac{\epsilon_x - \epsilon_y}{2} \cos 2\theta + \frac{\gamma_{xy}}{2} \sin 2\theta \\ &= \left[\frac{500 + (-300)}{2} \right] (10^{-6}) + \left[\frac{500 - (-300)}{2} \right] (10^{-6}) \cos(2(60^\circ)) \\ &\quad + \frac{200(10^{-6})}{2} \sin(2(60^\circ))\end{aligned}$$

$$\epsilon_{y'} = -13.4(10^{-6})$$

Ans.

دا پایلی عنصر ته تغیر د شکل، لکه څنګه چی په انځور 10-5c کی بنودل شوی، ورکوي.

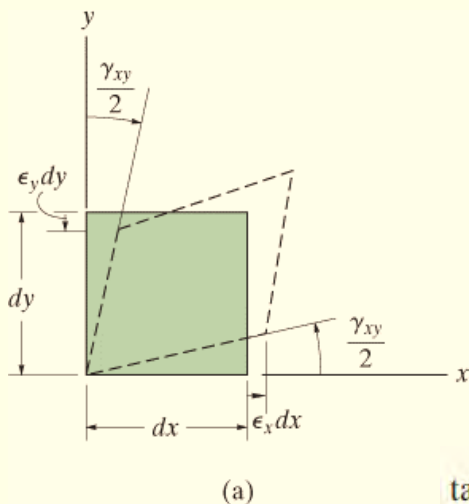


انځور 10-5

مثال 10.2

د سطحی سترین حالت په یوه ټکی کې $\epsilon_x = -350 (10^{-6})$, $\epsilon_y = 200(10^{-6})$ او $\gamma_{xy} = 80 (10^{-6})$ اجزای لري انځور 10-6a. اصلی سترینونه په دی ټکی او سمت د عنصر چی دوي ورباندی عمل کړي و ټاکي.

حل (SOLUTION)



د عنصر جهت (Orientation of the Element)

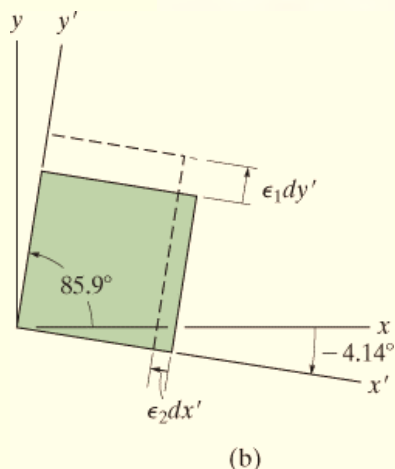
له معادلي 10-8 مور لرو

$$\tan 2\theta_p = \frac{\gamma_{xy}}{\epsilon_x - \epsilon_y} = \frac{80(10^{-6})}{(-350 - 200)(10^{-6})}$$

Thus, $2\theta_p = -8.28^\circ$ and $-8.28^\circ + 180^\circ = 171.72^\circ$, so that

$$\theta_p = -4.14^\circ \text{ and } 85.9^\circ$$

Ans.



هر یو د دی زاویو اندازه شوي، مثبت خلاف د ساعت د ستنی، له x محور بهرنی خوا ته نارمل په هر اړخ د عنصر. زاویه - 4.14° په انځور 10-6b کې بنودل شوي.

اصلي سترین (Principal Strains)

له معادلي 10-9 اصلی سترینونه پیدا کوو. مور لرو

انځور 10-6

$$\begin{aligned}\epsilon_{1,2} &= \frac{\epsilon_x + \epsilon_y}{2} \pm \sqrt{\left(\frac{\epsilon_x - \epsilon_y}{2}\right)^2 + \left(\frac{\gamma_{xy}}{2}\right)^2} \\ &= \frac{(-350 + 200)(10^{-6})}{2} \pm \left[\sqrt{\left(\frac{-350 - 200}{2}\right)^2 + \left(\frac{80}{2}\right)^2} \right] (10^{-6}) \\ &= -75.0(10^{-6}) \pm 277.9(10^{-6}) \\ \epsilon_1 &= 203(10^{-6}) \quad \epsilon_2 = -353(10^{-6}) \quad \text{Ans.}\end{aligned}$$

د سترينو د جهت معلومولو لپاره له معادلي 10-5 کار اخلو او زاويه $q = -4.14^\circ$ انځور 10-6b په دی توگه

$$\begin{aligned}\epsilon_{x'} &= \frac{\epsilon_x + \epsilon_y}{2} + \frac{\epsilon_x - \epsilon_y}{2} \cos 2\theta + \frac{\gamma_{xy}}{2} \sin 2\theta \\ &= \left(\frac{-350 + 200}{2}\right)(10^{-6}) + \left(\frac{-350 - 200}{2}\right)(10^{-6}) \cos 2(-4.14^\circ) \\ &\quad + \frac{80(10^{-6})}{2} \sin 2(-4.14^\circ) \\ \epsilon_{x'} &= -353(10^{-6})\end{aligned}$$

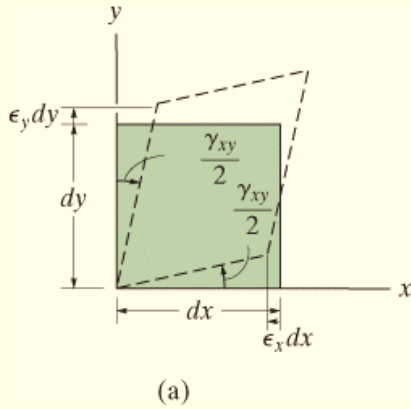
له همدی امله $\epsilon_x = \epsilon_{x'}$. کله چی اصلی سترینونه عمل وکړی عنصر تغیر د شکل مومی او دا په انځور 10-6b کی بنودل شوي.

مثال 10.3

اجزای د اصلی سترین حالت په یو ټکی کی عبارت دی په $\epsilon_x = -350 (10^{-6})$ ، $\epsilon_y = 200(10^{-6})$ او $\gamma_{xy} = 80 (10^{-6})$ ، انځور 10-7a وگوري. اعظمی شیبیر سترین په سطحه په دی ټکی کی او د عنصر جهت چی ورباندی عمل کړی وټاکي.

حل (SOLUTION)

د عنصر جهت (Orientation of the Element)



له معادلي 10-10 مور لرو

$$\tan 2\theta_s = -\left(\frac{\epsilon_x - \epsilon_y}{\gamma_{xy}}\right) = -\frac{(-350 - 200)(10^{-6})}{80(10^{-6})}$$

انځور 10-7

په دې توگه، $2\alpha_s = 81.72^\circ$ او $81.72^\circ + 180^\circ = 261.72^\circ$ نو داسي

$$\theta_s = 40.9^\circ \text{ and } 131^\circ$$

په پام کې ونيسي دا سمت 45° درجې له هغه چې په انځور 10-6b کې ښودل شوی، دي.

اعظمی شیبیر سترین په سطحه (Maximum In-Plane Shear Strain)

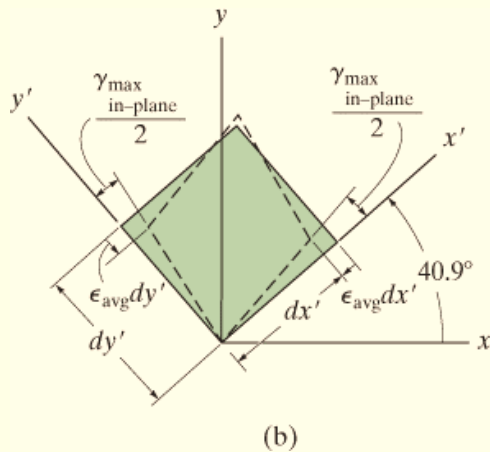
تطبیقول د معادلي 10-11 راکوی

$$\begin{aligned} \frac{\gamma_{\max \text{ in-plane}}}{2} &= \sqrt{\left(\frac{\epsilon_x - \epsilon_y}{2}\right)^2 + \left(\frac{\gamma_{xy}}{2}\right)^2} \\ &= \left[\sqrt{\left(\frac{-350 - 200}{2}\right)^2 + \left(\frac{80}{2}\right)^2} \right] (10^{-6}) \\ \gamma_{\max \text{ in-plane}} &= 556(10^{-6}) \end{aligned}$$

Ans.

چتر ددی مساوات مور ته دوی علامی د اعظمی شیبیر سترین په سطحه $\gamma_{\max \text{ in-plane}}$ لپاره راکوي. د هر یوه لپاره مناسبه زاویه په پلي کیدو د معادلي 10-6 په لاس راتلي شي. کله چې $q = 40.9^\circ$ مور لرو

$$\begin{aligned} \frac{\gamma_{x'y'}}{2} &= -\frac{\epsilon_x - \epsilon_y}{2} \sin 2\theta + \frac{\gamma_{xy}}{2} \cos 2\theta \\ &= -\left(\frac{-350 - 200}{2}\right)(10^{-6}) \sin 2(40.9^\circ) + \frac{80(10^{-6})}{2} \cos 2(40.9^\circ) \\ \gamma_{x'y'} &= 556(10^{-6}) \end{aligned}$$



(b)

انځور 10-7

دا پایلی مثبت دی او له همدی امله $\gamma_{\max \text{ in-plane}}$ لیولتیا لری چی عنصر داسی تحریف (distort) کړی تر څو په بین د dx' او dy' بڼی زاویه کمه شي (مثبت علامه د کنوانسیون په اساس)، انځور 10-7b و گوري.

همدارنگه دوی ترلي دی له اوسط نارمل سترین سره چی په عنصر باندی تحمیل کیری او له معادلی 10-12 پیدا کیدی شي.

$$\epsilon_{\text{avg}} = \frac{\epsilon_x + \epsilon_y}{2} = \frac{-350 + 200}{2}(10^{-6}) = -75(10^{-6})$$

دا سترینونه د عنصر د انقباض لامل کیری، انځور 10-7b .

10.3* موهر دایره-سطحی-ستری (MOH'S CIRCLE- PLANE STRAIN)

ځکه چې د سطحی ستړین بدلون معادلی په ریاضیاتي توگه د سطحی-ستړیس بدلون معادلوته ورته دی، موهر کولای شو چې د ستړین بدلون سوالونه د موهر دایری په کارولو سره حل کړو. د ستړیس قضي په څیر پرامتر q د معادلی 10-5 او 10-6 کیدی شي چې حذف شي او پایل یی په دی لاندی ډول و لیکو

$$(\epsilon_{x'} - \epsilon_{\text{avg}})^2 + \left(\frac{\gamma_{x'y'}}{2}\right)^2 = R^2 \quad (10-13)$$

کوم چې

$$\epsilon_{\text{avg}} = \frac{\epsilon_x + \epsilon_y}{2}$$

$$R = \sqrt{\left(\frac{\epsilon_x - \epsilon_y}{2}\right)^2 + \left(\frac{\gamma_{xy}}{2}\right)^2}$$

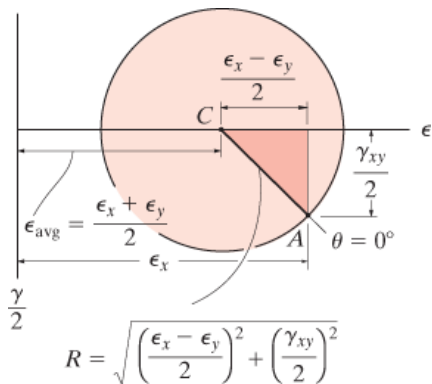
معادله 10-13 د ستړین د موهر دایری استازیتوب کوي. د دایری مرکز په محور e په تکی C ($e_{\text{avg}}, 0$) او شعاع یی R دي. لکه څنگه چې په دی لاندی کرنلاری کی تشریح شوي د موهر دایره د اصلی ستړین، اعظمی ستړین په سطحه کی، یا ستړین په یوه اختیاری سطحه کی معلومیږی شي.

د تحلیل کرنلاره

PROCEDURE FOR ANALYSIS

د سترین لپاره د موهر دایرې رسمول او کارول د ستریس ورته تگلاره تعقیبوی .

د دایرې جوړول (Construction of the Circle)



انځور 10-8

محوري سیستم داسې رامینځته کړئ ، کوم چې افقی محور د نارمل سترین e استازیتوب وکړي او په بني خوا به مثبت وي. عمودی محور نیم ارزښت د شیر سترین ، $g/2$ ، استازیتوب کوي ، مثبت به په لاندی لوري وي، انځور 10-8 و گوري.

د e_x ، e_y ، g_{xy} ، انځور 10-2، پلاټ لپاره د مثبت علامی کنوانسیون کارول کيږي. د دایرې مرکز C ، د e په محور کې په فاصله د $e_{avg} = (e_x + e_y)/2$ له مرکز څخه موقعیت لري، انځور 10-8 .

د "ریفرینس نقطه" A چې کوردینات یې $(e_x, g_{xy}/2)$ دي پلاټ کوو . دا ټکی استازیتوب د هغه حالت کوی کله چې د x' محور په x محور سره مطابقت لري، دا څرگنده وي چې $q = 0^\circ$ ، انځور 10-8 وویني.

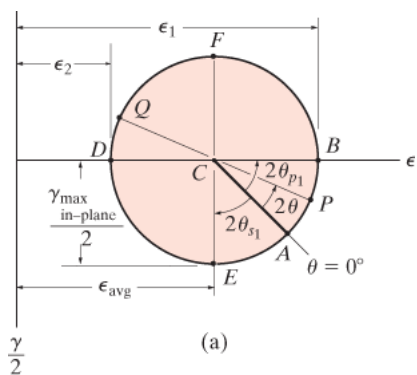
نقطه A د دایرې د مرکز C سره وصل کړئ اوله سیوری شوی مثلث شعاع د دایرې مشخص کړئ. انځور 10-8 و گوري.

کله چې R وټاکل شی، دایره سکچ کړئ.

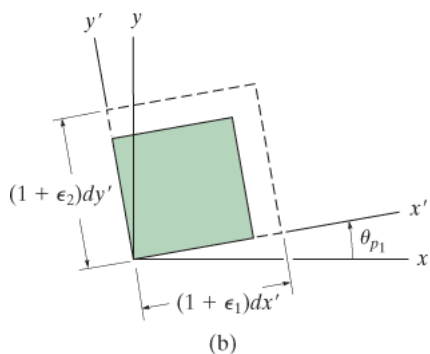
اصلي سترین (Principal Strains)

اصلي سترینونه e_1 او e_2 له دایرې څخه معلوم کیدی شي او هغه د B او D کوردینات دی، چیرته چې $g/2 = 0$ ، انځور 10-9a .

جهت د هغه سطحه چې e_1 ورباندې عمل کوي له دایرې پیدا کيږي ، او زاویه $2\theta_{p1}$ د مثلثاتو په کارولو محاسبه او په لاس راځی. دلته دا زاویه خلاف د ساعت د ستنې ، له کرښې CA تر CB پوري ده، انځور 10-9a و گوري.



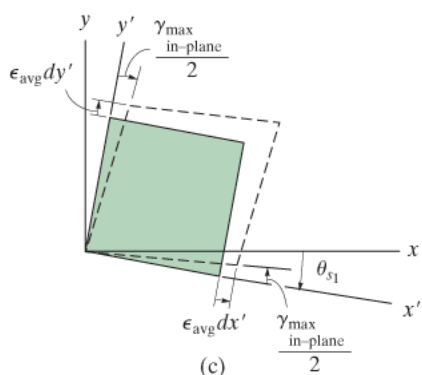
انځور 10-9



په یاد ولري گردش د زاویې q_{p1} باید په هماغه جهت وی، د عنصر ریفرینس محور x تر x' محور، انځور 10-9b وگوري.

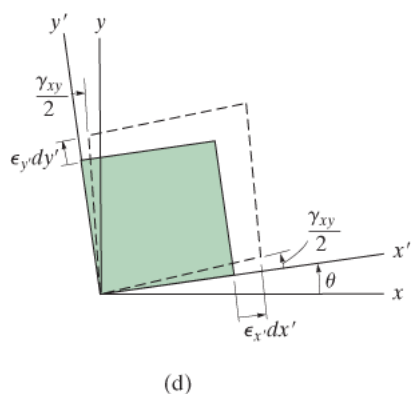
- کله چې e_1 او e_2 مثبت وی لکه چې په انځور 10-9a کی بنودل شوي، عنصر په انځور 10-9b کی اورډیروي په جهت د x' او y' لکه څنگه چې په غوڅ-غوڅ سرحدی کرښه بنودل شوي.

اعظمی شییر سترین په سطحه کی (Maximum In-Plane Shear Strain).



- اوسط نارمل سترین او په سطحه کی اعظمی شییر سترین له دایری څخه د کوردینات په توگه د هرې یوی نقطې E یا F څخه ټاکل کیږي، انځور 10-9a وگوري.
- د سطحی جهت چې $g_{\max \text{ in-plane}}$ او g_{avg} ورباندی عمل کړي، کیدی شی له دایری چې په انځور 10-9a کی بنودل شوي په محاسبه کولو د زاویې $2q_{s1}$ اود مثلثاتو په کارولو و ټاکي. دلته دا زاویه د ساعت د ستنې په لور له CA تر CE ده. په یاد ولري گردش د زاویې q_{s1} باید په همدې جهت وي، له ریفرینس عنصر محور x تر x' محور، انځور 10-9c* وگوري.

سترین په خپل سری سطحو (Strains on Arbitrary Plane).



انځور 10-9 (تکرار)

- د نارمل او شییر سترین اجزا e_x او e_y دیوه عنصر لپاره چې جهت یې ټاکل شوي په یوه زاویه q وی، انځور 10-9d، کیدی شی د مثلثاتو په کارولو له دایری، د ټکی P د کوردیناتو په موندلو، انځور 10-9a، و ټاکل شي.
- د نقطې P د موندلو لپاره، پېژندل شوي د ساعت د ستنې په مخالف لوري زاویه q د x' محور، انځور 10-9d، اندازه کیږي خلاف د ساعت د ستنې په دایره په اندازه $2q$ دی. دا/اندازی له CA تر CP نیول کیږي.

- که د e_y ارزښت ته اړتیا وی، دا کیدی شي چی کوردینات e د Q ټکی، انځور 10-9a، په محاسبه کولو سره و ټاکل شي. کرښه CQ موقعیت پروت دی 180^0 له CP څخه او په دی توگه 90^0 گردش د محور x' دي.
- * که $g/2$ محور پورته خوا مثبت جوړ شوی وي، نو بیا دا زاویه $2q$ په دایره اندازه کیږي په مخالف لوري د سطحی په زاویه q .

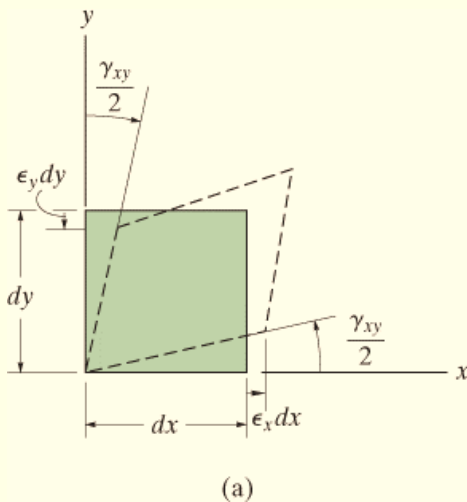
مثالونه

مثال 10.4

اجزای سطحی سترین په یوه ټکی عبارت دی په $e_x = 250(10^{-6})$ ، $e_y = -150(10^{-6})$ او $\gamma_{xy} = 120(10^{-6})$ ، انځور 10-10a. اصلی سترینونه او جهت د سطحی چی هغوي ورباندی عمل کړي و ټاکي.

حل (SOLUTION)

د دایري جوړه ول (Construction of the Circle)



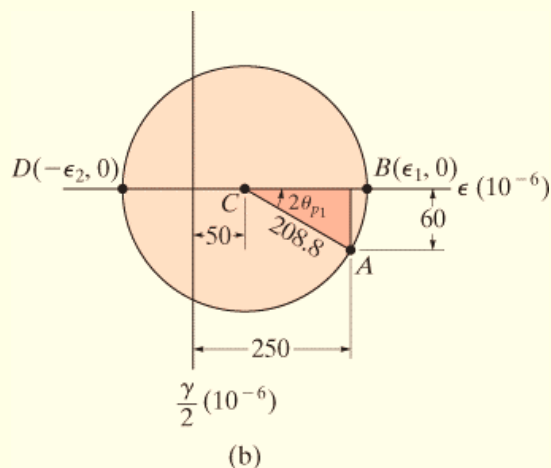
انځور 10-10

د e او $g/2$ محورونه جوړه وو. په یاد ولري چی مثبت جهت د محور $g/2$ باید بنسخته خوا ته وی. ددی لپاره چی خلاف د ساعت د ستنی د عنصر گردش مطابقت لری د خلاف د ساعت د ستنی گردش په دور د دایری او برعکس. مرکز د دایری C موقعیت لری په

$$\epsilon_{avg} = \frac{250 + (-150)}{2} (10^{-6}) = 50(10^{-6})$$

څرنگه چې $q_{xy}/2 = 60(10^{-6})$ ، ریفرینس ټکی $A (q=0^0)$ کوردینات یې عبارت دی په $A(250(10^{-6}), 60(10^{-6}))$. له سیوری شوی مثلث په انځور 10-10b کی چې شعاع د دایرې کیري

$$R = [\sqrt{(250 - 50)^2 + (60)^2}] (10^{-6}) = 208.8(10^{-6})$$



اصلي سترينونه (Principal Strains)

e کوردینات د B او D ټکیو عبارت دی په

$$\epsilon_1 = (50 + 208.8)(10^{-6}) = 259(10^{-6}) \quad \text{Ans.}$$

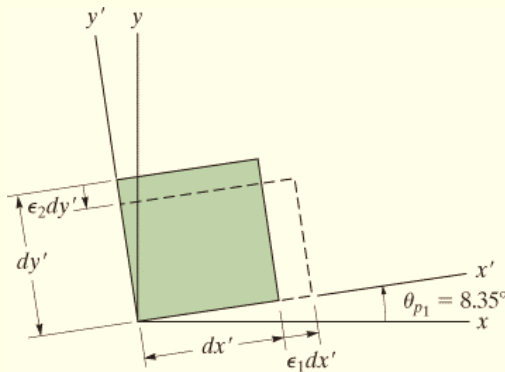
$$\epsilon_2 = (50 - 208.8)(10^{-6}) = -159(10^{-6}) \quad \text{Ans.}$$

د اصلي مثبت سترين e جهت انځور 10-10b تعريف شوی په خلاف د ساعت د سنتي زاويه $2q_{p1}$ چې اندازه کیري له $CA (q=0^0)$ تر CB پوري. مور لرو

$$\tan 2\theta_{p1} = \frac{60}{(250 - 50)}$$

$$\theta_{p1} = 8.35^\circ \quad \text{Ans.}$$

له همدی امله د عنصر dx' اړخ د ساعت د ستینی خلاف په اندازه د 8.35^0 ده، لکه څنگه چی په انځور 10-10c کی بنودل شوي. دا د θ_{p1} جهت تعریف کوي. دا بیځایه کیدنه د عنصر په دی انځور کی بنودل شوي.

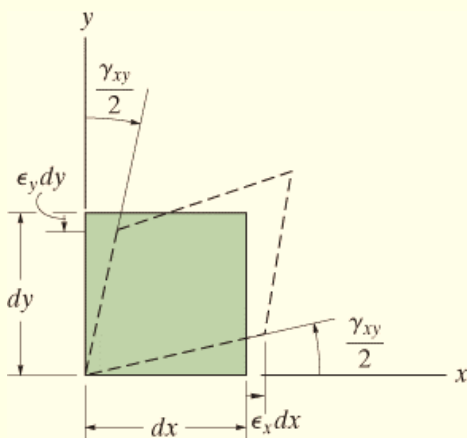


(c)

انځور 10-10 (تکرار)

مثال 10.5

د سطحی سترین حالت اجزای په یوه ټکی د یوه غړی کی عبارت دی په $\epsilon_x = 250(10^{-6})$, او $\epsilon_y = -150(10^{-6})$ او $\gamma_{xy} = 120(10^{-6})$ انځور 10-11a وگوري. اعظمی شیبیر سترین په سطحه او جهت د عنصر جی دا ورباندی عمل کړی وټاکي.



(a)

حل (SOLUTION)

د موهر دایره په مخکنی سوال کی جوړه شوه، او په انځور 10-11b کی بنودل شوي.

اعظمی شیبیر سترین په سطحه (Maximum In-Plane Shear Strain)

تکی E او F ، اعظمی شیبیر سترین په سطحه نیم حد او اوسط نارمل سترین بڼیې. له کوردینات د تکی E لیکلي شو

$$\frac{(\gamma_{x'y'})_{\max \text{ in-plane}}}{2} = 208.8(10^{-6})$$

$$(\gamma_{x'y'})_{\max \text{ in-plane}} = 418(10^{-6})$$

Ans.

$$\epsilon_{\text{avg}} = 50(10^{-6})$$

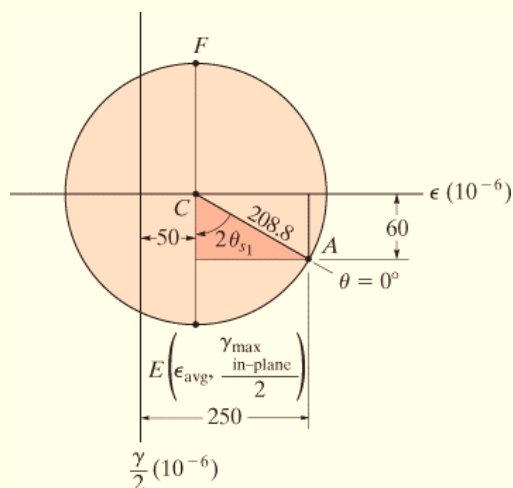
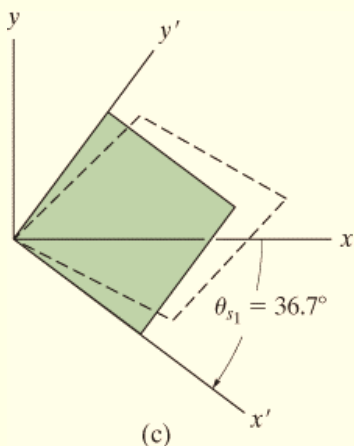
ددی لپاره چی د عنصر جهت تعیین کرومور به د ساعت د ستنی زاویه $2\theta_{s1}$ له CA ($q=0^0$) تر CE پوری اندازه کرو

$$2\theta_{s1} = 90^0 - 2(8.35^0)$$

$$\theta_{s1} = 36.7^0$$

Ans.

دا زاویه په انخور 10-11c کی بنودل شوي. خگه چی شیبیر سترین په تکی E په دایره کی مثبت حد لري، او اوسط نارمل سترین هم مثبت دی، دا سترینونه عنصر بیخایه کری او هغه په توتیه شوی کرښه په انخور کی بنودل شوي.

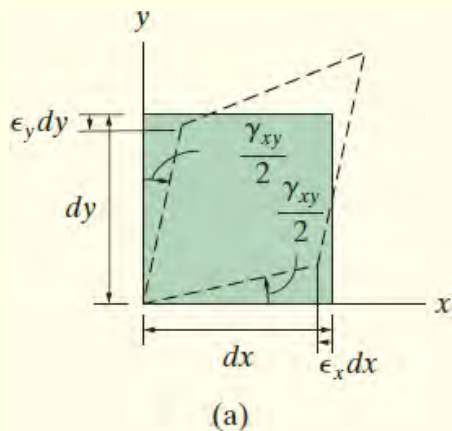


انخور 10-11

(b)

مثال 10.6

د سطحی سترین حالت اجزای ، په یوه ټکی د یوه غړی کی عبارت دی په $e_x = -300(10^{-6})$ ، $e_y = -100(10^{-6})$ او $\gamma_{xy} = 100(10^{-6})$ ، انځور 10-12a وگوري . د یو عنصر چی جهت یی 20° د ساعت د ستنې په لور له دی موقعیت دی، د سترین ی حالت و ټاکي.



حل (SOLUTION)

د دایري جوړه ول (Construction of the Circle)

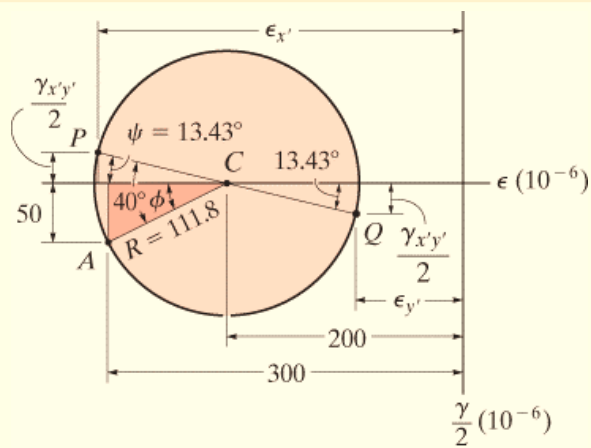
د e او $g/2$ محورونه تشکیله وو. مرکز د دایري دی په

$$\epsilon_{avg} = \left(\frac{-300 - 100}{2} \right) (10^{-6}) = -200(10^{-6})$$

انځور 10-12

د ریفرینس ټکی A کوردینات $(-300(10^{-6}), 50(10^{-6}))$ او شعاع CA چی د سیوری شوی برخی د مثلث CA څخه ټاکل کيږي او هغه عبارت ده په

$$R = \left[\sqrt{(300 - 200)^2 + (50)^2} \right] (10^{-6}) = 111.8(10^{-6})$$



سترين په مايل سطحه (Strain on Inclined Element)

(b)

ځکه چې عنصر په یوه 20^0 د ساعت د ستني په جهت موقعیت لري مور باید شعاعي کرښه CP ، $2(20^0) = 40^0$ د ساعت د ستني په لور اندازه کړو له CA ($q = 0^0$) انځور 10-12b . کوردینات د ټکی P له هندسي د دايري څخه لاس ته راځي. وگوري

$$\phi = \tan^{-1} \left(\frac{50}{(300 - 200)} \right) = 26.57^\circ, \quad \psi = 40^\circ - 26.57^\circ = 13.43^\circ$$

په دی توگه

$$\begin{aligned} \epsilon_{x'} &= -(200 + 111.8 \cos 13.43^\circ)(10^{-6}) \\ &= -309(10^{-6}) \end{aligned}$$

Ans.

$$\frac{\gamma_{x'y'}}{2} = -(111.8 \sin 13.43^\circ)(10^{-6})$$

$$\gamma_{x'y'} = -52.0(10^{-6})$$

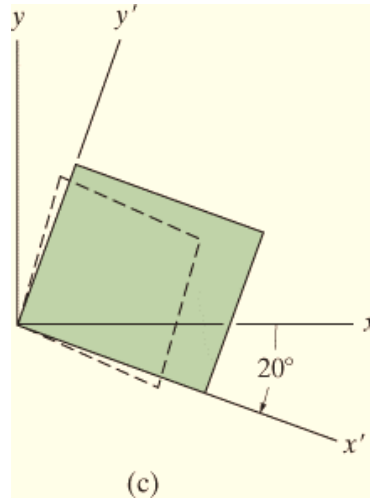
Ans.

نارمل ستړين e_y کیدی شي چی له e کوردینات د ټکی Q په دايره باندي، انځور 10-12b، و ټاکل شی،

$$\epsilon_{y'} = -(200 - 111.8 \cos 13.43^\circ)(10^{-6}) = -91.3(10^{-6})$$

Ans.

په پایله کی دا سترینونه د عنصر بیخایه کیدنه نسبت x', y' محورونو ته په انځور 10-12c کی بنودل شوي.



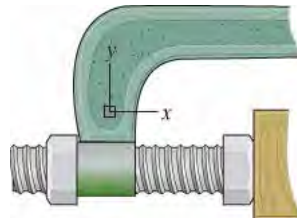
انځور 10-12 (تکرار)

سوالونه

PROBLEMS

س 10-1. ثابت کړی چی مجموعه د نارمل سترینونو په عمودی جهت کی ثابت ده، د بیلگی په توگه $e_x + e_y = e_{x'} + e_{y'}$.

س 10-2. د یو غړی په یوه تکی دلاستی یی حالت د سترین عبارت دی په $e_x = 200(10^{-6})$ او $e_y = -300(10^{-6})$ او $\alpha_{xy} = 400(10^{-6})$. د سترین د بدلون له معادلو کار واخلی او مساوی په سطحه سترین، په یوه عنصر چی په زاویه 30° د ساعت د ستنی مخالف جهت له اصلی حالت موقعیت لری، وټاکي. بیخایه شوی عنصر د سترین له امله په سطحه $x-y$ کی رسم کړي.

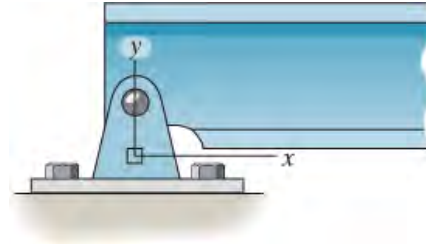


س 10-2

س 10-3. د یو پن اتکا په پانه په یوه ټکی د سترین اجزای عبارت دی په $e_x = 200(10^{-6})$

او $e_y = 180(10^{-6})$ او $g_{xy} = -300(10^{-6})$. د سترین د بدلون له معادلو کار واخلي او مساوی په سطحه سترین، په یوه عنصر چی په زاویه 60° د ساعت د ستنې مخالف جهت له اصلی حالت موقعیت لری، وټاکي. بیخایه شوی عنصر د سترین له امله په سطحه $x-y$ کی رسم کړي.

س 10-4*. سوال 10-3 د یو عنصر چی جهت یی په زاویه 30° د ساعت د ستنې په لور وی، حل کړي.



س 10-3/4

س 10-5. د کستر اسمبلی په یوه ټکی د پانی د سترین اجزای عبارت دی په $e_x = -400(10^{-6})$

او $e_y = 860(10^{-6})$ او $g_{xy} = 375(10^{-6})$. د سترین د بدلون له معادلو کار واخلي او معادل په سطحه سترین، په یوه عنصر چی په زاویه 30° د ساعت د ستنې مخالف جهت له اصلی حالت موقعیت لری، وټاکي. بیخایه شوی عنصر د سترین له امله په سطحه $x-y$ کی رسم کړي.



س 10-5

س 10-6. د براکت په یوه ټکی د سترین اجزای عبارت دی په $e_x = 150(10^{-6})$

او $e_y = 200(10^{-6})$ او $g_{xy} = -700(10^{-6})$. د سترین د بدلون له معادلو کار واخلي او معادل په سطحه سترین، په یوه عنصر چی په زاویه 60° د ساعت د ستنې مخالف جهت له اصلی حالت موقعیت لری، وټاکي. بیخایه شوی عنصر د سترین له امله په سطحه $x-y$ کی رسم کړي.

س 10-7. سوال 10-6 د یو عنصر چی جهت یی په $q=30^0$ زاویه د ساعت د ستنی په لور وی ، حل کړی.



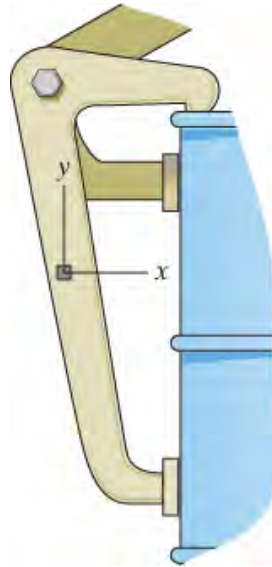
س 10-6/7

س 10-8*. د سپینر رینچ په یوه ټکی د سترین اجزای عبارت دی په $e_x = 260(10^{-6})$ او $e_y = 320(10^{-6})$ او $g_{xy} = 180(10^{-6})$. د سترین د بدلون له معادلو کار واخلی او وټاکی (a) اصلی سترینونه په سطحه او (b) اعظمی شییر سترین په سطحه او اوسط نارمل سترین. په هر حالت کی جهت د عنصر وټاکی ، او هم وښی چی عنصر د سترین له امله څرنګه په سطحه x-y کی بیخایه کیری.



س 10-8

س 10-9. د یو غړی په یوه ټکی د سترین اجزای عبارت دی په $e_x = 180(10^{-6})$ او $e_y = -120(10^{-6})$ او $g_{xy} = -100(10^{-6})$. د سترین د بدلون له معادلو کار واخلی او وټاکی (a) اصلی سترینونه په سطحه او (b) اعظمی شییر سترین په سطحه او اوسط نارمل سترین. په هر حالت کی جهت د عنصر وټاکی ، او هم وښی چی عنصر د سترین له امله څرنګه په سطحه x-y کی بیخایه کیری.



س 10-9

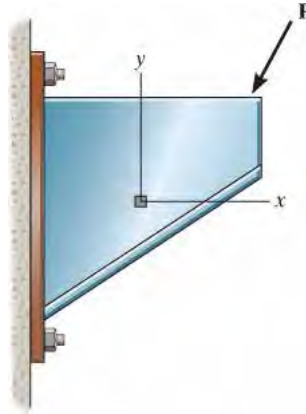
س 10-10. د يو اتكا په يوه ټكي د سترين اجزاوي عبارت دي په $e_x = 350(10^{-6})$

a) $e_y = 400(10^{-6})$ او $g_{xy} = 350(10^{-6})$. د سترين د بدلون له معادلو كار واخلي او وټاكي (a) اصلي سترينونه په سطحه او (b) اعظمي شيبير سترين په سطحه او اوسط نارمل سترين. په هر حالت كې جهت د عنصر وټاكي، او هم وښيي چي عنصر د سترين له امله څرنگه په سطحه x-y كې بيخايه كيږي.



س 10-

س 10-11. په برکت کې د بار P له امله د سترین حالت اجزای عبارت دی په
 $e_x = 500(10^{-6})$ او $e_y = 350(10^{-6})$ او $g_{xy} = -430(10^{-6})$. د سترین د بدلون له معادلو کار
واخلي تر څو معادل سترینونه په سطحه په یو عنصر چې په زاویه $q=30^\circ$ د ساعت د ستنې په
لور له اصلی جهت موقعیت لری و ټاکی. بیخایه شوی عنصر ددی سترینو له امله په سطحه $x-y$
کی سکیچ کړي.

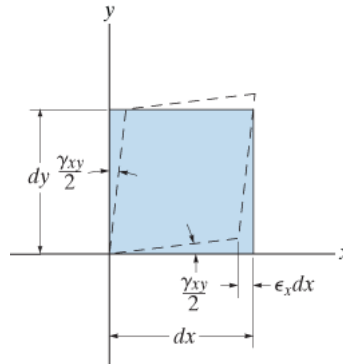


س 10-11

س 10-12*

د سترین حالت اجزای په یوه عنصر عبارت دی په $e_x = -400(10^{-6})$ او $e_y = 0$ او $g_{xy} = 150(10^{-6})$. معادل حالت د سترین په یو عنصر په عین نقطه کی چې په زاویه $q=30^\circ$ د
ساعت د ستنې په لور له اصلی جهت موقعیت لری و ټاکی. پایلي په دی عنصر سکیچ کړي.

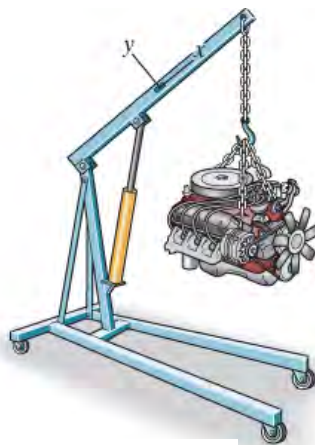
س 10-13. د سطحی سترین حالت په یوه عنصر عبارت دی په $e_x = -300(10^{-6})$ او $e_y = 0$ او $g_{xy} = 150(10^{-6})$. معادل حالت د سترین وټاکی چې استازیتوب کړي (a) د اصلی سترینو
او (b) اعظمی شیبیر سترین په سطحه او اړوند اوسط نارمل سترین. مشخص کړي جهت د اړوند
عناصرو ددی حالتونو د سترین نظر اصلی عنصر ته.



س 10-12/13

س 10-14. د یو بوم په یوه ټکی کې د سترین اجزای عبارت دی په $e_x = 250(10^{-6})$

او $e_y = 300(10^{-6})$ او $g_{xy} = -180(10^{-6})$. د سترین د بدلون له معادلو کار واخلې او وټاکې (a) اصلی سترینونه په سطحه او (b) اعظمی شیبیر سترین په سطحه او اوسط نارمل سترین. په هر حالت کې جهت د عنصر وټاکي، او هم وښيي چې عنصر د سترین له امله څرنگه د x - y په سطحه کې بیخایه کیږي.



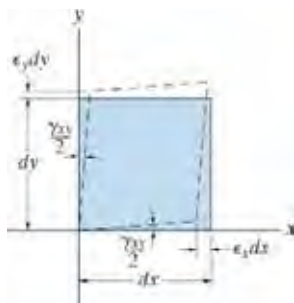
س 10-14

س 10-15. د سطحی سترین عمومی حالت په پام کې ونیسي کوم چې e_x , e_y او g_{xy} معلوم دي.

یو کمپیوټری پروگرام ولیکې تر څو نارمل سترین او شیبیر سترین e_x او g_{xy} په سطحه د یو عنصر چې د افقی کرښی سره زاویه q جوړه وي. او دا هم شامل کړی چې اصلی سترینونه، د عنصر جهت او اعظمی شیبیر سترین په سطحه او اوسط نارمل سترین او د عنصر جهت وټاکي.

س 10-16*. د سطحی سترین حالت په یوه عنصر عبارت دی په $e_x = -300(10^{-6})$,

او $e_y = 100(10^{-6})$ او $g_{xy} = 150(10^{-6})$. معادل حالت د سترین وټاکي چې استازیتوب کړي (a) د اصلی سترینو او (b) اعظمی شیبیر سترین په سطحه او اړوند اوسط نارمل سترین. مشخص کړي جهت د اړوند عناصرو ددی حالتونو د سترین نظر اصلی عنصرته.



س 10-16

س 10-17. سوال 10-3 په کارولو د موهر دایری حل کړي.

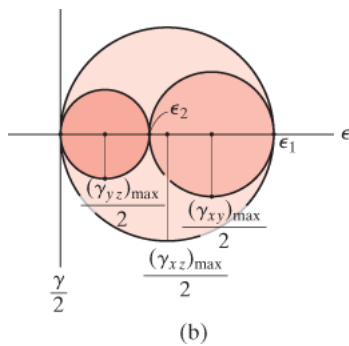
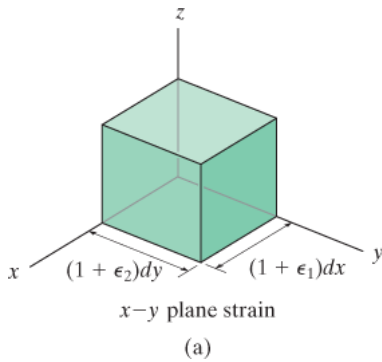
س 10-18. سوال 10-4 په کارولو د موهر دایری حل کړي.

س 10-19. سوال 10-5 په کارولو د موهر دایری حل کړي.

س 10-20. سوال 10-8 په کارولو د موهر دایری حل کړي.

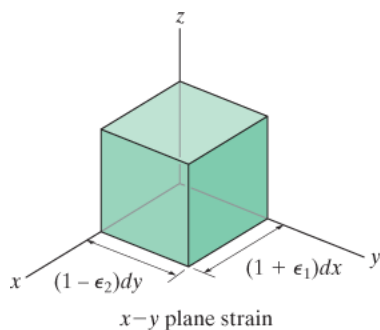
س 10-21. سوال 10-7 په کارولو د موهر دایری حل کړي.

10.4* مطلق اعظمی شییر سترین (ABSOLUTE MAXIMUM SHEAR STRAIN)

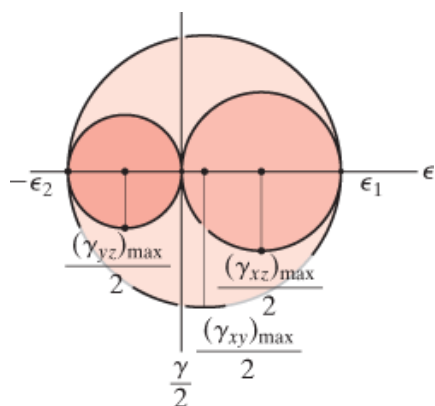


په 9.5 برخه کی دا په گوته شوي چې د سطحی سترین حالت په صورت کی، کله چې اصلي سترینونه ورته علامه ولري مطلق اعظمی سترین د موادو په یو عنصر کی له سطحی څخه وتلي واقع کیږي، د بیلگی په توگه، دواړه کششي یا دواړه تیلوهونکي سترینونه وي. ورته پایله د سطحی سترین لپاره پېښیږي. د مثال په توگه، که په سطحه کی اصلي سترینونه د اوږدوالي لامل کیږي، انځور 10-13a، بیا د موهر درې دایري د نارمل او شییر سترین اجزای د عنصر گردش په x ، y ، او z محورونو بیانوي کوم چی په انځور 10-13b کی ښودل شوي. د کتلو له مخی د لوی دایري شعاع عبارت ده په $R = (\sigma_z)_{\max}/2$ ، او داسی نور

انخور 10-13



(a)



(b)

انخور 10-14

$$\gamma_{\max}^{\text{abs}} = (\gamma_{xz})_{\max} = \epsilon_1$$

ϵ_1 and ϵ_2 have the same sign

$$(10-14)$$

دا ارزښت

مطلق اعظمی شپير سترين د موادو لپاره ورکوي.

تاسو په یاد ولری چې دا له اعظمی شپير سترين په سطحه کی زیات دی،

او هغه عبارت دی په $(\epsilon_{xy})_{\max} = \epsilon_1 - \epsilon_2$.

اوس هغه حالت په پام کی نیسو چیری چې یو له اصلی سترینونو په سطحه کی مخالفه علامه د هغه بل اصلی سترين په سطحه کی وی،

نو بیا ϵ لامل د اوږدوالي او ϵ_2 لامل د انقباض کیري، انخور

10-14a وگوري. دا د موهر دري دایري د سترين د اجزاوو

تشریح د عنصر د گردش په x, y, z محورونو کوي، لکه

څرنګه چې په انخور 10-14b کی بنودل شوي. دلته

$$\gamma_{\max}^{\text{abs}} = (\gamma_{xy})_{\max}^{\text{in-plane}} = \epsilon_1 - \epsilon_2$$

ϵ_1 and ϵ_2 have opposite signs

$$(10-15)$$

مهم تکی

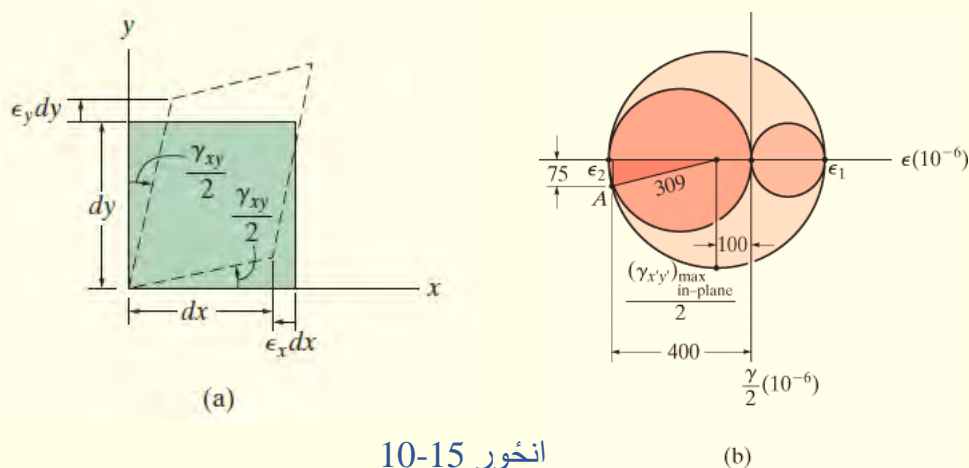
(IMPORTANT POINTS)

- که په سطحه اصلی سترینونه دواړه یو شان علامی ولري، بیا مطلق اعظمی شپير سترين په وتلي سطحه واقع کیري او ارزښت يي عبارت دی په $\epsilon_{\max} = \epsilon_{\max}^{\text{abs}}$. دا ارزښت له اعظمی شپير سترين په سطحه څخه زیات دي.
- که په سطحه اصلی سترینونه دواړه مخالفی علامی ولري، نو بیا مطلق اعظمی شپير سترين مساوی دی په اعظمی شپير سترين په سطحه $\epsilon_1 - \epsilon_2 = \epsilon_{\max}^{\text{abs}}$.

مثال

مثال 10.7

یوه ټکی چی د سطحی- سترین حالت کی دی، د سترین اجزای چی ورباندی شتوم لری عبارت دی په $e_x = -400(10^{-6})$ ، $e_y = 200(10^{-6})$ او $g_{xy} = 150(10^{-6})$ انخور 10-15a وگوري. اعظمی شیبیر سترین په سطحه کی او مطلق اعظمی شیبیر سترین مشخص کړي.



انخور 10-15

حل (SOLUTION)

اعظمی شیبیر سترین په سطحه (Maximum In-Plane Shear Strain)

موږ به دا سوال د موهر دایری په کارولو حل کړو. مرکز د دایری موقعیت لری په

$$\epsilon_{\text{avg}} = \frac{-400 + 200}{2} (10^{-6}) = -100(10^{-6})$$

څرنګه چی $g_{xy}/2 = 75 (10^{-6})$ ، د ریفرینس نقطه A کوردینات عبارت دی په $(-400(10^{-6}), 75(10^{-6}))$ ، انخور 10-15b. شعاع د دایری عبارت دی په

$$R = [\sqrt{(400 - 100)^2 + (75)^2}](10^{-6}) = 309(10^{-6})$$

له دایری په سطحه اصلي سترینونه دا لاندی دي

$$\epsilon_1 = (-100 + 309)(10^{-6}) = 209(10^{-6})$$

$$\epsilon_2 = (-100 - 309)(10^{-6}) = -409(10^{-6})$$

او هم اعظمی په سطحه شییر سترین عبارت دی په

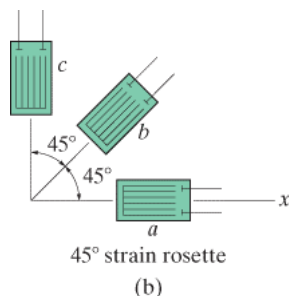
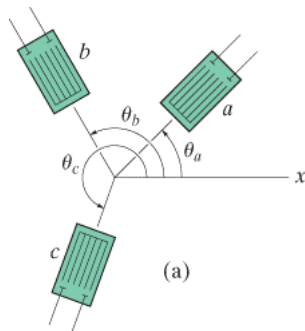
$$\gamma_{\text{in-plane}}^{\text{max}} = \epsilon_1 - \epsilon_2 = [209 - (-409)](10^{-6}) = 618(10^{-6}) \quad \text{Ans.}$$

مطلق اعظمی شییر سترین (Absolute Maximum Shear Strain)

ځکه په سطحه اصلي سترینونه مخالفی علامی لري، اعظمی شییر سترین په سطحه، اعظمی شییر سترین هم دی

$$\gamma_{\text{max}}^{\text{abs}} = 618(10^{-6}) \quad \text{Ans.}$$

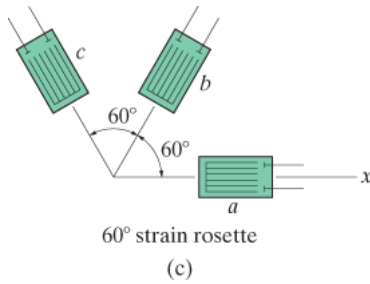
د موهر دري دایري د عنصر د جهت په هر x, y, z محورونو هم په انځور 10-15b کی بنودل او رسم شوي.



10.5 د روزیتونو سترین (STRAIN ROSETTES)

د بدن په آزاده سطحه نارمل سترین په یو ځانگړي سمت، د بریښنايي مقاومت سترین گیج په کارولو سره اندازه کیدی شي. د مثال په ډول، په 3.1 برخه کې مور و بنودل چې دا ډول گیج څنگه د محوری سترین موندلو لپاره په یوه نمونه کې کله چې دکششی ستریس ازموینه ترسره کوو کارول کیري. کله چې څو بارونه په بدن پلی شي، بیا هم سترینونه ϵ_x ، ϵ_y ، ϵ_{xy} په یوه نقطه په سطحه کې کیدای شي وټاکل شي. له بده مرغه، د شییر سترین په مستقیم ډول نشي کیدی د سترین گیج سره اندازه شي، او په دې توگه د ϵ_x ، ϵ_y ، ϵ_{xy} ترلاسه کولو لپاره، مور باید د دري سترین گیجونو گیدي (cluster) وکاروو، کوم چې په یو مشخص نمونه کې تنظیم شوي او دا د سترین روزیت (rosette) په نوم

یادیري. یوځل چې دا نارمل سترینونه اندازه شي، بیا دا ډیټا کیدی شي بدله شي ترڅو په نقطه کې د سترین حالت مشخص کړي.



انځور 10-16

د بنودلو لپاره چې دا څنگه ترسره کیري، د تنظیم کولو عمومي حالت په پام کې ونیسئ، گيجونه په زاویه $\theta_a, \theta_b, \theta_c$ کې تنظیم شوي، څنگه چې په انځور 10-16a کې بنودل شوي. که لوستل د $\epsilon_a, \epsilon_b, \epsilon_c$ په لاس راشي، مور کولی شو د سترین اجزای $\epsilon_x, \epsilon_y, \gamma_{xy}$ د سترین د بدلون معادلي 10-2 په پلي کولو سره د هر گيج لپاره وټاکو. پایلي يي دا دی

$$\begin{aligned}\epsilon_a &= \epsilon_x \cos^2 \theta_a + \epsilon_y \sin^2 \theta_a + \gamma_{xy} \sin \theta_a \cos \theta_a \\ \epsilon_b &= \epsilon_x \cos^2 \theta_b + \epsilon_y \sin^2 \theta_b + \gamma_{xy} \sin \theta_b \cos \theta_b \\ \epsilon_c &= \epsilon_x \cos^2 \theta_c + \epsilon_y \sin^2 \theta_c + \gamma_{xy} \sin \theta_c \cos \theta_c\end{aligned}\quad (10-16)$$

کله چې دا پورتنی معادلی یوپه بل پسې حل شي ارزښترنه د $\epsilon_x, \epsilon_y, \gamma_{xy}$ معلومیري.

په عادی حالت کې سترین روزیت په زاویه 45° یا 60° کې تنظیم کیري. د زاویي 45° یا مستطیلي سترین روزیت، انځور 10-16b، $\theta_a = 0^\circ$ ، $\theta_b = 45^\circ$ او $\theta_c = 90^\circ$ ، بیا معادلی 10-16 دا لاندی په لاس راکوي

$$\begin{aligned}\epsilon_x &= \epsilon_a \\ \epsilon_y &= \epsilon_c \\ \gamma_{xy} &= 2\epsilon_b - (\epsilon_a + \epsilon_c)\end{aligned}$$

او د زاویي 60° روزیت، انځور 10-16c، $\theta_a = 0^\circ$ ، $\theta_b = 60^\circ$ او $\theta_c = 120^\circ$ دا لاندی راکوي.

$$\begin{aligned}\epsilon_x &= \epsilon_a \\ \epsilon_y &= \frac{1}{3} (2\epsilon_b + 2\epsilon_c - \epsilon_a) \\ \gamma_{xy} &= \frac{2}{\sqrt{3}} (\epsilon_b - \epsilon_c)\end{aligned}\quad (10-17)$$

یو ځلي چي e_x ، e_y ، e_{xy} معلوم شي، بيا د سترين د بدلون معادلي يا د موهر دايره کيدی شي چي و کارول شي تر څو په سطحه اصلی سترينونه e_1 او e_2 يا اعظمی په سطحه شيبير سترين $g_{\max \text{ in-plane}}$ و ټاکل شي. هغه ستريس چي د دی سترينون جوړه ولو لامل شوي د هوک قانون په کارولو پيدا کړو. دا به په راتلونکی برخه کی تفصيل کړو.



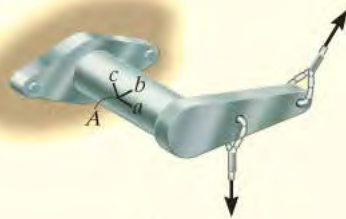
یو معمولي بريننايي مقاومت 45° سترين روزيت

مثال

مثال 10.8

ټکی A چي پر لاندی بنودل شوي بريکت باندی موقعیت لري، انځور 10-17a، د سترين حالت معلومولو لپاره د يوه سترين روزيت کوم چي په انځور 10-17b کی بنودل شوي کار اخيستل کيږي.

لوستل شوی معلومات له دی سترين گيچ عبارت دی په $e_a = 60(10^{-6})$ ، $e_b = 135(10^{-6})$ او $e_c = 264(10^{-6})$. شيبير سترين په سطحه، په دی ټکی او په کوم جهت چي عمل کړي مشخص يي کړي.

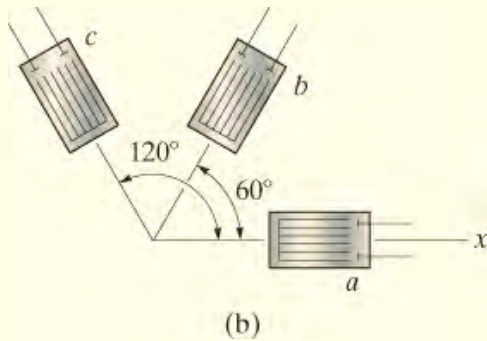


(a)

حل (SOLUTION)

د حل لپاره به له معادلو 10-16 کار واخلو.

د x محور تاسیس کوو انځور، 10-17b، او له دی محور په مخالف جهت د ساعت د سنتي زاويي تر مرکز د هر گيج اندازه کوو، مور لرو

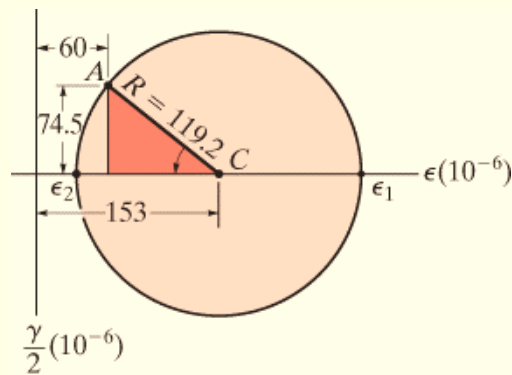


دا زاويي او د سوال نور ډیټا په معادلو کی ځاي په ځاي کوو او دا لاندی په لاس راځي

$$60(10^{-6}) = \epsilon_x \cos^2 0^\circ + \epsilon_y \sin^2 0^\circ + \gamma_{xy} \sin 0^\circ \cos 0^\circ = \epsilon_x \quad (1)$$

$$135(10^{-6}) = \epsilon_x \cos^2 60^\circ + \epsilon_y \sin^2 60^\circ + \gamma_{xy} \sin 60^\circ \cos 60^\circ = 0.25\epsilon_x + 0.75\epsilon_y + 0.433\gamma_{xy} \quad (2)$$

$$264(10^{-6}) = \epsilon_x \cos^2 120^\circ + \epsilon_y \sin^2 120^\circ + \gamma_{xy} \sin 120^\circ \cos 120^\circ = 0.25\epsilon_x + 0.75\epsilon_y - 0.433\gamma_{xy} \quad (3)$$



(c)

انځور 10-17

$$\epsilon_x = 60(10^{-6}) \quad \epsilon_y = 246(10^{-6}) \quad \gamma_{xy} = -149(10^{-6})$$

که چیری له معادلي 10-17 کار واخیستل شی ورته پایلي په لاس راځي.

اصلي سترینونه په سطحه د موهر دایري په کارولو ټاکل کیدی شي. مرکز د دایري، C ، موقعیت لری په $e_{avg} = 153(10^{-6})$ او ریفرینس ټکي په دایره په $A[60(10^{-6}), -74.5(10^{-6})]$ ، انځور 10-17c. له سیوری شوی مثلث شعاع د دایري عبارت دی په

$$R = [\sqrt{(153 - 60)^2 + (74.5)^2}] (10^{-6}) = 119.1(10^{-6})$$

اصلى سترينونه په سطحه عبارت دى په

$$\epsilon_1 = 153(10^{-6}) + 119.1(10^{-6}) = 272(10^{-6}) \quad \text{Ans.}$$

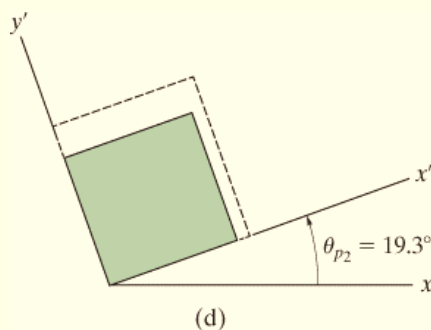
$$\epsilon_2 = 153(10^{-6}) - 119.1(10^{-6}) = 33.9(10^{-6}) \quad \text{Ans.}$$

$$2\theta_{p_2} = \tan^{-1} \frac{74.5}{(153 - 60)} = 38.7^\circ$$

$$\theta_{p_2} = 19.3^\circ \quad \text{Ans.}$$

يادونه: بيخايه شوى عنصر په توتيه شوى كرنبنه بنودل شوي، انخور 10-17d . پوه شئ د پويسان
تاثير له امله په عنصر

په وتلي جهت سترين عمل كړي، د بيلگى په توگه د z لور ، كه څه هم دا په محاسبه شوى پايلي
كوم اغيزه ونكړي.



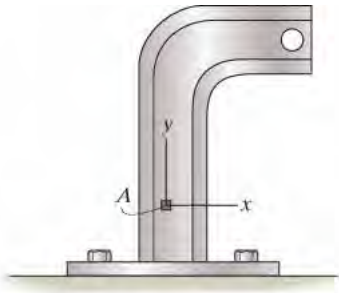
انخور 10-17 (ادامه)

سوالونه

PROBLEMS

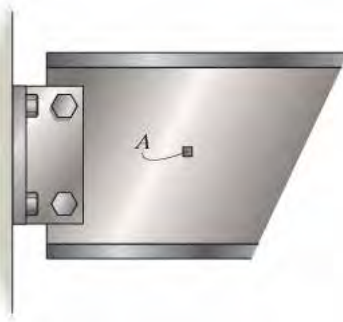
س 10-22.

سترين په ټکی A چی په برکیت موقعیت لری اجزایي عبارت دی په $e_x = 300(10^{-6})$
 $e_y = 550(10^{-6})$ او $e_z = 0$. معلوم کړي (a) اصلي سترينونه په ټکی A
 کی د $x-y$ په سطحه کی، (b) اعظمی شیبیر سترين په $x-y$ سطحه کی، او (c) مطلق اعظمی شیبیر
 سترين.



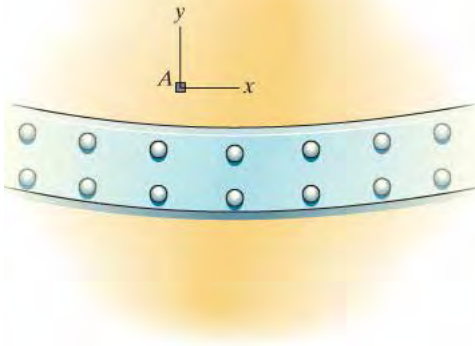
س 10-22

س 10-23. د سترين اجزای په ټکی A د یو بیم عبارت دی په $e_x = 450(10^{-6})$
 $e_y = 825(10^{-6})$ او $e_z = 0$. معلوم کړي (a) اصلي سترينونه په ټکی A
 کی اعظمی شیبیر سترين په $x-y$ سطحه کی، او (c) مطلق اعظمی شیبیر سترين.



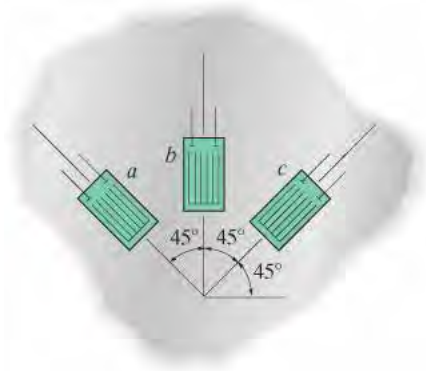
س 10-23

س 10-24* د سترين اجزاوی په ټکی A د یو فشاری ټانک عبارت دی په $\epsilon_x = 480(10^{-6})$ او $\epsilon_y = 720(10^{-6})$ او $\gamma_{xy} = 650(10^{-6})$. معلوم کړي (a) اصلي سترينونه په ټکی A په $x-y$ سطحه کی (b) اعظمی شپير سترين په $x-y$ سطحه ، او (c) مطلق اعظمی شپير سترين.



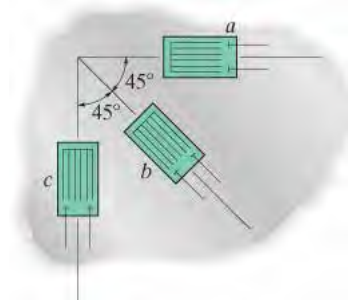
س 10-24

س 10-25 یو د 45° سترين روزیت د یوه پوستکی (shell) غړی په سطحه نصب شوي. دا لاندی لوست شوی ډیټا له هر گيچ په لاس راغلي. $\epsilon_a = -200(10^{-6})$ ، $\epsilon_b = 300(10^{-6})$ او $\epsilon_c = 250(10^{-6})$. اصلي سترينونه په سطحه معلوم کړي.



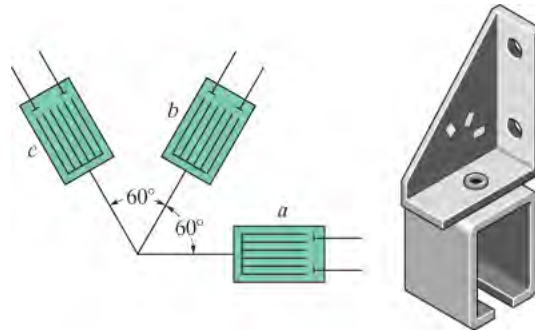
س 10-25

س 10-26. یو د 45° سترین روزیت د یوه فشاری ټانک په سطحه نصب شوي. دا لاندی لوست شوی ډیټاله هر گيچ په لاس راغلي. $e_a = 475(10^{-6})$ ، $e_b = 250(10^{-6})$ او $e_c = -360(10^{-6})$. اصلي سترینونه په سطحه معلوم کړي.



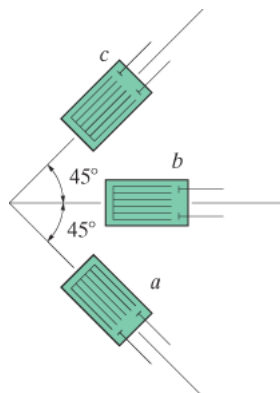
س 10-26

س 10-27. یو د 60° سترین روزیت د یو براکیت په سطحه نصب شوي. دا لاندی لوست شوی ډیټاله هر گيچ نه په لاس راغلي. $e_a = -780(10^{-6})$ ، $e_b = 400(10^{-6})$ او $e_c = 500(10^{-6})$. معلوم کړي (a) اصلي سترینونه (b) اعظمی شیبیر سترین په سطحه، او اړوند اوسط نارمل سترین. په هر حالت کی ددی سترینو لامله، بیخایه شوی عنصرو بنیي.



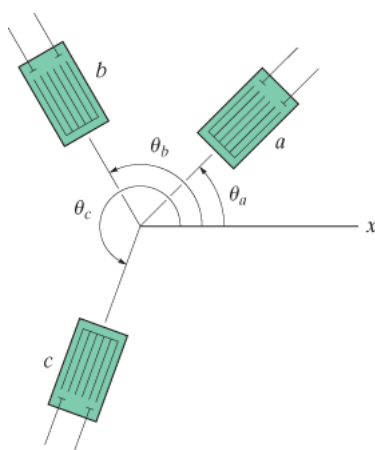
س 10-27

س 10-28* یو د 45° سترین روزیت د یو فولادی شافت په سطحه نصب شوي. دا لاندی لوست شوی ډیټا له هرگیچ نه په لاس راغلي. $e_a = 800(10^{-6})$ ، $e_b = 520(10^{-6})$ او $e_c = -450(10^{-6})$. اصلي سترینونه په سطحه معلوم کړي.



س 10-28

س 10-29 په یوه ټکي عمومي سمت د دریو گیجونو لاندی بنودل شوي. یو د کمپیوټری پروگرام داسی ولیکی ترڅو معلوم کړی اصلي په سطحه سترینونه او اعظمی په سطحه شپیر سترین په دی ټکی. دا پروگرام کله چی ولیکل شو د دی پروگرام په کارولو سره ددی لاندی ډیټا لپاره جواب و ټاکي. $q_a = 40^\circ$ ، $e_a = 160(10^{-6})$ ، $q_b = 125^\circ$ ، $e_b = 100(10^{-6})$ ، $q_c = 220^\circ$ او $e_c = 80(10^{-6})$.



س 10-29

10.6 د موادو د خاصیتونو اړیکې (MATERIAL PROPERTY RELATIONSHIPS)

په دی برخه کی به موږ د موادو د خاصیت څو مهم اړیکې کله چی په موادو باندی څو اړخیز ستریس او سترین عمل کړي، بحث وکړو. په ټولو حالتو کی به داسی اټکل وشي چی مواد متجانس او آیسوټرافیک دی او په خطی ایلیستیک ډول چلند لري.

د هوک عمومي قانون (Generalized Hooke's Law)

کله چی د مواد په یوه ټکی کی په دری اړخیز (triaxial state) حالت د ستریس s_x, s_y, s_z واقع شي، انځور 10-18a، بیا د دی ستریسونو اړیکې د نارمل سترینونو e_x, e_y, e_z سره د سوپرپوزیشن اصولوپه کار اخیستلو کیدی شي چی تر او جوړ کړي. د پویسان نسبت (Poisson's ratio) $e_{at} = -\nu e_{long}$ او د هوک قانون په یوه محوری لور $e = s/E$. د مثال په توگه دیو عنصر نارمل سترین په x جهت چی هر نارمل ستریس جوړ کړی دی. کله چی s_x عمل وکړي، د سترین e_x سره، انځور 10-18b، عنصر اوږدیري کوم چی لرو

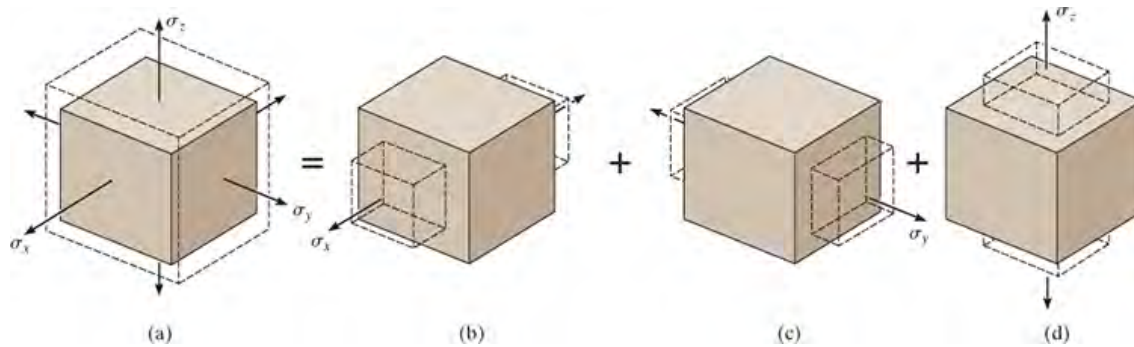
$$e'_x = \frac{\sigma_x}{E}$$

د s_y پلی کیدلو سترین e''_x سره عنصر انقباض کړي، انځور 10-18c. دلته

$$e''_x = -\nu \frac{\sigma_y}{E}$$

په نهایت کی پلی کیدل د s_z ، انځور 10-18d، لامل د انقباض سترین e'''_x کیری او لرو

$$e'''_x = -\nu \frac{\sigma_z}{E}$$



انخور 10-18

مور کولای شو چی محصله د سترین ν کله چی دری سترینونه په الجبری توگه یو ځای کړو په لاس راوړو. په ورته ډول د نارمل سترینونو په y او z جهتونو په لاس راوړي شو، په دی ډول پایلی کیدی شی چی په لاندی ډول ولیکو

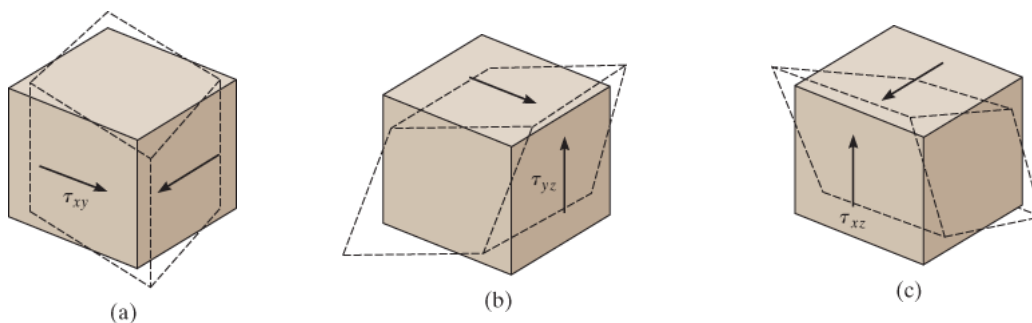
$$\begin{aligned} \epsilon_x &= \frac{1}{E}[\sigma_x - \nu(\sigma_y + \sigma_z)] \\ \epsilon_y &= \frac{1}{E}[\sigma_y - \nu(\sigma_x + \sigma_z)] \\ \epsilon_z &= \frac{1}{E}[\sigma_z - \nu(\sigma_x + \sigma_y)] \end{aligned} \tag{10-18}$$

دا دري معادلي د دري اړخيز ستريس حالت لپاره د هوک قانون بڼه څرگند وي. په عملی کارونو کی کششي ستريس مثبت مقدار په پام کی نیول کيږي او تیلو هونکي ستريس منفی په پام کی نیول کيږي. که چیری د نارمل سترین محصله مثبت وی، دا په گوته کوی چی مواد *اورډیږي*، په داسی حال کی که د نارمل سترین محصله منفي وی دا د موادو *انقباض* په گوته کوي.

که چیری یوازي شیبیر ستريس t_{xy} په یو عنصر پلی شي، انخور 10-19a، آزمویني داسی مشاهدی په گوته کوي چی مواد به تغیر د شکل ومومي اما په حجم کی کوم بدلون نه راځي. په بل عبارت t_{xy} تنها د شیبیر سترین (g_{xy}) لامل په موادو کی کيږي. په ورته ډول t_{yz} او t_{xz} لامل تنها د g_{yz} او

g_{xz} کیری، انځور 10-19b او 10-19c. د هوک قانون د شپیر ستریس او شپیر سترین لپاره په دی لاندی ډول کیری

$$\gamma_{xy} = \frac{1}{G} \tau_{xy} \quad \gamma_{yz} = \frac{1}{G} \tau_{yz} \quad \gamma_{xz} = \frac{1}{G} \tau_{xz} \quad (10-19)$$

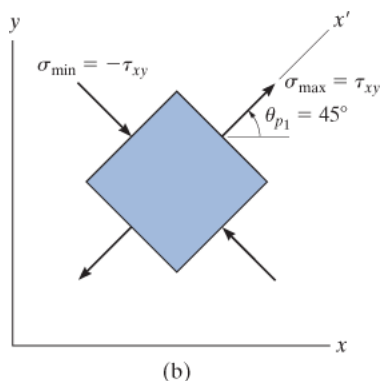
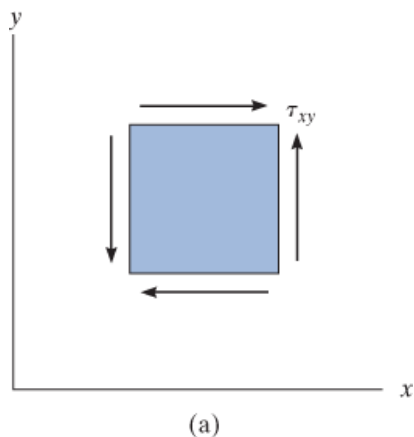


انځور 10-19

(Relationship Involving E , ν , and G) او E , ν او G اړیکې

په 3.7 برخه کی وویل شول چی د ماجولس ایلستیستی E او شپیر ماجولس G یو بل سره، معادله 3-11 دا لاندی تړاو لري

$$G = \frac{E}{2(1 + \nu)} \quad (10-20)$$



د دې اړیکو د ترلاسه کولو یوه لاره دا ده چې یو عنصر په پام کې ونیسئ او په موادو یوازې شیبې پلې شوي وي، انځور 10-20a . معادله 9-5 (مثال 9-5 وگوري) پلې کوو، اصلی ستریسونه په دې ټکي کې عبارت دی په $s_{max} = t_{xy}$ او $s_{min} = -t_{xy}$ ، دلته عنصر په زاویه $\theta_{p1} = 45^\circ$ مخالف د ساعت د ستنې له محور جهت شوی، انځور 10-20b کې ښودل شوي. که درې واړه اصلي ستریسونه $s_{int} = 0$ ، $s_{max} = t_{xy}$ او $s_{min} = -t_{xy}$ بیا دا لومړي په معادله 10-18 کې ځای په ځای شی، اصلی سترین e_{max} کیدی شي د شیبې ستریس t_{xy} پورې تړاو ولري. پایله دا ده

$$\epsilon_{max} = \frac{\tau_{xy}}{E} (1 + \nu) \quad (10-21)$$

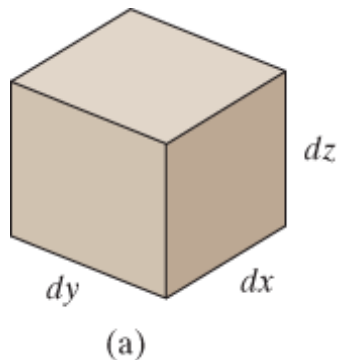
انځور 10-

دا سترین کوم چې عنصر د x' محور سره بیځایه کوی ، کیدی شي چې د شیبې سترین γ_{xy} سره اړیکې ولري. له انځور 10-20a لیکلی شو $s_x = s_y = s_z = 0$. دا پایلي په لمړي او دوهمه معادله د 10-18 کې ځای په ځای کوو او حاصل یې $e_x = e_y = 0$ دي. اوس د سترین د بدلون معادله 10-9 پلې کوو او حاصل یې عبارت دی په

$$\epsilon_1 = \epsilon_{max} = \frac{\gamma_{xy}}{2}$$

د هوک قانون له مخې $\gamma_{xy} = t_{xy}/G$ نو دا راکوی $e_{max} = t_{xy}/2G$. په پایلي کې دا په معادله 10-21 کې ځای په ځای کوو او اعداد تنظیم کوو دا زموږ پایلي راکوی یعنی معادله 10-20 .

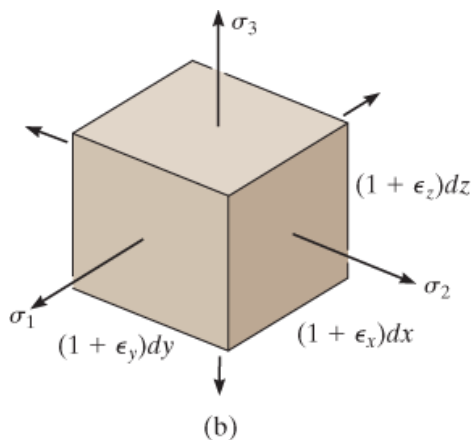
پراخوالي (Dilation)



کله چی یو د ایلستیک چلند مواد له نارمل ستریس سره مخ شي، سترین چی منخ ته راحی هغه په حجم د موادو کی بدلون راولي. د مثال په توگه که چیری د حجم عنصر د انخور 10-21a مخ شی له اصلی ستریسونو s_1, s_2, s_3 ، انخور 10-21b، بیا د عنصر د مخونو اوږدوالي کیری

بدلون د عنصر په حجم کی عبارت دی په $(1 + \epsilon_x)dx, (1 + \epsilon_y)dy, (1 + \epsilon_z)dz$.

$$\delta V = (1 + \epsilon_x)(1 + \epsilon_y)(1 + \epsilon_z) dx dy dz - dx dy dz$$



دا پراخوو او د سترین ضربول، خکه چی ډیر کوچني دی، له پام غورخوو، مور لرو

$$\delta V = (\epsilon_x + \epsilon_y + \epsilon_z) dx dy dz$$

انخور 10-21

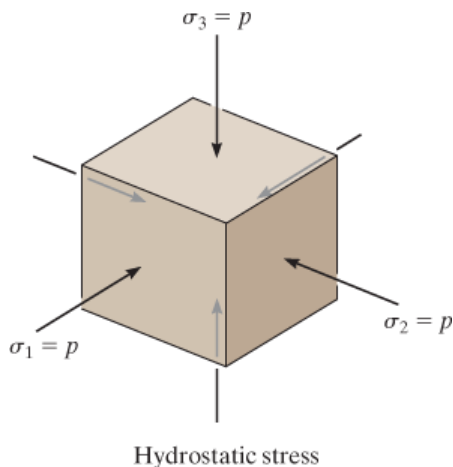
د حجم په هر واحد کی بدلون په نامه دی (حجمی سترین) یا پراخوالي (dilation)، e یادیری.

$$e = \frac{\delta V}{dV} = \epsilon_x + \epsilon_y + \epsilon_z \quad (10-22)$$

که چیری د هوک قانون معادله 10-18 خخه کار واخلو، مور کولای شو پراخوالي د پلی شوی ستریس سره څرگند کړو

$$e = \frac{1 - 2\nu}{E} (\sigma_1 + \sigma_2 + \sigma_3) \quad (10-23)$$

حجمی ماجولس (Bulk Modulus)



د پاسکال د قانون (Pascal's Law) له مخې، کله چې مواد د یو حجمی عنصر د ستاتیک مایع د یوشان فشار سره مخ شي هغه فشار چې له امله رامینځته کیږي په ټولو جهتونو کې به یو شان وي. د شپیر سټریسونه به شتون ونلري، ځکه چې مایع د عنصر شاوخوا نه، نه تیرېږي. دا د "هایډروستاتیک" حالت دي نو د بارولو لپاره اړتیا لري $s_1 = s_2 = s_3 = -p$ ، انځور 10-22 . معادله 10-22 کی ځای په ځای کوو او د اصطلاحاتو له تنظیم کولو وروسته دا لاندی حاصل کیږي

انځور 10-22

$$\frac{p}{e} = -\frac{E}{3(1 - 2\nu)} \quad (10-24)$$

په بني خوا کی اصطلاح په نامه د ایلستیستی حجمی ماجولس (*volume modulus of elasticity*) یا حجمی ماجولس (*bulk modulus*) یادېږي، دا ځکه چې نسبت د p/e ، له یو اړخیز خطي ایلستیک سټریس یا سټرین سره ورته دی، او دا تعریف کوي د E ، د بیلگی په توګه $s/e=E$. حجمی ماجولس د سټریس په څیر ورته واحدونه لري ، او د حرف k په واسطه سمبول شوي ، نو داسي

$$k = \frac{E}{3(1 - 2\nu)} \quad (10-25)$$

د ډیری فلزاتو مواد $U = \sim 1/3$ او همداسي $k = \sim E$. په هر صورت کی مور فرض کړو چې د موادو حجم ، کله چې بار ورباندی پلي شی، تغیر نه مومي بیا $dV = e = 0$ او k به لامحدود وي. په پایلی کی معادله 10-25 به بیا وبني نظری اعظمی ارزښت د پویسان نسبت او هغه به $U = 0.5$ شي .

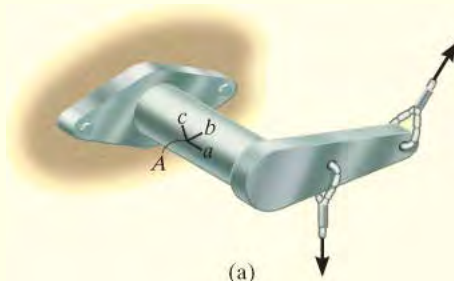
(IMPORTANT POINTS)

- کله چې په متجانس او ایزوټروپیک موادو درې اړخیز سټریس پلې شي، سټرین په هر لوري، د هغه سټرینو له امله چې د ټولو سټریسونو لخوا تولید شوي، اغیزه من کيږي. دا د پویسان (Poisson) پایله اغیز ده، او سټریس بیا د سټرین سره د هوک عمومي قانون په واسطه تړاو لري .
- کله چې په متجانس ایسوتروپیک موادو باندې شپیر سټریس تطبیق شي، دا به یوازې په ورته سطحه کې د شپیر سټرین تولید کړي.
- د موادو ثابت ارقام E ، G ، او U ټول د معادلی 10-20 سره تړاو لري.
- پراخوالی، یا حجمیټریک سټرین، یوازې د نارمل سټرین له امله رامنځته کيږي، نه د شپیر سټرین له امله.
- حجمي ماجولس د موادو د حجم د سختوالي اندازه ده . دا خاصیت د موادو د پویسان نسبت لپاره یو لوړ حد $U = 0.5$ چمتو کوي

مثالونه

مثال 10.9

د 10.8 مثال براکیت ، انځور 10-23a ، له فولادو جوړه شوي ، کوم چی $E_{st} = 200 \text{ GPa}$ ، اصلی ستریسونه په ټکی A کی مشخص کړي. $u_{st} = 0.3$ دي.



انځور 10-23

حل (SOLUTION)

حل I

له مثال 10.8 دا لاندی اصلی سترینونه ټاکل شوی

$$\epsilon_1 = 272(10^{-6})$$

$$\epsilon_2 = 33.9(10^{-6})$$

ځکه چی A په سطحه د براکیت موقعیت لری ، کوم بار ورباندی شتون نلري ، ستریسونه په سطحه صفر دی ، له همدی امله ټکی A د سطحی ستریس سره مخ دي (نه له سطحی سترین). د هوک قانون تطبیق کوو کوم چی $s_3 = 0$ دی او موږ لرو

$$\epsilon_1 = \frac{\sigma_1}{E} - \frac{\nu}{E}\sigma_2; \quad 272(10^{-6}) = \frac{\sigma_1}{200(10^9)} - \frac{0.3}{200(10^9)}\sigma_2$$

$$54.4(10^6) = \sigma_1 - 0.3\sigma_2 \quad (1)$$

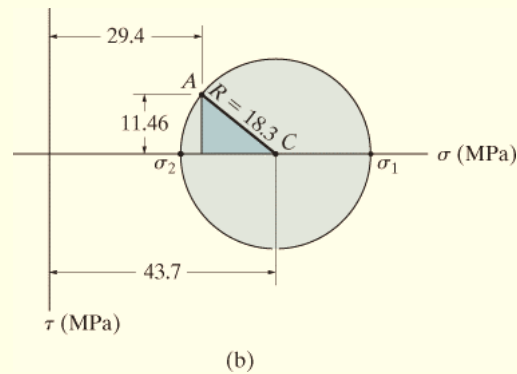
$$\epsilon_2 = \frac{\sigma_2}{E} - \frac{\nu}{E}\sigma_1; \quad 33.9(10^{-6}) = \frac{\sigma_2}{200(10^9)} - \frac{0.3}{200(10^9)}\sigma_1$$

$$6.78(10^6) = \sigma_2 - 0.3\sigma_1 \quad (2)$$

معادلي 1 او 2 يو ځای حل کوو او دا لاندی حاصل راځي

$$\sigma_1 = 62.0 \text{ MPa} \quad \text{Ans.}$$

$$\sigma_2 = 25.4 \text{ MPa} \quad \text{Ans.}$$



انځور 10-23 (تکرار)

حل II

دا هم ممکنه ده چی دا سوال په ورکړل شوی حالت د سترین څرنګه چی په مثال 10.8 کی تشریح شو حل کړو

$$\epsilon_x = 60(10^{-6}) \quad \epsilon_y = 246(10^{-6}) \quad \gamma_{xy} = -149(10^{-6})$$

د هوک قانون د x - y په سطحه کی تطبیق کوو

$$\begin{aligned}\epsilon_x &= \frac{\sigma_x}{E} - \frac{\nu}{E}\sigma_y; & 60(10^{-6}) &= \frac{\sigma_x}{200(10^9) \text{ Pa}} - \frac{0.3\sigma_y}{200(10^9) \text{ Pa}} \\ \epsilon_y &= \frac{\sigma_y}{E} - \frac{\nu}{E}\sigma_x; & 246(10^{-6}) &= \frac{\sigma_y}{200(10^9) \text{ Pa}} - \frac{0.3\sigma_x}{200(10^9) \text{ Pa}} \\ \sigma_x &= 29.4 \text{ MPa} & \sigma_y &= 58.0 \text{ MPa}\end{aligned}$$

د شیبیر ستریس د هوک قانون د شیبیر لپاره تطبیق کوو. لمري باید مور G محاسبه کړو

$$G = \frac{E}{2(1 + \nu)} = \frac{200 \text{ GPa}}{2(1 + 0.3)} = 76.9 \text{ GPa}$$

په دی توگه

$$\tau_{xy} = G\gamma_{xy}; \quad \tau_{xy} = 76.9(10^9)[-149(10^{-6})] = -11.46 \text{ MPa}$$

د موهر له دایری د سطحی ستریس لپاره کار اخلو، او مرکز یی په $s_{\text{avg}} = 43.7 \text{ MPa}$ کی دی او د ریفرینس تکی $A (29.4 \text{ MPa}, -11.46 \text{ MPa})$ ، انخوړ 10-23b دي. له سیوری شوی مثلث شعاع پیدا کوو

$$R = \sqrt{(43.7 - 29.4)^2 + (11.46)^2} = 18.3 \text{ MPa}$$

له همدی امله

$$\sigma_1 = 43.7 \text{ MPa} + 18.3 \text{ MPa} = 62.0 \text{ MPa}$$

Ans

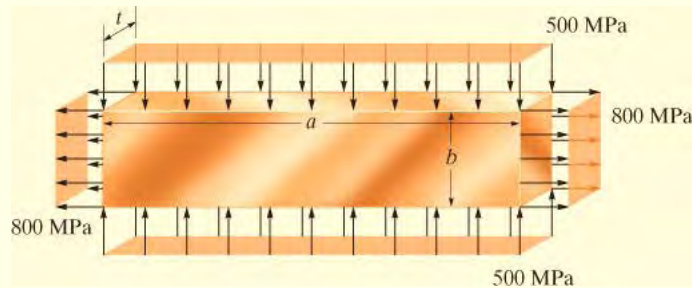
$$\sigma_2 = 43.7 \text{ MPa} - 18.3 \text{ MPa} = 25.4 \text{ MPa}$$

Ans

یادونه: ددی حلونو څخه هر یو هغه وخت د اعتبار وړ دی چی باید مواد دواړه ایلسټیک خطی او ایسوتراپیک وی، ځکه بیا تنها په دی حالت کی د اصلی ستریسونو او سترین د جهتونه یو ډول دی.

مثال 10.10 د مسو (copper) میله باندی یو شان بار پلي شوی، انخوړ 10-24 . که اوږدوالی د میلی $a = 300 \text{ mm}$ ، سور یی $b = 50 \text{ mm}$ ، او پنډوالی یی $t = 20 \text{ mm}$ مخ کی له دی چی بهرنی بار ورباندی شي وی، نوئ اوږدوالی، سور، او پنډوالی یی وروسته له دی چی بهرنی بار ورباندی پلی شي وټاکي. کار واخلي له $E_{cu} = 120 \text{ GPa}$

$$u_{cu} = 0.34$$



انځور-10

حل (SOLUTION)

په لیدو سره ، دا میله د سطحی ستریس په حالت کی ده. له پلي شویو بارونو موږ لرو

$$\sigma_x = 800 \text{ MPa} \quad \sigma_y = -500 \text{ MPa} \quad \tau_{xy} = 0 \quad \sigma_z = 0$$

اړوند نارمل سترینونه د هوک قانون معادله 10-18 په تطبیق سره پیدا کوو، او موږ لرو

$$\begin{aligned} \epsilon_x &= \frac{\sigma_x}{E} - \frac{\nu}{E}(\sigma_y + \sigma_z) \\ &= \frac{800 \text{ MPa}}{120(10^3) \text{ MPa}} - \frac{0.34}{120(10^3) \text{ MPa}}(-500 \text{ MPa} + 0) = 0.00808 \end{aligned}$$

$$\begin{aligned} \epsilon_y &= \frac{\sigma_y}{E} - \frac{\nu}{E}(\sigma_x + \sigma_z) \\ &= \frac{-500 \text{ MPa}}{120(10^3) \text{ MPa}} - \frac{0.34}{120(10^3) \text{ MPa}}(800 \text{ MPa} + 0) = -0.00643 \end{aligned}$$

$$\begin{aligned} \epsilon_z &= \frac{\sigma_z}{E} - \frac{\nu}{E}(\sigma_x + \sigma_y) \\ &= 0 - \frac{0.34}{120(10^3) \text{ MPa}}(800 \text{ MPa} - 500 \text{ MPa}) = -0.000850 \end{aligned}$$

د میلی نوي اوږدوالي، سور او پندوالی یې له همدی امله عبارت دی په

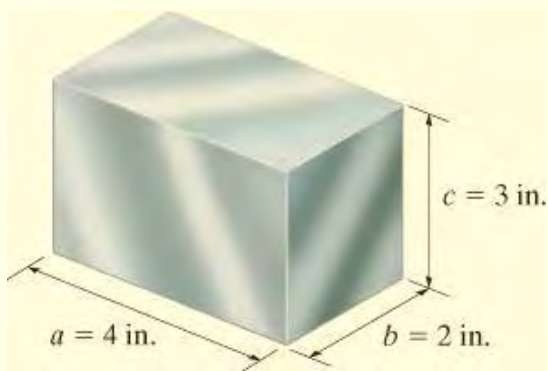
$$a' = 300 \text{ mm} + 0.00808(300 \text{ mm}) = 302.4 \text{ mm} \quad \text{Ans.}$$

$$b' = 50 \text{ mm} + (-0.00643)(50 \text{ mm}) = 49.68 \text{ mm} \quad \text{Ans.}$$

$$t' = 20 \text{ mm} + (-0.000850)(20 \text{ mm}) = 19.98 \text{ mm} \quad \text{Ans.}$$

مثال 10.11

په لاندی مستطیلي بلاک ، انځور 10-25 ، یو شان فشار $p = 20 \text{ psi}$ پلی شوي، د بلاک پراخوالي (dilatation) اود هراړخ بد لون مشخص کړي. د موادو لدی خاصیتونو کار واخلی $E = 600 \text{ psi}$ ، $\nu = 0.45$.



انځور 10-25

حل (SOLUTION)

پراخوالي (Dilatation) . د پراخوالي معلومولو لپاره له معادلي 10-23 کار اخلو، کوم چی $s_x = s_y = s_z = -20 \text{ psi}$. مور لرو

$$\begin{aligned} e &= \frac{1 - 2\nu}{E}(\sigma_x + \sigma_y + \sigma_z) \\ &= \frac{1 - 2(0.45)}{600 \text{ psi}} [3(-20 \text{ psi})] \\ &= -0.01 \text{ in}^3/\text{in}^3 \end{aligned}$$

Ans.

بدلون په اوږدوالي د هر اړخ کی (Change in Length)

د هوک قانون ، معادله 10-18 په تطبیق سره نارمل سترین په هر اړخ کی پیدا کوو، او هغه عبارت دی په

$$\begin{aligned}\epsilon &= \frac{1}{E}[\sigma_x - \nu(\sigma_y + \sigma_z)] \\ &= \frac{1}{600 \text{ psi}}[-20 \text{ psi} - (0.45)(-20 \text{ psi} - 20 \text{ psi})] = -0.00333 \text{ in./in.}\end{aligned}$$

په دی توگه د هر اړخ بدلون په دی لاندی ډول دی

$$\delta a = -0.00333(4 \text{ in.}) = -0.0133 \text{ in.} \quad \text{Ans.}$$

$$\delta b = -0.00333(2 \text{ in.}) = -0.00667 \text{ in.} \quad \text{Ans.}$$

$$\delta c = -0.00333(3 \text{ in.}) = -0.0100 \text{ in.} \quad \text{Ans.}$$

منفي علامه په دی معنی ، چي د هر اړخ انداز لږ شوي ده.

سوالونه

PROBLEMS

س 10-30. د سطحی ستریس حالت لپاره وښیي چي د هوک قانون په دی لاندی توگه لیکل کیدی شي.

$$\sigma_x = \frac{E}{(1 - \nu^2)}(\epsilon_x + \nu\epsilon_y), \quad \sigma_y = \frac{E}{(1 - \nu^2)}(\epsilon_y + \nu\epsilon_x)$$

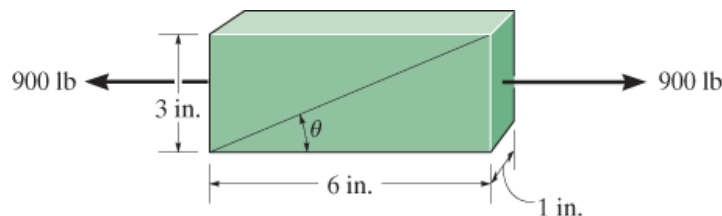
س 10-31. د هوک له قانون ، معادله 10-18 ، کار واخلی تر څو د سترین د بدلون معادلی 10-5 او 10-6 له ستریس بدلون معادلو 9-1 او 9-2 ، څخه حاصل کړي.

س 10-32* اصلي سټريسونه په سطحه او اړوند سټرينونه په يوه سطحه په يو ټکي کې عبارت دی په $s_1 = 36 \text{ ksi}$, $s_2 = 16 \text{ ksi}$, $\epsilon_1 = 1.02(10^{-6})$, $\epsilon_2 = 0.180(10^{-6})$. د ایلستیسیتی ماجولس او پویسان نسبت معلوم کړي.

س 10-33 د يو میلی شعاع 10 mm ده. که چیرې يو محوری بار د 15 N ورباندې پلي شي محوری سټرين په میله کې به $\epsilon_x = 2.75(10^{-6})$ وي، د ایلستیسیتی ماجولس او بدلون د میلی په قطر کې معلوم کړي. $u = 0.23$

س 10-34 د پالی واینل کلوراید (polyvinyl chloride) په میله باندې يوه قوه د 900 lb پلي شوي. اصلي ابعاد يې په لاندې انځور کې ښودل شوي، بدلون په زاویه q وروسته لږدی چې بهرنی بار ورباندې پلي شي و ټاکي. $E_{pvc} = 800(10^3) \text{ psi}$, $u_{pvc} = 0.20$

س 10-35 د پالی واینل کلوراید (polyvinyl chloride) په میله باندې يوه قوه د 900 lb پلي شوي. اصلي ابعاد يې په لاندې انځور کې ښودل شوي، د پویسان نسبت رزنت داسې وټاکي کله چې زاویه q کې $dq = 0.01^0$ لږوالي وروسته له دی چې بهرنی بار پلي شي راشي. $E_{pvc} = 800(10^3) \text{ psi}$



س 10-34/35

س 10-36* د فشار يو کروي ذخیري ټانک داخلي قطر 2 m او پنډ والی يې 10 mm دي. يو سټرين گيج چې اوږدوالي يې 20 mm دی ورباندې ایښودل شوي، کله چې په کوره کې فشار جوړ شي لیدل کيږي چې گيج 0.012 mm اوږديږي. هغه فشار چې ددی بیخایه کیدنی لامل کيږي و ټاکي، او هم اعظمی شيرسټريس په سطحه، او مطلق اعظمی شيرسټريس په يوه ټکي چې د

کوری په وتلی سطحه موقعیت لري معلوم کړي. د کوری مواد فولاد دی، کوم چی $E_{st} = 200$ GPa او $u_{st} = 0.3$.

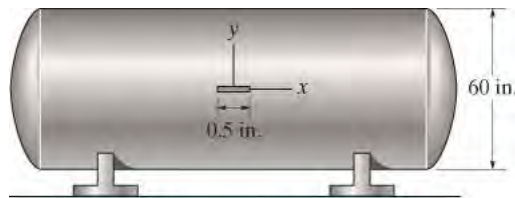


س 10-36

س 10-37. د پراخوالي ماجولس ددی لاندی موادو لپاره وټاکي: (a) رابر، $E_r = 0.4$ ksi،

$u_r = 0.48$ ، او (b) شیشه $u_g = 0.24$ ، $E_g = 8(103)$ ،

س 10-38. یو سترین گیج د فولادی بایلر په سطحه ایښودل شوي. اوږدوالي د گیج 0.5 انچ دی کله چی په گیج کی اوږدوالي په اندازه د $0.2(10^{-6})$ in انچ ولیدل شي په داسي حالت کی د بایلر فشار معلوم کړي. د بایلر ضخامت 0.5 in او داخلی قطر یې 60 in دي. او هم د x, y په سطحه اعظمی شیبیر سترین په موادو کی معلوم کړي. $E_{st} = 29(103)$ ksi، $u_{st} = 0.3$.



س 10-38

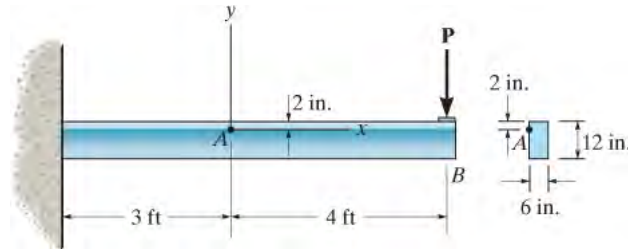
10-39. د یو جت الوتکی د فیوسلاج په سطحه اصلی سترینونه عبارت دی په $\epsilon_1 = 780(10^{-6})$

او $\epsilon_2 = 400(10^{-6})$. په همدی ټکی او سطحه اړونده اصلی سترینونه پیدا کړي.

$E_{al} = 10(10^{-6})$ ksi او $u_{al} = 0.33$. کمک: سوال 10-30 وگوري.

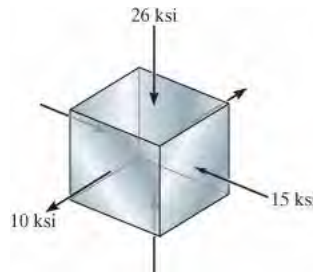
10-40* په یو فولادی A-36 بیم په ټکی A په جهت د x سترین اندازه شوي، او معلومه شوه چې $e_x = 200(10^{-6})$ دی. پلي شوی بار P پیدا کړي. او هم شیبیر سترین g_{xy} په ټکی A کی معلوم کړي.

10-41 که چیری بار $P = 3 \text{ kip}$ په فولادی بیم A-36 پلي شي، سترین e_x او g_{xy} په ټکی A کی معلوم کړي.



س 10-40/41

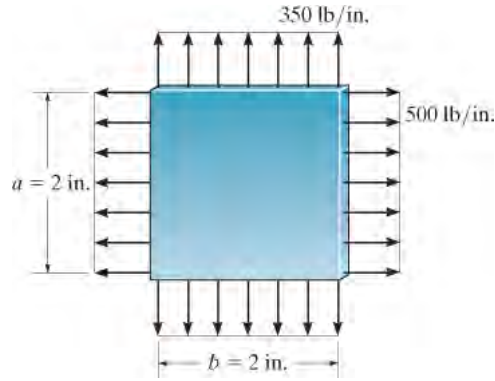
10-42 په دی لاندی د المونیم مکعب لاندی بنودل شوي دری ستریسونه پلي شوي. اصلی سترینونه و ټاکي. له $u_{al} = 0.33$ ، $E_{al} = 10(10^3) \text{ ksi}$ کار واخلی.



س 10-42

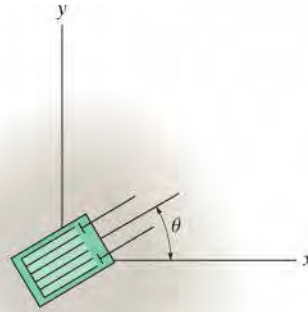
10-43 د المونیم ټانک په سطحه اصلی سترینونه $e = 630(10^{-6})$ او $e_2 = 350(10^{-6})$ دي. که دا سطحی ستریس حالت وی، اړوند اصلی ستریسونه په همدی سطحه او ټکی کی وټاکي. $E_{al} = 10(10^3) \text{ ksi}$ ، $u_{al} = 0.33$. کمک: سوال 10-30 وویني.

10-44* د پالی ستایرین (polystyrene) په نمونه مساوی د اړخ بار 500 lb/in او 350 lb/in پلي شوي دي. که چیری دا نمونه په اصل کی مربع او ابعاد یې $a=2$ in., $b=2$ in. وي او پنډوالی یې $t=0.25$ in. دی، کله چی بار ورباندی پلي شي نوی ابعاد a' , b' , t' معلوم کړي. $E_p = 597(10^3)$ psi او $\nu_p = 0.25$.



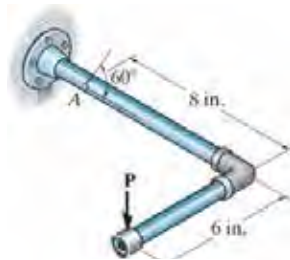
س 10-44

10-45. یو ډول موادو باندی اصلی ستریسونه s_x او s_y پلي شوي. د سترین گيج جهت q داسی معلوم کړی کوم چی د سترین گيج لوستل تنها s_y وښيي نه s_x . د موادو ثابت ارقام عبارت دی په E او ν .



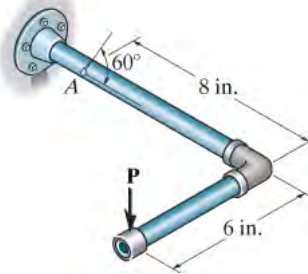
س 10-45

10-46. دیوه پایپ په بیرونی سطحه په عمودی ډول یو سترین گيج په زاویه 60° د پایپ له محور سره ایښودل شوي، او دا گيج په تکی A کی د سترین $\epsilon_A = -250(10^{-6})$ اندازه ورکوي. اصلی سترینونه د پایپ په دی تکی کی و ټاکي. پایپ له برانز C86100 جوړ شوي، بیرونی قطر یې 1 in. او داخلي قطر یې 0.60 in. دی.



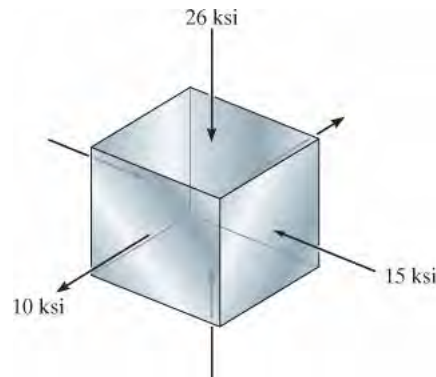
س 10-46

10-47. د یوه پایپ په بیرونی سطحه یو سترین گیج په زاویه 60° په عمودی توگه د پایپ له محور سره ایښودل شوي، او دا گیج په ټکی A کې د سترین $e_A = -250(10^{-6})$ اندازه ورکوي. عمودی قوه P و ټاکي. پایپ له برانز C86100 جوړ شوي، بیرونی قطر یې 1 in. او داخلي قطر یې 0.60 in. دی.



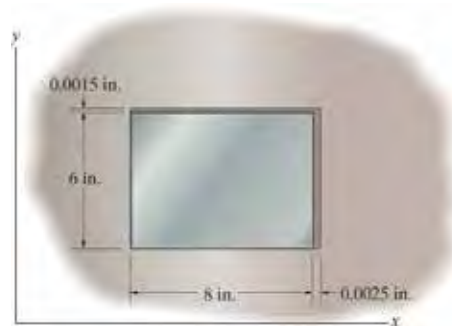
س 10-47

10-48*. که چیری مواد گرافایت (graphite) وی، کوم چی $E_g = 800 \text{ ksi}$ او $u_g = 0.23$ دي، اصلی سترینونه و ټاکي.



س 10-48

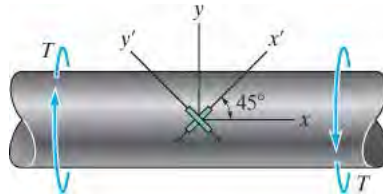
10-49. په پیل کې فاصله (gap) د فولادو A-36 تختی او سخت محدودیت (constraint) په لاندی انځور کې ښودل شوي. نارمل سټریسونه s_x او s_y په تخته کې کله چی د تودوخي درجه د $DT = 100^\circ\text{F}$ په اندازه زیاتوالي و مومي پیدا کړی. مرسته: د حل لپاره د تودوخی له امله سترین aDT د هوک په معادله کې اضافه کړي.



س 10-49

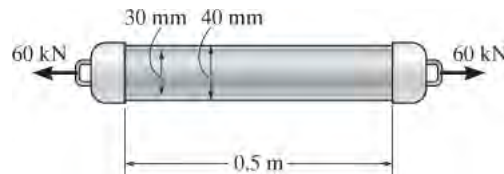
10-50. د فولادی شافت شعاع 15 mm ده. که چیری هغه دوه سترین گيجونه چی په سطحه د شافت سرین شوي سترینونه په انداز د $e_x = -80(10^{-6})$ او $e_y = 80(10^{-6})$ لوستني ورکړي تورك T په دی حالت کی وټاکي. او هم سترین په x او y جهتونو معلوم کړي. $E_{st} = 200\text{GPa}$ او $u_{st} = 0.3$ دی.

10-51. د اوزارو L2 (tool) فولادو یو شافت چی 15 mm شعاع لري جوړ شوی. سترین په x' او y' جهتونو کی معلوم کړي کله چی $T = 2\text{ kN.m}$ په شافت عمل وکړي.



س 10-50/51

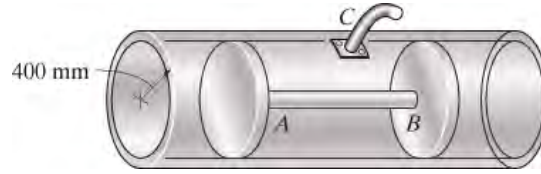
10-52*. په یوه A-36 فولادی پایپ یو محوری بار 60 kN پلی شوي. تغیر په حجم د موادو کی وروسته له دی چی بهرنی بار ورباندی پلی شي معلوم کړي.



س 10-52

10-53. د فولادو په یو نازک دیوال فشاری ټانک کی هوا په ټکی C کی پمپ کړي. که د ټانک پایلی د پستون په واسطه چی د میلی AB سره وصل دی بندیري، په هغه وخت کی چی د داخلی گيج فشار 5 MPa شي. کششی ستریس په میله AB کی چی قطر 100 mm وی څومره دی؟ داخلی شعاع د ټانک 400 mm او پنډوالی یی 10 mm دي. $E_{st} = 200\text{GPa}$ او $u_{st} = 0.3$.

10-54. د سوال 10-53 فشاری ټانک په قطر کی زیاتوالي داسی معلوم کړی که د پستونونو په ځای د ټانک پایلی په دیوال سره بند شي.

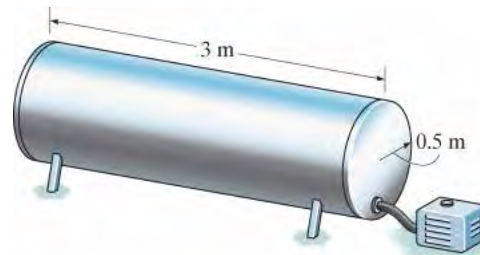


س 10-53/54

10-55. یوډ نازک دیوال کروی فشاري ټانک داخلي شعاع يي r او ضخامت يي t دي، او په دی کی داخلي فشار p شوي. تاسو وښيي چی په دی حالت کی حجم د ټانک په اندازه د $DV = (2ppr^4/Et)(1-u)$ زیاتوالي مومي. د واره-ستړین تحلیل نه کار واخلي.

10-56*. یوډ نازک دیوال استوانه یی (cylindrical) فشاري ټانک داخلي شعاع يي r او پنډوالی يي t دي، او په دی کی داخلي فشار p شوي. که چیری د موادو ثابت اعداد E او u وی، ستړین په محیطي او اوږدوالي جهتونو کی و ټاکي. له دی پایلو کار واخلي، زیاتوالي په قطر او اوږدوالي د فشاری ټانک، کوم چی له هوا ډک شوي او داخلي د گيج فشار 15 MPa دی، معلوم کړي. فولادی فشاری ټانک 3 m اوږدوالي لري او داخلي شعاع يي 0.5 m او پنډوالی يي 10 mm دي. $E_{st} = 200\text{GPa}$ او $u_{st} = 0.3$

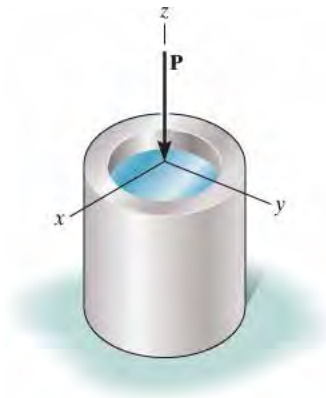
10-57. د سوال 10-56 د فشاری ټانک د حجم زیاتوالي تخمین کړي.



س 10-56/57

10-58. په داخل د یو سخت سلندر، کوم چی کلکه اتکا لری، نرم مواد په کښي ځاي په ځای شوي. فرض کړي چی $\theta_r = 0$ او $\theta_\theta = 0$ دي، تاسو اټکل د هغه ضریب وکړي کوم چی د

موادو سختوالي یا د ایلسټیستی ماجولس به ورباندی زیاتوالي و مومي او دا هغه وخت کله چی بهرني بار ورباندی پلی شي. د موادو $U = 0.3$ دي.



س 10-58

10.7* د رنګیدو تیوری (THEORIES OF FAILURE)

کله چی یو انجنیر د ځانګړي موادو څخه د یو جسم د ډیزاین سره مخ وي، دا مهمه ده چی لوړ حد د سټریس چی دموادود رنګیدو حد تعریف شوی، وساتي. که مواد نرم وي، د موادو رنګیدل معمولاً د یلډینګ (yield) په پیل سره مشخص کیږي، پداسی حال کې چی که مواد ماتیدونکي وي دا حد د فریکچر یا رنګیدو لخوا مشخص کیږی. دا ډول ناکامی په اسانی بنودل شوی که غړی د یوه محوري سټریس سره مخ وي، لکه یو بار چی ترکششی قوی لاندی وی، په دی حالت کی د ماتیدو طریقې په اسانی سره تعریف کیدی شي. اما که غړی د دوه محووري یا درې محوري سټریس سره مخوي د ناکامی معیار رامینځته کول خورا ستونزمن کیږي.

په دې برخه کې به په څلورو نظریو بحث وکړو، کوم چی اکثره په انجینری کاروکی، کله چی جسم په څو اړخیزه سټریسو حالت کی وي، د موادو د ناکامی وړاندوینه کولو لپاره کارول کیږي. په هر صورت، هیڅ یوه تیوري نشي کولی په هر وخت کی په ځانګړی موادو تطبیق شي. دا ځکه چی مواد ممکن د نرمي حالت یا ماتیدونکی حالت چلند ولری او دا ټول اړه لري د تودوخې په درجه، د بار کولو په سرعت یا طریقې، کیمیاوي چاپیریال او دا چی مواد څنګه شکل او په کومه طریقې جوړ شوي دی. کله چی د ناکامی یوه ځانګړې تیوري کارول کیږی، دا لومړی اړینه ده چی نارمل او شپیر سټریس په هغه نقطو د غړي کې محاسبه کړی چې دوی ترټولو لوی دي. ظطیوخل چی د سټریس حالت رامینځته شي، اصلي سټریسونه بیا په دې مهمو ټکو کې باید وټاکل شي، ځکه چی هر یوه د لاندې تیوری د اصلي سټریسو په پوهیدو پوري اړه لري.

نرم مواد (Ductile Materials)



Lüder's lines on mild steel strip

انځور 10-26

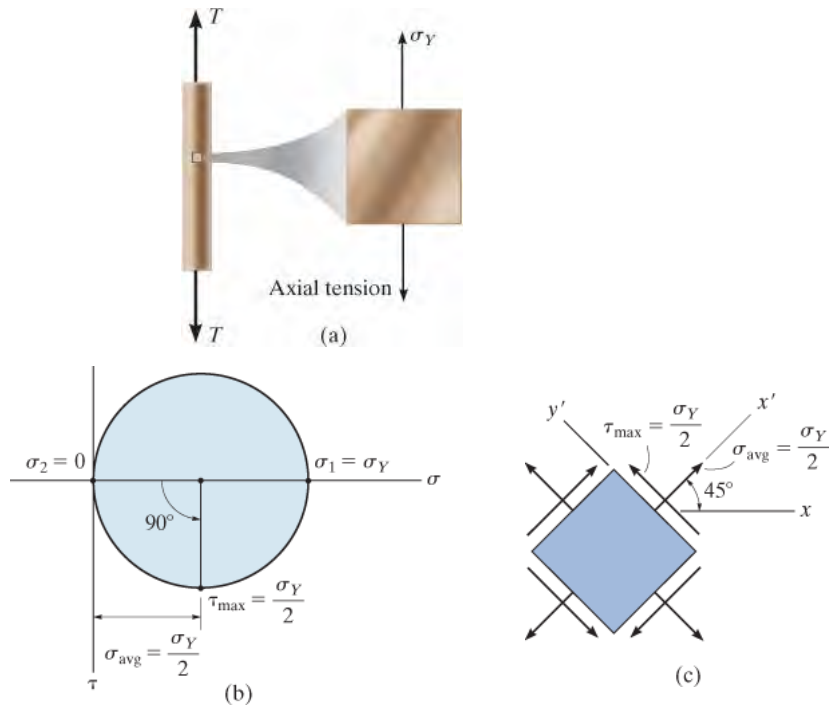
د اعظمي شيبير سټريس تيوري (Maximum Shear Stress Theory). تر ټولو عام ډول يلدینگ د نرمو موادو، لکه فولاد، د بنويدلو (slipping) له امله رامنځته کيږي، کوم چې د تصادفي ترتيب شوي کرسټالونو د تماس د سطحو ترمينځ، کوم چې مواد يې جوړ کړي، واقع کيږي. که چيري د مواد يوه نمونه چې خورا پالښ شوي يوه پټه ورځيني جوړه شوي او د ساده کششي سټريس ازمويني سره مخ کيږي، بيا دا ممکنه ده چې ووليدل شي چې څنگه دا پټي د موادو د بنويدلو له امله د بيلد سبب گرځي، انځور 10-26. د بنويدليو سطحو کونجونه چې د پټي په مخ څرگنديږي په نامه د لودر کرني (Lüder's lines) يادول کيږي. دا کرني په واضح ډول په پټه کې د بنويدليو سطحې په گوته کوي، څرنگه چې بنودل شوي نږدې په 45 درجو کې واقع شوي.

بنويدل چې پيښيږي، د شيبير سټريس له امله رامينځته کيږي. د بنودلو لپاره، په پام کې ونيسي د موادو يو عنصر چې د کششي نموني څخه اخيستل شوی، انځور 10-27a و گوري، کله چې نمونه د بيلد سټريس s_y سره مخامخ وي. اعظمي د شيبير سټريس د موهر د دايري څخه ټاکل کيږي، انځور 10-27b و گوري. پايلي دا په گوته کوي.

$$\tau_{\max} = \frac{\sigma_Y}{2} \quad (10-26)$$

برسېره پردې، دا شيبير سټريس په هغه سطحه باندې عمل کوي چې د اصلي سټريس سطحې څخه، انځور 10-27c، په 45° درجو موقعيت لري، او دا سطحې د لودر (Lüder) کرنيو سمته سره مصادف (coincide) دي، کوم چې په نمونه کې بنودل شوي. دا واقعا په گوته کوي چې دا ماتيدل د شيبير په واسطه واقع کيږي.

لدینه چې نرم موادو کې ماتيدل د شيبير په واسطه منيځ ته راځي، په 1868 کې هينري تريسکا (Henri Tresca) د اعظمي شيبير سټريس تيوري (maximum shear stress theory) يا د تريسکا بيلد معيار (Tresca yield criterion) وړانديز يې وکړ. دا تيوري وايي چې پرته له دې چې مواد څرنگه بار شوي، بيلدینگ هغه وخت پيل کيږي کله چې په موادو کې مطلق اعظمي شيبير سټريس هغه اندازې ته ورسيږي کوم چې په تنها يوه محوري باريدلو کې په ورته موادو کې د بيلد لامل کيږي. له همدې امله، د ماتيدو د مخنيوي لپاره، دا اړينه ده



انځور 10-27

چې مطلق اعظمی شیبیر سټریس ($t_{\text{abs max}}$) په موادو کې باید د $S_Y/2$ څخه کم یا مساوي وي، چیرته چې S_Y د ساده کششی سټریس ازموینې څخه ټاکل کیږي.

د سطحی سټریس لپاره مور به هغه نظرونه وکاروو چې په برخه 9.5 کې بحث شوي، او هلته مطلق اعظمی شیبیر سټریس د اصلي سټریسو S_1 او S_2 له مخې تشریح شوی و. که دا دوه اصلي سټریس ورته علامه ولري، د بیلگې په توګه، دوی دواړه کششی یا دواړه تیلو هونکی وي، نو بیا د موادو ږنګیدل به په وتلی سطحه (out of the plane) واقع کیږي او له معادلی 9-13 څخه

$$\tau_{\text{abs max}} = \frac{\sigma_1}{2}$$

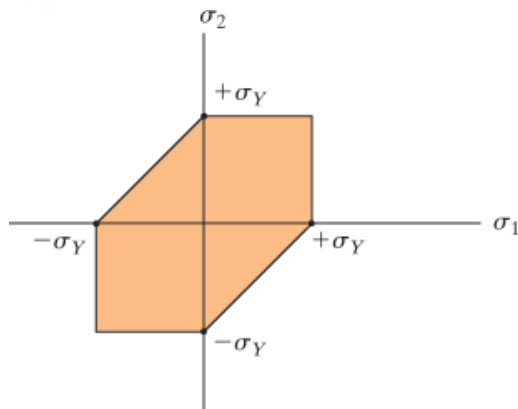
که چیری د اصلي سټریسو علامه خلاف د یو بل وی بیا ماتیدل د موادو په سطحه کی واقع کیږي او له معادلی 9-14 څخه

$$\tau_{\text{abs max}} = \frac{\sigma_1 - \sigma_2}{2}$$

د دی دواړو معادلو، او معادله 10-26 سره د اعظمی شپیر سټریس نظریه، د سطحی سټریس لپاره په دی لاندی معیار سره تشریح کولای شو

$$\left. \begin{aligned} |\sigma_1| &= \sigma_Y \\ |\sigma_2| &= \sigma_Y \end{aligned} \right\} \sigma_1, \sigma_2 \text{ have same signs} \quad (10-27)$$

$$|\sigma_1 - \sigma_2| = \sigma_Y \left\} \sigma_1, \sigma_2 \text{ have opposite signs}$$



Maximum shear stress theory

انځور 10-28

د دی معادلو گراف په انځور 10-28 کی ښودل شوي.

له همدی امله که یو نقطه د موادو له سطحی سټریس سره مخ وی او هغه استازیتوب کوی په کواردینات (s_1, s_2) کوم چی په سرحد یا له سیوری د مسدس (hexagonal) څخه بهر ساحی وی، د موادو بیاد به په دی نقطه کی جوړیږي او ماتیدل به مینځ ته راځي.

د اعظمی تحریف انرژي تیوري (Maximum Distortion Energy Theory). په 3.5 برخه کی وویل شول چی یو بهرنی بار مواد بیخایه کوي، او دا لامل ددی کیږي چی مواد د داخلی حجم په اوږدو کی انرژي ذخیره کړي. د موادو د هر واحد حجم انرژي، د سټرین-انرژي کثافت (strain-energy density) بلل کیږي، او که چیرې مواد د یو محوری سټریس سره مخ وی د سټرین-انرژي کثافت، چی په معادله 3-6 تعریف شوي، هغه کیږي

$$u = \frac{1}{2} \sigma \epsilon \quad (10-28)$$

که چیری مواد د دري اړخیز سټریس سره مخ وي، انځور 10-29a، بیا هر یو اصلی سټریس یو اندازه د سټرین انرژي کثافت جوړه وي، چی هیغه کیږي

$$u = \frac{1}{2} \sigma_1 \epsilon_1 + \frac{1}{2} \sigma_2 \epsilon_2 + \frac{1}{2} \sigma_3 \epsilon_3$$

سربيره پر دی که مواد خطي ایلستیک چلند ولري ، بیا د هوک قانون تطبیق کیري. له همدی امله که معادله 10-18 په پورتنی معادله کی خای په خای کرو او ساده یی کرو مور لرو

$$u = \frac{1}{2E} [\sigma_1^2 + \sigma_2^2 + \sigma_3^2 - 2\nu(\sigma_1\sigma_2 + \sigma_1\sigma_3 + \sigma_3\sigma_2)] \quad (10-29)$$

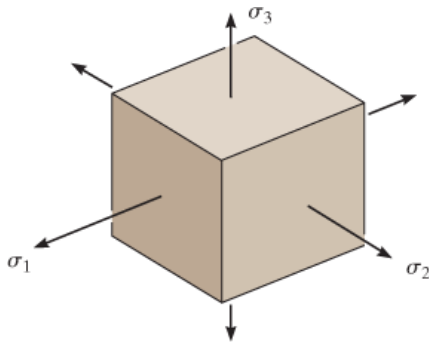
د سترین انرژي کثافت د دوو برخو له مجموعی څخه پلاس راځی. یوه برخه هغه انرژي ده چې د عنصر د حجم بدلون لامل کیري ، پرته له دی چې په شکل کی کوم بدلون راشي. او بله برخه

د عنصر د تحریف (distort) کولو لپاره اړینه انرژي ده. په ځانگړي توگه، هغه انرژي چې د حجم د بدلون له امله په عنصر کی زیرمه

شوي ، هغه د اوسط اصلی ستریس $S_{avg} = (S_1 + S_2 + S_3)/3$ له امله رامینځته کیري، ځکه چې په موادو کی دا ستریس د مساوي

اصلی سترین لامل کیري، انځور 10-29b. د ستریس پاتي برخه، $(S_1 - S_{avg})$ ، $(S_2 - S_{avg})$ ، $(S_3 - S_{avg})$ د انرژي د تحریف

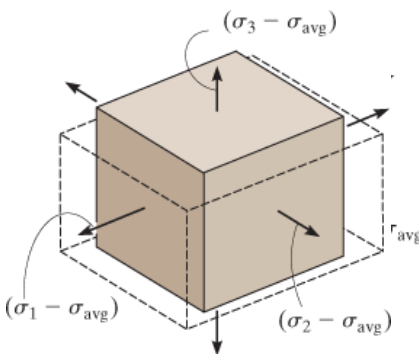
سبب گرځي، انځور 10-29c .



(a)

||

+



(c)

تجربوي شواهدو بنودلي چې مواد بیلد نه کوی ، کله چې دوی د یونیفورم (هایدروستاتیک) ستریس لکه S_{avg} سره مخ وي. په دی

توگه په پایله کی، په کال 1904 کی، ام هوبر (M. Huber) وړاندیز وکړ چې په نرمو موادو کی بیلدینگ هغه وخت رامنځ ته کیري کله چې

د موادو د هر واحد حجم د تحریف انرژي مساوي وي او یا د ورته موادو د هر واحد حجم د تحریف انرژي څخه ډیر وي، کوم چې دا

بیلدینگ د ساده کششي ستریس ازمویني تابع وي. دا نظریه د **اعظمي تحریف انرژي تیوري** (maximum distortion energy theory)

بلل کیري، او دا وروسته له هغی په خپلواکه توگه د آر وان میسیز (R von Mises) او اچ هینکی (H. Hencky) لخوا بیا تعریف شوی. دا

نظریی ځینی وختونه د هغو نمونه هم لري.

انځور 10-29

د هر واحد حجم د تحریف انرژي ترلاسه کولو لپاره، مور باید

ستریسونه $(s_1 - s_{avg})$ ، $(s_2 - s_{avg})$ ، او $(s_3 - s_{avg})$ د s_1 ، s_2 ، او s_3 په ترتیب سره، په 10-29 معادله کی خای په خای کړو. درک کړی چې $s_{avg} = (s_1 + s_2 + s_3)/3$ پراخول او ساده کول، مور تر لاسه کوو.

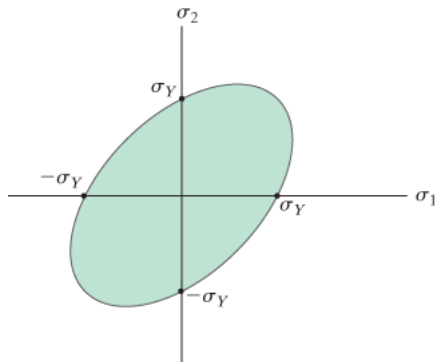
$$u_d = \frac{1 + \nu}{6E} [(\sigma_1 - \sigma_2)^2 + (\sigma_2 - \sigma_3)^2 + (\sigma_3 - \sigma_1)^2]$$

د سطحی ستریس په حالت کی $s_3 = 0$ ، دا معادله په لاندی ډول کیري

$$u_d = \frac{1 + \nu}{3E} (\sigma_1^2 - \sigma_1\sigma_2 + \sigma_2^2)$$

د یوه محوری کششی آزمویني لپاره $s_1 = s_y$ ، $s_2 = s_3 = 0$ ، نو بیا

$$(u_d)_Y = \frac{1 + \nu}{3E} \sigma_Y^2$$



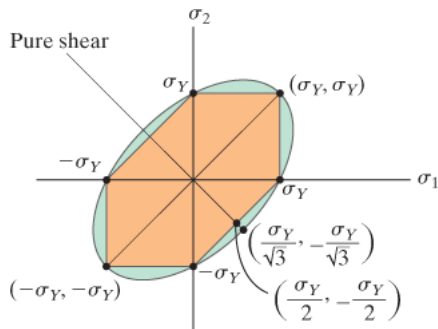
Maximum distortion energy theory

څرنګه چی د اعظمی تحریف انرژي تیوري غواړي چی $u_d = (u_d)_Y$ نو بیا د سطحی یا دوه اړخیزه ستریس لپاره مور لرو

انځور 10-30

$$\sigma_1^2 - \sigma_1\sigma_2 + \sigma_2^2 = \sigma_Y^2 \quad (10-30)$$

دا د بیضوی (ellipse) معادله ده، انځور 10-30. په دی توګه که یو تکی په موادو کی له (s_1, s_2) ستریس سره مخ شی، کله چی پلات شی که چیری په سرحد یا بهر له سیوری شوي ساحي په بیضوی کی واقع شي، بیا ویل کیري چی مواد مات یا ړنگیدلي دی.

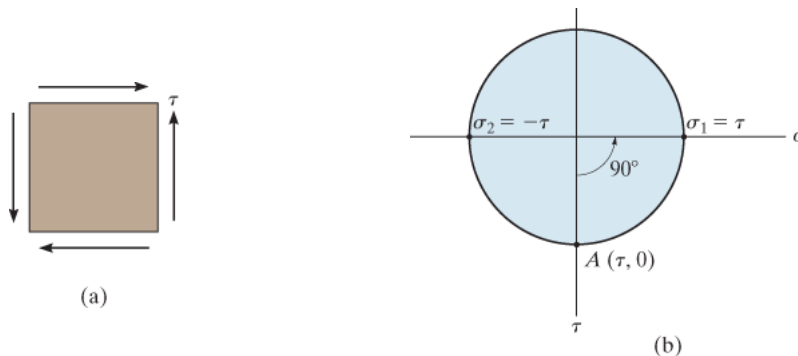


انځور 10-31

د پورته دوو ماتیدو معیارو پرتله کول په انځور 10-31 کې بنودل شوي. په یاد ولری کله چې اصلی ستریسونه په شدت کې مساوي وي بیا دواړه تیوری ورته پایلې ورکوي. د بیلگې په توګه $s_1 = s_2 = s_Y$ ، او یا کله چې یو له اصلی ستریسو څخه صفر وی او بل یې د s_Y شدت ولري. که مواد د خالص شیبیر، t تابع وی بیا د ماتیدو یا ړنگیدو وړاندوینه کې نظرونه تر ټولو لوی توپیر لري.

د دې ټکو د ستریس کوارډینت په منحنی باندې د هغه عنصر په پام کې نیولو سره ټاکل کیدی شي چې په انځور 10-32a کې بنودل شوي. د موهر دایره چې ددی ستریس حالت استازیتوب وکړی، انځور 10-32b، مور کولای شو چې اصلی ستریسونه $s_1 = t$ او $s_2 = -t$ تر لاسه کړو. په دې توګه، $s_1 = -s_2$ سره، بیا له معادلی 10-27 څخه اعظمي شیبیر ستریس تیوري ورکوي $(s_Y/2, -s_Y/2)$ او له معادلی 10-30 څخه د اعظمي تحریف انرژي تیوري ورکوي $(s_Y/\sqrt{3}, -s_Y/\sqrt{3})$.

د تورژن (torsion) ازموینو په ترسره کولو سره، کوم چې د نرمو موادو په نمونه کې خالص شیبیر وده کوي، دا بنودل شوي چې اعظمي تحریف انرژي تیوري د خالص شیبیر ماتیدو په پرتله خورا دقیقې پایلې ورکوي نسبت د اعظمي شیبیر ستریس تیوري ته. په حقیقت کې، ځکه چې $(s_Y/\sqrt{3}) / (s_Y/2) = 1.15$ ، شیبیر ستریس د موادو د بیلدینګ حاصل کولو لپاره، لکه څنګه چې د اعظمي د تحریف انرژي تیوري لخوا ورکړل شوی، د هغه په پرتله 15% پیر صحیح دی له اعظمي شیبیر ستریس تیوري څخه.



انځور 10-32

ماتیدونگی مواد (Brittle Materials)

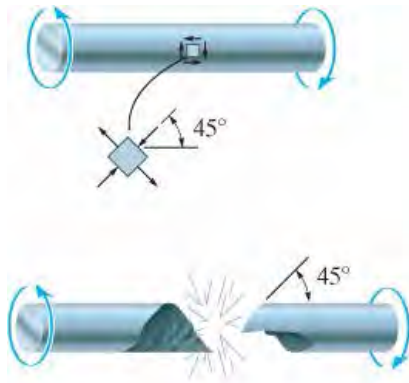
د اعظمي نارمل سټریس تیوري (Maximum Normal Stress Theory)

(Theory) مخکې ویل شوي وو چې ماتیدونکي مواد، لکه خره وسپنه (Cast iron)، په ناڅاپي ډول ماتیری او بنکاره بیلدینګ (yielding) نلري. د کشش په ازموینه کې، ماتیدل هغه وخت پېښیږي کله چې نارمل سټریس د نهایی سټریس (ultimate stress) حد s_{ult} ته ورسیري، انځور 10-33a. همدارنگه، ماتیدونکي موادو ټوټه کیدل (brittle fracture) د کشش له امله د تورژن (torsion) په ازموینه کې واقع کیږي، څرنگه چې د یوه عنصر لپاره د ماتیدو سطحه په 45° کې د شپیر لوري ته ده، انځور 10-33b. له همدې امله د ماتیدو سطحه مار پیچی شکل (helical) لری څنگه چې بنودل شوي. * تجربو نور هم بنودلي چې د تورژن په جریان کې د موادو مقاومت لږ څه اغیزه من کیږی په شتون د اړونده اصلي کمپرشن سټریس کوم چی عمود په کششی اصلي سټریس وي. په پایله کې، اړین کششی سټریس د ماتولو لپاره د تورژن ازمویني په جریان کې نږدې ورته دی هغه کششی سټریس ته چی په ساده کششی سټریس ازموینه کې د ماتیدو سبب کیږی. مور د دی نتیجی ته راځو چی کششی سټریس چی د تورژن په تجربه کې د ماتیدو سبب کیږی، معادل د هغه سټریس دی چی یو عنصر په ساده کششی سټریس کی ماتوی. له دې امله، دی ته د اعظمي نارمل سټریس تیوري وایي، کله چې ماتیدونکی مواد د څو اړخیز حالت د سټریس کی وي، مواد به هغه وخت ماتیری کله چې یو اصلي سټریس په موادو کې هغه نهایی سټریس ارزښت ته چی سبب د ماتیدو په یو ساده کششی ازموینه کی مخ وي ورسیري. له همدې امله، که چیري مواد د سطحی سټریس (plane stress) سره مخ وي، مور ورته اړتیا لرو



Failure of a brittle material in tension

(a)



Failure of a brittle material in torsion

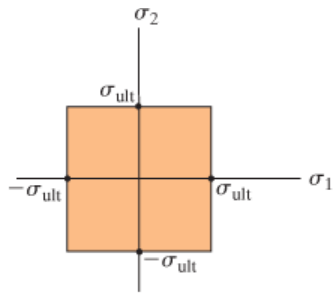
(b)

انځور 10-33

$$\begin{aligned} |\sigma_1| &= \sigma_{ult} \\ |\sigma_2| &= \sigma_{ult} \end{aligned}$$

(10-31)

دا معادلي په گرافیک ډول په انځور 10-34 کې بنودل شوي. دلته د سټریس کوردینات (s_1, s) (د موادو په یوه نقطه کې باید په سرحد یا د سیوري شوي ساحي څخه بهر موقعیت ونلري، که نه نو مواد ماتیری. دا تیوري په د کال 1800 په منځ کې د ډبلیو رانکین (W. Rankine) له خوا وړاند یز شوی وه. په تجربوي توگه دا موندل شوی چی د ماتونکیو موادو د چلند سره کوم چی د سټریس-سټرین ډایگرامونه یی د کششی او کمپرشن په حالت کې د یو بل سره ورته وي، له دی تیوري سره نیردی والي لري.



Maximum normal stress theory

د موهر د ناکامی معیار (Mohr's Failure Criterion). په ځینو

ماتیدونکیو موادو کې کشش او د کمپریشن خاصیتونه (properties) توپیر لري. کله چې دا واقع کيږي هغه معیار چې د موهر له دایرې سره تړاو لری ممکن د ماتیدو وړاندوینې لپاره وکارول شي. دا طریقه د اوتو موهر (Otto Mohr) لخوا رامینځته شوی او ځینې وختونه د موهر د ماتیدو معیار په نوم یاديږي. د دې قضي پلي کولو لپاره، لومړی په موادو کې درې ازموینې باید ترسره شي. یوه محوری کششی ازموینه او

یو محوری کمپرشنی ازموینه کارول کيږی چې $(S_{ult})_t$ او $(S_{ult})_c$ په ترتیب

سره معلوم کړی. همدارنگه د موادو د د تورژن ازموینه باید ترسره شي تر

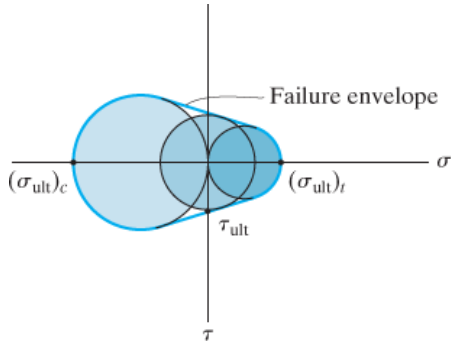
خود شیر نهایی حد د t_{ult} و موندل شي. د هر یو ستیریس شرایطو لپاره د موهر دایره بیا لکه

څنگه چې په انځور 10-35 کې بنودل شوي پلاټ کړي. دا درې دایرې "د ماتیدو پاکت"

(failure envelop) جوړوی چې مماس په بهرنی برخه د دريو دایرو رسم شوی او په شنه غلیظ

رنگ ښکاري. که د سطحی ستیریس حالت کی یو نقطه په مماس کرښه او یا له هغه بهر موقعیت

ولری بیا نو ماتیدل پېښيږي.



انځور 10-35

موهر ممکن دامعیار د اصلي ستیریسونو S_1 او S_2 په گراف کې هم

وښیو، چې په انځور 10-36 کې بنودل شوي. دلته ماتیدل هغه

وخت واقع کيږي کله چې د هر یوه اصلي ستیریس مطلق ارزښت

مساوي یا لوي له $(S_{ult})_t$ یا $(S_{ult})_c$ ارزښت نه شي، یا په عمومي

توگه، که په یوه نقطه د عنصر کې د ستیریس حالت په کواردینات

(S_1, S_2) په سرحد کې او یا د سیوري شوي ساحې څخه بهر وي بیا ماتیدل

منځ ته راځي.

د اعظمي نارمل ستیریس تیوري یا د موهر د ناکامی معیار په عمل

کې د ماتیدونکیو موادو د ماتیدو وړاندوینه لپاره کارول کیدی شي.

په هر صورت، دا باید پوه شو چې د دوی گتورتوب خورا محدود

دی. کششي ماتیدل ډیر ناڅاپه پېښيږي، او د هغې پیل عموماً د

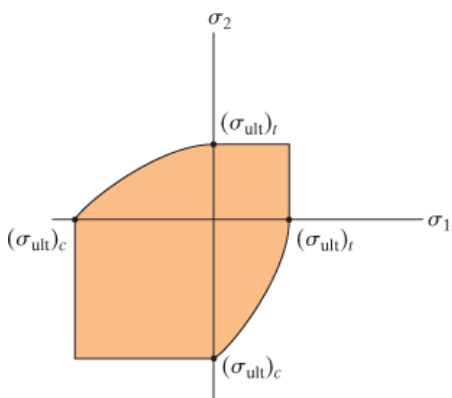
ستیریس غلظت په شتون په مایکروسکوپیک نیمگرتیاو په موادو کې،

لکه د موادو خلاوي (voids)، د سطحی لوري ژوري، او

کوچني درزونه شاملدی، پوري اړه لري. له بده مرغه دا ډول بي

نظمي په هر نمونه کې توپیر لري، او له دې امله دا ستونزمنه کيږي

چې د یوی ازموینې په اساس فریکچر مشخص شي.



Mohr's failure criterion

انځور 10-36

*د توري تختې تباشیر (chalk) کله چې د هغې پایلی د گوتو سره تاو شي په دې ډول ماتيږي

مهم ټکی

(IMPORTANT POINTS)

- که چیرې مواد نرم وي، ماتیدل د بیلد د پیل په واسطه مشخص کیږي، پداسې حال کې چې د ماتیدونکیو موادو په فرکچر یا ماتیدو په واسطه مشخص کیږي.
- د نرمو موادو ماتیدل هغه وخت تعریف کیدی شي کله چې د کرسټالونو ، کوم چې مواد یې جوړ کړي ، په مینځ کې بنویدل (slipping) رامنځته شي. دا بنویدل د شیبیر سټریس له امله دي او د اعظمي شیبیر سټریس تیوري د دی مفکوري پر اساس ده.
- سټرین انرژي په موادو کې زیرمه کیږي ، کله چې د نارمل سټریس سره مخ وي. د اعظمي تحریف انرژي تیوري د سټرین انرژي پورې اړه لري کوم چې مواد تحریف کوي ، نه په هغه سټرین انرژي چې حجم ته وده ورکوي.
- د ماتیدونکیو موادو ماتیدل یوازي په موادو کې د اعظمي کششي سټریس له امله رامینځته کیږي، نه له کمپرشنی سټریس څخه. دا د اعظمي نارمل سټریس تیوري اساس دی ، او دا هغه وخت د تطبیق وړ ده چې د پلي کیدو په صورت کې سټریس - سټرین ډایگرامونه د کشش او کمپرشن سټریس سره ورته وي.
- که د ماتیدونکي موادو ، د سټریس - سټرین ډیاگرام په کشش او کمپرشن کې توپیر ولري، نو د موهر د ماتیدو معیار د ماتیدو د وړاندوینې لپاره کارول کیدی شي.
- د موادو د نیمگړتیاوو له امله، د ماتیدونکیو موادو د کششي ماتیدلو اټکل ستونزمن دی، او له همدې امله د ماتیدلو تیوري د ماتیدونکیو موادو لپاره باید په احتیاط سره وکارول شي .

مثالونه

مثال 10.12

یو جامد فولادی شافت چی 0.5 in شعاع لری بیلد مقاومت یی $s_Y = 36 \text{ ksi}$ دي، او په انځور 10-37a کی بنودل شوي. که چیری د کود په اساس اعظمي شیبیر ستریس تیوری د ماتیدولپاره و کارول شي، بهرنی بار چی ورباند پلي کیدی شي معلوم کړي.

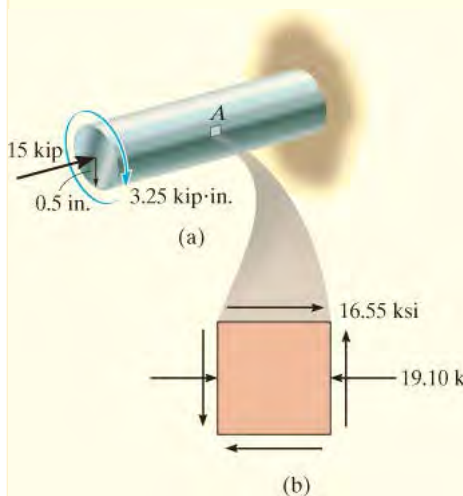
حل (SOLUTION)

محوری بار او تورک دواړه په شافت کی د ستریس حالت جوړه وي. څرنګه چی اعظمي شیبیر ستریس د تورک له امله په بیروني سطحه جوړیږي، مور لرو

$$\sigma_x = \frac{N}{A} = \frac{-15 \text{ kip}}{\pi(0.5 \text{ in.})^2} = -19.10 \text{ ksi}$$

$$\tau_{xy} = \frac{Tc}{J} = \frac{3.25 \text{ kip} \cdot \text{in.} (0.5 \text{ in.})}{\frac{\pi}{2}(0.5 \text{ in.})^4} = 16.55 \text{ ksi}$$

د ستریس اجزای په یوه عنصر په ټکي A باندی په انځور 10-37b کی بنودل شوي دي. د موهر دایری د کارولو پر خای به د ستریس بدلون له معادلی 9-5 کار واخلو



$$\begin{aligned} \sigma_{1,2} &= \frac{\sigma_x + \sigma_y}{2} \pm \sqrt{\left(\frac{\sigma_x - \sigma_y}{2}\right)^2 + \tau_{xy}^2} \\ &= \frac{-19.10 + 0}{2} \pm \sqrt{\left(\frac{-19.10 - 0}{2}\right)^2 + (16.55)^2} \\ &= -9.55 \pm 19.11 \\ \sigma_1 &= 9.56 \text{ ksi} \\ \sigma_2 &= -28.66 \text{ ksi} \end{aligned}$$

انځور 10-37

د اعظمی شییر ستریس قضیه (Maximum Shear Stress Theory)

ځکه چی اصلی ستریسونه مخالف د یو بل علامه لري، نو بیا د معادلي 10-27 دوهمه کاروو، او مور لرو

$$|\sigma_1 - \sigma_2| \leq \sigma_Y$$

$$|9.56 - (-28.66)| \stackrel{?}{\leq} 36$$

$$38.2 > 36$$

ددی قضی په اساس د موادو ماتیدل د شییر له امله دي.

د اعظمی انرژي انحراف قضیه (Maximum Distortion Energy Theory)

له معادلي 10-30 کار اخلو، او مور لرو

$$(\sigma_1^2 - \sigma_1 \sigma_2 + \sigma_2^2) \leq \sigma_Y^2$$

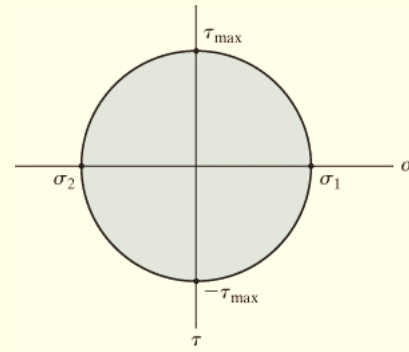
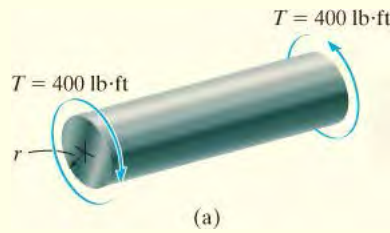
$$[(9.56)^2 - (9.56)(-28.66) + (-28.66)^2] \stackrel{?}{\leq} (36)^2$$

$$1187 \leq 1296$$

ددی قضی په کارولو په موادو کی ماتیدل نه راځي.

مثال 10.13

یو جامد د چودن وسپنی (cast iron) شافت په انځور 10-38a کی بنودل شوي، او یوه تورک $T = 400 \text{ lb} \cdot \text{ft}$ ور باندی پلي شوي دي. د اعظمی نارمل ستریس قضی په کارولو سره، تر هغی ټولو کوچنی شعاع مشخص کړي. یوه چودنی نمونه چی کششی آزموینه ورباندی شوي وه د نهایی حد ستریس $(s_{ult})_t = 20 \text{ ksi}$ مشخص شوی.



انځور 10-38

حل (SOLUTION)

اعظمی یا بحرانی شییر ستریس په یوه ټکی کی په بیروني سطحه د شافت جوړیږي. فرض کوو چی د شافت شعاع r دي، بیا شییر ستریس کیږي

$$\tau_{\max} = \frac{Tc}{J} = \frac{(400 \text{ lb} \cdot \text{ft})(12 \text{ in./ft})r}{(\pi/2)r^4} = \frac{3055.8 \text{ lb} \cdot \text{in.}}{r^3}$$

د موهر دایره د دی ستریس حالت لپاره (خالص شییر) په انځور 10-38b کی بنودل شوي.

$$\sigma_1 = -\sigma_2 = \tau_{\max} = \frac{3055.8 \text{ lb} \cdot \text{in.}}{r^3} \quad \text{بیا ، } R = t_{\max}$$

اعظمی نارمل ستریس قضیه ، 10-31 معادلی ته اړتیا لري

$$|\sigma_1| \leq \sigma_{\text{ult}}$$

$$\frac{3055.8 \text{ lb} \cdot \text{in.}}{r^3} \leq 20\,000 \text{ lb/in}^2$$

په دی توگه د شافت تر ټولو کوچنی شعاع عبارت ده په

$$\frac{3055.8 \text{ lb} \cdot \text{in.}}{r^3} = 20\,000 \text{ lb/in}^2$$

$$r = 0.535 \text{ in.}$$

Ans.

سوالونه

PROBLEMS

س 10-59. د یو جسم مواد د سطحی ستیریس حالت کی دي. د موادو ماتیدل د اعظمی تحریف انرژي قضي (maximum distortion energy theory) په شتون د s_x , s_y او t_{xy} سره تشریح کړي.

س *10-60. د یوه جسم مواد د سطحی ستیریس په حالت کی دي. د موادو ماتیدل د اعظمی شییر ستیریس قضي (maximum shear stress theory) له خوا چی s_x , s_y او t_{xy} ولرو تشریح کړي. فرض کړي اصلي ستیریسونه د یوبل مخالفی الجبری علامی لري.

س 10-61. د زرکونیم-مگنیزیم (zirconium-magnesium) الیاژ بیلد ستیریس $s_y = 15.3 \text{ ksi}$ دی. که چیری د یوه ماشین برخه له دی موادو جوړه شوی وي، او په بحراني نقطه کی یی اصلي ستیریسونه s_1 او $s_2 = -0.5s_1$ وي، د s_1 شدت داسی معلوم کړي چی بیلدینگ د اعظمی شییر ستیریس قضي په اساس منخ ته راشي.

س 10-62. په سوال 10-61 کی له اعظمی تحریف انرژي کار واخلي.

س 10-63. که د ماشین یوه برخه د اوزارو فولادو L2 څخه جوړه شوی وي، او په بحراني نقطه کی یی په سطحه اصلي ستیریسونه s_1 او $s_2 = -0.5s_1$ وي، د s_1 شدت په ksi واحد سره داسی معلوم کړي چی بیلدینگ د اعظمی شییر ستیریس قضي په اساس منخ ته راشي.

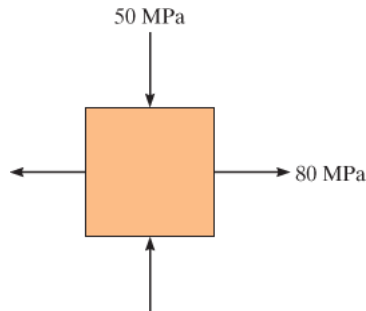
س *10-64. سوال 10-63 د اعظمی تحریف انرژي قضي کارولو په اساس حل کړي.

س 10-65. یو معادل عبارت د تورک T_e د پاره داسی مشخص کړي، که چیری په تنهایی په یو جامده میله چی گردی غوڅه برخه لري او د ورته انرژي د تحریف (distortion) لامل شي لکه چی یو کربیدونکی مؤمنت M او تورک T یو حای ور بانندی پلي شوي وی.

س 10-66. که یو شافت له داسي مواد جوړ شوي وي چی $s_Y = 75 \text{ ksi}$ دي، اعظمی د تورژن شپير ستریس وټاکي، کوم چی اړین وی د بیلدینګ لپاره. د اعظمی تحریف انرژي قضي څخه کار واخلي.

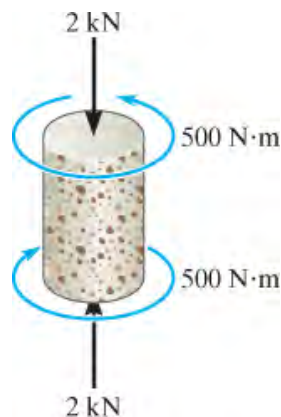
س 10-67. په سوال 10-66 کی له اعظمي شپير ستریس قضي څخه کار واخلي.

س 10-68*. لاندی ماشین له فولادی مواد جوړ شوي، بیلد مقاومت یې $s_Y = 700 \text{ MPa}$ دي، د خونديتوب فکتور (safety factor) نسبت بیلدینګ ته وټاکي، کله چی له اعظمی شپير ستریس قضي څخه کار واخيستل شي.



س 10-68

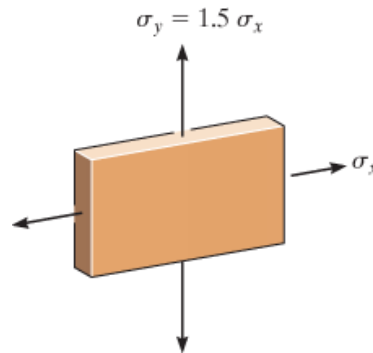
س 10-69. د یوه لنډ کانکریټي سلندر قطر 50 cm دی او یو تورک د $500 \text{ N}\cdot\text{m}$ او یو ټیلو هونکي قوه د 2 kN ور باندی پلي شوي. معلوم کړي چی دا د اعظمی نارمل ستریس قضي په اساس ماتیدی شي که نه. د کانکریټ نهایی حد د ستریس $s_{ult} = 28 \text{ MPa}$ دي.



س 10-69

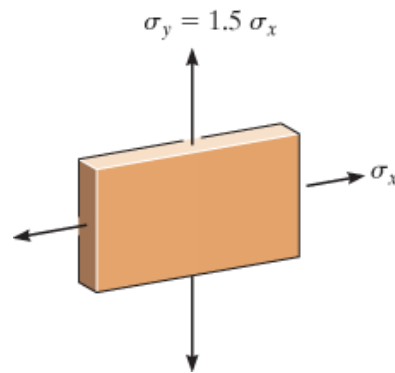
س 10-70. یو معادل عبارت د کریدونکی مومنت M_e لپاره داسی مشخص کړي، که چیری په تنهایی په یو جامده میله چی گردی غوڅه برخه لري پلی شی، د ورته انرژي د تحریف (distortion) لامل شي لکه یو کریدونکی مؤمنت M او تورک T ، چی یو ځای پری پلی شوی وی.

س 10-71. یوه تخته له توین برنجو (Tobin bronze) جوړه شوي ده، او بیلد یې $s_Y = 25 \text{ ksi}$ دي. که چیری اعظمی کششی ستریس s_x او بل کششی ستریس $s_y = 1.5 s_x$ ورباندی پلی بڼي، د اعظمی شیبیر ستریس قضي په کارولو د پلی شوی ستریسونو ارزښت معلوم کړي.



س 10-71

س *10-72. یوه تخته له توین برنجو (Tobin bronze) جوړه شوي ده، او بیلد یې $s_Y = 25 \text{ ksi}$ دي. که چیری اعظمی کششی ستریس s_x او بل کششی ستریس $s_y = 1.5 s_x$ ورباندی پلی بڼي، د اعظمی تحریف انرژي قضي په کارولو د پلی شوی ستریسونو ارزښت معلوم کړي.



س 10-72

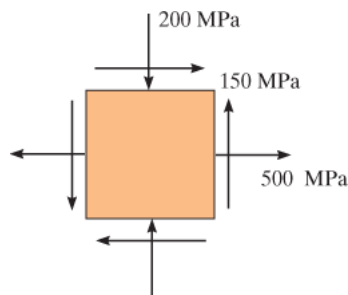
س 10-73. د یو جامد درایو شافت جوړه ولو لپاره له المونیم الیاژ کار اخیستل شوي، تر څو

30 hp په 1200 rev/min وليردوي. که چيری د خونديتوب فکتور 2.5 بيلد ته وکاروي هغه کوچني قطر د شافت، د اعظمی شيرستريس قضي په کارولوسره ، مشخص کړي . $s_Y = 10 \text{ ksi}$ دي.

س 10-74. د ماشين يوه برخه له المونيم (Ti-6Al-4V) څخه جوړه شوی ، او په بحراني نقطه د موادو کی په سطحه ستريس داسی پلی شوی چی اصلی ستريسونه يي s_1 او $s_2 = 0.5 s_1$ دي، د s_1 شدت په MPa واحد سره داسی معلوم کړي (a) چی بيلدينگ د اعظمی شيرستريس قضي په اساس منځ ته راشي، (b) د اعظمي تحريف انرژي قضي په کارولوسره .

س 10-75. د سطحی ستريس اجزاوي په يوه بحرانی ټکي د فولادو نازک پوستکي په لاندی انځور کی بنودل شوي. د ماتيدلو حالت (بيلدينگ) په اساس د اعظمي تحريف انرژي قضي معلوم کړي. د فولادي موادو $s_Y = 700 \text{ MPa}$ دي.

س 10-76*. سوال 10-75 د اعظمی شيرستريس قضي په کارولو حل کړي.



س 10-75/76

س 10-77. د 304 بی زنگه فولادو (stainless-steel) سلندر داخلی قطر يي 4 in. ، او د ديوال پندوالي يي 0.1 in. دي. که چيری يو داخلی فشار $p = 80 \text{ psi}$ او محوري بار د 500 lb او يو تورک د 70 lb. ft ورباندی پلی شي په موادو کی د بيلد جوړيدل د اعظمي تحريف انرژي قضي په اساس معلوم کړي.

س 10-78. د 304 بیزنکه فولادو (stainless-steel) سلندر داخلی قطر 4 in. ، او د ديوال پندوالي يي 0.1 in. دي. که چيری يو داخلی فشار $p = 80 \text{ psi}$ او محوري بار د 500 lb او يو تورک د 70 lb. ft ورباندی پلی شي په موادو کی د بيلد جوړيدل د اعظمي شيرستريس قضي په اساس معلوم کړي.



س 10-77/78

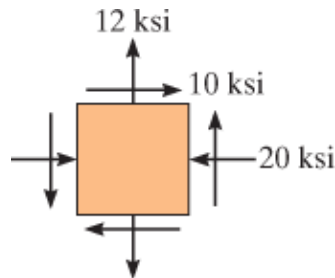
س 10-79. یو د 2 in. قطر لرونکی شافت له ماتیدونکي موادو جوړ شوي، په دواړو کششي اوو تیلوهونکي حالتونو کې $s_{ult} = 50 \text{ ksi}$ دي. د شافت ماتیدل د اعظمی نارمل سټریس قضي په اساس معلوم کړي. د شریډلو (rupture) په وړاندې د خونديتوب فکتور د 1.5 وکاروی.

س 10-80*. یو د 2 in. قطر لرونکی شافت له چوډن و سپنی (cast iron) جوړ شوي، او د کششي او تیلوهونکي نهاي حد سټریس یې $(s_{ult})_t = 50 \text{ ksi}$ او $(s_{ult})_c = 75 \text{ ksi}$ ، په ترتیب سره دي. د شافت ماتیدل د موهر د ماتیدلو قضي په اساس معلوم کړي.



س 10-79/80

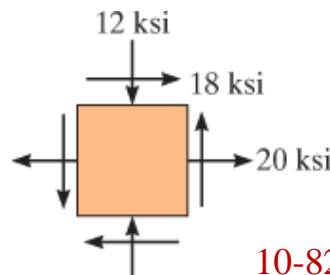
س 10-81. که $s_Y = 50 \text{ ksi}$ د خونديتوب فکتور نسبت بیلدینګ ته د بنودل شوی بار له پلوه معلوم کړی په اساس د (a) اعظمی شیبیر سټریس قضي (b) د اعظمي د تحریف انرژي قضي.



س 10-81

س 10-82. د سطحی سټریس حالت په یو بحراني ټکی د براكیت د یوه فولادی ماشین په لاندی انځور کی بنودل شوي. که د فولادو بیلد سټریس $s_Y = 36 \text{ ksi}$ وی، و ټاكي چی د اعظمي د تحریف انرژي قضي په اساس بیلدینګ جوړیدی شي که نه.

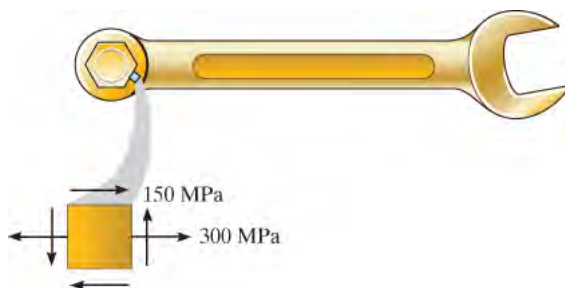
س 10-83. سوال 10-82 د اعظمی شیبیر سټریس قضي په کارولو حل کړي.



س 10-82/83

س 10-84* د سطحی ستیریس حالت په یو بحرانی نقطه د رینچ کی په لاندی انخوړ کی بنودل شوي. هغه کوچني د بیلد ستیریس د فولادو لپاره چی د اعظمي د تحریف انرژي قضي په اساس انتخاب کیدی شي معلوم کړي.

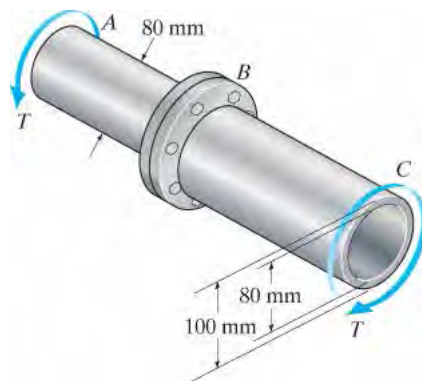
س 10-85. د سطحی ستیریس حالت په یو بحرانی نقطه د رینچ کی په لاندی انخوړ کی بنودل شوي. هغه کوچني د بیلد ستیریس د فولادو لپاره چی د اعظمي شیبیر ستیریس قضي په اساس انتخاب کیدی شي معلوم کړي.



س 10-84/85

س 10-86. دا لاندی شافت له یوی جامد برخی AB او له یوی منخ خالی برخی BC جوړ شوي، او په کلک کپلینگ (coupling) په B کی وصل دي. که چیری دا شافت له فولادو A-36 جوړ شوی وي اعظمی تورک T چی ورباندی پلی کیدی شي په اساس د اعظمی شیبیر ستیریس قضي وټاکي. د خونديتوب فکتور 1.5 نسبت بیلدینگ ته وکاروي.

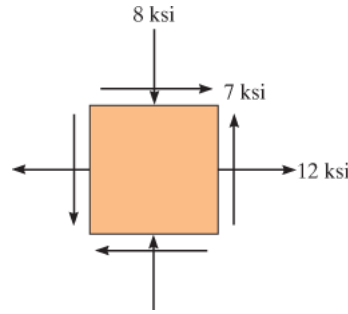
س 10-87. دا لاندی شافت له یوی جامد برخی AB او له یوی منخ خالی برخی BC جوړ شوي، او په کلک کپلینگ (coupling) په B کی وصل دي. که چیری دا شافت له فولادو A-36 جوړ شوی وي اعظمی تورک T چی ورباندی پلی کیدی شي په اساس د اعظمي د تحریف انرژي قضي وټاکي. د خونديتوب فکتور 1.5 نسبت بیلدینگ ته وکاروي.



س 10-86/87

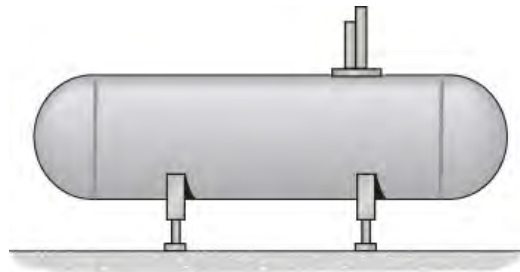
س 10-88* په یو ټکی د نازک دیوال د فشار سلندری ټانک اصلی ستیریسونه عبارت دی په $s_1 = Pr/t$ او $s_2 = pr/2t$ او $s_3 = 0$. که بیلد ستیریس د موادو s_Y وی اعظمی فشار اندازه p وټاکي په اساس د (a) اعظمی شیبیر ستیریس قضي (b) د اعظمي د تحریف انرژي قضي.

س 10-89. که $s_Y = 50 \text{ ksi}$ وي د خونديتوب فکتور د دی لاندی بار لپاره معلوم کړي په اساس (a) د اعظمی شیبیر ستریس قضي (b) د اعظمی د تحریف انرژی قضي.



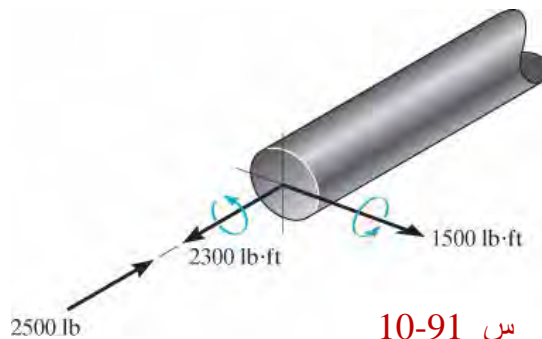
س 10-89

س 10-90. دا لاندی د غازو ټانک 1.50 m قطر لري، او له فولادو جوړ شوي. که چیری دا ټانک د 5 MPa فشار مقاومت ولري، د ضرورت وړ کوچني پنډوالي د دیوال میلی مترته نیږدي حد سره و ټاکي (a) په کارولو د اعظمی شیبیر ستریس قضي (b) په کارولو د اعظمی د تحریف انرژی قضي. د خونديتوب فکتور 1.5 نسبت بیایدینگ ته وکاروي.



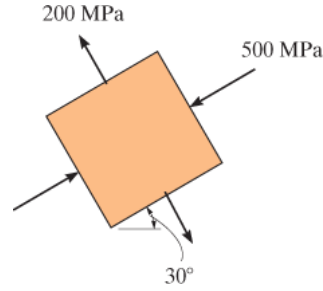
س 10-90

س 10-91. د یوی کبنتي د فولادی ډرایو شافت په بحراني نقطه کی داخلي بارونه کوم چی محاسبه شوی عبارت دی په تورک د 2300 lb-ft، کیریدونکی مؤمنت 1500 lb-ft او محوری ټرسټ په اندازه د 2500 lb. که چیری د بیاید ټکی په کشش او شیبیر کی عبارت وي په $s_Y = 100 \text{ ksi}$ او $f_Y = 50 \text{ ksi}$ په ترتیب سره، اړوند قطر د شافت د اعظمی شیبیر ستریس قضي په کارولو سره و ټاکي.



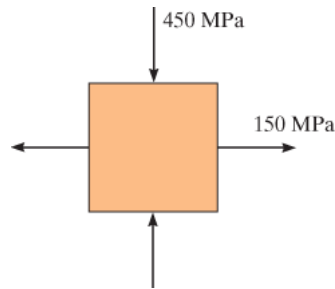
س 10-91

س 10-92* د یوه ماشین مواد فولاد دي او بیلد ستریس یې $s_Y = 750 \text{ MPa}$ دي. د خونديتوب فکتوريي نسبت بیلدینگ ته په اساس د اعظمي د تحریف انرژي قضي په کارولو سره معلوم کړی.



س 10-92

س 10-93 د یوه ماشین مواد فولاد دي او بیلد ستریس یې $s_Y = 750 \text{ MPa}$ دي. د خونديتوب فکتوريي نسبت بیلدینگ ته په اساس د اعظمي شیبیر ستریس قضي په کارولو سره معلوم کړی.



س 10-93

د فصل بیا کتنه

CHAPTER REVIEW

$\epsilon_{x'} = \frac{\epsilon_x + \epsilon_y}{2} + \frac{\epsilon_x - \epsilon_y}{2} \cos 2\theta + \frac{\gamma_{xy}}{2} \sin 2\theta$ $\epsilon_{y'} = \frac{\epsilon_x + \epsilon_y}{2} - \frac{\epsilon_x - \epsilon_y}{2} \cos 2\theta - \frac{\gamma_{xy}}{2} \sin 2\theta$ $\frac{\gamma_{x'y'}}{2} = -\left(\frac{\epsilon_x - \epsilon_y}{2}\right) \sin 2\theta + \frac{\gamma_{xy}}{2} \cos 2\theta$ $\epsilon_{1,2} = \frac{\epsilon_x + \epsilon_y}{2} \pm \sqrt{\left(\frac{\epsilon_x - \epsilon_y}{2}\right)^2 + \left(\frac{\gamma_{xy}}{2}\right)^2}$ <p style="text-align: center;">Principal strains</p> $\frac{\gamma_{\max \text{ in-plane}}}{2} = \sqrt{\left(\frac{\epsilon_x - \epsilon_y}{2}\right)^2 + \left(\frac{\gamma_{xy}}{2}\right)^2}$ <p style="text-align: center;">Maximum in-plane shear stress</p> $\epsilon_{\text{avg}} = \frac{\epsilon_x + \epsilon_y}{2}$	<p>کله یو عنصر د موادو، تنها په یوه سطحه کی تر بیخایه کیدني لاندې راشي، نو بیا دا د سطحی سترین څخه تیریري. که چیری عنصر په یو مشخص لوری موقعیت ولري اود سترین اجزای ϵ_x، ϵ_y او γ_{xy} چی ورباندی عمل کړی معلوم وي، نو بیا سترین په یو بل جهت کیدی شي چی د سترین بدلون معادلو په کارولو سره و ټاکل شي. په همدی ډول اصلي نارمل سترینونه او اعظمي په شیبیر سترین په سطحه د بدلون معادلو په کارولو سره ټاکل کیدی شي.</p>
$R = \sqrt{\left(\frac{\epsilon_x - \epsilon_y}{2}\right)^2 + \left(\frac{\gamma_{xy}}{2}\right)^2}$	<p>د سترین د بدلون سوالونه هم د نیمه گرافیکی طریقې په کارولو د موهر دایرې سره ټاکل کیدی شي. د دایرې د رسمولو لپاره د ϵ او $\gamma/2$ محورونه باید جوړ شي. مرکز د دایرې $C[(\epsilon_x + \epsilon_y)/2, 0]$ او د ریفرینسنس ټکي $A(\epsilon_x, \gamma_{xy}/2)$ رسم کړي. شعاع د دایرې د دی دوټکیو په امتداد ده چی له مثلثاتو ټاکل کیدی شي.</p>

$\gamma_{\max}^{\text{abs}} = \epsilon_1$ $\gamma_{\max}^{\text{abs}} = \gamma_{\max}^{\text{in-plane}} = \epsilon_1 - \epsilon_2$	<p>که چیری e_1 او e_2 یو شان علامه ولري نو بیا مطلق اعظمی شیبیر سترین به له سطحی وتلی وی.</p> <p>که چیری e_1 او e_2 یو د بل مخالف علامه ولري نو بیا مطلق اعظمی شیبیر سترین به مساوی په اعظمی شیبیر سترین په سطحه وي.</p>
$\epsilon_x = \frac{1}{E}[\sigma_x - \nu(\sigma_y + \sigma_z)]$ $\epsilon_y = \frac{1}{E}[\sigma_y - \nu(\sigma_x + \sigma_z)]$ $\epsilon_z = \frac{1}{E}[\sigma_z - \nu(\sigma_x + \sigma_y)]$	<p>که چیری مواد له دری اړخیزه ستریس سره مخ وی، بیا سترین په هر جهت له ټولو دریو اړخونو ستریسونو له امله اغیزه من کیري. نو بیا د هوک قانون به د موادو خاصیتونو E او ν څخه گټه واخلي.</p>
$G = \frac{E}{2(1 + \nu)}$	<p>که چیری E او ν معلوم وی بیا G ټاکل کیدی شي.</p>
$e = \frac{1 - 2\nu}{E}(\sigma_x + \sigma_y + \sigma_z)$	<p>پراخیدل د حجمي سترین اندازه کیدل دي.</p>
$k = \frac{E}{3(1 - 2\nu)}$	<p>د بلک (bulk) ماجولس د موادو د حجم د سختي (stiffness) اندازه کولو لپاره کاره ول کیري.</p>
	<p>که اصلی ستریسونه په بحراني ټکی د موادو کی معلوم وی بیا د ماتیدو قضي د دیزاین لپاره کارول کیدی شي.</p> <p>نرم مواد په شیبیر کی ماتیري، او دلته د اعظمی شیبیر ستریس قضي یا د اعظمي تحریف انرژي قضي له مخی د ماتیدو وړاندوینی لپاره کارول کیدی شي. دا دواړه قضي ورته کیدل د نموني د بیلد ستریس سره، کوم چی یو محوري ستریس ورباندی پلی شوی وی، کوي.</p> <p>ماتیدونکی مواد په کشش کی ماتیری، نو بیا د اعظمی نارمل ستریس قضي یا د موهر د ماتیدو قضي د موادو د ماتیدو وړاندوینی لپاره کارول</p>

کیدی شي. دلته نهايي کششي حد د ستریس چي په موادو کی کیدی شي جوړ شي پرتله کيږي.

د بيا کتني سوالونه

REVIEW PROBLEMS

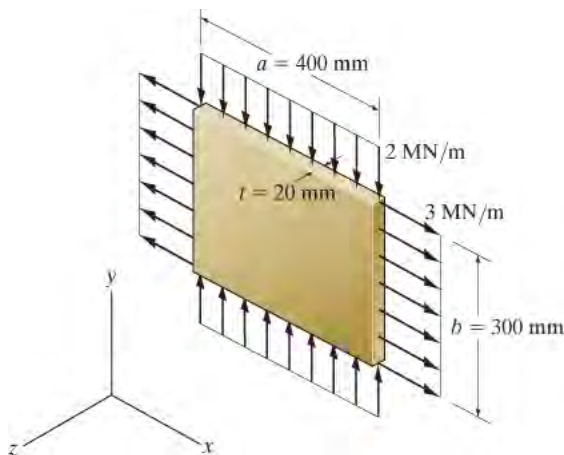
ب 10-1. اصلی سترینونه په سطحه کی ϵ_1 او ϵ_2 راکړل شوی، تاسو وښيي چي دریم اصلی سترین کیدی شي چي له دی لاندی معادلی په لاس را شي

$$\epsilon_3 = \frac{-\nu(\epsilon_1 + \epsilon_2)}{(1 - \nu)}$$

د موادو د پویسان نسبت u دی.

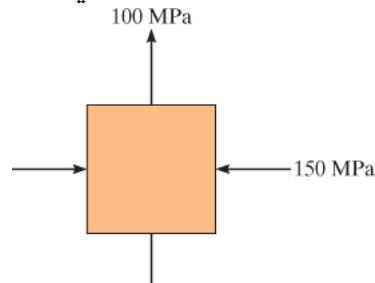
ب 10-2. دا لاندی تخته له هغه موادو جوړه شوی چي د ایلستیسیتی ماجولس یې $E = 200\text{GPa}$ او د پویسان نسبت یې $u = 1/3$ دی. که چیری دا لاندی ویشلشوی بار ورباندی پلی شي، په سور a ، لوروالي b او پنډوالي t کی بدلون د دی بنودل شوی بار له امله و ټاکي.

ب 10-2. دا لاندی تخته له هغه موادو جوړه شوی چي د ایلستیسیتی ماجولس یې $E = 200\text{GPa}$ او د پویسان نسبت یې $u = 1/3$ دی. که چیری دا لاندی ویشلشوی بار ورباندی پلی شي، په سور a ، لوروالي b او پنډوالي t کی بدلون د دی بنودل شوی بار له امله و ټاکي.



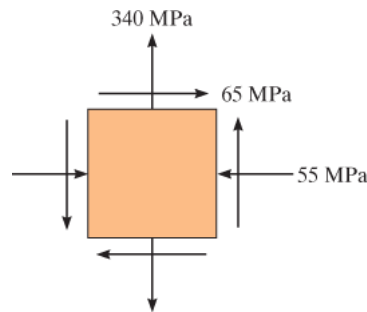
ب 10-2

ب 10-3. د ماشينی فولادو بيلد ستریس $s_Y = 500 \text{ MPa}$ دی، د خونديتوب فکتور نسبت بيلدينگ ته کله چی د اعظمی د شيرير ستریس قضيه و کارول شي، و تاکی.



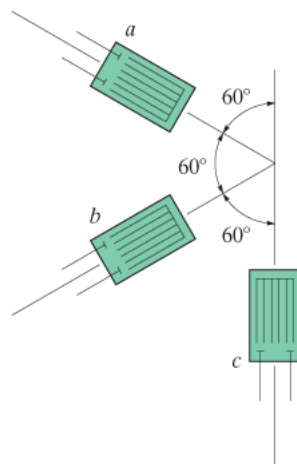
ب 10-3

ب 10-4*. د سطحی ستریس اجزاي په يوه بحرانی ټکي د فولادو په نازک پوستکي په لاندی انځور کی بنودل شوي. د اعظمي تحريف انرژي قضيه له مخی معلوم کړي چی د بيلدينگ جوړيدل په موادو کی امکان لري که نه. د فولادي موادو $s_Y = 650 \text{ MPa}$ دي.



ب 10-

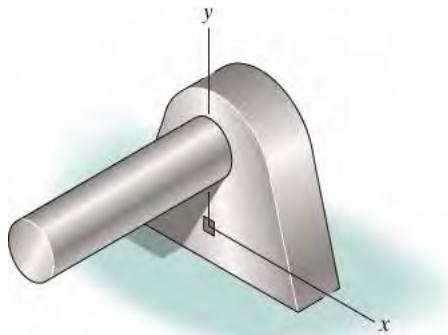
ب 10-5. د 60° درجو سترين روزيت په يوه بيم ايښودل شوي. دا لاندی ليدنه د سترين له هر گيچ په لاس راغلي: $e_a = 600(10^{-6})$, $e_b = -700(10^{-6})$, او $e_c = 350(10^{-6})$. معلوم کړي (a) په سطحه اصلی سترين (b) اعظمی شيرير سترين په سطحه او اوسط نارمل سترين. په هر حالت کی بيخايه شوي عنصر د سترين له امله و بنيي.



ب 10-5

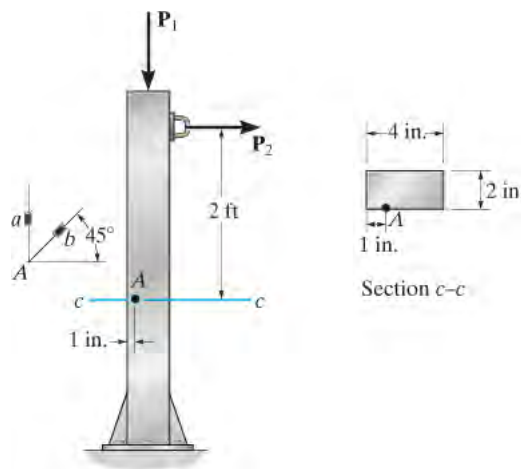
ب 10-6. د سترين حالت په يو ټکي د براکيټ کې دا لاندی اجزای لري $e_x = 350 (10^{-6})$

په سطحه سترين ، په يو عنصر کوم چی په زاويه $q=45^\circ$ د ساعت گردش په لور له اصلی حالت نه موقعيت لری ، وټاکي . بيخايه شوي عنصر د $x-y$ په سطحه د دی سترينو له امله و ټاکي.



ب 10-6

ب 10-7. په لاندی فولادی A-36 پایه بنودل شوی قواوی پلی شوي دي. که چیری په ټکی A کی سترين گيج a او b په دی ډول د سترين لوستني راکري $e_a = 300(10^{-6})$ او $e_b = 175(10^{-6})$ د بارونو P_1 او P_2 ارزښتونه و ټاکي.



ب 10-7

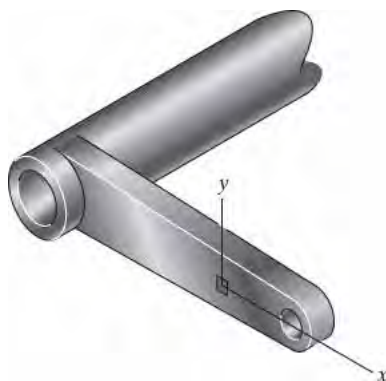
ب* 10-8. يو عنصر له سطحی سترين سره مخ دی او دا لاندی سترينونه لري:

$$e_x = 950(10^{-6}), e_y = 420(10^{-6}), g_{xy} = -325(10^{-6})$$

د سترين بدلون له معادلو کار واخلي او معلوم کړي (a) اصلي سترينونه (b) اعظمي شيبير سترين په سطحه او اړوند اوسط سترين. په هر حالت کې جهت د عنصر مشخص کړي او وښی چې سترينونه عنصر څنگه بيخايه کوي.

ب 10-9. د سترين حالت په يو ټکي د براكيت کې $\epsilon_x = -130 (10^{-6})$

او $\epsilon_y = 280 (10^{-6})$ اجزاي لري. د سترين د بدلون له معادلو کار واخلي، او معلوم کړي (a) اصلي سترينونه په سطحه (b) اعظمي شيبير سترين په سطحه او اوسط نارمل سترين. په هر حالت کې بيخايه شوي عنصر حالت د سترين له امله د $x-y$ په سطحه کې وښيي.

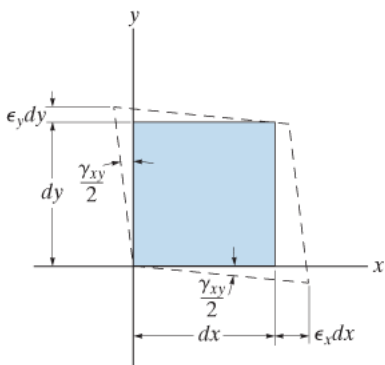


ب 10-9

ب 10-10. د سطحی سترين حالت په يو عنصر عبارت دی په

$$\epsilon_x = 400(10^{-6}), \epsilon_y = 200(10^{-6}), \gamma_{xy} = -300(10^{-6})$$

معادل د دی سترين حالت و ټاکي کوم چې استازيتوب کوي د (a) اصلي سترينو او (b) د اعظمي شيبير سترين په سطحه او اړوند اوسط نارمل سترين. د اړوند عنصر سمت په ټکي کې نسبت اصلي عنصر ته و ټاکي. پايلي په عنصر سکیچ کړي.



ب 10-10

يولسم فصل

(CHAPTER 11)



(© Olaf Speier/Alamy)

بیمونه مهم ساختمانی غري دي چی د بام او پورو بارونه وړی.

د بيمونو او شافتونو ډيزاين

(DESIGN OF BEAMS AND SHAFTS)

د فصل موخي CHAPTER OBJECTIVES

§ پدې فصل کې به مور پدې اړه بحث وکړو چې څنگه به يوه پريزماتيک بيم (prismatic beam) ډيزاين کړو، تر څو د دې وړتيا ولري چې د داخلي کيږيدلو (bending) مومنت او شير دواړو مقاومت ولري. همدارنگه، مور به د بيم د شکل ټاکلو لپاره، کوم چې د خپل اوږدوالي په اوږدو کې تر سټريس لاندې وي، يوه طريقه وړاندې کړو. د فصل په پای کې به مور د شافتونو ډيزاين چې د دوی د مقاومت پر بنسټ، کله چې داخلي کيږدل او تورژن (torsion) شتون ولري، په پام کې ونيسو.

11.1 د بیم ډیزاین اساسات (BASIS FOR BEAM DESIGN)

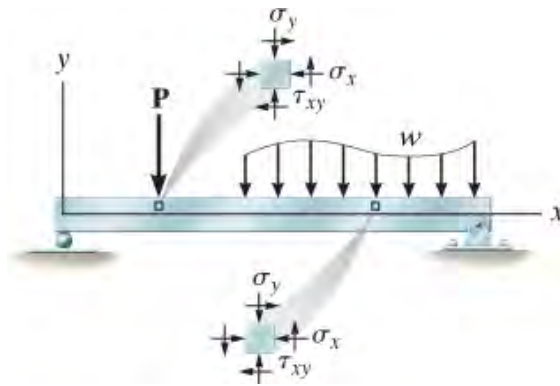
ویل کيږي چې بیمونه د قوت پر بنسټ ډیزاین کيږي، تر څو د داخلي مؤمنت او شیبې مقاومت ولری کوم چې د دوی په اوږدوالي کې شتون لري. د دی ډول ډیزاین کولو لپاره اړین دی چې دبیم د شیبې او کیریډو فورمولونو پلي شي، په دې شرط چې مواد متجانس او خطي ایلسټیکي چلند ولري. ځینې بیمونه د محوری قوی تابع کیدی هم شي، اما اغیزې د دې ډول قوی ډیری وختونه په ډیزاین کې له پامه غورځول کيږي، ځکه چې محوري سټریس عموماً د هغه سټریس په پرتله، چې د شیبې او کیریډو په واسطه رامینځته کيږي، خورا کوچنی وي.

لکه څنګه چې په انځور 11-1 کې ښودل شوي، بهرني بارونه په بیم کې په مستقیم ډول تر بار لاندې ځای کې اضافي سټریسونه رامینځته کوي. د پام وړ د کمپریشن سټریس S_y ، سربیره پر کیریډونکي سټریس S_x او شیبې سټریس t_{xy} لکه څنګه چې مخکې په 6 او 7 فصلونو کې بحث شوی، جوړه وي. د تحلیل پرمختللي میتودونو په کارولو لکه د ایلسټیستي تیوري، دا ښودل کیدی شي چې S_y د بیم په ژوروالي کې په چټکۍ سره کميږي. د ډیری بیمو لپارد اوږدوالي نسبت ژوروالي ته ه کوم چې په انجینري پرکتسونو کې کارول کيږي، د بیم اعظمي ارزښت د S_y په پرتله د کوروالي مؤمنت سټریس S_x کوچنی پاتې کيږي، یعنې $S_x \gg S_y$. سربیره پردې، د بیم ډیزاین کې په عمومي ډول د متمرکزو بارونو مستقیم پلي کیدل مخنیوی کيږي. د دې ډول بارونو لپاره د بیم په سطحه د بیرینګ تختی (bearing plates) کارول کيږي ترڅو بار په مساوی ډول د بیم په سطحه خپور کړي، او په دی توګه د S_y سټریس نور هم کموي.

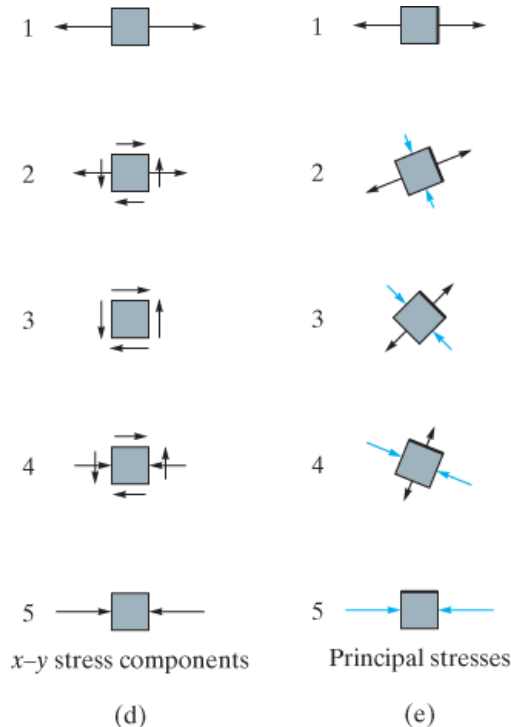
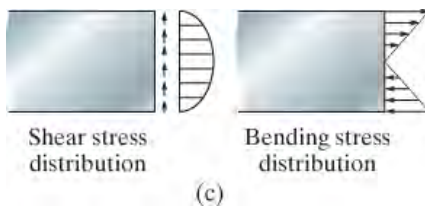
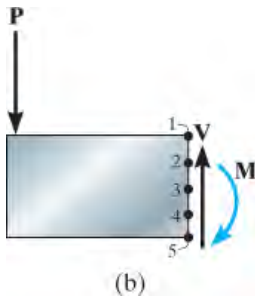
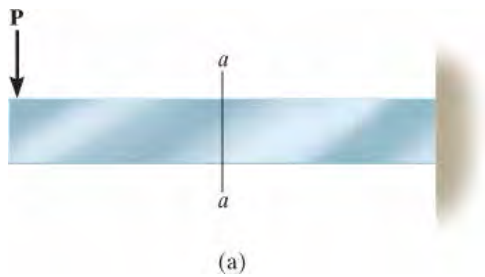
بیمونه هم باید په سمه توګه د خپلو اړخونو په اوږدو مهار بندي (brace) شي ترڅو دوی اړخونو خواته حرکت ونکړي یا ناڅاپه بې ثباته نه شي. په ځینو حالتوکې دوی باید هم د خوا بیخایه کیدنی مقاومت لپاره ډیزاین شي، لکه هغه بیمونه چې د سختو موادو لکه د چټ پلستر ملاتړ کوي. د بیم د بیخایه کیدنی موندلو میتودونه په 12 څپرکي کښی به بحث وشي، او یو لړ محدودیتونه د بیم په اړخی خوځیدلو (sidesway) لپاره ډیری وختونه د ساختماني یا میخانیکي ډیزاین پورې اړوند کوډونو کې بحث کيږي.

د اصلي سټریس په شدت او سمت په بدلیډو پوهیدل، د بیم دننه له یوه نقطې څخه بلې نقطې ته خورا مهم دی، د بیلګې په توګه که چیرې بیم له ماتیدونکیو موادو لکه کانګریت څخه جوړ شوی وي، ځکه چې دا مواد په کشش کې ماتيږي. د دې توپیر د ټاکلو څرنګوالي په اړه نظر ورکولو لپاره، یوه کانټیلیور بیم چې په انځور 11-2 کې ښودل شوي په پام کې ونیسئ، کوم چې یوه مستطیلی غوڅه برخه لري او په پای کې یو بار P ورباندې پلي شوي.

په عموم کې، په يو خپل سري برخه $a-a$ د بيم کې، انځور 11-2b، داخلي شير V او مؤمنت M پارابولیک شير ستريس ویش او خطي نارمل ستريس ویش رامینځته کوي، انځور 11-2c. د پایلي په توگه، ستريسونه د برخي په اوږدو کې د 1 څخه تر 5 نقطو پورې په موقعیت لرونکي عناصرو باندې عمل کوي په انځور 11-2d کې بنودل شوي. په یاد ولرئ چې عناصر 1 او 5 یوازي د اعظمي نارمل ستريس، پداسې حال کې چې عنصر 3، کوم چې په صفری محور کې دی یوازي د اعظمي شير ستريس په سطحه سره مخ کېږي. منځمهاله عناصر 2 او 4 باید دواړه د نارمل او شير ستريس سره مقاومت وکړي.

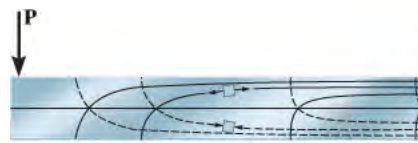


انځور 11-1



انځور 11-2

کله چې د ستیریس دا حالتونه، د ستیریس د بدلون مساواتو معادلو یا د موهر دایرې په کارولو سره په اصلي ستیریسونو بدل شي، پایلې به یې په څیر د هغه وي کوم چې په انځور 11-2e کې ښودل شوي. که دا تحلیل د بیم په اوږدو کې ډیری عمودی برخو ته، پرته له $a-a$ ، وغځول شي د پایلې پروفایل د منحنی لخوا ښودل کیدی شي، او هغه د ستیریس تراچیکټریز (trajectories) په نوم یادېږي. د دې منحنی هره کرښه د اصلي ستیریس سمت چې ثابت شدت لري په گوته کوي. د دغو ستیریس تراچیکټری څخه ځینې په انځور 11-3 کې ښودل شوي. دلته جامد (solid) کرښې د کششی اصلي ستیریسونو د سمت استازیتوب کوي، او ټوټه شوی کرښې د کمپرشن اصلي ستیریسونو سمت استازیتوب کوي. لکه څنګه چې تمه کیده، کرښې په 45^0 درجې زاویه کې صفری کرښه محور قطع کوي (لکه عنصر 3)، او جامد او ټوټه شوي کرښې په 90^0 درجو کې سره قطع کېږي ځکه چې اصلي ستیریسونه تل له یو بل څخه په 90^0 درجو کې وي. یوځل چې ددی د لارښوونو کرښې تاسیس شي، دا کولی شي د انجینرانو سره مرسته او پریکړه وکړي چې چیرته او څنګه د فولادو سیخونه په بیم کې چې له ماتیدونکیو موادو لکه کانکریت جوړ شوي وي ځای په ځای کړي تر څو بیم ماته نشي.



Stress trajectories for cantilevered beam

انځور 11-3

11.2 د پریزماتیک بیم دیزاین (PRISMATIC BEAM DESIGN)

ډیری بیمونه د نرمو موادو څخه جوړ شوي، او کله چې دا قضیه وي دا عموماً اړین ندي چې د بیم لپاره د ستیریس تراچیکټری پلاټ کړو. پر ځای یې، دا اړین دي چې ډاډ ترلاسه کړئ په بیم کې د کریدو او شیبیر ستیریس حد د منلو وړ حدونو څخه، چې په جوړښتونو او میخانیکي کودونو کې تعریف شوي، زیات نه وي. په ډیرو حالتو کې د بیم اوږدوالی نسبتاً اوږد وي، نو د ننه داخلي مؤمنت به لوی وي. کله چې دا حالت وي، دیزاین به بیا دی مؤمنت پر بنسټ وي، او وروسته به د شیبیر قواوی چک کېږي.

د مؤمنت دیزاین د بیم برخي ماجولس ($S = \text{Section modulus}$) ټاکلو ته اړتیا لري، دا یو هندسی خاصیت دی چی د I او c تناسب دی، $S = I/c$. د د کړیدو فورمول په کارولو سره، $S = Mc/I$ ، مور لرو:

$$S_{req'd} = \frac{M_{max}}{\sigma_{allow}} \quad (11-1)$$

دلته M_{max} د بیم له مؤمنت دیاگرام څخه ټاکل کيږي، او د منلو وړ کړیدونکي سټریس، σ_{allow} په دیزاین کوډ کې مشخص شوی. په ډیرو حالتو کې د بیم لا تر اوسه نامعلوم وزن کوچنی وي، او کیدای شي چی په پرتله د بهرنی بارونو کوم چی پر بیم پلي شوي په پام کې ونه نیول شي. که چیری هغه اضافي مؤمنت چی د وزن له امله رامینځته کيږي باید په دیزاین کې شامل شي، د S انتخاب داسې وشي چی د برخي اړین ماجولس یوڅه له $S_{req'd}$ څخه ډیرو ټاکل شي.

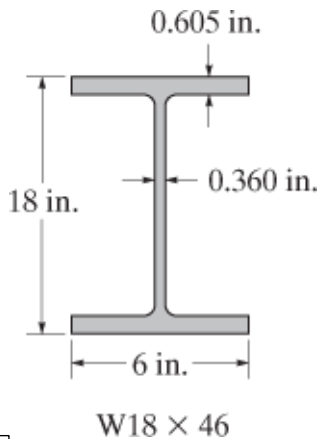
یوځل چی $S_{req'd}$ وپیژندل شي، که بیم ساده غوڅه برخه ولري، لکه یو مربع، یوه دایره، یا یو مستطیل بیا د پیژندل شوي عرض - لوړوالی تناسب څخه، د هغې ابعاد په مستقیم ډول د $S_{req'd}$ څخه ټاکل کیدی شي، ځکه چی $S_{req'd} = I/c$. په هر صورت، که غوڅه برخه له څو ټوټو څخه جوړه شوي وي، لکه سورور فلنج برخه، بیا د ویب او فلانج لپاره لامحدود شمیر ابعاد ټاکل کیدی شي چی د $S_{req'd}$ ارزښت پوره کړي. په عمل کې، انجنیران د اړتیا سره سم یو ځانگړی بیم داسې غوره کوي چی $S > S_{req'd}$ له جدول څخه، چی د معیاري منلشوی اندازې له جوړونکي څخه شتون لري، اخستل کيږی. ډیری وختونه ډیری بیمونه چی ورته برخي ماجولس لري انتخاب کیدی شي، او که چیری د دیفلکشن محدودیت نه وي، معمولا د بیم تر ټولو کوچنی غوڅه برخه ساحه غوره کيږی، ځکه چی دا له لږ موادو څخه جوړ شوی ده، او له همدې امله له نورو سپکه او ډیره اقتصادي ده.



د دوو پور بیمونه د AB بیم سره وصل دي، کوم چی د دی ودانی بارونه د چوکات پایو (کالمو) ته لیږدوی. د دیزاین لپاره، ټول بندیدونکي د پنونو په توگه په پام کې نیول کیدی شي.

یوځل چې بیم غوره شي، نو بیا د شیبیر فورمول کارول کیدی شي، د دې لپاره چې ډاډ تر لاسه شي چې د منلو وړ شیبیر سټریس له حد څخه زیات شویډي که نه، $t_{allow} \geq VQ/It$. ډیری وختونه دا اړتیا ستونزه نه وړاندې کوي، که چیرې بیم "لنډ" وي او لوی متمرکز بارونه ورباندې پلي شوي وي، د شیبیر سټریس محدودیت ممکن د بیم اندازه وټاکي.

فولادو برخي (Steel Sections). ډیری تولید شوي فولاد بیمونه د فولادو یوه ګرمه توتی تر هغه وخته پورې رغوړی (rolling) تر څو د فولادو برخي مطلوب شکل تری جوړ شي. دا په نامه رغوړیدل شوي شکلونه (rolling shape) ځانګړتیاوې لري چې د امریکا د فولادو جوړونې انستیتیوت (American Institute of Steel Construction (AISC)) له خوا په جدولوکې بنودل شوي. د دې جدولو څخه اخیستل شوي د مختلفو ګوڅو برخونموني په یوه لیست کې په ضمیمه B ددی کتاب کې بنودل شوي. دلته د سوروړی فلینج شکلونه ټاکل شوي، د دوی ژوروالی او وزن د هر واحد اوږدوالی سره؛ د مثال په توګه، W18 X 46 بنیې چې یوه سوروړه فلینج (W) ګوڅه برخه چې 18 انچه ژوروالی او 46 lb/ft وزن لري، انځور 11-4. د هر ټاکل شوي انتخاب لپاره، د هر اوږدوالی وزن، ابعاد، ګوڅه برخه ساحه، د انرشیايي مؤمنت، او د برخي ماجولس راپور شوي دي. همدارنګه د جایریشن شعاع r (radius of gyration) هم شامله ده، کوم چې جیومیټریک خاصیت دی چې د برخي د بکلینګ (buckling) مقاومت درلودلو پورې اړه لري. دا به په 13 څپرکي کې بحث وشي.



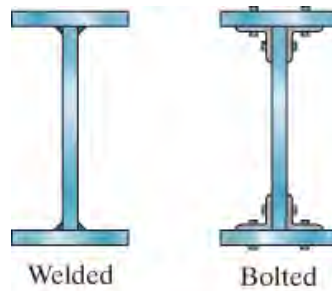
هغه لوی شیبیر قوه چې په اتکا کې واقع کیږي د بیم د فلنچ او یا ویب د کمان کیدلو (buckling) لامل کیدی شي. د دې کار د مخنیوي لپاره، یو "سختونکی A" (stiffener) د ویب په امتداد کېښودل شوي تر څو د ویب ثبات وساتل شي.

د فولادو نمونوي پروفایل لید د فولادو د سوروړی فلنچ بیم

انځور 11-4

لرگیو برخي (Wood Sections).

ډیری بیمونه چی له لرگیو څخه جوړ شوي مستطیلی غوڅه برخه لري ځکه چی دا ډول بیمونه تولید او اداره کول یی اسانه دي. لارښودونه (manuals)، لکه د ځنگل د محصولاتو ملي اتحادیه (National Forest Products Association)، د لرگیو ابعاد اکثرأ چی د لرگیو بیمونو په ډیزاین کی کارول کیږي لیست کوي . لرگی دلته د ابعادو په واسطه پیژندل شوی، لکه 4 X 2) 2in. په 4 in. . په هر صورت، د هغی اصلي یا "پوښل شوي" ابعاد یی کوچني دي، 1.5 انچ په 3.5 انچه. د ابعادو کمښت د دې لپاره واقع کیږي چی د لرگیو اړه شوي سطحی څخه یوه بنویه او صافه سطحه ترلاسه کړي . په ښکاره ډول، اصلي ابعاد باید وکارول شي کله چی د سټریس محاسبه د لرگیو بیمونولپاره ترسره کیږي.



Steel plate girders

انځور 5-11

جوړی شوي برخي (Built-up Sections).

یوه جوړه شوې برخه کله چی دوه یا زیاتره توتی سره یوځای شي ترڅو یوه واحده برخه جوړ کړي. د جوړه شوې برخې وړتیا دمؤمنت مقاومت لپاره مستقیم د دې برخې د ماجولس سره توپیر لري، ځکه چی $S_{req'd} = M/S_{allow}$ که $S_{req'd}$ زیات شي، نو I (انرشیايي مؤمنت) هم د تعریف له مخی $S_{req'd} = I/c$. د دې لپاره، د جوړ شوي برخې لپاره ډیری مواد باید د صفری محور څخه د عملی په توگه لیری کینودل شي.



Wooden box beam

(a)

دا، البته، هغه څه دي چی یو ژور سورورفلینج بیم مقاومت د مؤمنت لپاره دا ډول برخه خورا اغیزمنه کوي. د خورا لوی بار لپاره، د رغول شوي فولادو برخه ممکن د بار وړولو لپاره د برخې ماجولس دومره لوي نه وي. تر څو هغه لوی بار تحمل کړي. کله چی دا حالت راشی، انجنیران به معمولاً له تختو او زاویوڅخه جوړ شوي بیم "جوړ کړي". یوه ژوره I شکل جوړه شوی برخه چی دا شکل لري د پلیټ گادر (plate girder) په نوم یادیږي. د مثال په توگه، په انځور 5-11 کی د فولادو پلیټ گادر (plate girder)

دوه فلینج تختي لري چې يا ويلدېد شوي وي يا د زاویو په کارولو چې د ویب پلیټ سره بولت شوي وی.



Glulam beam

(b)

د لرگیو بېمونه هم "جوړ شوي" دي، معمولا د باکس بېم په بڼه، انځور 11-6a. دوی ممکن له څو پټه تختو (plywood) ویب او لویو تختو څخه فلنچ جوړ کړي. د ډیری لوی واټن (span) لپاره، گلولم بېم (glulam beam) کارول کېږي. دا غړي د څو تختو څخه جوړ شوي دي چې د سرینس - لامینټ شوي (glue-laminated) دي او یو واحد بېم جوړه وي، انځور 11-6b.

لکه څنگه چې د رغول شوي برخو یا بېمونو په صورت کې چې له یوې ټوټې څخه جوړ شوي وي، د جوړو شویو برخو ډیزاین ته اړتیا ده چې کړیدونکی او شپیر سټریسونه باید وڅیړل شي. برسېره پردې، په بندونو کې، لکه ویلډ، سرینس، میخونه، او داسې نور د شپیر سټریس باید وڅیړل شي، ترڅو ډاډ تر لاسه شي چې بېم د یو واحد په توګه عمل کړي.

انځور 11-6

مهم ټکی

(IMPORTANT POINTS)

- بیم هغه غړي دی چې د هغو بارونو کوم چې په محوري عمود پلي شوی ملاتړ کوي. که بېمونه د توانايي پر بنسټ ډیزاین شوي وي، دوی باید د منلو وړ شپیر او کوروالي سټریسونو سره مقاومت وکړي.
- په بېم کې تر ټولو زیات د کوروالي سټریس دی او داسې انگیرل کېږي چې هغه د محلي سټریسونو په پرتله، کوم چې د بهرنی بارونو له امله د بېم په سطحه رامینځ ته کېږي، خورا لوی دی.

د تحلیل کرنلاره

PROCEDURE FOR ANALYSIS

د پخوانیو بحثونو پر بنسټ، لاندې کرنلاره د بیم ډیزاین لپاره، د قوت پر بنسټ، منطقي طریقه وړاندې کوي.

د شیبې او مؤمنت ډیاگرامونه (Shear and Moment Diagrams).

- په بیم کې اعظمي شیبې او مؤمنت په دقیقه توګه مشخص کړئ. ډیری وختونه دا کار د بیم د شیبې او مؤمنت ډیاگرامونو جوړولو په مرسته ترسره کېږي.

د کوروالي سټریس (Bending Stress).

- که بیم نسبتاً اوږده وي، دا د کوروالي (flexure) فورمول په کارولو سره د هغې د غوڅې برخې ماجولس موندلو سره ډیزاین کېږي، $S_{req/d} = M_{max}/S_{allow}$
- یوځل چې $S_{req/d}$ وټاکل شي، د ساده شکلونو لپاره د غوڅې برخې ابعاد محاسبه کېدای شي، $S_{req/d} = I/c$ ځکه چې
- که چیرې رغړول شوي فولادې برخې وکارول شي، ممکنه بیمونه له جدول B څخه، ضمیمه ددی کتاب، غوره کېدای شي، ترڅو هغه اړتیا پوره کړي چې $S \geq S_{req'd}$. له دې څخه، هغه غوره کړئ چې ترټولو کوچنی غوڅی برخې ساحه ولري، ځکه چې دا بیم لږ تر لږه وزن لري او له همدې امله خورا اقتصادي تمامېږي.
- ډاډ تر لاسه کړئ چې د ټاکل شوي برخې ماجولس، S ، له $S_{req'd}$ څخه لږ څه لوی وي، ځکه اضافي مؤمنت چې د بیم د وزن لخوا رامینځته کېږي په پام کې ونیول شي.

شیبې سټریس (Shear Stress).

- عموما هغه بیمونه چې لنډی وي او لوی بارونه لیردوي، په ځانګړې توګه د لرګیو جوړ شوي بیم، لومړی د شیبې مقاومت کولو لپاره ډیزاین شي، او بیا وروسته د منلو وړ د کوروالي اړتیا په مقابل کې چک شوي.

- د شیر فورمول په کارولو سره، وگورئ چې د منلو وړ شیر ستریس زیات شوی نه وي؛ یعنی د $t_{allow} \geq V_{max}Q/It$ څخه کارواخلي .
- که چیرې بیم یوه جامده مستطیلی غوڅه برخه ولري، د شیر فورمول $t_{allow} \geq 1.5$ وي، نو دا په عمومي توگه مناسبه ده چې فرض کړئ د شیر ستریس د بیم د ویب د غوڅي برخي په اوږدو کې ثابت دی ترڅو د $t_{allow} = V_{max}/A_{web}$ شي، چیرې چې A_{web} د ویب د ژوروالي او پنډوالي له ضربیدو څخه ټاکل کيږي. (د 7.3 مثال په پای کې اشاره وگورئ)

• د بندونکیو داندازی بستوب (Adequacy of Fasteners).

- په جوړو شویو بیمونو کې د بندیدونکیو استعمال شوي کافي اندازه د شیر ستریس پورې اړه لري، چې بندونکي مقاومت کولی شي که نه. په ځانگړې توگه، د یو ځانگړي اندازې د میخونو یا بولټونو اړین فاصله د منل شوی شیر جریان $q_{allow} = VQ/I$ څخه ټاکل کيږي، او دا محاسبه په هغه ځای د غوڅي برخي کيږي کوم چې هلته بندیدونکي ایښودل کيږي. (7.3 برخه وگورئ.)

مثالونه

مثال 11.1

له فولادو جور شوی بیم د کوروالي د منلو ورسټریس یی $\sigma_{allow} = 24 \text{ ksi}$ او د منلو وړ د شیبیر سټریس یی $t_{allow} = 14.5 \text{ ksi}$ دی. یو مناسب W شکل داسی انتخاب کړي تر څو په انځور 11-7a کی د بنودل شوي بارونو ملا تړ وکړي.

حل (SOLUTION)

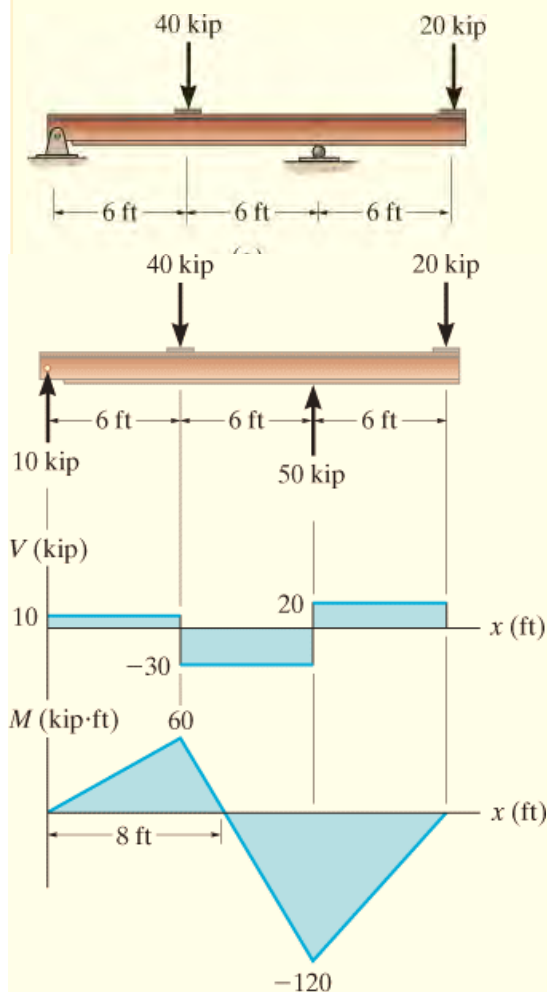
د شیبیر او مؤمنت ډایگرامونه (Shear and Moment Diagrams)

د اتکا وړ ریکشنونه او د شیبیر او مؤمنت ډایگرامونه په انځور 11-7b کی بنودل شوي. له دی ډایگرامونو موږ لرو

$$M_{max} = 120 \text{ kip} \cdot \text{ft} \text{ او } V_{max} = 30 \text{ kips}$$

د کزیدو سټریس (Bending Stress)

د اړین برخی ماجولس د بیم لپاره د کوروالي له فورمول په لاس راځي



(b) انځور 11-7

$$S_{req'd} = \frac{M_{max}}{\sigma_{allow}} = \frac{120 \text{ kip} \cdot \text{ft} (12 \text{ in./ft})}{24 \text{ kip/in}^2} = 60 \text{ in}^3$$

د B ضمیمي له جدولونو کار اخلو او وینو چی دا لاندی شکلونه کافی دي:

W18 × 40	$S = 68.4 \text{ in}^3$
W16 × 45	$S = 72.7 \text{ in}^3$
W14 × 43	$S = 62.7 \text{ in}^3$
W12 × 50	$S = 64.7 \text{ in}^3$
W10 × 54	$S = 60.0 \text{ in}^3$
W8 × 67	$S = 60.4 \text{ in}^3$

هغه بيم چي په هر فوت كې لږ تر لږه وزن لري غوره كيږي، د بيلگي په توگه*

W18 x 40

شيبير سټريس (Shear stress)

خرنگه چي بيم سوروره فلنج ده، نو له همدې امله شيبير سټريس په ويب كې به په پام كې ونيول كيږي، (7.3 مثال وگوري). دلته انگيرل داسي كيږي چي ويب له خورا پورتنۍ برخې څخه تر ډيرې لاندې حصې پوري غزېدلي ده. له ضميمې B څخه د W18 X 40 لپاره :

$$d = 17.90 \text{ in} \quad t_w = 0.315 \text{ in} \quad \text{پدې توگه :}$$

$$\tau_{avg} = \frac{V_{max}}{A_w} = \frac{30 \text{ kip}}{(17.90 \text{ in.})(0.315 \text{ in.})} = 5.32 \text{ ksi} < 14.5 \text{ ksi} \quad \text{OK}$$

كار واخلي له

Use a W18 × 40.

Ans.

* اضافي مؤمنت د بيم د وزن له امله عبارت دی په $(0.040 \text{ kip/ft})(18 \text{ ft}) = 0.720\text{-kip}$ دا به د $S_{req'd}$ غوښتنه خورا لږ زياتوالي ومومي.

مثال 11.2

د لرگيو د څو پټو (laminated) بيم په انځور 11-8a كې بنودل شوي، او مساوي وپشل شوي بار د 12 kN/m ورباندې پلي شوي. كه چيري د دې بيم د لوړوالي او د سورسره نسبت 1.5 وي، كوچني سور يي و ټاكي. د بيم وزن په پام كې مه نيسي.

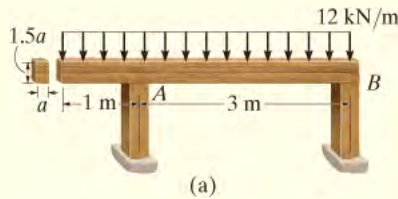
له $s_{allow} = 9 \text{ MPa}$ او $t_{allow} = 0.6 \text{ MPa}$ كار واخلي

حل (SOLUTION)

د شیبیر او مؤمنت ډایگرامونه (Shear and Moment Diagrams)

د اتکاوو ریکشنونه په A او B کې محاسبه شوی، او د شیبیر او مؤمنت ډایگرامونه په انځور 11-8b کې بنودل شوي. له دې ډایگرامونو موږ لرو

$$V_{\max} = 20 \text{ kN} \text{ او } M_{\max} = 10.67 \text{ kN}\cdot\text{m}$$

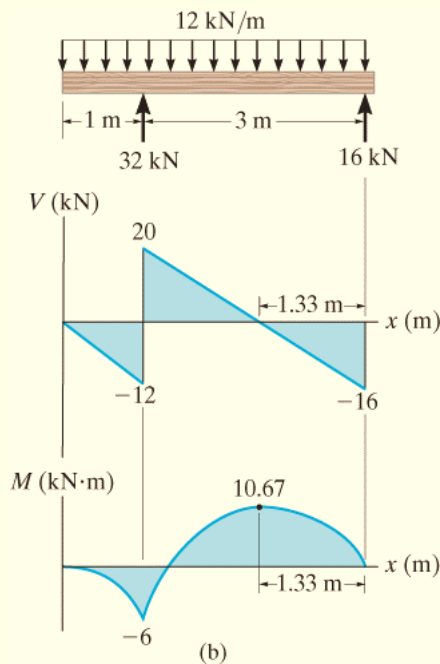


د کړیدو ستریس (Bending Stress)

د کوروالي له فورمول څخه کار اخلو

$$S_{\text{req'd}} = \frac{M_{\max}}{\sigma_{\text{allow}}} = \frac{10.67(10^3) \text{ N}\cdot\text{m}}{9(10^6) \text{ N/m}^2} = 0.00119 \text{ m}^3$$

فرض کوو چې سور ډبیم a دی، نو بیا لوروالي $1.5a$ کیري، انځور 11-8a. په دې توگه،



$$S_{\text{req'd}} = \frac{I}{c} = 0.00119 \text{ m}^3 = \frac{\frac{1}{12}(a)(1.5a)^3}{(0.75a)}$$

$$a^3 = 0.003160 \text{ m}^3$$

$$a = 0.147 \text{ m}$$

انځور 11-8

شیبیر ستریس (Shear stress)

د مستطیلی برخې لپاره د شیبیر فورمول څخه کار اخلو (دا ځانگړی قضیه د $t_{\max} = VQ/It$ لکه څنگه چې په مثال 7.2 کې بنودل شوي). موږ لرو

$$\begin{aligned} \tau_{\max} &= 1.5 \frac{V_{\max}}{A} = (1.5) \frac{20(10^3) \text{ N}}{(0.147 \text{ m})(1.5)(0.147 \text{ m})} \\ &= 0.929 \text{ MPa} > 0.6 \text{ MPa} \end{aligned}$$

څرنګه چې د کوروالی پر بنسټ ډیزاین د شیبیر قضي د ناکامي لامل شو ، نو بیم باید د شیبیر قضيي پر بنسټ ډیزاین شي.

$$\tau_{\text{allow}} = 1.5 \frac{V_{\text{max}}}{A}$$

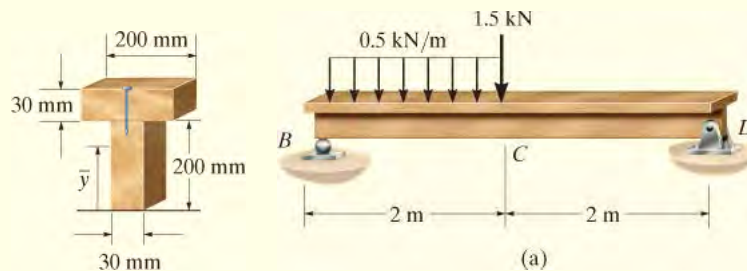
$$600 \text{ kN/m}^2 = 1.5 \frac{20(10^3) \text{ N}}{(a)(1.5a)}$$

$$a = 0.183 \text{ m} = 183 \text{ mm} \quad \text{Ans.}$$

دا لوي برخه به هم په مناسبه توګه د کزیدونکی سټریس مقاومت ولري.

مثال 11.3

د لرګیو بیم چې په انځور 11-9a کی بنودل شوي له دو تختو 200 mm x 30 mm جوړ شوي. که چیرې $s_{\text{allow}} = 12 \text{ MPa}$ او $t_{\text{allow}} = 0.8 \text{ MPa}$ وی، معلوم کړي چې بیم په خوندي ډول د بنودل شوي بار ملاتړ کولای شي؟ همدا رنگه د میخونو تر مینځ اړین فاصله مشخص کړي، د دو تختو یو ځای ساتلو لپاره، که چیرې هر یو میخ د 1.50 kN په خوندي ډول د شیبیر لپاره مقاومت ولري.



انځور 11-9

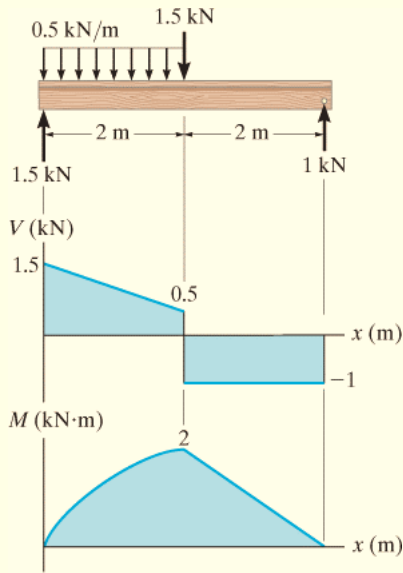
د شیبیر او مؤمنت ډایګرامونه (Shear and Moment Diagrams)

د اتکاو ریکشنونه بنودل شوي، او د شیبیر او مؤمنت ډایګرامونه په انځور 11-9b کی بنودل شوي. له دی ډایګرامونو مور لرو

$$M_{\text{max}} = 1.5 \text{ kN.m} \text{ او } V_{\text{max}} = 2 \text{ kN.m.}$$

د کزیدو ستیریس (Bending Stress)

صفری محور (مرکز ثقل) د بیم له بنسخته خوا اندازه کیري. د متر له واحده به کار واخلو، مور لرو



$$\bar{y} = \frac{\sum \bar{y}A}{\sum A} = \frac{(0.1 \text{ m})(0.03 \text{ m})(0.2 \text{ m}) + 0.215 \text{ m}(0.03 \text{ m})(0.2 \text{ m})}{0.03 \text{ m}(0.2 \text{ m}) + 0.03 \text{ m}(0.2 \text{ m})} = 0.1575 \text{ m}$$

په دی توگه

انخور (تکرار) - 11

$$I = \left[\frac{1}{12}(0.03 \text{ m})(0.2 \text{ m})^3 + (0.03 \text{ m})(0.2 \text{ m})(0.1575 \text{ m} - 0.1 \text{ m})^2 \right] + \left[\frac{1}{12}(0.2 \text{ m})(0.03 \text{ m})^3 + (0.03 \text{ m})(0.2 \text{ m})(0.215 \text{ m} - 0.1575 \text{ m})^2 \right] = 60.125(10^{-6}) \text{ m}^4$$

څرنگه چی

$$c = 0.1575 \text{ m (not } 0.230 \text{ m} - 0.1575 \text{ m} = 0.0725 \text{ m)}$$

مور ارتیا لرو

$$\sigma_{\text{allow}} \geq \frac{M_{\text{max}}c}{I} \quad 12(10^6) \text{ Pa} \geq \frac{2(10^3) \text{ N} \cdot \text{m}(0.1575 \text{ m})}{60.125(10^{-6}) \text{ m}^4} = 5.24(10^6) \text{ Pa} \quad \text{OK}$$

شیر ستریس (Shear stress)

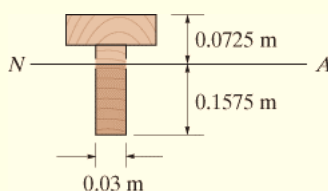
په بیم کی اعظمی شیر ستریس د Q او t په اندازه پوری اړه لري. او دا په صفری محور واقع کيږي، ځکه چی د Q ارزشت هلته اعظمی او ضخامت $t = 0.03\text{m}$ تر ټولو کوچني دي. د آسانی لپاره مور به د مستطیل ساحه د صفری محور لاندی د Q محاسبه کولو لپاره و کاره وو، پر ځای د دوو برخو، کمپازیت ساحی، پورته د محورنه، انځور 11-9c. مور لرو

$$Q = \bar{y}'A' = \left(\frac{0.1575\text{ m}}{2}\right)[(0.1575\text{ m})(0.03\text{ m})] = 0.372(10^{-3})\text{ m}^3$$

نو داسي

$$\tau_{\text{allow}} \geq \frac{V_{\text{max}}Q}{It}$$

$$800(10^3)\text{ Pa} \geq \frac{1.5(10^3)\text{ N}[0.372(10^{-3})]\text{ m}^3}{60.125(10^{-6})\text{ m}^4(0.03\text{ m})} = 309(10^3)\text{ Pa} \quad \text{OK}$$



(c)

انځور (ادامه) 9- 11

د میخونو فاصله (Nail Spacing).

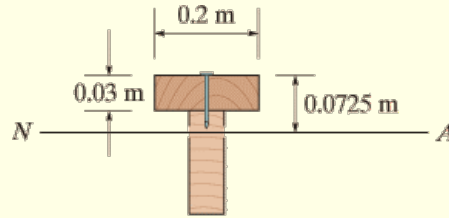
د شیر دایگرام څخه داسي معلومیري چی شیر په ټول اوږدوالي دبیم کی توپیر لري. څنگه چی د میخونو فاصله په مقدار د شیر پوری اړه لري، د آسانی او (او محافظه کاری لپاره) مور به دیزاین د فاصلی په $V = 1.5\text{ kN}$ د سیمی BC او $V = 1\text{ kN}$ د سیمی CD لپاره و ټاکو. ځکه چی میخونه فلنج د ویب سره نښلوي، انځور 11-9d، مور لرو

$$Q = \bar{y}'A' = (0.0725\text{ m} - 0.015\text{ m})[(0.2\text{ m})(0.03\text{ m})] = 0.345(10^{-3})\text{ m}^3$$

د شیر جریان په هره سیمه کی عبارت دی په

$$q_{BC} = \frac{V_{BC}Q}{I} = \frac{1.5(10^3) \text{ N}[0.345(10^{-3}) \text{ m}^3]}{60.125(10^{-6}) \text{ m}^4} = 8.61 \text{ kN/m}$$

$$q_{CD} = \frac{V_{CD}Q}{I} = \frac{1(10^3) \text{ N}[0.345(10^{-3}) \text{ m}^3]}{60.125(10^{-6}) \text{ m}^4} = 5.74 \text{ kN/m}$$



(d)

يو ميخ کولای شي مقاومت د 1.5 kN شپير وکړي، بيا اعظمی فاصله کيږي

$$s_{BC} = \frac{1.50 \text{ kN}}{8.61 \text{ kN/m}} = 0.174 \text{ m}$$

$$s_{CD} = \frac{1.50 \text{ kN}}{5.74 \text{ kN/m}} = 0.261 \text{ m}$$

د اندازه کولو آسانی لپاره کار واخلی له

$$s_{BC} = 150 \text{ mm}$$

Ans.

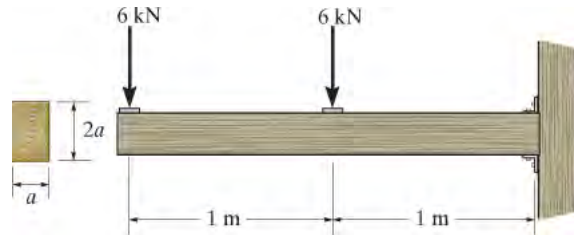
$$s_{CD} = 250 \text{ mm}$$

Ans.

بنسټيز پوښتنې

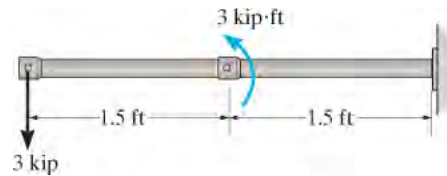
FUNDAMENTAL PROBLEMS

ب 11-1. لږ تر لږه a اندازه نږدې ملي متر (mm) ته، د بيم د غوڅې برخې لپاره مشخص کړي تر څو بنودل شوی بهرنی بار په خوندي توګه و ليردوي. دلرګيو د منلو وړ نارمل سټريس $s_{allow}=10\text{MPa}$ او د منلو وړ د شپير سټريس $t_{allow}=1\text{MPa}$ دي.



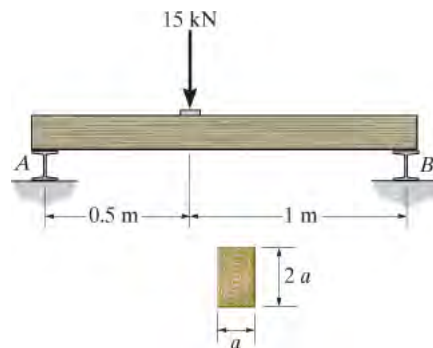
ب 11-1

ب 11-2. لږ تر لږه قطر d نږدې (1/8 in.) ته، د ميلي لپاره مشخص کړي تر څو بنودل شوی بهرنی بار په خوندي توګه و ليردوي. ميله له داسی موادو جوړه شوی چې د منلو وړ نارمل سټريس $s_{allow}=20\text{ksi}$ او د منلو وړ د شپير سټريس $t_{allow}=10\text{ksi}$ دي.



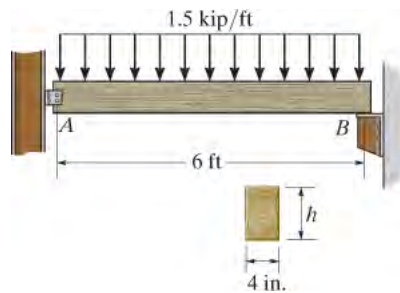
ب 11-2

ب 11-3. لږ تر لږه a اندازه نږدې ملي متر (mm) ته، د بيم د غوڅې برخې لپاره مشخص کړي تر څو بنودل شوی بهرنی بار په خوندي توګه يو ورليشی. دلرګيو د منلو وړ نارمل سټريس $s_{allow}=12\text{MPa}$ او د منلو وړ د شپير سټريس $t_{allow}=1.5\text{MPa}$ دي.



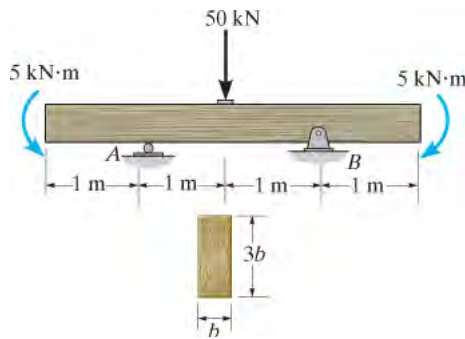
ب 11-3

ب 11-4. لږ تر لږه د h اندازه نيردې ($1/8$ inch) ته د بيم د غوڅې برخې لپاره مشخص کړي تر څو بنودل شوی بهرنی بار په خوندي توگه يو وړلشي. د لرگيو د منلو وړ نارمل ستريس $s_{allow} = 2$ ksi او د منلو وړ د شپير ستريس $t_{allow} = 200$ psi دي.



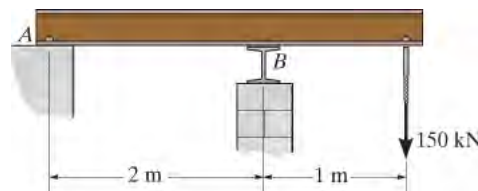
ب 11-4

ب 11-5. لږ تر لږه د b اندازه نيردې ملي متر (mm) ته ، د بيم د غوڅې برخې لپاره مشخص کړي تر څو بنودل شوی بهرنی بار په خوندي توگه يو وړلشي. د لرگيو د منلو وړ نارمل ستريس $s_{allow} = 12$ MPa او د منلو وړ د شپير ستريس $t_{allow} = 1.5$ MPa دي.



ب 11-5

ب 11-6. د فولادو W انځورانتخاب کړي ، تر څو بنودل شوی بهرنی بار په خوندي توگه يو وړلشي. بيم له فولادو جوړه شوي، د منلو وړ نارمل ستريس يې $s_{allow} = 150$ MPa او د منلو وړ د شپير ستريس $t_{allow} = 75$ MPa دي. فرض کړی چې بيم په اتکا A کې پښ شوي، او په اتکا B کې رولردي.

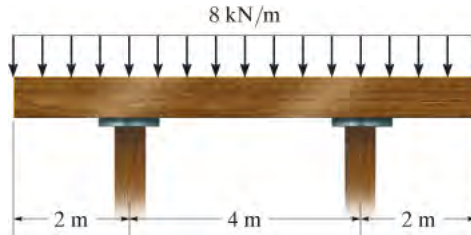


ب 11-6

سوالونه

PROBLEMS

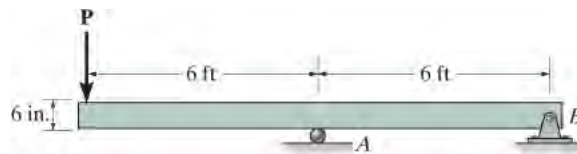
س 11-1. بیم له لرگیو څخه جوړه شوي، د منلو وړ د کوروالي ستیریس یې $s_{\text{allow}}=6.5 \text{ MPa}$ او د منلو وړ د شیبیر ستیریس $t_{\text{allow}} = 500 \text{ kPa}$ دي. ابعاد یې داسی معلوم کړي تر څو مستطیلی شکل ولري او د لور والي نسبت سورتته یې 1.25 وي. فرض کړی چی بیم په بنویه (صافه) سطحه اتکاو لري.



س 11-1

س 11-2. لږ تر لږ سور د بیم نږدی $1/4 \text{ in.}$ ته د بیم لپاره مشخص کړي تر څو بنودل شوی بهرنی بار $P = 8 \text{ kips}$ په خوندي توگه یو ورلشی. د منلو وړ کوریدونکی ستیریس $s_{\text{allow}} = 24 \text{ ksi}$ او د منلو وړ د شیبیر ستیریس $t_{\text{allow}} = 15 \text{ ksi}$ دي.

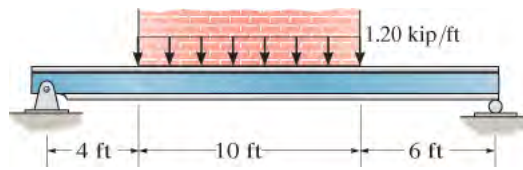
س 11-3. سوال 11-2 د $P = 10 \text{ kip}$ لپاره حل کړي.



س 11-2/3

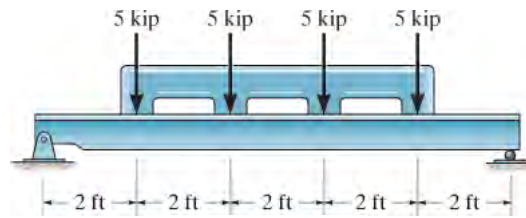
س 11-4*. د خښتو یو دیوال مساوی ویشل شوی بار 1.20 kip/ft په بیم باندی جوړه وي.

که د منلو وړ کوریدونکی ستیریس $s_{\text{allow}} = 22 \text{ ksi}$ او د منلو وړ شیبیر ستیریس $t_{\text{allow}} = 12 \text{ ksi}$ وي، هغه سپکه د سوروری فلنج برخه چی کوچني ژوروالي ولری له ضمیمي B څخه غوره کړي تر څو پلی شوی بار په خوندي توگه یو ورلشی. که هلته د مساوی وزن انتخاب پیر وی، هغه یو چی لنډ لوړوالي ولری غوره یې کړي.



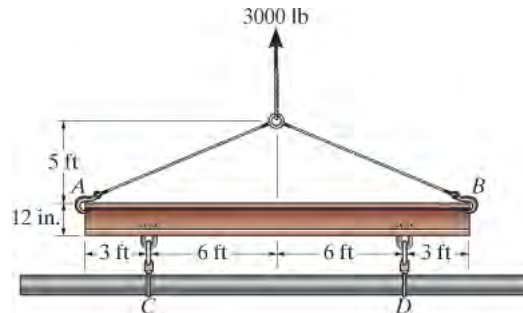
س 11-4

س 11-5. هغه سپکه سوروره فلنج بيم له ضميمي B څخه غوره کړي تر څو پلي شوی د ماشين بار په خوندي توگه يوورلیشي. د منلو وړ کربيدونکی ستریس $s_{allow} = 24 \text{ ksi}$ او د منلو وړ شير ستریس $t_{allow} = 14 \text{ ksi}$ دي



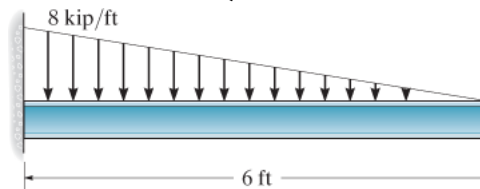
س 11-5

س 11-6. خپورونکي بيم AB د 3000-lb پایپ، ورور پورته کولو لپاره کارول کيږي، پایپ په مرکزي توگه د په تی په C او D کی موقعیت لري. که چیری بيم يو W12 X 45 وی، څرگند کړي چی هغه په خوندي توگه دا بار وړلیشي؟ د منلو وړ کربيدونکی ستریس $s_{allow} = 22 \text{ ksi}$ او د منلو وړ شير ستریس $t_{allow} = 12 \text{ ksi}$ دي.



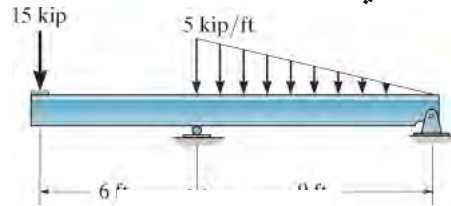
س 11-6

س 11-7. هغه سپکه سوروره فلنج برخه چی کوچني ژوروالي ولری له ضميمي B يي غوره کړي تر څو پلي شوی بار په خوندي توگه يوورلیشي. د منلو وړ کربيدونکی ستریس $s_{allow} = 24 \text{ ksi}$ او د منلو وړ شير ستریس $t_{allow} = 14 \text{ ksi}$ دي



س 11-7

س 11-8* هغه سپکه سوروره فلنج برخه له ضميمي B څخه غوره کړي تر څو پلي شوی بار په خوندي توگه يو ورلېشي. د منلو وړ کورېدونکی ستریس $s_{allow} = 24 \text{ ksi}$ اود منلو وړ شیبیر ستریس $t_{allow} = 14 \text{ ksi}$ دي

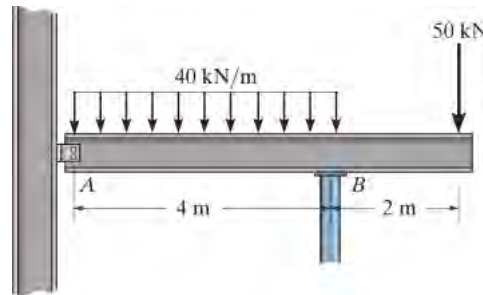


س 11-8

س 11-9 هغه سپکه سوروره فلنج W360 بيم له ضميمي B څخه غوره کړي تر څو پلي شوی بار په خوندي توگه يو ورلېشي. د منلو وړ کورېدونکی ستریس د بيم $s_{allow} = 150 \text{ MPa}$ اود منلو وړ شیبیر ستریس $t_{allow} = 80 \text{ MPa}$ دي. فرض کړی چی بيم په اتکا A کی پن شوي، او په اتکا B کی رولر دی.

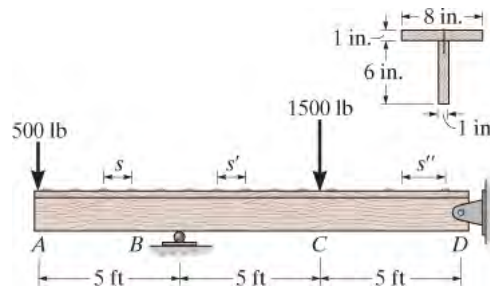
س 11-10 څیرنه وکړي چی W250 X 58 بيم پلي شوی بار په خوندي توگه ليردولي شي؟

د منلو وړ کورېدونکی ستریس د بيم $s_{allow} = 150 \text{ MPa}$ اود منلو وړ شیبیر ستریس $t_{allow} = 80 \text{ MPa}$ دي. فرض کړی چی بيم په اتکا A کی پن شوي، او په اتکا B کی رولر دی.



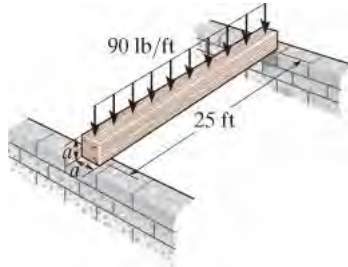
س 11-9/10

س 11-11 دا لاندی بيم له دو تختو جوړ شوي. که هر ميخ د 200 lb شير قوی ملا تر وکړي، اعظمی فاصله د ميخونو s ، s' او s'' نږدی $1/8 \text{ in.}$ د سيمي AB ، BC او CD لپاره په ترتيب سره مشخص کړي.



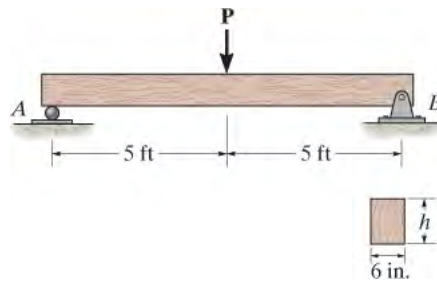
س 11-11

س 11-12* د یو گدام د فرش جایستونه له مربع بیمونو چی له بلوط لرگی جوړ شوی، کاروی. هر بیم د 90 lb/ft بار لپاره ډیزان شوی او د بیم اوږدوالي 25 ft د ساده اتکا سره په پام کی نیول شوی. د a اندازه د مربع غوڅی برخی، نږدی $\frac{1}{4} \text{ in.}$ ته و ټاکي. د منلو وړ کږیدونکی ستیریس $s_{\text{allow}} = 4.5 \text{ ksi}$ او د منلو وړ شیریر ستیریس $t_{\text{allow}} = 125 \text{ psi}$ دي.



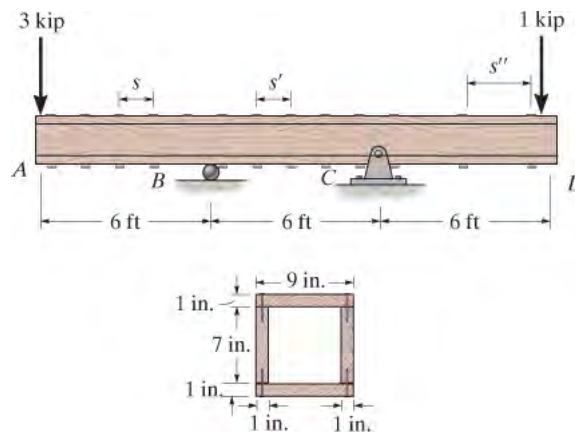
س 11-12

س 11-13 د لرگیو بیم سور 6 in. دي. لوروالي h داسی وټاکي کوم چی په ورته وخت کی د منلو وړ کږیدونکی ستیریس $s_{\text{allow}} = 1.5 \text{ ksi}$ او د منلو وړ شیریر ستیریس $t_{\text{allow}} = 50 \text{ psi}$ ته ورسیري. او همدا رنگه بار P چی بیم کولای شي یوورلی شی معلوم کړي.



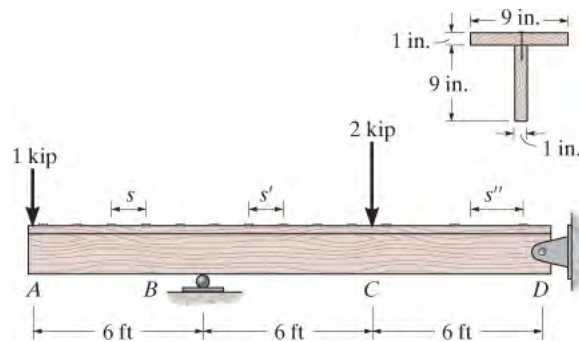
س 11-13

س 11-14 دا لاندی بیم له څلورو تختو جوړه شوي. که هر میخ د 300 lb شیریر قوی ملا تر وکړي، د میخونو اعظمی فاصله s, s', s'' او د سیمی AB, BC, CD لپاره په ترتیب سره مشخص کړي.



س 11-14

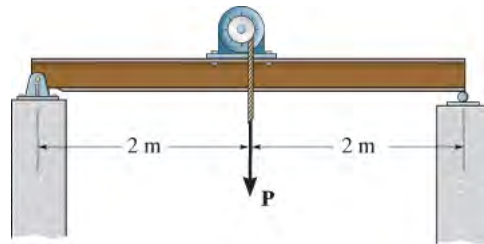
س 11-15. دا لاندی بیم له دو تختو جوړه شوي. که هر میخ د 200 lb شپړ قوی ملا تر وکړي، د میخونو اعظمی فاصله s ، s' او s'' نږدی 1/8 in. (inch) د سیمی AB ، BC او CD لپاره په ترتیب سره مشخص کړي.



س 11-15

س 11-16*. که چیری په کیبل اعظمی قوه $P = 50\text{kN}$ پلی شوی وي، د سپک وزن W310 سوروره فلنچ بیم چی پلی شوی بار په خوندي توگه ولیردوي پیدا کړی. د بیم د منلو وړ نارمل ستریس $s_{\text{allow}} = 150\text{ MPa}$ او د منلو وړ شپیر ستریس $t_{\text{allow}} = 85\text{ MPa}$ دي.

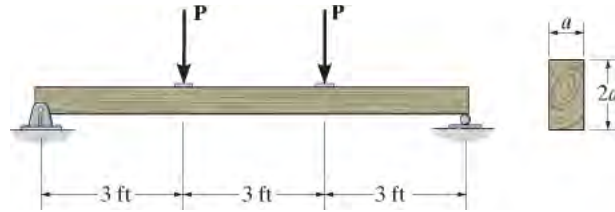
س 11-17. که چیری د W360 X 45 سوروره فلنچ بیم د منلو وړ نارمل ستریس $s_{\text{allow}} = 150\text{ MPa}$ او د منلو وړ شپیر ستریس $t_{\text{allow}} = 85\text{ MPa}$ وي، په کیبل کی اعظمی قوه P چی په خوندي ډول یی بیم یو وړلیشی وټاکي.



س 11-16/17

س 11-18. لږ تر لږد a اندازه د بیم د غوڅی برخي نږدی 1/8 in. (inch) ته مشخص کړي تر څو بنودل شوی بهرنی بار $P = 800\text{ lb}$ په خوندي توگه یو وړلی شی. د لرگیو د منلو وړ نارمل ستریس $s_{\text{allow}} = 1.5\text{ ksi}$ او د منلو وړ د شپیر ستریس $t_{\text{allow}} = 150\text{ psi}$ دي.

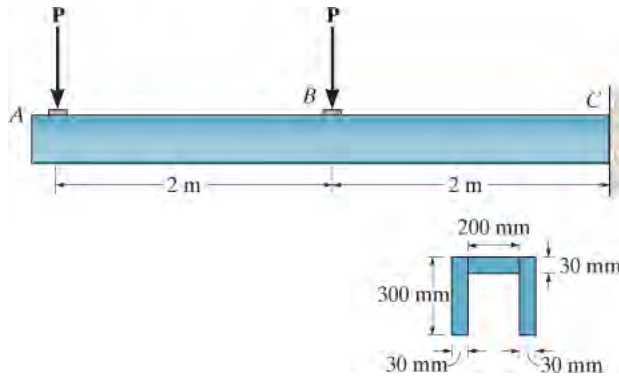
س 11-19 . که $a = 3 \text{ in.}$ د لرگیو د منلو وړ نارمل سټریس $s_{\text{allow}} = 1.5 \text{ ksi}$ او د منلو وړ د شیبیر سټریس $t_{\text{allow}} = 150 \text{ psi}$ وي، د منلو وړ اعظمی ارزښت د P چی په بیم پلی کدی شي و ټاکی.



س 11-18/19

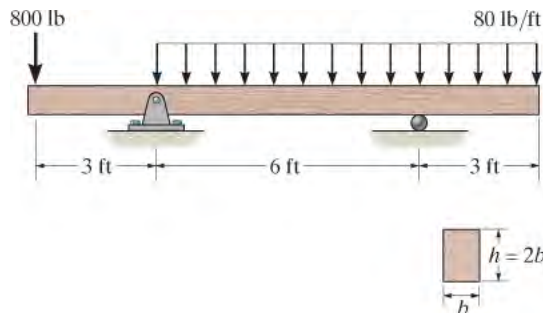
س 11-20* . بیم له دریو پلاستیکی ټوټو جوړ شوي. که چیری د منلو وړه شیبیر سټریس د سیرینس $t_{\text{allow}} = 8 \text{ kPa}$ وی، تر ټولو لوي ارزښت د P چی بیم یی وړلیشي و ټاکی.

س 11-21 . که چیری د منلو وړ کربیدونکي سټریس $s_{\text{allow}} = 6 \text{ MPa}$ وی، او سیرینس کولای شي چی د $t_{\text{allow}} = 8 \text{ kPa}$ شیبیر سټریس ملا تر وکړي، تر ټولو لوي ارزښت د P چی بیم یی وړلی شي و ټاکی.



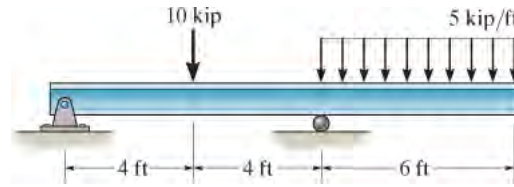
س 11-20/21

س 11-22 . بیم له ډگلاس صنوبر جوړ شوي د منلو وړ کربیدونکي سټریس $s_{\text{allow}} = 1.1 \text{ ksi}$ او د منلو وړ شیبیر سټریس $t_{\text{allow}} = 0.70 \text{ ksi}$ دی. سور b داسی و ټاکی کله چی $h = 2b$.



س 11-22

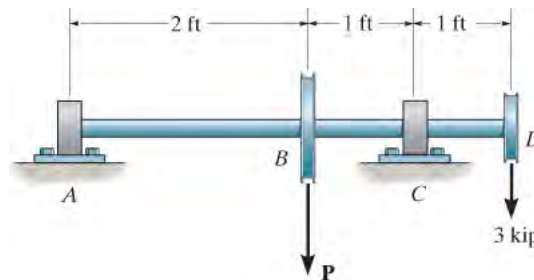
س 11-23 . تر ټولو لږ وزن سورور- فلنچ بيم له ضميمي B غوره کړی کوم چی په خوندي ډول بنودل شوی بار یو وریشی. د منلو وړ کزیدونکي سټریس $s_{allow} = 24 \text{ ksi}$ او د منلو وړ شیبیر سټریس $t_{allow} = 14 \text{ ksi}$ دی.



س 11-23

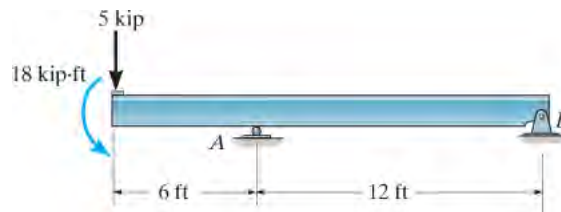
س 11-24* . د شافت شیبیر او مؤمنت ډایگرامونه جوړ کړي، او اړوند قطر تر نیږدی $1/8 \text{ in.}$ پوري، کله چی $s_{allow} = 30 \text{ ksi}$ او $t_{allow} = 15 \text{ ksi}$ وي، وټاکي. جورنال بیرینگ په A او C کی یوازی عمودی ریکشن په شافت جوړه وي. د $P = 6 \text{ kips}$ ارزښت راکړل شوی.

س 11-25 . د شافت شیبیر او مؤمنت ډایگرامونه جوړ کړي، او اړوند قطر تر نیږدی $1/4 \text{ in.}$ پوري، کله چی $s_{allow} = 30 \text{ ksi}$ او $t_{allow} = 15 \text{ ksi}$ وي، وټاکي. جورنال بیرینگ په A او C کی یوازی عمودی ریکشن په شافت جوړه وي. د $P = 12 \text{ kips}$ ارزښت راکړل شوی.



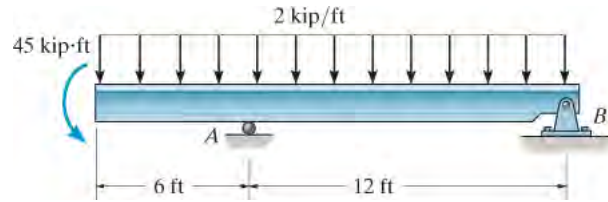
س 11-24/25

س 11-26 . تر ټولو د لږ وزن سورور- فلنچ بيم له ضميمي B غوره کوی کوم چی په خوندي ډول بنودل شوی بار یو وریشی. د منلو وړ کزیدونکي سټریس $s_{allow} = 22 \text{ ksi}$ او د منلو وړ شیبیر سټریس $t_{allow} = 12 \text{ ksi}$ دی.



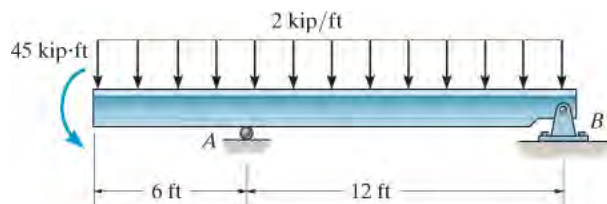
س 11-26

س 11-27 . شپير او مؤمنت ډايگرامونه د W14 X 22 سورورۍ - فلنج بيم لپاره جوړ کړي، او هم وښيي چې بيم کولاي شي په خوندي توگه بنودل شوي بار يوسي. د منلو وړ کړدورنکي ستريس $s_{allow} = 30 \text{ ksi}$ او د منلو وړ شپير ستريس $t_{allow} = 15 \text{ ksi}$ دي.



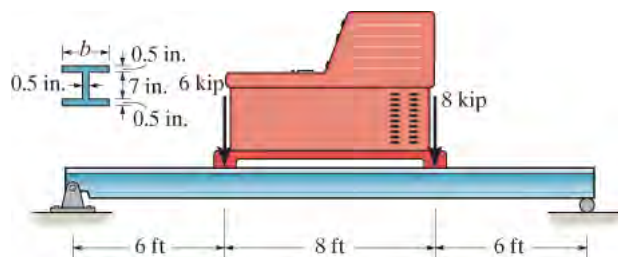
س 11-27

س 11-28* . هغه سپکه سوروره -فلنج W16 بيم له ضميمي B غوره کړي تر څو پلي شوی بار په خوندي توگه يووړی شي. د منلو وړ کوریدونکي ستريس د بيم $s_{allow} = 30 \text{ ksi}$ او د منلو وړ شپير ستريس يی $t_{allow} = 15 \text{ ksi}$ دي.



س 11-28

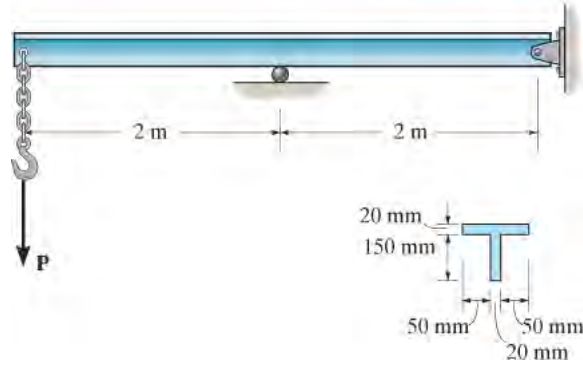
س 11-29 . دا لاندی بيم د يو ماشين لپاره اتکا جوړه وي، چې ماشين ورباندی 6 kips او 8 kips قواوی پلي کړي. که د منلو وړ کړيدونکي ستريس د بيم له $s_{allow} = 22 \text{ ksi}$ زیات نشی، د فلنجونو ضروری سور b وټاکي .



س 11-29

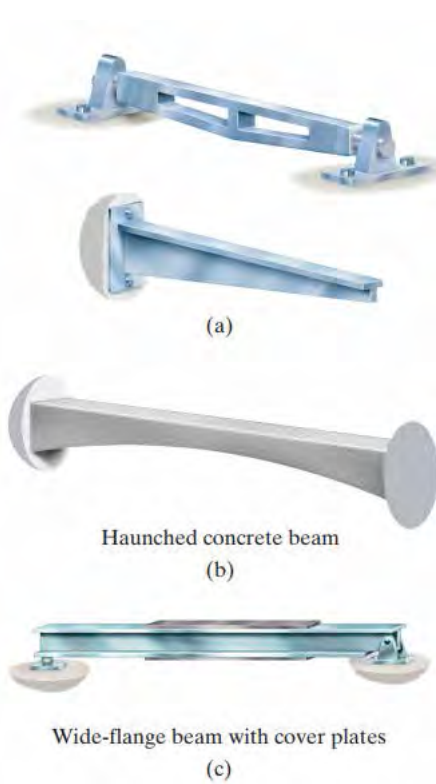
س 11-30 . د فولادی بیم د منلو وړ نارمل سټریس $s_{\text{allow}} = 140 \text{ MPa}$ او د منلو وړ شیبیر

سټریس $t_{\text{allow}} = 90 \text{ MPa}$ دي. اعظمی بار چی بیم په خوندي ډول وړلی شي وټاکي.



س 11-30

11.3* په بشپړ ډول سټریس شوي بيمونه (FULLY STRESSED BEAMS)



انځور 11-10

څرنگه چې په بيم کې مؤمنت عموماً د هغې په اوږدوالي کې توپیر لري، د پریزماتیک بيم انتخاب معمولاً ډیر موثر نه وي، ځکه چې بيم هیڅکله په بشپړ ډول سټریس شوی نه وي، په هغو برخو کې چې داخلي مؤمنت د اعظمي مؤمنت څخه کم وي. د دې لپاره چې په بشپړ ډول د موادو له توانايي څخه کار واخیستل شي او په دې توګه د بيم وزن کم شي، انجنیران ځینې وختونه د بيم دپاره د بدلیدونکي غوڅي برخي ساحه درلودل غوره کوي. پدې توګه بيم په هره غوڅه برخه کې د منلو وړ خپل اعظمي توان ته رسیري. هغه بيمونه چې بدلیدونکي غوڅي برخي ساحه ولری د غیر پریزماتیک بيم په نوم یادیري. دا ډول بيمونه ډیری وختونه په ماشینونو کې کارول کیري ځکه چې دوی کولی شي په آسانی سره د کست (casting) په طریقه جوړ شي. مثالونه یې په انځور 11-10a کې ښودل شوي. په جوړښتونو کې دا ډول بيمونه کیدی شي لکه څنګه چې په انځور 11-10b کې ښودل شوي د دوی په پایلونو کې پیروړ شوي وي. همدارنګه، بيمونه کیدی شي له نورو توتو جوړوی او یا په ورکشاپ کې د پلیټونو په کارولو سره جوړ شي.

یوه بیلګه د ګرډر جوړه ول دی چې د رول شوي سوروری فلینج بيم څخه، کوم چې د پوښ پلیټونه پری ویلډ شوي په هغه سیمه کې چې مؤمنت اعظمي وي، انځور 11-10c.

د غیر پریزماتیک بيم د سټریس تحلیل عموماً خورا ستونزمن دی، ترسره کول یې د دې متن له دایرې څخه بهر دي. که تپیر (taper) یا د بيم د پورتنۍ یا ښکته خواوی یی ډیری غیر تدریجی نه وی د بيم ډیزاین کیدای شي د کوروالي (Flexure) فورمول پر بنسټ وشي. کله چې د کوروالي فارمول پلي کول د نان پریزماتیک (non-prismatic) بيم ډیزاین لپاره وکارول شي بیا د احتیاط سپارښتنه کیري، مور به دلته وښیو چې دا فورمول څنګه کیدی شي د بيم عمومي شکل ترلاسه کولو لپاره د نږدې (تقریبی) وسیلو په توګه وکارول شي. د دې کولو لپاره، د بيم د غوڅي برخي ژوروالي ټاکل کیري له دې څخه

$$S = \frac{M}{\sigma_{allow}}$$

که موږ د بېم په اوږدو کې د x د موقعیت له مخې M وېنډو، بیا وروسته S_{allow} سټریس یو پیژندل شوی ثابت ارزښت دی، د برخې ما جولس S د بېم د x بعد په تابع بدلیږي. یو بېم چې په دې ډول ډیزاین شوی وي د بشپړ سټریس لرونکي بېم په نوم یادېږي. که څه هم دلته یوازې د مؤمنت سټریسونه په پام کې نیول شوي دي، د خپل وروستي شکل په اړه په پام کې نیولو سره، باید د شیبې توانایي ته پاملرنه وشي، د دې لپاره چې ډاډ تر لاسه شي چې بېم به د شیبې سره مقاومت وکړي، په ځانګړې توګه په هغه ځایونو کې چې متمرکز بارونه پلي کېږي.

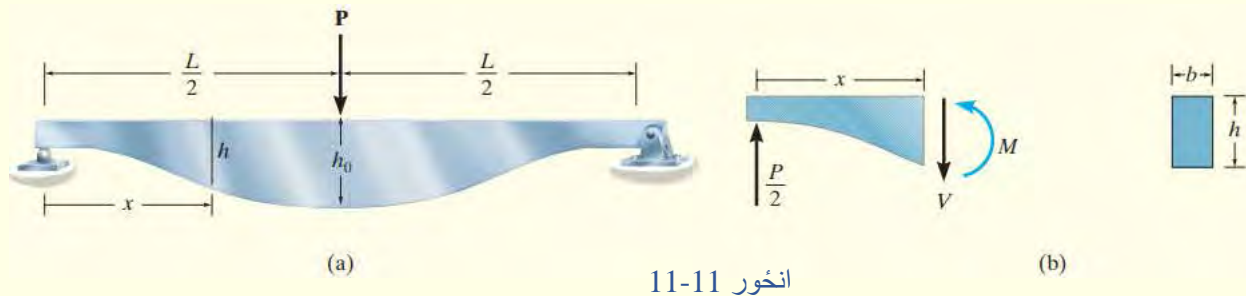


د دې پله د پایي لپاره بېم یو بدلیدونکی غوڅه برخه اومتغیرد ا نر شیبایي مؤمنت لري. دا ډیزاین به دموادو وزن او لګښت کم.

مثالونه

مثال 11.4

د بشپړ سټریس ، ساده اتکاء لرونکي بیم ، شکل مشخص کړئ کوم چې په خپل مرکز کې د یوه متمرکز بهرنی بار ملاتړ کوي، انځور 11-11a. دا بیم یو مستطیلی غوڅه برخه او ثابت عرض b لري، او د منلو وړ سټریس S_{allow} دی .



انځور 11-11

حل (SOLUTION)

داخلي مؤمنت په بیم کې انځور 11-11b، تابع د موقعیت $0 \leq x < L/2$ عبارت دی په

$$M = \frac{P}{2}x$$

له همدې امله د برخی ماجولس عبارت دی په

$$S = \frac{M}{\sigma_{allow}} = \frac{P}{2\sigma_{allow}}x$$

څرنګه چې $S = I/c$ بیا د غوڅی برخی ساحه $(b)(h)$ مور لرو

$$\frac{I}{c} = \frac{\frac{1}{12}bh^3}{h/2} = \frac{P}{2\sigma_{allow}}x$$

$$h^2 = \frac{3P}{\sigma_{allow}b}x$$

که چیرې $h = h_0$ او $x = L/2$ نو بیا لیکلی شو

$$h_0^2 = \frac{3PL}{2\sigma_{\text{allow}}b}$$

نویا

$$h^2 = \left(\frac{2h_0^2}{L}\right)x$$

Ans.

د کتنی په واسطه، ژوروالی h په پارابولیک ډول د فاصلې x سره تړاو لري.

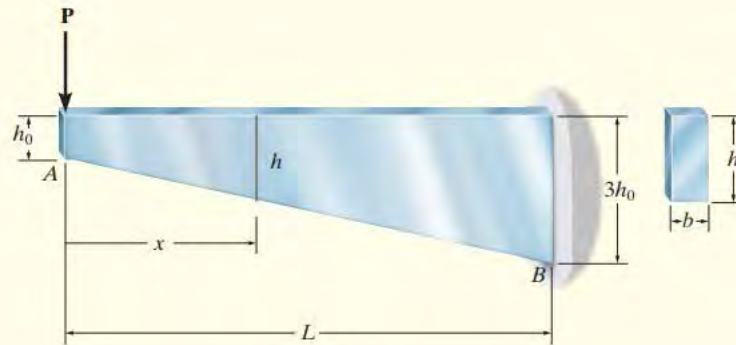
یادونه: په عمل کې، دا شکل د پانی فنر (leaf springs) د ډیزاین اساس دی، کوم چې د پای-آخر د اکسل د ډیری درنو لاریو یا ریل گاډیو، څنگه چې په انځور کې ښودل شوي، ملاتړ لپاره کارول کېږي. په یاد ولری چې که څه هم دا پایله دا په گوته کوي $h = 0$ په $x = 0$ کې، دا اړینه ده چې بیم د شپیر ستریس سره په اتکا کې مقاومت وکړي ملاتړ کوي، او په عملي توګه خبرې کول، دا باید اړین دی چې $h > 0$ تر څو د شپیر ملاتړ وکړی شی، انځور 11-11a کې ښودل شوي.



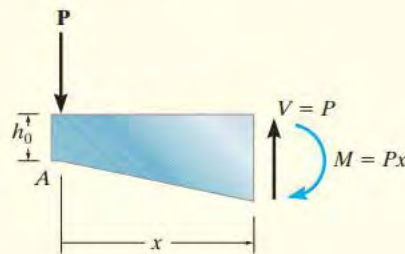
مثال 11.5

کنټلیور بیم چې په انځور 11-12a کې ښودل شوی، په ذوزنقه یي (trapezoidal) شکل جوړ شوی، په ټکی A کې h_0 ژوروالی لري او په B کې یې ژوروالی یی $3h_0$ دي. که چیرې دا د بار

P ملاتړ وکړي د بيم په پای کې مطلق اعظمي نارمل سټريس وټاکي. بيم د ثابت پلنوالي b مستطیلی غوڅه برخه لري.



(a)



(b)

انځور 11-12

حل (SOLUTION)

په هره غوڅه برخه کې، اعظمي نارمل سټريس په پورتنۍ برخه او د بيم لانديني سطحه کې پېښېږي. ځکه چې $s_{\max} = M/S$ او د برخې ماجولس S د x په زياتوالي سره زياتېږي، بيا مطلق اعظمي نارمل سټريس به اړين نه وي چې په ديوال B کې واقع شي، چيرې چې مؤمنت هلته اعظمي دي. د کوروالي فورمول په کارولو سره، مور کولی شو اعظمي نارمل سټريس په خپل سري برخه کې، د x د موقعيت له مخې څرگند کړو، انځور 11-12b. دلته داخلي مؤمنت $M = Px$ دی، او ځکه چې د بيم لانديني برخې ميلان $2h_0/L$ ، انځور 11-2a، د بيم ژوروالی په موقعيت x دی

$$h = \frac{2h_0}{L}x + h_0 = \frac{h_0}{L}(2x + L)$$

د کوروالي فورمول تطبیق کوو او لرو

$$\sigma = \frac{Mc}{I} = \frac{Px(h/2)}{\left(\frac{1}{12}bh^3\right)} = \frac{6PL^2x}{bh_0^2(2x+L)^2} \quad (1)$$

د x موقعیت ټاکلو لپاره چیرې چې د کوروالي مطلق اعظمي حد ستړیس واقع کیري، مور باید د s مشتق د x په اړه واخلو او د صفر سره مساوي یې تنظیم کړو. دا ورکوي

$$\frac{d\sigma}{dx} = \left(\frac{6PL^2}{bh_0^2}\right) \frac{1(2x+L)^2 - x(2)(2x+L)(2)}{(2x+L)^4} = 0$$

په دی توگه

$$4x^2 + 4xL + L^2 - 8x^2 - 4xL = 0$$

$$L^2 - 4x^2 = 0$$

$$x = \frac{1}{2}L$$

په معادله 1 کی دا x پر x چاپ کوو او دا لاندي په لاس راځي

$$\sigma_{\max}^{\text{abs}} = \frac{3}{4} \frac{PL}{bh_0^2} \quad \text{Ans.}$$

په پرتله کولو سره په دیوال B کی اعظمی نارمل ستړیس عبارت دی په

$$(\sigma_{\max})_B = \frac{Mc}{I} = \frac{PL(1.5h_0)}{\left[\frac{1}{12}b(3h_0)^3\right]} = \frac{2}{3} \frac{PL}{bh_0^2}$$

دا 11.1% له $\sigma_{\max}^{\text{abs}}$ لږ دي.

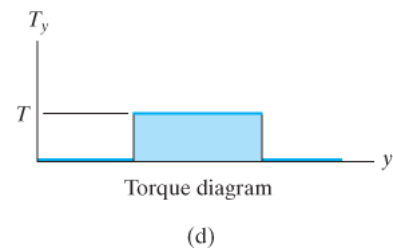
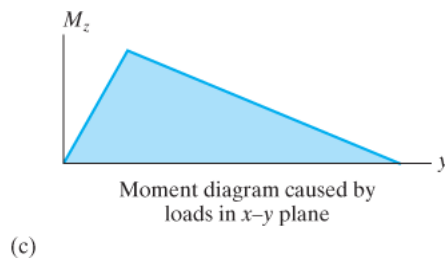
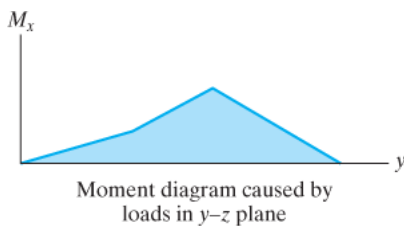
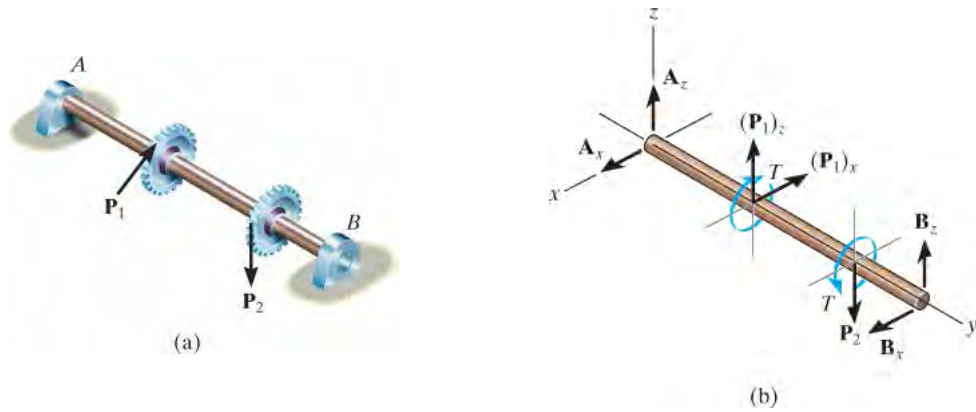
یادونه: په یاد ولری چې د کوروالي فورمول اخیستل شوی، په اساس د فرض کولو چې بیم پریزماتیک وي. ځکه چې دا دلته همدغه قضیه نه ده، په دې تحلیل کې او په مثال 11.4 کې ځینې د تېروتنې تمه کېږي. یو دقیق ریاضیاتي تحلیل، د ایلسټیستي تیوري په کارولو سره، دا څرگندوي چې د کوروالي فورمول په پلي کولو لکه په پورته مثال کې کوچنی تېروتنه د کوروالي سټریس لري که چیرې مخروطي زاویه یې کوچني وی. د مثال په توګه، که چیرې دا زاویه 15 درجې وي، محاسبه شوي سټریس د فورمول په کارولو سره به د هغه څخه 5٪ ډیر وي چې د ډیر دقیق محاسبه لخوا کېږي. دا هم د یادولو وړ ده چې تحلیل د $(S_{max})_B$ محاسبه یوازې د مثالي موخو لپاره وه، ځکه چې د سینټ ویننټ (Saint-Venant's) اصولو له مخې، اصلي سټریس په اتکاء (دیوال) کې ویش یې خورا غیر منظم دی.

11.4* د شافت ډیزاین (SHAFT DESIGN)

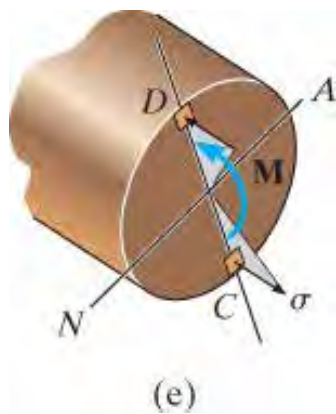
هغه شافتونه چې گردی غوڅی برخې لري ډیری وختونه په میخانیکي سامانو او ماشینونو کې کارول کېږي. د پایلې په توګه، دوی به د سایکل یا پرله پسې د سټریا سټریسونو تابع شي، کوم چې په ګډه د کوروالي مؤمنت او تاویدونکي مؤمنت (torsion) له امله رامینځته کېږي، او شافتونه باید دا ډول بارونو ولیردوی او توان یې ولری. د دې بارونو سربیره، ممکن په شافت کې د سټریس غلظت (stress concentration) چې د غوڅی برخې د ناڅاپه بدلون له امله (برخه 5.8) مینځ ته راځي مخامخ شي. نو دا اړینه ده چې د شافت په سمه توګه ډیزاین کولو لپاره، دا ټولې اغیزې په پام کې ونیول شي.

پدې برخه کې به مور به د هغه د شافتونو ډیزاین په پام کې ونیسو کوم چې د قوی په لیردولو کې کارول کېږي. دا شافتونه ډیری وختونه د نښلول شویو ګیرونو او غرغریو (pulleys) په واسطه د پلي شویو بارونو تابع دي، لکه څنګه چې په انځور 11-13a کې ښودل شوي. څرنګه چې بارونه په مختلف زاویو کې په شافت پلي کېدی شي، په هره غوڅه برخه کې داخلي کوروالي (bending) او تاویدل (Torsion) په آساني سره ټاکل کېدی شي کله چې ددی بارونو په عوض ستاتیکلی ثابت بارونه په شافت ځای په ځای شي، او بیا دا بارونه په دوو عمودی سطحو پلي شي لکه کوم چې په انځور 11-13b کې ښودل شوي. د کوروالي مؤمنت ډیاګرام بیا په هره سطحه کې رسم کېدی شي، او پایله محصله د داخلي مؤمنت د شافت په هره برخه کې بیا د ویکتور (vector) یو ځای کېدو لخوا ټاکل کېدیشي، $M = \sqrt{M_x^2 + M_z^2}$ ، انځور 11-13c و ویني. د دې مؤمنت سربیره، د شافت برخې هم ممکن د مختلف داخلي تاویدونکي مؤمنت (torque) تابع وي، انځور 11-13b د

شافت په اوږدو کې د دې تورک عمومي توپیر حساب کولو لپاره د تاویدونکي مؤمنت (تورک) ډیاگرام هم کیدی شي چې جوړ شي، انځور 11-13d .

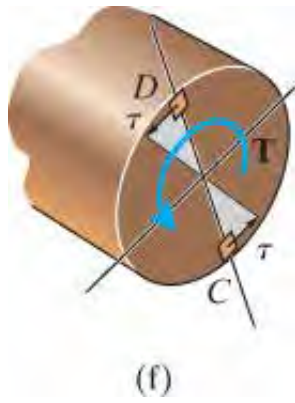


انځور 11-13



یوځل چې د مؤمنت او تورک ډیاگرامونه جوړ شي ، نو دا بیا ممکنه ده چې د شافت په اوږدو کې ځینې مهمې برخې وپلټئ ، چېرې چې د پایله لرونکي مؤمنت M او د تورک T ترکیب د ستیریس مهم حالت رامینځته کوي. ځکه چې د گرد شافت انرشیایي مؤمنت په اړه دهر قطری محور یو شان ده مور کولی شو د کوروالي فورمول په پلي کولو سره پایله اعظمي ستیریس د محصله مؤمنت له امله ترلاسه کړو. د مثال په توگه، لکه هغه چې په انځور 11-13e کې ښودل شوي، دا ستیریس به په دوو عناصرو، C او D کې واقع شي، کوم چې د شافت په بهرنی سرحد کې موقعیت لري. که یو تورک T هم په دې برخه کې پلي شوي وي، بیا به په دې باندې اعظمي شیبیر

ستیریس هم رامینځته شي انځور 11-13f . برسیره پر دې او ددې ترڅنګ بهرنی قواوی به هم



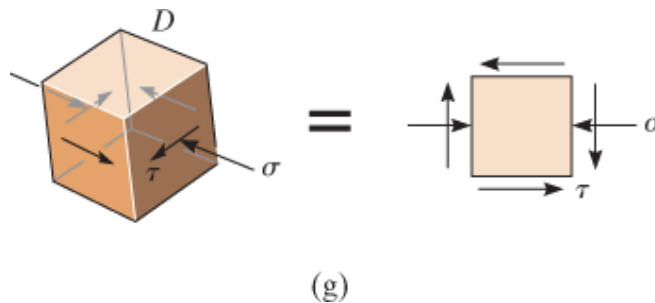
شپير سټرييس په دې عناصرو د شافت جوړه وي، او هغه په شافت کې په دې فورمول ټاکل کېدې شي $t = VQ/It$. په هر صورت، دا سټرييس به په عمومي توګه په غوڅه برخه کې د سټرييس ویش کې خورا کوچني مرسته وکړي، د هغه په پرتله چې د مؤمنت او تورشن لخوا رامینځته شي. په ځينو مواردو کې، دا باید وڅېړل شي، مګر د سادګي لپاره، مور به دلته د هغې اغيزې له پامه غورځوو. په عمومي توګه، بيا په شافت کې مهم عنصر C يا (D) تابع د سطحی سټرييس لکه څنګه چې په انځور 11-13g کې بنودل شوي، چيرته

انځور 11-13 (تکرار)

$$\sigma = \frac{Mc}{I} \quad \text{and} \quad \tau = \frac{Tc}{J}$$

که د موادو لپاره د منلو وړ نارمل يا شپير سټرييس معلوم وي، د د شافت اندازه بيا د دې معادلو په کارولو او پراساس د ناکامی مناسبه تيوري په انتخاب ده. د مثال په توګه، که مواد نرم وي، بيا د اعظمي شپير سټرييس تيوري ممکن مناسبه وي. لکه څنګه چې په برخه 10.7 کې ويل شوي دا تيوري د منلو وړ شپير سټرييس ته اړتيا لري، کوم چې دې د ساده کششي ازموينې پایلو څخه ټاکل کېږي، او هغه د اعظمي شپير سټرييس د مساوي کيدو په عنصر کې ده. د سټرييس بدلون معادلی په کارول معادله 7-9 د سټرييس حالت لپاره په انځور 11-13g کې مور ترلاسه کوو

$$\begin{aligned} \tau_{\text{allow}} &= \sqrt{\left(\frac{\sigma}{2}\right)^2 + \tau^2} \\ &= \sqrt{\left(\frac{Mc}{2I}\right)^2 + \left(\frac{Tc}{J}\right)^2} \end{aligned}$$



انځور 11-13 (تکرار)

خکه چی $I = pc^4/4$ او $J = pc^4/2$ دا معادله بیا کیري

$$\tau_{\text{allow}} = \frac{2}{\pi c^3} \sqrt{M^2 + T^2}$$

کله چی د شافت د شعاع لپاره دا حل کرو، شعاع په دی لاندی ډول پیدا کیري

$$c = \left(\frac{2}{\pi \tau_{\text{allow}}} \sqrt{M^2 + T^2} \right)^{1/3} \quad (11-2)$$

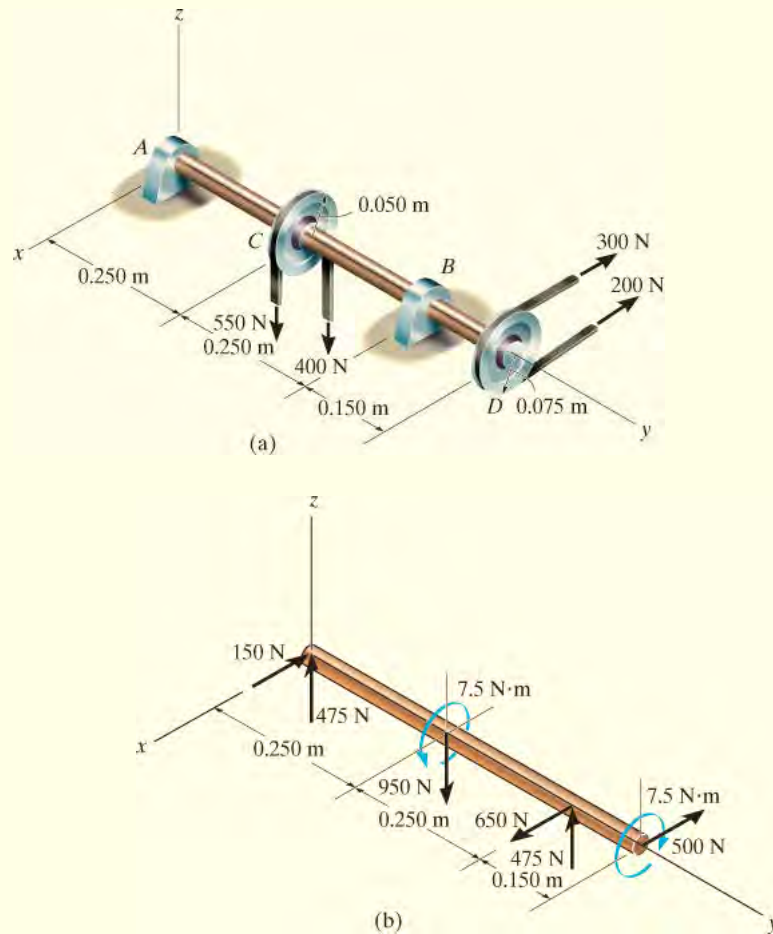
د ناکامی د کومی بلې تیوری پلي کول به یقینا د دي لامل شي چی د c ارزښت ټاکلو لپاره مختلف فورمول وکارول شي. په هر صورت، په ټولو قضیو کی دا ممکن اړین وي چی دا پایله د شافت په اوردو کی په مختلفو "مهمو برخو" کی پلي کړی، تر څو د M او T ځانگړی ترکیب وټاکي کوم چی لوی ارزښت د c ورکړي .

دالاندی مثال په عددي شکل کړنلاره روښانه کوي

مثال

مثال 11.6

دا لاندی شافت، انخوړ 1-14a، دوی د جورنل بیرینگ اتکاوی په A او B کی لری. شافت ته د قوی د لیږدولو له امله د غرغری تسمی په لاندی بنودل شوی کششی حالت کی دي. د شافت تر ټولو کوچني قطر د اعظمی شیپر سټریس تیوري په کارولو سره و ټاکی. د منلو وړ شیپر سټریس عبارت دی په $t_{allow} = 50 \text{ MPa}$.



انخوړ 11-14

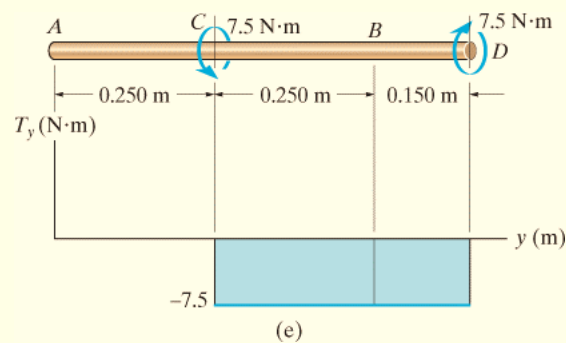
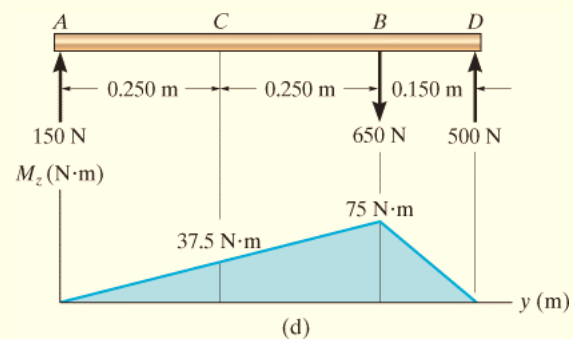
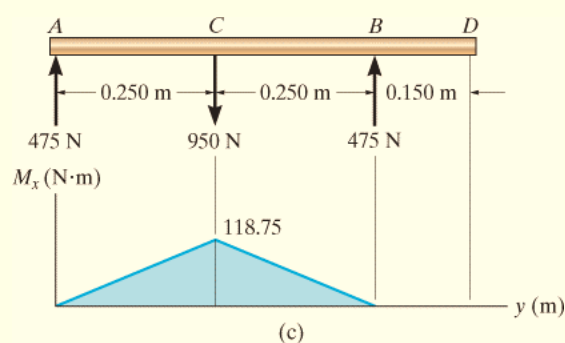
حل (SOLUTION)

د اټکاوو ریکشنونه محاسبه شوی او هغوی په انځور 11-14b کی بنودل شوي. د کړیدو مؤمنتونه M_x او M_z په انځور 11-14c او 11-14d کی بنودل شوي دي. د تورک ډایگرام په انځور 11-14e کی بنودل شوي دي. په کتوسره، مهمي نقطې د کړیدو مؤمنت په C او B کی دي. او هم ، فقط په بني اړخ د C او په B کی د تورک ارزښت $7.5 \text{ N}\cdot\text{m}$ دي. په C کی پایله د مؤمنت عبارت دی په

$$M_C = \sqrt{(118.75 \text{ N}\cdot\text{m})^2 + (37.5 \text{ N}\cdot\text{m})^2} = 124.5 \text{ N}\cdot\text{m}$$

په داسي حال کی چی په B کی دا کوچني دی، يعني

$$M_B = 75 \text{ N}\cdot\text{m}$$



انځور 11-14 (تکرار)

څرنګه چې ډیزاین په اساس د اعظمی شیبیر سټریس تیوری دی، معادله 11-2 پلي کيږي.
د رادیکل $\sqrt{M^2 + T^2}$ ارزښت به په بني لور د C کی تر ټولو لوي وي. مور لرو

$$c = \left(\frac{2}{\pi \tau_{\text{allow}}} \sqrt{M^2 + T^2} \right)^{1/3}$$

$$= \left(\frac{2}{\pi (50)(10^6) \text{ N/m}^2} \sqrt{(124.5 \text{ N}\cdot\text{m})^2 + (7.5 \text{ N}\cdot\text{m})^2} \right)^{1/3}$$

$$= 0.0117 \text{ m}$$

په دی توګه تر ټولو کوچني د منلو وړ قطر عبارت دی په

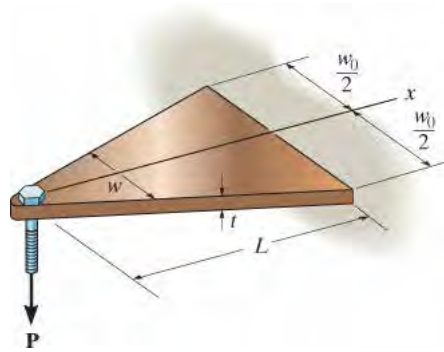
$$d = 2(0.0117 \text{ m}) = 23.3 \text{ mm}$$

Ans.

سوالونه

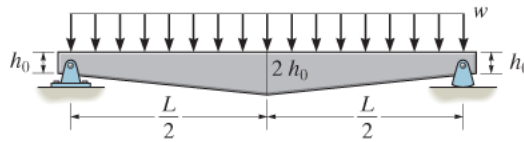
PROBLEMS

س 11-31. د دی لاندی کنټیلیور بیم کی، د بیم د سور توپیر w تابع د x دی، کله چی یو متمرکز بار P د بیم په پای کې پلي شوي. بار داسی مشخص کړئ کوم چی بیم اعظمی کیریدونکی سټریس S_{allow} په خپل اوږدوکی ولري. بیم ثابت ضخامت t لري.



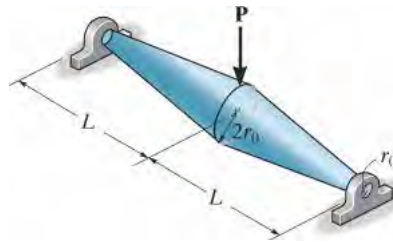
س 11-31

س 11-32* په د لاندې بدلیدونکی لوړوالی بیم مساوی ویشل شوی بار پلي شوي. که چیری دا بیم له یوه تختی جوړ شوي وي چی ثابت پنډ والی b ولري، مطلق اعظمی کیریدونکی ستریس په بیم کی وټاکي.



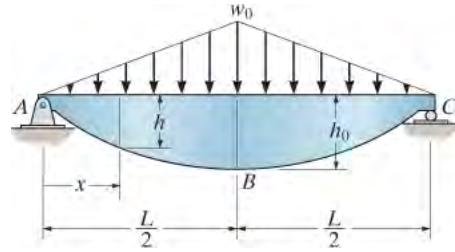
س 11-32

س 11-33. په مخروطي بیم متمرکز قوه P پلي شوي. مطلق اعظمی کیریدونکی ستریس په بیم کی وټاکي. ریکشنونه په اتکا کی عمودي دي.



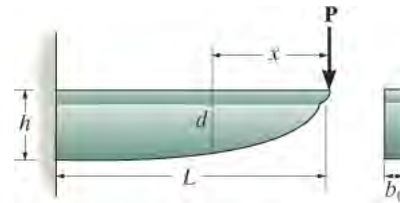
س 11-33

س 11-34. بیم له یوی تختی چی ثابت پنډوالی b لري جوړه شوي. که چیری دا بیم ساده اتکاوی ولری او ویشل شوی بار ورباندی پلی شوي وي، توپیر په ژوروالی h تابع د x داسی مشخص کړي کوم چی اعظمی کیریدونکی ستریس حد s_{allow} په خپل اوږدوکی ولري.



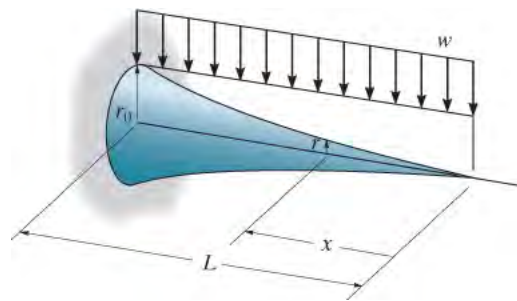
س 11-34

س 11-35. په دی لاندی کنٹیلور بیم کی، توپیر په ژوروالي d کی کله چی یو متمرکز بار P په پای د بیم کی پلي شوي، داسی مشخص کړی کوم چی اعظمی کیریدونکی ستریس حد S_{allow} په خپل اوردوکی ولري. بیم ثابت پنډوالی b_0 لري .



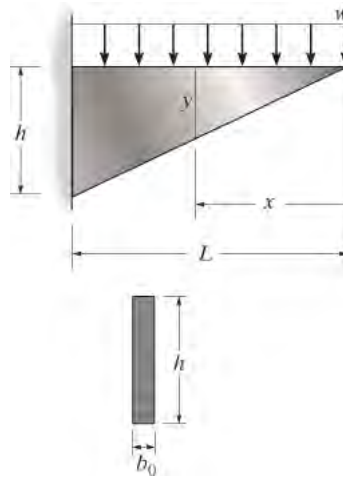
س 11-35

س *11-36. په دی لاندی کنٹیلور بیم کی، توپیر د شعاع r کی کله چی یو ویشل شوی بار په بیم پلي شوي، داسی مشخص کړی کوم چی اعظمی کیریدونکی ستریس حد S_{max} په خپل اوردوکی ولري.



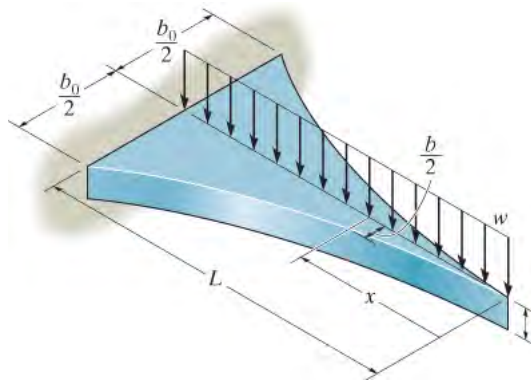
س 11-36

س 11-37. په بدلیدونکی لوړوالی بیم ویشل شوی بار w پلي شوي. که چیری بیم له یوی تختی چی ثابت پنډوالی b_0 لري جوړ شوي، اعظمی کیریدونکی ستریس په بیم کی وټاکي.



س 11-37

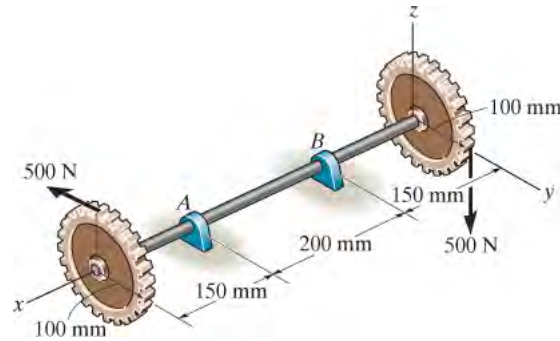
س 11-38. د دی لاندی کنټیلیور بیم لپاره ، توپیر په سور b کی تابع د x دی کله چی یو مساوی ویشل شوی بار ورباندی پلي شوي دی، د بیم سور داسی مشخص کړئ کوم چی اعظمی کیریدونکی ستریس حد S_{allow} په خپل اوږدوکی ولري. بیم ثابت ژوروالي t لري .



س 11-38

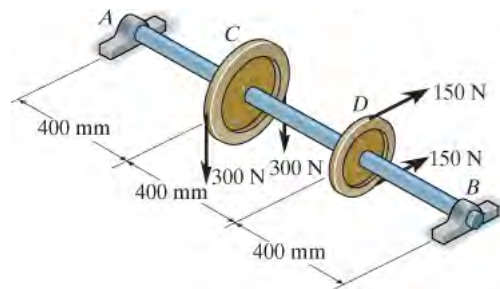
س 11-39. د یوه تیوبی شافت داخلي قطر 15 mm دي. نږدی ملی متر ته لږ تر لږ بهرنی قطر وټاکي کله چی بنودل شوي د گیر بارونه ورباندی عمل کړي وي. بیرینگ په A او B کی د قواو اجزای په y او z جهتونو په شافت جوړه وی. د منلو وړ شیبیر ستریس $t_{allow} = 70 \text{ MPa}$ او ډیزاین د اعظمی شیبیر ستریس ناکامي تیوري په اساس دي.

س 11-40* نږدی ملی متر ته لږ تر لږ قطر د یو جامد شافت وټاکي کله چی د گیر بارونه ورباندی عمل کړي وي. بیرینگ په A او B کی د قواو اجزای په y او z جهتونو په شافت جوړه وی. دیزاین د اعظمی تحریف (distortion) انرژي ناکامي تیوري په اساس دي. $S_{allow} = 150$ MPa



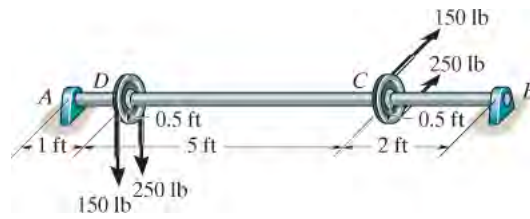
س 11-39/40

س 11-41. دا لاندی د 50 mm قطر شافت اتکالری په جوړنل بیرینگ A او B کی. که چیری غرغری په C او D کی بنودل شوي بارونه ولري، مطلق اعظمی کیریډونکی سټریس په شافت کی مشخص کړي.



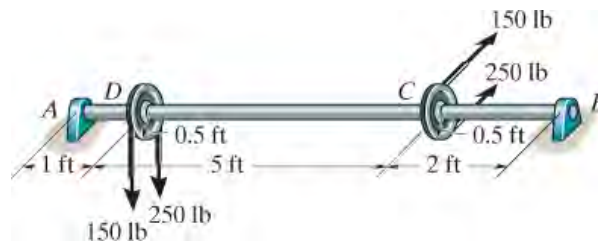
س 11-41

س 11-42. په دی لاندی شافت بنودل شوی غرغری کلک ټرل شوي دي. که چیری جوړنل بیرینگونه په A او B کی تنها افقي او عمودي قواوي جوړه وی، اړوند قطر د شافت تر $1/8$ in. انچ پوری مشخص کړي، له اعظمی شیبیر سټری ناکامي تیوري څخه کار واخلي، $t_{allow} = 12$ ksi.



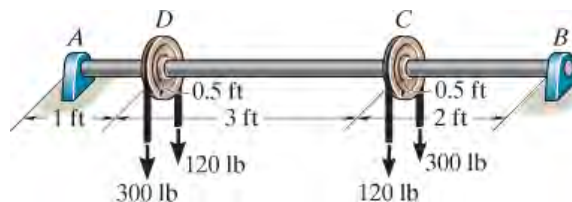
س 11-42

س 11-43. په دی لاندی شافت بنودل شوی غرغری کلک تړل شوي دي. که چیری جورنل بیرینگونه په A او B کی تنها افقي او عمودي قواوي جوړی کړی، اړوند قطر د شافت تر $1/8$ in. انچ پوری مشخص کړي، له اعظمی تحریف (distortion) انرژي د ناکامي تیوری څخه کار واخلي، $s_{allow} = 20 \text{ ksi}$.



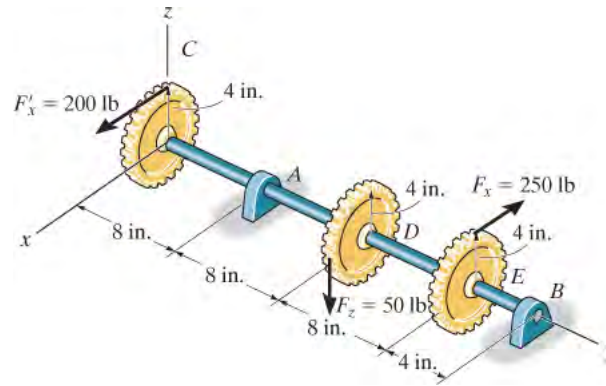
س 11-43

س 11-44*. دوه غرغری په شافت کلک تړل شوي دي او بنودل شوي بارونه لری. که چیری جورنل بیرینگونه په A او B کی تنها افقي او عمودي قواوي په شافت جوړی کړی، اړوند قطر د شافت تر $1/8$ in. انچ پوری مشخص کړي، له اعظمی تحریف (distortion) انرژي د ناکامي تیوری څخه کار واخلي، $s_{allow} = 67 \text{ ksi}$.



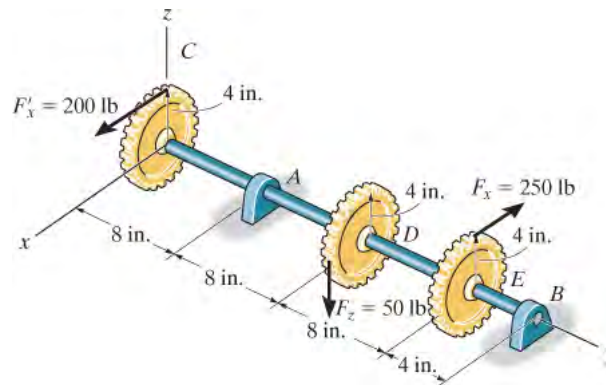
س 11-44

س 11-45. دا لاندی شافت اتکالری په جورنال بیرینگ A او B ، او د قواو اجزاوی په y او z جهتونو په شافت عمل کوی. که چیری د منلو وړ ستریس $s_{\text{allow}} = 15 \text{ ksi}$ وی، لږ تر لږ قطر د شافت ترنیردی $1/8 \text{ in.}$ انچ پوری مشخص کړي. له اعظمی تحریف (distortion) انرژي د ناکامي تیوری څخه کار واخلي.



س 11-45


س 11-46. دا لاندی شافت اتکالری په جورنال بیرینگ A او B ، او د قواو اجزاوی په y او z جهتونو په شافت عمل کوی. لږ تر لږ قطر د شافت نیردی $1/8 \text{ in.}$ انچ پوری مشخص کړي. له اعظمی شپیر ستریس $t_{\text{allow}} = 6 \text{ ksi}$ ناکامي تیوری څخه کار واخلي.

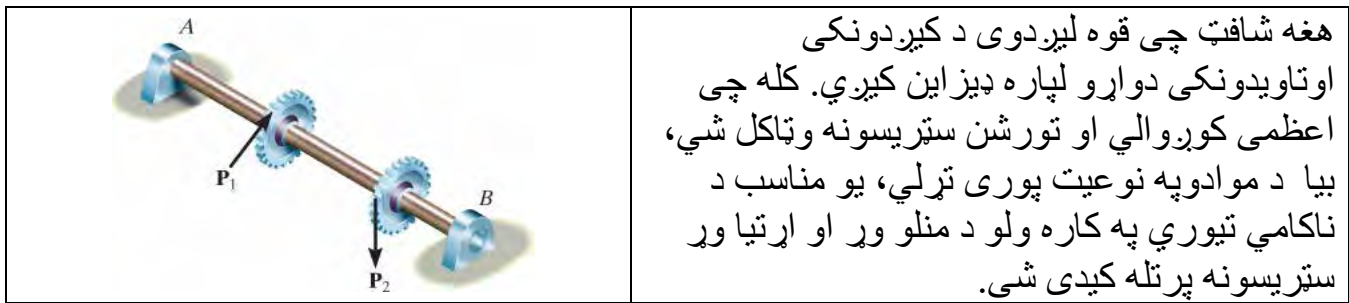


س 11-46

د فصل بیا کتنه

CHAPTER REVIEW

	<p>د بیم ناکامي هغه وخت واقع کيږي کله چې داخلي شیبیر یا مؤمنت په بیم کې اعظمي شي. د بارونو مقاومت کولو لپاره دا مهمه ده چې د اعظمي شیبیر او مؤمنت سټریس د منلو وړ ارزښتونو کوم چې په کوډونو کې ویل شوي ډیر نه شي. په نارمل ډول، لومړی د بیم غوڅه برخه د منلو وړ ډکریډونکی سټریس د مقاومت لپاره ډیزاین کيږي.</p> $\sigma_{\text{allow}} = \frac{M_{\text{max}}c}{I}$
	<p>بیا د منلو وړ شیبیر سټریس چک کړي. د مستطیلی برخې لپاره $t_{\text{allow}} = > 1.5(V_{\text{max}}/A)$ ، او د سوروری فلنج برخې لپاره مناسب ده چې $t_{\text{allow}} = > V_{\text{max}}/A_{\text{web}}$. په عمومي توګه، له دی معادلی کار واخلي</p> $\tau_{\text{allow}} = \frac{V_{\text{max}}Q}{It}$
	<p>د جوړ شویو (built-up) بیمونو لپاره د بندونکیو فاصلې یا د سرینس مقاومت او یا ولډینګ د منلو وړ شیبیر جریان څخه کار واخلي</p> $q_{\text{allow}} = VQ/I$
	<p>بشپړ سټریس شوی بیمونه پر اسماتیګ ندي (nonpragmatic) ، او داسی ډیزاین کيږی چې کیرډونکي سټریس په هره غوڅه برخه کې د بیم په اوږدوالي کې مساوی په د منلو وړ کږیډونکي سټریس وي. دا حالت به د بیم شکل تعریف کړي.</p>

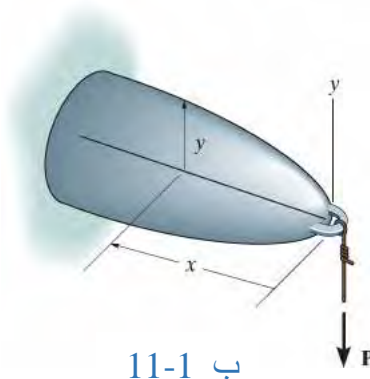


هغه شافت چي قوه ليردوي د کيردونکي او تاويدونکي دواړو لپاره ډيزاين کيږي. کله چي اعظمي کوروالي او تورشن سټريسونه وټاکل شي، بيا د موادوپه نوعيت پوري تړلي، يو مناسب د ناکامي تيوري په کاره ولو د منلو وړ او اړتيا وړ سټريسونه پرتله کيدی شي.

د بيا کتنی سوالونه

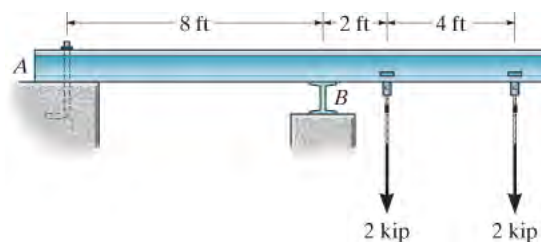
REVIEW PROBLEMS

ب 11-1. کنتیلوربیم گردی غوڅه برخه لري. که چیری د بیم په پای کی یو قوه P پلی شي، شعای y تابع د x داسی وټاکي تر څو ثابت اعظمی کړیدونکی سټریس S_{allow} په اوږدو د بیم کی جوړ شي.



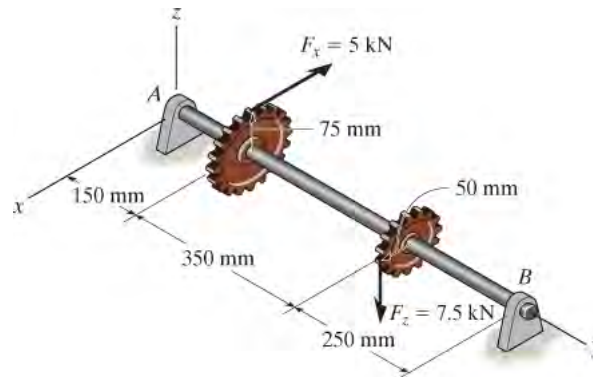
ب 11-1

ب 11-2. تر ټولو د لږ وزن یوه دسورور فلنج وتلی برخي (overhanging) بیم له ضمیمي B چی وکولای شی د بنودل شوی بار مقاومت وکړي انتخاب کړي. فرض کړي چی اتکاء په A کی پن او په B کی رولر دي. د منلو وړ کړیدونکي سټریس $S_{allow} = 24 \text{ ksi}$ او د منلو وړ د شیبیر سټریس $t_{allow} = 14 \text{ ksi}$ دي.



ب 11-2

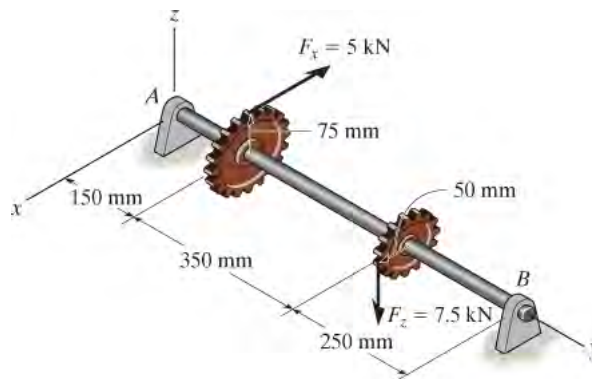
ب 11-3. جورنال بیرینګ A او B کی د قواو اجزای په y او z جهتونو په شافت کی جوړه وی. د شافت قطر، نږدی ملی متر ته، داسې وتاکي کوم چی پلی شوي بارونه د منلو وړ شپیر ستریس $t_{\text{allow}} = 80 \text{ MPa}$ څخه زیات شپیر ستریس جوړ نکړي. د اعظمی شپیر ستریس د ناکامي تیوري و کاروي.



ب 11-3

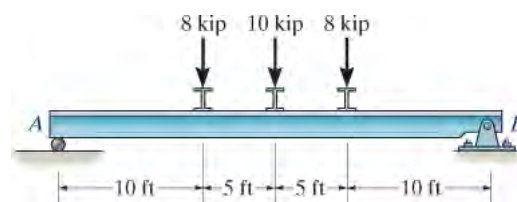
ب* 11-4. جورنال بیرینګ په A او B کی د قواو اجزای په y او z جهتونو په شافت کی جوړه وی. د شافت قطر، نږدی ملی متر ته، داسې وتاکي کوم چی د پلی شوي بارونو مقاومت وکړي. له اعظمی د تحریف (distortion) انرژي د ناکامي تیوري څخه کار واخلي،

$$s_{\text{allow}} = 200 \text{ MPa}$$



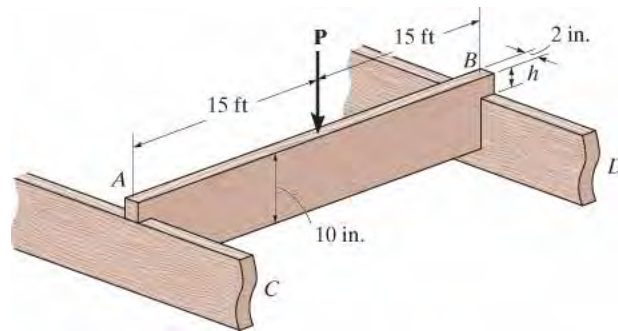
ب 11-4

ب 11-5. تر ټولو د لږ وزن یوه سوروره -فلنج بیم له ضمیمې B چی وکولای شی د بنودل شوی بار مقاومت وکړي انتخاب کړي. د منلو وړ کږیدونکي ستریس $s_{\text{allow}} = 22 \text{ ksi}$ او د منلو وړ د شپیر ستریس $t_{\text{allow}} = 22 \text{ ksi}$ دي.



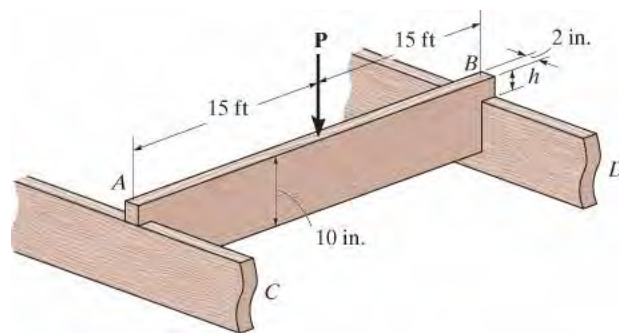
ب 11-5

ب 11-6. په ودانې کې له ساده اتکاء جايست (joist) د پور د جوړه ولو له پارې اخيستل شوي. ددی لپاره چې پور نسبت سرطاق (sill beam) C او D ته تيبت وساتل شي، د جويستونو پای غوڅ (notch) شوي، په لاندې انځور کې يې وگورئ. که چيری د منلو وړ شيبير ستيريس t $s_{allow} = 1500 \text{ psi}$ وي، لور والي h داسی و ټاکي کله چې دواړه د منلو وړ ستسر سونه په يو وخت کې جوړ شي. همدارنگه معلوم کړی چې کوم بار P به دا جوړ کړي. د ستيريس غلظت په غوڅه حصه کې په پام کې مه نيسي.



ب 11-6

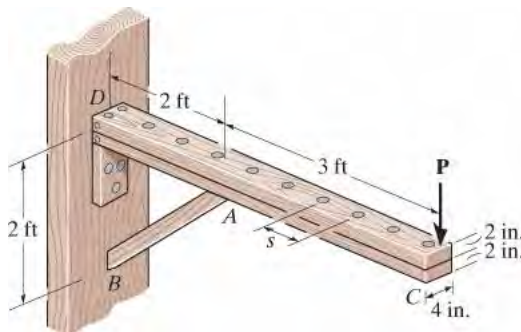
ب 11-7. په ودانې کې له ساده اتکاء جايست (joist) د پور د جوړه ولو له پارې اخيستل شوي. ددی لپاره چې پور نسبت سرطاق (sill beam) C او D ته تيبت وساتل شي، د جايستونو پای لږ غوڅ (notch) شوي، په لاندې انځور کې يې وگورئ. که چيری د منلو وړ شيبير ستيريس $t_{allow} = 350 \text{ psi}$ او د منلو وړ کږيدونکي ستيريس $s_{allow} = 1700 \text{ psi}$ وي، تر ټولو وړوکی لور والي h داسی و ټاکي تر څو پلي شوی بار $P = 600 \text{ lb}$ تحمل کړي. همدارنگه معلوم کړی چې ټول جايستونه دا بار په خوندي بڼه وړليشي. د ستيريس غلظت په غوڅه حصه کې په پام کې مه نيسي.



ب 11-6

ب* 11-8. دا وتلی بيم له دوو تختو 2 in. په 4-in جوړ شوي. که چيری د منلو وړ کږيدونکي ستيريس $s_{allow} = 600 \text{ psi}$ وي، تر ټولو لوی بار P چې کيدی شي پلي شي و ټاکي. همدا رنگه د

بندونکیو اعظمی فاصله s ، په اوږدو د بیم په برخه AC کی کله چی دهر میخ د منلو وړ توان د شپیر قوی په ارزښت د 800 lb وي، وټاکي. فرض کړی چی بیم په A, B او D کی پښ شوي. محوری قوه په بیم کی په اوږدو د DA په پام کی مه نیسي.



ب 11-6

دولسم فصل

(CHAPTER 12)



(© Michael Blann/Getty Images)

که چیری انحنای خادی اندازه شی، دا ممکنه ده هغه کزیدونکی
ستر سونه چی په خاده کی جوړ شوي و موندل شي.

د بيمونو او شافتونو بيخايه كيدل

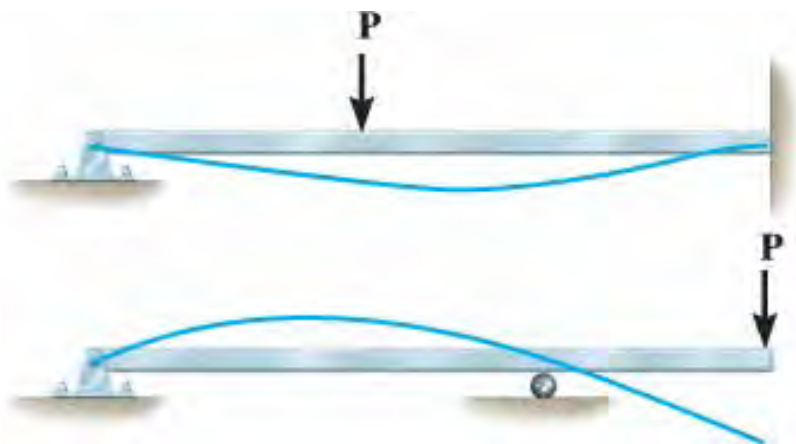
DEFLECTION OF BEAMS AND SHAFTS

د فصل موخي CHAPTER OBJECTIVES

په دې فصل کې به مور د بيخايه كيدنې (deflection) او ميلان (slope) ټاكلو، د بيمونو او شافتونو په اړه په مختلفو طريقو بحث وكړو. په تحليلي طريقو د انټيگرېشن طريقه، د نادوامه توابع (discontinuity functions)، او د سوپرپوزېشن طريقو كارول شامل دي. همدارنگه، يوه نيمه گرافيك تخنيك چې د مؤمنت د ساحې طريقې په نوم ياديږي، وړاندې به شي. د فصل په پاى كې، به مور دا طريقې د بيم او شافت چې ستاتيكلې نامعلوم ريكشنونه ولري د هغوي د حل لپاره وكاروو تر څو ريكشنونه په دا ډول بيمونو يا شافتونو كې وموندل شي.

12.1 ایلستیک منحنی (THE ELASTIC CURVE)

د بیم یا شافت بیخایه کیدل باید ډیری وختونه د جورښت د ثبات لپاره محدود وي، په بیمونو کی په هغو ماتیدونکیو موادو کی چی پر بیم تړلی وی لکه پلاستر یا کانکریت، د درخ مخه و نیول شي . تر ټولو مهمه، که چیرې بیم ستاتیکلی نا معلومه وی، د میلان او بی خایه کیدنی په مرسته ریکشنونه موندل کیږی. په دې څپرکی کی به دا بی خایه کیدنه او میلان چی د کړیدو له امله رامینځته کیږي وموندل شی . د هغه اضافي کوچنی بیخایه کیدنی په اړه چی د شیر له امله منځته راځی په 14 څپرکی به پری بحث وکړو .

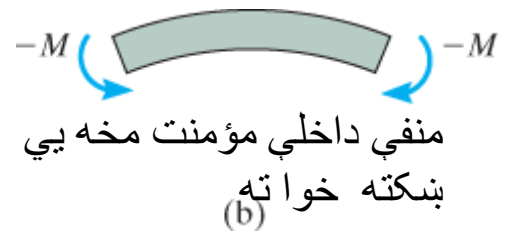
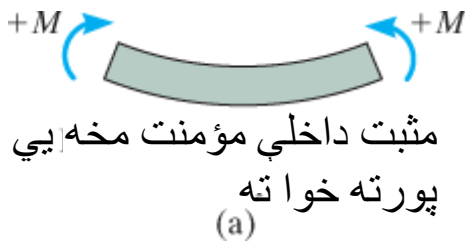


انځور 12-1

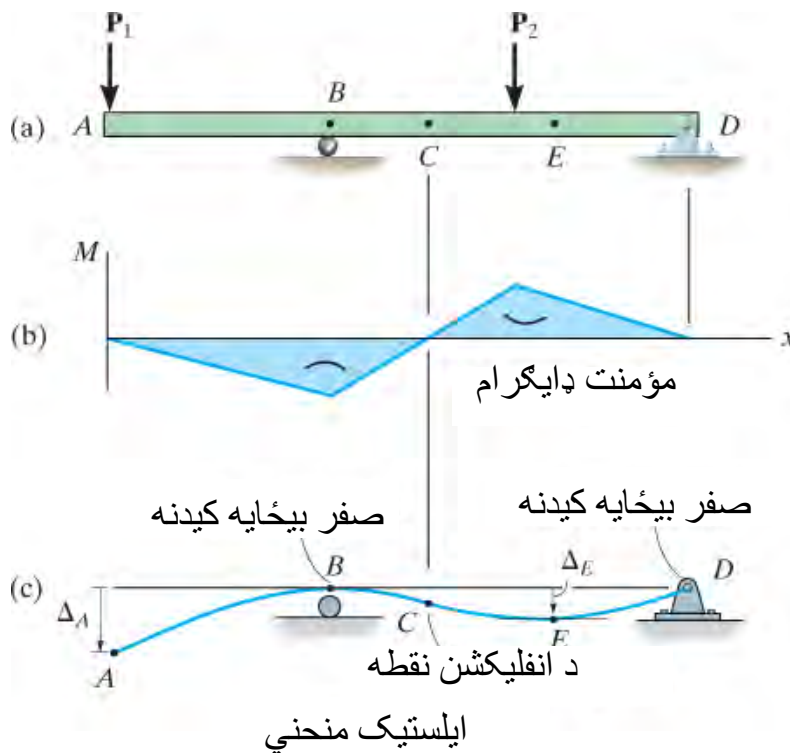
مخکی له دې چی د میلان یا بی خایه کیدو موندل پیل شي ، دا په ډیری وختونو کی گټور وي، چی د بیم کړیدونکی شکل سکچ شي ، کوم چی **ایلستیک منحنی (elastic curve)** یی استازیتوب کوي. دا منحنی د بیم د هرې غوڅی برخې د مرکز ثقل څخه تیریری، او د ډیری قضیو لپاره دا ډول سکچ، پرته له کوم مشکل څخه کیدی شي. کله چی داسې سکچ جوړه وي ، په یاد ولری چی هغه اتکاوی چی د قواو مقاومت کوي، لکه پن، کوم چی د بی خایه کیدو محدودیت کوي، او هغه چی د مؤمنت مقاومت کوي، لکه یو ثابت دیوال چی د کړیدو یا میلان جوړیدو او همدارنگه د بی خایه کیدو محدودیت کوي، دا ټول په پام کی ونیسي. دوه مثالونه د ایلستیک منحنی د بار شوي بیمونو لپاره په انځور 12-1 کی ښودل شوي.

که چیرې د بیم لپاره رسم کول د ایلستک منحنی ستونزمن ښکاري ، نو وړاندیز کیږي چی د بیم لپاره د مؤمنت ډیاگرام لومړی رسم شي. د بیم د علامی یا نشانی کنوانسیون په کارولو سره چی په برخه 6.1 تاسیس شو، یو مثبت داخلي مؤمنت تمایل لري چی بیم پورته خوا ته وښوروي، انځور 12-2a . په ورته ډول، یو منفي مؤمنت بیم ښکته خوا ته اړه وي، انځور 12-2b . له همدې امله، که

مؤمنت ڊیاگرام وپیژنډل شي، نو دا به اسانه وي چي ایلستیک منحنی جوړ شي. د مثال په توگه، په انځور 12-3a کې بیم په پام کې ونیسی کوم چی اړونده مؤمنت ډیاگرام يي په انځور 12-3b کې بنودل شوی. د رولر او د پین اتکاء له امله، په B او D کې بي ځایه کیدل باید صفر وي. د منفي مؤمنت په سیمه AC ، انځور 12-3b، ایلستیک منحنی باید بنسکته خوا ته حرکت وکړي، او د مثبت مؤمنت په سیمه کې دننه CD ، د ایلستیک منحنی باید پورته مخته وي. په C کې د انفلکشن (inflection) نقطه شتون لري، چیرته چې منحنی مخ له پورته په بنسکته خوا بدلوي، ځکه چې دا د صفر مؤمنت نقطه ده. دا هم باید په پام کې ونیول شي چې بیځایه کیدنه D_A او D_E په ځانگړې توگه مهم دي. په E نقطه کې میلان د ایلستیک منحنی صفر دي، او هلته د بیم بیځایه کیدنه ممکن اعظمي وي. آیا D_E په حقیقت کې د D_A څخه لوی دي، دا به د P_1 او P_2 په نسبي اندازه پورې اړه لري او په موقعیت د رولر په B کې.

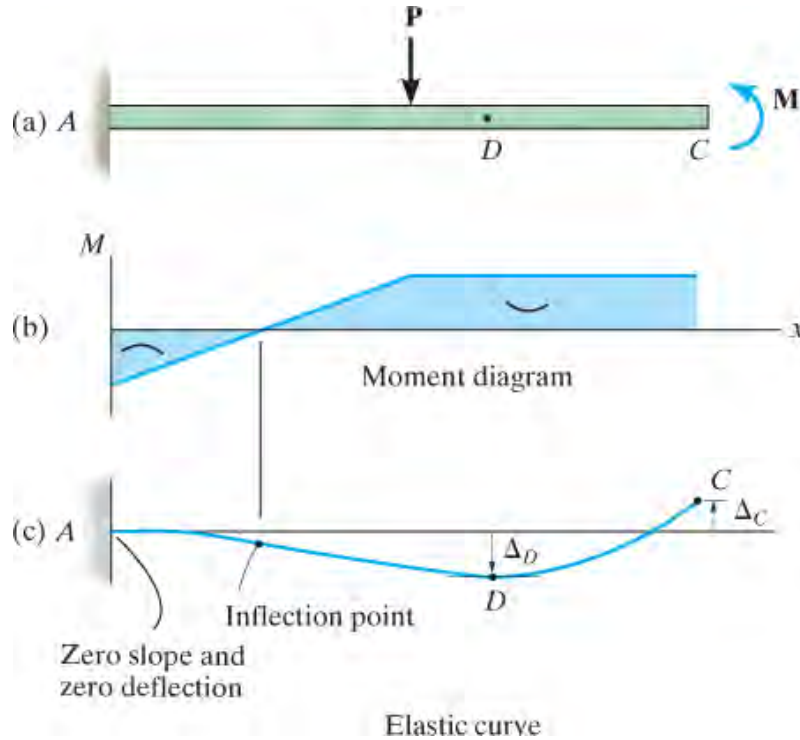


انځور 12-2



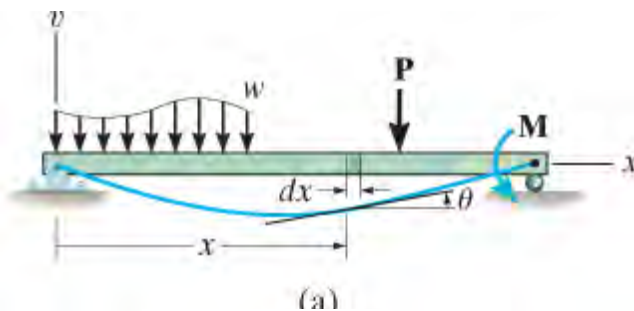
انخور 12-3

د همدې اصولو په تعقیب، په انخور 12-4 کې د ایلیسٹیک منحنی جوړیدلو څرنگوالی په پام کې ونیسئ. دلته بیم په A کې د ثابتې اتکا (تینگی اتکا) څخه کانټیلور شوی دی، او له همدې امله ایلیسٹیک منحنی باید په دې ځای کې صفر بی ځایه کیدنه او صفر میلان ولري. همدارنگه، ترتولو لوی بی ځایه کیدنه به په D کې چیرې چې میلان صفر دي، یا په C کې واقع شي.



انخور 12-4

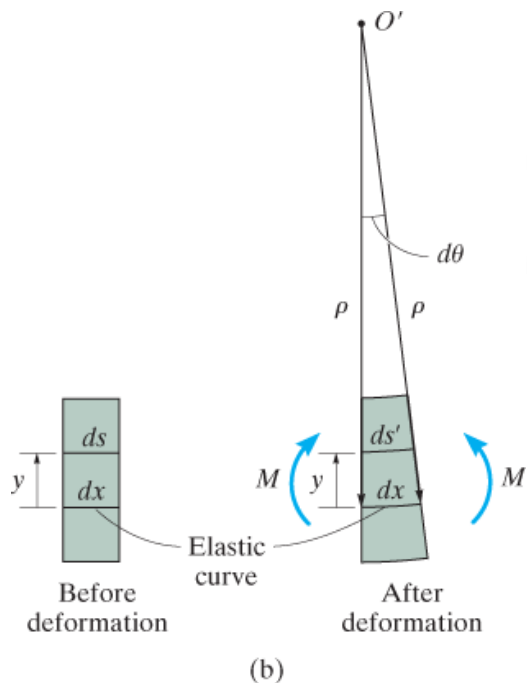
د مؤمنت او انحنای اړیکې (Moment–Curvature Relationship)



انخور 12-5

مخکې لدې چې مورن میلان او بیځایه کیدنه په هره نقطه د ایلیسٹیک منحنی کې ترلاسه کړو، لومړی دا اړینه ده چې د داخلي مؤمنت او دمنحنی د انحنای د شعاع r (rho) تر او د یو بل سره معلوم کړو. د دې کار لپاره، مورن به هغه بیم ته پام وکړو چې په انخور 12-5a کې بنودل شوي، او هغه

کوچنی عنصر چي د کین پای څخه x فاصله کی موقعیت لري او د اصلي شکل اوږدوالی dx لري، راجدا کرو، انځور 12-5b. "سیمه ایز" y کوردینات یی له ایلستیک منحنی (صفری کرښی) د بیم تر فایبر چی اصلی اوږدوالی یی $ds = dx$ او بیځایه شوی اوږدوالی یی ds' دي، اندازه کیږي. په برخه 6.3 کی مور د نارمل سترین په دی فایبر او داخلی مؤمنت او د انحنای شعاع د بیم عنصر ترمینځ اړیکي رامینځته کړي، انځور 12-5b. دا دی



$$\frac{1}{\rho} = -\frac{\epsilon}{y} \tag{12-1}$$

انځور 12-5

ځکه چی د هوک قانون پلي کیدی شي، $e = s / E$ او $s = -My/I$ ، ورپورسته له دی چی دا په پورتنی معادله ځای په ځای شي، مور لرو

$$\frac{1}{\rho} = \frac{M}{EI} \tag{12-2}$$

دلته

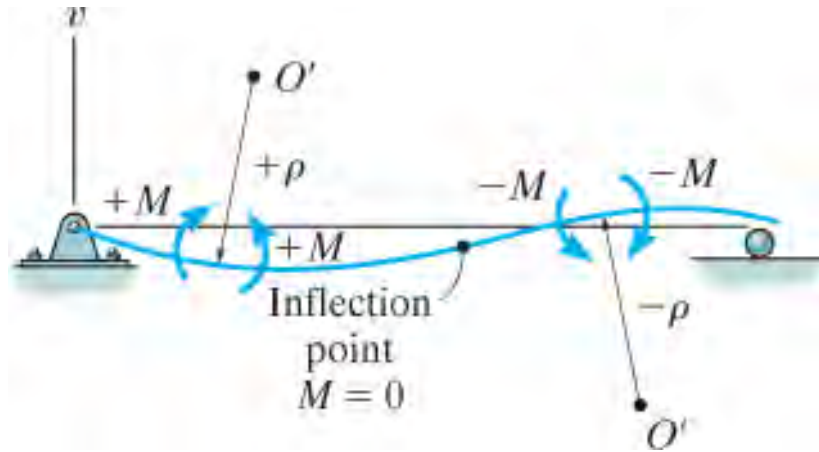
$r =$ د انحنای شعاع د ایلستیک منحنی په یوه ټکی کی ($1/r$ ته انحنای ویلکیږی)

M = داخلی مؤمنت په یو ټکی د بیم کی

E = د موادو د ایلستیستی ماچولس دی

I = انرشیای مؤمنت د بیم په صفری کرښه کی

علامه د r د مؤمنت د جهت سره تړون لری. څنگه چی په انځور 12-6 کی بنودل شوي، کله چی M مثبت وی، r د بیم په برسیره خوا غځیری، او کله چی مؤمنت منفي وی، r د بیم په لاندی خوا غځیری.



انځور 12-6

12.2 میلان او بیخایه کیدنه په انتیگریشن سره (SLOPE AND DISPLACEMENT BY INTEGRATION)

د ایلسټیک منحنی معادله په انځور 12-5A په کوردینات د u او x سره تعریف شوي. نو چی بیخایه کیدنه $u = f(x)$ پیرا کوومور کولای شو چی انحنای $(1/r)$ د u او x له مخی وټاکو. په اکثر کلکولس کتا بونو کی دا لاندی معادله بنودل شوی

$$\frac{1}{\rho} = \frac{d^2v/dx^2}{[1 + (dv/dx)^2]^{3/2}} \quad (12-3)$$

دا په معادله 12-2 خای په خای کوو، مور لرو

$$\frac{d^2v/dx^2}{[1 + (dv/dx)^2]^{3/2}} = \frac{M}{EI} \quad (12-4)$$

سربیره پر یوڅو ساده هندسی بيمو او بارونو، ددی معادلی حل کول ستونزمن دي، ځکه چې دا د غیر خطي دویمې درجې د مشتق مساوات استازیتوب کوي. خوشبختانه دا کیدي شي چې تعديل شي، ځکه چې ډیری د انجینرۍ ډیزاین کوډونه د بيم یا شافت اعظمي بیخایه کیدنه محدوده کړي. په پایله کې، د ایلستیک منحنی میلان، کوم چې له dv/dx څخه ټاکل کيږي، به خورا کوچنی وي، او د هغې مربع به لا پسی کوچنی او د یوه واحد په پرتله د توجه وړ نه وي*. له دې امله منحنی لکه څنګه چې په معادله 12-3 کې تعریف شوی، کیدی شي د $1/r = d^2v/dx^2$ لخوا اټکل شي. د دې ساده کولو سره، معادله 12-4 کیدي شي اوس په دی لاندی توګه ولیکل شي:

$$\frac{d^2v}{dx^2} = \frac{M}{EI} \quad (12-5)$$

دا هم ممکن ده چې دا معادله په دوه بدیل شکلونو ولیکل شي. که چیرې مور هر اړخ نسبت x ته مشتق ونیسو

$$V = dM/dx \quad (\text{معادله 6-2}) \quad \text{ځای په ځای کړو، مور لرو}$$

$$\frac{d}{dx} \left(EI \frac{d^2v}{dx^2} \right) = V(x) \quad (12-6)$$

یو ځل بیا مشتق اخلو او له $w = dV/dx$ (معادله 6-1) ګټه اخلو چې راکوي

$$\frac{d^2}{dx^2} \left(EI \frac{d^2v}{dx^2} \right) = w(x) \quad (12-7)$$

* مثال 12.1 وګوري

د زیاترو سوالو لپاره د کوروالي شخي (EI) ($flexural\ rigidity$) په اوږدو د بیم کی به ثابت وی. که دا فرض کړو پورتنی پایلی کله چی سره تنظیم یی کړو دا لاندی دری معادلی به حاصل شی:




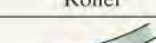
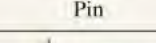
$$EI \frac{d^4 v}{dx^4} = w(x) \quad (12-8)$$

$$EI \frac{d^3 v}{dx^3} = V(x) \quad (12-9)$$

$$EI \frac{d^2 v}{dx^2} = M(x) \quad (12-10)$$

جدول 12-1

TABLE 12-1


$v = 0$ Roller

$v = 0$ Pin

$v = 0$ Roller

$v = 0$ Pin

$\theta = 0$ $v = 0$ Fixed end

سرحدی شرایط (Boundary Conditions)

د دی معادلو حل اړتیا لري چی پرله پسې انتیگرال و نیول شو تر څو v ترلاسه شی. د هر انتیگرال لپاره، دا اړینه ده چی یو "د انتیگرال ثابت عدد" معرفي شی او بیا د ټولو ثابتو اعدادو لپاره یی حل کړی، تر څو د یوې ځانگړې پوښتنې لپاره ځانگړی حل ترلاسه کړی. د مثال په توگه، که د ویشل شوی بار w تابع د x اوله معادلی 12-8 کار واخیستل شی د انتیگریشن څلور ثابت اعداد باید وارزول شی؛ په هر صورت، دا عموماً اسانه دي که داخلی مؤمنت M تابع د x و ټاکل شی او بیا معادله 12-10 و کارول شی، به دی حالت کی به یوازی دوه ثابت اعداد د انتیگریشن باید وموندل شی.

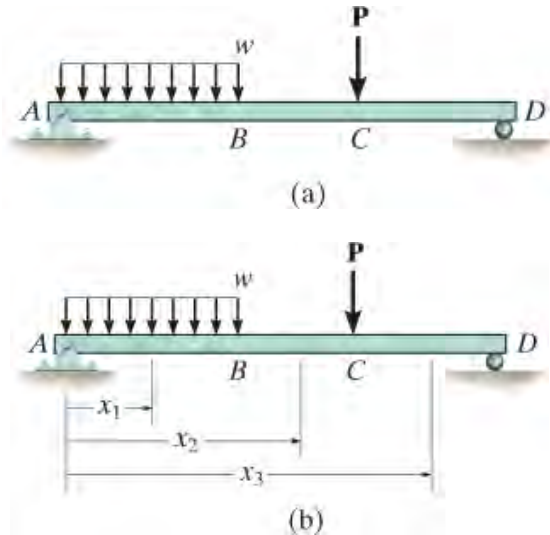
ډیری وختونه، د انتیگریشن ثابت اعداد له سرحدی شرایطو څخه ټاکل کیری لکه د بیم لپاره سرحدی شرایط په جدول 12-1 کی ښودل شوي. لکه څنگه چی یادونه وشوه، که بیم د یو رولر یا پین اتکاء ولري، نو بیا دا اړینه ده چی بی ځایه کیدل په دې اتکاء کی صفر وي. په کلک ټرل شوی اتکاء کی میلان او بی ځایه کیدل دواړه صفر دي.

د دوام شرایط (Continuity Conditions)

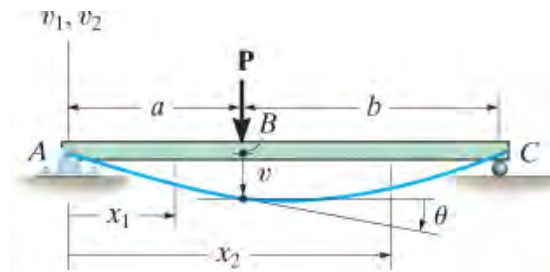
د دوام شرایط په بیم دوام ولري، یعنی څو ویشل شوی لری او متمرکز بارونه ولري، انځور 12-7a، بیا د داخلی مؤمنت لپاره باید څو تابع ولیکل شی، هر یو تابع د دوو وقفو سیمو تر منځ کی د اعتبار وړ دي. د مثال په توگه، داخلی مؤمنت په سیمو AB ، BC ، او CD کی x_1 ، x_2 ، او x_3 کوردیناتو په توگه لیکل کیدی شی چی په انځور 12-7b کی ښودل شوي.

کله چی دا هر یو تابع دوه ځله انتیگرال و نیول شی، دا به دوه د انتیگریشن ثابت اعداد تولید کړي، او ځکه چی دا ټول ثابت اعداد نشي کیدی له سرحدی شرایطو څخه و ټاکل شی، ځینی باید د بار د دوام شرایطو په کارولو ټاکل شی. د مثال په توگه پام وکړی هغه بیم ته چی په انځور 12-8 کی ښودل شوي. دلته دوه x کوردینات په مبدا A کی غوره شوي. یوځل چی توابع (functions) د میلان او بیخایه کیدنی لپاره ترلاسه شی، دوی باید ورته ارزښتونه د میلان او بیخایه کیدنی په B نقطه کی ورکړي، په دې توگه د ایلسټیک منحنی به په فزیکي ډول به

دواړو د انتیگریشن ثابتو اعدادو ارزولو لپاره کارول کيږي. یوځل چې دا توابع او د انتیگریشن ثابت اعداد وټاکل شي، دوی به بیا میلان او بیخایه کیدنه د (ایلسټیک منحنی) د بیم د هرې سیمې لپاره چې دوی د اعتبار وړ دي ورکړي.



انځور 12-7



انځور 12-8

د علامی کنوانسیون او کوردینات (Sign Convention and Coordinates)

کله چې معادلي 12-8 تر 12-10 پورې پلي کوو، دا مهمه ده چې د w ، V ، یا M لپاره هغه مناسبې نښې وکارول شي چې د دې معادلو د استخراج لپاره تاسیس شوی وي، انځور 12-9a. همدارنگه، له هغه راهیسې مثبت بیخایه کیدنه u ، پورته دی نو مثبت میلان q به اندازه شي د x محور څخه د ساعت ستنې په مقابل کې کله چې x بڼې خوا ته مثبت وي، انځور 12-9b. دا ځکه چې مثبت زیاتوالی dx او dv د q زیاتوالی رامینځته کوي چې د ساعت د ستنې مخالف جهت دی. د ورته دلیل له مخې، که د مثبت x کین اړخ ته لارښوونه وشي، نو q به د ساعت د ستنې په لور مثبت وي، انځور 12-9c.

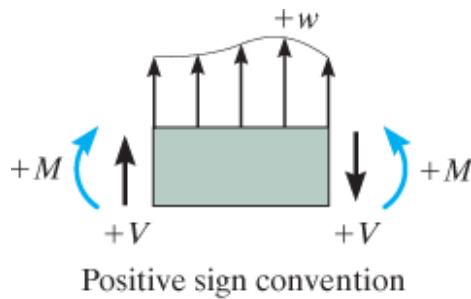
له هغه وخته چې مور $0 = dv/dx \sim$ په پام کې نیولی، اصلي افقی اوږدوالی د بیم د محور او د هغې د ایلستیک منحنی قوس اوږدوالی به نږدې ورته وي. په بل عبارت، په انځور 9-12 او 12-12

$$ds = \sqrt{(dx)^2 + (dv)^2} = . \text{ ځکه چې } dx \text{ په مساوي دی په } ds$$

$$dx \sim \sqrt{1 + (dv/dx)^2}$$

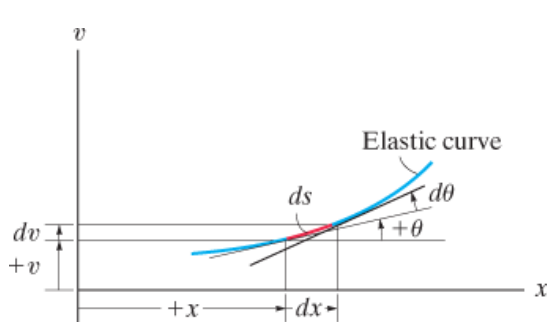
په دی توگه نقطې په ایلستیک منحنی به یوازې په عمودي بې ځایه شوي حالت کې وی، او نه په افقي ډول. همچنان، له دې امله چې میلان q به خورا کوچنی وي، نو ارزښت یې په ریډینونو کې په مستقیم ډول ټاکل کېدی شي له q چې هغه تخمین کېدی شي له

$$q = \tan q = dv/dx$$

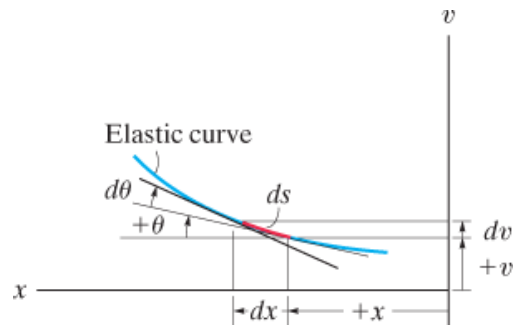


(a)

انځور 12-



(b)



(c)

د تحلیل کرنلاره

PROCEDURE FOR ANALYSIS

دا لاندی کرنلاره د بیم او شافت د میلان او بیخایه کیدنی پیدا کولو لپاره د انتیگریشن یوه طریقه وړاندی کوي.

ایلستیک منحنی (Elastic Curve).

- د بیم د ایلستیک منحنی یو مبالغه لید رسم کړی. یادونه دا ده چې صفر میلان او صفر بی خایه کیدل په ټولو ثابت او کلکو اتکاو کې واقع کیږي، او صفر بی خایه کیدل په ټولو پین او رولر اتکاو کې پېښیږي.
- د x او v کوردینات محورونه تاسیس کړی. د ایکس (x) محور باید موازي وي په نه بیخایه شوي بیم ته او کولی شي په هر خای کې د بیم په اوږدو کې مبداء ولري، د مثبت لوري بني یا چپ خوا. مثبت v محور باید پورته لوري ته وښودل شي.
- که څو نادوامداره (discontinuous) بارونه شتون ولري، x کوار دینات داسې تاسیس کړی چې د بیم د هرې سیمې لپاره د اعتبار وړ وي. دا ولفي او کوردینات داسې غوره کړی ترڅو دوی د الجبري کار تاسوته ساده کړي.

د بار او یا مؤمنت تابع (Load or Moment Function).

- په هره سیمه کې چې د x کوار دینات شتون ولري، د بار w او داخلي مؤمنت M ارزښتونه د x تابع له پلوه ښکاره کړی. په ځانگړی توگه دا فرض کړی چې مؤمنت مثبت دی کله چې د مؤمنت د تعادل معادله د لاندی تابع د پیدا کولو دپاره لیکي. $M=f(x)$

میلان او ایلستیک منحنی (Slope and Elastic Curve).

- کله چې EI ثابت وي، کړی شی د بار معادله پلي کړی $EI d^4v/dx^4 = w(x)$ ، د دی ترلاسه کولو لپاره څلورو انتیگریشنوته اړتیا لري تر څو دا حالت پلاس راوړی $v=v(x)$. یا د مؤمنت معادله $EI d^2u/dx^2 = M(x)$ ، پلی کړی کوم چې یوازې دوو انتیگریشنو ته اړتیا لري. د هر انتیگریشن لپاره د انتیگریشن د ثابت ارقامو شاملول مهم دي.

میلان او ایلستیک منحنی - (ادامه)

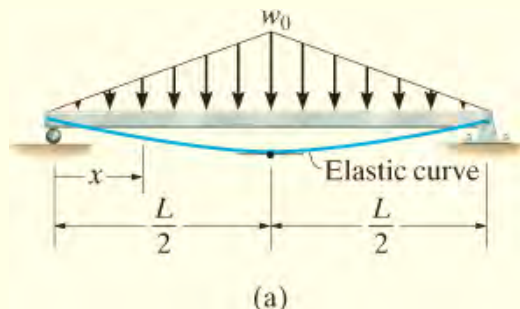
ثابت ارقام د حدودو شرایطو په کارولو سره ارزول کیري (جدول 1-12) او د دوام شرایط چي میلان او بي حایه کیدلو لپاره ، په هغه حایونو کي چیري چي دوه تابع سره نینلول کیري، د تطبیق وړ دي . یوخل چي د ثابتو ارقامو ارزول وشي ، هغوی بیرته د میلان او بیحایه کیدنی په معادلو کی حای پر حای کړي. اوس کیدی شی په حانگرو نقطو کي میلان او بي حایه کیدل بیا په ایلستیک منحنی و ټاکل شي.

ترلاسه شوي ارزښتونه په گرافیک ډول د ایلستیک منحنی سکيچ په پرتله کیدو سره چیک کیدی شي. مثبت ارزښتونه د میلان لپاره د ساعت د سنتی په مقابل جهت کي به وي، کله چي د x محور مثبت په بني خوا وي، او د ساعت د سنتی په لور کله چي x په کینه خوا مثبت غحول شوي وی. په دواړو حالتو کی، مثبت بي حایه کیدنه پورته خواته ده .

مثالونه

مثال 12.1

په دی لاندی بیم چی په انځور 12-10a کی بنودل شوی یو مثلثی ویشلشوی بار ورباندی پلی شوي. اعظمی بیخایه کیدنه د بیم وټاکي. EI ثابت دی.



انځور 12-10

حل (SOLUTION)

ایلستیک منحنی (Elastic Curve)

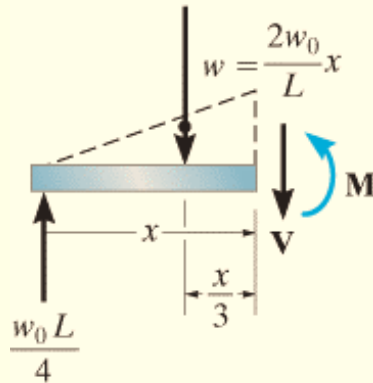
د متناظر والي له امله یوازي یو x کوردینات د حل لپاره اړین دی، په دی حالت کی $0 \leq x < L/2$ د بیم بیخایه کیدل په انځور 12-10a کی بنودل شوي. اعظمی بیخایه کیدنه په نیمایي د بیم کی منځ ته راځی، ځکه په هغه ټکی کی میلان صفر دي.

د مؤمنت تابع (Moment Function)

د کینی برخی آزاد ډایگرام په انځور 12-10b کی بنودل شوي. د ویشلشوی بار لپاره معادله عبارت ده په

$$w = \frac{2w_0}{L}x \tag{1}$$

$$\frac{1}{2} \left(\frac{2w_0}{L}x \right) x = \frac{w_0 x^2}{L}$$



له همدی امله

(b)

انځور 12-10

$$\zeta + \Sigma M_{NA} = 0; \quad M + \frac{w_0 x^2}{L} \left(\frac{x}{3} \right) - \frac{w_0 L}{4} (x) = 0$$

$$M = -\frac{w_0 x^3}{3L} + \frac{w_0 L}{4} x$$

ميلان او ايلستیک منحنی (Slope and Elastic Curve)

له معادلی 10-12 کار اخلو او دوه ځلي بي انټيگرال نيسو، مور لرو:

$$EI \frac{d^2 v}{dx^2} = M = -\frac{w_0}{3L} x^3 + \frac{w_0 L}{4} x \quad (2)$$

$$EI \frac{dv}{dx} = -\frac{w_0}{12L} x^4 + \frac{w_0 L}{8} x^2 + C_1$$

$$EIv = -\frac{w_0}{60L} x^5 + \frac{w_0 L}{24} x^3 + C_1 x + C_2$$

د انټيگرشن ثابت اعداد له پلي کولو د سرحدی حالت، کوم چی $u = 0$ په $x = 0$ کی، او له متناظر حالت $du/dx = 0$ په $x = L/2$. دا مور ته حاصلوي

$$C_1 = -\frac{5w_0 L^3}{192} \quad C_2 = 0 \quad \text{له همدی امله}$$

$$EI \frac{dv}{dx} = -\frac{w_0}{12L} x^4 + \frac{w_0 L}{8} x^2 - \frac{5w_0 L^3}{192}$$

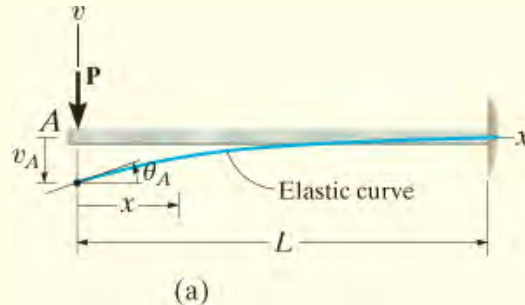
$$EIv = -\frac{w_0}{60L} x^5 + \frac{w_0 L}{24} x^3 - \frac{5w_0 L^3}{192} x$$

اعظمی بيځايه کيدنه په $x = L/2$ ، مور لرو:

$$v_{\max} = -\frac{w_0 L^4}{120EI} \quad \text{Ans.}$$

مثال 12.2

د انځور 12-11a کنتلیور بیم په پای کی یو بهرنی بار P پلی شوي. د ایلسټیک منحنی معادله وټاکي. د EI ارزښت ثابت دی.



حل (SOLUTION)

I:

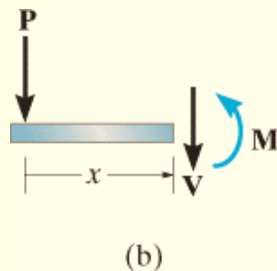
انځور 12-11

ایلسټیک منحنی (Elastic Curve)

هغه بار چی بیم بیخایه کوي په انځور 12-11a کی بنودل شوي. په کتو سره ، داخلی مؤمنت د بیم په اوږدو کی په یوه x کوردینات کی بنودل کیدی شي.

د مؤمنت تابع (Moment Function)

له آزاد ډایگرام وینو چی مؤمنت په مثبت جهت عمل کړي، انځور 12-11b ، مور لرو



$$M = -Px$$

انځور 12-11 (تکرار)

میلان او ایلسټیک منحنی (Slope and Elastic Curve)

معادله 12-10 پلی کوو اوله دوو ځلو انتیگریشننه دا لاندی په لاس راځي:

$$EI \frac{d^2v}{dx^2} = -Px \quad (1)$$

$$EI \frac{dv}{dx} = -\frac{Px^2}{2} + C_1 \quad (2)$$

$$EIv = -\frac{Px^3}{6} + C_1x + C_2 \quad (3)$$

د سرحدی شرایطو په پلي کولو سره $du/dx = 0$ په $x=L$ او $u=0$ په $x=L$ کی چی معادلی 2 او 3 په لاندی ډول راځی:

$$0 = -\frac{PL^2}{2} + C_1$$

$$0 = -\frac{PL^3}{6} + C_1L + C_2$$

په دی توگه $C_1 = PL^2/2$ او $C_2 = -PL^3/2$. دا پایلی په معادله 2 او 3 کی د $q = du/dx$ سره ځای په ځای کوو او دا لاندی په لاس راځی

$$\theta = \frac{P}{2EI}(L^2 - x^2)$$

$$v = \frac{P}{6EI}(-x^3 + 3L^2x - 2L^3) \quad \text{Ans.}$$

اعظمی میلان او بیځایه کیدنه په A ($x=0$) کی واقع کیری، کوم چی:

$$\theta_A = \frac{PL^2}{2EI} \quad (4)$$

$$v_A = -\frac{PL^3}{3EI} \quad (5)$$

مثبت پایلی د q_A د ساعت د ستنی په مقابل کی څرخیدل بنیي، او منفي پایلی د U_A لپاره بنیي چی U_A بسکته خواته دی. دا پایلی د هغه سکچ سره چی په انځور 11a-12 کی بنودل شوی ورته دی.

د دی لپاره چی د میلان او بیځایه کیدنی ریښتینی شدت په اړه یو څه نظر د A په پای کی ترلاسه شي، انځور 11a-12 بیم په پام کی ونیسی. دا بیم د 15 فوټ اوږدوالی لري، او د $P = 6\text{-kip}$ بار ورباندی پلی شوي دی. او له A-36 فولادو څخه جوړ شوی، $E_{st} = 29 (10^3) \text{ ksi}$ لري. د برخی 11.2 د طریقو په کارولو، که دا بیم پرته د خونديتوب فکتور کارولو سره ډیزاین شوی وي،

او د منلو وړ نارمل سترس داسی په پام کې نیول شوي چی هغه مساوي دی په $S_{allow} = 36 \text{ ksi}$ ، بیا W12 X 26 به کافي د ضرورت وړ اندازه وی ($I = 204 \text{ in}^4$) له معادلو 4 او 5 مور ترلاسه کوو:

$$\theta_A = \frac{6 \text{ kip}(15 \text{ ft})^2(12 \text{ in./ft})^2}{2[29(10^3) \text{ kip/in}^2](204 \text{ in}^4)} = 0.0164 \text{ rad}$$

$$v_A = -\frac{6 \text{ kip}(15 \text{ ft})^3(12 \text{ in./ft})^3}{3[29(10^3) \text{ kip/in}^2](204 \text{ in}^4)} = -1.97 \text{ in.}$$

له دی چی $1 \ll \theta_A^2 = (du/dx)^2 = 0.000270 \text{ rad}^2$ دا د معادلي 10-2 کارول توجیه کوی پر خای د دی چی د پیری د قیقی معادلی 4-12 خخه کار واخلو. او همدا رنگه، خرنګه چی عددی پوښتنه د یوه کنټیلیور بیم لپاره په پام کې نیول شوي ده، مور لور پایلی ارزښتونه دهغه بیمو په پر تله چی پین او یا رولر اتکاوی او یا کلک تزل شوی اتکاء ولري، وینو.

حل II

دا پوښتنه کیدی شي چی د معادلي 8-12 په کارولو چی عبارت ده په $EI d^4u/dx^4 = w(x)$ هم حل شي.

دلته $w(x) = 0$ د $0 \leq x \leq L$ انخور 11a-12 وګوري، نو بیا د یو خُل انتیګرشن کولو مور ته معادلي 9-12 پلاس راخی، د مثال په توګه

$$EI \frac{d^4v}{dx^4} = 0$$

$$EI \frac{d^3v}{dx^3} = C_1 = V$$

د شیبیرا رزول د ثابت عدد C_1 لپاره کیدی شي چی له $x=0$ خخه په لاس راشي، خکه چی $V_A = -P$ (منفي ده، د بیم د علامو له مخی، انخور 9a-12). په دی توګه $C_1 = -P$. د بیا انتیګریشن نه د معادلی 10-12 بڼه حاصلوی، چی:

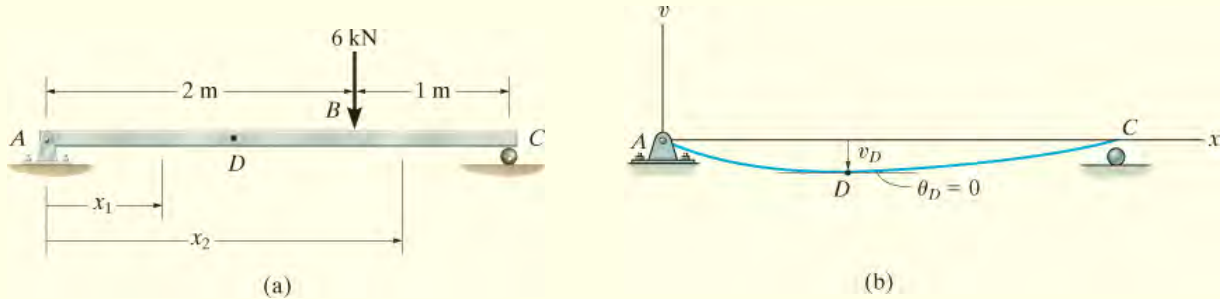
$$EI \frac{d^3v}{dx^3} = -P$$

$$EI \frac{d^2v}{dx^2} = -Px + C_2 = M$$

دلته $M=0$ په $x=0$ نو بیا $C_2=0$ او په پایله کی معادله 1 په لاس راخی، او حل د پخوا په شان په مخ ځي.

12.3 مثال

په ساده اتكاء بيم چي يو متمرکز بار ورباندی پلي شوی په انځور 12-12a کی بنودل شوي . اعظمی بيخايه کيدنه د بيم وټاکي. د بيم EI ثابت دی.



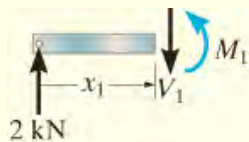
انځور 12-12

حل (SOLUTION)

ایلستیک منحنی (Elastic Curve)

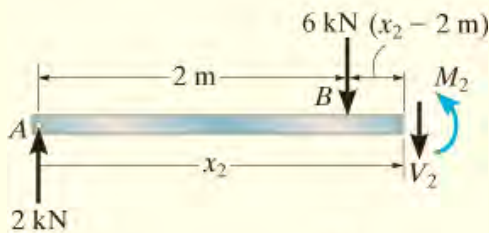
د بيم بيخايه کيدل په انځور 12-12b کی بنودل شوي. له دوو کوردیناتو باید کار واخيستل شي، ځکه چي مؤمنت په B کی تغیر مومي. مور به له x_1 او x_2 کار واخلو، کوم چي دواړه يو مبداء په A کی لري.

د مؤمنت تابع (Moment Function) له آزاد ډایگرامه چي په انځور 12-12c کی بنودل شوي ليکلي شو:



$$M_1 = 2x_1$$

$$M_2 = 2x_2 - 6(x_2 - 2) = 4(3 - x_2)$$



انځور 12-12 (تکرار) (c)

میلان او ایلستیک منحنی (Slope and Elastic Curve)

معادله 10-12 د M_1 لپاره په $0 \leq x_1 < 2 \text{ m}$ ځای په ځای کوو اوله دوو ځلو انتیگریشن دا لاندی په لاس راځي:

$$EI \frac{d^2 v_1}{dx_1^2} = 2x_1$$

$$EI \frac{dv_1}{dx_1} = x_1^2 + C_1 \quad (1)$$

$$EI v_1 = \frac{1}{3} x_1^3 + C_1 x_1 + C_2 \quad (2)$$

په ورته ډول د M_2 لپاره په $2 \text{ m} < x_2 \leq 3 \text{ m}$ لیکلی شو:

$$EI \frac{d^2 v_2}{dx_2^2} = 4(3 - x_2)$$

$$EI \frac{dv_2}{dx_2} = 4 \left(3x_2 - \frac{x_2^2}{2} \right) + C_3 \quad (3)$$

$$EI v_2 = 4 \left(\frac{3}{2} x_2^2 - \frac{x_2^3}{6} \right) + C_3 x_2 + C_4 \quad (4)$$

هغه څلور ثابت اعداد له سرحدی شرایطو په لاس راځي، یعنی $x_1 = 0, u_1 = 0$ او $x_2 = 3 \text{ m}, u_2 = 0$. همدا رنگه دوه د دوام شرایط په B کی عبارت دی په $du_1/dx_1 = du_2/dx_2$ په $x_1 = x_2 = 2 \text{ m}$ او $u_1 = u_2$ په $x_1 = x_2 = 2 \text{ m}$ له همدی امله:

$$v_1 = 0 \text{ at } x_1 = 0; \quad 0 = 0 + 0 + C_2$$

$$v_2 = 0 \text{ at } x_2 = 3 \text{ m}; \quad 0 = 4\left(\frac{3}{2}(3)^2 - \frac{(3)^3}{6}\right) + C_3(3) + C_4$$

$$\frac{dv_1}{dx_1}\bigg|_{x=2\text{m}} = \frac{dv_2}{dx_2}\bigg|_{x=2\text{m}}; \quad (2)^2 + C_1 = 4\left(3(2) - \frac{(2)^2}{2}\right) + C_3$$

$$v_1(2 \text{ m}) = v_2(2 \text{ m}); \quad \frac{1}{3}(2)^3 + C_1(2) + C_2 = 4\left(\frac{3}{2}(2)^2 - \frac{(2)^3}{6}\right) + C_3(2) + C_4$$

ددي حل مورته په لاس راكوي:

$$C_1 = -\frac{8}{3} \quad C_2 = 0$$

$$C_3 = -\frac{44}{3} \quad C_4 = 8$$

په دې توگه 1-4 معادلی کيږي:

$$EI \frac{dv_1}{dx_1} = x_1^2 - \frac{8}{3} \quad (5)$$

$$EI v_1 = \frac{1}{3}x_1^3 - \frac{8}{3}x_1 \quad (6)$$

$$EI \frac{dv_2}{dx_2} = 12x_2 - 2x_2^2 - \frac{44}{3} \quad (7)$$

$$EI v_2 = 6x_2^2 - \frac{2}{3}x_2^3 - \frac{44}{3}x_2 + 8 \quad (8)$$

د ایلستیک منحنی په لیدو سره ، انځور 12-12b ، اعظمی بیځایه کیدنه په D ، په برخه AB کی ده . دلته میلان له معادلی 5 باید صفر وي.

$$x_1^2 - \frac{8}{3} = 0$$

$$x_1 = 1.633$$

دا په معادله 6 کی ځای په ځای کوو او دا لاندی حاصل کيږي:

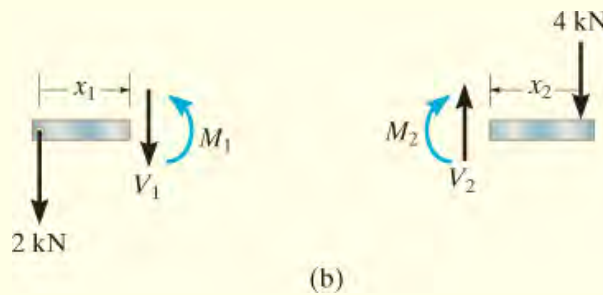
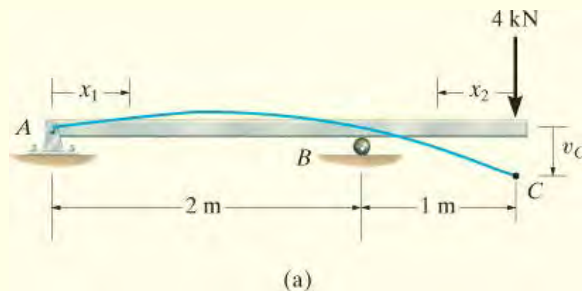
$$v_{\max} = -\frac{2.90 \text{ kN} \cdot \text{m}^3}{EI}$$

Ans.

منفي علامه بنيي چي بيخايه كيدنه په بنكته لور ده.

مثال 12.4

په آخر ددی لاندی بنودل شويي بيم، انخور 12-13a ، يو بار پلی شوي. بيخايه كيدنه په C کی و تاکی. د بيم EI ثابت دی.



انخور 12-13

حل (SOLUTION)

ایلستیک منحنی (Elastic Curve)

د بيم د شکل بدلون په انخور 12-13a کی بنودل شوي دي. د پلی شوي بار له امله دوه د x کوردینات به په پام کی ونیسو، یعنی $0 \leq x_1 < 2 \text{ m}$ او $0 \leq x_2 < 1 \text{ m}$ کوم چي x_2 له C په کین لور لار بنودل شوي، دا حکه چي د داخلی مؤمنت فورمول په آسانی سره جوړیدی شي.

د مؤمنت توابع (Moment Functions)

له آزاد ډایگرامه چی په انخوړ 12-13b کی بنودل شوي کار اخلو، او لرو:

$$M_1 = -2x_1 \quad M_2 = -4x_2$$

میلان او ایلسټیک منحنی (Slope and Elastic Curve). معادله 12-10 پلی کوو

$$: 0 \leq x_1 \leq 2$$

$$EI \frac{d^2 v_1}{dx_1^2} = -2x_1$$

$$EI \frac{dv_1}{dx_1} = -x_1^2 + C_1 \quad (1)$$

$$EI v_1 = -\frac{1}{3} x_1^3 + C_1 x_1 + C_2 \quad (2)$$

$$: 0 \leq x_2 \leq 1 \text{ m}$$

$$EI \frac{d^2 v_2}{dx_2^2} = -4x_2$$

$$EI \frac{dv_2}{dx_2} = -2x_2^2 + C_3 \quad (3)$$

$$EI v_2 = -\frac{2}{3} x_2^3 + C_3 x_2 + C_4 \quad (4)$$

د انټیگریشن څلور ثابت اعداد له دریو سرحدی شرایطو موندل کیږي، یعنی $u_1 = 0$ په $x_1 = 0$ ، $u_1 = 0$ په $x_1 = 2 \text{ m}$ او $u_2 = 0$ په $x_2 = 1 \text{ m}$ ، او یو شرط د تسلسل یا دوام معادله. دلته تسلسل د میلان په رولر کی اړتیا لری $du_1/dx_1 = -du_2/dx_2$ په $x_1 = 2 \text{ m}$ او $x_2 = 1 \text{ m}$. دلته په معادله کی منفي علامه له دی امله ده چی میلان مثبت اندازه کیږی خلاف د ساعت د سنتی حرکت له بنی جهت څخه ، او مثبت دی د ساعت د سنتی حرکت له کین لور څخه، انخوړ 12-9 .

(تسلسل د بیخایه کیدني په B کی په مستقیم ډول په سر حدي شرطونو کی په پام کی نیول شوي،
 ځکه $u_1 = u_2 = 0$ په $x_1 = 2 \text{ m}$ او $x_2 = 1 \text{ m}$. کله چی دا څلور شرطونه پلی شي دا لاندی
 پایلی په لاس راځي:

$$v_1 = 0 \text{ at } x_1 = 0; \quad 0 = 0 + 0 + C_2$$

$$v_1 = 0 \text{ at } x_1 = 2 \text{ m}; \quad 0 = -\frac{1}{3}(2)^3 + C_1(2) + C_2$$

$$v_2 = 0 \text{ at } x_2 = 1 \text{ m}; \quad 0 = -\frac{2}{3}(1)^3 + C_3(1) + C_4$$

$$\left. \frac{dv_1}{dx_1} \right|_{x=2\text{m}} = \left. \frac{dv_2}{dx_2} \right|_{x=1\text{m}}; \quad -(2)^2 + C_1 = -(-2(1)^2 + C_3)$$

له حل کولو وروسته مور لرو:

$$C_1 = \frac{4}{3} \quad C_2 = 0 \quad C_3 = \frac{14}{3} \quad C_4 = -4$$

ثابت اعداد C_3 او C_4 په معادله 4 کی ځای په ځای کوو، دا لاندی لیکلی شو:

$$EIv_2 = -\frac{2}{3}x_2^3 + \frac{14}{3}x_2 - 4$$

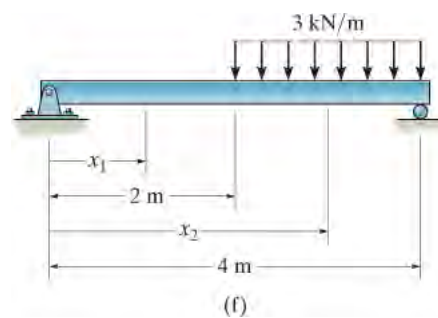
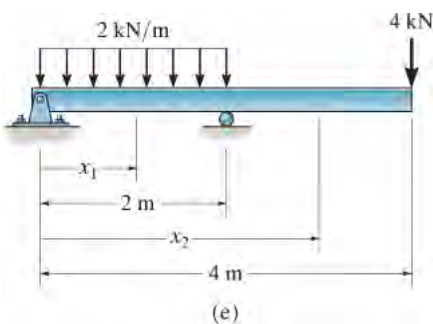
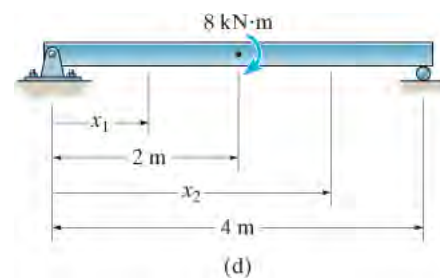
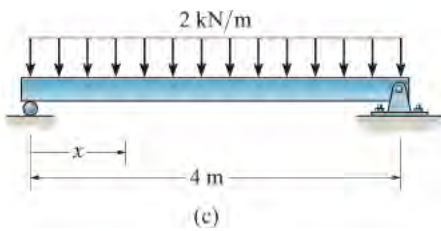
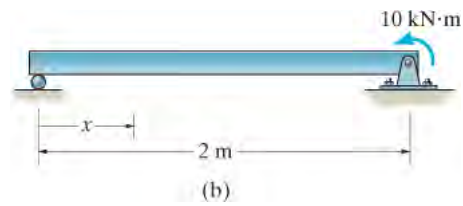
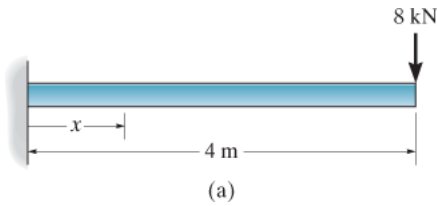
بیخایه کیدنه په C کی ټاکل کیږي له $x_2 = 0$. دا لاندی حاصل کیږي:

$$v_C = -\frac{4 \text{ kN} \cdot \text{m}^3}{EI} \quad \text{Ans.}$$

لمرني پوښتنې

PRELIMINARY PROBLEMS

ل 12-1. د لاندې پوښتنو ته داخلي مؤمنت تابع د x او هم هغه اړوند سرحدی او د تسلسل شرطونه په گوته کړي تر څو ایلسټیک منحنی د بیم لپاره معلوم کړي.



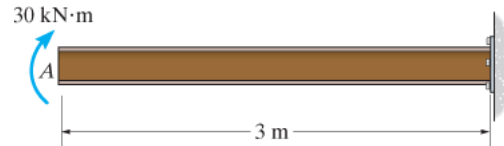
ل 12-1

بنسټيز پوښتنې

FUNDAMENTAL PROBLEMS

ب 12-1. ميلان او بيخايه كيدنه د كنټليور بيم د پاى A مشخص كړي. $E = 200 \text{ GPa}$ او

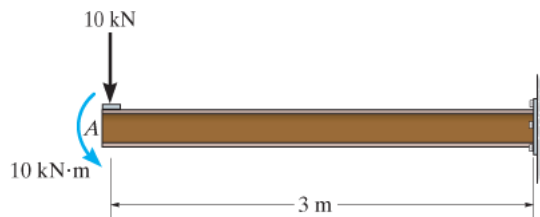
$$I = 65.0 (10^6) \text{ mm}^4$$



ل 12-1

ب 12-2. ميلان او بيخايه كيدنه د كنټليور بيم د پاى A مشخص كړي. $E = 200 \text{ GPa}$ او

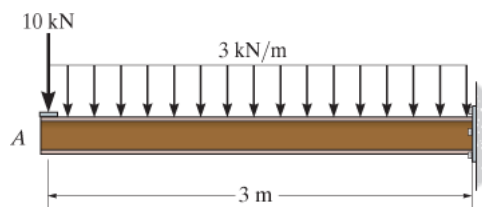
$$I = 65.0 (10^6) \text{ mm}^4$$



ل 12-2

ب 12-3. ميلان او بيخايه كيدنه د كنټليور بيم د پاى A مشخص كړي. $E = 200 \text{ GPa}$ او

$$I = 65.0 (10^6) \text{ mm}^4$$

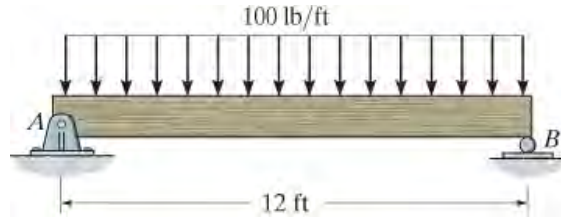


ل 12-3

ب 12-4. اعظمې بيخايه كيدنه ددى لاندې بيم وټاكي. بيم له لرگيو جوړ شوي ، د ايلستيسيتي

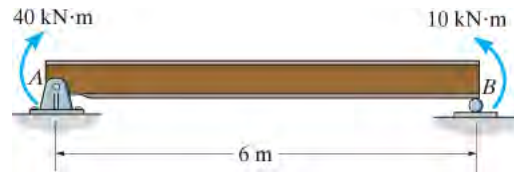
ماجولس يي $E_w = 1.5 (10^3) \text{ ksi}$ او مستطيلي غوڅه برخه لري، كوم چى $b = 3 \text{ in.}$ او

لوړوالي $h = 6 \text{ in.}$ دي .



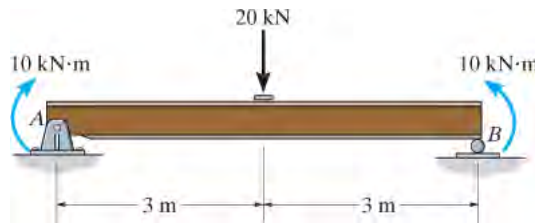
ل 12-4

ب 12-5. اعظمی بیخایه کیدنه د دی لاندی ساده اتکاء بیم و ټاکی. $E = 200 \text{ GPa}$ او $I = 39.9(10^{-6})\text{m}^4$



ل 12-5

ب 12-6. میلان د دی لاندی ساده اتکاء بیم په A کی وټاکی. $E = 200 \text{ GPa}$ او $I = 39.9(10^{-6})\text{m}^4$



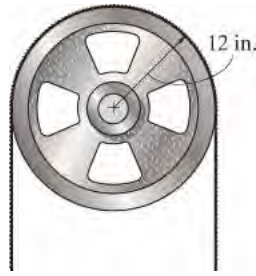
ل 12-6

سوالونه

PROBLEMS

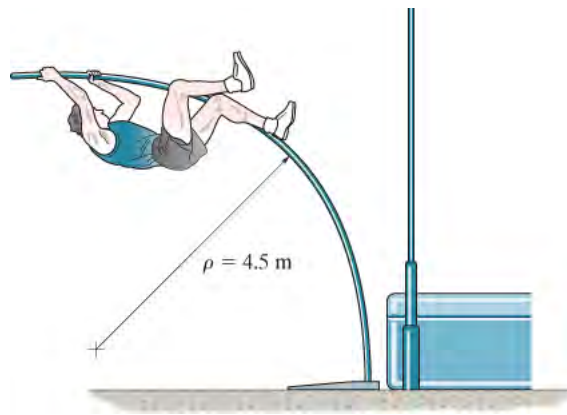
س 12-1. یو د L2 فولادو پټه چی 0.125 in. پندوالی او 2 in. سور لری، داسی تاو شوی چی د یوه دایروی قوس 600 in. شعاع یی جوړه کړی. اعظمی کزیدونکی سترس په پټه کی پیدا کړی.

س 12-2. د L2 فولادو تاو شوی اړه تر یوه پولی (pulley) چی 12 in. شعاع لری تاوی شوي. اعظمی نارمل سترس په اړه کی مشخص کړي. سور د اری 0.75 in. او پنډوالی یې 0.0625 in. دی.



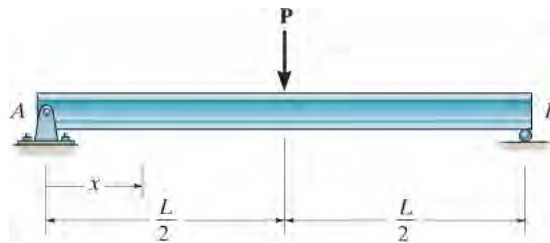
س 12-2

س 12-3. د یو سړي عکس په داسی حالت کی اخیستل شوی چی هغه په خاده یو نمایشي حرکت اجرا کوی. په دی حالت کی د خادی انحنای 4.5 m (متر) اټکل شوي ده. که چیری د خادی قطر 40 mm وی او له تقویه شوي پلاستیک شیشي جوړه وی کوم چی $E_g = 131 \text{ GPa}$ دي، اعظمی د کربیدو سترس په خاده کی وټاکي.



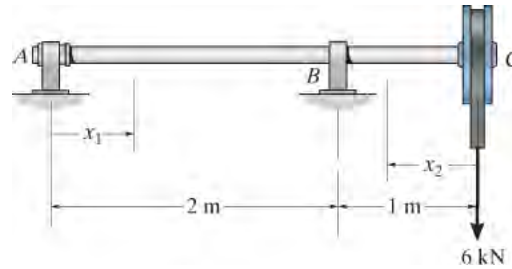
س 12-3

س 12-4*. د لاندی بیم لپاره د ایلاستیک منحنی معادله د x کوردینات سره داسی ولیکی، کوم چی $0 \leq x < L/2$. په ټکی A کی میلان او اعظمی بیخایه کیدنه وټاکي. EI ثابت دی.



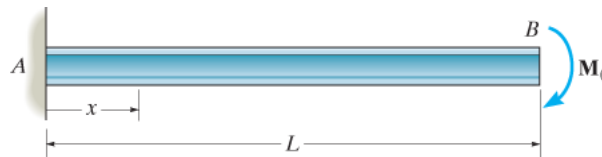
س 12-4

س 12-5. د یوه ډک دایروي شافت بیخایه کیدنه په ټکی C کی وټاکي. د شافت قطر 100 -mm دي. له $E = 200 \text{ GPa}$ کار واخلي.



س 12-5

س 12-6. د دی لاندی کنټلیور بیم لپاره ایلسټیک منحنی مشخص کړي، په بیم یو کپل مؤمنت M_0 پلی شوي. او همدا رنگه د بیم اعظمی میلان او اعظمی بیخایه کیدنه و ټاکي. EI ثابت دی.



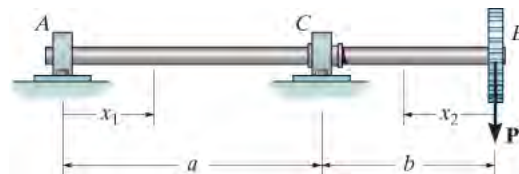
س 12-6

س 12-7. د یو A-36 فولادی بیم لوړوالی 10 in. دی او یو ثابت مؤمنت M_0 داسی ورباندی پلی شوي چی په بهرني فایبرو د بیم کی سټرس $s_Y = 36 \text{ ksi}$ ته رسیږی. د بیم د انحنا شعاع او اعظمی میلان او بیخایه کیدنه یی وټاکي.



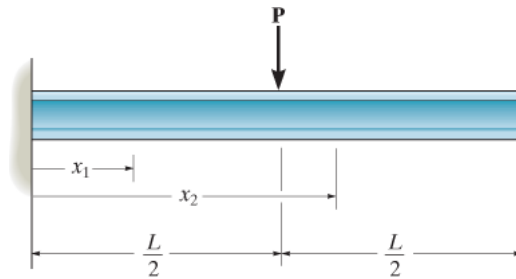
س 12-7

س 12-8*. د دی لاندی بیم ایلسټیک منحنی معادلی د x_1 او x_2 کواردیناتو به کارولو سره و ټاکي. EI د بیم ثابت دی.



س 12-8

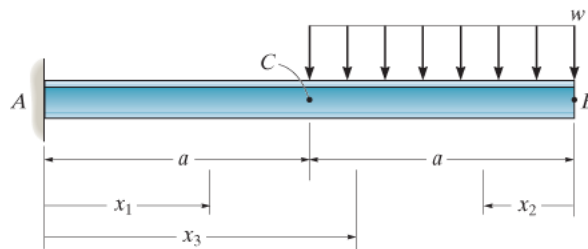
س 12-9. د دی لاندی بیم ایلیستیک منحنی معادلی د x_1 او x_2 کواردیناتو به کارولو سره و ټاکي. EI د بیم ثابت دی.



س 12-9

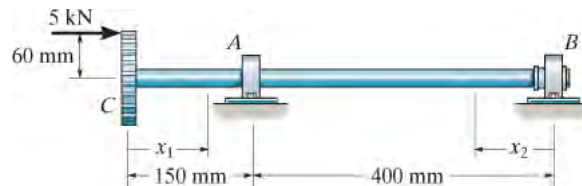
س 12-10. د دی لاندی بیم ایلیستیک منحنی معادلی د x_1 او x_2 کواردیناتو به کارولو سره و ټاکي. میلان په ټکی C او بیخایه کیدنه په B کی مشخص کړي. EI د بیم ثابت دی.

س 12-11. د دی لاندی بیم ایلیستیک منحنی معادلی د x_1 او x_2 کواردیناتو به کارولو سره و ټاکي. میلان په ټکی B او بیخایه کیدنه په C کی مشخص کړي. EI د بیم ثابت دی.



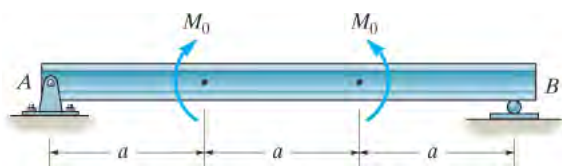
س 12-10/11

س 12-12*. ددی لاندی شافت لپاره مؤمنت ډایگرام رسم کړي، او بیا له دی ډایگرامه بیخایه کیدنه یا د مرکزي کرنسی ایلیستیک منحنی د شافت سکچ کړي. د ایلیستیک منحنی معادله په کارولو د کوردینات x_1 او x_2 سره و ټاکي. EI د بیم ثابت دی.



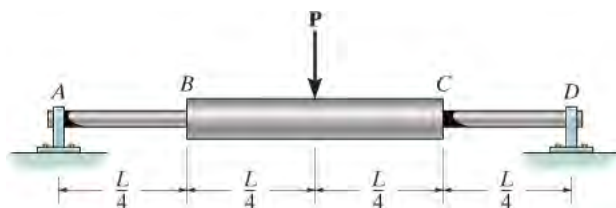
س 12-12

س 12-13. د لاندې بيم اعظمي بيخايه كيدنه او د بيم ميلان په A كې وټاكي. EI د بيم ثابت دى.



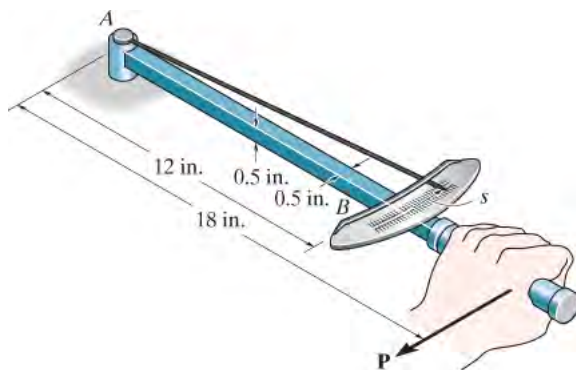
س 12-13

س 12-14. دا لاندې ساده اتكاء شافټ په برخه BC كې $2I$ انرشيايي مؤمنت او I انرشيايي مؤمنت په برخه AB او CD كې لري. اعظمي بيخايه كيدنه د شافټ د بار P د پلي كيدو له امله وټاكي.



س 12-14

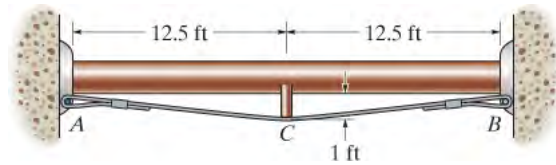
س 12-15. د نټ ټيگيدلو په بولټ باندې، له تورک رينچ كار اخيستل شوي. كه چيرى د گيج دايل يو تورک په اندازه د 60 lb. ft د بولټ ټينگوالي لپاره و بنښي، قوه P د رينچ په لاستى او هغه فاصله s چى سنتيبي په سكيل (scale) حرکت کوى معلوم كړي. فرض كړى چى د بيم AB برخه تغير مومي. د مربع غوڅى برخى ابعاد 0.5 in. په 0.5 in. دى. $E = 29 (10^3) \text{ ksi}$.



س 12-15

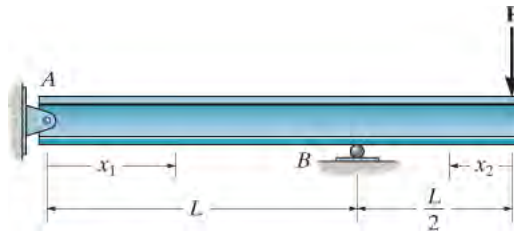
س *12-16. دا لاندې پايپ داسى اټکل كيدى شي چى په دواړو پاى كى ساده اتكاء او په وسط كى يو سخت او كلک زين (saddle) اتكاء لري. دا زين په يو كيبل سره ايښودل شوى او په دواړو اړخو په اتكاء سره تړلي دى. كه چيرى دا زين پايپ له بيخايه كيدنى په وسط كى و ساتي، هغه قوه

چی په کیبل کی منح ته راځي و ټاکي. پایپ او هغه مایعات چی په کبني شتون لري مجموعی وزن یې 12.5 lb/ft دی. EI ثابت دی.



س 12-16

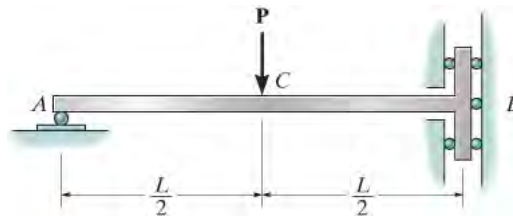
س 12-17. د دی لاندی بیم معادله د ایلسټیک منحنی په کارولو د کوردینات x_1 او x_2 سره و ټاکي. د بیم اعظمی بیځایه کیدنه مشخص کړي. EI د بیم ثابت دی.



س 12-17

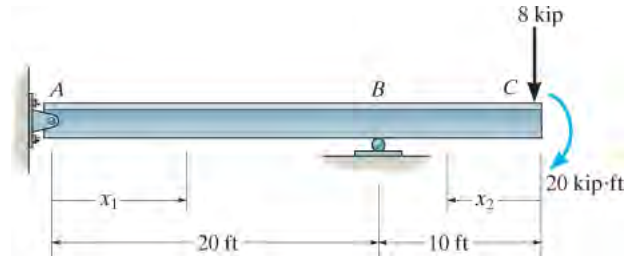
س 12-18. ددی لاندی میلی په B کی د رولر ممانعت (constraint) په واسطه ملاتړ شوي، چی عمودی بیځایه کیدل اجازه ورکوی، اما محوري بار او مؤمنت لپاره ریکشن جوړیدی شي. که چیری په میله هغه بنودل شوي بار عمل وکړي، میلان په A او بیځایه کیدنه په C کی مشخص کړي.

س 12-19. په پوښتنه 12-18 کی بیځایه کیدنه په B د میلی وټکي.



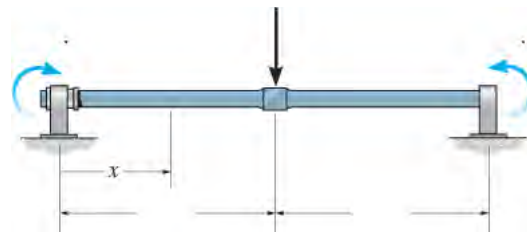
س 12-18/19

س *12-20. د دی لاندی بیم د ایلسټیک منحنی معادله په کارولو د کوردینات x_1 او x_2 سره و ټاکي. د بیم بیځایه کیدنه په C کی او میلان په A کی مشخص کړي. EI د بیم ثابت دی.



س 12-20

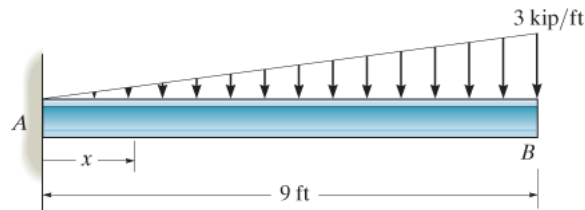
س 12-21. د پک دایروی شافت اعظمی بیخایه کیدنه و ټاکي. شافت له فولادو جوړ شوي دی، او $E = 200 \text{ GPa}$. قطر يې 100 mm دي.



س 12-21

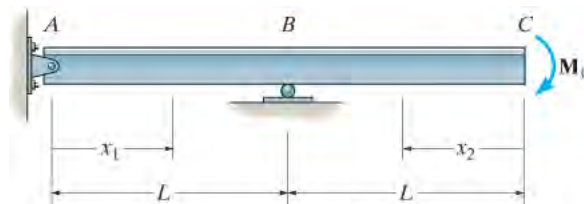
س 12-22. د دی لاندی کنټیلور بیم W14 X 30 د ایلسټیک منحنی معادله په کارولو د کوردینات x سره و ټاکي. د بیم اعظمی میلان او اعظمی بیخایه کیدنه و ټاکي.

$$E = 29 (10^3) \text{ ksi}$$



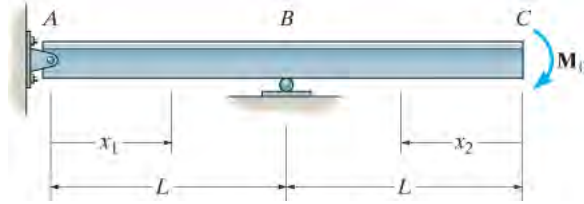
س 12-22

س 12-23. د دی لاندی بیم د ایلسټیک منحنی معادله په کارولو د کوردینات x_1 او x_2 سره و ټاکي. د بیم بیخایه کیدنه او میلان په C کی و ټاکي. EI د بیم ثابت دی.



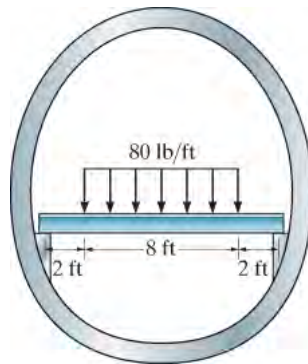
س 12-23

س 12-24* د دی لاندی بیم د ایلسټیک منحنی معادله په کارولو د کوردینات x_1 او x_2 سره و ټاکي. د بیم میلان په A کی مشخص کړي. EI د بیم ثابت دی.



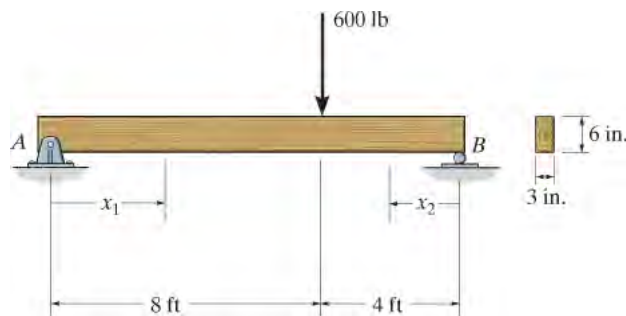
س 12-24

س 12-25 د الوتکی د فرش بیم له پلی بار سره لاندی انځور کی بنودل شوي. داسی اټکل کړي چی فیوسولاج د الوتکی تنها عمودی ریکشنونه د بیم په پای کی جوړه وي. اعظمی بیخایه کیدنه د بیم وټاکي. EI د بیم ثابت دی.



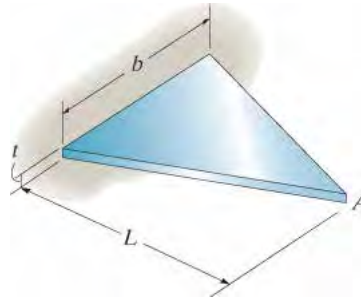
س 12-25

س 12-26 د ساده اتکاء بیم اعظمی بیخایه کیدنه و ټاکي. بیم له له لرگیو جوړ شوی چی د ایلسټیستی ماجولس یې $E = 1.5(103) \text{ ksi}$ دی.



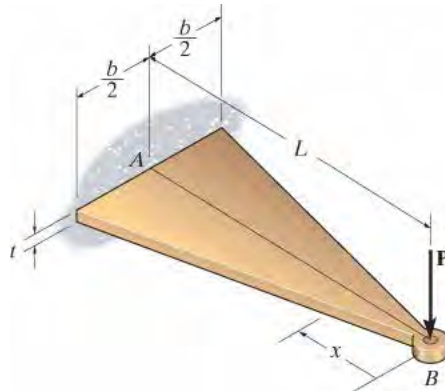
س 12-26

س 12-27. دا لاندی بیم له یو ډول موادو جوړ شوي چی خاص وزن یې g دي. بیخایه کیدنه او میلان په پای A د بیم کی د وزن له کبله وټاکي. د موادو د ایلسیتیسی ماچولس E دی.



س 12-27

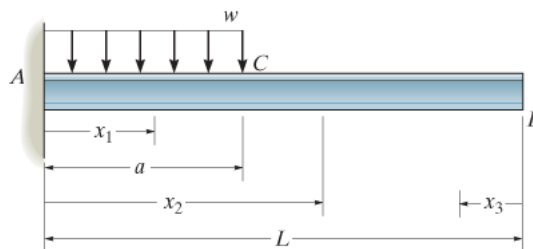
س 12-28*. په پای B د لاندی بیم کی میلان او اعظمی بیخایه کیدنه وټاکي. دا کنټیلیور بیم مثلی تختی په شکل جوړ شوي او ثابت ضخامت t لري. بیم له موادو جوړ شوی چی د موادو د ایلسیتیسی ماچولس یې E دی.



س 12-28

س 12-29. د ایلسټیک منحنی معادله په کارولو د کوردینات x_1 او x_2 سره وټاکي. میلان او بیخایه کیدنه په B کی وټاکي. EI د بیم ثابت دی.

س 12-30. د ایلسټیک منحنی معادله په کارولو د کوردینات x_1 او x_3 سره وټاکي. میلان او بیخایه کیدنه په C کی وټاکي. EI د بیم ثابت دی.



س 12-29/30

12.3* غوڅ توابع (DISCONTINUITY FUNCTIONS)

د انټیگریشن طریقه، د بیم یا شافت د ایلسټیک منحنی موندلو لپاره مناسب ده که چیری بار یا داخلي مؤمنت د بیم په ټول اوږدوالي کې د دوامداره تابع په توګه څرګند شي. که چیری په بیم باندی څو مختلف بارونه عمل وکړي، دا طریقه کیدی شي د پلي کولو لپاره ستونزي جوړي کړي، ځکه چې په جلا توګه دهر بار او مؤمنت توابع د بیم د هرې سیمې لپاره چې تغیر رایی ولیکل شي. برسېره پردې، لکه څنګه چې په 12.3 او 12.4 مثالونو کې یادونه وشوه، د انټیگریشن ددی توابع د حلولو او موندلو دپاره د ثابت اعدادو پیدا کولو ته اړتیا لري چې له سرحدی او د تسلسل له شرایطو، دواړو څخه کارواخستل شي تر څو د انټیگریشن ثابتو اعدادو ارزونه وشي.

په دې برخه کې، به موږ په داسی طریقه بحث وکړو تر څو چې د ایلسټیک منحنی معادله د یوی واحدی اصطلاح څخه کارواخستل شي، یا په مستقیم ډول د بیم له بار $w = w(x)$ ، او یا د بیم له داخلی مؤمنت $M = M(x)$ څخه، و موندل شي. بیا کله چې دا د w اصطلاح په $EI d^4u/dx^4$ $w(x) =$ کې ځای په ځای شي او څلور ځله انټیګریت شي، او یا که د M اصطلاح په $EI d^2u/dx^2$ $M(x) =$ کې ځای پر ځای شي او دوه ځله انټیګریت شي، د انټیګریشن ثابت اعداد به یوازي له سرحدی شرایطو څخه وټاکل شي.

غوڅ توابع (Discontinuity Functions). ددی لپاره چې بار په بیم او یا د داخلی مؤمنت یی په یوه واحده اصطلاح سره وښودل شي، موږ به دوه ډوله ریاضی عملیاتو (operators) چې د **غوڅ توابع (discontinuity functions)** په نوم پیژندل شوي و کاروو.



دا بيمونه چې د سمنتو کڅوري ورباندی ایښودل شوي، د خونديتوب له پاره باید د داسی مقاومت لپاره ډیزاین شي چې یو محدود اندازه بیخایه کیده ولري.

مکولي توابع (Macaulay Functions). د بيم يا شافت د بيخايه کيدني لپاره ، د مکولي توابع چي وروسته د رياضي پوه دبيلو اچ مکولي (W. H. Macaulay) په نامه نومول شوي کولي شي د ويشيل شوي بار (distributed loading) د تشریح کولو لپاره و کارول شي. دا توابع په عمومي بڼه داسی ليکل کيدی شي

$$\langle x - a \rangle^n = \begin{cases} 0 & \text{for } x < a \\ (x - a)^n & \text{for } x \geq a \end{cases} \quad (12-11)$$

$$n \geq 0$$

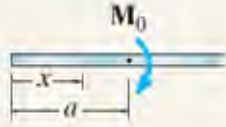
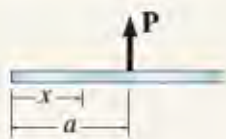
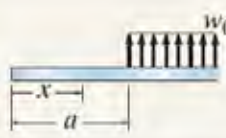
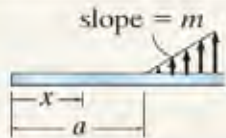
دلته x په بيم کی د يو نقطی موقعیت څرگند کوي ، او a هغه نقطه ده چي ويشلشوی بار پيل کيږي. د مکولي تابع $\langle x-a \rangle^n$ په زاويه سره ليکل کيږی او يا د موکولي براکيت چي له عادی تابع $\langle x-a \rangle^n$ چي په بين د قوس کی ليکل کيږی تو پير يي وشي. لکه څنگه په معادله کی بنودل شوي، دا حالت يوازه هغه وخت يوشی دی چي $x \geq a$ وی $\langle x - a \rangle^n = (x - a)^n$ که نه نو دا صفر وی. برسیره پر دی دا تابع د اعتبار وړ دی يوازي د طاقتي ارزښت لپاره کوم چي $n \geq 0$ وی.

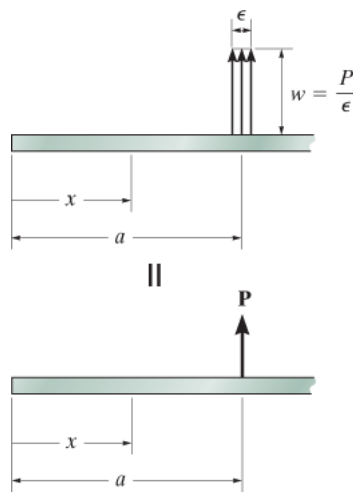
انتيگريشن د مکولي تابع د عادی تابع ورته قواعدو پيروي کوي ، د بيلگي په توگه :

$$\int \langle x - a \rangle^n dx = \frac{\langle x - a \rangle^{n+1}}{n + 1} + C \quad (12-12)$$

د مکولي توابع د ويشلشوی او مثلي بارونو لپاره په جدول 12-2 کی بنودل شوي. د مکولي توابع کارول د شيبير لپاره $V = \int w(x) dx$ او مؤمنت $M = \int V dx$ هم په جدول کی بنودل شوي.

TABLE 12-2

Loading	Loading Function $w = w(x)$	Shear $V = \int w(x)dx$	Moment $M = \int Vdx$
	$w = M_0 \langle x-a \rangle^{-2}$	$V = M_0 \langle x-a \rangle^{-1}$	$M = M_0 \langle x-a \rangle^0$
	$w = P \langle x-a \rangle^{-1}$	$V = P \langle x-a \rangle^0$	$M = P \langle x-a \rangle^1$
	$w = w_0 \langle x-a \rangle^0$	$V = w_0 \langle x-a \rangle^1$	$M = \frac{w_0}{2} \langle x-a \rangle^2$
	$w = m \langle x-a \rangle^1$	$V = \frac{m}{2} \langle x-a \rangle^2$	$M = \frac{m}{6} \langle x-a \rangle^3$

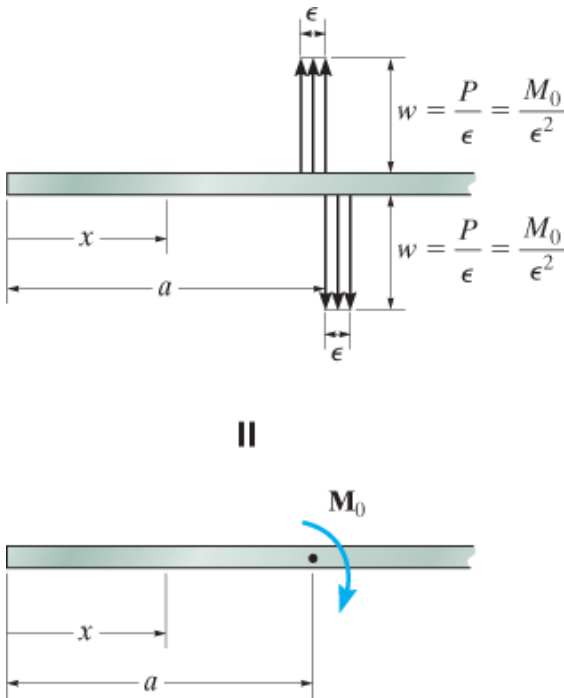


انخور 12-14

د یو ټکی توابع (Singularity Functions). دا توابع تمرکزی قواوی او مؤمنت کیل (couple moment) په بیم یا شافټ تشریح کوي. په ځانگړی توگه یوه تمرکزی قوه P یو خاص نمونه د ویشلسوی بار بار ده، کوم چی شدت یې $w = P/e$ او اوږدوالي e انځور 12-14. ددی بار لاندی ډایگرام ساحه معادل ده په P ، مثبت پورته لور ته، او دا یوازی ارزښت لری کله چی $x = a$ وي. ددی پایلو څرگندولو لپاره به مور له سمبولیک لاری کار واخلو

$$w = P \langle x - a \rangle^{-1} = \begin{cases} 0 & \text{for } x \neq a \\ P & \text{for } x = a \end{cases} \quad (12-13)$$

دا عبارت یا اصطلاح په د یو ټکی تابع (*singularity function*) پیژندل شوي، ځکه یوازی په ټکی $x = a$ کی د P ارزښت اخلی چیرته چی بار عمل کړي، په غیر د هغه نور صفر دی.*
 * دی ته د واحد امپلس تابع یا ډایرک (*Dirac delta*) دپلټا هم یادول شوي.



انځور 12-15

په ورته ډول، يو کپل مؤمنت M_0 ، مثبت د ساعت د ستنې په لور، کله چې $0 \leq x \leq e$ لمت لري، له دوو ويشلشوی بارونوپه لاس راځي څنگه چې په انځور 12-15 کی بنودل شوي. دلته دا لاندې توابع خپل ارزښتونه تعريف کوي.

$$w = M_0 \langle x - a \rangle^{-2} = \begin{cases} 0 & \text{for } x \neq a \\ M_0 & \text{for } x = a \end{cases} \quad (12-14)$$

ددې لپاره چې ډاډ تر لاسه شي چې واحد د w ، قوه په اوږدوالي، ساتل کيږي طاقت $n = -2$ ، دي. انټيگرشن د پورتنیو دوو توابعو د مشتقاتو قواعد تعقيبوي او هغه پایلی تر لاسه کوي چې له مکولي تابع څخه توپير لري. په ځانگړی توگه:

$$\int \langle x - a \rangle^n dx = \langle x - a \rangle^{n+1}, n = -1, -2 \quad (12-15)$$

ددې فورمول په کارولو سره وگوري چې څنگه M_0 او P کوم چې په جدول 12-2 کی بنودل شوي، يو واری انټيگریت شوی، بیا دوه ځلی تر څو چې داخلي شیبیر او مؤمنت دبیم په لاس راشي. پلي کول د معادلی 12-11 تر 12-15 پورې، په مستقیم توگه د څرگندولو وسیله د بار او یا د داخلي مؤمنت په بيم کی تابع د x کيږي. په هر صورت، د بهرنی بار کولو نښویا علامو ته باید نږدې پاملرنه وشي. لکه څنگه چې پورته یادونه وشوه، او لکه څنگه چې په جدول 12-2 کی بنودل شوي، متمرکز قواوی او ويشل شوي بارونه پورته لور ته مثبت دي، او کپل مؤمنت مثبت دي د ساعت د گړځیدو په لور. که چیرې دا د علامی کنوانسیون تعقيب شي، نو داخلي شیبیر او مؤمنت به د بيم د علامی کنوانسیون سره سم وي کوم چې په برخه 6.1 کی تاسیس شویوه .

عملي بڼه (Application).

د بېلگې په توگه څنگه غوخ توابع پلي شي، تر څو بار او یا داخلي مؤمنت تشریح کړي، مور به انځور 12-16a د بيم په پام کې ونیسو. دلته د ریکشن قوه 2.75-kN چې رولر جوړه کړي، انځور 12-16b مثبت ده په پورته لور ، او د 1.5-kN.m کپل مؤمنت هم مثبت دی ځکه چې د ساعت د څرخیدو په لور عمل کوي. په پای کې، ذونقي بار کول منفي دي او د سوپرپوزیشن په بنسټ په مثلثی او یوشان ويشل شوی بار جلا شوي. له جدول 12-2 څخه، په هر نقطه x د بيم کې بار کول له همدې امله عبارت دی په:

$$w = 2.75 \text{ kN} \langle x - 0 \rangle^{-1} + 1.5 \text{ kN} \cdot \text{m} \langle x - 3 \text{ m} \rangle^{-2} - 3 \text{ kN/m} \langle x - 3 \text{ m} \rangle^0 - 1 \text{ kN/m}^2 \langle x - 3 \text{ m} \rangle^1$$

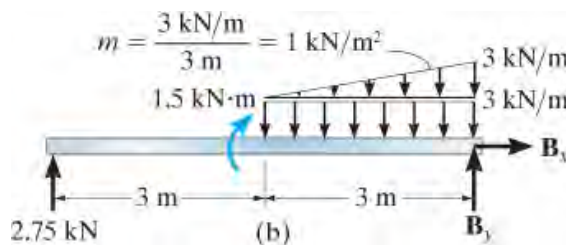
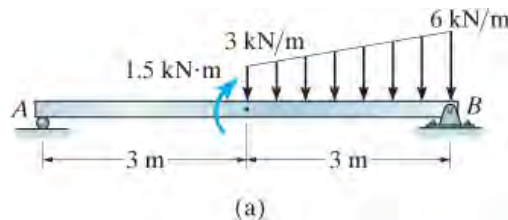
د ریکشن قوه په B کی نه ده شامله شوی ځکه چی د x ارزښت هیڅکله له 6 m لوی نه دی. په ورته ډول

له جدول 12-2 مور لیکلي شو

$$M = 2.75 \text{ kN} \langle x - 0 \rangle^1 + 1.5 \text{ kN} \cdot \text{m} \langle x - 3 \text{ m} \rangle^0 - \frac{3 \text{ kN/m}}{2} \langle x - 3 \text{ m} \rangle^2 - \frac{1 \text{ kN/m}^2}{6} \langle x - 3 \text{ m} \rangle^3$$

$$= 2.75x + 1.5 \langle x - 3 \rangle^0 - 1.5 \langle x - 3 \rangle^2 - \frac{1}{6} \langle x - 3 \rangle^3$$

د بیم بیخایه کیدنه اوس وروسته له دی کله چی دا معادله پر له پسې دوه ځلی انتیگریت شي او د انتیگریشن ثابت ارقام له سرحدی شرایطو کوم چی بیخایه کیدنه په A او B کی صفر دی و ټاکل شي.



انځور 12-16

د تحلیل کرنلاره

PROCEDURE FOR ANALYSIS

دا لاندې کرنلاره د غوڅو توابع کارولو لپاره میتود چمتو کوي تر څو د بیم ایلسټیک منحنی ور سره و ټاکل شي. دا طریقې په ځانگړې توگه د بیمونو یا د شافتونو پوښتنو د حل لپاره گټوره ده. هغه بیمونه او شافتونه چې څو ډوله بارونه ورباندې پلي شوي وي، ځکه چې د انټیگریشن ثابت ارقام یوازې د سرحدی شرایطو په کارولو سره ارزول کیدی شي، پداسې حال کې چې د مطابقت (compatibility) شرایط په اتومات ډول مطمین کيږي.

ایلسټیک منحنی (Elastic Curve).

- د بیم ایلسټیک منحنی سکچ جوړه کړئ او سرحدی شرایط په اتکاء کې وپېژنئ.
- صفر بې ځایه کیدنه په ټولو پنونو او رولرونو کې واقع کيږي، او صفر میلان او صفر بې ځایه کیدنه په کلک ټرل شوی اتکاء کې پېښيږي.
- محور د x تاسیس کړئ ترڅو دا بني خوا ته وغزیري، او مبداء لري د بیم په چپ پای کې.

د بار او یا مؤمنت تابع (Load or Moment Function).

- د اتکاء ریکشنونه محاسبه کړئ او بیا د غوڅ توابع، جدول 2-12، څخه کار واخلئ تر څو بار w او یا داخلي مؤمنت M تابع د x تشریح کړي.
- ډاډ تر لاسه کړئ چې د هر بار کولو لپاره د علامه کنوانسیون تعقیب کړئ.
- په یاد ولرئ چې ویشل شوي بارونه باید د بیم بنی پای ته وغځول شي تر څو د اعتبار وړ وي. که دا واقع نه شي، نو له سپرپوزیشن طریقې وکاروئ، کوم چې په مثال 12.6 کې ښودل شوي.

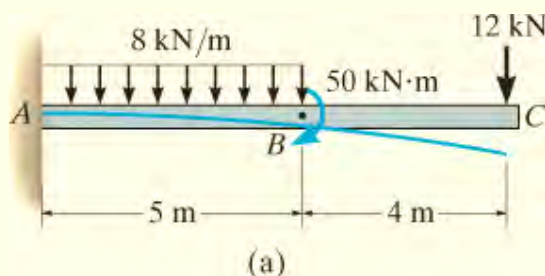
میلان او ایلسټیک منحنی (Slope and Elastic Curve).

- په معادله $EI d^4u/dx^4 = w(x)$ ، یا M د مؤمنت منحنی معادله $EI d^2v/dx^2 = M$ کې ځای په ځای کړئ، او بیا انټیگریت یې کړي تر څو دبیم میلان او بې ځایه کیدنه تر لاسه کړي.
- دانټیگریشن ثابت ارقام د سرحدی شرایطو په کارولو سره مشخص کړي، او دا ثابت ارقام بیا په میلان او بیځایه کیدنه معادلو کې ځای په ځای کړي تر څو وروستي پایلی تر لاسه شي.
- کله چې په هره نقطه د بیم کې میلان او بې ځایه کیدنه مشخص شي، مثبت میلان په مخالف جهت د ساعت د حرکت، او مثبت بیځایه کیدنه پورته لور ته دی.

مثالونه

مثال 12.5

دی لاندی کنتیلیور بیم ، انځور 12-17a ، لپاره د ایلستیک منحنی معادله وټاکي. د EI ارزښت ثابت دی.

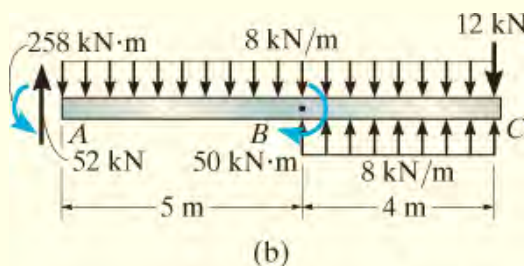


حل (SOLUTION)

ایلستیک منحنی (Elastic Curve).

بار په بیم عامل د بیخایه کیدني ، لکه څنگه چی په انځور 12-17a کی بنودل، شوي. سرحدی شرایط اړین لری چی میلان او بیخایه کیدنه په A کی باید صفر وي.

د بار تابع (Loading Function). د اتکاء ریکشنونه په A کی محاسبه شوی او په آزاد ډایگرام 12-17b کی بنودل شوي. ځکه چی ویشلشوی بار په انځور 12-17a کی تر C پوری غځول شوي نه دي، مور به له سوپرپوزیشن د بار څنگه چی په انځور 12-17b کی بنودل شوی کار واخلو تر څو هغه استازیتوب د ورته اغیزه وکړي. د علامی کنوانسیون په اساس د بیم بار عبارت دی په:



انځور 12-17

$$w = 52 \text{ kN} \langle x - 0 \rangle^{-1} - 258 \text{ kN} \cdot \text{m} \langle x - 0 \rangle^{-2} - 8 \text{ kN/m} \langle x - 0 \rangle^0 + 50 \text{ kN} \cdot \text{m} \langle x - 5 \text{ m} \rangle^{-2} + 8 \text{ kN/m} \langle x - 5 \text{ m} \rangle^0$$

په پورتنی معادله کی 12-kN بار شامل نه دي، دا ځکه چې x نه شي کولای چې له ۹ متر ډیر شي. ځکه چې $dV/dx = w(x)$ دی، بیا په انټیگریشن او د انټیگریشن ثابت ارقامو په پام کی نه نیولو سره، ځکه چې ریکشنونه په A کی د بار په تابع کی شامل دی، مور لرو:

$$V = 52\langle x - 0 \rangle^0 - 258\langle x - 0 \rangle^{-1} - 8\langle x - 0 \rangle^1 + 50\langle x - 5 \rangle^{-1} + 8\langle x - 5 \rangle^1$$

سربیره پر دی، $dM/dx = V$ ، نو بیا انټیگریشن حاصل ورکوي:

$$\begin{aligned} M &= -258\langle x - 0 \rangle^0 + 52\langle x - 0 \rangle^1 - \frac{1}{2}(8)\langle x - 0 \rangle^2 + 50\langle x - 5 \rangle^0 + \frac{1}{2}(8)\langle x - 5 \rangle^2 \\ &= (-258 + 52x - 4x^2 + 50\langle x - 5 \rangle^0 + 4\langle x - 5 \rangle^2) \text{ kN} \cdot \text{m} \end{aligned}$$

دا ورته پایلی په مستقیم ډول له جدول 12-2 په لاس راتلی شي.

میلان او ایلسټیک منحنی (Slope and Elastic Curve). په کارولو د معادلی 12-10 او دوه ځلی انټیگریشن سره مور لرو:

$$EI \frac{d^2v}{dx^2} = -258 + 52x - 4x^2 + 50\langle x - 5 \rangle^0 + 4\langle x - 5 \rangle^2$$

$$EI \frac{dv}{dx} = -258x + 26x^2 - \frac{4}{3}x^3 + 50\langle x - 5 \rangle^1 + \frac{4}{3}\langle x - 5 \rangle^3 + C_1$$

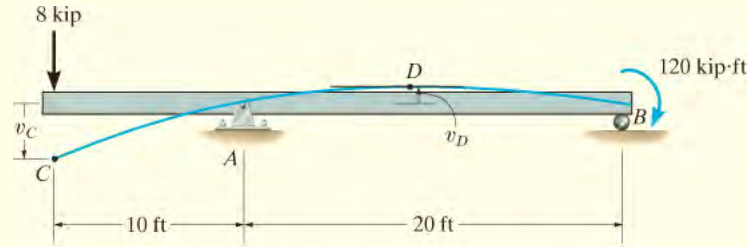
$$EIv = -129x^2 + \frac{26}{3}x^3 - \frac{1}{3}x^4 + 25\langle x - 5 \rangle^2 + \frac{1}{3}\langle x - 5 \rangle^4 + C_1x + C_2$$

څرنګه چې $du/dx = 0$ په $C_1 = 0$ ، $x = 0$ او $u = 0$ بیا $C_2 = 0$. په دی توګه:

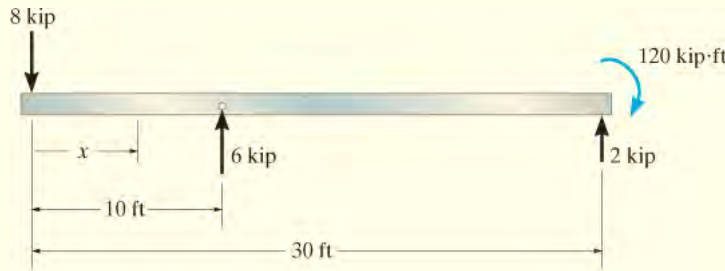
$$v = \frac{1}{EI} \left(-129x^2 + \frac{26}{3}x^3 - \frac{1}{3}x^4 + 25\langle x - 5 \rangle^2 + \frac{1}{3}\langle x - 5 \rangle^4 \right) \text{ m} \quad \text{Ans.}$$

مثال 12.6

دی لاندی بیم ، کوم چی په انځور 12-18a کی بنودل شوي اعظمی بیخایه کیدنه یي و ټاکی. EI د بیم ثابت دی.



(a)



(b)

انځور 12-18

حل (SOLUTION)

ایلستیک منحنی (Elastic Curve).

د بیم بیخایه کیدني ، په انځور 12-17a کی بنودل شوي. سرحدی شرایط اړین لری چی بیخایه کیدنه په A او B کی باید صفر وي.

د بار تابع (Loading Function). د اتکاء ریکشنونه محاسبه شوی او په آزاد ډایگرام 12-18b کی بنودل شوي. د بار تابع (loading function) د بیم لپاره عبارت دی په

$$w = -8 \text{ kip} \langle x - 0 \rangle^{-1} + 6 \text{ kip} \langle x - 10 \text{ ft} \rangle^{-1}$$

په دی کی کپل مؤمنت او قوه په B کی شامل نه دی، ځکه چی دوی په بني پای د بیم کی موقعیت لري، او x له 30ft فوټ زیاتوالی نشي کړي. کله چی انتیگرال د $dV/dx = w(x)$ مور لرو

$$V = -8\langle x - 0 \rangle^0 + 6\langle x - 10 \rangle^0$$

په ورته ډول $dM/dx = V$ په لاس راكوي

$$\begin{aligned} M &= -8\langle x - 0 \rangle^1 + 6\langle x - 10 \rangle^1 \\ &= (-8x + 6\langle x - 10 \rangle^1) \text{ kip} \cdot \text{ft} \end{aligned}$$

په ياد ولري چې دا مساوات په مستقيم ډول په كارولو د جدول 2-12 د مؤمنت لپاره په لاس راځي.

ميلان او ايلستېك منحنې (Slope and Elastic Curve). دوه ځلي انټيگرېشن حاصل كوي

$$EI \frac{d^2v}{dx^2} = -8x + 6\langle x - 10 \rangle^1$$

$$EI \frac{dv}{dx} = -4x^2 + 3\langle x - 10 \rangle^2 + C_1$$

$$EIv = -\frac{4}{3}x^3 + \langle x - 10 \rangle^3 + C_1x + C_2 \quad (1)$$

له معادلي 1 ، سرحدی شرایط $u = 0$ په $x = 10 \text{ ft}$ او $u = 0$ په $x = 30 \text{ ft}$ حاصل كوي

$$0 = -1333 + (10 - 10)^3 + C_1(10) + C_2$$

$$0 = -36\,000 + (30 - 10)^3 + C_1(30) + C_2$$

ددی معادلو له حل كولو سره ارقام C_1 او C_2 په لاس راځي، او موږ لرو: $C_1 = 1333$ او $C_2 = -12000$. په دی توگه

$$EI \frac{dv}{dx} = -4x^2 + 3(x - 10)^2 + 1333 \quad (2)$$

$$EIv = -\frac{4}{3}x^3 + (x - 10)^3 + 1333x - 12000 \quad (3)$$

له انځور 12-18a اعظمی بیخایه کیدنه کیدی شي چی په C یا په D کوم چی میلان $du/dx = 0$.
په C کی د بیخایه کیدني لپاره په معادله 3 کی د $x = 0$ خای په خای کړي. مور لرو

$$v_C = -\frac{12000 \text{ kip} \cdot \text{ft}^3}{EI} \quad \text{Ans.}$$

منفي علامه بنیي چی بیخایه کیدنه بسکته لور ته ده، انځور 12-17a. د نقطی D مونلو لپاره له معادلي 2 کار واخلي د $x > 10 \text{ ft}$ او $du/dx = 0$. دا به ورکوي

$$0 = -4x_D^2 + 3(x_D - 10)^2 + 1333$$

$$x_D^2 + 60x_D - 1633 = 0$$

د مثبت جذر حل کولو لپاره،

$$x_D = 20.3 \text{ ft}$$

له همدی امله له معادلي 3 لرو

$$EIv_D = -\frac{4}{3}(20.3)^3 + (20.3 - 10)^3 + 1333(20.3) - 12000$$

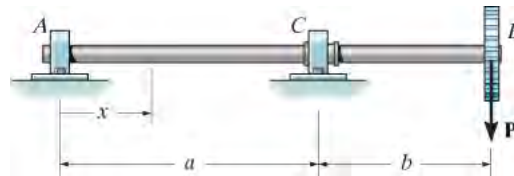
$$v_D = \frac{5006 \text{ kip} \cdot \text{ft}^3}{EI}$$

دا ارزښت له U_c پرته کولو سره مور وینو چی $U_{max} = v_c$.

سوالونه

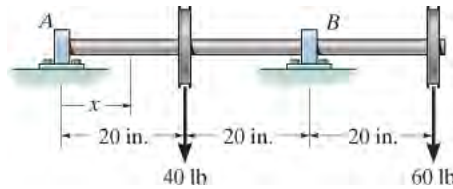
PROBLEMS

س 12-31. دا لاندی شافت په A کی جورنال بیرینگ او په B کی د ترست بیرینگ اتکاو لري. د ایلستیک منحنی معادله یې مشخص کړي. EI ثابت دی.



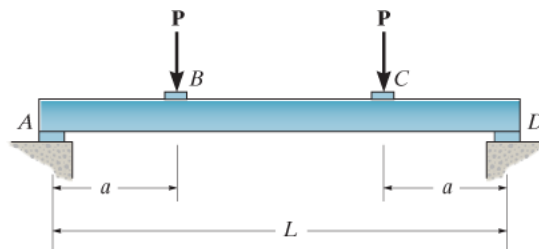
س 12-31

س *12-32. دا لاندی شافت د دوو څرخکی (Pulley) بارونو ملاتړ کوي. د ایلستیک منحنی معادله یې مشخص کړي. EI ثابت دی.



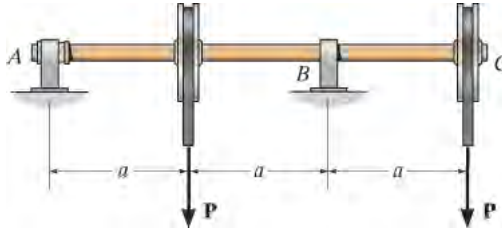
س 12-32

س 12-33. بیم له سیرامیکي (ceramic) موادو جوړه شوي. که چیری بنودل شوي ایلستیک بار ورباندی پلی شوي وی، او انرشیايي مؤمنت یې I او دبیم اعظمی بیخایه کیدنه په مرکز د بیم کی D اندازه شوي وی، د ایلستیسیتی ماجولس E یې و ټاکي. اتکاو په A او D کی یوازي عمودی ریکشنونه جوړه وي.



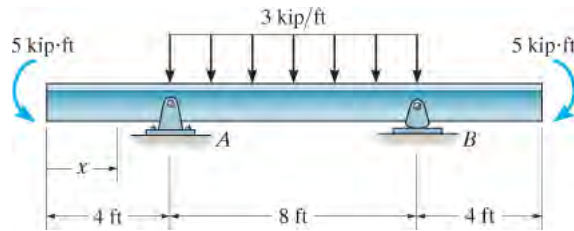
س 12-33

س 12-34. د ایلسټیک منحنی معادله، اعظمی بیخایه کیدنه په برخه AB ، او بیخایه کیدنه په C کی مشخص کړي. EI ثابت دی.



س 12-34

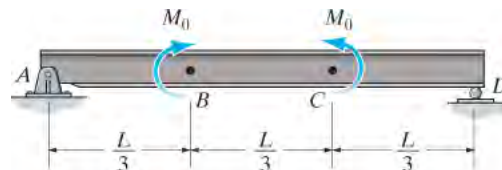
س 12-35. په بیم بنودل شوی بار پلی شوي. د ایلسټیک منحنی معادله یې مشخص کړي. EI ثابت دی.



س 12-35

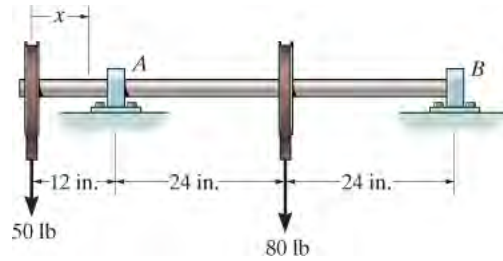
س 12-36*. د ایلسټیک منحنی معادله، میلان په A کی، او بیخایه کیدنه په B ، کی مشخص کړي. EI ثابت دی.

س 12-37. د ایلسټیک منحنی معادله، او اعظمی بیخایه کیدنه د ساده اتکاء بیم مشخص کړي. EI ثابت دی.



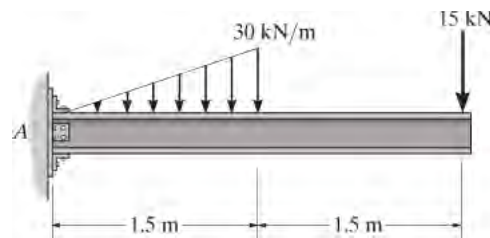
س 12-36/37

س 12-38. دا لاندی شافټ د دوو څرخکی (Pulley) بارونو ملاتړ کوي. د ایلسټیک منحنی معادله یې مشخص کړي. EI ثابت دی.



س 12-38

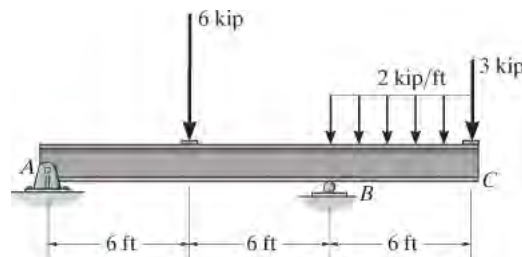
س 12-39. اعظمی بیخایه کیدنه د کنټیلیور بیم مشخص کړي. له $E = 200 \text{ GPa}$ او $I = 65.0 \times 10^6 \text{ mm}^4$ کار واخلي.



س 12-39

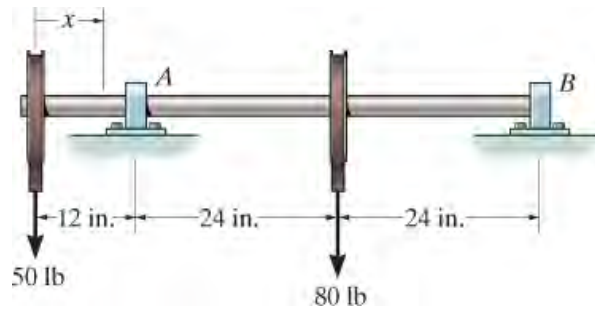
س 12-40*. میلان په A او بیخایه کیدنه په پای C د وتلي بیم و ټاکي. له $E = 29 \times 10^3 \text{ ksi}$ او $I = 204.0 \text{ in}^4$ کار واخلي.

س 12-41. اعظمی بیخایه کیدنه په برخه AB د وتلي بیم و ټاکي. له $E = 29 \times 10^3 \text{ ksi}$ او $I = 204.0 \text{ in}^4$ کار واخلي.



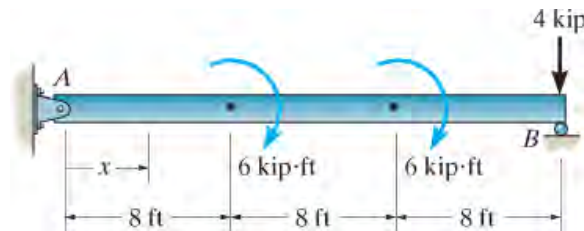
س 12-40/41

س 12-42. دا لاندی شافت د دوو څرخي (Pulley) بارونو ملاتړ کوي. میلان د شافت په A او B کی مشخص کړي. دواړه بیرینگ یوازي عمودی ریکشنونه په شافت جوړه وي. EI ثابت دی.



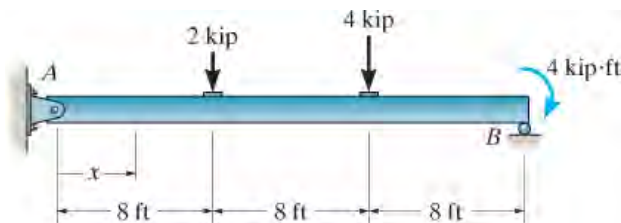
س 12-42

س 12-43. د ایلسټیک منحنی معادله مشخص کړي. EI ثابت دی.



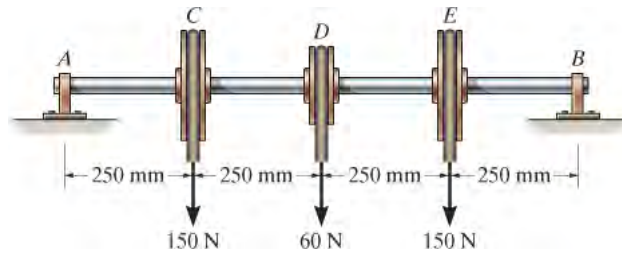
س 12-43

س 12-44* . د ایلسټیک منحنی معادله مشخص کړي. EI ثابت دی.



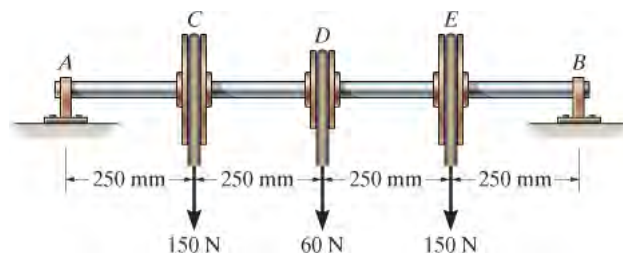
س 12-44

س 12-45. بیخایه کیدنه په څرخکیو C ، D ، او E کی معلوم کړي. شافت له فولادو جوړ شوی او قطر یې 30 mm دي. $E_{st} = 200 \text{ GPa}$.



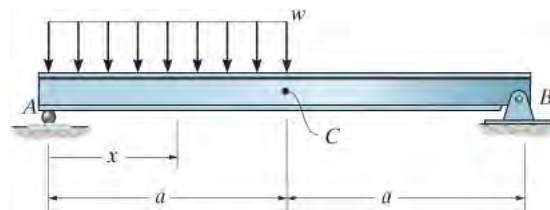
س 12-45

س 12-46. میلان د شافت په A او B کی مشخص کړي. شافت له فولادو جوړ شوی او قطر یې 30 mm دي بیرینگ یوازي عمودی ریکشنونه په شافت جوړه وي. $E_{st} = 200 \text{ GPa}$.



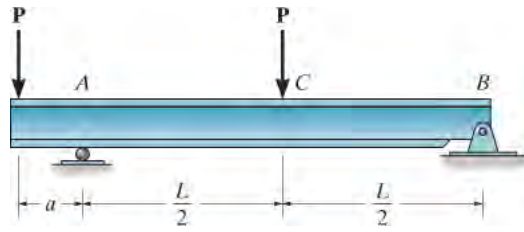
س 12-46

س 12-47. د ایلستیک منحنی معادله مشخص کړي. میلان په A او B کی وټاکي. EI ثابت دی.



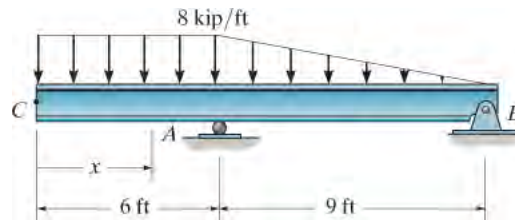
س 12-47

س 12-48*. ارزښت د a داسی معلوم کړي چی بیخایه کیدنه په C کی صفر وی. EI ثابت دی.



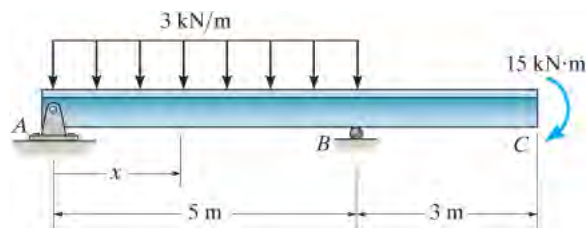
س 12-48

س 12-49. بیخایه کیدنه په C کی او میلان په A کی معلوم کړي. . EI ثابت دی.



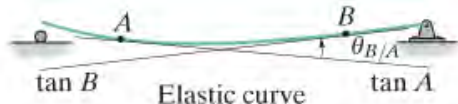
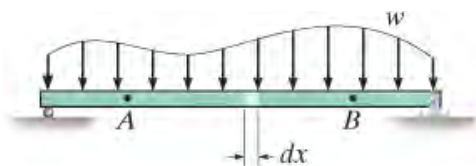
س 12-49

س 12-50. معادله د میلان او ایلسټیک منحنی مشخص کړي. EI ثابت دی.

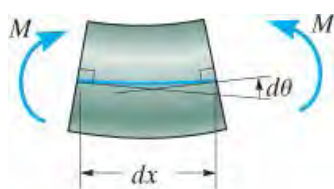


س 12-50

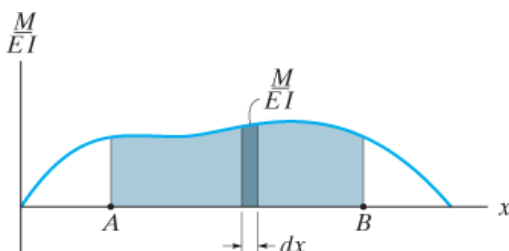
12.4* میلان او بیخایه کیدنه د مؤمنت-مساحت په طریقہ (SLOPE AND DISPLACEMENT BY MOMENT- AREA (METHOD



(a)



(b)

 $\frac{M}{EI}$ Diagram

(c)

انځور 12-19

د مؤمنت-مساحت (Moment-Area) طریقہ یو نیمه گرافیک تخنیک د میلان او بیخایه کیدنی موندلو لپاره، په ځانگړو نقطو د ایلستیک منحنی د بیم یا شافت، چمتو کوي. د دی طریقې پلي کول د بیم د مؤمنت ډیاگرام د برخې ساحې محاسبې ته اړتیا لري؛ او که چیرې دا ډیاگرام شامل د ساده شکلونووي، نو ددی طریقې کارول خورا اسانه دي.

د مؤمنت-ایریا میتود رامینځته کولو لپاره مور به ورته انگیرني وکړو کوم چی مور د انټیگریشن میتود لپاره وکارولي: بیم په پیل کې مستقیمه ده، دا د بارونو پواسطه په ایلستیک ډول بیخایه شوي، په دی ډول چی میلان او بیخایه کیدنه د ایلستیک منحنی ډیر کوچنی دی، او یوازي کوریدنه د شکل د بدلون سبب

کیري. د مؤمنت-ساحی طریقہ په دوو تیورمونو ولاړه ده، یو یې د میلان د ټاکلو لپاره کارول کیري، او بل یې د بی خایه کیدو معلومولو لپاره.

اول تیورم (Theorem 1). یو ساده ډول ملاتړ شوی بیم، کوم

چی په انځور 12-19a کې ښودل شوي، او د هغې اړوند ایلستیک منحنی په پام کې ونیسی. د بیم یو توپیری برخه dx په انځور 12-19b کې ښودل شوي. دلته د بیم داخلي مؤمنت M عنصر ته داسی تغیر د شکل ورکوي چی مماس په هر اړخ کې د ایلستیک منحنی په یوه زاویه $d\theta$ نښلوي. دا زاویه د معادلی 12-10 سره ټاکل کیدی شي او لیکلي شو

$$EI \frac{d^2 v}{dx^2} = EI \frac{d}{dx} \left(\frac{dv}{dx} \right) = M$$

څرنګه چی میلان کوچني دی، بیا $q = du/dx$ او په دی توګه

$$d\theta = \frac{M}{EI} dx \quad (12-16)$$

که چیری مؤمنت ډایگرام د بیم جور شي ، او بیا د کوروالی په شخي EI (flexural rigidity) تقسم شي ، انځور 12-19c ، نو بیا دا معادله بنایي چی dq مساوی ده په ساحه د M/EI ډایگرام لاندی د بیم برخی dx لپاره. د ایلستیک منحنی له یوه ټکی A څخه تر بل ټکی B پوری دا انټیگریت کوو، مور لرو:

$$\theta_{B/A} = \int_A^B \frac{M}{EI} dx \quad (12-17)$$

دا پایلی د مؤمنت-مساحت د اولی تیورم اساس جوړه وي.

زاویه په منځ د مماسونو چی له هر دوه نقطو د ایلستیک منحنی رسم شوی وی مساوی کیري په ساحه تر M/EI ډایگرام ترمنځ د ددی دو نقطو کی. زاویه په ریډیانو کی اندازه کیري.

دا $q_{B/A}$ هغه زاویې ته اشاره کوي چی له مماس B اندازه کیري نسبت مماس په A کی. د ثبوت څخه دا باید څرگنده شي چی دا زاویه د ساعت د حرکت په مقابل کی اندازه کیري، له مماس A څخه د مماس B پورې، که چیری ساحه د M/EI ډیگرام لاندی مثبتته وی. برعکس، که ساحه منفي وي، یا د x محور لاندی پرته وی، زاویه $q_{B/A}$ د ساعت په لور اندازه کیري له مماس A څخه مماس B ته .

تیورم 2. (Theorem 2) دوهم مؤمنت مساحت تیورم پر بنسټ د نسبی انحراف د مماسونو له ایلستیک منحنی څخه دی. انځور 12-20a خورا مبالغه شوی لید د عمودی انحراف dt د مماسونو په هر اړخ د کوچني عنصر dx بنیي. دا انحراف د عنصر د انحنا له امله رامنځته شوي، او د عمودی کرښې سره چی د A نقطې څخه په ایلستیک منحنی تیریري، اندازه شوی. له دې چی میلان او د هغې انعطاف خورا کوچنی گڼل کیري، دا د قناعت وړ دی چی اورډوالی د هر مماس کرښی د x په واسطه او د قوس ds د dt په واسطه. د دایروی قوس فورمول $s = qr$ په کارولو، چیری چی r اورډوالی x او s د dt دی، مور کولی شو $dt = x dq$ ولیکو. معادله 12-16 په دی مساوات کی ځای په ځای کړو او بیایي له A تر B انټیگریت کړو، عمودی انحراف د میلان په A کی نسبت میلان په B کی کیري

$$t_{A/B} = \int_A^B x \frac{M}{EI} dx \quad (12-18)$$

ځکه چې د یوې سیمې مرکز ثقل موندل کیږي له $\bar{x} \int dA = \int x dA$ او $\int (M/EI) dx$ استازیتوب کوي لاندې ساحه د M/EI د ډیاگرام، مور کولی شو چې ولیکو:

$$t_{A/B} = \bar{x} \int_A^B \frac{M}{EI} dx \quad (12-19)$$

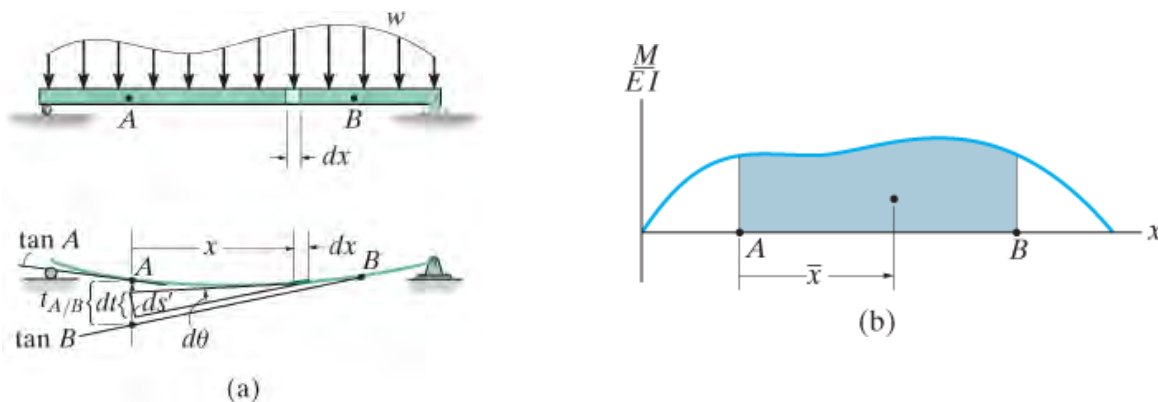
دلته x فاصله د A څخه تر مرکز ثقل د M/EI ډیاگرام ساحې لاندې د A او B په منځ کې ده، انځور 12-20b وویښي.

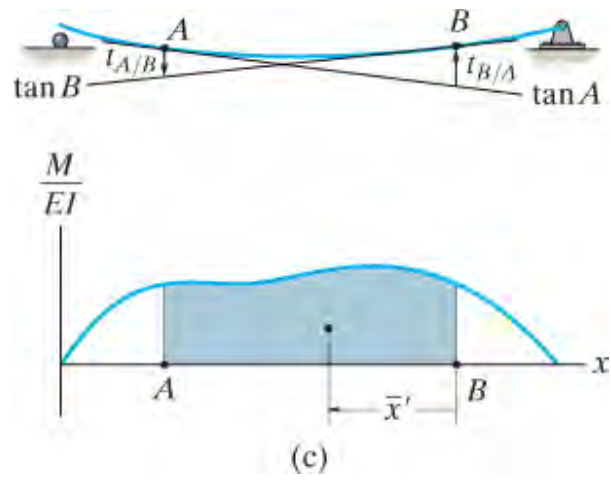
د مؤمنت مساحت دویم تیورم اوس په لاندې ډول ویل کېدی شي:

عمودی فاصله تر منځ د مماس په یوه نقطه (A) کې په ایلسټیک منحنی باندې او د بل ټکي (B) څخه غزول شوي مماس مساوي دي په مؤمنت د M/EI ډیاگرام لاندې ساحې تر منځ د دغو دوو نقطو A او B دا مؤمنت د نقطې (A) په اړه محاسبه کیږي چېری چې عمودی فاصله $(t_{A/B})$ باید وټاکل شي.

په یاد ولری چې $t_{A/B}$ د $t_{B/A}$ سره مساوي ندي، کوم چې په انځور 12-20c کې ښودل شوي. ځکه چې د A او B تر منځ د M/EI ډیاگرام لاندې د ساحې مؤمنت د $T_{A/B}$ د ټاکلو لپاره د A نقطې په اړه محاسبه کیږي، انځور 12-20b، او دا محاسبه کیږي د B نقطې په اړه د $t_{B/A}$ معلومولو لپاره، انځور 12-20c.

که $t_{A/B}$ د مثبت M/EI ساحې په منځ د A او B له مؤمنت څخه محاسبه شي، دا په گوته کوي چې له A له غزول شوي مماس د B څخه پورته دی، انځور 12-20a. په ورته ډول، منفي M/EI ساحې ښيي چې A به لاندې وي له غزول شوي tangent مماس له B . دا ورته قاعده د $t_{B/A}$ لپاره پلي کیږي.





انځور 12-20

د تحلیل کرنلاره

PROCEDURE FOR ANALYSIS

دا لاندې کرنلاره د دواړو مؤمنت مساحت تیورموکارولو لپاره طریقه چمتو کوي .

M/EI دایگرام (M/EI Diagram).

- د اتکاء ریکشنونه مشخص کړئ او د بیم M/EI دایگرام رسم کړئ. که په بیم متمرکزې قواوې او یا کپل مؤمنت بار شوی وي ، د M/EI دایگرام به یو لړ مستقیم کرني برخې ولري، اود ساحې او مؤمنت محاسبه کول به یې د مؤمنت-مساحت تیورم لپاره نسبتاً اسانه وي. که ویشلشوی بارونه پلي شوی وي د M/EI دایگرام به پارابولیک یا شاید د لور ترتیب منحنی څخه جوړ وي، او په دې حالت کې دا وړاندیز کیري چې له هغه جدول چې ددی کتاب په داخلي مخ پوښ کې موجود دی تری کار واخستل شی تر څو د هر منحنی لاندې ساحه او د ثقل مرکز یې و موندل شي.

ایلسټیک منحنی (Elastic Curve).

- د بیم د ایلسټیک منحنی مبالغه لرونکی بڼه رسم کړئ. دا په یاد ولرئ چې د صفر میلان نقطې او د صفر بې ځایه کیدنه تل په اتکاؤو کې واقع کیري .
- نامعلوم بې ځایه کیدنه او میلان چې باید وټاکل شي په منحنی باندې نښانې کړی.
- څرنګه چې د مؤمنت-مساحت یا ساحې تیوریګانې یوازې د دوو مماسونو تر منځ پلي کیري، پاملرنه باید ورکړل شي چې کوم مماس باید داسې جوړ شي چې تر منځ زاویې یا عمودي فاصله به یې د پوښتنې د حل لامل شي. په ځانګړې توګه، مماس په اتکاء کې باید په پام کې ونیول شي، ځکه چې بیم په اتکاء کې صفر میلان او یا صفر بې ځایه کیدنه لري.

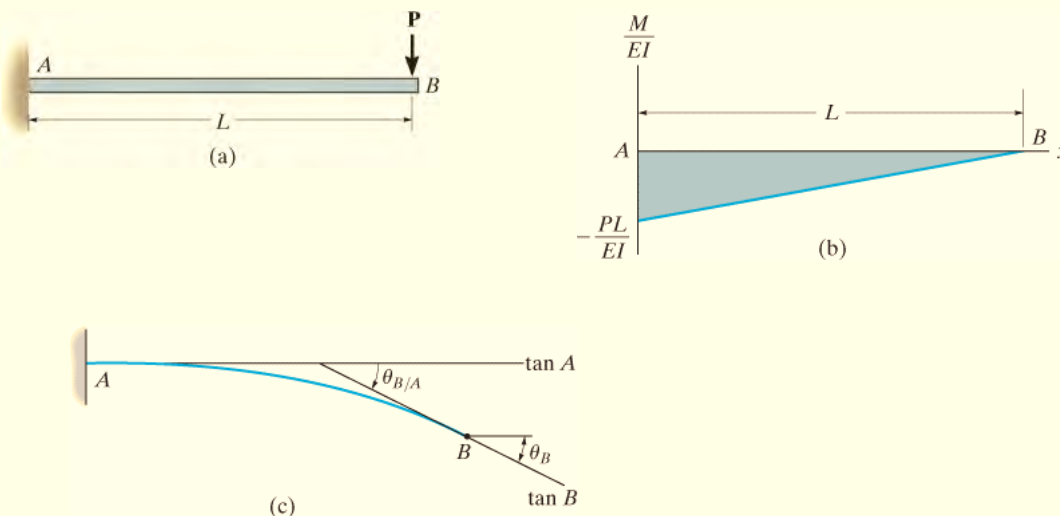
د مؤمنت – مساحت تیورمونه (Moment-Area Theorems).

- د منحنی د دو مماسو تر منځ د زاویې ټاکلو لپاره اول تیورم (1) تطبیق کړئ ، او د مماسونو تر منځ د عمودی فاصلې ټاکلو لپاره له دوهم تیورم کار واخلي.
- مثبت $q_{B/A}$ استازیتوب د ساعت په مقابل حرکت د مماس په B نسبت مماس په A کې کوي، او مثبت $t_{B/A}$ په ګوته کوي چې B په ایلسټیک منحنی په پورته خوا د غځول شوی میلان له A څخه موقعیت لري.

مثالونه

مثال 12.7

میلان د دی لاندی بیم چی په انخوړ 12-21a کی بنودل شوي په تکی B کی و تاکی. EI د بیم ثابت دی.



انخوړ 12-21

حل (SOLUTION)

M/EI ډایگرام (M/EI Diagram). انخوړ 12-21b و گوري.

ایلسټیک منحنی (Elastic Curve). قوه P لامل د بیم د بیخایه کیدو لکه څنگه چی په انخوړ 12-21c کی بنودل شوي کیږي. مماس په B کی بنودل شوي ځکه چی مور غواړو q_B و تاکو. همدارنگه مماس په اتکاء A کی هم بنودل

شوی. دا مماس صفر میلان لري. زاویه په منځ د مماس A او مماس B کی مساوی ده په q_B . نو بیا لرو

د مؤمنت - مساحت تیورم (Moment-Area Theorem). اول تیورم پلی کوو، $q_{B/A}$ مساوی کیږی په ساحه د M/EI ډایگرام د A او B تر منځ، او هغه دی:

$$\theta_B = \theta_{B/A}$$

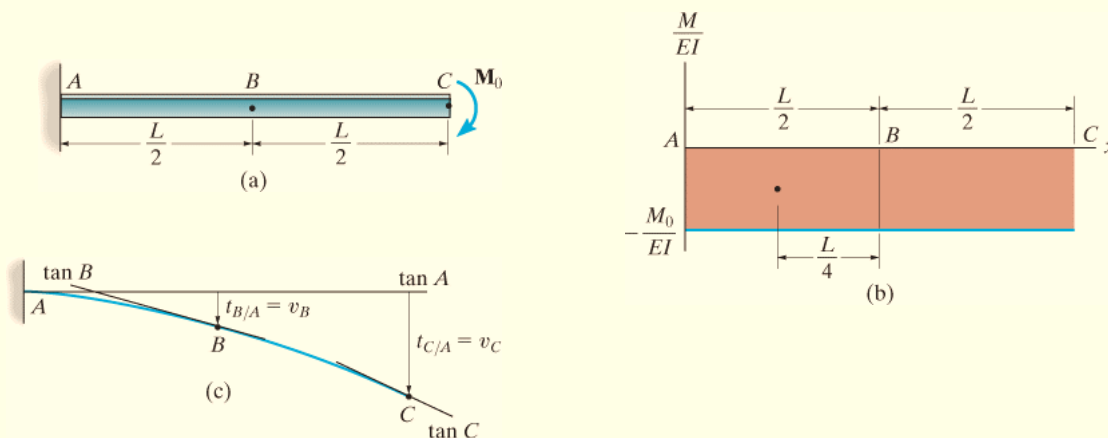
$$\theta_B = \theta_{B/A} = \frac{1}{2} \left(-\frac{PL}{EI} \right) L$$

$$= -\frac{PL^2}{2EI} \quad \text{Ans.}$$

دا منفي علامه بنيي چي زاويه اندازه کيزي له مماس په A تر مماس B د ساعت د حرکت په لور. دا يو بل واقعيت دی ځکه چي د بيم ميلان په B کې په بنکته لور دی.

مثال 12.8

ددی لاندی بيم ، انځور 12-22a ، بيځايه کيدنه په ټکی B او C کې و ټاکي. EI د بيم ثابت دی.



انځور 12-22

حل (SOLUTION)

M/EI ډايگرام (M/EI Diagram). انځور 12-22b و گوري.

ايلستیک منحنی (Elastic Curve). بنودل شوی کپل مؤمنت په C کې لامل د بيم د بيځايه کيدنی شوي، انځور 12-22c و گوري. مماسونه په B او C کې ځکه بنودل شوي چي مور غواړو بيځايه کيدنه U_B او U_C معلومی کړو. همدا رنگه مماس په اتکاء A کې ځکه بنودل شوي چي افقی دی. غوښتل شوی بيځايه کيدنه اوس په تر او د عمودی فاصله په منح دی مماس په B او A او C سره وټاکو. په ځانگړی توگه

$$v_B = t_{B/A}$$

$$v_C = t_{C/A}$$

د مؤمنت - مساحت تیورم (Moment-Area Theorem). دوهمه تیورم پلی کوو، $t_{B/A}$

مساوی دی په مؤمنت د سیوری شوی ساحی M/EI ډایگرام لاندی په منخ د A او B کوم چی محاسبه کیږی په B (نقطه په ایلسټیک منحنی) خکه چی دا هغه نقطه ده چی دلته عمودی فاصله غواړو معلومه کړو. نو بیا له انخور 12-22b لیکلی شو

$$v_B = t_{B/A} = \left(\frac{L}{4}\right) \left[\left(-\frac{M_0}{EI}\right) \left(\frac{L}{2}\right) \right] = -\frac{M_0 L^2}{8EI} \quad \text{Ans.}$$

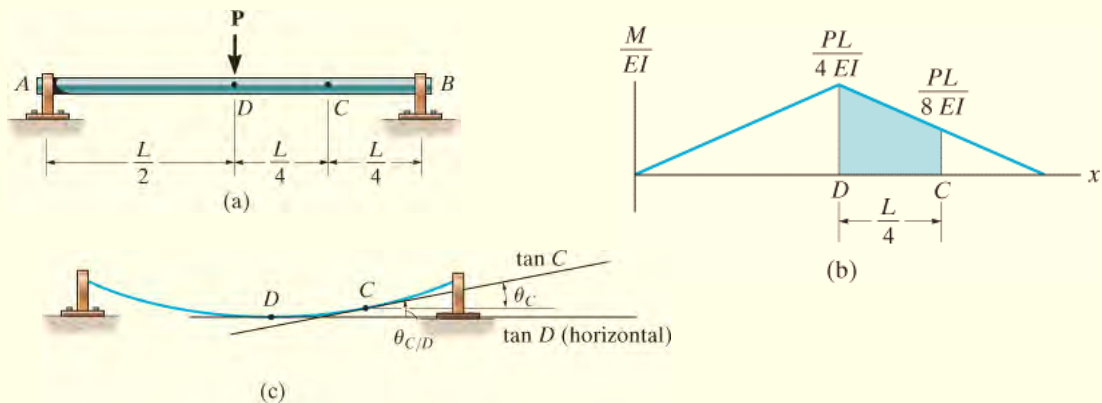
په ورته ډول مؤمنت د ساحی M/EI ډایگرام له A تر C پوری په ټکی C (نقطه په ایلسټیک منحنی). مور لرو

$$v_C = t_{C/A} = \left(\frac{L}{2}\right) \left[\left(-\frac{M_0}{EI}\right) (L) \right] = -\frac{M_0 L^2}{2EI} \quad \text{Ans.}$$

خکه چی دواړه خوابونه منفی دی، دا بنیې چی B او C تر مماس لاندی چی په A کی دی موقعیت لری. دا له انخور 12-22c سره چک کیږی.

مثال 12.9

ددی لاندی شافت، انخور 12-23a، لپاره میلان په ټکی C کی مشخص کړی. EI د شافت ثابت دی.



انخور 12-23

حل (SOLUTION)

M/EI ډایگرام (**M/EI Diagram**). انځور 12-23b کی وگوري.

ایلیسٹیک منحنی (Elastic Curve). څرنګه چی بار په شافت باندی په متناظر شکل پلي شوي، له دی امله ایلیسٹیک منحنی یې هم متناظر دی او مماس په D کی افقی موقعیت لری، انځور 12-23c وگوري. مماس په C کی رسم شوی ځکه چی مور باید میلان q_C په C کی وټاکو. په رسم کولو سره مور وینو چی زاویه په منځ د $\tan D$ او $\tan C$ مساوی ده په q_C ، او هغه ده

$$\theta_C = \theta_{C/D}$$

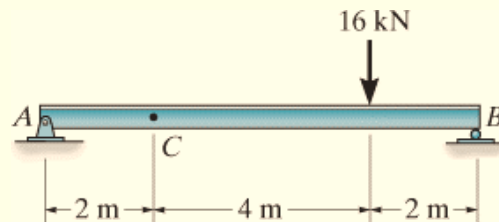
د مؤمنت - مساحت تیورم (Moment-Area Theorem). له اولی تیورم کار اخلو، $q_{C/D}$ مساوی ده په سیوری شوی ساحه M/EI ډایگرام د D او C په منځ کی. مور لرو

$$\theta_C = \theta_{C/D} = \left(\frac{PL}{8EI}\right)\left(\frac{L}{4}\right) + \frac{1}{2}\left(\frac{PL}{4EI} - \frac{PL}{8EI}\right)\left(\frac{L}{4}\right) = \frac{3PL^2}{64EI} \quad \text{Ans.}$$

پوښتنه: حاصل شوي مثبت نتیجه څه تشریح کوي؟

مثال 12.10

د دی لاندی فولادی بیم ، انځور 12-24a ، میلان په ټکی C کی معلوم کړي. له $E_{st} = 200\text{GPa}$ او $I = 17(10^6) \text{mm}^4$ کار واخلي.



(a)

انځور 12-24

حل (SOLUTION)

M/EI ډایگرام (**M/EI Diagram**). انځور 12-24b و گوري.

ایلستیک منحنی (Elastic Curve).

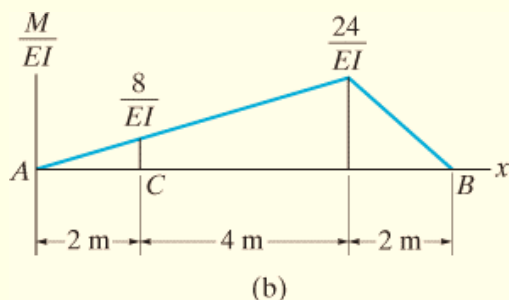
ایلستیک منحنی په انځور 12-24c کی بنودل شوي. دلته مور غواړو چی q_C و ټاکو.

مماسونه په اتکاوو A او B هم په انځور کی بنودل شوي. میلان په A کی، q_A ، چی په انځور

$$|\theta_A| = |t_{B/A}|/L_{AB}.$$

وموندل شی. دا تعادل د منلو وړ دی ځکه چی $t_{B/A}$ خورا کوچني ده، داسي چی $t_{B/A}$ په اورډوالي د یو دایروی قوس سره، چی شعاع یې $L_{AB} = 8\text{ m}$ او یو حرکت د q_A په رادیان سره، فرض کرل شی. (په یاد ولري چی $s = qr$). د انځور 12-24c له هندسی مور لیکلي شو

$$|\theta_C| = |\theta_A| - |\theta_{C/A}| = \left| \frac{t_{B/A}}{8} \right| - |\theta_{C/A}| \quad (1)$$



د مؤمنت-مساحت تیورم (Moment-Area Theorem)

(Theorem 1). د مؤمنت-مساحت له اولی (1)

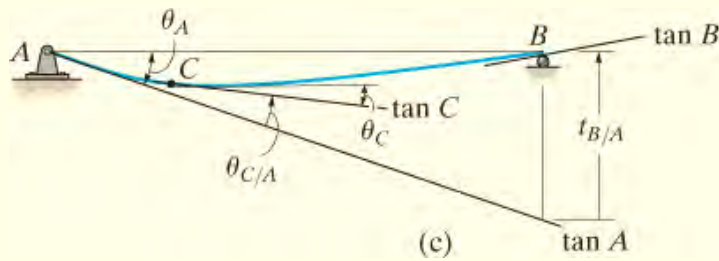
تیورم کار اخلو، $q_{C/A}$ مساوی دی په ساحه د M/EI ډایگرام د A او C په منځ کی، او هغه دی:

$$\theta_{C/A} = \frac{1}{2}(2\text{ m})\left(\frac{8\text{ kN}\cdot\text{m}}{EI}\right) = \frac{8\text{ kN}\cdot\text{m}^2}{EI}$$

د دوهمی تیورم (2) په کارولو سره $t_{B/A}$ مساوی دی په مؤمنت د ساحي M/EI ډایگرام په منځ د

A او B په ټکی B کی (ټکی په ایلستیک منحنی دي). لدینه چی دا هغه نقطه ده چی عمودی فاصله باید وموندل شي. مور لرو:

$$\begin{aligned}
 t_{B/A} &= \left(2 \text{ m} + \frac{1}{3}(6 \text{ m}) \right) \left[\frac{1}{2}(6 \text{ m}) \left(\frac{24 \text{ kN} \cdot \text{m}}{EI} \right) \right] \\
 &\quad + \left(\frac{2}{3}(2 \text{ m}) \right) \left[\frac{1}{2}(2 \text{ m}) \left(\frac{24 \text{ kN} \cdot \text{m}}{EI} \right) \right] \\
 &= \frac{320 \text{ kN} \cdot \text{m}^3}{EI}
 \end{aligned}$$



انځور 12-24 (تکرار)

دا حاصل شوی په معادله 1 کی ځای په ځای کوو، او مور لرو

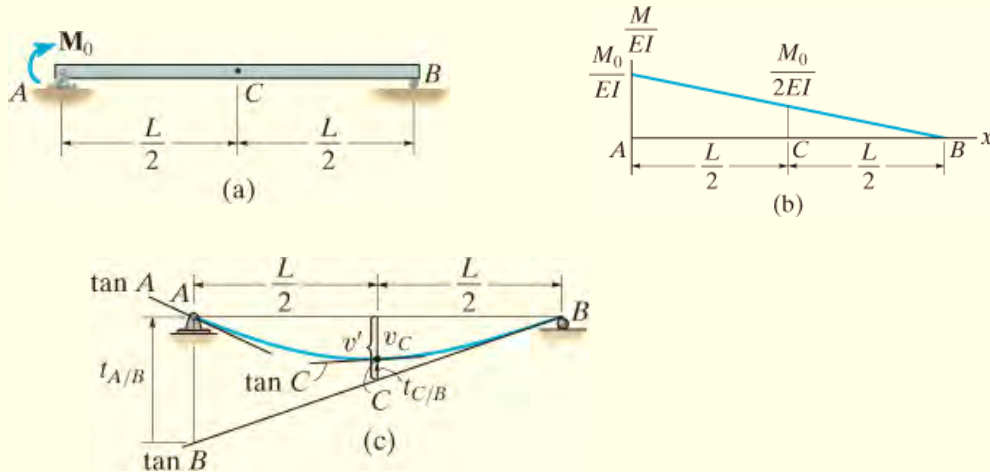
$$\theta_C = \frac{320 \text{ kN} \cdot \text{m}^2}{(8 \text{ m})EI} - \frac{8 \text{ kN} \cdot \text{m}^2}{EI} = \frac{32 \text{ kN} \cdot \text{m}^2}{EI} \curvearrowright$$

کله چی یو ډول واحدونو کارواخیستل شی بیا مور لرو:

$$\theta_C = \frac{32 \text{ kN} \cdot \text{m}^2}{[200(10^6) \text{ kN/m}^2][17(10^{-6}) \text{ m}^4]} = 0.00941 \text{ rad} \curvearrowright \quad \text{Ans.}$$

مثال 12.11

ددی لاندی بیم ، انځور 12-25a ، بیخاه یکیدنه په C کی و ټاکي. EI د بیم ثابت دی.



انځور 12-25

حل (SOLUTION)

M/EI ډایگرام (M/EI Diagram). انځور 12-25b و گوري.

ایلستیک منحنی (Elastic Curve). مماس په C کې په ایلستیک منحنی رسم شوی ځکه چې د U_C موندلو لپاره اړین دي، انځور 12-25c . (په یاد ولری چې C اعظمی بیخایه کیدنه په بیم کې نه ده، ځکه چې بار او له همدې امله ایلستیک منحنی متناظر نه دي.) همدا رنگه څرنګه چې په انځور 12-25c کې مماس په اتکاء A او B کې لیدل کیږي. داسې ښکاري چې $U_C = U' - t_{C/B}$. که $t_{A/B}$ وټاکل شي، بیا U' کیدی شي چې د مثلثونو له تناسب څخه وموندل شي ، دا دی ، $U' / (L/2) = t_{A/B} / L$ یا $U' = t_{A/B} / 2$ له همدې امله:

$$v_C = \frac{t_{A/B}}{2} - t_{C/B} \quad (1)$$

د مؤمنت - مساحت تیورم (Moment-Area Theorem). دوهم (2) تیورم پلي کوونکي څو $t_{A/B}$ او $t_{C/B}$ و ټاکو، مور لرو

$$t_{A/B} = \left(\frac{1}{3}(L)\right) \left[\frac{1}{2}(L) \left(\frac{M_0}{EI}\right)\right] = \frac{M_0 L^2}{6EI}$$

$$t_{C/B} = \left(\frac{1}{3}\left(\frac{L}{2}\right)\right) \left[\frac{1}{2}\left(\frac{L}{2}\right) \left(\frac{M_0}{2EI}\right)\right] = \frac{M_0 L^2}{48EI}$$

کله چی دا په معادله (1) کی خای پر خای کړو، دا لاندی په لاس راځي

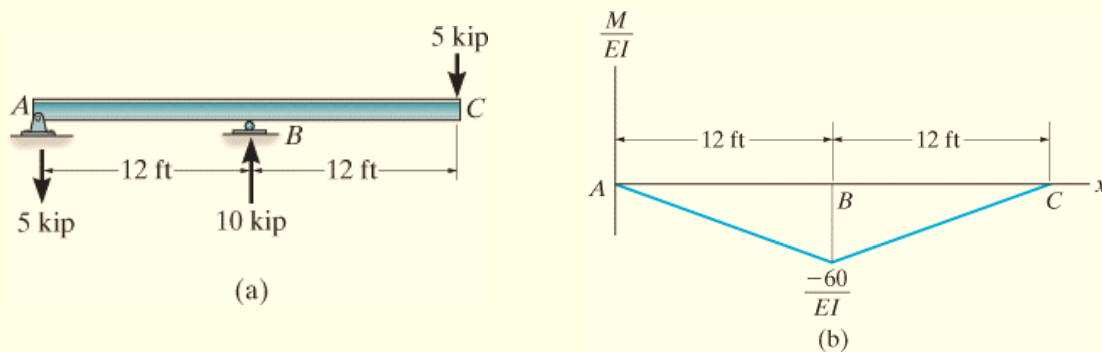
$$v_C = \frac{1}{2} \left(\frac{M_0 L^2}{6EI}\right) - \left(\frac{M_0 L^2}{48EI}\right)$$

$$= \frac{M_0 L^2}{16EI} \downarrow$$

Ans.

مثال 12.12

ددی لاندی وتلی برخی فولادی بیم، انځور 12-26a، بیخایه کیدنه په ټکی C کی مشخص کړي. $E_{st} = 29(10^3)$ ksi او $I = 125 \text{ in}^4$ ارزبنتونه و کاروي.



انځور 12-26

حل (SOLUTION)

M/EI ډایگرام . انځور 12-26b و گوري.

ایلستیک منحنی (Elastic Curve). پلی شوی بار بیم ، څرنګه چی په انځور

12-26c کی بنودل شوی، بیخایه کوی. مور غواړو چی U_C و ټاکو. کله چی مماس په C او

اتکاؤ و A او B کی رسم کړو دا ډول لیدل کیري: $v_C = |t_{C/A}| - v'$

په هر صورت U کیدی شی چی د $t_{B/A}$ سره د مثلثونو په تناسب تړاو ولري، یعنی

$$v' = 2|t_{B/A}| \quad \text{او یا} \quad v'/24 = |t_{B/A}|/12$$

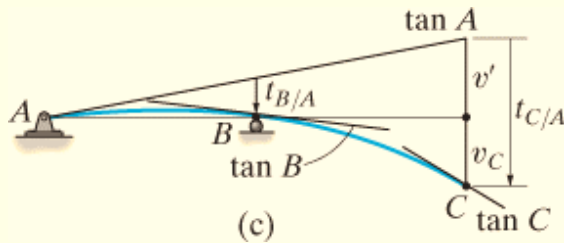
له همدی امله مور لرو:

$$v_C = |t_{C/A}| - 2|t_{B/A}| \quad (1)$$

د مؤمنت -مساحت تیورم (Moment-Area Theorem). د مؤمنت-مساحت دوهم (2)

تیورم

پلی کوو تر څو $t_{C/A}$ او $t_{B/A}$ و ټاکو، مور لرو



انځور 12-26 (ادامه)

$$\begin{aligned} t_{C/A} &= (12 \text{ ft}) \left(\frac{1}{2} (24 \text{ ft}) \left(-\frac{60 \text{ kip} \cdot \text{ft}}{EI} \right) \right) \\ &= -\frac{8640 \text{ kip} \cdot \text{ft}^3}{EI} \end{aligned}$$

$$t_{B/A} = \left(\frac{1}{3} (12 \text{ ft}) \right) \left[\frac{1}{2} (12 \text{ ft}) \left(-\frac{60 \text{ kip} \cdot \text{ft}}{EI} \right) \right] = -\frac{1440 \text{ kip} \cdot \text{ft}^3}{EI}$$

پوښتنه: ولی دا ځوابونه منفي دی؟ کله چی دا ځوابونه په معادله (1) کی ځای پر ځای شی دا لاندی په لاس راځي:

$$v_C = \frac{8640 \text{ kip} \cdot \text{ft}^3}{EI} - 2 \left(\frac{1440 \text{ kip} \cdot \text{ft}^3}{EI} \right) = \frac{5760 \text{ kip} \cdot \text{ft}^3}{EI} \downarrow$$

کله چې له یو شان واحدونو کار واخیستل شي، دا لاندې په لاس راځي:

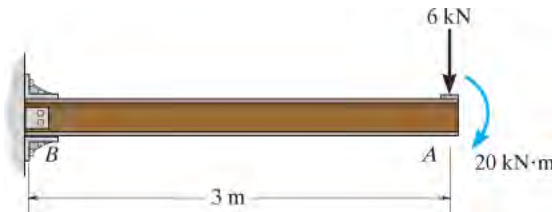
$$v_C = \frac{5760 \text{ kip} \cdot \text{ft}^3 (1728 \text{ in}^3 / \text{ft}^3)}{[29(10^3) \text{ kip/in}^2](125 \text{ in}^4)} = 2.75 \text{ in.} \downarrow \quad \text{Ans.}$$

بنسټيز پوښتنې

FUNDAMENTAL PROBLEMS

ب- 12-7. ددی لاندې کنټیلیور بیم میلان او بیخایه کیدنه په پای A کی و ټاکي.

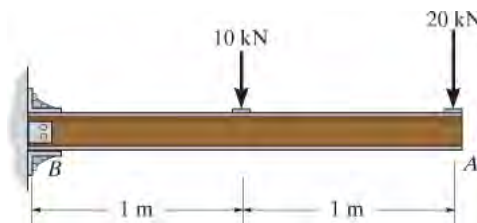
$E = 200 \text{ GPa}$ او $I = 65.0 (10^{-6}) \text{ m}^4$.



ب 12-7

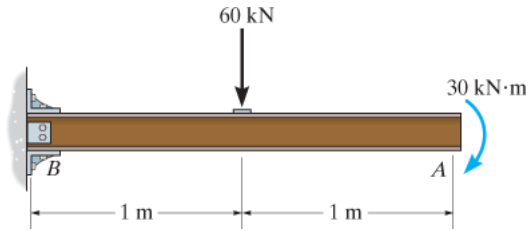
ب- 12-8. ددی لاندې کنټیلیور بیم میلان او بیخایه کیدنه په پای A کی و ټاکي.

$E = 200 \text{ GPa}$ او $I = 126.0 (10^{-6}) \text{ m}^4$.



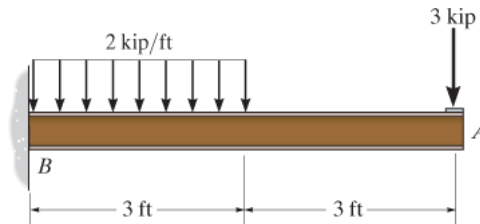
ب 12-8

ب- 12-9. ددی لاندی کنٹیلیور بیم میلان او بیخایہ کیدنه په پای A کی و تاکي.
 $E = 200 \text{ GPa}$ او $I = 121.0 (10^{-6}) \text{ m}^4$.



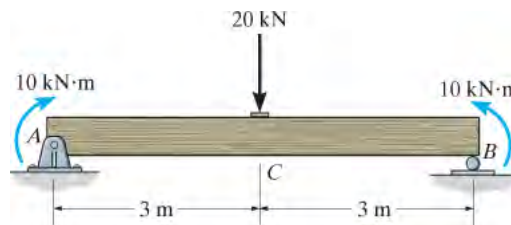
ب 12-9

ب- 12-10. ددی لاندی کنٹیلیور بیم میلان او بیخایہ کیدنه په پای A کی و تاکي.
 $E = 200 \text{ GPa}$ او $I = 121.0 (10^{-6}) \text{ m}^4$.



ب 12-10

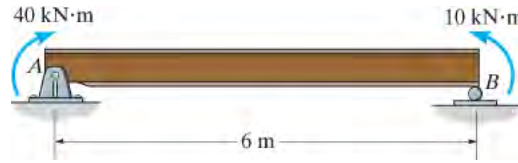
ب- 12-11. ددی لاندی ساده اتکاء بیم اعظمی بیخایہ کیدنه و تاکي.
 $E = 200 \text{ GPa}$ او $I = 42.8 (10^{-6}) \text{ m}^4$.



ب 12-11

ب- 12-12. ددی لاندی ساده اتکاء بیم اعظمی بیخایہ کیدنه و تاکي.

$$I = 39.9 (10^{-6}) \text{ m}^4 \text{ او } E = 200 \text{ GPa}$$

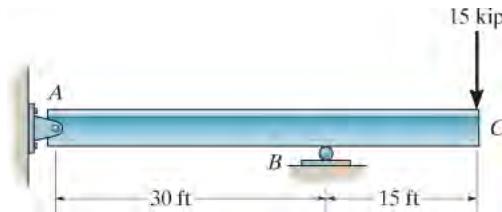


ب 12-12

سوالونه

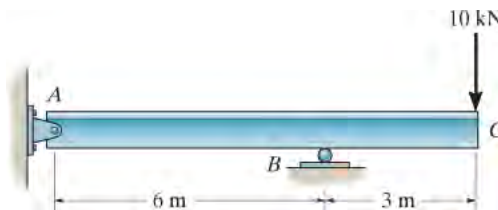
PROBLEMS

س 12-51. میلان او بیخایه کیدنه په C کی و ټاکی. EI د بیم ثابت دی.



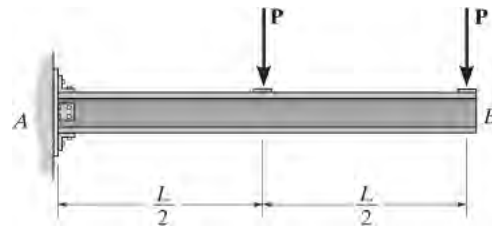
س 12-51

س 12-52*. میلان او بیخایه کیدنه په C کی و ټاکی. EI د بیم ثابت دی.



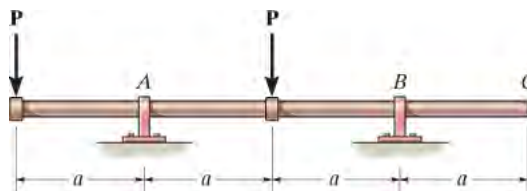
س 12-52

س 12-53. د کنتیلیور بیم پای B بیخایه کیدنه و ټاکی. EI د بیم ثابت دی.



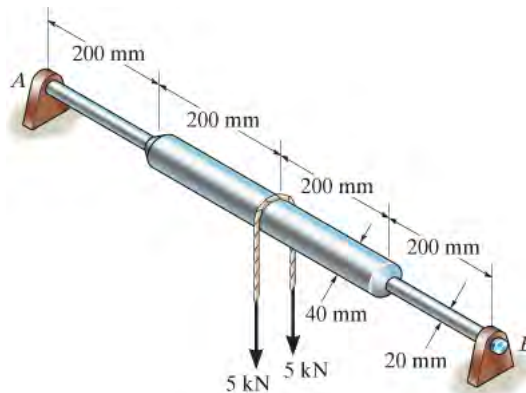
س 12-53

س 12-54. میلان په B او بیخایه کیدنه په C کی و ټاکی. EI د بیم ثابت دی.



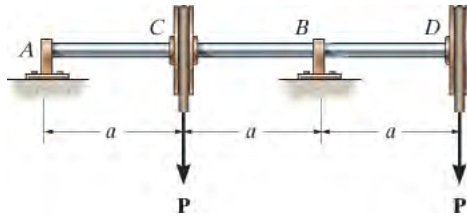
س 12-54

س 12-55. په دی لاندی کمپازیت فولادی شافت یوه قوه د 10 kN په مرکز کی ورباندی پلی شوي. اعظمی بیخایه کیدنه معلومه کړي. $E_{st} = 200 \text{ GPa}$.



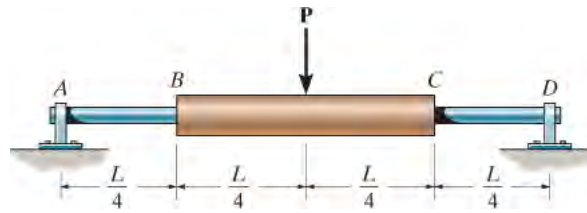
س 12-55

س 12-56*. میلان د شافت په A او بیخایه کیدنه په D کی و ټاکی. EI د شافت ثابت دی.



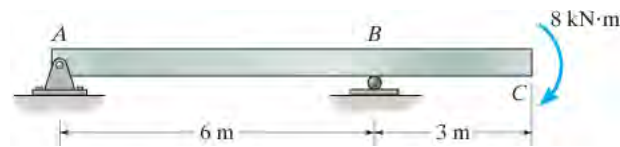
س 12-56

س 12-57. دا لاندی ساده اتکاء شافت په برخه BC کی انرشیایی مؤمنت پي $2I$ دی او په برخو AB او CD کی انرشیایی مؤمنت د I لري. اعظمی بیخایه کیدنه د بنافت د بار P له امله و ټاکي. ایلستیک ماجولس د شافت E دی.



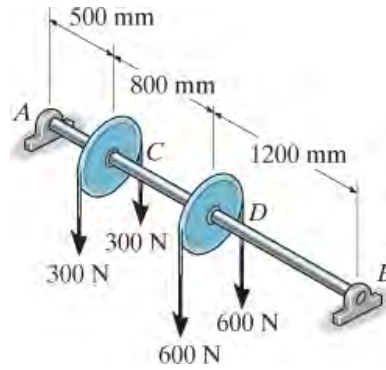
س 12-57

س 12-58. د لانید بیم بیخایه کیدنه په C او میلان په A ، B او C کی و ټاکي. EI د بیم ثابت دی.



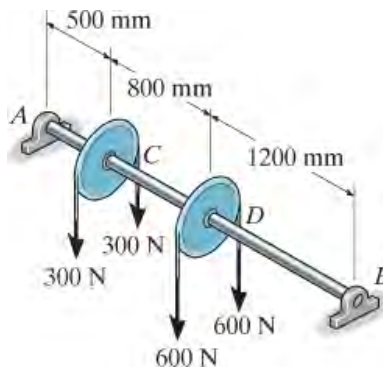
س 12-58

س 12-59. د لاندی 50-mm قطر فولادی A-36 شافت ، اعظمی بیخایه کیدنه و ټاکي.



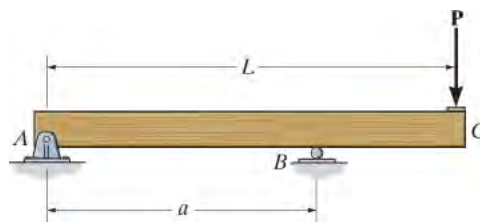
س 12-59

س *12-60. د لاندی قطر فولادی A-36 شافت ، میلان په جورنال بیرینگ A او B کی مشخص کړي. بیرینگونه تنها عمودی ریکشن په شافت جوړه وی.



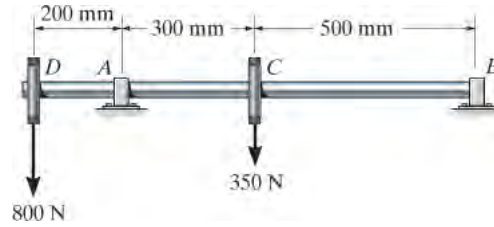
س 12-60

س 12-61. د رولر B موقعیت a نسبت اوږدوالي L ته داسی معلوم کړي ، کله چی بیخایه کیدنه په پای C کی مساوی په اعظمی بیخایه کیدنه د AB برخه د بیم شي. EI د بیم ثابت دی.



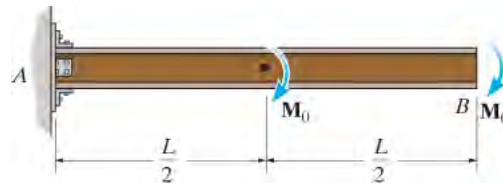
س 12-61

س 12-62. د لاندې 20-mm قطر فولادی A-36 شافت، میلان په جورنال بیرینگ A او B کی وټاکي.



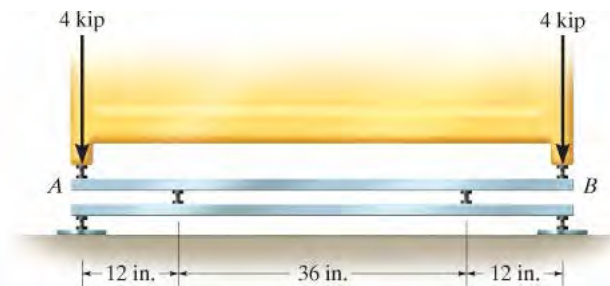
س 12-62

س 12-63. میلان او بیخایه کیدنه د پای B د کنټیلور بیم و ټاکي. EI د بیم ثابت دی.



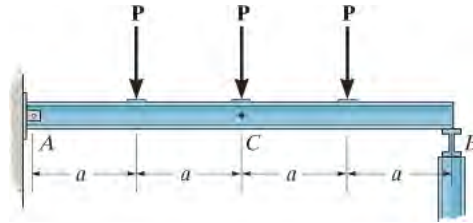
س 12-63

س *12-64. دوه فولادی A-36 میلی، ضخامت یې 1 in (یو انچ)، او سور (width) یې 4 in (څلور انچ) دی. دوی داسی ډیزاین شوی چی د یو فنر (spring) په شکل د ماشین لپاره چی یوه قوه 4 kip په A او B کی جوړه وی، کار وکړي. که اتکاءوی یوازې عمودي قواوي په میله باندی جوړی کړي، اعظمی بیخایه کیدنه د بنکته میلی و ټاکي.



س 12-64

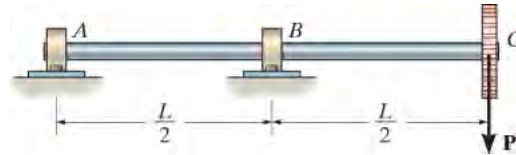
س 12-65. میلان پہ A او بیخایہ کیدنه پہ C کی وٹاکی. اتکاء پہ A کی پن او پہ B کی رولر فرض کری. EI د بیم ثابت دی.



س 12-65

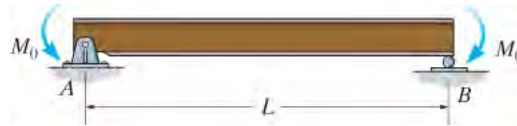
س 12-66. بیخایہ کیدنه پہ C او میلان پہ بیرینگونو A او B کی وٹاکی. EI د بیم ثابت دی.

س 12-67. اعظمی بیخایہ کیدنه پہ برخه AB کی وٹاکی. EI د بیم ثابت دی.



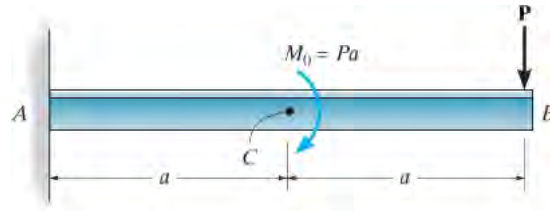
س 12-66/67

س 12-68*. میلان پہ A او اعظمی بیخایہ کیدنه ددی سادہ اتکاء بیم وٹاکی. EI د بیم ثابت دی.



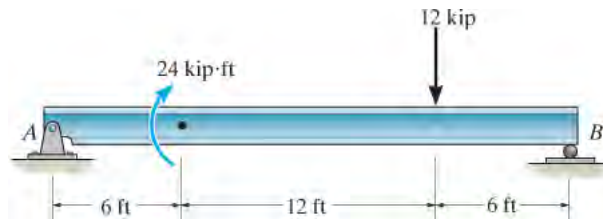
س 12-68

س 12-69. میلان پہ C او بیخایہ کیدنه پہ B کی معلومہ کری. EI د بیم ثابت دی.



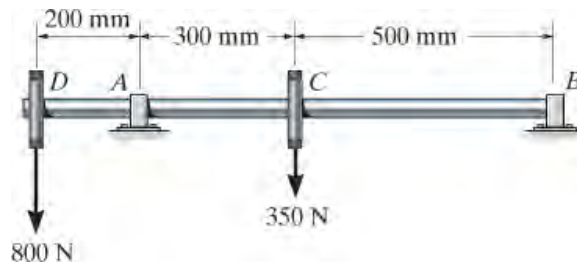
س 12-69

س 12-70 . میلان په A او اعظمی بیخایه کیدنه ددی ساده اتکاء بیم و ټاکی EI د بیم ثابت دی.



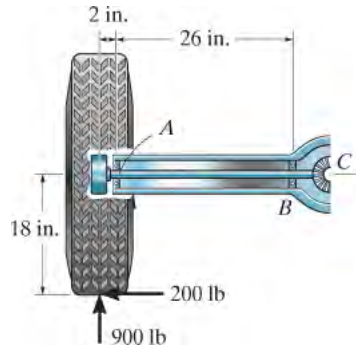
س 12-70

س 12-71 . فولادی A-36 شافت چی 20-mm قطر لری ، بیخایه کیدنه پی په D کی وټاکی.



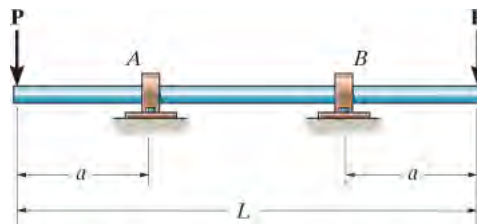
س 12-71

س 12-72* . د قوا دوی برخی په ټایر د موټر، لکه چی په انځور کی بنودل شوی، پلی شوي. ټایر له اکسل سره په بیرینگ A او B کی کلک ټرل شوي. اعظمی بیخایه کیدنه د اکسل و ټاکی. فرض کری چی بیرینگونه یوازی عمودی بار جوړه وي. پوري وهنه (thrust) په اکسل باندی په C کی مقاومت کیږي. اکسل له فولادو A-36 جوړ او 1.25 in قطر لري. د محوری بار اثر په بیخایه کیدنی د پام نیولو وړ نه دي.



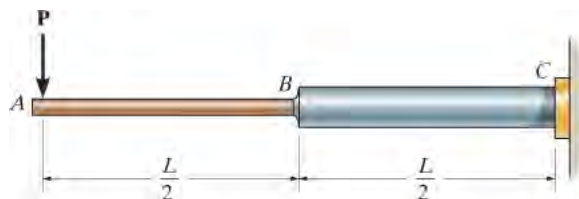
س 12-72

س 12-73 . په کوم فاصله a جوړنال بیرینگونه A او B کینودل شي تر څو بیخایه کیدنه په مرکز د شافت کی مساوی په بیخایه کیدنه د دواړو پایلونو شي. EI د بیم ثابت دی.



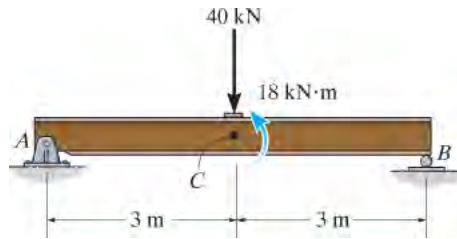
س 12-73

س 12-74 . دا لاندی میله له دو شافتونو جوړه شوي، انرشیایی مؤمنت د برخی AB عبارت دی په I او د برخی BC مساوی دی په $2I$. اعظمی میلان او بیخایه کیدنه د میلی د پلی شوی بار له امله و ټاکی. د ایلسټیسیتی ماجولس E دی.



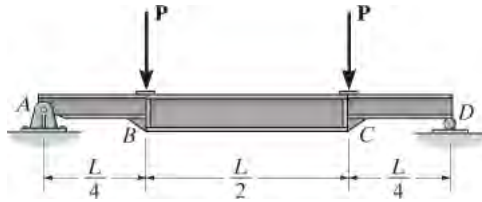
س 12-74

س 12-75 . میلان په B او بیخایه کیدنه په C کی معلومه کړي. $E = 200\text{GPa}$ او $I = 65.0 \times 10^6 \text{ mm}^4$



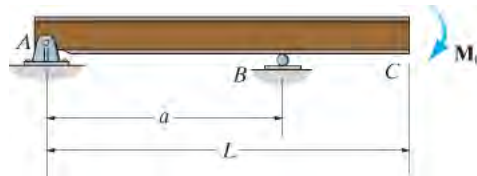
س 12-75

س 12-76* . میلان په A او اعظمی بیخایه کیدنه د لاندی ساده اتکاء بیم و ټاکی. د بیم د موادو ایلسټیستی ماجولس E دی. انرشیایی مؤمنت د برخي AB او CD د بیم I دی، او د برخي BC انرشیایی مؤمنت $2I$ دی.



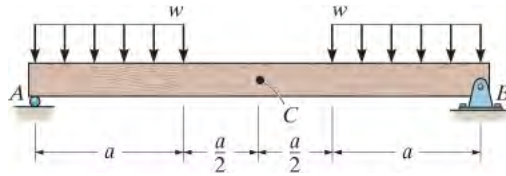
س 12-76

س 12-77 . د رولر B موقعیت a نسبت اوږدوالي L ته داسی معلوم کړي کله چی بیخایه کیدنه په پای C کی مساوی په اعظمی بیخایه کیدنه د AB برخي د بیم شي. EI د بیم ثابت دی.



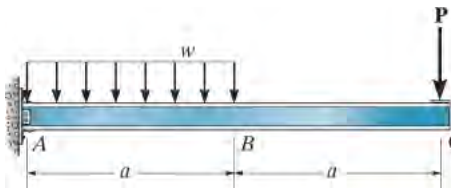
س 12-77

س 12-78 . میلان په B او بیخایه کیدنه په C کی و ټاکی. EI د بیم ثابت دی.



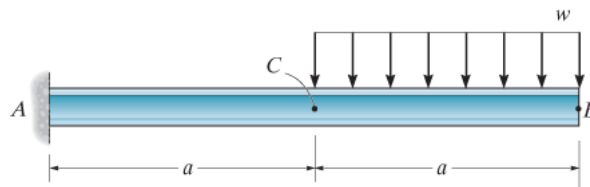
س 12-78

س 12-79 . میلان او بیخایه کیدنه په C کی و ټاکی. EI د بیم ثابت دی.



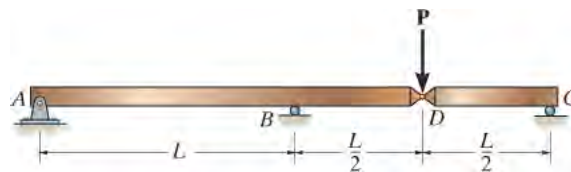
س 12-79

س 12-80* . میلان په C او بیخایه کیدنه په B کی و ټاکی. EI د بیم ثابت دی.



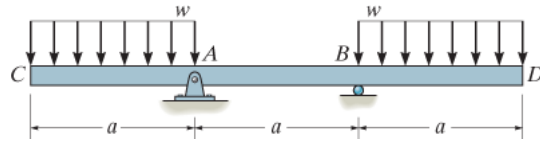
س 12-80

س 12-81 . دا لاندی دوه میلی یو بل سره په پین D کی نښلولشوی. میلان په A او بیخایه کیدنه په D کی وټاکی. EI د بیم ثابت دی.



س 12-81

س 12-82 . اعظمی بیخایه کیدنه د بیم و ټاکی. EI د بیم ثابت دی.



س 12-82

12.5 د سوپر پوزیشن طریقہ (METHOD OF SUPERPOSITION)

ډیفرینشل مساوات $EI \frac{d^4u}{dx^4} = w(x)$ دوه اړین اړتیاوې د سوپرپوزیشن اصولو پلي کولو لپاره پوره کوي؛ یعنی بار $w(x)$ په خطي توګه د بیخایه کیدني $U(x)$ سره تړاو لري، او داسې انګیرل کیري چې بار د بیم یا شافت په اصلي جیومیټري کې د پام وړ بدلون نه راولي. په پایله کې، بیخایه کیدنه د جلا جلا بارونو لړۍ چې په بیم باندې عمل کوي کیدای شي یو بل سره سوپرپوزیټ شي (تاثیرونه یې یوځای شي). د مثال په توګه، که U_1 د یو بار لپاره بیخایه کیدنه وي او U_2 د بل بار لپاره بیخایه کیدنه وي، د دواړو بارونو لپاره ټوله بیخایه کیدنه کله چې یوځای عمل کوي عبارت ده په الجبریک مجموعه $U_1 + U_2$ ده. د جدول شوي پایلي کارول، د بیم مختلف بار کول، لکه په ضمیمه C کې چې لیست شوي، یا هغه چې په مختلفو انجینری کتابونو کې موندل کیري، نو دا ممکنه ده چې د بیم په یوه نقطه کې میلان او بی خایه کیدل د څو بارونو پلي کیدو له امله د هغوی اغیزې په اضافه کولو سره وموندل شي.

لاندې مثالونه په عددي ډول روښانه کوي چې دا څنګه ترسره کیري .

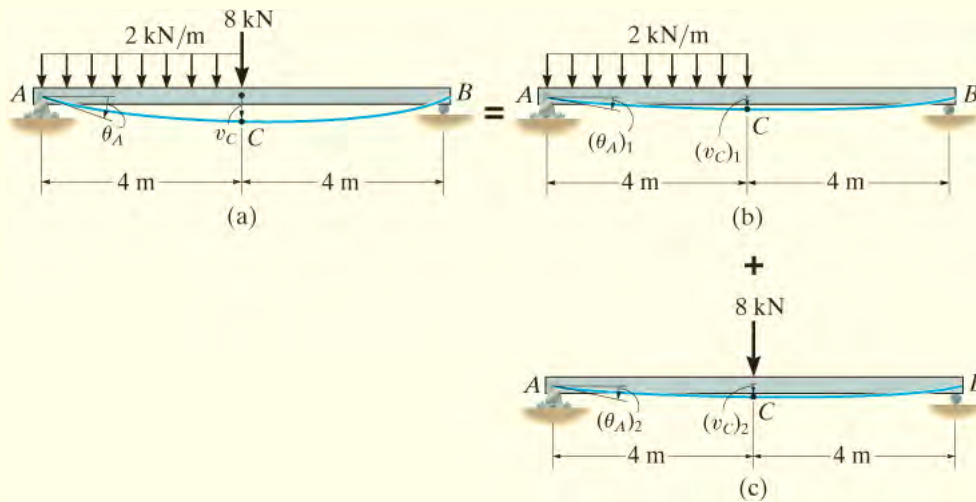


د دی بیم په هره نقطه کې پایله لرونکي بیخایه کیدنه په سوپر پوزیشن د هر جلا بار بیخایه کیدنی په کارولو ټاکل کیدی شي.

مثالونه

مثال 12.13

ددی لاندی بنودل شوي بیم، انخور 12-27a، بیخایه کیدنه په ټکی C او میلان په اتکاء A د بیم کی و ټاکي. EI د بیم ثابت دی.



انخور 12-27

حل (SOLUTION)

دا بهرنی بار کیدی شي چی په دوو برخو ، لکه څنگه چی په انځورونو 12-27b او 12-27c کی بنودل شوي، و ویشل شي. بیځایه کیدنه په C او میلان په A کی په کارولو د جدول چی په ضمیمه C ددی کتاب کی شتون لری، د هر برخی لپاره وموندل شي.

د ویشلشوی بار لپاره

$$(\theta_A)_1 = \frac{3wL^3}{128EI} = \frac{3(2 \text{ kN/m})(8 \text{ m})^3}{128EI} = \frac{24 \text{ kN} \cdot \text{m}^2}{EI} \curvearrowright$$

$$(v_C)_1 = \frac{5wL^4}{768EI} = \frac{5(2 \text{ kN/m})(8 \text{ m})^4}{768EI} = \frac{53.33 \text{ kN} \cdot \text{m}^3}{EI} \downarrow$$

د 8-kN مرکزی بار لپاره مور لرو

$$(\theta_A)_2 = \frac{PL^2}{16EI} = \frac{8 \text{ kN}(8 \text{ m})^2}{16EI} = \frac{32 \text{ kN} \cdot \text{m}^2}{EI} \curvearrowright$$

$$(v_C)_2 = \frac{PL^3}{48EI} = \frac{8 \text{ kN}(8 \text{ m})^3}{48EI} = \frac{85.33 \text{ kN} \cdot \text{m}^3}{EI} \downarrow$$

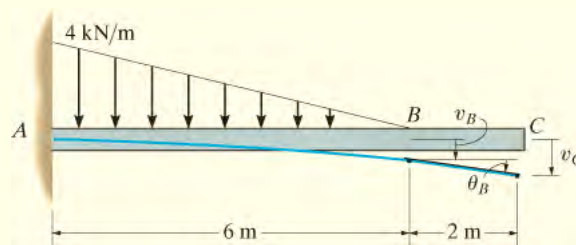
بیځایه کیدنه په C او میلان په A کی مساوی دی په الجبری مجموعه ددی دواړو برخو. له همدی امله

$$(+\curvearrowright) \quad \theta_A = (\theta_A)_1 + (\theta_A)_2 = \frac{56 \text{ kN} \cdot \text{m}^2}{EI} \quad \text{Ans.}$$

$$(+\downarrow) \quad v_C = (v_C)_1 + (v_C)_2 = \frac{139 \text{ kN} \cdot \text{m}^3}{EI} \quad \text{Ans.}$$

مثال 12.14

بیځایه کیدنه په پای C د کنټیلیور بیم ، چی په انځور 12-28 کی بنودل شوی، و ټاکي. EI د بیم ثابت دی.



انځور 12-28

حل (SOLUTION)

د مثلثي بار جدول چی په ضمیمه C کی شتون لری کار اخلو، میلان او بیخایه کیدنه په B کی عبارت دی په

$$\theta_B = \frac{w_0 L^3}{24EI} = \frac{4 \text{ kN/m}(6 \text{ m})^3}{24EI} = \frac{36 \text{ kN} \cdot \text{m}^2}{EI}$$

$$v_B = \frac{w_0 L^4}{30EI} = \frac{4 \text{ kN/m}(6 \text{ m})^4}{30EI} = \frac{172.8 \text{ kN} \cdot \text{m}^3}{EI}$$

برخه BC د بیم کی چی بار شتون نلري بیم مستقیمه پاتی شوي ، انځور 12-28 وگوري. ځکه چی q_B کوچني ده، بیخایه کیدنه په C کی کیري :

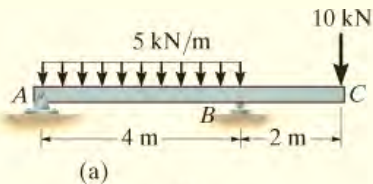
$$\begin{aligned} (+\downarrow) \quad v_C &= v_B + \theta_B(L_{BC}) \\ &= \frac{172.8 \text{ kN} \cdot \text{m}^3}{EI} + \frac{36 \text{ kN} \cdot \text{m}^2}{EI}(2 \text{ m}) \\ &= \frac{244.8 \text{ kN} \cdot \text{m}^3}{EI} \downarrow \end{aligned}$$

Ans.

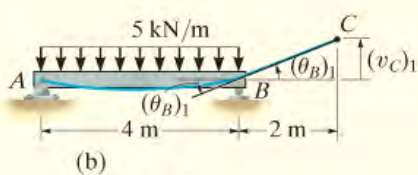
مثال 12.15

د وتلی بیم بیخایه کیدنه په پای C کی، لکه څنگه چی په انځور 12-29a کی بنودل شوي، معلومه کړي. EI د بیم ثابت دی.

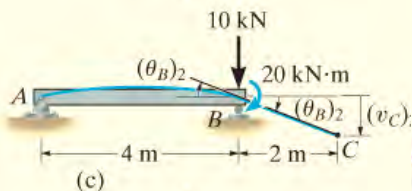
حل (SOLUTION)



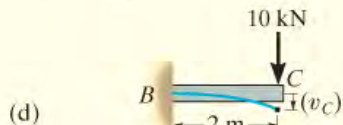
||



+



+



$$(\theta_B)_1 = \frac{wL^3}{24EI} = \frac{5 \text{ kN/m}(4 \text{ m})^3}{24EI} = \frac{13.33 \text{ kN} \cdot \text{m}^2}{EI}$$

انځور 12-29

څرنګه چی زاویه کوچني ده ، عمودی بیخایه کیدنه په ټکی C کی عبارت ده په

$$(v_C)_1 = (2 \text{ m}) \left(\frac{13.33 \text{ kN} \cdot \text{m}^2}{EI} \right) = \frac{26.67 \text{ kN} \cdot \text{m}^3}{EI} \uparrow$$

بیا، په ساده اتکاء بیم ، 10-kN بار په وتلی برخه باندی ستاتیکی مساوی قوه د 10 kN او کپل مؤمنت په ارزښت د 20 kN-m په اتکاء B کی جوړه وی. هغه 10-kN قوه لامل د میلان په B کی نه کیږي، اما هغه 20-kN-m کپل مؤمنت د سلوپ د تغیر لامل کیږي. چی هغه میلان دی

$$(\theta_B)_2 = \frac{M_0 L}{3EI} = \frac{20 \text{ kN} \cdot \text{m}(4 \text{ m})}{3EI} = \frac{26.67 \text{ kN} \cdot \text{m}^2}{EI} \curvearrowright$$

نو بیا بیخایه کیدنه په ټکی C کی عبارت ده په

$$(v_C)_2 = (2 \text{ m}) \left(\frac{26.7 \text{ kN} \cdot \text{m}^2}{EI} \right) = \frac{53.33 \text{ kN} \cdot \text{m}^3}{EI} \downarrow$$

په نهایت کی کنتیلیور برخه BC د 10-kN قوه له امله بیخایه کیږی ، انځور 12-29d و گوري. مور لرو

$$(v_C)_3 = \frac{PL^3}{3EI} = \frac{10 \text{ kN}(2 \text{ m})^3}{3EI} = \frac{26.67 \text{ kN} \cdot \text{m}^3}{EI} \downarrow$$

کله چی الجبری مجموعه د پایلو را ټوله کړو ، دا لاندی پایله په لاس راځی

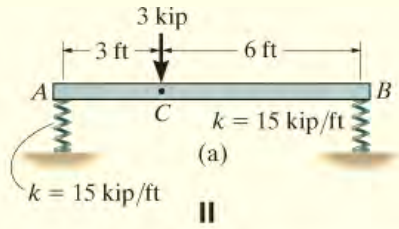
$$(+\downarrow) \quad v_C = -\frac{26.7}{EI} + \frac{53.3}{EI} + \frac{26.7}{EI} = \frac{53.3 \text{ kN} \cdot \text{m}^3}{EI} \downarrow \quad \text{Ans.}$$

مثال 12.16

د یو فولادی میلی، انځور 12-30a ، لپاره دوه فنرونه (springs) په پای A او B کی اتکاءوی جوړه وی. د هر فنر شخی (stiffness) $k = 15 \text{ kip/ft}$ او په پیل کی فنر زغیدلی نه دی. که چیری په ټکی C کی یوه قوه د 3 kip پلي شي، عمودی بیخایه کیدنه ددی قوی له امله و ټاکي. د میلی وزن په پام کی مه نیسي. له $E_{st} = 29 (10^3) \text{ ksi}$ او $I = 12 \text{ in}^4$ کار واخلي.

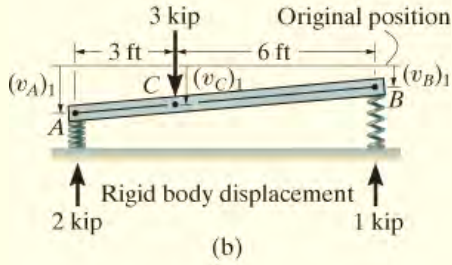
حل (SOLUTION)

د پای A او B ریکشنونه وروسته له دی چی محاسبه شوی په انځور 12-30b کی بنودل شوي. هر فنر په دی لاندی اندازه بیخایه کیږي

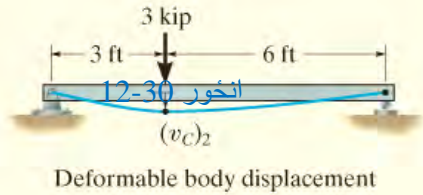


$$(v_A)_1 = \frac{2 \text{ kip}}{15 \text{ kip/ft}} = 0.1333 \text{ ft}$$

$$(v_B)_1 = \frac{1 \text{ kip}}{15 \text{ kip/ft}} = 0.0667 \text{ ft}$$



که میله کلکه په پام کی و نیسو ، بیا عمودی بیخایه کیدنه په C کی عبارت ده په



(c)

$$(v_C)_1 = (v_B)_1 + \frac{6 \text{ ft}}{9 \text{ ft}} [(v_A)_1 - (v_B)_1]$$

$$= 0.0667 \text{ ft} + \frac{2}{3} [0.1333 \text{ ft} - 0.0667 \text{ ft}] = 0.1111 \text{ ft} \downarrow$$

مور کولای شو چی بیخایه کیدنه په C کی د میلی د شکل له بدلون، انځور 12-30c، په کارولو د ضمیمی C له جدول څخه پیدا کړو. مور لرو

$$(v_C)_2 = \frac{Pab}{6EIL} (L^2 - b^2 - a^2)$$

$$= \frac{3 \text{ kip}(3 \text{ ft})(6 \text{ ft})[(9 \text{ ft})^2 - (6 \text{ ft})^2 - (3 \text{ ft})^2]}{6[29(10^3) \text{ kip/in}^2](144 \text{ in}^2/1 \text{ ft}^2)(12 \text{ in}^4)(1 \text{ ft}^4/20\,736 \text{ in}^4)(9 \text{ ft})}$$

$$= 0.0149 \text{ ft} \downarrow$$

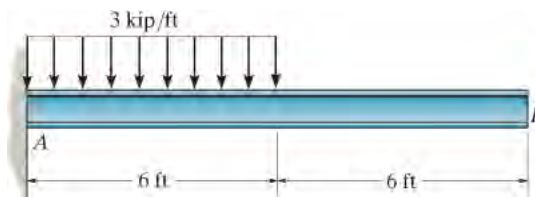
دا دوه بیخایه کیدنی په الجبری توگه یو خای کوو، او دا لاندی په لاس راځي:

$$(+\downarrow) \quad v_C = 0.1111 \text{ ft} + 0.0149 \text{ ft} = 0.126 \text{ ft} = 1.51 \text{ in.} \quad \downarrow \quad \text{Ans.}$$

سوالونه

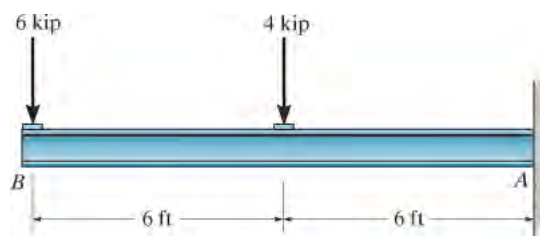
PROBLEMS

س 12-83. په دی لاندی W10 X 15 کنټیلیور فولادی A-36 بیم باندی بنودل شوی بار پلي شوي دی، میلان او بیخایه کیدنه په پای B کی و ټاکي.



س 12-83

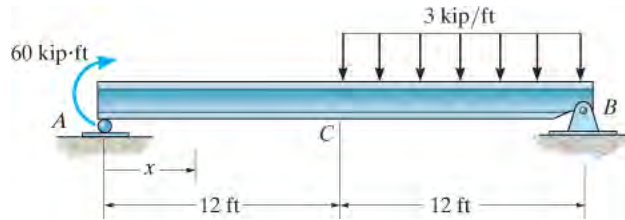
س *12-84. په دی لاندی W10 X 15 کنټیلیور فولادی A-36 بیم باندی، بنودل شوی بار پلي شوي دی، میلان او بیخایه کیدنه په پای B کی و ټاکي.



س 12-84

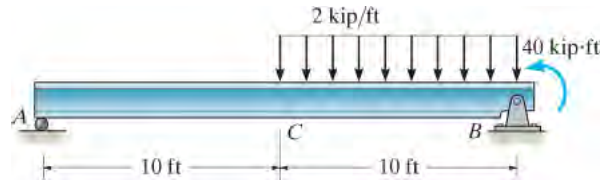
س 12-85. د W 14 X 43 ساده اتکاء A992 فولادی بیم باندی بنودل شوي بار پلي شوي دي. بیخایه کیدنه په منحنی برخه C کی و ټاکي.

س 12-86. د W 14 X 43 ساده اتکاء A992 فولادی بيم باندى بنودل شوي بار پلي شوي دي. ميلان په A او B کې و ټاکی.



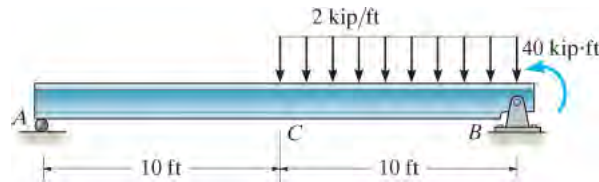
س 12-85/86

س 12-87. د W 14 X 43 ساده اتکاء A-36 فولادی بيم باندى بنودل شوي بار پلي شوي دي. بيخايه کيدنه په منحنی برخه C کې و ټاکی.



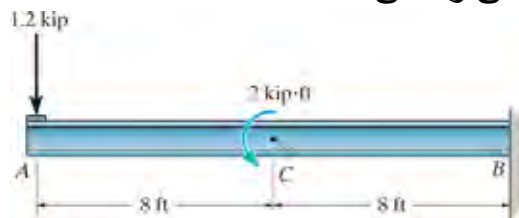
س 12-87

س 12-88*. د W 14 X 43 ساده اتکاء A-36 فولادی بيم باندى بنودل شوي بار پلي شوي دي. ميلان په A او B کې و ټاکی.



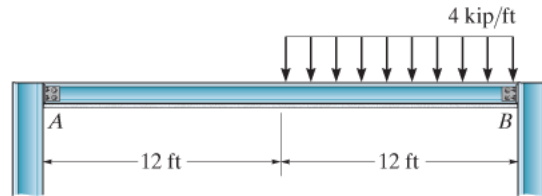
س 12-88

س 12-89. د W 8 X 48 کنتيلپور A-36 فولادی بيم باندى بنودل شوي بار پلي شوي دي. بيخايه کيدنه په C او ميلان په A کې و ټاکی.



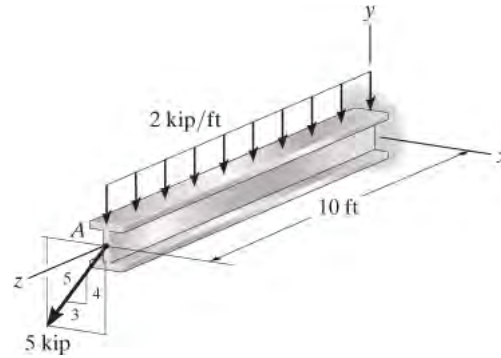
س 12-89

س 12-90. په بیم بنودل شوی بار پلي شوي. د کود دمحدود يتونو له امله اعظمی بيخايه کيدنه له $1/360$ د بیم له اوږدوالي زياته نشي. له ضميمی B يو سپک فولادی $A-36$ سوروره فلنج انتخاب کړي تر څو د کود محدودیت پوره او په خوندي ډول د بنودل شوی بار يو ورلی شی. د منلو وړ د کړيدو ستریس $s_{allow} = 24 \text{ ksi}$ او د منلو وړ شير سترس $t_{allow} = 14 \text{ ksi}$ دي. فرض کړی چی اتکاء په A کی رولر او په B کی پين دي.



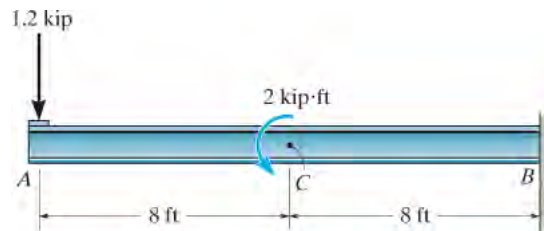
س 12-90

س 12-91. په فولادی $A-36$ بیم يو ويشل شوی بار او يوه متمرکز ه قوه په پای د بیم کی پلي شوي. که چيری دا قوه په يوه زاويه پلي شي، افقي او عمودي برخی د بيخايه کيدني په A کی و ټاکي.



س 12-91

س *12-92. د $W 8 \times 48$ کنتيلور $A-36$ فولادی بیم باندي بنودل شوي بار پلي شوي دي. بيخايه کيدنه په A کی و ټاکي.



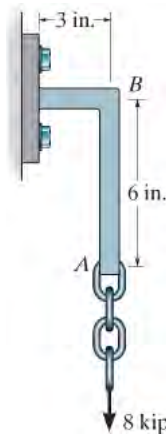
س 12-92

س 12-93. میله په پای A کی پن اتکاء لری او ترلی په تاویدونکي فنر چی کلکتیا یی k ده، کوم چی اندازه کیری په تورک په هر رادیان تاویدنه د فنر سره. که چیری یوه قوه P عمودی په پای د میلی کی پلی شي، بیخایه کیدنه د قوی له امله و ټاکي. EI د بیم ثابت دی.



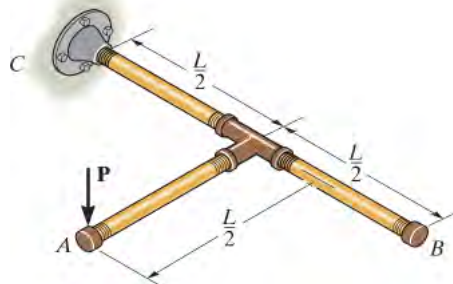
س 12-93

س 12-94. عمودی بیخایه کیدنه او توپیر د زاویی په پای A د براکت کی معلوم کړي. فرض کړي چی براکت کلک په اتکا کی ترلی شوي. محوري بیخایه کیدنه د برخي AB په پام کی مه نیسي. EI د بیم ثابت دی.



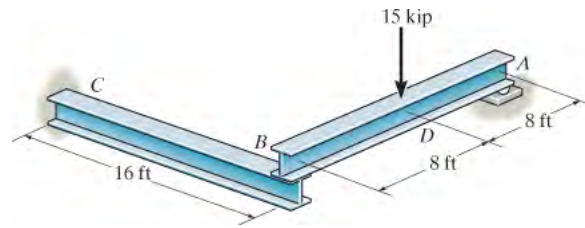
س 12-94

س 12-95. د پایپ اسامبلي له دریو یو اندازه پایونو چی ارتجایی سختي (flexibility stiffness) یی EI او تاویدونکي سختي (torsional stiffness) یی GJ ده. عمودي بیخایه کیدنه په A کی وټاکي.



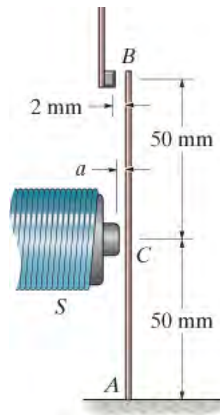
س 12-95

س 12-96* . دا لاندی اسامبلی له کنیټیلور بیم CB او ساده اتکاء بیم AB څخه جوړه شوي. که هر بیم له A-36 فولادو چی انرشیايي مؤمنت یې په اصلي محور $I_x = 118 \text{ in}^4$ دي، بیخایه کیدنه په مرکز D د بیم BA و ټاکي.



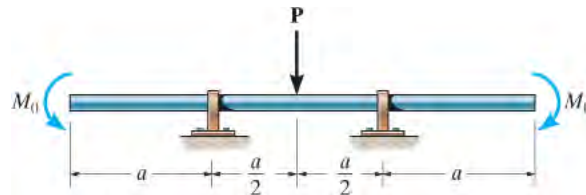
س 12-96

س 12-97. دریلی سویچ له نازک پټي یا ارمچر (AB armature) چی له سرو برنجو C83400 جوړ شوی او د سیلونوید S (solenoid) سره په مقناطیسو ساحی جذب کیږي. هغه کوچني قوه F چی د ارمچر جذبولو لپاره په C کی اړینه ده تر څو تماس د ازاد پای B سره جوړ شي. همدا رنگه ددی کار لپاره فاصله a و ټاکي. ارمچر په A کی کلک تړل شوي او انرشیايي مؤمنت یې $I = 0.18 (10^{-12}) \text{ m}^4$ دي.



س 12-97

س 12-98 . مؤمنت M_0 د بار P له مخی او فاصله a داسی وټاکي تر څو بیخایه کیدنه په مرکز د شافنت کی صفر وي. EI د بیم ثابت دی.



س 12-98

12.6 ستاتيکلی نامعلوم بيمونه او شافتونه (STATICALLY INDETERMINATE BEAMS AND SHAFTS)

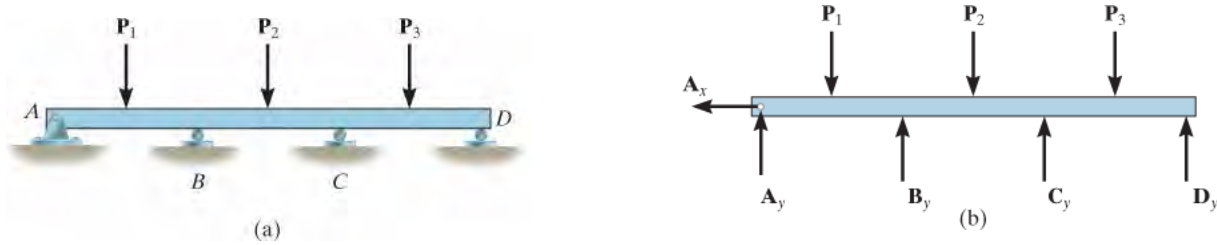
پدې برخه کې به مور عمومي طريقه د ستاتيکلی نامعلوم ریکشنونو د بيم او شافت ټاکلو لپاره روښانه کړو. په ځانگړې توگه، يو غړي ستاتيکلی نامعلوم دی کله چې شمير د نامعلومو ریکشنونو د توازن له معادلو څخه ډير وي.

په بيم (يا شافت) کې اضافي ریکشنونه چې د باثباته توازن ساتلو لپاره اړتيا ورته وي هغوی ته اضافی او يا ريډنډنټ (*redundant*) ويل کيږي، او د دې اضافی ریکشنونو شمير ته د نا څرنگتيا درجه (*degree of indeterminacy*) بڼی. د بيلگې په توگه، هغه بيم ته پام وکړئ چې په انځور 12-31a کې ښودل شوي. که آزاد ډياگرام يې رسم شي، انځور 12-31b، څلور نامعلوم ریکشنونه به وي، او له هغه ځايه چې د حل لپاره درې د توازن مساوات شتون لري، بيم د "لومړی درجی نامعلومه" په توگه طبقه بندي کيږي. يا هم A_y ، B_y ، يا M_A کيدای شي د زايد يا اضافی ریکشن په توگه طبقه بندي شي. که چيری هر يو د دې ریکشنونو له دوي څخه ليري شي، بيم به لاهم مستحکم او په توازن کې پاتې شي (A_x د زايد په توگه طبقه بندي نشي، ځکه چې که ليري شوي وي، توازن د $F_x = 0$ به مطمئن نه وي). په ورته ډول، دا دوامداره بيم د انځور 12-32a "دويمې درجې ته ناڅرگند دی" ځکه چې پنځه نامعلوم ریکشنونه شتون لري او يوازي درې د توازن معادلی شتون لري، انځور 12-32b. دلته هر دوه زايد ریکشنونه A_y ، B_y ، C_y ، او D_y ترمنځ غوره کيدی شي.

په بيم کې کوم ریکشنونه چې ستاتيکلی نامعلوم وي بايد دواړه د توازن او د مطابقت اړتياوې په اتکاء کې پوره کړي. په لاندې برخو کې به مور دا روښانه کړو چې دا څنگه د انټيگريشن طريقې په کارولو ترسره کيږي، برخه 12.7، يا د مؤمنت-امساحت طريقه، برخه 12.8، او يا د سپرپوزيشن طريقه، برخه 12.9.



انځور 12-31



انځور 12-32

12.7 ستاتیکی نامعلوم بیمونه او شافتونه-د انتیگریشن په طریقہ (STATICALLY INDETERMINATE BEAMS AND SHAFTS-- METHOD OF INTEGRATION)

د انتیگریشن طریقې په باره کې په برخه 12.2 کې بحث وشو، چې د پلې کولو لپاره د بار-بېحیایه کیدو اړیکې اړین دي، $d^2u/dx^2 = M/EI$ ، تر څو ایلسټیک منحنی د بیم په لاس راشي. که چیرې بیم ستاتیکی نامعلوم وي، بیا M به د خپلې فاصلې x او ځینې نامعلوم ریکشنونو سره څرګند شوی وي. که څه هم دا به پېښ شي، د حل لپاره به نور سرحدی حالتونه شتون ولري. دا لاندې مثال د انتیگریشن میتود پلې کول د تحلیل لپاره، څنګه چې په برخه 12.2 بحث شو، تشریح کوي.

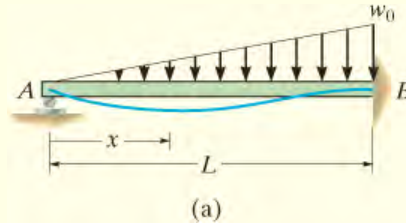


مثال د ستاتیکی نامعلوم بیم چې د پله فرش لپاره یې اتکاء جوړه کړي.

مثالونه

مثال 12.17

په دی لاندی بیم یو ویشل شوی بار، کوم چی په انځور 12-33a کی بنودل شوی، پلی شوي. ریکشن په A کی و ټاکي. EI ثابت دی.



انځور 12-33

حل (SOLUTION)

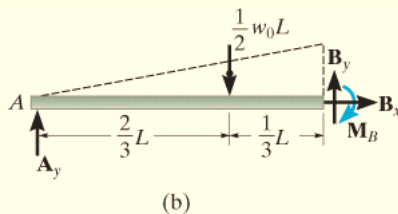
ایلستیک منحنی (Elastic Curve).

بیم لکه څنگه چی په انځور 12-33a کی بنودل شوي بیخایه کیږي. یو کوارډنات x ته ضرورت دی.

د آسانتیا لپاره به مور په پام کی ونیسو چی x په بني لور بنودل شوي، ځکه چی د مؤمنت جوړه ولو محاسبه یی آسانه ده.

د مؤمنت تابع (Moment Function).

لکه څنگه چی په آزاد ډیگرام ، انځور 12-33b ، کی بنودل شوي بیم یوه درجه نامعلومه ده. که مور هغه برخه چی په انځور 12-33c کی بنودل شوي ، انتخاب کړو نو بیا داخلی مؤمنت M به تابع x ، او ذاید A_y سره داسی لیکل کیدی شي.



$$M = A_y x - \frac{1}{6} w_0 \frac{x^3}{L}$$

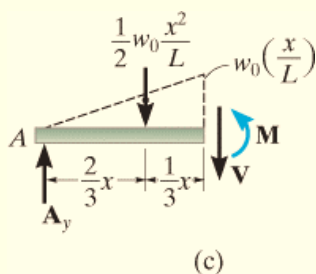
ميلان او ايليسټيک منحنی (Slope and Elastic Curve).

معادله 12-10 پلي کوو، مور لرو

$$EI \frac{d^2v}{dx^2} = A_y x - \frac{1}{6} w_0 \frac{x^3}{L}$$

$$EI \frac{dv}{dx} = \frac{1}{2} A_y x^2 - \frac{1}{24} w_0 \frac{x^4}{L} + C_1$$

$$EIv = \frac{1}{6} A_y x^3 - \frac{1}{120} w_0 \frac{x^5}{L} + C_1 x + C_2$$



هغه دری نامعلوم C_1 , A_y , او C_2 له دریو سرحدی شرایطو $x=0, u=0$; $x=L, \frac{dv}{dx}=0$; $x=L, v=0$ ، څخه موندل کیدی شي.

کله چی دا شرایط پلي کړو مور لرو

$$x = 0, v = 0; \quad 0 = 0 - 0 + 0 + C_2$$

$$x = L, \frac{dv}{dx} = 0; \quad 0 = \frac{1}{2} A_y L^2 - \frac{1}{24} w_0 L^3 + C_1$$

$$x = L, v = 0; \quad 0 = \frac{1}{6} A_y L^3 - \frac{1}{120} w_0 L^4 + C_1 L + C_2$$

دا حل کوو

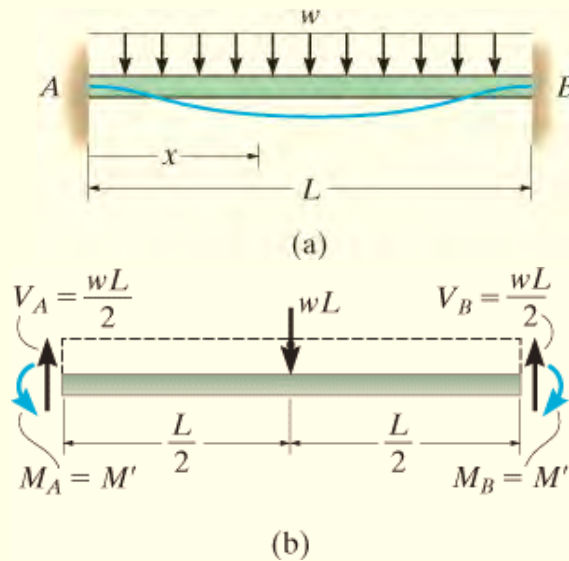
$$A_y = \frac{1}{10} w_0 L \quad \text{Ans.}$$

$$C_1 = -\frac{1}{120} w_0 L^3 \quad C_2 = 0$$

یادونه: د A_y پایلو سره ریکشن په B کی د توازن معادلو په کارولو سره موندل کیدی شي، انځور 12-33b. وینيی چی کله $B_x = 0, B_y = 2w_0 L/5$ او $M_B = w_0 L^2/15$ دی.

مثال 12.18

په انځور 12-34a کی بنودل شوي بيم په دواړو پايلونو کی کلکه تړل شوي ده. ریکشنونه په اتکاءو کی و ټاکي. د محوری بار تاثیرونه په پام کی مه نیسي.



انځور 12-34

حل (SOLUTION)

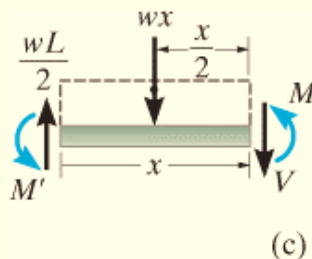
ایلیسټیک منحنی (Elastic Curve). بيم بیخایه شوی ، لکه څنگه چی په انځور 12-34a کی بنودل شوي. د تیر شوی مثال په توگه تنها یو x محور د حل لپاره اړین دی ځکه چی بار د بيم په ټوله وایه (اوردوالی) باندی دوامداره دی.

د مؤمنت تابع (Moment Function). له آزاد ډایگرامه ، انځور 12-34b ، مؤمنت او شپیر ریکشنونه په A او B کی باید مساوی وی، ځکه چی د بار او هندسی انځور، دواړو خواوو نه، متناظر دی. ددی لپاره چی توازن معادله $\sum F_y = 0$ اړینه ده چی:

$$V_A = V_B = \frac{wL}{2}$$

Ans.

بیم په اوله درجه د M' سره په دواړو پايلونو کی ډایده ده. د بيم برخه چی په انځور 12-34c کی بنودل شويی داخلی مؤمنت



عبارت دی په

$$M = \frac{wL}{2} x - \frac{w}{2} x^2 - M'$$

میلان او ایلیستیک منحنی (Slope and Elastic Curve). معادله 10-12 پلی کوو، او مور لرو

$$EI \frac{d^2v}{dx^2} = \frac{wL}{2} x - \frac{w}{2} x^2 - M'$$

$$EI \frac{dv}{dx} = \frac{wL}{4} x^2 - \frac{w}{6} x^3 - M'x + C_1$$

$$EIv = \frac{wL}{12} x^3 - \frac{w}{24} x^4 - \frac{M'}{2} x^2 + C_1 x + C_2$$

دا دری نامعلوم M' , C_1 او C_2 له دریو سرحدی شرایطو $u=0$ په $x=0$ او دا حاصلوي
 $C_2=0$; $du/dx=0$ په $x=0$ له دی حاصل کيږي $C_1=0$. او $u=0$ په $x=L$ کوم
 چی په لاندی ډول حاصل ورکوي

$$M' = \frac{wL^2}{12}$$

Ans.

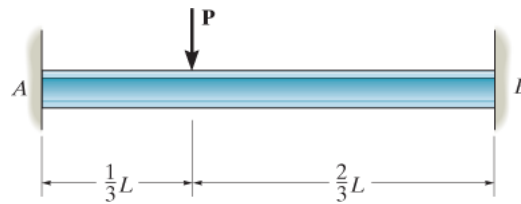
پام وکړی چی د متناظر والي له امله پاتي سرحدی شرطونه $du/dx=0$ په $x=L$ په اتومات ډول پوره شوي.

سوالونه

PROBLEMS

س 12-99 ریکشنونه په اتکاءوو A او B کی وټاکي، بیا د شپیر او مؤمنت ډایگرامونه یې رسم کړي.

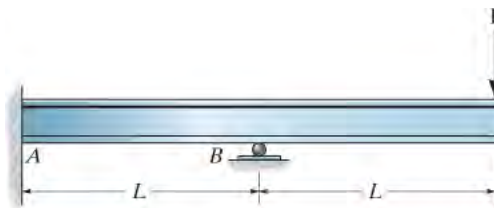
د محوری بار تاثیر په پام کی مه نیسي. EI ثابت دی.



انځور 12-99

س 12-100* ریکشنونه په اتکاءوو کی وټاکي، بیا د شپیر او مؤمنت ډایگرامونه یې رسم کړي.

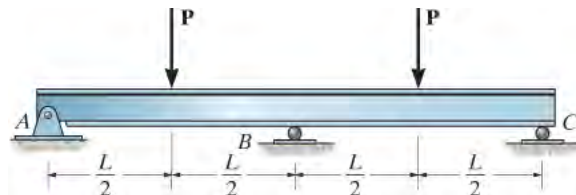
EI ثابت دی.



انځور 12-100

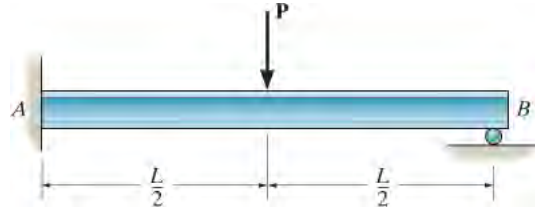
س 12-101 ریکشنونه په اتکاءوو A , B او C کی وټاکي، بیا د شپیر او مؤمنت ډایگرامونه یې رسم کړي.

EI ثابت دی.



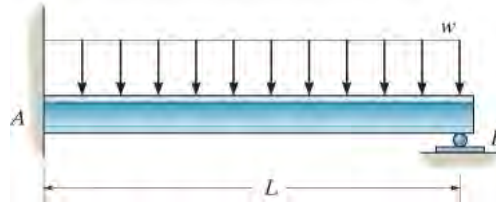
انځور 12-101

س 12-102. ریکشنونه په اتکاءوو A او B کی وټاکي، بیا شییر او مؤمنت ډایگرامونه یې رسم کړي. EI ثابت دی.



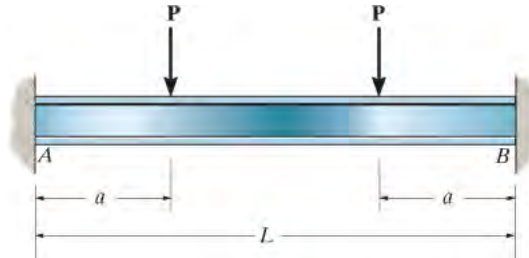
انځور 12-102

س 12-103. ریکشنونه په اتکاءوو A او B کی وټاکي، بیا شییر او مؤمنت ډایگرامونه یې رسم کړي. EI ثابت دی.



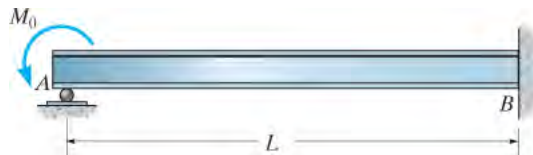
انځور 12-103

س *12-104. ریکشنونه په اتکاءوو A او B کی وټاکي، بیا شییر او مؤمنت ډایگرامونه یې رسم کړي. EI ثابت دی.



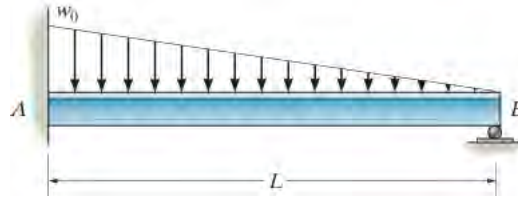
انځور 12-104

س 12-105. ریکشنونه په اتکاءوو A او B کی وټاکي، بیا شییر او مؤمنت ډایگرامونه یې رسم کړي. EI ثابت دی.



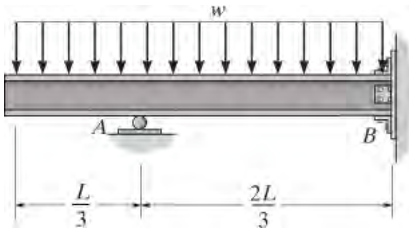
انځور 12-105

س 12-106. ریکشنونه په اتکاءوو A او B کی وټاکي. EI ثابت دی.



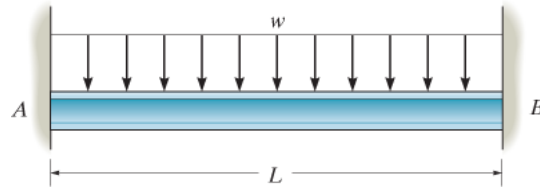
انځور 12-106

س 12-107. ریکشنونه په رولر اتکاء A او کلک اتکاء B کی وټاکي.



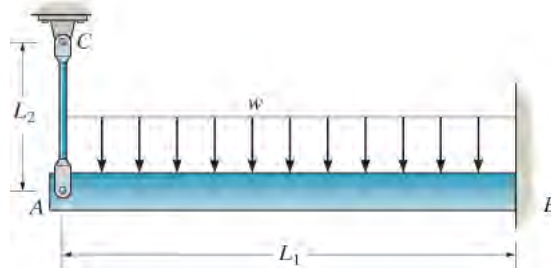
انځور 12-107

س 12-108*. مؤمنت ریکشنونه په اتکاءو A او B کی وټاکي، بیا شییر او مؤمنت ډایگرامونه یې رسم کړي. داخلی مؤمنت په بیم کی د A_y او M_A له مخی حل کړي. EI ثابت دی



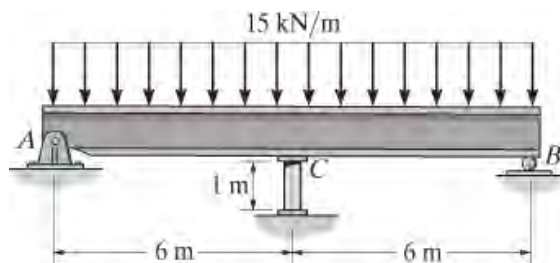
انځور 12-108

س 12-109. دا لاندی بیم ثابت $E_1 I_1$ لری او په کلک دیوال B او میله AC سره تړل شوی ده. که چیری د میلی غوڅی برخی ساحه A_2 او مواد یې د ایلسټیستی ماجولس E_2 ولري، قوه په میله کی وټاکي.



انځور 12-109

س 12-110. دا لاندی بيم پين اتكاء په A کی او رولر اتكاء په B کی او يو پایه اتکا چی قطر يي 50 mm دی په C کی لري. د اتكاءوو ریکشنونه په A, B او C کی وټاکي. بيم او پایه له يو شان موادو چی د ایلسټیستي ماجولس يي $E = 200 \text{ GPa}$ دی جوړه رشوي، د بيم انرشيايي ماجولس يي $I = 255(10^6) \text{ mm}^4$ دي.



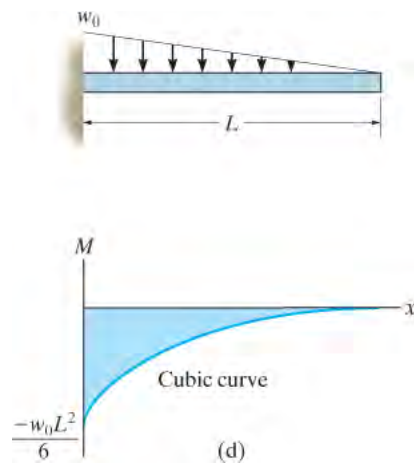
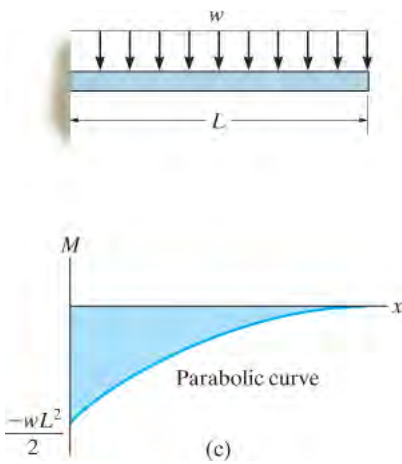
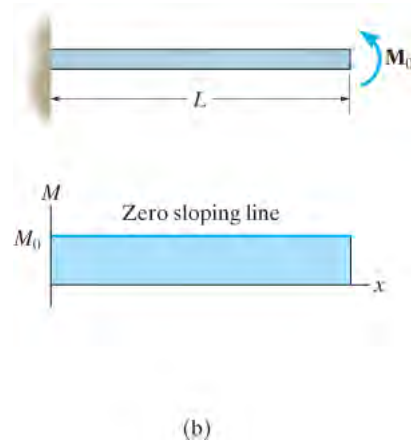
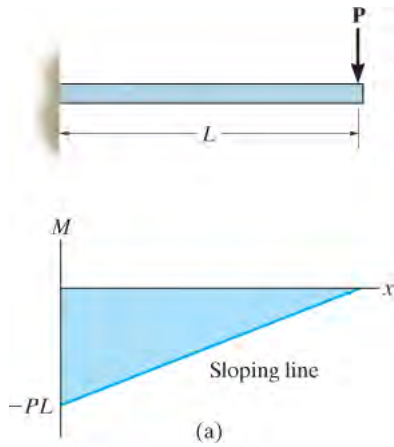
انځور 12-110

12.8* ستاتيکلی نامعلوم بيمونه او شافټونه-د مؤمنت-مساحت په طريقه (STATICALLY INDETERMINATE BEAMS AND SHAFTS-MOMENT- AREA METHOD)

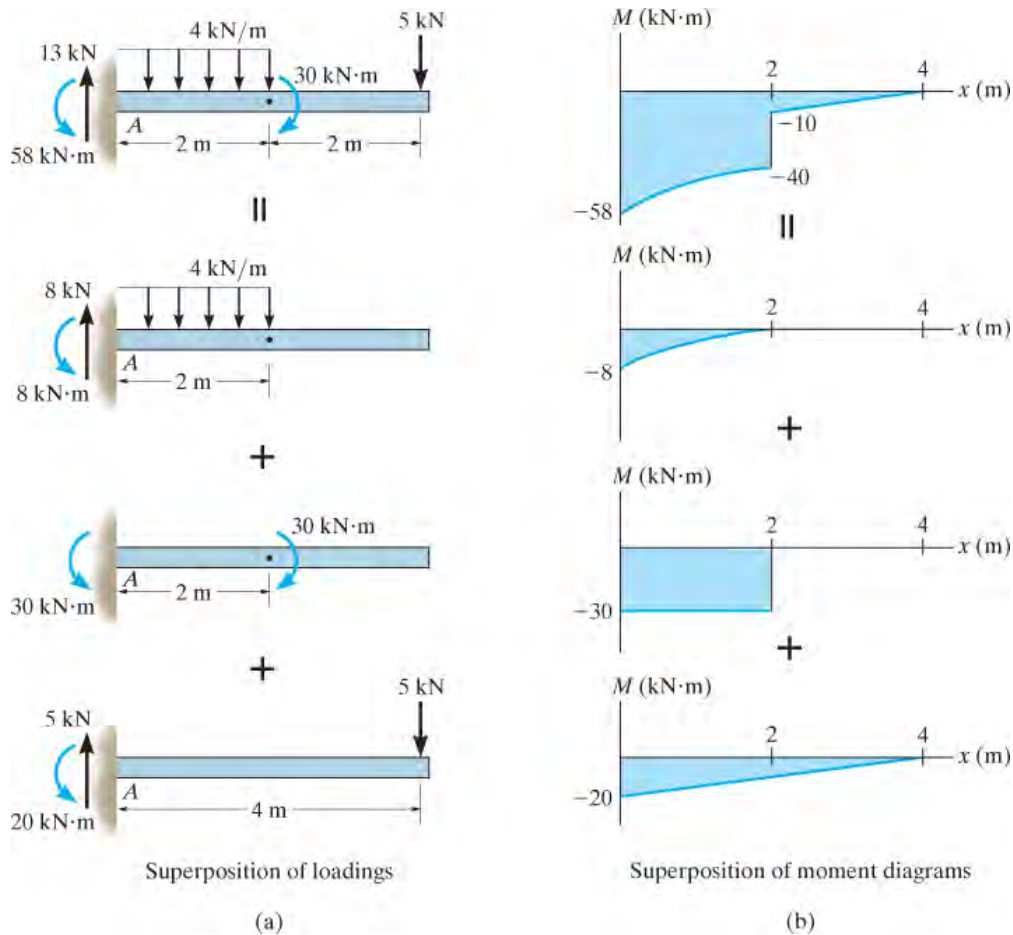
که چيري د مؤمنت د ساحی طريقه د ستاتيکلی نامعلوم ډول بيم يا شافټ دناملومويا دايدو (redundant) ریکشنونو معلومولو لپاره وکارول شي، بيا کله چې M/EI ډياگرام يي رسم شي، دايد به د نامعلومو په توگه په دی ډياگرام کی وښودل شي. په هر صورت، د مؤمنت- ساحی تيوری گانو په پلي کولو سره به دا ممکنه شي چې په ایلسټیک منحنی د مماسونو ترمنځ اړين اړیکي ترلاسه کړی تر څو د مطابقت شرایط په اتکاؤ کی پوره شي، او په دی توگه د دايدو ریکشنونو لپاره حل ترلاسه شي.

د مؤمنت ډياگرام جوړه ول د سوپرپوزیشن په طريقه. څرنگه چې د مؤمنت- ساحی تيوری گانو پلي کولو لپاره د M/EI ډياگرام لاندی د ساحی محاسبی او مرکز ثقل موقعیت معلومولو دواړو ته اړتيا وي، دا ډیری وختونه د دی میتود کارولو لپاره مناسب دی چې له سوپرپوزیشن کار واخيستل شي. او د هر بار په بيم لپاره جلا M/EI ډياگرامونه وکاروی، دا مناسب لاره ده پر ځای د دی چې د ټولو مومنتو پایله محصله شوي ډياگرام چې په عمومی صورت پیچلی هندسی مشخصاتو لری محاسبه کړو.

ډیری بارونه په کنټیلیور بیمنو ترکیب د څلورو بارونو، لکه څنګه چې په انځور 12-35 کی
 بنودل شوي، دي. د دوی د اړوندو مؤمنت ډایگرامونو جوړول د شپږم څپرکي په مثالونو کې بحث
 شوي.

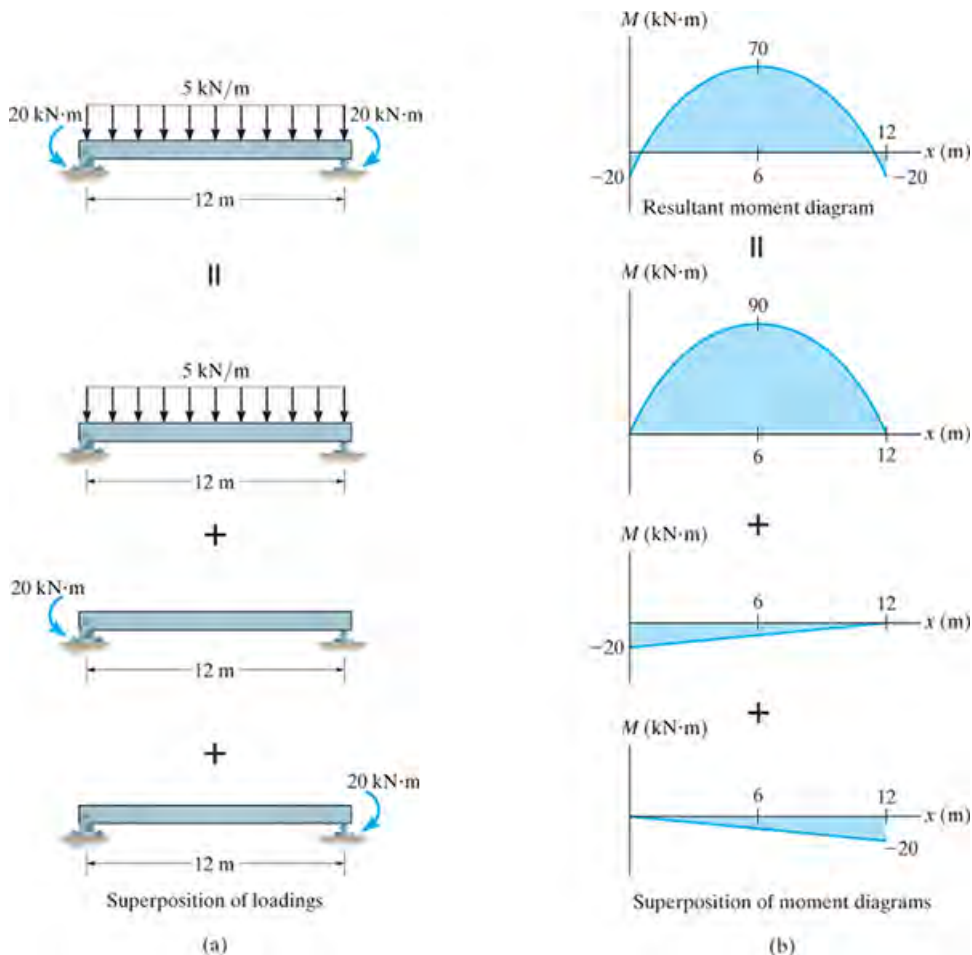


انځور 12-35



انځور 12-36

له دی پایلو سره، بیا د سوپرپوزیشن طریقہ کارول کیدی شي تر څو مؤمنت ډایگرام د یو بیم په یو لړ جلا مؤمنت ډایگرامونو و بنودل شي. د مثال په توگه دري بارونه په یو کنټیلیور بیم چی په انځور 12-36a کی بنودل شوي، ستاتیکی مساوی دی په دریو جلا بارونو په تر کنټیلیور بیم نه بنکته د هر بار دپاره په جلا توگه رسم شوی دی. انځور 12-36b. سوپر پوزیشن ددی ډایگرامونو به هغه پورتنی مؤمنت ډایگرام حاصل کړي. په بنکاره ډول دا آسانه ده چی ساحه او موقعیت د مرکز ثقل د هر ډایگرام له دی جلا ډایگرامونو نسبت محصله ډایگرام ته وموندل شي.



انځور 12-37

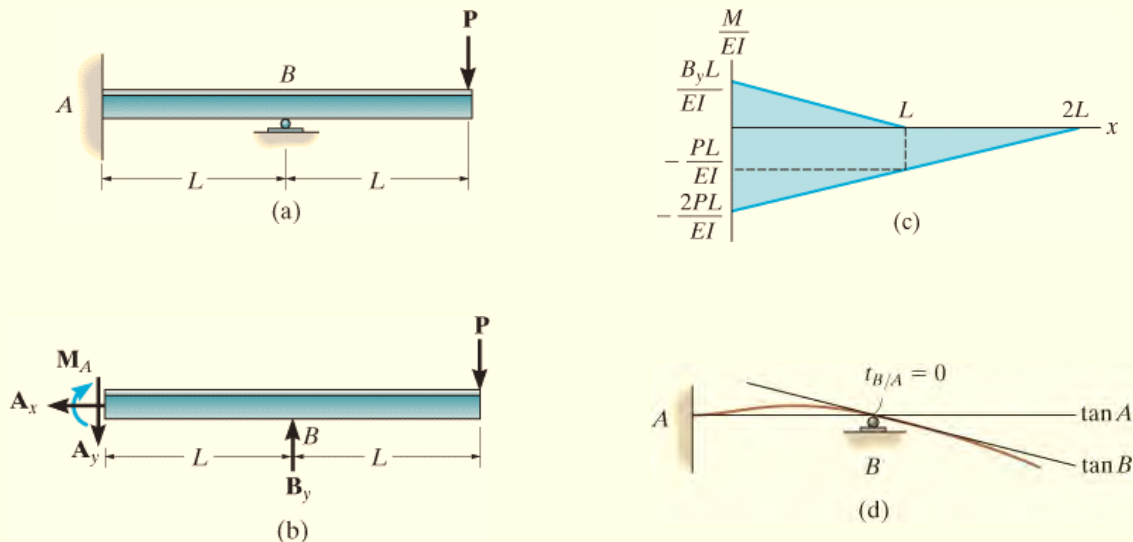
په ورته ډول، مور کولی شو استازیتوب د محصله مؤمنت ډایگرام د یو ساده اتکاء بیم د سپرپوزیشن په کارولو سره په مجموعه د مؤمنت ډایگرام د هر بار سره وکړو. د مثال په توګه، د بیم بار کول چی په پورتنی برخه د انځور 12-37a کی بنودل شوي، مساوي دی په مجموعی د لاندې بنودل شویو بارونو په بیم باندې. یوځل بیا، د ساحو محاسبه کول او د مرکز ثقل موقعیتونو معلومول د دریو جلا مؤمنت ډایگرامونو لپاره پر ځای د یو محصله ډایگرام، انځور 12-37b، چی په پورتنی برخه کی بنودل شوی، اسانه دي .

هغه مثالونه چی وړاندی کیری د ا ټکی به نور هم روښانه کړی، چی په مستقیم ډول دمؤمنت-مساحت تیورم د ستاتيکلی نامعلوم یا ډاید ریکشنونو معلومول لپاره څنګه کارول کیری. د حلولو د تحلیل لپاره هغه طریقه چی په 12.4 برخه کی تشریح شوي تعقیبوي.

مثالونه

مثال 12.19

په دی لاندی انځور 12-38a کی په بنودل شوي بیم یوه تمرکزی قوه پلی شوي. ریکشنونه په اتکاءوو کی معلوم کری. EI ثابت دی.



انځور 12-38

حل (SOLUTION)

M/EI ډاگرام (M/EI Diagram).

آزاد ډایګریم په انځور 12-38b کی بنودل شوي.

فرض کوو چی بیم له A څخه کنټیلیور شوي، او د سوپر پوزیشن له طریقې کار اخلو. M/EI ډایګرامونه د زاوید ریکشن B_y او دی پلی شوی بار P لپاره په انځور 12-38c کی بنودل شوي.

ایلسټیک منحنی (Elastic Curve). ایلسټیک منحنی د بیم په انځور 12-38 d کی بنودل شوي دی. مماسونه په اتکاءوو A او B کی رسم شوي. ځکه چی $U_B = 0$ ، نو بیا

$$t_{B/A} = 0$$

مؤمنت-مساحت تیورم (Moment – Area Theorem). د مؤمنت-مساحت دوهم (2) تیورم پلی کوو، مورن لرو:

$$t_{B/A} = \left(\frac{2}{3}L\right)\left[\frac{1}{2}\left(\frac{B_y L}{EI}\right)L\right] + \left(\frac{L}{2}\right)\left[\frac{-PL}{EI}(L)\right]$$

$$+ \left(\frac{2}{3}L\right)\left[\frac{1}{2}\left(\frac{-PL}{EI}\right)(L)\right] = 0$$

$$B_y = 2.5P \quad \text{Ans.}$$

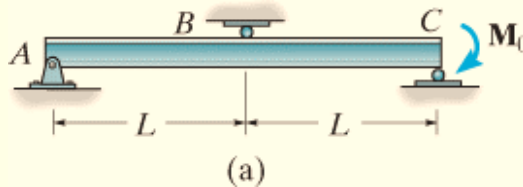
د توازن معادلي (Equations of Equilibrium).

له دی پایلو کار اخلو ، د آزاد ډیگرام ریکشنونه په A کې، انځور 12-38b ، کی عبارت دی په

$\rightarrow \Sigma F_x = 0;$	$A_x = 0$	<i>Ans.</i>
$+\uparrow \Sigma F_y = 0;$	$-A_y + 2.5P - P = 0$	
	$A_y = 1.5P$	<i>Ans.</i>
$\zeta + \Sigma M_A = 0;$	$-M_A + 2.5P(L) - P(2L) = 0$	
	$M_A = 0.5PL$	<i>Ans.</i>

مثال 12.20

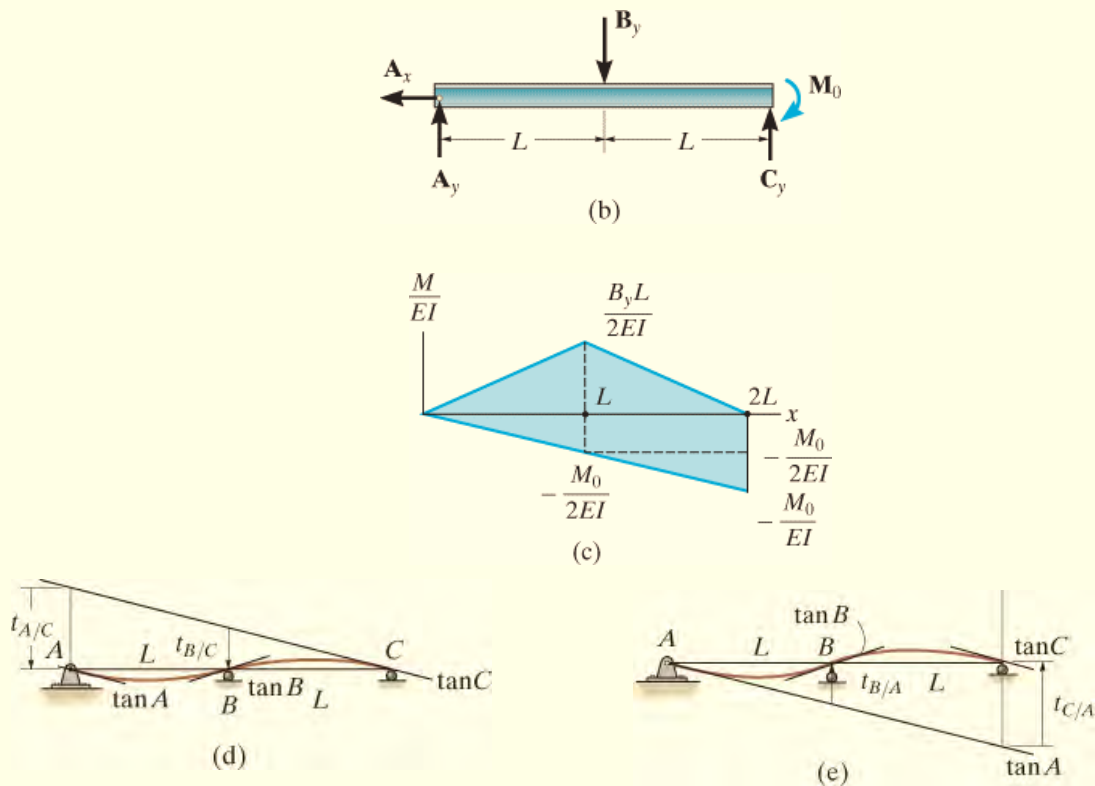
ددی لاندی بیم ، انځور 12-39a ، په پای C کې یو کپل مؤمنت پلی شوي دی. ریکشنونه په B کې و ټاکي. EI ثابت دی.



انځور 12-39

حل (SOLUTION)

M/EI ډاگرام (M/EI Diagram). آزاد ډایگرام په 12-39b کې بنودل شوي. په لیدو سره پوهیږو چی بیم په اوله درجه نامعلو مه ده. ددی لپاره چی حل په مستقیم ډول تر لاسه کړو ، B_y به د زايد په توگه وټاکو. نو بیا به دا بیم د یو ساده اتکا بیم په توگه په پام کې و نیسو، او سوپر پوزیشن له طریقي به د M/EI ډایگرامونو به د B_y او M_0 د پاره جوړ کړو، انځور .



انځور 12-39 (تکرار)

ایلستیک منحنی (Elastic Curve). ایلستیک منحنی د بیم په انځور 12-39d کی بنودل شوي، او مماسونه په A, B او C باندی رسم شوي دی. ځکه چی $u_A = u_B = u_C = 0$ ، نو بیا عمودی فاصلی باید نسبتی وی، یعنی

$$t_{B/C} = \frac{1}{2} t_{A/C} \quad (1)$$

له انځور 12-39c مور لرو

$$t_{B/C} = \left(\frac{1}{3}L\right)\left[\frac{1}{2}\left(\frac{B_y L}{2EI}\right)(L)\right] + \left(\frac{2}{3}L\right)\left[\frac{1}{2}\left(\frac{-M_0}{2EI}\right)(L)\right] + \left(\frac{L}{2}\right)\left[\left(\frac{-M_0}{2EI}\right)(L)\right]$$

$$t_{A/C} = (L)\left[\frac{1}{2}\left(\frac{B_y L}{2EI}\right)(2L)\right] + \left(\frac{2}{3}(2L)\right)\left[\frac{1}{2}\left(\frac{-M_0}{EI}\right)(2L)\right]$$

دا په معادله 1 کی ځای په ځای او وروسته له ساده کولو دا لاندی په لاس راځي

$$B_y = \frac{3M_0}{2L}$$

Ans.

د توازن معادلي (Equations of Equilibrium). د توازن معادلو په مرسته ریکشنونه په A او C کی اوس معلومولي شو، انځور 12-39b. ویني چي $A_x = 0$, $C_y = 5M_0/4L$ او $A_y = M_0/4L$ دی.

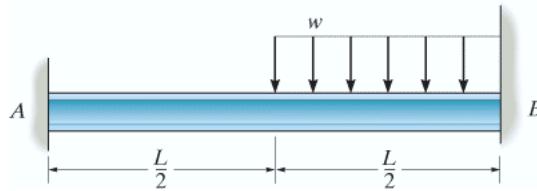
له انځور 12-29e معلومیري چي دا پوښتنه له عمودی فاصلو هم په لاس راتله،

$$t_{B/A} = \frac{1}{2} t_{C/A}$$

سوالونه

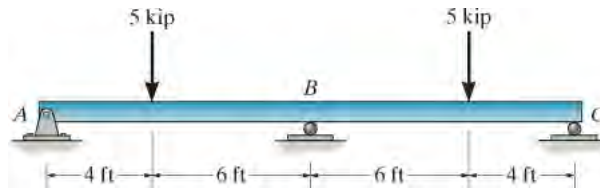
PROBLEMS

س 12-111. د مؤمنت ریکشنونه په اتکاءوو A او B کی معلوم کړي. EI ثابت دی.



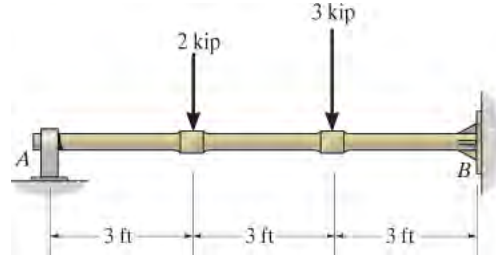
انځور 12-111

س 12-112*. ریکشنونه په اتکاءوو کی و ټاکي، بیا د شپیر او مؤمنت ډایگرامونه رسم کړي. EI ثابت دی.



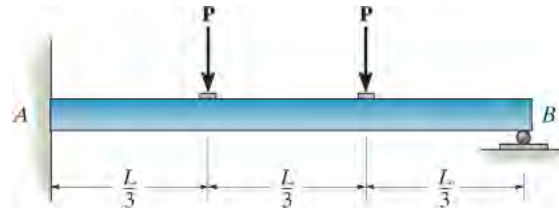
انځور 12-112

س 12-113. عمودی ریکشن په جورنال اتکاء A او په کلکه اتکاء B کی و ټاکی، او بیا د شیبیر او مؤمنت ډایگرامونه د شافت رسم کړي. EI ثابت دی.



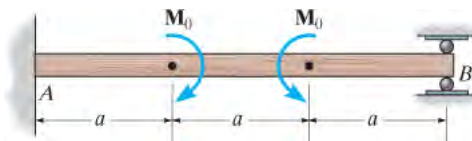
انځور 12-113

س 12-114. ریکشنونه په اتکاءوو A او B کی معلوم کړي. بیا د شیبیر او مؤمنت ډایگرامونه رسم کړي. EI ثابت دی.



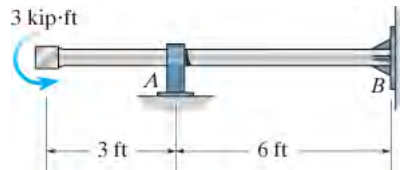
انځور 12-114

س 12-115. ریکشنونه په اتکاءوو کی معلوم کړي. EI ثابت دی.



انځور 12-115

س* 12-116. عمودی ریکشن په جورنال اتکاء A او په کلکه اتکاء B کی و ټاکی، او بیا د شیبیر او مؤمنت ډایگرامونه د شافت د پاره رسم کړي. EI ثابت دی.



انځور 12-116

12.9 ستاتيکلی نامعلوم بيمونه او شافټونه-د سوپرپوزيشن په طريقه (STATICALLY INDETERMINATE BEAMS AND SHAFTS- SUPERPOSITION METHOD)

د دې لپاره چې د ستاتيکلی نامعلوم بيم د ریکشنونو حل کولو لپاره له سوپر پوزيشن طريقی څخه کارواخيستل شي، لمړی اړين دی چې زاید (redundant) له بيم ليری کړل شي . دا به لومړني بيم (primary beam) داسی جوړه کړی چې ستاتيکلی به معلوم ، ثابت او مستحکمه وي. د سوپرپوزيشن په کارولو سره، مورن په ورته ډول ملاتړ شوي پرله پسې بيمونه چې هر يو يوازې له جلا زاید سره بار شوي وي اضافه کوو. هغه زاید د مطابقت شرايطو (condition of compatibility) څخه چې په هر اتکاء کې شتون لري، او چيرې چې زاید عمل کوي، ټاکل کيږي . ځکه چې زاید قواوی په مستقيم ډول په دې ډول ټاکل کيږي ، د تحليل دا طريقه ځينې وختونه د قوی -طريقه (force method) په نامه سره بلل کيږي.

د دې مفکورو د روښانه کولو لپاره، هغه بيم ته چې په انځور 12-40a کې ښودل شوی پام وکړئ. که مونږ ریکشن B_y په رولر اتکاء کې زاید غوره کړو، بيا لومړنی بيم په انځور 12-40b او بيم د پلي شوي زاید B_y سره په انځور 12-40c کې ښودل شوي. په رولر کې بي ځايه کيدل بايد صفر وي، او ځکه چې په لومړني بيم کې د B بي ځايه کيدل u_B دی، او B_y لامل د بيځايه کيدنی پورته خوا u'_B کيږي، مورن کولی شو د مطابقت مساوات په B کې داسي وليکو

(+↑)

$$0 = -v_B + v'_B$$

دا بي ځايه کيدل د بارونو په کارولو سره ، کله چې د ضميمی C جدول وکارول شي څرگند کيدی شي. دا د بلر- او بي ځايه کيدو اړیکې عبارت دی په

$$v_B = \frac{5PL^3}{48EI} \quad \text{and} \quad v'_B = \frac{B_y L^3}{3EI}$$

کله چې دا د مطابقت مساواتو کې ځای پر ځای شي مورن لرو

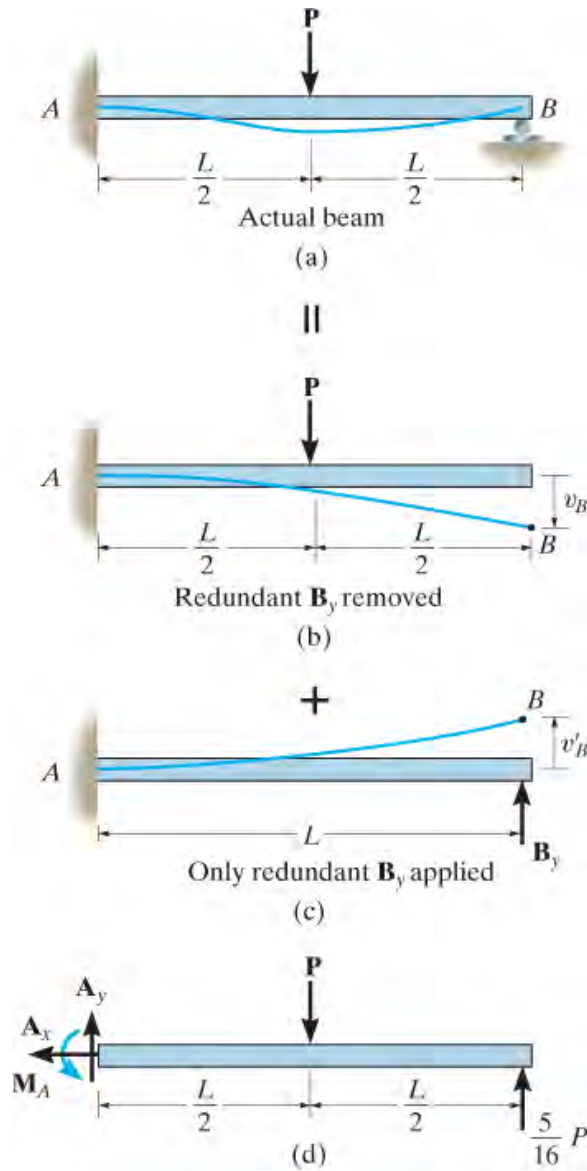
$$0 = -\frac{5PL^3}{48EI} + \frac{B_y L^3}{3EI}$$

$$B_y = \frac{5}{16} P$$

اوس چې B_y پيژندل شوي مورن کولای شو ریکشنونه په ديوال کې، په پلي کولو د توازن دريو معادلو سره د بيم په آزاد-ډايگرام ، انځور 12-40d ، ترلاسه کړو . پایلې دي

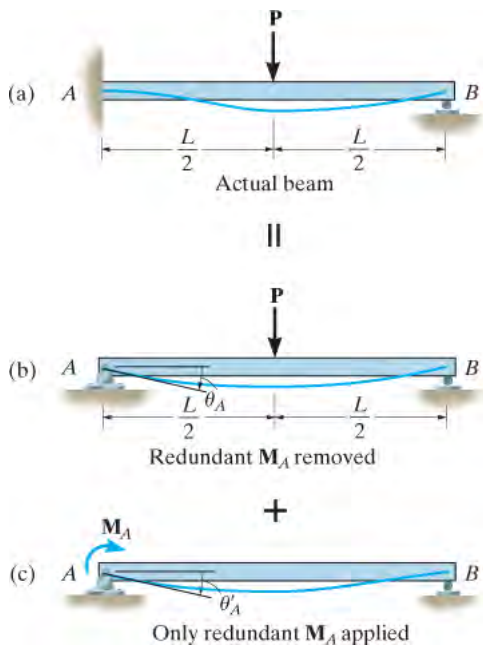
$$A_x = 0 \quad A_y = \frac{11}{16} P$$

$$M_A = \frac{3}{16} PL$$



انځور 12-40

لکه څنگه چې په برخه 12.6 کې ویل شوي، د زايد انتخاب په خپله خوښه دی، په دې شرط چې لومړني بیم ثابت (stable) پاتې شي. د مثال په توگه، هغه بیم چې په انځور 12-41a کې ښودل شوي، مؤمنت په اتکاء A کې د بیم لپاره د زايد په توگه غوره کیدی شي. په دې صورت کې د بیم د مقاومت وړتیا M_A لیرې کیږي، او له همدې امله لومړنی بیم بیا په A کې پین اتکاء لری، انځور 12-41b. دې ته مور بیم چې یوازی زايد لری، انځور 12-41c، اضافه کوو. په A کې هغه میلان چې د بار P له امله مینځ ته راځي په q_A سره ورته اشاره کیږي. او میلان په A کې چې د زايد M_A له امله رامینځته شوی q'_A دی، په A کې د میلان لپاره د مطابقت مساوات ته اړتیا لري



یوځل بیا په ضمیمه C کې د جدول څخه کار واخلئ تر څو دگړد شونو او بار تړاو سره ښکاره شی، مور لرو

$$\theta_A = \frac{PL^2}{16EI} \quad \text{and} \quad \theta'_A = \frac{M_A L}{3EI}$$

انځور 12-41

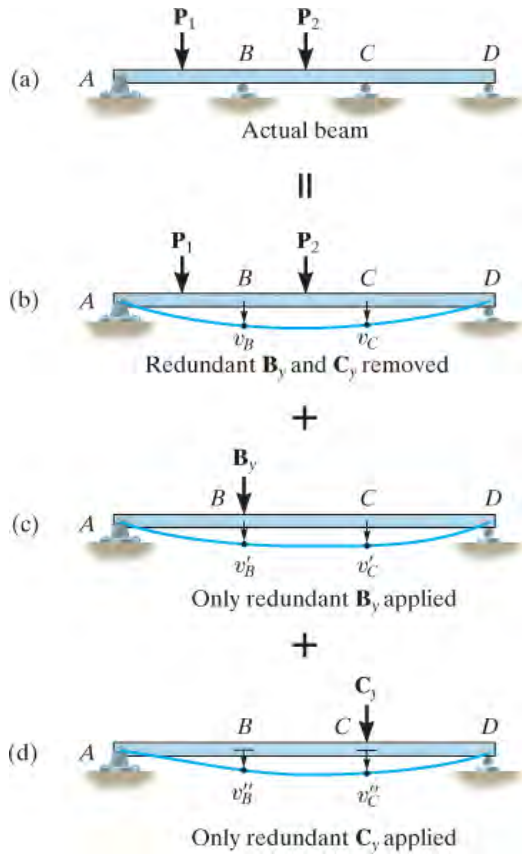
په دې توگه

$$0 = \frac{PL^2}{16EI} + \frac{M_A L}{3EI}$$

$$M_A = -\frac{3}{16} PL$$

دا پایلی د هغه پایلو چې د مخه موندل شوي وي، د هغو په شان دي. دلته، منفي علامه دا په گوته کې چې M_A په خلاف د هغه جهت چې په انځور 12-41c کې ښودل شوی، عمل کړي.

آخري مثال چي دا طريقه تشریح کوي په انځور 12-42a کی بنودل شوي. دلته بيم په دوهمه درجه نامعلومه ده ،



بايد دوه زايد ريكشنونه له بيم څخه جلا شي. مور به قواوی په رولر اتكاءوو B او C زايد انتخاب كړو.

اصلي بيم (primary) (چي ستاتيكي معلوم دي) بيخايه كيدنه يي په انځور 12-42b ، او د بيم د هر زايد بيخايه كيدنه په انځور 12-42c او 12-42d کی بنودل شوي.

د سوپر پوزیشن ، د مطابقت معادلي د بيخايه كيدني په B او C کی عبارت دی په

انځور 12-42

$$(+\downarrow)$$

$$0 = v_B + v'_B + v''_B$$

$$(12-20)$$

$$(+\downarrow)$$

$$0 = v_C + v'_C + v''_C$$

د ضميمی C له جدول کار اخلو ، د بيخايه كيدني دا ټولې برخي د بارونو تړاو سره بنودل كيدی شي. كله چي دا وبنودل ، بيا دا معادلي يو ځای سره حل كيدی شي او نامعلوم B_y او C_y به په لاس راشي.

د تحلیل کرنلاره

PROCEDURE FOR ANALYSIS

دا لاندې کرنلاره د سوپر پوزیشن طریقې (یا د قوی میتود) پلي کولو لپاره وسیله چمتو کوي، تر څو نامعلوم ریکشنونه په ستاتیکي نا معلوم بيمونو او یا شافتونو کې و موندل شي.

ایلستیک منحنی (Elastic Curve).

- نامعلوم یا زايد قواوی یا مؤمنونه مشخص کړئ، تر څو هغوي د بيم څخه ليرې شي او يو ستاتیکي معلوم او با ثباته جوړښت جوړ شي.
- د سپرپوزیشن د اصولو په کارولو سره، ستاتیکي نامعلوم بيم رسم کړئ او په ترتیب سره مساوي اړونده ستاتیکي معلوم بيمونه يې و بنیي.
- د دې بيمونو څخه لومړی به، اصلی بيم، کوم چی بهرنی بارونه په ستاتیکي نامعلوم بيم عمل کړي وه و بنیي، او هر يو د نورو بيمونو چی په جلا توگه زايد قوه یا مؤمنت بنیي په اصلی بيم ور اضافه کړی.
- د هر بيم لپاره د بیخايه کيدو منحنی سکچ جوړ کړئ او په گوته کړئ، بي خايه کيدنه (ميلان) په هر ټکی د زايد قوی (مؤمنت).

د مطابقت معادلي (Compatibility Equations).

- د بي خايه کيدو (ميلان) لپاره، په هر نقطه چيرې چې زايد قوه (مؤمنت) شتون لري، د مطابقت معادلي وليکئ.

د بار- بيخايه کيدو معادلي (Load-Displacement Equations).

- ټول بي خايه کيدنه یا ميلانونه اړيکي د ضميمی C فورمولونو په کارولو سره و بنیي.
- پایلي د مطابقت مساواتو کې خای په خای کړئ او مساوات حل کړئ تر څو نامعلوم زايدونه پيدا شي.
- که د پيدا شوي زايد عددي ارزښت مثبت وي، دا يو شان سمت لري لکه څنگه چې په اصل کې فرض شوی وو. منفي ارزښت د خپل فرض شوي سمت سره مخالف جهت په گوته کوي

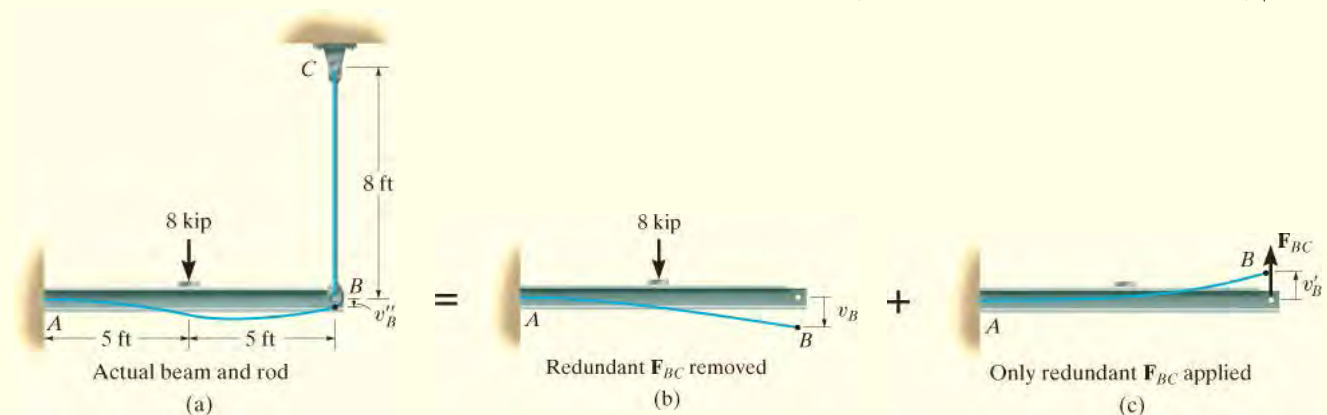
د توازن معادلي (Equilibrium Equations)

- کله چې زايد قواوي او/یا مؤمنت وټاکل شي، پاتي نامعلوم ریکشنونه د توازن معادلو په پلي کولو سره چی په هغه بار شوی آزاد ډايگرام کې ښودل شوي، و به موندل شي.

مثالونه

مثال 12.21

په انځور 12-43a کی بنودل شوي بیم ، په A کی له دیوال سره کلک تړل شوي ، او هم د پین اتکاء سره په یو $\frac{1}{2}$ in قطر میله BC تړل شوي. که چیری $E = 29 (10^3)$ ksi د دواړو غړیو لپاره وی، هغه قوه چی په میله کی د بنودل شوی بار له امله مینځ ته راځي وټاکي. انرشیایي مؤمنت د بیم په صفری کرښه عبارت دی په $I = 475 \text{ in}^4$.



انځور 12-43

حل (SOLUTION) I

د سوپر پوزیشن اصول (Principal of Superposition)

په کتنی سره دا پوښتنه د اوله درجی نامعلومه ده. دلته B له یوه نامعلوم بیخایه کیدنی U'' تیریری، ځکه چی میله به اوږده شي. میله به زايد وگڼو او قوه به له بیم څخه په B کی لري کړو، انځور 12-43b ، او بیا به یې وروسته بیا پلی کړو، انځور 12-43c .

د مطابقت معادلی (Compatibility Equation) له مخی په ټکی B کی اړین دی

$$(+\downarrow) \quad v_B'' = v_B - v_B' \quad (1)$$

د بار- بیخایه کیدنی معادلي (Load-Displacement Equations). د بیخایه کیدنی

U_B او U'_B تړون د بار سره د ضمیمی C په کارولو بنودل شوي. بیخایه کیدنه U''_B د 4-2 معادلی په کارولو محاسبه کیدی شي. په کارولو د کیلو پوند او انچ ، مور لرو:

$$v''_B = \frac{PL}{AE} = \frac{F_{BC} (8 \text{ ft})(12 \text{ in./ft})}{(\pi/4)(\frac{1}{2} \text{ in.})^2 [29(10^3) \text{ kip/in}^2]} = 0.01686 F_{BC} \downarrow$$

$$v_B = \frac{5PL^3}{48EI} = \frac{5(8 \text{ kip})(10 \text{ ft})^3 (12 \text{ in./ft})^3}{48[29(10^3) \text{ kip/in}^2](475 \text{ in}^4)} = 0.1045 \text{ in.} \downarrow$$

$$v'_B = \frac{PL^3}{3EI} = \frac{F_{BC} (10 \text{ ft})^3 (12 \text{ in./ft})^3}{3[29(10^3) \text{ kip/in}^2](475 \text{ in}^4)} = 0.04181 F_{BC} \uparrow$$

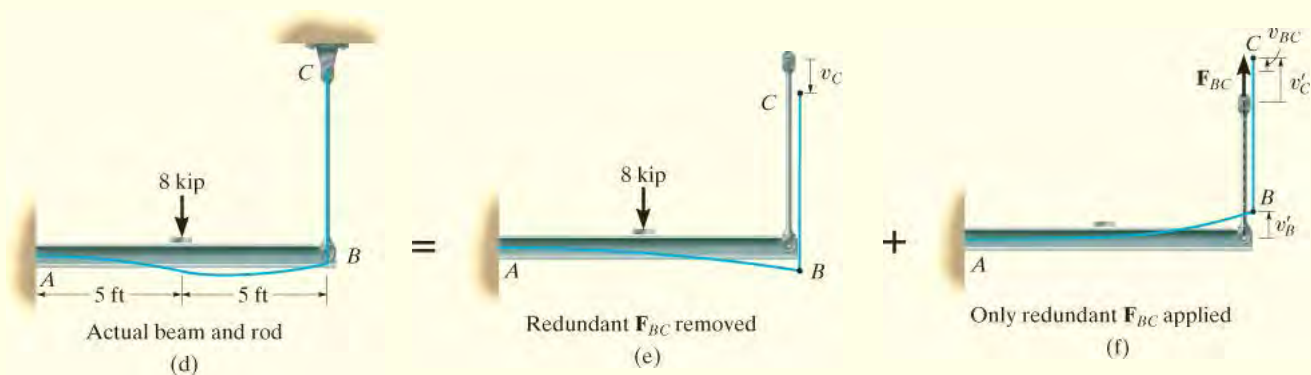
په دی توگه معادل 1 کیري:

(+↓)

$$0.01686 F_{BC} = 0.1045 - 0.04181 F_{BC}$$

$$F_{BC} = 1.78 \text{ kip}$$

Ans.



انخور 12-43 تکرار

حل (SOLUTION) II

د سوپر پوزیشن اصول (Principal of Superposition). دا پوښتنه داسی هم حل کیدی

شي، کله چی پین په اتکاء C کی لري شي او میله د بیم سره تړلي پاتي کیري. په دی حالت کی به تکی B او C په بنکته لور په یو اندازه U_C بیخایه شي، انخور 12-43e ، خکه په میله BC کی

قوه شتون نه لري. كله چی دايد قوه F_{BC} په ټکی C پلی شي، دا لامل د بيخايه کيدو د پای C د ميله پورته خوا ته په اندازه دی U'_C او پای B د بيم پورته خوا په اندازه د U'_B ، انځور 12-43f، بيخايه کوي. ددی دواړو بيخايه کيدو تفاوت U_{BC} ، غځيدل د ميلي د F_{BC} له امله دی، نو بيا $U'_C = U_{BC} + U'_B$. په دی توگه، له انځور 12-43d، 12-43e او 12-43f مطابقت او بيخايه کيدنه په ټکی C کی عبارت ده په

$$(+\downarrow) \quad 0 = v_C - (v_{BC} + v'_B) \quad (2)$$

له اول (I) حل مور لرو

$$\begin{aligned} v_C &= v_B = 0.1045 \text{ in. } \downarrow \\ v_{BC} &= v''_B = 0.01686 F_{BC} \uparrow \\ v'_B &= 0.04181 F_{BC} \uparrow \end{aligned}$$

نو بيا معادله 2 کيږي

$$\begin{aligned} (+\downarrow) 0 &= 0.1045 - (0.01686 F_{BC} + 0.04181 F_{BC}) \\ F_{BC} &= 1.78 \text{ kip} \end{aligned}$$

Ans.

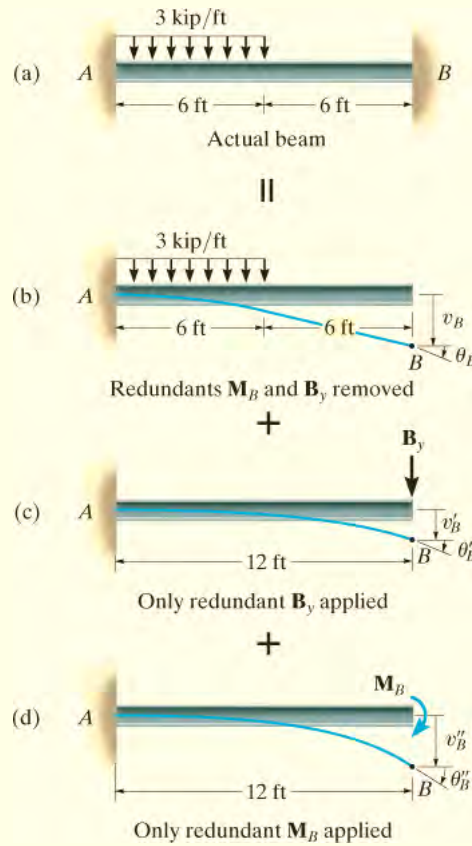
مثال 12.22

دا لاندی بيم چی په انځور 12-44a کی بنودل شوی مؤمنت په B کی وټاکي. د محوری بار اغيزه په پام کی مه نیسی. EI ثابت دی.

حل (SOLUTION)

د سوپر پوزیشن اصول (Principal of Superposition). ځکه چی محوری بار په بيم کی په پام کی نه نیول کيږي، له دی امله عمودی قوه او مؤمنت په A او B کی جوړيږي. دلته دوه د توازن معادلی شتون لری ($SM=0, SF_y=0$) او دا بيم دوهمه درجه نا معلوم ده. مور به فرض کړو چی B_y او M_B دايد دی، نو د سوپرپوزیشن په اصول سره، دبیم استازیتوب په کنتیلیور سره

شوي، کوم چی په جلا توگه په ویشلشوی بار د ریکشنونو B_y او M_B سره بنودل شوي. انځورونه 12-44b, 12-44c او 12-44d و گوري.



انځور 12-44

د مطابقت معادلی (Compatibility Equations). بیځایه کیدنه او میلان په B کی په پام کی نیسو، اړین دی:

$$(\curvearrow +) \quad 0 = \theta_B + \theta'_B + \theta''_B \quad (1)$$

$$(+\downarrow) \quad 0 = v_B + v'_B + v''_B \quad (2)$$

د بار-بیځایه کیدنی معادلی (Load-Displacement Equations). د ضمیمی C جدول کارو، او بیځایه کیدنه او میلان د بار د تړاو سره په دی لاندی ډول لیکلی شو:

$$\theta_B = \frac{wL^3}{48EI} = \frac{3 \text{ kip/ft} (12 \text{ ft})^3}{48EI} = \frac{108 \text{ kip} \cdot \text{ft}^2}{EI} \curvearrowright$$

$$v_B = \frac{7wL^4}{384EI} = \frac{7(3 \text{ kip/ft})(12 \text{ ft})^4}{384EI} = \frac{1134 \text{ kip} \cdot \text{ft}^3}{EI} \downarrow$$

$$\theta'_B = \frac{PL^2}{2EI} = \frac{B_y(12 \text{ ft})^2}{2EI} = \frac{72B_y}{EI} \curvearrowright$$

$$v'_B = \frac{PL^3}{3EI} = \frac{B_y(12 \text{ ft})^3}{3EI} = \frac{576B_y}{EI} \downarrow$$

$$\theta''_B = \frac{ML}{EI} = \frac{M_B(12 \text{ ft})}{EI} = \frac{12M_B}{EI} \curvearrowright$$

$$v''_B = \frac{ML^2}{2EI} = \frac{M_B(12 \text{ ft})^2}{2EI} = \frac{72M_B}{EI} \downarrow$$

دا ارزښتونه په معادلو 1 او 2 کې ځای په ځای کوو، د EI فکتور کنسل کيږي، مور لرو:

$$(\curvearrowright) \quad 0 = 108 + 72B_y + 12M_B$$

$$(+\downarrow) \quad 0 = 1134 + 576B_y + 72M_B$$

دا مساوات یو ځای سره حل کوو او حاصل یې دی:

$$B_y = -3.375 \text{ kip}$$

$$M_B = 11.25 \text{ kip} \cdot \text{ft}$$

Ans.

یادونه: ریکشن په A کې اوس د توازن له معادلو موندل کیدی شي.

مثال 12.23

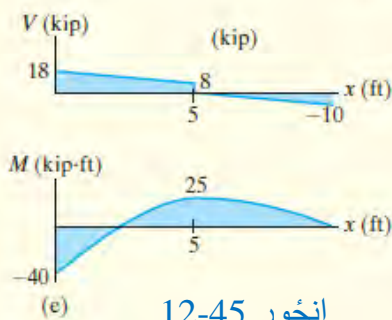
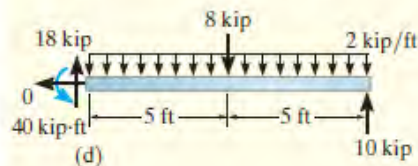
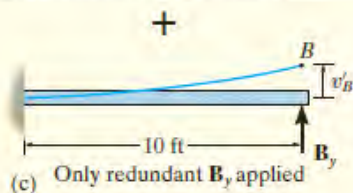
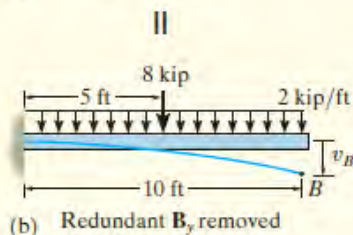
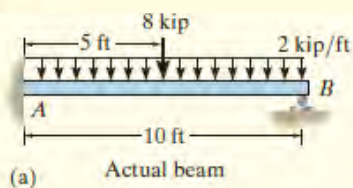
دا لاندی بیم چی په انځور 12-45a کې ښودل شوي، ریکشن په رولر اتکاء B کې و ټاکی، بیا شیبیر او مؤمنت ډایگرامونه د بیم لپاره رسم کړي. EI ثابت دی.

حل (SOLUTION)

د سوپر پوزیشن اصول (Principal of Superposition). په لیدو سره دا بیم په اوله درجه سره ستاتیکلی نامعلوم ده. رولر اتکاء په B کی به باید انتخاب کړوتر څو B_y به مستقیم ډول و موندل شي. انځورونه 12-45b او 12-45c پلي کول د سوپرپوزیشن اصول بنیي. دلته موږ فرض کړي چې B_y په بیم پورته خوا ته عمل کړي.

د مطابقت معادلی (Compatibility Equations). بیخایه کیدنه کبسته لور ته مثبت نیسو، د مطابقت معادله په B کی عبارت ده په

$$0 = v_B - v'_B \quad (1)$$



انځور 12-45

د بار- بیخایه کیدنی معادلی (Load-Displacement Equations)

بیخایه کیدنی باروپه تراو، ی په کارولو د ضمیمی C جدول داسی کیري

$$\begin{aligned} v_B &= \frac{wL^4}{8EI} + \frac{5PL^3}{48EI} \\ &= \frac{2 \text{ kip/ft}(10 \text{ ft})^4}{8EI} + \frac{5(8 \text{ kip})(10 \text{ ft})^3}{48EI} = \frac{3333 \text{ kip} \cdot \text{ft}^3}{EI} \downarrow \\ v'_B &= \frac{PL^3}{3EI} = \frac{B_y (10 \text{ ft})^3}{3EI} = \frac{333.3 \text{ ft}^3 B_y}{EI} \uparrow \end{aligned}$$

دا په معادله 1 کی ځای پر ځای کوو او حل یی دا لاندی راکوي

$$\begin{aligned} 0 &= \frac{3333}{EI} - \frac{333.3 B_y}{EI} \\ B_y &= 10 \text{ kip} \end{aligned}$$

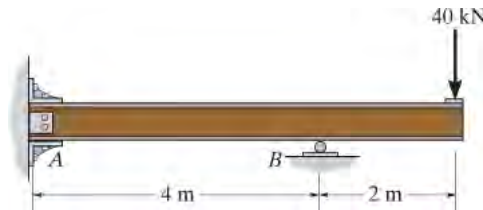
Ans.

د توازن معادلې (Equilibrium Equations). له دې پايلو او له درې معادلود توازن کار اخلو، مور هغه پايلې چې د بيم په آزاد ډايگرام انځور 12-45d کې ښودل شوي حاصليري. شپير او مؤمنت ډايگرامونه په انځور 12-45e کې ښودل شوي.

بنسټيز پوښتنې

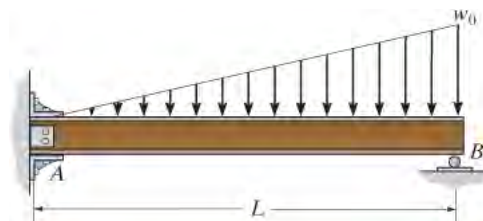
FUNDAMENTAL PROBLEMS

ب 12-13. ريكشنونه ددې لاندې بيم په كلکه اتكاء A او رولر اتكاء B کې مشخص كړي. EI ثابت دی.



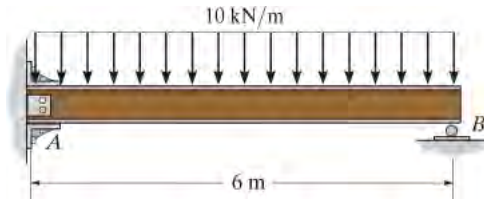
ب 12-13

ب 12-14. ريكشنونه ددې لاندې بيم په كلکه اتكاء A او رولر اتكاء B کې مشخص كړي. EI ثابت دی.



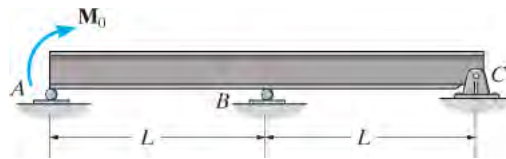
ب 12-14

ب 12-15. ریکشنونه ددی لاندی بیم په کلکه اتکاء A او رولر اتکاء B کی مشخص کړي. اتکاء B په اندازه $d = 2 \text{ mm}$ په کښته لور بیخایه کیدنه لري. EI ثابت دی.



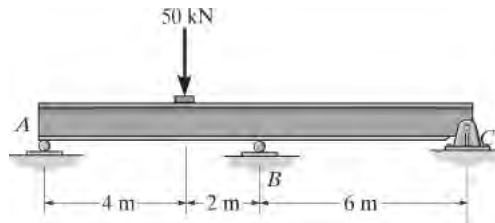
ب 12-15

ب 12-16. ریکشن ددی لاندی بیم په رولر اتکاء B کی مشخص کړي. EI ثابت دی.



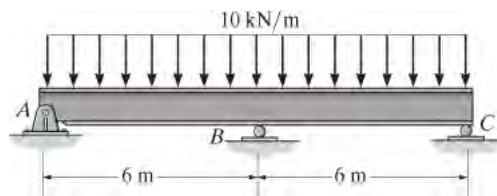
ب 12-16

ب 12-17. ریکشن ددی لاندی بیم په رولر اتکاء B کی مشخص کړي. EI ثابت دی



ب 12-17

ب 12-18. ریکشن ددی لاندی بیم په رولر اتکاء B کی مشخص کړي. اتکاء B په اندازه $d = 5 \text{ mm}$ په کښته لور بیخایه کیدنه لري. $E = 200 \text{ GPa}$ او $I = 65.0(10^{-6}) \text{ m}^4$

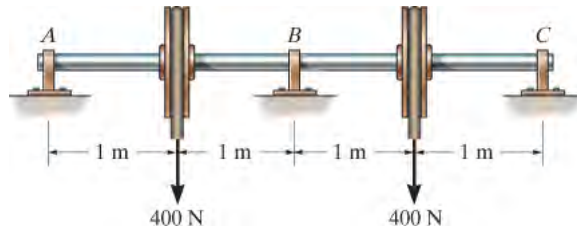


ب 12-18

سوالونه

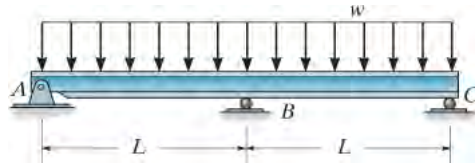
PROBLEMS

س 12-117. ددی لاندی شافت ریکشنونه په جورنال بیرینگ اتکاؤ A , B او C کی و ټاکی، بیا د شپیر او مؤمنت ډایگرامونه رسم کړي. EI ثابت دی.



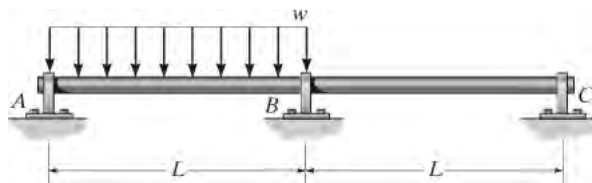
س 12-117

س 12-118. ددی لاندی بیم ریکشنونه په اتکاؤ کی و ټاکی، او بیا د شپیر او مؤمنت ډایگرامونه رسم کړي. EI ثابت دی.



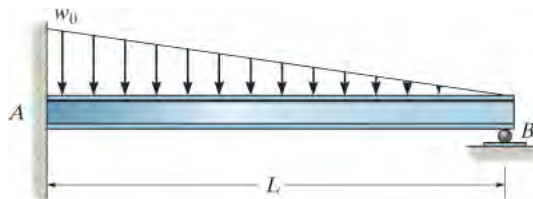
س 12-118

س 12-119. ددی لاندی بیم ریکشنونه په اتکاؤ کی و ټاکی، او بیا د شپیر او مؤمنت ډایگرامونه رسم کړي. EI ثابت دی.



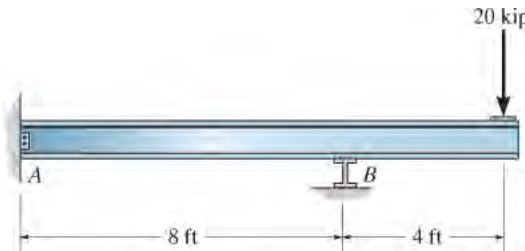
س 12-119

س 12-120*. ددی لاندی بیم په اتکاؤ A او B کی مشخص کړي. EI ثابت دی.



س 12-120

س 12-121. په دی لاندی بیم 20-kip بار پلی شوي دي، ریکشنونه په اتکاوو کی مشخص کړي. فرض کړی چی A کلکه اتکاء او B رولر دی.



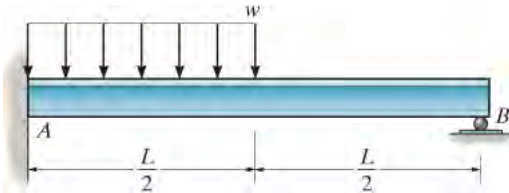
س 12-121

س 12-122. ریکشنونه ددی لاندی بیم په اتکاء A او B کی مشخص کړي. EI ثابت دی.



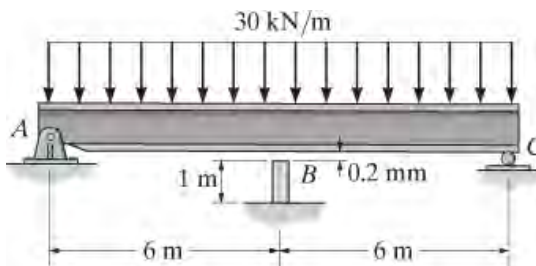
س 12-122

س 12-123. ریکشنونه ددی لاندی بیم په اتکاء A او B کی مشخص کړي. EI ثابت دی.



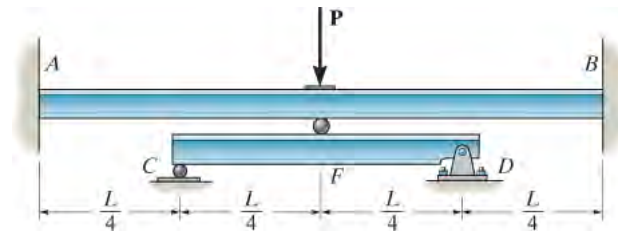
س 12-123

س 12-124*. مخ کی له دی چی ویشلشوی بار په بیم پلی شي، یوه وره خلاء (gap) د بیم او پایه B تر مینځ په اندازه د 0.2 mm شتون لري. د اتکاوو ریکشنونه په A , B او C کی و ټاکي. پایه په B کی 40 mm قطر لري، او انرشیايي مؤمنت د بیم $I = 875 (10^6) \text{ mm}^4$ دي. پایه او بیم له موادو چی د ایلستیستی ماچولس یی $E = 200 \text{ GPa}$ دی، جوړ شوي.



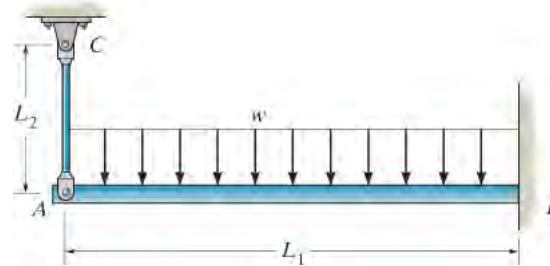
س 12-124

س 12-125. دا لاندی کلکه تړل شوی بیم AB ، د یو ساده اتکا بیم CD او رولر په F کی، مخ کی له دی چی بار P پلی شي، تقویه شوي ده. ریکشنونه په اتکاؤ کی وټاکي، EI ثابت دی.



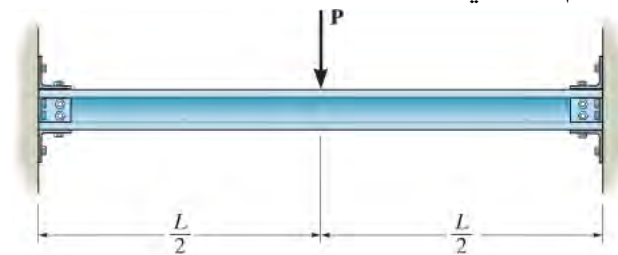
س 12-125

س 12-126. دا بیم ثابت $E_1 I_1$ لري او په کلک دیوال سره په B کی ټینګ شوي او هم په میله AC سره تړل شوي. که چیری غوڅه برخه د میلی A_2 او د موادو ایلسټیستي ماجولس یي E_2 وی قوه په میله کی مشخص کړي.



س 12-126

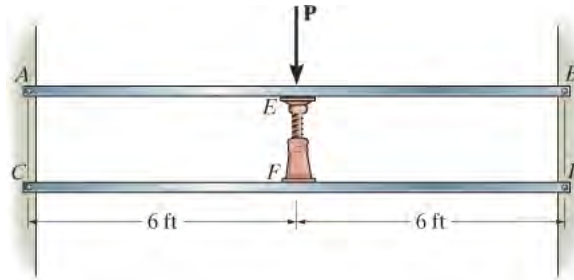
س 12-127. بیم د بولټونو په واسطه په دواړو پایلوکی ټکیه شوي ده. کله چی بار پلی شي دا اتکاءوي په پیل کی کلک تړون (fixed) نه جوړه وی، مگر پر خای یي لږ څه تاویدل a مخ کی له دی چی کلک شي اجازه ورکوي، ترڅوچی بشپړ بار ورباندی پلی شي. مؤمنت په اتکاوو او اعظمی بیخایه کیدنه د بیم و ټاکي.



س 12-127

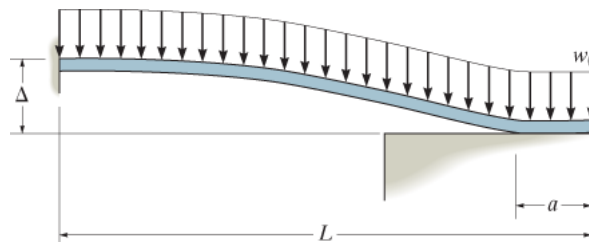
س 12-128*. هر یو ددی دو غړیو له المونیم 6061-T6 چی 1 in X 1 in غوڅه برخه لري جوړ شوي. دواړه غړي په پایلوکی پین اتصال لري، او یو جک (jack) په مینځ کی خلاص ایښودل شوي تر څو په هر غړی 50 lb قوه جوړه کړي. تر ټولو لوی قوه P چی کیدی شي د پورته غړي

په مرکز کی، پرته له دی چی هر یو غری بیلد وکړي، پلی شي، پیدا کړی. په تحلیل کی محوری قوه په هر غری په پام کی مه نیسي. فرض کړی چی جک سخت یا کلک دی.



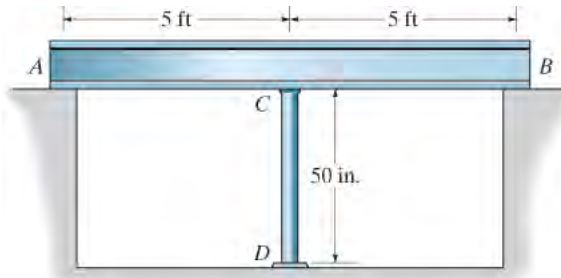
س 12-128

س 12-129. بیم له نرمو خطي ایلستیک موادو چی ثابت EI لري جوړه شوي. که په اصل کی په فاصله D له سطحی د پای اتکاء څخه موقعیت ولري، فاصله a چی بیم په اتکاء تکیه کړي، کله چی ویشلسوی بار w_0 ، کوم چی پوره اندازه لری تر څو لامل ددی شي و ټاکي.



س 12-129

س 12-130. د بیم AB انرشیايي مؤمنت $I = 475 \text{ in}^4$ دی او په پایلو کی په هواره او صافو سطحو د اتکاؤو یی تکیه کړي ده. یو میله CD چی قطر لري په مرکز د بیم کی ویلډینگ شوی او د میلی بل پای یی په D کی کلکه اتکاء لري. که چیری د تودوخی درجه 150° F کموالي و مومي هغه قوه چی په میله کی جوړیږي و ټاکي. بیم او میله دواړه له فولادو A-36 جوړ شوي.

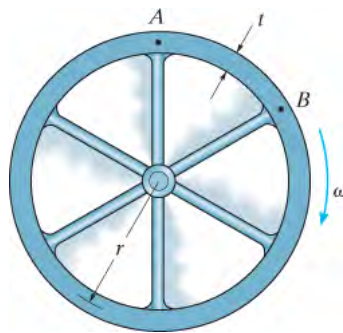


س 12-130

س 12-131. د فلايويل د غاړی (rim) پنډوالی t او سور یی b ، او خاص وزن g دي.

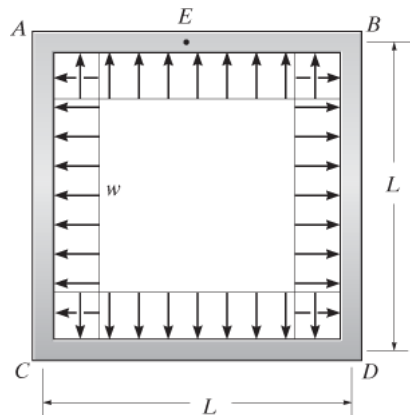
که چیری دا فلايويل په دومداره توگه په یو ثابتہ گرزیدا w کی وی، اعظمی مؤمنت چی د فلايويل په غاړه کی جوړیږي په گوته کری. فرض کری چی پری (spokes) تغیر د شکل نه کوي.

اشاره: د بار د متناظر والي له امله د غاړی میلان په هره په ره کی صفر دی. داسی پام وکړی چی شعاع په کافی اندازه لوی دی، او برخه AB د مستقیم بیم په توگه کوم چی په دواړو سرونو کی کلک تړل شوی، او ویشلشوی سنتریفیوگل قوه (centrifugal) په هر واحد اوږدوالي ورباندی پلی شوي ده. و بنیي چی دا قوه عبارت ده په $w = btgw^2r/g$.



س 12-131

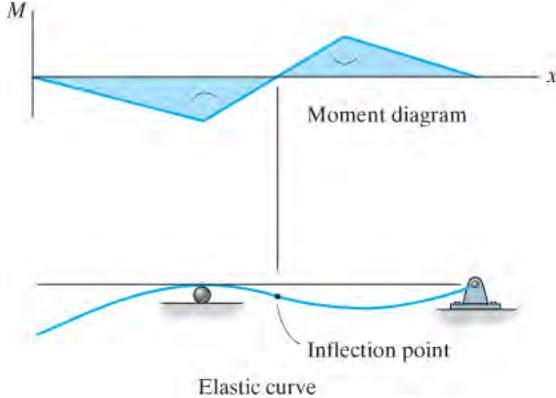
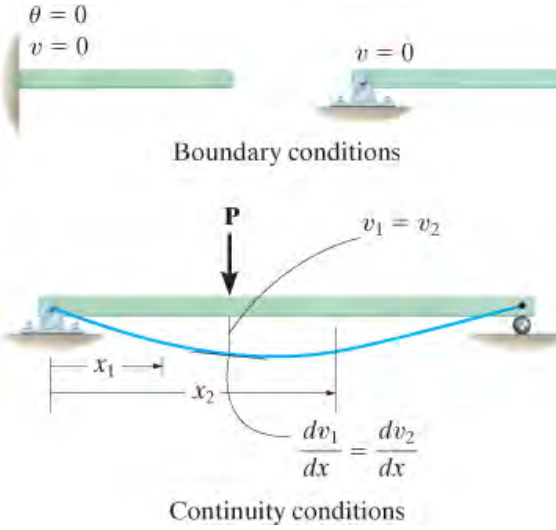
س *12-132. په هر اړخ د لاندی باکس چوکاټ یو ویشلشوی بار w پلی شوي دی. هغه مؤمنت چی په هر کونج کی جوړیږي و ټاکي. بیخایه کیدنه د محوری بار له امله په پام کی مه نیسی. EI ثابت دی.



س 12-132

د فصل بیا کتنه

CHAPTER REVIEW

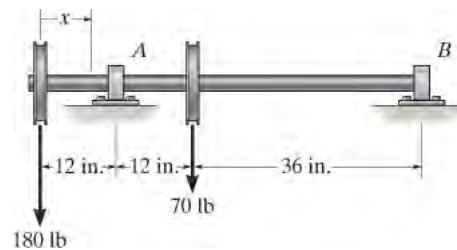
	<p>ایلستیک منحنی، استازیتوب د مرکزی کرنسی د یو بیم یا شافت کړي. شکل او اندازه یې د مؤمنت ډایگرام په کارولو سره ټاکل کیدی شي. مثبت مؤمنت دایلستیک منحنی محراب (concave) په پورته خوا، او منفي مؤمنت لامل ددی کیری چی منحنی لاندی خواته محراب شي. د انحنای شعاع په هره نقطه کی په دی لاندی ډول موندل کیری</p> $\frac{1}{\rho} = \frac{M}{EI}$
	<p>د ایلستیک منحنی معادله او د هغی میلان، لومړی په غړی کی د داخلي مؤمنت تابع د x موندلو له لاری تر لاسه کیدی شي. که خو بارونه په غړی عمل کړي وی، بیا د جلا مؤمنت توابع د هربار تر مینځ باید وټاکل شي. دا توابع انټیگریټ کړي یو ځل د میلان د ایلستیک منحنی ورکړي، او بل ځل یې بیا اینټیگریټ کړی تر څو د بیخایه کیدنی معادله ورکړي. د انټیگریشن ثابت اعداد به له سرحدی شرایطو په اتکاؤ کی، او یا په هغه قضیو کی چې څو د مؤمنت توابع شامل وي، د میلان او بیخایه کیدنی تسلسل په هغو نقطو کی چی توابع سره وصل کیری، باید په پام کی ونیول شي.</p>

	<p>د وقفې توابع اجازه ورکوي تر څو د ایلسټیک منحنی معادله د یوه دوامداره تابع په توګه څرګند کړل شي، پرته له دې چې د بار شمیرې د غړي په پام کې ونیول شي. دا طریقه د تسلسل شرایطو اړتیا له منځه وړي، ځکه چې د انټیګریشن دواړه ثابت اعداد له دوو سرحدی شرایطو څخه ټاکل کیدی شي.</p>
	<p>د مؤمنت – مساحت طریقه یوه نیمه ګرافیک طریقه ده چې د مماسونو د میلان، یا د مماسونو تر مینځ عمودی فاصلې، په ځانګړیو ټکیو د ایلسټیک منحنی، موندلو لپاره کارول کيږي. دا طریقه د M/EI ډیاګرام لاندې ساحه یا مؤمنت ددی ساحو د ایلسټیک منحنی په ټکیو کې، موندلو ته اړتیا لري. دا طریقه د ساده M/EI ډیاګرامونو لپاره چې د ساده شکلونو، لکه تمرکزې قواوې او یا کپل مؤمنت څخه جوړ شوي وي، ښه کارول کيږي.</p>
	<p>بیځایه کیدل یا میلان د غړي په یوه ټکی کې چې څو بارونو ورباندې عمل کړي، د سوپر پوزیشن طریقي په کارولو سره موندل کیدی شي. د ضمیمې C جدول شتون، د دی هدف لاس ته راوړلو لپاره دي.</p>
	<p>د ستاتیکې نامعلوم بیمونو او شافتونو، نا معلوم ریکشنونه د توازن معادلو په پرتله ډیر وي. د حل لپاره لمړي باید زايد ریکشنونه و پیژندل شي. د اینټیګریشن او مؤمنت-مساحت طریقي د زايد ریکشنونو موندلو لپاره کارول کیدای شي. دا هم ممکنه ده چې زايد ریکشنونه د سوپرپوزیشن طریقي په کارولو سره وټاکلشی، چیرته چې باید د تسلسل شرایط په زايد اتکاء کې په پام کې ونیول شي.</p>

د بیا کتنی پوښتنی

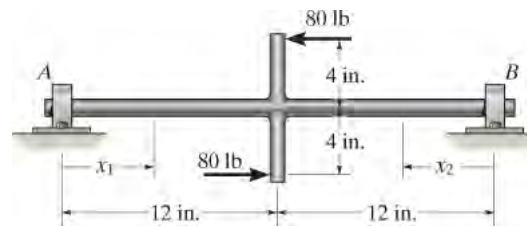
REVIEW PROBLEMS

ب 12-1. د ایلسټیک منحنی معادله مشخص کړي. د وقفی توابع وکاروی، EI ثابت دی.



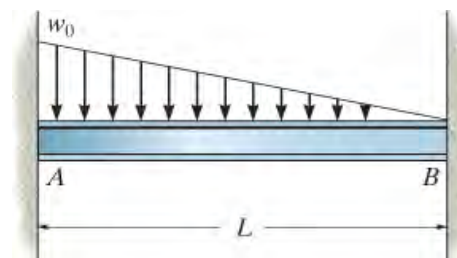
ب 12-1

ب 12-2. ددی لاندی شافت مؤمنت ډایگرام رسم کړی، بیا له دی ډایگرام بیخایه کیدنه، یا ایلسټیک منحنی د شافت د مرکزی کرښی د پاره سکیچ کړي. معادله د ایلسټیک منحنی په کارولو د کوردینات x_1 او x_2 مشخص کړي. د اینتیگریشن له طریقې کار واخلي. EI ثابت دی.



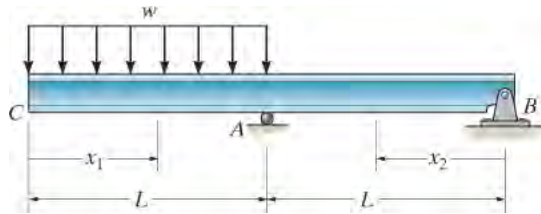
ب 12-2

ب 12-3. د مؤمنت ریکشنونه په اتکاؤو A او B کی و ټاکي. د اینتیگریشن له طریقې کار واخلي. EI ثابت دی.



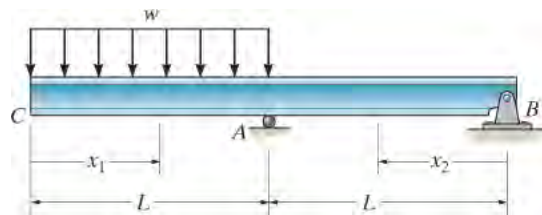
ب 12-3

ب 12-4* د ایلسټیک منحنی معادله په کارولو د کوردینات x_1 او x_2 مشخص کړي. میلان په A او اعظمی بیخایه کیدنه په بیم کی وټاکي. د اینتیگریشن له طریقې کار واخلي. EI ثابت دی.



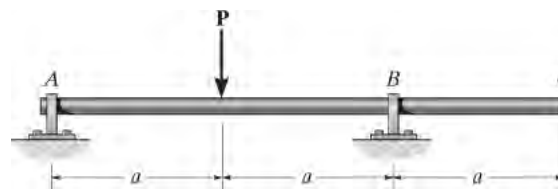
ب 12-4

ب 12-5 اعظمی بیخایه کیدنه په مینځ د A او B کی وټاکي. د اینتیگریشن له طریقې کار واخلي. EI ثابت دی.



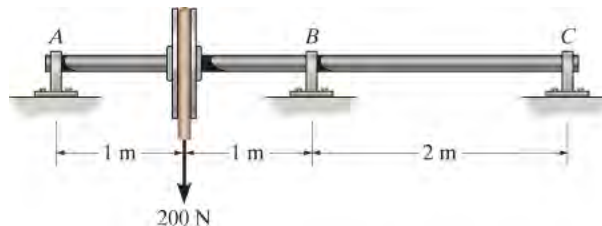
ب 12-5

ب 12-6 میلان په B او بیخایه کیدنه په C کی وټاکي. د مؤمنت-مساحت له طریقې کار واخلي. EI ثابت دی.



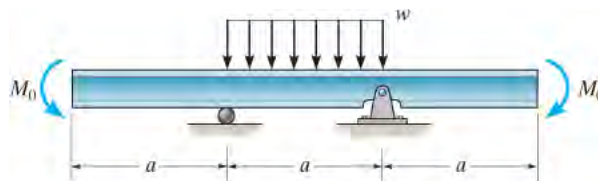
ب 12-6

ب 12-7 ریکشنونه معلوم کړي، بیا شپیر او مؤمنت ډایگرامونه رسم کړي. د مؤمنت-مساحت له طریقې کار واخلي. EI ثابت دی.



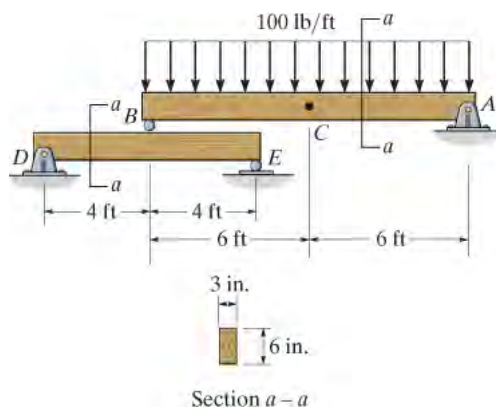
ب 12-7

ب 12-8* د سوپرپوزیشن له طریقې کار واخلي، او مقدار د M_0 د ویشلشوی بار w له مخې او فاصله a معلومه کړي تر څو بیخایه کیدنه په مرکز د بیم کې صفر وي. EI ثابت دی.



ب 12-8

ب 12-9 د سوپرپوزیشن له طریقې کار واخلي، بیخایه کیدنه په C د بیم AB کې معلومه کړي. بیمونه له لرگیو جوړ شوي او د ایلسټیستي ماچولس یې $E = 1.5(10^3)$ ksi دی.



ب 12-9

ديار لسم فصل

(CHAPTER 13)



(© James Roman/Getty Images)

د پورته اوبو ټانک کالمونه د دوی په اورډوالي کی په څو نقطو کی تړل شوی تر څو د کورپیدو فرصت یې کم کړی.

د پایو کروپیدل

(BUCKLING OF COLUMNS)

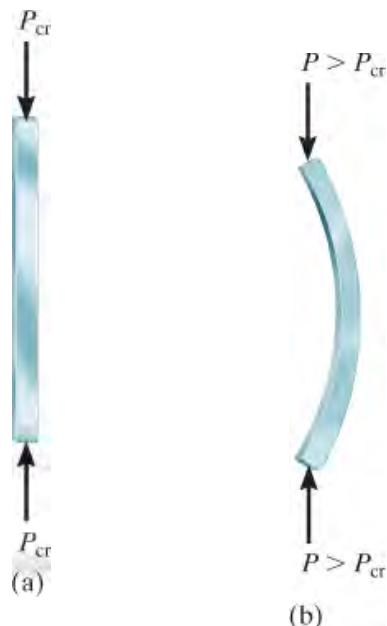
CHAPTER OBJECTIVES

د فصل موخي

په دې فصل کې به مور د کالم یا پایي د کروپیدو په اړه بحث وکړو. دا په هغه حالت کې کله چې بهرنی بارونه د غوڅی برخې په محوری یا له مرکز وټلی برخه کې عمل کړي. وروسته به یو لړ طریقي چې د کالم دیزاین لپاره کارول کيږي او هم د موادو په اړه بحث وشي.

13.1 بحرانی بار (CRITICAL LOAD)

یو غری نه یوازی باید د ځانگړي مقاومت او بیخایه کیدني اړتیاوې پوره کړي، بلکه باید باثباته او پایدار وي. په ځانگړي توگه ثبات د اورده او نازک غری لپاره خورا مهم دی. که چیرې پر یوه اورده او نازک غري د فشار (compressive) بار پلي شي، د بار په لویدو به غری ناڅاپه، په یوه او یا بل لوری بیخایه شي. دا ډول غری د کالم یا پایي په نوم یادېږي، او د اړخ بیخایه کیدنه چې واقع کېږي په نوم د **کروپیل** (buckling) یادېږي. ډیری وختونه د کروپیدو په پایله کې کیدی شي کالم په ناڅاپي ډول د جوړښت یا میکانیزم د پراماتیک ماتیدلو لامل شي. له دی امله ځانگړي پاملرنه د کالمونو ډیزاین ته باید ورکړل شي، ترڅو دوی په خوندي ډول د بارونو ملاتړ وکړي پرته له دی چې د کروپیدو لامل وگرځي.



انځور 13-1

اعظمي محوري بار، چې یو کالم یې ملاتړ کولی شي او کله چې د کروپیدو په څنډه کې وي د **بحراني بار** (critical load) په نوم یادېږي، P_{cr} ، انځور 13-2a. له بحرانی بار څخه اضافي بار پلي کول د کالم د کروپیدو لامل کېږي، او له همدې امله وروسته له هغې به په یو اړخ (lateral) کوروالی کوي، لکه څنګه چې په انځور 13-1b کې ښودل شوي.

موږ کولی شو د دې بې ثباتۍ او استواری ماهیت د دوو – میلوميکانیزم په پام کې نیولو سره مطالعه کړو. دا میکانیزم وزن نه لري، سختی میلی دی او هغه د پین په توگه وصل شوي دي، لکه څنګه چې په انځور 13-2a کې ښودل شوي. کله چې میله په عمودي حالت کې وي، فنرشخي (k) لري، فنر غزیدلی نه دی. په داسې حالت کې یو کوچنی عمودی قوه P د میلو په پای کې پلي شوي ده. د توازن حالت خرابولو لپاره، پین په A کې یوه لږ اندازه D بې ځایه یا پکه ورکړل شوي،

انځور 13-2b وگوري. لکه څنگه چې د پین آزاد ډایگرام کې بنودل شوي، انځور 13-2c، فنر د بیرته راتگ قوه $F = k \Delta$ جوړه وي تر څو د دوو افقی قواوو مقاومت وکړي، $P_x = P \tan \theta$ ، کوم چې پین (او میل) له توازن څخه وباسي. څرنگه چې q کوچنی ده، $\Delta \approx \theta(L/2)$ او $\tan \theta \approx \theta$ ، په دې توگه د فنر د بیرته ورتگ قوه $F = k\theta(L/2)$ کیږي او د گډوډی (disturbing) قوه $2P_x = 2P\theta$ ده.

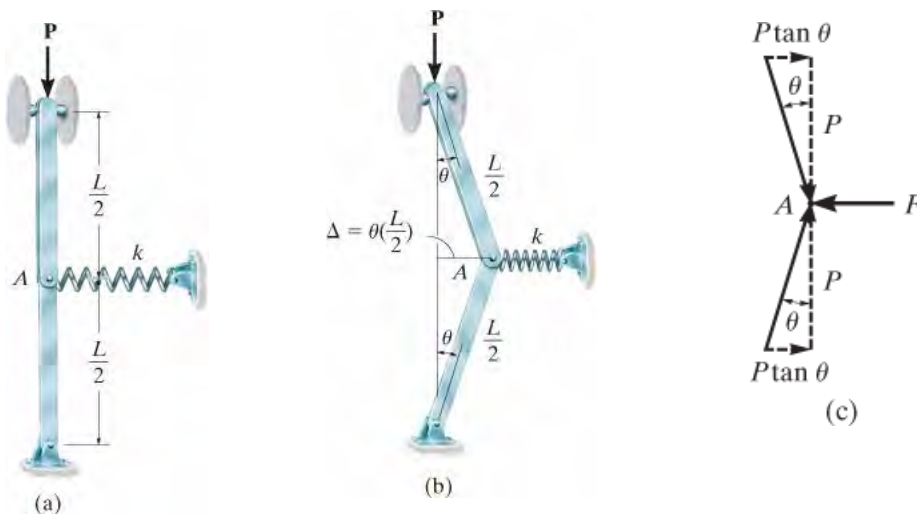
که د توازن د بیا رغولو قوه له هغه قوې چې گډوډی جوړه وي ډیره وي، یعنی، $k\theta L/2 > 2P\theta$ ، شي، بیا په پام کې نیسو چې q له معادلی حذف کیږي، مور کولی شو د P لپاره یې حل کړو، او دا ورکوي:

$$P < \frac{kL}{4} \quad \text{بائباته توازن}$$

دا د بائباته او پایداره توازن لپاره شرط دی، ځکه چې په فنر کې رامینځته شوی قوه کافي ده چې میلی بیرته خپل عمودي حالت ته راستنی کړي. که چیرې، $k\theta(L/2) < 2P\theta$ او یا

$$P > \frac{kL}{4} \quad \text{بی ثباته او نا پایداره توازن}$$

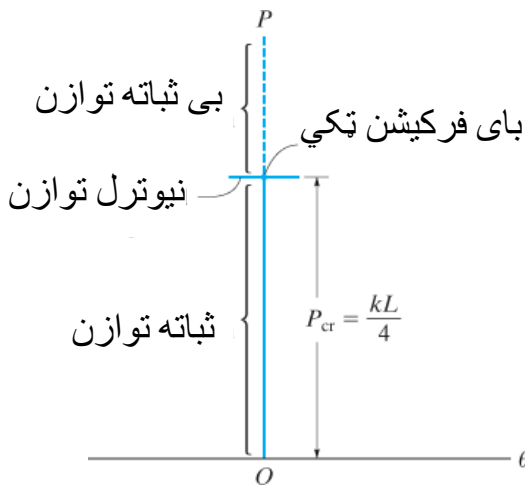
نو بیا میلی به په **بی ثباته توازن** حالت کې وي. په بل عبارت، که دا بار تطبیق شي، او په A کې یو څه بی ځایه کیدنه مینځ ته راشي، میلی به له توازن ووزي او کوروالي به و مومي، او خپل اصلي حالت ته بیا نه راگرځي.



انځور 13-2

منځني ارزښت د P ، کوم چی اړتیا لري $kl\theta/2=2P\theta$ ، بحرانی بار دی.

$$P_{cr} = kL/4$$



دا ډول بار کول هغه حالت څرگندوي چې میلی په نیوترل توازن (neutral equilibrium) کې وي. څرنگه چې P_{cr} د میلو د (کوچني) بی ځایه کیدو q سره تړون نلري ، لږ اغیزې پر میکانیزم هغه نشي کولای چې له توازن څخه یې بهر کړي ، او نه به یې بیرته خپل اصلي حالت ته راستون کړي. پر ځای یې، میلی به په کاره شوي موقعیت کې پاتې شي.

انځور 3-13

د توازن دا درې مختلف حالتونه په گرافیک ډول په انځور 3-13 کې ښودل شوي . د لیرد نقطه چیرې چې بار د هغې بحرانی ارزښت سره مساوي وي $P = P_{cr}$ هغه د بایفیرکیشن ټکی

(bifurcation point) په نوم یادېږي. دلته میلی به د هر کوچني ارزښت q لپاره په نیوترل توازن کې وي. که چیرې یو لوی بار P په میلو کېښودل شي، بیا به دوی د لوی بیځایه کیدنی څخه تیرېږي، ترڅو فنر په کافي اندازه تر فشار لاندې غونج شوي وي او یا اوږد شوي وي ترڅو دوی په توازن کې وساتي.

په ورته ډول ، که چیرې په ریښتیني کالم کې بار د دې بحرانی بار څخه ډیر شي، نو دا بار کول به کالم هم اړتیا ولري چې لوی انعطاف وکړي په هر صورت، دا عموماً په انجینرۍ کې د جوړښتونو او ماشینونو لپاره نه زغمل کېږي .

13.2 خیالی کالم د پین اتکاء سره (IDEAL COLUMN WITH PIN SUPPORTS)

پدې برخه کې به موږ د هغه کالم کوم چی پین اتکاء لري، انځور 13-4 a، او څرنگه بحرانی بار ورته و ټاکل شي، بحث وکړو. هغه کالم به په پام کې ونیول شي کوم چی یو خیالی یا (Ideal) کالم دی، پدې معنی چې دا د متجانس خطي ایلسټیک موادو څخه جوړ شوی ، او دا دمخه له بارولو په بشپړ ډول مستقیم دی. دلته بار د غوڅی برخې د مرکز ثقل له لاری پلي کېږي.

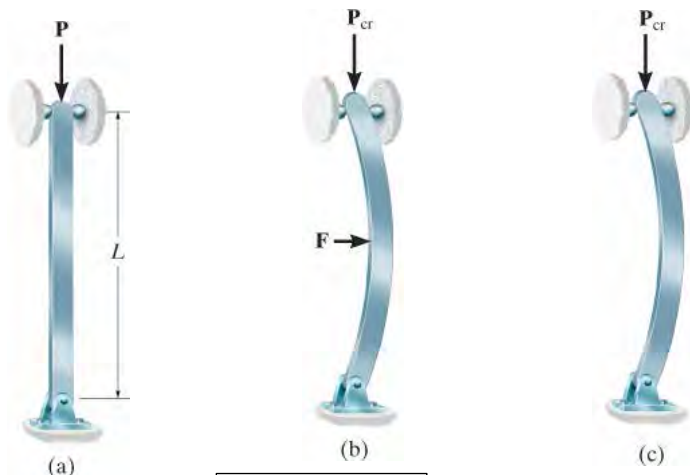
څرنګه چې کالم مستقیم دی یو څوک به داسی فکر کوي چې د تیوری په توګه محوری بار P تر هغه وخته پورې زیاتیدای شي تر څو د پایي رنګیدل د ماتیدو (فریکچر) یا د موادو د بیلد کیدو په واسطه رامنځ ته شي. په هر صورت، لکه څنګه چې مور بحث وکړ، کله چې بار بحرانی بار P_{cr} ته ورسیري، کالم به د **بی ثباتی** په درشل کې وي، له دې امله یوه کوچنی اړخی قوه F ، انځور 13-4b، به د دی لامل شي چې کالم په بیخایه شوی حالت کې پاتی شي، کله چې F لیرې شي، کالم به په انحراف شوي حالت کې وي، انځور 13-4c. هر لږ کمښت په محوری بار P کې له P_{cr} څخه کالم ته به اجازه ورکړي چې ځان مستقیم کړي، او لږ زیاتوالي په P کې له P_{cr} څخه به د پایي انحراف کې د نور زیاتوالي سبب شي.



د تیلو ایستلو د فرش رنګیدل افقي قواوی د بحری طوفان بادونه دی، کوم چې داتکاء پایو د کروپیدو لامل شوي.

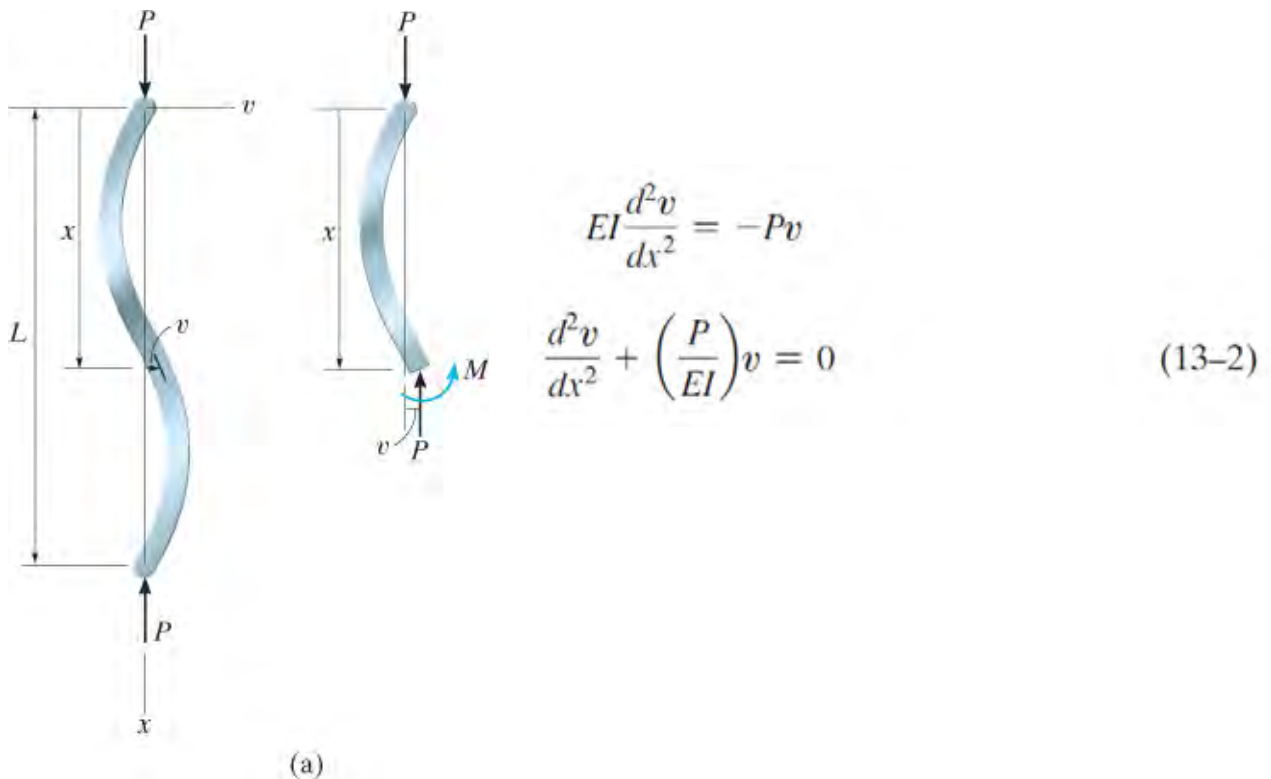
د کالم تمایل، کله چې محوری بار ورباندی عمل کړي، تر څو ثابت پاتي شي یا بي ثباته شي، په حقیقت کې د هغه د کړیدود مقاومت وړتیا پورې اړه لري. له همدې امله، د دې لپاره چې د پایي بحرانی بار او کړوپ شوی شکل پي وټاکي، معادله 10-12 پلي کړي، کوم چې داخلي مؤمنت له انحراف شوي شکل سره تړاو لري، د بیلګې په توګه،

$$EI \frac{d^2v}{dx^2} = M \quad (13-1)$$



انځور 13-4

آزاد ډیاگرام د کالم د یوې برخې ، په انحراف شوي موقعیت کې، په انځور 13-5a کی بنودل شوي. دلته دواړه بی ځایه کیدنه او داخلي مؤمنت M په مثبت لوري کې بنودل شوي. د مؤمنت دقیق توازن اړتیا لری چی $M = -Pv$ وي، بیا معادله 13-1 کیري



انځور 13-5

دا متجانسه، دوهمه درجه ډیفرینشل معادله د ثابت ضریب سره ده. د ډیفرانشل معادلو په طریقه او یا په مستقیمه توگه په معادله 12-2 کی ځای په ځای کیدنه ، عمومی حل پلاس راگوی:

$$v = C_1 \sin\left(\sqrt{\frac{P}{EI}}x\right) + C_2 \cos\left(\sqrt{\frac{P}{EI}}x\right) \quad (13-3)$$

دا دوه د انتیگریشن ثابت ارقام د کالم په پای کی له سرحدی حالت لاس ته راځي. ځکه چی $v = 0$ په $x = 0$ نو بیا $C_2 = 0$. او ځکه چی $v = 0$ په $x = L$ ، بیا

$$C_1 \sin\left(\sqrt{\frac{P}{EI}}L\right) = 0$$

دا معادله د منلو وړ کیری کله چی $C_1 = 0$ ، په هر صورت بیا $v = 0$ ، کوم چی بی اهمیته *(trivial solution)* حل دی، اودی ته اړین دی چی کالم همیشه مستقیم وی، حتی که څه هم کالم بی ثباته شي. هغه بل امکان اړین لری چی:

$$\sin\left(\sqrt{\frac{P}{EI}}L\right) = 0$$

دا د منلو وړ کیری که چیری:

$$\sqrt{\frac{P}{EI}}L = n\pi$$

او یا

$$P = \frac{n^2\pi^2EI}{L^2} \quad n = 1, 2, 3, \dots \quad (13-4)$$

د P کوچنی ارزښت هغه وخت تر لاسه کیري کله چی $n = 1$ ، نو ددی لپاره بحرانی بار د کالم لپاره عبارت دی په *

$$P_{cr} = \frac{\pi^2EI}{L^2}$$

دا بار ځینی وختونه د *ایلوور بلر (Euler Load)* په نامه یادیري. هغه سویسی ریاضي پوه لیونهارد اویلر (Swiss mathematician Leonhard Euler) کوم چی دا پوښتنه یی د اول وار له پاره په 1757 کی حل کړه، چی د هغه په نامه یادول کیري. د 3-13 معادلی نه کړوپ شوی شکل په انځور 13-5b کی ښودل شوي، له همدی امله



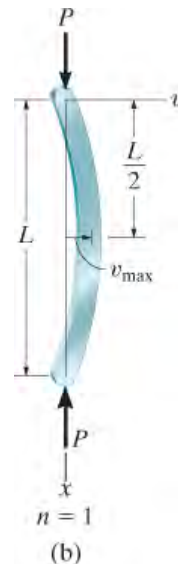
$$v = C_1 \sin \frac{\pi x}{L}$$

ثابت عدد C_1 استازیتویب د اعظمی بیخایه کیدنی، v_{max} ، کوی کوم چی په منحنی برخه د کالم کی واقع کیږي، انځور 13-5b. له بده مرغه یو ځانگړي ارزښت د C_1 لپاره کله چی کروپیدل واقع شی، شتون نه لري. په هر صورت دا انگیرنه کیږی چی دا بیخایه کیدنه کوچني ده.

لکه څنگه چی پورته یادونه وشوه، بحرانی بار د موادو په سختی پورې اړه لري او یا د ایلستیستی ماجولس E او نه د هغی د بیلد ستریس سره. له همدې امله، یو کالم چی له لوړ مقاومت فولادو څخه جوړ شوی له هغه هیڅ گټه نه وړاندې کوي کوم چی له تیټ مقاومت فولادو څخه جوړ شوي وی، ځکه چی د دواړو موادو لپاره د ایلستیستی ماجولس ورته دی.

دا د لرگیو کالمونه داسی په پام کی نیول کیدی شي چی دوی په بنکنه کی پین شوي او په سر کی کلک وصل شوي د بیمونو سره.

دا هم په یاد ولری چی P_{cr} د غوڅی برخي د انرشیایی مؤمنت په زیاتوالي سره لوړیږي. په دي توگه، اغیزمن کالمونه داسی ډیزاین شوي ترڅو ډیری د کالم د غوڅی برخي ساحه د امکان تر حده له مرکز د برخي لری موقعیت ولري. له همدې امله خالی برخي لکه تیوب د جامد برخو په پرتله خورا اقتصادي دي. برسېره پر دي، سوروره - فلنج برخي، او کالمونه چی د چینلو، زاویو، تختو، وغیره له یو ځای کیدو څخه "جوړ شوي" دي، له هغو برخو څخه چی ډکی او مستطیل وي غوره دي.



انخور 13-5 (تکرار)

* دلته n تعداد د بیخایه شویو شکلونو د کالم بنیې. د مثال په توګه که چیری $n=1$ ، نو یو بیخایه شوی منحنی لیدل کیږي لکه څنګه چی په انخور 13-5b کی ښودل شوي. که چیری $n=2$ نو بیا دوه منحنی لیدل کیږي کوم چی په انخور 13-5a کی ښودل شوي.



څرنګه چی P_{cr} په مستقیم ډول له انرشیا مومنت، I ، سره تړاو لري، یو کالم به په هغه خوا کروپیدل وکړي کله چی غوڅه برخه په اصلی محور لږ تر لږ انرشیايي مؤمنت (په کمزوری محور) ولري، په دی شرط چی په هر محور ورته ډول تکیه شوی وي. د مثال په ډول، یو کالم چی مستطیل غوڅه برخه لري، لکه د متر لرګي، انخور 13-6، به د $a-a$ په محور به کروپ شي، نه په $b-b$ محور. د دی له امله، انجنیران معمولاً به هڅه وکړی چی یو توازن د انرشیايي مؤمنت په هر لور ورته وساتی. د هندسی په ډول بیا، گردی تیوبونه غوره کالمونه دي. مربع تیوب یا هغه شکلونه چی $I_x \approx I_y$ لري هم ډیری وختونه د کالمونو لپاره غوره شوی.

د لنډیز لپاره، د پین ملاتړ شوي اوږد، نازک یا نري کالم لپاره عبارت دی په

انخور 13-6

$$P_{cr} = \frac{\pi^2 EI}{L^2}$$

(13-5)

P_{cr} = بحرانی یا اعظمی محوری بار په کالم ، کله چی په درشل د کروپیدو کی وی. دا بار باید له پروپورشنل (proportional limit) هغه ستیریس حدخه زیاتوالی ونکړي.

E = د موادو د ایلاستیستی ماچولس

I = د کالم د غوخی برخی لږ تر لږ انرشیايي مؤمنت

L = د کالم نه تکیه شوی اوږدوالي، کوم چی په پایلو کی پین اتکاوی لري.

د دیزاین موخو لپاره پورتنی معادله د ستیریس په کارولو سره هم لیکل کیدی شي، کوم چی له I $= Ar^2$ کار واخیستل شي. دلته A د غوخی

برخی مساحت دی او r د جابریشن شعاع (radius of gyration) د د غوخی برخی دی، مور لرو:



$$P_{cr} = \frac{\pi^2 E (A r^2)}{L^2}$$

$$\left(\frac{P}{A}\right)_{cr} = \frac{\pi^2 E}{(L/r)^2}$$

ددی کرین درنګیدولامل د یو ځاګری تیوبی سترت کروپیدل دي.

یا

$$\sigma_{cr} = \frac{\pi^2 E}{(L/r)^2}$$

(13-6)

دلته

σ_{cr} = بحرانی ستیریس کوم چی وسط ستیریس په کالم کی مخ کی له دی چی کړوپ شي. اړین ده چی $\sigma_{cr} \leq \sigma_Y$ وی.

E = د موادو د ایلاستیستی ماچولس

L = د کالم نه تکیه شوی اوږدوالي، کوم چی په پایلوکی پین اتکاوی لري.

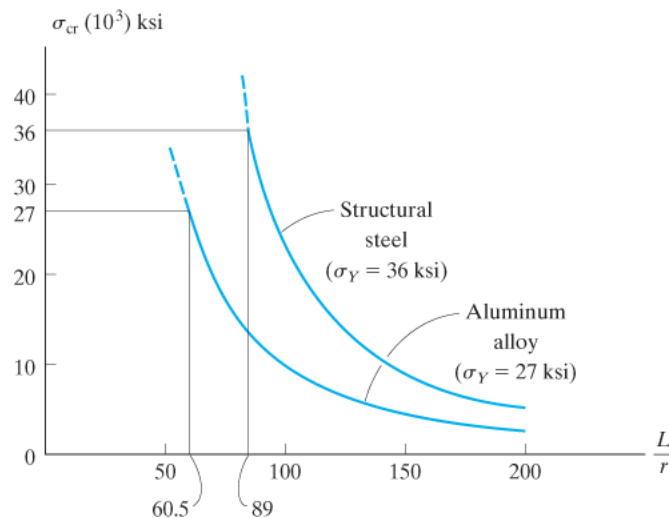
r = تر ټولو کوچنی د جای ریشن (radius of gyration) شعاع ده چی له $r = \sqrt{I/A}$ څخه پیدا کیږي. دلته I لږ تر لږ انرشیايي مؤمنت او A دغوخی برخی مساحت دی.

هندسی نسبت L/r په معادله 6-13 کی د نازکی نسبت (*slenderness ratio*) نومول کیږي. او هغه د کالم د ارتجاعیت (*flexibility*) معیار څرگندوي او په دی به وروسته بحث وشي. په کارولو د ددی نسبت کولای شو چی کالمونه په اوږده، متوسط، او لنډ طبقه بندی کړو.

د ددی معادلی گراف د هغه کالمونو لپاره چی له فولادو او یا د المونیم الیاژو څخه جوړ شوي په انځور 7-13 کی بنودل شوي. دا هایپربالیک (*hyperbolic*) منحنی دی، او د بحرانی ستیریسونو لپاره په هغه حالتونو کی دمنلو وړ دی کوم چی د موادو له بیلد حد (پروپورشنل حد) ټیټ وي. د فولادلپاره $(\sigma_Y)_{st} = 36 \text{ ksi}$ [$E_{st} = 29(10^3) \text{ ksi}$] او د المونیم لپاره

$(\sigma_Y)_{al} = 27 \text{ ksi}$ [$E_{al} = 10(10^3) \text{ ksi}$] راکړل شوی. که چیری مور $\sigma_{cr} = \sigma_Y$ په معادله 6-13 کی ځای پر ځای کړو، نو بیا دا کوچنی دنازکی نسبت (*slenderness ratio*) د فولادو او المونیم لپاره کیږي

$(L/r)_{st} = 89$ او $(L/r)_{al} = 60.5$ ، کیږي، انځور 7-13. په دی توگه د فولادوکالم لپاره که چیری $(L/r)_{st} < 89$ د کالم ستیریس به له بیلد ټکی، مخکی له دی چی کړوپ شي، زیادت وکړي او له همدی امله د اوپلر فارمول کارول د منلو نه دي.



انځور 13-7

مهم ټکي

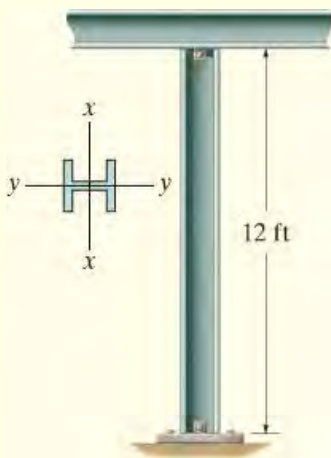
IMPORTANT POINTS

- کالمونه نازک اوږده غړی دی چې محوری فشاری بارونه ورباندی پلي کيږي.
- بحرانی بار هغه اعظمی محوری بار دی چې کالم یې د کروپیدو په درشل کی ملاتړ کولای شي. دا بار استازیتوب د نیوترل (*neutral equilibrium*) توازن حالت کړي.
- یو خیالی کالم په پیل کی په بشپړ ډول مستقیم دی، له متجانس موادو جوړ شوي، او بار د غوڅی برخی په مرکز ثقل کی پلي کيږي.
- یو کالم چې پین اتکاوی لری په هغه خوا کی کروپیدنه کوي، کوم چې په اصلی محور د غوڅی برخی تر ټولو کوچنی انرشیايي مؤمنت ولری.
- د نازکی نسبت (*slenderness ratio*) عبارت دی په L/r ، دلته r د غوڅی برخی کوچنی د جایریشن شعاع ده.

مثال

مثال 13.1

په لاندی انځور 13-8 کی د A992 فولادو W8 X 31 غړی چې پین اتکاوی لری بنودل شوي. اعظمی محوری بار، مخ کی له دی چې غړی کروپ یا مواد یې بیلد حد ته ورسیري، یو ورلیشی مشخص یې کړي. له $s_y = 50 \text{ ksi}$ کار واخلي.



انځور 13-8

حل (SOLUTION)

له ضميمی B جدول څخه د کالم د غوڅی برخی مساحت او انرشيايي مؤمنت عبارت دی په
کيري. ولي؟ معادله 13-5 پلي کوو، او مور لرو
، په کتلو سره، کروپيدل په $y-y$ محور واقع
، او $I_y = 37.1 \text{ in}^4$ او $A = 9.13 \text{ in}^2$ ، $I_x = 110 \text{ in}^4$

$$P_{cr} = \frac{\pi^2 EI}{L^2} = \frac{\pi^2 [29(10^3) \text{ kip/in}^2] (37.1 \text{ in}^4)}{[12 \text{ ft} (12 \text{ in./ft})]^2} = 512 \text{ kip}$$

کله چی دا بار پلی شي ، اوسط فشاری ستريس په کالم کی عبارت دی په

$$\sigma_{cr} = \frac{P_{cr}}{A} = \frac{512 \text{ kip}}{9.13 \text{ in}^2} = 56.1 \text{ ksi}$$

ځکه چی دا ستريس له بيلد ستريس (50 ksi) زیات دی ، د بار P ارزښت له ساده فشار څخه په
لاس راوړو

$$50 \text{ ksi} = \frac{P}{9.13 \text{ in}^2}$$

$$P = 456 \text{ kip}$$

Ans.

په رښتینی عملی کارونو کی ددی بار سره یو د خونديتوب (safety factor) فکتور هم ځای په ځای
کيري.

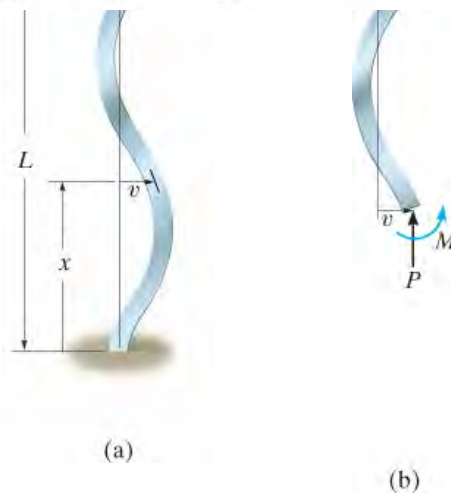
13.3 کالمونه چي مختلفي اتکاوی لری

(COLUMNS HAVING VARIOUS TYPES OF SUPPORTS)

داویلر بار د 13.2 برخی د هغه کالم لپاره اخیستل شوی ، چي پین اتکاء سره وصل یا په پای کي د څرخیدلو امکان ولري. په هر صورت، ډیری وختونه، کالمونه ممکن بل ډول اتکاوی ولري. د مثال په توگه، د هغه کالم قضیه په پام کي ونیسئ چي په بنسټ کي کلک تړل شوی او په پورتنی برخه کي خوشی یا آزاد دي، انځور 13-9a . لکه څنگه چي کالم کړوپ کیري یا په درشل د کړوپیدو کي وی، بار به څنگ ته ځي او بي ځایه کیدنه d به وکړي، په داسي حال کي چي په x کي بي ځایه کیدنه يي U ده . د آزاد بدن ډیاگرام څخه په انځور 13-9b کي، په خپل سري برخه کي داخلي مؤمنت $M=P(\delta-v)$ دي. او په دې توگه د انعطاف منحنی لپاره ډیفرینسیالی معادل عبارت ده په

$$EI \frac{d^2 v}{dx^2} = P(\delta - v)$$

$$\frac{d^2 v}{dx^2} + \frac{P}{EI} v = \frac{P}{EI} \delta \quad (13-7)$$



انځور 13-9

برعکس د معادلی 13-2 دا معادله غیر متجانس ده ځکه چي په بني خوا کي غیر صفری رقم شتون لري. حل ددی معادلی دوه برخی لری یو یي بشپړونکی (complementary) او بل یي ځانگړی یا خاص (particular) حل دی، یعنی:

$$v = C_1 \sin\left(\sqrt{\frac{P}{EI}}x\right) + C_2 \cos\left(\sqrt{\frac{P}{EI}}x\right) + \delta$$



ثابت ارقام له سرحدی شرایطو ټاکل کيږي . په $x = 0$ ارزښت د $v = 0$ او په همدی توگه $\delta = -C_2$. همدا رنگه

$$\frac{dv}{dx} = C_1 \sqrt{\frac{P}{EI}} \cos\left(\sqrt{\frac{P}{EI}}x\right) - C_2 \sqrt{\frac{P}{EI}} \sin\left(\sqrt{\frac{P}{EI}}x\right)$$

په $x = 0$ ارزښت $v = 0$ ، بیا $C_1 = 0$. د بیخایه کیدنی منحنی عبارت دی په

$$v = \delta \left[1 - \cos\left(\sqrt{\frac{P}{EI}}x\right) \right] \quad (13-8)$$

ټیوبی کالمونه چی د دی اوبو ټانک ملاتړ لپاره کارول شوي په دریو ځایونو د اوږدوالي په اوږدو کې ټرل شوی تر څو د کمروپیدو مخنیوي وکړي.

په پای کی ، د کالم په سر کی $x = L$ ، نو بیا $v = \delta$

$$\delta \cos\left(\sqrt{\frac{P}{EI}}L\right) = 0$$

د ساده حل (trivial) لاره $\delta = 0$ بنیایي چی پرته له دی چی بار څومره زیاتولي وکړی کروپیدل د کالم نه واقع کيږي. پر ځای یې

$$\cos\left(\sqrt{\frac{P}{EI}}L\right) = 0 \quad \text{or} \quad \sqrt{\frac{P}{EI}}L = \frac{n\pi}{2}, \quad n = 1, 3, 5, \dots$$

تر ټولو کوچنی بحرانی بار هغه وخت مینځ ته راځي کله چی $n = 1$ نو بیا

$$P_{cr} = \frac{\pi^2 EI}{4L^2} \quad (13-9)$$

د معادلی 5-13 په پرتله دا معلومیری چی یو کالم کوم چی په بنسټ خوا کی کلک تړل شوی او په سرخوا کی آزاد وی، هغه د بار وړلو توان څلورمه حصه (1/4) د بحرانی بار په پرتله د هغه کالم دی چی په دواړه پایلوکی پین شوي وی.

نور ډول کالمونه په همدی شان تحلیل کیږي او مور دلته ډیر تفصیل د هغوي نه ورکوو. *

پر ځای یي مور به پایلی په یو جدول کی، د ډیر عام ډولونو کالمونه، ځای پر ځای کړو، چیرته چی د کالم اتکاوی او دا چی څنگه د اویلر فورمول په پراخه ډول پلی کیږی، و بنیو.

اغیزه من اوږدوالي (Effective Length).

د اویلر فارمول کارول، معادله 5-13، د هغو کالمونو لپاره چی مختلف ډول اتکاوی لری، مور به د کالم اوږدوالی، L ، داسی تعدیل کړو تر خودصفری مؤمنت فاصلی تر مینځ په کالم کی استازیتوب وکړي. دا فاصله په نامه دکالم/اغیزه من اوږدوالي ($effective\ length$) L_e نومول کیږي. په بنکاره ډول، هغه کالم چی دواړه پایلی یی پین وی د هغه لپاره $L_e = L$ دي، انځور 10a-13. د کلک تړل شوی پای او آزادی کالم لپاره، بیځایه شوي منحنی یی په معادله 8-13 تعریف کیږي. کله چی دا معادله رسم شی، شکل یی مساوی په هغه کالم کیږی چی پایلی یی پین او اوږدوالي یی $2L$ دی، انځور 10b-13. په دی ډول د کالم اغیزه من اوږدوالي په مینځ د هغه ټکیو چی هلته مؤمنت صفردي عبارت دی په $L_e = 2L$. د دوو نورو کالمونو چی په پای کی مختلف اتکاوی لری په انځور 10-13 کی بنودل شوي. کالم چی په پایلوکی کلکی اتکاوی لری، انځور 10c-13، د انفلکشن ټکی (inflection points) یا د صفر مؤمنت ټکی له هر اتکا څخه $L/4$ موقعیت لری. اغیزمن اوږدوالی یی په منحنی نیمایي د اوږدوالي کی تعریف کیږي، چی هغه عبارت دی په $L_e = 0.5L$. په نهایت کی، د پین اود کلکی اتکا پایلوکالم، انځور 10d-13، د انفلکشن ټکی یی یا د صفر مؤمنت ټکی یی په نژدی $0.7L$ له پین شوی پای څخه موقعیت لري یعنی $L_e = 0.7L$ دي.

د کالم اغیزمن اوږدوالي مشخص کولو پر ځای، ډیری د ډیزاین کودونه د کالم فورمولونو سره یو فکتور چی ابعاد نلري په نامه د K ضریب چی د اوږدوالي-اغیزمن فکتور ($effective-length\ factor$) په نامه یادیری، اضافه کوي. دا فکتور په لاندی ډول تعریف شوی:

$$L_e = KL \quad (13-10)$$

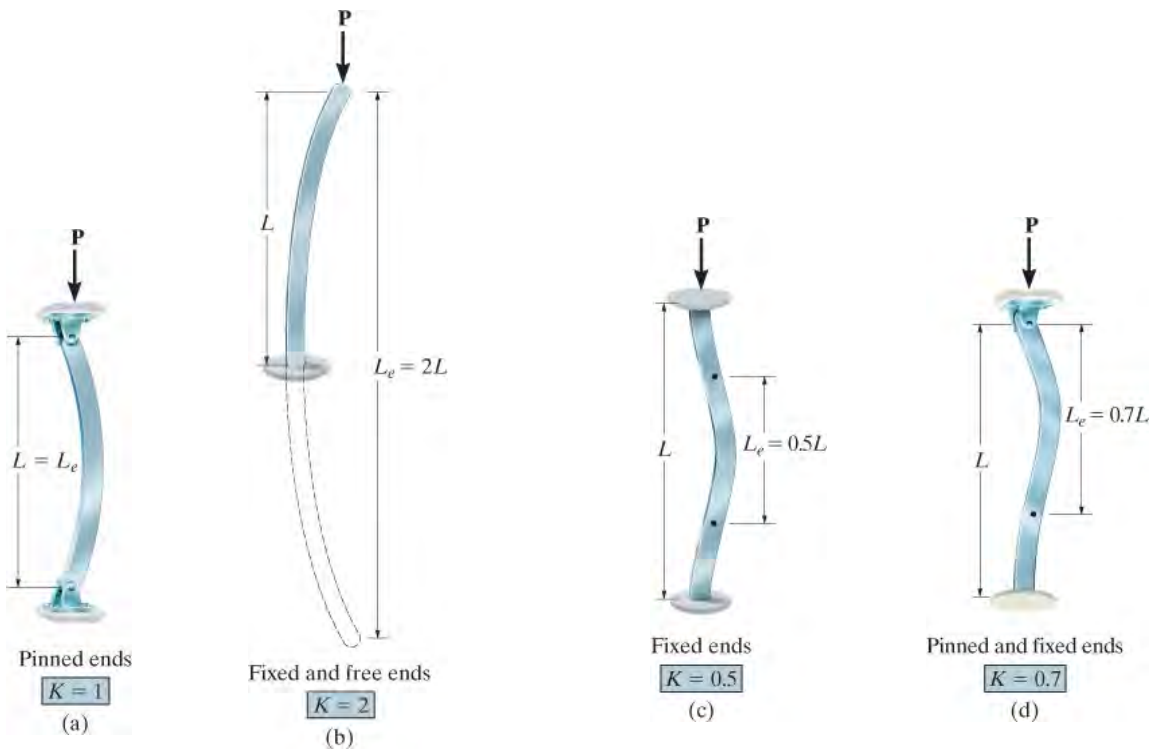
ځانگړی ارزښتونه د ضریب K په انځور 10-13 کی بنودل شوي. ددی عمومیت په بنسټ مور کولای شو چی د اویلر فورمول په لاندی ډول ولیکو:

$$P_{cr} = \frac{\pi^2 EI}{(KL)^2} \quad (13-11)$$

$$\sigma_{cr} = \frac{\pi^2 E}{(KL/r)^2} \quad (13-12)$$

یا

دلته KL/r د کالم اغیزمن-نازکتوب نسبت (*effective-slenderness ratio*) دي.



انځور 13-10

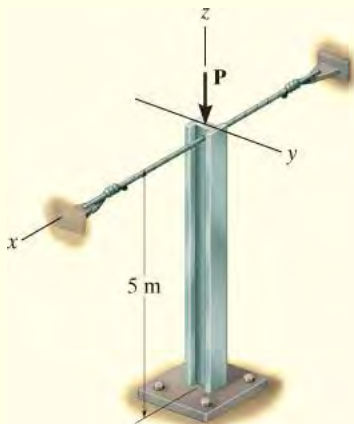
* 13-43, 13-44 او 13-45 پوښتنې و گورئ.

مثالونه

مثال 13.2

په لاندی انځور 13-11a کی، له المونیم جوړ شوی کالم بنودل شوی. دا کالم په پورتنی برخه کی د کیبلونو په واسطه وصل شوی دي تر څو د x محور په لور د حرکت مخه و نیول شي. که فرض شي چی په بنسټ کی کلکه اتکا لری، اعظمی د منلو وړ بار، P ، چی کیدی شي پلی شي و ټاکی.

د کروپیدو لپاره د خونديتوب فکتور $F.S. = 3.0$ او $s_Y = 215 \text{ MPa}$ او $E_{al} = 70 \text{ GPa}$ او $A = 7.5(10^{-3}) \text{ m}^2$ ، $I_x = 61.3(10^{-6}) \text{ m}^4$ ، $I_y = 23.2(10^{-6}) \text{ m}^4$ و کاروي.



(a)
انځور 13-11

حل (SOLUTION)

کروپیدل په x او y محورونو په انځور 13-11b او 13-11c کی بنودل شوي.

د انځور 13-10a په کارولو د $x-x$ محور کروپیدلو

له پاره $K = 2$ ، نو بیا $(KL)_x = 10 \text{ m}$. د $y-y$ محور کروپیدلو لپاره $K = 0.7$ نو بیا

$(KL)_y = 0.7(5\text{m}) = 3.5 \text{ m}$. د معادلی 13-11 په کارولو سره بحرانی بار د هر حالت لپاره کیري:

$$(P_{cr})_x = \frac{\pi^2 EI_x}{(KL)_x^2} = \frac{\pi^2 [70(10^9) \text{ N/m}^2] (61.3(10^{-6}) \text{ m}^4)}{(10 \text{ m})^2}$$

$$= 424 \text{ kN}$$

$$(P_{cr})_y = \frac{\pi^2 EI_y}{(KL)_y^2} = \frac{\pi^2 [70(10^9) \text{ N/m}^2] (23.2(10^{-6}) \text{ m}^4)}{(3.5 \text{ m})^2}$$

$$= 1.31 \text{ MN}$$

په پرتله کولو سره، کله چې P زیاته شي کالم به په محور $x-x$ کړوپیډل و مومي. نو بیا د منلو وړ بار عبارت دی په

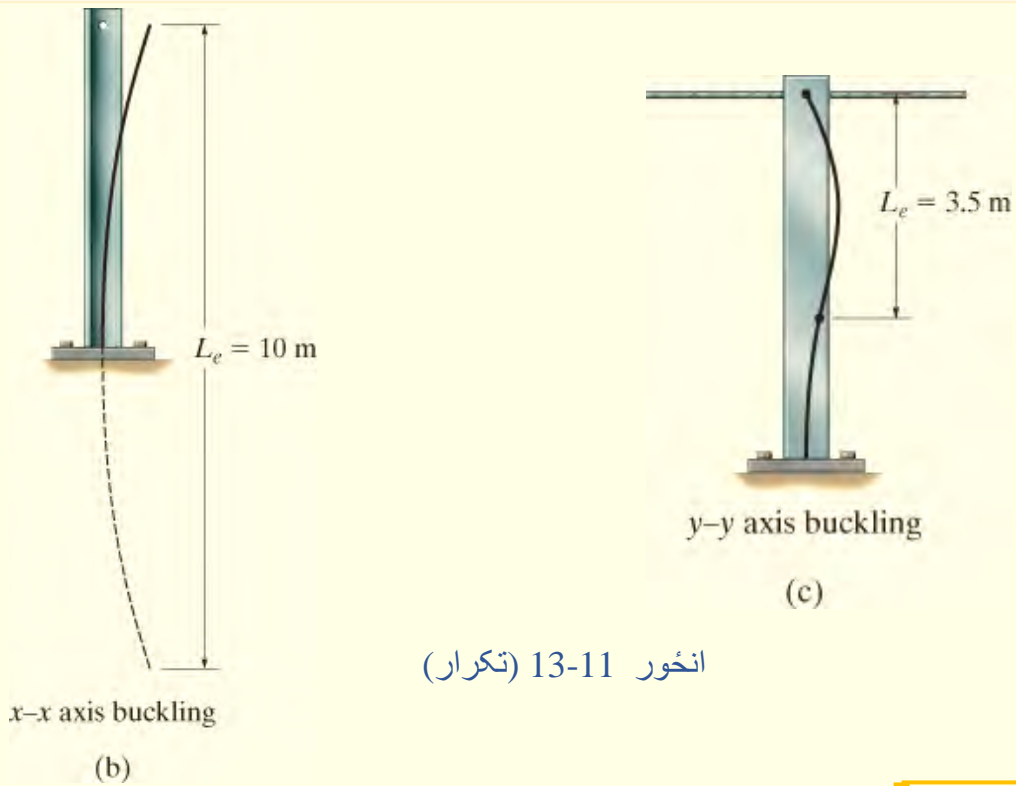
$$P_{\text{allow}} = \frac{P_{cr}}{\text{F.S.}} = \frac{424 \text{ kN}}{3.0} = 141 \text{ kN}$$

Ans.

څرنګه چې

$$\sigma_{cr} = \frac{P_{cr}}{A} = \frac{424 \text{ kN}}{7.5(10^{-3}) \text{ m}^2} = 56.5 \text{ MPa} < 215 \text{ MPa}$$

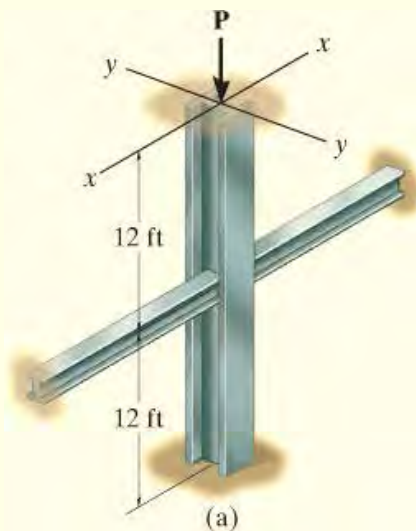
د اوایلر معادلی پلي کول د منلو وړ دي.



انخور 13-11 (تکرار)

مثال 13.3

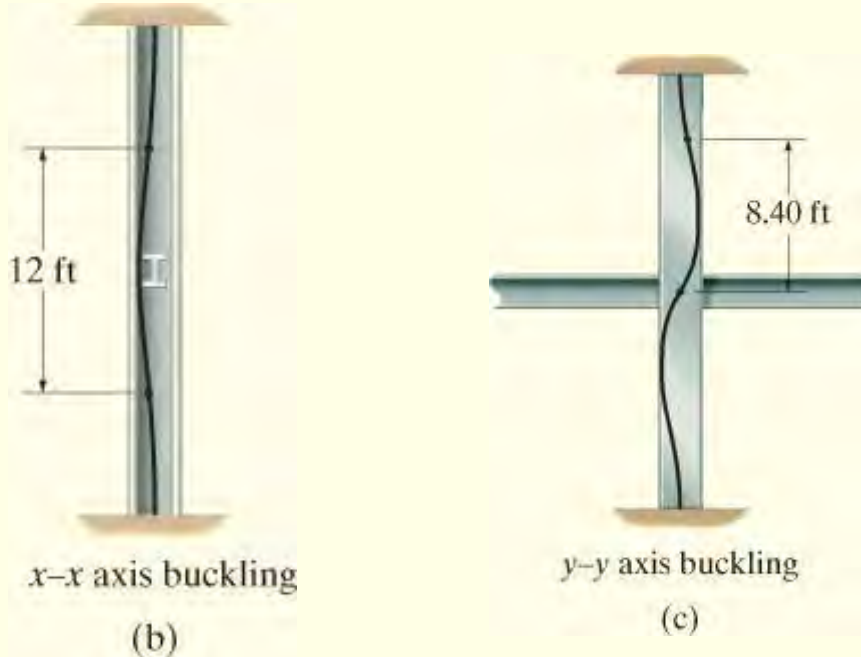
یو فولادی W6 X 15 کالم، 24 ft اوږدوالي لري او په دواړو پایلوکی کلک وصل شوي، انخور 13-12a. د بار وړلو ظرفیت یې زیاتیري کله چی په ضعیف محور ($y-y$) د ستیرت تکیو په واسطه، د لوړ والي په منحنی برخه کی و تړل شي. د ستیرت تکیی د کالم سره پین اتصال لري. هغه بار چی کالم یې وړلی شي و تاکی. کالم باید کروپ نه شي او هم د کالم د مواد و ستیریس له بیلد ستیریس زیاتوالي ونکړي. کار واخلی له $E_{st} = 29 (10^3)$ ksi او $s_Y = 60$ ksi .



انخور 13-12

حل (SOLUTION)

د تړل شويو ټکيو له امله د کالم د کروپيدو چلند په $x-x$ او $y-y$ محورونو کې توپير لري. کروپ شوی شکلونه په هر محور په انځورونو 3-12b او 13-12c کې بنودل شوي. له انځور 13-12b اغيزمن اوږدوالي د کروپيدو لپاره په محور $x-x$ کېږي په $(KL)_x = 0.5(24\text{ft}) = 12\text{ ft} = 144\text{ in.}$ ، او کروپيدل په $y-y$ محور $(KL)_y = 0.7(24\text{ft}/2) = 8.40\text{ ft} = 100.8\text{ in.}$. انرشيایي مؤمنت د $W6 \times 15$ له جدول څخه په ضميمه B کې موندلی شي. او مور لرو $I_x = 29.1\text{ in}^4$ ، $I_y = 9.32\text{ in}^4$.



انځور 13-12 (تکرار)

معادله 13-11 پلی کوو:

$$(P_{cr})_x = \frac{\pi^2 EI_x}{(KL)_x^2} = \frac{\pi^2 [29(10^3)\text{ ksi}] 29.1\text{ in}^4}{(144\text{ in.})^2} = 401.7\text{ kip} \quad (1)$$

$$(P_{cr})_y = \frac{\pi^2 EI_y}{(KL)_y^2} = \frac{\pi^2 [29(10^3)\text{ ksi}] 9.32\text{ in}^4}{(100.8\text{ in.})^2} = 262.5\text{ kip} \quad (2)$$

په پرتله کولو سره وینو چی کروپیدل په $y-y$ محور واقع کیږي.
د غوڅی برخی مساحت عبارت ده په 4.43 in^2 ، نو بیا اوسط فشاری ستریس په کالم کی عبارت دی په:

$$\sigma_{cr} = \frac{P_{cr}}{A} = \frac{262.5 \text{ kip}}{4.43 \text{ in}^2} = 59.3 \text{ ksi}$$

حکله چی دا ستریس له بیلد ستریس لږ دی ، کروپیدل به مخکی له دی چی موادو بیلد وکړی مینځ ته را شي. په دی توگه

ترل

$$P_{cr} = 263 \text{ kip}$$

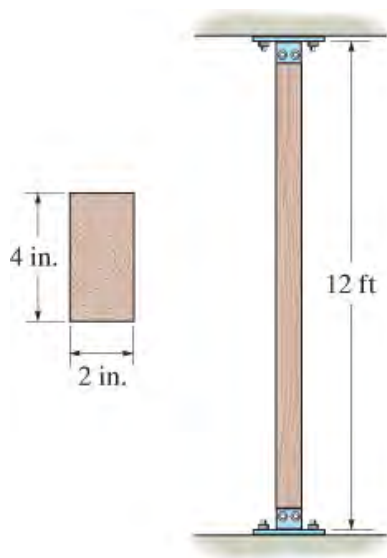
Ans.

بنسټيز پوښتنې

FUNDAMENTAL PROBLEMS

ب-1-13. یوه 50-in. اوږده میله 1 in. قطر لري. د کروپیدو بحرانی بار یی معلوم کړي. میله په دواړو پایلوکی کلکه تړل شوي. $E_{st} = 29 (10^3) \text{ ksi}$ او $s_Y = 36 \text{ ksi}$

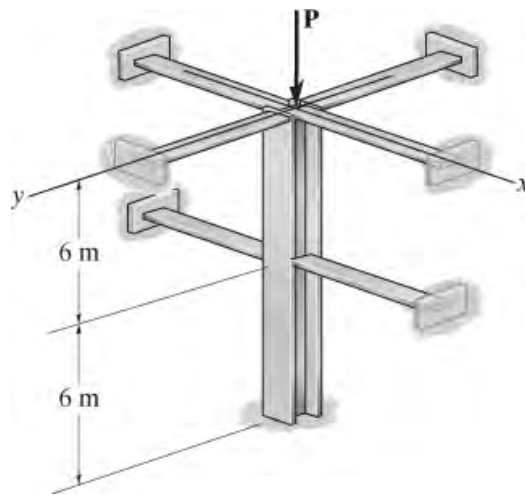
ب-2-13. د یوه 12-ft د لرگیو مستطیلي کالم ابعاد په لاندی انځور کی ښودل شوي. بحرانی بار یی وټاکي، دواړه پایلونه یی پین اتکاوی لري. $E_{st} = 1.6 (10^3) \text{ ksi}$ ، بیلد نه واقع کړي.



ب 13-2

ب-3-13. یو 992 فولادی کالم په پورته او ښکته پایلوکی په ضعیف محور سره د لوړوالي په منځني برخه کی تکیه (brace) شوي دي. هغه اعظمی د منلو وړ بار P چی کیدی شی په کالم پلی شي، مخ کی له دی چی کروپ شي، وټاکي. د خونديتوب فکتور د کروپیدو لپاره $F.S. = 2$ و کاروي.

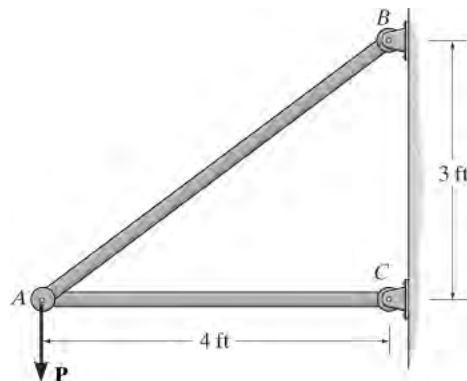
له $I_x = 87.3 (10^{-6}) \text{ m}^4$ ، $A = 7.4 (10^{-3}) \text{ m}^2$ او $I_y = 18.8 (10^{-6}) \text{ m}^4$ کار واخلي.



ب 13-3

ب- 13-4. یو د فولادو پایپ په دواړو پایلوکی کلکی اتکاوی لري. که چیری دا 5 m اوږد، بهرنی قطر یې 50 mm او ضخامت یې 10 mm وي، اعظمی محوری بار P ، کوم چی کروپیدل مینځ ته را نه وړي وټاکی. $E_{st} = 200 \text{ GPa}$ او $s_Y = 250 \text{ MPa}$

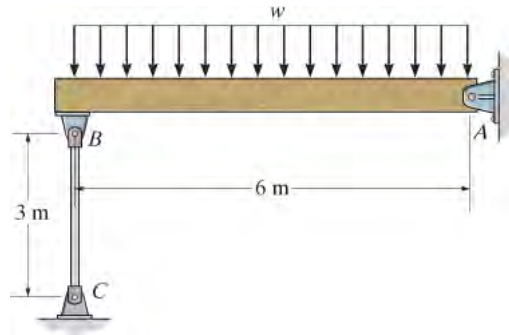
ب- 13-5. اعظمی قوه P ، چی کیدی شي په اسامبلی پلي شي او پرته له دی چی غړی AC کروپ شي، مشخص کړي. غړی له A992 فولادو جوړ او قطر یې 2 in. دی. د خونديتوب فکتور د کروپیدو لپاره $F.S. = 2$ وگنی.



ب 13-5

ب- 13-6. میله BC چی له A992 فولادوی جوړه شوي، 50 mm قطر لري او د بیم لپاره اتکاء جوړه وی. د ویشلشوی بار شدت w داسی و ټاکی، چی تر پلي شوی بار لاندی BC میله کروپیدنه ونکړي.

د خونديتوب فکتور د کروپیدو لپاره $F.S. = 2$ وگنی.

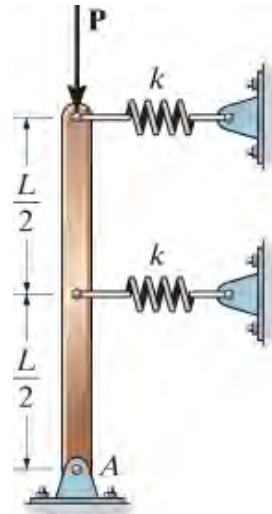


ب 13-6

سوالونه

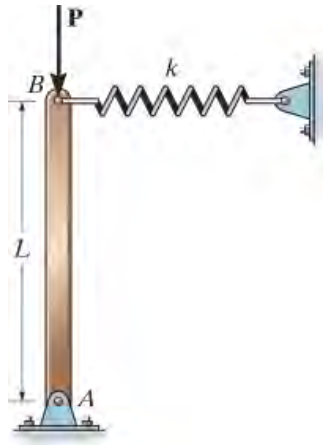
PROBLEMS

س 13-1. د بنودل شوی کالم لپاره بحرانی کروپیدونکي بار مشخص کړي. مواد سخت فرض کیدی شي.



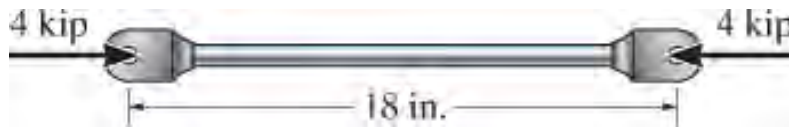
س 13-1

س 13-2. دا لاندی کالم له یوه سخت غړي جوړ شوي، په بنکته پای کی پین اتکاء لري او په پورتنی برخه کی د یو فنر سره وصل دي. کله چی کالم په مستقیم حالت کی وی فنر غزیدلی نه دي، اعظمي بحراني بار چی په کالم پلی کیدی شي وټاکي.



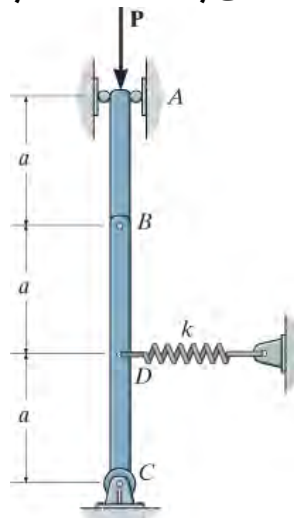
س 13-2

س 13-3. د الوتکې یو ارتباطی (link) غږی له A992 فولادی میلی جوړ شوی دی. مخکې له دې چې غږی د 4 kip بار له امله کړوپ شي تر ټولو کوچنی قطر د میلی، تر 1/16 in. اندازی نږدی پوری، و ټاکي.



س 13-3

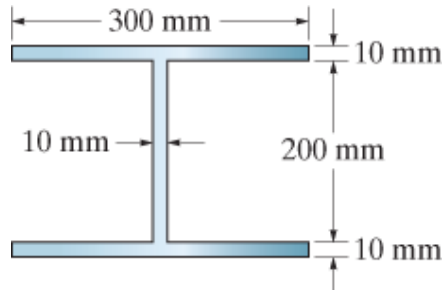
س 13-4*. سختی میلی AB او BC په B کې په پین سره وصل شوی دی. که د فنرشخی په D کې، k وی، بحرانی بار P_{cr} چی کیدی شي په میلی باندی پلی شي وټاکي.



س 13-4

س 13-5. د 2014-T6 المونیم لیاژ کالم 6 m اوږدوالی لری، په پورته پای کی کلکه اتکا اوسنکته پای کی پین اتکا لری. د غوڅی برخی ابعاد په لاندی انځور کی بنودل شوي. اعظمی بحراني بار مشخص کړی. $s_Y = 250 \text{ PMa}$.

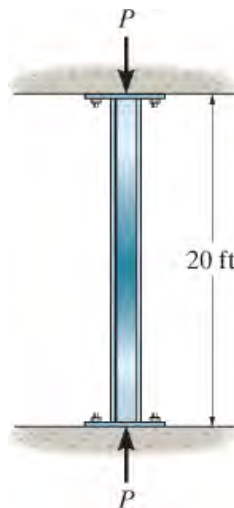
س 13-6. که چیری کالم په پورتنی اوسنکته پایلوکی پین اتکا ولری پوښتنه 13-5 حل کړی.



س 13-5/6

س 13-7. د W12 X 50 یو A992 فولادی کالم 20 ft اوږدوالی لری. که چیری دواړه پایله د کالم پین اتکاوی ولری، او یو 150 kip محوری بار ورباندی پلی شوي وی، د خونديتوب فکتورد کړوپیډو په تراووتاکی.

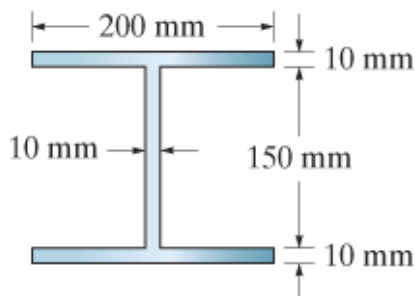
س 13-8*. د W12 X 50 یو A992 فولادی کالم 20 ft اوږدوالی لری. که چیری دواړه پایله د کالم کلکی اتکاوی ولری، کالم کولای شی چی بحراني بار، پرته له بیلد کیدو، یو ورلی شی؟



س 13-7/8

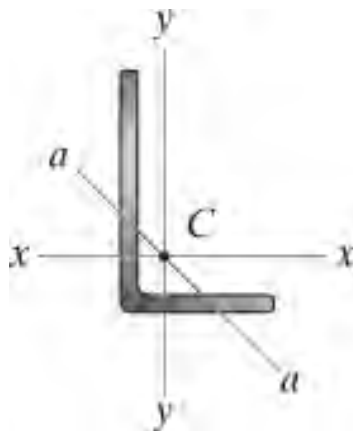
س 9-13. یو فولادوکالم 9 m اوږدوالی لری، په پورته او بنسکته پایلوکی کلکی اتکا وی لری. د غوڅی برخی ابعاد یی په لاندی انځور کی بنودل شوي. اعظمی بحراني بار وټاکی. $E_{st} = 200\text{GPa}$ او $s_Y = 250\text{ PMa}$

س 10-13. یو فولادوکالم 9 m اوږدوالی لری، په پورته او بنسکته پایلوکی پین اتکاوی لری. که د غوڅی برخی ابعاد په لاندی انځور کی بنودل شوي. اعظمی بحراني بار وټاکی. $E_{st} = 200\text{GPa}$ او $s_Y = 250\text{ PMa}$



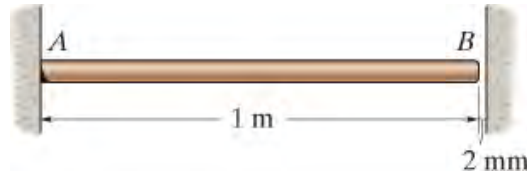
س 10-13

س 11-13. د غوڅه برخی مساحت د A992 فولادی زاویي عبارت دی په $A = 2.48\text{ in}^2$ او د جایریشن شعاع (gyration radius) په x محور $r_x = 1.26\text{ in}$ او په y محور $r_y = 0.879\text{ in}$ دي. کوچني جایریشن شعاع په محور $a-a$ عبارت دی په $r_a = 0.644\text{ in}$. که چیری دا زاویه د کالم په توگه، چی 10-ft اوږد والی او په پایلوکی پین اتکاء لری، و کارول شي، اعظمی محوری بار چی کیدی شي په مرکز ثقل C کی پرته له دی چی کروپیدل مینځ ته راشي، و ټاکی.



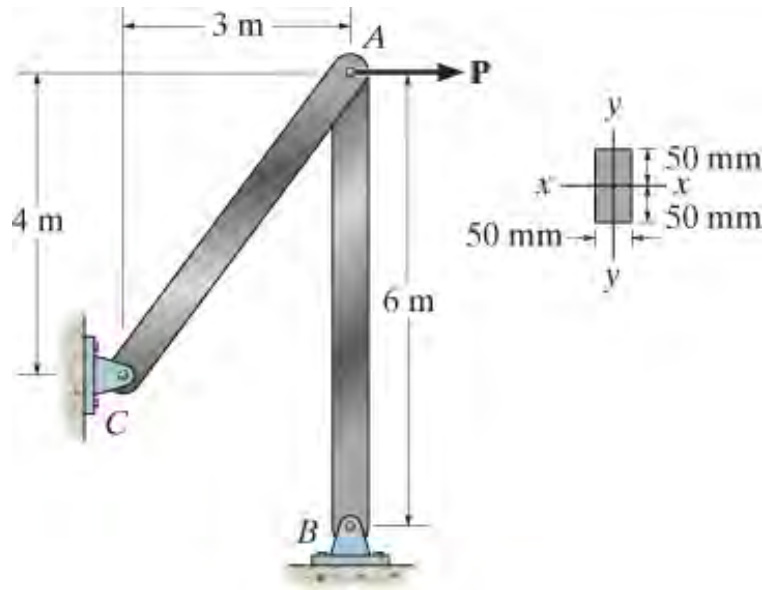
س 11-13

س 13-12* . د برنجو (bronze) میله چی 50-mm قطر لري، کلکه اتکاء په A کی او 2 mm چاک (gap) په B کی د دیوال سره لري. هغه زیاتوالي د تودوخي درجی DT چی لامل د کروپیدو د میلی کیري و ټاکی. فرض کړي چی تماس په B کی د پین په شان عمل کړي.



س 13-12

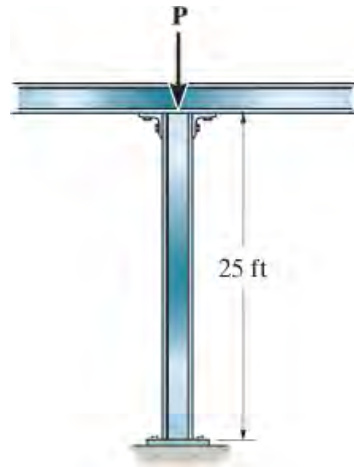
س 13-13 . اعظمی بار P په فریم، پرته له دی چی غړی AB کړوپ شي، مشخص کړي. فرض کړی چی غړی AB له فولادو جوړ شوی او په پایلوکی پین شوی دی د محور $y-y$ په جهت د کروپیدو په اړ، او کلک ترل شوی په پایلوکی د $x-x$ محور په جهت د کروپیدو لپاره. $E_{st} = 200$ GPa ، $s_y = 360$ PMa



س 13-13

س 13-14 . W8 X 67 سوروری فلنج کالم له A-36 فولادو جوړ شوي، فرض کوو چی کلکه اتکاء لری په بنکته پای کی او پین شوی دی په پورتنی پای کی . اعظمی قوه P چی کیدی شی پلی شی پرته له دی چی کروپیدل واقع شي وټاکی.

س 13-15 . پوښتنه 13-14 حل کړی که فرض کړو چی کالم کلکه اتکاء لری په ښکته خوا کی او آزاد دي په پورته خوا کی.

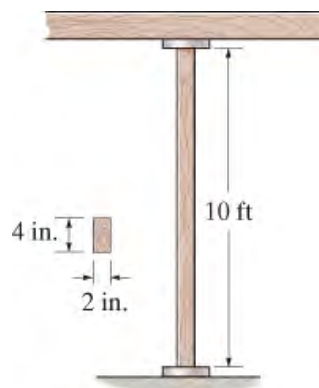


س 13-14/15

س* 13-16 . د W200 X 46 یو A992 فولادی کالم 9 m اوږدوالی لري. کلک تړل شوی په یوه پای کی او په بل پای کی آزاد دي. د منلوور محوری بار په کالم، که چیری د خونديتوب فکتور $F.S. = 2$ د کړو پیډو په اړه وکارول شی، وټاکی.

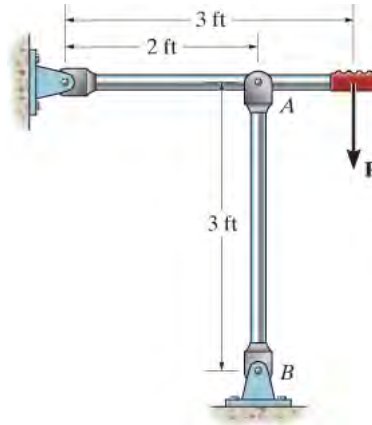
س 13-17 . د لرگیو مستطیلی کالم 10-ft لوړوالی لري، ابعاد یې په لاندی انخور کی ښودل شوي. که چیری دواړه پایله د کالم په پین سره وصل وی، بحرانی بار وټاکی. $E_w = 1.6(10^3) \text{ ksi}$ ، $s_Y = 5 \text{ ksi}$ ،

س 13-18 . د لرگیو کالم چی 10-ft لوړوالی لري ابعاد یې په لاندی انخور کی ښودل شوي. بحرانی بار وټاکی ، که چیری کالم کلکه اتکاء لری په ټیټه خوا کی او پین شوی وی په پورته خوا کی. $E_w = 1.6(10^3) \text{ ksi}$ ، $s_Y = 5 \text{ ksi}$.



س 13-17/18

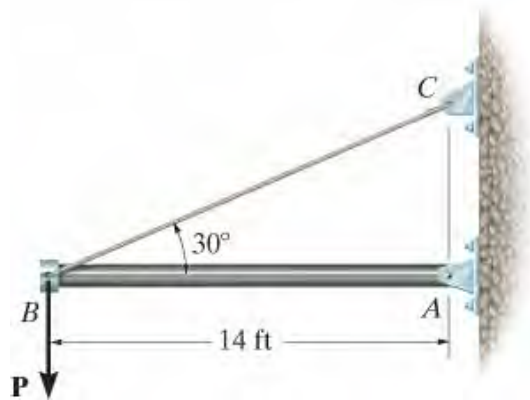
س 13-19 . اعظمی قوه P چی کیدی شي په لاستی پلی شي تر څو A992 فولادی کنترول میله AB کړوپه نه شي. د میلی قطر 1.25 in. دي. په دواړو پایلوکی په پین تړل شوي.



س 13-19

س 13-20* . د A-36 فولادی پایپ وتلی قطر يي 2 in. او پنډوالی يي 0.5 in. دی. که چیری د یوه سیم په واسطه نیول شوی وی، تر ټولو لویه عمودی قوه P چی کیدی شي پلی شي وټاکي او دا قوه د پایپ د کړوپیډو لامل نشي. فرض کړی چی د پایپ پایلی په پین وصل شوي.

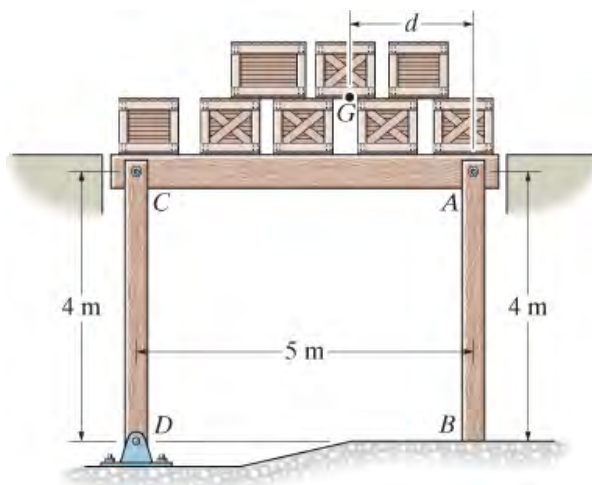
س 13-21 . د A-36 فولادی پایپ وتلی قطر يي 2 in. او پنډوالی يي 0.5 in. دی. که چیری د یوه سیم په واسطه نیول شوی وی، اړونده داخلی قطر نیردی 1/8 in. ته وټاکي، تر څو اعظمی عمودی بار $P = 4$ kip پرته له دی چی د پایپ د کړوپیډو لامل شي و ټاکي. فرض کړی چی د پایپ پایلی په پین وصل شوي.



س 13-20/21

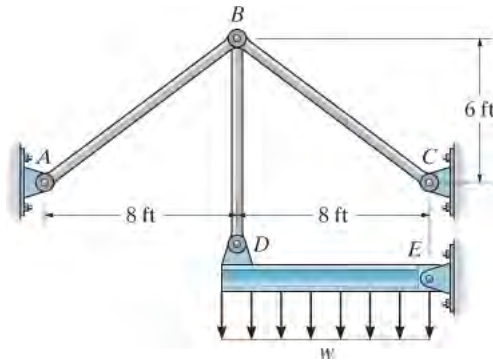
س 13-22 . یوه تخته فرش په دوو 40-mm مربعو پایو درول شوی. پایه AB پین شوی په A ، او کلکه تړل شوی په B کی، او CD په پین تړل شوی په C او D کی. که چیری د تختی فرش بیخایه کیدنه په څنگ لور ممانعت شوی وي ، تر ټولو لوی وزن د بار و ټاکی کوم چی پلی کیدی شي او تخته رنګه نشي. مرکز ثقل د بار په $d = 2 \text{ m}$ کی موقعیت لري. دواړه پایي له ډگلس فر ډول لرگی څخه جوړي شوي دي.

س 13-23 . یوه تخته فرش په دوو 40-mm مربعو پایو درول شوي. پایه AB پین شوی په A ، او کلکه تړل شوی په B کی، او CD په پین تړل شوی په C او D کی. که چیری د تختی فرش بیخایه کیدنه په څنگ لور ممانعت شوی وي ، موقعیت d د ثقل د مرکز او تر ټولو لوی وزن د بار و ټاکی کوم چی پلی کیدی شي او تخته رنګه نشي. دواړه پایي له ډگلس فر ډول لرگی څخه جوړي شوي دي.



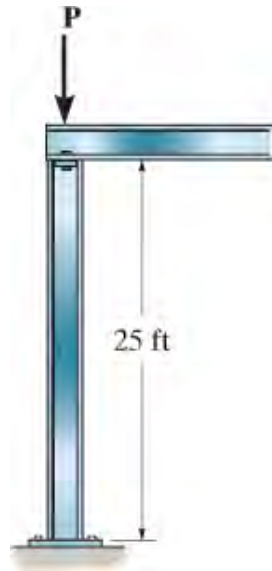
س 13-22/23

س 13-24* . دا لاندی بیم ، په دریو ځورند شویو (suspender)، $A-36$ فولادی میلو چی په پین سره تړل شوي او 0.5 in قطر لري، ځړول شوی. اعظمی ویشل شوی بار w ، کوم چی پلی کیدی شي، پرته له دی چی غړی AB او CB کړوپ شي، وټاکی.



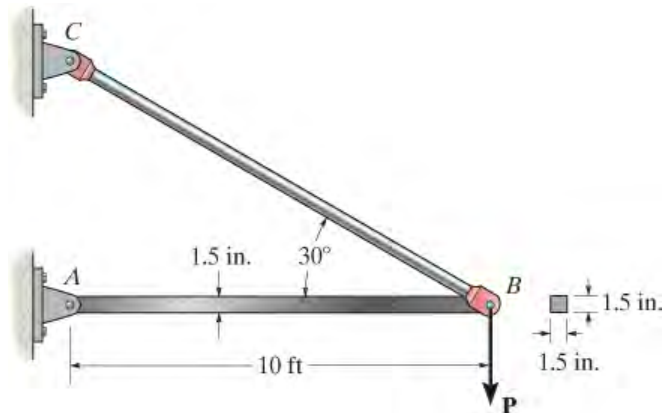
س 13-24

س 13-25 . یو $A992$ ، $W14 \times 30$ فولادی کالم په لاندی انځور کی بنودل شوي. فرض شوی چی په دواړو پایلوکی کالم په پین سره تړل شوي. اعظمی محوری بار P و ټاکي ، پرته له دی چی پلی کیدل ددی بار د کالم د کروپیدو لامل و ګرځی .



س 13-25

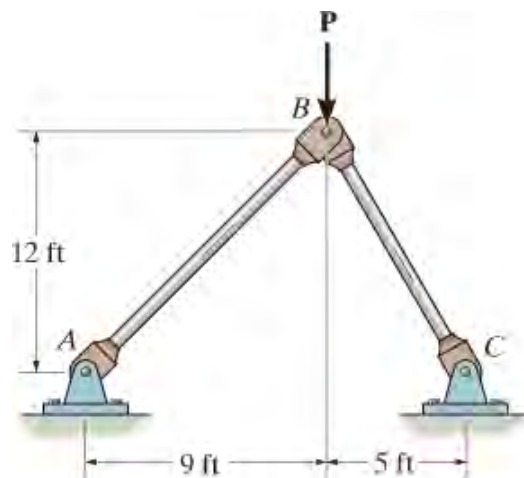
س 13-26 . یوه A992 فولادی میله AB مربع غوڅه برخه لري. که چیری په پایلوکی پین اتصال ولري، اعظمی بار P چی کیدی شی په فریم پلی شی و ټاکی. د کروپیدو لپاره د خونديتوب فکتور 2 وگنی.



س 13-26

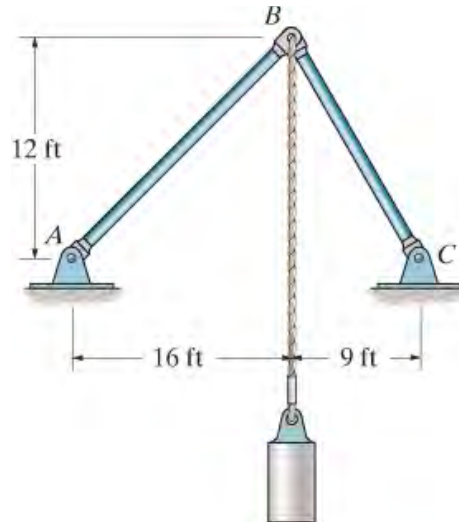
س 13-27 . دا لاندی ترونکی له دو A992 فولادی میلو، چی هر یو یی گردی غوڅه برخه لری، جور شوي. د هری میلی قطر تر نیردي $1/8$ in. وټاکی تر خود یوی قوی $P = 10$ kip ورلو توان ولری. فرض کری چی میلی په دواړو پایلوکی پین اتصال لری. د خونديتوب فکتور $F.S. = 1.8$ د کروپیدو په اړه وگنی.

س 13-28* . دا لاندی ترونکی له دو A992 فولادی میلو، چی هر یو یی گردی غوڅه برخه لری، جور شوي. که د هری میلی قطر 2 in. وی، اعظمی بار چی پلی کیدی شی پرته له دی چی د میلو د کروپیدو لامل وگرخی او د خونديتوب فکتور $F.S. = 1.8$ د کروپیدو په اړه وگنی، و ټاکی فرض کری چی میلی په دواړو پایلوکی پین اتصال لری.



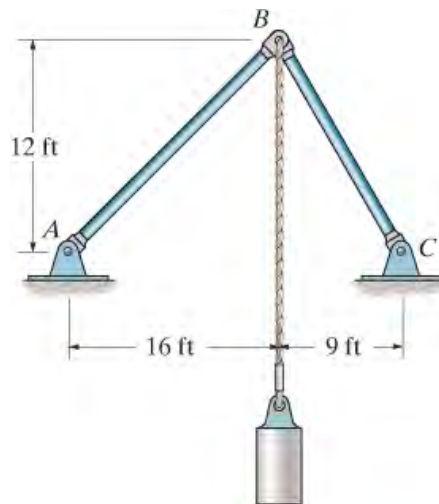
س 13-27/28

س 13-29 . دا لاندی تړونکی له دوو A-36 فولادی میلو، چی هر یو یی گردی غوڅه برخه لری، جوړشوي . د هری میلی قطر تر نیږدی 1/8 in. وټاکي تر خود یوی قوی $P = 900\text{-lb}$ وړلو توان ولری. فرض کری چی میلی په دواړو پایلوکی پین اتصال لری. د خونديتوب فکتور F.S. = 1.8 د کرویدو په اړه وگنی.



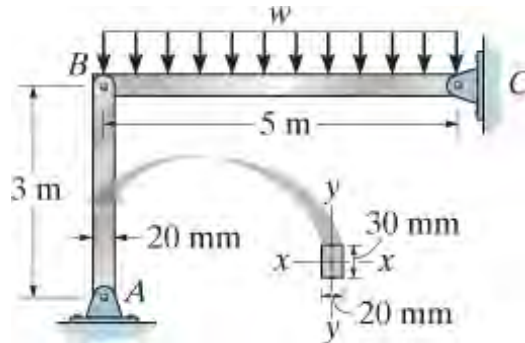
س 13-29

س 13-30 . دا لاندی تړونکی له دوو A-36 فولادی میلو، چی هر یو یی گردی غوڅه برخه لری، جوړه شوي . که د هری میلی قطر 3/4 in. وي ، اعظمی بار چی پلی کیدی شي، پرته له دی چی میلی کروپی شي، وټاکي . فرض کری چی میلی په دواړو پایلوکی پین اتصال لری.



س 13-30

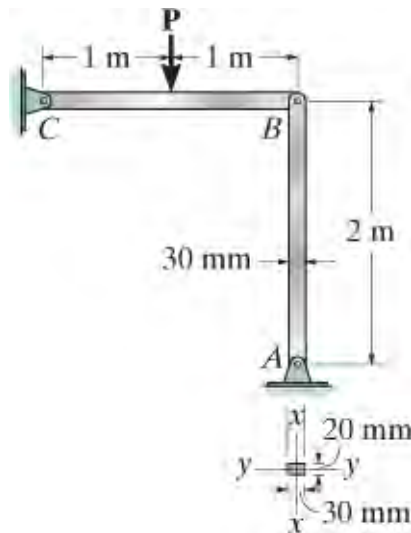
س 13-31 . فولادی میله AB مستطیلی غوڅه برخه لري. که چیری په پایلوکی یې پین اتصال ولري، اعظمی د منلو وړ ویشلشوی بار w ، کوم چی کیدی شي په BC پلی او پرته له دی چی AB کروپه شي، هغه و ټاکی. د کروپیدو په اړ د خونديتوی فکتور 1.5 وگنی. $E_{St} = 200 \text{ GPa}$ و $s_Y = 360 \text{ PMa}$,



س 13-31

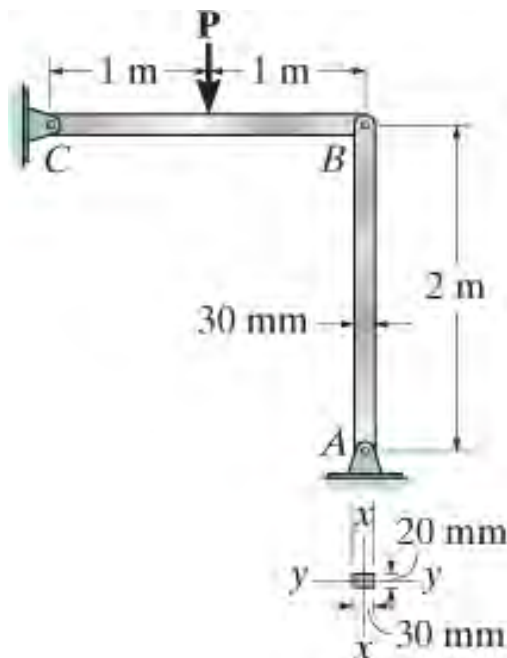
س 13-32* . که چیری د غړی AB لپاره د خونديتوب فکتور $F.S. = 3$ د کروپیدو په اړه وی، معلوم کړی چی آیا دا لاندی چوکاټ یو بار $P = 20 \text{ kN}$ وړلی شي که نه؟

فرض کړی چی غړی AB له فولادو جوړ شوی او په پایلوکی په $x-x$ محور د کروپیدو په اړه پین شوی او په $y-y$ محور د کروپیدو په اړه کلک ټرل شوی. $E_{St} = 200 \text{ GPa}$ و $s_Y = 360 \text{ PMa}$,



س 13-32

س 13-33 . اعظمی د منلو وړ بار P کوم چی کیدی شي په غړی BC پلی شي، پرته له دی چی غړی AB کروپ شي، وټاکی. فرض کری چی غړی AB له فولادو جوړ شوی او په پایلوکی په محور $x-x$ د کروپیدو په اړ پین شوی او په $y-y$ محور د کروپیدو په اړ کلک تړل شوی. $E_{st} = s_Y = 360 \text{ PMa}, 200 \text{ GPa}$



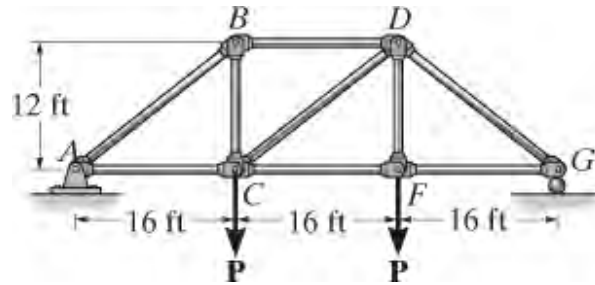
س 13-33

س 13-34 . یوه ډکه گردی میله 4m اوږدوالی لری له 6061-T6 المونیم ایلیاژه جوړه ، او په دواړو پایلوکی پین شوی ده. که چیری یو محوری بار د 15 kN پری پلی شی او د خونديتوب فکتور، $F.S. = 2$ ، د کروپیدو په اړ وگنل شي ، تر ټولو کوچنی قطر د میلی تر میلی متره نیږدي وټاکی.

س 13-35 . یوه ډکه گردی میله 4m اوږدوالی لری له 6061-T6 المونیم ایلیاژه جوړه ، او په یوه سرکی پین شوی او په بل سرکی کلکه تړل شوی ده. که چیری یو محوری بار د 15 kN پری پلی شی او د خونديتوب فکتور $F.S. = 2$ د کروپیدو په اړ وگنل شي، تر ټولو کوچنی قطر د میلی تر نیږدي میلی متره وټاکی.

س 13-36* . د لاندی ترس (truss) غړي فرض شوي چی په پین یو له بل سره تړل شوی. که چیری غړي BD له A992 فولادی میلی چی 2 in شعاع لری جوړ شوی وي، اعظمی بار P چی کیدی شي په ترس پلی شي پرته له دی چی غړی کروپ شي ، وټاکی.

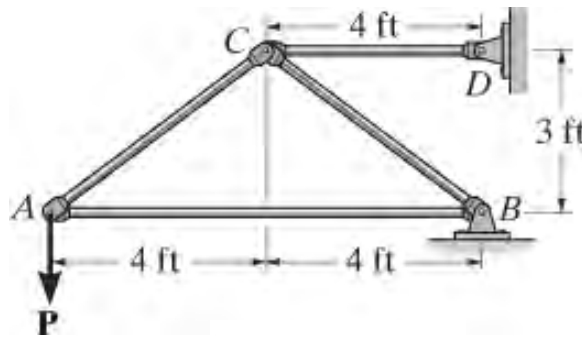
س 13-37 . پوښتنه 13-36 د غړي AB لپاره کوم چي 2 in شعاع لري حل کړي.



س 13-36/37

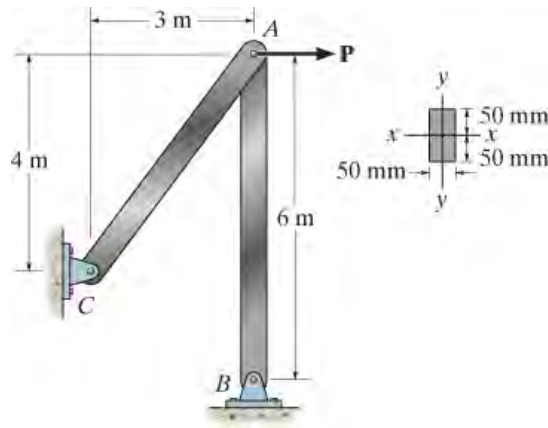
س 13-38 . دا لاندی ترس له A992 فولادی میلوخه چي هره یوه یي گردی غوڅه برخه او 1.5 in قطر لري جوړه شوي ده. اعظمی بار P چي کیدی شي پلي شي پرته له دی چي کوم غړی کروپ شي، وټاکي. ټول غړي په پایلوکی په پین ترل شوی.

س 13-39 . دا لاندی ترس له A992 فولادی میلو چي هر غړی گردی غوڅه برخه لري جوړه شوي ده. که بار $P = 10 \text{ kip}$ پلي شي، قطر د AB غړی نیږدی $1/8 \text{ in}$ ته داسی وټاکي چي دا غړی له کروپیدو وژ غورل شي. غړي په پایلوکی په پین ترل شوی.



س 13-38/39

س 13-40* . غړی AB د لاندی فریم له فولادو جوړ شوي دی، او په دواړو پایلوکی، په $y-y$ محور د کروپیدو لپاره پین شوی دی. که چیري قوه $P = 18 \text{ kN}$ وی د خونديتوب فکتور د کروپیدو په اړ په $y-y$ محور وټاکي. $s_Y = 360 \text{ PMa}$ ، $E_{st} = 200 \text{ GPa}$

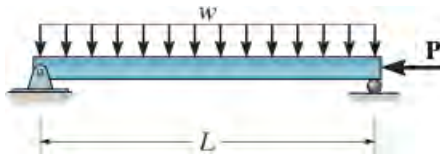


س 13-40

س 13-41 . د لاندې خیالی کالم وزن w (قوه/اوږدوالي) دي، او یوه محوری بار P ورباندې پلي شوي دي. اعظمی مؤمنت د کالم په منځني برخه کې و ټاکي. EI ثابت دی.

د مرستی لارښود: د بیخایه کیدنی لپاره ډیفرینشل معادله جوړه کړي، معادله 13-1. د کالم په منځني برخه کې مبدا (Origin) انتخاب کړي. عمومي حل عبارت دی په:

$$v = C_1 \sin kx + C_2 \cos kx + \frac{w}{(2P)}x^2 - \frac{wL}{(2P)}x - \frac{wEI}{P^2} \text{ where } k^2 = P/EI.$$



س 13-41

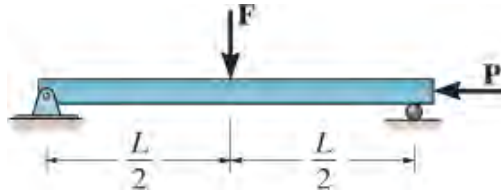
س 13-42 . په لاندې خیالی کالم یوې قوه F په مینځ کې عمل کړي، او یوه محوری بار P ورباندې پلي شوي دي. اعظمی مؤمنت د کالم په منځني برخه کې و ټاکي. EI ثابت دی.

د مرستی لارښود: د بیخایه کیدنی لپاره ډیفرینشل معادله جوړه کړي، معادله 13-1. مرکز د کالم په منځني برخه کې انتخاب کړي. عمومي حل عبارت دی په

$$v = C_1 \sin kx + C_2 \cos kx - c^2x/k^2,$$

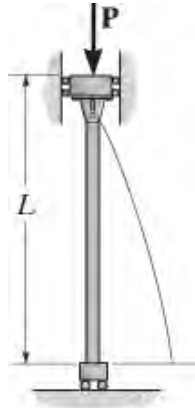
کوم چي

$$c^2 = F/2EI, k^2 = P/EI$$



س 13-42

س 13-43 . د کالم د پایلو اتکاؤی لاندی انخور کی بنودل شوي. بحراني بار د کالم لپاره مشخص کړي.



س 13-43

س 13-44* . یو خیالی کالم چی په انخور 13-10c کی بنودل شوي په پام کی ونیسي، دواړه پایلی یې کلکی تړل شوی. ونیبي چی د کالم بحرانی بار $P_{cr} = 4 \rho^2 EI/L^2$ دي. د مرستی لار بنود: د کالم د سر برخي د عمودی بیخایه کیدنی له امله به یو ثابت مؤمنت M په اتکاؤ کی منخ ته راشی. ونیبي چی

$$d^2v/dx^2 + (P/EI)v = M'/EI$$

حل یې دا لاندی شکل لري

$$v = C_1 \sin(\sqrt{P/EI}x) + C_2 \cos(\sqrt{P/EI}x) + M'/P$$

س 13-45 . يو خيالی کالم کوم چی په انځور، $13-10d$ ، کی بنودل شوي په پام کی ونیسي، يو سر يي کلک تړل شوی او بل سر يی په پین تړل شوی. ونيبي چی د کالم بحرانی بار $P_{cr} = 20.19 EI/L^2$ دي.

د مرستی لارښود: د کالم د سر برخي دعمودی بيځايه کيدنی له امله يو ثابت مؤمنت M به په کلکه اتکاء کی او افقي ریکشن قوه R به په دواړو پایلو کی منځ ته راشی. و نیبي چی

$$d^2 v/dx^2 + (P/EI)v = (R'/EI)(L - x)$$

حل يي دا لاندی شکل لري

$$v = C_1 \sin(\sqrt{P/EI}x) + C_2 \cos(\sqrt{P/EI}x) + (R'/P)(L - x)$$

وروسته له دی چی سرحدی شرایط های په های شي و نیبي چی:

$$\tan(\sqrt{P/EI}L) = \sqrt{P/EI}L$$

په عددی توگه د هغه کوچني حل لپاره چی صفر نه وی دا حل کړي.

13.4* د سيکنټ فورمول (THE SECANT FORMULA)

د Euler فورمول په هغه صورت پلاس راوړل شوی وا چی قوه P ، د کالم د غوڅی برخی د ثقل د مرکز له لاري پلي کيږي او کالم بالکل مستقيم دی. په حقیقت کی دا خورا غير واقعی حالت دی، ځکه چی جور شوی کالم هيڅکله په بشپړ ډول مستقيم نه دی، او نه هم د قوی پلي کيدلو های په ډيره دقیقه توگه معلوم دی. په واقعیت کی، بيا، کالمونه هيڅکله ناڅاپه نه کړوپ کيږي. پر های يي د بار په پلي کيدو کالم سمدلاسه پيل په کړيدو کوی، که څه هم لږه اندازه وی. په پایلي کی حقیقي معيار د بار د پلي کيدو باید محدود شي، يا بيځايه کيدنه د کالم کوم اړخ ته، يا په کالم کی اعظمي سترس د منلو وړ ستريس څخه زیاتوالی و نکړي.

د دی لپاره چی اغیزی د هغه بارونو، کوم چی له مرکز ثقل بهریی عمل کړي، مطالعه کړو، مور به يوه قوه P د کالم له ثقل مرکز څخه د e په واټن کی پلي کړو ، انځور 13-13a . دا قوه د

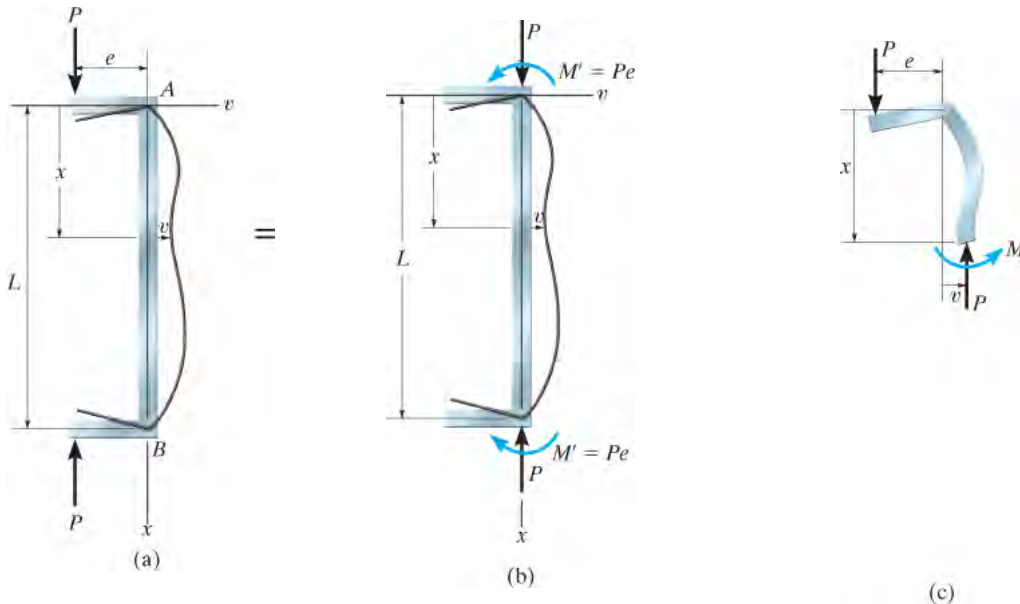
ستاتیک له نظره معادل په محوری قوه P او کبریدونکی مؤمنت $M' = Pe$ کوم چې په انځور-13b کې ښودل شوي، دي. په دواړو حالتونو کې، پایلی A او B په دې ډول اتکاو لري چې دوی څرخیدي شي (پن اتکاء)، او لکه څنګه چې د مخه مو ویلی وو، مور به یې یوازې خطی ایلسټیک چلند د موادو په پام کې ونیسو. برسېره پردې، د $x-v$ سطحه د غوڅی برخې متناظره سطحه ده.

د اختیاری برخې آزاد ډیګرام، انځور 13-13c، داخلي مؤمنت په کالم کې عبارت دی په:

$$M = -P(e + v) \quad (13-13)$$

نو بیا د ډیفرینشل معادله د بیخایه شوی منحنی لپاره کیري:

$$EI \frac{d^2v}{dx^2} = -P(e + v)$$



انځور 13-13

$$\frac{d^2v}{dx^2} + \frac{P}{EI}v = -\frac{P}{EI}e \quad \text{یا}$$

دا معادله، معادلی 13-7 ته، ورته ده چې دواړه بشپړونکي او ځانګړي حلونه پکې شامل دي لکه:

$$v = C_1 \sin \sqrt{\frac{P}{EI}} x + C_2 \cos \sqrt{\frac{P}{EI}} x - e \quad (13-14)$$

د ثابت اعدادو معلومولو لپاره له سرحدی شرایطو کار اخلو. په $x=0, u=0$ په دی ډول $C_2 = e$.
او په $x=L, u=0$ چی ورکوي:

$$C_1 = \frac{e[1 - \cos(\sqrt{P/EI}L)]}{\sin(\sqrt{P/EI}L)}$$

څرنگه چی: $1 - \cos(\sqrt{P/EI}L) = 2\sin^2(\sqrt{P/EI}L/2)$

او:

$$\sin(\sqrt{P/EI}L) = 2\sin(\sqrt{P/EI}L/2) \cos(\sqrt{P/EI}L/2)$$

$$C_1 = e \tan\left(\sqrt{\frac{P}{EI}} \frac{L}{2}\right) \quad \text{نو مور لرو:}$$

په دی توگه د بیخایه کیدنی منحنی، معادله 13-14، کیري:

$$v = e \left[\tan\left(\sqrt{\frac{P}{EI}} \frac{L}{2}\right) \sin\left(\sqrt{\frac{P}{EI}} x\right) + \cos\left(\sqrt{\frac{P}{EI}} x\right) - 1 \right] \quad (13-15)$$

اعظمی بیخایه کیدنه. (Maximum Deflection). د بار د متناظر والي له امله دواړه اعظمی بیخایه کیدنه او اعظمی سټریس په منحنی نقطه د کالم کی جوړیږي. له همدی امله په $x=L/2$ کی:

$$v_{\max} = e \left[\sec\left(\sqrt{\frac{P}{EI}} \frac{L}{2}\right) - 1 \right] \quad (13-16)$$

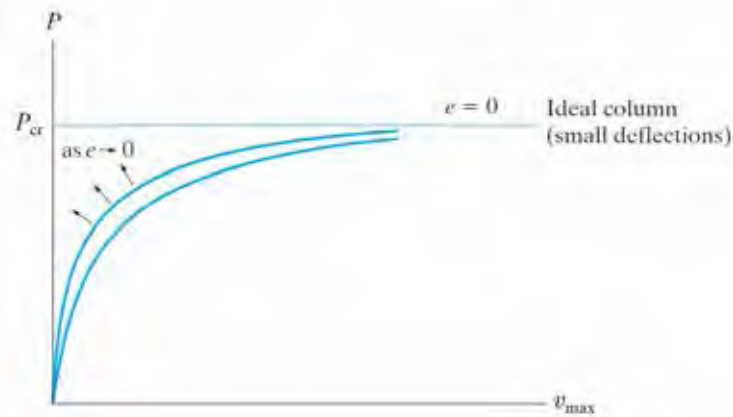
په یاد ولری که چېرې e صفر ته نږدې شي، نو بیا v_{\max} صفر ته نږدې کیري. په هر صورت، که چېرې په قوسونو کی حاصل لایتناهي ته نږدې کیری څنگه چې e صفر ته نږدې کیري، بیا v_{\max} به غیر صفری ارزښت ولري. په ریاضیاتي توگه، دا د یو محوری بار شوی کالم چلند، په ناکامی کی استازیتوب کوي کله چې د بحرانی بار، P_{cr} ، سره مخ کیري. له همدی امله د P_{cr} موندلو لپاره اړین دی:

$$\sec\left(\sqrt{\frac{P_{cr}}{EI}} \frac{L}{2}\right) = \infty$$

$$\sqrt{\frac{P_{cr}}{EI}} \frac{L}{2} = \frac{\pi}{2}$$

$$P_{cr} = \frac{\pi^2 EI}{L^2} \quad (13-17)$$

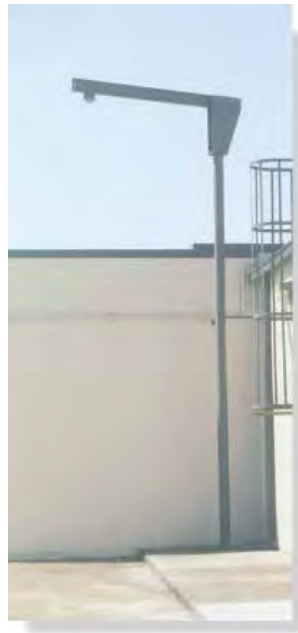
دا ورته پايله ده کوم چي د اويلر فورمول څخه پيدا شوي وه، معادله 13-5 .



انځور 13-14

که معادله 13-16، د مختلفو ارزښتونو د مرکز وتلي فاصله e لپاره رسم شوی، دا به یو لري ورته منحنی گاني ولري، کوم چي په انځور 13-14 کې ښودل شوي. دلته بحرانی بار یو اسمپتود (asymptote) په منحنی کيږي چي استازیتوب د غیر واقعي قضیې د خیالی کالم کوي ($e = 0$). دلته رامینځته شوي پایلي یوازي د کوچنی بیخایه کیدنی په اړخ لور لپاره پلي کيږي، او له همدې امله دوی یقینا د اوږده او نازک کالم لپاره پلي کیدی شي.

په یاد ولری چي په انځور 13-14 کې منحنی یو غیر خطي اړیکه د قوی P او بیخایه کیدنه v سره ښيي. دلته د سوپر پوزیشن (superposition) اصول د کالم ټول انحراف معلومولو لپاره د کار وړ ندی. په بل عبارت، ټول بار په کالم باید پلی شي تر څو انحراف وټاکل شي، نه د بارونو داجزاوود لری له لاری. سربیره پردې، د دې غیر خطي اړیکو له امله، د ډیزاین لپاره د خونديتوب فکتور باید په بار باندې تطبیق شي نه په سټرس باندی.



هغه کالم چي ددي ڪرين ملاتر کوي په غير معمولي ڊول اوڙد دي. دا به دمخوري بار او هم ڪورڊونڪي مؤمنٽ تابع وي. د دي لپاره چي ڍاڍ تر لاسه شي چي دا به ڪروپ نشي، بايد په بام ڪي د پين په توگه يوه تڪيه ورلري.

د سيڪنٽ فورمول (The Secant Formula). اعظمي سٽريس دثقل مرڪزه وتلي (eccentrically) بار شوي کالم ڪي، د مخوري بار او مؤمنٽ دوارو له امله رامينخته ڪيري، انخور 13-15a وگوري. اعظمي مؤمنٽ د کالم په منځني برخه ڪي واقع ڪيري، چي د 13-13 او 13-16 معادلوڅخه، دا لاندی اندازه لري:

$$M = |P(e + v_{\max})| \quad M = Pe \sec\left(\sqrt{\frac{P}{EI} \frac{L}{2}}\right) \quad (13-18)$$

لکه څنگه چي په انخور 13-

15b ڪي بنودل شوي، اعظمي سٽريس په کالم ڪي عبارت دي په:

$$\sigma_{\max} = \frac{P}{A} + \frac{Mc}{I}; \quad \sigma_{\max} = \frac{P}{A} + \frac{Pec}{I} \sec\left(\sqrt{\frac{P}{EI} \frac{L}{2}}\right)$$

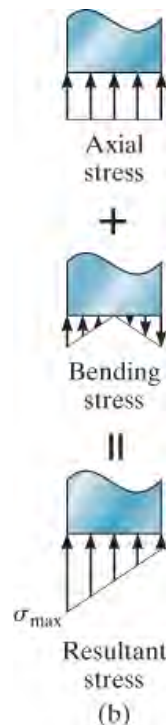
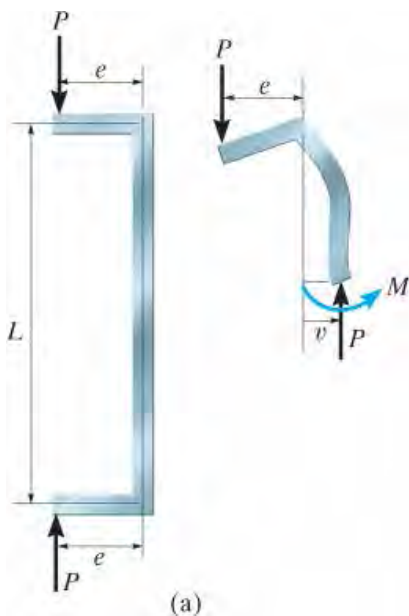
څرنگه چي د جايريشن شعاع (radius of gyration) عبارت ده په:

$$r = \sqrt{I/A} \quad \text{سيڪنٽ}$$

پورتنی معادله کیدی شی چي داسی بي وليکو کوم چي د

فورمول (secant formula) په نامه ياديري

$$\sigma_{\max} = \frac{P}{A} \left[1 + \frac{ec}{r^2} \sec\left(\frac{L_e}{2r} \sqrt{\frac{P}{EA}}\right) \right] \quad (13-19)$$



انځور 13-15

دلته

S_{\max} = اعظمی ایلیسٽیکی سٽریس په کالم کی ، کوم چی په داخلی کور شوی (concave) اړخ د کالم په منځنی برخه کی، واقع کیږي.

$P = P_{cr}$ (معادله 13-5) = عمودی بار چی په کالم پلي شوي. $P < P_{cr}$ پرته له دی چی $e = 0$ ، که نه $P =$

$e =$ له مرکز وتلی فاصله د بار P ، چی د کالم د غوڅی برخی د مرکزی محور څخه تر د پلي بار شوی بار P کرښي پوري اندازه کیږی.

$c =$ فاصله د مرکزی محور تر بهرني فایبر د کالم ، چیری چی اعظمی تیلوهونکي سٽریس S_{\max} مینځ ته راځي.

$A =$ د کالم د غوڅی برخی مساحت

$L_e =$ د کالم اوږدوالی د کږیدو په سطحه کی، کوم چی په اوږدو کی تکیه شوي نه دي. پلي کیدل یي محدود دی د هغه غړیو لپاره چی پین اتصال لري، $L_e = L$ ، او یا یو سر یي ازاد او بل سر یي کلک تړل شوي وی، $L_e = 2L$.

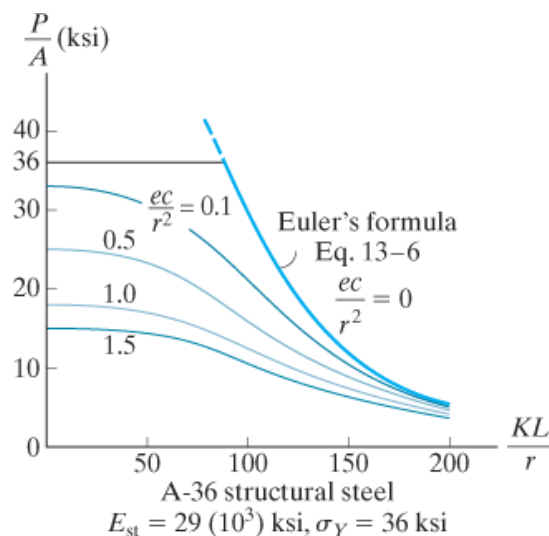
$E =$ د موادو د ايلسٽيسٽيٽي مارجولس

$$r = \text{د جايريشن شعاع، } r = \sqrt{I/A}$$

دلته I په مرڪزي (centroidal) او يا د ڪريڊو په محور محاسبه شوي دي.

د معادلي 13-19 گرافونه د مختلف ارزښتونو د مرڪز وتلي فاصلي تناسب لپاره (*eccentricity*) ec/r^2 (ratio) ، په انځور 13-16 کي د A-36 ساختماني فولادو لپاره پلاٽ شوي دي. په ياد ولري کله چي $e \rightarrow 0$ ، او يا کله چي $ec/r^2 \rightarrow 0$ ، معادله 13-16 ورکوي $S_{\max} = P/A$ ، چيرته چي P د کالم بحراني بار کوم چي د اويلر فارمول لخوا تعريف شوي ، دي. ځکه چي د پايلو نتيجي يوازي د ايلسٽيڪي بار کولو لپاره د اعتبار وړ دي. په انځور کي بنودل شوي سٽريپسونه نشي کولي له $S_Y = 36 \text{ ksi}$ څخه زيات شي، او دلته هغه په افقي کرښه بنودل شوي.

د ليدو په واسطه، منحنی کرښي بندي چي د مرڪز وتلي فاصلي په تناسب کي بدلون د هغه کالمونو چي کوچني د نازکي (*slenderness*) تناسب لري د بار وړلو ظرفيت باندي د پام وړ اغيزه لري. په هر صورت، هغه کالمونه چي لوی د نازکي تناسب لري، د اويلر بحراني بار کي يا نږدې هغه ته ناکاميري پرته له دي چي د مرڪز نه وتلي فاصلي تناسب ته پام وکړي، ځکه چي دلته دمنحنی د کرښو ټوتي سره يوځای کيږي. له همدې امله، کله چي معادله 13-19 په ډيزاين کي وکارول شي، دا مهمه ده چي د لنډو اوږدو کالمونو لپاره يو څه دقيق ارزښت د مرڪز وتلي فاصلي ولري.



انځور 13-16

ډيزاين (Design). يوځل چي د مرڪز وتلي فاصلي تناسب مشخص شي، د کالم ډاټا کيدی شي په معادله 13-19 کي ځای په ځای شي. که د $S_{\max} = S_Y$ ارزښت په پام کي ونيول شي نو بيا اړونده بار P_Y په عددي توگه ټاکل کيدی شي، ځکه چي معادله غير معمولي ده او د P_Y لپاره په واضح ډول

نشي حل کیدی. د ډیزاین مرستې په توګه، د کمپیوټر سافټویر، یا ګرافونه لکه څنګه چې په انځور 13-16 کې ښودل شوي، کولی شي د P_Y ټاکلو لپاره هم وکارول شي. پوه شئ چې د وتلي فاصلي پلي کیدو د P_Y له امله، دا بار به تل د بحراني بار P_{cr} څخه کوچنی وي، کوم چې فرض کوي (په غیر واقعیت سره) چې کالم په محوري ډول بار شوی دي.

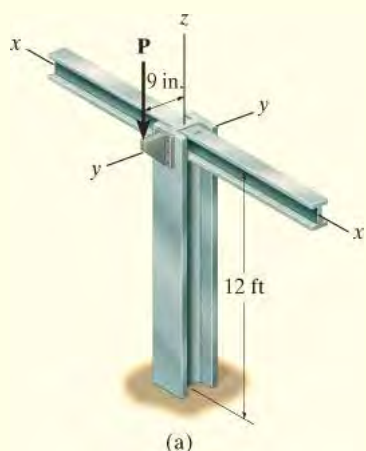
مهم ټکی

IMPORTANT POINTS

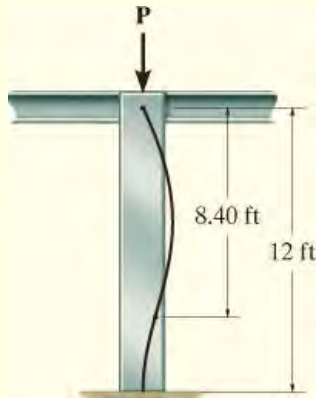
- په تولیدکي د نیمګړتیاو له امله، یا په پلي کیدو د ځانګړي بار له کبله، یو کالم هیڅکله په ناڅاپي ډول نه ګروپ کیږي. پر ځای یې، کالم څنګه چې بار ورباندې عمل کوي، په ګریدو پیل کوي.
- کوم بار چې په کالم پلي کیږي د هغې له ګریدو سره په غیر خطي طریقه تړاو لري، او په دې توګه د سوپرپوزیشن اصول نشي پلي کیدی.
- لکه څنګه چې د نازکتوب تناسب (slenderness ratio) زیاتېږي، د مرکز وتلي فاصلي لرونکي کالمونه د اویولر ګروپیدونکي بار سره او یا هغه ته نږدې ماتېږي.

مثالونه

مثال 13.4

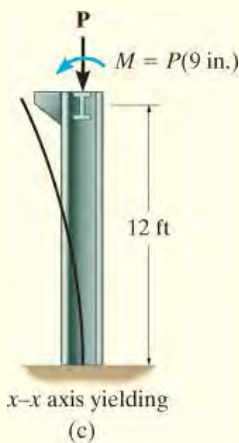


په انځور 13-17a کې، د A992 فولادو W8 X 40 کالم ښودل شوي، کوم چې کلکه اتکاء په بنسټ کې لري، او په سر کې داسې تکیه شوی چې د بیځایه کیدنی لپاره کلک تړل شوي، مګر په y - y محور تاویدی شي. همدا رنگه د سطحی y - z سره په څنګ لور ګریدلی شي. د مرکز نه وتلي اعظمی محوری بار کوم چې کالم یې وړلی شي وټاکي، پخوا لدې چې کالم ګروپ شي او یا د کالم مواد بیلد سټرس ته ورسېږي. له $s_Y = 50 \text{ ksi}$ کار واخلي.

حل (SOLUTION)

y-y axis buckling
(b)

د اتکاء له شرایطو داسې معلومېږي چې د کالم چلند په دې شان دی کوم چې په سر کې پېښ شوی او په بنسټ برخه کې کلک تړل شوی، او یو محوری بار P ورباندې پلي شوي، انځور 13-17b. په محور $x-x$ کالم په سر برخه کې آزاد دی او په بنسټ کې کلک تړل شوی، او محوری بار P او مؤمنت $M = P(9 \text{ in.})$ دواړه ورباندې پلي شوي دی، انځور 13-17c.



x-x axis yielding
(c)

کروپیدل په محور y-y. له انځور 13-10d د اوږدوالي مؤثر فکتور $K_y = 0.7$ ، نو

$(KL)_y = 0.7(12)\text{ft} = 8.40 \text{ ft} = 100.8 \text{ in.}$ د ضمیمې B څخه د ارزښت د $W8 \times 40$ برخې لپاره پیدا کوو او بیا له معادله 13-11، څخه مور لرو:

$$(P_{cr})_y = \frac{\pi^2 E I_y}{(KL)_y^2} = \frac{\pi^2 [29(10^3) \text{ ksi}](49.1 \text{ in}^4)}{(100.8 \text{ in.})^2} = 1383 \text{ kip}$$

انځور 13-17

پیلدینګ په محور x-x (x-x Axis Yielding). له انځور 13-10b ارزښت د $K_x = 2$

نو $(KL)_x = 2(12) \text{ ft} = 24 \text{ ft.}$ بیا د ضمیمې B جدول څخه مور لرو $A = 11.7 \text{ in}^2$

او $c = 8.25 \text{ in.}/2 = 4.125 \text{ in.}$ د سیکنټ فورمول پلي کوو:

$$\sigma_Y = \frac{P_x}{A} \left[1 + \frac{ec}{r_x^2} \sec \left(\frac{(KL)_x}{2r_x} \sqrt{\frac{P_x}{EA}} \right) \right]$$

$$50 \text{ ksi} = \frac{P_x}{11.7 \text{ in}^2} \left[1 + \frac{9 \text{ in.} (4.125 \text{ in.})}{(3.53 \text{ in.})^2} \sec \left(\frac{(288 \text{ in.})}{2(3.53 \text{ in.})} \sqrt{\frac{P_x}{29(10^3) \text{ ksi} (11.7 \text{ in}^2)}} \right) \right]$$

$$585 = P_x [1 + 2.979 \sec(0.0700 \sqrt{P_x})]$$

د P_x حل په تکراری متنوعو هڅو، له خوا ټاکل کیدی شي، په یاد ولری چی هغه څه چی په قوس د سیکنت کی دی، په ریډیان سره دی، او موږ لرو:

$$P_x = 115 \text{ kip}$$

Ans.

څرنګه چی دا ارزښت له $(P_{cr})_y = 1383 \text{ kip}$ لږ دی، نو کالم به په $x-x$ محور ونږیږي.

13.5* غیر ایلستیکی کروپیدل (INELASTIC BUCKLING)

د انجینری په پرکټس کې، کالمونه د ښکېلو په وخت کې ، په عمومي ډول د رامینځته شویو سټریسونوله مخی طبقه بندي کیږي. **اورده نری** کالمونه کله چی ټیلوهونکی سټریسونه یی ایلستیکی پاتی وی، بی ثباته کیږي. هغه ښکېدل چی پینځیږي د **ایلستیک کروپیدو** په نوم یادېږي. **منځمهاله کالمونه** د غیر ایلستیک کروپیدو له امله ښکېږي، پدې معنی چی په ښکېدو کې ټیلوهونکی سټریسونه د موادو له پروپورشنل یا متناسب حد (proportional limit) څخه ډیر دی . **اولند کالمونه** چی ځینی وخت **ستنی** یا **پایي (posts)** هم بلل کیږي، نه بی ثباته کیږي، بلکه مواد په ساده ډول بیلد کوي یا ماتېږي.

د اویلر (Euler) معادلی پلي کول په کالم کې اړتیا لري چی سټرس د موادو د بیلد نقطی څخه لاندی پاتی شی (په حقیقت کې له متناسب حد څخه) کله چی کالم کروپ کیږي، نو دا معادله یوازی په اورده کالم پلي کیدی شی. په عمل کې، په عمومی صورت، ډیری کالمونه منځنی اوردوالی لري. د دی ډول کالمونو چلند مطالعه کولو یوه لاره داده چی د اویلر فورمول تعدیل شي تر څو هغه د غیر ایلستیکی کروپیدو لپاره و کارول شي.

د دی لپاره چی دا وښیې چی دا څنګه ترسره کیدی شي، مواد چی د سټریس-سټرین ډایگرام یی په انځور 13-18a کې ښودل شوي په پام کې ونیسی . دلته متناسب حد S_{pl} دی او د ایلستیستی



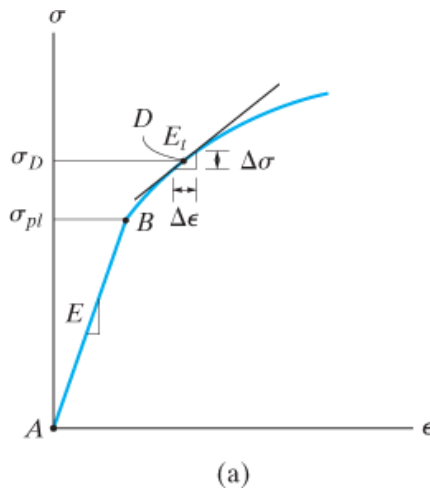
ماجولس ، یا میلان د کرښی AB ، عبارت دی په E . که چیری د کالم د نازکتوب تناسب له متناسب حد $(KL/r)_{pl}$ څخه کم وي ، نو بیا د ایلر پورمول له مخی بحرانی سټریس په کالم کی به له متناسب حد S_{pl} څخه لوی وي تر څو کالم کروپ شي.



دا بوم د بار د زیاتوالي له امله کروپه او ړنگه شوی. محلي ماتیدل په انځور کی وویښي.

د مثال په ډول، فرض کړئ که چیرې د نازکتوب حد د یو کالم د $(KL/r)_{pl} < (KL/r)_1$ وي، اړونده بحرانی ستریس یی $s_D > s_{pl}$ ، وی، انځور 13-18. کله چې کالم د کروپیدو په حالت کی وي، د ستریس او سترین بدلون چې په کالم کی واقع کیږي به په یوه کوچنی حد د Ds او De کی وي، نو د ایلیستیکی ماجولس یا د موادو سختی په دې حد کی د دوی د **مماس ماجولس**

$E_t = Ds/De$ (tangent modulus) په توگه اخیستل کیدی شي. په بل عبارت، کالم د ړنگیدو په وخت کی، داسې چلند کوي لکه چې د داسې موادو څخه جوړ شوی وی چې تیتیه سختی لري د هغه په پرتله چې په ایلیستیکی ډول چلند کوي، $E_t < E$.



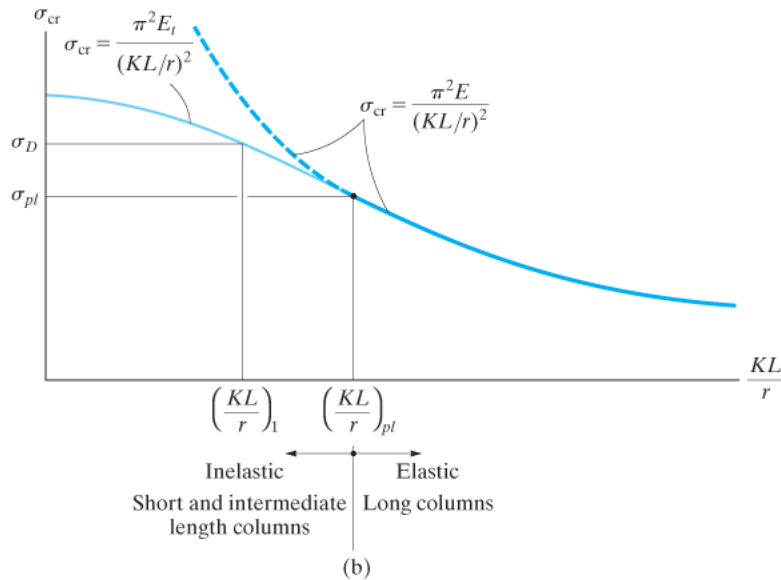
انځور 13-

په عموم ډول، څنگه چې د نریوالی تناسب (KL/r) د کمیدو په لوردوام ولري، د کالم لپاره به بحرانی ستریس د لوروالی په لوردوام ومومي؛ او له $s - e$ ډیاگرام څخه، د موادو لپاره به د تنجنټ ماجولس (*tangent modulus*) اندازه کمه شي. د دې مفکوری کارولو لپاره مور کولی شو د اویولر معادله تعدیل کړو ترڅو د غیر ایلیستیکی کروپیدل دلته شامل کړو، نو د E په ځای به د موادو لپاره (*tangent modulus*) E_t وکاروو، نو دا به په لاندی ډول وی

$$\sigma_{cr} = \frac{\pi^2 E_t}{(KL/r)^2} \tag{13-20}$$

دا د تنجنت ماجولس په نامه یا د **انگسر معادله (Engesser equation)** یاده شوي . هغه په کال 889 کی د اف انگسر (F. Engesser) له خوا وړاندیز شوی. ددی معادلی پلات د منځني او لنډ اوږدوالي کالمونو لپاره کوم چی له داسي موادو جوړ شوي چی ستریس- سترین ډیاگرام $s-e$ یي په انځور 13-18a کی دی په انځور 13-18b ، کی بنودل شوی.

څنگه چی مخکي وویل شول، هیڅ حقیقي کالم په بشپړ ډول مستقیم نه شي گڼل کیدی، یا دا چی په خپل مرکزي محور کی بار شوی وی، لکه څنگه چی دلته فرض شوی، او له همدې امله دا واقعا خورا ستونزمنه ده چی یو داسی بیان رامینځته کړو چی هغه به بشپړه توگه د غیر ایلستیک کروپیدو تحلیل چمتو کړی. له دې سره سره، د ډیری کالمونو تجربوي ازموینی، چی هر یو یي د خیالی کالم سره نږدې دی، بنودلې چی معادله 13-20 د کالم بحرانی سترس په نسبی دقیقه توگه وړاندوینه کوي. سربیره پردې، د تنجنت ماجولس چی د کالم غیر ایلستیک چلند تشریح کوی، نسبتا اسانه تطبیق کیری. *



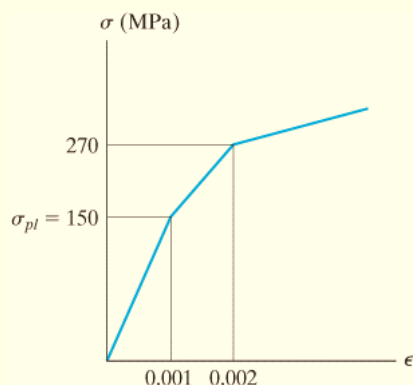
انځور 13-18 (تکرار)

* نوری تیوري گانی، لکه د شنلي تیوری (Shanley's theory) د کالمونو غیر ایلستیک کروپیدلو چلند بیانولو لپاره شتون لري. نور تفصیلات په دی اړه د کالم د ثبات اړوند کتابونو کی موندلی شی .

مثال

مثال 13.5

یو ډکه میله 30 mm قطر او 600 mm اوږدوالي لری. دا له داسی موادو جوړه شوی چی د سترس-سټرین ډایگرام یې په انځور 13-19 کی ښودل شوي. که چیری دا د یو داسی کالم لپاره وکارول شي چی هغه پین ټرنډونکی ولری، اعظمی بحرانی باریي وټاکي.



انځور 13-19

حل (SOLUTION)

د جایریشن شعاع یې مساوی دي په

$$r = \sqrt{\frac{I}{A}} = \sqrt{\frac{(\pi/4)(15 \text{ mm})^4}{\pi(15 \text{ mm})^2}} = 7.5 \text{ mm}$$

او له همدی امله د نازکی تناسب یې عبارت دی په

$$\frac{KL}{r} = \frac{1(600 \text{ mm})}{7.5 \text{ mm}} = 80$$

معادله 13-20 پلی کوو، مور لرو

$$\sigma_{cr} = \frac{\pi^2 E_t}{(KL/r)^2} = \frac{\pi^2 E_t}{(80)^2} = 1.542(10^{-3}) E_t \quad (1)$$

لمري به مور فرض کړو چی بحرانی سترس ایلستیکی دی. له انځور 13-19 لرو

$$E = \frac{150 \text{ MPa}}{0.001} = 150 \text{ GPa}$$

تطبيق د معادلی 1 کیري:

$$\sigma_{cr} = 1.542(10^{-3})[150(10^3)] \text{ MPa} = 231.3 \text{ MPa}$$

له دی امله چی $s_{cr} > s_{pl} = 150 \text{ MPa}$ دی، نا ایلستیکی کروپیدل واقع کیري.

له دوهمی برخی د $s-e$ ډایگرام انځور 13-19، مور کولای شوی چی ټنجانټ ماجولس وټاکو

$$E_t = \frac{\Delta\sigma}{\Delta\epsilon} = \frac{270 \text{ MPa} - 150 \text{ MPa}}{0.002 - 0.001} = 120 \text{ GPa}$$

د معادلی 1 تطبیق راکوي

$$\sigma_{cr} = 1.542(10^{-3})[120(10^3)] \text{ MPa} = 185.1 \text{ MPa}$$

څرنګه چې دا عدد د 150 MPa او 270 MPa په منځ کې دی، نو دا بیا حتمي بحرانی سټرس دی.

بحرانی بار په میله عبارت دی په:

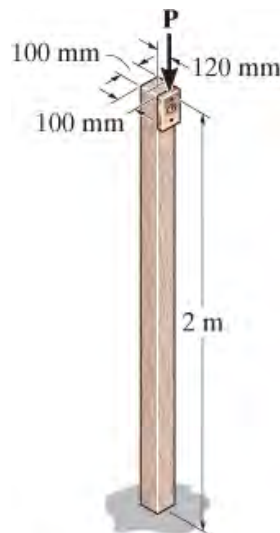
$$P_{cr} = \sigma_{cr}A = 185.1(10^6) \text{ Pa}[\pi(0.015 \text{ m})^2] = 131 \text{ kN}$$

Ans.

سوالونه

PROBLEMS

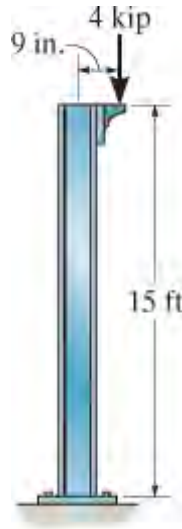
س 13-46. یو د لرګیو کالم په بنسټ کې کلک تړل شوي او په سر کې آزاد دي. بار P د کالم په څنډه کې پلي شوي، پرته له دې چې کالم د کروپیدو یا بیلدینګ په واسطه له مینځه لاړ شي، P وټاکي. $E_w = 13 \text{ GPa}$, $s_y = 55 \text{ MPa}$.



س 13-46

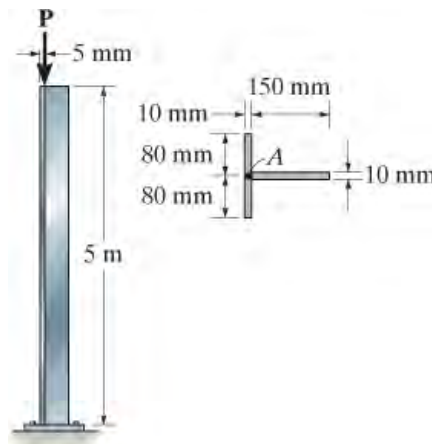
س 13-47. یو $W 10 \times 12$ د ساختمانی فولادو A-36 کالم د 4 kip باره لپاره جوړ شوی دی. که چیرې کالم په بنسټ کې کلک تړل شوی وي، او په سر برخه کې آزاد وي، د خوځیدلو بیخایه کیدنه په سر د کالم کې په اړخ لوری وټاکي.

س 13-48* یو W 10 X 12 د ساختمانی فولادو A-36 د 4 kip باره لپاره جوړ شوی دی. که چیری کالم په بنسټ کی کلک تړل شوی وی، او آزاد په سر کی وی، اعظمی سټریس په کالم کی له دی باره معلوم کړی.



س 13-47/48

س 13-49 یو د المونیم کالم په بنسټ کی کلک تړل شوی او په سر کی آزاد دي. بار P کوم چی کیدی شی په A کی پلی شی، پرته له دی چی کالم د کروپیدو یا بیلدینگ په واسطه له مینځه لاړ شی، وټاکي. د خونديتوب فکتور 3 د کروپیدو او بیلد لپاره وگنی. $E_{al} = 70\text{GPa}$, $s_Y = 95\text{ MPa}$.



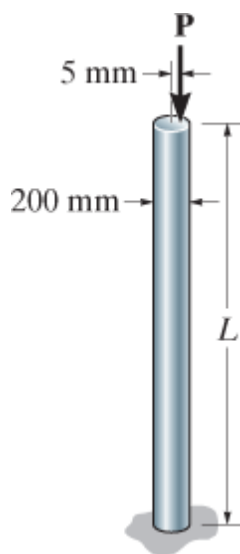
س 13-49

س 13-50 یو کالم د منځمهاله اوږدوالی کالم کروپ کیری کله چی ټیلوهونکی سټریس 40 ksi شي. که چیری د نازکوالی تناسب 60 وي، د تنجنت ماجولس وټاکي.

س 13-51. د المونيم ميله په بنسټ كې كلكه تړل شوي او په سر كې آزاده ده. له مركز وتلي بار $P = 200 \text{ kN}$ ورباندې پلي شوي، تر ټولو لوي د منلو وړ اوږدوالي L د ميلي داسې وټاكي، پرته له دې چې كالم د كروپيدو يا بيلدينگ په واسطه له مينځه ولاړ شي.

$$E_{al} = 72 \text{ GPa}, s_Y = 410 \text{ MPa}$$

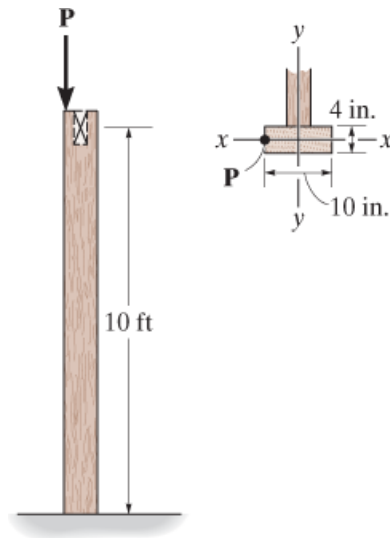
س *13-52. د المونيم ميله په بنسټ كې كلكه تړل شوي او په سر كې آزاده ده. كه چيري د ميلي اوږدوالي $L = 2 \text{ m}$ وي، بار P كوم چې كيدي شي په ميله پلي شي وټاكي، پرته له دې چې ميله د كروپيدو يا بيلدينگ په واسطه له مينځه ولاړه شي. همدارنگه د خوځيدلو لوي بيخايه كيدنه د ميلي په اړخ لور كې د بار له امله وټاكي. $E_{al} = 72 \text{ GPa}, s_Y = 410 \text{ MPa}$.



س 13-50/51/52

س 13-53. فرض كړي چې د لرگيو كالم په بنسټ او سر برخه كې په پين وصل شوي دي. اعظمي له مركز وتلي بار P كوم چې كيدي شي په كالم پلي شي وټاكي، پرته له دې چې كالم د كروپيدو يا بيلدينگ په واسطه له مينځه ولاړه شي. $E_w = 1.8(10^3) \text{ ksi}, s_Y = 8 \text{ ksi}$.

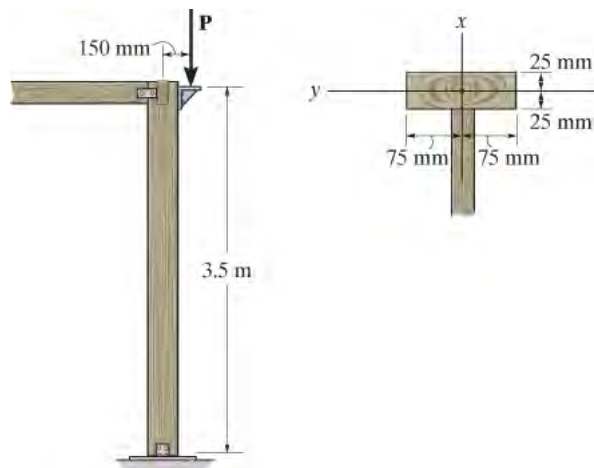
س 13-54. فرض كړي چې د لرگيو كالم په بنسټ او سر برخه كې په پين تړل شوي د $x-y$ محور د خوځيدلو لپاره، او كلك تړل شوي په بنسټ كې او ازاد دي به سر كې د $y-y$ خوځيدو لپاره. اعظمي له مركز وتلي بار P كوم چې كيدي شي په كالم پلي شي وټاكي، پرته له دې چې كالم د كروپيدو يا بيلدينگ په واسطه له مينځه ولاړه شي. $E_w = 1.8(10^3) \text{ ksi}, s_Y = 8 \text{ ksi}$.



س 13-53/51

س 13-55. د لرگیو کالم په بنسټ او سر برخه کی په پین تړل شوی. له مرکز وتلي بار $P = 10 \text{ kN}$ ورباندی پلی شوي، څیرنه وکړي چی کالم د دی بار ملا تر کړی شي که نه، پرته له دی چی کالم د کروپیدو یا بیلیدینگ په واسطه له مینځه ولاړ شي. $E = 10 \text{ GPa}$, $s_Y = 15 \text{ MPa}$

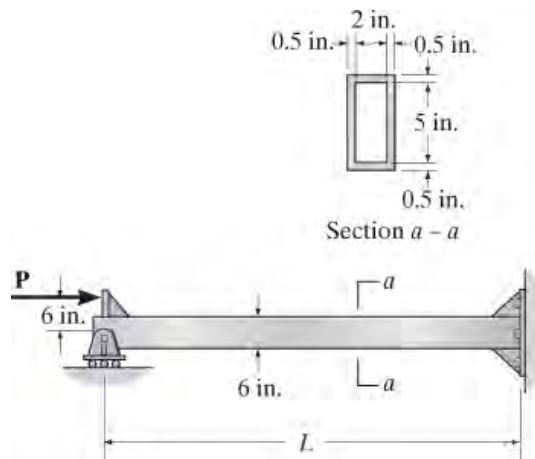
س 13-56*. د لرگیو کالم په بنسټ او سر برخه کی په پین تړل شوی. اعظمی له مرکز وتلی بار P کوم چی کیدی شی په کالم پلی شي وتاکي، پرته له دی چی کالم د کروپیدو یا بیلیدینگ په واسطه له مینځه ولاړه شي. $E = 10 \text{ GPa}$, $s_Y = 15 \text{ MPa}$



س 13-55/56

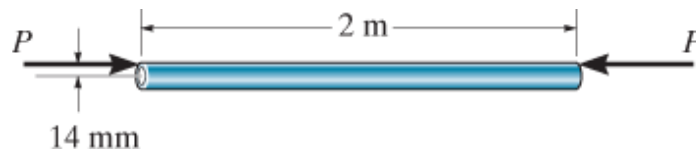
س 13-57. د A992 فولادو خالي کالم چي مستطیلی غوڅه برخه لري په دواړو پایلوکی پین شویدی. که چیری اورډوالي یې $L = 14 \text{ ft}$ وی، اعظمی له مرکز وتلی بار P کوم چي کیدی شی په کالم پلی شي وټاکي، پرته له دی چي کالم د کروپیدو یا بیلدینګ په واسطه له مینځه ولاړشي.

س 13-58. د فولادو A992 خالي کالم چي مستطیلی غوڅه برخه لري په دواړو پایلوکی پین شویدی. که چیری له مرکز وټلي قوه $P = 45 \text{ kip}$ ورباندی پلی شوي وی، تر ټولو لوي د منلو وړ اورډوالي L د کالم وټاکي، پرته له دی چي کالم د کروپیدو یا بیلدینګ په واسطه له مینځه لاړ شي.



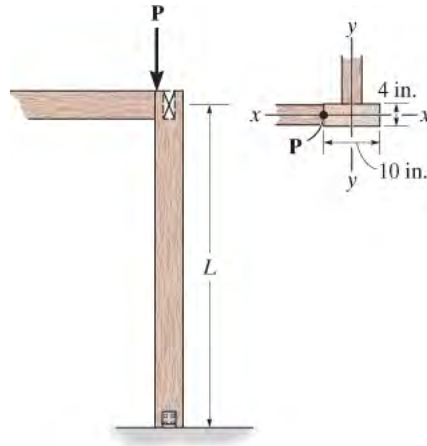
س 13-57/58

س 13-59. دا لاندی تیوب چي بهرنی قطر یې 35 mm او د دیوال پندوالی یې 7 mm دي له میسو جوړ شوي. اعظمی له مرکز وتلی بار P کوم چي کیدی شی په کالم پلی شي وټاکي، پرته له دی چي کالم و نړیږي. تیوب په دواړو پایلوکی پین اتصال لري. $E = 120 \text{ GPa}$, $s_Y = 750 \text{ MPa}$



س 13-59

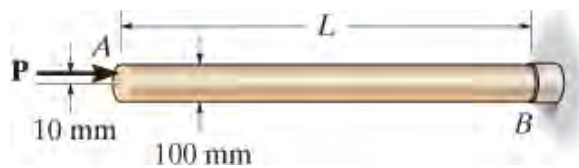
س *13-60. د لرگیو کالم په بنسټ او سر برخه کی په پین وصل شوي دی. که چیری اورډوالي یې $L = 5 \text{ ft}$ وی، اعظمی له مرکز وټلي بار P کوم چي کیدی شی په کالم پلی شي وټاکي، پرته له دی چي کالم د کروپ شوی او یا بیلدینګ وکړي. $E_w = 1.8(10^3) \text{ ksi}$, $s_Y = 8 \text{ ksi}$



س 13-60

س 13-61. د برنجو میله په بنسټ کی کلکه تړل شوي او په سر کی آزاده ده. له مرکز وټلي بار $P = 200 \text{ kN}$ ورباندی پلی شوي. تر ټولو لوي د منلو وړ اوږدوالي L د میلی داسی وټاکي، تر څو میله کروپه او یا بیلد ونه کړي. $E_{br} = 101 \text{ GPa}$, $s_Y = 69 \text{ MPa}$

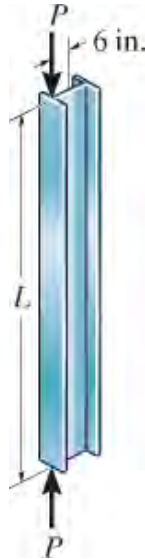
س 13-62. د برنجو میله په بنسټ کی کلکه تړل شوي او په سر کی آزاده ده. که چیری اوږدوالي یې $L = 2 \text{ m}$ وی، اعظمی له مرکز وټلی بار P کوم چی کیدی شی په میله پلی شي وټاکي، پرته له دی چی میله کروپه او یا بیلد وکړي. همدارنگه د خوځیدلو لوي بیخایه کیدنه د میلی په اړخ لور کی د بار له امله وینیی. $E_{br} = 101 \text{ GPa}$, $s_Y = 69 \text{ MPa}$



س 13-61/62

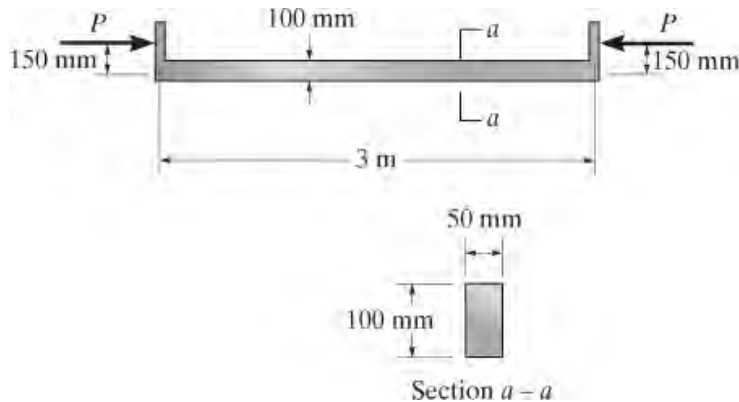
س 13-63. یو $W 12 \times 26$ ساختمانی A992 فولادو کالم په دواړو پایلوکی پین اتصال لري. اوږدوالي یې $L = 11.5 \text{ ft}$ دي. اعظمی له مرکز وټلی بار P کوم چی کیدی شی په میله پلی شي وټاکي، پرته له دی چی میله کروپه او یا بیلد وکړي. دا ارزښت له محوری بحرانی بار P' کوم چی په مرکز ثقل د کالم کی پلی کیدی شی په پرتله کړي.

س 13-64* یو $W 14 \times 30$ د ساختمانی A-36 فولادو کالم په دواړو پایلوکی پین اتصال لري. اوږدوالي یې $L = 10 \text{ ft}$ دي. اعظمی له مرکز وټلی بار P کوم چی کیدی شی په میله پلی شي وټاکي، پرته له دی چی میله کروپه او یا بیلد وکړي. دا ارزښت له محوری بحرانی بار P' کوم چی په مرکز د ثقل د کالم کی پلی کیدی شی پرتله کړي.



س 13-63/64

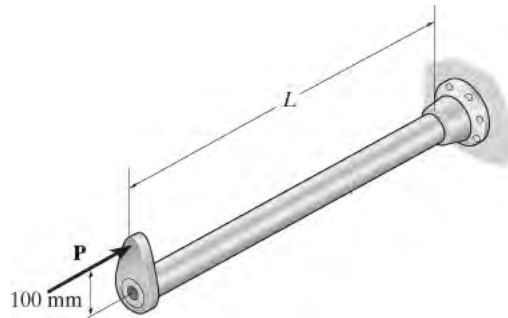
س 13-65. اعظمی له مرکز وټلی بار P د 2014-T6 المونیم الیاژه جوړه شوی میلی لپاره معلوم کړي. پرته له دی چی میله کروپه او یا بیلد وکړي. دواړه پایلی د میلی پین اتصال لري.



س 13-65

س 13-66. د 6061-T6 المونیم الیاژه ډک شفت په یوه پای کی کلک تړل شوي او په بل پای کی آزاد دي. که د شفت قطر 100 mm وی، تر ټولو لوي د منلو وړ اوږدوالي L د شفت داسی وټاکي، کله چی له مرکز وټلي قوه $P = 80 \text{ kN}$ ورباندی پلی شي.

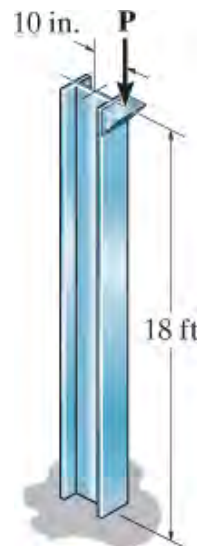
س 13-67. د 6061-T6 المونیم الیاژ جامد شفت په یوه پای کی کلک تړل شوي او په بل پای کی آزاد دي. که چیری د شفت اوږدوالي $L = 3 \text{ m}$ وي او له مرکز وټلي قوه $P = 60 \text{ kN}$ ورباندې پلي شي، د هغه لږ تر لږ اړین قطر وټاکي.



س 13-66/67

س 13-68*. یو W 14 X 53 ساختمانی فولادو کالم په بنسټ کی کلک تړل شوی او په سر کی آزاد دی. که چیری $P = 75 \text{ kip}$ وي، د کالم په سر کی داړخ بیخایه کیدنه او اعظمی ستیریس په کالم کی وټاکي.

س 13-69. یو W 14 X 53 ساختمانی فولادو کالم په بنسټ کی کلک تړل شوی او په سر کی آزاد دی. اعظمی له مرکز وټلي بار P کوم چی کیدی شی په کالم پلي شي وټاکي، پرته له دی چی کالم کروپ او یا بیلد وکړي. $E_{st} = 29(10^3) \text{ ksi}$, $s_Y = 50 \text{ ksi}$.

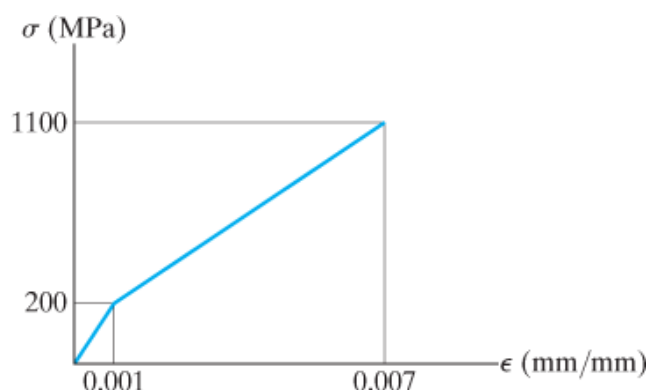


س 13-68/69

س 13-70. د یو ډول موادو ستریس-سترین ډایگرام په دو کرښو اټکل شوي دي. که چیرې یو میله چې 80 mm قطر لري او اوږدوالي یې 1.5m دي، له دې موادو جوړ شوي وي. اعظمی بحراني بار معلوم کړي، په داسې حال کې چې میله په دواړه پایلو کې پین اتصال ولري. فرض کړي چې بار په محوری کرښه د میلی عمل کړي. د اینګسر معادله وکاروي.

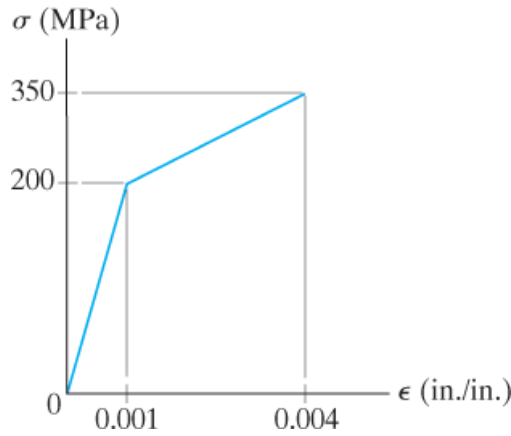
س 13-71. د یو ډول موادو ستریس-سترین ډایگرام په دو کرښو اټکل شوي دي. که چیرې یو میله چې 80 mm قطر لري او اوږدوالي یې 1.5 m دي له دې موادو جوړ شوي وي. اعظمی بحراني بار معلوم کړي، په داسې حال کې چې میله په دواړه پایونو کې کلک اتصال لري. فرض کړي چې بار په محوری کرښه د میلی عمل کړي. د اینګسر معادله وکاروي.

س *13-72. د یو ډول موادو ستریس-سترین ډایگرام په دو کرښو اټکل شوي دي. که چیرې یو میله چې 80 mm قطر لري او اوږدوالي یې 1.5m دی له دې موادو جوړ شوي وي. اعظمی بحراني بار معلوم کړي، په داسې حال کې چې میله په یوه پای کې پین او په بل پای کې کلک اتصال ولري. فرض کړي چې بار په محوری کرښه د میلی عمل کړي. د اینګسر معادله وکاروي.



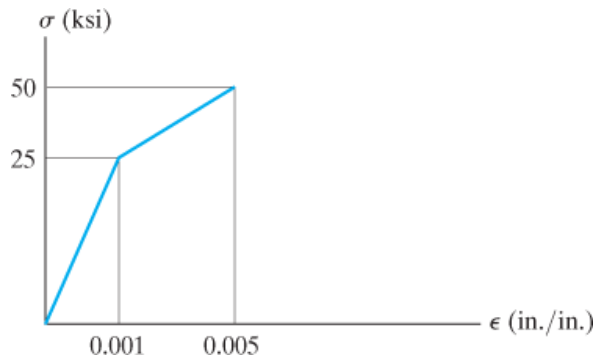
س 13-70/71/72

س 13-73. د یو کالم د موادو ستریس-سترین ډایگرام په لاندې انځور کې اټکل شوي دي. ددی کالم لپاره P/A په مقابل د KL/r کې پلات کړي.



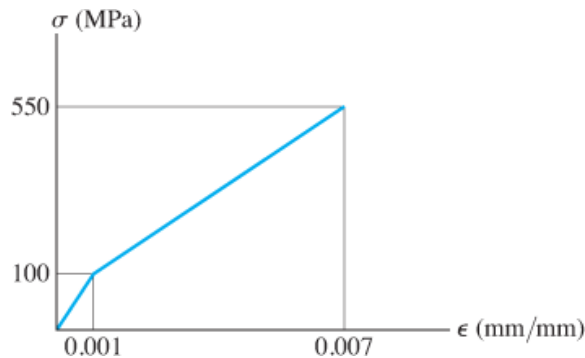
س 13-73

س 13-74. د کروپیډو منحنی P/A په مقابل د L/r د یو کالم لپاره پلات کړي . کالم په تیلوهونکي حالت کی دوه اړخیز خطي (bilinear) ستریس-سترین ډایگرام لکه څنگه چی بنودل شوي لری.



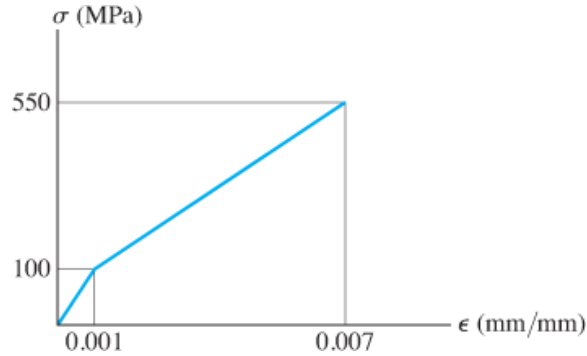
س 13-74

س 13-75. د یو ډول موادو ستریس-سترین ډایگرام په دو کرنبو اټکل شوي دي. که چیری یو میله چی 80 mm قطر لري او اوږد والي ي 1.5m دی، لدی موادو جوړ شوي وي. اعظمی بحراني بار معلوم کړي، په داسی حال کی چی میله په دواړو پایلوکی پین اتصال لري. فرض کړي چی بار په محوری کرنه د میلی عمل کړي. د اینګسر معادله وکاروي.



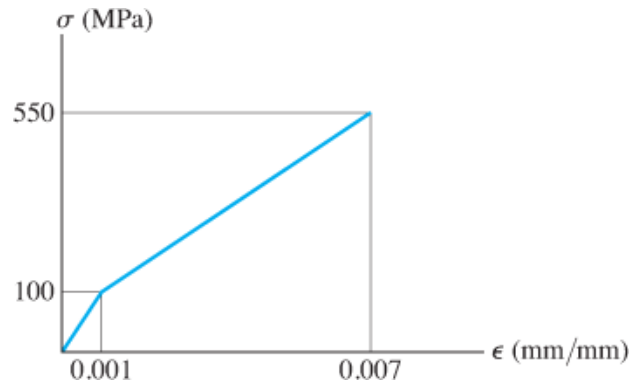
س 13-75

س 13-76* د یو ډول موادو سټریس-سټرین ډایگرام په دو کرښو اټکل شوي دي. که چیرې یو میله چې 80 mm قطر لري او اوږدوالي یې 1.5m دي، له دې موادو جوړ شوي وي. اعظمی بحراني بار معلوم کړي، په داسې حال کې چې میله په دواړو پایلو کې کلک اتصال لري. فرض کړي چې بار په محوری کرښه د میلی عمل کړي. د اینګسر معادله وکاروي.



س 13-76

س 13-77 د یو ډول موادو سټریس-سټرین ډایگرام په دو کرښو اټکل شوي دي. که چیرې یو میله چې 80 mm قطر لري او اوږدوالي یې 1.5m دي، له دې موادو جوړ شوي وي. اعظمی بحراني بار معلوم کړي، په داسې حال کې چې میله په یوه پای کې پین او په بل پای کې کلک اتصال ولري. فرض کړي چې بار په محوری کرښه د میلی عمل کړي. د اینګسر معادله وکاروي.



س 13-77

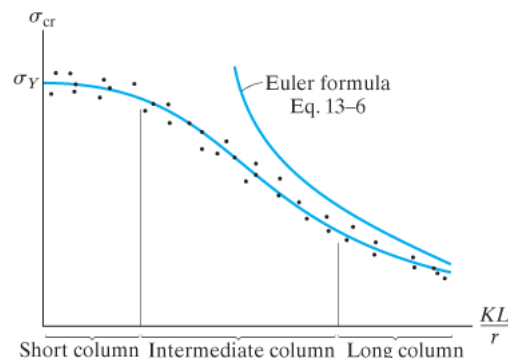
13.6* د کالم ډیزاین د متمرکز بار لپاره (DESIGN OF COLUMNS FOR CONCENTRIC LOADING)



په عملي توگه ویلی شو چی کالمونه په بشپړه توگه مستقیم ندي، او لري چی په عمده توگه د ډیری بی په دوی کی پاتي شوی سترسونه غیر یونیفورم سړیدو له امله مینځ ته راځي. همدا رنگه ، د کالمونو اتکاوی له پوره دقت سره سمون نه لری، او د بارونو پلی کیدلو تگی او د دوی د جهتونه د مطلق ډاډ وړندي. د دې ټولو اغیزو د جبران کولو لپاره، ډیری ډیزاین کوډونه داسی فورمولونه کاره وی چی له تجربو په لاس راغلی دی. له تجربو څخه په لاس راغلي ډیټا، کوم چی له لوی شمیر محوری بار شوی کالمونو د ازموینی څخه په لاس راغلی او بیا هغه ډیټا د مناسبو منحنی گانو په مرسته پلاټ شوي، ددی ارقامو او پلاټونو په مرسته د ډیزاین فارمولونه رامینځته شوي، تر څوله هغوپه ډیزاین کی تری کار واخستل شی.

د لرگیو او ورده کالمونه چی په اوږدوالي کی تکیه شوی نه دی، د ودانی د بام ملاتړ کوي.

د سوروری فلنج فولادو کالمونو لپاره د ورته ازموینو مثال په انځور 13-20 کی ښودل شوی. د دې پایلو او یو شمیر منحنی گانو پایلو چی له سیکینټ فورمول څخه ټاکل شوي، د دی دواړو ترمنځ ورته والی په پام کی ونیسی، انځور 13-16. د دې دلیل د مرکز و تلی تصادفی تناسب ec/r^2 تر او له توانایی یا قوت د کالم سره چی لري، دي. ازموینو ښودلې ده چی دا تناسب به د ډیری محوری بار شوي کالمونو لپاره له 0.1 څخه تر 0.6 پورې وي. د دی لپاره چی په ډیزاین کی د مختلفو اوږدوالي کالمونو چلند په پام کی ونیول شي، ډیزاین کوډونه معمولاً داسی فورمولونه وړاندې کوي چی د لنډ ، منحنی، او اوږده کالم ډیټا او معلوماتو سره سمون ولری. پدی لاندې مثالونو کی به ددی فورمولو استعمال په فولادی، المونیم، او لرگیو کالمونو لپاره بحث شي .



انځور 13-20

فولادی ستینی (Steel Columns). کالمونو چی د ساختمانی فولادو جوړ شوي د هغو

فارمولو پراساس کوم چی د ساختمانی ثبات څیړني کونسل (SSRC) (Structural Stability Research Council) لخوا وړاندیز شوي، کیدی شي چی ډیزاین یی تکمیل شي. په دې فورمولونو کې د خونديتوب فکتورونه پلي شوي، او د امریکا د فولادو د جوړولو انستیتوت (American Institute of Steel Construction) (AISC) لخوا د ودانیو جوړولو لپاره د مشخصاتو په توګه منل شوي. اساسا دا مشخصات د کالم ډیزاین لپاره دوه فارمولونه چمتو کړی، چې هر یو یی د منلو وړ اعظمی ستړیس په کالم کې د یو ځانګړي نریتوب تناسب لپاره ورکوي*.

د اوږو کالمونو لپاره د اوپلر فورمول وړاندیز شوی، د بیلګې په توګه: $s_{\max} = p^2 E / (KL/r)^2$

د دې فورمول پلي کول د خونديتوب فکتور ته اړتیا لری چی

$F.S. = 23/12 \approx 1.92$ دی. په دې توګه، د ډیزاین لپاره،

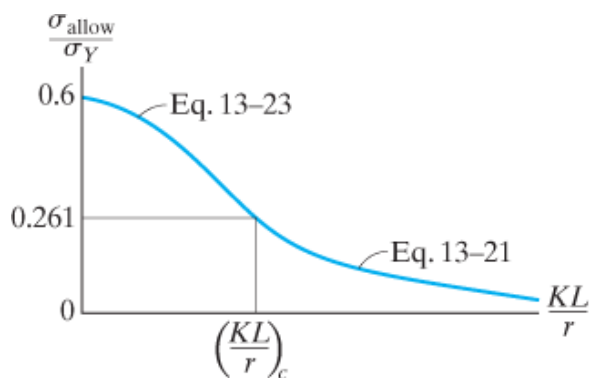
$$\sigma_{\text{allow}} = \frac{12\pi^2 E}{23(KL/r)^2} \quad \left(\frac{KL}{r}\right)_c \leq \frac{KL}{r} \leq 200 \quad (13-21)$$

لکه څنګه چې ویل شوي، دا معادله د نریتوب تناسب لپاره د تطبیق وړ ده، کوم چی د $(KL/r)_c$ ارزښت لوړ سرحد یی 200 محاسبه شوی. د تجربو له لاری ټاکل شوي چې پاتی شوی ټیلوهونکی ستړیسونه په رول شوي فولادي برخو کې ممکن په اندازه د نیمایي د بیلد ستړیس شتون ولري. څرنګه چې د اوپلر فورمول یوازي د ایلسټیک لرونکي موادو چلند لپاره کارول کیدی شي، نو که چیري په کالم کې ایښودل شوي اضافي ستړیس له $1/2\sigma_Y$ څخه ډیر وي بیا هغه معادله نشی پری پلیکیدی. له همدې امله د $(KL > r)_c$ ټیټ حد ارزښت په لاندې ډول ټاکل کیري:

$$\frac{1}{2}\sigma_Y = \frac{\pi^2 E}{(KL/r)_c^2} \quad \text{or} \quad \left(\frac{KL}{r}\right)_c = \sqrt{\frac{2\pi^2 E}{\sigma_Y}} \quad (13-22)$$

کالمونه چی د نریتوب (slenderness ratio) تناسب یی له $(KL > r)_c$ څخه کوچنی وي له تجربوي حاصل شوی فورمول چی پارابولیک دی کار اخلي چی دا لاندی شکل لري

$$\sigma_{\max} = \left[1 - \frac{(KL/r)^2}{2(KL/r)_c^2} \right] \sigma_Y$$



انځور 13-21

ځکه چی کارول ددی فورمول د اوږدو کالمونو لپاره ډیری نیمګړتیاوی لري ، نو دا په یو خوندیتوب فکتور تقسیم شوي او په دی ډول دا فکتور تعریف شوي

$$F.S. = \frac{5}{3} + \frac{3}{8} \frac{(KL/r)}{(KL/r)_c} - \frac{(KL/r)^3}{8(KL/r)_c^3}$$

دلته لیدل کیږي چی $F.S. = 5/3 \approx 1.67$ د $KL/r = 0$ او دا زیاتوالي مومي $F.S. = 23/12 \approx 1.92$ په $(KL/r)_c$ کی. له همدی امله د ډیزاین موخو لپاره

$$\sigma_{allow} = \frac{\left[1 - \frac{(KL/r)^2}{2(KL/r)_c^2} \right] \sigma_Y}{(5/3) + [(3/8)(KL/r)/(KL/r)_c] - [(KL/r)^3/8(KL/r)_c^3]} \quad (13-23)$$

د پرتله کولو لپاره 13-21 او 13-23 معادلي په انځور 13-21 کی پلاټ شوي

* د AISC اوسنی کوډ انجنیرانو ته دا توان ورکوي چی د ډیزاین لپاره له دوو طریقو:

د بار او مقاومت فکتور ډیزاین یعنی (Load and Resistance Factor Design)

د منلو وړ سټریس ډیزاین . څخه یو و کارولي

یا Allowable Stress Design شو.

المونيم ستنی (Aluminum Columns).

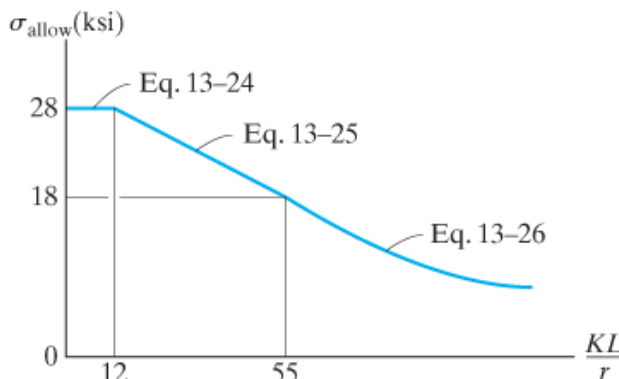
د ساختماني المونيم لپاره د کالم ډيزاين د دريو معادلو په کارولو سره، چې د المونيم اتحاديي لخوا مشخص شوی، هر یو د یو سلسله ځانگړي نريټوب تناسب لپاره د تطبيق وړ دي. څرنګه چې څو ډوله د المونيم الياژ شتون لري، د هر ډول لپاره ځانگړی فورمولونه شته. د يوه عام المونيم الياژ (2014-T6) لپاره د ودانيو په جوړولو کې، لاندی فورمولونه کارول کيږي:

$$\sigma_{\text{allow}} = 28 \text{ ksi} \quad 0 \leq \frac{KL}{r} \leq 12 \quad (13-24)$$

$$\sigma_{\text{allow}} = \left[30.7 - 0.23 \left(\frac{KL}{r} \right) \right] \text{ ksi} \quad 12 < \frac{KL}{r} < 55 \quad (13-25)$$

$$\sigma_{\text{allow}} = \frac{54\,000 \text{ ksi}}{(KL/r)^2} \quad 55 \leq \frac{KL}{r} \quad (13-26)$$

دا معادلی په انځور 13-22 کې ترتيب شوي دي. لکه څنګه چې بنودل شوي، لمړي دوی د مستقيمو کرښو استازيتوب کوي چې د لنډ او منځنی حد کالمونو داغيزو ماډل کولو لپاره کارول کيږي. دريم فورمول د ايلر فورمول ورته بڼه لري او د اوږدو کالمونو لپاره کارول کيږي.



انځور 13-22

لرګيو ستنی (Timber Columns).

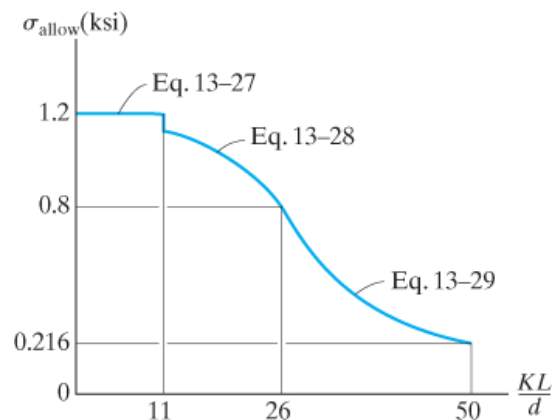
ستنې چې د لرګيو ودانيو په جوړولو کې کارول کيږي، اکثرا هغه فورمولونه چې د ملي ځنګل محصولاتو (NFPA) (National Forest Products Association) له خوا او يا د لرګيو جوړونې امریکايي انستيتيوټ (AITC) (American Institute of Timber Construction) لخوا خپاره شوي په ډيزاين کې کارول کيږي. د مثال په توګه، د منلو وړ سټريس لپاره د NFPA فورمول د لنډ، منځنی او اوږدو ستنو چې مستطیلی غوڅه برخه لري او ابعاد یې b او d دي، چېرته چې $d < b$ ، ده په لاندی ډول دی:

$$\sigma_{\text{allow}} = 1.20 \text{ ksi} \quad 0 \leq \frac{KL}{d} \leq 11 \quad (13-27)$$

$$\sigma_{\text{allow}} = 1.20 \left[1 - \frac{1}{3} \left(\frac{KL/d}{26.0} \right)^2 \right] \text{ ksi} \quad 11 < \frac{KL}{d} \leq 26 \quad (13-28)$$

$$\sigma_{\text{allow}} = \frac{540 \text{ ksi}}{(KL/d)^2} \quad 26 < \frac{KL}{d} \leq 50 \quad (13-29)$$

دلته داسې انگيرل کيږي چې د لرگي د ايلستيسي ماچولس $E_w = 1.8 (10^3) \text{ ksi}$ او د منلو وړ تيلوهونکي سټريس يې 1.2 ksi د دانې (grain) سره موازي دي. په ځانگړې توگه، معادله 13-29 د اويلر فورمول ورته بڼه لري، د خونديتوب فکتور 3 لري. دا درې معادلې په انځور 13-23 کې رسم شوي .

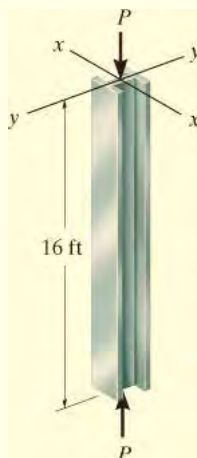


انځور 13-23

مثالونه

مثال 13.6

د A992 فولادو یو W10 x 100 غری د پین اتکا شوي کالم په توگه کارول کيږي، انځور-13-24. د AISC کالم ډیزاین فارمولونو په کارولو سره، ترټولو لوی بار، کوم چی کالم یې په خوندي بڼه ملاتړ کړی شي، وټاکئ.



انځور 13-24

حل (SOLUTION)

له هغه جدول چی په ضمیمه B کی شته دا لاندی دیتا د برخی W10 X 100 په لاس راغلی:

$$A = 29.4 \text{ in}^2 \quad r_x = 4.60 \text{ in.} \quad r_y = 2.65 \text{ in.}$$

څرنکه چی $K = 1$ د دواړو x او y محورونو کروپیدو لپاره دی، د نریټرب تناسب زیات دی که چیری r_y و کارول شي. په دی توگه لیکلي شو:

$$\frac{KL}{r} = \frac{1(16 \text{ ft})(12 \text{ in./ft})}{2.65 \text{ in.}} = 72.45$$

له معادلی 13-22 مور لرو:

$$\begin{aligned} \left(\frac{KL}{r}\right)_c &= \sqrt{\frac{2\pi^2 E}{\sigma_Y}} \\ &= \sqrt{\frac{2\pi^2 [29(10^3) \text{ ksi}]}{50 \text{ ksi}}} \\ &= 107 \end{aligned}$$

دلته $0 < KL/r < (KL/r)_c$ دی ، نو بیا معادله 13-23 تطبیق کیري.

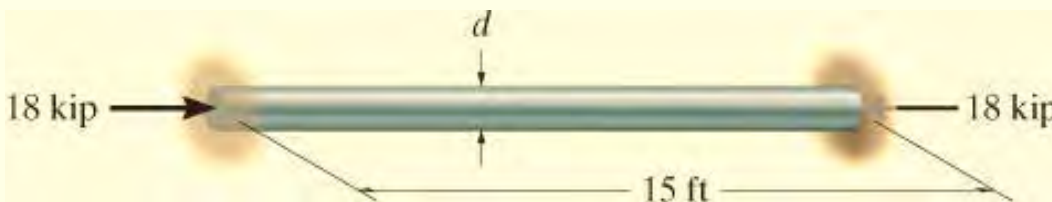
$$\begin{aligned} \sigma_{\text{allow}} &= \frac{\left[1 - \frac{(KL/r)^2}{2(KL/r)_c^2} \right] \sigma_Y}{(5/3) + [(3/8)(KL/r)/(KL/r)_c] - [(KL/r)^3/8(KL/r)_c^3]} \\ &= \frac{[1 - (72.45)^2/2(107)^2] 50 \text{ ksi}}{(5/3) + [(3/8)(72.45/107)] - [(72.45)^3/8(107)^3]} \\ &= 23.93 \text{ ksi} \end{aligned}$$

له همدی امله د منلو وړ بار په ستیني عبارت دی په:

$$\begin{aligned} \sigma_{\text{allow}} &= \frac{P}{A}; & 23.93 \text{ kip/in}^2 &= \frac{P}{29.4 \text{ in}^2} \\ & & P &= 704 \text{ kip} \end{aligned} \quad \text{Ans.}$$

مثال 13.7

په دی لاندی انځور 13-25 کی بنودل شوي فولادی میله د یو محوری بار 18 kip لپاره کارول شوي ده. که چیری $E_{st} = 29(10^3) \text{ ksi}$ او $s_y = 50 \text{ ksi}$ وی تر ټولو کوچنی قطر د میلی کوم چی د AISC له مشخصاتو سره برابر وی وټاکي. میله په دواړو پایلوکی کلکه تړل شوي ده.



انځور 13-25

حل (SOLUTION)

د گردی غوڅی برخی لپاره د جایریشن شعاع (radius of gyration) عبارت دی په :

$$r = \sqrt{\frac{I}{A}} = \sqrt{\frac{(1/4)\pi(d/2)^4}{(1/4)\pi d^2}} = \frac{d}{4}$$

معادله 13-22 پلی کوو او مور لرو

$$\left(\frac{KL}{r}\right)_c = \sqrt{\frac{2\pi^2 E}{\sigma_Y}} = \sqrt{\frac{2\pi^2[29(10^3) \text{ ksi}]}{50 \text{ ksi}}} = 107.0$$

څرنګه چې د جایریشن شعاع نامعلوم دی، نو KL/r نامعلوم دی، نو له همدې امله یو انتخاب وشي چې آیا معادله 13-21 او یا دا چې معادله 13-23 تطبیق شي. مورن به معادله 13-21 په پام کې ونیسو. د کلک تړل شوی کالم لپاره $K=0.5$ نو بیا

$$\begin{aligned} \sigma_{\text{allow}} &= \frac{12\pi^2 E}{23(KL/r)^2} \\ \frac{18 \text{ kip}}{(1/4)\pi d^2} &= \frac{12\pi^2[29(10^3) \text{ kip/in}^2]}{23[0.5(15 \text{ ft})(12 \text{ in./ft})/(d/4)]^2} \\ \frac{22.92}{d^2} &= 1.152d^2 \\ d &= 2.11 \text{ in.} \end{aligned}$$

کار واخلي له

$$d = 2.25 \text{ in.} = 2\frac{1}{4} \text{ in.}$$

Ans.

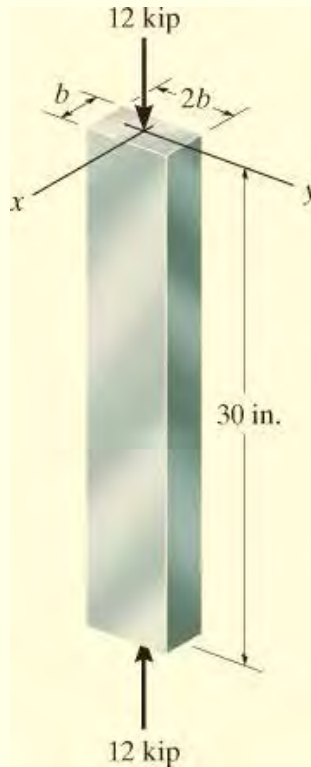
ددې ډیزاین لپاره مور باید د نریتوب نسبت (slenderness-ratio) حدود معلوم کړو،

$$\frac{KL}{r} = \frac{0.5(15 \text{ ft})(12 \text{ in./ft})}{(2.25 \text{ in.}/4)} = 160$$

څرنګه چې $107.0 < 160 < 200$ دی، نو معادله 13-21 مناسب ده.

مثال 13.8

یوه میله 30 in. اوږدوالی لري او د یوه محوری تیلوهونکی بار 12 kip لپاره کارول شوي . دا میله له المونیم 2014-T6 څخه جوړه ، او په دواړو پایلو کی په پین تړل شوی ده. د غوڅی برخی ابعاد یې وټاکي، کله چی سور یی دوه برابره د پندوالی وي.



انځور 13-26

حل (SOLUTION)

څرنګه چی $KL = 30$ in. د دواړو x او y محورونو کړوپیډلو لپاره یو شان دی، دنریتوب لوی تناسب په واسطه چی د کوچنی د جایریشن شعاع په کارولو یعنی د $I_{\min} = I_y$ منځ ته راځی.

$$\frac{KL}{r_y} = \frac{KL}{\sqrt{I_y/A}} = \frac{1(30)}{\sqrt{(1/12)2b(b^3)/[2b(b)]}} = \frac{103.9}{b} \quad (1)$$

دلته مورن باید معادلي 13-24, 13-25 او يا 13-26 و کاروو. څرنګه چې مورن تر اوسه د جايريشن قيمت نه پيژنو، مورن به معادله 13-24 و کاروو.

$$\frac{P}{A} = 28 \text{ ksi}$$

$$\frac{12 \text{ kip}}{2b(b)} = 28 \text{ kip/in}^2$$

$$b = 0.463 \text{ in.}$$

د نري ضخامت تناسب چک کوو، او مورن لرو

$$\frac{KL}{r} = \frac{103.9}{0.463} = 224.5 > 12$$

له معادلي 13-26 کار اخلو، دا د اعتبار وړ ده د $KL/r \geq 55$ لپاره

$$\frac{P}{A} = \frac{54\,000 \text{ ksi}}{(KL/r)^2}$$

$$\frac{12}{2b(b)} = \frac{54\,000}{(103.9/b)^2}$$

$$b = 1.05 \text{ in.}$$

Ans.

له معادلي 1 ليکلي شو

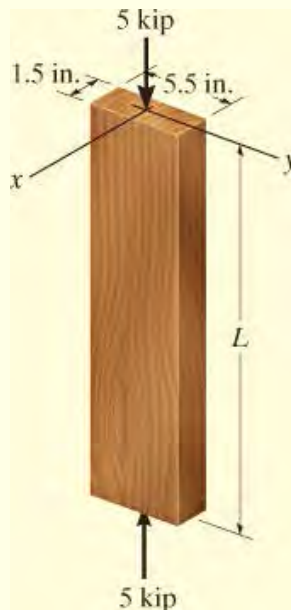
$$\frac{KL}{r} = \frac{103.9}{1.05} = 99.3 > 55 \quad \text{OK}$$

يادونه:

له $b \approx 1 \text{ in}$ څخه دا به د قناعت وړ وي چې دغوڅي برخي ابعاد 1 in. په 2 in. انتخاب کړو.

مثال 13.9

په انځور 13-27 کې یوه تخته چې د غوڅی برخی ابعاد یې 5.5 in. په 1.5 in. دی د یو محوری بار 5 kip لپاره کارول شوي ده. که فرض شی چې دا تخته په دواړو پایونو کې پین اتکاوی لري، تر ټولو لوی د منلو وړ اوږدوالي L چې د NFPA مشخصاتو سره مطابقت وکړي، وټاکي.



انځور 13-27

حل (SOLUTION)

په لیدو، دا تخته په y محور کړوپیډل لري. په NFPA معادلو کې $d = 1.5$ in. فرض کوو چې معادله 13-29 دلته مطابقت کوي، مور لرو

$$\frac{P}{A} = \frac{540 \text{ ksi}}{(KL/d)^2}$$

$$\frac{5 \text{ kip}}{(5.5 \text{ in.})(1.5 \text{ in.})} = \frac{540 \text{ ksi}}{(1 L/1.5 \text{ in.})^2}$$

$$L = 44.8 \text{ in.}$$

Ans.

$$\frac{KL}{d} = \frac{1(44.8 \text{ in.})}{1.5 \text{ in.}} = 29.8$$

دلته

څرنګه چې $26 < KL/d \leq 50$ دی، دا حل د قبول وړ دي.

سوالونه

PROBLEMS

س 13-78. ترټولو لوي اوږدوالي د ساختماني $W10 \times 12$ برخې، A992 فولادو مشخص کړئ، که چيرې د پين په واسطه اتکاء شوی وي، او يو محوري ټيلوهونکی بار 28 kip ورباندې پلي شوي وي. د AISC معادلو نه کارواخلي.

س 13-79. له ضميمې B تر ټولو سپکه سوروره فلنج A992 فولادې کالم، کوم چې 14 ft اوږد او يو محوري بار د 40 kip ورباندې پلي شوي، مشخص کړئ. د AISC له معادلو کار واخلي. د کالم پايلونه کلک ټرل شوي دي.

س *13-80. له ضميمې B څخه تر ټولو سپکه سوروره فلنج A992 فولادې کالم، کوم چې 14 ft اوږد او يو محوري بار د 40 kip ورباندې پلي شوي، مشخص کړئ. د AISC له معادلو کار واخلي. د کالم پايلې په پين ټرل شوي دي.

س 13-81. ترټولو لوي اوږدوالي د ساختماني $W8 \times 31$ فولادو A992 برخې، که چيرې د پين اتکاوی ولري، او يو محوري بار 130 kip ورباندې پلي شوي وي، مشخص کړئ. د AISC معادلو څخه کار واخلي.

س 13-82. له ضميمې B څخه تر ټولو سپکه سوروره فلنج A992 فولادې کالم، کوم چې 12 ft اوږد او يو محوري بار د 20 kip ورباندې پلي شوي، مشخص کړئ. د AISC له معادلو کار واخلي. د کالم پايلې په پين سره ټرل شوي دي.

س 13-83. ترټولو اوږد اوږدوالي د ساختماني $W10 \times 12$ فولادو A992 برخه، که چيرې په اتکاوی کلک ټرل شوی وي، او يو محوري بار 28 kip ورباندې پلي شوي وي، معلوم کړي. د AISC له معادلو کارواخلي.

س 13-84* له ضمیمی B څخه تر ټولو سپکه سوروره فلنچ A992 فولادی کالم ، کوم چی 30 ft اوږد او یو محوری بار د 200 kip ورباندی پلی شوي، مشخص کړی. د AISC له معادلو کار واخلی. د کالم پایلی کلکی تړل شوي دي.

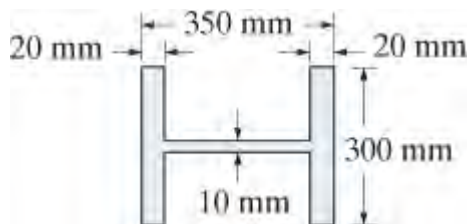
س 13-85. تر ټولو لوي اوږدوالی د ساختمانی W8 X 31 فولادو A992 برخي ، که چیری د پین په واسط اتکاوی ولري، او یو محوری بار 18 kip ورباندی پلی شوي وی، مشخص کړی. د AISC له معادلو کار واخلی.

س 13-86. له ضمیمی B څخه تر ټولو سپکه سوروره فلنچ A992 فولادی کالم ، کوم چی 12 ft اوږد او یو محوری بار د 40 kip ورباندی پلی شوي، مشخص کړی. د AISC له معادلو کار واخلی. د کالم پایلی کلک تړل شوي دي.

س 13-87. یو 5-ft اوږد میله د یو ماشین لپاره کارول شوي ده، تر څو یو محوری ټیلوهونکی بار د 3 kip ولیردوي. که چیری له المونیم 2014-T6 څخه جوړه او په پایلوکی په پین سره وصل شوی وی، تر ټولو کوچني قطر یې و ټاکئ.

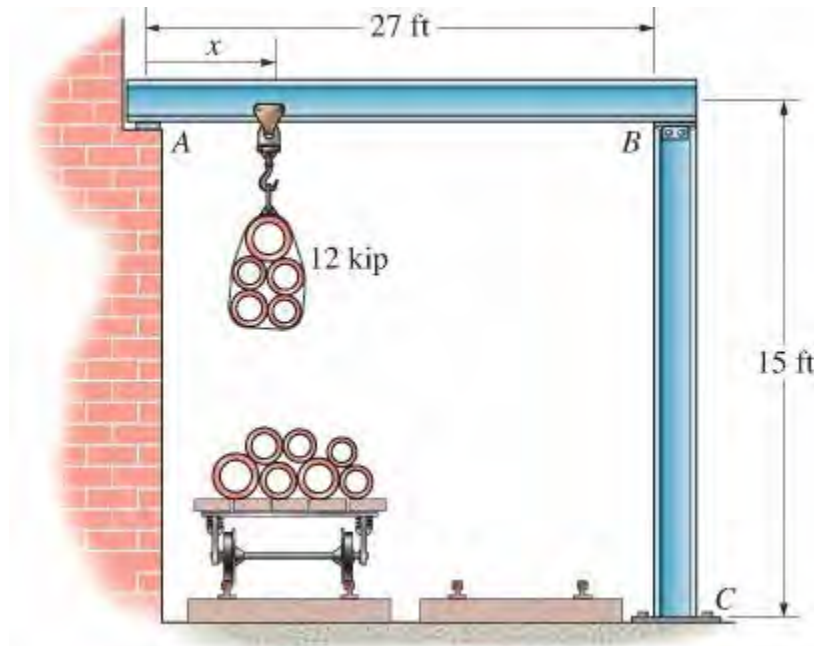
س 13-88* تر ټولو لوي اوږدوالی ، د ساختمانی W8 X 31 فولادو A992 برخي ، که چیری د پین په واسط اتکاوی ولري، او یو محوری بار 10 kip ورباندی پلی شوي وی، مشخص کړی. د AISC له معادلو کار واخلی.

س 13-89. د AISC معادلو په کارولو سره وگورئ که یو کالم چی غوڅه برخه یې په لاندی انځور کی بنودل شوي ، کولای شي د یو محوری قوی 1500 kN ملا تړ وکړي. کالم 4 m اوږدوالی لري او له A992 فولادو څخه جوړ دي. د کالم پایلی په پین تړل شوي دي.



س 13-89

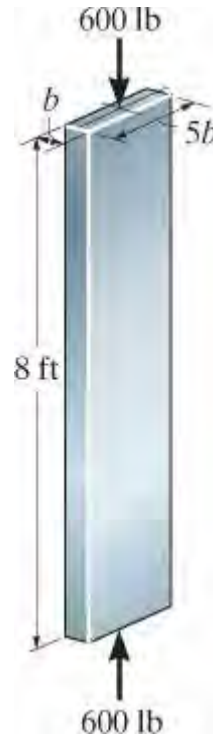
س 90-13. د اورگادی پټلۍ په انگر کی د موټرد بارولو او تخلیه کولو لپاره د بیم او کالم یو ترتیب لاندی بنودل شوي. که چیری اعظمی د پورته کولو بار 12 kip اټکل شوي وي، وښیی چی د فولادو A-36 کالم لپاره یوه سوروره فلنج W8 X 31 دا کار کولی شی؟ بار کشیدونکی (Hoist) د فلنج بیم په ټیټه برخه په اوږدو کی، $1 \text{ ft} \leq x \leq 25 \text{ ft}$ ، حرکت کوي، چی د ټکی بار غوندی دی او د تماس اندازه یی د حساب وړ نده. فرض کری چی بیم د کالم سره په B کی او په دیوال په A کی په پین تړل شوي شوی ده. همدا رنگه کالم په C کی پین اتکاء لري. کالم د داسی تړل شوی چی د بار د سطحی د وتلو دکروپیدو مخنوی یی وشي.



س 90-13

س 91-13. یوه میله له المونیم 2014-T6 الیاژ څخه جوړه شوي ده. که چیری سور (width) یی $5b$ وی تر ټولو کوچنی پنډوالی b یی و ټاکی. فرض کری چی میله په پایلوکی پین شوي ده.

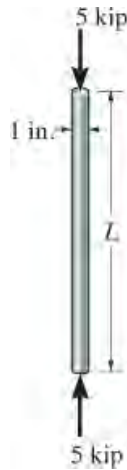
س *92-13. یوه میله له المونیم 2014-T6 الیاژ څخه جوړه شوي ده. که چیری سور (width) یی $5b$ وی تر ټولو کوچنی پنډوالی b یی و ټاکی. فرض کری چی میله په پایلوکی کلکه تړل شوي ده.



س 13-91/92

س 13-93. يو ميله چى 1-in. قطر لري د محورى بار 5 kip لپاره كارول كيږي. كه چيرى دا له المونيم 2014-T6 څخه جوړه شوى وي، د منلو وړ اعظمي اوږدوالى L يي و ټاكي. فرض كړى چى پايلى يي پين شوى دي.

س 13-94. یو میله چی 1-in. قطر لري د محوری بار 5 kip لپاره کارول کيږي. که چیری دا له المونیم 2014-T6 څخه جوړه شوی وي، د منلو وړ اعظمي اوږدوالی L یې و ټاکي. فرض کړی چی د میلی پایلی کلکی تړل شوی دي



س 13-93/94

س 13-95. دا لاندی تیوب له المونیم الیاژ 2014-T6 څخه جوړ ، پندوالی یې 0.5 in. او په دواړو پایلوکی کلک تړل شوي دی. د منلو وړ اعظمی محوری بار چی ملا تړی کولای شي و ټاکي.

س 13-96*. دا لاندی تیوب له المونیم الیاژ 2014-T6 څخه جوړ ، پندوالی یې 0.5 in. او په بنکته پای کی کلک تړل شوي او په پورته پای کی پین شوی دی. د منلو وړ اعظمی محوري بار چی ملا تړی کولای شي و ټاکي.

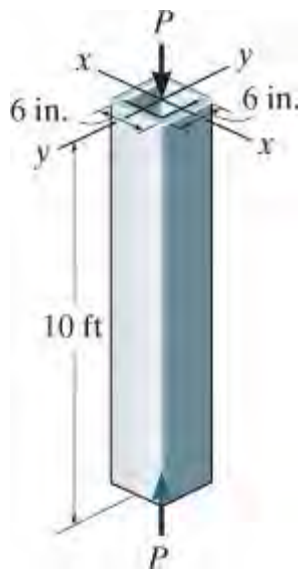


س 13-95/96

س 13-97. دا لاندی تیوب له المونیم الیاژ 2014-T6 څخه جوړ ، پندوالی یې 0.25 in. ، په بنکته پای کی کلک تړل شوي او په پورته پای کی پین شوی دی. د منلو وړ اعظمی محوري بار چی ملا تری یی کولای شي و ټاکي.

س 13-98. دا لاندی تیوب له المونیم الیاژ 2014-T6 څخه جوړ ، پندوالی یې 0.25 in. ، په پایلوکی کلک تړل شوي دی. د منلو وړ اعظمی محوري بار چی ملا تری یی کولای شي و ټاکي.

س 13-99. دا لاندی تیوب له المونیم الیاژ 2014-T6 څخه جوړ ، پندوالی یې 0.25 in. ، په پایلوکی پین شوی دی. د منلو وړ اعظمی محوري بار چی ملا تری یی کولای شي و ټاکي.



س 13-97/98/99

س *13-100. د لرگیو کالم چی مستطیلی غوڅه برخه لري لاندی بنودل شوي دي. که چیری کالم 6-ft. اوږدوالي ولري او یو محوری بار $P = 15 \text{ kip}$ ورباندی پلی شوي وي، تر ټولو کوچنی د منلو وړ د غوڅی برخی اندازه a تر $1/16 \text{ in.}$ نیردی والی و ټاکي، تر څو کالم په خوندي توگه د بار ملاتړ وکړي. کالم په دواړو پایلوکی پین شوی دی.

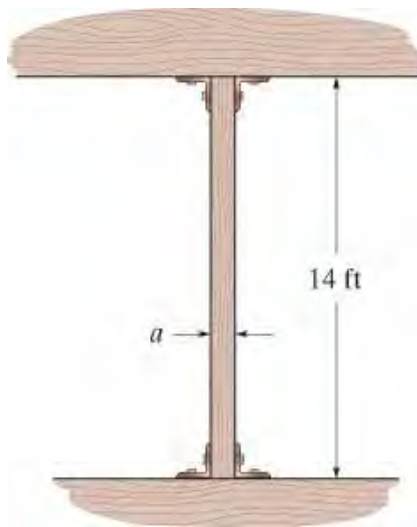
س 13-101. د لرگیو کالم چی مستطیلی غوڅه برخه لري لاندی بنودل شوي دي. که چیری اندازه $a = 3 \text{ in.}$ او د کالم اوږدوالي 12-ft وي د منلو وړ محوری بار P چی کالم یې په خوندي توگه ملاتړ وکړي و ټاکي. کالم په بنکته پای کی کلک تړل شوي او په پورته پای کی پن شوی دی.

س 13-102. د لرگیو کالم چی مستطیلی غوڅه برخه لري لاندی بنودل شوي دي. که چیری اندازه $a = 3 \text{ in.}$ او یو محوری بار $P = 15 \text{ kip}$ ورباندی پلی شوي وي، د منلو وړ اعظمی اوږدوالی یې و ټاکي، تر څو کالم په خوندي توگه د بار ملاتړ وکړي. کالم په بنکته پای کی کلک تړل شوي او په پورته پای کی پن شوی دی.



س 13-100/101/102

س 13-103. د لرگیو کالم مربع غوڅه برخه لري، او داسی انگیرل کیري چی کالم په بنکته او پورته پایلوکی پین شوي دي. که چیری یو بار د 50 kip ورباندی پلی شوي وي، تر ټولو کوچنی د منلو وړ د غوڅی برخی د اړخ اندازه a تر $1/2 \text{ in.}$ نیردی والی و ټاکي. د NFPA له فورمولونو کار واخلي.



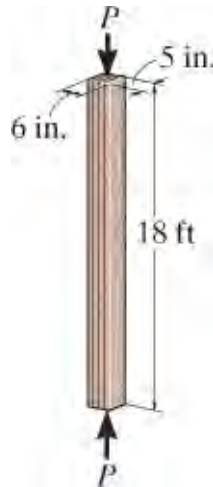
س 13-103

س 13-104* یوه میله له المونیم 2014-T6 الیاژ څخه جوړه شوي ده. که چیری سوری $1.5b$ وی، کوچنی پنډوالی b یی و ټاکی. فرض کړی چی میله په پایلوکی کلکه تړل شوي شوي ده.



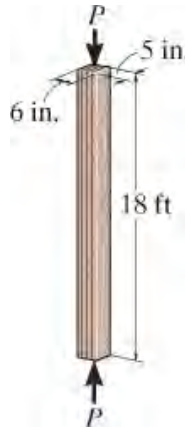
س 13-104

س 13-105. د لرگیو کالم 18-ft. اوږدوالی لري او په پایلوکی په پین تړل شوي دی. اعظمی محوری بار P چی کالم یی ملا تړ کولا شی، د NFPA فورمولونو په کارول سره، وټاکی.



س 13-105

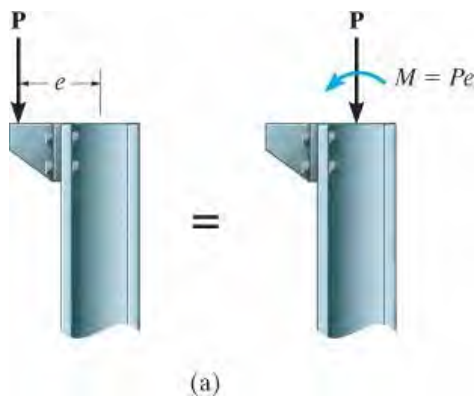
س 13-106. د لرگیو کالم 18-ft اوږدوالي لري او په پایلوکی کلک تړل شوي دی. اعظمی محوری بار P چی کالم یې ملا تړ کولا شی، د NFPA فورمولونو په کارول سره، وټاکي.



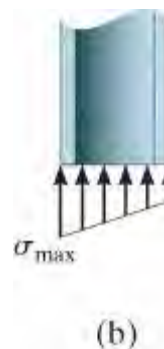
س 13-106

13.7* کالم ډیزاین د نا متمرکز بارونو لپاره (DESIGN OF COLUMNS FOR ECCENTRIC LOADING)

کله چې یو کالم د بار ملاتړ کولو لپاره اړین وي، او دا بار کیدی شی چی په څنډه د کالم او یا د زاویې براکت یا کوربل (corbel) کوم چی د کالم په ژی و صل دی ، انځور 13-28A ، عمل وکړي. پداسی حالت کی کړیدونکی مؤمنت $M = Pe$ ، کوم چی د مرکز وټلي بار له امله رامینځته کیږي ، باید د کالم په ډیزاین کی په پام کی و نیول شي او حساب شي. ددی لپاره څو د منلو وړ لاري شتون لری، کوم چی دا د انجینری په عملي کارونو کی تطبیق یې ترسره کیږي. دلته به مور د دوو خورا عامو طریقو په اړه بحث وکړو.



انځور 13-28



کارول د هغه کالم فورمولونو چی شتون لری (Use of Available Column)

(Formulas). د کالم په غوڅی برخي باندی د ستریس ویش په انځور 13-28b کی بنودل شوي. دا د دواړو محوري قوي P او کزیدونکی مؤمنت $M = Pe$ د سپرپوزیشن پایله ده. له همدې امله اعظمي تیلوهونکي ستریس عبارت دی په

$$\sigma_{\max} = \frac{P}{A} + \frac{Mc}{I} \quad (13-30)$$

که مور په محافظوی توگه فرض کړو چی ټوله غوڅه برخه باندی یو شان ستری S_{\max} پلی شوی، بیا مور کولی شو S_{\max} د منلو وړ ستریس S_{allow} سره پرتله کړو، کوم چی د ورکړل شوي فورمولونو په کارولو سره په برخه 13.6 کی ټاکل شوی. سربیره پردې محافظه کاري،

د S_{allow} محاسبه تر ټولو لوی د نریتوب تناسب په کارولو سره د کالم لپاره ترسره کیري، پرته له چی د هغه محور چی کوزوالي په پام کی ونیول شي. نو بیا که چیری

$$\sigma_{\max} \leq \sigma_{\text{allow}}$$

وي، کالم به د دې بار پلی کیدو ملاتړ وکړي. که دا پورته نابرابري (inequality) موجوده نه وی، بیا د کالم ساحه A باید زیاته شي، او یو نوی S_{\max} او S_{allow} باید محاسبه شي. د ډیزاین دا طریقه د پلی کولو لپاره خورا ساده ده او د هغو کالمونو لپاره بڼه کار کوي کوم چی لنډ یا منځني اوږدوالی لري.

د تعامل فورمول (Interaction Formula). مور کولی شو یو چی له مرکز وتلی بار شوی کالم داسی ډیزاین کړو چی به څه ډول محوری بار او کزیدونکی بار یو د بل سره تعامل کوی ترڅو د دوی د اغیزو ترمنځ توازن ترلاسه شي. د دې کولو لپاره، مور باید د کالم په ټوله ساحه کی په جلا جلا توگه د محوری قوي او مؤمنت اغیزی په پام کی ونیسو. که د محوري بار لپاره د منلو وړ ستریس $(S_a)_{\text{allow}}$ وي، نو بیا د کالم لپاره ساحه د P پلی کیدو لپاره اړینه ده

$$A_a = \frac{P}{(\sigma_a)_{\text{allow}}}$$

په ورته ډول که د منلو وړ کزیدونکی ستریس $(S_b)_{\text{allow}}$ وي، نو بیا $I = Ar^2$ ، د کالم اړین ساحه د مرکز وتلي بار لپاره له کزیدونکی فورمول څخه موندل کیري، او هغه دی

$$A_b = \frac{Mc}{(\sigma_b)_{\text{allow}} r^2}$$

د کالم ټوله اړین ساحه ، د محوری بار او مؤمنت دواړو لپاره عبارت ده په

$$A_a + A_b = \frac{P}{(\sigma_a)_{\text{allow}}} + \frac{Mc}{(\sigma_b)_{\text{allow}} r^2} \leq A$$

یا

$$\frac{P/A}{(\sigma_a)_{\text{allow}}} + \frac{Mc/Ar^2}{(\sigma_b)_{\text{allow}}} \leq 1$$

$$\frac{\sigma_a}{(\sigma_a)_{\text{allow}}} + \frac{\sigma_b}{(\sigma_b)_{\text{allow}}} \leq 1 \quad (13-31)$$

دلته:

$S_a = S_a$ = محوری سټریس کوم چی قوه P جوړ کړي دی، کیدی شی چی له $S_a = P/A$ و موندل شي. A د کالم مساحت ده.

$S_b = S_b$ = کږیدونکی سټریس د مرکز وتلی بار له امله ، او یا پلي شوی مؤمنت. دا سټریس له $S_b = Mc/I$ څخه پیدا کيږي، دلته I د عوځی برخی انرشیايي مؤمنت په کږیدونکي محور یا مرکزی محور (centroidal axis) دی.

$(S_a)_{\text{allow}} =$ د منلو وړ سټریس کوم چی د برخی 13.6 فورمول په واسطه موندل شوي ، او یا د ډیزاین کود مشخصاتو ورکړي. له دی امله تل د کالم لپاره تر ټولو لوی د نریتوب نسبت و کاروی، پرته له دی چی په کوم محور د کالم کږیدل مینځ ته راغلي.

$(S_b)_{\text{allow}} =$ د منلو وړ کږیدونکي سټریس چی د کود مشخصاتو تعیین کړي.

معادله 13-31 د هر سټریس تناسب ، د محوري بار او یا کبریدونکی مؤمنت ونډه په گوته کوي. ځکه چې دا معادله بنیې چې دا بارونه څنگه تعامل کړي ، کله کله دا معادله د تعامل فورمول (*interaction formula*) په نوم یادېږي. دا ډیزاین طریقه د انتخاب – او - خطا (*trial-and-error*) طرز العمل ته اړتیا لري، چیرته چې دا اړینه ده چې



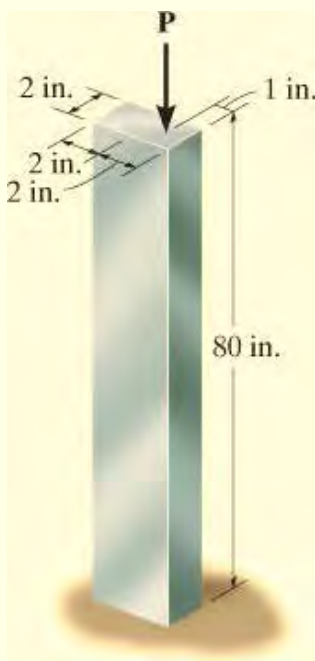
د یوه کالم عادی مثال چې له مرکز وتلی بار، د بام لپاره کارول شوي.

ډیزاینر یو موجود کالم غوره کړي او بیا وگورئ چې ایا نابرابري (معادله 13-31) (inequality) مطابقت کړي که نه . که دا نه وي، یوه لویه برخه د کالم بیا غوره شی او پروسه تکرار کړی. یو اقتصادي انتخاب هغه وخت ترسره کيږي کله چې کین اړخ نږدې 1 ته وی خو تر یوه کم وي.

د تعامل طریقه اکثراً د ډیزاین لپاره په کوډونو کې د فولادو، المونیم یا لرگي څخه جوړ کالمونو لپاره مشخص شوی . په ځانگړې توگه، د منلو وړ د سټریس ډیزاین، د امریکا د فولادو جوړونې انستیتیوت (*American Institute of Steel Construction*) د دې معادلي کارول یوازي هغه وخت مشخص کوي چې د محوري سټریس تناسب $\sigma_a/(\sigma_a)_{allow} \leq 0.15$ وي. د دې تناسب د نورو ارزښتونو لپاره، بدل شوی بڼه د معادلي 13-31 کارول کيږي .

مثالونه

مثال 13.10



انځور 13-29

په انځور 13-29 کې ښودل شوي کالم له المونیم الیاژ څخه جوړ شوی ، او یو له مرکز ورتلي بار ورباندې پلي شوي دی. اعظمی د منلو وړ بار P چې په دې کالم پلي کیدی شي وټاکي. کالم په تهداب کې کلک تړل شوی او پورته برخه کې پین شوی دی. له معادلي 13-30 څخه کارواخلي.

حل (SOLUTION)

له انځور 13-10b پیدا کوو. $K=2$ ، د نازکوالي لوی تناسب د کالم لپاره عبارت دی په

$$\frac{KL}{r} = \frac{2(80 \text{ in.})}{\sqrt{[(1/12)(4 \text{ in.})(2 \text{ in.})^3][(2 \text{ in.}) 4 \text{ in.}]} = 277.1$$

په لیدوسره، معادله 13-26 کارول کیږي ($277.1 > 55$). په دی توګه:

$$\sigma_{\text{allow}} = \frac{54\,000 \text{ ksi}}{(KL/r)^2} = \frac{54\,000 \text{ ksi}}{(277.1)^2} = 0.7031 \text{ ksi}$$

اعظمی تیلو هونکي ستیریس په کالم کی د محوری بار او کږیدونکی مؤمنت له یوځایکیدو پیدا کیږي. مور لرو:

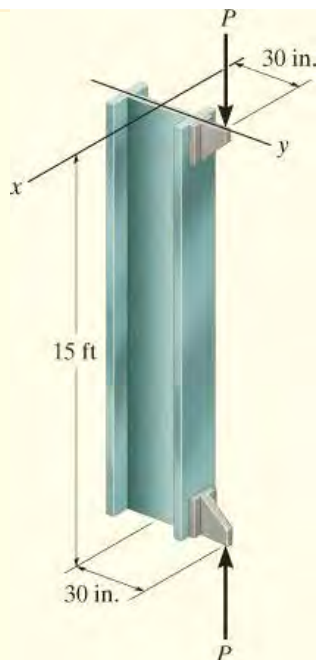
$$\begin{aligned} \sigma_{\text{max}} &= \frac{P}{A} + \frac{(Pe)c}{I} \\ &= \frac{P}{2 \text{ in.}(4 \text{ in.})} + \frac{P(1 \text{ in.})(2 \text{ in.})}{(1/12)(2 \text{ in.})(4 \text{ in.})^3} \\ &= 0.3125P \end{aligned}$$

فرض کوو چی دا ستیریس په غوڅه برخه د کالم یو شان ویشل شوی دی، او اړینه ده چی:

$$\sigma_{\text{allow}} = \sigma_{\text{max}}; \quad 0.7031 = 0.3125P$$

$$P = 2.25 \text{ kip}$$

Ans.



مثال 13.11

یو د A-36 فولادی W6 X 20 برخې کالم په انځور 13-30 کی بنودل شوي. کالم په دواړو پایلوکی په پین وصل شوی او یو له مرکز وتلی بار P ورباندې پلي شوي. اعظمی د منلو وړ ارزښت د P ، په کارولو د تعامل طریقې، که چیری د منلو وړ کړیدونکی ستریس $(sb)_{allow} = 22 \text{ kis}$ وی، و ټاکی.

حل (SOLUTION)

دلته $K=1$. د هندسی اړین خاصیتونه د W6 X 20 لپاره د ضمیمی B له جدول څخه لرو:

انځور 13-30

$$A = 5.87 \text{ in}^2 \quad I_x = 41.4 \text{ in}^4 \quad r_y = 1.50 \text{ in.} \quad d = 6.20 \text{ in.}$$

مور به دلته r_y وکاروو، ځکه دا به د نریتوب لوی تناسب راکړي. همدا رنگه I_x اړین دی ځکه کړیدل په x محور ($c = 6.20 \text{ in}/2 = 3.10 \text{ in.}$) د تیلوهونکی منلو وړ ستریس پیدا کولو لپاره مور لرو:

$$\frac{KL}{r} = \frac{1[15 \text{ ft}(12 \text{ in./ft})]}{1.50 \text{ in.}} = 120$$

$$\left(\frac{KL}{r}\right)_c = \sqrt{\frac{2\pi^2 E}{\sigma_Y}} = \sqrt{\frac{2\pi^2 [29(10^3) \text{ ksi}]}{36 \text{ ksi}}} = 126.1$$

ځکه چی

نو بیا $KL/r < (KL/r)_c$ او له معادله 13-23 باید کارواختل شی.

$$\begin{aligned}\sigma_{\text{allow}} &= \frac{[1 - (KL/r)^2/2(KL/r)_c]^2 \sigma_Y}{(5/3) + [(3/8)(KL/r)/(KL/r)_c] - [(KL/r)^3/8(KL/r)_c^3]} \\ &= \frac{[1 - (120)^2/2(126.1)^2] 36 \text{ ksi}}{(5/3) + [(3/8)(120)/(126.1)] - [(120)^3/8(126.1)^3]} \\ &= 10.28 \text{ ksi}\end{aligned}$$

د معادلی 13-31 تطبیق دا لاندی حاصل راكوي

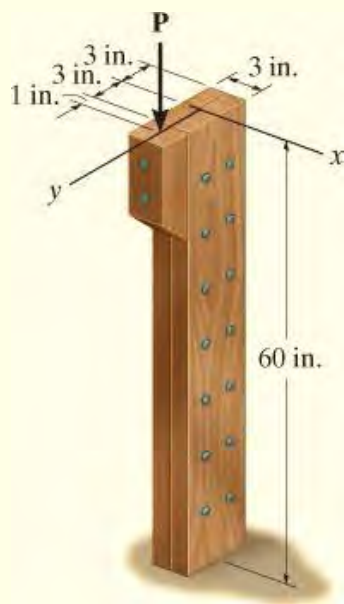
$$\begin{aligned}\frac{\sigma_a}{(\sigma_a)_{\text{allow}}} + \frac{\sigma_b}{(\sigma_b)_{\text{allow}}} &\leq 1 \\ \frac{P/5.87 \text{ in}^2}{10.28 \text{ ksi}} + \frac{P(30 \text{ in.})(3.10 \text{ in.})/(41.4 \text{ in}^4)}{22 \text{ ksi}} &= 1 \\ P &= 8.43 \text{ kip}\end{aligned}$$

Ans.

د تعامل طریقي پلی کول د فولادی برخی لپاره گورو، دا اړین دی:

$$\frac{\sigma_a}{(\sigma_a)_{\text{allow}}} = \frac{8.43 \text{ kip}/(5.87 \text{ in.})}{10.28 \text{ kip}/\text{in}^2} = 0.140 \leq 0.15 \quad \text{OK}$$

مثال 13.12



انځور 13-31

د لرگیو کالم له دوو تختو چی له یو بل سره میخ شوی دی جوړ شوی دی، او ابعاد یې په انځور 13-31 کی بنودل شوي دی. کالم په تهداب کی کلک تړل شوی او پورته برخه کی پین شوی دی له معادلی 13-30 کار واخلی او له مرکز وتلی بار P چی کیدی شی کالم یې ملاتړ وکولای شی وټاکي.

حل (SOLUTION)

له انځور 13-10b ، مور لرو $K = 2$. دلته مور باید KL/d محاسبه کړو تر څو معلوم کړو چی کومه معادله د 13-27 تر 13-29 پوری و کارول شي. ځکه چی $sallow$ د نړیوالی تناسب له لوی قیمت څخه موندل کیږی، مور $d = 3$ in. انتخاب کوو.

$$\frac{KL}{d} = \frac{2(60 \text{ in.})}{3 \text{ in.}} = 40 \quad \text{مور لرو}$$

ځکه چی $26 < KL/d < 50$ ، د منلو وړ محوری سټریس له معادلی 13-29 په لاس راځي. نو بیا

$$\sigma_{\text{allow}} = \frac{540 \text{ ksi}}{(KL/d)^2} = \frac{540 \text{ ksi}}{(40)^2} = 0.3375 \text{ ksi}$$

معادله د 13-30 د $s_{\text{allow}} = s_{\text{max}}$ سره کاره وو، مور لرو

$$\sigma_{\text{allow}} = \frac{P}{A} + \frac{Mc}{I}$$

$$0.3375 \text{ ksi} = \frac{P}{(3 \text{ in.})(6 \text{ in.})} + \frac{P(4 \text{ in.})(3 \text{ in.})}{(1/12)(3 \text{ in.})(6 \text{ in.})^3}$$

$$P = 1.22 \text{ kip}$$

Ans.

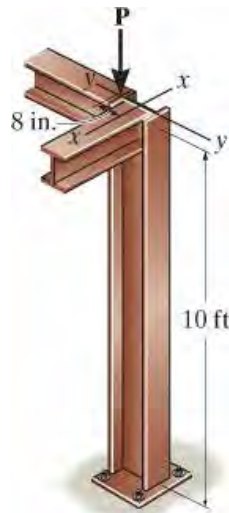
سوالونه

PROBLEMS

س 13-107. د فولادو A-36 یو د سورور فلنچ W8 X 15 کالم فرض کړو چی په دواړو پایلوکی پین شوي دي. اعظمی له مرکز وتلی بار P ، کوم چی په کارولو د معادلی 13-30 او د AISC د برخی 13.6 معادلی، ورباندی پللی شی و ټاکي.

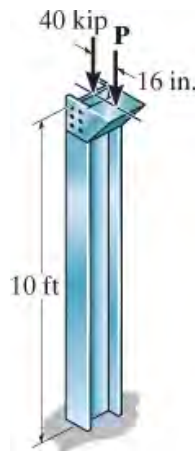
س 13-108*. پوښتنه 13-107 حل کړی کله کالم په پورتنی او ښکته پایلو کی کلک تړل شوی.

س 13-109. پوښتنه 13-107 حل کړی که کالم په پورتنی پای کی پین او په ښکته پای کی کلک تړل شوی وي.



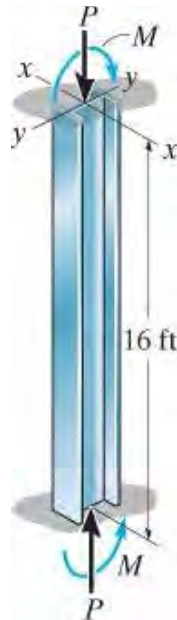
س 13-107/108/109

س 13-110. د فولادو A-36 یو د سوروری فلنچ W12 X 50 کالم کلک تړل شوی په ښکته برخه کی او آزاد دی په پورتنی پای کی. اعظمی له مرکز وتلی بار P ، کوم چی په کارولو د معادلی 13-30 او د AISC معادلو د برخی 13.6، ورباندی پللی شی و ټاکي.



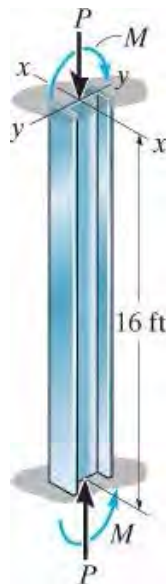
س 13-110

س 13-111. د فولادو A992 یو د سوروری فلنج W8 X 15 کالم په دواړو پایلوکی کلک تړل شوي دي. که چیری په پایلوکی یو مؤمنت $M = 5 \text{ kip}\cdot\text{ft}$ ورباندی پلی شوي وی ، اعظمی محوری قوه P ، چی ورباندی پلی کیدی شي وټاکي. کزیدل د کالم په $x-x$ محور مینځ ته راځي. معادله 13-30 او د AISC معادلی د برخی 13.6 وکاروي.



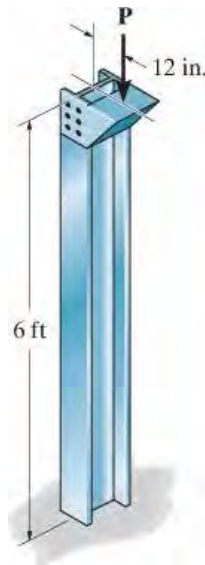
س 13-111

س *13-112. د فولادو A992 یو د سوروری فلنج W8 X 15 کالم په دواړو پایلوکی کلک تړل شوي دي. که چیری په پایلوکی یو مؤمنت $M = 23 \text{ kip}\cdot\text{ft}$ پلی شوي وی ، اعظمی محوری قوه P ، چی ورباندی پلی کیدی شي وټاکي. کزیدل د کالم په $x-x$ محور مینځ ته راځي . د تعامل فورمول له $(s_b)_{\text{allow}} = 24 \text{ ksi}$ سره و کاروي.



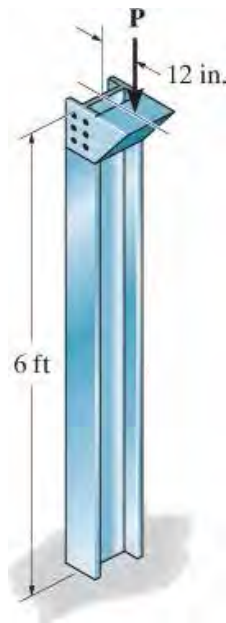
س 13-112

س 13-113. د فولادو A-36 یو د سوروری فلنج W12 X 22 کالم ، په بنکته برخه کی کلک تړل شوی او آزاد دی په پورتنی پای کی. اعظمی له مرکز وتلی بار P ، کوم چی په کارولو د معادلی 13-30 او د AISC معادلو د برخی 13.6 ، ورباندی پلی شی و ټاکي.



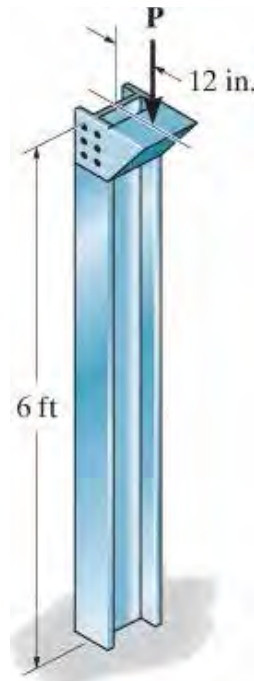
س 13-113

س 13-114. د فولادو A-36 یو د سوروری فلنج W10 X 15 کالم ، په بنکته برخه کی کلک تړل شوی او آزاد دی په پورتنی پای کی. اعظمی له مرکز وتلی بار P ، کوم چی په کارولو د معادلی 13-30 او د AISC معادلو د برخی 13.6 ، ورباندی پلی شی و ټاکي.



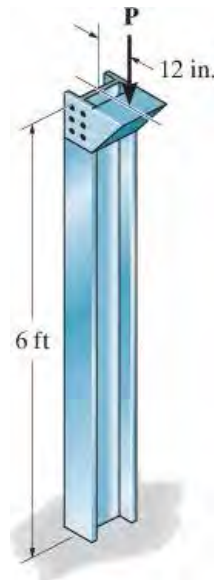
س 13-114

س 13-115. د فولادو A-36 يو د سوروري فلنج W10 X 15 کالم په ټيټه برخه کې کلک تړل شوی او آزاد دی په پورتنی پای کې. که چیرې بار $P = 2 \text{ kip}$ وي، مشخص کړی چې کالم په کارولو د معادلی 13-30 او د AISC معادلو د برخې 13.6 خوندي دی که نه.



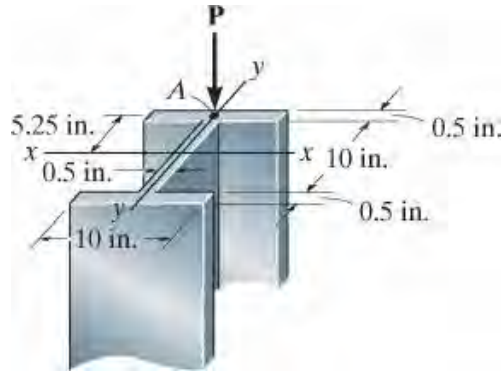
س 13-115

س* 13-116. د فولادو A-36 يو د سوروري فلنج W12 X 22 کالم په بنسټه برخه کې کلک تړل شوی او آزاد دی په پورتنی پای کې. که چیرې بار $P = 4 \text{ kip}$ وي، مشخص کړی چې کالم په کارولو د معادلی 13-30 او د AISC معادلو د برخې 13.6 خوندي دی که نه.



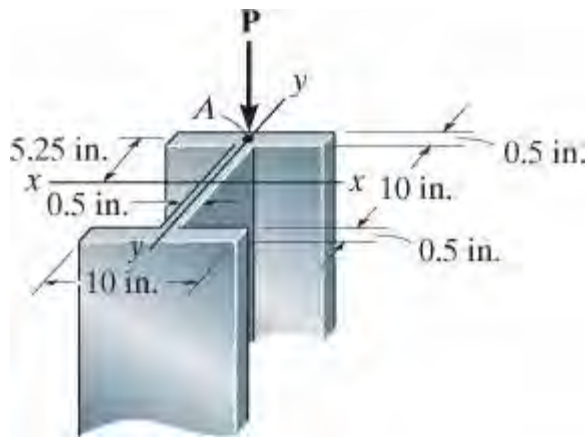
س 13-116

س 13-117. یو 20-ft اوږد کالم له المونیم 2014-T6 الیاژ څخه جوړ شوی دی. که چیری په پورته پای او بنسټه پای کی پین شوي وي، او یو تیلوهونکي بار P په تکی A کی پلی شوي وی، په کارولو د معادلی 13-30 او برخی 13.6 اعظمی د منلو وړ ارزښت د P وټاکي.



س 13-117

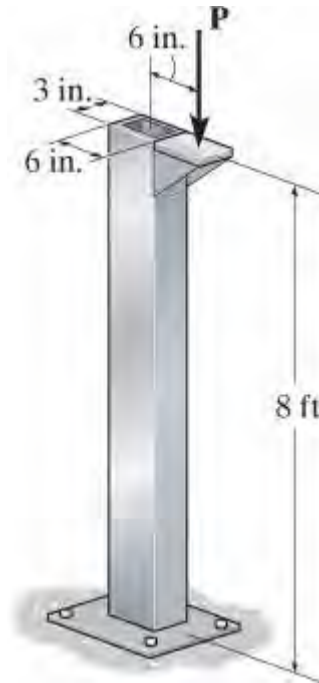
س 13-118. یو 20-ft اوږد کالم له المونیم 2014-T6 الیاژ څخه جوړ شوی دی. که چیری په پورته پای او بنسټه پای کی پین شوي وي، او یو تیلوهونکي بار P په تکی A کی پلی شي، اعظمی د منلو وړ ارزښت د P په کارولو د برخی 13.6 او د تعامل فورمول له $(s_b)_{allow} = 20 \text{ ksi}$ سره وټاکي.



س 13-118

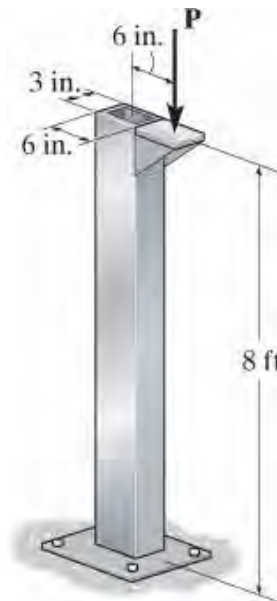
س 13-119. د المونیم 2014-T6 خالي کالم په پورته پای او بنسټه پای کی کلک تړل شوي دي.

اعظمی له مرکز وتلی بار P ، کوم چی په خوندي توگه په کالم پلی شي و ټاكي. د سټریس د منلو وړ طریقه و کاروي. پندوالی د برخی د دیوال $t = 0.5 \text{ in}$ دي.



س 13-119

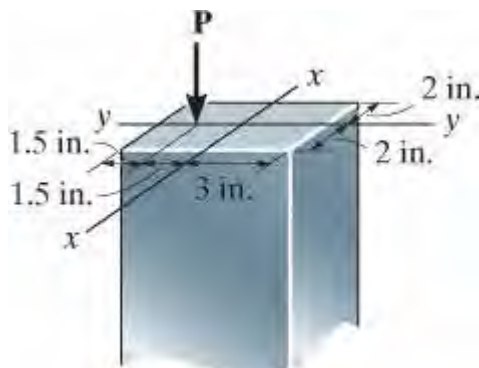
س 13-120* یو د المونیم 2014-T6 خالي کالم په پورته پای کی آزاد او بنسکته پای کی کلک تړل شوي دي. اعظمی د منلو وړ له مرکز وتلی قوه P چی په خوندي توگه په کالم پلی شي و ټاكي. د تعامل له فورمول کارواخلي. د منلو وړ کریدونکی سټریس $(s_b)_{\text{allow}} = 30 \text{ ksi}$ دي. برخی د دیوال پندوالی $t = 0.5 \text{ in}$ دي.



س 13-120

س 13-121. یو 10-ft اوږده میله له المونیم 2014-T6 الیاژ څخه جوړه شوی ده. که چیرې کلکه تړل شوی وی په پورته پای او پین په بنکته پای کې، اعظمی د منلو وړله مرکز وتلي بار P و ټاکي، د برخې 13.6 فورمولونه او 13-30 معادله وکاروي.

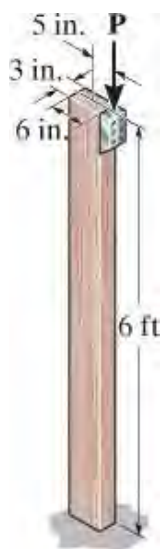
س 13-122. یو 10-ft اوږده میله له المونیم 2014-T6 الیاژ څخه جوړه شوی ده. که چیرې کلکه تړل شوی وی په پورته پای او پین په بنکته پای کې، اعظمی د منلو وړله مرکز وتلي بار P کوم چی کیدی شي، په کارولو د برخې 13.6 فورمولونه او د تعامل فورمول له $(s_b)_{\text{allow}} = 18$ ksi سره، پلی شي.



س 13-121/122

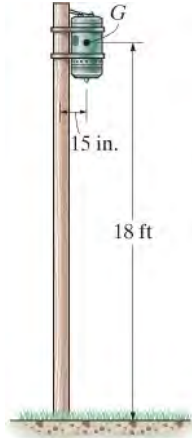
س 13-123. وگورئ چی کالم د یو له مرکز وتلی بار $P = 800 \text{ lb}$ چی په پورتنی برخه د کالم کی پلی شوي دي د منلو وړ دی که نه. د NFPA معادلی د برخې 13.6 او معادله 13-30 و کاروي.

س 13-124*. له مرکز وتلی د منلو وړ اعظمی بار P ، کوم چی کیدی شي د لرگیو په کالم پلی شي مشخص کړي. کالم په بنکته برخه کی کلک تړل شوی او آزاد دی په پورتنی پای کې. د NFPA معادلی د برخې 13.6 او 13-30 معادله و کاروي.



س 13-123/124

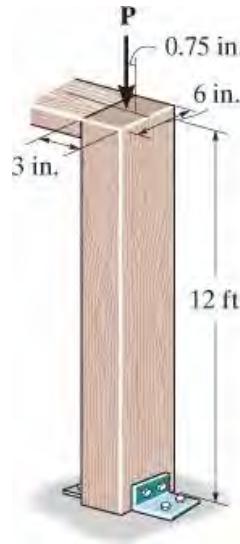
س 13-125. د بریښنا پایه 10-in قطر لري، او یو ترانسفارمر چې 600 lb وزن لری ورباندی تړل شوي دي. مرکز ثقل د ترانسفارمر په G کی موقعیت لری. پایه په ځمکه کی کلکه تړل شوی او په پورتنی برخه کی آزاده ده. مشخص کړی چی دا د NFPA معادلی د برخی 13.6 او 13-30 معادلی په کارولو سره د منلو وړ دي.



س 13-125

س 13-126. د NFPA معادلی د برخی 13.6 فورمولونه او 13-30 معادلی په کاره ولو سره اعظمی د منلو وړ له مرکز وتلي بار P چی کیدی شي د لرگیو په کالم پلی شي و ټاکي. فرض کړي چی کالم په بنکته او پورتنی پایلوکی پین شوی دي.


س 13-127. د NFPA معادلی د برخی 13.6 فورمولونه او 13-30 معادلی په کاره ولو سره اعظمی د منلو وړ له مرکز وتلي بار P چی کیدی شي د لرگیو په کالم پلی شي و ټاکي. فرض کړي چی کالم کلکه تړل شوی دی په بنکته برخه او پین دی په پورته برخه کی.



س 13-126/127

د فصل بیا کتنه

CHAPTER REVIEW

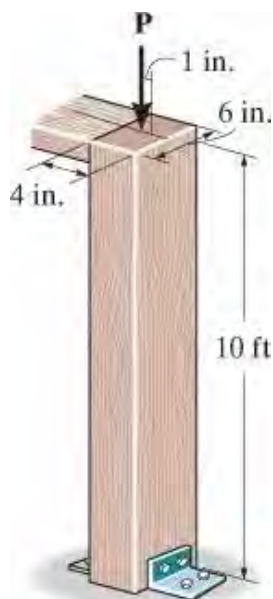
		<p>کروپیدل هغه ناڅاپه بې ثباتي ده چې په کالمونو یا هغه غړو کې پېښیږي کوم چې محوری تیلوهونکي بارونه ورباندې پلي شي. اعظمي محوري بار چې یو غړی مخکې له کروپیدو یې ملاتړ وکړي د بحرانی بار P_{cr} په نوم یادېږي.</p>
	$P_{cr} = \frac{\pi^2 EI}{(KL)^2}$	<p>د یو آیديال کالم لپاره بحراني بار له اویلر فورمول (Euler's formula) څخه کله چې $K=1$ د پین اتکاء لپاره، $K=0.5$ د کلک اتکاء لپاره، $K=0.7$ د پین او کلک اتکاء، او $K=2$ د کلک اتکاء او آزاد پایلو لپاره، وي.</p>
	$\sigma_{max} = \frac{P}{A} \left[1 + \frac{ec}{r^2} \sec \left(\frac{L}{2r} \sqrt{\frac{P}{EA}} \right) \right]$ $\sigma_{cr} = \frac{\pi^2 E_t}{(KL/r)^2}$	<p>که یو له مرکز وتلی محوری بار په کالم پلي شي، نو بیا د کالم اعظمی سټریس موندلو لپاره د سیکنټ (secant formula) فورمول کارول کېدی شي.</p>

		<p>کله چی محوری بار په موادو کی لامل د بیلډینګ وګرځي ، نو بیا د اویلر فورمول سره د تانجانت ماجولس (\tan) modulus کارول کیدی شی تر څو بحرانی بار د کالم وموندل شي. دا د اینګسر فورمول (Engesser's equation) په نوم یادېږي.</p>
		<p>د تجربو ډیتا په بنسټ فورمولونه چمتو شوی دی ، چی د فولادو، المونیم او د لرگیو کالمونو لپاره کارول کیږي.</p>

د بيا کتني پوښتنی

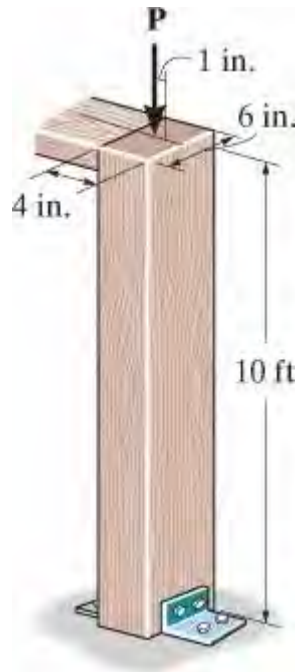
REVIEW PROBLEMS

ب 13-1. د لرگیو کالم پنډوالی 4 in. دی او 6 in. سور لري. په کارولو د NFPA معادلی د برخی 13.6 او معادله 13-30 د منلو وړ له مرکز وتلی اعظمی بار P چی کیدی شی په کالم پلی شي و ټاکي. فرض کړی چی کالم په دواړو برخو، پورتنی او بنسټه خوا کی، پین شوی دی.



ب 13-1

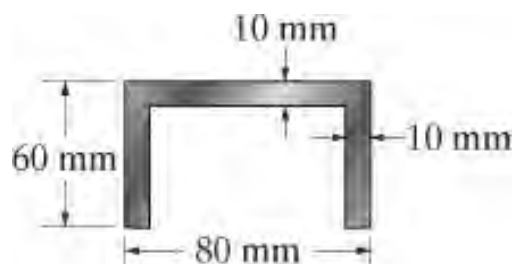
ب 13-2. د لرگیو کالم پندوالی 4 in. دی او 6 in. سور لري. په کارولو د NFPA معادلی د برخې 13.6 او معادله 13-30، د منلو وړ له مرکز وتلی اعظمی بار P چی کیدی شی په کالم پلی شي و ټاکي. فرض کری چی کالم په پورتنی برخه کی پین او ښکته خوا کی کلکه اټکالري.



ب 13-2

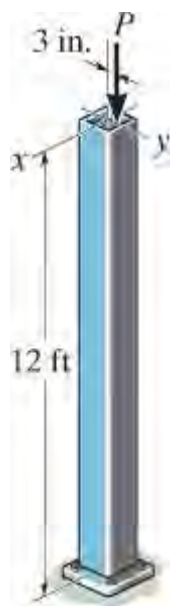
ب 13-3. یو فولادی کالم 5 m اږوردوالی لري، په پورتنی برخه کی آزادی دی او ښکته خوا کی کلکه اټکاء لري. د غوڅی ابعادی یې په لاندی انځور کی ښودل شوي، بحرانی بار یې و ټاکي.

$$E_{st} = 200\text{GPa}, s_Y = 360\text{ GPa}$$



ب 13-3

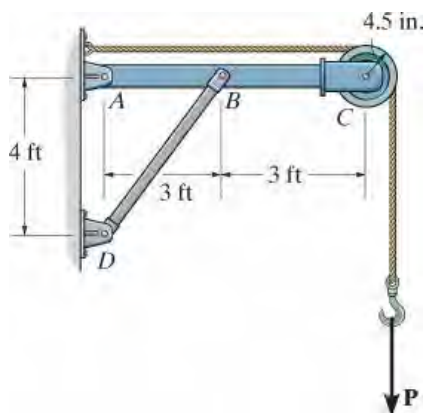
ب 13-4* د فولادو A992 ټیوب د مربع شکل لری او ابعاد یې 8 in. په 8 in. دي. د غوڅی برخی ساحه یې 14.4 in^2 او انرشیايي مؤمنت یې $I_x = I_y = 131 \text{ in}^4$ دي. اعظمی بار چی دا ټیوب یې ملاتړ کولای شي و ټاکی. فرض کری چی کالم په پورتنی برخه کی آزاد او بنکته برخه کی کلکه اتکاء لري.



ب 13-4

ب 13-5. د ا لاندی گردی ډکه میله BD له فولادو A-36 څخه جوړه او دوه اینچه (2 in.) قطر لري. د منلو وړ اعظمی قوه P، کوم چی په دی فریم پلی کیدی شی، پرته له دی چی میله کروپه شي، و ټاکی. د خونديتوب فکتور $F.S. = 2$ د کروپیدو لپاره و کاروي.

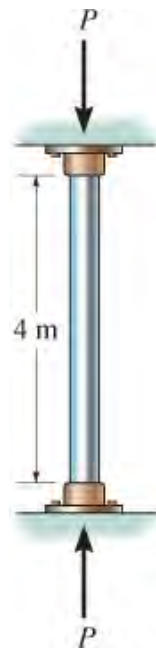
ب 13-6. که $P = 15 \text{ kip}$ اړین تر ټولو کوچني قطر د A992 ډکی میلی BD نږدی 1/16 in. ته و ټاکی. د خونديتوب فکتور $F.S. = 2$ د کروپیدو لپاره و کاروي.



ب 13-5/6

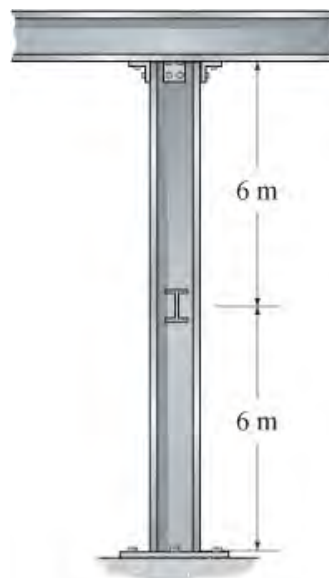
ب 7-13. د فولادو پایپ په دواړو پایلوکی کلک تړل شوي دی. که چیری دا 4 m اوږد او وتلی قطر یې 50 mm وی، پندوالی یې معلوم کړي تر څو یو محوری بار $P = 100 \text{ kN}$ پرته له دی چی کړوپ شي ورباندی پلی شي.

$$E_{st} = 200 \text{ GPa}, s_Y = 250 \text{ GPa}$$



ب 7-13

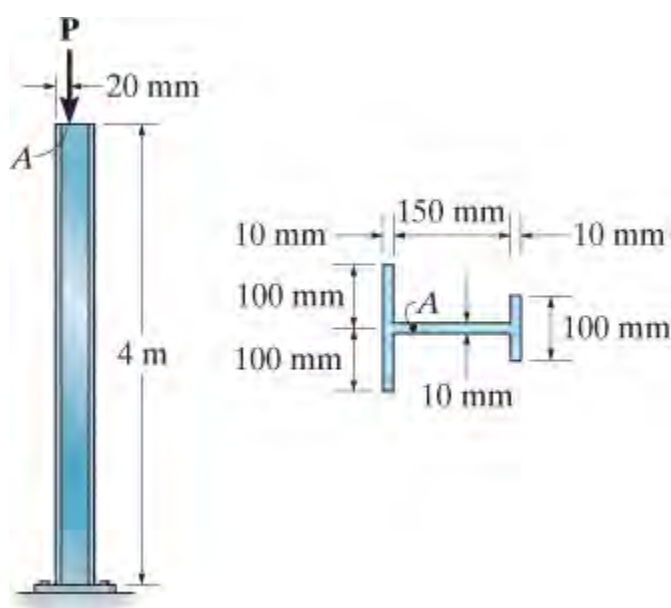
ب *8-13. فولادو A992 سوروره فلنج W200 X 46 کالم ټاکل کیری چی په پورتنی برخه کی پین شوی دی، او په بنسکته خوا کی کلک تړل شوي. همدا رنگه دا کالم د لوړوالي په مینځنی برخه کی د ضعیف محور کړو پیډو لپاره تکیه شوی دي. اعظمی محوری بار چی په دی کالم پلی کیدی شي و ټاکی، پرته له دی چی کړوپ شي.



ب 8-13

ب 13-9. د فولادو A992 غوڅه برخه يې په لاندې انځور کې ښودل شوي. په پورتنۍ برخه کې آزاده ده، او په ښکته برخه کې کلکه تړل شوي. اعظمې قوه P چې په A کې پلي کېدې شي، پرته له دې چې کروپيدل يا بيلد مينځ ته راولي، و ټاکي. د خونديتوب فکتور 3 د کروپيدو او بيلد واقع کېدو لپاره و کاروي.

ب 13-10. د فولادو A992 کالم غوڅه برخه په لاندې انځور کې ښودل شوي. په پورتنۍ برخه کې آزاد، او په ښکته برخه کې کلک تړل شوي. معلوم کړی چې په پلي کېدو قوه $P = 10 \text{ kN}$ په A کې کالم به کروپ يا بيلد وکړي. د خونديتوب فکتور 3 د کروپيدو او بيلد واقع کېدو لپاره و کاروي.



ب 13-9/10

څوارلسم فصل

(CHAPTER 14)



(© 68/Ocean/Corbis)

د ډوبولو تخته بايد له داسې موادو جوړه شي چې وکولای شي د لوړ ارزښت ایلستیک سټرین انرژي د کړیدو له امله نخیره کړي. دا کار تختی ته اجازه ورکوی چې د لوی کړیدو توان ولري ، په دی توگه، کله چې تخته ځان سیخه وی دا انرژي غوټه وهونکي ته انتقال کړي.

د انرژي طريقي

(ENERGY METHODS)

د فصل موخي CHAPTER OBJECTIVES

په دې فصل کې به مور وښيو چې څنگه د انرژي میتودونو په پلي کولو سره هغه سوالونه چې بیخایه کیدنه کوی حل شي . مور به لمري د کار او سترين انرژي بحث پیل کړو؛ بیا به د انرژي ساتنی اصولو په کارولو سره، مور وښيو چې څنگه ستریس او بیخایه کیدنه په غري کې معلومه کړو کله چې د ټکر (Impact) سره مخ وي. په پای کې، د مجازی کار میتود او د کاسټیګلیانو تیورم به وکارول شي ترڅو د ساختماني او میخانیکي غریو په یوه ټکی کې بی خایه کیدنه او میلان مشخص کړی.

14.1 بهرنی کار او سترین انرژی (EXTERNAL WORK AND STRAIN ENERGY)

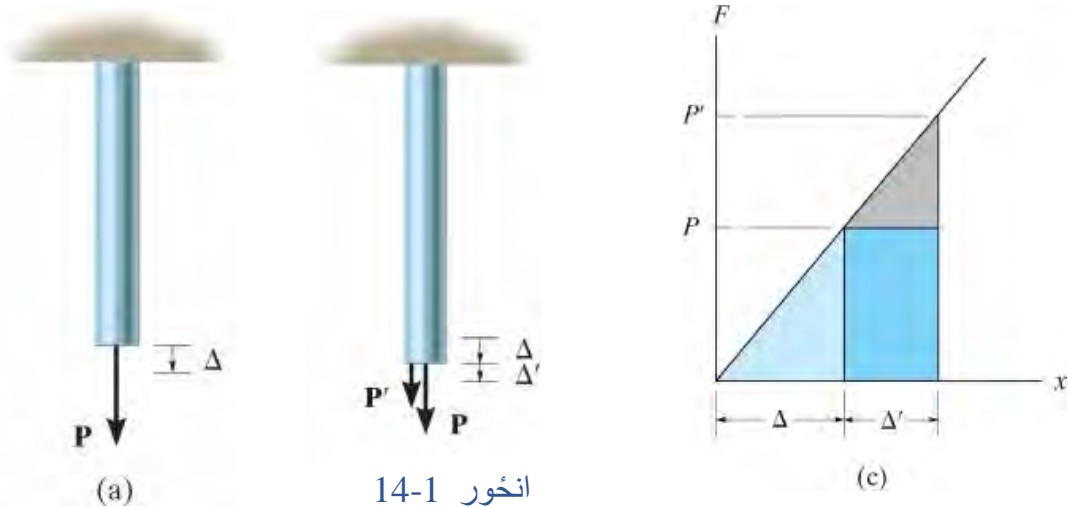
د دې لپاره چې پدې فصل کې رامینځته شوي د انرژي میتودونو څخه کار واخلو، موږ باید لومړی د بهرنی قوو او کپل مؤمنت له امله رامینځته شوی کار تعریف کړو، او وښیو چې دا کار څنگه د جسم د سترین انرژي په ډول څرگند یږي.

د یوې قوې کار (Work of a Force). یوه قوه هغه وخت کار کوي کله چې قوه بیخایه کیدنه dx د قوې په جهت مینځ ته راوړی. کار یو سکالر (scalar) مقدار دی او تعریف کیری په $dU_e = Fdx$ کې ټوله بیخایه کیدنه D وی کار عبارت دي په:

$$U_e = \int_0^{\Delta} F dx \quad (14-1)$$

راځئ چې دا معادله د محوري قوی لخوا د ترسره شوي کار محاسبه کولو لپاره وکاروو، کوم چې د یو میلی په پای کې پلي کیری، او هغه په انځور 14-1a کې ښودل شوي. کله چې شدت د قوې په تدریجي ډول له صفر څخه ځینې محدود ارزښت $F = P$ ته لوړیږي، د میلی د پای وروستی بې ځایه کیدنه D کیری. که د موادو چلند په ایلسټیک خطي ډول وي، نو قوه به په مستقیم ډول د هغې د بې ځایه کیدو سره متناسبه وي؛ او همداسې، $F/x = P/D$ یا $F = (P/D)x$. دا رابطه په معادله 14-1 کې ځای په ځای کوو او له 0 څخه تر D انټیگریت کوو، موږ ترلاسه کوو:

$$U_e = \frac{1}{2} P \Delta \quad (14-2)$$



انځور 14-1

په بل عبارت، څومره چې قوه په بار باندې تطبیق کیږي، د هغې شدت زیاتیري له صفر څخه یو څه ارزښت P ته، او په پایله کې، ترسره شوی کار مساوي دی په اوسط اندازه د قوې، $P/2$ ، ضرب د ټول بې ځایه کېدو D . دا کار په گرافیک ډول د روښانه نیلي سیوري ساحې مثلث شکل لخوا ښودل شوی، انځور 14-1c.

اوس فرض کړئ چې P لا دمخه په بار باندې پلي شوی/ویو بل قوه P' پلي شوي، ترڅو د میلی پای نور په یو مقدار D' بې ځایه شوي، انځور 14-1b. هغه کار چې د P' له خوا ترسره شوی مساوي دی په ساحه د څر سیوري شوي مثلث سره او دا اضافی کار چې د P لخوا ترسره شوي په ساده ډول عبارت دی په مقدار د P ضرب د بېځایه کېدنې D' ، یعنی

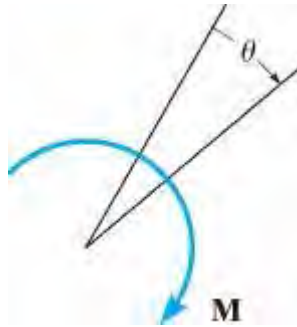
$$U'_e = P\Delta' \quad (14-3)$$

دا په تیاره - نیلي سیوري مستطیلی ساحه کی ښودل شوي، انځور 14-1c.

د کپل مؤمنت کار (Work of a Couple Moment).

يو کپل مؤمنت M هغه وخت کار کړي کله چې دا د عمل د کرښې په اوږدو کې د زاويه dq بې ځايه کيدو څخه تير شي، دا کار د $dU_e = M dq$ ، په توگه تعريف شوی ، انځور 14-2 وگوري . که ټول زاويه بې ځايه کيدل q راد يان وی، کار کيدل عبارت دی په

$$U_e = \int_0^{\theta} M d\theta \quad (14-4)$$



انځور 14-2

که چيرې يو جسم خطي ايلستیک چلند ولري، او د کپل مؤمنت اندازه په تدريجي ډول له صفر څخه په $q=0$ کې او M ته په q کې لوريزي ، بيا ، لکه څنگه د يوې قوې په قضيه کې، کار عبارت دی په :

$$U_e = \frac{1}{2} M\theta \quad (14-5)$$

په هر صورت، که کپل مؤمنت دمخه په جسم باندې تطبيق شوي وي او نور بارونه جسم د يو نور مقدار q' په اندازه وڅرخوي، بيا کار دی

$$U'_e = M\theta'$$

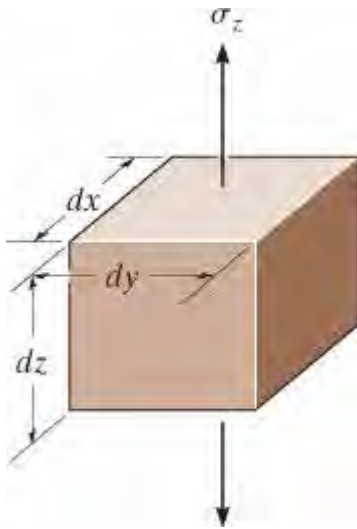
سترین انرژي (Strain Energy) . کله چې بارونه په جسم باندې پلي شي، د موادو شکل بدلېږي، او په دې شرط چې د تودوخې په بڼه انرژي له لاسه ورنکړي، د بارونو لخوا ترسره شوي بهرني کار به په داخلي کارونو بدل شي، کوم چې **سترین انرژي** بلل کېږي. دا انرژي د جسم په بدن کې زيرمه کېږي او د نارمل يا شيبير ستريس پلي کيدو له امله رامینځته کېږي.

نارمل سترس (Normal Stress). د نارمل ستریس s_z له امله د رامینځته شوي سترین انرژی ترلاسه کولو لپاره، د حجم هغه عنصر په پام کې ونیسئ کوم چې په انځور 14-3 کې ښودل شوي. د عنصر په پورتنۍ او ښکته سطح کې رامینځته شوي قوه عبارت ده په $dF_z = s_z dA = s_z dx dy$. که دا قوه (یا ستریس) په تدریجي ډول په عنصر پلي شي، نو د قوه شدت به له صفر څخه dF_z ته لوړ شي، پداسې حال کې چې عنصر به اوږدوالی په اندازه $dD_z = \epsilon_z dz$ وپراخوي. د dF_z لخوا شوي کار عبارت کېږي په

$$dU_i = \frac{1}{2} dF_z dD_z = \frac{1}{2} [s_z dx dy] \epsilon_z dz$$

. څرنگه چې د عنصر حجم عبارت دی په $dV = dx dy dz$ ، بیا

$$dU_i = \frac{1}{2} \sigma_z \epsilon_z dV \quad (14-6)$$



انځور 14-3

دا سترین انرژی تل مثبت وي، حتی که s_z تیلوهونکی وي، ځکه چې s_z او ϵ_z به تل په ورته لوري وي.

د یوې محدودې اندازې جسم لپاره، په جسم کې سترین انرژی له همدې امله ده

$$U_i = \int_V \frac{\sigma \epsilon}{2} dV \quad (14-7)$$

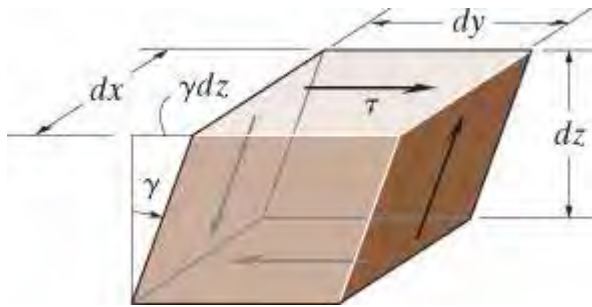
کله چې مواد خطی ایلینیک چلند ولري، بیا $s = E \epsilon$ او مور کولای شو چې سترین انرژی د نارمل ستریس له مخې تشریح کړو

$$U_i = \int_V \frac{\sigma^2}{2E} dV \quad (14-8)$$

شییر ستریس (Shear Stress)

د سترین انرژي بنودنه د هغو موادو لپاره کله چې شییر ستریس ورباندی عمل کوی، ورته نارمل ستریس ته، هم رامینځته کیدی شي. دلته په انځور 4-14 بنودل شوی عنصر د شییر قوه $dF = t(dx dy)$ تابع دی، کوم چې د هغې په پورتنی سطح کې عمل کوي، او دا د دې سطحې بی ځایه کیدنی gdz نسبت د هغې لاندې سطحې ته شوی. یوازې عمودی سطحې څرخي، او له همدې امله په دې مخونو کې د شییر قوه هیڅ کار نه کوي. له همدې امله، په عنصر کې زیرمه شوی سترین انرژي کیري

$$dU_i = \frac{1}{2} \tau \gamma dV \quad (14-9)$$



یا څرنګه چې $dV = dx dy dz$

$$dU_i = \frac{1}{2} [\tau(dx dy)] \gamma dz$$

انځور 4-14

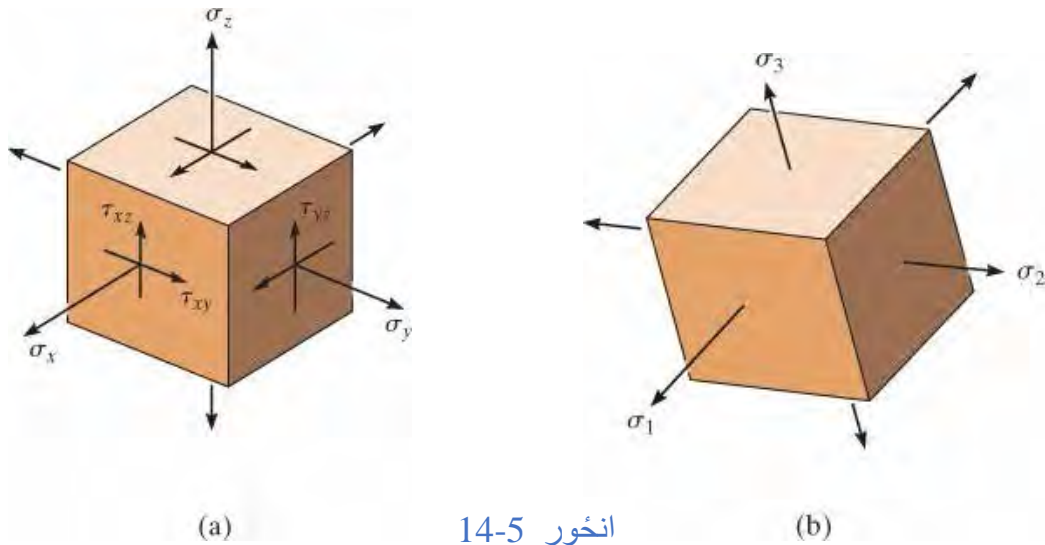
په جسم کې زیرمه شوی سترین انرژي د شییر ستریس پلي کیدو له امله عبارت ده په

$$U_i = \int_V \frac{\tau \gamma}{2} dV \quad (14-10)$$

د نارمل سترین انرژي په شان، شییر سترین انرژي هم تل مثبت وی، ځکه چې t او g تل په یو شان جهت وی. که چیری مواد ایلستیک خطی چلند ولري نو بیا $g = t/G$ ، او مور د سترین انرژي د شییر ستریس له مخی داسی بنودلی شو.

$$U_i = \int_V \frac{\tau^2}{2G} dV \quad (14-11)$$

څو اړخیز ستریس (Multiaxial Stress). تیر شویو بحثونو ته پراختیا ورکول کیدی شي، تر څو په جسم کې سترین انرژي کله چې دا د عمومي ستریس حالت تابع وي، مشخص کړی، انځور 5a-14 و گوري. د دې اجرا کولو لپاره، هغه سترین انرژي چې تراو لري دهر یو شیرو نارمل او



شپير ستریس اجزاو په کارولو د معادلو 14-6 او 14-9 څخه ترلاسه کیدی شي، او څرنگه چې انرژي یو سکيلر اندازه ده، ټول سترین انرژي چی په جسم کې جوړیږي عبارت ده په

$$U_i = \int_V \left[\frac{1}{2} \sigma_x \epsilon_x + \frac{1}{2} \sigma_y \epsilon_y + \frac{1}{2} \sigma_z \epsilon_z + \frac{1}{2} \tau_{xy} \gamma_{xy} + \frac{1}{2} \tau_{yz} \gamma_{yz} + \frac{1}{2} \tau_{xz} \gamma_{xz} \right] dV \quad (14-12)$$

د هوک عمومی قانون په کارولو د معادلو 10-18 او 10-19 سره سترین کیدی شي چی حذف شي. وروسته له ځای په ځای کیدو او یو ځای کیدو مور لرو:

$$U_i = \int_V \left[\frac{1}{2E} (\sigma_x^2 + \sigma_y^2 + \sigma_z^2) - \frac{\nu}{E} (\sigma_x \sigma_y + \sigma_y \sigma_z + \sigma_x \sigma_z) + \frac{1}{2G} (\tau_{xy}^2 + \tau_{yz}^2 + \tau_{xz}^2) \right] dV \quad (14-13)$$

که چیری اصلی ستریسونه s_1, s_2, s_3 په عنصر باندی پلی شوي وي، انځور 14-5b دا معادله داسی ساده شکل غوره کوي

$$U_i = \int_V \left[\frac{1}{2E} (\sigma_1^2 + \sigma_2^2 + \sigma_3^2) - \frac{\nu}{E} (\sigma_1 \sigma_2 + \sigma_2 \sigma_3 + \sigma_1 \sigma_3) \right] dV \quad (14-14)$$

14.2 د مختلف ډول بارونو ایلستیکي سترین انرژي (ELASTIC STRAIN ENERGY FOR VARIOUS TYPES OF LOADING)

د ایلستیک سترین انرژي معادلې، کوم چې په تیره برخه کې رامینځته شوي، دلته به کار تری واخستل شی. مور به اوس هغه ذخیره شوي سترین انرژي په یوه غړي کې چې د محوري بار، کربدونکي مؤمنت، عرضي شیبیر او تاویدونکی مؤمنت د پلي کیدو له امله مینځ ته راغلی و گورو.

محوری بار (Axial Load). یو متغیر او یو څه مخروطي بڼی غوڅی برخي میله کوم چې په انځور 14-6 کې ښودل شوي په پام کې ونیسئ. داخلي محوری قوه په یوه برخه کې چې x فاصله له یوه پایله موقعیت لري په N ښودل شوي. که چیرې په دې برخه کې د غوڅی برخي ساحه A وي، بیا په دې برخه کې نارمل ستریس $s = N/A$ دی. معادله 14-8 پلي کوو. مونږی لرو:



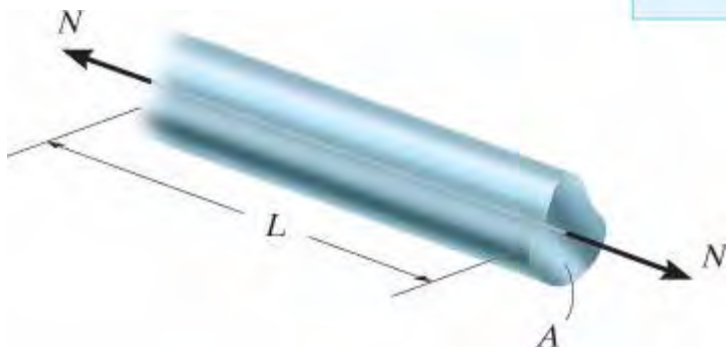
$$U_i = \int_V \frac{\sigma_x^2}{2E} dV = \int_V \frac{N^2}{2EA^2} dV$$

انځور 14-6

که مور یو کوچني ټوټه د میلی چې حجم یې $dv = A dx$ دی واخلو، نو عمومی فورمول د سترین انرژي د میلی لپاره عبارت دی په :

$$U_i = \int_0^L \frac{N^2}{2AE} dx$$

(14-15)



انځور 14-7

د میلی تر ټولو عام استعمال د میلی، چې ثابتته غوڅه برخه A لري او ثابت داخلي محوري بار N انځور 14-7، انټیگریشن راکوي

$$U_i = \frac{N^2 L}{2AE}$$

(14-16)

په یاد ولری د میلی سترین انرژي به زیاتوالی و مومي که د میلی اوردوالي ډیر شي، او یا د ایلسیتی ماجولس او یا د غوڅی برخی ساحه لږ شي. د مثال په توگه د المونیم میله

[$E_{al} = 10(10^3) \text{ ksi}$] کولای شي چی دري چند زیاته انرژي په پرتله د فولادو میلی [$E_{st} = 29(10^3) \text{ ksi}$] ذخیره کړي ، کوم چی یو شان ساحه او یو شان بار ورباندی پلی شوی وي.

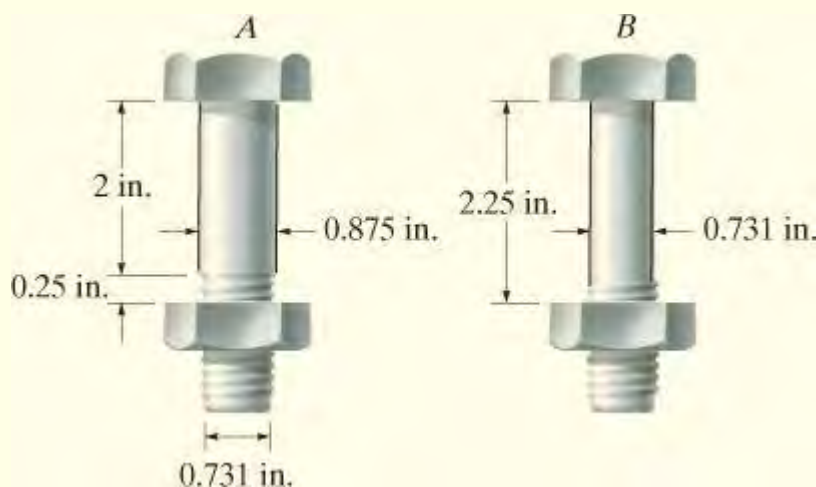
اما که د میلی غوڅه برخه ساحه دوه چند شي ، ددی وړتیا د سترین انرژي ذخیره کولو د پاره نیمایي ته راتیته کیږی.

مثال

مثال 14.1

په انځور 14-8 کې بنودل شوي د دوه لوړ قوت فولادی بولټونو A او B څخه یو غوره کیږی تر څو د ناڅاپه کششي بار ملاتړ لپاره وکارول شي. د انتخاب لپاره دا اړینه ده چی د ایلسیتیک سترین انرژي خورا لوی مقدار چې هر بولټ یې جذب کولی شي مشخص شي . بولټ A د خپل اوردوالی 2 انچو لپاره 0.875 انچ قطر لري، او په بیخ (یا تر ټولو کوچني) قطر د 0.731 انچه په 0.25 انچ رخه داره یا تار شوی سیمه کی دي. بولټ B "پورته" (upset) تارونه لري، داسې چې قطری په 2.25 انچ اوردو کې کیدی شي چی د 0.731 انچه اټکل شي. په دواړو حالتونو کې، اضافي موادو ته پام مه کړی چی تارونه جوړوي.

واخلي $E_{st} = 29(10^3) \text{ ksi}$, $s_Y = 44 \text{ ksi}$



انځور 14-8

حل (SOLUTION)

بولت A : که چيري بولت باندي اعظمي کشش عمل وکري، اعظمي سٽريس s_y به په 0.25 in. برخه کي مينځ ته راشي. دا قوه مساوي ده په:

$$P_{\max} = \sigma_Y A = 44 \text{ ksi} \left[\pi \left(\frac{0.731 \text{ in.}}{2} \right)^2 \right] = 18.47 \text{ kip}$$

معادله 14-16 په هره برخه د بولټ کي پلي کوو، مور لرو

$$\begin{aligned} U_i &= \sum \frac{N^2 L}{2AE} \\ &= \frac{(18.47 \text{ kip})^2 (2 \text{ in.})}{2[\pi(0.875 \text{ in.}/2)^2][29(10^3) \text{ ksi}]} + \frac{(18.47 \text{ kip})^2 (0.25 \text{ in.})}{2[\pi(0.731 \text{ in.}/2)^2][29(10^3) \text{ ksi}]} \\ &= 0.0231 \text{ in.} \cdot \text{kip} \quad \text{Ans.} \end{aligned}$$

بولت B (Bolt B): دلته فرض کيږي چي بولټ مساوي قطر د 0.731 in په ټول 2.25 in اوږدوالي کي لري. همدارنگه له پورتنيو محاسباتو، دا کولاي شي چي د $P_{\max} = 18.47 \text{ kip}$ قوي ملاتړ وکري. نو بيا

$$U_i = \frac{N^2 L}{2AE} = \frac{(18.47 \text{ kip})^2 (2.25 \text{ in.})}{2[\pi(0.731 \text{ in.}/2)^2][29(10^3) \text{ ksi}]} = 0.0315 \text{ in.} \cdot \text{kip} \quad \text{Ans.}$$

يادونه: په پرتله کولو سره: بولټ B کولاي شي چي 37% ډير ايلسټيک انرژي نسبت بولټ A ته جذب کړي، ځکه چي کوچني غوڅه برخه په اوږدوالي کي لري.

کڙيدونکي مؤمنت (Bending Moment).

محور متناسب (axisymmetric) بيم کوم چي په انځور 9-14 کي ښودل شوي په پام کي ونيسئ. دلته داخلي مؤمنت M ، په يوه خپل سري کوچني ټوټه چي په y فاصله له صفرې کرښې موقعيت لري يو نارمل سٽريس $s = My/I$ ورباندي پلي شوی. که د دي ټوټي حجم $dV = dA dx$ وي، نو بيا ايلسټيک انرژي په بيم کي عبارت ده په:

$$U_i = \int_V \frac{\sigma^2}{2E} dV = \int_V \frac{1}{2E} \left(\frac{My}{I} \right)^2 dA dx$$

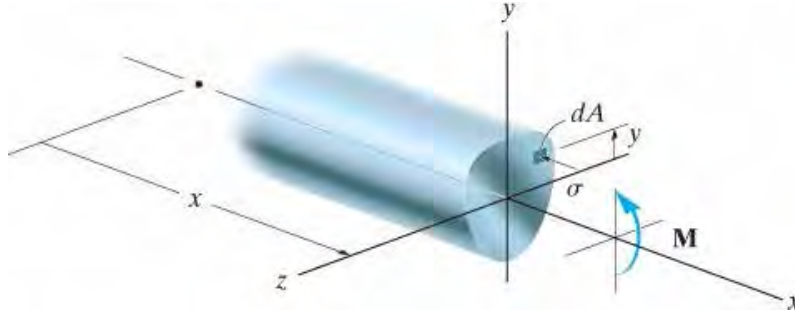
یا

$$U_i = \int_0^L \frac{M^2}{2EI^2} \left(\int_A y^2 dA \right) dx$$

حکھ چی په قوس کی انٹیگرال د انرشیایی مؤمنت په صفري کرنبه استازیتوب کوی، اخری نتیجه داسی لیکلی شو

$$U_i = \int_0^L \frac{M^2 dx}{2EI} \quad (14-17)$$

د سترین انرژی معلومولو لپاره ، مور باید داخلی مؤمنت تابع د x فاصلی د بیم په اوږدو کی و بنیو. او بیا په ټول اوږدوالي انٹیگریشن تطبیق کړو

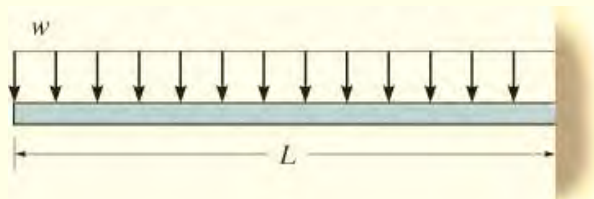


انخور 14-9

مثال

مثال 14.2

په لاندی بنودل شوی خورند بیم، انخور 14-10a، کی د کړیدو له امله سترین انرژي و ټاکي. EI ثابت دی.



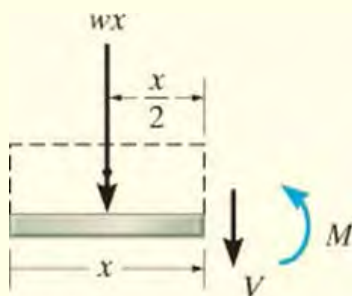
(a)

انخور 14-10

حل (SOLUTION)

داخلي مؤمنت په بیم کی، د x محور تاسیس کولو له لاری چی مبداء یی په چپ لور کی ده، ټاکل کیدی شي.

$$\zeta + \sum M_{NA} = 0; \quad M + wx \left(\frac{x}{2} \right) = 0 \quad M = -w \left(\frac{x^2}{2} \right)$$



(b)

له پلی کولو د معادله 14-17 دا لاندی په لاس راځي

$$U_i = \int_0^L \frac{M^2 dx}{2EI} = \int_0^L \frac{[-w(x^2/2)]^2 dx}{2EI} = \frac{w^2}{8EI} \int_0^L x^4 dx$$

یا

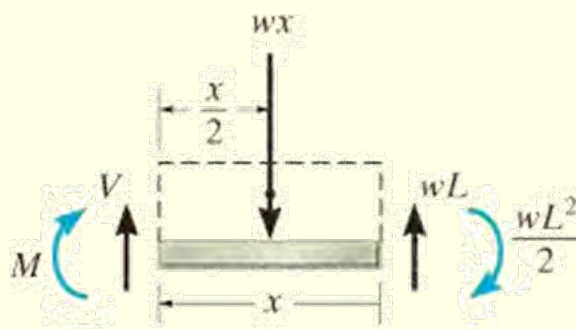
$$U_i = \frac{w^2 L^5}{40EI}$$

Ans.

همدا رنگه مور کولای شو چی سترین انرژي، په کارولو د x محور کوم چی مبداء یی په بني لور کی او مثبت په چپ لور حساب شي، و ټاکو. انځور 14-10c و گوري. په دی حالت کی:

$$\zeta + \sum M_{NA} = 0; \quad -M - wx\left(\frac{x}{2}\right) + wL(x) - \frac{wL^2}{2} = 0$$

$$M = -\frac{wL^2}{2} + wLx - w\left(\frac{x^2}{2}\right)$$

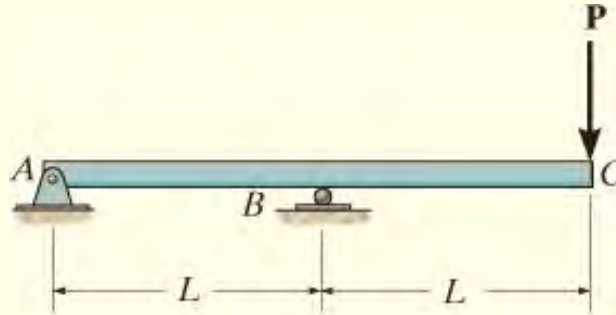


(c)

په پلي کولو د معادلی 14-17 د پخوا په شان نتیجه لاس ته راځي. اما ډير محاسبات په دی حالت کی اړين دی.

مثال 14.3

کریدونکی سترین انرژی په برخه AB دی لاندی بیم ، انخوړ 14-11a کي، و تاکي EI د بیم ثابت دی.



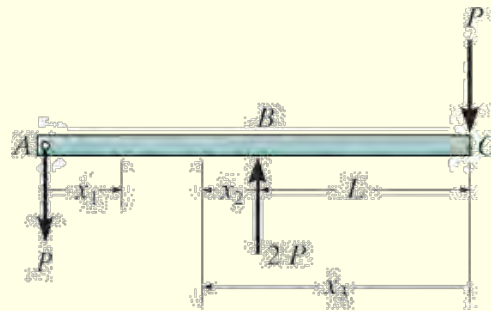
(a)

انخوړ 14-11

حل (SOLUTION)

د بیم آزاد ډایگرام په انخوړ 14-11b کي بنودل شوي. د ځواب حاصلولو لپاره مور کولای شو ، چی داخلی مؤمنت تابع د دریومخوړونو (x) کواردناتو سره وبنیو او بیا معادله 14-17 پلی کړو. هر یو ددی ځوابونو به اوس وڅیړو.

له آزاد ډایگرام د برخی انخوړ 14-11c مور لرو $0 \leq x_1 \leq L$.



(b)

$$\zeta + \sum M_{NA} = 0; \quad M_1 + Px_1 = 0$$

$$M_1 = -Px_1$$

$$U_i = \int \frac{M^2 dx}{2EI} = \int_0^L \frac{(-Px_1)^2 dx_1}{2EI} = \frac{P^2 L^3}{6EI}$$

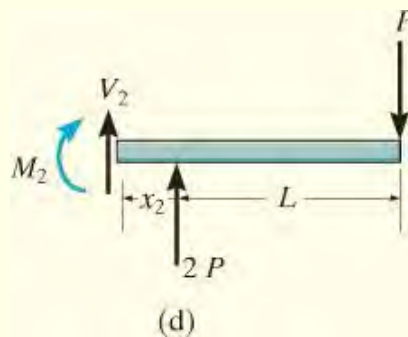
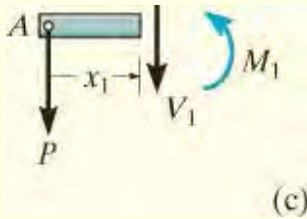
Ans.

له آزاد دایگرام انخوړ 14-11d لیکلی شو . $0 \leq x_2 \leq L$

$$\zeta + \sum M_{NA} = 0; \quad -M_2 + 2P(x_2) - P(x_2 + L) = 0$$

$$M_2 = P(x_2 - L)$$

$$U_i = \int \frac{M^2 dx}{2EI} = \int_0^L \frac{[P(x_2 - L)]^2 dx_2}{2EI} = \frac{P^2 L^3}{6EI} \quad \text{Ans.}$$

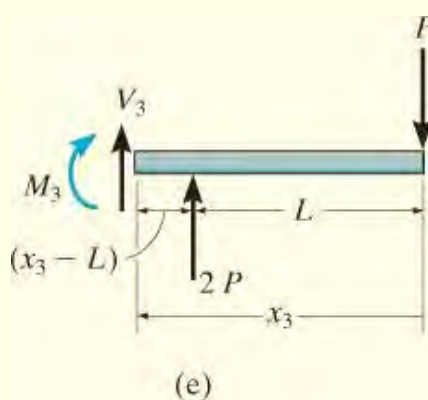


له آزاد دایگرام 14-11e لیکلی شو . $L \leq x_3 \leq 2L$.

$$\zeta + \sum M_{NA} = 0; \quad -M_3 + 2P(x_3 - L) - P(x_3) = 0$$

$$M_3 = P(x_3 - 2L)$$

$$U_i = \int \frac{M^2 dx}{2EI} = \int_L^{2L} \frac{[P(x_3 - 2L)]^2 dx_3}{2EI} = \frac{P^2 L^3}{6EI} \quad \text{Ans.}$$



یادونه

یادونه

انخوړ 14-11 (تکرار)

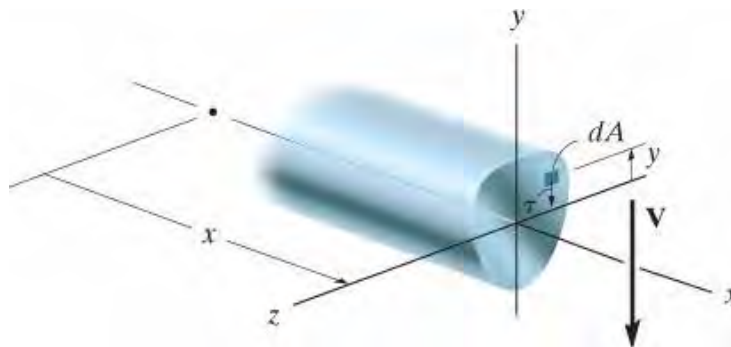
يادونه: دا مثال او پخوانی مثال وښودله چې د بيم سترين انرژي په کارولو د هر مناسب x کورديناټ سره په گوته او په کارولو سره يې موندل کیدی شي. دا يوازي اړين دی چيرې چې داخلي انرژي بايد وټاکل شي، اينټيگریشن په حد دکورديناټ کې اجرا شي. دلته د x انتخاب خورا ساده حل وړاندې کوي.

عرضي شير (Transvers Shear).

يو ځل بيا به د محور متناسب بيم کوم چې په انځور 14-12 کې ښودل شوي په پام کې ونيسو. که د x په برخه کې داخلي شير V وي، نو بيا شير ستريس چې د موادو په حجمی ټوټه باندې عمل کوي چې مساحت يې dA او اوږدوالی dx لري عبارت دی په $t = VQ/It$. دا په معادله 14-11 کې ځای په ځای کولو او سترين انرژي د شير لپاره عبارت ده په:

$$U_i = \int_V \frac{\tau^2}{2G} dV = \int_V \frac{1}{2G} \left(\frac{VQ}{It} \right)^2 dA dx$$

$$U_i = \int_0^L \frac{V^2}{2GI^2} \left(\int_A \frac{Q^2}{t^2} dA \right) dx$$



انځور 14-12

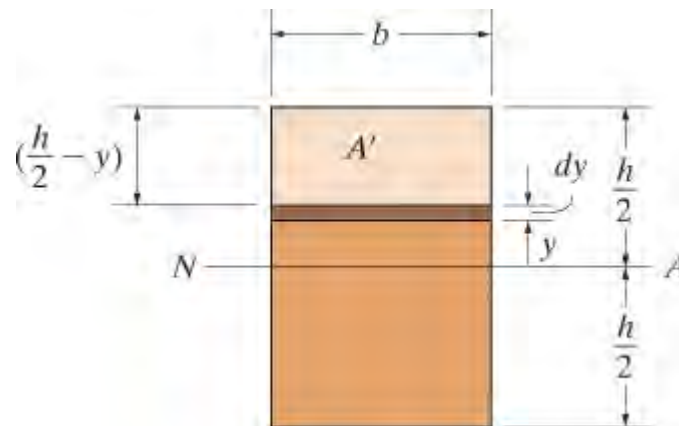
څرنګه چې په قوس کې انټيګرال د د فارم فکتور (**form factor**) د شير لپاره استازيتوب کوي، داسې ليکلی شو:

$$f_s = \frac{A}{I^2} \int_A \frac{Q^2}{t^2} dA \quad (14-18)$$

دا په پورتنی معادله کې ځای په ځای کولو، مور لرو

$$U_i = \int_0^L \frac{f_s V^2}{2GA} dx \quad (14-19)$$

له هغه لاري چي دا په معادله 14-18 کي تعريف شوی، انځور فکتور يا فارم فکتور بي ابعاد ه نمبر دی چي د هر ځانگړي غوڅي برخي ساحي لپاره ځانگړي ارزښت لري. د مثال په توگه، که د يو مستطيلي غوڅي برخي بيم، عرض يي b او لوړوالي h وي، انځور 14-13، بيا



انځور 14-13

$$t = b$$

$$dA = b dy$$

$$I = \frac{1}{12} b h^3$$

$$Q = \bar{y}' A' = \left(y + \frac{(h/2) - y}{2} \right) b \left(\frac{h}{2} - y \right) = \frac{b}{2} \left(\frac{h^2}{4} - y^2 \right)$$

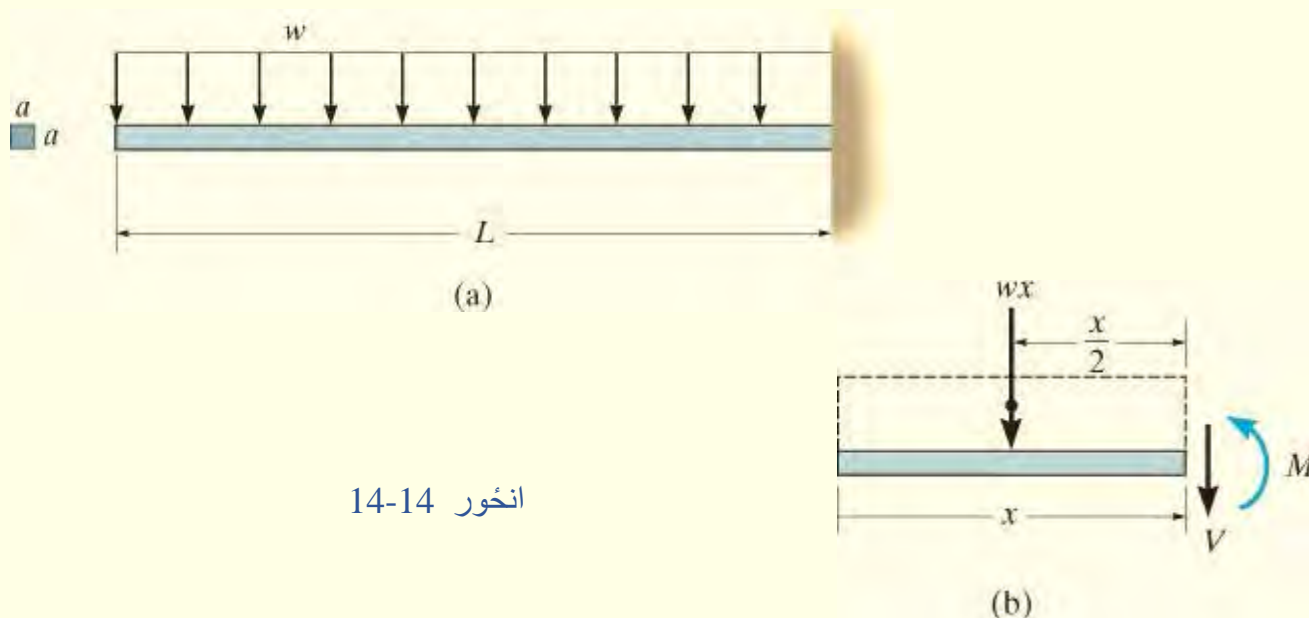
دا په معادله 14-18 کي ځای پر ځای کوو، مور حاصل کوو

$$f_s = \frac{bh}{\left(\frac{1}{12} b h^3 \right)^2} \int_{-h/2}^{h/2} \frac{b^2}{4b^2} \left(\frac{h^2}{4} - y^2 \right)^2 b dy = \frac{6}{5} \quad (14-20)$$

مثال

مثال 14.4

په لاندی خورند یا کنټیلیور بیم کی د شپیر له امله سترین انرژي و ټاکی. بیم مربع غوڅه برخه لری او ویشل شوی بار w ورباندی پلی شوي دی، انځور 14-14a. EI او G ثابت دی.



انځور 14-14

حل (SOLUTION)

له آزاد ډایگرام په یو خپل سری برخه x کی، انځور 14-4b، مور لرو:

$$+\uparrow \Sigma F_y = 0; \quad -V - wx = 0$$

$$V = -wx$$

څرنګه چی غوڅه برخه مربع ده، د شکل فکتور (فارم فکتور) $f_s = \frac{6}{5}$ (معادله 14-20)، نو بیا معادله 14-19 کیري:

$$(U_i)_s = \int_0^L \frac{\frac{6}{5} (-wx)^2 dx}{2GA} = \frac{3w^2}{5GA} \int_0^L x^2 dx$$

يا

$$(U_i)_s = \frac{w^2 L^3}{5GA} \quad \text{Ans.}$$

يادونه: د مثال 14.2 نتيجه په كارولو كله چې $A = a^2, I = 1/12 (a^4)$ نسبت د شيبير كريدونكي سترين انرژي ته كيږي

$$\frac{(U_i)_s}{(U_i)_b} = \frac{w^2 L^3 / 5Ga^2}{w^2 L^5 / 40E \left(\frac{1}{12} a^4 \right)} = \frac{2}{3} \left(\frac{a}{L} \right)^2 \frac{E}{G}$$

خكه چې

نو داسې ليكلي شو $G = E/2(1+\nu)$ او $\nu \leq 1/2$ (برخه 10.6) څرنگه چې پورتنۍ ليمت، $E = 3G$ نو داسې ليكلي شو

$$\frac{(U_i)_s}{(U_i)_b} = 2 \left(\frac{a}{L} \right)^2$$

په ياد ولرئ دا نسبت به د L له كميدو سره زيات شي. په هر صورت د ډيري لنډ بيم لپاره ، چيرته كه ووايو $L = 5a$ د شيبير سترين انرژي ونډه يوازې 8% نظر كريدونكي سترين انرژي ته، ده او له همدې امله ذخيره شوي شيبير سترين انرژي معمولاً په انجينري تحليل كې له پامه غورځول كيږي.

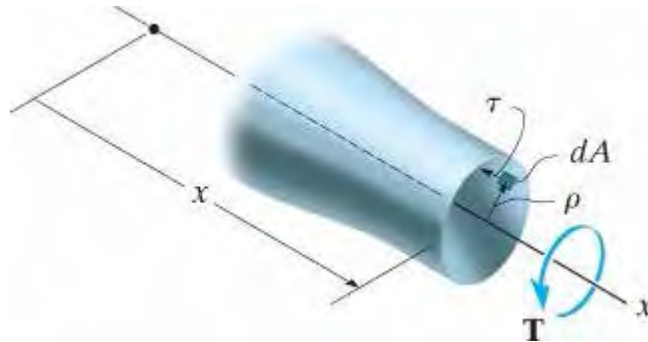
دټاويدومؤمنت (Torsional Moment).

د ټاويدولپاره ، مور به يو نيږدې مخروطي شافت په پام كې و نيسو، انځور 14-15 ، كوم چې داخلي تورك T ورباندې پلي شوي دي. په يو خپل سري حجمي ټوټه چې ساحه يې dA او اوږدوالي يې dx دي، شيبير ستريس مساوي دي په $t = Tr/J$ ، او له همدې امله په شافت كې زيرمه شوي سترين انرژي عبارت ده په:

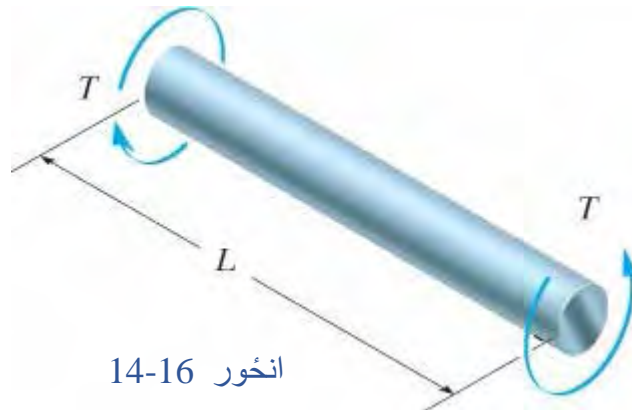
$$U_i = \int_V \frac{\tau^2}{2G} dV = \int_V \frac{1}{2G} \left(\frac{T\rho}{J} \right)^2 dA dx = \int_0^L \frac{T^2}{2GJ^2} \left(\int_A \rho^2 dA \right) dx$$

څرنګه چې په قوس کې انټیګرال د پولر انرشیايي مؤمنت J د شافت د برخې دی، پایله نتیجه داسې لیکلې شو:

$$U_i = \int_0^L \frac{T^2}{2GJ} dx \quad (14-21)$$



انځور 14-15



انځور 14-16

تر ټولو معمولي حالت هغه دی کله چې شافت (یا ټیوب) ثابت غوڅه برخه ولري او ثابت تورک ورباندې پلي شوي وي، انځور 14-16. انټیګریشن د معادلې 14-21 بیا راکوي

$$U_i = \frac{T^2 L}{2GJ} \quad (14-22)$$

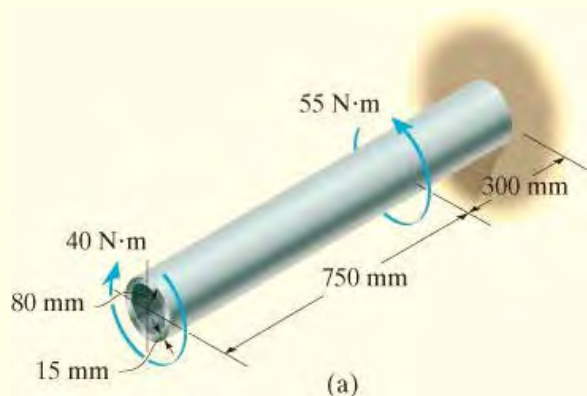
په یاد ولري چې د انرژي د جذبولو ظرفیت د شافت کله چې تورژن ورباندې پلي شوي وي د قطر د زیاتوالي سره کمیږي، دا ځکه چې اندازه د J زیاتیږي.

مهم ټکی

IMPORTANT POINTS

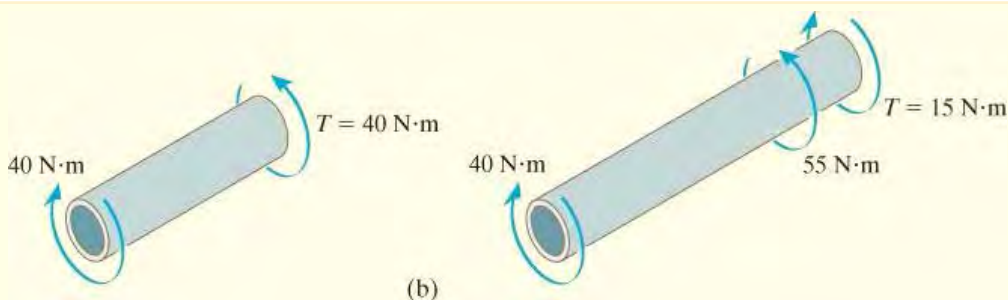
- یوه قوه هغه وخت کار کوي کله چې د بې ځایه کیدو سره په حرکت کې وي. کله چې یو قوه په جسم باندې پلي کېږي د هغې شدت په تدریجي ډول له صفر څخه F ته پېرېږي، او په دې توګه کار $U = (F/2)D$ دی. په هر صورت، که یو ثابت قوه په جسم باندې عمل وکړي، او جسم په اندازه D بې ځایه شي په دې صورت کې، کار $U = FD$ کېږي.
- یو کپل مؤمنت هلته کار کوي چې د گردش له لارې بې ځایه توب منځ ته راشي.
- سترین انرژي لامل داخلي کار دی، کوم چې د نارمل او شیبیر ستریسونو له امله رامینځته کېږي. دا تل یو مثبت مقدار دی.
- سترین انرژي د داخلي بارونو سره تړاو لري $N, V, M,$ او T .
- لکه څنګه چې بیم اوږدېږي، سترین انرژي د کړیدو له امله، په پرتله، د سترین انرژي د شیبیر له امله، خورا لویږي. د دې دلیل له امله، په بیمونو کې د شیبیر سترین انرژي عموماً له پامه غورځول کېدی شي.

مثال 14.5



ټیوبی شافت په انځور 14-17a کې ښودل شوي چې په دیوال کې ټینګ تړل شوی او دوه ټورکونه ورباندې پلي شوي دي. ذخیره شوی سترین انرژي، په شافت کې ددی بار له لامله و ټاکي.

$$G = 75 \text{ GPa}$$



انخورد 14-17

حل (SOLUTION)

د برخی له طریقی کار اخلو، داخلی تورک یی په دو سیمو د شافت کی چی هلته تورک ثابت دی ، انخورد 14-17b ، پیدا کوو. که څه هم دا تورکونه (40 N.m او 15 N.m) مخالف لوري د یو بل دی ، دا به د سترین انرژي په ټاکلو کی کومه پایله و نلري، ځکه چی تورک په معادله 14-22 کی مربع شوی دی. په بل عبارت سترین انرژي تل مثبت ده.

قطبی انرشیايي مؤمنت (polar moment of inertia) د شافت عبارت دی په

$$J = \frac{\pi}{2} [(0.08 \text{ m})^4 - (0.065 \text{ m})^4] = 36.30(10^{-6}) \text{ m}^4$$

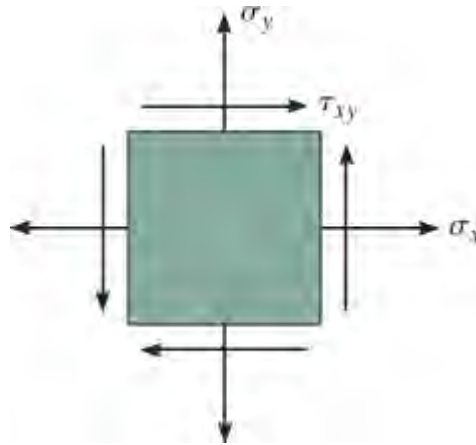
معادله 14-22 پلی کوو ، مور لرو

$$\begin{aligned} U_i &= \sum \frac{T^2 L}{2GJ} \\ &= \frac{(40 \text{ N} \cdot \text{m})^2 (0.750 \text{ m})}{2[75(10^9) \text{ N/m}^2]36.30(10^{-6}) \text{ m}^4} + \frac{(15 \text{ N} \cdot \text{m})^2 (0.300 \text{ m})}{2[75(10^9) \text{ N/m}^2]36.30(10^{-6}) \text{ m}^4} \\ &= 233 \mu\text{J} \end{aligned} \quad \text{Ans.}$$

سوالونه

PROBLEMS

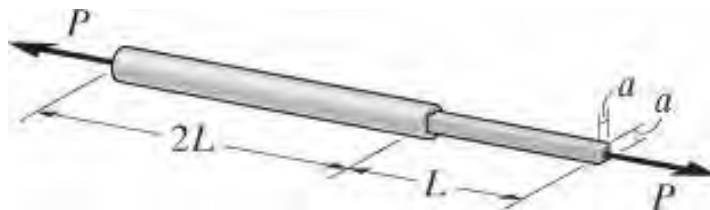
س 14-1 مواد دیوعمومي حالت د سطحی ستیریس سره مخامخ دی. د ستیرین انرژي کثافت د ایلستیک ثابت ارقامو E , G او U او د ستیریس اجزاوو S_x , S_y او t_{xy} له مخی وښيي.



س 14-1

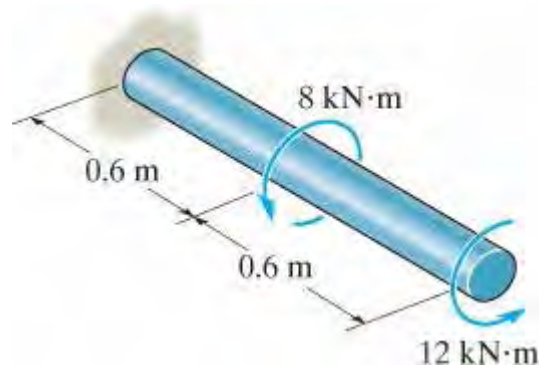
س 14-2. د ستیرین انرژي کثافت د سطحی ستیریس په حالت باید یو شان وی، که چیری په S_x او S_y یا په اصلی ستیریسونو S_1 او S_2 و ښودل شي. په دی حالت کی د ستیرین انرژي څرگندونی د هرو دوو حالتونو لپاره مساوی جوړی کړي او وه ښيي چی $G = E / [2(1 + U)]$.

س 14-3. د A-36 فولادو میله له دوو برخو جوړه شوي ده، یوه غوڅه برخه د r شعاع لري، او بله مربع غوڅه برخه لري. که چیری په میله یو محوری بار P عمل وکړي ابعاد a د مربع برخي داسی معلوم کړي تر څو ستیرین انرژي په داخل د مربع برخي یو شان د هغه برخي وی چی گردی ده.



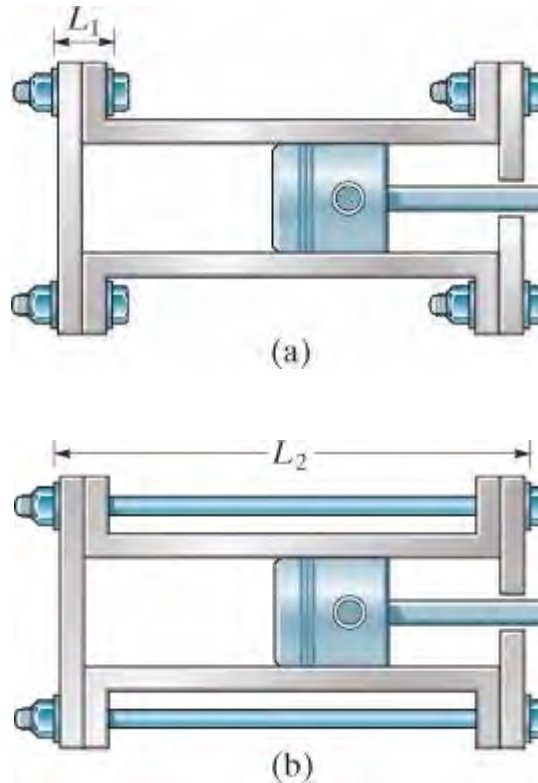
س 14-3

س 14-4* . تورژن سترين انرژي د A992 فولادی شافت و ټاكي. د شافت شعاع 50 mm ده.



س 14-4

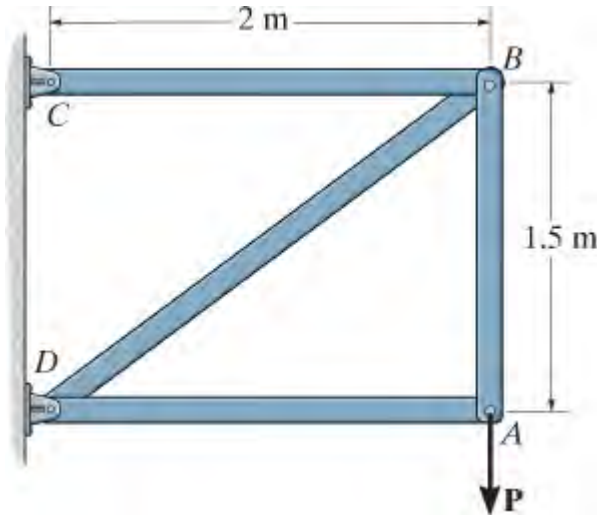
س 14-5 . د ورته موادو بولټونه کوم چی یو شان غوڅی لری ، د دوه ممکنه ترونکي ضميمي د سلندر سر د کارولو لپاره په لاندی انځور کی بنودل شوي. په هر قضیه کی رامینځ ته شوي سترين انرژي پرتله کړئ، او بیا تشریح کړي چی کوم ډیزاین د محوری شک یا ټکر بارونو لپاره غوره دي.



س 14-5

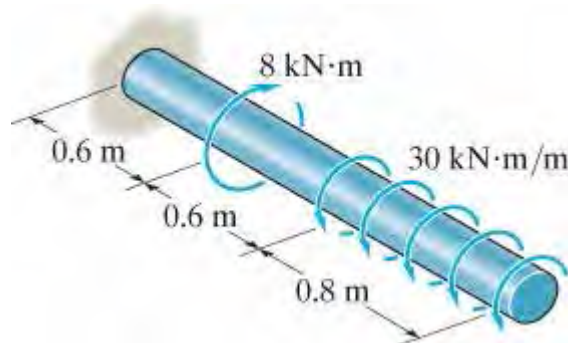
س 14-6. که چیری $P = 60 \text{ kN}$ وي، ټوله ذخیره شوی سترین انرژي په ترس کی و ټاکي. د هر غړی غوڅه برخه $2.5 (10^3) \text{ mm}^2$ ده، او له A-36 فولادو جوړ شوي.

س 14-7. د اعظمی قوی P اندازه مشخص کړئ، او هم اړونده ټول زیرمه شوي اعظمی سترین انرژي په ترس کی، پرته له دی چی کوم غړی دایمی بیخایه کیدنه و مومي، و ټاکي. د هر غړي د غوڅی برخه ساحه $2.5 (10^3) \text{ mm}^2$ او له A-36 فولادو جوړ شوي.



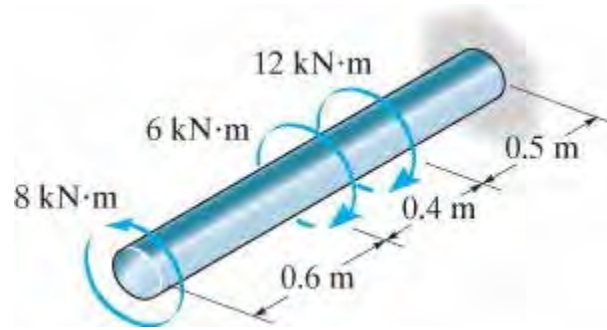
س 14-6/7

س *14-8. تورژن سترین انرژي د A992 فولادی شافت و ټاکي. د شافت شعاع 40 mm ده.



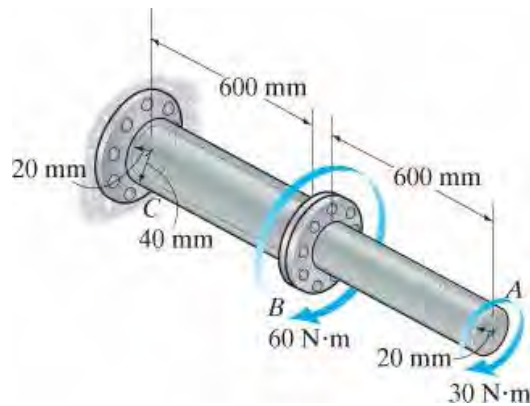
س 14-8

س 14-9. تورژن سترين انرژي د A-36 فولادی شافت و ټاکي. د شافت شعاع 40 mm ده.



س 14-9

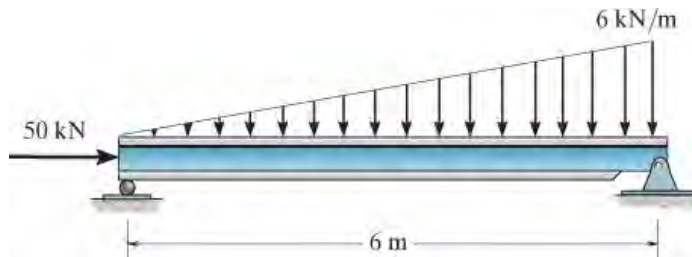
س 14-10. لاندی شافت اسامبلی په C کی ټینګ تړل شوي ده. د خالی برخي BC داخلی شعاع د 20 mm لري او وتلی شعاع يي 40 mm ده، او د ډکی برخي AB شعاع لري. زیرمه شوی سترين انرژي په شافت کی مشخص کری. شافت له المونیم الیاژ 2014-T6 څخه جوړ شوي دی. کپلینک په B کی سخت (rigid) دی.



س 14-10

س 14-11. د محوری بار او کړیدو او سترين انرژي په فولادی A992 بیم کی وټاکي.

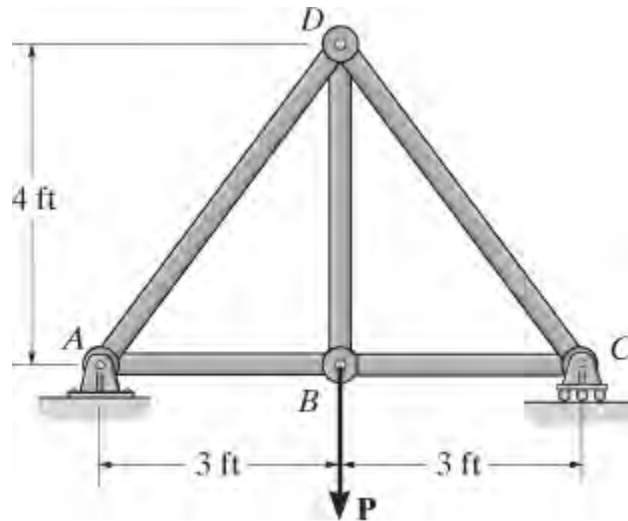
$$I = 28.9 (10^6) \text{ mm}^4 \text{ او } A = 2850 \text{ mm}^2$$



س 14-11

س 14-12* . که $P = 10 \text{ kip}$ وي، ټوله سترين انرژي په ټرس کې و ټاکي. هر غړی د ټرس 2 in قطر لري او له A992 فولادو جوړ شوي دي.

س 14-13 . د اعظمی قوه P اندازه مشخص کړئ ، او هم اړونده ټول زیرمه شوي اعظمی سترين انرژي په ټرس کې، پرته له دی چی هر غړی دایمی بیخایه کیدنه و مومي، و ټاکي. د ټرس هر غړي 2 in قطر لري او له A-36 فولادو جوړ شوي.



س 14-12/13

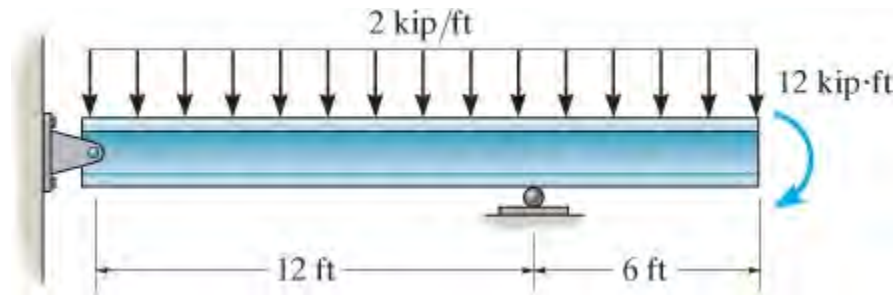
س 14-14 . د انځور 5-26 نازک دیوال تیوب په پام کې ونیسي. د شیبیر فورمول

، معادله 5-18 ، $t_{avg} = T/2tA_m$ ، او د شیبیر سترين انرژي عمومی حالت معادله 14-11

وکاروي، ترڅو ویني چې ټاو (twist) د تیوب په معادله 5-20 ورکړل شوي.

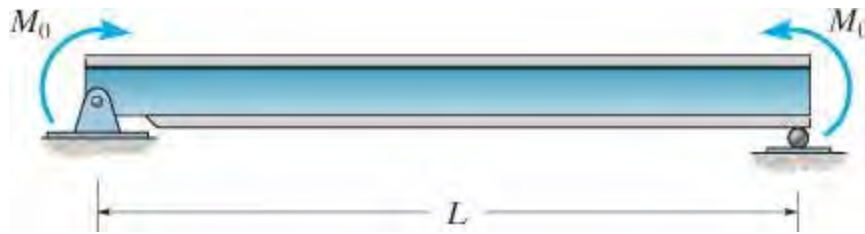
مرسته: هغه کار چی تورک T په تیوب کړي مساوی دی په سترين انرژي په تیوب کې، کوم چی حاصل شوی له انتیگرال د کوچنی عنصرڅخه، انځور ، 14-4 ، په ټول حجم د موادو.

س 14-15 . کړیدونکي سترين انرژي د لاندی A992 فولادی بیم وټاکي. $I = 156 \text{ in}^4$.



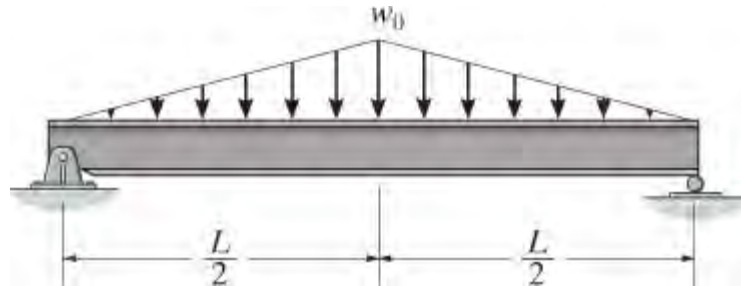
س 14-15

س 14-16* . كړيدونكي سترين انرژي د بيم وټاكي. $E I$ د بيم ثابت دي.



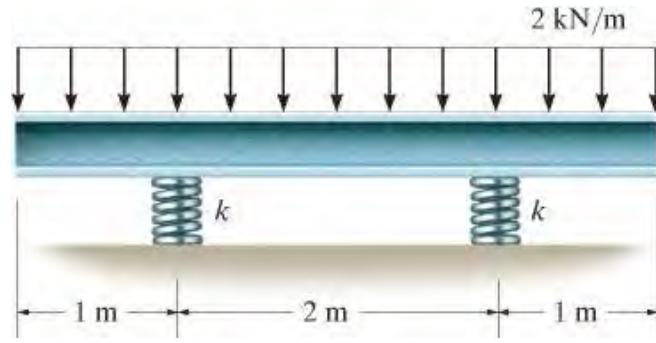
س 14-16

س 14-17 . كړيدونكي سترين انرژي د ساده اتكاء بيم وټاكي. $E I$ د بيم ثابت دي.



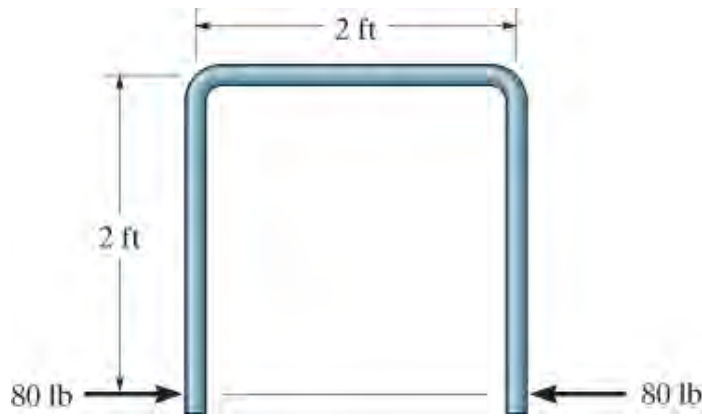
س 14-17

س 14-18 . فولادي بيم په دو فنرنو باندي تكيه كړي ده چي د هر فنرنو شخوالي $k = 8 \text{ MN/m}$ دي. سترين انرژي په هر فنركي مشخص كړي، او هم كړيدونكي سترين انرژي په بيم كي وټاكي. $E_{st} = 200 \text{ GPa}$, $I = 5(10^6) \text{ mm}^4$ دي.



س 14-18

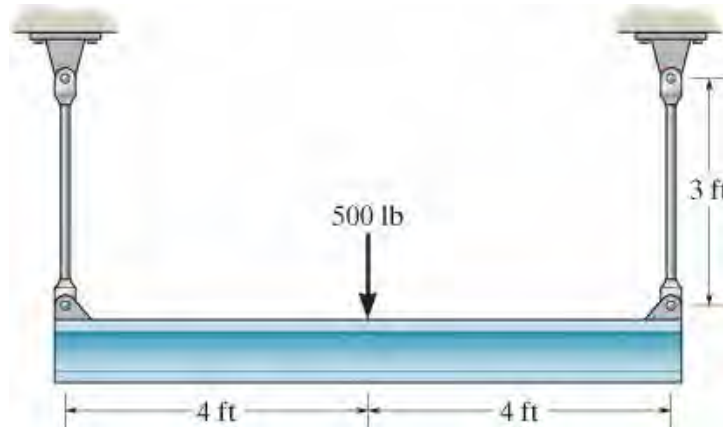
س 14-19. کربونکی سترین انرژي، په فولادی A-36 میله کی چی قطر یی 2 انچ دی، وټاکی.



س 14-19

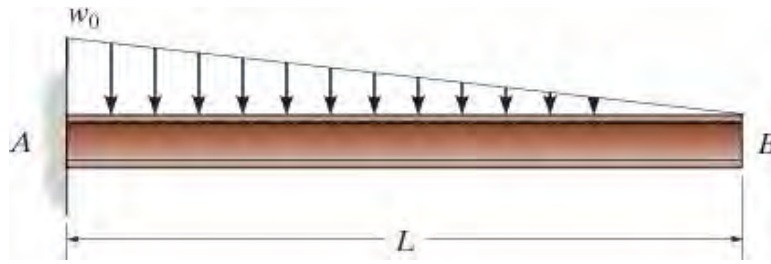
س 14-20*. په فولادی اسامبلی کی ټوله سترین انرژي وټاکی. محوری سترین انرژي په دوو میلو کی چی قطر لري او کربونکی سترین انرژي په بیم کی وټاکی.

$$I = 43.4 \text{ in}^4, E_{st} = 29(10^3) \text{ ksi}$$



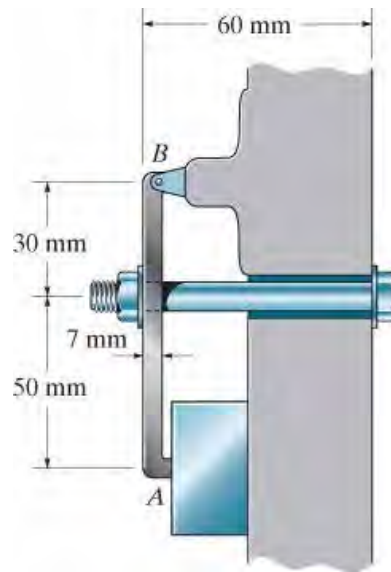
س 14-20

س 14-21 . کږیدونکي سترين انرژي د بيم وټاکي. $E I$ د بيم ثابت دي.



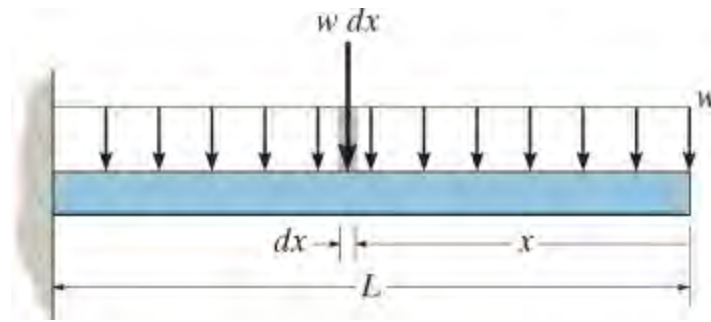
س 14-21

س 14-22 . د بولټ قطر 10 mm دي، او لاستي AB مستطیلی غوڅه برخه لري چی سوريي 12mm او پنډوالي يي 7 mm دي. د کږیدو له امله سترين انرژي په لاستي کی او هم سترين انرژي د محوری بار له امله په بولټ کی وټاکي. بولټ د تیگیدو له امله کششي قوه د 500 N لري. دواړه غړی له فولادو A-36 جوړ شوي. په لاستي کی سوری په پام کی مه نیسی.



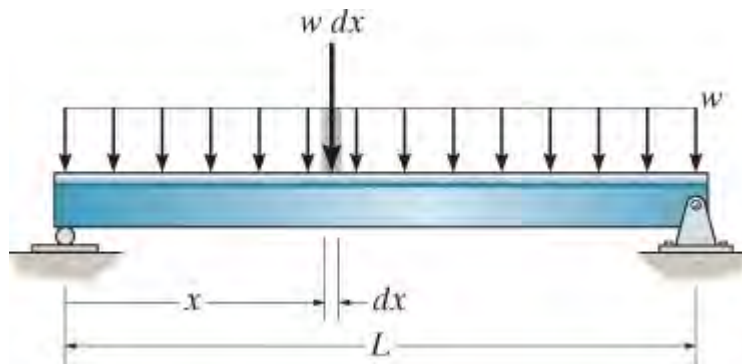
س 14-22

س 14-23 . په کنتیلیور بيم کی سترين انرژي د کږیدو له امله وټاکي. دا پوښتنه په دوه لارو حل کړي. (a) معادله 14-17 پلی کړي. (b) بار $w dx$ کوم چی په برخه dx عمل کړي او بيم یی په اندازه د y بیخایه کړي، دلته $y = w (-x^4 + 4L^3x - 3L^4)/(24EI)$ د ایلسټیک منحنی معادله ده. له همدی امله داخلی سترين انرژي د کوچنی ټوټی dx مساوی ده په بهرنی کار، د بیلگی په توگه $dU_i = 1/2 (w dx)(-y)$. دا معادله انټیگریت کوو تر څو ټوله سترين انرژي په بيم کی معلومه شی. $E I$ ثابت دی.



س 14-23

س 14-24* . په ساده اتکا بيم کی سترين انرژي د کريدو له امله وټاکي. دا پوښتنه په دوه لارو حل کړي. (a) معادله 14-17 پلي کړي. (b) بار $w dx$ کوم چی په برخه dx عمل کړي او بيم يی په اندازه د y بيخايه کړي، دلته $y = w (-x^4 + 2Lx^3 - L^3x)/(24EI)$ د ايلستیک منحنی معادله ده. له همدی امله داخلی سترين انرژي د کوچنی ټوټی dx مساوی ده په بهرنی کار، د بيلگی په توگه $dU_i = \frac{1}{2} (w dx)(-y)$. دا معادله انتیگریت کوو تر څو ټوله سترين انرژي په بيم کی معلومه شی. EI ثابت دی.



س 14-24

14. 3 د انرژي زيرمه يا ساتنه (CONSERVATION OF ENERGY)

د انرژي ټولی طریقی د انرژي د توازن پر بنسټ ولاړ دی. ډیری وختونه دی ته د انرژي ساتنه ویل کیږی. په دې فصل کې به یوازې میخانیکي انرژي د انرژي توازن لپاره په پام کې ونیول شي. دا هغه انرژي ده چې دتودوخی او کیمیاوي تعاملاتولخوا رامینځته کیږي. برقی مقناطیسي اغیزې په پام کې نه دی نیول شوي. که چیرې بار په جسم باندی ورو ورو پلي شي، څنگه چې دوی بی خایه شي نو دا بارونه به په پایله کې بهرنی کار U_e ترسره کړي. دا بهرنی کار بیا په داخلی کار یا سترين

انرژي U_i کي بدليري، کوم چي په جسم کي زيرمه کيږي. کله چي بارونه له جسمه لرې شي، سترين انرژي په جسم کي، هغه بيرته اصلي، نه بدل شوي، موقعيت ته راولي، په دې شرط چي موادو له ايلستيکي حد نه، نه وي زيات شوي. دا د جسم د انرژي زيرمه کيدل، د رياضي له مخي داسي ليکلي شو:

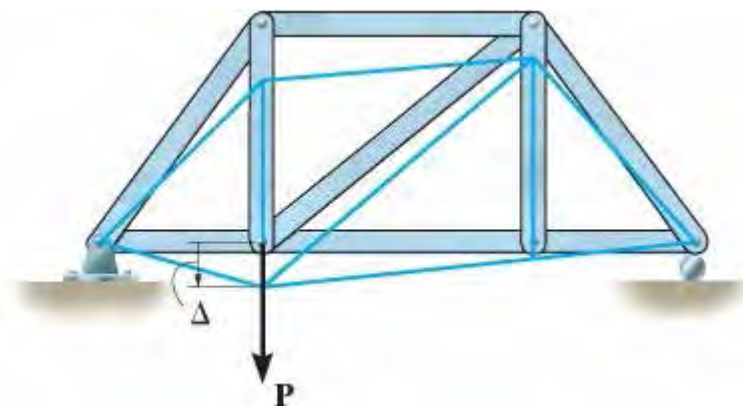
$$U_e = U_i$$

(14-23)

ترس (Truss). د دې لپاره چي وښيو د انرژي ساتنه څنگه پلي کيږي، مور به يو ترس کوم چي په انځور 14-18 کي ښودل شوي په پام کي ونيسو، چي يو بار P ورباندې پلي شوي او د بيځايه کيدني D په ترس کي لامل کيږي. که چيري دا بار P په تدريجي ډول پلي شي، بهرني کار د P لخوا ترسره کيږي او هغه د معادلي 14-2 په کارولو سره ټاکل کيږي کوم چي عبارت دی په $U_e = \frac{1}{2} P\Delta$. فرض کوو دا چي P په يو ځانگړي غړي کي محوري قوه N رامينځته کوي، ذخيره شوي د سترين انرژي په دې غړي کي په کارولو د معادلي 14-16 ټاکل کيږي. او هغه عبارت ده په $U_i = N^2 L / 2AE$. د ترس د ټولو غړو راټوله شوي سترين انرژي له 14-23 معادلي څخه، نو ارتيا لري:

$$\frac{1}{2} P\Delta = \sum \frac{N^2 L}{2AE} \quad (14-24)$$

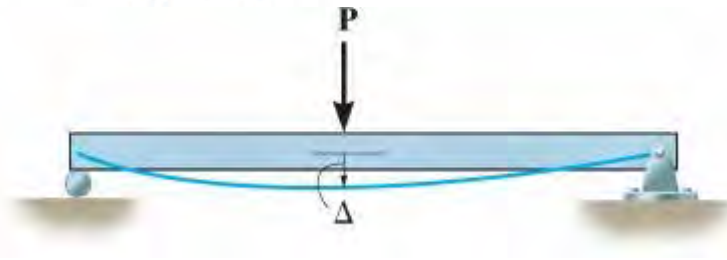
يو ځلي چي قواوی (N) د ټولو غړيو د ترس و ټاکل شي او د معادلي ښي لور معلوم شي، بيا بيځايه کيدنه D د هغه گنډي چي P هلته پلي شوي موندل کيږي شي.



انځور 14-18

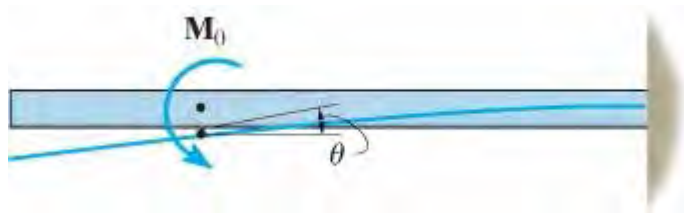
بیم (Beam). په دی لاندې بیم، انځور 14-19، بار P پیل شوي دي، اوس به مور د عمودی بی ځایه کیدو D موندلو په اړه فکر وکړو. یو ځل بیا، بهرنی کار عبارت دی په $U_e = \frac{1}{2} P D$. پدې حالت کې سترین انرژي پایله د داخلي شیبیر او مؤمنت چې د بار P له خوا رامینځته کیږي ده. په ځانګړي توګه د شیبیر انرژي ونډه د شیبیر له امله عموماً په ډیرو بیمو بیځایه کیدو کې له پامه غورځول کیږي، پرته له هغه بیمه چې لنډ وي او خورا لوی بار ورباندې پلي شوي وي. (مثال 14.4 وګورئ). په پایله کې، د بیم سترین انرژي یوازې د داخلي کریدونکی مؤمنت M په واسطه ټاکل کیږي، او له همدې امله، د معادلې 14-17 په کارولو سره، د انرژي ساتنه اړتیا لري:

$$\frac{1}{2} P \Delta = \int_0^L \frac{M^2}{2EI} dx \quad (14-25)$$



انځور 14-19

کله چې مؤمنت M تابع د موقعیت x و ټاکل شي او انټیګرال حل شي نو بیا D موندل کیدی شي. که چیرې په بیم یو کیل مؤمنت M_0 کوم چې په انځور 14-20 کې ښودل شوي، پلي شي بیا دا مؤمنت څرخیدونکي بیځایه کیدنه q په پلي شوي ټکي کې رامینځ ته کوي. ځکه چې یو کیل مؤمنت تنها هغه وخت کار کړی کله چې څرخیدل و مؤمی، د معادلې 14-5 په کارولو سره بهرنی کار عبارت دی په $U_e = \frac{1}{2} M_0 q$ او بیا



انځور 14-20

$$\frac{1}{2} M_0 \theta = \int_0^L \frac{M^2}{2EI} dx \quad (14-26)$$

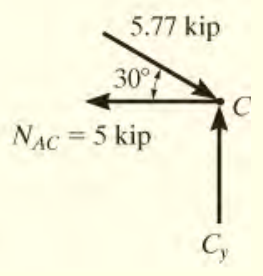
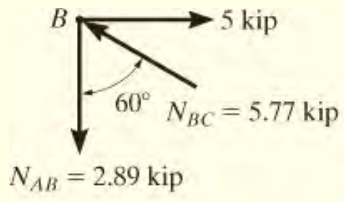
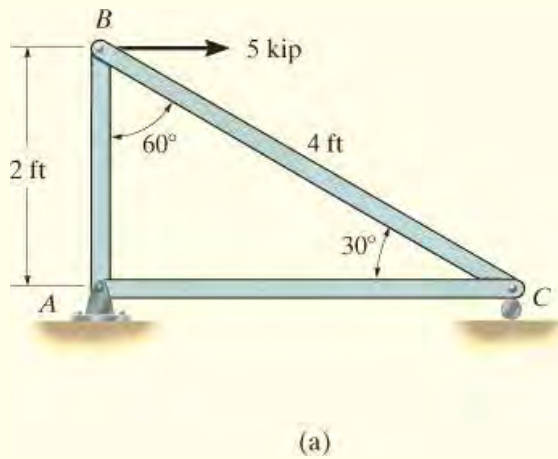
دلته q د ایلستیک منحنی میلان په هغه ټکي کې چې M_0 پلي شوي اندازه کوي.

د د معادلی 14-23 پلي کيدل، د بيخايه کيدنی يا میلان موندلو لپاره، خورامحدود دي، ځکه چې يوازي يو بهرنی قوه يا کيل مؤمنت په غړي يا جوربنت عمل کړي، او يوازي بي خايه کيدل په نقطه کې د بهرني قوی په لوري، يا میلان د کيل مؤمنت په لور کې، محاسبه کيدی شي. که چيرې له يوه څخه ډير بهرني قواوی يا څو کيل مؤمنت پلي شوي وي، بيا د هر بار بهرني کار بايد د هغې اړوند نامعلومه بي خايه کيدنه پکې شامله کړي. په پایله کې، له دې نامعلومو بي خايه کيدو څخه هيڅ يو بيا نشي ټاکل کيدی، ځکه چې د حل لپاره يوازي يوه معادله ($U_e = U_i$) شتون لري.

مثال 14.6

له دريو ميلو جوړه شوی ټرس، انځور 14-21a، باندی يوه افقی قوه 5 kips پلي شوي ده. که چيرې غوڅه برخه د هر غړی 0.20 in^2 وی، افقي بيخايه کيدنه په ټکي B کې و ټاکي.

$E = 29(10^3) \text{ ksi}$



انځور 14-21

حل (SOLUTION)

مور کولاي شو چې ددی پوښتنې د حل لپاره د انرژي ساتنی طريقه پليي کړو، ځکه چې يوازي يوه بهرنی قوه په ټرس پلي شوي او د اړتيا وړ بيخايه کيدنه د قوی د پليکيدو په جهت واقع کيږي. برسېره پردې، د ټرس د ريکشنونو قواوي په ټرس باندې کار نه کړي ځکه چې دوی بيخايه شوي نه دي.

د بندونو (گنډو) د طريقې په کارولو سره، په هر غړي کې د قوی پيدا کول، آزاد ډايگرام د پين شويو بندونو B او C په انځور 14-21b کې بنودل شوي معادله 4-24 پلي کوو او مور لرو:

$$\frac{1}{2}P\Delta = \sum \frac{N^2L}{2AE}$$

$$\frac{1}{2}(5 \text{ kip})(\Delta_B)_h = \frac{(2.89 \text{ kip})^2(2 \text{ ft})}{2AE} + \frac{(-5.77 \text{ kip})^2(4 \text{ ft})}{2AE}$$

$$+ \frac{(5 \text{ kip})^2(3.46 \text{ ft})}{2AE}$$

$$(\Delta_B)_h = \frac{47.32 \text{ kip} \cdot \text{ft}}{AE}$$

عددی دیتا د A او E لپاره ځای په ځای کوو او مور دا لاندی په لاس راوړو:

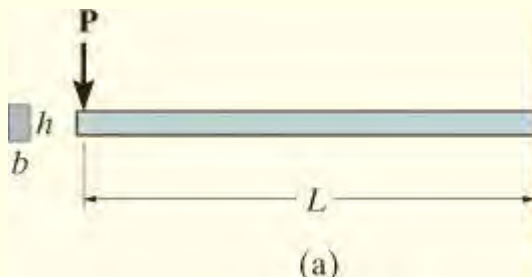
$$(\Delta_B)_h = \frac{47.32 \text{ kip} \cdot \text{ft}(12 \text{ in./ft})}{(0.2 \text{ in}^2)[29(10^3) \text{ kip/in}^2]}$$

$$= 0.0979 \text{ in.} \rightarrow$$

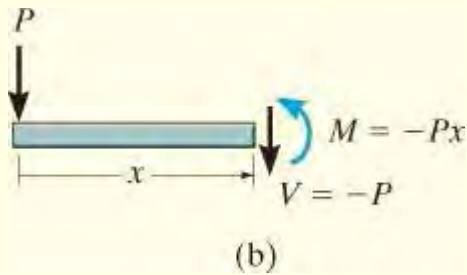
Ans.

مثال 14.7

په انځور 14-22a کې بنودل شوي کنټیلیور بیم یوه مستطیلی غوڅه برخه لري، او یو بار P د هغه په پای کې ورباندې پلی شوي.



حل (SOLUTION)



داخلي شیبیر او مؤمنت تابع دی x د غوڅی برخي په طریقو موندل شوي، او په انځور 14-22b کی بنودل شوي.

د معادلی 14-23 په پلی کیدو سره سترین انرژي د دواړو، شیبیر او مؤمنت، له امله په پام کی نیولی شوي ده.

د معادلو 14-19 او 14-17 له مخی مور لرو:

$$\begin{aligned} \frac{1}{2}P\Delta &= \int_0^L \frac{f_s V^2 dx}{2GA} + \int_0^L \frac{M^2 dx}{2EI} \\ &= \int_0^L \frac{\left(\frac{6}{5}\right)(-P)^2 dx}{2GA} + \int_0^L \frac{(-Px)^2 dx}{2EI} = \frac{3P^2L}{5GA} + \frac{P^2L^3}{6EI} \quad (1) \end{aligned}$$

د دی معادلی په بني اړخ کی لومړی اصطلاح استازیتوب د سترین انرژي د شیبیر له امله کوي، په داسی حال کی چې دویمه برخه د کړیدو له امله سترین انرژي ده. لکه څنگه چې په مثال 14.4 کی بنودل شوي، د ډیرو بیمونو لپاره د شیبیر سترین انرژي د کړیدو سترین انرژي په نسبت خورا کوچنی ده. د دی قضی بنودلو لپاره د بیم انځور 14-22a کی، مور اړتیا لرو

$$\begin{aligned} \frac{3}{5} \frac{P^2L}{GA} &\ll \frac{P^2L^3}{6EI} \\ \frac{3}{5} \frac{P^2L}{G(bh)} &\ll \frac{P^2L^3}{6E\left[\frac{1}{12}(bh^3)\right]} \\ \frac{3}{5G} &\ll \frac{2L^2}{Eh^2} \end{aligned}$$

څرنګه چې $E \leq 3G$ (مثال 14.4 وګوري)، نو بیا

$$0.9 \ll \left(\frac{L}{h}\right)^2$$

نو که چیري L نسبتا اوږد وي د h په پرتله، نو د شیبیر سترین انرژي له پام غورځول کیدی شي. په بل عبارت، د شیبیر سترین انرژي هغه وخت مهم کیږي کله چې بیم لنډه او ژورولي یي ډیر وی. د مثال په توګه، که $L = 5h$ ، نو تقریبا 28 ځله د کړوالي سترین انرژي به د شیبیر په پرتله په

بیم کی جذب شي ، نو له پامه غورځیدل د شپير سترين انرژي د یوې تېروتنې شاوخوا 3.6% په محاسبه کی کیري. د دې سره په ذهن کی نیولو معادله 1 کیدی شي چی داسی یې ولیکو.

$$\frac{1}{2} P \Delta = \frac{P^2 L^3}{6EI}$$

نو بیا

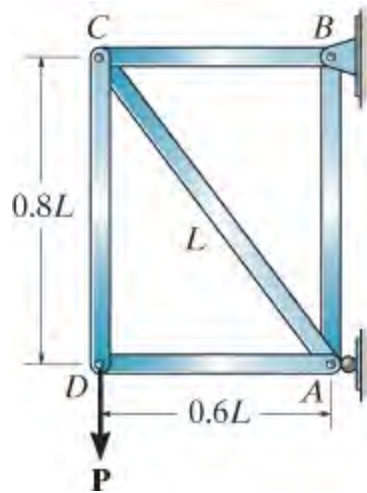
$$\Delta = \frac{PL^3}{3EI}$$

Ans.

سوالونه

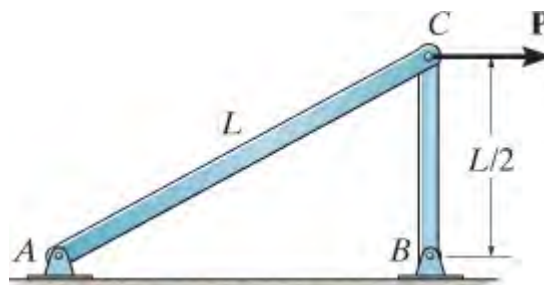
PROBLEMS

س 14-25 . عمودی بیخایه کیدنه د بند (joint) D و ټاکی. AE ثابت دی.



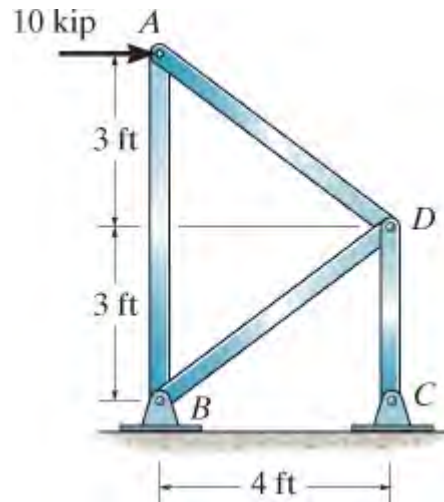
س 14-25

س 14-26 . افقي بیخایه کیدنه د بند (joint) C و ټاکی. AE ثابت دی.



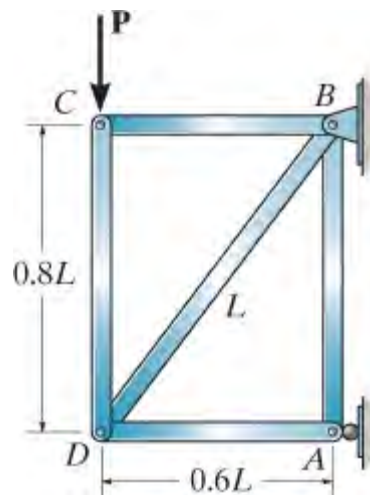
س 14-26

س 14-27 . افقي بيخايه كيدنه د بند A (joint) و ټاكي. هر غړي له فولادوي A992 څخه جوړ او 1.5 in^2 غوڅي برخي ساحه لري.



س 14-27

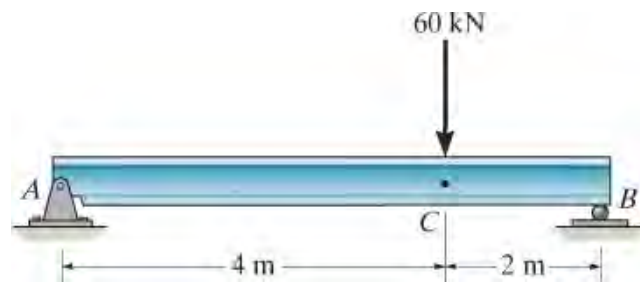
س 14-28 . عمودي بيخايه كيدنه د بند C (joint) و ټاكي. AE ثابت دي.



س 14-28

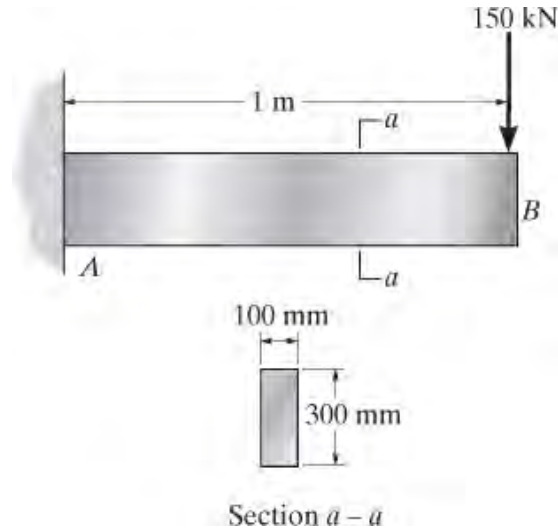
س 14-29 . عمودي بيخايه كيدنه د ټكي C د فولادو A992 بيم و ټاكي.

$$I = 80(10^6) \text{ mm}^4$$



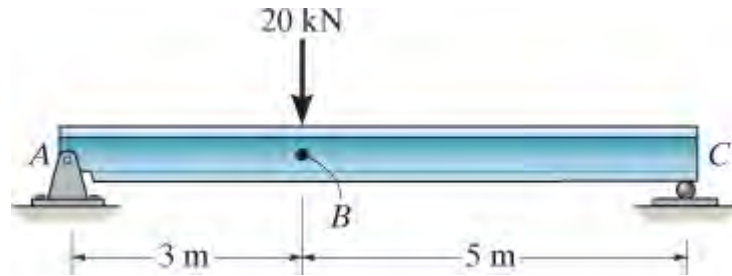
س 14-29

س 14-30 . عمودی بیخایه کیدنه د پای B د کنتیلیور بیم وټاکي. بیم له المونیم الیاژ 6061-T6 څخه جوړ شوي ده او مستطیلی غوڅه برخه لري. دواړه، شیر او کربیدونکی سترین انرژي په پام کی و نیسي.



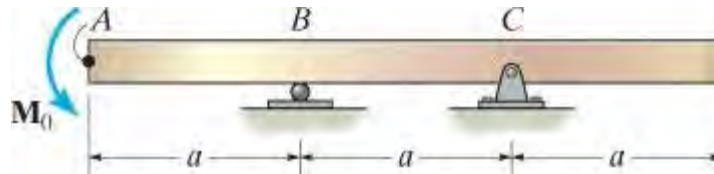
س 14-30

س 14-31 . عمودی بیخایه کیدنه د ټکی B د فولادو A992 بیم و ټاکي. $I = 80(10^6)\text{mm}^4$



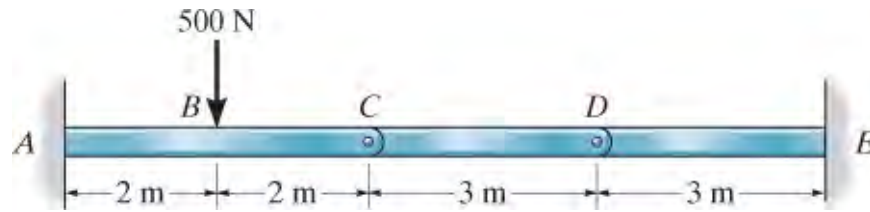
س 14-31

س 14-32* . میلان په ټکی A د بیم کی وټکي. EI ثابت دی.



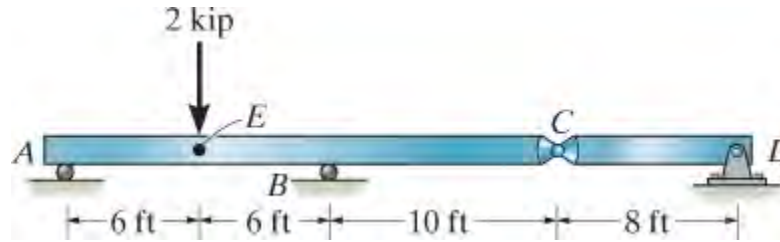
س 14-32

س 14-33 . د فولادو A992 میلی په C او D کی په پن سره وصل شوی دي. که چیری هره میله یو شان مستطیلی غوڅه برخه ولري، کوم چی 200 mm لوروالي او سوريي 100 mm وی ، عمودی بیخایه کیدنه د ټکی B و ټاکي. محوری بار په میلو کی په پام کی مه نیسي.



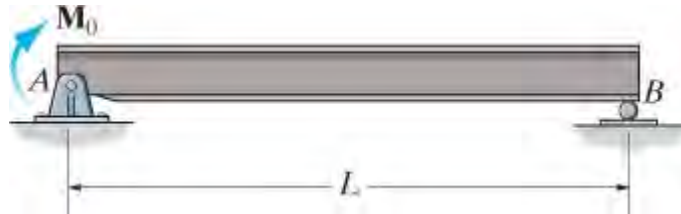
س 33-14

س 14-34. د فولادو A992 میلی په C کې په پن سره وصل شوی دي. که چیری هر میله 2 in. قطر ولري عمودی بیخایه کیدنه په E کې وټاکیدی شي.



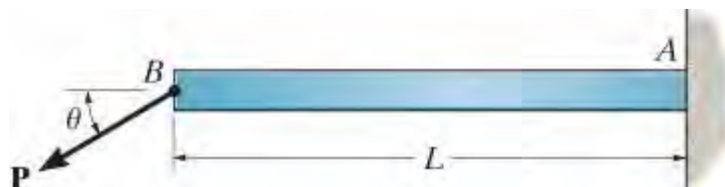
س 34-14

س 14-35. میلان د بیم په پن اتکاء A کې وټاکي. تنها کړیدونکی سترین انرژي په پام کې و نیسی. EI ثابت دی.



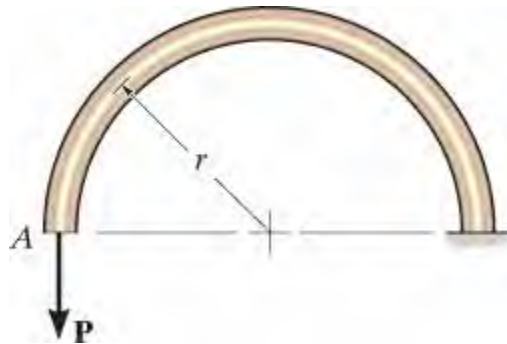
س 35-14

س 14-36*. کنتیلور مستطیلی بیم د غوڅی برخی ساحه A ، انرشیايي مؤمنت I ، او د ایلستیستی ماجولس E لری. که چیری بار P په ټکی B کې پلی شي بیخایه کیدنه په B کې په سمت P و ټاکي. تاسو د کړیدو، محوری قووه، او شیبیر په پام کې ونیسی.



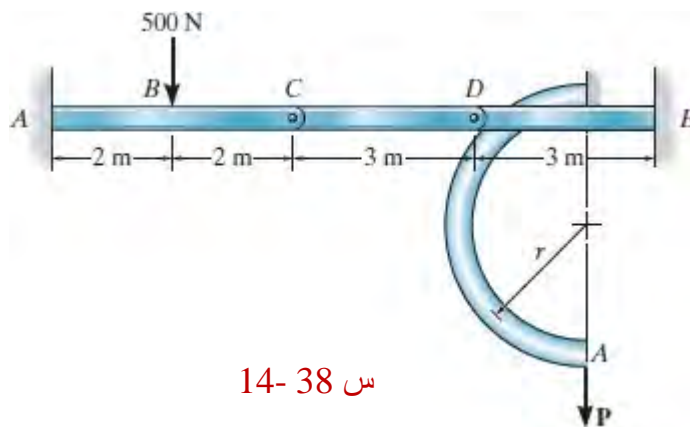
س 36-14

س 14-37 . دا لاندی میله ګرده غوڅه برخه لری ، او انرشیايي مؤمنت یې I دي. که په A کی یوه عمودي قوه P عمل وکړي، عمودی بیخایه کیدنه ددی ټکی و ټاکی. یوازي سترين انرژي د کړیدو له امله په پام کی و نیسی. د ایلسټیستي ماجولس E دي.



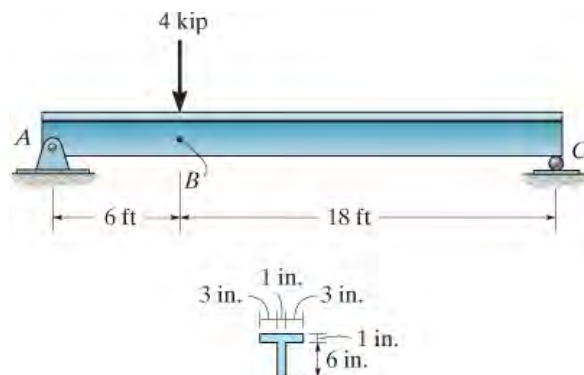
س 37- 14

س 14-38 . دا لاندی میله ګرده غوڅه برخه لری ، او انرشیايي مؤمنت یې I دي. که په A کی یوه عمودي قوه P عمل وکړي، عمودی بیخایه کیدنه ددی ټکی و ټاکی. یوازي سترين انرژي د کړیدو له امله په پام کی و نیسی. د ایلسټیستي ماجولس E دي.



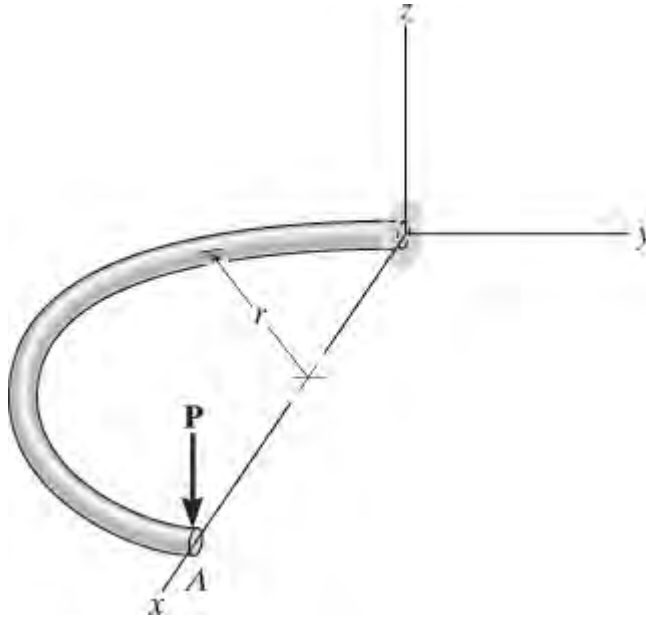
س 38- 14

س 14-39 . عمودی بیخایه کیدنه د ټکی B د المونیم 2014-T6 بيم و ټاکی.



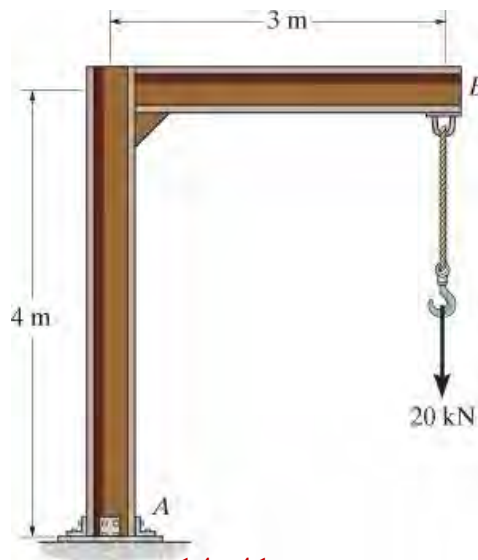
س 39- 14

س 14-40* . دا لاندی میله ګرده غوڅه برخه لری ، قطبي انرشيايي مؤمنت (polar moment of inertia) یې J ، او انرشيايي مؤمنت یې I دي. که په A کی یوه عمودي قوه P عمل وکړي، عمودی بیخایه کیدنه ددی ټکی و ټاکی. یوازي سترين انرژي د کړیدو له امله په پام کی و نیسی. د موادو ثابت ارقام E او G دي.



س 40- 14

س 14-41 . عمودی بیخایه کیدنه د پای B د لاندی چوکات و ټاکی. یوازي سترين انرژي د کړیدو له امله په پام کی و نیسی. چوکات له فولادو A-36 اوسوروری فلنج W460 X 68 څخه جوړ شوي دي.

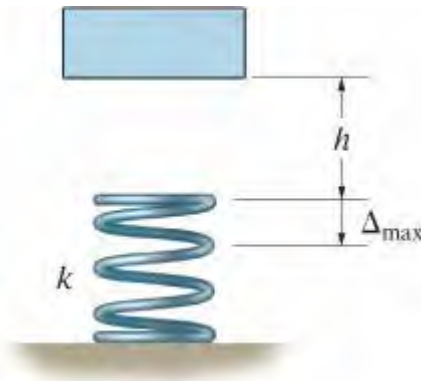


س 41- 14

14.4 د ټکر بار (IMPACT LOADING) :

تر دې دمه مور ټول هغه بارونه په پام کې نیولي وو چې په تدریجي ډول په جسم باندې پلي کیږي، او په تدریجي ډول په جسم باندې اعظمي ارزښت ته رسېږي او جسم په ستاټیکي حالت کې پاتې کیږي. ځینې بارونه متحرک دي، لکه کله چې یو جسم د بل جسم سره ټکر کوي، اودا پېښه د لنډې مودې لپاره د دوی تر مینځ لویه قوه جوړه وي. که فرض کړو چې د ټکر په وخت کې د تودوخې، غبر، یا محلي پلاستيکي تخریبونو له امله، انرژي نده ورکه شوی، بیا مور کولی شو د انرژي د ساتنې په کارولو سره د دې اغیزو میخانیکي تونه مطالعه کړو.

د بلاک لویدل (Falling Block). په لاندې انځور 14-23 کې ښودل شوي ساده بلاک او فنر سیستم په پام کې نیسو. کله چې بلاک د دریدلې حالت څخه ووزی، دا په یوه فاصله h کې رالویږي د فنر سره ټکر کوي او فنر په اعظمي فاصله د D_{\max} تیل وهي تر څو هغه د لږوخت دپاره توقف وکړي. که مور د فنر کتله په پام کې ونه نیسو او دا فرض کړو چې فنر په ایلسټیک ډول ځواب ورکوي، نو بیا د انرژي ساتنه داپه گوته کوي، هغه کار چې د بلاک د وزن په واسطه په ښکته کېدو د فاصله $h + D_{\max}$ ترسره شوي مساوی دی په هغه اړین کار چې فنر په فاصله د D_{\max} بې ځایه کړي. ځکه چې قوه په فنر کې د D_{\max} سره په اندازه $F = k D_{\max}$ اړه لري، چیرته چې k د فنر سختی ده، بیا:



انځور 14-23

$$U_e = U_i$$

$$W(h + \Delta_{\max}) = \frac{1}{2}(k \Delta_{\max}) \Delta_{\max}$$

$$W(h + \Delta_{\max}) = \frac{1}{2}k \Delta_{\max}^2 \quad (14-27)$$

$$\Delta_{\max}^2 - \frac{2W}{k} \Delta_{\max} - 2\left(\frac{W}{k}\right)h = 0$$

ددی دوهم درجی معادلی حل د D_{max} لپاره دا لاندی حل د لوی ارزش راکوي:

$$\Delta_{max} = \frac{W}{k} + \sqrt{\left(\frac{W}{k}\right)^2 + 2\left(\frac{W}{k}\right)h}$$



که وزن W په ستاتیکی حالت کی په فنر کینسودل شي ، نو بیا بیخایه کیدنه د فنر عبارت ده په: $D_{st} = W/k$ د دی ساده کیدوڅخه کار اخلو پورته معادل کیري:

یا

$$\Delta_{max} = \Delta_{st} + \sqrt{(\Delta_{st})^2 + 2\Delta_{st}h}$$

$$\Delta_{max} = \Delta_{st} \left[1 + \sqrt{1 + 2\left(\frac{h}{\Delta_{st}}\right)} \right] \quad (14-28)$$

پورته د حادثي خنډ د متحرکو وسایطو د تکر انرژي جذب لپاره ډیزاین شوی

یوځل چې D_{max} محاسبه شي، اعظمي قوه چی په فنر راځی له لاندی معادلی ټاکل کیدی شي.

$$F_{max} = k\Delta_{max} \quad (14-29)$$

دا قوه او ورسره ترلی بی خایه کیدنه یوازي په یوه لحظه کی واقع کیري. په دی شرط چی بلاک د فنر څخه بیرته راتگ ونکړي. دا به تر هغه وخته پوري به اهتزاز ته دوام ورکړي چی دا حرکت ورو کیری تر څو چی حرکت له مینځه ځي او بلاک ستاتیکی موقعیت نیسي، D_{st} .

د یوي ځانگړي قضیې په توگه، که بلاک ډیر نیږدی د فنر برسیره پورته و نیول شي او بیا خوشي شي، بیا له معادله 14-28 څخه، چی $h = 0$ ده، اعظمی بی خایه کیدل د بلاک به وي :

$$D_{max} = 2D_{st}$$

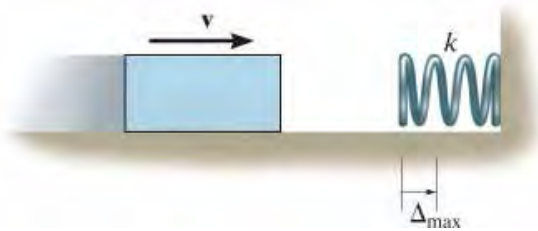
په بل عبارت، د ډینامیک بار لکبله بې ځایه کیدنه دوه چنده د هغه څه ده که چیرې بلاک د فنر لخوا ملاتړ شوی وي (یو ستاتیکی بار).

د بلاک بنویدل (Sliding Block). د ورته تحلیل په کارولو سره، دا هم ممکنه ده چې اعظمی بیځایه کیدنه د فنر د پای که چیرې بلاک په یوه افقي بنویه سطحه باندې په یوه معلوسرعت v سره حرکت وکړي، مخ کی له دی چی د فنر سره بې تکر وشي، معلومیدی شي، انځور 14-24. دلته د بلاک کنټیک یا متحرکه انرژي عبارت ده په $\frac{1}{2}(W/g)v^2$ ، به په فنر کی په زیرمه شوي انرژي بدله شي. له همدې امله،

$$U_e = U_i$$

$$\frac{1}{2}\left(\frac{W}{g}\right)v^2 = \frac{1}{2}k\Delta_{\max}^2$$

$$\Delta_{\max} = \sqrt{\frac{Wv^2}{gk}} \quad (14-30)$$



انځور 14-24

ځکه چې ستاتیکی بیځایه کیدنه د یو بلاک چی په فنر بې تکیه کړی وی عبارت دی په

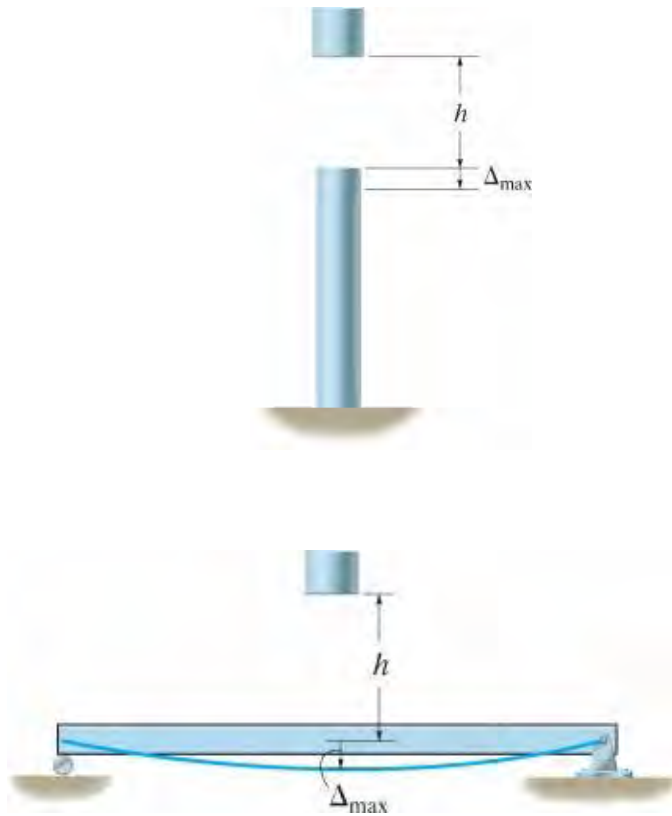
$$D_{st} = W/k, \text{ نو بیا}$$

$$\Delta_{\max} = \sqrt{\frac{\Delta_{st}v^2}{g}} \quad (14-31)$$

*کنټیک انرژي د (حرکت انرژي) ده. د یو جسم د حرکت لپاره هغه عبارت ده په $\frac{1}{2}mv^2$ ، دلته m د جسم کتله او هغه $m = W/g$ ده.

عمومي ستونزه (General Problem).

د دې ساده تحلیل په نتیجه کې کیدی شي چې په ایلیستیکی غړی کې د تکر له امله رامینځ ته شوی تقریبی بیخایه کیدنه او ستیریس مشخص شي. د دې لپاره مور باید د تکر په اړه ځینې اړین انگیرني جوړی کړو، تر څو وکولای شودا چلند د تکر کونکي جسمونو د بلاک او فنر ریکشن سره ورته شي، او وکړی شو هغه ماډلونه چې پورته یې بحث وشو وکاره وو. دلته به مور حرکت کونکي جسم د بلاک په څیر سخت وگڼو، او ساکن جسم د فنر په څیر د بیخایه کیدو وړ وي. همدارنگه، د فنر په څیر، مور به فرض کړو چې مواد په ایلیستیکی خطي ډول چلند لري او د ایلیستیکی جسم کتله له پامه غورځول کیدی شي. داسی پوهه او احساس وکړی چې دا ټول انگیرني به د دواړو، اعظمي ستیریس او بیخایه کیدنه، به د ایلیستیکی جسم محافظه کار اټکل لامل وي. په بل عبارت، محاسبه شوي ارزښتونه به د هغو څخه لوی وي چې واقعا واقع کیري.



انځور 14-25

یو څو مثالونه چې دا تیوري پری پلي کیدی شي په انځور 14-25 کې ښودل شوي. دلته د پیژندل شوي وزن د یوه بلاک په پایه او بیم باندي غورځول کیري، چې په دوی کې د اعظمي بیخایه کیدنی D_{max} لامل کیري. د رالوید شوي بلاک انرژي په لنډه توگه بدلیری په محوری ستیرین انرژي په پایه

کې، او کبریدونکی ستیرین انرژي په بیم کې. * د دې لپاره چې اعظمی بیخایه کیدنه D_{max} معلوم کړو، مور کولی شي د بلاک - فنر سیستم په ډول ورته طریقه وکاروو، او هغه دا دی چې د انرژي د ساتنی معادلی د بلاک او پایي یا بلاک او بیم لپاره ولیکو او بیا یې د D_{max} موندلو لپاره حل کړو. په هر صورت، مور کولی شو دا سوالونه په مستقیم ډول په ښودلو د پایي او بیم ماډل، د یوه فنر په

توگه ، هم حل کړو. د مثال په توگه، که یو قوه P د پایي پورتنۍ برخه بې خایه کړي $D = PL/AE$ ، نو یو فنر چې سختی یې $k = AE/L$ وي د P لخوا ورته مقدار بېخایه کیدنه به وويني، دا دی $D = P/k$. په ورته ډول، د ضمیمې C څخه، یو قوه P د ساده ملاتړ شوي بیم په مرکز کې پلي کيږي د بیم د مرکز بېخایه کیدنه $D = PL^3/48EI$ ، او له همدې امله یو مساوي فنر به د $k = 48EI/L^3 =$ سختی ولري. په هر صورت، د معادلی 14-28 یا 14-30 پلي کولو لپاره دا اړینه نده چې واقعا د دې مساوي فنر سختی ومومي. ټول د D_{max} د ټاکلو لپاره د ستاتیک بې خایه کیدني D_{st} محاسبه کول اړین دی، د وزن له امله د $P_{st} = W$ د بلاک چې تکیه یې کړي په پایه یا بیم.

یوځل چې D_{max} وټاکل شي، نو بیا اعظمي متحرک قوه کیدی شي له $P_{max} = kD_{max}$ څخه محاسبه شي. بیا که مور P_{max} په پام کې ونیسو چې مساوي ستاتیک بار دي، په غړي کې اعظمي ستیریس کیدی شي د ستاتیک او د موادو میخانیک تیوري په کارولو سره و ټاکل شي. البته دا ستیریس یوازي د یوې لحظې لپاره عمل کوي، ځکه چې پوست یا بیم به لږزیډلو پیل کوي، په دې توگه په موادو کې ستیریس په بدلیدلو پیل وکړي.

د متحرکې قوې P_{max} نسبت ستاتیک قوې $P_{st} = W$ ته د اغیزو فکتور n ، ویل کيږي. دا فکتور د پلي شوي ستاتیک بار لوړوالی استازیتوب کوي، ترڅو دا په متحرک ډول ومنل شي. څرنکه چې $P_{max} = kD_{max}$ او $P_{st} = kD_{st}$ ، بیا له معادلی 14-28 څخه د تکر فکتور کيږي:

$$n = 1 + \sqrt{1 + 2\left(\frac{h}{\Delta_{st}}\right)} \quad (14-32)$$



د دې حادثې ساتونکي غړي باید داسې ډیزاین شوي وي چې د ریل گاډي تکر بار او د حرکت نیولو لپاره ټاکل شوي اغیزې مقاومت وکړي.

د یو پیچلي سیستم لپاره چې غړی یې تړل شوی وي، د تکر فکتور له تجربی او آزمویني څخه ټاکل کيږي. یو ځل چې n معلوم شي، بیا متحرک ستیریس او بېخایه کیدنه D_{max} د تکر په ټکی کې موندل کيږي شي له ستاتیک ستیریس S_{st} او ستاتیک بېخایه کیدني D_{st} کوم چې د بار له امله رامینځ ته شوي. او هغوی د $S_{max} = n S_{st}$ او $D_{max} = n D_{st}$ څخه معلومیږي.

*سترین انرژي د شبیر له امله په پام کې نه ده نیول شوی د هغه دلیلونو له امله کوم چې په مثال 14.4 کې ورباندې بحث وشو.

مهم ټکی

IMPORTANT POINTS

- هغه ټوکی چې په لنډ وخت کې یو بل سره ټکر وکړي، امپکت (impact) رامینځته کیږي او د دې دوه ټوکیو تر مینځ لوی قوه رامینځته کیږي.
- مور کولئ شو حرکت کونکی جسم کلک فرض کړو، تر څو وکړای شو د امپکت اغیزې تحلیل کړو. د ساکن جسم مواد خطي ایلسټیک چلند لرونکي دي، د ټکر په وخت کې هیڅ انرژي له لاسه نه ورکوي، جسمونه د ټکر په وخت کې په تماس کې پاتې کیږي، او د ایلسټیک لرونکي جسم کتله له پامه غورځول کیږي شي.
- په جسم باندې متحرک بار تاثیر له سټیټیک باره ټاکل کیدی شي کله چې دا بار په یوه امپکت فکتور ضرب شي چې د متحرک بار اغیزه ښيي.

مثالونه

مثال 14.8

په انځور 14-26 کې یو د المونیم پایپ ښودل شوي او هغه د 150 kip بار ملاتړ کړي. د پایپ په پورتنۍ برخه کې اعظمي بې ځایه کیدل معلوم کړئ که (a) بار په تدریجي ډول پلي شوی وی (b) بار په ناڅاپه توګه له پورتنۍ برخې د پایپ خوشې کیږي کله چې $h = 0$. فرض کړئ چې المونیم په ایلسټیکي ډول چلند کوي. کار واخلي له $E_{al} = 10(10^3) \text{ ksi}$.

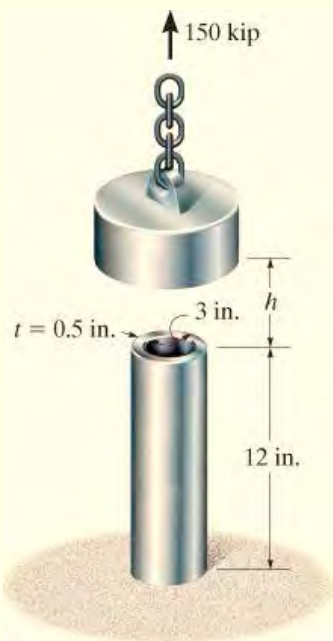
حل (SOLUTION)

برخه a : کله چې بار په تدریجي ډول پلي شي، د وزن له امله تر سره شوی کار به

په ایلسټیکي انرژي پ پایپ کې بدل شي. د انرژي د ساتنې قضي په اساس لیکي شو:

$$\begin{aligned}
 U_e &= U_i \\
 \frac{1}{2} W \Delta_{st} &= \frac{W^2 L}{2AE} \\
 \Delta_{st} &= \frac{WL}{AE} = \frac{150 \text{ kip}(12 \text{ in.})}{\pi[(3 \text{ in.})^2 - (2.5 \text{ in.})^2] 10(10^3) \text{ kip/in}^2} \\
 &= 0.02083 \text{ in.} = 0.0208 \text{ in.}
 \end{aligned}$$

Ans.



انځور 14-26

البته دا پایلی په مستقیم ډول په پلي کولو د $D_{st} = NL/AE$ هم په لاس راځي.

برخه b:

معادله 14-28 پلي کیدی شي، په $h=0$ له همدی امله

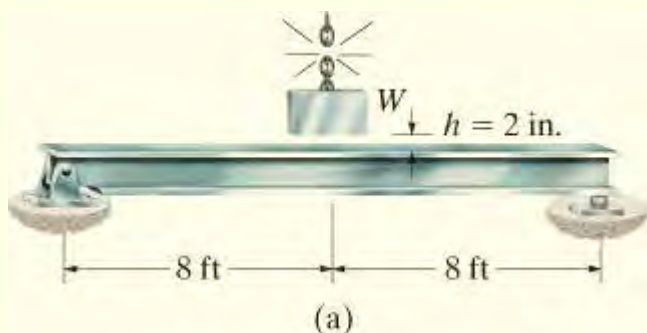
$$\begin{aligned} \Delta_{max} &= \Delta_{st} \left[1 + \sqrt{1 + 2 \left(\frac{h}{\Delta_{st}} \right)} \right] \\ &= 2\Delta_{st} = 2(0.02083 \text{ in.}) \\ &= 0.0417 \text{ in.} \end{aligned}$$

Ans.

له همدی امله بیخایه کیدنه د بار، کله چی په متحرک ډول پلي شي دوه چنده زیات ده په پرتله د هغه چی ستاتیکی پلي شوی وي. په بل عبارت د امپکت فکتور $n=2$ ، معادله 14-32.

مثال 14.9

د فولادو A992 بیم کوم چی په انځور 14-27a کی بنودل شوی له W10 X 39 جوړ شوي. که چیری یو بار $W=1.50 \text{ kip}$ له لوروالي $h=2 \text{ in.}$ په بیم راولویږي، د بیم اعظمی ستریس او اعظمی بیخایه کیدنه و ټاکي. $E_{st}=29 (10^3) \text{ ksi}$ وکاروي.



حل (SOLUTION) I

معادله 14-28 به مور دلتته پلی کرو. لمري بايد D_{st} محاسبه کرو. د ضميمی C جدول او د ضميمی B دیتا د W10 X 39 خاصیتونو ټاکلو لپاره کاروو، مور لرو

$$\Delta_{st} = \frac{WL^3}{48EI} = \frac{(1.50 \text{ kip})(16 \text{ ft})^3(12 \text{ in./ft})^3}{48[29(10^3) \text{ ksi}](209 \text{ in}^4)} = 0.03649 \text{ in.}$$

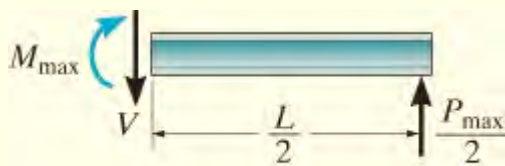
$$\begin{aligned} \Delta_{\max} &= \Delta_{st} \left[1 + \sqrt{1 + 2 \left(\frac{h}{\Delta_{st}} \right)} \right] \\ &= 0.03649 \text{ in.} \left[1 + \sqrt{1 + 2 \left(\frac{2 \text{ in.}}{0.03649 \text{ in.}} \right)} \right] = 0.420 \text{ in.} \quad \text{Ans.} \end{aligned}$$

د $k = 48EI/L^3$ سره، معادل ستاتیک بار کوم چی لامل د دی بیخایه کیدنی کیری عبارت دی په

$$P_{\max} = \frac{48EI}{L^3} \Delta_{\max} = \frac{48(29(10^3) \text{ ksi})(209 \text{ in}^4)}{(16 \text{ ft})^3(12 \text{ in./ft})^3} (0.420 \text{ in.}) = 17.3 \text{ kip}$$

ددی بار داخلی مؤمنت اعظمی دی په مرکز د بیم کی، د برخی طرفی سره، انخوړ 14-27b ، او لیکلی شو $M_{\max} = P \max L/4$. د کړیدو فورمول په پلی کولو سره کړیدونکی ستیریس داسی پیدا کوو

$$\begin{aligned} \sigma_{\max} &= \frac{M_{\max} c}{I} = \frac{P_{\max} Lc}{4I} = \frac{12E \Delta_{\max} c}{L^2} \\ &= \frac{12[29(10^3) \text{ kip/in}^2](0.420 \text{ in.})(9.92 \text{ in./2})}{(16 \text{ ft})^2(12 \text{ in./ft})^2} = 19.7 \text{ ksi} \quad \text{Ans.} \end{aligned}$$



(b)

انځور 14-27

حل (SOLUTION) II

دا ممکنه ده چې ډینامیک یا اعظمی بیخایه کیدنه D_{max} له لمړي اصولو څخه وټاکو. بهرنی کار د وزن W لویدلو عبارت دی په $U_e = W(h + D_{max})$. ځکه چې بیم په اندازه د D_{max} بیخایه کیري او $P_{max} = 48EI D_{max}/L^3$ ، نو بیا

$$U_e = U_i$$

$$W(h + \Delta_{max}) = \frac{1}{2} \left(\frac{48EI\Delta_{max}}{L^3} \right) \Delta_{max}$$

$$(1.50 \text{ kip})(2 \text{ in.} + \Delta_{max}) = \frac{1}{2} \left[\frac{48[29(10^3)\text{kip/in}^2]209 \text{ in}^4}{(16 \text{ ft})^3(12 \text{ in./ft})^3} \right] \Delta_{max}^2$$

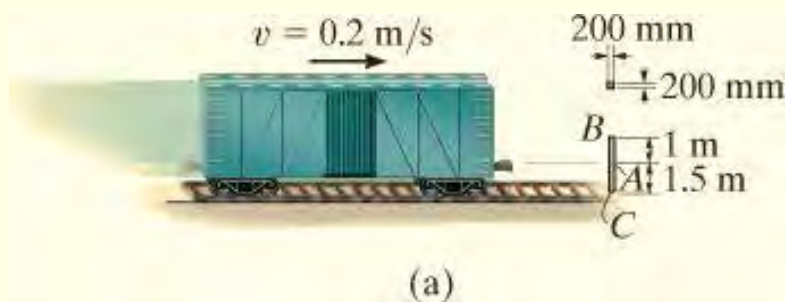
$$20.55\Delta_{max}^2 - 1.50\Delta_{max} - 3.00 = 0$$

کله چې دا حل شي او مثبت جذر يي و نیسو دا لاندی په لاس راځي

$$\Delta_{max} = 0.420 \text{ in.} \quad \text{Ans.}$$

مثال 14.10

یو د اورگاډي موټر چې گمان کیري سخت دي او د 80 Mg کتله لري، او په $v = 0.2 \text{ m/s}$ سرعت سره مخ په وړاندې ځي تر څو هغه په یو 200 mm په فولادی پایي په موقعیت A سره ټکر کوي، انځور 14-28a. که چیرې پایه په ځمکه په C کې کلک تړل شوی وي، د دې ټکر له امله د پورتنی برخې B اعظمي افقی بی ځایه کیدل وټاکئ. $E_{st} = 200 \text{ GPa}$ واخلئ.



حل (SOLUTION)

دلته د اورگادي موټر ، متحرک انرژي د پايي په داخلي سترين انرژي، يوازي د برخي AC د پايي کي، بدليري . (برخه BA باندي داخلي بار نه پلی کيري) .

مور به د $(D_A)_{max}$ حلولو لپاره د معادلي 14-31 کارولو پرځای ، له لومړي اصولو کارولو کار واخلو . فرض کړئ چي دا ټکی A بي ځايه شوی په اندازه د $(D_A)_{max}$ ، بيا قوه P_{max} چي د دي بي ځايه کيدو لامل کيري د ضميمه C جدول څخه ټاکل کيدی شي مور لرو

$$P_{max} = \frac{3EI(\Delta_A)_{max}}{L_{AC}^3} \tag{1}$$

نو بيا

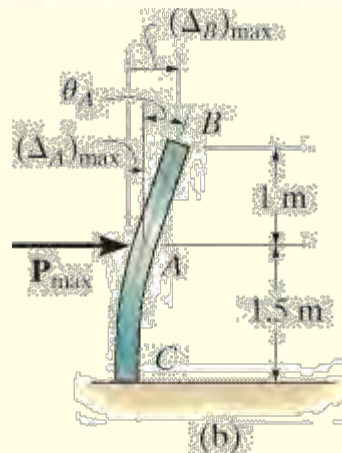
$$U_e = U_i;$$

$$\frac{1}{2}mv^2 = \frac{1}{2}P_{max}(\Delta_A)_{max}$$

$$\frac{1}{2}mv^2 = \frac{1}{2} \frac{3EI}{L_{AC}^3} (\Delta_A)_{max}^2; \quad (\Delta_A)_{max} = \sqrt{\frac{mv^2 L_{AC}^3}{3EI}}$$

په ریاضی ډیټا کی دا ځای پر ځای کوو او دا لاندی حاصل کیري

$$(\Delta_A)_{\max} = \sqrt{\frac{80(10^3) \text{ kg}(0.2 \text{ m/s})^2(1.5 \text{ m})^3}{3[200(10^9) \text{ N/m}^2][\frac{1}{12} (0.2 \text{ m})^4]}} = 0.01162 \text{ m} = 11.62 \text{ mm}$$



له معادلی 1 کار اخلو، قوه P_{\max} بیا کیري

$$P_{\max} = \frac{3[200(10^9) \text{ N/m}^2][\frac{1}{12} (0.2 \text{ m})^4] (0.01162 \text{ m})}{(1.5 \text{ m})^3} = 275.4 \text{ kN}$$

په انځور 14-28b ، برخه AB د پایي مستقیم پاتی کیري. د اعظمی بیخایه کیدني په B کی ، مور باید لمبري q_A وټاکو.

د ضمیمي C جدول له مناسب فورمول څخه مور لرو

$$\theta_A = \frac{P_{\max} L_{AC}^2}{2EI} = \frac{275.4(10^3) \text{ N} (1.5 \text{ m})^2}{2[200(10^9) \text{ N/m}^2][\frac{1}{2} (0.2 \text{ m})]^4} = 0.01162 \text{ rad}$$

اعظمی بیخایه کیدنه په B کی عبارت ده په

$$\begin{aligned}(\Delta_B)_{\max} &= (\Delta_A)_{\max} + \theta_A L_{AB} \\ &= 11.62 \text{ mm} + (0.01162 \text{ rad})1(10^3) \text{ mm} = 23.2 \text{ mm} \quad \text{Ans.}\end{aligned}$$

سوالونه

PROBLEMS

س 14-42 یوه 4 m اوږده میله 30 mm قطر لری. ټوله ایلسټیک انرژي چی دا جذب کولای شي و ټاکی که چیری (a) دا له فولادو جوړعهه شوی ویکله چی $E_{st} = 200\text{GPa}$, $s_Y = 800 \text{ MPa}$ او (b) میله له المونیم الیاژ څخه جوړه چیری چی $E_{al} = 70 \text{ GPa}$, $s_Y = 405 \text{ MPa}$ س 14-43. د سره برنجو C83400 میلی قطر معلوم کړي، 8 ft اوږده او د 800 ft.lb انرژي جذبولو په کنش کی له ټکر بار څخه. بیلدینگ مینځ ته نه راځي.

س* 14-44. دیوی 50-Mg کتله کله چی د فولادی پایي په پورتنی برخه کی وي سرعت v یي و ټاکی، که چیری وروسته له ټکر اعظمی سټریس په پایه کی 550 MPa وی. د دی پایي اوږدوالی $L = 1\text{m}$ او غوڅه برخه یي 0.01 m^2 دي. $E_{st} = 200\text{GPa}$, $s_Y = 600\text{MPa}$.

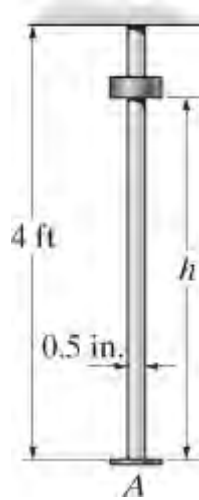


س 14-44

س 14-45. د یوه کالر (collar) وزن 50- lb دي، او دا په تایتینیم میله کی رالویږي . که چیری د تایتینیم میلی قطر 0.5 in. وی، اعظمی ستریس په میله کی وټاکي (a) که چیری له لوروالي $h = 1$ ft رالویږي (b) که له لوروالي $h \approx 0$ او (c) په کراري سره په فلنج A کینودل شي.

$$E_{ti} = 16(10^3) \text{ ksi}$$

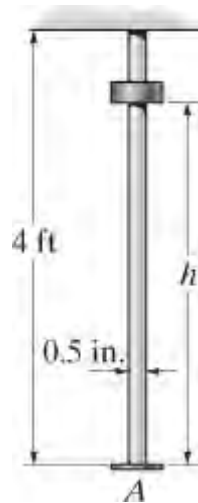
$$s_Y = 60 \text{ ksi}$$



س 14- 45

س 14-46. د یوه کالر (collar) وزن 50- lb دي، او دا په تایتینیم میله کی رالویږي . که چیری د تایتینیم میلی قطر 0.5 in. وی اعظمی لوروالی h داسی معلوم کړي کله چی دا کالر رالویږي او د میلی فلنج سره په ټکی A کی ټکر مومي ، هغه په دایمي توگه خرابه نکړي.

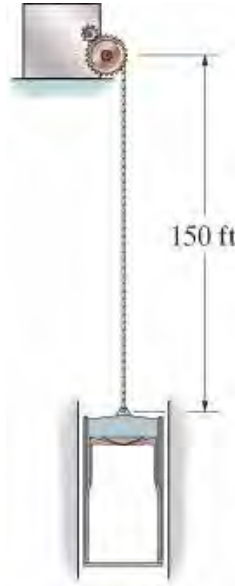
$$s_Y = 60 \text{ ksi} , E_{ti} = 16(10^3) \text{ ksi} .$$



س 14- 46

س 14-47. یو فولادی کیبل 0.40 in. قطر لري او له ډرم (drum) تاو شوی دی. دا د یو 800 lb لفت تیتولو لپاره کارول کیږي. لفت 150 ft له ډرم بڼکته دی او په ثابت سرعت 2 ft/s بڼکته کیږي چې ډرم دفعتاً توقف کړي. اعظمی سټریس په کیبل کی کله چی دا واقع کیږي و ټاکي.

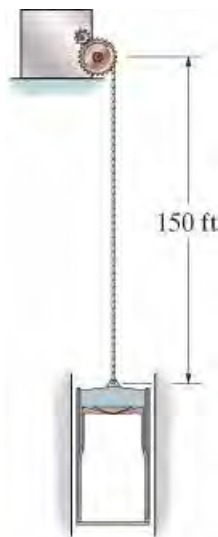
. $s_Y = 50 \text{ ksi}$ ، $E_{st} = 29(10^3) \text{ ksi}$



س 14-47

س* 14-48. یو فولادی کیبل 0.40 in. قطر لري او له ډرم (drum) تاو شوی دی. دا د یو 800 lb لفت تیتولو لپاره کارول کیږي. لفت 150 ft له ډرم بڼکته دی او په ثابت سرعت 3 ft/s بڼکته کیږي چې ډرم دفعتاً توقف کړي. اعظمی سټریس په کیبل کی کله چی دا واقع کیږي و ټاکي.

. $s_Y = 50 \text{ ksi}$ ، $E_{st} = 29(10^3) \text{ ksi}$

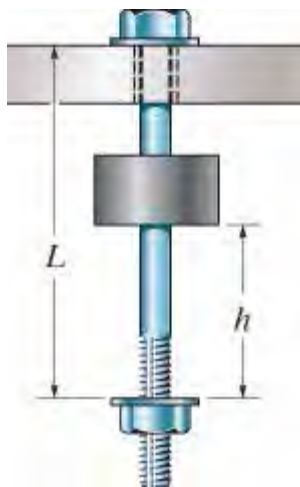


س 14-48

س 14-49. یو A-36 فولادی بولت اړین دی چی انرژي د 2-kg کتله، کله چی له لوړوالي $h = 30 \text{ mm}$ را لویږي، جذب کړي. که قطر د بولت 4 mm وي اړین اوږدوالي L یې داسی وټاکي تر څو سټریس په بولت کی له 150 MPa زیادت ونکړي.

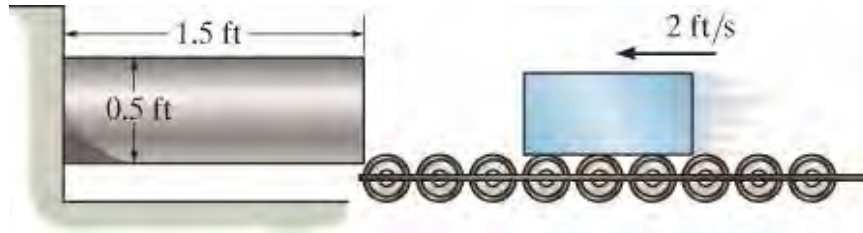
س 14-50. یو A-36 فولادی بولت اړین دی چی انرژي د 2-kg کتله، کله چی له لوړوالي $h = 30 \text{ mm}$ را لویږي، جذب کړي. که قطر د بولت 4 mm او اوږدوالي $L = 200 \text{ mm}$ وي معلوم کړي چی سټریس په بولت کی به له 175 MPa زیادت وکړي.

س 14-51. یو A-36 فولادی بولت اړین دی چی انرژي د 2-kg کتله کله چی د 4 mm قطر بولت شنک په 150 mm اوږدوالي لویږي، جذب کړي. معلوم کړي اعظمی لوړوالي h د لویډو تر څو سټریس په بولت کی له 150 MPa زیادت ونکړي.



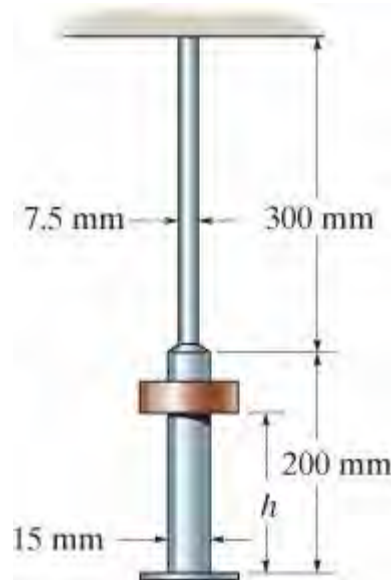
س 14- 49/50/51

س 14-52* . یو سلنډر چې ابعاد یې په لاندې انځور کې ښودل شوي له مگنیزیم Am 1004-T61 څخه جوړ شوي . که چیرې یو سخت بلاک کوم چې 800 lb وزن لری او په 2 ft/s په حرکت کیدي ورسره ټکر کړي، اعظمی ستړیس په بلاک کې و ټاکي. د سلنډر کتله د پام وړ نه ده.



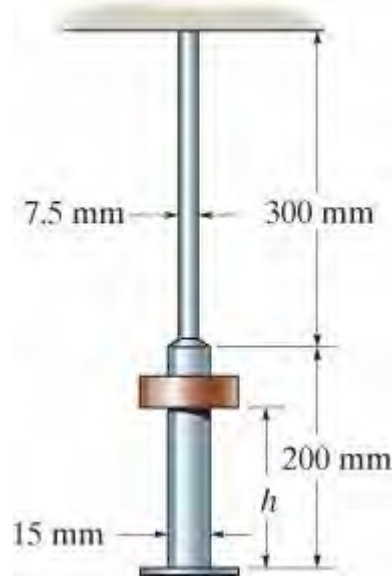
س 14- 52

س 14-53 . د کمپازیت المونیم 2014-T6 یوه میله له دوو برخو جوړه شوي ده، یوه برخه یې قطر او بله برخه یې 15 mm قطر لري. یو کالر د 10-kg له لوړوالي د $h = 100$ mm رالویږي ، اعظمی محوری ستړیس په میله کې و ټاکي.



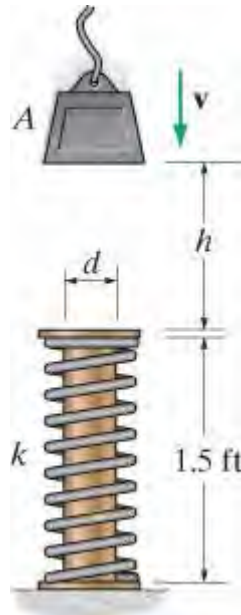
س 14- 53

س 14-54. د کمپازیت المونیم 2014-T6 یوه میله له دوو برخو جوړه شوي ده، یوه برخه یې 7.5mm قطر او بله برخه یې 15 mm قطر لري. اعظمی لور والی h داسی معلوم کړي ترڅو د 10- kg کالر راولویدو له امله اعظمی محوری ستریس $s_{\max} = 300 \text{ MPa}$ په میله کی جوړ کړي.



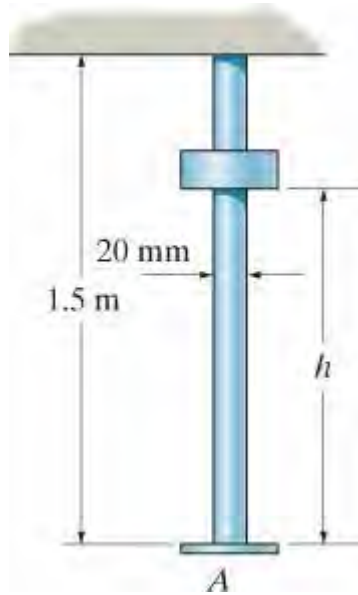
س 14- 54

س 14-55. کله چی 100-lb بلاک په لوړوالي $h = 3 \text{ ft}$ د سلندری پایي او فنر اسامبلی په سر وی، سرعت یې $v = 20 \text{ ft/s}$ دی. که پایه له تایتینیم 2014-T6 اود فنر سختوالي $k = 250 \text{ kip/in}$ وی، اړین کوچنی قطر d د پایي تر نیردی $\frac{1}{8}$ انچ داسی و ټاکی، کله چی په بلاک و لگيري مواد یې بیلد و نکړي.



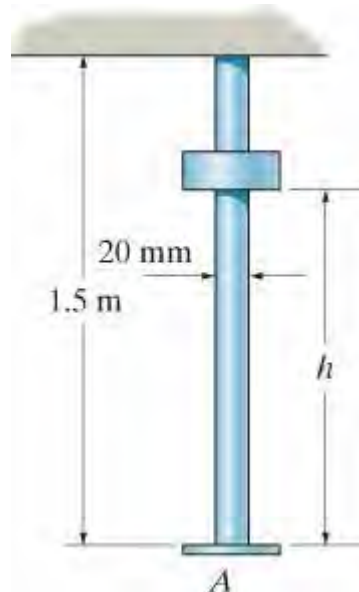
س 14- 55

س 14-56* . یوه کالر (collar) 5 kg کتله لري ، او دا په تایتینیم Ti-6AL-4V میله کی رالویږي . که چیری د تایتینیم میلی قطر 20 mm وی، اعظمی ستړیس په میله کی وټاکي (a) که چیری کالر له لوړوالي $h = 1$ m رالویږي (b) که له لوړوالي $h \approx 0$ او (c) په کراري سره په فلنج A کینودل شي .



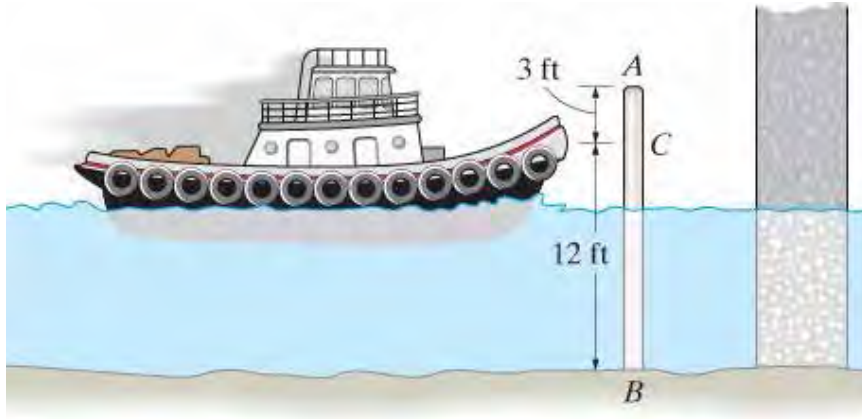
س 14- 56

س 14-57 . یوه کالر (collar) 5 kg کتله لري ، او دا په تایتینیم Ti-6AL-4V میله کی رالویږي . که چیری د تایتینیم میلی قطر 20 mm وی، معلوم کری چی کالر له دریدلی حالت څخه له هر ټکی د میلی رالویږی شي او او کله چی په فلنج A و لگیږي میله په دایمي توگه خساره مند نه کیږي.



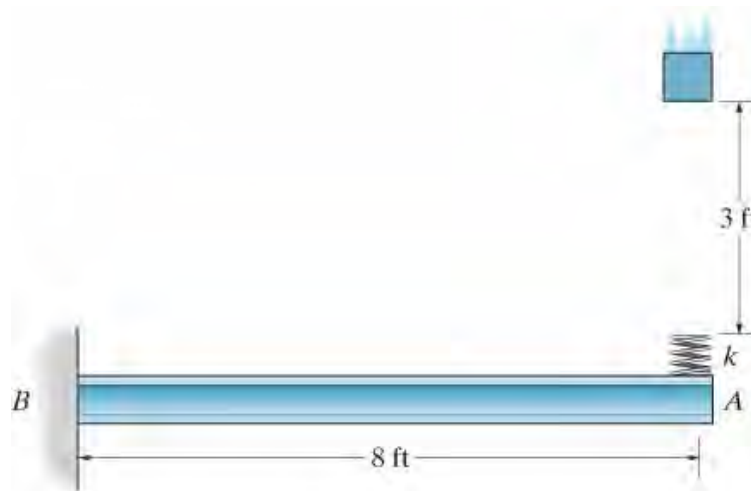
س 14- 57

س 14-58. دا لاندی کشونکی کبنتی 120000 lb وزن لري، او په 2 ft/s سره مخ په وړاندی په حرکت کی ده و هکله چی له 12 in قطر لرونکی محافظوپ پای سره تکر کړي. که چیری پایه له سپین صنوبر لرگی څخه جوړه شوی وی او فرض کړو چی د سیند په په بستر کی کلک تړل شوي ده ، د پایي پورتننی برخه چی د تکر له امله افقي فاصله بیخایه کیږي و تاکی. فرض کړی چی کشونکی کبنتی سخته ده او د اوبو تاثیر د حساب وړ نه دي.



س 58- 14

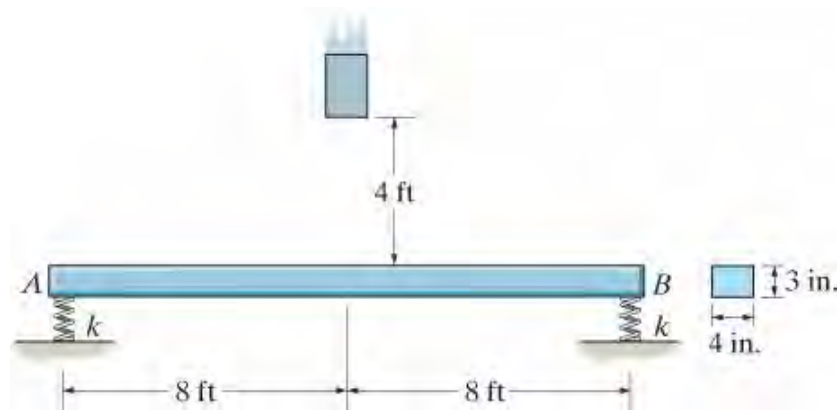
س 14-59. یو W X 12 بیم له A-36 فولادو جوړ شوي او په B کی له دیوال کنټیلیور شوي دي. یو فنر چی په بیم تړل شوي شخی یی $k = 1000 \text{ lb/in}$ ده. که چیری 8 پوند وزن له 3 ft لوړوالي په فنر راولویږي ، اعظمی کږیدونکی سټریس په بیم کی معلوم کړي.



س 59- 14

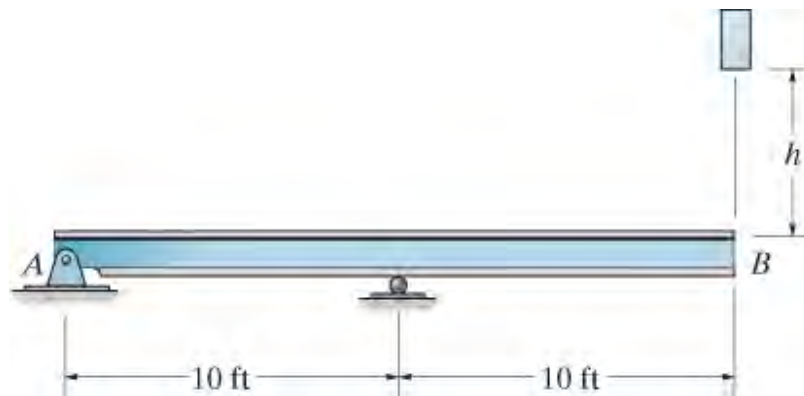
س 14-60* يو 175 lb وزن له لوروالي د 4 ft ، د فولادو A992 بيم په سر رالويدلي دی. اعظمی بيخايه كيدنه او اعظمی ستريس په بيم كی كه چيری فنرونه په A او B كی هر يو شخی د $k = 500 \text{ lb/in}$ ولري. بيم 3 انچ پنډوالي او 4 انچ سور لري.

س 14-61 يو 175 lb وزن له لوروالي د 4 ft ، د فولادو A992 بيم په سر رالويدلي دی. د بار فكتور n كه چيري ملاتړ كونكي فنرونه په A او B كی هر يو يی شخی د $k = 500 \text{ lb/in}$ ولري، وټاكي. بيم 3 انچ پنډوالي او 4 انچ سور لري.



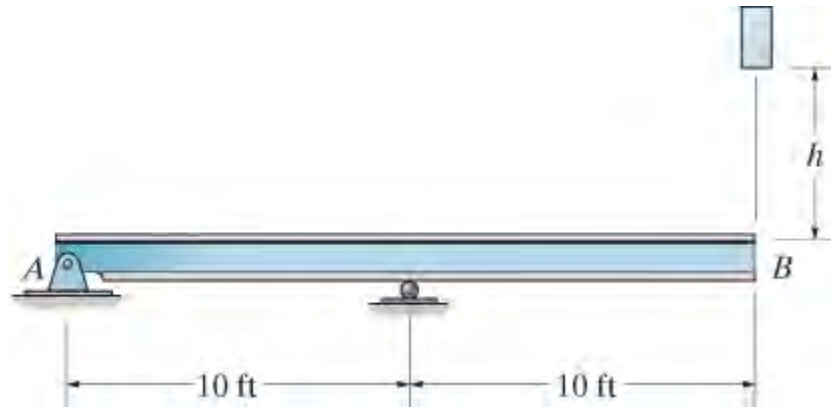
س 14- 60/61

س 14-62 اعظمی لوروالی h د 80-lb وزن لپاره داسی و ټاکی، كه چيری دا په پاي فولادی W6 X 12 بيم راوليري ستريس په بيم كی به له اعظمی ايلستیک ستريس زیاتوالی و نكړي.



س 14- 62

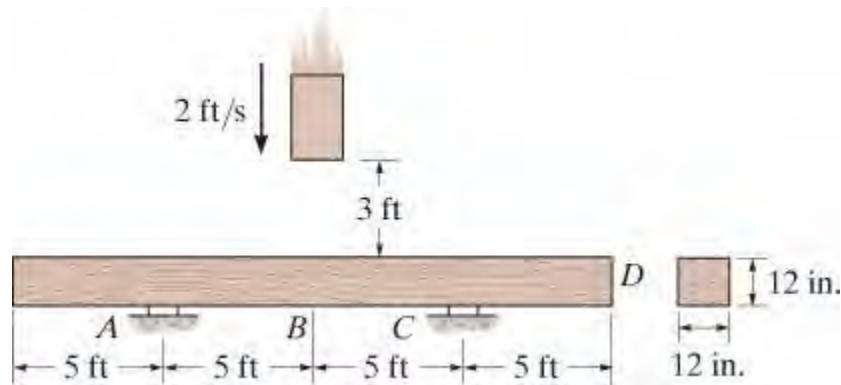
س 14-63. يو 80-lb وزن له لوروالي $h = 4$ ft په پای د يو W6 X 12 فولادی A-36 بيم رالويدلي دي. اعظمی کزیدونکي ستریس په بيم کی و ټاکي.



س 14- 63

س *14-64. يو 75-lb بلاک کله چی 3 ft د بيم په سر کی دی په بنکته لور 2 ft/s سرعت لري. کله چی دا بلاک له بيم سره ټکر کړي اعظمی کزیدونکي ستریس په بيم کی او اعظمی بيخايه کيدنه د پای D د بيم د بلاک د امپکت له امله مشخص کړي. $E_w = 11.9(10^3)$ ksi فرض کړی چی مواد بيلد نکړي.

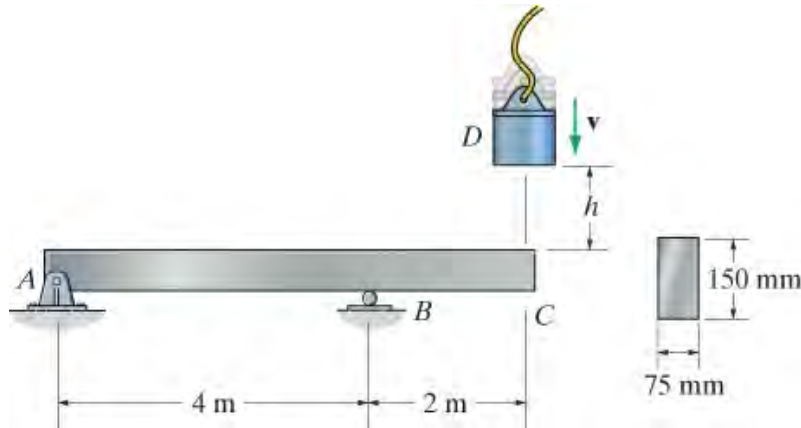
س 14-65. يو 75-lb بلاک کله چی 3 ft د بيم په سر کی دی په بنکته لور 2 ft/s سرعت لري. کله چی دا بلاک له بيم سره ټکر کړي اعظمی کزیدونکي ستریس په بيم کی او اعظمی بيخايه کيدنه په ټکي B د بيم د بلاک د امپکت له امله مشخص کړي. $E_w = 11.9(10^3)$



س 14- 64/65

س 14-66. د بيم وتلي برخه له المونيم 2014-T6 څخه جوړه شوي ده. که چيری 75-kg بلاک په لوړوالي $h = 0.75 \text{ m}$ کی $v = 3 \text{ m/s}$ سرعت ولري، اعظمی کړيدونکی ستريس د بيم معلوم کړي.

س 14-67. د بيم وتلي برخه له المونيم 2014-T6 څخه جوړه شوي ده. د 100-kg بلاک اعظمی لوړوالي h داسی و ټاکي، کله چی دا بلاک له دريدلي حالت ($v = 0$) ولوړی او د بيم په موادو کی بيلد مينځ ته رانشي.

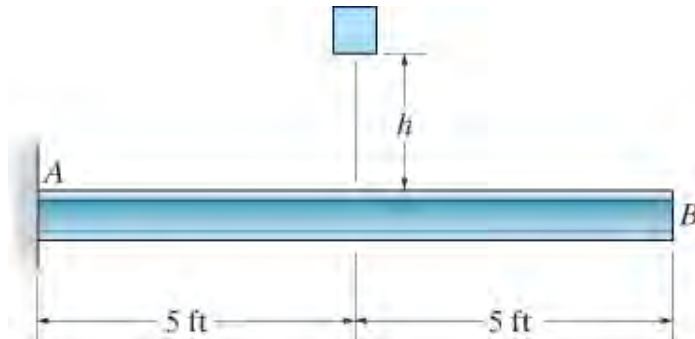


س 14- 66/67

س *14-68. يو 40-lb وزن له لوړوالي $h = 2 \text{ ft}$ د يو فولادی A992 بيم په مرکز رالوري. که چيری بيم له برخي W10 X 15 جوړ شوی وي، اعظمی کړيدونکی ستريس په بيم کی مشخص کړي.

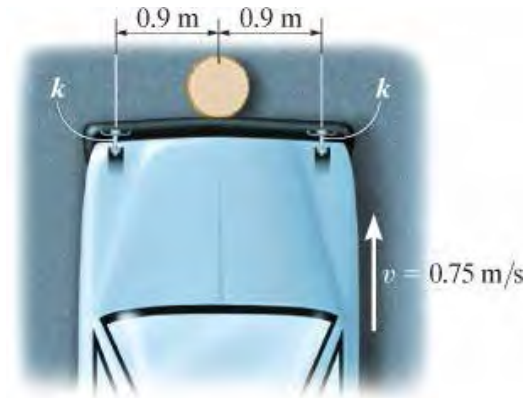
س 14-69. که چيری د منلو وړ اعظمی کړيدونکی ستريس د W10 X 15 فولادو A992 بيم $s_{\text{allow}} = 20 \text{ ksi}$ وي، اعظمی لوړ والي h د يو 50-lb وزن کله چی له دريدلي حالت رالوړی او د بيم سره امپکت کړي، وټاکي.

س 14-70. يو 40-lb وزن له لوړوالي $h = 2 \text{ ft}$ د يو فولادی A992 بيم په مرکز رالوري. که چيری بيم له برخي W10 X 15 جوړ شوی وي، اعظمی عمودی بيخايه کيدنه د پای B د بيم د امپکت له امله مشخص کړي.



س 14- 68/69/70

س 14-71. د یوه موټر بمپر له پالیکاربونیت- پالی بیټیلین-تیریفاتلایت څخه جوړ شوي. که چیرې $E = 2.0 \text{ GPa}$ وی، او په سرعت $v = 0.75 \text{ m/s}$ بمپر په یوه سخت پایه ټکر وکړي، اعظمی بیخایه کیدنه او اعظمی ستیریس په بمپر کی وټاکي. د موټر کتله 1.80 Mg ده، او داسی گمان کیدی شی چی بمپر په دوه فنرونو د موټر د سخت فریم سره په ساده ډول اتکا کړي. د بمپر لپاره $I = 300(10^6) \text{ mm}^4$ ، $c = 0.75 \text{ mm}$ ، $s_Y = 30 \text{ MPa}$ او $k = 1.5 \text{ MN/m}$ و کاروي.



س 14- 71

14. 5* د مجازی کار اصول (PRINCIPAL OF VIRTUAL WORK)

د مجازی کار اصول په 1717 م، کی د جان برنولی (John Bernoulli) لخوا رامینځته شوی، او د نورو انرژي تحلیلي طریقو په څیر، دا د انرژي ساتنې پر بنسټ ولاړ دی. که څه هم دا اصول په میخانیک کی ډیری کارول کیږی، دلته به موږ دا په یوه ټکی کی د بی خایه کیدو او میلان ترلاسه کولو لپاره د کږیدونکیو (Deformable) جسمونولپاره کار واخلو.

د عمومي نظر ورکولو لپاره چې دا څنگه کارول کیږي، موږ به یو جسم ته، کوم چی په خپل سری شکل وي پام وکړو، لکه څنگه چې په انځور 14-29b کی ښودل شوي، او "حقیقي" بارونه P_1 ، P_2 او P_3 ورباندی پلی شوي دي. فرض کړئ چې موږ غواړو بی خایه کیدنه D په ټکی A په جسم باندې پیدا کړو. ځکه چې په A کی هیڅ قوه د D په سمت عمل نه دی کړي، نو کله چې د انرژي ساتنې اصول په جسم پلی کیږي په دې ځای کی به هیڅ د بهرنی کاري اصطلاح شامله نه وي. د دې محدودیت لریکولو دپاره به موږ به یو خیالي یا "مجازی" قوه P^* پر جسم په A کی پلی کړو،

داسې چې P^* د D په ورته لوري عمل کوي. سربيره پردي، دا بار به د ريښتيني بارونوتر پلي کيدو دمخه پلي شي، انځور 14-29a. د اسانتيا لپاره، مور به اندازه د P^* يو "يونټ" وټاکو په دی معنی هغه دی $P^* = 1$. دا بايد ټينگار وشي چې دلته د "مجازی" اصطلاح کارول کيږي ځکه چې دا يو خيالي بار دی او په حقيقت کې د يوې برخې په توگه ريښتيني بار شتون نلري. دا بهرنی مجازی بار يو داخلي مجازی بار u رامینځته کوي د بدن په يوه عنصر يا فايبر کې چې استازيتوب د جسم کوی، لکه څنگه چې په انځور 14-29a کې ښودل شوي.

کله چې مور اوس اصلي بارونه P_1 ، P_2 ، او P_3 پلي کړو، ټکی A به D بې ځايه شي او عنصر به dL اوږد شي، انځور 14-29b. د دې په پايله کې په جسم کې بهرنی مجازی کار D^* . D 1 رامینځته کيږي، او د عنصر په داخل کې داخلي مجازی کار dL . په عنصر کې جوړيږي. که مور يوازې د مجازی انرژي ساتنې په اړه فکر وکړو، نو بيا بهرنی مجازی کار بايد د داخلي مجازی کار کوم چې د بدن په ټولو عناصرو کې ترسره کيږي سره مساوي وي. له همدې امله، مجازی کار مساوات جوړيږي

$$\begin{array}{c} \text{virtual loadings} \\ \left. \vphantom{\int} \right\} \\ 1 \cdot \Delta = \int u \cdot dL \\ \left. \vphantom{\int} \right\} \\ \text{real displacements} \end{array} \quad (14-33)$$

دلته

$P^* = 1 =$ بهرنی مجازی يا خيالی واحد بار چې په جهت د D عمل کوي

$u =$ داخلي مجازی يا خيالي بار چې په عنصر عمل کوي

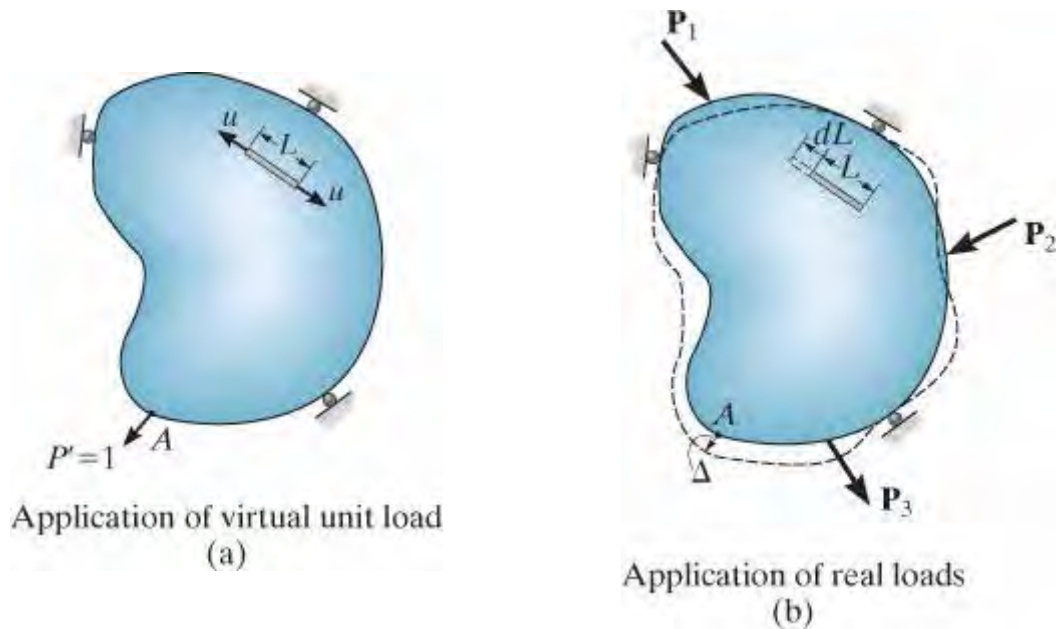
$D =$ بيځايه کيدنه د حقيقي بارونو له امله

$dL =$ بيځايه کيدنه د عنصر په جهت د u ، د حقيقي بارونو له امله

څرنگه چې مور $P^* = 1$ انتخاب کوي، ليدل کيږي چې د D حل په مستقيم ډول حاصل کيږي، ځکه

$$D = \int u dL$$

* د حقيقي بارونو پلي کيدو مخکې جسم او عنصر به مجازی (خيالي) بيځايه کيدنه وکړي، اگرچه مور د مقدار سره علاقه ونه لرو.



انځور 14-29

په ورته ډول، که زاويې بې ځايه کيدنه يا د مماس ميلان د جسم په يوه ټکي A انځور 14-30b، کې وټاکل شي، بيا يو مجازی کپل مؤمنت M کوم چې يو واحد، "يونټ"، اندازه لري، په نقطه کې پلي کيږي، انځور 14-30a. د پايلې په توگه، دا کپل مؤمنت يو مجازی بار u_q په يوه عنصر د جسم کې سبب د جوړيدو کيږي. اوس د اصلي بارونو پلي کول P_1, P_2, P_3 ، عنصر به د dL په اندازه بدل شي، او په دې توگه زاويه وي بې ځايه کيدل q د مجازی کار مساوات څخه موندل کيدی شي. اوس به مور اصلي بارونه P_1, P_2 ، او P_3 پلي کړو، او عنصر به په اندازه د dL بې ځايه شي، په دې طريقه د زاويه وی بيځايه کيدنه q د مجازي کار له معادلې په لاس راځي.

$$\overbrace{1 \cdot \theta}^{\text{virtual loadings}} = \underbrace{\int u_{\theta} dL}_{\text{real displacements}} \quad (14-34)$$

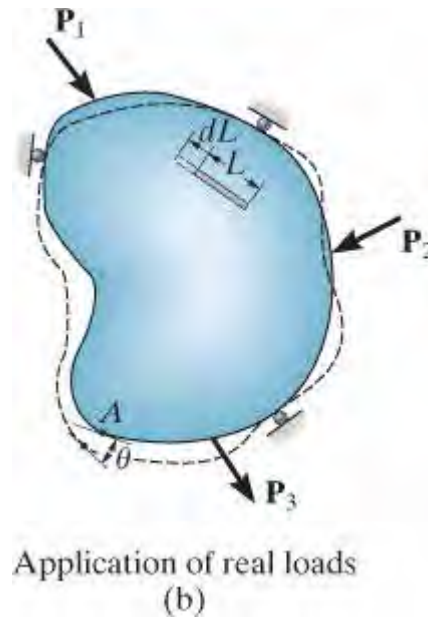
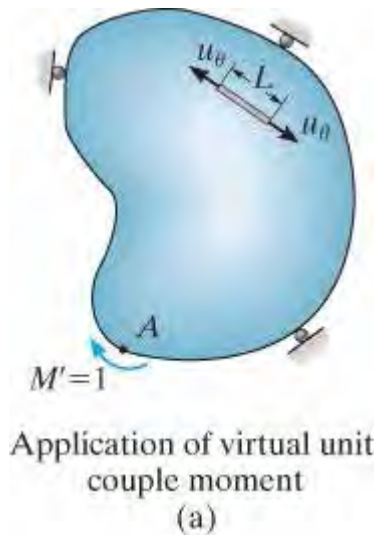
دلته

$M = 1$ = بهرنی مجازی يا خیالی واحد کپل مؤمنت چې په جهت د q عمل کړي

u_q = داخلی مجازی يا خیالي بار چې په عنصر عمل کړي

q = زاويه وی بيځايه کيدنه په راديان د حقيقي بارونو له امله

$dL =$ بیخایه کیدنه د عنصر په جهت د u_θ ، د حقیقي بارونو له امله



انځور 14-30

د مجازی کار اصولو پلی کول په نامه د **مجازی یا خیالی قواو (method of virtual forces)** طریقه هم یادېږي. ځکه چی د حقیقي بیخایه کیدنی موندلو لپاره له مجازی قوه کار اخیستل کېږي. د مجازی کار معادله استازیتوب د مطابقت اړتیاوی د جسم کوي*.

*مور کولی شو د مجازی کار اصول د مجازی بی خایه کیدو طریقی په توگه هم پلي کړو، دا دی، مجازی بی خایه کیدنه په جسم باندې تطبیق کېږي کله چې په جسم حقیقي بارونه پلی شوي وي . کله چی په دی ډول وکارول شي، د مجازی کار معادله بنونکی د توازن اړتیاوو د جسم لپاره ده . د انجینری میخانیک وگورئ: ستاتیک، آر. سي. هیبلر ، Pearson Education, Inc.

جدول 14-1

Deformation caused by	Strain energy	Internal virtual work
Axial load N	$\int_0^L \frac{N^2}{2EA} dx$	$\int_0^L \frac{nN}{EA} dx$
Shear V	$\int_0^L \frac{f_s V^2}{2GA} dx$	$\int_0^L \frac{f_s v V}{GA} dx$
Bending moment M	$\int_0^L \frac{M^2}{2EI} dx$	$\int_0^L \frac{mM}{EI} dx$
Torsional moment T	$\int_0^L \frac{T^2}{2GJ} dx$	$\int_0^L \frac{tT}{GJ} dx$

داخلي مجازی کار (Internal Virtual Work). که مور فرض کرو چي مواد یو خطي ایلستیک ډول چلند لري، او ستریس د تناسب له حد (proportional limit) څخه زیات نه دي، مور بیا کولی شو د داخلي مجازی کار لپاره د ایلستیک سترین انرژي معادلي چی په برخه 14.2 کی رامینځته شوي، کار تری واخلو. دوی د جدول 14-1 په منځنی کالم کی لیست شوي دي. په یاد ولری چی دا هر یو څرگندونې داسې انگیرل کیږي چی داخلي بارونه N ، V ، M ، یا T په تدریجي ډول له صفر څخه شروع او خپل بشپړ ارزښت ته وده ورکړه، او په پایله کی، کار د دي پایلو لخوا ترسره شوي په دي څرگندونو کی د داخلي بار او د هغې بی ځایه کیدلو نه، په نیمه توگه، بنودل شوي. د مجازی قوی طریقې په صورت کی، مجازی بارمخکی له دی چی ریښتیني بارونه د بی ځایه کیدو لامل شي پلي کیږي او له همدې امله د مجازی بار کار دی بیا د مجازی بار محصول او د هغې اصلي بی ځایه کیدنه (پرته د $1/2$ فکتور). دي داخلي مجازی بارونو ته (u) اشاره کول لخوا د کوچنی حرفونو n ، v ، m ، او t ، مجازی کار له امله د هر بار د جدول 14-1 په بني لاس کالم کی لیست شوی. د دي پایلي کارول، د مجازی کار معادله د جسم لپاره چی په هغه عمومي ډول بار پلی شوي په دی توگه لیکل کیدی شي

$$1 \cdot \Delta = \int \frac{nN}{AE} dx + \int \frac{mM}{EI} dx + \int \frac{f_s v V}{GA} dx + \int \frac{tT}{GJ} dx \quad (14-35)$$

په دی لاندی برخو کی به مور پورتنی معادله د هغه پوښتنو لپاره چی د ترس د جاینټونو او د بیم یا شفت په ټکیو بیخایه کیدنی کی شامل دی، پلي کړو. همدارنگه دا چی څرنگه به مور د جوړونې تېروتنې او د تودوخې توپیر اغیزی اداره کړو، د هغوی د څرنگوالي په اړه بحث هم شامل کړو. دا مهمه ده چی ثابت واحدونه د ټولو شرایطو لپاره وکارول شي. د مثال په توگه، که چیرې ریښتیني بارونه په کیلو نیوتن او د جسم ابعاد په مترونو، یو 1-kN مجازی قوه یا 1-kN.m مجازی کیل باید په جسم تطبیق شي، په دې اجراکولو سره محاسبه شوي بي خایه کیدنه D به په مترو کې وی، او محاسبه شوي میلان به په ریډینونو کې وي

14.6* د مجازی قواوو پلي کيدل په ترس (METHOD OF VIRTUAL FORCES APPLIED TO TRUSSES)

پدې برخه کې به مور وښیو چی څنگه د مجازی قواوو میتود پلي کړو تر څو د ترس د گنډو بي خایه کيدل مشخص کړو. د روښانه کولو لپاره، د عمودی بي خایه کيدنی موندل د ترس د جوینت A په پام کی نیسو، په انځور 14-31b کې ښودل شوي. مور باید لومړی مجازی واحد قوه په دې گنډه کې ځای په ځای کړو، انځور 14-31a، نو کله چی ریښتیني بار P_1 او P_2 په تراس باندې پلي کیري، او دا لامل د بهرنی مجازی کار D 1. ځکه کیري چی هر غړی یو دوامداره غوڅه برخه ساحه A لري، مجازی او حقیقي بارونه n او N د غړي په اوږدو کې ثابت دي، بیا له جدول 14-1 څخه، داخلي مجازی کار د هر غړي لپاره دی

$$\int_0^L \frac{nN}{AE} dx = \frac{nNL}{AE} \quad (14-36)$$

له همدی امله مجازی کار معادله د ټول ترس لپاره عبارت ده په

$$1 \cdot \Delta = \sum \frac{nNL}{AE} \quad (14-37)$$

دلته

$1 =$ بهرنی مجازی یا خیالی واحد بار چی د ترس گندی په جهت د D عمل کړي

$D =$ د ترس د گندی بیخایه کیدنه د حقیقي بارونو له امله په ترس باندی

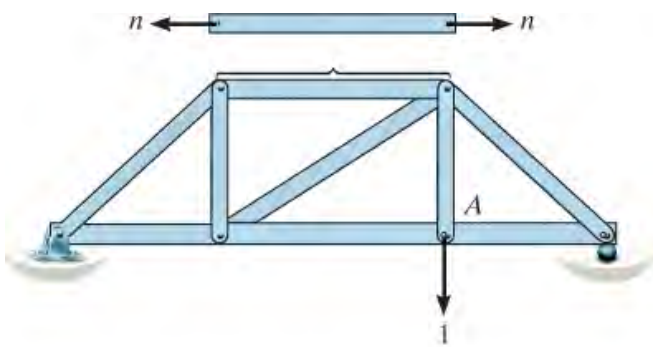
$n =$ داخلی مجازی یا خیالی قوه د ترس په غړي کی د بهرنی مجازی بار له امله

$N =$ داخلی قوه د ترس په غړی کی د حقیقي بارونو له امله

$L =$ د غړی اوږدوالي

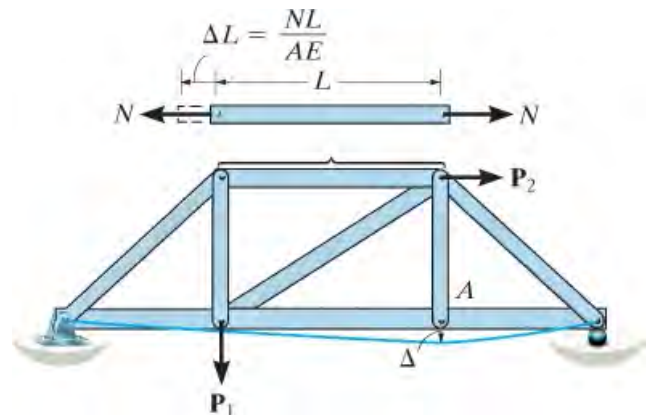
$A =$ د غړي دغوخی برخی ساحه

$E =$ د غړی د ایلستیستی ماجولس



Application of virtual unit load

(a)



Application of real loads

(b)

انځور 14-31

د تودوخې درجې بدلون (Temperature Change)

د تراس غړي کولی شي خپل اوږدوالی د تودوخې د بدلون له امله بدل کړي. که a د حرارتي توسعې ضریب د غړي لپاره وي، او DT د تودوخې درجې بدلون دی، بیا د غړي د اوږدوالی بدلون

$DL = a DT L$ (معادله 4-4) دی. له دې امله، موږ کولی شو د تودوخې د بدلون له امله د ترس گنډی بې ځایه کیدل په کارولو د معادلې 14-33 مشخص کړو، لیکل شوی:

$$1 \cdot \Delta = \sum n \alpha \Delta T L \quad (14-38)$$

دلته

1 = بهرنی مجازی یا خیالی یو واحد بار چې د ترس د گنډی په جهت د D عمل کړي

D = د تراس د گنډی بېځایه کیدنه د تودوخې درجې بدلون له امله په ترس باندې

n = داخلي مجازی یا خیالي قوه د تراس په غړي کې د بهرنی مجازی یوه واحد بار له امله

a = د موادو د تودوخې د بدلون ضریب

DT = د تودوخې درجې بدلون په غړي کې

L = د غړي اوږدوالی

د جوړولو تېروتنې (Fabrication Errors)

کله ناکله د ترس د غړيو په جوړولو کې په اوږدوالي تېروتنې واقع کېدی شي. که دا پېښ شي، بې ځایه کیدنه D د ترس گنډی په یو ځانگړي لوري، د متوقع موقعیت څخه، کېدی شي په پلی کولو د معادلې 14-33 داسی ولیکو

$$1 \cdot \Delta = \sum n \Delta L \quad (14-39)$$

دلته

$1 =$ بهرنی مجازی یا خیالی واحد بار چی د ترس گنډیجوینت په جهت د D عمل کړي

$D =$ د ترس د گنډی بیخایه کیدنه د جوړه ولو تیروتنی له امله

$n =$ داخلی مجازی یا خیالی قوه د ترس په غړی کی د بهرنی مجازی واحد بار له امله

$DL =$ د غړی په اوږدوالي کی د ټاکل شوي اوږدوالي څخه توپیر د جوړونې رامینځته شوی غلطی له امله

د معادلی 14-37 تر 14-39 د بني اړخونو دیوځایوالی نه اړین دی، که چیری بهرنی بارونه په ترس پلی شوی وي او ځینی غړی د تودوخی له امله بدلون ومومي یا په جوړه ولو کی په ابعادو یی غلطی شوی وي.

د تحلیل کرنلاره

PROCEDURE FOR ANALYSIS

دا لاندی کرنلاره یوه طریقه وړاندی کوي ، تر څو و کولای شو د تیرس دگنډی بیخایه کیدنه د مجازی قواوو طریقی په کارولو و ټاکو .

مجازی قواوی n (Virtual Forces n).

- مجازی یو واحد بار په هغه گنډه پلي کړی کوم چی بیخایه کیدنه غوښتل شوي ده. بار باید په جهت د بیخایه کیدنی عمل وکړي.
- کله چی یو واحد بار په هغه گنډه چی بیخایه کیدنه غوښتل شوی پلي شو، او ټول بهرنی بارونه له تیرس حذف شول، داخلی قوه n په هر غړی د تیرس کی وټاکي. فرض کړی چی کششی قواوی مثبت او ټیلوهونکی قواوی منفی دی.

حقیقی قواوی N (Real Forces N).

- قواوی N په هر غړی کی مشخص کړي. دا قواوی له امله د حقیقی بارونو چی په تیرس عمل کړی دي. بیا، فرض کړی چی کششی قواوی مثبت او ټیلوهونکی قواوی منفی دی.

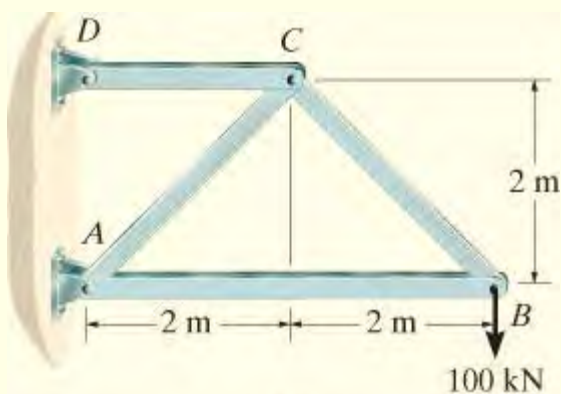
د مجازی-کار معادله (Virtual-Work Equation).

- د مجازی کار معادله د بیخایه کیدنی معلومولو لپاره پلي کړی. دا ډیره مهمه ده چی الجبری علامه د هر اړوند n او N ، کله چی دوی په معادله کی ځای پر ځای کوي ، وسائی،
- که چیری محصله د مجموع $SnNL/AE$ مثبت وي، بیخایه کیدنه D جهت به یو شان د واحد بار په جهت وي. که چیری منفي ارزښت وی، نود D جهت به مخالف د واحد بار د جهت وي.
- که چیری $D = SnaDTL$. 1 پلي کړي، زیاتوالي د تودوخی، DT ، به مثبت وی، اما کمښت په تودوخی درجه کی به منفي وي.
- که چیری $D = SnDL$. 1 پلي کړي، زیاتوالي د غړی په اوږدوالي کی، DL ، به مثبت وی، اما په اوږدوالي کی کمښت به منفي وي.

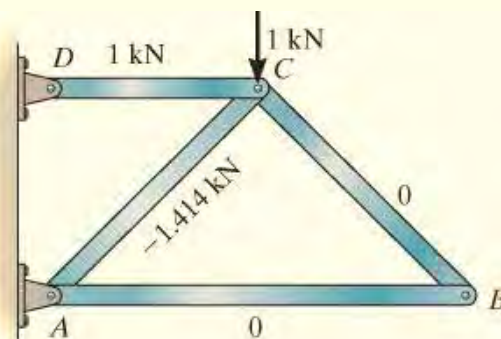
مثالونه

مثال 14.11

ددی لاندی فولادی ترس، انخوړ 14-32a، گندی C، عمودی بیخایه کیدنه و ټاکی. د هر غړی د غوڅی برخه ساحه $A = 400 \text{ mm}^2$ او $E_{st} = 200 \text{ GPa}$ دي.



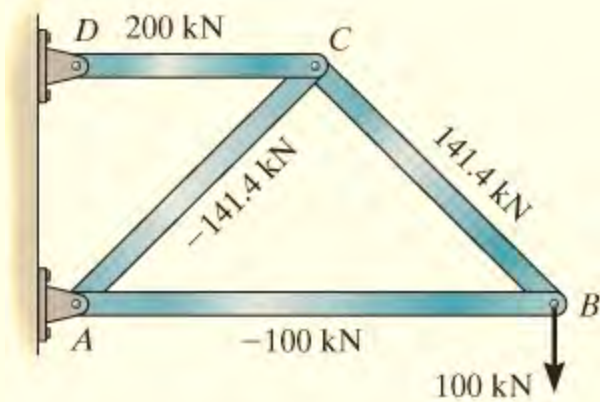
(a)



Virtual forces

(b)

حل (SOLUTION)



Real forces

(c)

انخوړ 14-32

مجازي قواوی n (Virtual Forces n).

ځکه چی عمودی بیخایه کیدنه په گنده C کی غوښتل شوي، تنها یو عمودي 1-kN مجازي بار په گنده C کی پلی کیري، او د گندی طریقې په کارولو سره قواوي په هر غړی کی محاسبه کیري. پایلی ددی محاسبی په انخوړ 14-32b کی بنودل شوي. زموږ د علامی کنوانسیون په کارولو، مثبت اعداد کبشبنی قواوی بنیي او منفي ارقام تیلوهونکي قواوي بنیي.

حقیقی قواوی N (Real Forces N). د گنډی طریقې په کارولو سره قواوي په هر غړی کی د 100-kN بار له امله محاسبه کیري. پایلی ددی محاسبی په انځور 14-32c کی بنودل شوي.

مجازی- کار معادله (Virtual-Work Equation). دیتا په لاندی جدول کی ځای په ځای شوی او مور لرو:

Member	n	N	L	nNL
AB	0	-100	4	0
BC	0	141.4	2.828	0
AC	-1.414	-141.4	2.828	565.7
CD	1	200	2	400
				$\Sigma 965.7 \text{ kN}^2 \cdot \text{m}$

په دی توگه:

$$1 \text{ kN} \cdot \Delta_{Cv} = \sum \frac{nNL}{AE} = \frac{965.7 \text{ kN}^2 \cdot \text{m}}{AE}$$

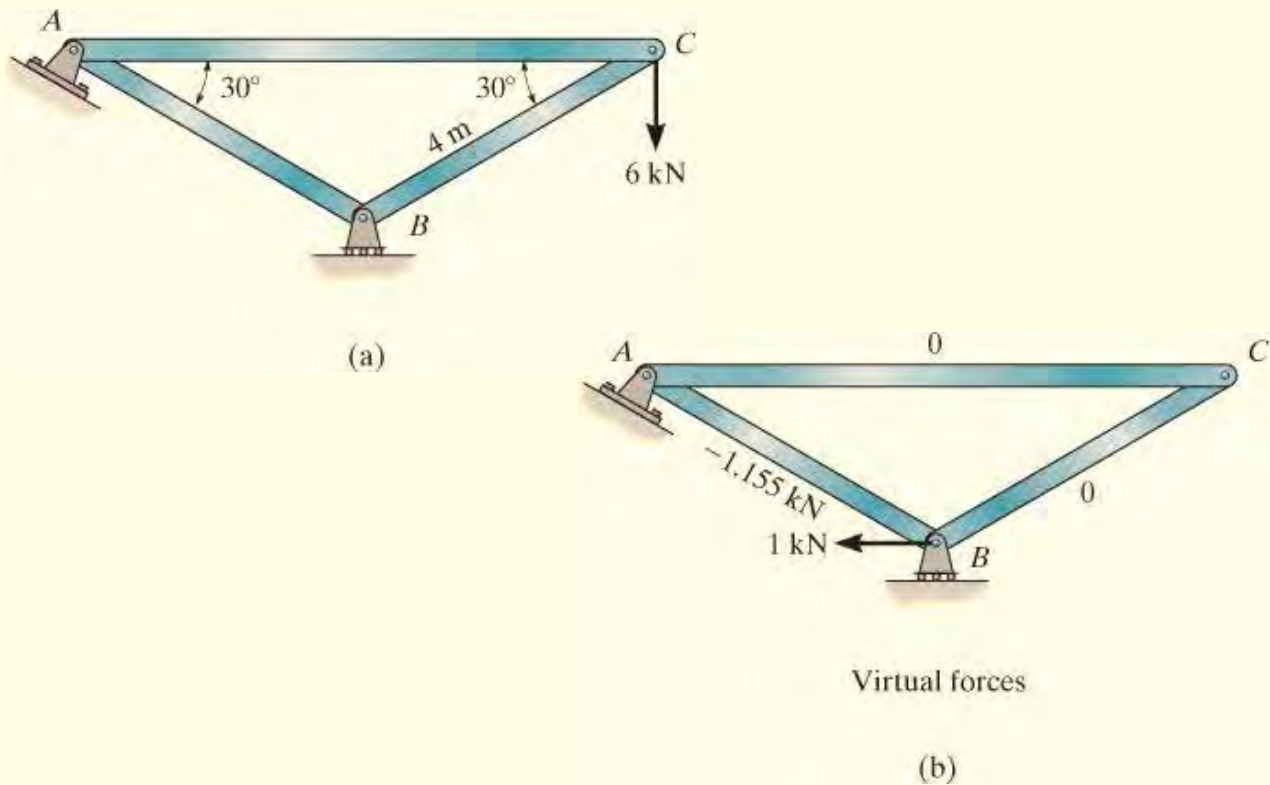
د A او E عددي ارزښتونه ځای په ځای کوو، مور لرو:

$$1 \text{ kN} \cdot \Delta_{Cv} = \frac{965.7 \text{ kN}^2 \cdot \text{m}}{[400(10^{-6}) \text{ m}^2][200(10^6) \text{ kN/m}^2]}$$

$$\Delta_{Cv} = 0.01207 \text{ m} = 12.1 \text{ mm} \quad \text{Ans.}$$

مثال 14.12

په دی لاندی بنودل شوي تیرس کی، انخوړ 14-33a ، افقي بیخایه کیدنه د رولر B وټاکي. د ریډینت (radiant) تودوخې له امله غړی AB د تودوخې درجې د زیاتوالي $DT = + 60^\circ C$ سره مخ کیږي ، او دا غړی 3mm لنډ جوړ شوي دي. غړی له فولادو جوړ شوي کوم چی د دوي $E_{st} = 200 \text{ GPa}$ او $a_{st} = 12(10^{-6})/^\circ C$. او د هر غړی غوڅه برخه 250 mm^2 ده.

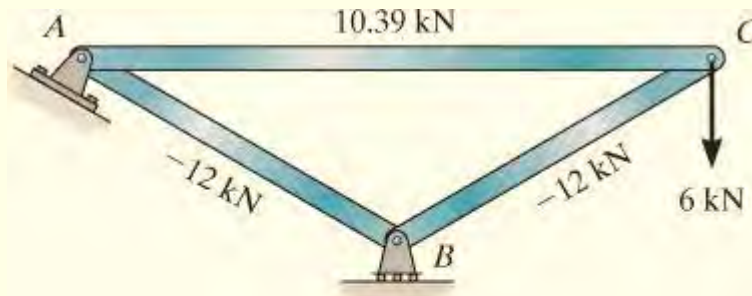


حل (SOLUTION)

مجازي قواوی n (Virtual Forces). یو افقي مجازی بار د تیرس په گنډه B کی پلي شوي، او په هر غړي د تیرس کی محاسبه شوی قواوي په انخوړ 14-33b کی بنودل شوي.

حقيقي قواوى N (Real Forces). ځکه چې قواوى n په غړيو AC او BC کې صفر دی، اړين نه دی چې د N قواوى محاسبه شي. ولي؟ د بشپړتيا لپاره ټول حقيقي قواوى په انځور 14-33c کې بنودل شوي.

مجازی- کار معادله (Virtual-Work Equation). بارونه، تودوخه او دجوړولو تيروتنی ټول د B نقطې په بې ځايه کيدو اغيزه کوي. نو معادلې 14-37, 14-38, او 14-39 بايد يو ځای شي کوم چې ورکوي



Real forces

(c)

انځور 14-33

$$\begin{aligned}
 1 \text{ kN} \cdot \Delta_{B_h} &= \sum \frac{nNL}{AE} + \sum n\alpha \Delta TL + \sum n\Delta L \\
 &= 0 + 0 + \frac{(-1.155 \text{ kN})(-12 \text{ kN})(4 \text{ m})}{[250(10^{-6}) \text{ m}^2][200(10^6) \text{ kN/m}^2]} \\
 &\quad + (-1.155 \text{ kN})[12(10^{-6})/^{\circ}\text{C}](60^{\circ}\text{C})(4 \text{ m}) \\
 &\quad + (-1.155 \text{ kN})(-0.003 \text{ m})
 \end{aligned}$$

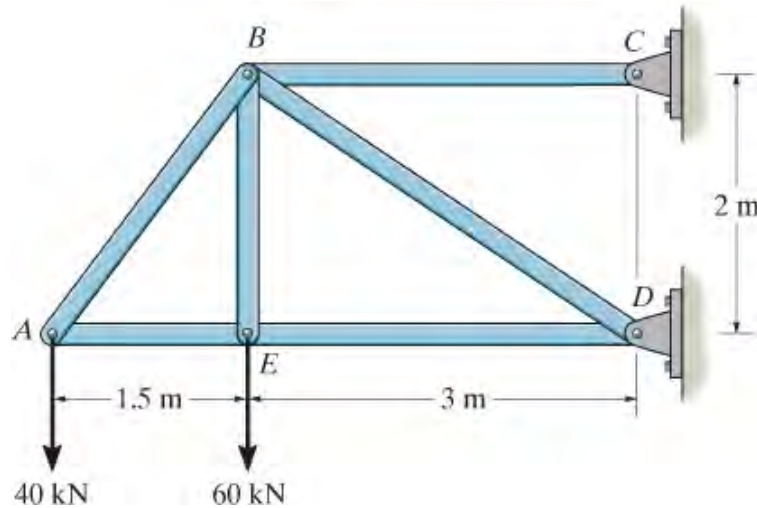
$$\begin{aligned}
 \Delta_{B_h} &= 0.00125 \text{ m} \\
 &= 1.25 \text{ mm} \leftarrow
 \end{aligned}$$

Ans.

سوالونه

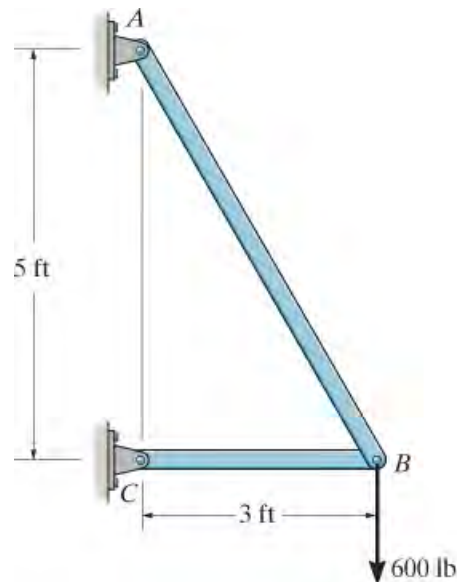
PROBLEMS

س 14-72* عمودی بیخایه کیدنه د گندی A و ټاکی. هر یو A992 فولادی غری 400 mm^2 غوڅه برخه لري.



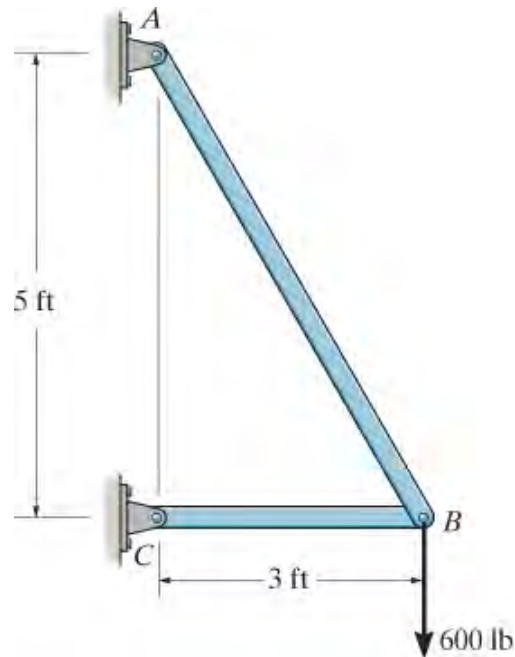
س 14-72

س 14-73 افقي بیخایه کیدنه د گندی B و ټاکی. هر یو A992 فولادی غری 2 in^2 غوڅه برخه لري.



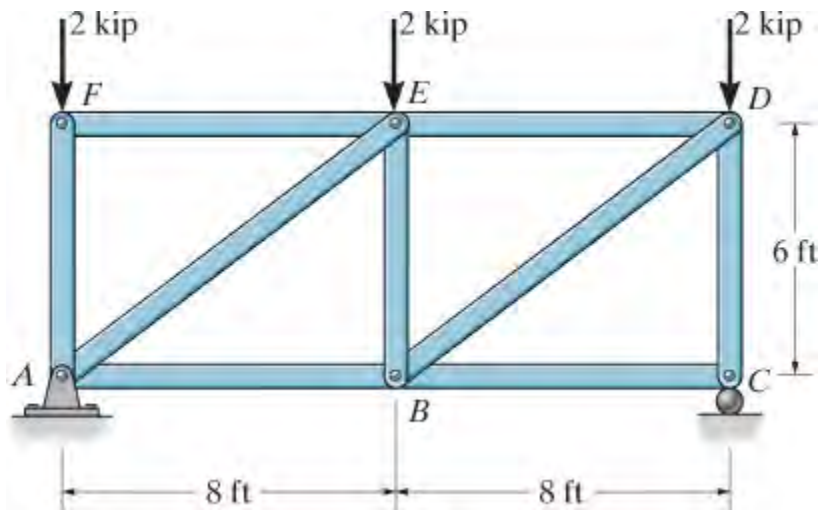
س 14-73

س 14-74. عمودی بیخایه کیدنه د گنډی B و ټاکی. هر یو A992 فولادی غړی 2 in^2 غوڅه برخه لري.



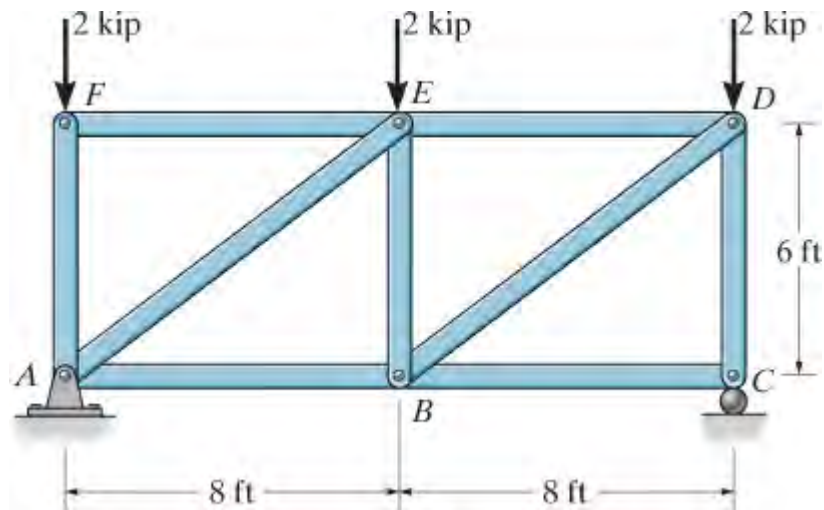
س 14-74

س 14-75. عمودی بیخایه کیدنه د گنډی B و ټاکی. هر یو A992 فولادی غړی 1.5 in^2 غوڅه برخه لري.



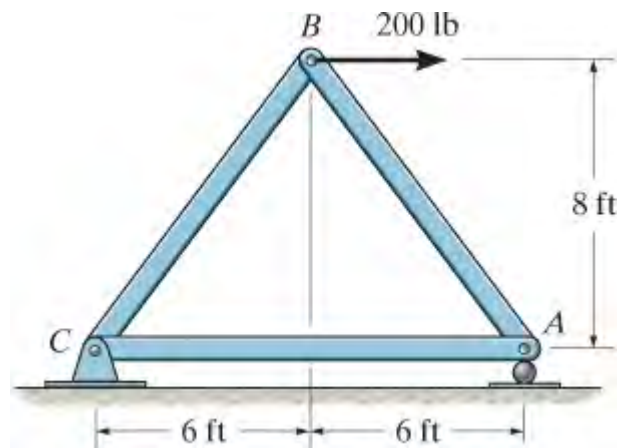
س 14-75

س 14-76* عمودی بیخایه کیدنه د گندی E و ټاکی. هر یو A992 فولادی غری 1.5 in^2 غوڅه برخه لري.



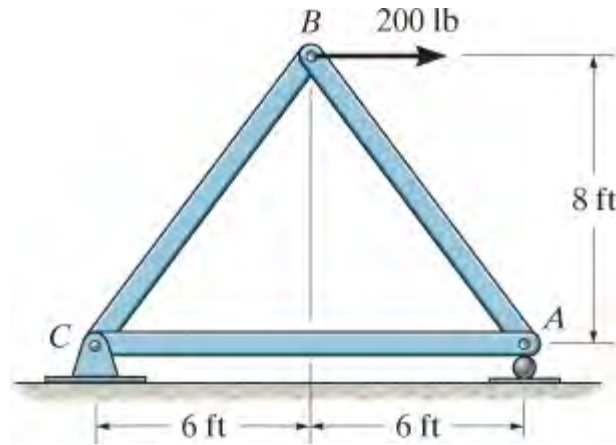
س 14-76

س 14-77 افقي بیخایه کیدنه د گندی B و ټاکی. هر یو A36 فولادی غری 2 in^2 غوڅه برخه لري.



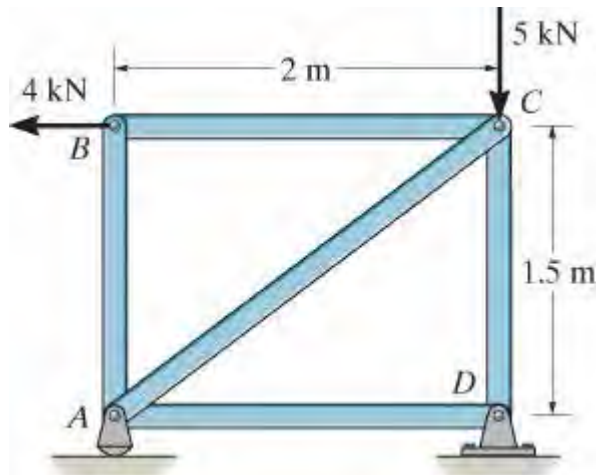
س 14-77

س 14-78. عمودي بيخايه كيدنه د گنډی B و ټاکی. هر يو A36 فولادی غړی 2 in^2 غوڅه برخه لري.



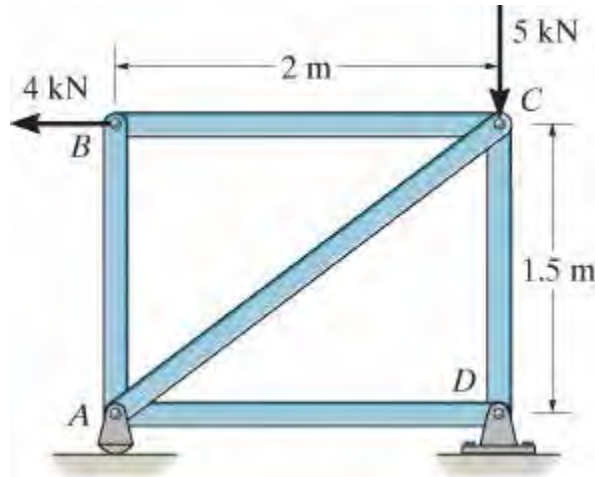
س 14-78

س 14-79. افقي بيخايه كيدنه د گنډی B و ټاکی. هر يو A992 فولادی غړی 400 mm^2 غوڅه برخه لري.



س 14-79

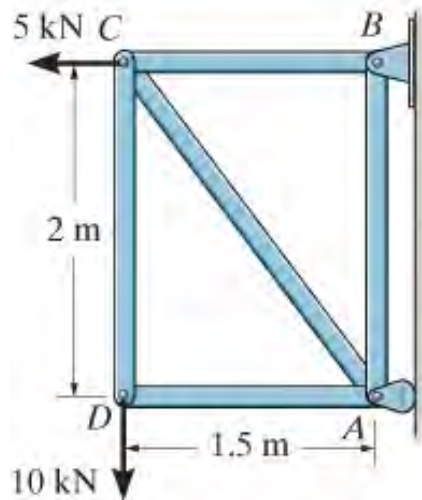
س 14-80* عمودی بیخایه کیدنه د گنډی C و ټاکی. هر یو A992 فولادی غړی 400 mm^2 غوڅه برخه لري.



س 14-80

س 14-81 افقي بیخایه کیدنه د گنډی C و ټاکی. هر یو A36 فولادی غړی 400 mm^2 غوڅه برخه لري.

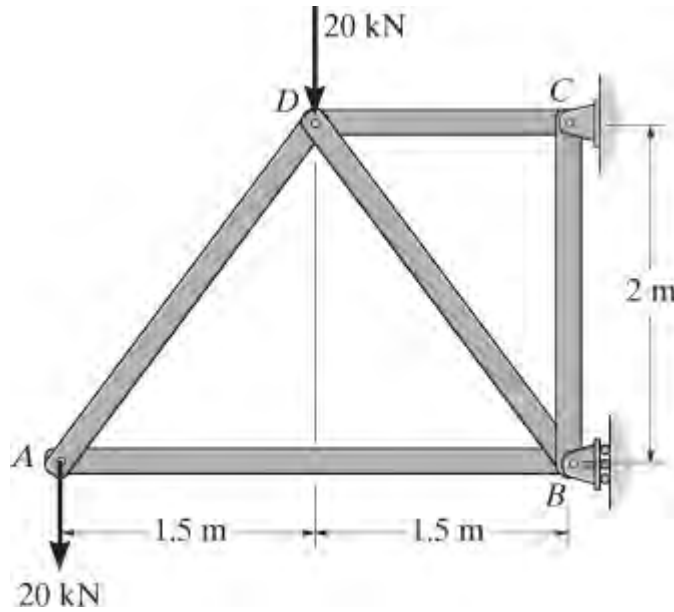
س 14-82 عمودي بیخایه کیدنه د گنډی D و ټاکی. هر یو A36 فولادی غړی 400 mm^2 غوڅه برخه لري.



س 81/82

س 14-83 عمودي بیخایه کیدنه د گنډی A و ټاکی. ترس له A992 فولادو جوړ شوي او هر میله یی 30 mm قطر لري.

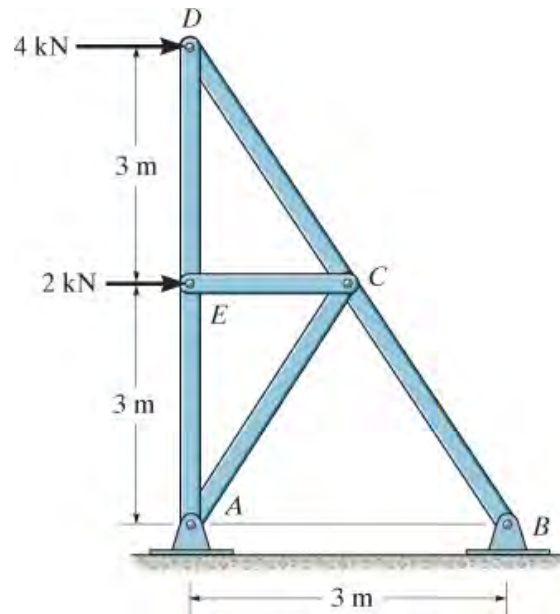
س 14-84*. عمودي بيخايه كيدنه د گنډی D و ټاکی. ټرس له A992 فولادو جوړه شوي او هر میله یی 30 mm قطر لري.



س 83/84

س 14-85. افقي بيخايه كيدنه د گنډی D و ټاکی. ټرس له A36 فولادو جوړه شوي او هر میله یی 300 mm^2 ساحه لري.

س 14-86. افقي بيخايه كيدنه د گنډی E و ټاکی. ټرس له A36 فولادو جوړه شوي او هر میله یی 300 mm^2 ساحه لري.



س 85/86

* 14.7 د مجازی قوا وود طریقې تطبیق په بیمونو

(METHOD OF VIRTUAL FORCES APPLIED TO BEAMS)

مور کولی شو د د مجازی قواوو طریقې، د بیم په یوه نقطه کې بې ځایه کیدنه، او میلان ټاکلو لپاره هم تطبیق کړو. د مثال په توګه، که وغواړو په بیم کې د A په نقطه کې عمودی بې ځایه کیدنه په ګوته کړو، انځور 14-34b، مور باید لومړی په دې ځای کې عمودی واحد بار ځای په ځای کړو، انځور 14-34a، او بیا کله چې "ریښتیني" ویشل شوي بار w په بیم باندې پلي شي دا به لامل د بهرني مجازی کار D . 1 شي. ځکه چې ویشل شوی بار په بیم کې دننه د دواړو شیبیر، او مؤمنت لامل کیږي، مور باید د دې دواړو بارونو له امله داخلي مجازی کار په پام کې ونیسو. په 14.7 مثال کې، دا وبنودل شوه چې د شیبیر له امله د بیم بیځایه کیدنه دهغه په پرتله چې د کړیدو له امله رامینځته کیږي د پام وړ نده، په ځانګړې توګه که بیم اوږده او نازکه وي. څرنګه چې دا حالت ډیری وختونه وي، مور به یوازې مجازی سترین انرژي د کړیدو له امله په پام کې ونیسو، جدول 14-1. له هغه چې M په انځور 14-34b کې د عنصر dx د شکل د بدلون لامل کیږي، د هغې اړخونه د یوې زاوېه $dq = (M/EI)dx$ ، له لارې څرخیري، معادله 12-16. له همدې امله، داخلي مجازی کار $dq \cdot m$ دی. معادله 14-33 پلي کوو، د ټول بیم لپاره د مجازی کار معادله عبارت ده په

$$1 \cdot \Delta = \int_0^L \frac{mM}{EI} dx \quad (14-40)$$

دلته

$1 =$ بهرني مجازی یا خیالی واحد بار چې په بیم په جهت د D عمل کړي

$D =$ د حقیقي بارونو له امله بیځایه کیدنه په بیم کې

$m =$ داخلي مجازی یا خیالي مؤمنت په بیم کې، کوم چې تابع د x بنودل شوي، د بهرني

مجازي یو واحد بار له امله.

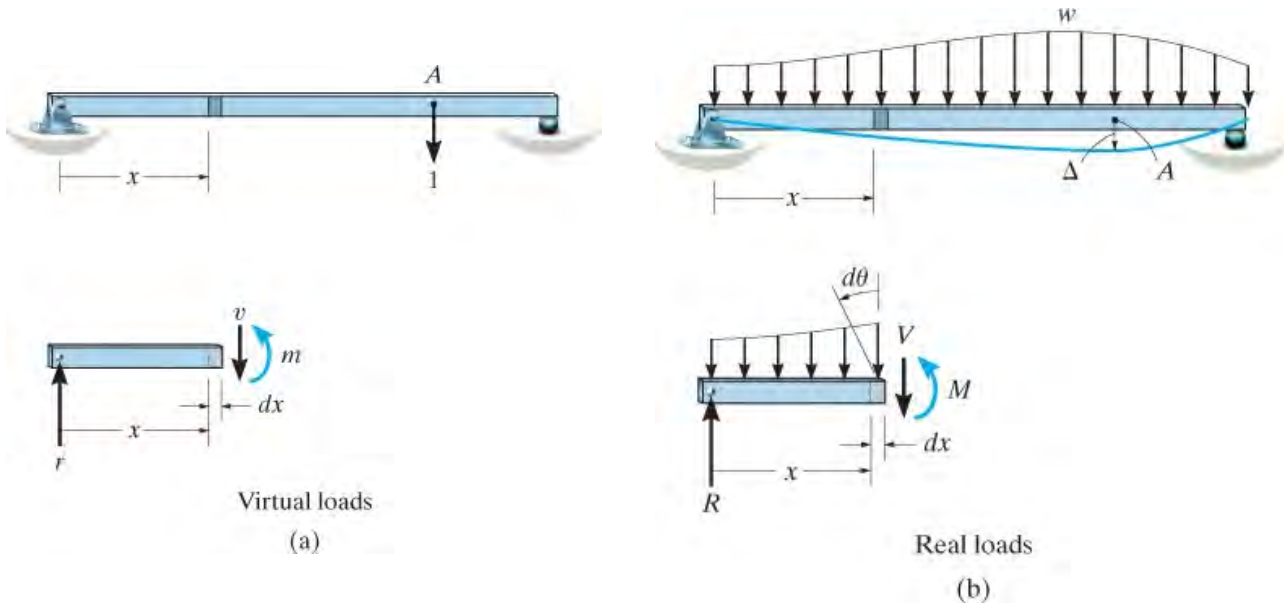
$M =$ داخلي مؤمنت په بیم کې، کوم چې تابع د x بنودل شوي، د حقیقي بارونو له امله

$E =$ د موادو د ایلسټیستي ماچولس

$I =$ دغوڅی برخه ساحی انرشیايي مؤمنت په صفری محور

په ورته ډول، که چیرې په یوه نقطه کې میلان q د بیم په ایلسټیک منحنی و ټاکل شي، مجازی یو واحد کپل مؤمنت باید په دی نقطه کې تطبیق شي، او اړونده داخلي مجازی مؤمنت m باید وټاکل شي. که موږ د دې حالت لپاره معادله 14-34 پلي کړو او د شیبې له امله د شکل بدلون اغیزې په پام کې ونه نیسو، موږ لرو

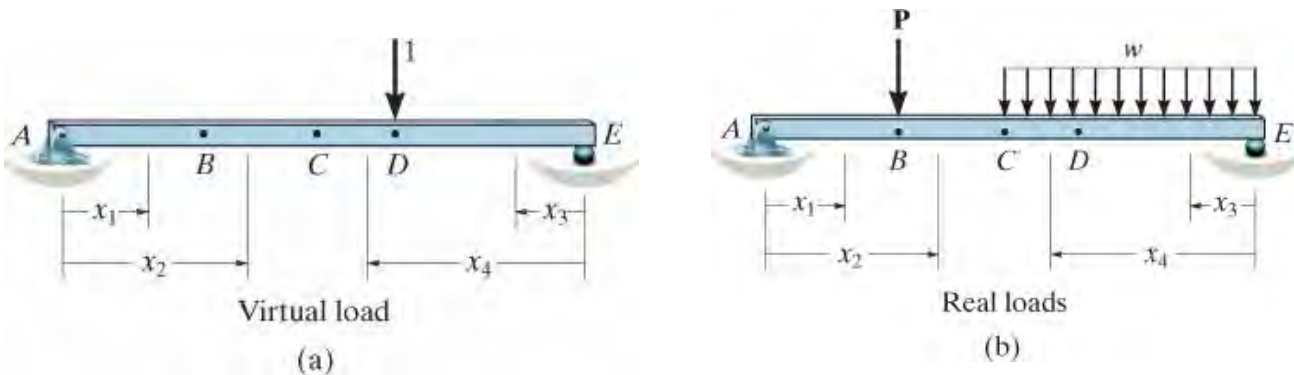
$$1 \cdot \theta = \int_0^L \frac{m_\theta M}{EI} dx \quad (14-41)$$



انځور 14-34

د دې معادلو پلي کولو کې په پام کې ونیسئ، چې د بڼې اړخ انټیګرال استازیتوب د مجازی کږېدونکي سترین انرژي، کوم چې په بیم کې ساتل کېږي، کړي. که متمرکه قواوی یا دخو کپل مؤمنتو لری په بیم باندې عمل وکړي، یا ویشل شوی بار دوام ودریږي، یو واحد انټیګرال د بیم په ټول اوږدوالي کې نشي ترسره کېدی. پرځای یې، جلا x محورونه په هغو سیمو کې غوره شي چې هیڅ د بارونو ځنډول شتون نلري. همدارنگه، دا اړینه نده چې هر ایکس (x) یوه ورته مبداء ولري، اما غوره شوی x د اصلي مؤمنت M د ټاکلو لپاره په یوه ځانګړې سیمه کې باید د مجازی مؤمنت m یا mq ټاکلو لپاره ورته x په ورته سیمه کې ولري. د مثال په توګه، په پام کې ونیسئ بیم چې په انځور 14-35 کې ښودل شوي. په D کې د بې ځایه کېدو د ټاکلو لپاره، موږ په سیمه AB کې د سترین انرژي ټاکلو لپاره x_1 کارول کېدی شي، همدارنگه x_2 د سیمې BC لپاره،

x_3 د سیمې DE لپاره، او د سیمې DC لپاره x_4 . د هرې پوښتنې لپاره، هر ایکس (x) محور باید داسې غوره شي ترڅو M او m یا (m_q) دواړو په اسانۍ سره فورمول یې جوړ شي.



انځور 14-35

د تحلیل کرنلاره

PROCEDURE FOR ANALYSIS

دا لاندی کرنلاره یوه طریقه وړاندی کوي، تر څو و کولای شو بیخایه کیدنه او میلان په یو ټکی د ایلسټیک منحنی د بیم، د مجازی قواوو طریقی په کارولو و ټاکو .

مجازی مؤمنت m یا m_q (Virtual Moments m or m_q).

- مجازی یو واحد بار په هغه ټکی د بیم کی پلي کړی کوم چی بیخایه کیدنه غوښتل شوي ده. بار باید په جهت د بیخایه کیدنی عمل وکړي.
- که چیری میلان غوښتل شوی وي یو واحد کپل مؤمنت په هغه ټکی کی پلي کړي.
- مناسب محورونه x کوم چی د بیم په سیمه کی اعتبار لري کوم چی مجازی او اصلی بارونه هلته غوڅ شوی ندی، غوره کړي.
- کله چی واحد مجازی بار عمل کوی، او ټول بهرنی بارونه له بیم حذف شی، داخلی مؤمنت m یا m_q تابع د x محور سره محاسبه کړي. فرض کړی چی مومنتونو په مثبت جهت د بیم د علامی کنوانسیون سره کوم چی په انځور 3-6 کی تشریح شوی عمل کوی،
Fig. 6-3.

حقیقی مؤمنتونه (Real Moments).

- هغه x محورونه چی m او m_q لپاره کارول شوي وو، د داخلی مؤمنت M محاسبه کولو لپاره چی د اصلی بارونو له امله رامینځ ته کیري، هم و کاروي. باید ډاډه وه اوسي چی M هم په یو شان مثبت جهت لکه د m او m_q لری.

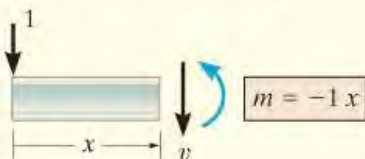
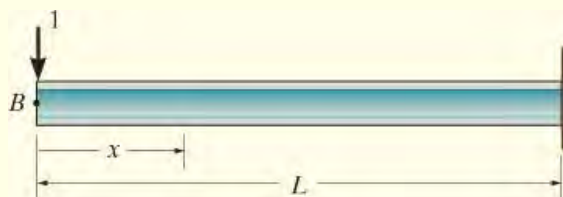
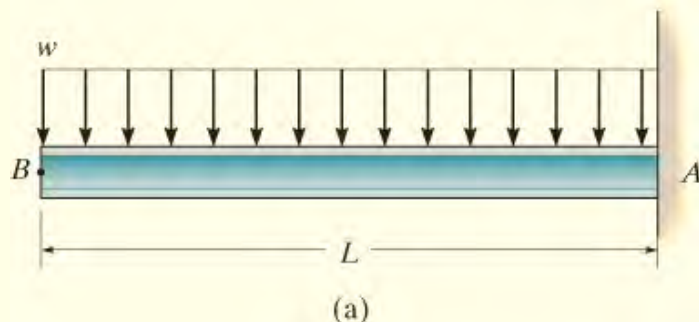
د مجازی-کار معادله (Virtual-Work Equation).

- د مجازی کار معادله د بیخایه کیدنی D او میلان q معلومولو لپاره پلي کړی.
- که چیری الجبري مجموعه د ټولو انټیگرالونو د بیم لپاره مثبت وي، بیخایه کیدنه D او میلان q جهت به یو شان د واحد بار یا یو واحد کپل مؤمنت په جهت وي. که چیری منفي ارزښت حاصل شو، د D او میلان q جهت به مخالف د واحد بار او واحد کپل مؤمنت د جهت وي.

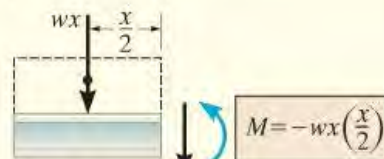
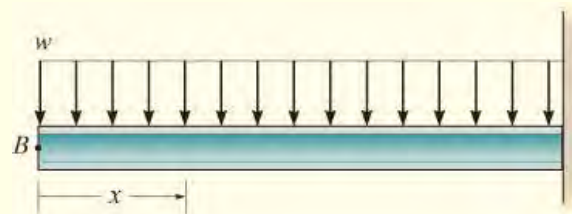
مثالونه

مثال 14.13

يو بيم چي په انځور 14-36a کي بنودل شوي عمودي بيځايه کيدنه د تکی B و تکی. EI ثابت دی.



Virtual loads
(b)



Real loads
(c)

انځور 14-36

حل (SOLUTION)

مجازي مؤمنت m (Virtual Moment m).

په پلي کولو د يو واحد مجازي بار په تکی B کي، انځور 14-36b ، عمودي بيځايه کيدنه د تکی B په لاس راځي. په کتنه، په بيم د بارونو، د دواړو اصلي او مجازي، ځنډول (discontinuity) نه ليدل کيږي. نو تنها يو ځانگړی x محور به د مجازي سترين انرژي محاسبه کولو لپاره وټاکل شي. ددی محور مبداء به په B کي و ټاکو ، چي په دی توگه ريکشنونه په A کي به اړين نه وي چي

وموندل شي تر څو داخلي مؤمنتونه m او M محاسبه شي. د برخي طريقي په كارولو سره داخلي مؤمنت m په انځور 14-36b كې بنودل شوي.

حقيقي مؤمنت M (Real Moment M). د ورته محور x په كارولو داخلي مؤمنت M څنگه چې په انځور 14-36c كې بنودل شوي، ټاكو.

دمجزي-كار معادله (Virtual-Work Equation). په ټكي B كې عمودي بيځايه كيدل عبارت دی په:

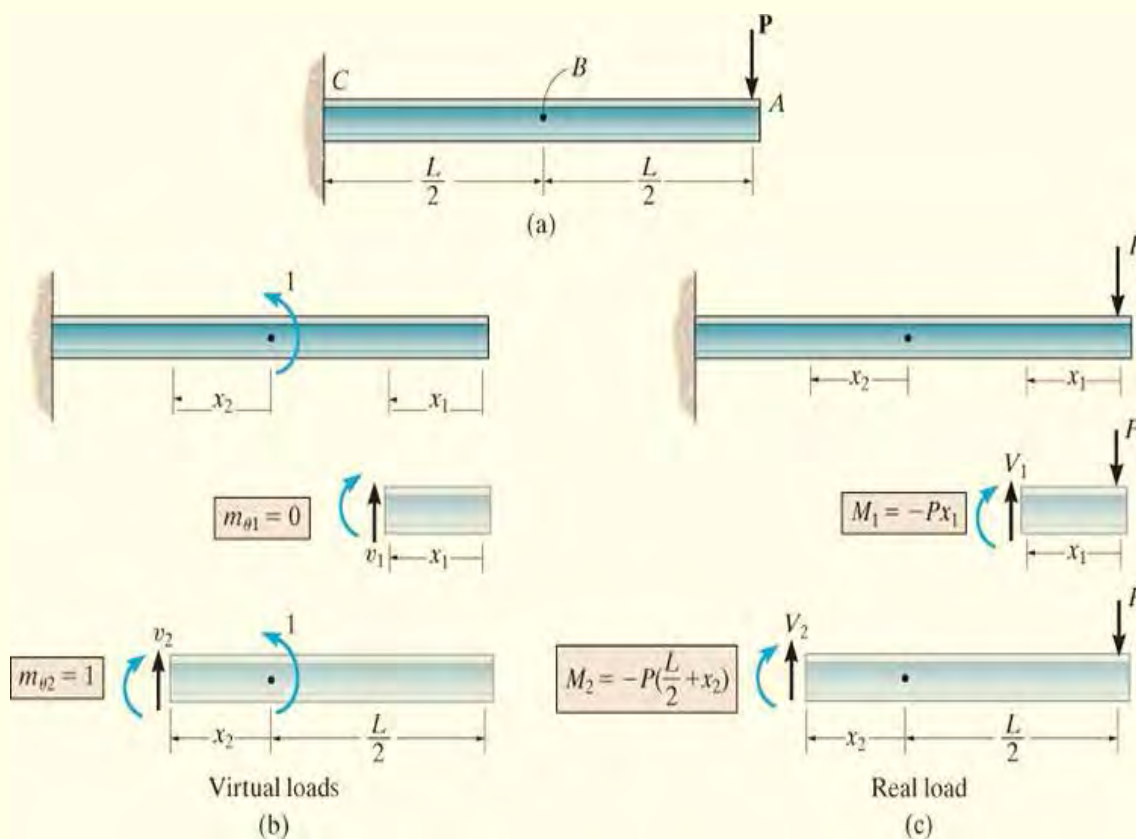
$$1 \cdot \Delta_B = \int \frac{mM}{EI} dx = \int_0^L \frac{(-1x)(-wx^2/2)}{EI} dx$$

$$\Delta_B = \frac{wL^4}{8EI}$$

Ans.

د بيم ميلان په ټكي B كې و ټاكي، انځور 14-37a، EI ثابت دی.

مثال 14.14



انځور 14-37

حل (SOLUTION)**مجازي مؤمنت m_q (Virtual Moment m_q).**

يو مجازي واحد کپل مؤمنت په B کې خای په خای کوو ترڅو میلان په دی ټکی کې و ټاکل شي، انځور 14-37b. دوه x محورونه باید وټاکل شي ترڅو په بیم کې ټول مجازي سترین انرژي محاسبه شي. محور x_1 د AB برخې سترین انرژي حساب کولو لپاره، او محور x_2 د BC برخې د سترین انرژي محاسبې لپاره انتخاب شوي دي. د برخو د طریقو په کارولو سره، د دې هرې برخې داخلي مؤمنت m_q په انځور 14-37b کې بنودل شوي.

حقیقي مؤمنتونه M (Real Moments M). د محورونو x_1 او x_2 په کارولو سره داخلي مؤمنتونه M په انځور 14-37c کې بنودل شوي.

مجازي-کار معادله (Virtual-Work Equation). په ټکی B کې میلان عبارت دی په

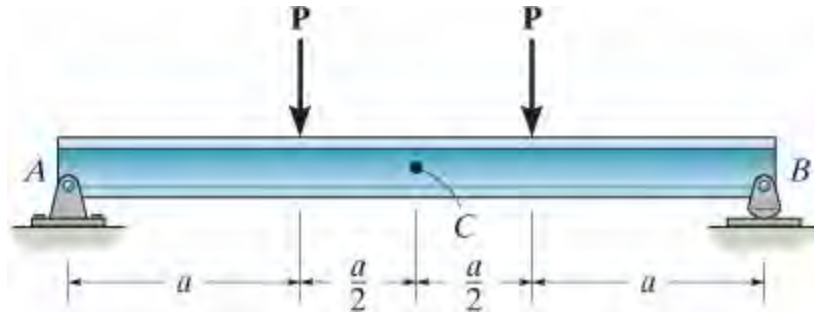
$$\begin{aligned} 1 \cdot \theta_B &= \int \frac{m_\theta M}{EI} dx \\ &= \int_0^{L/2} \frac{0(-Px_1)}{EI} dx_1 + \int_0^{L/2} \frac{1\{-P[(L/2) + x_2]\}}{EI} dx_2 \\ \theta_B &= -\frac{3PL^2}{8EI} \end{aligned} \quad \text{Ans.}$$

منفي علامه بنیې چې q_B د ساعت د گردش په لور ده. یعنی هغه مخالف جهت د مجازي کپل مؤمنت ده، انځور 14-37b و گوري.

سوالونه

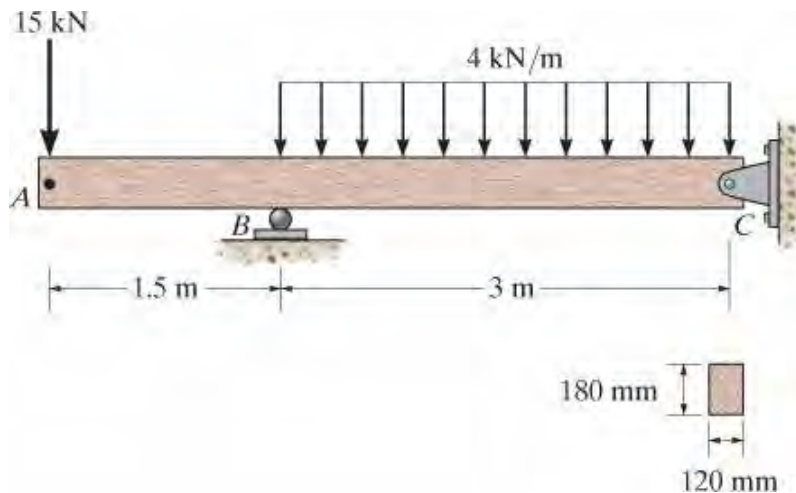
PROBLEMS

س 14-87. د ټګۍ C بیخایه کیدنه و ټاګۍ. EI ثابت دی.



انځور 14-87

س 14-88* . دا لاندې بیم له جنوبي پاین (southern pine) څخه جوړه شوي، او $E_P = 13$ GPa . د A بیخایه کیدنه و ټاګۍ.

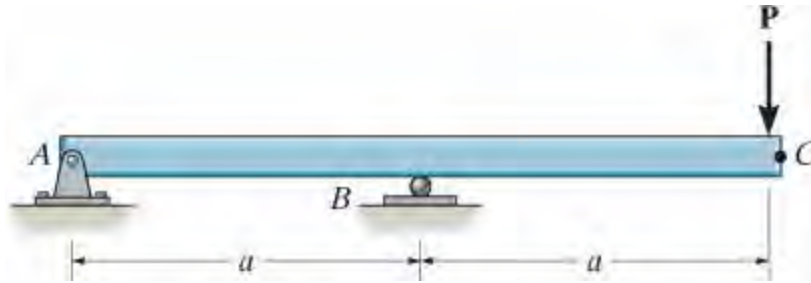


انځور 14-88

س 14-89. د ټګۍ C بیخایه کیدنه و ټاګۍ. EI ثابت دی.

س 14-90. میلان د ټګۍ C و ټاګۍ. EI ثابت دی.

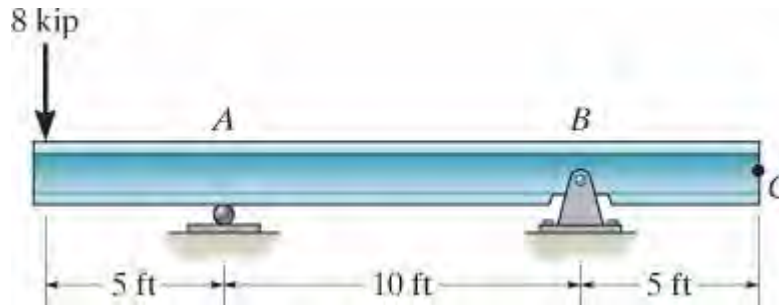
س 14-91. میلان د ټگی A و ټاکی. EI ثابت دی



انځور 14-89/90/91

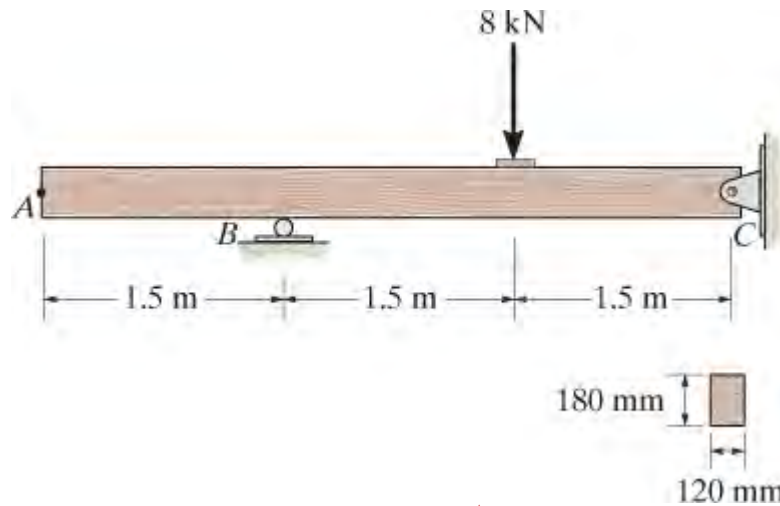
س 14-92*. بیخایه کیدنه د ټگی C د A992 فولادی بیم و ټاکی، د بیم انرشایایي مؤمنت $I = 53.8 \text{ in}^4$.

س 14-93. د بیم میلان په B کی وټاکی. بیم له A992 فولادو جوړ شوي، $I = 53.8 \text{ in}^4$.



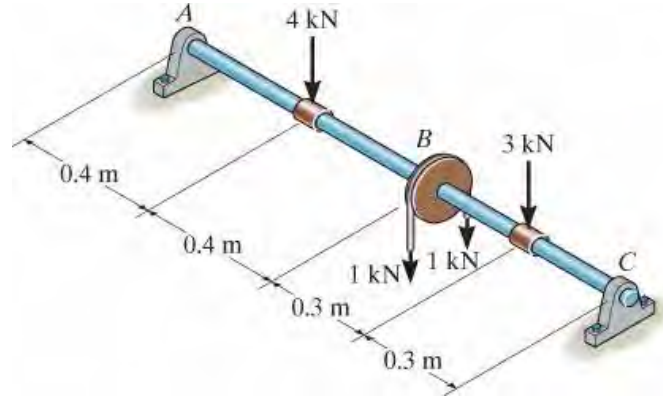
انځور 14-92/93

س 14-94. دا لاندی بیم له ډاگلس فرخه جوړ شوي دي. میلان په C کی وټاکی.



انځور 14-94

س 14-95. په پولي B كى بېخايه كيدنه وټاكي. د A992 فولادو شافت 30 mm قطر لري.

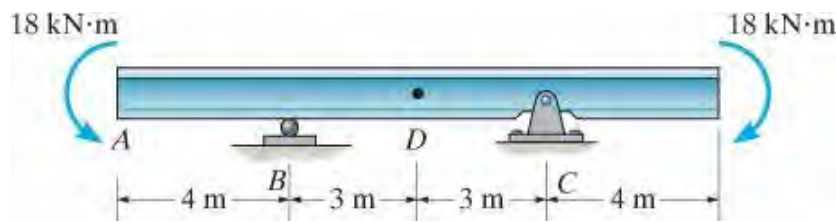


انځور 14-95

س 14-96* د A992 فولادو بيم انرشيائي مؤمنت $I = 125 (10^6) \text{ mm}^4$ لري. بېخايه كيدنه په D كى وټاكي.

س 14-97 د A992 فولادو بيم انرشيائي مؤمنت $I = 125 (10^6) \text{ mm}^4$ لري. ميلان په A كى وټاكي.

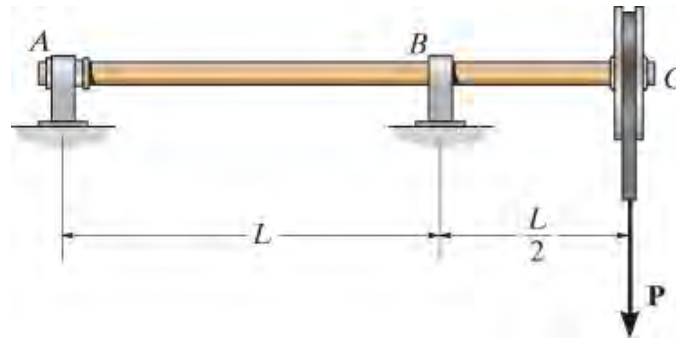
س 14-98 د ساختمانى A992 فولادو بيم انرشيائي مؤمنت $I = 125 (10^6) \text{ mm}^4$ لري. ميلان په B كى وټاكي.



انځور 14-96/97/98

س 14-99 د لاندې شافت په ټكى C كى بېخايه كيدنه وټاكي. EI ثابت دى.

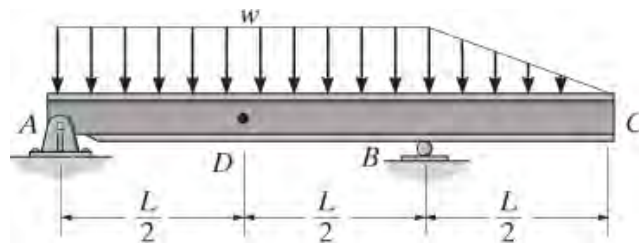
س 14-100* د لاندی شافت په ټکی A کی میلان و ټاکی. EI ثابت دی



انځور 14-99/100

س 14-101. د وتلی بیم په پای C کی میلان و ټاکی. EI ثابت دی

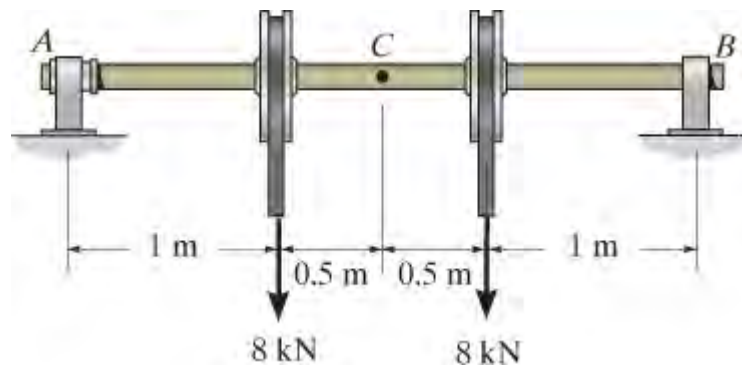
س 14-102. د وتلی بیم په ټکی D کی بیخایه کیدنه و ټاکی. EI ثابت دی



انځور 14-101/102

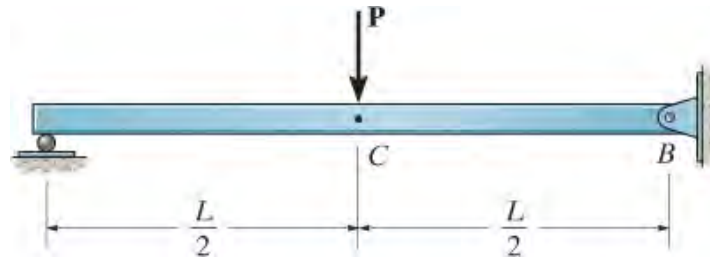
س 14-103. دا لاندی د 2014-T6 المونیم شافت 100 mm قطر لري، میلان په A کی و ټاکی.

س 14-104* دا لاندی د 2014-T6 المونیم شافت 100 mm قطر لري، بیخایه کیدنه په C کی و ټاکی.



انځور 14-103/104

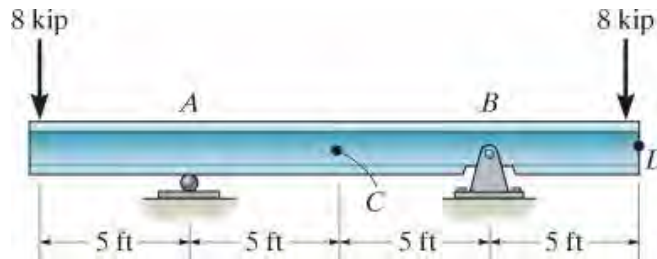
س 14-105. بیخایه کیدنه په C او میلان په B کی و ټاکی. EI ثابت دی



انځور 14-105

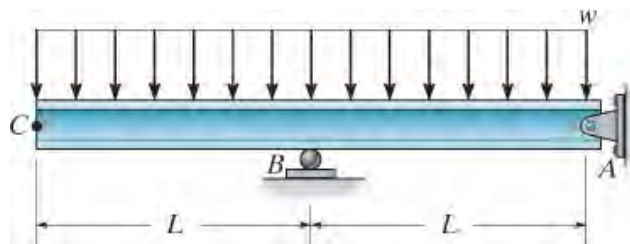
س 14-106. دا لاندی A992 فولادی بیم له W14 X 26 برخی څخه جوړ شوي، بیخایه کیدنه په C ټکی کی و ټاکی.

س 14-107. دا لاندی A992 فولادی بیم له برخی W14 X 26 څخه جوړ شوي، میلان په ټکی A کی و ټاکی.



انځور 14-106/107

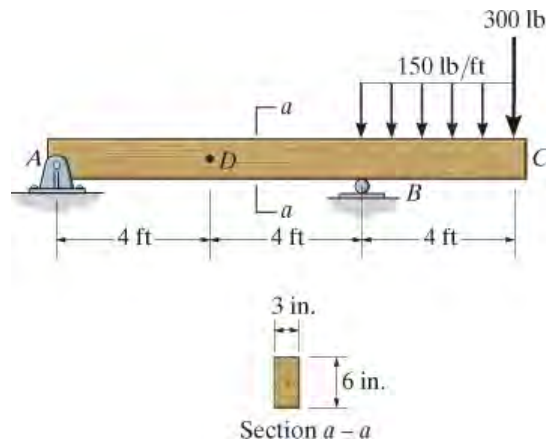
س 14-108*. میلان په A کی و ټاکی. EI ثابت دی



انځور 14-108

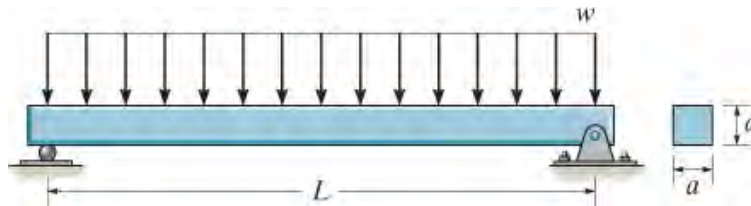
س 14-109. د سپین صنوبر وتلی بیم په ټکی C کی بیخایه کیدنه و ټاکی.

س 14-110. د سپین صنوبر وتلی بیم په ټکی D کی بیخایه کیدنه و ټاکي.



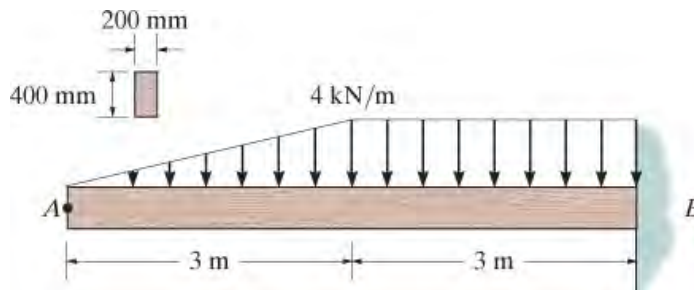
انځور 14-109/110

س 14-111. اعظمی بیخایه کیدنه د بیم د کړیدو له امله و ټاکي، او همدا رنگه هغه چی د شپیر او کړیدو له امله. $E = 3G$ واخلي.



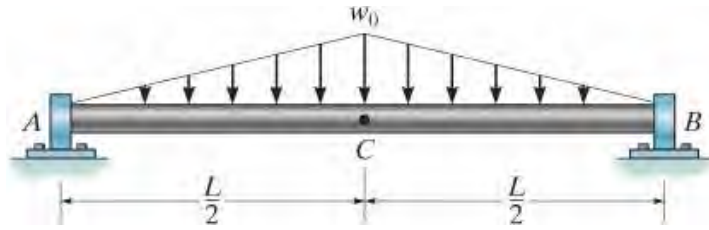
انځور 14-111

س* 14-112. بیم له بلوط جوړ شوي ده او $E_0 = 11 \text{ GPa}$ ، میلان او بیخایه کیدنه په ټکی A کی و ټاکي.



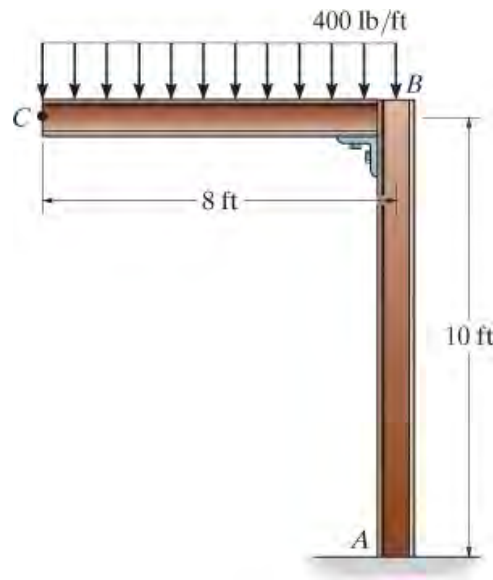
انځور 14-112

س 14-113. میلان د شافت په بیرینگ اتکاء A کی و ټاکی EI ثابت دی.



انځور 14-113

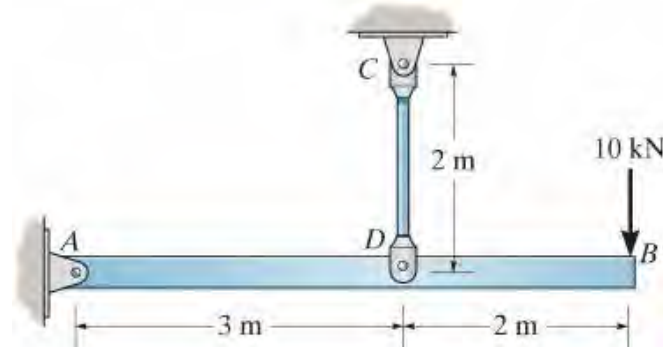
س 14-114. افقي او عمودی بیخایه کیدنه د ټکی C و ټاکی A په کی کلکه اتکا ده. EI ثابت دی.



انځور 14-114

س 14-115. بيم AB مربع غوڅه برخه 100 mm په 100 mm لري. د میلی CD قطر 10 mm دي. که چیری دواړه له $A992$ فولادو جوړ شوی وی، عمودی بیخایه کیدنه د ټکی B د 10 kN بار له امله و ټاکی.

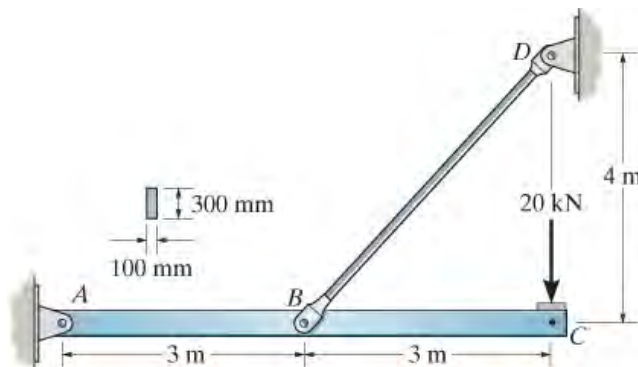
س 14-116* بيم AB مربع غوڅه برخه 100 mm په 100 mm لري. د میلی CD قطر 10 mm دي. که چیری دواړه له A992 فولادو جوړ شوی وی، میلان په ټکی A کې د 10 kN بار له امله و ټاکي.



انځور 14-115/116

س 14-117. خاده ABC مستطیلي غوڅه برخه 300 mm په 100 mm لري. ټرل شوی میله DB قطر 20 mm دي. که چیری دواړه له A-36 فولادو جوړ شوی وی، عمودی بیخایه کیدنه د ټکی C د پلي شوي بار له امله و ټاکي. یوازي د ABC کربیدل او محوری قوه په DB کې په پام کې و نیسی.

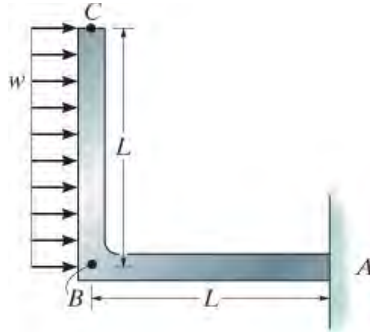
س 14-118. خاده ABC مستطیلي غوڅه برخه 300 mm په 100 mm لري. ټرل شوی میله DB قطر 20 mm دي. که چیری دواړه له A-36 فولادو جوړ شوی وی، میلان په ټکی A د پلي شوي بار له امله و ټاکي. یوازي د ABC کربیدل او محوری قوه په DB کې په پام کې و نیسی.



انځور 14-117/118

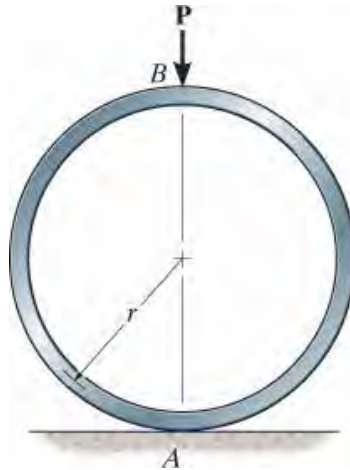
س 14-119. دا لاندی L شکل چوکاټ له یو ډول دوو برخو جوړ شوي، او کربیدونکی سختي یي EI ده. که چیری یو ویشل شوی بار ورباندی پلي شوي وي، افقي بیخایه کیدنه د ټکی C و ټاکي.

س 14-120. دا لاندی L شکل چوکاټ له یو ډول دوو برخو جوړ شوي، او کبریدونکی سختي یې EI ده. که چیری یو ویشلشوی بار ورباندی پلی شوي وي، عمودي بیخایه کیدنه د ټکی B و ټاکي.



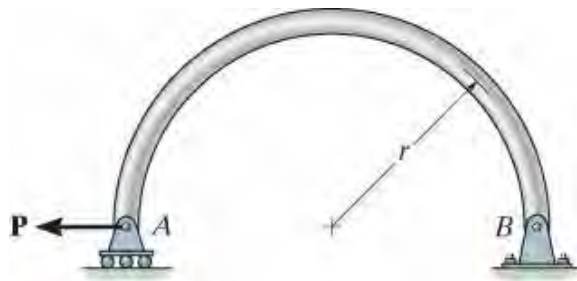
انځور 14-119/120

س 14-121. عمودي بیخایه کیدنه د حلقې په B کی، ټاکي. EI ثابت دی.



انځور 14-121

س 14-122. افقي بیخایه کیدنه د رولر اتکاء په A کی د پلی شوی بار له امله و ټاکي. EI ثابت دی.



انځور 14-122

* 14.8 د کاستیګلیانو قضیه (CASTIGLIANO'S THEOREM)

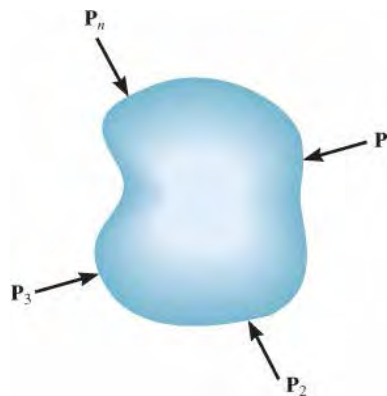
په 1879 کال کې، ایټالوی ریل پټلۍ یوه انجینر، البرتو کاستیګلیانو یو کتاب خپور کړ، چې په هغه کتاب کې یې د جسم په یوه ټکی کې د بې ځایه کیدو او میلان د ټاکلو لپاره یوه طریقه بیان کړه. دا طریقه چې د کاستیګلیانو دوهم قضیه (Castigliano's second theorem) ورته ویل کیږي، یوازې په هغه جسمونو کې چې ثابت د تودوخې درجه لري، او له خطي ایلیسټیک چلند لرونکي موادو څخه جوړ شوي وی ور باندې تطبیق کیږي. که بې ځایه کیدنه په یوه نقطه کې باید وټاکل شي، تیورم وايي چې بې ځایه کیدنه په جسم کې مساوی ده په لومړي حصوی مشتق د سټرین انرجی په جسم کې نسبت هغه قوی ته چې پدې ټکی کې عمل کوي د بیځایه کیدو په جهت. په ورته ډول، میلان د مماس په یوه ټکی د جسم مساوی ده په لومړي حصوی مشتق د سټرین انرجی په جسم کې نسبت هغه کپل مؤمنت کوم چې په غوښتل شوي ټکی کې په جهت د میلان زاویې عمل کوي.

دا تیورم د خپل سري شکل جسم په پام کې نیسي، کوم چې تابع دی د n قواوو P_1, P_2, \dots, P_n ، وی، انځور 14-38. د انرژۍ ساتنې له مخې، د دې قواوو لخوا ترسره شوي بهرني کار باید مساوي وي په جسم کې ذخیره شوي داخلي سټرین انرژي. څرنګه چې بهرنی کار تابع د خارجي بارونو دی $U_e = \int P dx$ معادله 14-1، نو داخلي کار هم د خارجي بارونو تابع دی. په دې توګه،

$$U_i = U_e = f(P_1, P_2, \dots, P_n) \quad (14-42)$$

اوس که هر هره قوه P_j د خارجي قواوو، په یوه کوچني اندازه dP_j زیاتوالی و مومي، داخلي کار به هم زیات شي، تر څو سټرین انرژي شي:

$$U_i + dU_i = U_i + \frac{\partial U_i}{\partial P_j} dP_j \quad (14-43)$$



انځور 14-38

په هر صورت، دا ارزښت به په ترتیب د n قواوو، کوم چې په جسم باندې پلي کېږي، اړه ونلري. د مثال په توګه، مور کولی شو چې لومړی dP_j په جسم پلي کړو، بیا P_1, P_2, \dots, P_n بار پلي کړی. که مور لومړی کوچنی dP_j زیاتوالی پلي کړو، دا به په جسم په اندازه د کوچنی dD_j توپیر په سمت dP_j راوړی. د معادلی 14-2 له مخی $(U_e = \frac{1}{2} P_j D_j)$ ، د سترین انرژي زیاتوالی به بیا $\frac{1}{2} dP_j dD_j$ به وي. دا دوهمه درجه ډیفرینشل دی او کیدای شي چې حذف شي. د بارونو P_n, P_1, P_2, \dots پلي کول لامل کېږی چې dP_j نور حرکت وکړی د بي ځایه کیدو له لارې D_j شی، ترڅو د سترین انرژي کېږي:

$$U_i + dU_i = U_i + dP_j \Delta_j \quad (14-44)$$

دلته U_i داخلي سترین انرژي د بارونو P_1, P_2, \dots, P_n له امله، او $dP_j dD_j$ اضافي سترین انرژي د dP_j له امله ده.

د لنډیز لپاره، معادله 14-43 په جسم کې استازیتوب د سترین انرژي د لومړي ځل پلي کولو بارونو P_1, P_2, \dots, P_n ، سره ټاکل کېږي او بیا د dP_j د پلي کیدو له امله؛ معادله 14-44 استازیتوب د سترین انرژي کله چې لومړی د dP_j عمل وکړی، او بیا بارونه P_1, P_2, \dots, P_n عمل وکړی. څرنګه چې دا دوه حالتونه معادل او مساوي وي، مور اړتیا لرو

$$\Delta_j = \frac{\partial U_i}{\partial P_j} \quad (14-45)$$

کوم چې قضیه ثابتوي. د بیلګی په توګه بیځایه کیدنه dD_j په جهت د P_j مساوی ده په لومړی حصوی مشتق د سترین انرژي نسبت P_j ته.

د Castigliano دویمه قضیه د جسم په اړه یو واقعیت د جسم د مطابقت اړتیا (compatibility requirement) ده، ځکه چې دا په بي ځایه کیدو پورې تړاو لري. * پورتنی لاس ته راوړنه دی ته اړتیا لري چې د تحلیل لپاره یوازې محافظه کاره قواوي په پام کې ونیول شي. دا قواوي په هر ترتیب کې پلي کېدی شي، او دوی کار کړی، او هغه کار د ترتیب له لاری څخه خپلواک دي، او له همدې امله هیڅ انرژي ضایع نه کېږي. تر هغه وخته چې مواد خطي ایلسټیک لرونکي چلند ولري، پلي شوي قواوي به محافظه کار وي او قضیه د اعتبار وړ ده.*

*کاستیګلیانو لومړی قضیه هم بیان کړي، کوم چې ورته ده. په هر صورت، دا P_j بارته تړاو ورکوی حصوی مشتق د سترین انرژي نسبت د اړونده بي ځایه کیدو کوم چې $P_j = \partial U_i / \partial D_j$ دی. دا تیورم د جسم د توازن څرګندولو لپاره بله لاره ده.

* 14.9 د کاستیګلیانو قضی پلي کول په تراس (CASTIGIANO'S THEOREM'S APPLIED TO TRUSSES)

څرنګه چې په تراس کې غړی د محوري بار سره مخ دی، سترین انرژي د هر غړي له 14-16 معادلې پیداکیری، $U_i = N^2L/2AE$. دا معادله په 14-45 معادله کې ځای په ځای کوو او ټیټه لیکنه i حذف کوو، مور لرو

$$\Delta = \frac{\partial}{\partial P} \sum \frac{N^2L}{2AE}$$

په عمومي ډول آسانه ده چې مخ کې له جمع کولو مشتق و نیول شي. او همدارنګه L, A او E د غړي لپاره ثابت وی، نو بیا لیکلی شو:

$$\Delta = \sum N \left(\frac{\partial N}{\partial P} \right) \frac{L}{AE} \quad (14-46)$$

دلته

$D =$ د تراس د ګنډی بیځایه کیدنه

$P =$ بهرنی د متغیر ارزښت قوه د تراس په ګنډه کې، چې د D په جهت عمل کړي

$N =$ داخلي قوه په غړی کې د دواړو P او اصلی بارونو له امله په تراس کې

$L =$ د غړی اوږدوالي

$A =$ د غړي دغوڅی برخه ساحه

$E =$ د غړی د موادو د ایلسټیستي ماجولس

په یاد ولري چې پورتنی معادله ورته د مجازي قواوو معادله 14-37 ($\Delta = \sum nNL/AE$)، یوازي n په $\partial N/\partial P$ عوض شوي دي.

د تحلیل کرنلاره

PROCEDURE FOR ANALYSIS

دا لاندی کرنلاره یوه طریقه وړاندی کوي ، تر څو و کولای شو بیخایه کیدنه د ترس د گندی ، د کاستیگلینانو دوهمی قضیه په کارولو سره ټاکو .

بهرنی قوه P (External Force)

- قوه P په هغه گنده د ترس پلی کړی کوم کی چی بیخایه کیدنه غوښتل شوي ده. دا قوه متغیر ارزش لری او باید د بیخایه کیدنی جهت په امتداد عمل وکړي.

داخلي قواوي N (Internal Forces)

- په هر غړي کی قوه N د اصلی ارزښتونو د بارونو (عددي) او (متغیر) قواوو P له امله پیدا کړی. فرض کړي چی کششي قواوی مثبت دی او تیلو هونکی قواوي منفي دي.
- د هر غړی لپاره اړوند حصوی مشتق $\partial N / \partial P$ و مومی.
- وروسته له دی چی N او $\partial N / \partial P$ وموندل شول، د P لپاره د هغه گمارل شوی شمیری ارزښت که چیری دا په ریښتني قوه وی خای په خای کړي، که نه نو دا به د صفر سره مساوی کړی.

د کاستیگلینانو دوهمه قضیه (Castigliano's Second Theorem)

- د کاستیگلینانو دوهمه قضیه د غوښتل شوی بیخایه کیدني D معلومولو لپاره و کاروي.
- دا مهم ده چی الجبری نښه د اړوند ارزښتونو د N او $\partial N / \partial P$ کله چی په معادله کی خای په خای کیري په پام کی ونیسی.
- که چیری مجموعی محصله د $\sum N(\partial N / \partial P)L/AE$ مثبت وي، نو D به یو شان په جهت د P سره وي. که چیری منفي ارزښت حاصل شو، د D به مخالف د P جهت وي.

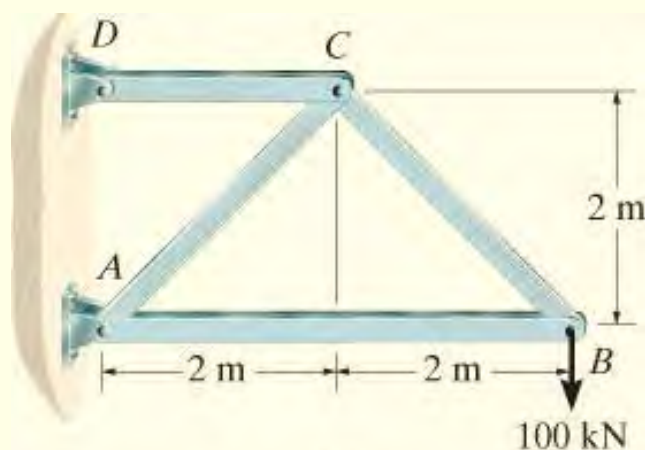
مثالونه

مثال 14.15

عمودی بیخایه کیدنه د گندی C د فولادی ترس ، انځور 4-39a ، و ټاکئ. د هر غړی دغوڅی برخي ساحه $A = 400 \text{ mm}^2$ او $E_{st} = 200 \text{ GPa}$.

حل (SOLUTION)

خارجی قوه P (External Force P). یوه عمودی قوه P د تراس په گنده C کی پلی شوي ده، ځکه چی عمودی بیخایه کیدنه ددی گندی غوښتل شوی ده، انځور 14-39b .



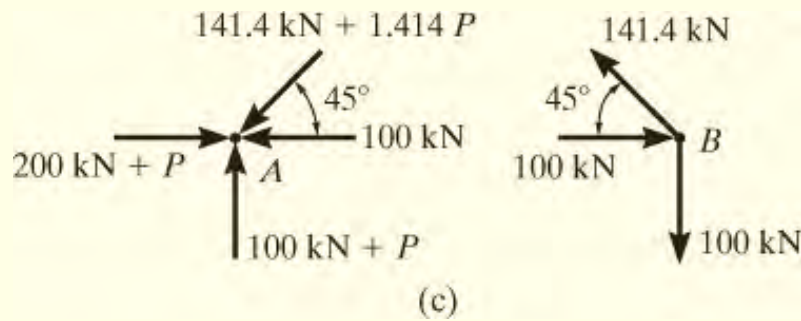
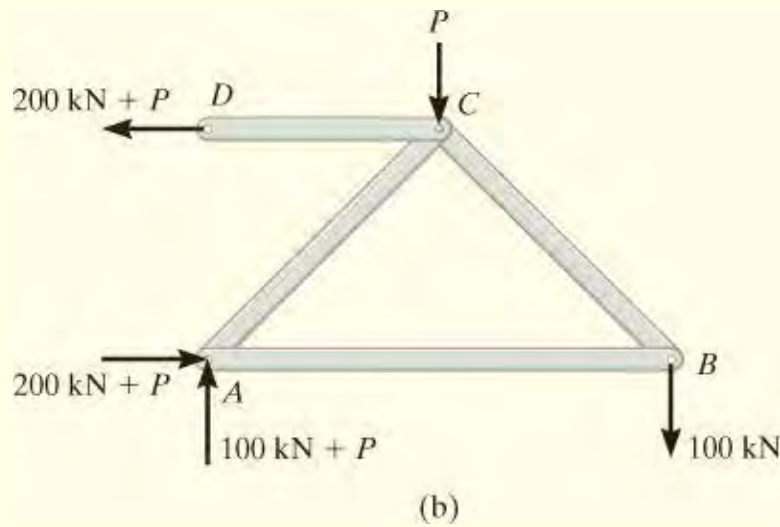
(a)

انځور 14-39

داخلي قواوی N (Internal Forces N). په A او D اتکاؤ کی ریکشنونونه محاسبه شوی ، او پایلی یی په انځور 14-39b کی بنودل شوي دي. د گندی طریقي په کارولو سره قواوی N د هر غړی معلومی شوي دی، انځور* 14-39c . د آسانتیا لپاره دا پایلی او اړوند حصوی مشتق $\partial N / \partial P$ یی په جدول کی بنودل شوي. په یاد ولری څرنګه چی P واقعياً د ریښتني بار په توګه په ترس کی شتون نلري، موربه $P = 0$ حساب کړو.

Member	N	$\frac{\partial N}{\partial P}$	$N(P=0)$	L	$N\left(\frac{\partial N}{\partial P}\right)L$
AB	-100	0	-100	4	0
BC	141.4	0	141.4	2.828	0
AC	$-(141.4 + 1.414P)$	-1.414	-141.4	2.828	565.7
CD	$200 + P$	1	200	2	400

$\Sigma 965.7 \text{ kN} \cdot \text{m}$



انخور 14-39 تکرار)

کاستیګلیانو دوهمه قضیه (Castigliano's Second Theorem).

معادله 14-46 پلی کوو، مور لرو

$$\Delta_{C_v} = \sum N \left(\frac{\partial N}{\partial P} \right) \frac{L}{AE} = \frac{965.7 \text{ kN} \cdot \text{m}}{AE}$$

د A او E عددی ارزښتونه ځای په ځای کوو، مور لرو:

$$\begin{aligned} \Delta_{C_v} &= \frac{965.7 \text{ kN} \cdot \text{m}}{[400(10^{-6}) \text{ m}^2] 200(10^6) \text{ kN/m}^2} \\ &= 0.01207 \text{ m} = 12.1 \text{ mm} \end{aligned}$$

Ans.

دا حل د مثال 14.11 سره باید پرتله شي، کوم چی د مجازی - کارطریقه کارول شوی وه.

* دا ممکن ډیر آسانه وي چې یوازې د 100 kN - بار سره تراس تحلیل کړئ، او بیا تراس د P بار سره تحلیل کړئ. وروسته پایلې کولی شي په الجبریک ډول لنډیز شي او N قواوی حاصل شي.

سوالونه

PROBLEMS

- س 14-123. س 14-73 پوښتنه، په کارولو د کاسټیګلیانو قضیې حل کړي.
- س 14-124*. س 14-74 پوښتنه، په کارولو د کاسټیګلیانو قضیې حل کړي.
- س 14-125. س 14-75 پوښتنه، په کارولو د کاسټیګلیانو قضیې حل کړي.
- س 14-126. س 14-76 پوښتنه، په کارولو د کاسټیګلیانو قضیې حل کړي.
- س 14-127. س 14-77 پوښتنه، په کارولو د کاسټیګلیانو قضیې حل کړي.
- س 14-128. س 14-78 پوښتنه، په کارولو د کاسټیګلیانو قضیې حل کړي.
- س 14-129. س 14-81 پوښتنه، په کارولو د کاسټیګلیانو قضیې حل کړي.
- س 14-130. س 14-82 پوښتنه، په کارولو د کاسټیګلیانو قضیې حل کړي.
- س 14-131. س 14-85 پوښتنه، په کارولو د کاسټیګلیانو قضیې حل کړي.
- س 14-132*. س 14-86 پوښتنه، په کارولو د کاسټیګلیانو قضیې حل کړي.

* 14.10 د کاستیگلیانو قضی پلي کول په بیم (CASTIGIANO'S THEOREM'S APPLIED TO BEAMS)

په بیم کی داخلي سترین انرژي د کړیدو او شیبیرله امله رامینځته کیږي. لکه څنگه چې په مثال 14.7 کی اشاره شوي، که چیری بیم اوږده او نازکه وي، د شیبیر له امله سترین انرژي د کړیدو په پرتله له پامه غورځول کیدی شي. که دا فرض کړو، نود سترین انرژي $U_i = \int M^2 dx / 2EI$ ده، معادله 14-17. د بنسټه عدد i پریښودل، د کاستیگلیانو دوهمه قضیه، $\Delta_i = \partial U_i / \partial P_i$ ، کیږي:

$$\Delta = \frac{\partial}{\partial P} \int_0^L \frac{M^2 dx}{2EI}$$

د داخلي مؤمنت لپاره د اصطلاح مربع کولو، انتیگرال نیولو، او بیا د حصوی مشتق په اخیستلو پر ځای، دا په عمومی ډول آسانه ده چې مخ کی له انتیگرال نیولو، د مشتق نیول اجرا شي. بیا مور لرو:

$$\Delta = \int_0^L M \left(\frac{\partial M}{\partial P} \right) \frac{dx}{EI} \quad (14-47)$$

دلته

$D =$ د ټکي بیخایه کیدنه د حقیقي بار له امله کوم چې په بیم پلي شوی دي

$P =$ بهرنی متغیر ارزښت قوه چې د بیم په ټکی کی، په جهت د D عمل کړي

$M =$ داخلي مؤمنت په بیم کی، چې تابع د x محاسبه شوي، او هغه د دواړو قوو، P او اصلی بارونو له امله دی

$E =$ د غړی د موادو د ایلستیستي ماچولس

$I =$ د غړي دغوخی برخی ساحی انرشیايي مؤمنت، چې په صفری محور محاسبه شوی

که میلان د تانجانټ q په یو ټکي د مماس په ایلسټیک منحنی وټاکل شي، باید حصوی مشتق د داخلی مؤمنت نسبت یو خارجی کیل مؤمنت M' ته، چی په ټکی کی عمل کړي، و موندل شي.

$$\theta = \int_0^L M \left(\frac{\partial M}{\partial M'} \right) \frac{dx}{EI} \quad (14-48)$$

پورتنی معادلی مجازي قواوو، معادلي 14-40 او 14-41 ته ورته دی، پرته له دی چی m او m_q په ترتیب سره $\partial M / \partial P$ او $\partial M / \partial M'$ ، تعویضوی یا بیخایه کوی.

برسپره پردې، که محوری بار، شیبیر، او تورژن د پام وړ سترین انرژي لامل په غړو کی شي، نو د دې ټولو بارونو اغیزې باید د کاستیګلیانو قضیې په پلي کولو کی شامل شي. د دې کولو لپاره مور باید هغه د سترین انرژي توابع د دوی د حصوی مشتقونو چی په برخه 14.2 کی بیان شول وکاروو. مونږی لرو

$$\Delta = \sum N \left(\frac{\partial N}{\partial P} \right) \frac{L}{AE} + \int_0^L f_s V \left(\frac{\partial V}{\partial P} \right) \frac{dx}{GA} + \int_0^L M \left(\frac{\partial M}{\partial P} \right) \frac{dx}{EI} + \int_0^L T \left(\frac{\partial T}{\partial P} \right) \frac{dx}{GJ} \quad (14-49)$$

ددی عمومی فورمول پلي کول ورته د معادلو 14-47 او 14-48 پلي کول دي.

د تحلیل کرنلاره

PROCEDURE FOR ANALYSIS

دا لاندی کرنلاره یوه طریقه وړاندی کوي، تر څو و کولای شو د کاسټیګلیانو دوهمه قضیه وکارو.

بهرنی قوه P یا کپل مؤمنت (M External Force P or Couple Moment M).

- قوه P په هغه ټکی د بیم پلی کړی کوم کی چی بیخایه کیدنه غوښتل شوي ده. دا قوه باید په امتداد د بیخایه کیدنی جهت عمل وکړي.
- که چیری میلان د مماس په یوه ټکی غوښتل شوي وی کپل مؤمنت M په هغه ټکی پلی کړي.
- فرض کړی چی دواړه P او M تغیرلرونکی ارزښتونه لري.

داخلي مؤمنتونه (M Internal Moments M).

- مناسب x محورونه داسی رامینځته کړئ، کوم چې د بیم په برخو کی د قبول وړ وي، چیرې چې د قوو، ویشل شوی بار، او یا کپل مؤمنت هیڅ وقفه یا غوڅیدل شتون ونلري.
- داخلي مؤمنتونه M تابع د P او یا M معلوم کړي او بیا حصوی مشتقونه $\partial M / \partial P$ او $\partial M / \partial M'$ د هر x محور لپاره ومومئ.
- وروسته له دې چې M او $\partial M / \partial P$ یا $\partial M / \partial M'$ وټاکل شي، د P یا M خپل شمیري ارزښتونه ورکړی، که چیرې دوی رښتینی قوه او یا مؤمنت تعویض کړی وی. که نه، نو P یا M د صفر سره مساوي کړئ.

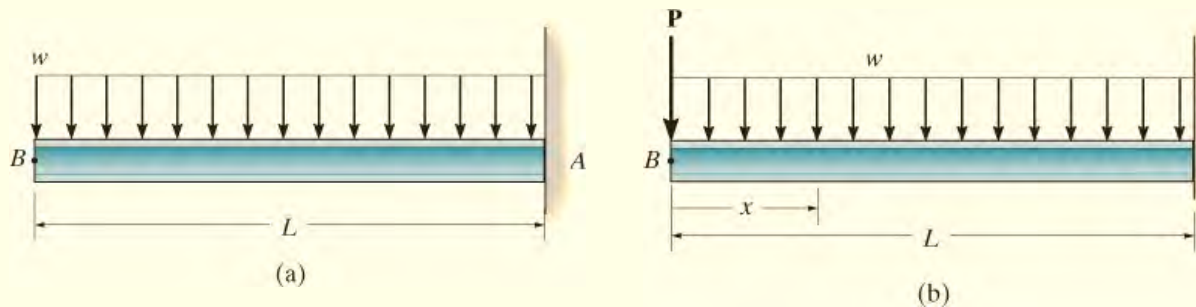
د کاسټیګلیانو دوهمه قضیه (Castigliano's Second Theorem).

- معادلی 14-47 او 14-48 د غوښتل شوی بیخایه کیدني D او یا میلان q معلومولو لپاره و کاروي. دا مهم ده چی الجبری نښه یا علامه د اړوند ارزښتونو د M او $\partial M / \partial P$ یا $\partial M / \partial M'$ کله چی په معادله کی ځای په ځای کیري په پام کی ونیسی.
- که چیری مجموعی محصله د ټولو ټاکلیو انټیګرالونو مثبت وي، نو D او یا q به یو شان په جهت د P او M سره وي. که چیری منفي ارزښت حاصل شو، د D او یا q به مخالف د P او M جهت وي.

مثالونه

مثال 14.16

په دی لاندی انځور 14-40a کی، د بنودل شوی بیم بیځایه کیدنه د B ټکی، وټاکئ.

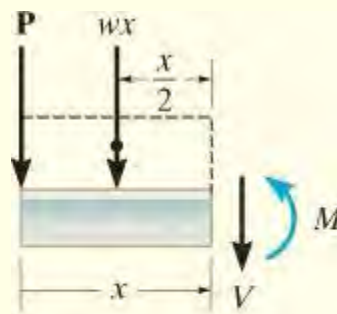


انځور 14-40

حل (SOLUTION)

خارجی قوه P (External Force). یوه عمودی قوه P په ټکي B ، په بیم کی ایښودل شوي، انځور 14-40b.

داخلي مؤمنت M (External Force). د حل لپاره یوازی یو x محور ته ارتیا ده، ځکه چی د A او B تر منځ د بارونو هیڅ وقفه نشته. د برخی طریقې په کارولو، انځور 14-40c، داخلي مؤمنت او حصوی مشتق عبارت دی په



(c)

انځور 14-40 (تکرار)

$$\zeta + \sum M_{NA} = 0; \quad M + wx\left(\frac{x}{2}\right) + P(x) = 0$$

$$M = -\frac{wx^2}{2} - Px$$

$$\frac{\partial M}{\partial P} = -x$$

څرنگه چې $P = 0$ ، هغه راکوي

$$M = \frac{-wx^2}{2} \quad \text{and} \quad \frac{\partial M}{\partial P} = -x$$

کاسټیګلیانو دوهمه قضیه (Castigliano's Second Theorem).

معادله 14-47 پلی کوو، مور لرو:

$$\begin{aligned} \Delta_B &= \int_0^L M \left(\frac{\partial M}{\partial P} \right) \frac{dx}{EI} = \int_0^L \frac{(-wx^2/2)(-x) dx}{EI} \\ &= \frac{wL^4}{8EI} \end{aligned}$$

Ans.

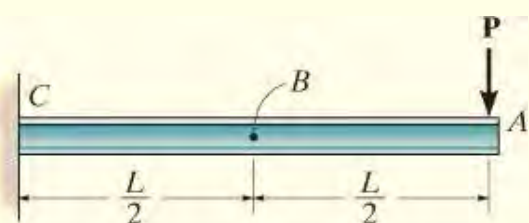
ددی حل او د مجازی-کارطریقی ترمینځ ورته والی ، مثال 14.13 ، یادونه باید وشي.

مثال 14.17

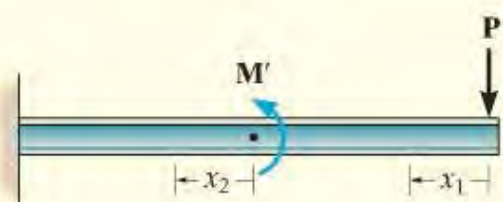
د دی لاندی بیم چی په انځور 14-41a کی بنودل شوی ، میلان په تکی B کی وټاکئ. EI ثابت دی.

حل (SOLUTION)

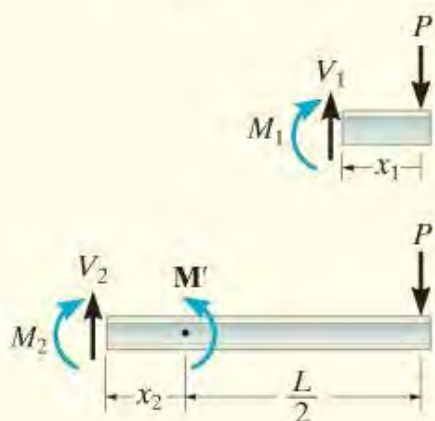
خارجی کیل مؤمنت M' (External Couple Moment M'). څرنګه چی میلان په B کی وموندل شي، یو کیل مؤمنت M' ، په دی تکی کی پلی کیري ، انځور 14-41b .



(a)



(b)



(c)

داخلي مؤمنت M (External Force M).

دوه محورونه، x_1 او x_2 باید وکارول شي تر څو داخلي مؤمنت په بیم کی تشریح کړئ، ځکه چی M'

په B کی وقفه لري. څنګه چی په انځور 14-41b کی بنودل شوي له A تر B پوری، او له B تر C پوری دي. د برخی له طریقي کار اخیستل کیری ، انځور 14-41c داخلي مؤمنتونه او حصوی مشتق د x_1 او x_2 لپاره عبارت دی په :

انځور 14-41

$$\zeta + \sum M_{NA} = 0; \quad M_1 = -Px_1, \quad \frac{\partial M_1}{\partial M'} = 0$$

$$\zeta + \sum M_{NA} = 0; \quad M_2 = M' - P\left(\frac{L}{2} + x_2\right), \quad \frac{\partial M_2}{\partial M'} = 1$$

کاستیگلیانو دوهمه قضیه (Castigliano's Second Theorem).

ارزښت $M' = 0$ ځای په ځای کوو او معادله 14-48 کاروو، مور لرو:

$$\theta_B = \int_0^L M \left(\frac{\partial M}{\partial M'} \right) \frac{dx}{EI} = \int_0^{L/2} \frac{(-Px_1)(0) dx_1}{EI} + \int_0^{L/2} \frac{-P[(L/2) + x_2](1) dx_2}{EI} = -\frac{3PL^2}{8EI} \quad \text{Ans.}$$

ددی حل، ورته والی د مثال 14.14 سره، وگورئ.

سوالونه

PROBLEMS

- س 14-133. س 14-90 د کاستیگلیانو قضیې په کارولو سره حل کړي.
- س 14-134. س 14-91 د کاستیگلیانو قضیې په کارولو سره حل کړي.
- س 14-135. س 14-92 د کاستیگلیانو قضیې په کارولو سره حل کړي.
- س *14-136. س 14-93 د کاستیگلیانو قضیې په کارولو سره حل کړي.
- س 14-137. س 14-95 د کاستیگلیانو قضیې په کارولو سره حل کړي.
- س 14-138. س 14-96 د کاستیگلیانو قضیې په کارولو سره حل کړي.
- س 14-139. س 14-97 د کاستیگلیانو قضیې په کارولو سره حل کړي.
- س *14-140. س 14-98 د کاستیگلیانو قضیې په کارولو سره حل کړي.

- س 14-141. س 14-108 د کاستيگليانو قضیې په کارولو سره حل کړي.
- س 14-142. س 14-119 د کاستيگليانو قضیې په کارولو سره حل کړي.
- س 14-143. س 14-120 د کاستيگليانو قضیې په کارولو سره حل کړي.
- س 14-144*. س 14-105 د کاستيگليانو قضیې په کارولو سره حل کړي.

د فصل بيا کتنه

CHAPTER REVIEW

$U_e = U_i$	<p>کله چې يو قوه (کپل مؤمنت) په کېدونکي يا بدلېدونکي جسم باندې عمل کوي جسم بي خايه کيږي (تاو خوري) او لدې کبله بهرنی کار کيږي. همدا رنگه داخلي سترېسونه په جسم کې جوړيږي چې له دې بي خايه کېدنې تيريږي، په دې توگه ايلستیک سترين انرژي رامینځته کوي او هغه په موادو کې ساتل کيږي. د انرژي ساتنې په اساس دا چې د بهرنی بار لخوا کار ترسره شوي، هغه بهرنی کار مساوي دي په داخلي ايلستیک سترين انرژي چې د سترېسونو لخوا په جسم کې توليد شوي .</p>
$n = 1 + \sqrt{1 + 2\left(\frac{h}{\Delta_{st}}\right)}$ $\sigma_{\max} = n\sigma_{st}$ $\Delta_{\max} = n\Delta_{st}$	<p>د انرژي ساتنه، د ايلستیک ټکر د سوالونو او اغيزو د حل لپاره کارول کېدی شي، کوم چې فرض کوي حرکت کونکونکي جسم سخت او ټول سترين انرژي په درېدلي (stationary) جسم کې زيرمه کيږي. دا مفهوم مور ته اجازه راکوي چې د ټکر د اغيزې فکتور n، کوم چې د دينامیک يا متحرک بار نسبت ستاتيک بار ته دی، و موندل شي. دا د جسم د ټکر په نقطه کې د اعظمي سترېس او بي خايه کېدو ټاکلو لپاره کارول کيږي .</p>

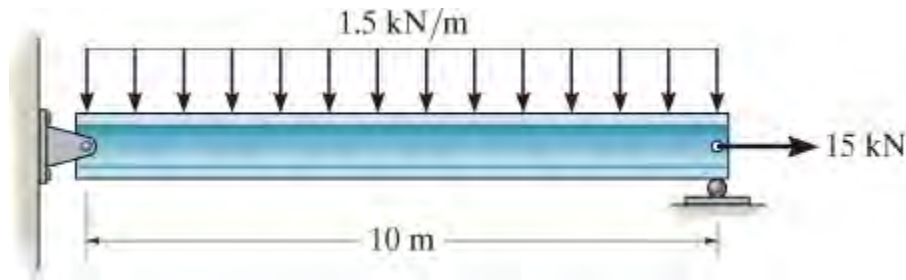
$1 \cdot \Delta = \sum \frac{nNL}{AE}$ $1 \cdot \Delta = \int_0^L \frac{mM}{EI} dx$ $1 \cdot \theta = \int_0^L \frac{m_\theta M}{EI} dx$	<p>د مجازی کار اصول د تراس د جوینت بیخای کیدلو، یا د بیم په نقاطوکی د میلان ټاکلو لپاره کارول کیدی شي. دا اړتیا لري، چی بهرني مجازی واحد قوه (واحد کیل مؤمنت) په ټکی کی چی بیخایه کیدل (تاویدل) غوښتل شوي ، خای پر خای شي. بهرني مجازی کار چی تولید شوی وي د بهرني بار پلی کولو له لاري، مساوی کیری، په جوړښت کی د مجازی داخلي سترین انرژي سره.</p>
$\Delta = \sum N \left(\frac{\partial N}{\partial P} \right) \frac{L}{AE}$ $\Delta = \int_0^L M \left(\frac{\partial M}{\partial P} \right) \frac{dx}{EI}$ $\theta = \int_0^L M \left(\frac{\partial M}{\partial M'} \right) \frac{dx}{EI}$	<p>د کاستیگلینانو دوهمه قضیه، همدارنگه د تراس د گندی بیخای کیدل، یا د یوه بیم په نقاطوکی میلان او بیخایه کیدلو، ټاکلو لپاره کارول کیدی شي. دلته متغیر قوه P (کیل مؤمنت M) په هغه ټکی، کوم خای کی چی بیخایه کیدنه (میلان) غوښتل شوي ، پلی شي. داخلي بارونه بیا تابع د P (M) او د دوی د حصوی مشتق نظر P (M) باید مشخص شي. د کاستیگلینانو دوهم قضیه بیا پلی کیری تر څو غوښتل شوی بیخایه کیدنه (میلان) و ټاکل شي.</p>

د بيا کتني پوښتنې

REVIEW PROBLEMS

ب 14-1. د فولادو A992 بيم کی ټول محوري او کږيدونکی (bending) سترين انرژي و ټاکي.

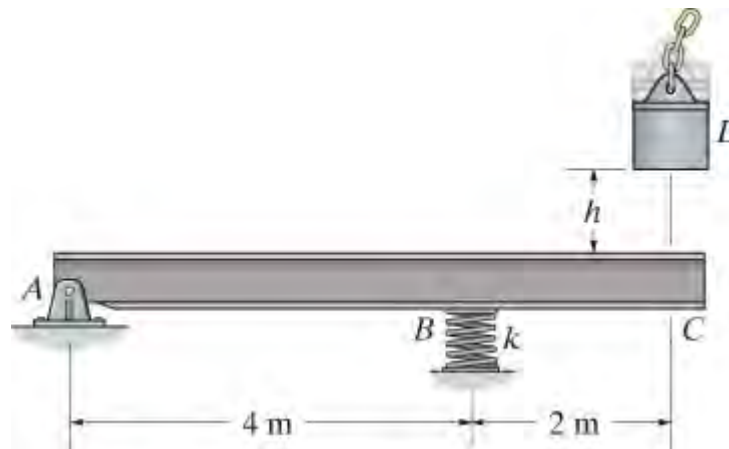
$$A = 2300 \text{ mm}^2, I = 9.5 (10^6) \text{ mm}^4$$



ب 14-1

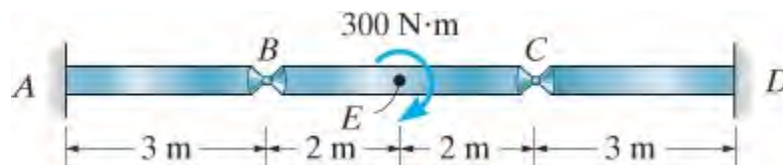
ب 14-2. يو 200-kg بلاک D له لوړوالي $h = 1 \text{ m}$ په وتلي څنډه C د فولادو A992 بيم چی له برخي $W200 \times 36$ جوړ شوی رالويدلی دي. که چيري د فنر شخي په B کی $k = 200 \text{ kN/m}$ وی، اعظمی د کوروالي ستريس په بيم کی و ټاکي.

ب 14-3. اعظمی لوړوالی h د 200-kg بلاک D لپاره داسی و ټاکي، که چيري دا په وتلي څنډه د فولادی A992 بيم له دی لوړوالي راوليري ستريس په بيم کی به له اعظمی ايلستیک ستريس زياتوالی و نکري. په B کی د فنر شخي $k = 200 \text{ kN/m}$ ده.



ب 14-2/3

ب 14-4* د فولادو A992 ميله په B او C کې پن تړندوي لري. که چيرې دوي د 30 mm قطر ولري ميلان په E کې وټاکي.



ب 14-4

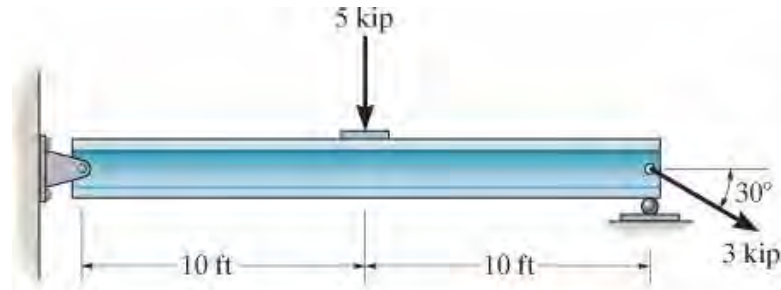
ب 14-5 د فولادو سکنه (chisel) 0.5 in. قطر او 10 in اوږدوالی لري. يو سوټک چې 3 lb وزن لري ورباندې وهل کيږي، دا سوټک په لحظه د ټکر (امپکت) کې 12ft/s حرکت لري. اعظمی ټیلوهونکی سټریس په سکنه کې وټاکي. فرض کړي چې 80 % د امپکت انرژي سکنی ته ځي.

$$E_{st} = 29(103) \text{ ksi}, \quad s_Y = 100 \text{ ksi}$$



ب 14-5

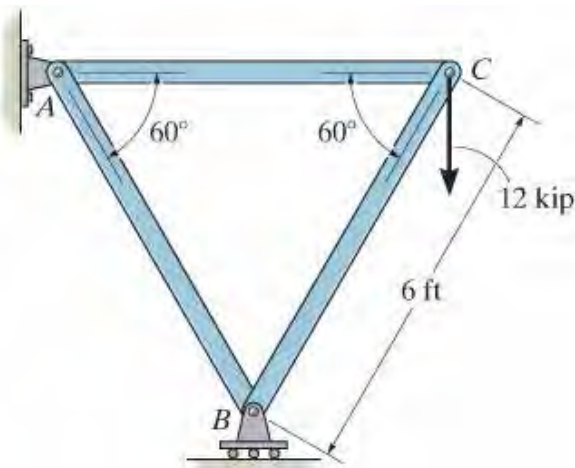
ب 14-6. د فولادو A992 بيم کی ټول محوري او کږيدونکی (bending) سترين انرژي و ټاکي. بيم له برخي W8 X 58 جوړ شوي دي.



ب 14-6

ب 14-7. عمودي بيخايه کيدنه د گندي C و ټاکي. ترس له فولادو A992 ميلو، چي هر غړي يی 1 in قطر لري، جوړ شوي دي.

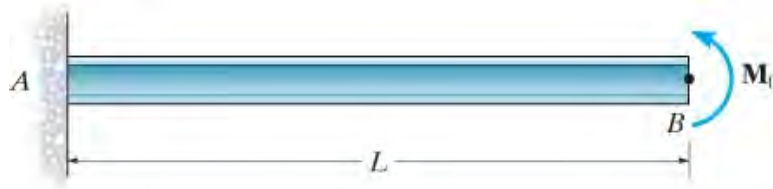
ب* 14-8. افقي بيخايه کيدنه د گندي B و ټاکي. ترس له فولادو A992 ميلو، چي هر غړي يی 1 in قطر لري، جوړ شوي دي.



ب 14-7/8

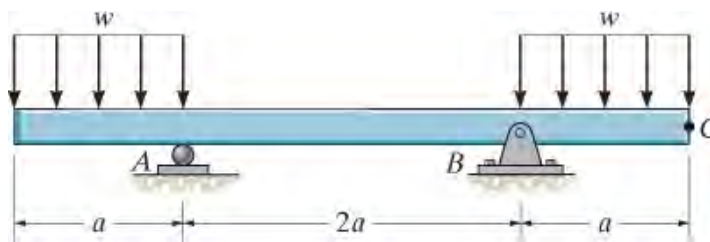
ب 14-9. د لاندی کنټيلور بيم په پای کی يو کپل مؤمنت M_0 پلي شوي دي. ميلان د بيم په B کی وټاکي. د مجازي کار له ميتود کار واخلی. EI ثابت دی.

ب 14-10. پوښتنه 14-9 د کاسټيگليانو د قضي په کارولو حل کړي.



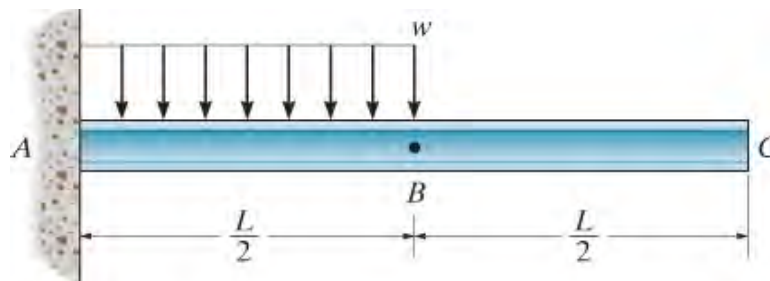
ب 14-9/10

ب 14-11. ميلان او بيخايه کيدل د ټکي C و ټاکي. EI ثابت دي.



ب 14-11

ب 14-12*. بيخايه کيدل په B کي و ټاکي. EI ثابت دي.



ب 14-12

ضمیمه

A

د یو ساحی هندسی خاصیتونه

GEOMETRIC PROPERTIES)
(OF AN AREA

هندسي خاصیتونه د یو ساحی (GEOMETRIC

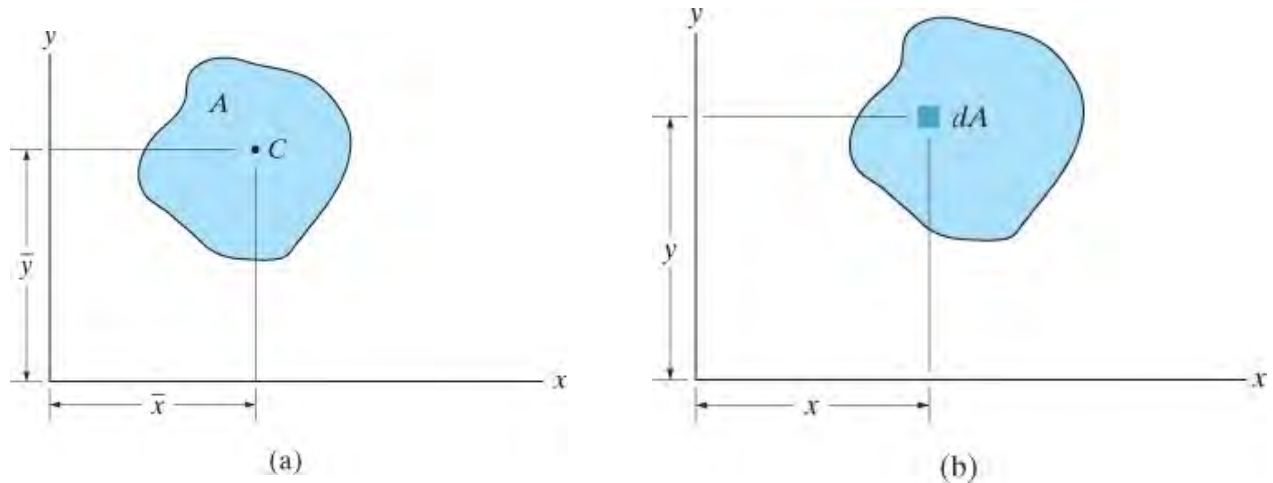
PROPERTIES OF AN AREA)

A.1 ثقل مرکز د یوی ساحی (CENTROID OF AN AREA)

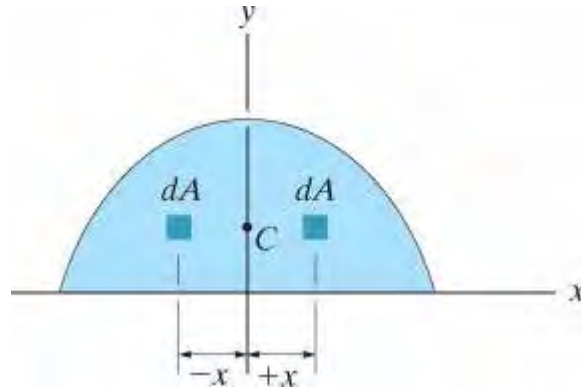
د یوی سیمې مرکز ثقل هغه یوه نقطه ده، کوم چی د ساحی هندسي مرکز تعریفوي. که چیری یوه ساحه یو خپل سري شکل ولري، لکه هغه چی په انخوړ A-1a کی بنودل شوي، د x او y کوردینات د مرکز ثقل C یی په دی لاندی ډول موندل کیږي

$$\bar{x} = \frac{\int_A x \, dA}{\int_A dA} \quad \bar{y} = \frac{\int_A y \, dA}{\int_A dA} \quad (A-1)$$

د کسر پورتنی عدد (numerators) په دی معادلاتو کی استازیتوب د ساحی د عنصر dA مؤمنت په محورونو y او x په ترتیب سره کوي، انخوړ A-1b، او د کسر لاندی عدد (denominators) استازیتوب د شکل د ټولی ساحی A کوي.



انخوړ A-1



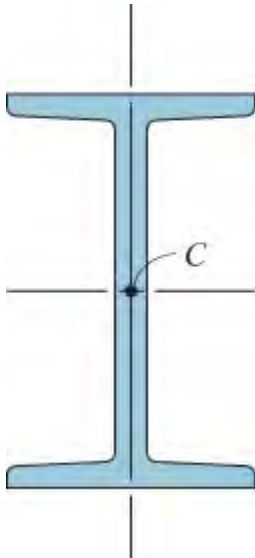
انخوړ A-2

که چیری ساحه متناظر په یوه محور وي ، د داسي شکلونو ثقل مرکز په جزوي یا بشپړ ډول به مشخص وی. دلته د ثقل مرکز به د ساحی په دی محور موقعیت ولری، انخوړ A-2 . همدارنگه به په تقاطع د دی محورونو کی وي، انخوړ A-3 . پردی بنسټ ، یا په کارولو د معادلی A-1 ، د ثقل مرکز موقعیت د معمولو شکلونو ساحی لپاره په داخل د مخکنی پوښ ددی کتاب کی بنودل شوي.

مرکب ساحی (Composite Areas) . ډیری وختونه کیدی شي چی یوه ساحه په څو برخو چی ساده شکلونه لری وویشل شي. ددی ساده مرکب شکلونو د ثقل مرکز معلوم دی، او په

دی ډول ددی شکلونو د انټیگرشن نیولو ته اړتیا نه لیدل کیږي، په دی حالتونو کی معادلی ورته په معادله A-1 باید وکارول شي، چی دلت د مجموعی علامه د انټیگرال خای نیسي، د بیلگی په توگه

$$\bar{x} = \frac{\sum \tilde{x}A}{\sum A} \quad \bar{y} = \frac{\sum \tilde{y}A}{\sum A} \quad (A-2)$$

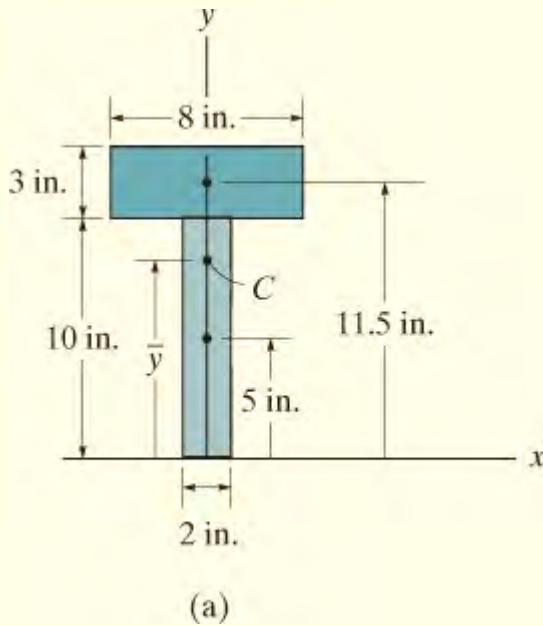


انځور A-3

دلته \tilde{x} او \tilde{y} استازیتوب د الجبري فاصلو (algebraic distances) یا x او y کوردینات د ثقل مرکز د هر ی مرکبی برخي کوي، او $\sum A$ استازیتوب د مرکبو ساحو د مجموعی، یا ټولی ساحی وکړی. که چیری سوري یا خالي برخه په مرکبه سیمه کی شتون ولري، هغه به یو بله مرکبه برخه وی کوم چی منفي ساحه لري. دا لاندی مثال، پلی کول د معادلی A-2 دي.

مثالونه

مثال A.1



لاندی انځور A-4a کی د T-beam د غوڅی برخي ساحه بنودل شوي، د ثقل مرکز C یی وټاکي.

حل I

y محور د شکل په متناظر محور ایښودل شوي، تر څو $x^- = 0$ ، انځور A-4a شي.

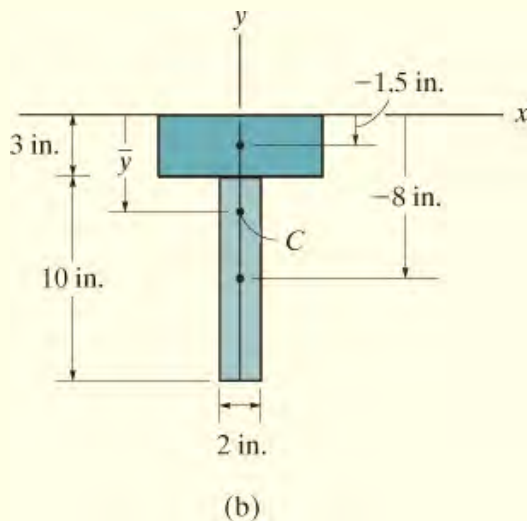
د y موندلو لپاره مورن به x محور (ریفرینس محور) د ساحی له ټیټی برخې سره برابر کړو. د غوڅی برخې ساحه په دوو مستطیلو، لکه څنګه چی بنودل شوي، وویشو او د هری برخې د ثقل مرکز موقعیت y ټاکل شوي. معادله A-2 پلی کوو مورن لرو .

$$\bar{y} = \frac{\sum \tilde{y}A}{\sum A} = \frac{[5 \text{ in.}](10 \text{ in.})(2 \text{ in.}) + [11.5 \text{ in.}](3 \text{ in.})(8 \text{ in.})}{(10 \text{ in.})(2 \text{ in.}) + (3 \text{ in.})(8 \text{ in.})}$$

$$= 8.55 \text{ in.}$$

Ans.

حل II



د ورته دوه برخو په کارولو سره، د x محور په په پورتنی ساحه کی بنیو. انځور A-4b، دلته

انځور A-4

$$\bar{y} = \frac{\sum \tilde{y}A}{\sum A} = \frac{[-1.5 \text{ in.}](3 \text{ in.})(8 \text{ in.}) + [-8 \text{ in.}](10 \text{ in.})(2 \text{ in.})}{(3 \text{ in.})(8 \text{ in.}) + (10 \text{ in.})(2 \text{ in.})}$$

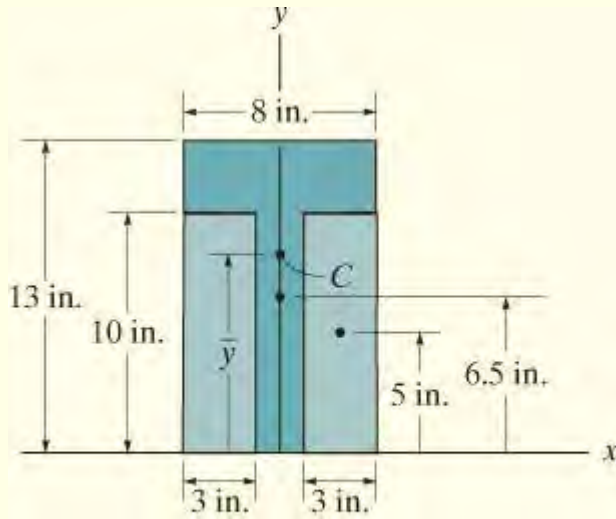
$$= -4.45 \text{ in.}$$

Ans.

منفی علامه بنیو، چی C د x محور لاندی موقعیت لری. همدا رنگه دواړو ځوابونو $8.55 \text{ in.} + 4.45 \text{ in.} = 13.0 \text{ in.}$ ، کوم چی د بیم لوړوالی دی .

حل III

دا هم امکان لري چې غوڅه برخه يو لوي مستطيل ، منفي دوه واړه مستطيلونه ، کوم چې په سيوره بنودل شوي په انځور A - 4c کې د لته مور لرو:



(c)

انځور A-4 (تکرار)

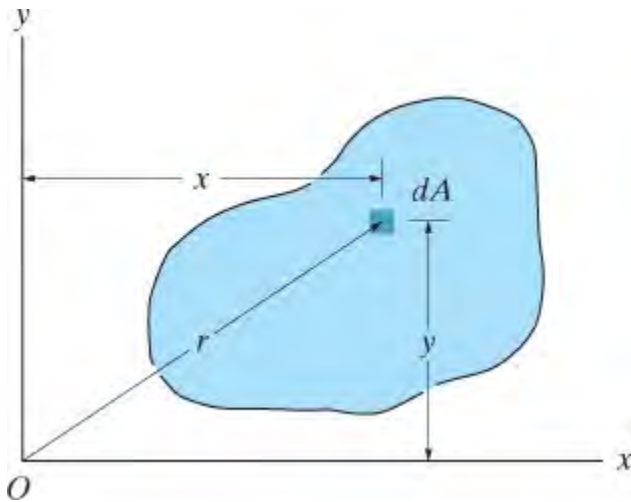
$$\bar{y} = \frac{\sum \tilde{y}A}{\sum A} = \frac{[6.5 \text{ in.}](13 \text{ in.})(8 \text{ in.}) - 2[5 \text{ in.}](10 \text{ in.})(3 \text{ in.})}{(13 \text{ in.})(8 \text{ in.}) - 2(10 \text{ in.})(3 \text{ in.})}$$

$$= 8.55 \text{ in.}$$

Ans.

A.2 د یو یو ساحی انرشیايي مؤمنت (MOMENT OF INERIA FOR AN AREA)

انرشیايي مؤمنت د یو ساحی، هندسي خاصیت دی. او هغه په محور x او محور y ، لکه څنګه چې په انځور A-5 کی بنودل شوي، محاسبه کيږي. د هغه تعریف دی



$$\begin{aligned} I_x &= \int_A y^2 dA \\ I_y &= \int_A x^2 dA \end{aligned} \quad (A-3)$$

انځور A-5

دا انټیګرالونه هیڅ فزیکي معنی نلري، مګر دوی ځکه نومول شوي چې د یو یو کتلې د انرشیا خاصیت سره، کوم چې ډینامیک خاصیت دی، ورته دي.

مور همدا ډول کولی شو چې انرشیايي مؤمنت د یو یو ساحی په قطب O یا په z محور، انځور A-5 محاسبه کړو. دې ته **قطبي انرشیايي مؤمنت** (*polar moment of inertia*) ویل کيږي، کوم چې په دی توګه تعریف شوی

$$J_O = \int_A r^2 dA = I_x + I_y \quad (A-4)$$

دلته r عمودی فاصله له قطب (z محور) تر عنصر dA پوری. حُکه چی $r^2 = x^2 + y^2$ نو بیا $J_o = I_x + I_y$ ، انخوړ A-5 .

له پورتنی فورمولونو داسی څرگندیري چی I_x, I_y او J_o به تل مثبت وی، حُکه دوی د فاصلی مربع او مساحت محصول دی. برسیره پر دی د انرشیاپی مؤمنت واحدونه د اوږدوالی څلورم طاقت ته لوړیري، د بیلگی په توگه m^4, mm^4 یا ft^4, in^4 .

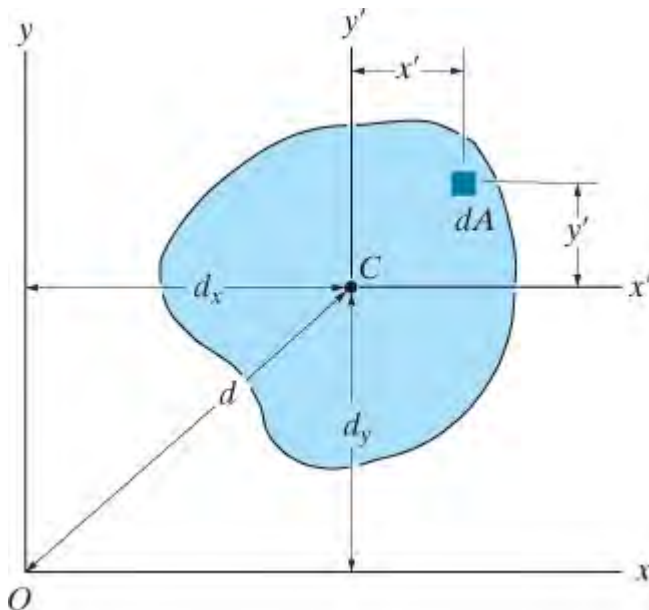
د پورتنیو معادلو په کارولو، انرشیاپی مؤمنت د ځینو عامو شکلونو ددوی په ثقلی مرکز محورونو محاسبه شوی او د دی کتاب د مخ په داخل پوښ کی بنودل شوي.

د یوه مساحت لپاره د موازی-محور قضیه (Parallel-Axis Theorem) . (for an Area

کله چی انرشیاپی مؤمنت د یوه مساحت ثقلی محور ته معلوم وی ، مور کولای شو انرشیاپی مؤمنت د مساحت یوه بل محوره ته چی موازی ثقلی محوره ته وی، د موازی-محور قضی (*Parallel-Axis Theorem*) په کارولو سره محاسبه کړو. ددی نظریی تر لاسه کولو لپاره غواړو چی انرشیاپی مؤمنت د یوه عنصر dA ، انخوړ A-6 ، کوم چی په فاصله $y' + dy$ له x محور موقعیت لری. هغه دی

$$dI_x = (y' + d_y)^2 dA$$

بیا د ټول مساحت لپاره مور لرو



انخوړ A-6

$$I_x = \int_A (y' + d_y)^2 dA = \int_A y'^2 dA + 2d_y \int_A y' dA + d_y^2 \int_A dA$$

لمری اصطلاح په بني اړخ کی څرگندوی د انرشیايي مؤمنت $I_{x'}$ د مساحت په x' محور دي. دوهم اصطلاح صفر دی ځکه x' محور د مساحت له ثقل مرکز C څخه تیریري، هغه دی $\int y' dA = y' A = 0$ چې $y' = 0$. له همدی امله وروستی پایله ده

$$I_x = \bar{I}_{x'} + A d_y^2 \quad (A-5)$$

ورته اصطلاح د I_y لپاره لیکلي شو، هغه ده

$$I_y = \bar{I}_{y'} + A d_x^2 \quad (A-6)$$

او په نهایت کی، قطبی انرشیايي مؤمنت په یوه محور چی عمود په $x-y$ سطحه دی او کوم چی له قطب O (محور z) څخه تیریري، انځور A-6، مور لرو

$$J_O = \bar{J}_C + A d^2 \quad (A-7)$$

پورتنی معادلې داسی توضیح کوي، انرشیايي مؤمنت په یوه محور مساوی دی په د مساحت انرشیايي مؤمنت په یو موازی محور کوم چی له ثقل مرکز د مساحت تیریري جمع حاصل د مساحت ضرب مربع د عمودی فاصلی د دواړو محورونو تر مینځ.

مرکب مساحتونه (Composite Areas)

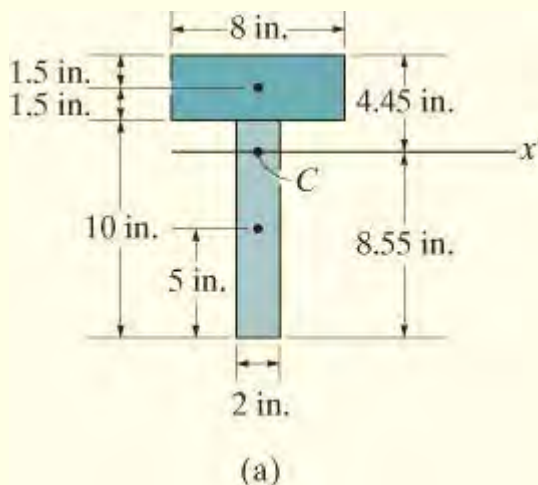
ډیری سیمي له نښلولود یو لړ ساده شکلونو، لکه مستطیل، مثلث، او نیمه دایری څخه جوړه دي. ددی لپاره چی په سمه توگه د دی مرکبي ساحي انرشيايي مؤمنت په یو محور سره وټاکو، لومړی اړین دی چی ساحه په خپلو برخو وویشو، او عمودی فاصله د محور څخه تر موازي ثقل مرکز محور ته د هرې برخې لپاره په گوته کړو. د کتاب د مخ په داخلي پوښ کې د جدول په کارولو سره، د هرې برخې انرشيايي مؤمنت د ثقل مرکز محور سره ټاکل کيږي. که دا محور د ټاکل شوي محور سره سمون نه لري، بیا انرشيايي مؤمنت د برخې په ټاکل شوي محور د موازي-محور قضي

$I = I' + Ad^2$ په کارولو سره ټاکل کيږي. د ټولی ساحي انرشيايي مؤمنت د دی محور په اړه بیا د هغې مرکبو برخو ټولو پایلو په جمع کولو سره موندل کيږي. په ځانگړې توگه، که یوه مرکبه برخه خالي (سوری) سیمه ولري، انرشيايي مؤمنت د مرکبي برخې لپاره په واسطه د "تفریق" د انرشيايي مؤمنت د برخې له انرشيايي مؤمنت د ټولی ساحي د سیمي په گډون موندل کيږي.

مثالونه

مثال A.2

انرشيايي مؤمنت په مرکزی محور x' ، د تي بيم (T-beam) چی غوڅه برخه یې په انځور A-7a کی ښودل شوی، و ټاکئ.



انځور A-7

حل I

بنودل شوي ساحه په دوو مستطیلونو ویشل شوی ده، لکه څنگه چې په انځور A-7a کی بنودل شوي. فاصله له x' محور څخه تر مرکزی محور د هرې برخې معلوموو. په کارولو دهغه جدول چې د کتاب په پوښ کی بنودل شوي، انرشیايي مؤمنت په مرکزی محور د یو مستطیلی ساحی د پاره عبارت دی په

$I = \frac{1}{12} b h^3$. د موازی-محور قضیه، معادله A-5، په هر مستطیل پلي کوو، او بیا ټولی پایلی سره جمع کړو، مور لرو

$$I = \Sigma(\bar{I}_{x'} + A d_y^2)$$

$$= \left[\frac{1}{12} (2 \text{ in.})(10 \text{ in.})^3 + (2 \text{ in.})(10 \text{ in.})(8.55 \text{ in.} - 5 \text{ in.})^2 \right]$$

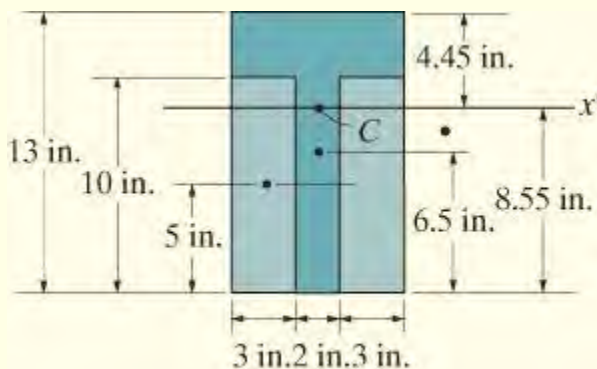
$$+ \left[\frac{1}{12} (8 \text{ in.})(3 \text{ in.})^3 + (8 \text{ in.})(3 \text{ in.})(4.45 \text{ in.} - 1.5 \text{ in.})^2 \right]$$

$$I = 646 \text{ in}^4$$

Ans.

حل II (SOLUTION II)

دا هم امکان لري چې غوڅه برخه یو لوي مستطیل، منفي دوه واړه مستطیلونه، کوم چې په سیوری بنودل شوي په انځور A-7b کی. دلته مور لرو



(b)

انځور A-7 (ادامه)

$$I = \Sigma(\bar{I}_{x'} + A d_y^2)$$

$$= \left[\frac{1}{12}(8 \text{ in.})(13 \text{ in.})^3 + (8 \text{ in.})(13 \text{ in.})(8.55 \text{ in.} - 6.5 \text{ in.})^2 \right]$$

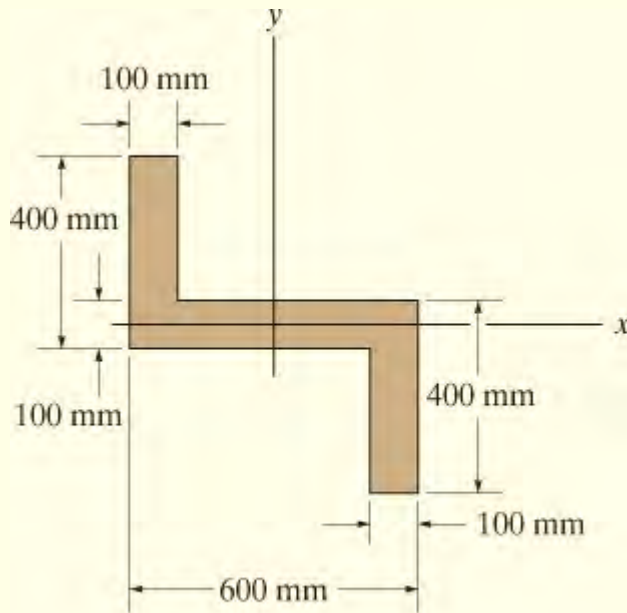
$$- 2 \left[\frac{1}{12}(3 \text{ in.})(10 \text{ in.})^3 + (3 \text{ in.})(10 \text{ in.})(8.55 \text{ in.} - 5 \text{ in.})^2 \right]$$

$$I = 646 \text{ in}^4$$

Ans.

مثال A.3

انرشیايي مؤمنت په مرکزی محور x او y محورونو، د غوڅې برخې چې په انځور A-8a کې ښودل شوی، وټاکئ.



(a)

انځور A-8

حل

یوه غوڅه برخه مرکب له دریو مستطیلي برخو A ، B او D په انځور A-8b کې ښودل شوي. د محاسبې لپاره د ثقل مرکز ددی مستطیلونو په انځور کې ښودل شوي. له هغه جدول چې ددی کتاب په پوښ کې ښودل شوي، انرشیايي مؤمنت د مستطیلي برخې په ثقلی محور عبارت دی په

$$\frac{1}{12} bh^3$$

له همدې امله د مستطیونو A

او D په کارولو د موازي-محور قضيي سره محاسبې په لاندې ډول دی

مستطیل A (Rectangle A)

$$I_x = \bar{I}_{x'} + A d_y^2 = \frac{1}{12}(100 \text{ mm})(300 \text{ mm})^3 + (100 \text{ mm})(300 \text{ mm})(200 \text{ mm})^2$$

$$= 1.425(10^9) \text{ mm}^4$$

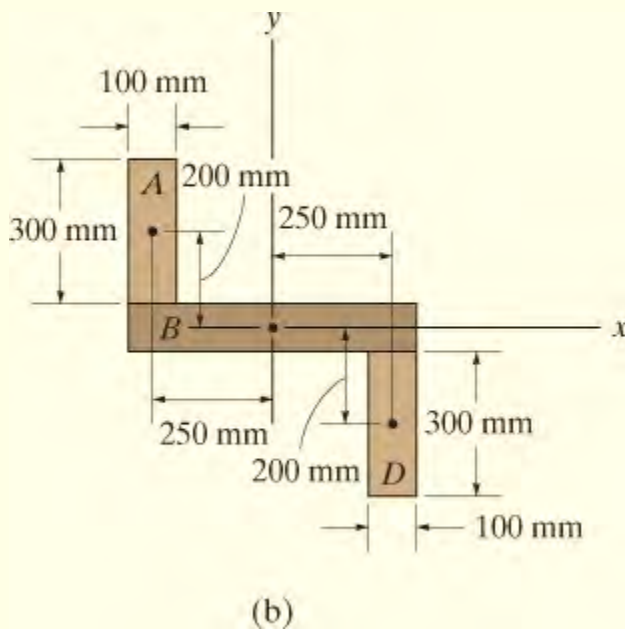
$$I_y = \bar{I}_{y'} + A d_x^2 = \frac{1}{12}(300 \text{ mm})(100 \text{ mm})^3 + (100 \text{ mm})(300 \text{ mm})(250 \text{ mm})^2$$

$$= 1.90(10^9) \text{ mm}^4$$

مستطیل B (Rectangle B)

$$I_x = \frac{1}{12}(600 \text{ mm})(100 \text{ mm})^3 = 0.05(10^9) \text{ mm}^4$$

$$I_y = \frac{1}{12}(100 \text{ mm})(600 \text{ mm})^3 = 1.80(10^9) \text{ mm}^4$$

**مستطیل D (Rectangle D)**

انخور A-8 (ادامه)

$$I_x = \bar{I}_{x'} + A d_y^2 = \frac{1}{12}(100 \text{ mm})(300 \text{ mm})^3 + (100 \text{ mm})(300 \text{ mm})(200 \text{ mm})^2$$

$$= 1.425(10^9) \text{ mm}^4$$

$$I_y = \bar{I}_{y'} + A d_x^2 = \frac{1}{12}(300 \text{ mm})(100 \text{ mm})^3 + (100 \text{ mm})(300 \text{ mm})(250 \text{ mm})^2$$

$$= 1.90(10^9) \text{ mm}^4$$

د ټول غوڅی برخی لپاره انرشیايي مؤمنت په دی دی ډول دی

$$I_x = 1.425(10^9) + 0.05(10^9) + 1.425(10^9)$$

$$= 2.90(10^9) \text{ mm}^4$$

Ans.

$$I_y = 1.90(10^9) + 1.80(10^9) + 1.90(10^9)$$

$$= 5.60(10^9) \text{ mm}^4$$

Ans.

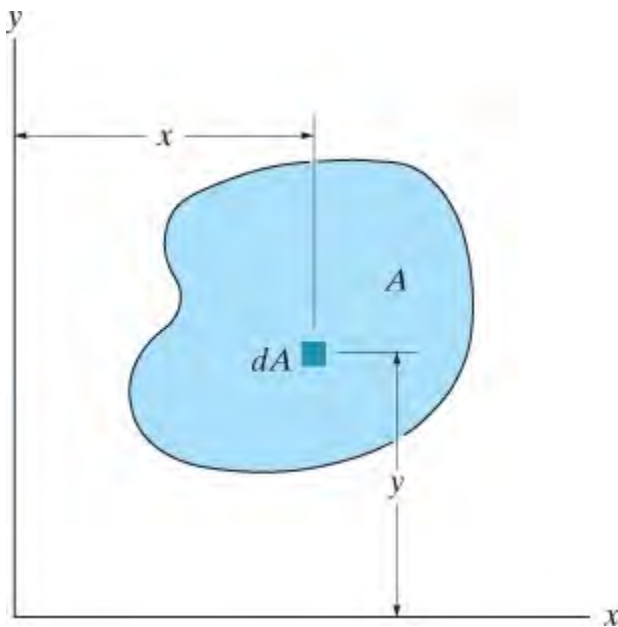
A.3 د یوې ساحې د انرشیا د ضرب محصول (PRODUCT OF INERTIA FOR AN AREA)

په عموم کې، د یوې سیمې لپاره انرشیايي مؤمنت د هر محور لپاره چې محاسبه کېږي توپیر لري. په ځینو حالتونو کې دا اړینه ده چې پوه شو د هغو محورونو جهت چې په ترتیب سره، اعظمي او لږ تر لږه انرشیايي مؤمنت د ساحې لپاره لری. د ټاکلو طریقه یی په A.4 برخه کې بحث کېږي. په هر صورت، د دې طریقي کارولو لپاره، دا اړینه ده چې لومړی د ساحې د انرشیا ضرب محصول د انرشیا او همدارنگه د هغې انرشیايي مؤمنت د x ، y محور و څخه مشخص شي.

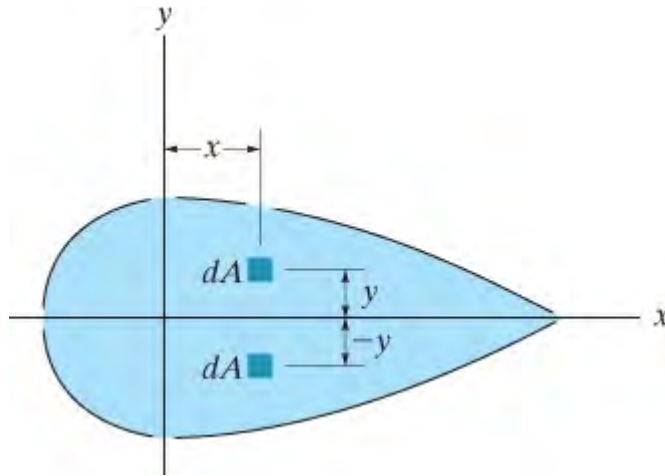
د انرشیا د ضرب محصول (*product of inertia*) د ساحې A لپاره په انځور A-9 کې ښودل شوي په دی توگه تعریف شوی

$$I_{xy} = \int_A xy \, dA \quad (A-8)$$

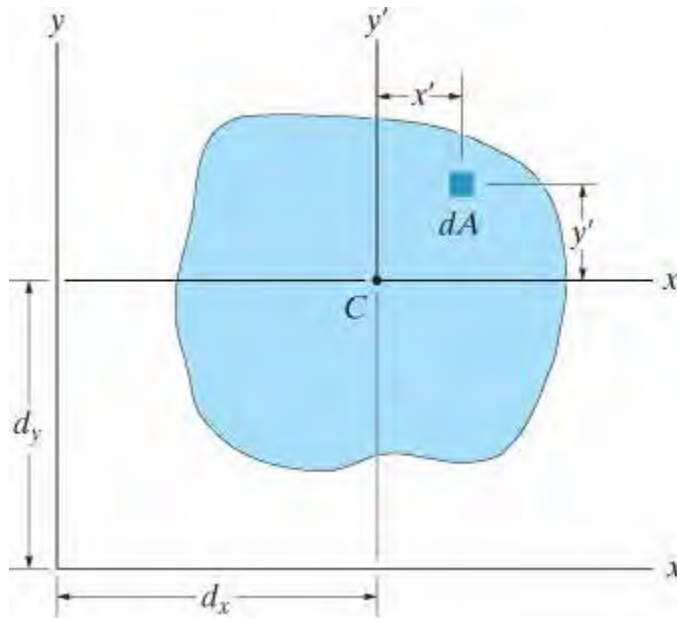
د انرشیايي مؤمنت په څیر، د انرشیا د ضرب محصول هم د اوږدوالي واحدونو څلورم طاقت ته پورته شوی، د بیلګې په توګه، m^4 ، mm^4 یا ft^4 ، in^4 . په هر صورت، x یا y کیدای شي منفي مقدار وي، پداسې حال کې چې dA تل مثبت وي. د انرشیا د ضرب محصول ممکن مثبت، منفي یا صفر وي، چې په موقعیت او جهت د محورونو پورې اړه لري. د مثال په توګه، انرشیا د ضرب محصول I_{xy} د یوې ساحې لپاره صفر وي که چېرې x یا y محور متناظر محور د ساحې وي. د دې بنودلو لپاره، د سیوري ساحه په انځور A-10 کې پام کې ونیسئ، چېرته چې د هر عنصر dA لپاره کوم چې په ټکی (x, y) کې موقعیت لري، ددی اړونده عنصر dA په $(x, -y)$ کې موقعیت لري. ځکه چې د انرشیا د ضرب محصول، په ترتیب سره، $xy \, dA$ او $-xy \, dA$ ، ددی چې د دوی الجبریک مجموعه یا د ټولو ورته عناصرو ساحې انټیګریشن چې غوره شوی په دې ډول به دوی یو بل به کنسل کړي. په پایله کې، د ضرب انرشیا د ټولې ساحې لپاره صفر کیږي.



انځور A-9



انخور A-10



انخور A-11

د موازي-محور قضیه (Parallel-Axis Theorem). سیوری شوي مساحت چی په انخور A-11 کی بنودل شوي په پام کی ونیسی. خکه چی د انرشیا د ضرب محصول د یو ساحی dA په اړه د x او y محورونولپاره کیږي په $dI_{xy} = (x' + d_x)(y' + d_y)dA$ نو بیا د ټولی ساحی لپاره،

$$I_{xy} = \int_A (x' + d_x)(y' + d_y) dA$$

$$= \int_A x'y' dA + d_x \int_A y' dA + d_y \int_A x' dA + d_x d_y \int_A dA$$

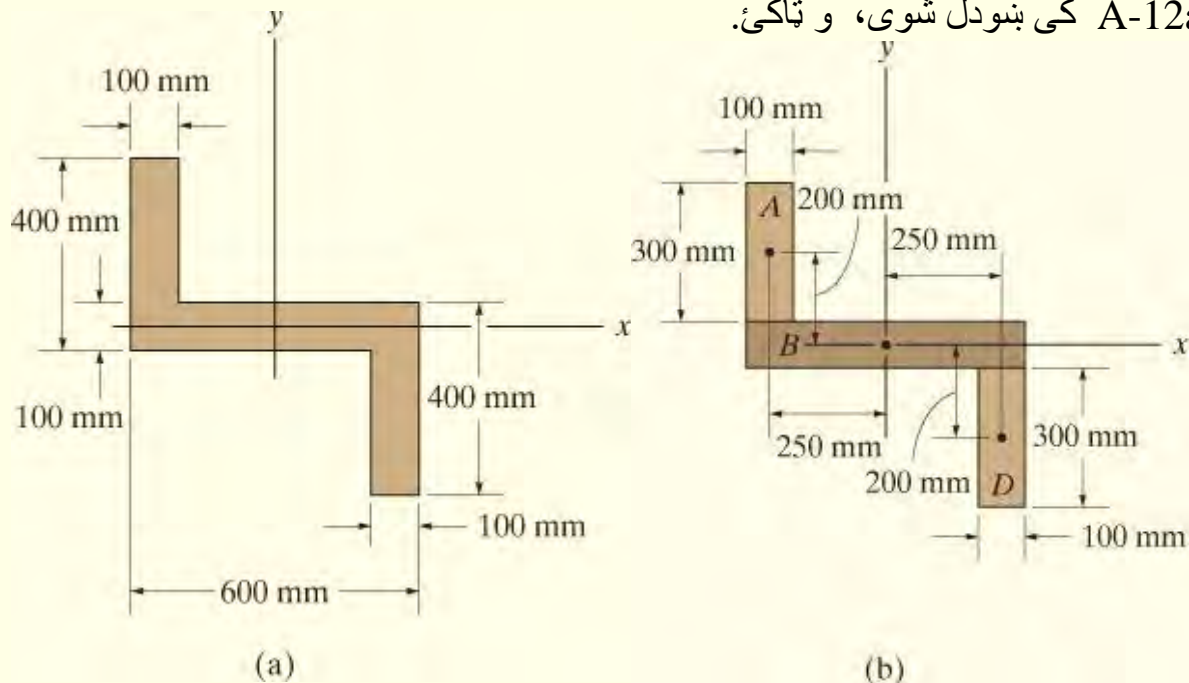
لمړي اصطلاح په بني اړخ د معادلی کی ، استازیتوب د انرشیا د ضرب محصول د ساحی ، نظر ثقلی محور $\bar{x}'\bar{y}'$ ته دی. دوهم او دریم اصطلاحی صفر دی خکه چی مؤمنت د ساحی په مرکزي x' او y' محورونو نیول شوي. په دی پوهیدلو څلورم انتیگرال استازیتوب د ټولی ساحی A کوی ، نو بیا مور لرو ،

$$I_{xy} = \bar{I}_{x'y'} + Ad_x d_y \quad (A-9)$$

ورته والی ددی معادلی او د موازي-محور قضیې د انرشیايي مؤمنت لپاره باید ولیدل شي. دلته ، مهمه ده چی الجبری علامه د dx او dy کله چی معادله A-9 پلی کیږی په پام کی ونیول شي.

مثال A.4

انرشیا د ضرب محصول په مرکزی محور x او y محورونو، د بیم د غوڅی برخی کوم چی په انځور A-12a کی بنودل شوی، و ټاکئ.



انځور A-12

حل

لکه مثال A.3، غوڅه برخه مرکبه له دریو مستطیلی برخو A ، B او D په انځور A-12b کی بنودل شوي. کوردینات د هر ثقل مرکز د مستطیل په انځور کی بنودل شوي دی. د متناظر والي له امله، د هر مستطیل انرشیا ضربی محصول په x او y محورونو، کوم چی د مستطیل له ثقل مرکز نه تیریري، صفر دي. له همدی امله د د موازي-محور قضیې پلی کول په هر مستطیل به لاندی پایلی راکوي

مستطیل A (Rectangle A)

$$\begin{aligned} I_{xy} &= \bar{I}_{x'y'} + Ad_xd_y \\ &= 0 + (300 \text{ mm})(100 \text{ mm})(-250 \text{ mm})(200 \text{ mm}) \\ &= -1.50(10^9) \text{ mm}^4 \end{aligned}$$

مستطیل B (Rectangle B)

$$\begin{aligned} I_{xy} &= \bar{I}_{x'y'} + A d_x d_y \\ &= 0 + 0 \\ &= 0 \end{aligned}$$

مستطیل D (Rectangle D)

$$\begin{aligned} I_{xy} &= \bar{I}_{x'y'} + A d_x d_y \\ &= 0 + (300 \text{ mm})(100 \text{ mm})(250 \text{ mm})(-200 \text{ mm}) \\ &= -1.50(10^9) \text{ mm}^4 \end{aligned}$$

د ټولې غوڅې برخې لپاره انرشیا ضربی محصول په دې ډول دی

$$\begin{aligned} I_{xy} &= [-1.50(10^9) \text{ mm}^4] + 0 + [-1.50(10^9) \text{ mm}^4] \\ &= -3.00(10^9) \text{ mm}^4 \end{aligned}$$

Ans.

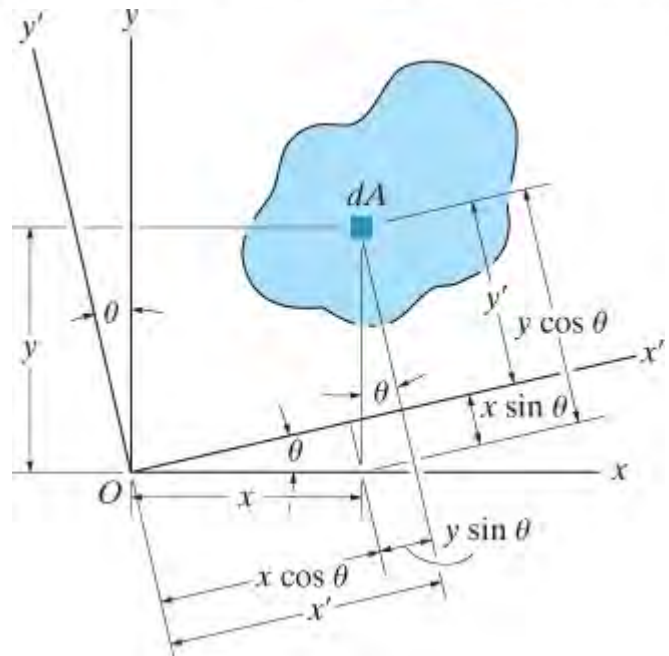
A.3 د یوی ساحی په مایل محور د انرشیايي مؤمنت (MOMENT OF INERTIA FOR AN AREA ABOUT INCLINED AXIS)

مؤمنت او حاصل ضرب د انرشیا I_x, I_y او I_{xy} د یوی ساحی نسبت په یو جوړه مایل محورونو x' او y' کیدی شی چی وموندل شي، کله چی I_x, I_y او I_{xy} معلوم وي. لکه څنگه چی په انځور A-13 کی کوردینات د یوه عنصر dA له هر دوه کوردینات سیستم کوم چی مایل په یوه زاویه دی په دی لاندی د بدلون معادلسره تړاو لري:

$$x' = x \cos \theta + y \sin \theta$$
$$y' = y \cos \theta - x \sin \theta$$

ددی معادلو په کارولو سره مؤمنت او حاصل ضرب د انرشیا د عنصر dA په x' او y' محورونو عبارت دی په:

$$dI_{x'} = y'^2 dA = (y \cos \theta - x \sin \theta)^2 dA$$
$$dI_{y'} = x'^2 dA = (x \cos \theta + y \sin \theta)^2 dA$$
$$dI_{x'y'} = x'y' dA = (x \cos \theta + y \sin \theta)(y \cos \theta - x \sin \theta) dA$$



انځور A-13

دا اصطلاحگانی پراخه کوو او انتیگرال یی نیسو، او درک کوچی $I_x = \int y^2 dA$, $I_y = \int x^2 dA$ او $I_{xy} = \int xy dA$ مور لرو:

$$I_{x'} = I_x \cos^2 \theta + I_y \sin^2 \theta - 2I_{xy} \sin \theta \cos \theta$$

$$I_{y'} = I_x \sin^2 \theta + I_y \cos^2 \theta + 2I_{xy} \sin \theta \cos \theta$$

$$I_{x'y'} = I_x \sin \theta \cos \theta - I_y \sin \theta \cos \theta + I_{xy}(\cos^2 \theta - \sin^2 \theta)$$

دا معادلی کله چی د مثلثاتی ورته والی وکاروو نوری هم ساده کیدی شي، $\sin 2q = 2 \sin q \cos q$ ، او $\cos 2q = \cos^2 q - \sin^2 q$ ، چی پدی حالت کی:

$$\begin{aligned} I_{x'} &= \frac{I_x + I_y}{2} + \frac{I_x - I_y}{2} \cos 2\theta - I_{xy} \sin 2\theta \\ I_{y'} &= \frac{I_x + I_y}{2} - \frac{I_x - I_y}{2} \cos 2\theta + I_{xy} \sin 2\theta \\ I_{x'y'} &= \frac{I_x - I_y}{2} \sin 2\theta + I_{xy} \cos 2\theta \end{aligned} \quad (A-10)$$

اصلی انرشیايي مؤمنتونه (Principal Moments of Inertia)

څرنګه چی I_x ، I_y ، او $I_{x'y'}$ اړه لري، د محورونو x' ، y' د زاویې q په میلان سره، مور کولی شو معلومه کړو د دې محورونو لور، تر څو انرشیايي مؤمنت د ساحې، I_x او I_y ، اعظمي او لږ تر لږه شي. د محورونو دې ځانګړې جوړې ته **اصلی محورونه** د ساحې ویل کیږي، او اړونده انرشیايي مؤمنتونه د دې محورونو په اړه په نامه د **اصلی انرشیايي مؤمنتونو** یادول کیږي. په عموم کی، د هر ټاکل شوي اصلي مبدا O لپاره یو جوړه اصلي محورونه شتون لري؛ په هر صورت، د موادو په میخانیکونو کې د ساحې ثقل مرکز تر ټولو ډیر مهم موقعیت د O لپاره دی.

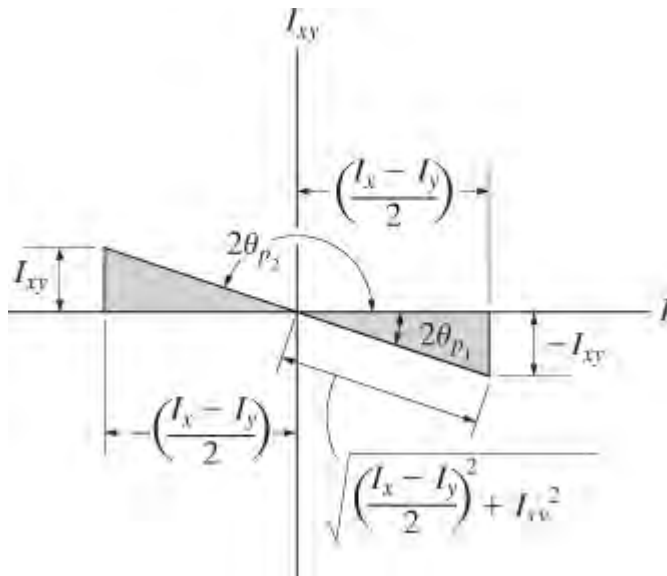
زاویه $q = q_p$ ، کوم چې د اصلي محورونو سمت تعریف کوي، په مشتق نیولو د لومړي حصی د معادلې A-10 نسبت q ته، او بیا پایلی مساوی په صفر شی. مور ترلاسه کوو

$$\frac{dI_{x'}}{d\theta} = -2\left(\frac{I_x - I_y}{2}\right) \sin 2\theta - 2I_{xy} \cos 2\theta = 0$$

نو دلته $q = q_p$

$$\tan 2\theta_p = \frac{-I_{xy}}{(I_x - I_y)/2} \quad (A-11)$$

دا معادله دوه جذرونه لري q_{p1} او q_{p2} کوم چې 90° له یو بل جلا دی او په دی توگه د هر اصلي محور میلان مشخص کوي.



انځور A-14

ساین او کوساین د $2q_{p1}$ او $2q_{p2}$ له دو مثلثونو، انځور A-14 ، کوم چې پر بنسټ د معادلې A-11 ولاړ دي، په لاس راځي که چیری دا مثلثاتي اړیکې په اوله یا دوهمه اصطلاح د معادلې A-10 کی ځای په ځای او بیا ساده شي ، دا لاندی به حاصل شي:

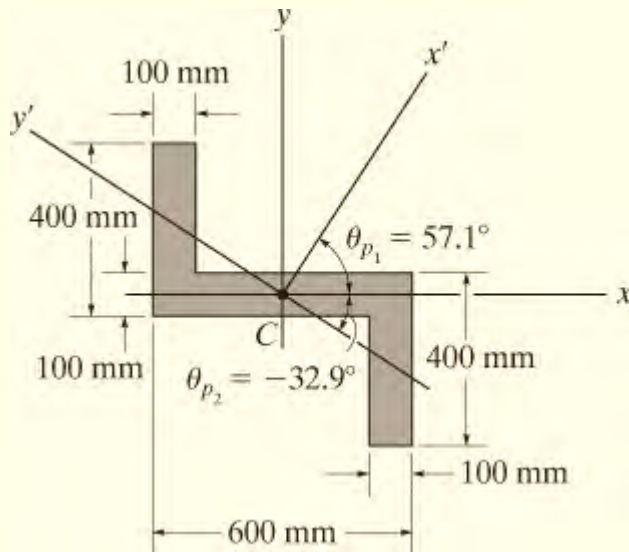
$$I_{\min}^{\max} = \frac{I_x + I_y}{2} \pm \sqrt{\left(\frac{I_x - I_y}{2}\right)^2 + I_{xy}^2} \quad (A-12)$$

دا پایله، اعظمي یا لږ تر لږ انرشيايي مؤمنت د ساحي ورکوي او هغه اړه لري په انتخاب شوي علامه پوري. برسېره پردې، که پورته مثلثاتي اړیکې د ساین او کوساین د $2q_{p1}$ او $2q_{p2}$ د دریم اصطلاح د معادلي A-10 کی حای په حای شي، دا به ولیدل شي چې $I_{x'y'} = 0$ ؛ یعنی د انرشيا محصول د اصلي محورونو صفر دی. څرنګه چې دا په برخه A.3 کې اشاره شوي چې د انرشيا ضرب محصول په هر متناظر محور صفر دی، پدی ډول دا تعقیبوي چې هر متناظر محور او یوبل محور ورباندې عمودي، استازیتوب د اصلي محور د انرشيا د ساحي کوي. په دې برخه کې ترلاسه شوي معادلي دي د سترس او سترین بدلون معادلو ورته دی کوم چې په فصلونه 9 او 10 کې په ترتیب سره رامینځته شوی، او د سترس او سترین په څیر، مور هم کولی شو دا معادلي د نیمه گرافیکي تخنیک په کارولو سره، چې د موهر د انرشيا دایری (* Mohr's Circle of inertia) په نوم یادېږي، حل کړی.*

* انجینری میکانیزم (*Engineering Mechanics*): ستاتیک 14th ed, R.C. Hibbeler, Pearson education, Inc. و گوري.

مثال A.5

اصلی انرشیايي مؤمنت د بیم د غوڅې برخې کوم چی په انځور A-15 کی بنودل شوی، نسبت یوه محورته چی له ثقل مرکز C تیریری، و ټاکئ.



انځور A-15

حل

مؤمنتونه او د انرشیا ضرب د غوڅې برخې په اړه د x او y محورونو لپاره، په مثال A.3 او A.4 کی موندل شوی. پایلی یې عبارت دی په

$$I_x = 2.90(10^9) \text{ mm}^4 \quad I_y = 5.60(10^9) \text{ mm}^4 \quad I_{xy} = -3.00(10^9) \text{ mm}^4$$

د معادلی A-11 په کارولو، د تمایل زاویه د اصلی محورونو x' او y' عبارت ده په

$$\tan 2\theta_p = \frac{-I_{xy}}{(I_x - I_y)/2} = \frac{3.00(10^9)}{[2.90(10^9) - 5.60(10^9)]/2} = -2.22$$

$$2\theta_{p_1} = 114.2^\circ \quad \text{and} \quad 2\theta_{p_2} = -65.8^\circ$$

په دی توگه، څرنګه چی په انځور A-15 کی بنودل شوي

$$\theta_{p1} = 57.1^\circ \quad \text{and} \quad \theta_{p2} = -32.9^\circ$$

اصلی انرشیايي مؤمنتونه د x' او y' محورونولپاره، په کارولو د معادلی A-12 عبارت دی په

$$\begin{aligned}
 I_{\max/\min} &= \frac{I_x + I_y}{2} \pm \sqrt{\left(\frac{I_x - I_y}{2}\right)^2 + I_{xy}^2} \\
 &= \frac{2.90(10^9) + 5.60(10^9)}{2} \pm \sqrt{\left[\frac{2.90(10^9) - 5.60(10^9)}{2}\right]^2 + [-3.00(10^9)]^2} \\
 &= 4.25(10^9) \pm 3.29(10^9)
 \end{aligned}$$

یا

$$I_{\max} = 7.54(10^9) \text{ mm}^4 \quad I_{\min} = 0.960(10^9) \text{ mm}^4 \quad \text{Ans.}$$

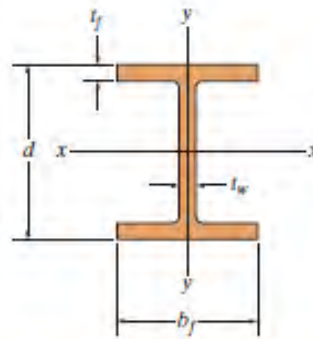
په ځانګړي توگه اعظمی انرشیايي مؤمنت $I_{\max} = 7.54 (10^9) \text{ mm}^4$ ، جوړیږی په اړه د x' محور (لوی محور)، دلته لیدل کیږی چی د غوڅی برخی اکثریت ساحه له دی محوره لری موقعیت لری. چی دا وبنودل شي، دیتا د $q = 57.1^\circ$ په اوله برخه د معادله A-10 کی ځای پر ځای کړي.

ضمیمه (APPENDIX) B

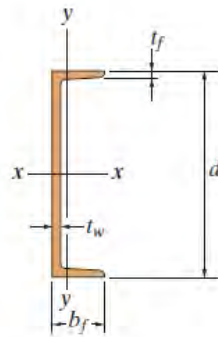
د ساختماني شکلونو هندسي خاصیتونه (GEOMETRIC PROPERTIES OF STRUCTURAL SHAPES)

Wide-Flange Sections or W Shapes FPS Units											
Designation	Area A	Depth d	Web thickness t _w	Flange		x-x axis			y-y axis		
				width b _f	thickness t _f	I	S	r	I	S	r
in. × lb/ft	in ²	in.	in.	in.	in.	in ⁴	in ³	in.	in ⁴	in ³	in.
W24 × 104	30.6	24.06	0.500	12.750	0.750	3100	258	10.1	259	40.7	2.91
W24 × 94	27.7	24.31	0.515	9.065	0.875	2700	222	9.87	109	24.0	1.98
W24 × 84	24.7	24.10	0.470	9.020	0.770	2370	196	9.79	94.4	20.9	1.95
W24 × 76	22.4	23.92	0.440	8.990	0.680	2100	176	9.69	82.5	18.4	1.92
W24 × 68	20.1	23.73	0.415	8.965	0.585	1830	154	9.55	70.4	15.7	1.87
W24 × 62	18.2	23.74	0.430	7.040	0.590	1550	131	9.23	34.5	9.80	1.38
W24 × 55	16.2	23.57	0.395	7.005	0.505	1350	114	9.11	29.1	8.30	1.34
W18 × 65	19.1	18.35	0.450	7.590	0.750	1070	117	7.49	54.8	14.4	1.69
W18 × 60	17.6	18.24	0.415	7.555	0.695	984	108	7.47	50.1	13.3	1.69
W18 × 55	16.2	18.11	0.390	7.530	0.630	890	98.3	7.41	44.9	11.9	1.67
W18 × 50	14.7	17.99	0.355	7.495	0.570	800	88.9	7.38	40.1	10.7	1.65
W18 × 46	13.5	18.06	0.360	6.060	0.605	712	78.8	7.25	22.5	7.43	1.29
W18 × 40	11.8	17.90	0.315	6.015	0.525	612	68.4	7.21	19.1	6.35	1.27
W18 × 35	10.3	17.70	0.300	6.000	0.425	510	57.6	7.04	15.3	5.12	1.22
W16 × 57	16.8	16.43	0.430	7.120	0.715	758	92.2	6.72	43.1	12.1	1.60
W16 × 50	14.7	16.26	0.380	7.070	0.630	659	81.0	6.68	37.2	10.5	1.59
W16 × 45	13.3	16.13	0.345	7.035	0.565	586	72.7	6.65	32.8	9.34	1.57
W16 × 36	10.6	15.86	0.295	6.985	0.430	448	56.5	6.51	24.5	7.00	1.52
W16 × 31	9.12	15.88	0.275	5.525	0.440	375	47.2	6.41	12.4	4.49	1.17
W16 × 26	7.68	15.69	0.250	5.500	0.345	301	38.4	6.26	9.59	3.49	1.12
W14 × 53	15.6	13.92	0.370	8.060	0.660	541	77.8	5.89	57.7	14.3	1.92
W14 × 43	12.6	13.66	0.305	7.995	0.530	428	62.7	5.82	45.2	11.3	1.89
W14 × 38	11.2	14.10	0.310	6.770	0.515	385	54.6	5.87	26.7	7.88	1.55
W14 × 34	10.0	13.98	0.285	6.745	0.455	340	48.6	5.83	23.3	6.91	1.53
W14 × 30	8.85	13.84	0.270	6.730	0.385	291	42.0	5.73	19.6	5.82	1.49
W14 × 26	7.69	13.91	0.255	5.025	0.420	245	35.3	5.65	8.91	3.54	1.08
W14 × 22	6.49	13.74	0.230	5.000	0.335	199	29.0	5.54	7.00	2.80	1.04

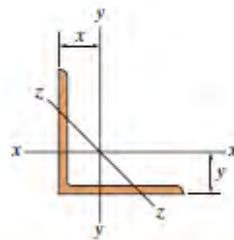
806



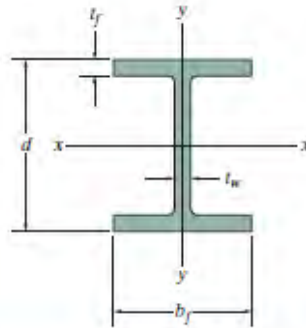
Wide-Flange Sections or W Shapes FPS Units											
Designation	Area <i>A</i>	Depth <i>d</i>	Web thickness <i>t_w</i>	Flange		x-x axis			y-y axis		
				width <i>b_f</i>	thickness <i>t_f</i>	<i>I</i>	<i>S</i>	<i>r</i>	<i>I</i>	<i>S</i>	<i>r</i>
in. × lb/ft	in ²	in.	in.	in.	in.	in ⁴	in ³	in.	in ⁴	in ³	in.
W12 × 87	25.6	12.53	0.515	12.125	0.810	740	118	5.38	241	39.7	3.07
W12 × 50	14.7	12.19	0.370	8.080	0.640	394	64.7	5.18	56.3	13.9	1.96
W12 × 45	13.2	12.06	0.335	8.045	0.575	350	58.1	5.15	50.0	12.4	1.94
W12 × 26	7.65	12.22	0.230	6.490	0.380	204	33.4	5.17	17.3	5.34	1.51
W12 × 22	6.48	12.31	0.260	4.030	0.425	156	25.4	4.91	4.66	2.31	0.847
W12 × 16	4.71	11.99	0.220	3.990	0.265	103	17.1	4.67	2.82	1.41	0.773
W12 × 14	4.16	11.91	0.200	3.970	0.225	88.6	14.9	4.62	2.36	1.19	0.753
W10 × 100	29.4	11.10	0.680	10.340	1.120	623	112	4.60	207	40.0	2.65
W10 × 54	15.8	10.09	0.370	10.030	0.615	303	60.0	4.37	103	20.6	2.56
W10 × 45	13.3	10.10	0.350	8.020	0.620	248	49.1	4.32	53.4	13.3	2.01
W10 × 39	11.5	9.92	0.315	7.985	0.530	209	42.1	4.27	45.0	11.3	1.98
W10 × 30	8.84	10.47	0.300	5.810	0.510	170	32.4	4.38	16.7	5.75	1.37
W10 × 19	5.62	10.24	0.250	4.020	0.395	96.3	18.8	4.14	4.29	2.14	0.874
W10 × 15	4.41	9.99	0.230	4.000	0.270	68.9	13.8	3.95	2.89	1.45	0.810
W10 × 12	3.54	9.87	0.190	3.960	0.210	53.8	10.9	3.90	2.18	1.10	0.785
W8 × 67	19.7	9.00	0.570	8.280	0.935	272	60.4	3.72	88.6	21.4	2.12
W8 × 58	17.1	8.75	0.510	8.220	0.810	228	52.0	3.65	75.1	18.3	2.10
W8 × 48	14.1	8.50	0.400	8.110	0.685	184	43.3	3.61	60.9	15.0	2.08
W8 × 40	11.7	8.25	0.360	8.070	0.560	146	35.5	3.53	49.1	12.2	2.04
W8 × 31	9.13	8.00	0.285	7.995	0.435	110	27.5	3.47	37.1	9.27	2.02
W8 × 24	7.08	7.93	0.245	6.495	0.400	82.8	20.9	3.42	18.3	5.63	1.61
W8 × 15	4.44	8.11	0.245	4.015	0.315	48.0	11.8	3.29	3.41	1.70	0.876
W6 × 25	7.34	6.38	0.320	6.080	0.455	53.4	16.7	2.70	17.1	5.61	1.52
W6 × 20	5.87	6.20	0.260	6.020	0.365	41.4	13.4	2.66	13.3	4.41	1.50
W6 × 16	4.74	6.28	0.260	4.030	0.405	32.1	10.2	2.60	4.43	2.20	0.966
W6 × 15	4.43	5.99	0.230	5.990	0.260	29.1	9.72	2.56	9.32	3.11	1.46
W6 × 12	3.55	6.03	0.230	4.000	0.280	22.1	7.31	2.49	2.99	1.50	0.918
W6 × 9	2.68	5.90	0.170	3.940	0.215	16.4	5.56	2.47	2.19	1.11	0.905



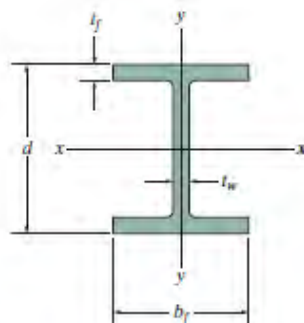
American Standard Channels or C Shapes FPS Units														
Designation	Area <i>A</i>	Depth <i>d</i>	Web thickness <i>t_w</i>		Flange			x-x axis			y-y axis			
					width <i>b_f</i>	thickness <i>t_f</i>		<i>I</i>	<i>S</i>	<i>r</i>	<i>I</i>	<i>S</i>	<i>r</i>	
in. × lb/ft	in ²	in.	in.		in.	in.		in ⁴	in ³	in.	in ⁴	in ³	in.	
C15 × 50	14.7	15.00	0.716	11/16	3.716	3 3/4	0.650	5/8	404	53.8	5.24	11.0	3.78	0.867
C15 × 40	11.8	15.00	0.520	1/2	3.520	3 1/2	0.650	5/8	349	46.5	5.44	9.23	3.37	0.886
C15 × 33.9	9.96	15.00	0.400	3/8	3.400	3 3/8	0.650	5/8	315	42.0	5.62	8.13	3.11	0.904
C12 × 30	8.82	12.00	0.510	1/2	3.170	3 1/8	0.501	1/2	162	27.0	4.29	5.14	2.06	0.763
C12 × 25	7.35	12.00	0.387	3/8	3.047	3	0.501	1/2	144	24.1	4.43	4.47	1.88	0.780
C12 × 20.7	6.09	12.00	0.282	5/16	2.942	3	0.501	1/2	129	21.5	4.61	3.88	1.73	0.799
C10 × 30	8.82	10.00	0.673	11/16	3.033	3	0.436	7/16	103	20.7	3.42	3.94	1.65	0.669
C10 × 25	7.35	10.00	0.526	1/2	2.886	2 7/8	0.436	7/16	91.2	18.2	3.52	3.36	1.48	0.676
C10 × 20	5.88	10.00	0.379	3/8	2.739	2 3/4	0.436	7/16	78.9	15.8	3.66	2.81	1.32	0.692
C10 × 15.3	4.49	10.00	0.240	1/4	2.600	2 5/8	0.436	7/16	67.4	13.5	3.87	2.28	1.16	0.713
C9 × 20	5.88	9.00	0.448	7/16	2.648	2 5/8	0.413	7/16	60.9	13.5	3.22	2.42	1.17	0.642
C9 × 15	4.41	9.00	0.285	5/16	2.485	2 1/2	0.413	7/16	51.0	11.3	3.40	1.93	1.01	0.661
C9 × 13.4	3.94	9.00	0.233	1/4	2.433	2 3/8	0.413	7/16	47.9	10.6	3.48	1.76	0.962	0.669
C8 × 18.75	5.51	8.00	0.487	1/2	2.527	2 1/2	0.390	3/8	44.0	11.0	2.82	1.98	1.01	0.599
C8 × 13.75	4.04	8.00	0.303	5/16	2.343	2 3/8	0.390	3/8	36.1	9.03	2.99	1.53	0.854	0.615
C8 × 11.5	3.38	8.00	0.220	1/4	2.260	2 1/4	0.390	3/8	32.6	8.14	3.11	1.32	0.781	0.625
C7 × 14.75	4.33	7.00	0.419	7/16	2.299	2 1/4	0.366	3/8	27.2	7.78	2.51	1.38	0.779	0.564
C7 × 12.25	3.60	7.00	0.314	5/16	2.194	2 1/4	0.366	3/8	24.2	6.93	2.60	1.17	0.703	0.571
C7 × 9.8	2.87	7.00	0.210	3/16	2.090	2 1/8	0.366	3/8	21.3	6.08	2.72	0.968	0.625	0.581
C6 × 13	3.83	6.00	0.437	7/16	2.157	2 1/8	0.343	5/16	17.4	5.80	2.13	1.05	0.642	0.525
C6 × 10.5	3.09	6.00	0.314	5/16	2.034	2	0.343	5/16	15.2	5.06	2.22	0.866	0.564	0.529
C6 × 8.2	2.40	6.00	0.200	3/16	1.920	1 7/8	0.343	5/16	13.1	4.38	2.34	0.693	0.492	0.537
C5 × 9	2.64	5.00	0.325	5/16	1.885	1 7/8	0.320	5/16	8.90	3.56	1.83	0.632	0.450	0.489
C5 × 6.7	1.97	5.00	0.190	3/16	1.750	1 3/4	0.320	5/16	7.49	3.00	1.95	0.479	0.378	0.493
C4 × 7.25	2.13	4.00	0.321	5/16	1.721	1 3/4	0.296	5/16	4.59	2.29	1.47	0.433	0.343	0.450
C4 × 5.4	1.59	4.00	0.184	3/16	1.584	1 5/8	0.296	5/16	3.85	1.93	1.56	0.319	0.283	0.449
C3 × 6	1.76	3.00	0.356	3/8	1.596	1 5/8	0.273	1/4	2.07	1.38	1.08	0.305	0.268	0.416
C3 × 5	1.47	3.00	0.258	1/4	1.498	1 1/2	0.273	1/4	1.85	1.24	1.12	0.247	0.233	0.410
C3 × 4.1	1.21	3.00	0.170	3/16	1.410	1 3/8	0.273	1/4	1.66	1.10	1.17	0.197	0.202	0.404



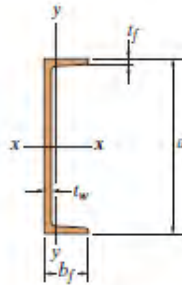
Angles Having Equal Legs FPS Units											
Size and thickness	Weight per foot	Area A	x-x axis				y-y axis				z-z axis
			I	S	r	y	I	S	r	x	r
in.	lb	in ²	in ⁴	in ³	in.	in.	in ⁴	in ³	in.	in.	in.
L8 × 8 × 1	51.0	15.0	89.0	15.8	2.44	2.37	89.0	15.8	2.44	2.37	1.56
L8 × 8 × 3/4	38.9	11.4	69.7	12.2	2.47	2.28	69.7	12.2	2.47	2.28	1.58
L8 × 8 × 1/2	26.4	7.75	48.6	8.36	2.50	2.19	48.6	8.36	2.50	2.19	1.59
L6 × 6 × 1	37.4	11.0	35.5	8.57	1.80	1.86	35.5	8.57	1.80	1.86	1.17
L6 × 6 × 3/4	28.7	8.44	28.2	6.66	1.83	1.78	28.2	6.66	1.83	1.78	1.17
L6 × 6 × 1/2	19.6	5.75	19.9	4.61	1.86	1.68	19.9	4.61	1.86	1.68	1.18
L6 × 6 × 3/8	14.9	4.36	15.4	3.53	1.88	1.64	15.4	3.53	1.88	1.64	1.19
L5 × 5 × 3/4	23.6	6.94	15.7	4.53	1.51	1.52	15.7	4.53	1.51	1.52	0.975
L5 × 5 × 1/2	16.2	4.75	11.3	3.16	1.54	1.43	11.3	3.16	1.54	1.43	0.983
L5 × 5 × 3/8	12.3	3.61	8.74	2.42	1.56	1.39	8.74	2.42	1.56	1.39	0.990
L4 × 4 × 3/4	18.5	5.44	7.67	2.81	1.19	1.27	7.67	2.81	1.19	1.27	0.778
L4 × 4 × 1/2	12.8	3.75	5.56	1.97	1.22	1.18	5.56	1.97	1.22	1.18	0.782
L4 × 4 × 3/8	9.8	2.86	4.36	1.52	1.23	1.14	4.36	1.52	1.23	1.14	0.788
L4 × 4 × 1/4	6.6	1.94	3.04	1.05	1.25	1.09	3.04	1.05	1.25	1.09	0.795
L3 1/2 × 3 1/2 × 1/2	11.1	3.25	3.64	1.49	1.06	1.06	3.64	1.49	1.06	1.06	0.683
L3 1/2 × 3 1/2 × 1/4	8.5	2.48	2.87	1.15	1.07	1.01	2.87	1.15	1.07	1.01	0.687
L3 1/2 × 3 1/2 × 1/8	5.8	1.69	2.01	0.794	1.09	0.968	2.01	0.794	1.09	0.968	0.694
L3 × 3 × 1/2	9.4	2.75	2.22	1.07	0.898	0.932	2.22	1.07	0.898	0.932	0.584
L3 × 3 × 3/8	7.2	2.11	1.76	0.833	0.913	0.888	1.76	0.833	0.913	0.888	0.587
L3 × 3 × 1/4	4.9	1.44	1.24	0.577	0.930	0.842	1.24	0.577	0.930	0.842	0.592
L2 1/2 × 2 1/2 × 1/2	7.7	2.25	1.23	0.724	0.739	0.806	1.23	0.724	0.739	0.806	0.487
L2 1/2 × 2 1/2 × 3/8	5.9	1.73	0.984	0.566	0.753	0.762	0.984	0.566	0.753	0.762	0.487
L2 1/2 × 2 1/2 × 1/4	4.1	1.19	0.703	0.394	0.769	0.717	0.703	0.394	0.769	0.717	0.491
L2 × 2 × 3/8	4.7	1.36	0.479	0.351	0.594	0.636	0.479	0.351	0.594	0.636	0.389
L2 × 2 × 1/4	3.19	0.938	0.348	0.247	0.609	0.592	0.348	0.247	0.609	0.592	0.391
L2 × 2 × 3/16	1.65	0.484	0.190	0.131	0.626	0.546	0.190	0.131	0.626	0.546	0.398



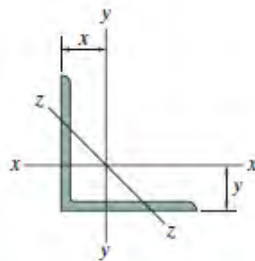
Wide-Flange Sections or W Shapes SI Units											
Designation	Area A	Depth d	Web thickness t_w	Flange		x-x axis			y-y axis		
				width b_f	thickness t_f	I	S	r	I	S	r
mm × kg/m	mm ²	mm	mm	mm	mm	10 ⁶ mm ⁴	10 ³ mm ³	mm	10 ⁶ mm ⁴	10 ³ mm ³	mm
W610 × 155	19 800	611	12.70	324.0	19.0	1 290	4 220	255	108	667	73.9
W610 × 140	17 900	617	13.10	230.0	22.2	1 120	3 630	250	45.1	392	50.2
W610 × 125	15 900	612	11.90	229.0	19.6	985	3 220	249	39.3	343	49.7
W610 × 113	14 400	608	11.20	228.0	17.3	875	2 880	247	34.3	301	48.8
W610 × 101	12 900	603	10.50	228.0	14.9	764	2 530	243	29.5	259	47.8
W610 × 92	11 800	603	10.90	179.0	15.0	646	2 140	234	14.4	161	34.9
W610 × 82	10 500	599	10.00	178.0	12.8	560	1 870	231	12.1	136	33.9
W460 × 97	12 300	466	11.40	193.0	19.0	445	1 910	190	22.8	236	43.1
W460 × 89	11 400	463	10.50	192.0	17.7	410	1 770	190	20.9	218	42.8
W460 × 82	10 400	460	9.91	191.0	16.0	370	1 610	189	18.6	195	42.3
W460 × 74	9 460	457	9.02	190.0	14.5	333	1 460	188	16.6	175	41.9
W460 × 68	8 730	459	9.14	154.0	15.4	297	1 290	184	9.41	122	32.8
W460 × 60	7 590	455	8.00	153.0	13.3	255	1 120	183	7.96	104	32.4
W460 × 52	6 640	450	7.62	152.0	10.8	212	942	179	6.34	83.4	30.9
W410 × 85	10 800	417	10.90	181.0	18.2	315	1 510	171	18.0	199	40.8
W410 × 74	9 510	413	9.65	180.0	16.0	275	1 330	170	15.6	173	40.5
W410 × 67	8 560	410	8.76	179.0	14.4	245	1 200	169	13.8	154	40.2
W410 × 53	6 820	403	7.49	177.0	10.9	186	923	165	10.1	114	38.5
W410 × 46	5 890	403	6.99	140.0	11.2	156	774	163	5.14	73.4	29.5
W410 × 39	4 960	399	6.35	140.0	8.8	126	632	159	4.02	57.4	28.5
W360 × 79	10 100	354	9.40	205.0	16.8	227	1 280	150	24.2	236	48.9
W360 × 64	8 150	347	7.75	203.0	13.5	179	1 030	148	18.8	185	48.0
W360 × 57	7 200	358	7.87	172.0	13.1	160	894	149	11.1	129	39.3
W360 × 51	6 450	355	7.24	171.0	11.6	141	794	148	9.68	113	38.7
W360 × 45	5 710	352	6.86	171.0	9.8	121	688	146	8.16	95.4	37.8
W360 × 39	4 960	353	6.48	128.0	10.7	102	578	143	3.75	58.6	27.5
W360 × 33	4 190	349	5.84	127.0	8.5	82.9	475	141	2.91	45.8	26.4



Wide-Flange Sections or W Shapes SI Units											
Designation	Area A	Depth d	Web thickness t_w	Flange		x-x axis			y-y axis		
				width b_f	thickness t_f	I	S	r	I	S	r
mm \times kg/m	mm ²	mm	mm	mm	mm	10 ⁶ mm ⁴	10 ³ mm ³	mm	10 ⁶ mm ⁴	10 ³ mm ³	mm
W310 \times 129	16 500	318	13.10	308.0	20.6	308	1940	137	100	649	77.8
W310 \times 74	9 480	310	9.40	205.0	16.3	165	1060	132	23.4	228	49.7
W310 \times 67	8 530	306	8.51	204.0	14.6	145	948	130	20.7	203	49.3
W310 \times 39	4 930	310	5.84	165.0	9.7	84.8	547	131	7.23	87.6	38.3
W310 \times 33	4 180	313	6.60	102.0	10.8	65.0	415	125	1.92	37.6	21.4
W310 \times 24	3 040	305	5.59	101.0	6.7	42.8	281	119	1.16	23.0	19.5
W310 \times 21	2 680	303	5.08	101.0	5.7	37.0	244	117	0.986	19.5	19.2
W250 \times 149	19 000	282	17.30	263.0	28.4	259	1840	117	86.2	656	67.4
W250 \times 80	10 200	256	9.40	255.0	15.6	126	984	111	43.1	338	65.0
W250 \times 67	8 560	257	8.89	204.0	15.7	104	809	110	22.2	218	50.9
W250 \times 58	7 400	252	8.00	203.0	13.5	87.3	693	109	18.8	185	50.4
W250 \times 45	5 700	266	7.62	148.0	13.0	71.1	535	112	7.03	95	35.1
W250 \times 28	3 620	260	6.35	102.0	10.0	39.9	307	105	1.78	34.9	22.2
W250 \times 22	2 850	254	5.84	102.0	6.9	28.8	227	101	1.22	23.9	20.7
W250 \times 18	2 280	251	4.83	101.0	5.3	22.5	179	99.3	0.919	18.2	20.1
W200 \times 100	12 700	229	14.50	210.0	23.7	113	987	94.3	36.6	349	53.7
W200 \times 86	11 000	222	13.00	209.0	20.6	94.7	853	92.8	31.4	300	53.4
W200 \times 71	9 100	216	10.20	206.0	17.4	76.6	709	91.7	25.4	247	52.8
W200 \times 59	7 580	210	9.14	205.0	14.2	61.2	583	89.9	20.4	199	51.9
W200 \times 46	5 890	203	7.24	203.0	11.0	45.5	448	87.9	15.3	151	51.0
W200 \times 36	4 570	201	6.22	165.0	10.2	34.4	342	86.8	7.64	92.6	40.9
W200 \times 22	2 860	206	6.22	102.0	8.0	20.0	194	83.6	1.42	278	22.3
W150 \times 37	4 730	162	8.13	154.0	11.6	22.2	274	68.5	7.07	91.8	38.7
W150 \times 30	3 790	157	6.60	153.0	9.3	17.1	218	67.2	5.54	72.4	38.2
W150 \times 22	2 860	152	5.84	152.0	6.6	12.1	159	65.0	3.87	50.9	36.8
W150 \times 24	3 060	160	6.60	102.0	10.3	13.4	168	66.2	1.83	35.9	24.5
W150 \times 18	2 290	153	5.84	102.0	7.1	9.19	120	63.3	1.26	24.7	23.5
W150 \times 14	1 730	150	4.32	100.0	5.5	6.84	91.2	62.9	0.912	18.2	23.0



American Standard Channels or C Shapes SI Units											
Designation	Area A	Depth d	Web thickness t _w	Flange		x-x axis			y-y axis		
				width b _f	thickness t _f	I	S	r	I	S	r
mm × kg/m	mm ²	mm	mm	mm	mm	10 ⁶ mm ⁴	10 ³ mm ³	mm	10 ⁶ mm ⁴	10 ³ mm ³	mm
C380 × 74	9 480	381.0	18.20	94.4	16.50	168	882	133	4.58	61.8	22.0
C380 × 60	7 610	381.0	13.20	89.4	16.50	145	761	138	3.84	55.1	22.5
C380 × 50	6 430	381.0	10.20	86.4	16.50	131	688	143	3.38	50.9	22.9
C310 × 45	5 690	305.0	13.00	80.5	12.70	67.4	442	109	2.14	33.8	19.4
C310 × 37	4 740	305.0	9.83	77.4	12.70	59.9	393	112	1.86	30.9	19.8
C310 × 31	3 930	305.0	7.16	74.7	12.70	53.7	352	117	1.61	28.3	20.2
C250 × 45	5 690	254.0	17.10	77.0	11.10	42.9	338	86.8	1.61	27.1	17.0
C250 × 37	4 740	254.0	13.40	73.3	11.10	38.0	299	89.5	1.40	24.3	17.2
C250 × 30	3 790	254.0	9.63	69.6	11.10	32.8	258	93.0	1.17	21.6	17.6
C250 × 23	2 900	254.0	6.10	66.0	11.10	28.1	221	98.4	0.949	19.0	18.1
C230 × 30	3 790	229.0	11.40	67.3	10.50	25.3	221	81.7	1.01	19.2	16.3
C230 × 22	2 850	229.0	7.24	63.1	10.50	21.2	185	86.2	0.803	16.7	16.8
C230 × 20	2 540	229.0	5.92	61.8	10.50	19.9	174	88.5	0.733	15.8	17.0
C200 × 28	3 550	203.0	12.40	64.2	9.90	18.3	180	71.8	0.824	16.5	15.2
C200 × 20	2 610	203.0	7.70	59.5	9.90	15.0	148	75.8	0.637	14.0	15.6
C200 × 17	2 180	203.0	5.59	57.4	9.90	13.6	134	79.0	0.549	12.8	15.9
C180 × 22	2 790	178.0	10.60	58.4	9.30	11.3	127	63.6	0.574	12.8	14.3
C180 × 18	2 320	178.0	7.98	55.7	9.30	10.1	113	66.0	0.487	11.5	14.5
C180 × 15	1 850	178.0	5.33	53.1	9.30	8.87	99.7	69.2	0.403	10.2	14.8
C150 × 19	2 470	152.0	11.10	54.8	8.70	7.24	95.3	54.1	0.437	10.5	13.3
C150 × 16	1 990	152.0	7.98	51.7	8.70	6.33	83.3	56.4	0.360	9.22	13.5
C150 × 12	1 550	152.0	5.08	48.8	8.70	5.45	71.7	59.3	0.288	8.04	13.6
C130 × 13	1 700	127.0	8.25	47.9	8.10	3.70	58.3	46.7	0.263	7.35	12.4
C130 × 10	1 270	127.0	4.83	44.5	8.10	3.12	49.1	49.6	0.199	6.18	12.5
C100 × 11	1 370	102.0	8.15	43.7	7.50	1.91	37.5	37.3	0.180	5.62	11.5
C100 × 8	1 030	102.0	4.67	40.2	7.50	1.60	31.4	39.4	0.133	4.65	11.4
C75 × 9	1 140	76.2	9.04	40.5	6.90	0.862	22.6	27.5	0.127	4.39	10.6
C75 × 7	948	76.2	6.55	38.0	6.90	0.770	20.2	28.5	0.103	3.83	10.4
C75 × 6	781	76.2	4.32	35.8	6.90	0.691	18.1	29.8	0.082	3.32	10.2



Angles Having Equal Legs SI Units											
Size and thickness	Mass per Meter	Area	x-x axis				y-y axis				z-z axis
			I	S	r	y	I	S	r	x	r
mm	kg	mm ²	10 ⁶ mm ⁴	10 ⁶ mm ³	mm	mm	10 ⁶ mm ⁴	10 ⁶ mm ³	mm	mm	mm
L203 × 203 × 25.4	75.9	9 680	36.9	258	61.7	60.1	36.9	258	61.7	60.1	39.6
L203 × 203 × 19.0	57.9	7 380	28.9	199	62.6	57.8	28.9	199	62.6	57.8	40.1
L203 × 203 × 12.7	39.3	5 000	20.2	137	63.6	55.5	20.2	137	63.6	55.5	40.4
L152 × 152 × 25.4	55.7	7 100	14.6	139	45.3	47.2	14.6	139	45.3	47.2	29.7
L152 × 152 × 19.0	42.7	5 440	11.6	108	46.2	45.0	11.6	108	46.2	45.0	29.7
L152 × 152 × 12.7	29.2	3 710	8.22	75.1	47.1	42.7	8.22	75.1	47.1	42.7	30.0
L152 × 152 × 9.5	22.2	2 810	6.35	57.4	47.5	41.5	6.35	57.4	47.5	41.5	30.2
L127 × 127 × 19.0	35.1	4 480	6.54	73.9	38.2	38.7	6.54	73.9	38.2	38.7	24.8
L127 × 127 × 12.7	24.1	3 060	4.68	51.7	39.1	36.4	4.68	51.7	39.1	36.4	25.0
L127 × 127 × 9.5	18.3	2 330	3.64	39.7	39.5	35.3	3.64	39.7	39.5	35.3	25.1
L102 × 102 × 19.0	27.5	3 510	3.23	46.4	30.3	32.4	3.23	46.4	30.3	32.4	19.8
L102 × 102 × 12.7	19.0	2 420	2.34	32.6	31.1	30.2	2.34	32.6	31.1	30.2	19.9
L102 × 102 × 9.5	14.6	1 840	1.84	25.3	31.6	29.0	1.84	25.3	31.6	29.0	20.0
L102 × 102 × 6.4	9.8	1 250	1.28	17.3	32.0	27.9	1.28	17.3	32.0	27.9	20.2
L89 × 89 × 12.7	16.5	2 100	1.52	24.5	26.9	26.9	1.52	24.5	26.9	26.9	17.3
L89 × 89 × 9.5	12.6	1 600	1.20	19.0	27.4	25.8	1.20	19.0	27.4	25.8	17.4
L89 × 89 × 6.4	8.6	1 090	0.840	13.0	27.8	24.6	0.840	13.0	27.8	24.6	17.6
L76 × 76 × 12.7	14.0	1 770	0.915	17.5	22.7	23.6	0.915	17.5	22.7	23.6	14.8
L76 × 76 × 9.5	10.7	1 360	0.726	13.6	23.1	22.5	0.726	13.6	23.1	22.5	14.9
L76 × 76 × 6.4	7.3	927	0.514	9.39	23.5	21.3	0.514	9.39	23.5	21.3	15.0
L64 × 64 × 12.7	11.5	1 450	0.524	12.1	19.0	20.6	0.524	12.1	19.0	20.6	12.4
L64 × 64 × 9.5	8.8	1 120	0.420	9.46	19.4	19.5	0.420	9.46	19.4	19.5	12.4
L64 × 64 × 6.4	6.1	766	0.300	6.59	19.8	18.2	0.300	6.59	19.8	18.2	12.5
L51 × 51 × 9.5	7.0	877	0.202	5.82	15.2	16.2	0.202	5.82	15.2	16.2	9.88
L51 × 51 × 6.4	4.7	605	0.146	4.09	15.6	15.1	0.146	4.09	15.6	15.1	9.93
L51 × 51 × 3.2	2.5	312	0.080	2.16	16.0	13.9	0.080	2.16	16.0	13.9	10.1

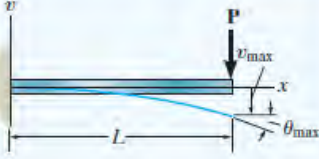
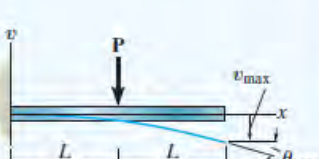


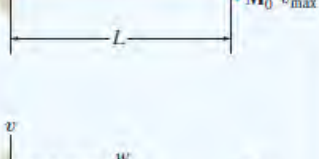
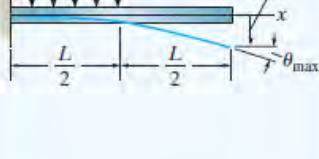
APPENDIX C

د بيمونو ميلان او بيخايه كيدنه

SLOPES AND DEFLECTIONS OF BEAMS

Beam	Slope	Deflection	Elastic Curve
	$\theta_{max} = \frac{-PL^2}{16EI}$	$v_{max} = \frac{-PL^3}{48EI}$	$v = \frac{-Px}{48EI} (3L^2 - 4x^2)$ $0 \leq x \leq L/2$
	$\theta_1 = \frac{-Pab(L+b)}{6EIL}$ $\theta_2 = \frac{Pab(L+a)}{6EIL}$	$v _{x=a} = \frac{-Pba}{6EIL} (L^2 - b^2 - a^2)$	$v = \frac{-Pbx}{6EIL} (L^2 - b^2 - x^2)$ $0 \leq x \leq a$
	$\theta_1 = \frac{-M_0L}{6EI}$ $\theta_2 = \frac{M_0L}{3EI}$	$v_{max} = \frac{-M_0L^2}{9\sqrt{3}EI}$ at $x = 0.5774L$	$v = \frac{-M_0x}{6EIL} (L^2 - x^2)$
	$\theta_{max} = \frac{-wL^3}{24EI}$	$v_{max} = \frac{-5wL^4}{384EI}$	$v = \frac{-wx}{24EI} (x^3 - 2Lx^2 + L^3)$
	$\theta_1 = \frac{-3wL^3}{128EI}$ $\theta_2 = \frac{7wL^3}{384EI}$	$v _{x=L/2} = \frac{-5wL^4}{768EI}$ $v_{max} = -0.006563 \frac{wL^4}{EI}$ at $x = 0.4598L$	$v = \frac{-wx}{384EI} (16x^3 - 24Lx^2 + 9L^3)$ $0 \leq x \leq L/2$ $v = \frac{-wL}{384EI} (8x^3 - 24Lx^2 + 17L^2x - L^3)$ $L/2 \leq x < L$
	$\theta_1 = \frac{-7w_0L^3}{360EI}$ $\theta_2 = \frac{w_0L^3}{45EI}$	$v_{max} = -0.00652 \frac{w_0L^4}{EI}$ at $x = 0.5193L$	$v = \frac{-w_0x}{360EI} (3x^4 - 10L^2x^2 + 7L^4)$

814

Cantilevered Beam Slopes and Deflections			
Beam	Slope	Deflection	Elastic Curve
	$\theta_{\max} = \frac{-PL^2}{2EI}$	$v_{\max} = \frac{-PL^3}{3EI}$	$v = \frac{-Px^2}{6EI} (3L - x)$
	$\theta_{\max} = \frac{-PL^2}{8EI}$	$v_{\max} = \frac{-5PL^3}{48EI}$	$v = \frac{-Px^2}{12EI} (3L - 2x) \quad 0 \leq x \leq L/2$ $v = \frac{-PL^2}{48EI} (6x - L) \quad L/2 \leq x \leq L$
	$\theta_{\max} = \frac{-wL^3}{6EI}$	$v_{\max} = \frac{-wL^4}{8EI}$	$v = \frac{-wx^2}{24EI} (x^2 - 4Lx + 6L^2)$
	$\theta_{\max} = \frac{M_0L}{EI}$	$v_{\max} = \frac{M_0L^2}{2EI}$	$v = \frac{M_0x^2}{2EI}$
	$\theta_{\max} = \frac{-wL^3}{48EI}$	$v_{\max} = \frac{-7wL^4}{384EI}$	$v = \frac{-wx^2}{24EI} (x^2 - 2Lx + \frac{3}{2}L^2) \quad 0 \leq x \leq L/2$ $v = \frac{-wL^3}{384EI} (8x - L) \quad L/2 \leq x \leq L$
	$\theta_{\max} = \frac{-w_0L^3}{24EI}$	$v_{\max} = \frac{-w_0L^4}{30EI}$	$v = \frac{-w_0x^2}{120EIL} (10L^3 - 10L^2x + 5Lx^2 - x^3)$

C

د ابتدایي سوالونو ځوابونه

ضمیمه

Solutions and Answers)
for Preliminary
(Problems

د ابتدایي سوالونو ځوابونه

(Solution and Answers for
Preliminary Problems)

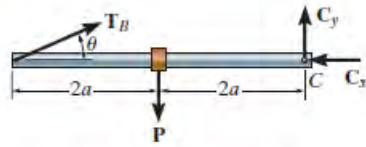
په دی برخه کی د پوښتنو اول ټکی د پښتو او انگلیسی
په دی لاندی ډول بدل شوي دي . حرف د P بدل کړي
په ل

د بیلگی په توگه

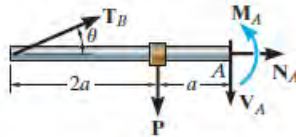
ل 1-1 = P1-1

Solutions and Answers for Preliminary Problems

P1-1a.

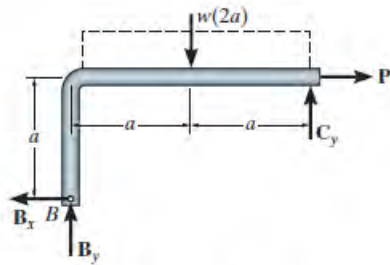


$$\zeta + \sum M_C = 0; \text{ get } T_B$$

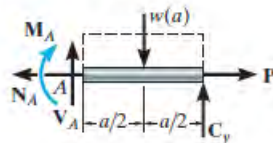


$$\begin{aligned} \pm \sum F_x &= 0; \text{ get } N_A \\ + \uparrow \sum F_y &= 0; \text{ get } V_A \\ \zeta + \sum M_A &= 0; \text{ get } M_A \end{aligned}$$

P1-1b.

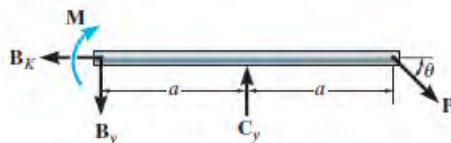


$$\zeta + \sum M_B = 0; \text{ get } C_y$$



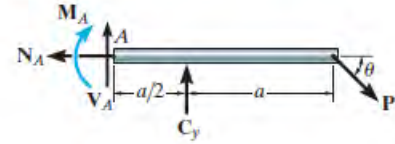
$$\begin{aligned} \pm \sum F_x &= 0; \text{ get } N_A \\ + \uparrow \sum F_y &= 0; \text{ get } V_A \\ \zeta + \sum M_A &= 0; \text{ get } M_A \end{aligned}$$

P1-1c.



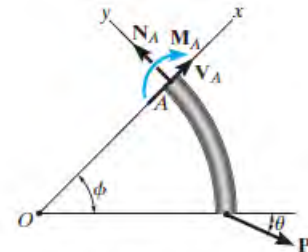
$$\zeta + \sum M_B = 0; \text{ get } C_y$$

816



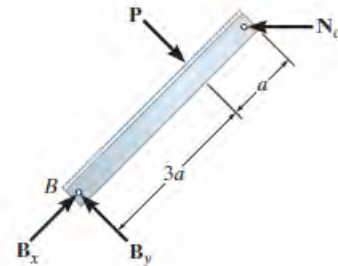
$$\begin{aligned} \pm \sum F_x &= 0; \text{ get } N_A \\ + \uparrow \sum F_y &= 0; \text{ get } V_A \\ \zeta + \sum M_A &= 0; \text{ get } M_A \end{aligned}$$

P1-1d.

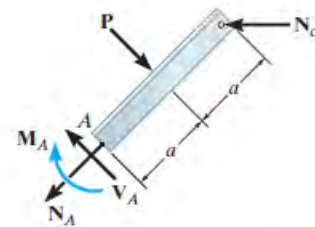


$$\begin{aligned} + \nearrow \sum F_y &= 0; \text{ get } N_A \\ + \searrow \sum F_x &= 0; \text{ get } V_A \\ \zeta + \sum M_O &= 0 \text{ or } \sum M_A = 0; \text{ get } M_A \end{aligned}$$

P1-1e.

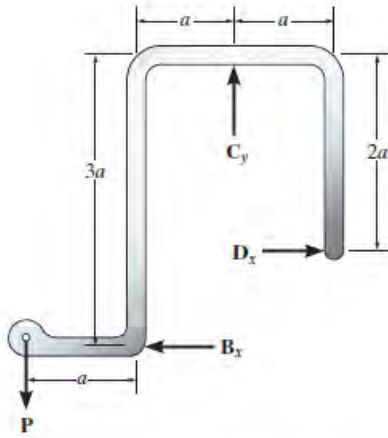


$$\zeta + \sum M_B = 0; \text{ get } N_C$$

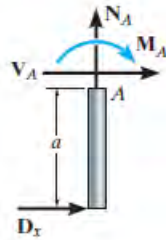


$$\begin{aligned} + \nearrow \sum F_x &= 0; \text{ get } N_A \\ + \nwarrow \sum F_y &= 0; \text{ get } V_A \\ \zeta + \sum M_A &= 0; \text{ get } M_A \end{aligned}$$

P1-1f.

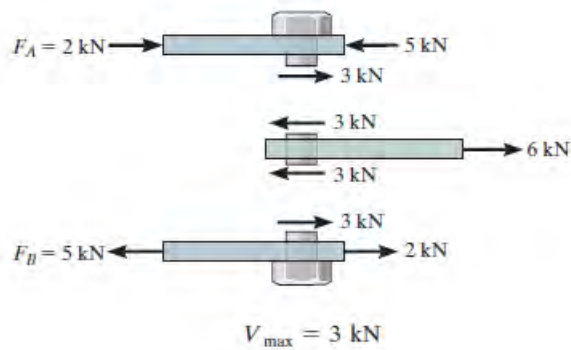


$+\uparrow \Sigma F_y = 0$; get $C_y (= P)$
 $\zeta + \Sigma M_B = 0$; get D_x

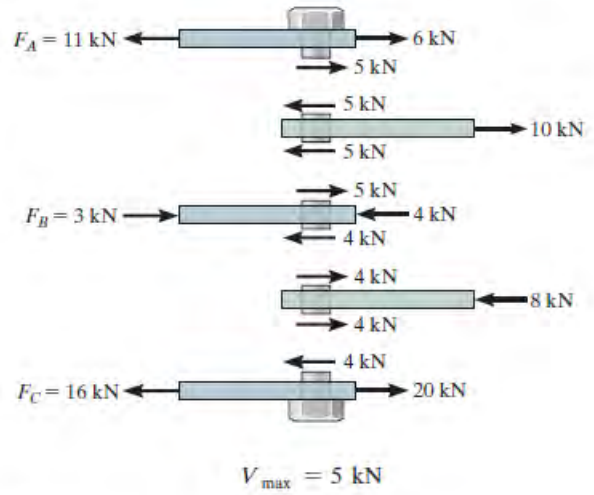


$+\uparrow \Sigma F_y = 0$; get $N_A (= 0)$
 $\pm \Sigma F_x = 0$; get V_A
 $\zeta + \Sigma M_A = 0$; get M_A

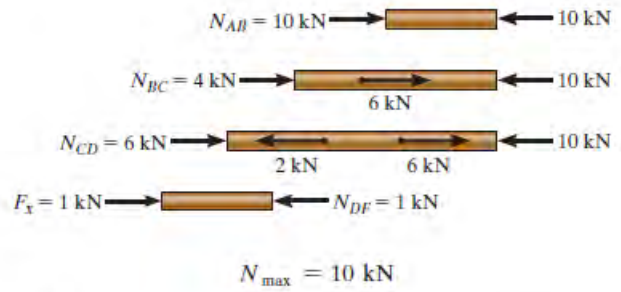
P1-2a.



P1-2b.



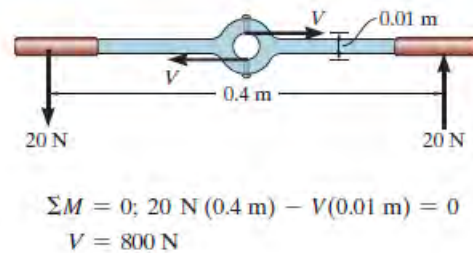
P1-3.



P1-4.



P1-5.



818 SOLUTIONS AND ANSWERS FOR PRELIMINARY PROBLEMS

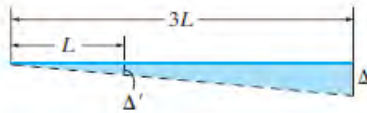
P1-6.



$$N = (5 \text{ kN}) \cos 30^\circ = 4.33 \text{ kN}$$

$$V = (5 \text{ kN}) \sin 30^\circ = 2.5 \text{ kN}$$

P2-1.



$$\frac{\Delta'}{L} = \frac{\Delta}{3L}, \quad \Delta' = \frac{\Delta}{3}$$

$$\epsilon_{AB} = \frac{\Delta/3}{L/2} = \frac{2\Delta}{3L}$$

$$\epsilon_{CD} = \frac{\Delta}{L}$$

P2-2.



$$\frac{\Delta'}{2L} = \frac{\Delta}{L}, \quad \Delta' = 2\Delta$$

$$\epsilon_{CD} = \frac{\Delta}{L}$$

$$\epsilon_{AB} = \frac{2\Delta}{L/2} = \frac{4\Delta}{L}$$

P2-3.

$$\epsilon_{AB} = \frac{L_{A'B} - L_{AB}}{L_{AB}}$$

P2-4.

$$\epsilon_{AB} = \frac{L_{AB'} - L_{AB}}{L_{AB}}, \quad \epsilon_{AC} = \frac{L_{AC'} - L_{AC}}{L_{AC}}$$

$$\epsilon_{BC} = \frac{L_{B'C} - L_{BC}}{L_{BC}}, \quad (\gamma_A)_{xy} = \left(\frac{\pi}{2} - \theta\right) \text{ rad}$$

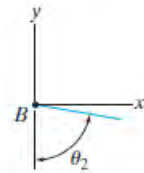
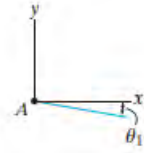
P2-5.

$$(\gamma_A)_{xy} = \frac{\pi}{2} - \left(\frac{\pi}{2} + \theta_1\right)$$

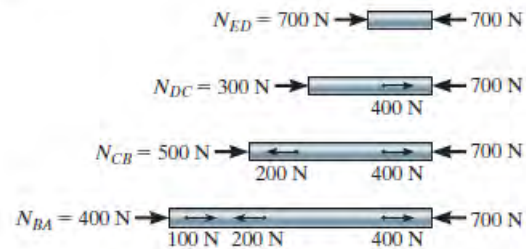
$$= (-\theta_1) \text{ rad}$$

$$(\gamma_B)_{xy} = \frac{\pi}{2} - (\pi - \theta_2)$$

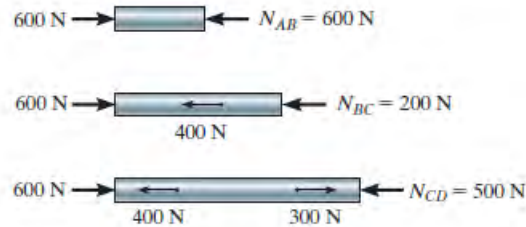
$$= \left(-\frac{\pi}{2} + \theta_2\right) \text{ rad}$$



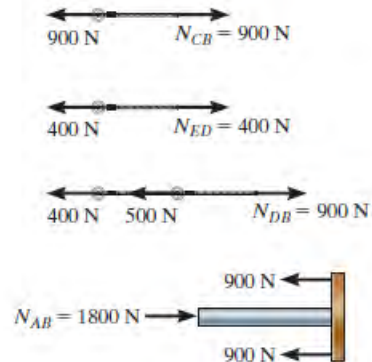
P4-1a.



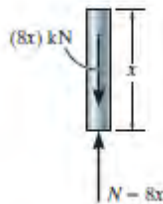
P4-1b.



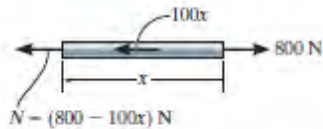
P4-2.



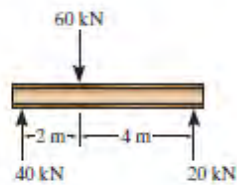
P4-3.



P4-4.

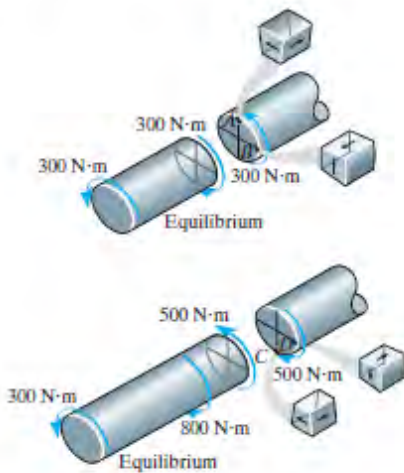


P4-5.

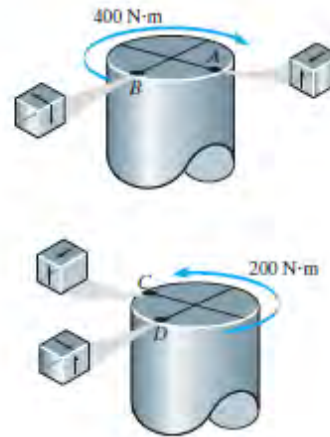


$$\Delta_B = \frac{PL}{AE} = \frac{20(10^3) \text{ N} (3 \text{ m})}{2(10^{-3}) \text{ m}^2 (60(10^9) \text{ N/m}^2)} = 0.5(10^{-3}) \text{ m} = 0.5 \text{ mm}$$

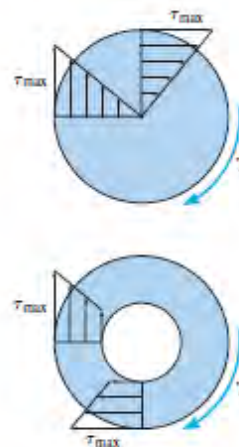
P5-1.



P5-2.



P5-3.



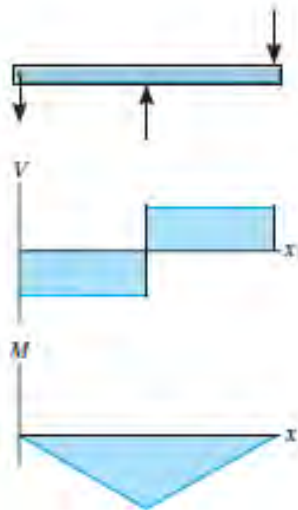
P5-4.

$$P = T\omega$$

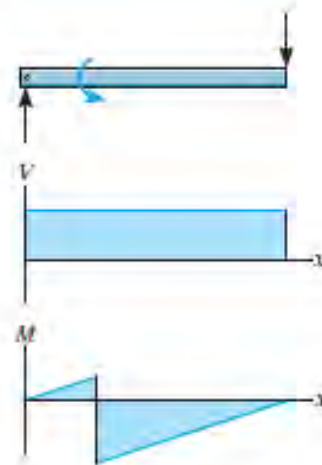
$$(10 \text{ hp}) \left(\frac{550 \text{ ft} \cdot \text{lb/s}}{1 \text{ hp}} \right) = T \left(1200 \frac{\text{rev}}{\text{min}} \right) \left(\frac{1 \text{ min}}{60 \text{ s}} \right) \frac{2\pi \text{ rad}}{1 \text{ rev}}$$

$$T = 43.8 \text{ lb} \cdot \text{ft}$$

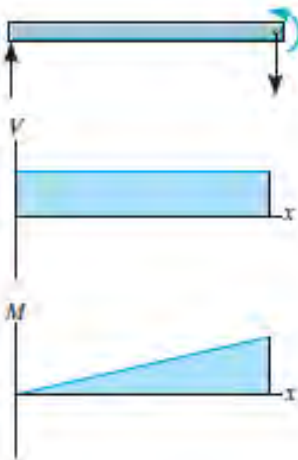
P6-1a.



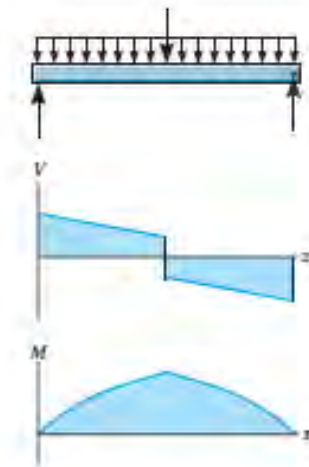
P6-1d.



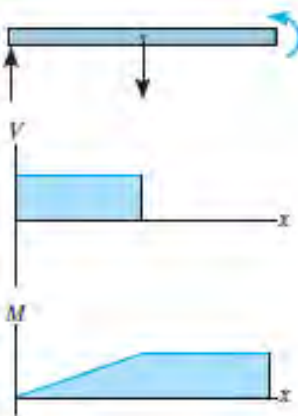
P6-1b.



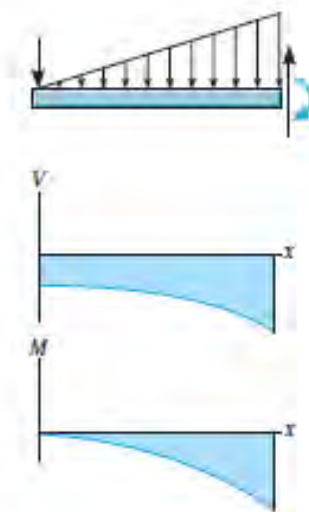
P6-1e.



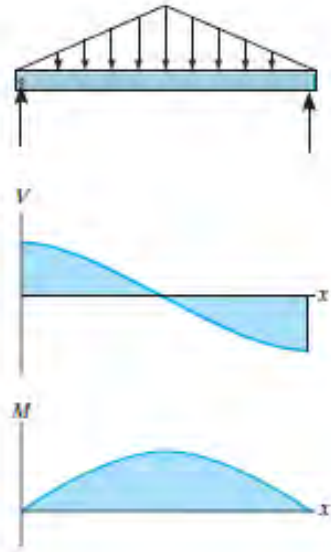
P6-1c.



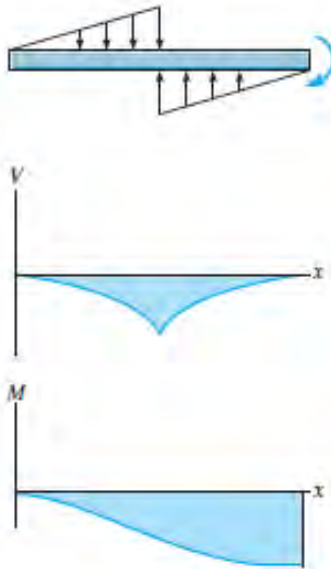
P6-1f.



P6-1g.



P6-1h.



P6-2.
$$I = \left[\frac{1}{12} (0.2 \text{ m})(0.4 \text{ m})^3 \right] - \left[\frac{1}{12} (0.1 \text{ m})(0.2 \text{ m})^3 \right]$$

$$= 1.0 (10^{-3}) \text{ m}^4$$

P6-3.

$$\bar{y} = \frac{\Sigma \bar{y} A}{\Sigma A} = \frac{(0.05 \text{ m})(0.2 \text{ m})(0.1 \text{ m}) + (0.25 \text{ m})(0.1 \text{ m})(0.3 \text{ m})}{(0.2 \text{ m})(0.1 \text{ m}) + (0.1 \text{ m})(0.3 \text{ m})}$$

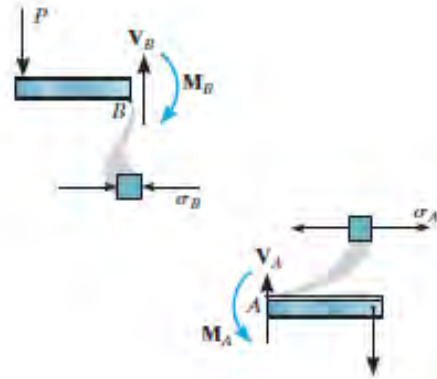
$$= 0.17 \text{ m}$$

$$I = \left[\frac{1}{12} (0.2 \text{ m})(0.1 \text{ m})^3 + (0.2 \text{ m})(0.1 \text{ m})(0.17 \text{ m} - 0.05 \text{ m})^2 \right]$$

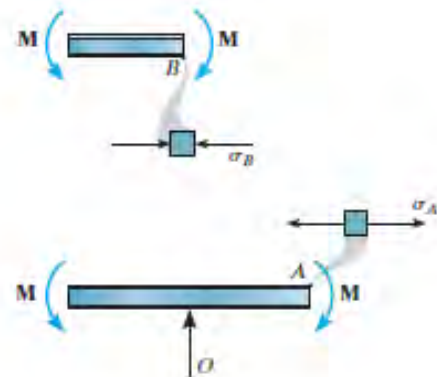
$$+ \left[\frac{1}{12} (0.1 \text{ m})(0.3 \text{ m})^3 + (0.1 \text{ m})(0.3 \text{ m})(0.25 \text{ m} - 0.17 \text{ m})^2 \right]$$

$$= 0.722 (10^{-3}) \text{ m}^4$$

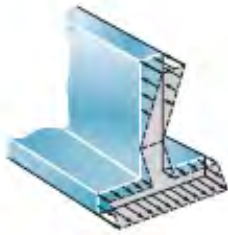
P6-4a.



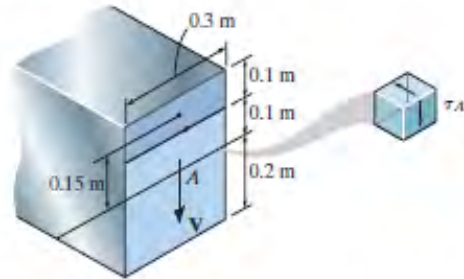
P6-4b.



P6-5a.



P7-1b.



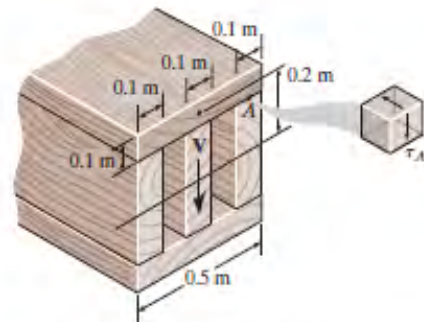
$$Q = \bar{y}'A' = (0.15 \text{ m})(0.3 \text{ m})(0.1 \text{ m}) = 4.5(10^{-3}) \text{ m}^3$$

$$t = 0.3 \text{ m}$$

P6-5b.



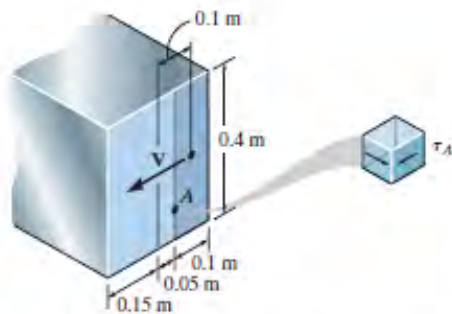
P7-1c.



$$Q = \bar{y}'A' = (0.2 \text{ m})(0.1 \text{ m})(0.5 \text{ m}) = 0.01 \text{ m}^3$$

$$t = 3(0.1 \text{ m}) = 0.3 \text{ m}$$

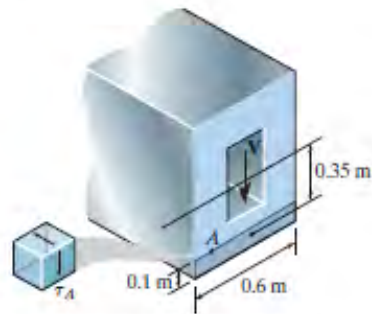
P7-1a.



$$Q = \bar{y}'A' = (0.1 \text{ m})(0.1 \text{ m})(0.4 \text{ m}) = 4(10^{-3}) \text{ m}^3$$

$$t = 0.4 \text{ m}$$

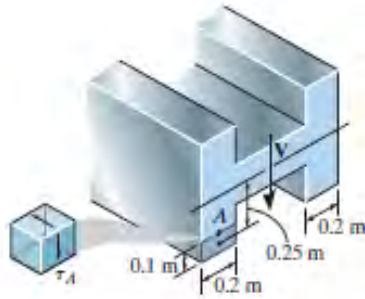
P7-1d.



$$Q = \bar{y}'A' = (0.35 \text{ m})(0.6 \text{ m})(0.1 \text{ m}) = 0.021 \text{ m}^3$$

$$t = 0.6 \text{ m}$$

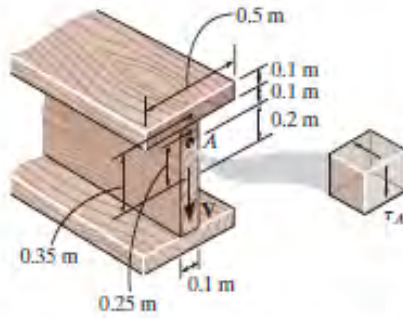
P7-1e.



$$Q = \bar{y}'A' = (0.25 \text{ m})(0.2 \text{ m})(0.1 \text{ m}) = 5(10^{-3}) \text{ m}^3$$

$$t = 0.2 \text{ m}$$

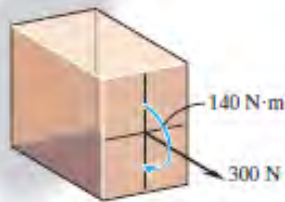
P7-1f.



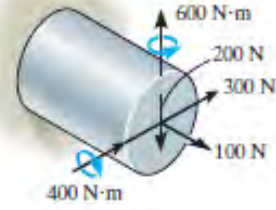
$$Q = \Sigma \bar{y}'A' = (0.25 \text{ m})(0.1 \text{ m})(0.1 \text{ m}) + (0.35 \text{ m})(0.1 \text{ m})(0.5 \text{ m}) = 0.02 \text{ m}^3$$

$$t = 0.1 \text{ m}$$

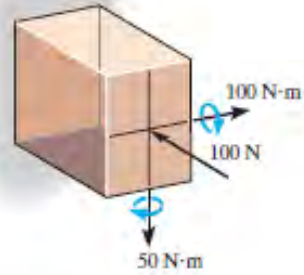
P8-1a.



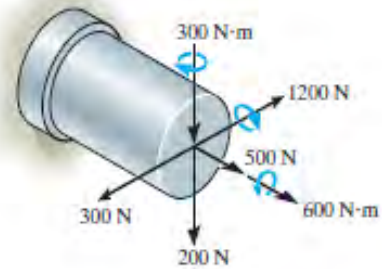
P8-1b.



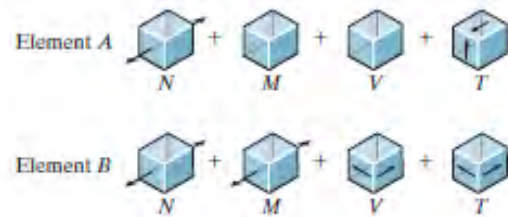
P8-1c.



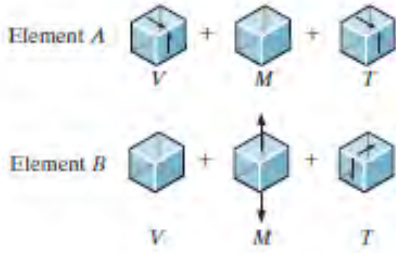
P8-1d.



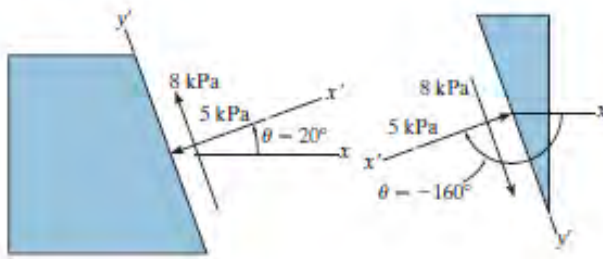
P8-2a.



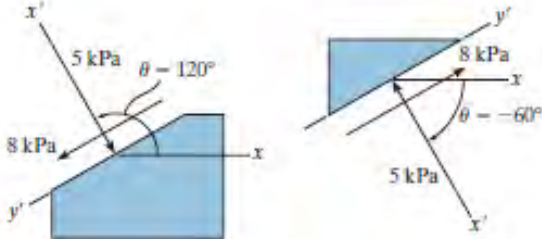
P8-2b.



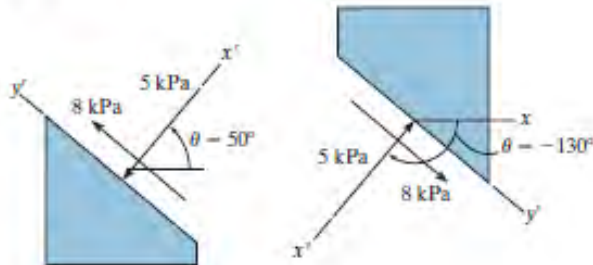
P9-1.



P9-1b.



P9-1c.



P9-2.

$$\tau_{\max} = \sqrt{\left(\frac{\sigma_x - \sigma_y}{2}\right)^2 + \tau_{xy}^2} = \sqrt{\left(\frac{4 - (-4)}{2}\right)^2 + (0)^2}$$

$$= 4 \text{ MPa}$$

$$\sigma_{\text{avg}} = \frac{\sigma_x + \sigma_y}{2} = \frac{4 - 4}{2} = 0$$

$$\tan 2\theta_s = \frac{(\sigma_x - \sigma_y)/2}{\tau_{xy}} = \frac{[4 - (-4)]/2}{0} = -\infty$$

$$\theta_s = -45^\circ$$

$$\tau_{x'y'} = \frac{\sigma_x - \sigma_y}{2} \sin 2\theta + \tau_{xy} \cos 2\theta$$

$$= \frac{4 - (-4)}{2} \sin 2(-45^\circ) + 0 = 4 \text{ MPa}$$

P12-1a.

$$M = (8x - 32) \text{ kN} \cdot \text{m}$$

$$x = 0, \frac{dM}{dx} = 0$$

$$x = 0, y = 0$$

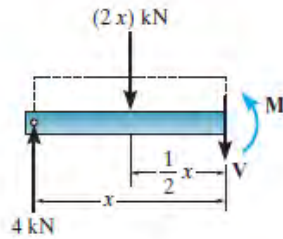
P12-1b.

$$M = (5x) \text{ kN} \cdot \text{m}$$

$$x = 0, y = 0$$

$$x = 2 \text{ m}, y = 0$$

P12-1c.

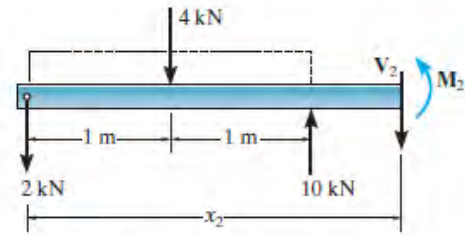


$$M = 4x - (2x)\left(\frac{1}{2}x\right)$$

$$M = (4x - x^2) \text{ kN} \cdot \text{m}$$

$$x = 0, \quad y = 0$$

$$x = 4 \text{ m}, \quad y = 0$$



$$M_2 = 10(x_2 - 2) - 4(x_2 - 1) - 2x_2$$

$$M_2 = (4x_2 - 16) \text{ kN} \cdot \text{m}$$

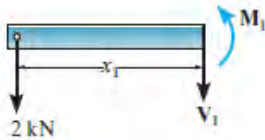
$$x_1 = 0, \quad y_1 = 0$$

$$x_1 = 2 \text{ m}, \quad y_1 = 0$$

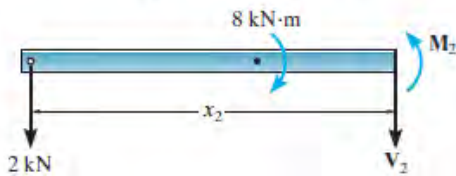
$$x_2 = 2 \text{ m}, \quad y_2 = 0$$

$$x_1 = x_2 = 2 \text{ m}, \quad \frac{dy_1}{dx_1} = \frac{dy_2}{dx_2}$$

P12-1d.



$$M_1 = (-2x_1) \text{ kN} \cdot \text{m}$$



$$M_2 = (-2x + 8) \text{ kN} \cdot \text{m}$$

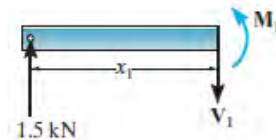
$$x_1 = 0, \quad y_1 = 0$$

$$x_2 = 4 \text{ m}, \quad y_2 = 0$$

$$x_1 = x_2 = 2 \text{ m}, \quad \frac{dy_1}{dx_1} = \frac{dy_2}{dx_2}$$

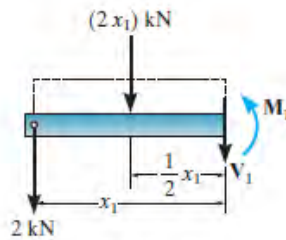
$$x_1 = x_2 = 2 \text{ m}, \quad y_1 = y_2$$

P12-1f.



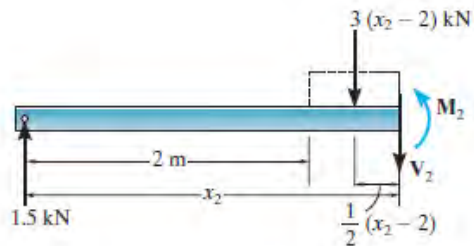
$$M_1 = (1.5x_1) \text{ kN} \cdot \text{m}$$

P12-1e.



$$M_1 = -2x_1 - (2x_1)\left(\frac{1}{2}x_1\right)$$

$$M_1 = (-2x_1 - x_1^2) \text{ kN} \cdot \text{m}$$



$$M_2 = 1.5x_2 - 3(x_2 - 2)\left(\frac{1}{2}\right)(x_2 - 2)$$

$$M_2 = -1.5x_2^2 + 7.5x_2 - 6$$

$$x_1 = 0, \quad y_1 = 0$$

$$x_2 = 4 \text{ m}, \quad y_2 = 0$$

$$x_1 = x_2 = 2 \text{ m}, \quad \frac{dy_1}{dx_1} = \frac{dy_2}{dx_2}$$

$$x_1 = x_2 = 2 \text{ m}, \quad y_1 = y_2$$

بنسټيز پوښتنو ځوابونه

ضمیمه (APPENDIX)

د بنسټيزي پوښتنو ځوابونه (Fundamental Problems Partial Solutions and Answers)

په دې برخه کې د پوښتنو اول ټکي د پښتو او انگليسي
په دې لاندې ډول بدل شوي دي . حرف د F بدل کړي
په ب

د بيلگي په توگه

$$F \ 1-1 = \ 1-1 \text{ ب}$$

Fundamental Problems Partial Solutions and Answers

Chapter 1

F1-1	Entire beam:			
	$\zeta + \Sigma M_B = 0;$	$60 - 10(2) - A_y(2) = 0$	$A_y = 20 \text{ kN}$	
	Left segment:			
	$\rightarrow \Sigma F_x = 0;$	$N_C = 0$		<i>Ans.</i>
	$+\uparrow \Sigma F_y = 0;$	$20 - V_C = 0$	$V_C = 20 \text{ kN}$	<i>Ans.</i>
	$\zeta + \Sigma M_C = 0;$	$M_C + 60 - 20(1) = 0$	$M_C = -40 \text{ kN} \cdot \text{m}$	<i>Ans.</i>
F1-2	Entire beam:			
	$\zeta + \Sigma M_A = 0;$	$B_y(3) - 100(1.5)(0.75) - 200(1.5)(2.25) = 0$ $B_y = 262.5 \text{ N}$		
	Right segment:			
	$\rightarrow \Sigma F_x = 0;$	$N_C = 0$		<i>Ans.</i>
	$+\uparrow \Sigma F_y = 0;$	$V_C + 262.5 - 200(1.5) = 0$	$V_C = 37.5 \text{ N}$	<i>Ans.</i>
	$\zeta + \Sigma M_C = 0;$	$262.5(1.5) - 200(1.5)(0.75) - M_C = 0$	$M_C = 169 \text{ N} \cdot \text{m}$	<i>Ans.</i>
F1-3	Entire beam:			
	$\rightarrow \Sigma F_x = 0;$	$B_x = 0$		
	$\zeta + \Sigma M_A = 0;$	$20(2)(1) - B_y(4) = 0$	$B_y = 10 \text{ kN}$	
	Right segment:			
	$\rightarrow \Sigma F_x = 0;$	$N_C = 0$		<i>Ans.</i>
	$+\uparrow \Sigma F_y = 0;$	$V_C - 10 = 0$	$V_C = 10 \text{ kN}$	<i>Ans.</i>
	$\zeta + \Sigma M_C = 0;$	$-M_C - 10(2) = 0$	$M_C = -20 \text{ kN} \cdot \text{m}$	<i>Ans.</i>
F1-4	Entire beam:			
	$\zeta + \Sigma M_B = 0;$	$\frac{1}{2}(10)(3)(2) + 10(3)(4.5) - A_y(6) = 0$	$A_y = 27.5 \text{ kN}$	
	Left segment:			
	$\rightarrow \Sigma F_x = 0;$	$N_C = 0$		<i>Ans.</i>
	$+\uparrow \Sigma F_y = 0;$	$27.5 - 10(3) - V_C = 0$	$V_C = -2.5 \text{ kN}$	<i>Ans.</i>
	$\zeta + \Sigma M_C = 0;$	$M_C + 10(3)(1.5) - 27.5(3) = 0$	$M_C = 37.5 \text{ kN} \cdot \text{m}$	<i>Ans.</i>
F1-5	Entire beam:			
	$\rightarrow \Sigma F_x = 0;$	$A_x = 0$		
	$\zeta + \Sigma M_B = 0;$	$300(6)(3) - \frac{1}{2}(300)(3)(1) - A_y(6) = 0$	$A_y = 825 \text{ lb}$	
	Left segment:			
	$\rightarrow \Sigma F_x = 0;$	$N_C = 0$		<i>Ans.</i>
	$+\uparrow \Sigma F_y = 0;$	$825 - 300(3) - V_C = 0$	$V_C = -75 \text{ lb}$	<i>Ans.</i>
	$\zeta + \Sigma M_C = 0;$	$M_C + 300(3)(1.5) - 825(3) = 0$	$M_C = 1125 \text{ lb} \cdot \text{ft}$	<i>Ans.</i>

F1-6 Entire beam:

$$\begin{aligned} \zeta + \Sigma M_A = 0; & \quad F_{BD} \left(\frac{3}{5} \right) (4) - 5(6)(3) = 0 & \quad F_{BD} = 375 \text{ kN} \\ \rightarrow \Sigma F_x = 0; & \quad 37.5 \left(\frac{4}{5} \right) - A_x = 0 & \quad A_x = 30 \text{ kN} \\ + \uparrow \Sigma F_y = 0; & \quad A_y + 37.5 \left(\frac{3}{5} \right) - 5(6) = 0 & \quad A_y = 75 \text{ kN} \end{aligned}$$

Left segment:

$$\begin{aligned} \rightarrow \Sigma F_x = 0; & \quad N_C - 30 = 0 & \quad N_C = 30 \text{ kN} & \quad \text{Ans.} \\ + \uparrow \Sigma F_y = 0; & \quad 7.5 - 5(2) - V_C = 0 & \quad V_C = -2.5 \text{ kN} & \quad \text{Ans.} \\ \zeta + \Sigma M_C = 0; & \quad M_C + 5(2)(1) - 7.5(2) = 0 & \quad M_C = 5 \text{ kN} \cdot \text{m} & \quad \text{Ans.} \end{aligned}$$

F1-7 Beam:

$$\begin{aligned} \Sigma M_A = 0; T_{CD} = 2w \\ \Sigma F_y = 0; T_{AB} = w \end{aligned}$$

Rod AB:

$$\sigma = \frac{N}{A}; 300(10^3) = \frac{w}{10};$$

$$w = 3 \text{ N/m}$$

Rod CD:

$$\sigma = \frac{N}{A}; 300(10^3) = \frac{2w}{15};$$

$$w = 2.25 \text{ N/m}$$

F1-8 $A = \pi(0.1^2 - 0.08^2) = 3.6(10^{-3})\pi \text{ m}^2$

$$\sigma_{\text{avg}} = \frac{N}{A} = \frac{300(10^3)}{3.6(10^{-3})\pi} = 26.5 \text{ MPa} \quad \text{Ans.}$$

F1-9 $A = 3[4(1)] = 12 \text{ in}^2$

$$\sigma_{\text{avg}} = \frac{N}{A} = \frac{15}{12} = 1.25 \text{ ksi} \quad \text{Ans.}$$

F1-10 Consider the cross section to be a rectangle and two triangles.

$$\bar{y} = \frac{\Sigma \bar{y}A}{\Sigma A} = \frac{0.15[(0.3)(0.12)] + (0.1) \left[\frac{1}{2} (0.16)(0.3) \right]}{0.3(0.12) + \frac{1}{2} (0.16)(0.3)}$$

$$= 0.13 \text{ m} = 130 \text{ mm} \quad \text{Ans.}$$

$$\sigma_{\text{avg}} = \frac{N}{A} = \frac{600(10^3)}{0.06} = 10 \text{ MPa} \quad \text{Ans.}$$

F1-11

$$A_A = A_C = \frac{\pi}{4} (0.5^2) = 0.0625\pi \text{ in}^2, A_B = \frac{\pi}{4} (1^2) = 0.25\pi \text{ in}^2$$

$$\sigma_A = \frac{N_A}{A_A} = \frac{3}{0.0625\pi} = 15.3 \text{ ksi (T)} \quad \text{Ans.}$$

$$\sigma_B = \frac{N_B}{A_B} = \frac{-6}{0.25\pi} = -7.64 \text{ ksi} = 7.64 \text{ ksi (C)} \quad \text{Ans.}$$

$$\sigma_C = \frac{N_C}{A_C} = \frac{2}{0.0625\pi} = 10.2 \text{ ksi (T)} \quad \text{Ans.}$$

F1-12 Pin at A:

$$F_{AD} = 50(9.81) \text{ N} = 490.5 \text{ N}$$

$$+ \uparrow \Sigma F_y = 0; \quad F_{AC} \left(\frac{3}{5} \right) - 490.5 = 0 \quad F_{AC} = 817.5 \text{ N}$$

$$\rightarrow \Sigma F_x = 0; \quad 817.5 \left(\frac{4}{5} \right) - F_{AB} = 0 \quad F_{AB} = 654 \text{ N}$$

$$A_{AB} = \frac{\pi}{4} (0.008^2) = 16(10^{-6})\pi \text{ m}^2$$

$$(\sigma_{AB})_{\text{avg}} = \frac{F_{AB}}{A_{AB}} = \frac{654}{16(10^{-6})\pi} = 13.0 \text{ MPa} \quad \text{Ans.}$$

F1-13 Ring C:

$$+ \uparrow \Sigma F_y = 0; \quad 2F \cos 60^\circ - 200(9.81) = 0 \quad F = 1962 \text{ N}$$

$$(\sigma_{\text{allow}})_{\text{avg}} = \frac{F}{A}; \quad 150(10^6) = \frac{1962}{\frac{\pi}{4} d^2}$$

$$d = 0.00408 \text{ m} = 4.08 \text{ mm}$$

Use $d = 5 \text{ mm}$.

Ans.

F1-14 Entire frame:
 $\Sigma F_y = 0; A_y = 600 \text{ lb}$
 $\Sigma M_B = 0; A_x = 800 \text{ lb}$
 $F_A = \sqrt{(600)^2 + (800)^2} = 1000 \text{ lb}$
 $(\tau_A)_{\text{avg}} = \frac{F_A/2}{A} = \frac{1000/2}{\frac{\pi}{4}(0.25)^2} = 10.2 \text{ ksi}$ *Ans.*

F1-15 Center plate, bolts have double shear:
 $\Sigma F_x = 0; 4V - 10 = 0 \quad V = 2.5 \text{ kip}$
 $A = \frac{\pi}{4} \left(\frac{3}{4}\right)^2 = 0.140625\pi \text{ in}^2$
 $\tau_{\text{avg}} = \frac{V}{A} = \frac{2.5}{0.140625\pi} = 5.66 \text{ ksi}$ *Ans.*

F1-16 Nails have single shear:
 $\Sigma F_x = 0; P - 3V = 0 \quad V = \frac{P}{3}$
 $A = \frac{\pi}{4} (0.004)^2 = 4(10^{-6})\pi \text{ m}^2$
 $(\tau_{\text{avg}})_{\text{allow}} = \frac{V}{A}; 60(10^6) = \frac{P/3}{4(10^{-6})\pi}$
 $P = 2.262(10^3) \text{ N} = 2.26 \text{ kN}$ *Ans.*

F1-17 Strut:
 $\Sigma F_x = 0; V - P \cos 60^\circ = 0 \quad V = 0.5P$
 $A = \left(\frac{0.05}{\sin 60^\circ}\right)(0.025) = 1.4434(10^{-3}) \text{ m}^2$
 $(\tau_{\text{avg}})_{\text{allow}} = \frac{V}{A}; 600(10^3) = \frac{0.5P}{1.4434(10^{-3})}$
 $P = 1.732(10^3) \text{ N} = 1.73 \text{ kN}$ *Ans.*

F1-18 The resultant force on the pin is
 $F = \sqrt{30^2 + 40^2} = 50 \text{ kN}$.
 We have double shear:
 $V = \frac{F}{2} = \frac{50}{2} = 25 \text{ kN}$
 $A = \frac{\pi}{4} (0.03)^2 = 0.225(10^{-3})\pi \text{ m}^2$
 $\tau_{\text{avg}} = \frac{V}{A} = \frac{25(10^3)}{0.225(10^{-3})\pi} = 35.4 \text{ MPa}$ *Ans.*

F1-19 Eyebolt:
 $\Sigma F_x = 0; 30 - N = 0 \quad N = 30 \text{ kN}$
 $\sigma_{\text{allow}} = \frac{\sigma_Y}{\text{F.S.}} = \frac{250}{1.5} = 166.67 \text{ MPa}$
 $\sigma_{\text{allow}} = \frac{N}{A}; 166.67(10^6) = \frac{30(10^3)}{\frac{\pi}{4}d^2}$
 $d = 15.14 \text{ mm}$
 Use $d = 16 \text{ mm}$. *Ans.*

F1-20 Right segment through AB:
 $\Sigma F_x = 0; N_{AB} - 30 = 0 \quad N_{AB} = 30 \text{ kip}$

Right segment through CB:
 $\Sigma F_x = 0; N_{BC} - 15 - 15 - 30 = 0 \quad N_{BC} = 60 \text{ kip}$

$\sigma_{\text{allow}} = \frac{\sigma_Y}{\text{F.S.}} = \frac{50}{1.5} = 33.33 \text{ ksi}$

Segment AB:
 $\sigma_{\text{allow}} = \frac{N_{AB}}{A_{AB}}; 33.33 = \frac{30}{h_1(0.5)}$
 $h_1 = 1.8 \text{ in.}$

Segment BC:
 $\sigma_{\text{allow}} = \frac{N_{BC}}{A_{BC}}; 33.33 = \frac{60}{h_2(0.5)}$
 $h_2 = 3.6 \text{ in.}$

Use $h_1 = 1\frac{7}{8} \text{ in.}$ and $h_2 = 3\frac{5}{8} \text{ in.}$ *Ans.*

F1-21 $N = P$
 $\sigma_{\text{allow}} = \frac{\sigma_Y}{\text{F.S.}} = \frac{250}{2} = 125 \text{ MPa}$

$A_r = \frac{\pi}{4} (0.04)^2 = 1.2566(10^{-3}) \text{ m}^2$

$A_{a-a} = 2(0.06 - 0.03)(0.05) = 3(10^{-3}) \text{ m}^2$

The rod will fail first.

$\sigma_{\text{allow}} = \frac{N}{A_r}; 125(10^6) = \frac{P}{1.2566(10^{-3})}$
 $P = 15708(10^3) \text{ N} = 157 \text{ kN}$ *Ans.*

F1-22 Pin has double shear:
 $\Sigma F_x = 0; 80 - 2V = 0 \quad V = 40 \text{ kN}$

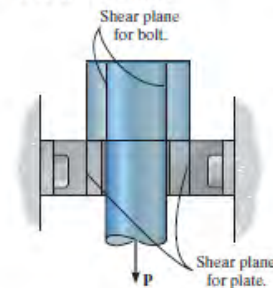
$\tau_{\text{allow}} = \frac{\tau_{\text{fail}}}{\text{F.S.}} = \frac{100}{2.5} = 40 \text{ MPa}$

$\tau_{\text{allow}} = \frac{V}{A}; 40(10^6) = \frac{40(10^3)}{\frac{\pi}{4}d^2}$

$d = 0.03568 \text{ m} = 35.68 \text{ mm}$

Use $d = 36 \text{ mm}$. *Ans.*

F1-23



$$V = P$$

$$\tau_{\text{allow}} = \frac{\tau_{\text{fail}}}{\text{F.S.}} = \frac{120}{2.5} = 48 \text{ MPa}$$

Area of shear plane for bolt head and plate:

$$A_b = \pi dt = \pi(0.04)(0.075) = 0.003\pi \text{ m}^2$$

$$A_p = \pi dt = \pi(0.08)(0.03) = 0.0024\pi \text{ m}^2$$

Since the area of shear plane for the plate is smaller,

$$\tau_{\text{allow}} = \frac{V}{A_p}; \quad 48(10^6) = \frac{P}{0.0024\pi}$$

$$P = 361.91(10^3) \text{ N} = 362 \text{ kN}$$

Ans.

F1-24 Support reaction at A:

$$\zeta + \sum M_B = 0; \quad \frac{1}{2}(300)(9)(6) - A_y(9) = 0 \quad A_y = 900 \text{ lb}$$

Each nail has single shear:

$$V = 900 \text{ lb}/6 = 150 \text{ lb}$$

$$\tau_{\text{allow}} = \frac{\tau_{\text{fail}}}{\text{F.S.}} = \frac{16}{2} = 8 \text{ ksi}$$

$$\tau_{\text{allow}} = \frac{V}{A}; \quad 8(10^3) = \frac{150}{\frac{\pi}{4}d^2}$$

$$d = 0.1545 \text{ in.}$$

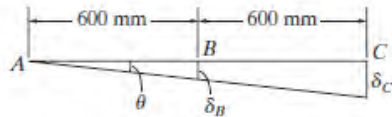
829 Use $d = \frac{3}{16}$ in.

Chapter 2

F2-1 $\frac{\delta_C}{600} = \frac{0.2}{400}; \quad \delta_C = 0.3 \text{ mm}$

$$\epsilon_{CD} = \frac{\delta_C}{L_{CD}} = \frac{0.3}{300} = 0.001 \text{ mm/mm}$$

F2-2



$$\theta = \left(\frac{0.02^\circ}{180^\circ}\right)\pi \text{ rad} = 0.3491(10^{-3}) \text{ rad}$$

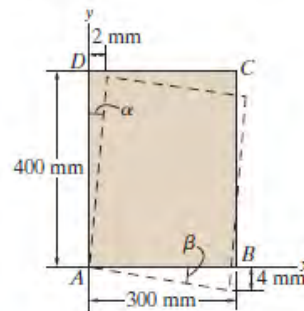
$$\delta_B = \theta L_{AB} = 0.3491(10^{-3})(600) = 0.2094 \text{ mm}$$

$$\delta_C = \theta L_{AC} = 0.3491(10^{-3})(1200) = 0.4189 \text{ mm}$$

$$\epsilon_{BD} = \frac{\delta_B}{L_{BD}} = \frac{0.2094}{400} = 0.524(10^{-3}) \text{ mm/mm}$$

$$\epsilon_{CE} = \frac{\delta_C}{L_{CE}} = \frac{0.4189}{600} = 0.698(10^{-3}) \text{ mm/mm}$$

F2-3

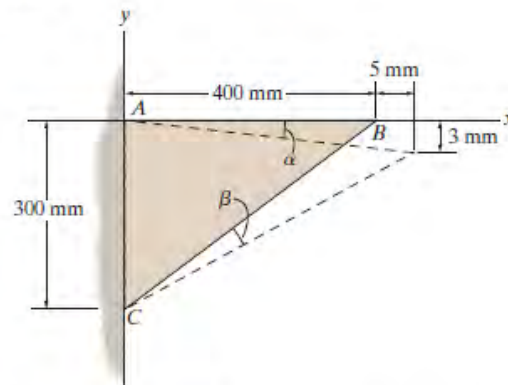


$$\alpha = \frac{2}{400} = 0.005 \text{ rad} \quad \beta = \frac{4}{300} = 0.01333 \text{ rad}$$

$$\begin{aligned} (\gamma_A)_{xy} &= \frac{\pi}{2} - \theta \\ &= \frac{\pi}{2} - \left(\frac{\pi}{2} - \alpha + \beta\right) \\ &= \alpha - \beta \\ &= 0.005 - 0.01333 \\ &= -0.00833 \text{ rad} \end{aligned}$$

Ans.

F2-4



Ans.

Ans.

$$L_{BC} = \sqrt{300^2 + 400^2} = 500 \text{ mm}$$

$$L_{B'C} = \sqrt{(300 - 3)^2 + (400 + 5)^2} = 502.2290 \text{ mm}$$

$$\alpha = \frac{3}{405} = 0.007407 \text{ rad}$$

$$(\epsilon_{BC})_{\text{avg}} = \frac{L_{B'C} - L_{BC}}{L_{BC}} = \frac{502.2290 - 500}{500}$$

Ans.

$$= 0.00446 \text{ mm/mm}$$

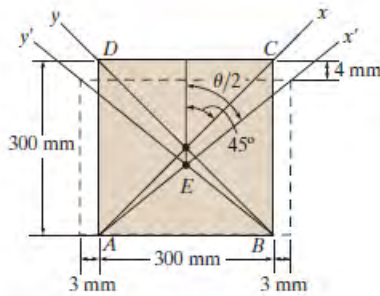
Ans.

$$(\gamma_A)_{xy} = \frac{\pi}{2} - \theta = \frac{\pi}{2} - \left(\frac{\pi}{2} + \alpha\right) = -\alpha = -0.00741 \text{ rad}$$

Ans.

Ans.

F2-5



$$L_{AC} = \sqrt{L_{CD}^2 + L_{AD}^2} = \sqrt{300^2 + 300^2} = 424.2641 \text{ mm}$$

$$L_{A'C'} = \sqrt{L_{C'D'}^2 + L_{A'D'}^2} = \sqrt{306^2 + 296^2} = 425.7370 \text{ mm}$$

$$\frac{\theta}{2} = \tan^{-1}\left(\frac{L_{C'D'}}{L_{A'D'}}\right); \theta = 2 \tan^{-1}\left(\frac{306}{296}\right) = 1.6040 \text{ rad}$$

$$(\epsilon_{AC})_{\text{avg}} = \frac{L_{A'C'} - L_{AC}}{L_{AC}} = \frac{425.7370 - 424.2641}{424.2641} = 0.00347 \text{ mm/mm} \quad \text{Ans.}$$

$$(\gamma_E)_{xy} = \frac{\pi}{2} - \theta = \frac{\pi}{2} - 1.6040 = -0.0332 \text{ rad} \quad \text{Ans.}$$

Chapter 3

- F3-1 Material has uniform properties throughout. *Ans.*
 F3-2 Proportional limit is A. *Ans.*
 Ultimate stress is D. *Ans.*
 F3-3 The initial slope of the $\sigma - \epsilon$ diagram. *Ans.*
 F3-4 True. *Ans.*
 F3-5 False. Use the *original* cross-sectional area and length. *Ans.*
 F3-6 False. It will normally decrease. *Ans.*

F3-7 $\epsilon = \frac{\sigma}{E} = \frac{N}{AE}$
 $\delta = \epsilon L = \frac{NL}{AE} = \frac{100(10^3)(0.100)}{\frac{\pi}{4}(0.015)^2 200(10^9)} = 0.283 \text{ mm} \quad \text{Ans.}$

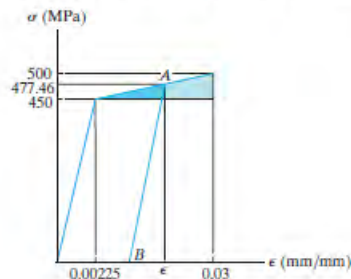
F3-8 $\epsilon = \frac{\sigma}{E} = \frac{N}{AE}$
 $\delta = \epsilon L = \frac{NL}{AE}$
 $0.003 = \frac{(10\,000)(8)}{12E}$
 $E = 2.22(10^6) \text{ psi} \quad \text{Ans.}$

F3-9 $\epsilon = \frac{\sigma}{E} = \frac{N}{AE}$
 $\delta = \epsilon L = \frac{NL}{AE} = \frac{6(10^3)4}{\frac{\pi}{4}(0.01)^2 100(10^9)} = 3.06 \text{ mm} \quad \text{Ans.}$

F3-10 $\sigma = \frac{N}{A} = \frac{100(10^3)}{\frac{\pi}{4}(0.02)^2} = 318.31 \text{ MPa}$
 Since $\sigma < \sigma_Y = 450 \text{ MPa}$, Hooke's Law is applicable.
 $E = \frac{\sigma_Y}{\epsilon_Y} = \frac{450(10^6)}{0.00225} = 200 \text{ GPa}$
 $\epsilon = \frac{\sigma}{E} = \frac{318.31(10^6)}{200(10^9)} = 0.001592 \text{ mm/mm}$
 $\delta = \epsilon L = 0.001592(50) = 0.0796 \text{ mm} \quad \text{Ans.}$

F3-11 $\sigma = \frac{N}{A} = \frac{150(10^3)}{\frac{\pi}{4}(0.02)^2} = 477.46 \text{ MPa}$
 Since $\sigma > \sigma_Y = 450 \text{ MPa}$, Hooke's Law is not applicable. From the geometry of the shaded triangle,
 $\frac{\epsilon - 0.00225}{0.03 - 0.00225} = \frac{477.46 - 450}{500 - 450}$
 $\epsilon = 0.017493$

When the load is removed, the strain recovers along a line AB which is parallel to the original elastic line.
 Here $E = \frac{\sigma_Y}{\epsilon_Y} = \frac{450(10^6)}{0.00225} = 200 \text{ GPa}$.
 The elastic recovery is
 $\epsilon_r = \frac{\sigma}{E} = \frac{477.46(10^6)}{200(10^9)} = 0.002387 \text{ mm/mm}$
 $\epsilon_p = \epsilon - \epsilon_r = 0.017493 - 0.002387 = 0.01511 \text{ mm/mm}$
 $\delta_p = \epsilon_p L = 0.01511(50) = 0.755 \text{ mm} \quad \text{Ans.}$

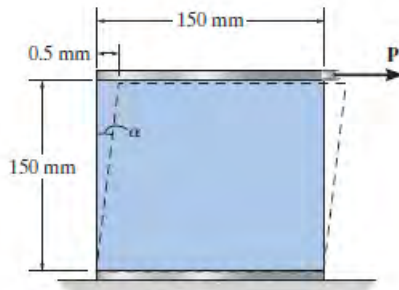


F3-12 $\epsilon_{BC} = \frac{\delta_{BC}}{L_{BC}} = \frac{0.2}{300} = 0.6667(10^{-3}) \text{ mm/mm}$
 $\sigma_{BC} = E\epsilon_{BC} = 200(10^9)[0.6667(10^{-3})]$
 $= 133.33 \text{ MPa}$
 Since $\sigma_{BC} < \sigma_Y = 250 \text{ MPa}$, Hooke's Law is valid.
 $\sigma_{BC} = \frac{F_{BC}}{A_{BC}}; \quad 133.33(10^6) = \frac{F_{BC}}{\frac{\pi}{4}(0.003^2)}$
 $F_{BC} = 942.48 \text{ N}$
 $\zeta + \sum M_A = 0; \quad 942.48(0.4) - P(0.6) = 0$
 $P = 628.31 \text{ N} = 628 \text{ N}$ *Ans*

F3-13 $\sigma = \frac{N}{A} = \frac{10(10^3)}{\frac{\pi}{4}(0.015)^2} = 56.59 \text{ MPa}$
 $\epsilon_{\text{long}} = \frac{\sigma}{E} = \frac{56.59(10^6)}{70(10^9)} = 0.808(10^{-3})$
 $\epsilon_{\text{lat}} = -\nu\epsilon_{\text{long}} = -0.35(0.808(10^{-3}))$
 $= -0.283(10^{-3})$
 $\delta d = (-0.283(10^{-3}))(15 \text{ mm}) = -4.24(10^{-3}) \text{ mm}$ *Ans*

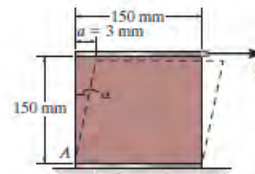
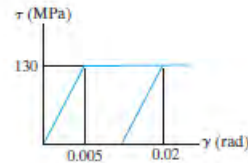
F3-14 $\sigma = \frac{N}{A} = \frac{50(10^3)}{\frac{\pi}{4}(0.02)^2} = 159.15 \text{ MPa}$
 $\epsilon_{\text{long}} = \frac{\delta}{L} = \frac{1.40}{600} = 0.002333 \text{ mm/mm}$
 $E = \frac{\sigma}{\epsilon_{\text{long}}} = \frac{159.15(10^6)}{0.002333} = 68.2 \text{ GPa}$ *Ans*
 $\epsilon_{\text{lat}} = \frac{d' - d}{d} = \frac{19.9837 - 20}{20} = -0.815(10^{-3}) \text{ mm/mm}$
 $\nu = \frac{\epsilon_{\text{lat}}}{\epsilon_{\text{long}}} = \frac{-0.815(10^{-3})}{0.002333} = 0.3493$
 $G = \frac{E}{2(1 + \nu)} = \frac{68.21}{2(1 + 0.3493)} = 25.3 \text{ GPa}$ *Ans*

F3-15



$\alpha = \frac{0.5}{150} = 0.003333 \text{ rad}$
 $\gamma = \frac{\pi}{2} - \theta = \frac{\pi}{2} - \left(\frac{\pi}{2} - \alpha\right)$
 $= \alpha = 0.003333 \text{ rad}$
 $\tau = G\gamma = [26(10^9)](0.003333) = 86.67 \text{ MPa}$
 $\tau = \frac{V}{A}; \quad 86.67(10^6) = \frac{P}{0.15(0.02)}$
 $P = 260 \text{ kN}$ *Ans*

F3-16



$\alpha = \frac{3}{150} = 0.02 \text{ rad}$
 $\gamma = \frac{\pi}{2} - \theta = \frac{\pi}{2} - \left(\frac{\pi}{2} - \alpha\right) = \alpha = 0.02 \text{ rad}$
 When P is removed, the shear strain recovers along a line parallel to the original elastic line.
 $\gamma_r = \gamma_Y = 0.005 \text{ rad}$
 $\gamma_p = \gamma - \gamma_r = 0.02 - 0.005 = 0.015 \text{ rad}$ *Ans*

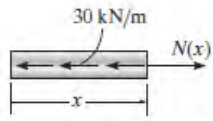
Chapter 4

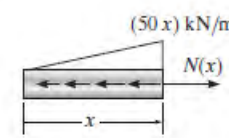
F4-1 $A = \frac{\pi}{4}(0.02^2) = 0.1(10^{-3})\pi \text{ m}^2$
 $N_{BC} = 40 \text{ kN}, N_{AB} = -60 \text{ kN}$
 $\delta_C = \frac{1}{AE} \{40(10^3)(400) + [-60(10^3)(600)]\}$
 $= \frac{-20(10^6) \text{ N} \cdot \text{mm}}{AE}$
 $= -0.318 \text{ mm}$ *Ans*

F4-2 $A_{AB} = A_{CD} = \frac{\pi}{4}(0.02^2) = 0.1(10^{-3})\pi \text{ m}^2$
 $A_{BC} = \frac{\pi}{4}(0.04^2 - 0.03^2) = 0.175(10^{-3})\pi \text{ m}^2$
 $N_{AB} = -10 \text{ kN}, N_{BC} = 10 \text{ kN}, N_{CD} = -20 \text{ kN}$
 $\delta_{D/A} = \frac{[-10(10^3)](400)}{[0.1(10^{-3})\pi][68.9(10^9)]} + \frac{[10(10^3)](400)}{[0.175(10^{-3})\pi][68.9(10^9)]} + \frac{[-20(10^3)](400)}{[0.1(10^{-3})\pi][68.9(10^9)]}$
 $= -0.449 \text{ mm}$ *Ans.*

F4-3 $A = \frac{\pi}{4}(0.03^2) = 0.225(10^{-3})\pi \text{ m}^2$
 $N_{BC} = -90 \text{ kN}, N_{AB} = -90 + 2\left(\frac{4}{5}\right)(30) = -42 \text{ kN}$
 $\delta_C = \frac{1}{0.225(10^{-3})\pi[200(10^9)]} \{ [-42(10^3)(0.4)] + [-90(10^3)(0.6)] \}$
 $= -0.501(10^{-3}) \text{ m} = -0.501 \text{ mm}$ *Ans.*

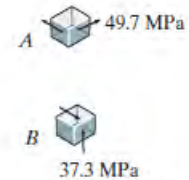
F4-4 $\delta_{A/B} = \frac{NL}{AE} = \frac{[60(10^3)](0.8)}{[0.1(10^{-3})\pi][200(10^9)]}$
 $= 0.7639(10^{-3}) \text{ m} \downarrow$
 $\delta_B = \frac{F_{sp}}{k} = \frac{60(10^3)}{50(10^6)} = 1.2(10^{-3}) \text{ m} \downarrow$
 $\downarrow \delta_A = \delta_B + \delta_{A/B}$
 $\delta_A = 1.2(10^{-3}) + 0.7639(10^{-3})$
 $= 1.9639(10^{-3}) \text{ m} = 1.96 \text{ mm} \downarrow$ *Ans.*

F4-5 
 $A = \frac{\pi}{4}(0.02^2) = 0.1(10^{-3})\pi \text{ m}^2$
 Internal load $N(x) = 30(10^3)x$
 $\delta_A = \int \frac{N(x)dx}{AE}$
 $= \frac{1}{[0.1(10^{-3})\pi][73.1(10^9)]} \int_0^{0.9 \text{ m}} 30(10^3)x \text{ dx}$
 $= 0.529(10^{-3}) \text{ m} = 0.529 \text{ mm}$ *Ans.*

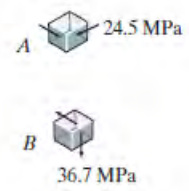
F4-6 
 Distributed load $N(x) = \frac{45(10^3)}{0.9}x = 50(10^3)x \text{ N/m}$
 Internal load $N(x) = \frac{1}{2}(50(10^3))x(x) = 25(10^3)x^2$
 $\delta_A = \int_0^L \frac{N(x)dx}{AE}$
 $= \frac{1}{[0.1(10^{-3})\pi][73.1(10^9)]} \int_0^{0.9 \text{ m}} [25(10^3)x^2]dx$
 $= 0.265 \text{ mm}$ *Ans.*

Chapter 5

F5-1 $J = \frac{\pi}{2}(0.04^4) = 1.28(10^{-6})\pi \text{ m}^4$
 $\tau_A = \tau_{\max} = \frac{Tc}{J} = \frac{5(10^3)(0.04)}{1.28(10^{-6})\pi} = 49.7 \text{ MPa}$ *Ans.*
 $\tau_B = \frac{T\rho_B}{J} = \frac{5(10^3)(0.03)}{1.28(10^{-6})\pi} = 37.3 \text{ MPa}$ *Ans.*



F5-2 $J = \frac{\pi}{2}(0.06^4 - 0.04^4) = 5.2(10^{-6})\pi \text{ m}^4$
 $\tau_B = \tau_{\max} = \frac{Tc}{J} = \frac{10(10^3)(0.06)}{5.2(10^{-6})\pi} = 36.7 \text{ MPa}$ *Ans.*
 $\tau_A = \frac{T\rho_A}{J} = \frac{10(10^3)(0.04)}{5.2(10^{-6})\pi} = 24.5 \text{ MPa}$ *Ans.*



F5-3 $J_{AB} = \frac{\pi}{2}(0.04^4 - 0.03^4) = 0.875(10^{-6})\pi \text{ m}^4$

$J_{BC} = \frac{\pi}{2}(0.04^4) = 1.28(10^{-6})\pi \text{ m}^4$

$(\tau_{AB})_{\max} = \frac{T_{AB} c_{AB}}{J_{AB}} = \frac{[2(10^3)](0.04)}{0.875(10^{-6})\pi} = 29.1 \text{ MPa}$

$(\tau_{BC})_{\max} = \frac{T_{BC} c_{BC}}{J_{BC}} = \frac{[6(10^3)](0.04)}{1.28(10^{-6})\pi} = 59.7 \text{ MPa}$

Ans.

F5-4 $T_{AB} = 0, T_{BC} = 600 \text{ N} \cdot \text{m}, T_{CD} = 0$

$J = \frac{\pi}{2}(0.02^4) = 80(10^{-9})\pi \text{ m}^4$

$\tau_{\max} = \frac{T_C}{J} = \frac{600(0.02)}{80(10^{-9})\pi} = 47.7 \text{ MPa}$

Ans.

F5-5 $J_{BC} = \frac{\pi}{2}(0.04^4 - 0.03^4) = 0.875(10^{-6})\pi \text{ m}^4$

$(\tau_{BC})_{\max} = \frac{T_{BC} c_{BC}}{J_{BC}} = \frac{2100(0.04)}{0.875(10^{-6})\pi} = 30.6 \text{ MPa}$

Ans.

F5-6 $t = 5(10^3) \text{ N} \cdot \text{m/m}$

Internal torque is $T = 5(10^3)(0.8) = 4000 \text{ N} \cdot \text{m}$

$J = \frac{\pi}{2}(0.04^4) = 1.28(10^{-6})\pi \text{ m}^4$

$\tau_{AB} = \frac{T c}{J} = \frac{4000(0.04)}{1.28(10^{-6})\pi} = 39.8 \text{ MPa}$

Ans.

F5-7 $T_{AB} = 250 \text{ N} \cdot \text{m}, T_{BC} = 175 \text{ N} \cdot \text{m}, T_{CD} = -150 \text{ N} \cdot \text{m}$

Maximum internal torque is in region AB.

$T_{AB} = 250 \text{ N} \cdot \text{m}$

$\tau_{\max}^{\text{abs}} = \frac{T_{AB} c}{J} = \frac{250(0.025)}{\frac{\pi}{2}(0.025)^4} = 10.2 \text{ MPa}$

Ans.

F5-8 $P = T\omega; 3(550) \text{ ft} \cdot \text{lb/s} = T \left[150 \left(\frac{2\pi}{60} \right) \text{ rad/s} \right]$

$T = 105.04 \text{ ft} \cdot \text{lb}$

$\tau_{\text{allow}} = \frac{T_C}{J}; 12(10^3) = \frac{105.04(12)(d/2)}{\frac{\pi}{2}(d/2)^4}$

$d = 0.812 \text{ in.}$

Use $d = \frac{7}{8} \text{ in.}$

Ans.

F5-9 $T_{AB} = -2 \text{ kN} \cdot \text{m}, T_{BC} = 1 \text{ kN} \cdot \text{m}$

$J = \frac{\pi}{2}(0.03^4) = 0.405(10^{-6})\pi \text{ m}^4$

$\phi_{A/C} = \frac{-2(10^3)(0.6) + (10^3)(0.4)}{[0.405(10^{-6})\pi][75(10^9)]} = -0.00838 \text{ rad} = -0.480^\circ$

Ans.

F5-10 $T_{AB} = 600 \text{ N} \cdot \text{m}$

$J = \frac{\pi}{2}(0.02^4) = 80(10^{-9})\pi \text{ m}^4$

$\phi_{B/A} = \frac{600(0.45)}{[80(10^{-9})\pi][75(10^9)]} = 0.01432 \text{ rad} = 0.821^\circ$

Ans.

F5-11 $J = \frac{\pi}{2}(0.04^4 - 0.03^4) = 0.875(10^{-6})\pi \text{ m}^4$

$\phi_{A/B} = \frac{T_{AB} L_{AB}}{JG} = \frac{3(10^3)(0.9)}{[0.875(10^{-6})\pi][26(10^9)]} = 0.03778 \text{ rad}$

$\phi_B = \frac{T_B}{k_B} = \frac{3(10^3)}{90(10^3)} = 0.03333 \text{ rad}$

$\phi_A = \phi_B + \phi_{A/B}$

$= 0.03333 + 0.03778$

$= 0.07111 \text{ rad} = 4.07^\circ$

Ans.

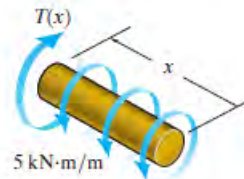
F5-12 $T_{AB} = 600 \text{ N} \cdot \text{m}, T_{BC} = -300 \text{ N} \cdot \text{m}, T_{CD} = 200 \text{ N} \cdot \text{m}, T_{DE} = 500 \text{ N} \cdot \text{m}$

$J = \frac{\pi}{2}(0.02^4) = 80(10^{-9})\pi \text{ m}^4$

$\phi_{E/A} = \frac{[600 + (-300) + 200 + 500]0.2}{[80(10^{-9})\pi][75(10^9)]} = 0.01061 \text{ rad} = 0.608^\circ$

Ans.

F5-13



$J = \frac{\pi}{2}(0.04^4) = 1.28(10^{-6})\pi \text{ m}^4$

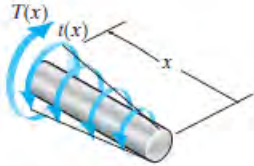
$t = 5(10^3) \text{ N} \cdot \text{m/m}$

Internal torque is $5(10^3)x \text{ N} \cdot \text{m}$

$$\begin{aligned} \phi_{A/B} &= \int_0^L \frac{T(x)dx}{JG} \\ &= \frac{1}{[1.28(10^{-6})\pi][75(10^9)]} \int_0^{0.8 \text{ m}} 5(10^3)x dx \\ &= 0.00531 \text{ rad} = 0.304^\circ \end{aligned}$$

Ans.

F5-14



$$J = \frac{\pi}{2} (0.04^4) = 1.28(10^{-6})\pi \text{ m}^4$$

$$\begin{aligned} \text{Distributed torque is } t &= \frac{15(10^3)}{0.6} (x) \\ &= 25(10^3)x \text{ N} \cdot \text{m/m} \end{aligned}$$

$$\begin{aligned} \text{Internal torque in segment } AB, T(x) &= \frac{1}{2} (25x)(10^3)(x) \\ &= 12.5(10^3)x^2 \text{ N} \cdot \text{m} \end{aligned}$$

In segment BC,

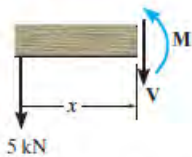
$$T_{BC} = \frac{1}{2} [25(10^3)(0.6)](0.6) = 4500 \text{ N} \cdot \text{m}$$

$$\begin{aligned} \phi_{A/C} &= \int_0^L \frac{T(x)dx}{JG} + \frac{T_{BC}L_{BC}}{JG} \\ &= \frac{1}{[1.28(10^{-6})\pi][75(10^9)]} \left[\int_0^{0.6 \text{ m}} 12.5(10^3)x^2 dx + 4500(0.4) \right] \\ &= 0.008952 \text{ rad} = 0.513^\circ \end{aligned}$$

Ans.

Chapter 6

F6-1



5 kN

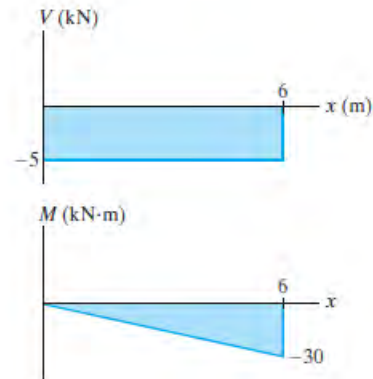
$$\zeta + \sum M_B = 0; \quad A_y(6) - 30 = 0 \quad A_y = 5 \text{ kN}$$

$$+\uparrow \sum F_y = 0; \quad -V - 5 = 0 \quad V = -5 \text{ kN}$$

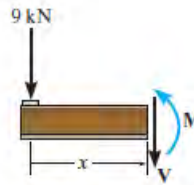
Ans.

$$\zeta + \sum M_0 = 0; \quad M + 5x = 0 \quad M = \{-5x\} \text{ kN} \cdot \text{m}$$

Ans.

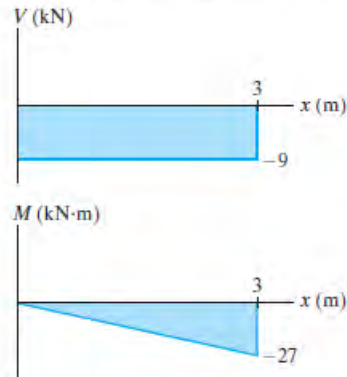


F6-2

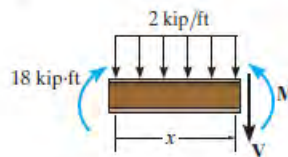


$$+\uparrow \sum F_y = 0; \quad -V - 9 = 0 \quad V = -9 \text{ kN} \quad \text{Ans.}$$

$$\zeta + \sum M_O = 0; \quad M + 9x = 0 \quad M = \{-9x\} \text{ kN} \cdot \text{m} \quad \text{Ans.}$$

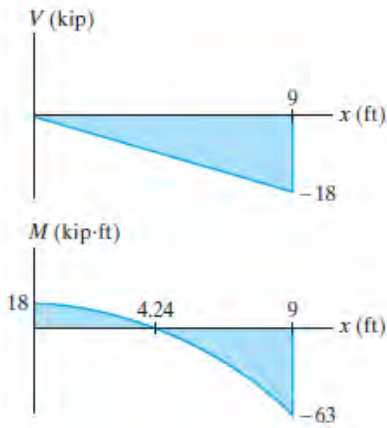


F6-3

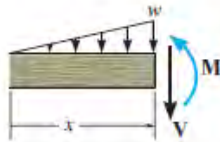


$$+\uparrow \sum F_y = 0; \quad -V - 2x = 0 \quad V = \{-2x\} \text{ kip} \quad \text{Ans.}$$

$$\zeta + \sum M_O = 0; \quad M + 2x\left(\frac{x}{2}\right) - 18 = 0 \quad M = \{18 - x^2\} \text{ kip} \cdot \text{ft} \quad \text{Ans.}$$



F6-4



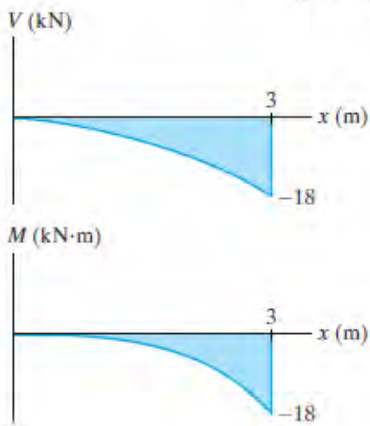
$$\frac{w}{x} = \frac{12}{3} \quad w = 4x$$

$$+\uparrow \sum F_y = 0; \quad -V - \frac{1}{2}(4x)(x) = 0$$

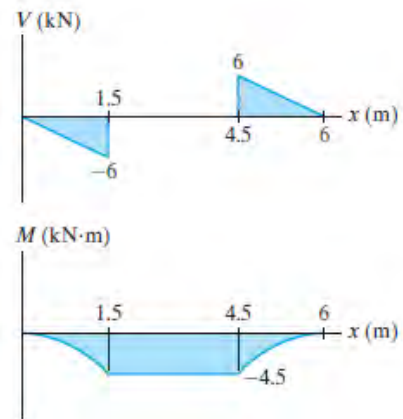
$$V = \{-2x^2\} \text{ kN} \quad \text{Ans.}$$

$$\zeta + \sum M_O = 0; \quad M + \left[\frac{1}{2}(4x)(x) \right] \left(\frac{x}{3} \right) = 0$$

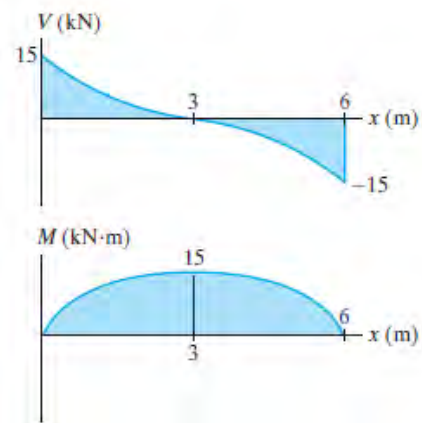
$$M = \left\{ -\frac{2}{3}x^3 \right\} \text{ kN} \cdot \text{m} \quad \text{Ans.}$$



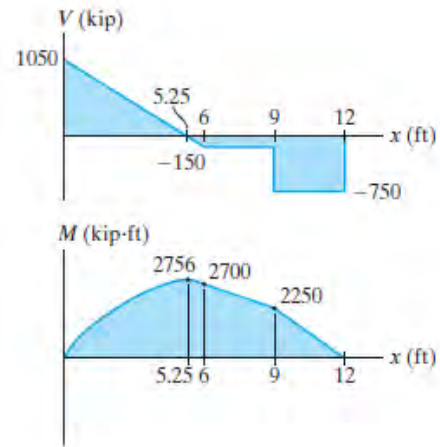
F6-5

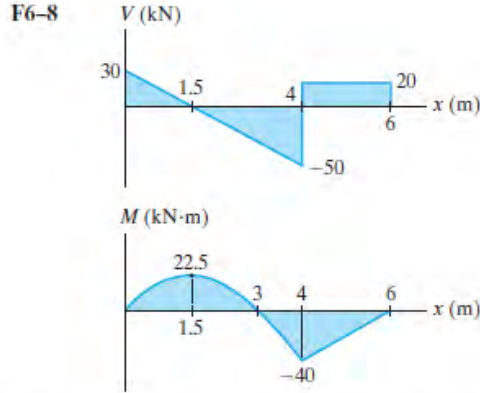


F6-6



F6-7





F6-9 Consider two vertical rectangles and a horizontal rectangle.

$$I = 2 \left[\frac{1}{12} (0.02)(0.2^3) \right] + \frac{1}{12} (0.26)(0.02^3)$$

$$= 26.84(10^{-6}) \text{ m}^4$$

$$\sigma_{\max} = \frac{Mc}{I} = \frac{20(10^3)(0.1)}{26.84(10^{-6})} = 74.5 \text{ MPa} \quad \text{Ans.}$$

F6-10 See inside front cover.

$$\bar{y} = \frac{0.5}{3} = 0.1 \text{ m}$$

$$I = \frac{1}{36} (0.3)(0.3^3) = 0.225(10^{-3}) \text{ m}^4$$

$$(\sigma_{\max})_c = \frac{Mc}{I} = \frac{50(10^3)(0.3 - 0.1)}{0.225(10^{-3})}$$

$$= 44.4 \text{ MPa (C)} \quad \text{Ans.}$$

$$(\sigma_{\max})_t = \frac{My}{I} = \frac{50(10^3)(0.1)}{0.225(10^{-3})} = 22.2 \text{ MPa (T)} \quad \text{Ans.}$$

F6-11 Consider large rectangle minus the two side rectangles.

$$I = \frac{1}{12} (0.2)(0.3^3) - (2) \left[\frac{1}{12} (0.09)(0.26^3) \right]$$

$$= 0.18636(10^{-3}) \text{ m}^4$$

$$\sigma_{\max} = \frac{Mc}{I} = \frac{50(10^3)(0.15)}{0.18636(10^{-3})} = 40.2 \text{ MPa} \quad \text{Ans.}$$

F6-12 Consider two vertical rectangles and two horizontal rectangles.

$$I = 2 \left[\frac{1}{12} (0.03)(0.4^3) \right] + 2 \left[\frac{1}{12} (0.14)(0.03^3) + 0.14(0.03)(0.15^2) \right]$$

$$= 0.50963(10^{-3}) \text{ m}^4$$

$$\sigma_{\max} = \frac{Mc}{I} = \frac{10(10^3)(0.2)}{0.50963(10^{-3})} = 3.92 \text{ MPa} \quad \text{Ans.}$$

$$\sigma_A = 3.92 \text{ MPa (C)}$$

$$\sigma_B = 3.92 \text{ MPa (T)}$$

F6-13 Consider center rectangle and two side rectangles.

$$I = \frac{1}{12} (0.05)(0.4^3) + 2 \left[\frac{1}{12} (0.025)(0.3^3) \right]$$

$$= 0.37917(10^{-3}) \text{ m}^4$$

$$\sigma_A = \frac{My_A}{I} = \frac{5(10^3)(-0.15)}{0.37917(10^{-3})} = 1.98 \text{ MPa (T)} \quad \text{Ans.}$$

F6-14 $M_y = 50 \left(\frac{4}{5} \right) = 40 \text{ kN} \cdot \text{m}$

$$M_z = 50 \left(\frac{3}{5} \right) = 30 \text{ kN} \cdot \text{m}$$

$$I_y = \frac{1}{12} (0.3)(0.2^3) = 0.2(10^{-3}) \text{ m}^4$$

$$I_z = \frac{1}{12} (0.2)(0.3^3) = 0.45(10^{-3}) \text{ m}^4$$

$$\sigma = -\frac{M_z y}{I_z} + \frac{M_y z}{I_y}$$

$$\sigma_A = -\frac{[30(10^3)](-0.15)}{0.45(10^{-3})} + \frac{[40(10^3)](0.1)}{0.2(10^{-3})}$$

$$= 30 \text{ MPa (T)} \quad \text{Ans.}$$

$$\sigma_B = -\frac{[30(10^3)](0.15)}{0.45(10^{-3})} + \frac{[40(10^3)](0.1)}{0.2(10^{-3})}$$

$$= 10 \text{ MPa (T)} \quad \text{Ans.}$$

$$\tan \alpha = \frac{I_z}{I_y} \tan \theta$$

$$\tan \alpha = \left[\frac{0.45(10^{-3})}{0.2(10^{-3})} \right] \left(\frac{4}{3} \right)$$

$$\alpha = 71.6^\circ \quad \text{Ans.}$$

F6-15 Maximum stress occurs at D or A.

$$(\sigma_{\max})_D = \frac{(50 \cos 30^\circ) 12(3)}{\frac{1}{12}(4)(6)^3} + \frac{(50 \sin 30^\circ) 12(2)}{\frac{1}{12}(6)(4)^3}$$

$$= 40.4 \text{ psi} \quad \text{Ans.}$$

Chapter 7

F7-1 Consider two vertical rectangles and a horizontal rectangle.

$$I = 2 \left[\frac{1}{12} (0.02)(0.2^3) \right] + \frac{1}{12} (0.26)(0.02^3) = 26.84(10^{-6}) \text{ m}^4$$

Take two rectangles above A.

$$Q_A = 2[0.055(0.09)(0.02)] = 198(10^{-6}) \text{ m}^3$$

$$\tau_A = \frac{VQ_A}{It} = \frac{100(10^3)[198(10^{-6})]}{[26.84(10^{-6})]2(0.02)} = 18.4 \text{ MPa}$$

Ans.

F7-2 Consider a vertical rectangle and two squares.

$$I = \frac{1}{12} (0.1)(0.3^3) + (2) \frac{1}{12} (0.1)(0.1^3) = 0.24167(10^{-3}) \text{ m}^4$$

Take top half of area (above A).

$$Q_A = y'_1 A'_1 + y'_2 A'_2 = \left[\frac{1}{2} (0.05) \right] (0.05)(0.3) + 0.1(0.1)(0.1) = 1.375(10^{-3}) \text{ m}^3$$

$$\tau_A = \frac{VQ}{It} = \frac{600(10^3)[1.375(10^{-3})]}{[0.24167(10^{-3})](0.3)} = 11.4 \text{ MPa}$$

Ans.

Take top square (above B).

$$Q_B = y'_2 A'_2 = 0.1(0.1)(0.1) = 1(10^{-3}) \text{ m}^3$$

$$\tau_B = \frac{VQ}{It} = \frac{600(10^3)[1(10^{-3})]}{[0.24167(10^{-3})](0.1)} = 24.8 \text{ MPa}$$

Ans.

F7-3 $V_{\max} = 4.5 \text{ kip}$

$$I = \frac{1}{12} (3)(6^3) = 54 \text{ in}^4$$

Take top half of area.

$$Q_{\max} = y' A' = 1.5(3) = 13.5 \text{ in}^3$$

$$(\tau_{\max})_{\text{abs}} = \frac{V_{\max} Q_{\max}}{It} = \frac{4.5(10^3)(13.5)}{54(3)} = 375 \text{ psi}$$

Ans.

F7-4 Consider two vertical rectangles and two horizontal rectangles.

$$I = 2 \left[\frac{1}{12} (0.03)(0.4^3) \right] + 2 \left[\frac{1}{12} (0.14)(0.03^3) + 0.14(0.03)(0.15^2) \right] = 0.50963(10^{-3}) \text{ m}^4$$

Take the top half of area.

$$Q_{\max} = 2y'_1 A'_1 + y'_2 A'_2 = 2(0.1)(0.2)(0.03) + (0.15)(0.14)(0.03) = 1.83(10^{-3}) \text{ m}^3$$

$$\tau_{\max} = \frac{VQ_{\max}}{It} = \frac{20(10^3)[1.83(10^{-3})]}{0.50963(10^{-3})[2(0.03)]} = 1.20 \text{ MPa}$$

Ans.

F7-5 Consider one large vertical rectangle and two side rectangles.

$$I = \frac{1}{12} (0.05)(0.4^3) + 2 \left[\frac{1}{12} (0.025)(0.3^3) \right] = 0.37917(10^{-3}) \text{ m}^4$$

Take the top half of area.

$$Q_{\max} = 2y'_1 A'_1 + y'_2 A'_2 = 2(0.075)(0.025)(0.15) + (0.1)(0.05)(0.2) = 1.5625(10^{-3}) \text{ m}^3$$

$$\tau_{\max} = \frac{VQ_{\max}}{It} = \frac{20(10^3)[1.5625(10^{-3})]}{[0.37917(10^{-3})]2(0.025)} = 1.65 \text{ MPa}$$

Ans.

F7-6 $I = \frac{1}{12} (0.3)(0.2^3) = 0.2(10^{-3}) \text{ m}^4$

Top (or bottom) board

$$Q = y' A' = 0.05(0.1)(0.3) = 1.5(10^{-3}) \text{ m}^3$$

Two rows of nails

$$q_{\text{allow}} = 2 \left(\frac{F}{s} \right) = \frac{2[15(10^3)]}{s} = \frac{30(10^3)}{s}$$

$$q_{\text{allow}} = \frac{VQ}{I}; \quad \frac{30(10^3)}{s} = \frac{50(10^3)[1.5(10^{-3})]}{0.2(10^{-3})}$$

$$s = 0.08 \text{ m} = 80 \text{ mm}$$

Ans.

F7-7 Consider large rectangle minus two side rectangles.

$$I = \frac{1}{12} (0.2)(0.34^3) - (2) \frac{1}{12} (0.095)(0.28^3) = 0.3075(10^{-3}) \text{ m}^4$$

Top plate

$$Q = y' A' = 0.16(0.02)(0.2) = 0.64(10^{-3}) \text{ m}^3$$

Two rows of bolts

$$q_{\text{allow}} = 2 \left(\frac{F}{s} \right) = \frac{2[30(10^3)]}{s} = \frac{60(10^3)}{s}$$

$$q_{\text{allow}} = \frac{VQ}{I}; \quad \frac{60(10^3)}{s} = \frac{300(10^3)[0.64(10^{-3})]}{0.3075(10^{-3})}$$

$$s = 0.09609 \text{ m} = 96.1 \text{ mm}$$

Use $s = 96 \text{ mm}$

Ans.

F7-8 Consider two large rectangles and two side rectangles.

$$I = 2 \left[\frac{1}{12} (0.025)(0.3^3) \right] + 2 \left[\frac{1}{12} (0.05)(0.2^3) + 0.05(0.2)(0.15^2) \right]$$

$$= 0.62917(10^{-3}) \text{ m}^4$$

Top center board is held onto beam by the top row of bolts.

$$Q = y' A' = 0.15(0.2)(0.05) = 1.5(10^{-3}) \text{ m}^3$$

Each bolt has two shearing surfaces.

$$q_{\text{allow}} = 2 \left(\frac{F}{s} \right) = \frac{2[8(10^3)]}{s} = \frac{16(10^3)}{s}$$

$$q_{\text{allow}} = \frac{VQ}{I}; \quad \frac{16(10^3)}{s} = \frac{20(10^3)[1.5(10^{-3})]}{0.62917(10^{-3})}$$

$$s = 0.3356 \text{ m} = 335.56 \text{ mm}$$

Use $s = 335 \text{ mm}$ Ans.

F7-9 Consider center board and four side boards.

$$I = \frac{1}{12} (1)(6^3) + 4 \left[\frac{1}{12} (0.5)(4^3) + 0.5(4)(3^2) \right]$$

$$= 100.67 \text{ in}^4$$

Top-right board is held onto beam by a row of bolts.

$$Q = y' A' = 3(4)(0.5) = 6 \text{ in}^3$$

Bolts have one shear surface.

$$q_{\text{allow}} = \frac{F}{s} = \frac{6}{s}$$

$$q_{\text{allow}} = \frac{VQ}{I}; \quad \frac{6}{s} = \frac{15(6)}{100.67}$$

$$s = 6.711 \text{ in.}$$

Use $s = 6 \frac{5}{8} \text{ in.}$ Ans.

Also, can consider the top *two* boards held onto beam by a row of bolts with two shearing surfaces.

Chapter 8

F8-1 $+\uparrow \sum F_z = (F_R)_z; \quad -500 - 300 = P$

$$P = -800 \text{ kN}$$

$$\sum M_x = 0; \quad 300(0.05) - 500(0.1) = M_x$$

$$M_x = -35 \text{ kN} \cdot \text{m}$$

$$\sum M_y = 0; \quad 300(0.1) - 500(0.1) = M_y$$

$$M_y = -20 \text{ kN} \cdot \text{m}$$

$$A = 0.3(0.3) = 0.09 \text{ m}^2$$

$$I_x = I_y = \frac{1}{12} (0.3)(0.3^3) = 0.675(10^{-3}) \text{ m}^4$$

$$\sigma_A = \frac{-800(10^3)}{0.09} + \frac{[20(10^3)](0.15)}{0.675(10^{-3})} + \frac{[35(10^3)](0.15)}{0.675(10^{-3})}$$

$$= 3.3333 \text{ MPa} = 3.33 \text{ MPa (T)} \quad \text{Ans.}$$

$$\sigma_B = \frac{-800(10^3)}{0.09} + \frac{[20(10^3)](0.15)}{0.675(10^{-3})} - \frac{[35(10^3)](0.15)}{0.675(10^{-3})}$$

$$= -12.22 \text{ MPa} = 12.2 \text{ MPa (C)} \quad \text{Ans.}$$

F8-2 $+\uparrow \sum F_y = 0; \quad V - 400 = 0 \quad V = 400 \text{ kN}$
 $\zeta + \sum M_A = 0; \quad -M - 400(0.5) = 0 \quad M = -200 \text{ kN} \cdot \text{m}$

$$I = \frac{1}{12} (0.1)(0.3^3) = 0.225(10^{-3}) \text{ m}^4$$

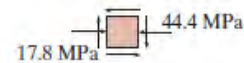
Bottom segment

$$\sigma_A = \frac{My}{I} = \frac{[200(10^3)](-0.05)}{0.225(10^{-3})}$$

$$= -44.44 \text{ MPa} = 44.4 \text{ MPa (C)} \quad \text{Ans.}$$

$$Q_A = y' A' = 0.1(0.1)(0.1) = 1(10^{-3}) \text{ m}^3$$

$$\tau_A = \frac{VQ}{It} = \frac{400(10^3)[1(10^{-3})]}{0.225(10^{-3})(0.1)} = 17.8 \text{ MPa} \quad \text{Ans.}$$



F8-3 Left reaction is 20 kN.

Left segment:

$$+\uparrow \sum F_y = 0; \quad 20 - V = 0 \quad V = 20 \text{ kN}$$

$$\zeta + \sum M_s = 0; \quad M - 20(0.5) = 0 \quad M = 10 \text{ kN} \cdot \text{m}$$

Consider large rectangle minus two side rectangles.

$$I = \frac{1}{12} (0.1)(0.2^3) - (2) \frac{1}{12} (0.045)(0.18^3)$$

$$= 22.9267(10^{-6}) \text{ m}^4$$

Top segment above A

$$Q_A = y'_1 A'_1 + y'_2 A'_2 = 0.07(0.04)(0.01)$$

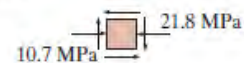
$$+ 0.095(0.1)(0.01) = 0.123(10^{-3}) \text{ m}^3$$

$$\sigma_A = -\frac{My_A}{I} = -\frac{[10(10^3)](0.05)}{22.9267(10^{-6})}$$

$$= -21.81 \text{ MPa} = 21.8 \text{ MPa (C)} \quad \text{Ans.}$$

$$\tau_A = \frac{VQ_A}{It} = \frac{20(10^3)[0.123(10^{-3})]}{[22.9267(10^{-6})](0.01)}$$

$$= 10.7 \text{ MPa} \quad \text{Ans.}$$



F8-4 At the section through centroidal axis:

$$N = P$$

$$V = 0$$

$$M = (2 + 1)P = 3P$$

$$\sigma = \frac{N}{A} + \frac{Mc}{I}$$

$$30 = \frac{P}{2(0.5)} + \frac{(3P)(1)}{\frac{1}{12}(0.5)(2)^3}$$

$$P = 3 \text{ kip}$$

Ans.

F8-5 At section through B:

$$N = 500 \text{ lb}, V = 400 \text{ lb}$$

$$M = 400(10) = 4000 \text{ lb} \cdot \text{in.}$$

Axial load:

$$\sigma_x = \frac{N}{A} = \frac{500}{4(3)} = 41.667 \text{ psi (T)}$$

Shear load:

$$\tau_{xy} = \frac{VQ}{It} = \frac{400[(1.5)(3)(1)]}{\frac{1}{12}(3)(4)^3(3)} = 37.5 \text{ psi}$$

Bending moment:

$$\sigma_x = \frac{My}{I} = \frac{4000(1)}{\frac{1}{12}(3)(4)^3} = 250 \text{ psi (C)}$$

Thus

$$\sigma_x = 41.667 - 250 = 208 \text{ psi (C)}$$

$$\sigma_y = 0$$

$$\tau_{xy} = 37.5 \text{ psi}$$

Ans.

Ans.

Ans.



F8-6 Top segment:

$$\sum F_y = 0; \quad V_y + 1000 = 0 \quad V_y = -1000 \text{ N}$$

$$\sum F_x = 0; \quad V_x - 1500 = 0 \quad V_x = 1500 \text{ N}$$

$$\sum M_z = 0; \quad T_z - 1500(0.4) = 0 \quad T_z = 600 \text{ N} \cdot \text{m}$$

$$\sum M_y = 0; \quad M_y - 1500(0.2) = 0 \quad M_y = 300 \text{ N} \cdot \text{m}$$

$$\sum M_x = 0; \quad M_x - 1000(0.2) = 0 \quad M_x = 200 \text{ N} \cdot \text{m}$$

$$I_y = I_x = \frac{\pi}{4}(0.02^4) = 40(10^{-9})\pi \text{ m}^4$$

$$J = \frac{\pi}{2}(0.02^4) = 80(10^{-9})\pi \text{ m}^4$$

$$(Q_y)_A = \frac{4(0.02)}{3\pi} \left[\frac{\pi}{2}(0.02^2) \right] = 5.3333(10^{-6}) \text{ m}^3$$

$$\sigma_A = \frac{M_x y}{I_x} - \frac{M_y x}{I_y} = \frac{-200(0)}{40(10^{-9})\pi} - \frac{-300(0.02)}{40(10^{-9})\pi} = 477 \text{ MPa (T)}$$

Ans.

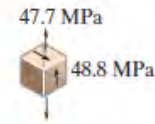
$$[(\tau_{xy})_T]_A = \frac{T_z c}{J} = \frac{600(0.02)}{80(10^{-9})\pi} = 47.746 \text{ MPa}$$

$$[(\tau_{xy})_V]_A = \frac{V_y(Q_y)_A}{I_x t} = \frac{1000[5.3333(10^{-6})]}{[40(10^{-9})\pi](0.04)} = 1.061 \text{ MPa}$$

Combining these two shear stress components,

$$(\tau_{xy})_A = 47.746 + 1.061 = 48.8 \text{ MPa}$$

Ans.



F8-7 Right Segment:

$$\sum F_z = 0; \quad V_z - 6 = 0 \quad V_z = 6 \text{ kN}$$

$$\sum M_y = 0; \quad T_y - 6(0.3) = 0 \quad T_y = 1.8 \text{ kN} \cdot \text{m}$$

$$\sum M_x = 0; \quad M_x - 6(0.3) = 0 \quad M_x = 1.8 \text{ kN} \cdot \text{m}$$

$$I_x = \frac{\pi}{4}(0.05^4 - 0.04^4) = 0.9225(10^{-6})\pi \text{ m}^4$$

$$J = \frac{\pi}{2}(0.05^4 - 0.04^4) = 1.845(10^{-6})\pi \text{ m}^4$$

$$(Q_z)_A = y_2' A_2' - y_1' A_1' = \frac{4(0.05)}{3\pi} \left[\frac{\pi}{2}(0.05^2) \right] - \frac{4(0.04)}{3\pi} \left[\frac{\pi}{2}(0.04^2) \right] = 40.6667(10^{-6}) \text{ m}^3$$

$$\sigma_A = \frac{M_x z}{I_x} = \frac{1.8(10^3)(0)}{0.9225(10^{-6})\pi} = 0$$

Ans.

$$[(\tau_{yz})_T]_A = \frac{T_y c}{J} = \frac{[1.8(10^3)](0.05)}{1.845(10^{-6})\pi} = 15.53 \text{ MPa}$$

$$[(\tau_{yz})_V]_A = \frac{V_z(Q_z)_A}{I_x t} = \frac{6(10^3)[40.6667(10^{-6})]}{[0.9225(10^{-6})\pi](0.02)} = 4.210 \text{ MPa}$$

Combining these two shear stress components,

$$(\tau_{yz})_A = 15.53 - 4.210 = 11.3 \text{ MPa}$$

Ans.



F8-8 Left Segment:

$$\Sigma F_z = 0; \quad V_z - 900 - 300 = 0 \quad V_z = 1200 \text{ N}$$

$$\Sigma M_y = 0; \quad T_y + 300(0.1) - 900(0.1) = 0 \quad T_y = 60 \text{ N} \cdot \text{m}$$

$$\Sigma M_x = 0; \quad M_x + (900 + 300)0.3 = 0 \quad M_x = -360 \text{ N} \cdot \text{m}$$

$$I_x = \frac{\pi}{4} (0.025^4 - 0.02^4) = 57.65625(10^{-9})\pi \text{ m}^4$$

$$J = \frac{\pi}{2} (0.025^4 - 0.02^4) = 0.1153125(10^{-6})\pi \text{ m}^4$$

$$(Q_y)_A = 0$$

$$\sigma_A = \frac{M_x y}{I_x} = \frac{(360)(0.025)}{57.65625(10^{-9})\pi} = 49.7 \text{ MPa} \quad \text{Ans.}$$

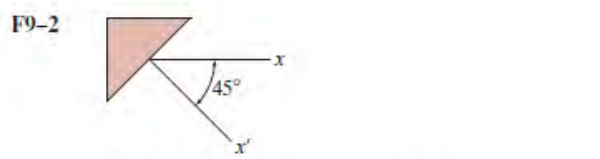
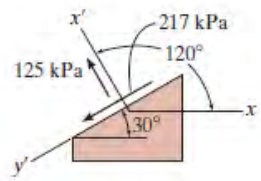
$$[(\tau_{xy})_T]_A = \frac{T_y \rho_A}{J} = \frac{60(0.025)}{0.1153125(10^{-6})\pi} = 4.14 \text{ MPa} \quad \text{Ans.}$$

$$[(\tau_{yz})_V]_A = \frac{V_z (Q_z)_A}{I_x t} = 0 \quad \text{Ans.}$$



Chapter 9

F9-1 $\theta = 120^\circ$ $\sigma_x = 500 \text{ kPa}$ $\sigma_y = 0$ $\tau_{xy} = 0$
 Apply Eqs. 9-1, 9-2.
 $\sigma_{x'} = 125 \text{ kPa} \quad \text{Ans.}$
 $\tau_{x'y'} = 217 \text{ kPa} \quad \text{Ans.}$



$\theta = -45^\circ$ $\sigma_x = 0$ $\sigma_y = -400 \text{ kPa}$
 $\tau_{xy} = -300 \text{ kPa}$
 Apply Eqs. 9-1, 9-3, 9-2.
 $\sigma_{x'} = 100 \text{ kPa} \quad \text{Ans.}$
 $\sigma_{y'} = -500 \text{ kPa} \quad \text{Ans.}$
 $\tau_{x'y'} = 200 \text{ kPa} \quad \text{Ans.}$

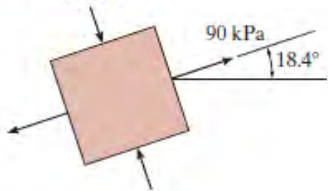
F9-3 $\theta_x = 80 \text{ kPa}$ $\sigma_y = 0$ $\tau_{xy} = 30 \text{ kPa}$
 Apply Eqs. 9-5, 9-4.
 $\sigma_1 = 90 \text{ kPa}$ $\sigma_2 = -10 \text{ kPa} \quad \text{Ans.}$
 $\theta_p = 18.43^\circ$ and 108.43°

From Eq. 9-1,

$$\sigma_{x'} = \frac{80 + 0}{2} + \frac{80 - 0}{2} \cos 2(18.43^\circ) + 30 \sin 2(18.43^\circ)$$

$$= 90 \text{ kPa} = \sigma_1$$

Thus,
 $(\theta_p)_1 = 18.4^\circ$ for σ_1 Ans.



F9-4 $\sigma_x = 100 \text{ kPa}$ $\sigma_y = 700 \text{ kPa}$
 $\tau_{xy} = -400 \text{ kPa}$
 Apply Eqs. 9-7, 9-8.
 $\tau_{\text{max in-plane}} = 500 \text{ kPa} \quad \text{Ans.}$
 $\sigma_{\text{avg}} = 400 \text{ kPa} \quad \text{Ans.}$

F9-5 At the cross section through B:
 $N = 4 \text{ kN}$ $V = 2 \text{ kN}$
 $M = 2(2) = 4 \text{ kN} \cdot \text{m}$

$$\sigma_B = \frac{P}{A} + \frac{Mc}{I} = \frac{4(10^3)}{0.03(0.06)} + \frac{4(10^3)(0.03)}{\frac{1}{12}(0.03)(0.06)^3}$$

$$= 224 \text{ MPa (T)}$$

 Note $\tau_B = 0$ since $Q = 0$.
 Thus
 $\sigma_1 = 224 \text{ MPa} \quad \text{Ans.}$
 $\sigma_2 = 0$

F9-6 $A_y = B_y = 12 \text{ kN}$
 Segment AC:
 $V_C = 0$ $M_C = 24 \text{ kN} \cdot \text{m}$
 $\tau_C = 0$ (since $V_C = 0$)
 $\sigma_C = 0$ (since C is on neutral axis)
 $\sigma_1 = \sigma_2 = 0 \quad \text{Ans.}$

F9-7 $\sigma_{avg} = \frac{\sigma_x + \sigma_y}{2} = \frac{500 + 0}{2} = 250 \text{ kPa}$

The coordinates of the center C of the circle and the reference point A are

$A(500, 0) \quad C(250, 0)$

$R = CA = 500 - 250 = 250 \text{ kPa}$

$\theta = 120^\circ$ (counterclockwise). Rotate the radial line CA counterclockwise $2\theta = 240^\circ$ to the coordinates of point $P(\sigma_{x'}, \tau_{x'y'})$.

$\alpha = 240^\circ - 180^\circ = 60^\circ$

$\sigma_{x'} = 250 - 250 \cos 60^\circ = 125 \text{ kPa}$ Ans.

$\tau_{x'y'} = 250 \sin 60^\circ = 217 \text{ kPa}$ Ans.

F9-8 $\sigma_{avg} = \frac{\sigma_x + \sigma_y}{2} = \frac{80 + 0}{2} = 40 \text{ kPa}$

The coordinates of the center C of the circle and the reference point A are

$A(80, 30) \quad C(40, 0)$

$R = CA = \sqrt{(80 - 40)^2 + 30^2} = 50 \text{ kPa}$

$\sigma_1 = 40 + 50 = 90 \text{ kPa}$ Ans.

$\sigma_2 = 40 - 50 = -10 \text{ kPa}$ Ans.

$\tan 2(\theta_p)_1 = \frac{30}{80 - 40} = 0.75$

$(\theta_p)_1 = 18.4^\circ$ (counterclockwise) Ans.

F9-9 The coordinates of the reference point A and the center C of the circle are

$A(30, 40) \quad C(0, 0)$

$R = CA = 50 \text{ MPa}$

$\sigma_1 = 50 \text{ MPa}$

$\sigma_2 = -50 \text{ MPa}$

F9-10 $J = \frac{\pi}{2} (0.04^4 - 0.03^4) = 0.875(10^{-6})\pi \text{ m}^4$

$\tau = \frac{Tc}{J} = \frac{4(10^3)(0.04)}{0.875(10^{-6})\pi} = 58.21 \text{ MPa}$

$\sigma_x = \sigma_y = 0$ and $\tau_{xy} = -58.21 \text{ MPa}$

$\sigma_{avg} = \frac{\sigma_x + \sigma_y}{2} = 0$

The coordinates of the reference point A and the center C of the circle are

$A(0, -58.21) \quad C(0, 0)$

$R = CA = 58.21 \text{ MPa}$

$\sigma_1 = 0 + 58.21 = 58.2 \text{ MPa}$ Ans.

$\sigma_2 = 0 - 58.21 = -58.2 \text{ MPa}$ Ans.

F9-11

$+\uparrow \Sigma F_y = 0; \quad V - 30 = 0 \quad V = 30 \text{ kN}$

$\zeta + \Sigma M_O = 0; \quad -M - 30(0.3) = 0 \quad M = -9 \text{ kN} \cdot \text{m}$

$I = \frac{1}{12} (0.05)(0.15^3) = 14.0625(10^{-6}) \text{ m}^4$

Segment above A ,

$Q_A = y' A' = 0.05(0.05)(0.05) = 0.125(10^{-3}) \text{ m}^3$

$\sigma_A = -\frac{My_A}{I} = \frac{[-9(10^3)](0.025)}{14.0625(10^{-6})} = 16 \text{ MPa (T)}$

$\tau_A = \frac{VQ_A}{It} = \frac{30(10^3)[0.125(10^{-3})]}{14.0625(10^{-6})(0.05)} = 5.333 \text{ MPa}$

$\sigma_x = 16 \text{ MPa}, \sigma_y = 0,$ and $\tau_{xy} = -5.333 \text{ MPa}$

$\sigma_{avg} = \frac{\sigma_x + \sigma_y}{2} = \frac{16 + 0}{2} = 8 \text{ MPa}$

The coordinates of the reference point A and the center C of the circle are

$A(16, -5.333) \quad C(8, 0)$

$R = CA = \sqrt{(16 - 8)^2 + (-5.333)^2} = 9.615 \text{ MPa}$

$\sigma_1 = 8 + 9.615 = 17.6 \text{ MPa}$ Ans.

$\sigma_2 = 8 - 9.615 = -1.61 \text{ MPa}$ Ans.

F9-12

$\zeta + \Sigma M_B = 0; \quad 60(1) - A_y(1.5) = 0 \quad A_y = 40 \text{ kN}$

$+\uparrow \Sigma F_y = 0; \quad 40 - V = 0 \quad V = 40 \text{ kN}$

$\zeta + \Sigma M_O = 0; \quad M - 40(0.5) = 0 \quad M = 20 \text{ kN} \cdot \text{m}$

Consider large rectangle minus two side rectangles.

$I = \frac{1}{12} (0.1)(0.2^3) - (2)\frac{1}{12} (0.045)(0.18^3) = 22.9267(10^{-6}) \text{ m}^4$

Top rectangle,

$Q_A = y' A' = 0.095(0.01)(0.1) = 95(10^{-6}) \text{ m}^3$

$\sigma_A = -\frac{My_A}{I} = -\frac{[20(10^3)](0.09)}{22.9267(10^{-6})} = -78.51 \text{ MPa}$
 $= 78.51 \text{ MPa (C)}$

$\tau_A = \frac{VQ_A}{It} = \frac{40(10^3)[95(10^{-6})]}{[22.9267(10^{-6})](0.01)} = 16.57 \text{ MPa}$

$\sigma_x = -78.51 \text{ MPa}, \sigma_y = 0,$ and $\tau_{xy} = -16.57 \text{ MPa}$

$\sigma_{avg} = \frac{\sigma_x + \sigma_y}{2} = \frac{-78.51 + 0}{2} = -39.26 \text{ MPa}$

The coordinates of the reference point A and the center C of the circle are

$A(-78.51, -16.57) \quad C(-39.26, 0)$

$$R = CA = \sqrt{[-78.51 - (-39.26)]^2 + (-16.57)^2} = 42.61 \text{ MPa}$$

$$\tau_{\text{max in-plane}} = |R| = 42.6 \text{ MPa}$$

Chapter 11

F11-1

At support,

$$V_{\text{max}} = 12 \text{ kN} \quad M_{\text{max}} = 18 \text{ kN} \cdot \text{m}$$

$$I = \frac{1}{12}(a)(2a)^3 = \frac{2}{3}a^4$$

$$\sigma_{\text{allow}} = \frac{M_{\text{max}}c}{I}; \quad 10(10^6) = \frac{18(10^3)(a)}{\frac{2}{3}a^4}$$

$$a = 0.1392 \text{ m} = 139.2 \text{ mm}$$

Use $a = 140 \text{ mm}$

$$I = \frac{2}{3}(0.14^4) = 0.2561(10^{-3}) \text{ m}^4$$

$$Q_{\text{max}} = \frac{0.14}{2}(0.14)(0.14) = 1.372(10^{-3}) \text{ m}^3$$

$$\tau_{\text{max}} = \frac{V_{\text{max}}Q_{\text{max}}}{It} = \frac{12(10^3)[1.372(10^{-3})]}{[0.2561(10^{-3})](0.14)} = 0.459 \text{ MPa} < \tau_{\text{allow}} = 1 \text{ MPa (OK)}$$

F11-2

At support,

$$V_{\text{max}} = 3 \text{ kip} \quad M_{\text{max}} = 12 \text{ kip} \cdot \text{ft}$$

$$I = \frac{\pi}{4}\left(\frac{d}{2}\right)^4 = \frac{\pi d^4}{64}$$

$$\sigma_{\text{allow}} = \frac{M_{\text{max}}c}{I}; \quad 20 = \frac{12(12)\left(\frac{d}{2}\right)}{\frac{\pi d^4}{64}}$$

$$d = 4.19 \text{ in.}$$

Use $d = 4 \frac{1}{4} \text{ in.}$

$$I = \frac{\pi}{64}(4.25^4) = 16.015 \text{ in}^4$$

Semicircle,

$$Q_{\text{max}} = \frac{4(4.25/2)}{3\pi} \left[\frac{1}{2} \left(\frac{\pi}{4} \right) (4.25^2) \right] = 6.397 \text{ in}^3$$

$$\tau_{\text{max}} = \frac{V_{\text{max}}Q_{\text{max}}}{It} = \frac{3(6.397)}{16.015(4.25)} = 0.282 \text{ ksi} < \tau_{\text{allow}} = 10 \text{ ksi (OK)}$$

F11-3

At the supports,

$$V_{\text{max}} = 10 \text{ kN}$$

Under 15-kN load,

$$M_{\text{max}} = 5 \text{ kN} \cdot \text{m}$$

$$I = \frac{1}{12}(a)(2a)^3 = \frac{2}{3}a^4$$

$$\sigma_{\text{allow}} = \frac{M_{\text{max}}c}{I}; \quad 12(10^6) = \frac{5(10^3)(a)}{\frac{2}{3}a^4}$$

$$a = 0.0855 \text{ m} = 85.5 \text{ mm}$$

Use $a = 86 \text{ mm}$

$$I = \frac{2}{3}(0.086^4) = 36.4672(10^{-6}) \text{ m}^4$$

Top half of rectangle,

$$Q_{\text{max}} = \frac{0.086}{2}(0.086)(0.086) = 0.318028(10^{-3}) \text{ m}^3$$

$$\tau_{\text{max}} = \frac{V_{\text{max}}Q_{\text{max}}}{It} = \frac{10(10^3)[0.318028(10^{-3})]}{[36.4672(10^{-6})](0.086)} = 1.01 \text{ MPa} < \tau_{\text{allow}} = 1.5 \text{ MPa (OK)}$$

F11-4

At the supports,

$$V_{\text{max}} = 4.5 \text{ kip}$$

At the center,

$$M_{\text{max}} = 6.75 \text{ kip} \cdot \text{ft}$$

$$I = \frac{1}{12}(4)(h^3) = \frac{h^3}{3}$$

$$\sigma_{\text{allow}} = \frac{M_{\text{max}}c}{I}; \quad 2 = \frac{6.75(12)\left(\frac{h}{2}\right)}{\frac{h^3}{3}}$$

$$h = 7794 \text{ in.}$$

Top half of rectangle,

$$Q_{\text{max}} = y' A' = \frac{h}{4}\left(\frac{h}{2}\right)(4) = \frac{h^2}{2}$$

$$\tau_{\text{max}} = \frac{V_{\text{max}}Q_{\text{max}}}{It}; \quad 0.2 = \frac{4.5\left(\frac{h^2}{2}\right)}{\frac{h^3}{3}(4)}$$

$$h = 8.4375 \text{ in. (controls)}$$

Use $h = 8 \frac{1}{2} \text{ in.}$

Ans.

Ans.

Ans.

Ans.

Ans.

F11-5

At the supports,

$$V_{\max} = 25 \text{ kN}$$

At the center,

$$M_{\max} = 20 \text{ kN} \cdot \text{m}$$

$$I = \frac{1}{12}(b)(3b)^3 = 2.25b^4$$

$$\sigma_{\text{allow}} = \frac{M_{\max}c}{I}; \quad 12(10^6) = \frac{20(10^3)(1.5b)}{2.25b^4}$$

$$b = 0.1036 \text{ m} = 103.6 \text{ mm}$$

Use $b = 104 \text{ mm}$

$$I = 2.25(0.104^4) = 0.2632(10^{-3}) \text{ m}^4$$

Top half of rectangle,

$$Q_{\max} = 0.75(0.104)[1.5(0.104)(0.104)] = 1.2655(10^{-3}) \text{ m}^3$$

$$\tau_{\max} = \frac{V_{\max} Q_{\max}}{It} = \frac{25(10^3)[1.2655(10^{-3})]}{[0.2632(10^{-3})](0.104)} = 1.156 \text{ MPa} < \tau_{\text{allow}} = 1.5 \text{ MPa (OK)}$$

F11-6

Within the overhang,

$$V_{\max} = 150 \text{ kN}$$

At B,

$$M_{\max} = 150 \text{ kN} \cdot \text{m}$$

$$S_{\text{reqd}} = \frac{M_{\max}}{\sigma_{\text{allow}}} = \frac{150(10^3)}{150(10^6)} = 0.001 \text{ m}^3 = 1000(10^3) \text{ mm}^3$$

Select W410 \times 67 [$S_x = 1200(10^3) \text{ mm}^3$, $d = 410 \text{ mm}$, and $t_w = 8.76 \text{ mm}$].

$$\tau_{\max} = \frac{V}{t_w d} = \frac{150(10^3)}{0.00876(0.41)} = 41.76 \text{ MPa} < \tau_{\text{allow}} = 75 \text{ MPa (OK)}$$

Chapter 12

F12-1

Use left segment,

$$M(x) = 30 \text{ kN} \cdot \text{m}$$

$$EI \frac{d^2v}{dx^2} = 30$$

$$EI \frac{dv}{dx} = 30x + C_1$$

$$Elv = 15x^2 + C_1x + C_2$$

$$\text{At } x = 3 \text{ m, } \frac{dv}{dx} = 0.$$

$$C_1 = -90 \text{ kN} \cdot \text{m}^2$$

$$\text{At } x = 3 \text{ m, } v = 0.$$

$$C_2 = 135 \text{ kN} \cdot \text{m}^3$$

$$\frac{dv}{dx} = \frac{1}{EI}(30x - 90)$$

$$v = \frac{1}{EI}(15x^2 - 90x + 135)$$

For end A, $x = 0$

$$\theta_A = \frac{dv}{dx} \Big|_{x=0} = -\frac{90(10^3)}{200(10^9)[65.0(10^{-6})]} = -0.00692 \text{ rad}$$

Ans.

$$v_A = v \Big|_{x=0} = \frac{135(10^3)}{200(10^9)[65.0(10^{-6})]} = 0.01038 \text{ m} = 10.4 \text{ mm}$$

Ans.

F12-2

Use left segment,

$$M(x) = (-10x - 10) \text{ kN} \cdot \text{m}$$

$$EI \frac{d^2v}{dx^2} = -10x - 10$$

$$EI \frac{dv}{dx} = -5x^2 - 10x + C_1$$

$$Elv = -\frac{5}{3}x^3 - 5x^2 + C_1x + C_2$$

$$\text{At } x = 3 \text{ m, } \frac{dv}{dx} = 0.$$

$$EI(0) = -5(3^2) - 10(3) + C_1 \quad C_1 = 75 \text{ kN} \cdot \text{m}^2$$

$$\text{At } x = 3 \text{ m, } v = 0.$$

$$EI(0) = -\frac{5}{3}(3^3) - 5(3^2) + 75(3) + C_2 \quad C_2 = -135 \text{ kN} \cdot \text{m}^3$$

$$\frac{dv}{dx} = \frac{1}{EI}(-5x^2 - 10x + 75)$$

$$v = \frac{1}{EI} \left(-\frac{5}{3}x^3 - 5x^2 + 75x - 135 \right)$$

For end A, $x = 0$

$$\theta_A = \frac{dv}{dx} \Big|_{x=0} = \frac{1}{EI}[-5(0) - 10(0) + 75] = \frac{75(10^3)}{200(10^9)[65.0(10^{-6})]} = 0.00577 \text{ rad}$$

Ans.

$$v_A = v \Big|_{x=0} = \frac{1}{EI} \left[-\frac{5}{3}(0^3) - 5(0^2) + 75(0) - 135 \right] = -\frac{135(10^3)}{200(10^9)[65.0(10^{-6})]} = -0.01038 \text{ m} = -10.4 \text{ mm}$$

Ans.

F12-3

Use left segment,

$$M(x) = \left(-\frac{3}{2}x^2 - 10x \right) \text{ kN} \cdot \text{m}$$

$$EI \frac{d^2v}{dx^2} = -\frac{3}{2}x^2 - 10x$$

$$EI \frac{dv}{dx} = -\frac{1}{2}x^3 - 5x^2 + C_1$$

$$\text{At } x = 3 \text{ m, } \frac{dv}{dx} = 0.$$

$$EI(0) = -\frac{1}{2}(3^3) - 5(3^2) + C_1 \quad C_1 = 58.5 \text{ kN} \cdot \text{m}^2$$

$$\frac{dv}{dx} = \frac{1}{EI} \left(-\frac{1}{2}x^3 - 5x^2 + 58.5 \right)$$

For end A, $x = 0$

$$\theta_A = \frac{dv}{dx} \Big|_{x=0} = \frac{58.5(10^3)}{200(10^9)[65.0(10^{-6})]} = 0.0045 \text{ rad} \quad \text{Ans.}$$

F12-4

$$A_y = 600 \text{ lb}$$

Use left segment,

$$M(x) = (600x - 50x^2) \text{ lb} \cdot \text{ft}$$

$$EI \frac{d^2v}{dx^2} = 600x - 50x^2$$

$$EI \frac{dv}{dx} = 300x^2 - 16.667x^3 + C_1$$

$$EIv = 100x^3 - 4.1667x^4 + C_1x + C_2$$

$$\text{At } x = 0, v = 0.$$

$$EI(0) = 100(0^3) - 4.1667(0^4) + C_1(0) + C_2 \quad C_2 = 0$$

$$\text{At } x = 12 \text{ ft, } v = 0.$$

$$EI(0) = 100(12^3) - 4.1667(12^4) + C_1(12) \quad C_1 = -7200 \text{ lb} \cdot \text{ft}^2$$

$$\frac{dv}{dx} = \frac{1}{EI} (300x^2 - 16.667x^3 - 7200)$$

$$v = \frac{1}{EI} (100x^3 - 4.1667x^4 - 7200x)$$

$$v_{\max} \text{ occurs where } \frac{dv}{dx} = 0.$$

$$300x^2 - 16.667x^3 - 7200 = 0$$

$$x = 6 \text{ ft}$$

$$\begin{aligned} v &= \frac{1}{EI} [100(6^3) - 4.1667(6^4) - 7200(6)] \\ &= \frac{-27\,000(12 \text{ in./ft})^3}{1.5(10^6) \left[\frac{1}{12} (3)(6^3) \right]} \\ &= -0.576 \text{ in.} \end{aligned}$$

F12-5

$$A_y = -5 \text{ kN}$$

Use left segment,

$$M(x) = (40 - 5x) \text{ kN} \cdot \text{m}$$

$$EI \frac{d^2v}{dx^2} = 40 - 5x$$

$$EI \frac{dv}{dx} = 40x - 2.5x^2 + C_1$$

$$EIv = 20x^2 - 0.8333x^3 + C_1x + C_2$$

$$\text{At } x = 0, v = 0.$$

$$EI(0) = 20(0^2) - 0.8333(0^3) + C_1(0) + C_2 \quad C_2 = 0$$

$$\text{At } x = 6 \text{ m, } v = 0.$$

$$EI(0) = 20(6^2) - 0.8333(6^3) + C_1(6) + 0 \quad C_1 = -90 \text{ kN} \cdot \text{m}^2$$

$$\frac{dv}{dx} = \frac{1}{EI} (40x - 2.5x^2 - 90)$$

$$v = \frac{1}{EI} (20x^2 - 0.8333x^3 - 90x)$$

$$v_{\max} \text{ occurs where } \frac{dv}{dx} = 0.$$

$$40x - 2.5x^2 - 90 = 0$$

$$x = 2.7085 \text{ m}$$

$$v = \frac{1}{EI} [20(2.7085^2) - 0.8333(2.7085^3) - 90(2.7085)]$$

$$= \frac{113.60(10^3)}{200(10^9)[39.9(10^{-6})]} = -0.01424 \text{ m} = -14.2 \text{ mm} \quad \text{Ans.}$$

F12-6

$$A_y = 10 \text{ kN}$$

Use left segment,

$$M(x) = (10x + 10) \text{ kN} \cdot \text{m}$$

$$EI \frac{d^2v}{dx^2} = 10x + 10$$

$$EI \frac{dv}{dx} = 5x^2 + 10x + C_1$$

$$\text{Due to symmetry, } \frac{dv}{dx} = 0 \text{ at } x = 3 \text{ m.}$$

$$EI(0) = 5(3^2) + 10(3) + C_1 \quad C_1 = -75 \text{ kN} \cdot \text{m}^2$$

$$\frac{dv}{dx} = \frac{1}{EI} [5x^2 + 10x - 75]$$

$$\text{At } x = 0,$$

$$\text{Ans. } \frac{dv}{dx} = \frac{-75(10^3)}{200(10^9)(39.9(10^{-6}))} = -9.40(10^{-3}) \text{ rad} \quad \text{Ans.}$$

F12-7

Since B is a fixed support, $\theta_B = 0$.

$$\theta_A = |\theta_{A/B}| = \frac{1}{2} \left(\frac{38}{EI} + \frac{20}{EI} \right) (3) = \frac{87 \text{ kN} \cdot \text{m}^2}{EI}$$

$$= \frac{87(10^3)}{200(10^9)[65(10^{-6})]} = 0.00669 \text{ rad} \curvearrowright$$

$$v_A = |t_{A/B}| = (1.5) \left[\frac{20}{EI} (3) \right] + 2 \left[\frac{1}{2} \left(\frac{18}{EI} \right) (3) \right]$$

$$= \frac{144(10^3)}{200(10^9)[65(10^{-6})]} = 0.01108 \text{ m} = 11.1 \text{ mm} \downarrow$$

Ans.

F12-8

Since B is a fixed support, $\theta_B = 0$.

$$\theta_A = |\theta_{A/B}| = \frac{1}{2} \left(\frac{50}{EI} + \frac{20}{EI} \right) (1) + \frac{1}{2} \left(\frac{20}{EI} \right) (1) = \frac{45 \text{ kN} \cdot \text{m}^2}{EI}$$

$$= \frac{45(10^3)}{200(10^9)[126(10^{-6})]} = 0.00179 \text{ rad} \curvearrowright$$

$$v_A = |t_{A/B}| = (1.6667) \left[\frac{1}{2} \left(\frac{30}{EI} \right) (1) \right] + 1.5 \left[\frac{20}{EI} (1) \right] + 0.6667 \left[\frac{1}{2} \left(\frac{20}{EI} \right) (1) \right]$$

$$= \frac{61.667 \text{ kN} \cdot \text{m}^3}{EI} = \frac{61.667(10^3)}{200(10^9)[126(10^{-6})]}$$

$$= 0.002447 \text{ m} = 2.48 \text{ mm} \downarrow$$

Ans.

F12-9

Since B is a fixed support, $\theta_B = 0$.

$$\theta_A = |\theta_{A/B}| = \frac{1}{2} \left[\frac{60}{EI} (1) \right] + \frac{30}{EI} (2) = \frac{90 \text{ kN} \cdot \text{m}^2}{EI}$$

$$= \frac{90(10^3)}{200(10^9)[121(10^{-6})]} = 0.00372 \text{ rad} \curvearrowright$$

$$v_A = |t_{A/B}| = 1.6667 \left[\frac{1}{2} \left(\frac{60}{EI} \right) (1) \right] + (1) \left[\frac{30}{EI} (2) \right]$$

$$= \frac{110 \text{ kN} \cdot \text{m}^3}{EI}$$

$$= \frac{110(10^3)}{200(10^9)[121(10^{-6})]} = 0.004545 \text{ m} = 4.55 \text{ mm} \downarrow$$

Ans.

Ans.

F12-10

Since B is a fixed support, $\theta_B = 0$.

$$\theta_A = |\theta_{A/B}| = \frac{1}{2} \left(\frac{18}{EI} \right) (6) + \frac{1}{3} \left(\frac{9}{EI} \right) (3) = \frac{63 \text{ kip} \cdot \text{ft}^2}{EI}$$

$$= \frac{63(12^2)}{29(10^3)(245)} = 0.00128 \text{ rad} \curvearrowright$$

Ans.

$$v_A = |t_{A/B}| = 4 \left[\frac{1}{2} \left(\frac{18}{EI} \right) (6) \right] + (3 + 2.25) \left[\frac{1}{3} \left(\frac{9}{EI} \right) (3) \right]$$

$$= \frac{263.25 \text{ kip} \cdot \text{ft}^3}{EI} = \frac{263.25(12^3)}{29(10^3)(245)} = 0.0640 \text{ in.} \downarrow$$

Ans.

F12-11

Due to symmetry, the slope at the midspan of the beam (point C) is zero, i.e., $\theta_C = 0$.

$$v_{\max} = v_C = |t_{A/C}| = (2) \left[\frac{1}{2} \left(\frac{30}{EI} \right) (3) \right] + 1.5 \left[\frac{10}{EI} (3) \right]$$

$$= \frac{135 \text{ kN} \cdot \text{m}^3}{EI}$$

$$= \frac{135(10^3)}{200(10^9)[42.8(10^{-6})]} = 0.0158 \text{ m} = 15.8 \text{ mm} \downarrow$$

Ans.

F12-12

$$t_{A/B} = 2 \left[\frac{1}{2} \left(\frac{30}{EI} \right) (6) \right] + 3 \left[\frac{10}{EI} (6) \right] = \frac{360}{EI}$$

$$\theta_B = \frac{|t_{A/B}|}{L} = \frac{360}{6EI} = \frac{60}{EI}$$

The maximum deflection occurs at point C where the slope of the elastic curve is zero.

$$\theta_B = \theta_{B/C}$$

$$\frac{60}{EI} = \left(\frac{10}{EI} \right) x + \frac{1}{2} \left(\frac{5x}{EI} \right) x$$

$$2.5x^2 + 10x - 60 = 0$$

$$x = 3.2915 \text{ m}$$

$$v_{\max} = |t_{B/C}| =$$

$$\frac{2}{3} (3.2915) \left\{ \frac{1}{2} \left[\frac{5(3.2915)}{EI} \right] (3.2915) \right\} + \frac{1}{2} (3.2915) \left[\frac{10}{EI} (3.2915) \right]$$

$$= \frac{113.60 \text{ kN} \cdot \text{m}^3}{EI}$$

$$= \frac{113.60(10^3)}{200(10^9)[39.9(10^{-6})]} = 0.01424 \text{ m} = 14.2 \text{ mm} \downarrow$$

Ans.

F12-13

Remove B_y ,

$$(v_B)_1 = \frac{Px^2}{6EI} (3L - x) = \frac{40(4^2)}{6EI} [3(6) - 4] = \frac{1493.33}{EI} \downarrow$$

Apply B_y ,

$$(v_B)_2 = \frac{PL^3}{3EI} = \frac{B_y(4^3)}{3EI} = \frac{21.33B_y}{EI} \uparrow$$

Ans.

$$(+\uparrow) v_B = 0 = (v_B)_1 + (v_B)_2$$

$$0 = -\frac{1493.33}{EI} + \frac{21.33B_y}{EI}$$

$$B_y = 70 \text{ kN}$$

For the beam,

$$\rightarrow \Sigma F_x = 0; \quad A_x = 0$$

$$+\uparrow \Sigma F_y = 0; \quad 70 - 40 - A_y = 0 \quad A_y = 30 \text{ kN}$$

$$\zeta + \Sigma M_A = 0; \quad 70(4) - 40(6) - M_A = 0$$

$$M_A = 40 \text{ kN} \cdot \text{m}$$

F12-14

Remove B_y ,

To use the deflection tables, consider loading as a superposition of uniform distributed load minus a triangular load.

$$(v_B)_1 = \frac{w_0 L^4}{8EI} \downarrow \quad (v_B)_2 = \frac{w_0 L^4}{30EI} \uparrow$$

Apply B_y ,

$$(+\uparrow) \quad (v_B)_3 = \frac{B_y L^3}{3EI} \uparrow \quad v_B = 0 = (v_B)_1 + (v_B)_2 + (v_B)_3$$

$$0 = -\frac{w_0 L^4}{8EI} + \frac{w_0 L^4}{30EI} + \frac{B_y L^3}{3EI}$$

$$B_y = \frac{11w_0 L}{40}$$

For the beam,

$$\rightarrow \Sigma F_x = 0; \quad A_x = 0$$

$$+\uparrow \Sigma F_y = 0; \quad A_y + \frac{11w_0 L}{40} - \frac{1}{2} w_0 L = 0$$

$$A_y = \frac{9w_0 L}{40}$$

$$\zeta + \Sigma M_A = 0; \quad M_A + \frac{11w_0 L}{40} (L) - \frac{1}{2} w_0 L \left(\frac{2}{3} L \right) = 0$$

$$M_A = \frac{7w_0 L^2}{120}$$

F12-15

Remove B_y ,

$$(v_B)_1 = \frac{wL^4}{8EI} = \frac{[10(10^3)](6^4)}{8[200(10^9)][65.0(10^{-6})]} = 0.12461 \text{ m} \downarrow$$

Apply B_y ,

$$(v_B)_2 = \frac{B_y L^3}{3EI} = \frac{B_y (6^3)}{3[200(10^9)][65.0(10^{-6})]} = 5.5385(10^{-6})B_y \uparrow$$

$$(+\downarrow) \quad v_B = (v_B)_1 + (v_B)_2$$

$$0.002 = 0.12461 - 5.5385(10^{-6})B_y$$

$$B_y = 22.314(10^3) \text{ N} = 22.1 \text{ kN}$$

Ans.

Ans.

Ans.

Ans.

Ans.

Ans.

Ans.

Ans.

Ans.

For the beam,

$$\rightarrow \Sigma F_x = 0; \quad A_x = 0$$

$$+\uparrow \Sigma F_y = 0; \quad A_y + 22.14 - 10(6) = 0 \quad A_y = 379 \text{ kN}$$

$$\zeta + \Sigma M_A = 0; \quad M_A + 22.14(6) - 10(6)(3) = 0$$

$$M_A = 472 \text{ kN} \cdot \text{m}$$

Ans.

Ans.

Ans.

F12-16

Remove B_y ,

$$(v_B)_1 = \frac{M_0 L}{6EI(2L)} [(2L)^2 - L^2] = \frac{M_0 L^2}{4EI} \downarrow$$

Apply B_y ,

$$(v_B)_2 = \frac{B_y (2L)^3}{48EI} = \frac{B_y L^3}{6EI} \uparrow$$

$$(+\uparrow) \quad v_B = 0 = (v_B)_1 + (v_B)_2$$

$$0 = -\frac{M_0 L^2}{4EI} + \frac{B_y L^3}{6EI}$$

$$B_y = \frac{3M_0}{2L}$$

Ans.

F12-17

Remove B_y ,

$$(v_B)_1 = \frac{Pbx}{6EI} (L^2 - b^2 - x^2) = \frac{50(4)(6)}{6EI(12)} (12^2 - 4^2 - 6^2)$$

$$= \frac{1533.3 \text{ kN} \cdot \text{m}^3}{EI} \downarrow$$

Apply B_y ,

$$(v_B)_2 = \frac{B_y L^3}{48EI} = \frac{B_y (12^3)}{48EI} = \frac{36B_y}{EI} \uparrow$$

$$(+\uparrow) \quad v_B = 0 = (v_B)_1 + (v_B)_2$$

$$0 = -\frac{1533.3 \text{ kN} \cdot \text{m}^3}{EI} + \frac{36B_y}{EI}$$

$$B_y = 42.6 \text{ kN}$$

Ans.

F12-18

Remove B_y ,

$$(v_B)_1 = \frac{5wL^4}{384EI} = \frac{5[10(10^3)](12^4)}{384[200(10^9)][65.0(10^{-6})]} = 0.20769 \downarrow$$

Apply B_y ,

$$(v_B)_2 = \frac{B_y L^3}{48EI} = \frac{B_y (12^3)}{48[200(10^9)][65.0(10^{-6})]}$$

$$= 2.7692(10^{-6})B_y \uparrow$$

$$(+\uparrow) \quad v_B = (v_B)_1 + (v_B)_2$$

$$-0.005 = -0.20769 + 2.7692(10^{-6})B_y$$

$$B_y = 73.19(10^3) \text{ N} = 73.2 \text{ kN}$$

Ans.

Chapter 13

F13-1

$$P = \frac{\pi^2 EI}{(KL)^2} = \frac{\pi^2 [29(10^3)] \left[\frac{\pi}{4} (0.5)^4 \right]}{[0.5(50)]^2} = 22.5 \text{ kip}$$

$$\sigma = \frac{P}{A} = \frac{22.5}{\pi(0.5)^2} = 28.6 \text{ ksi} < \sigma_Y \quad \text{OK}$$

F13-2

$$P = \frac{\pi^2 EI}{(KL)^2} = \frac{\pi^2 [1.6(10^3)] \left[\frac{1}{12} (4)(2)^3 \right]}{[1(12)(12)]^2}$$

$$= 2.03 \text{ kip}$$

F13-3

For buckling about the x axis, $K_x = 1$ and $L_x = 12$ m.

$$P_{cr} = \frac{\pi^2 EI_x}{(K_x L_x)^2} = \frac{\pi^2 [200(10^9)] [87.3(10^{-6})]}{[1(12)]^2} = 1.197(10^6) \text{ N}$$

For buckling about the y axis, $K_y = 1$ and $L_y = 6$ m.

$$P_{cr} = \frac{\pi^2 EI_y}{(K_y L_y)^2} = \frac{\pi^2 [200(10^9)] [18.8(10^{-6})]}{[1(6)]^2}$$

$$= 1.031(10^6) \text{ N (controls)}$$

$$P_{\text{allow}} = \frac{P_{cr}}{\text{F.S.}} = \frac{1.031(10^6)}{2} = 515 \text{ kN}$$

$$\sigma_{cr} = \frac{P_{cr}}{A} = \frac{1.031(10^6)}{7.4(10^{-3})} = 139.30 \text{ MPa} < \sigma_Y = 345 \text{ MPa (OK)}$$

F13-4

$$A = \pi[(0.025)^2 - (0.015)^2] = 1.257(10^{-3}) \text{ m}^2$$

$$I = \frac{1}{4} \pi [(0.025)^4 - (0.015)^4] = 267.04(10^{-9}) \text{ m}^4$$

$$P = \frac{\pi^2 EI}{(KL)^2} = \frac{\pi^2 [200(10^9)] [267.04(10^{-9})]}{[0.5(5)]^2} = 84.3 \text{ kN}$$

$$\sigma = \frac{P}{A} = \frac{84.3(10^3)}{1.257(10^{-3})} = 67.1 \text{ MPa} < 250 \text{ MPa (OK)}$$

F13-5

Joint A,

$$+\uparrow \Sigma F_y = 0; \quad F_{AB} \left(\frac{3}{5} \right) - P = 0 \quad F_{AB} = 1.6667P \text{ (T)}$$

$$\rightarrow \Sigma F_x = 0; \quad 1.6667P \left(\frac{4}{5} \right) - F_{AC} = 0$$

$$F_{AC} = 1.3333P \text{ (C)}$$

$$A = \frac{\pi}{4} (2)^2 = \pi \text{ in}^2$$

$$I = \frac{\pi}{4} (1^4) = \frac{\pi}{4} \text{ in}^4$$

$$P_{cr} = F(\text{F.S.}) = 1.3333P(2) = 2.6667P$$

$$P_{cr} = \frac{\pi^2 EI}{(KL)^2}$$

$$2.6667P = \frac{\pi^2 [29(10^3)] \left(\frac{\pi}{4} \right)}{[1(4)(12)]^2}$$

$$P = 36.59 \text{ kip} = 36.6 \text{ kip}$$

$$\sigma_{cr} = \frac{P_{cr}}{A} = \frac{2.6667(36.59)}{\pi} = 31.06 \text{ ksi} < \sigma_Y = 50 \text{ ksi (OK)}$$

F13-6

Beam AB,

$$\zeta + \Sigma M_A = 0; \quad w(6)(3) - F_{BC}(6) = 0 \quad F_{BC} = 3w$$

Strut BC,

$$A_{BC} = \frac{\pi}{4} (0.05^2) = 0.625(10^{-3})\pi \text{ m}^2 \quad I = \frac{\pi}{4} (0.025^4)$$

$$= 97.65625(10^{-9})\pi \text{ m}^4$$

$$P_{cr} = F_{BC}(\text{F.S.}) = 3w(2) = 6w$$

$$P_{cr} = \frac{\pi^2 EI}{(KL)^2}$$

$$6w = \frac{\pi^2 [200(10^9)] [97.65625(10^{-9})\pi]}{[1(3)]^2}$$

$$w = 11.215(10^3) \text{ N/m} = 11.2 \text{ kN/m}$$

$$\sigma_{cr} = \frac{P_{cr}}{A} = \frac{6[11.215(10^3)]}{0.625(10^{-3})\pi} = 34.27 \text{ MPa} < \sigma_Y = 345 \text{ MPa (OK)}$$

د انتخاب شویو سوالونو ځوابونه

Selected Answers

Chapter 1

- 1-1. $N_E = 0, V_E = -200 \text{ lb}, M_E = -2.40 \text{ kip} \cdot \text{ft}$
- 1-2. (a) $N_a = 500 \text{ lb}, V_a = 0,$
(b) $N_b = 433 \text{ lb}, V_b = 250 \text{ lb}$
- 1-3. $V_{b-b} = 2.475 \text{ kip}, N_{b-b} = 0.390 \text{ kip},$
 $M_{b-b} = 3.60 \text{ kip} \cdot \text{ft}$
- 1-5. $N_B = 0, V_B = 288 \text{ lb},$
 $M_B = -1.15 \text{ kip} \cdot \text{ft}$
- 1-6. $N_D = 0.703 \text{ kN}, V_D = 0.3125 \text{ kN},$
 $M_D = 0.3125 \text{ kN} \cdot \text{m}$
- 1-7. $N_F = 1.17 \text{ kN}, V_F = 0, M_F = 0, N_E = 0.703 \text{ kN},$
 $V_E = -0.3125 \text{ kN}, M_E = 0.3125 \text{ kN} \cdot \text{m}$
- 1-9. $N_D = 0, V_D = -3.25 \text{ kN}, M_D = 5.625 \text{ kN} \cdot \text{m}$
- 1-10. $N_A = 0, V_A = 450 \text{ lb}, M_A = -1.125 \text{ kip} \cdot \text{ft},$
 $N_B = 0, V_B = 850 \text{ lb}, M_B = -6.325 \text{ kip} \cdot \text{ft},$
 $V_C = 0, N_C = -1.20 \text{ kip}, M_C = -8.125 \text{ kip} \cdot \text{ft}$
- 1-11. $N_D = -527 \text{ lb}, V_D = -373 \text{ lb}, M_D = -373 \text{ lb} \cdot \text{ft},$
 $N_E = 75.0 \text{ lb}, V_E = 355 \text{ lb}, M_E = -727 \text{ lb} \cdot \text{ft}$
- 1-13. $N_{a-a} = -100 \text{ N}, V_{a-a} = 0, M_{a-a} = -15 \text{ N} \cdot \text{m}$
- 1-14. $N_{b-b} = -86.6 \text{ N}, V_{b-b} = 50 \text{ N}, M_{b-b} = -15 \text{ N} \cdot \text{m}$
- 1-15. $N_C = 0, V_C = -1.40 \text{ kip}, M_C = 8.80 \text{ kip} \cdot \text{ft}$
- 1-17. $(N_D)_x = 0, (V_D)_y = 154 \text{ N}, (V_D)_z = -171 \text{ N},$
 $(T_D)_x = 0, (M_D)_y = -94.3 \text{ N} \cdot \text{m},$
 $(M_D)_z = -149 \text{ N} \cdot \text{m}$
- 1-18. $(N_C)_x = 0, (V_C)_y = -246 \text{ N}, (V_C)_z = -171 \text{ N},$
 $(T_C)_x = 0, (M_C)_y = -154 \text{ N} \cdot \text{m},$
 $(M_C)_z = -123 \text{ N} \cdot \text{m}$
- 1-19. $(V_A)_x = 0, (N_A)_y = -25 \text{ lb}, (V_A)_z = 43.3 \text{ lb},$
 $(M_A)_x = 303 \text{ lb} \cdot \text{in.}, (T_A)_y = -130 \text{ lb} \cdot \text{in.},$
 $(M_A)_z = -75 \text{ lb} \cdot \text{in.}$
- 1-21. $N_E = -2.94 \text{ kN}, V_E = -2.94 \text{ kN},$
 $M_E = -2.94 \text{ kN} \cdot \text{m}$
- 1-22. $F_{BC} = 1.39 \text{ kN}, F_A = 1.49 \text{ kN}, N_D = 120 \text{ N},$
 $V_D = 0, M_D = 36.0 \text{ N} \cdot \text{m}$
- 1-23. $N_E = 0, V_E = 120 \text{ N}, M_E = 48.0 \text{ N} \cdot \text{m},$
Short link: $V = 0, N = 1.39 \text{ kN}, M = 0$
- 1-25. $V_B = 496 \text{ lb}, N_B = 59.8 \text{ lb}, M_B = 480 \text{ lb} \cdot \text{ft},$
 $N_C = 495 \text{ lb}, V_C = 70.7 \text{ lb}, M_C = 1.59 \text{ kip} \cdot \text{ft}$
- 1-26. $N_F = 0, V_F = 80 \text{ lb}, M_F = 160 \text{ lb} \cdot \text{ft},$
 $N_G = 16.7 \text{ lb}, V_G = 72.0 \text{ lb}, M_G = 108 \text{ lb} \cdot \text{ft}$
- 1-27. $(V_B)_x = -300 \text{ N}, (N_B)_y = -800 \text{ N}, (V_B)_z = 771 \text{ N},$
 $(M_B)_x = 2.11 \text{ kN} \cdot \text{m}, (T_B)_y = -600 \text{ N} \cdot \text{m},$
 $(M_B)_z = 600 \text{ N} \cdot \text{m}$
- 1-29. $V_B = 0.785 \text{ wr}, N_B = 0, T_B = 0.0783 \text{ wr}^2,$
 $M_B = -0.293 \text{ wr}^2$
- 1-31. $\tau_{\text{avg}} = 119 \text{ MPa}$
- 1-33. $\sigma_{\text{avg}} = \frac{P}{A} \sin^2 \theta, \tau_{\text{avg}} = \frac{P}{2A} \sin 2\theta$
- 1-34. $F = 22.5 \text{ kip}, d = 0.833 \text{ in.}$
- 1-35. $P_{\text{allow}} = 9.12 \text{ kip}$
- 1-37. $P = 40 \text{ MN}, d = 2.40 \text{ m}$
- 1-38. $\sigma = 2.92 \text{ psi}, \tau = 8.03 \text{ psi}$
- 1-39. $\sigma_{BC} = \left\{ \frac{1.528 \cos \theta}{\sin(45^\circ + \theta/2)} \right\} \text{ ksi}$
- 1-41. $P = 37.7 \text{ kN}$
- 1-42. $(\tau_{\text{avg}})_A = 50.9 \text{ MPa}$
- 1-43. $\tau_B = \tau_C = 81.9 \text{ MPa}, \tau_A = 88.1 \text{ MPa}$
- 1-45. $\sigma = (238 - 22.6z) \text{ kPa}$
- 1-46. $\sigma_{AB} = 333 \text{ MPa}, \sigma_{CD} = 250 \text{ MPa}$
- 1-47. $d = 1.20 \text{ m}$
- 1-49. $\tau_{\text{avg}} = 11.1 \text{ ksi}$
- 1-50. $\sigma_{a-a} = 90.0 \text{ kPa}, \tau_{a-a} = 52.0 \text{ kPa}$
- 1-51. $\sigma = 4.69 \text{ MPa}, \tau = 8.12 \text{ MPa}$
- 1-53. $\sigma = [43.75 - 22.5x] \text{ MPa}$
- 1-54. $\sigma = 66.7 \text{ psi}, \tau = 115 \text{ psi}$
- 1-55. $\sigma_{AB} = 127 \text{ MPa}, \sigma_{AC} = 129 \text{ MPa}$
- 1-57. $w = w_1 e^{(w_1^2 r^2 z / (2P))}$
- 1-58. $\theta = 30.7^\circ, \sigma = 152 \text{ MPa}$
- 1-59. $\sigma = \frac{m\omega^2}{8A} (L^2 - 4x^2)$
- 1-61. $\sigma = (32.5 - 20.0x) \text{ MPa}$
- 1-62. $\sigma = \frac{w_0}{2aA} (2a^2 - x^2)$
- 1-63. $\sigma = \frac{w_0}{2aA} (2a - x)^2$
- 1-65. $P = 9.375 \text{ kip}$
- 1-66. $P = 62.5 \text{ kN}$
- 1-67. $\omega = 6.85 \text{ rad/s}$
- 1-69. Use $h = 2\frac{3}{4} \text{ in.}$
- 1-70. $d = 5.71 \text{ mm}$
- 1-71. $P = 0.491 \text{ kip}$
- 1-73. $F = 3.09 \text{ kip}$
- 1-74. $F_H = 20.0 \text{ kN}, F_{BF} = F_{AG} = 15.0 \text{ kN},$
 $d_{EF} = d_{CG} = 11.3 \text{ mm}$
- 1-75. For A' : Use a 3 in. \times 3 in. plate,
For B' : Use a $4\frac{1}{2}$ in. \times $4\frac{1}{2}$ in. plate
- 1-77. Use $d_A = \frac{5}{8} \text{ in.}, d_B = 1\frac{1}{16} \text{ in.}$
- 1-78. $d_{AB} = 4.81 \text{ mm}, d_{AC} = 5.22 \text{ mm}$
- 1-79. $P = 5.83 \text{ kN}$
- 1-81. $d_A = d_B = 5.20 \text{ mm}$
- 1-82. $(F.S.)_{st} = 2.14, (F.S.)_{con} = 3.53$
- 1-83. $W = 680 \text{ lb}$
- 1-85. $d_2 = 35.7 \text{ mm}, d_3 = 27.6 \text{ mm}, d_1 = 22.6 \text{ mm}$
- 1-86. $d_{AB} = 15.5 \text{ mm}, d_{AC} = 13.0 \text{ mm}$
- 1-87. $P = 7.54 \text{ kN}$
- 1-89. $P = 9.09 \text{ kip}$
- 1-90. $d_B = 6.11 \text{ mm}, d_w = 15.4 \text{ mm}$

- 1-91. $P = 55.0 \text{ kN}$
 1-93. $d_{AB} = 6.90 \text{ mm}$, $d_{CD} = 6.20 \text{ mm}$
 1-94. $h = 1.74 \text{ in.}$
 1-95. $d = 0.620 \text{ in.}$, $P_{\max} = 7.25 \text{ kip}$
 1-96. $l = 0.800 \text{ in.}$, $P_{\max} = 24.0 \text{ kip}$, $w = 2.50 \text{ in.}$
 R1-1. $N_D = -2.16 \text{ kip}$, $V_D = 0$, $M_D = 2.16 \text{ kip} \cdot \text{ft}$,
 $V_E = 0.540 \text{ kip}$, $N_E = 4.32 \text{ kip}$, $M_E = 2.16 \text{ kip} \cdot \text{ft}$
 R1-2. $\sigma_x = 208 \text{ MPa}$, $(\tau_{\text{avg}})_a = 4.72 \text{ MPa}$,
 $(\tau_{\text{avg}})_b = 45.5 \text{ MPa}$
 R1-3. Use $l = \frac{1}{4} \text{ in.}$, $d_A = \frac{1}{8} \text{ in.}$, $d_B = \frac{13}{16} \text{ in.}$
 R1-5. $\tau_{\text{avg}} = 25.5 \text{ MPa}$, $\sigma_b = 4.72 \text{ MPa}$
 R1-6. $\sigma_{a-a} = 200 \text{ kPa}$, $\tau_{a-a} = 115 \text{ kPa}$
 R1-7. $\sigma_{40} = 3.98 \text{ MPa}$, $\sigma_{30} = 7.07 \text{ MPa}$,
 $\tau_{\text{avg}} = 5.09 \text{ MPa}$

Chapter 2

- 2-1. $\epsilon = 0.167 \text{ in./in.}$
 2-2. $\epsilon = 0.0472 \text{ in./in.}$
 2-3. $\epsilon_{CE} = 0.00250 \text{ mm/mm}$, $\epsilon_{BD} = 0.00107 \text{ mm/mm}$
 2-5. $\gamma_{xy} = -0.0200 \text{ rad}$
 2-6. $(\gamma_A)_{xy} = -0.0262 \text{ rad}$, $(\gamma_B)_{xy} = -0.205 \text{ rad}$
 $(\gamma_C)_{xy} = -0.205 \text{ rad}$, $(\gamma_D)_{xy} = -0.0262 \text{ rad}$
 2-7. $(\epsilon_{\text{avg}})_{AC} = 6.04(10^{-3}) \text{ mm/mm}$
 2-9. $\epsilon_{AB} = \frac{0.5\Delta L}{L}$
 2-10. $(\gamma_A)_{xy} = 27.8(10^{-3}) \text{ rad}$, $(\gamma_B)_{xy} = 35.1(10^{-3}) \text{ rad}$
 2-11. $(\gamma_{xy})_C = 25.5(10^{-3}) \text{ rad}$, $(\gamma_{xy})_D = 18.1(10^{-3}) \text{ rad}$
 2-13. $\epsilon_{AD} = 0.0566 \text{ mm/mm}$, $\epsilon_{CF} = -0.0255 \text{ mm/mm}$
 2-14. $\epsilon_{AB} = 0.00418 \text{ mm/mm}$
 2-15. $\Delta_B = 6.68 \text{ mm}$
 2-17. $\epsilon = 2kx$
 2-18. $(\gamma_B)_{xy} = 11.6(10^{-3}) \text{ rad}$, $(\gamma_A)_{xy} = 11.6(10^{-3}) \text{ rad}$
 2-19. $(\gamma_C)_{xy} = 11.6(10^{-3}) \text{ rad}$, $(\gamma_D)_{xy} = 11.6(10^{-3}) \text{ rad}$
 2-21. $\epsilon_x = -0.03 \text{ in./in.}$, $\epsilon_y = 0.02 \text{ in./in.}$
 2-22. $\gamma_{xy} = 0.00880 \text{ rad}$
 2-23. $\epsilon_x = 0.00443 \text{ mm/mm}$
 2-25. $\gamma_A = 0$, $\gamma_B = 0.199 \text{ rad}$
 2-26. $(\gamma_{x'y'})_A = -0.0672 \text{ rad}$, $(\gamma_{x'y'})_B = 0.0672 \text{ rad}$
 2-27. $\epsilon_{AB} = -7.77(10^{-3}) \text{ in./in.}$, $\epsilon_{BD} = 0.025 \text{ in./in.}$,
 $\epsilon_{AC} = -0.0417 \text{ in./in.}$
 2-29. $(\epsilon_{\text{avg}})_{AC} = 0.0168 \text{ mm/mm}$, $(\gamma_A)_{xy} = 0.0116 \text{ rad}$
 2-30. $(\epsilon_{\text{avg}})_{BD} = 1.60(10^{-3}) \text{ mm/mm}$,
 $(\gamma_B)_{xy} = 0.0148 \text{ rad}$
 2-31. $(\Delta x)_C = \frac{kL}{\pi}$, $\epsilon_{\text{avg}} = \frac{2k}{\pi}$
 2-33. $\epsilon_{AB} = \frac{v_B \sin \theta}{L} - \frac{u_A \cos \theta}{L}$

Chapter 3

- 3-1. $(\sigma_u)_{\text{approx}} = 110 \text{ ksi}$, $(\sigma_f)_{\text{approx}} = 93.1 \text{ ksi}$,
 $(\sigma_Y)_{\text{approx}} = 55 \text{ ksi}$, $E_{\text{approx}} = 32.0(10^3) \text{ ksi}$
 3-2. $E = 55.3(10^3) \text{ ksi}$, $u_r = 9.96 \frac{\text{in} \cdot \text{lb}}{\text{in}^3}$
 3-3. $(u_t)_{\text{approx}} = 85.0 \frac{\text{in} \cdot \text{lb}}{\text{in}^3}$
 3-5. Elastic recovery = 0.00350 in.,
 Permanent elongation = 0.1565 in.
 3-6. $(u_r)_{\text{approx}} = 20.0 \frac{\text{in} \cdot \text{lb}}{\text{in}^3}$, $(u_t)_{\text{approx}} = 18.0 \frac{\text{in} \cdot \text{kip}}{\text{in}^3}$
 3-7. $\delta_{AB} = 0.152 \text{ in.}$
 3-9. $\delta = 0.979 \text{ in.}$
 3-10. $E_{\text{approx}} = 10.0(10^3) \text{ ksi}$, $P_Y = 9.82 \text{ kip}$,
 $P_u = 13.4 \text{ kip}$
 3-11. Elastic recovery = 0.012 in.,
 Permanent elongation = 0.0680 in.
 3-13. $E = 28.6(10^3) \text{ ksi}$
 3-14. $\delta_{BD} = 0.0632 \text{ in.}$
 3-15. $P = 570 \text{ lb}$
 3-17. $\delta_{AB} = 0.0913 \text{ in.}$
 3-18. $w = 228 \text{ lb/ft}$
 3-19. $\sigma_{YS} = 2.03 \text{ MPa}$
 3-21. $P = 15.0 \text{ kip}$
 3-22. $A_{BC} = 0.8 \text{ in}^2$, $A_{BA} = 0.2 \text{ in}^2$
 3-23. $\delta_{AB} = 0.304 \text{ in.}$
 3-25. $\delta = 0.126 \text{ mm}$, $\Delta d = -0.00377 \text{ mm}$
 3-26. $P = 741 \text{ kPa}$, $\delta = 7.41 \text{ mm}$
 3-27. $v = 0.350$
 3-29. $\gamma = 0.250 \text{ rad}$
 3-30. $\gamma = 3.06(10^{-3}) \text{ rad}$
 3-31. $\gamma_P = 0.0189 \text{ rad}$
 3-33. $E = 32.5(10^3) \text{ ksi}$, $P = 2.45 \text{ kip}$
 3-34. $\delta = \frac{Pa}{2bhG}$
 R3-1. $G_{\text{al}} = 4.31(10^3) \text{ ksi}$
 R3-2. $d' = 0.4989 \text{ in.}$
 R3-3. $x = 1.53 \text{ m}$, $d'_A = 30.008 \text{ mm}$
 R3-5. $P = 6.48 \text{ kip}$
 R3-6. $\epsilon = 0.000999 \text{ in./in.}$, $\epsilon_{\text{unscr}} = 0$
 R3-7. $L = 10.17 \text{ in.}$
 R3-9. $\epsilon_b = 0.00227 \text{ mm/mm}$, $\epsilon_s = 0.000884 \text{ mm/mm}$
 R3-10. $G = 5 \text{ MPa}$

Chapter 4

- 4-1. $\delta_B = 2.93 \text{ mm} \downarrow$, $\delta_A = 3.55 \text{ mm} \downarrow$
 4-2. $\delta_{A/D} = 0.111 \text{ in.}$ away from end D
 4-3. $\sigma_{AB} = 22.2 \text{ ksi (T)}$, $\sigma_{BC} = 41.7 \text{ ksi (C)}$,
 $\sigma_{CD} = 25.0 \text{ ksi (C)}$,
 $\delta_{A/D} = 0.00157 \text{ in.}$ towards end D

- 4-5. $\delta_{A/E} = 0.697 \text{ mm}$
 4-6. $\sigma_A = 13.6 \text{ ksi}$, $\sigma_B = 10.3 \text{ ksi}$, $\sigma_C = 3.2 \text{ ksi}$,
 $\delta_D = 2.99 \text{ ft}$
 4-7. $\delta_C = 0.0975 \text{ mm} \rightarrow$
 4-9. $\delta_F = 0.453 \text{ mm}$
 4-10. $P = 4.97 \text{ kN}$
 4-11. $\delta_I = 0.0260 \text{ in.}$
 4-13. $\delta_D = 17.3 \text{ mm}$
 4-14. $F = 8.00 \text{ kN}$, $\delta_{A/B} = -0.311 \text{ mm}$
 4-15. $F = 4.00 \text{ kN}$, $\delta_{A/B} = -0.259 \text{ mm}$
 4-17. $P = \frac{F_{\max} L}{2}$, $\delta = \frac{F_{\max} L^2}{3AE}$
 4-18. $\delta_B = 0.262 \text{ in.}$
 4-19. $P = 57.3 \text{ kip}$
 4-21. $d_{AB} = 0.841 \text{ in.}$, $d_{CD} = 0.486 \text{ in.}$
 4-22. $x = 4.24 \text{ ft}$, $w = 1.02 \text{ kip/ft}$
 4-23. $\delta_{A/D} = 0.129 \text{ mm}$,
 $h' = 49.9988 \text{ mm}$, $w' = 59.9986 \text{ mm}$
 4-25. $\delta_C = 0.00843 \text{ in.}$, $\delta_E = 0.00169 \text{ in.}$, $\delta_B = 0.0333 \text{ in.}$
 4-26. $P = 6.80 \text{ kip}$
 4-27. $P = 11.8 \text{ kip}$
 4-29. $\delta = 2.37 \text{ mm}$
 4-30. $\delta = \frac{2.63 P}{\pi r E}$
 4-31. $\sigma_{\text{con}} = 2.29 \text{ ksi}$, $\sigma_{\text{st}} = 15.8 \text{ ksi}$
 4-33. $\sigma_{\text{al}} = 27.5 \text{ MPa}$, $\sigma_{\text{st}} = 79.9 \text{ MPa}$
 4-34. $\sigma_{\text{con}} = 1.64 \text{ ksi}$, $\sigma_{\text{st}} = 11.3 \text{ ksi}$
 4-35. $P = 114 \text{ kip}$
 4-37. $F_C = \left[\frac{9(8ka + \pi d^2 E)}{136ka + 18\pi d^2 E} \right] P$,
 $F_A = \left(\frac{64ka + 9\pi d^2 E}{136ka + 18\pi d^2 E} \right) P$
 4-38. $T_{AC} = 0.806 \text{ kip}$, $T_{AB} = 1.19 \text{ kip}$
 4-39. $A_{AB} = 0.0144 \text{ in}^2$
 4-41. $P = 126 \text{ kN}$
 4-42. $\sigma_{\text{st}} = 102 \text{ MPa}$, $\sigma_{\text{br}} = 50.9 \text{ MPa}$
 4-43. $\sigma_{AB} = \sigma_{CD} = 26.5 \text{ MPa}$, $\sigma_{EF} = 33.8 \text{ MPa}$
 4-45. $P_b = 14.4 \text{ kN}$
 4-46. $F_D = 20.4 \text{ kN}$, $F_A = 180 \text{ kN}$
 4-47. $P = 198 \text{ kN}$
 4-49. $\delta_B = 0.0733 \text{ in.}$
 4-50. $\theta = 0.0875^\circ$
 4-51. $\delta_B = 0.00257 \text{ in.}$
 4-53. $F_D = 71.4 \text{ kN}$, $F_C = 329 \text{ kN}$
 4-54. $F_D = 219 \text{ kN}$, $F_C = 181 \text{ kN}$
 4-55. $\sigma_{BE} = 96.3 \text{ MPa}$, $\sigma_{AD} = 79.6 \text{ MPa}$,
 $\sigma_{CF} = 113 \text{ MPa}$
 4-57. $d_{AC} = 1.79 \text{ mm}$
 4-58. $F_B = 16.9 \text{ kN}$, $F_A = 16.9 \text{ kN}$
 4-59. $\delta_{\text{sp}} = 0.0390 \text{ mm}$
 4-61. $s = 0.133(10^{-3}) \text{ in.}$
 4-62. $F_A = F_B = 25.6 \text{ kN}$
 4-63. $\delta_A = \delta_B = 4.42 \text{ mm}$
 4-65. $A'_1 = \left(\frac{E_1}{E_2} \right) A_1$
 4-66. $A'_2 = \left(\frac{E_2}{E_1} \right) A_2$
 4-67. $F_{AB} = 12.0 \text{ kN (T)}$, $F_{AC} = F_{AD} = 6.00 \text{ kN (C)}$
 4-69. $\sigma_{\text{al}} = 2.46 \text{ ksi}$, $\sigma_{\text{br}} = 5.52 \text{ ksi}$, $\sigma_{\text{st}} = 22.1 \text{ ksi}$
 4-70. $F = 0.510 \text{ kip}$
 4-71. $T_2 = 112^\circ\text{F}$, $\sigma_{\text{al}} = \sigma_{\text{cu}} = 25.6 \text{ ksi}$
 4-73. $\sigma = 19.1 \text{ ksi}$
 4-74. $F = 7.60 \text{ kip}$
 4-75. $\delta = 0.348 \text{ in.}$, $F = 19.5 \text{ kip}$
 4-77. $F = \frac{\alpha AE}{2} (T_B - T_A)$
 4-78. $\sigma = 180 \text{ MPa}$
 4-79. $\sigma = 105 \text{ MPa}$
 4-81. $F = 904 \text{ N}$
 4-82. $T_2 = 244^\circ\text{C}$
 4-83. $F_{AC} = F_{AB} = 10.0 \text{ lb}$, $F_{AD} = 136 \text{ lb}$
 4-85. $F_{AB} = F_{EF} = 1.85 \text{ kN}$
 4-86. $d = \left(\frac{2E_2 + E_1}{3(E_2 + E_1)} \right) w$
 4-87. $\sigma_{\text{max}} = 168 \text{ MPa}$
 4-89. $P = 49.1 \text{ kN}$
 4-90. $P = 77.1 \text{ kN}$, $\delta = 0.429 \text{ mm}$
 4-91. $P = 1.34 \text{ kip}$
 4-93. $w = 2.32 \text{ in.}$
 4-94. $P = 16.8 \text{ kip}$, $K = 1.29$
 4-95. $P = 19 \text{ kN}$, $K = 1.26$
 4-97. $F_{\text{st}} = 444 \text{ N}$, $F_{\text{al}} = 156 \text{ N}$
 $F_{\text{st}} = 480 \text{ N}$, $F_{\text{al}} = 240 \text{ N}$
 4-98. $\delta_{\text{tot}} = 0.432 \text{ in.}$
 4-99. $\sigma_A = \sigma_B = \sigma_C = 53.3 \text{ ksi}$, $\delta = 8.69 \text{ in.}$
 4-101. $F_{AB} = 3.14 \text{ kN}$, $F_{CD} = 2.72 \text{ kN}$,
 $\delta_{CD} = 0.324 \text{ mm}$, $\delta_{AB} = 0.649 \text{ mm}$
 4-102. (a) $P = 2.62 \text{ kN}$, (b) $P = 3.14 \text{ kN}$
 4-103. $\sigma_{\text{st}} = 36.0 \text{ ksi}$, $\sigma_{\text{al}} = 19.8 \text{ ksi}$
 4-105. $(\sigma_{CF})_r = 17.7 \text{ MPa (C)}$, $(\sigma_{BE})_r = 53.2 \text{ MPa (T)}$
 $(\sigma_{AD})_r = 35.5 \text{ MPa (C)}$
 4-106. $P = 92.8 \text{ kN}$, $P = 181 \text{ kN}$
 4-107. $d_B = 17.8 \text{ mm}$
 4-109. $\delta = 0.0120 \text{ in.}$
 4-110. $w = 0.130 \text{ kip/ft}$, $\delta = 0.0596 \text{ in.}$
 R4-1. $\sigma_b = 33.5 \text{ MPa}$, $\sigma_r = 16.8 \text{ MPa}$
 R4-2. $T = 507^\circ\text{C}$
 R4-3. $F_{AB} = F_{AC} = F_{AD} = 58.9 \text{ kN (C)}$

- R4-5. At yielding of section AB :
 $(F_{AB})_Y = 30 \text{ kip}$, $(F_{BC})_Y = 120 \text{ kip}$, $P = 150 \text{ kip}$
 R4-6. $F_B = 2.13 \text{ kip}$, $F_A = 2.14 \text{ kip}$
 R4-7. $P = 4.85 \text{ kip}$
 R4-9. $\delta_{A/B} = 0.491 \text{ mm}$

Chapter 5

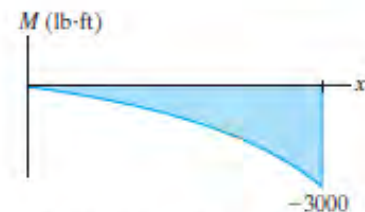
- 5-1. $r' = 0.841r$
 5-2. $r' = 0.707r$
 5-3. $T = 19.6 \text{ kN} \cdot \text{m}$, $T' = 13.4 \text{ kN} \cdot \text{m}$
 5-5. $\tau_A = 3.45 \text{ ksi}$, $\tau_B = 2.76 \text{ ksi}$
 5-6. $(T_1)_{\max} = 2.37 \text{ kN} \cdot \text{m}$, $(\tau_{\max})_{CD} = 35.6 \text{ MPa}$,
 $(\tau_{\max})_{DE} = 23.3 \text{ MPa}$
 5-7. $\tau_{\max}^{\text{abs}} = 44.8 \text{ MPa}$
 5-9. $\tau_B = 6.79 \text{ MPa}$, $\tau_A = 7.42 \text{ MPa}$
 5-10. $\tau_{\max} = 14.5 \text{ MPa}$
 5-11. $\tau_{AB} = 7.82 \text{ ksi}$, $\tau_{BC} = 2.36 \text{ ksi}$
 5-13. $\tau_i = 34.5 \text{ MPa}$, $\tau_o = 43.1 \text{ MPa}$
 5-14. Use $d = 1\frac{3}{4} \text{ in.}$
 5-15. $(\tau_{AB})_{\max} = 23.9 \text{ MPa}$, $(\tau_{BC})_{\max} = 15.9 \text{ MPa}$
 5-17. $\tau_{\max} = 4.89 \text{ ksi}$
 5-18. $\tau_{\max} = 7.33 \text{ ksi}$
 5-19. $\tau_A = 1.31 \text{ ksi}$, $\tau_B = 2.62 \text{ ksi}$
 5-21. $\tau_A = 9.43 \text{ MPa}$, $\tau_B = 14.1 \text{ MPa}$
 5-22. $\tau_{\max}^{\text{abs}} = 0$ occurs at $x = 0.700 \text{ m}$,
 $\tau_{\max}^{\text{abs}} = 33.0 \text{ MPa}$ occurs at $x = 0$.
 5-23. $d = 34.4 \text{ mm}$
 5-25. $d = 46.7 \text{ mm}$
 5-26. $T_B = \frac{2T_A + t_A L}{2}$, $\tau_{\max} = \frac{(2T_A + t_A L)r_o}{\pi(r_o^4 - r_i^4)}$
 5-27. $t = 0.174 \text{ in.}$
 5-29. $c = (2.98x) \text{ mm}$
 5-30. Use $d = 1\frac{3}{8} \text{ in.}$
 5-31. $(\tau_{AB})_{\max} = 1.04 \text{ MPa}$, $(\tau_{BC})_{\max} = 3.11 \text{ MPa}$
 5-33. $\tau_{\max} = 856 \text{ psi}$
 5-34. Use $d = \frac{1}{2} \text{ in.}$
 5-35. $\tau_{\max} = 1.07 \text{ ksi}$
 5-37. Use $d = \frac{11}{16} \text{ in.}$
 5-38. $\tau_{\max} = 6.57 \text{ ksi}$
 5-39. $(\tau_{\max})_{CF} = 12.5 \text{ MPa}$, $(\tau_{\max})_{BC} = 7.26 \text{ MPa}$
 5-41. $t = 2.28 \text{ mm}$
 5-42. $\omega = 17.7 \text{ rad/s}$
 5-43. $\tau_{\max} = \frac{2TL^3}{\pi[r_A(L-x) + r_B x]^3}$
 5-45. $(\tau_{\max})_B = 12.2 \text{ ksi}$

- 5-46. Use $d_i = 1\frac{5}{8} \text{ in.}$
 5-47. $\tau_{\max} = 44.3 \text{ MPa}$, $\phi = 11.9^\circ$
 5-49. $\phi_{B/A} = 0.730^\circ \text{ } \mathcal{R}$
 5-50. $\tau_{\max}^{\text{abs}} = 10.2 \text{ MPa}$
 5-51. $T = 5.09 \text{ kN} \cdot \text{m}$, $\phi_{A/C} = 3.53^\circ$
 5-53. $\phi_A = 1.57^\circ \text{ } \mathcal{R}$
 5-54. Use $d = 22 \text{ mm}$, $\phi_{A/D} = 2.54^\circ \text{ } \mathcal{R}$
 5-55. Use $d = 25 \text{ mm}$
 5-57. $\tau_{\max} = 9.12 \text{ MPa}$, $\phi_{E/B} = 0.585^\circ$
 5-58. $\tau_{\max} = 14.6 \text{ MPa}$, $\phi_{B/E} = 1.11^\circ$
 5-59. $\phi_{B/D} = 1.15^\circ$
 5-61. $\tau_{\max}^{\text{abs}} = 20.4 \text{ MPa}$,
 For $0 \leq x < 0.5 \text{ m}$,
 $\phi(x) = \{0.005432(x^2 + x)\} \text{ rad}$
 For $0.5 \text{ m} < x \leq 1 \text{ m}$,
 $\phi(x) = [-0.01086x^2 + 0.02173x - 0.004074] \text{ rad}$
 5-62. $\tau_{\max}^{\text{abs}} = 24.3 \text{ MPa}$, $\phi_{D/A} = 0.929^\circ$
 5-63. $\phi_{A/C} = 5.45^\circ$
 5-65. $\phi_{D/C} = 0.0823 \text{ rad}$, $\tau_{\max}^{\text{abs}} = 34.0 \text{ ksi}$
 5-66. $t = 7.53 \text{ mm}$
 5-67. $\omega = 131 \text{ rad/s}$
 5-69. $k = 1.20(10^6) \text{ N/m}^2$, $\phi = 3.56^\circ$
 5-70. $k = 12.3(10^3) \text{ N/m}^2$, $\phi = 2.97^\circ$
 5-71. $d_i = 201 \text{ mm}$, $\phi = 3.30^\circ$
 5-73. $\phi_{F/E} = 0.999(10)^{-3} \text{ rad}$, $\phi_{F/D} = 0.999(10)^{-3} \text{ rad}$,
 $\tau_{\max} = 3.12 \text{ MPa}$
 5-74. $\phi = \frac{t_0 L^2}{\pi c^4 G}$
 5-75. $\phi_A = 0.432^\circ \text{ } \mathcal{R}$
 5-77. $(\tau_{AC})_{\max} = 14.3 \text{ MPa}$, $(\tau_{CB})_{\max} = 9.55 \text{ MPa}$
 5-78. $\tau_{\max}^{\text{abs}} = 9.77 \text{ MPa}$
 5-79. $\tau_{\max} = 29.3 \text{ ksi}$
 5-81. $\tau_{\max} = 389 \text{ psi}$
 5-82. $(\tau_{\max})_{AC} = 68.2 \text{ MPa}$, $(\tau_{\max})_{BC} = 90.9 \text{ MPa}$
 5-83. $(\tau_{AC})_{\max} = 9.55 \text{ MPa}$, $(\tau_{CB})_{\max} = 6.37 \text{ MPa}$
 5-85. $(\tau_{st})_{\max} = 86.5 \text{ MPa}$, $(\tau_{\text{mg}})_{\max} = 41.5 \text{ MPa}$,
 $(\tau_{\text{mg}})|_{\rho=0.02 \text{ m}} = 20.8 \text{ MPa}$
 5-86. $T_B = 22.2 \text{ N} \cdot \text{m}$, $T_A = 55.6 \text{ N} \cdot \text{m}$
 5-87. $\phi_E = 1.66^\circ$
 5-89. $\tau_{\max}^{\text{abs}} = 64.1 \text{ MPa}$
 5-90. $(\tau_{BD})_{\max} = 4.35 \text{ ksi}$, $(\tau_{AC})_{\max} = 2.17 \text{ ksi}$
 5-91. $\phi_{C/D} = 6.22^\circ$
 5-93. $T_B = \frac{37}{189}T$, $T_A = \frac{152}{189}T$
 5-94. $T_B = \frac{7t_0 L}{12}$, $T_A = \frac{3t_0 L}{4}$
 5-95. $T = 0.0820 \text{ N} \cdot \text{m}$, $\phi = 25.5 \text{ rad}$
 5-97. Factor of increase = $\frac{1}{k^2}$

- 5-98. $(\tau_{BC})_{\max} = 0.955 \text{ MPa}$, $(\tau_{AC})_{\max} = 1.59 \text{ MPa}$,
 $\phi_{B/A} = 0.207^\circ$
- 5-99. $(\tau_{BC})_{\max} = 0.955 \text{ MPa}$, $(\tau_{AC})_{\max} = 1.59 \text{ MPa}$,
 $\phi_{B/C} = 0.0643^\circ$
- 5-101. $T = 1.35 \text{ kip} \cdot \text{ft}$, $\phi = 3.42^\circ$
- 5-102. $T_B = 26.7 \text{ lb} \cdot \text{ft}$, $T_A = 33.3 \text{ lb} \cdot \text{ft}$, $\phi_C = 0.0626^\circ$
- 5-103. $\tau_{\text{avg}} = 3.35 \text{ ksi}$
- 5-105. $\tau_{\max} = 61.1 \text{ MPa}$, $\phi_B = 0.700^\circ$
- 5-106. Use $a = 47 \text{ mm}$, $\phi_B = 0.897^\circ$
- 5-107. $T = 6.65 \text{ kip} \cdot \text{ft}$
- 5-109. Factor of increase = 1.66
- 5-110. $a = 28.9 \text{ mm}$
- 5-111. $\tau_{\text{avg}} = 1.25 \text{ MPa}$
- 5-113. $t = 0.231 \text{ in.}$
- 5-114. $T = 9.00 \text{ kip} \cdot \text{ft}$
- 5-115. $b = 0.773 \text{ in.}$
- 5-117. $T = 3.36 \text{ kN} \cdot \text{m}$, $\phi = 11.6^\circ$
- 5-118. $\tau_{\text{avg}} = 1.19 \text{ MPa}$
- 5-119. $(\tau_{\text{avg}})_A = (\tau_{\text{avg}})_B = 357 \text{ kPa}$
- 5-121. It is possible.
- 5-122. $P = 250 \text{ kW}$
- 5-123. $\tau_{\max} = 2.76 \text{ ksi}$
- 5-125. $T_Y = 1.26 \text{ kN} \cdot \text{m}$, $\phi = 3.58^\circ$, $\phi' = 4.86^\circ$
- 5-126. $\rho_Y = 13.0 \text{ mm}$
- 5-127. $T_P = 0.105 \text{ N} \cdot \text{m}$
- 5-129. $T = 20.8 \text{ kN} \cdot \text{m}$, $\phi = 34.4^\circ$, $(\tau_r)_{\max} = 56.7 \text{ MPa}$,
 $\phi_r = 12.2^\circ$
- 5-130. $T = 14.4 \text{ kip} \cdot \text{ft}$
- 5-131. $\rho_Y = 1.29 \text{ in.}$
- 5-133. $T_P = 34.3 \text{ kN} \cdot \text{m}$, $\phi_r = 5.24^\circ$, $(\tau_r)_o = 15.3 \text{ MPa}$,
 $(\tau_r)_i = -17.3 \text{ MPa}$
- 5-134. $T_P = 80.6 \text{ kN} \cdot \text{m}$, $\phi_r = 1.47^\circ$
- 5-135. $\rho_Y = 1.00 \text{ in.}$, $\phi = 12.4^\circ$
- 5-137. $T = 148 \text{ kN} \cdot \text{m}$
- 5-138. $T_P = 11.6 \text{ kN} \cdot \text{m}$, $\phi = 3.82^\circ$
- 5-139. $\rho_Y = 26.7 \text{ mm}$
- 5-141. $T = 193 \text{ lb} \cdot \text{ft}$, $\phi = 17.2^\circ$
- 5-142. $T_P = 218 \text{ lb} \cdot \text{ft}$
- 5-143. $T_i = 7.39 \text{ kN} \cdot \text{m}$, $T_c = 7.61 \text{ kN} \cdot \text{m}$
- R5-1. Use $d = 26 \text{ mm}$, $\phi_{A/C} = 2.11^\circ$
- R5-2. Use $d = 28 \text{ mm}$.
- R5-3. $\tau = 88.3 \text{ MPa}$, $\phi = 4.50^\circ$
- R5-5. The circular shaft will resist the largest torque.
 For the square shaft: 73.7%,
 For the triangular shaft: 62.2%
- R5-6. $(\tau_{\max})_{AB} = 3.60 \text{ ksi}$, $(\tau_{\max})_{BC} = 10.7 \text{ ksi}$
- R5-7. $P = 2.80 \text{ kip}$
- R5-9. $P = 1.10 \text{ kW}$, $\tau_{\max} = 825 \text{ kPa}$

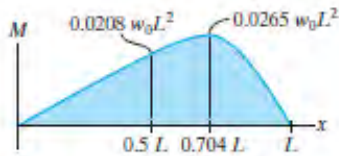
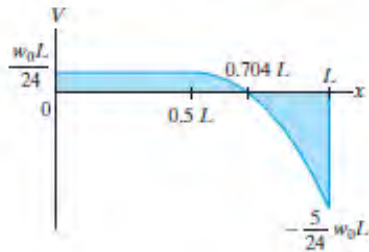
Chapter 6

- 6-1. For $0 \leq x < 3 \text{ ft}$:
 $V = 170 \text{ lb}$,
 $M = (170x) \text{ lb} \cdot \text{ft}$,
 For $3 \text{ ft} < x < 5 \text{ ft}$:
 $V = -630 \text{ lb}$,
 $M = (-630x + 2400) \text{ lb} \cdot \text{ft}$,
 For $5 \text{ ft} < x \leq 6 \text{ ft}$:
 $V = 500 \text{ lb}$,
 $M = (500x - 3250) \text{ lb} \cdot \text{ft}$
- 6-2. For $0 < x \leq 4 \text{ ft}$:
 $V = -250 \text{ lb}$,
 $M = (-250x) \text{ lb} \cdot \text{ft}$,
 For $4 \text{ ft} \leq x \leq 10 \text{ ft}$: $V = (1050 - 150x) \text{ lb}$,
 $M = (-75x^2 + 1050x - 4000) \text{ lb} \cdot \text{ft}$,
 For $10 \text{ ft} < x \leq 14 \text{ ft}$: $V = 250 \text{ lb}$,
 $M = (250x - 3500) \text{ lb} \cdot \text{ft}$
- 6-3. For $0 \leq x < 6 \text{ ft}$:
 $V = (30.0 - 2x) \text{ kip}$,
 $M = (-x^2 + 30.0x - 216) \text{ kip} \cdot \text{ft}$,
 For $6 \text{ ft} < x \leq 10 \text{ ft}$:
 $V = 8.00 \text{ kip}$,
 $M = (8.00x - 120) \text{ kip} \cdot \text{ft}$
- 6-5. $V = (-300 - 16.67x^2) \text{ lb}$,
 $M = (-300x - 5.556x^3) \text{ lb} \cdot \text{ft}$

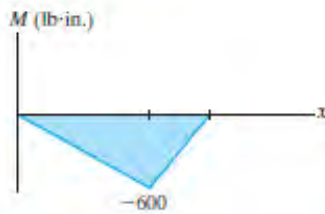
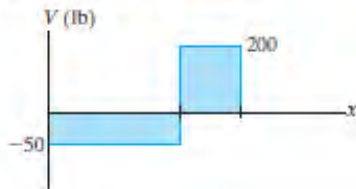


- 6-6. $V = 15.6 \text{ N}$, $M = (15.6x + 100) \text{ N} \cdot \text{m}$

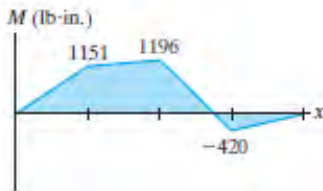
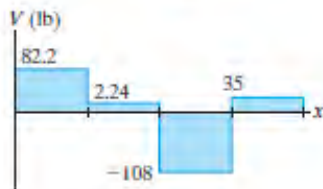
6-7. For $0 \leq x < \frac{L}{2}$: $V = \frac{w_0 L}{24}$, $M = \frac{w_0 L}{24} x$,
 For $\frac{L}{2} < x \leq L$: $V = \frac{w_0}{24L} [L^2 - 6(2x - L)^2]$,
 $M = \frac{w_0}{24L} [L^2 x - (2x - L)^3]$



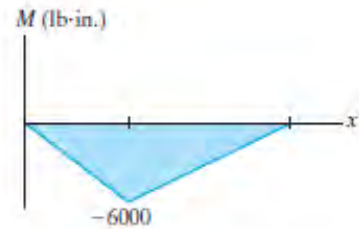
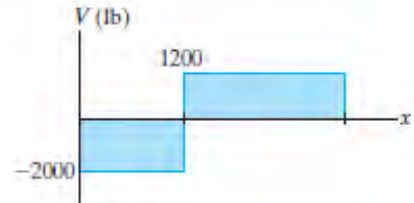
6-9. $T_1 = 250 \text{ lb}$, $T_2 = 200 \text{ lb}$



6-10.



6-11.



6-13. $V = -\frac{M_0}{L}$,

For $0 \leq x < \frac{L}{2}$, $M = M_0 - \left(\frac{M_0}{L}\right)x$,

For $\frac{L}{2} < x \leq L$, $M = -\left(\frac{M_0}{L}\right)x$

6-14. For $0 \leq x < 5 \text{ ft}$:

$V = [-2x] \text{ kip}$,

$M = \{-x^2\} \text{ kip} \cdot \text{ft}$,

For $5 \text{ ft} < x < 10 \text{ ft}$:

$V = -0.5 \text{ kip}$,

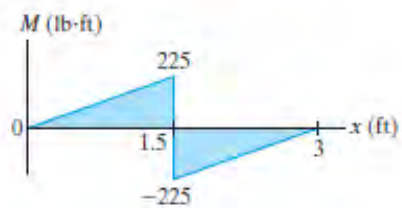
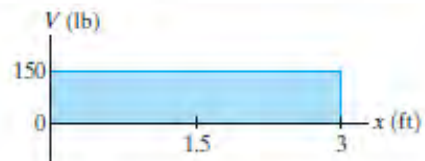
$M = [-22.5 - 0.5x] \text{ kip} \cdot \text{ft}$,

For $10 \text{ ft} < x \leq 15 \text{ ft}$:

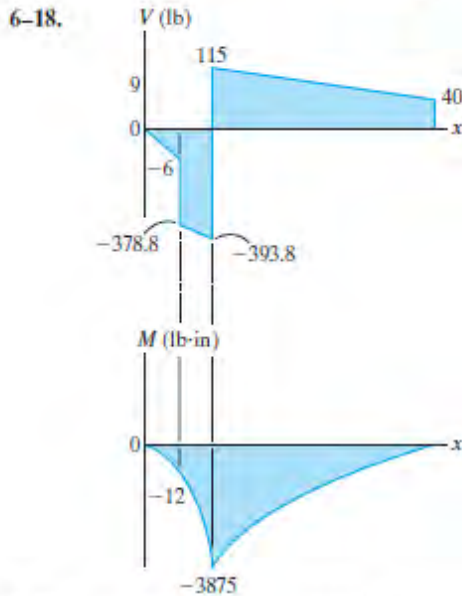
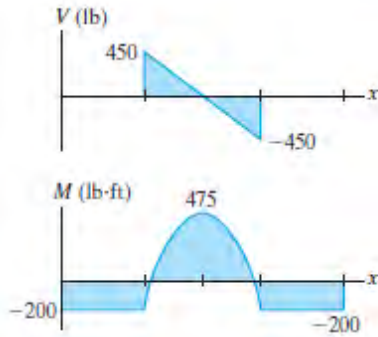
$V = -0.5 \text{ kip}$,

$M = [7.5 - 0.5x] \text{ kip} \cdot \text{ft}$

6-15.



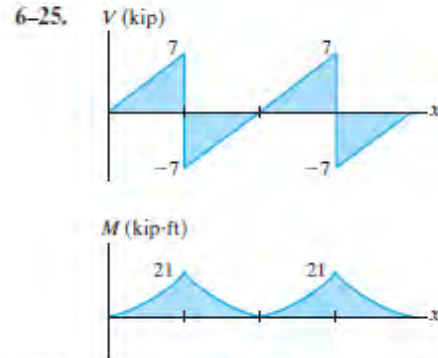
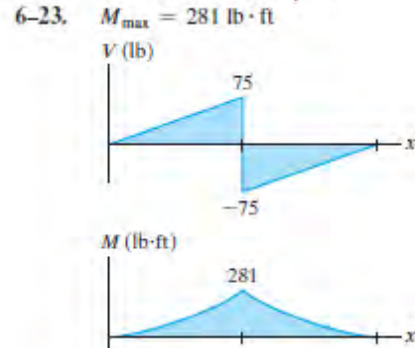
6-17. $V = 1050 - 150x$
 $M = -75x^2 + 1050x - 3200$



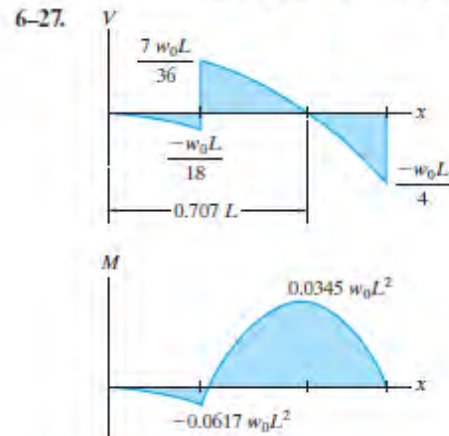
6-19. $a = 0.866L, M_{max} = 0.134 PL$

6-21. For $0 \leq x < 5$ ft:
 $V = \{-2x\}$ kip,
 $M = \{-20.0 - x^2\}$ kip·ft,
 For $5 \text{ ft} < x < 10$ ft:
 $V = 3.00$ kip,
 $M = \{-20.0 + 3x\}$ kip·ft,
 For $10 \text{ ft} < x \leq 15$ ft:
 $V = \{23 - 2x\}$ kip,
 $M = \{-120 + 23x - x^2\}$ kip·ft

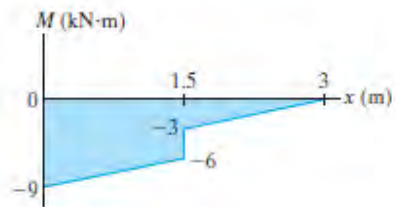
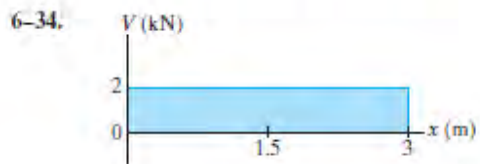
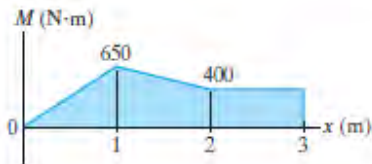
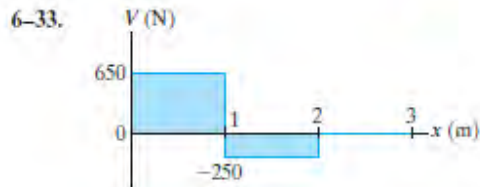
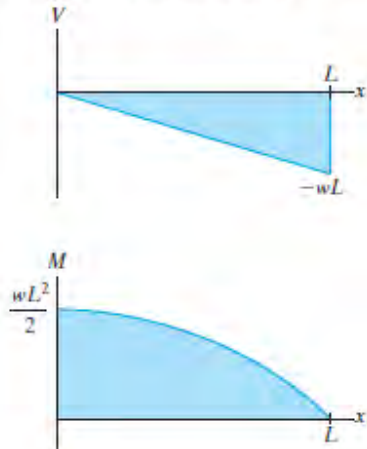
6-22. For $0 \leq x < 12$ ft:
 $V = \left\{10 - \frac{1}{8}x^2\right\}$ kip,
 $M = \left\{10x - \frac{1}{24}x^3\right\}$ kip·ft,
 For $12 \text{ ft} < x \leq 18$ ft:
 $V = -8$ kip,
 $M = [8(18 - x)]$ kip·ft



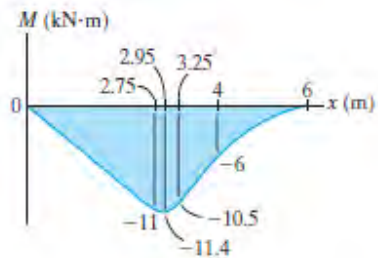
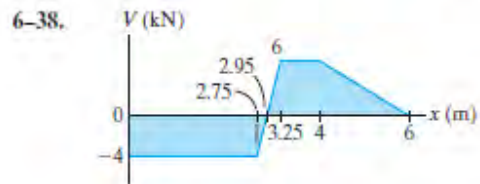
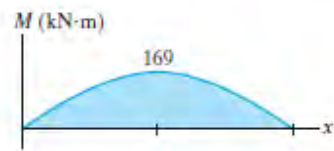
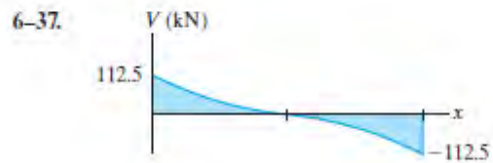
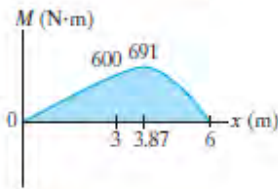
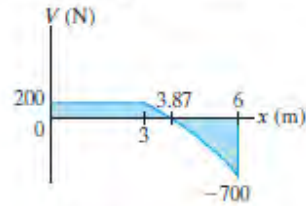
6-26. $V_{AB} = -1.625$ kip, $M_B = -18$ kip·ft

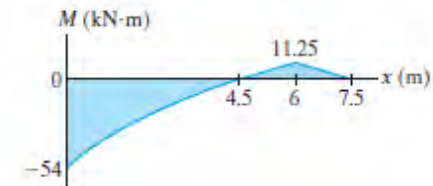
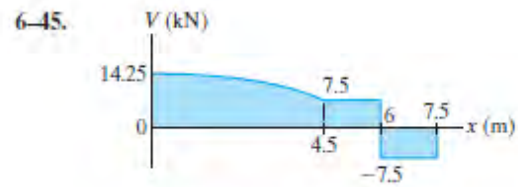
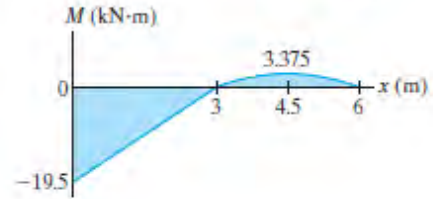
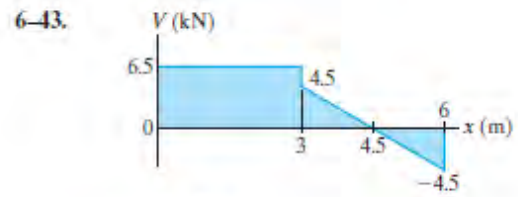
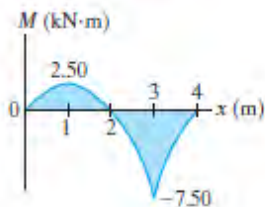
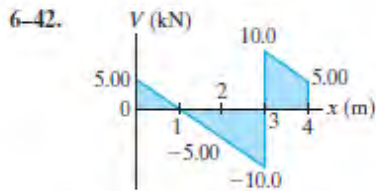
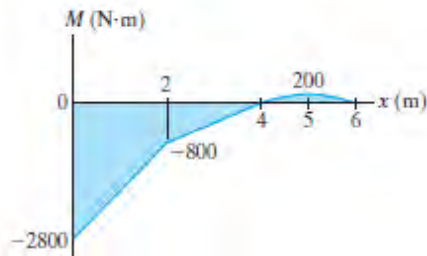
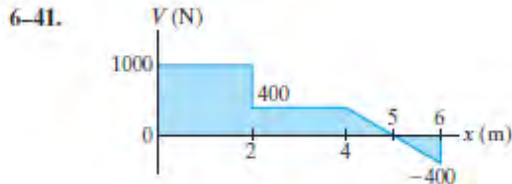
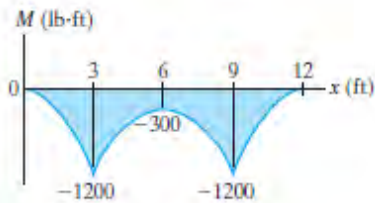
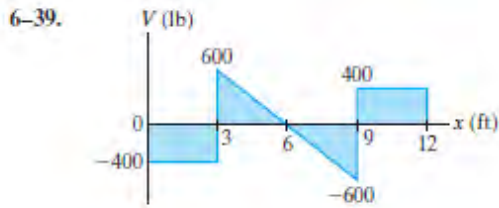


- 6-29. $V_B = -45 \text{ kN}, M_B = -63 \text{ kN} \cdot \text{m}$
 6-30. $V|_{x=15 \text{ ft}} = 1.12 \text{ kip}, M|_{x=15} = -1.95 \text{ kip} \cdot \text{ft}$
 6-31.



- 6-35. For $0 \leq x < 3 \text{ m}$: $V = 200 \text{ N}, M = (200x) \text{ N} \cdot \text{m}$.
 For $3 \text{ m} < x \leq 6 \text{ m}$: $V = \left\{ -\frac{100}{3}x^2 + 500 \right\} \text{ N}$,
 $M = \left\{ -\frac{100}{9}x^3 + 500x - 600 \right\} \text{ N} \cdot \text{m}$





- 6-46. $a = 0.207L$
 6-47. $r = 909 \text{ mm}$, $M = 61.9 \text{ N} \cdot \text{m}$
 6-49. $(\sigma_t)_{\max} = 3.72 \text{ ksi}$, $(\sigma_c)_{\max} = 1.78 \text{ ksi}$
 6-50. $\sigma_{\max} = 1.46 \text{ ksi}$
 6-51. $F = 10.5 \text{ kip}$
 6-53. $F = 4.56 \text{ kN}$
 6-54. $(\sigma_{\max})_c = 78.1 \text{ MPa}$, $(\sigma_{\max})_t = 165 \text{ MPa}$
 6-55. $M = 50.3 \text{ kN} \cdot \text{m}$
 6-57. $M = 15.6 \text{ kN} \cdot \text{m}$, $\sigma_{\max} = 12.0 \text{ MPa}$
 6-58. $\sigma_{\max} = 93.0 \text{ psi}$
 6-59. $F = 753 \text{ lb}$
 6-61. % of moment carried by web = 22.6%
 6-62. $\sigma_A = 199 \text{ MPa}$, $\sigma_B = 66.2 \text{ MPa}$
 6-63. $\sigma_{\max} = 20.4 \text{ ksi}$
 6-65. (a) $\sigma_{\max} = 497 \text{ kPa}$, (b) $\sigma_{\max} = 497 \text{ kPa}$
 6-66. (a) $\sigma_{\max} = 249 \text{ kPa}$, (b) $\sigma_{\max} = 249 \text{ kPa}$
 6-67. $\sigma_{\max} = 158 \text{ MPa}$
 6-69. $\sigma_{\max} = 12.2 \text{ ksi}$
 6-70. $\sigma_{\max} = 2.70 \text{ ksi}$
 6-71. $\sigma_{\max} = 21.1 \text{ ksi}$
 6-73. $d = 1.28 \text{ in.}$

- 6-74. $\sigma_{\max} = 45.1 \text{ ksi}$
 6-75. $\sigma_{\max} = 52.8 \text{ MPa}$
 6-77. $(\sigma_{\max})_c = 1.87 \text{ ksi}$, $(\sigma_{\max})_t = 1.37 \text{ ksi}$
 6-78. $M = 2.92 \text{ kip} \cdot \text{ft}$
 6-79. $F_R = 4.23 \text{ kip}$
 6-81. $M = 123 \text{ kN} \cdot \text{m}$
 6-82. $\sigma_{\max} = 24.4 \text{ ksi}$
 6-83. Use $d = 3\frac{1}{16} \text{ in.}$
 6-85. $w = 18.75 \text{ kN/m}$
 6-86. Use $b = 3\frac{5}{8} \text{ in.}$
 6-87. $w_0 = 415 \text{ lb/ft}$
 6-89. $a = 66.9 \text{ mm}$
 6-90. $\sigma_{\max} = \frac{23w_0 L^2}{36bh^2}$
 6-91. $\sigma_{\max} = 119 \text{ MPa}$
 6-93. $\sigma_{\text{abs}}^{\max} = 24.0 \text{ ksi}$
 6-94. $\sigma_{\text{abs}}^{\max} = 6.88 \text{ ksi}$
 6-95. Use $d = 1\frac{3}{8} \text{ in.}$
 6-97. $P = 114 \text{ kip}$
 6-98. $\sigma_{\max} = 7.59 \text{ ksi}$
 6-99. $\sigma_{\max} = 22.1 \text{ ksi}$
 6-101. $d = 410 \text{ mm}$
 6-102. $w = 937.5 \text{ N/m}$
 6-103. $\sigma_{\text{abs}}^{\max} = 10.7 \text{ MPa}$
 6-105. $\sigma_A = -119 \text{ kPa}$, $\sigma_B = 446 \text{ kPa}$, $\sigma_D = -446 \text{ kPa}$,
 $\sigma_E = 119 \text{ kPa}$
 6-106. $a = 0$, $b = -\left(\frac{M_z I_y + M_y I_{yz}}{I_y I_z - I_{yz}^2}\right)$, $c = \frac{M_y I_z + M_z I_{yz}}{I_y I_z - I_{yz}^2}$
 6-107. $\sigma_A = 21.0 \text{ ksi (C)}$
 6-109. $d = 62.9 \text{ mm}$
 6-110. $\sigma_{\max} = 163 \text{ MPa}$
 6-111. $\sigma_A = 20.6 \text{ MPa (C)}$
 6-113. $\sigma_D = 8.72 \text{ ksi (T)}$, $\sigma_B = 8.72 \text{ ksi (C)}$, $\alpha = -36.9^\circ$
 6-114. $M = 25.8 \text{ kip} \cdot \text{ft}$
 6-115. $d = 28.9 \text{ mm}$
 6-117. $\sigma_A = 2.59 \text{ MPa (T)}$
 6-118. $\sigma_{\max} = 151 \text{ MPa}$, $\alpha = 72.5^\circ$
 6-119. $w = 4.37 \text{ kN/m}$
 6-121. $M = 128 \text{ kN} \cdot \text{m}$
 6-122. $(\sigma_{\max})_{st} = 22.6 \text{ ksi}$, $(\sigma_{\max})_{al} = 13.3 \text{ ksi}$
 6-123. $w = 0.875 \text{ kip/ft}$
 6-125. $M = 35.0 \text{ kN} \cdot \text{m}$
 6-126. $(\sigma_{\max})_{st} = 123 \text{ MPa}$, $(\sigma_{\max})_w = 5.14 \text{ MPa}$
 6-127. $(\sigma_{st})_{\max} = 56.5 \text{ MPa}$, $(\sigma_w)_{\max} = 3.70 \text{ MPa}$
 6-129. $(\sigma_{st})_{\max} = 43.4 \text{ MPa}$, $(\sigma_w)_{\max} = 1.81 \text{ MPa}$
 6-130. $M = 154 \text{ lb} \cdot \text{ft}$
 6-131. $w_0 = 1.03 \text{ kip/ft}$
 6-133. $M = 58.8 \text{ kN} \cdot \text{m}$
 6-134. $(\sigma_{\max})_{st} = 154 \text{ MPa}$, $(\sigma_{\max})_{al} = 171 \text{ MPa}$
 6-135. $(\sigma_{\max})_{st} = 4.55 \text{ MPa}$, $(\sigma_{\max})_w = 0.298 \text{ MPa}$
 6-137. % of error = 22.3%
 6-138. $M = 51.8 \text{ kN} \cdot \text{m}$
 6-139. $\sigma_{\max} = 842 \text{ psi (T)}$
 6-141. $\sigma_A = 43.7 \text{ MPa (T)}$, $\sigma_B = 7.77 \text{ MPa (T)}$,
 $\sigma_C = -65.1 \text{ MPa (C)}$
 6-142. $P = 6.91 \text{ kN}$
 6-143. $(\sigma_{\max})_t = 204 \text{ psi}$, $(\sigma_{\max})_c = 120 \text{ psi}$
 6-145. $(\sigma_{\max})_t = 0.978 \text{ MPa (T)}$, $(\sigma_{\max})_c = 0.673 \text{ MPa (C)}$
 6-146. $\sigma_A = 144 \text{ psi (T)}$, $\sigma_B = 106 \text{ psi (C)}$,
 $\sigma_C = 6.11 \text{ psi (C)}$
 6-147. $\sigma_A = 8.48 \text{ MPa (C)}$, $\sigma_B = 5.04 \text{ MPa (T)}$.
 No, it is not the same.
 6-149. $(\sigma_T)_{\max} = 11.1 \text{ MPa (T)}$, $(\sigma_C)_{\max} = 8.45 \text{ MPa (C)}$
 6-150. $\sigma_{\max} = 187.5 \text{ MPa}$
 6-151. $M = 107 \text{ N} \cdot \text{m}$
 6-153. $\sigma_{\max} = 22.3 \text{ ksi}$
 6-154. $M = 347 \text{ lb} \cdot \text{ft}$
 6-155. $M = 4.46 \text{ kN} \cdot \text{m}$
 6-157. $\sigma_{\max} = 34.6 \text{ ksi}$
 6-158. $k = 1.17$
 6-159. $K = \frac{3h}{2} \left[\frac{4bt(h-t) + t(h-2t)^2}{bh^3 - (b-t)(h-2t)^3} \right]$
 6-161. $M_Y = 271 \text{ kN} \cdot \text{m}$, $M_P = 460 \text{ kN} \cdot \text{m}$
 6-162. $M_P = 392 \text{ kip} \cdot \text{ft}$
 6-163. $M_P = 172 \text{ kip} \cdot \text{ft}$
 6-165. $M_Y = 143 \text{ kip} \cdot \text{ft}$, $M_P = 243 \text{ kip} \cdot \text{ft}$
 6-166. $k = 1.16$
 6-167. Elastic: $P = 66.7 \text{ kN}$, Plastic: $P = 100 \text{ kN}$
 6-169. $k = 1.71$
 6-170. $k = 1.70$
 6-171. $M_Y = 63.6 \text{ kip} \cdot \text{ft}$, $M_P = 180 \text{ kip} \cdot \text{ft}$
 6-173. $M_Y = 50.7 \text{ kN} \cdot \text{m}$, $M_P = 86.25 \text{ kN} \cdot \text{m}$
 6-174. $k = 1.58$
 6-175. $k = 1.71$
 6-177. $\sigma_{\text{top}} = \sigma_{\text{bottom}} = 43.5 \text{ MPa}$
 6-178. $M = 94.7 \text{ N} \cdot \text{m}$
 6-179. Maximum elastic moment: $M = 35.0 \text{ kip} \cdot \text{ft}$,
 Ultimate moment: $M = 59.8 \text{ kip} \cdot \text{ft}$
 6-181. $M = 81.7 \text{ kip} \cdot \text{ft}$
 6-182. $w = 53.4 \text{ kN/m}$
 R6-1. $k = 1.22$
 R6-2. $V = \frac{2wL}{27} - \frac{w}{2L}x^2$, $M = \frac{2wL}{27}x - \frac{w}{6L}x^3$
 R6-3. $M = 14.9 \text{ kN} \cdot \text{m}$
 R6-5. $\sigma_{\max} = 8.41 \text{ ksi}$
 R6-6. $\sigma_A = 225 \text{ kPa (C)}$, $\sigma_B = 265 \text{ kPa (T)}$

- R6-7. $V = 20 - 2x$, $M = -x^2 + 20x - 166$
 R6-9. $V|_{x=600 \text{ mm}} = -233 \text{ N}$, $M|_{x=600 \text{ mm}} = -50 \text{ N} \cdot \text{m}$
 R6-10. $\sigma_{\max} = \frac{6M}{t^3} (\cos \theta + \sin \theta)$, $\theta = 45^\circ$, $\alpha = 45^\circ$

Chapter 7

- 7-1. $\tau_A = 2.56 \text{ MPa}$
 7-2. $\tau_{\max} = 3.46 \text{ MPa}$
 7-3. $V_w = 19.0 \text{ kN}$
 7-5. $\tau_{\max} = 3.91 \text{ MPa}$
 7-6. $V_{\max} = 100 \text{ kN}$
 7-7. $\tau_{\max} = 17.9 \text{ MPa}$
 7-9. $V_{\max} = 32.1 \text{ kip}$
 7-10. $\tau_{\max} = 4.48 \text{ ksi}$
 7-11. $\tau_{\max} = 45.0 \text{ MPa}$
 7-13. $\tau_{\max} = 4.22 \text{ MPa}$
 7-14. $V_{\max} = 190 \text{ kN}$
 7-15. $V = 9.96 \text{ kip}$
 7-17. $\tau_A = 1.99 \text{ MPa}$, $\tau_B = 1.65 \text{ MPa}$
 7-18. $\tau_{\max} = 4.62 \text{ MPa}$
 7-19. $V_w = 27.1 \text{ kN}$
 7-21. $P_{\max} = 1.28 \text{ kip}$
 7-22. $w_{\max} = 2.15 \text{ kip/ft}$
 7-23. $\tau_{\max} = 298 \text{ psi}$
 7-25. $\tau_{\max} = 4.85 \text{ MPa}$
 7-26. $w = 11.3 \text{ kip/ft}$, $\tau_{\max} = 531 \text{ psi}$
 7-27. $\tau_{\max} = 22.0 \text{ MPa}$, $(\tau_{\max})_s = 66.0 \text{ MPa}$
 7-29. $\tau_{\max} = 1.05 \text{ MPa}$
 7-33. $F = 300 \text{ lb}$
 7-34. $s_t = 1.42 \text{ in.}$, $s_b = 1.69 \text{ in.}$
 7-35. $V = 4.97 \text{ kip}$, $s_t = 1.14 \text{ in.}$,
 $s_b = 1.36 \text{ in.}$
 7-37. $V = 499 \text{ kN}$
 7-38. $P = 4.97 \text{ kip}$.
 For regions AC and BD, $s_{\text{top}} = 1.14 \text{ in.}$,
 $s_{\text{bottom}} = 1.36 \text{ in.}$
 For region CD, theoretically no nails are
 required.
 7-39. $F = 12.5 \text{ kN}$
 7-41. $s = 11.3 \text{ mm}$
 7-42. $V_{\max} = 8.82 \text{ kip}$, use $s = 1\frac{1}{8} \text{ in.}$
 7-43. $P_{\max} = 317 \text{ lb}$
 7-45. $\tau_{\max} = 1.83 \text{ ksi}$
 7-46. $w_0 = 983 \text{ lb/ft}$
 7-47. $s = 8.66 \text{ in.}$, $s' = 1.21 \text{ in.}$
 7-50. $q_A = 228 \text{ kN/m}$, $q_B = 462 \text{ kN/m}$
 7-51. $q_C = 0$, $q_D = 601 \text{ kN/m}$
 7-53. $q_C = 38.6 \text{ kN/m}$
 7-54. $q_A = 1.39 \text{ kN/m}$, $q_B = 1.25 \text{ kN/m}$
 7-55. $q_{\max} = 1.63 \text{ kN/m}$

- 7-57. $q_{\max} = 2.79 \text{ kip/in.}$
 7-58. $q_A = 200 \text{ kN/m}$
 7-59. $\tau_{\max} = 9.36 \text{ MPa}$
 7-61. $q_A = 196 \text{ lb/in.}$, $q_B = 452 \text{ lb/in.}$,
 $q_{\max} = 641 \text{ lb/in.}$
 7-62. $q_B = 12.6 \text{ kN/m}$, $q_{\max} = 22.5 \text{ kN/m}$
 7-63. $e = 10 \text{ mm}$
 7-65. $V_{AB} = 1.47 \text{ kip}$
 7-66. $q_{AB} = 207 - 51.6x$, $q_{CD} = 44.3 - 22.1x$,
 $F_{AB} = 413 \text{ lb}$, $F_{CD} = 44.3 \text{ lb}$
 7-67. $q_A = 0$, $q_B = 417 \text{ lb/in.}$
 7-69. $e = \left[\frac{3(\pi + 4)}{4 + 3\pi} \right] r$
 7-70. $e = 2r$
 R7-1. $F_C = 197 \text{ lb}$, $F_D = 1.38 \text{ kip}$
 R7-2. $V = 131 \text{ kN}$
 R7-3. $q_A = 0$, $q_B = 1.21 \text{ kN/m}$, $q_C = 3.78 \text{ kN/m}$
 R7-5. $\tau_B = 795 \text{ psi}$, $\tau_C = 596 \text{ psi}$

Chapter 8

- 8-1. $t = 18.8 \text{ mm}$
 8-2. $r_o = 75.5 \text{ in.}$
 8-3. (a) $\sigma_1 = 1.04 \text{ ksi}$, $\sigma_2 = 0$,
 (b) $\sigma_1 = 1.04 \text{ ksi}$, $\sigma_2 = 520 \text{ psi}$
 8-5. $\sigma_1 = 7.07 \text{ MPa}$, $\sigma_2 = 0$
 8-6. $P = 848 \text{ N}$
 8-7. (a) $\sigma_1 = 127 \text{ MPa}$,
 (b) $\sigma_1' = 79.1 \text{ MPa}$,
 (c) $(\tau_{\text{avg}})_b = 322 \text{ MPa}$
 8-9. $\sigma_{\text{hoop}} = 7.20 \text{ ksi}$, $\sigma_{\text{long}} = 3.60 \text{ ksi}$
 8-10. $\sigma_1 = 1.60 \text{ ksi}$, $p = 25 \text{ psi}$, $\delta = 0.00140 \text{ in.}$
 8-11. $\sigma_2 = 11.5 \text{ ksi}$, $\sigma_1 = 24 \text{ ksi}$
 8-13. $T_1 = 128^\circ\text{F}$, $\sigma_1 = 12.1 \text{ ksi}$, $p = 252 \text{ psi}$
 8-14. $\delta r_i = \frac{pr_i^2}{E(r_o - r_i)}$
 8-15. $p = \frac{E(r_2 - r_3)}{\frac{r_2^2}{r_2 - r_1} + \frac{r_3^2}{r_4 - r_3}}$
 8-17. $\sigma_{fl} = \frac{pr}{t + t'w/L} + \frac{T}{wt'}$, $\sigma_w = \frac{pr}{t + t'w/L} - \frac{T}{Lt}$
 8-18. $d = 66.7 \text{ mm}$
 8-19. $d = 133 \text{ mm}$
 8-21. $\sigma_{\max} = \sigma_B = 13.9 \text{ ksi (T)}$, $\sigma_A = 13.6 \text{ ksi (C)}$
 8-22. $P_{\max} = 2.01 \text{ kip}$
 8-23. $\sigma_{\max} = 22.4 \text{ ksi (T)}$
 8-25. $P_{\max} = 128 \text{ kN}$
 8-26. $\sigma_{\max} = 44.0 \text{ ksi (T)}$
 8-27. $\sigma_{\max} = 44.0 \text{ ksi (T)}$, $\sigma_{\min} = 41.3 \text{ ksi (C)}$
 8-29. $\sigma_A = 0.800 \text{ ksi (T)}$, $\sigma_B = 5.20 \text{ ksi (C)}$,
 $\tau_A = 1.65 \text{ ksi}$, $\tau_B = 0$

- 8-30. $\sigma_A = 25 \text{ MPa (C)}, \sigma_B = 0, \tau_A = 0, \tau_B = 5 \text{ MPa}$
 8-31. $\sigma_A = 28.8 \text{ ksi}, \tau_A = 0$
 8-33. $\sigma_A = 70.0 \text{ MPa (C)}, \sigma_B = 10.0 \text{ MPa (C)}$
 8-34. $\sigma_A = 70.0 \text{ MPa (C)}, \sigma_B = 10.0 \text{ MPa (C)},$
 $\sigma_C = 50.0 \text{ MPa (T)}, \sigma_D = 10.0 \text{ MPa (C)}$
 8-35. $\sigma_A = 27.3 \text{ ksi (T)}, \sigma_B = 0.289 \text{ ksi (T)},$
 $\tau_A = 0, \tau_B = 0.750 \text{ ksi}$
 8-37. $\sigma_B = 1.53 \text{ MPa (C)}, (\tau_{xz})_B = 0,$
 $(\tau_{xy})_B = 100 \text{ MPa}$
 8-38. $\sigma_D = -88.0 \text{ MPa}, \tau_D = 0$
 8-39. $\sigma_E = 57.8 \text{ MPa}, \tau_E = 864 \text{ kPa}$
 8-41. $\sigma_B = 27.5 \text{ MPa (C)}, (\tau_{xz})_B = -8.81 \text{ MPa},$
 $(\tau_{xy})_B = 0$
 8-42. $(\sigma_A)_y = 16.2 \text{ ksi (T)}, (\tau_A)_{yx} = -2.84 \text{ ksi},$
 $(\tau_A)_{yz} = 0$
 8-43. $(\sigma_B)_y = 7.80 \text{ ksi (T)}, (\tau_B)_{yz} = 3.40 \text{ ksi},$
 $(\tau_B)_{yx} = 0$
 8-45. $\sigma_A = 1.00 \text{ ksi (C)}, \sigma_B = 3.00 \text{ ksi (C)},$
 $\sigma_C = 1.00 \text{ ksi (C)}, \sigma_D = 1.00 \text{ ksi (T)}$
 8-46. $(\sigma_t)_{\max} = 103 \text{ MPa (T)}, (\sigma_c)_{\max} = 117 \text{ MPa (C)}$
 8-47. $\sigma_A = 224 \text{ MPa (T)}, (\tau_{xz})_A = -30.7 \text{ MPa},$
 $(\tau_{xy})_A = 0$
 8-49. $\sigma_C = 295 \text{ MPa (C)}, (\tau_{xy})_C = 25.9 \text{ MPa},$
 $(\tau_{xz})_C = 0$
 8-50. $e = \frac{c}{4}$
 8-51. $6e_y + 18e_z < 5a$
 8-54. $\sigma_A = 15.9 \text{ ksi (C)}, \sigma_B = 44.6 \text{ ksi (T)},$
 $\tau_A = \tau_B = 0$
 8-55. $\sigma_A = 16.8 \text{ ksi (C)}, (\tau_{xz})_A = 4.07 \text{ ksi}, (\tau_{xy})_A = 0$
 8-57. $\sigma_A = 107 \text{ MPa (T)}, \tau_A = 15.3 \text{ MPa},$
 $\sigma_B = 0, \tau_B = 14.8 \text{ MPa}$
 8-58. $\sigma_C = 107 \text{ MPa (C)}, \tau_C = 15.3 \text{ MPa},$
 $\sigma_D = 0, \tau_D = 15.8 \text{ MPa}$
 8-59. $\sigma_A = 24.7 \text{ ksi (T)}, \tau_A = 0$
 8-61. $(\sigma_{\max})_t = 106 \text{ MPa}, (\sigma_{\max})_c = -159 \text{ MPa}$
 8-62. $P_{\max} = 9.08 \text{ kN}$
 8-63. $\sigma_C = 15.6 \text{ ksi (T)}, \sigma_D = 124 \text{ ksi (T)},$
 $(\tau_{xz})_D = 62.4 \text{ ksi}, (\tau_{xy})_D = 0, (\tau_{xy})_C = -52.4 \text{ ksi},$
 $(\tau_{xz})_C = 0$
 8-65. $\sigma_A = 15.3 \text{ MPa}, \tau_A = 0, \sigma_B = 0,$
 $\tau_B = 0.637 \text{ MPa}$
 8-66. $\sigma_C = 15.3 \text{ MPa}, \tau_C = 0, \sigma_D = 0,$
 $\tau_D = 0.637 \text{ MPa}$
 8-67. $\sigma_A = 94.4 \text{ psi (T)}, \sigma_B = 59.0 \text{ psi (C)}$
 8-69. $\sigma_B = 19.4 \text{ MPa (C)}, (\tau_{xy})_B = 0.509 \text{ MPa},$
 $(\tau_{xz})_B = 0$
 8-70. $\tau_A = 0, \sigma_A = 30.2 \text{ ksi (C)}$
 8-71. $\sigma_B = 0, \tau_B = 0.377 \text{ ksi}$
 8-73. $\sigma = 1.48 \text{ psi (T)}, \tau = 384 \text{ psi}$
 R8-1. $(\sigma_t)_{\max} = 15.8 \text{ ksi}, (\sigma_c)_{\max} = -10.5 \text{ ksi}$
 R8-2. $\sigma_E = 802 \text{ kPa}, \tau_E = 69.8 \text{ kPa}$

- R8-3. $\sigma_F = 695 \text{ kPa (C)}, \tau_F = 31.0 \text{ kPa}$
 R8-5. $\sigma_{\max} = 236 \text{ psi (C)}$
 R8-6. $\theta = 0.286^\circ$
 R8-7. $\sigma_C = 11.6 \text{ ksi}, \tau_C = 0, \sigma_D = -23.2 \text{ ksi}, \tau_D = 0$

Chapter 9

- 9-2. $\sigma_{x'} = 31.4 \text{ MPa}, \tau_{x'y'} = 38.1 \text{ MPa}$
 9-3. $\sigma_{x'} = -388 \text{ psi}, \tau_{x'y'} = 455 \text{ psi}$
 9-5. $\sigma_{x'} = 1.45 \text{ ksi}, \tau_{x'y'} = 3.50 \text{ ksi}$
 9-6. $\sigma_{x'} = -4.05 \text{ ksi}, \tau_{x'y'} = -0.404 \text{ ksi}$
 9-7. $\sigma_{x'} = -61.5 \text{ MPa}, \tau_{x'y'} = 62.0 \text{ MPa}$
 9-9. $\sigma_{x'} = 36.0 \text{ MPa}, \tau_{x'y'} = -37.0 \text{ MPa}$
 9-10. $\sigma_{x'} = 36.0 \text{ MPa}, \tau_{x'y'} = -37.0 \text{ MPa}$
 9-11. $\sigma_{x'} = 47.5 \text{ MPa}, \sigma_{y'} = 202 \text{ MPa},$
 $\tau_{x'y'} = -15.8 \text{ MPa}$
 9-13. $\sigma_{x'} = -62.5 \text{ MPa}, \tau_{x'y'} = -65.0 \text{ MPa}$
 9-14. $\sigma_1 = 319 \text{ MPa}, \sigma_2 = -219 \text{ MPa}, \theta_{p1} = 10.9^\circ,$
 $\theta_{p2} = -79.1^\circ, \tau_{\max}^{\text{in-plane}} = 269 \text{ MPa},$
 $\theta_s = -34.1^\circ \text{ and } 55.9^\circ, \sigma_{\text{avg}} = 50.0 \text{ MPa}$
 9-15. $\sigma_1 = 53.0 \text{ MPa}, \sigma_2 = -68.0 \text{ MPa}, \theta_{p1} = 14.9^\circ,$
 $\theta_{p2} = -75.1^\circ, \tau_{\max}^{\text{in-plane}} = 60.5 \text{ MPa},$
 $\sigma_{\text{avg}} = -7.50 \text{ MPa}, \theta_s = -30.1^\circ \text{ and } 59.9^\circ$
 9-17. $\sigma_1 = 137 \text{ MPa}, \sigma_2 = -86.8 \text{ MPa},$
 $\theta_{p1} = -13.3^\circ, \theta_{p2} = 76.7^\circ, \tau_{\max}^{\text{in-plane}} = 112 \text{ MPa},$
 $\theta_s = 31.7^\circ \text{ and } 122^\circ, \sigma_{\text{avg}} = 25 \text{ MPa}$
 9-18. $\sigma_x = 33.0 \text{ MPa}, \sigma_y = 137 \text{ MPa}, \tau_{xy} = -30 \text{ MPa}$
 9-19. $\sigma_1 = 5.90 \text{ MPa}, \sigma_2 = -106 \text{ MPa},$
 $\theta_{p1} = 76.7^\circ \text{ and } \theta_{p2} = -13.3^\circ,$
 $\tau_{\max}^{\text{in-plane}} = 55.9 \text{ MPa}, \sigma_{\text{avg}} = -50 \text{ MPa},$
 $\theta_s = 31.7^\circ \text{ and } 122^\circ$
 9-21. $\tau_a = -1.96 \text{ ksi}, \sigma_1 = 80.1 \text{ ksi}, \sigma_2 = 19.9 \text{ ksi}$
 9-22. $\sigma_{x'} = -63.3 \text{ MPa}, \tau_{x'y'} = 35.7 \text{ MPa}$
 9-23. $\sigma_{x'} = 19.5 \text{ kPa}, \tau_{x'y'} = -53.6 \text{ kPa}$
 9-25. $\sigma_1 = 0, \sigma_2 = -36.6 \text{ MPa}, \tau_{\max}^{\text{in-plane}} = 18.3 \text{ MPa}$
 9-26. $\sigma_1 = 16.6 \text{ MPa}, \sigma_2 = 0, \tau_{\max}^{\text{in-plane}} = 8.30 \text{ MPa}$
 9-27. $\sigma_1 = 14.2 \text{ MPa}, \sigma_2 = -8.02 \text{ MPa},$
 $\tau_{\max}^{\text{in-plane}} = 11.1 \text{ MPa}$
 9-29. Point D: $\sigma_1 = 7.56 \text{ kPa}, \sigma_2 = -603 \text{ kPa},$
 Point E: $\sigma_1 = 395 \text{ kPa}, \sigma_2 = -17.8 \text{ kPa}$
 9-30. Point A: $\sigma_1 = \sigma_y = 0, \sigma_2 = \sigma_x = -30.5 \text{ MPa},$
 Point B: $\sigma_1 = 0.541 \text{ MPa}, \sigma_2 = -1.04 \text{ MPa},$
 $\theta_{p1} = -54.2^\circ, \theta_{p2} = 35.8^\circ$
 9-31. $\tau_{x'y'} = 160 \text{ kPa}$
 9-33. $\sigma_1 = 4.38 \text{ ksi}, \sigma_2 = -1.20 \text{ ksi},$
 $\tau_{\max}^{\text{in-plane}} = 2.79 \text{ ksi}$

9-34. Point A: $\sigma_1 = 37.8 \text{ kPa}$, $\sigma_2 = -10.8 \text{ MPa}$
Point B: $\sigma_1 = 42.0 \text{ MPa}$, $\sigma_2 = -10.6 \text{ kPa}$

9-35. $\sigma_1 = 233 \text{ psi}$, $\sigma_2 = -774 \text{ psi}$, $\tau_{\text{max in-plane}} = 503 \text{ psi}$

9-37. $\sigma_1 = \frac{4}{\pi d^2} \left(\frac{2PL}{d} - F \right)$, $\sigma_2 = 0$,
 $\tau_{\text{max in-plane}} = \frac{2}{\pi d^2} \left(\frac{2PL}{d} - F \right)$

9-38. $\sigma_1 = 838 \text{ psi}$, $\sigma_2 = -37.8 \text{ psi}$

9-39. $\sigma_1 = 628 \text{ psi}$, $\sigma_2 = -166 \text{ psi}$

9-41. $\sigma_1 = 1.37 \text{ MPa}$, $\sigma_2 = -198 \text{ MPa}$

9-42. $\sigma_1 = 111 \text{ MPa}$, $\sigma_2 = 0$

9-43. $\sigma_1 = 2.40 \text{ MPa}$, $\sigma_2 = -6.68 \text{ MPa}$

9-45. $\sigma_{x'} = -388 \text{ psi}$, $\tau_{x'y'} = 455 \text{ psi}$

9-46. $\sigma_{x'} = -4.05 \text{ ksi}$, $\tau_{x'y'} = -0.404 \text{ ksi}$

9-47. $\sigma_{x'} = 47.5 \text{ MPa}$, $\tau_{x'y'} = -15.8 \text{ MPa}$,
 $\sigma_{y'} = 202 \text{ MPa}$

9-49. $\sigma_{\text{avg}} = 25 \text{ MPa}$, $\sigma_1 = 54.2 \text{ MPa}$, $\sigma_2 = -4.15 \text{ MPa}$,
 $\theta_p = -15.5^\circ$, $\tau_{\text{max in-plane}} = 29.2 \text{ MPa}$

9-51. $\sigma_{\text{avg}} = -40.0 \text{ MPa}$, $\sigma_1 = 32.1 \text{ MPa}$,
 $\sigma_2 = -112 \text{ MPa}$, $\theta_{p1} = 28.2^\circ$, $\tau_{\text{max in-plane}} = 72.1 \text{ MPa}$,
 $\theta_s = -16.8^\circ$

9-53. $\sigma_{x'} = -56.3 \text{ ksi}$, $\sigma_{y'} = 56.3 \text{ ksi}$, $\tau_{x'y'} = -32.5 \text{ ksi}$

9-57. $\sigma_{\text{avg}} = 15.0 \text{ ksi}$, $\sigma_1 = 32.5 \text{ ksi}$, $\sigma_2 = -2.49 \text{ ksi}$,

$\theta_{p1} = -15.5^\circ$, $\tau_{\text{max in-plane}} = -17.5 \text{ ksi}$, $\theta_s = 29.5^\circ$

9-58. $\sigma_1 = 64.1 \text{ MPa}$, $\sigma_2 = -14.1 \text{ MPa}$, $\theta_p = 25.1^\circ$,
 $\sigma_{\text{avg}} = 25.0 \text{ MPa}$, $\tau_{\text{max in-plane}} = 39.1 \text{ MPa}$, $\theta_s = -19.9^\circ$

9-59. $\theta_p = -14.9^\circ$, $\sigma_1 = 227 \text{ MPa}$, $\sigma_2 = -177 \text{ MPa}$,
 $\tau_{\text{max in-plane}} = 202 \text{ MPa}$, $\sigma_{\text{avg}} = 25 \text{ MPa}$, $\theta_s = 30.1^\circ$

9-62. $\sigma_{x'} = 19.5 \text{ kPa}$, $\tau_{x'y'} = -53.6 \text{ kPa}$

9-63. $\tau_{\text{max in-plane}} = 41.0 \text{ psi}$, $\sigma_1 = 0.976 \text{ psi}$, $\sigma_2 = -81.0 \text{ psi}$

9-65. $\sigma_1 = 29.4 \text{ ksi}$, $\sigma_2 = -17.0 \text{ ksi}$

9-66. $\sigma_{x'} = 75.3 \text{ kPa}$, $\tau_{x'y'} = -78.5 \text{ kPa}$

9-67. $\sigma_{x'} = -45.0 \text{ kPa}$, $\tau_{x'y'} = 45.0 \text{ kPa}$

9-69. $\sigma_1 = 4.71 \text{ ksi}$, $\sigma_2 = -0.0262 \text{ ksi}$

9-70. Mohr's circle is a point located at (4.80, 0).

9-71. $\sigma_{x'} = 500 \text{ MPa}$, $\tau_{x'y'} = -167 \text{ MPa}$

9-73. $\sigma_1 = 1.15 \text{ MPa}$, $\sigma_2 = -0.0428 \text{ MPa}$

9-74. $\sigma_1 = 2.97 \text{ ksi}$, $\sigma_2 = -2.97 \text{ ksi}$, $\theta_{p1} = 45.0^\circ$,
 $\theta_{p2} = -45.0^\circ$, $\tau_{\text{max in-plane}} = 2.97 \text{ ksi}$, $\theta_s = 0$

9-75. $\sigma_1 = 2.59 \text{ ksi}$, $\sigma_2 = -3.61 \text{ ksi}$, $\theta_{p1} = -40.3^\circ$,
 $\theta_{p2} = -49.7^\circ$, $\tau_{\text{max in-plane}} = 3.10 \text{ ksi}$, $\theta_s = 4.73^\circ$

9-81. $\sigma_1 = 24.4 \text{ ksi}$, $\sigma_2 = 5.57 \text{ ksi}$, $\tau_{\text{abs max}} = 12.2 \text{ ksi}$

9-82. $\sigma_1 = 222 \text{ MPa}$, $\sigma_2 = -102 \text{ MPa}$, $\tau_{\text{abs max}} = 162 \text{ MPa}$

9-83. $\sigma_1 = 6.73 \text{ ksi}$, $\sigma_2 = -4.23 \text{ ksi}$, $\tau_{\text{abs max}} = 5.48 \text{ ksi}$

9-85. $\sigma_1 = 5.50 \text{ MPa}$, $\sigma_2 = -0.611 \text{ MPa}$,
 $\sigma_1 = 1.29 \text{ MPa}$, $\sigma_2 = -1.29 \text{ MPa}$,
 $\tau_{\text{abs max}} = 3.06 \text{ MPa}$, $\tau_{\text{abs max}} = 1.29 \text{ MPa}$

9-86. $\sigma_1 = 6.27 \text{ kPa}$, $\sigma_2 = -806 \text{ kPa}$,
 $\tau_{\text{abs max}} = 406 \text{ kPa}$

9-87. $\sigma_1 = 48.8 \text{ ksi}$, $\sigma_2 = -25.4 \text{ ksi}$,
 $\tau_{\text{abs max}} = 31.1 \text{ ksi}$

R9-1. $\sigma_1 = 119 \text{ psi}$, $\sigma_2 = -119 \text{ psi}$

R9-2. $\sigma_1 = 329 \text{ psi}$, $\sigma_2 = -72.1 \text{ psi}$

R9-3. $\sigma_{x'} = -0.611 \text{ ksi}$, $\tau_{x'y'} = 7.88 \text{ ksi}$, $\sigma_{y'} = -3.39 \text{ ksi}$

R9-5. $\sigma_1 = 3.03 \text{ ksi}$, $\sigma_2 = -33.0 \text{ ksi}$,
 $\theta_{p1} = -16.8^\circ$ and $\theta_{p2} = 73.2^\circ$,
 $\tau_{\text{max in-plane}} = 18.0 \text{ ksi}$, $\sigma_{\text{avg}} = -15 \text{ ksi}$,
 $\theta_s = 28.2^\circ$ and 118°

R9-6. $\sigma_1 = 3.29 \text{ MPa}$, $\sigma_2 = -4.30 \text{ MPa}$

R9-7. Point A: $\sigma_1 = 61.7 \text{ psi}$, $\sigma_2 = 0$,
Point B: $\sigma_1 = 0$, $\sigma_2 = -46.3 \text{ psi}$

R9-9. $\sigma_{x'} = -16.5 \text{ ksi}$, $\tau_{x'y'} = 2.95 \text{ ksi}$

Chapter 10

10-2. $\epsilon_{x'} = 248(10^{-6})$, $\gamma_{x'y'} = -233(10^{-6})$,
 $\epsilon_{y'} = -348(10^{-6})$

10-3. $\epsilon_{x'} = 55.1(10^{-6})$, $\gamma_{x'y'} = 133(10^{-6})$,
 $\epsilon_{y'} = 325(10^{-6})$

10-5. $\epsilon_{x'} = 77.4(10^{-6})$, $\gamma_{x'y'} = 1279(10^{-6})$,
 $\epsilon_{y'} = 383(10^{-6})$

10-6. $\epsilon_{x'} = -116(10^{-6})$, $\epsilon_{y'} = 466(10^{-6})$,
 $\gamma_{x'y'} = 393(10^{-6})$

10-7. $\epsilon_{x'} = 466(10^{-6})$, $\epsilon_{y'} = -116(10^{-6})$,
 $\gamma_{x'y'} = -393(10^{-6})$

10-9. $\epsilon_1 = 188(10^{-6})$, $\epsilon_2 = -128(10^{-6})$,
 $(\theta_p)_1 = -9.22^\circ$, $(\theta_p)_2 = 80.8^\circ$,
 $\gamma_{\text{max in-plane}} = 316(10^{-6})$,

$\epsilon_{\text{avg}} = 30(10^{-6})$,

$\theta_s = 35.8^\circ$ and -54.2°

10-10. (a) $\epsilon_1 = 713(10^{-6})$, $\epsilon_2 = 36.6(10^{-6})$, $\theta_{p1} = 133^\circ$,
(b) $\gamma_{\text{max in-plane}} = 677(10^{-6})$, $\epsilon_{\text{avg}} = 375(10^{-6})$,
 $\theta_s = -2.12^\circ$

10-11. $\epsilon_{x'} = 649(10^{-6})$, $\gamma_{x'y'} = -85.1(10^{-6})$,
 $\epsilon_{y'} = 201(10^{-6})$

10-13. $\epsilon_1 = 17.7(10^{-6})$, $\epsilon_2 = -318(10^{-6})$,
 $\theta_{p1} = 76.7^\circ$ and $\theta_{p2} = -13.3^\circ$,
 $\gamma_{\text{max in-plane}} = 335(10^{-6})$, $\theta_s = 31.7^\circ$ and 122° ,
 $\epsilon_{\text{avg}} = -150(10^{-6})$

- 10-14. $\epsilon_1 = 368(10^{-6})$, $\epsilon_2 = 182(10^{-6})$,
 $\theta_{p1} = -52.8^\circ$ and $\theta_{p2} = 37.2^\circ$,
 $\gamma_{\max}^{\text{in-plane}} = 187(10^{-6})$, $\theta_s = -7.76^\circ$ and 82.2° ,
 $\epsilon_{\text{avg}} = 275(10^{-6})$
- 10-17. $\epsilon_{x'} = 55.1(10^{-6})$, $\gamma_{x'y'} = 133(10^{-6})$,
 $\epsilon_{y'} = 325(10^{-6})$
- 10-18. $\epsilon_{x'} = 325(10^{-6})$, $\gamma_{x'y'} = -133(10^{-6})$,
 $\epsilon_{y'} = 55.1(10^{-6})$
- 10-19. $\epsilon_{x'} = 77.4(10^{-6})$, $\gamma_{x'y'} = 1279(10^{-6})$,
 $\epsilon_{y'} = 383(10^{-6})$
- 10-21. $\epsilon_{x'} = 466(10^{-6})$, $\gamma_{x'y'} = -393(10^{-6})$,
 $\epsilon_{y'} = -116(10^{-6})$
- 10-22. (a) $\epsilon_1 = 773(10^{-6})$, $\epsilon_2 = 76.8(10^{-6})$,
 (b) $\gamma_{\max}^{\text{in-plane}} = 696(10^{-6})$, (c) $\gamma_{\max}^{\text{abs}} = 773(10^{-6})$
- 10-23. $\epsilon_1 = 870(10^{-6})$, $\epsilon_2 = 405(10^{-6})$,
 $\gamma_{\max}^{\text{in-plane}} = 465(10^{-6})$, $\gamma_{\max}^{\text{abs}} = 870(10^{-6})$
- 10-25. $\epsilon_1 = 380(10^{-6})$, $\epsilon_2 = -330(10^{-6})$
- 10-26. $\epsilon_1 = 517(10^{-6})$, $\epsilon_2 = -402(10^{-6})$
- 10-27. $\epsilon_1 = 862(10^{-6})$, $\epsilon_2 = -782(10^{-6})$,
 $\theta_{p1} = 88.0^\circ$ (clockwise),
 $\epsilon_{\text{avg}} = 40.0(10^{-6})$, $\gamma_{\max}^{\text{in-plane}} = -1644(10^{-6})$,
 $\theta_s = 43.0^\circ$ (clockwise)
- 10-33. $E = 17.4$ GPa, $\Delta d = -12.6(10^{-6})$ mm
- 10-34. $\Delta\theta = -0.0103^\circ$
- 10-35. $\nu_{\text{pvc}} = 0.164$
- 10-37. (a) $k_r = 3.33$ ksi, (b) $k_g = 5.13(10^3)$ ksi
- 10-38. $p = 0.967$ ksi, $\gamma_{\max}^{\text{in-plane}} = 1.30(10^{-3})$
- 10-39. $\sigma_1 = 10.2$ ksi, $\sigma_2 = 7.38$ ksi
- 10-41. $\epsilon_x = 23.0(10^{-6})$, $\gamma_{xy} = -3.16(10^{-6})$
- 10-42. $\epsilon_x = 2.35(10^{-3})$, $\epsilon_y = -0.972(10^{-3})$,
 $\epsilon_z = -2.44(10^{-3})$
- 10-43. $\sigma_1 = 8.37$ ksi, $\sigma_2 = 6.26$ ksi
- 10-45. $\theta = \tan^{-1}\left(\frac{1}{\sqrt{\nu}}\right)$
- 10-46. $\epsilon_1 = 289(10^{-6})$, $\epsilon_2 = -289(10^{-6})$
- 10-47. $P = 83.0$ lb
- 10-49. $\sigma_x = -15.5$ ksi, $\sigma_y = -16.8$ ksi
- 10-50. $\epsilon_x = \epsilon_y = 0$, $\gamma_{xy} = -160(10^{-6})$, $T = 65.2$ N·m
- 10-51. $\epsilon_{x'} = -2.52(10^{-3})$, $\epsilon_{y'} = 2.52(10^{-3})$
- 10-53. $\Delta d = 0.800$ mm, $\sigma_{AB} = 315$ MPa
- 10-54. $\Delta d = 0.680$ mm
- 10-57. $\Delta V = 0.0168$ m³
- 10-58. $k = 1.35$
- 10-59. $\sigma_x^2 + \sigma_y^2 - \sigma_x\sigma_y + 3\tau_{xy}^2 = \sigma_y^2$
- 10-61. $\sigma_1 = 10.2$ ksi
- 10-62. $\sigma_1 = 11.6$ ksi
- 10-63. $\sigma_1 = 68.0$ ksi
- 10-65. $T_c = \sqrt{\frac{4}{3}M^2 + T^2}$
- 10-66. $\tau = 43.3$ MPa
- 10-67. $\tau = 37.5$ ksi
- 10-69. No
- 10-70. $M_c = \sqrt{M^2 + \frac{3}{4}T^2}$
- 10-71. $\sigma_x = 16.7$ ksi
- 10-73. $d = 1.59$ in.
- 10-74. $\sigma_1 = 924$ MPa, $\sigma_1 = 1.07$ GPa
- 10-75. No
- 10-77. No
- 10-78. No
- 10-79. Yes
- 10-81. (a) F.S. = 1.32, (b) F.S. = 1.52
- 10-82. Yes
- 10-83. Yes
- 10-85. $\sigma_y = 424$ MPa
- 10-86. $T_{\max} = 8.38$ kN·m
- 10-87. $T_{\max} = 9.67$ kN·m
- 10-89. (a) F.S. = 2.05, (b) F.S. = 2.35
- 10-90. (a) $t = 22.5$ mm, (b) $t = 19.5$ mm
- 10-91. $d = 1.50$ in.
- 10-93. F.S. = 1.25
- R10-2. $\delta_a = 0.367$ mm, $\delta_b = -0.255$ mm,
 $\delta_t = -0.00167$ mm
- R10-3. F.S. = 2
- R10-5. $\epsilon_{\text{avg}} = 83.3(10^{-6})$, $\epsilon_1 = 880(10^{-6})$,
 $\epsilon_2 = -713(10^{-6})$, $\theta_p = 54.8^\circ$ (clockwise),
 $\gamma_{\max}^{\text{in-plane}} = -1593(10^{-6})$,
 $\theta_s = 9.78^\circ$ (clockwise)
- R10-6. $\epsilon_{x'} = -380(10^{-6})$, $\epsilon_{y'} = -130(10^{-6})$,
 $\gamma_{x'y'} = 1.21(10^{-3})$
- R10-7. $P_2 = 11.4$ kip, $P_1 = 136$ kip
- R10-9. $\epsilon_1 = 283(10^{-6})$, $\epsilon_2 = -133(10^{-6})$,
 $\theta_{p1} = 84.8^\circ$, $\theta_{p2} = -5.18^\circ$, $\gamma_{\max}^{\text{in-plane}} = 417(10^{-6})$,
 $\epsilon_{\text{avg}} = 75.0(10^{-6})$, $\theta_s = 39.8^\circ$ and 130°
- R10-10. $\epsilon_1 = 480(10^{-6})$, $\epsilon_2 = 120(10^{-6})$,
 $\theta_{p1} = 28.2^\circ$ (clockwise),
 $\gamma_{\max}^{\text{in-plane}} = -361(10^{-6})$,
 $\theta_s = 16.8^\circ$ (counterclockwise), $\epsilon_{\text{avg}} = 300(10^{-6})$

Chapter 11

- 11-1. $b = 211 \text{ mm}, h = 264 \text{ mm}$
 11-2. Use $b = 4 \text{ in.}$
 11-3. Use $b = 5 \text{ in.}$
 11-5. Use W12 \times 16.
 11-6. Yes
 11-7. Use W12 \times 22.
 11-9. Use W360 \times 45.
 11-10. Yes, it can.
 11-11. Use $s = s'' = 2 \text{ in.},$
 Use $s' = 1 \text{ in.}$
 11-13. $h = 8.0 \text{ in.}, P = 3.20 \text{ kip}$
 11-14. $s = 1.93 \text{ in.}, s' = 2.89 \text{ in.},$
 $s'' = 5.78 \text{ in.}$
 11-15. Use $s = 1\frac{5}{8} \text{ in.}, s' = 1\frac{1}{8} \text{ in.},$
 $s'' = 3\frac{1}{8} \text{ in.}$
 11-17. $P = 103 \text{ kN}$
 11-18. Use $a = 3\frac{1}{8} \text{ in.}$
 11-19. $P = 750 \text{ lb}$
 11-21. $P = 85.9 \text{ N}$
 11-22. $b = 3.40 \text{ in.}$
 11-23. Use W16 \times 31.
 11-25. Use $d = 3 \text{ in.}$
 11-26. Use W14 \times 22.
 11-27. The beam fails.
 11-29. $b = 5.86 \text{ in.}$
 11-30. $P = 9.52 \text{ kN}$
 11-31. $w = \frac{w_0}{L}x$
 11-33. $\sigma_{\max} = \frac{8PL}{27\pi r_0^3}$
 11-34. $h = \frac{h_0}{L^{3/2}}(3L^2x - 4x^3)^{1/2}$
 11-35. $d = h\sqrt{\frac{x}{L}}$
 11-37. $\sigma_{\max} = \frac{3wL^2}{b_0h^2}$
 11-38. $b = \frac{b_0}{L^2}x^2$
 11-39. Use $d = 21 \text{ mm.}$
 11-41. $\sigma_{\max} = 13.4 \text{ MPa}$
 11-42. Use $d = 1\frac{1}{2} \text{ in.}$
 11-43. Use $d = 1\frac{5}{8} \text{ in.}$
 11-45. Use $d = 1\frac{1}{8} \text{ in.}$

11-46. Use $d = 1\frac{1}{4} \text{ in.}$

R11-1. $y = \left[\frac{4P}{\pi \sigma_{\text{allow}}}x \right]^{1/3}$

R11-2. Use W10 \times 12

R11-3. Use $d = 44 \text{ mm.}$

R11-5. Use W18 \times 50.

R11-6. $P = 556 \text{ lb}, h = 0.595 \text{ in.}$

R11-7. $h = 0.643 \text{ in.}$ Yes.

Chapter 12

12-1. $\sigma = 3.02 \text{ ksi}$

12-2. $\sigma = 75.5 \text{ ksi}$

12-3. $\sigma = 582 \text{ MPa}$

12-5. $v_C = -6.11 \text{ mm}$

12-6. $\theta_{\max} = -\frac{M_0L}{EI},$

$$v = -\frac{M_0x^2}{2EI},$$

$$v_{\max} = -\frac{M_0L^2}{2EI}$$

12-7. $\rho = 336 \text{ ft},$

$$\theta_{\max} = \frac{M_0L}{EI} \curvearrowright,$$

$$v_{\max} = -\frac{M_0L^2}{2EI}$$

12-9. $v_1 = \frac{P}{12EI}(2x_1^3 - 3Lx_1^2),$

$$v_2 = \frac{PL^2}{48EI}(-6x_2 + L)$$

12-10. $v_1 = \frac{wax_1}{12EI}(2x^2 - 9ax_1),$

$$v_2 = \frac{w}{24EI}(-x_2^4 + 28a^3x_2 - 41a^4),$$

$$\theta_C = -\frac{wa^3}{EI}, v_B = -\frac{41wa^4}{24EI}$$

12-11. $v_1 = \frac{wax_1}{12EI}(2x^2 - 9ax_1),$

$$v_3 = \frac{w}{24EI}(-x_3^4 + 8ax_3^3 - 24a^2x_3^2 + 4a^3x_3 - a^4),$$

$$\theta_B = -\frac{7wa^3}{6EI}, v_C = -\frac{7wa^4}{12EI}$$

12-13. $\theta_A = -\frac{M_0a}{2EI}, v_{\max} = -\frac{5M_0a^2}{8EI}$

12-14. $v_{\max} = -\frac{3PL^3}{256EI}$

12-15. $P = 40.0 \text{ lb}, s = 0.267 \text{ in.}$

12-17. $v_1 = \frac{Px_1}{12EI} (-x_1^2 + L^2),$
 $v_2 = \frac{P}{24EI} (-4x_2^3 + 7L^2x_2 - 3L^3),$
 $v_{\max} = \frac{PL^3}{8EI}$

12-18. $\theta_A = -\frac{3PL^2}{8EI}, v_C = -\frac{PL^3}{6EI}$

12-19. $v_B = -\frac{11PL^3}{48EI}$

12-21. $v_{\max} = -11.5 \text{ mm}$

12-22. $v = \frac{1}{EI}(2.25x^3 - 0.002778x^5 - 40.5x^2) \text{ kip} \cdot \text{ft}^3,$
 $\theta_{\max} = -0.00466 \text{ rad}, v_{\max} = -0.369 \text{ in.}$

12-23. $\theta_C = \frac{4M_0L}{3EI}, v_1 = \frac{M_0}{6EIL}(-x_1^3 + L^2x_1),$
 $v_2 = \frac{M_0}{6EIL}(-3Lx_2^2 + 8L^2x_2 - 5L^3),$
 $v_C = \frac{5M_0L^2}{6EI}$

12-25. $v_{\max} = -\frac{18.8 \text{ kip} \cdot \text{ft}^3}{EI}$

12-26. $v_{\max} = -0.396 \text{ in.}$

12-27. $\theta_A = \frac{2\gamma L^3}{3I^2E},$
 $v_A = -\frac{\gamma L^4}{2I^2E}$

12-29. $\theta_B = \frac{wa^3}{6EI},$
 $v_1 = \frac{w}{24EI}(-x_1^4 + 4ax_1^3 - 6a^2x_1^2),$
 $v_2 = \frac{wa^3}{24EI}(-4x_2 + a),$
 $v_B = \frac{wa^3}{24EI}(-4L + a)$

12-30. $\theta_B = \frac{wa^3}{6EI}, v_1 = \frac{wx_1^2}{24EI}(-x_1^2 + 4ax_1 - 6a^2),$
 $v_2 = \frac{wa^3}{24EI}(4x_3 + a - 4L), v_B = \frac{wa^3}{24EI}(a - 4L)$

12-31. $v = \frac{1}{EI} \left[\frac{Pb}{6a}x^3 + \frac{P(a+b)}{6a}(x-a)^3 + \frac{Pab}{6}x \right]$

12-33. $E = \frac{Pa}{24\Delta I}(3L^2 - 4a^2)$

12-34. $v = \frac{P}{12EI}[-2(x-a)^3 + 4(x-2a)^3 + a^2x],$
 $(v_{\max})_{AB} = \frac{0.106Pa^3}{EI}, v_C = -\frac{3Pa^3}{4EI}$

12-35. $v = \frac{1}{EI}[-2.5x^2 + 2(x-4)^3 - \frac{1}{8}(x-4)^4$
 $+ 2(x-12)^3 + \frac{1}{8}(x-12)^4$
 $- 24x + 136] \text{ kip} \cdot \text{ft}^3$

12-37. $v = \frac{M_0}{6EI} \left[3\left(x - \frac{L}{3}\right)^2 - 3\left(x - \frac{2}{3}L\right)^2 - Lx \right],$
 $v_{\max} = -\frac{5M_0L^2}{72EI}$

12-38. $v = \frac{1}{EI}[-8.33x^3 + 17.1(x-12)^3$
 $- 13.3(x-36)^3 + 1680x - 5760] \text{ lb} \cdot \text{in}^3$

12-39. $v_{\max} = -12.9 \text{ mm}$

12-41. $(v_{\max})_{AB} = 0.0867 \text{ in.}$

12-42. $\theta_A = -\frac{1920}{EI}, \theta_B = \frac{6720 \text{ lb} \cdot \text{in}^2}{EI}$

12-43. $v = \frac{1}{EI}[-0.0833x^3 + 3(x-8)^2$
 $+ 3(x-16)^2 + 8.00x] \text{ kip} \cdot \text{ft}^3$

12-45. $v_C = -0.501 \text{ mm}, v_D = -0.698 \text{ mm},$
 $v_E = -0.501 \text{ mm}$

12-46. $\theta_A = -0.128^\circ, \theta_B = 0.128^\circ$

12-47. $\theta_A = -\frac{3wa^3}{16EI},$
 $\theta_B = \frac{7wa^3}{48EI},$
 $v = \frac{w}{48EI}[6ax^3 - 2x^4 + 2(x-a)^4 - 9a^3x]$

12-49. $\theta_A = \frac{302}{EI} \text{ kip} \cdot \text{ft}^2, v_C = -\frac{3110}{EI} \text{ kip} \cdot \text{ft}^3$

12-50. $\frac{dv}{dx} = \frac{1}{EI}[2.25x^2 - 0.5x^3 + 5.25(x-5)^2$
 $+ 0.5(x-5)^3 - 3.125] \text{ kN} \cdot \text{m}^2,$
 $v = \frac{1}{EI}[0.75x^3 - 0.125x^4 + 1.75(x-5)^3$
 $+ 0.125(x-5)^4 - 3.125x] \text{ kN} \cdot \text{m}^3$

12-51. $\theta_C = -\frac{3937.5}{EI}, v_C = \frac{50625}{EI} \downarrow$

12-53. $v_B = \frac{7PL^3}{16EI} \downarrow$

12-54. $\theta_B = -\frac{Pa^2}{12EI}, v_C = \frac{Pa^3}{12EI}$

12-55. $v_{\max} = 12.2 \text{ mm}$

12-57. $v_{\max} = \frac{3PL^3}{256EI} \downarrow$

12-58. $v_C = -\frac{84}{EI}, \theta_A = \frac{8}{EI}, \theta_B = -\frac{16}{EI}, \theta_C = -\frac{40}{EI}$

12-59. $v_{\max} = 8.16 \text{ mm} \downarrow$

12-61. $a = 0.858L$

12-62. $\theta_A = 0.0181 \text{ rad}, \theta_B = 0.00592 \text{ rad}$

12-63. $\theta_B = -\frac{3M_0L}{2EI}, v_B = \frac{7M_0L^2}{8EI} \downarrow$

12-65. $\theta_A = \frac{5Pa^2}{2EI}, v_C = \frac{19Pa^3}{6EI} \downarrow$

12-66. $v_C = \frac{PL^3}{12EI}, \theta_A = \frac{PL^2}{24EI}, \theta_B = -\frac{PL^2}{12EI}$

12-67. $v_{\max} = \frac{0.00802PL^3}{EI}$

12-69. $\theta_C = -\frac{5Pa^2}{2EI}, v_B = \frac{25Pa^3}{6EI} \downarrow$

12-70. $\theta_A = -\frac{336 \text{ kip} \cdot \text{ft}^2}{EI}, v_{\max} = \frac{3048 \text{ kip} \cdot \text{ft}^3}{EI} \downarrow$

12-71. $v_D = 4.98 \text{ mm} \downarrow$

12-73. $a = 0.152L$

12-74. $\theta_{\max} = \frac{5PL^2}{16EI}, v_{\max} = \frac{3PL^3}{16EI} \downarrow$

12-75. $\theta_B = 0.00658 \text{ rad}, v_C = 13.8 \text{ mm} \downarrow$

12-77. $a = 0.865L$

12-78. $\theta_B = \frac{7wa^3}{12EI}, v_C = \frac{25wa^4}{48EI} \downarrow$

12-79. $\theta_C = -\frac{a^2}{6EI}(12P + wa),$

$v_C = \frac{a^3}{24EI}(64P + 7wa) \downarrow$

12-81. $\theta_A = \frac{PL^2}{12EI}, v_D = \frac{PL^3}{8EI} \downarrow$

12-82. $v_{\max} = \frac{3wa^4}{8EI}$

12-83. $\theta_B = -0.00778 \text{ rad}, v_B = 0.981 \text{ in.} \downarrow$

12-85. $v_C = 1.20 \text{ in.} \downarrow$

12-86. $\theta_A = -0.822^\circ, \theta_B = 0.806^\circ$

12-87. $v_C = 0.429 \text{ in.} \downarrow$

12-89. $\theta_A = 0.00458 \text{ rad}, v_C = 0.187 \text{ in.} \downarrow$

12-90. Use W16 \times 50.

12-91. $(v_A)_v = 0.0737 \text{ in.}, (v_A)_k = 0.230 \text{ in.}$

12-93. $v = PL^2 \left(\frac{1}{k} + \frac{L}{3EI} \right)$

12-94. $v_A = \frac{72}{EI} \downarrow, \theta_A = \frac{36}{EI} \curvearrowright$

12-95. $v_A = PL^3 \left(\frac{1}{12EI} + \frac{1}{8GJ} \right) \downarrow$

12-97. $F = 0.349 \text{ N}, a = 0.800 \text{ mm}$

12-98. $M_0 = \frac{Pa}{6}$

12-99. $A_x = B_x = 0, A_y = \frac{20}{27}P,$

$M_A = \frac{4}{27}PL, B_y = \frac{7}{27}P, M_B = \frac{2}{27}PL$

12-101. $A_x = 0, C_y = \frac{5}{16}P, B_y = \frac{11}{8}P, A_y = \frac{5}{16}P$

12-102. $A_x = 0, B_y = \frac{5}{16}P, A_y = \frac{11}{16}P, M_A = \frac{3PL}{16}$

12-103. $A_x = 0, B_y = \frac{3wL}{8}, A_y = \frac{5wL}{8}, M_A = \frac{wL^2}{8}$

12-105. $A_x = 0, A_y = \frac{3M_0}{2L}, B_y = \frac{3M_0}{2L}, M_B = \frac{M_0}{2}$

12-106. $A_x = 0, B_y = \frac{w_0L}{10}, A_y = \frac{2w_0L}{5}, M_A = \frac{w_0L^2}{15}$

12-107. $B_x = 0, A_y = \frac{17wL}{24}, B_y = \frac{7wL}{24}, M_B = \frac{wL^2}{36}$

12-109. $T_{AC} = \frac{3A_2E_2wL_1^4}{8(A_2E_2L_1^3 + 3E_1I_1L_2)}$

12-110. $A_x = 0, F_C = 112 \text{ kN}, A_y = 34.0 \text{ kN},$

$B_y = 34.0 \text{ kN}$

12-111. $M_A = \frac{5wL^2}{192}, M_B = \frac{11wL^2}{192}$

12-113. $A_y = 1.48 \text{ kip}, B_x = 0, B_y = 3.52 \text{ kip},$

$M_B = 7.67 \text{ kip} \cdot \text{ft}$

12-114. $B_y = \frac{2}{3}P, M_A = \frac{PL}{3}, A_y = \frac{4}{3}P, A_x = 0$

12-115. $A_x = 0, B_y = \frac{M_0}{6a}, A_y = \frac{M_0}{6a}, M_A = \frac{M_0}{2}$

12-117. $B_y = 550 \text{ N}, A_y = 125 \text{ N}, C_y = 125 \text{ N}$

12-118. $A_x = 0, B_y = \frac{5wL}{4}, C_y = \frac{3wL}{8}$

12-119. $B_y = \frac{5}{8}wL \uparrow, C_y = \frac{wL}{16} \downarrow, A_y = \frac{7}{16}wL \uparrow$

12-121. $A_x = 0, B_y = 35.0 \text{ kip}, A_y = 15.0 \text{ kip},$

$M_A = 40.0 \text{ kip} \cdot \text{ft}$

12-122. $A_x = 0, B_y = \frac{7P}{4}, A_y = \frac{3P}{4}, M_A = \frac{PL}{4}$

12-123. $A_x = 0, B_y = \frac{7wL}{128}, A_y = \frac{57wL}{128}, M_A = \frac{9wL^2}{128}$

12-125. $M_A = M_B = \frac{1}{24}PL, A_y = B_y = \frac{1}{6}P,$

$C_y = D_y = \frac{1}{3}P, D_x = 0$

12-126. $T_{AC} = \frac{3wA_2E_2L_1^4}{8(3E_1I_1L_2 + A_2E_2L_1^3)}$

12-127. $M = \frac{PL}{8} - \frac{2EI}{L}\alpha, \Delta_{\max} = \frac{PL^3}{192EI} + \frac{\alpha L}{4}$

12-129. $a = L - \left(\frac{72\Delta EI}{w_0}\right)^{1/4}$

12-130. $F_{CD} = 7.48 \text{ kip}$

12-131. $M_{\max} = \frac{\pi^2 b t \gamma \omega^2 r^3}{108g}$

R12-1. $v = \frac{1}{EI} [-30x^3 + 46.25(x - 12)^3 - 11.7(x - 24)^3 + 38,700x - 412,560] \text{ lb} \cdot \text{in}^3$

R12-2. $v_1 = \frac{1}{EI}(4.44x_1^3 - 640x_1) \text{ lb} \cdot \text{in}^3,$

$v_2 = \frac{1}{EI}(-4.44x_2^3 + 640x_2) \text{ lb} \cdot \text{in}^3$

R12-3. $M_B = \frac{w_0 L^2}{30}, M_A = \frac{w_0 L^2}{20}$

R12-5. $(v_2)_{\max} = \frac{wL^4}{18\sqrt{3}EI}$

R12-6. $\theta_B = \frac{Pa^2}{4EI}, \Delta_C = \frac{Pa^3}{4EI} \uparrow$

R12-7. $B_y = 138 \text{ N} \uparrow, A_y = 81.3 \text{ N} \uparrow, C_y = 18.8 \text{ N} \downarrow$

R12-9. $\Delta_C = 0.644 \text{ in.} \downarrow$

Chapter 13

13-1. $P_{cr} = \frac{5kL}{4}$

13-2. $P_{cr} = kL$

13-3. Use $d = \frac{9}{16} \text{ in.}$

13-5. $P_{cr} = 1.84 \text{ MN}$

13-6. $P_{cr} = 902 \text{ kN}$

13-7. F.S. = 1.87

13-9. $P_{cr} = 1.30 \text{ MN}$

13-10. $P_{cr} = 325 \text{ kN}$

13-11. $P_{cr} = 20.4 \text{ kip}$

13-13. $P = 42.8 \text{ kN}$

13-14. $P_{cr} = 575 \text{ kip}$

13-15. $P_{cr} = 70.4 \text{ kip}$

13-17. $P_{cr} = 2.92 \text{ kip}$

13-18. $P_{cr} = 5.97 \text{ kip}$

13-19. $P = 17.6 \text{ kip}$

13-21. Use $d_i = 1\frac{1}{8} \text{ in.}$

13-22. $W = 4.31 \text{ kN}$

13-23. $W = 5.24 \text{ kN}, d = 1.64 \text{ m}$

13-25. $P = 62.3 \text{ kip}$

13-26. $P = 2.42 \text{ kip}$

13-27. Use $d_{AB} = 2\frac{1}{8} \text{ in.}, d_{BC} = 2\frac{1}{4} \text{ in.}$

13-29. Use $d_{AB} = 1\frac{1}{2} \text{ in.}, d_{BC} = 1\frac{3}{8} \text{ in.}$

13-30. $P = 129 \text{ lb}$

13-31. $w = 1.17 \text{ kN/m}$

13-33. $P = 14.8 \text{ kN}$

13-34. Use $d = 62 \text{ mm.}$

13-35. Use $d = 52 \text{ mm.}$

13-37. $P = 37.5 \text{ kip}$

13-38. $P = 5.79 \text{ kip}$

13-39. Use $d = 1\frac{3}{4} \text{ in.}$

13-41. $M_{\max} = -\frac{wEI}{P} \left[\sec\left(\frac{L}{2} \sqrt{\frac{P}{EI}}\right) - 1 \right]$

13-42. $M_{\max} = -\frac{F}{2} \sqrt{\frac{EI}{P}} \tan\left(\frac{L}{2} \sqrt{\frac{P}{EI}}\right)$

13-43. $P_{cr} = \frac{\pi^2 EI}{4L^2}$

13-46. $P = 31.4 \text{ kN}$

13-47. $v_{\max} = 0.387 \text{ in.}$

13-49. $P_{\text{allow}} = 7.89 \text{ kN}$

13-50. $E_t = 14.6(10^3) \text{ ksi}$

13-51. $L = 8.34 \text{ m}$

13-53. $P = 65.8 \text{ kip}$

13-54. $P = 45.7 \text{ kip}$

13-55. Yes

13-57. $P_{\max} = 61.2 \text{ kip}$

13-58. $L = 21.2 \text{ ft}$

13-59. $P_{\max} = 16.9 \text{ kN}$

13-61. $L = 1.71 \text{ m}$

13-62. $P = 174 \text{ kN}, v_{\max} = 16.5 \text{ mm}$

13-63. $P = 129 \text{ kip}$

13-65. $P_{cr} = 83.5 \text{ kN}$

13-66. $L = 2.53 \text{ m}$

13-67. $d = 98.3 \text{ mm}$

13-69. $P = 88.5 \text{ kip}$

13-70. $P_{cr} = 1.32(10^3) \text{ kN}$

13-71. $P_{cr} = 5.29(10^3) \text{ kN}$

13-73. For $49.7 < KL/r < 99.3,$

$P/A = 200 \text{ MPa}$

13-74. For $49.7 < L/r < 99.3,$

$P/A = 25 \text{ ksi}$

13-75. $P_{cr} = 661 \text{ kN}$

13-77. $P_{cr} = 1.35(10^3)$

13-78. $L = 8.99 \text{ ft}$

13-79. Use $W6 \times 9.$

13-81. $L = 20.3 \text{ ft}$

13-82. Use $W6 \times 12.$

13-83. $L = 18.0 \text{ ft}$

13-85. $L = 33.7 \text{ ft}$

13-86. Use $W6 \times 9.$

13-87. $d = 1.42 \text{ in.}$

13-89. Yes

- 13-90. Yes
 13-91. $b = 0.704$ in.
 13-93. $L = 1.92$ ft
 13-94. $L = 3.84$ ft
 13-95. $P_{\text{allow}} = 380$ kip
 13-97. $P_{\text{allow}} = 129$ kip
 13-98. $P_{\text{allow}} = 143$ kip
 13-99. $P_{\text{allow}} = 109$ kip
 13-101. $P_{\text{allow}} = 8.61$ kip
 13-102. $L = 8.89$ ft
 13-103. Use $a = 7\frac{1}{2}$ in.
 13-105. $P_{\text{allow}} = 8.68$ kip
 13-106. $P_{\text{allow}} = 27.7$ kip
 13-107. $P = 8.83$ kip
 13-109. $P = 18.4$ kip
 13-110. $P = 5.93$ kip
 13-111. $P = 32.7$ kip
 13-113. $P = 0.967$ kip
 13-114. $P = 0.554$ kip
 13-115. The column is not adequate.
 13-117. $P = 33.1$ kip
 13-118. $P = 57.7$ kip
 13-119. $P = 2.79$ kip
 13-121. $P = 98.0$ kip
 13-122. $P = 132$ kip
 13-123. No
 13-125. Yes
 13-126. $P = 1.69$ kip
 13-127. $P = 3.44$ kip
 R13-1. $P = 5.76$ kip
 R13-2. $P = 9.01$ kip
 R13-3. $P_{\text{cr}} = 12.1$ kN
 R13-5. $P = 12.5$ kip
 R13-6. Use $d = 2\frac{1}{8}$ in.
 R13-7. $t = 5.92$ mm
 R13-9. $P_{\text{allow}} = 77.2$ kN
 R13-10. It does not buckle or yield.
- 14-10. $U_i = 0.0638$ J
 14-11. $U_i = 64.4$ J
 14-13. $P = 113$ kip, $U_i = 7.37$ in. · kip
 14-15. $U_i = 0.125$ ft · kip
 14-17. $U_i = \frac{17w_0^2 L^5}{10080 EI}$
 14-18. $(U_i)_{\text{sp}} = 1.00$ J, $(U_i)_b = 0.400$ J
 14-19. $U_i = 3.24$ in. · lb
 14-21. $U_i = \frac{w_0^2 L^5}{504 EI}$
 14-22. $(U_i)_b = 0.477 (10^{-3})$ J, $(U_i)_t = 0.0171$ J
 14-23. $U_i = \frac{w^2 L^5}{40 EI}$
 14-25. $(\Delta_D)_v = \frac{3.50PL}{AE}$
 14-26. $(\Delta_C)_h = \frac{3PL}{2AE}$
 14-27. $(\Delta_A)_h = 0.0710$ in.
 14-29. $(\Delta_C)_v = 13.3$ mm
 14-30. $\Delta_B = 3.46$ mm
 14-31. $\Delta_B = 11.7$ mm
 14-33. $\Delta_B = 0.100$ mm
 14-34. $\Delta_E = 5.46$ in.
 14-35. $\theta_A = \frac{M_0 L}{3EI}$
 14-37. $\Delta_A = \frac{3\pi Pr^3}{2EI}$
 14-38. $\Delta_A = \frac{\pi Pr^3}{2EI}$
 14-39. $\Delta_B = 1.82$ in.
 14-41. $\Delta_B = 15.2$ mm
 14-42. (a) $U_i = 4.52$ kJ, (b) $U_i = 3.31$ kJ
 14-43. $d = 5.35$ in.
 14-45. (a) $\sigma_{\text{max}} = 45.4$ ksi, (b) $\sigma_{\text{max}} = 509$ psi,
 (c) $\sigma_{\text{max}} = 254$ psi
 14-46. $h = 1.75$ ft
 14-47. $\sigma_{\text{max}} = 20.3$ ksi
 14-49. $L = 850$ mm
 14-50. Yes
 14-51. $h = 5.29$ mm
 14-53. $\sigma_{\text{max}} = 307$ MPa
 14-54. $h = 95.6$ mm
 14-55. Use $d = 2\frac{1}{8}$ in.
 14-57. Yes, from any position
 14-58. $(\Delta_A)_{\text{max}} = 15.4$ in.
 14-59. $\sigma_{\text{max}} = 6.20$ ksi
 14-61. $n = 19.7$
 14-62. $h = 4.20$ ft
 14-63. $\sigma_{\text{max}} = 35.2$ ksi

Chapter 14

- 14-1. $\frac{U_i}{V} = \frac{1}{2E}(\sigma_x^2 + \sigma_y^2 - 2\nu\sigma_x\sigma_y) + \frac{\tau_{xy}^2}{2G}$
 14-3. $a = \sqrt{\frac{\pi}{2}} r$
 14-5. (a) $U_a = \frac{N^2 L_1}{2AE}$, (b) $U_b = \frac{N^2 L_2}{2AE}$
 Since $U_b > U_a$, i.e., $L_2 > L_1$, the design for case (b) is better able to absorb energy.
 14-6. $U_i = 43.2$ J
 14-7. $P = 375$ kN, $U_i = 1.69$ kJ
 14-9. $U_i = 149$ J

14-65. $\Delta_B = 0.247 \text{ in.}, \sigma_{\max} = 2.34 \text{ ksi}$

14-66. $\sigma_{\max} = 137 \text{ MPa}$

14-67. $h = 8.66 \text{ m}$

14-69. $h = 7.45 \text{ in.}$

14-70. $(\Delta_B)_{\max} = 0.661 \text{ in.}$

14-71. $\Delta_{\max} = 23.3 \text{ mm}, \sigma_{\max} = 4.89 \text{ MPa}$

14-73. $(\Delta_B)_h = 0.223(10^{-3}) \text{ in.} \leftarrow$

14-74. $(\Delta_B)_v = 0.00112 \text{ in.} \downarrow$

14-75. $(\Delta_B)_v = 0.0132 \text{ in.} \downarrow$

14-77. $(\Delta_B)_h = 0.699(10^{-3}) \text{ in.} \rightarrow$

14-78. $(\Delta_B)_v = 0.0931(10^{-3}) \text{ in.} \downarrow$

14-79. $(\Delta_B)_h = 0.367 \text{ mm} \leftarrow$

14-81. $(\Delta_C)_h = 0.234 \text{ mm} \leftarrow$

14-82. $(\Delta_D)_v = 1.16 \text{ mm} \downarrow$

14-83. $(\Delta_A)_v = 3.18 \text{ mm} \downarrow$

14-85. $(\Delta_D)_h = 4.12 \text{ mm} \rightarrow$

14-86. $(\Delta_E)_h = 0.889 \text{ mm} \rightarrow$

14-87. $\Delta_C = \frac{23Pa^3}{24EI}$

14-89. $\Delta_C = \frac{2Pa^3}{3EI}$

14-90. $\theta_C = \frac{5Pa^2}{6EI}$

14-91. $\theta_A = \frac{Pa^2}{6EI}$

14-93. $\theta_B = -0.353^\circ$

14-94. $\theta_C = 0.337^\circ$

14-95. $\Delta_B = 47.8 \text{ mm} \downarrow$

14-97. $\theta_A = 0.289^\circ$

14-98. $\theta_B = 0.124^\circ$

14-99. $\Delta_C = \frac{PL^3}{8EI} \downarrow$

14-101. $\theta_C = \frac{13wL^3}{576EI}$

14-102. $\Delta_D = \frac{wL^4}{96EI} \downarrow$

14-103. $\theta_A = -1.28^\circ$

14-105. $\Delta_C = \frac{PL^3}{48EI} \downarrow, \theta_B = \frac{PL^2}{16EI}$

14-106. $\Delta_C = 0.122 \text{ in.} \downarrow$

14-107. $\theta_A = 0.232^\circ$

14-109. $\theta_C = -1.14^\circ$

14-110. $\Delta_D = 0.219 \text{ in.} \uparrow$

14-111. $\Delta_{\text{tot}} = \left(\frac{w}{G}\right)\left(\frac{L}{a}\right)^2 \left[\left(\frac{5}{96}\right)\left(\frac{L}{a}\right)^2 + \frac{3}{20} \right],$

$\Delta_b = \frac{5w}{96G} \left(\frac{L}{a}\right)^4$

14-113. $\theta_A = \frac{5w_0L^3}{192EI}$

14-114. $(\Delta_C)_h = \frac{640\,000 \text{ lb} \cdot \text{ft}^3}{EI} \leftarrow,$

$(\Delta_C)_v = \frac{1\,228\,800 \text{ lb} \cdot \text{ft}^3}{EI} \downarrow$

14-115. $\Delta_B = 43.5 \text{ mm} \downarrow$

14-117. $\Delta_C = 17.9 \text{ mm} \downarrow$

14-118. $\theta_A = -0.0568^\circ$

14-119. $(\Delta_C)_h = \frac{5wL^4}{8EI} \rightarrow$

14-121. $(\Delta_B)_v = \frac{Pr^3}{4\pi EI} (\pi^2 - 8) \downarrow$

14-122. $(\Delta_A)_h = \frac{\pi Pr^3}{2EI} \leftarrow$

14-123. $(\Delta_B)_h = 0.223(10^{-3}) \text{ in.} \leftarrow$

14-125. $(\Delta_B)_v = 0.0132 \text{ in.} \downarrow$

14-126. $(\Delta_E)_v = 0.0149 \text{ in.} \downarrow$

14-127. $(\Delta_B)_h = 0.699(10^{-3}) \text{ in.} \rightarrow$

14-129. $(\Delta_C)_h = 0.234 \text{ mm} \leftarrow$

14-130. $(\Delta_C)_v = 0.0375 \text{ mm} \downarrow$

14-131. $(\Delta_D)_h = 4.12 \text{ mm} \rightarrow$

14-133. $\theta_C = \frac{5Pa^2}{6EI}$

14-134. $\theta_A = \frac{Pa^2}{6EI}$

14-135. $\Delta_C = 0.369 \text{ in.}$

14-137. $\Delta_B = 47.8 \text{ mm}$

14-138. $\Delta_D = 3.24 \text{ mm}$

14-139. $\theta_A = 0.289^\circ$

14-141. $\theta_A = \frac{wL^3}{24EI}$

14-142. $\Delta_C = \frac{5wL^4}{8EI}$

14-143. $\Delta_B = \frac{wL^4}{4EI}$

14-145. $\theta_B = \frac{wL^3}{8EI}$

R14-1. $U_i = 496 \text{ J}$

R14-2. $\sigma_{\max} = 116 \text{ MPa}$

R14-3. $h = 10.3 \text{ m}$

R14-5. $\sigma_{\max} = 43.6 \text{ ksi}$

R14-6. $U_i = 45.5 \text{ ft} \cdot \text{lb}$

R14-7. $(\Delta_C)_v = 0.114 \text{ in.} \downarrow$

R14-9. $\theta_B = \frac{M_0L}{EI}$

R14-10. $\theta_B = \frac{M_0L}{EI}$

R14-11. $\theta_C = -\frac{2wa^3}{3EI}, \Delta_C = \frac{5wa^4}{8EI} \downarrow$

د انجینرۍ موادو اوسط میخانیکي مشخصات

Average Mechanical Properties of Typical Engineering Materials^a
(SI Units)

Materials	Density ρ (Mg/m ³)	Modulus of Elasticity E (GPa)	Modulus of Rigidity G (GPa)	Yield Strength (MPa)		Ultimate Strength (MPa)		% Elongation in 50 mm specimen	Poisson's Ratio ν	Coef. of Therm. Expansion α (10 ⁻⁶)/°C
				Tens. σ_y	Comp. ^b Shear	Tens. σ_u	Comp. ^b Shear			
Metallic Aluminum Wrought Alloys [2014-T6 6061-T6]	2.79	73.1	27	41.4	41.4	46.9	46.9	10	0.35	23
	2.71	68.9	26	25.5	25.5	290	290	1.2	0.35	24
Cast Iron Alloys [Gray ASTM 20 Malleable ASTM A-87]	7.19	6.70	27	-	-	179	66.9	0.6	0.28	12
	7.28	1.72	68	-	-	276	57.2	5	0.28	12
Copper Alloys [Red Brass C83400 Bronze C86100]	8.74	101	37	70.0	70.0	241	241	35	0.35	18
	8.83	103	38	34.5	34.5	655	655	20	0.34	17
Magnesium Alloy [Am 1004-T61]	1.83	44.7	18	152	152	276	276	1	0.30	26
	7.85	200	75	250	250	400	400	30	0.32	12
Steel Alloys [Structural A-36 Structural A-992 Stainless 304 Tool L2]	7.85	200	75	34.5	34.5	450	450	30	0.32	12
	7.86	1.93	75	20.7	20.7	517	517	40	0.27	17
	8.16	200	75	70.3	70.3	800	800	22	0.32	12
Titanium Alloy [Ti-6Al-4V]	4.43	1.20	44	924	924	1,000	1,000	16	0.36	9.4
Nonmetallic Concrete [Low Strength High Strength]	2.38	22.1	-	-	-	-	-	-	0.15	11
	2.57	29.0	-	-	-	-	-	-	0.15	11
Plastic Reinforced [Kevlar 49 30% Glass]	1.45	131	-	-	-	717	483	2.8	0.34	-
	1.45	724	-	-	-	90	131	-	0.34	-
Wood Select Structural Grade [Douglas Fir White Spruce]	0.47	13.1	-	-	-	2.1 ^c	2.6 ^d	-	0.29 ^e	-
	0.36	9.65	-	-	-	2.5 ^e	3.6 ^d	-	0.31 ^e	-

^a Specific values may vary for a particular material due to alloy or mineral composition, mechanical working of the specimen, or heat treatment. For a more exact value reference books for the material should be consulted.

^b The yield and ultimate strengths for ductile materials can be assumed equal for both tension and compression.

^c Measured perpendicular to the grain.

^d Measured parallel to the grain.

^e Deformation measured perpendicular to the grain when the load is applied along the grain.

د انجینری موادو اوسط میخانیکي مشخصات

Average Mechanical Properties of Typical Engineering Materials^a
(U.S. Customary Units)

Materials	Specific Weight (lb/in ³)	Modulus of Elasticity E (10 ³) ksi		Modulus of Rigidity G (10 ³) ksi		Yield Strength σ_y (ksi)		Ultimate Strength σ_u (ksi)		% Elongation in 2 in. specimen	Poisson's Ratio ν	Coef. of Therm. Expansion α (10 ⁻⁶)/°F
		Tens.	Comp.	Tens.	Comp.	Tens.	Comp.	Tens.	Comp.			
Metallic												
Aluminum Wrought Alloys [2014-T6 6061-T6]	0.101 0.098	10.6 10.0	3.9 3.7	60 37	25 19	68 42	42 27	10 12	0.35 0.35	128 13.1		
Cast Iron Gray ASTM 20 Alloys [Malleable ASTM A-19]	0.260 0.263	11.0 25.0	3.9 9.8	- -	- -	26 40	96 83	0.6 5	0.28 0.28	6.70 6.60		
Copper [Red Brass C83400 Alloys [Bronze C86100]]	0.316 0.319	14.6 15.0	5.4 5.6	11.4 50	- -	35 35	- -	35 20	0.35 0.34	9.90 9.60		
Magnesium Alloy [AM 1004-T61]	0.066	6.48	2.5	22	-	40	22	1	0.30	14.3		
Steel Alloys [Structural A-36 Structural A992 Stainless 304 Tool L2]	0.284 0.284 0.284 0.295	29.0 29.0 28.0 29.0	11.0 11.0 11.0 11.0	36 50 30 102	36 50 30 102	58 65 75 116	- - - -	30 30 40 22	0.32 0.32 0.27 0.32	6.60 6.60 9.60 6.90		
Titanium Alloy [Ti-6Al-4V]	0.160	17.4	6.4	134	-	145	-	16	0.36	5.20		
Nonmetallic												
Concrete [Low Strength High Strength]	0.086 0.086	3.20 4.20	- -	- -	1.8 5.5	- -	- -	- -	0.15 0.15	6.0 6.0		
Plastic [Kevlar 49 Reinforced 30% Glass]	0.0524 0.0524	19.0 10.5	- -	- -	- -	104 13	10.2 -	2.8 -	0.34 0.34	- -		
Wood [Select Structural Grade Douglas Fir White Spruce]	0.017 0.013	1.90 1.40	- -	- -	- -	0.30 ^f 0.36 ^g	3.78 ^h 5.18 ^h	- -	0.29 ^e 0.31 ^e	- -		

^a Specific values may vary for a particular material due to alloy or mineral composition, mechanical working of the specimen, or heat treatment. For a more exact value reference books for the material should be consulted.

^b The yield and ultimate strengths for ductile materials can be assumed equal for both tension and compression.

^c Measured perpendicular to the grain.

^d Measured parallel to the grain.

^e Deformation measured perpendicular to the grain when the load is applied along the grain.



د ژبالورنکی (حفيظ الله وردک) لنډه پيژندنه

نوم اوکورنی:

نوم مي حفيظ الله وردک د حاجي بسم الله خان زوی او د وکیل محمد زرین خان (د امير امان الله خان د سلطنت په وخت کي د وردگو وکیل) لمسي ، د جغتو د محمد قولې په کلی کی زيږدلي يم. الحمدالله دوی لوراني او دوه زامن او لس لمسيان خداي راکړي.

علمی زدکړي:

لمړني زدکړي: لمړني زدکړي مي د غازی محمد جانخان د وردگو په جغتوکی اود قاری عبدالله خان نوآباد ده افغانان کابل کي تر سره کړي.

لیسه: د لیسې دوره مي د حبيبيې په عالي لیسې په کابل کی تر سره کړي. د حبيبيې لیسې له لسم ټولگی نه امریکا ته د (American Field Service) سکالرشپ په اخیستلو سره د یوه کال زدکړو لپاره ولاړم، او هلته می یو کال لپاره په من هایم ټونشپ لیسې (Manheim Township High School) کی چی په لنکستر پنسلوانیا (Lancaster Pennsylvania) کی ده زده کړه درلوده. یو کال وروسته بیرته کابل ته ستون شوم او یولسم او دولسم ټولگی می دی حبيبيې په عالي لیسې کی پای ته ورساوه. د لیسې دوری په وخت کی ما د کابل ټایمز (Kabul times) ، د انیس ورځپاڼي او کابل رادیو سره د راپورتر په توگه همکاري کوله. له کابل ټایمز نه می د لیکلو یوه جایزه هم تر لاس کړه.

لوري زدکړي: د پوهنتون کانکور له لاري د کابل پوهنتون (Kabul University) د انجینری پوهنځی ته شامل شوم. په دوهم صنف کي د ایست ویست سنتر (East West Center) سکالرشپ په اخیستلو د امریکا هاوایی پوهنتون (University of Hawaii) ته ولاړم او لیسانس مي په سیول انجینری کی هلته واخیست او بیا د کیس وسترن ریزرو یونیورسټی (Case Western Reserve University) چی په کلیولند اوها یو (Cleveland Ohio) د امریکا ولایت کی ده د ما ستری شهادت نامه په سترکچر انجینری کي تر لاسه کړه .

د روسانو له یرغل وروسته امریکا ته مهاجر شوم د الاباما یونورسټی (University of Alabama, Huntsville) چی په هنتسویل د امریکا کی ده د ډاکټری (PhD) ټول مضامین تکمیل کړل او دیسرتیشن می د کورنی مصرفیت او د اولادونودی زدکړي لازمی پاملرنی د ضرورت له کبله تکمیل نشوای کړی. د دیسرتیشن تکمیلولو لپاره باید یوتر دوکلونو ما باید کار پرینویوی اما تصمیم پر دی شو چی د یوه وخت لپاره پوهنتون پریردم او کار ته ادامه ورکړم.

کاري مصروفیتونه او علمي تجربی:

کله چی وروسته له ماستری اخیستلو له امریکا بیرته کابل ته ستون شوم م کاري تجربه می پدی لاندی ډول شروع شوه:

افغاني ساختماني دستگاہ : د فواید عامی وزارت په چوکاټ کی دا لویه او مهمه ساختمانی دستگاہ وه. کله چی کابل ته ستون شوم هلته می د انجینر په توگه کار شروع کا او پدی کار کی د څو میاشتو د پاره پاتی شوم.

د کابل پوهنتون د انجینري پوهنځي: وروسته له څو میاشتو په افغاني ساختمانی دستگاہ کی د کابل پوهنتون د انجینري پوهنځي د سیول انجینري ډیپارټمنټ کی د استاد په حیث ومنل شوم. شپږ کاله هلته په تدریس او ریسرچ مصروف وم تر څو اتحاد جاهر شوروي په افغانستان یرغل وکړ. پدی وخت کی زما علمی رتبه پوهنمل وه.

د شوروي له یرغل وروسته هندوستان ته لاړم ، دری میاشتی په نوی ډیلی کی پاتی شوم، او له هغه ځایه په جنوري د ۱۹۸۱ کی امریکا ته راغلم. د کالورادو پوهنتون په بولدر او د واشنگتن یونیورسټی په سنټلویس میزوري کی د دکتورا اخیستلو لپاره کله چی په هندوستان کی وم شمولیت او اسیستنشیپ رالږلي وه. کله چی له هندوستان نه امریکا ته را ورسیدم د پوهنتونو د شروع کیدو وخت تیر شوی وا او مجبور شوم چی کار وکړم.

پایل ډینامیک او ډیلونو انجیری کمپنی: څو میاشتو لپاره می له یوی کمپنی سره چی په اوهایو کی د پلونو او پایل ډینامیکس (Pile Dynamics) په نامه یادیده د انجینر په توگه کار وکا.

سا رجنت لنډی د اتومی انرژي انجینری کمپنی: په شیکاگو ایلینویز ایالت کی له سارجنت لنډی چی د اتومی انرژي د انجینري یوه مشهوره کمپنی ده دسترکچر متخصص (structural Specialist) په حیث شپږ کاله د دی کمپنی سره د سترکچرل انجینر په حیث کار وکا.

یونایتید تیکنالوجی کمپنی: وروسته له 6 کلونو په شیکاگو کی د دو کلونو لپاره د یونایتید تیکنالوجی سره په هنتسول الاباما کی چی د هوایي راکتونو ، د جیت الوتکو اینجین جوړه ولو او فضاي راکیتونو یو لویه کمپنی ده په حیث د سترکچر انجینر کار وکړ.

بوینگ کمپنی : د یونایتید تکنالوجی د کمپنی دکار ورسته د بوینگ له کمپنی سره کار پیل کړ. بوینگ د الوتکو جوړه ولو او هوایي بیړیو د دنیا لویه او مشهوره کمپنی ده . زه تر دیرش (30 years) کاله د سترکچرانجینری په برخه کی د یوه عالی مقام (تیکنیکل فیلو) انجینر په توگه کار وکړ او تصمیم می ونیو چی په ۲۰۱۹ کال کی رسمی کار بس کړم. په بوینگ کی اول لس کاله د فضاي هدی (International Space Station) د ناسا (NASA) مربوطه (په فضا کی د ژوندکولو او علمي تحقیقاتو بیړی چی بین الملی فضا یی ستیشن نومیري) د مشر سترکچر انجینر په حیث مصروف د کار وم . پدی وخت کی وروسته له رسمي کاره د دکتورا لپاره په یونیورسټی الباما

هنټسویل کی درس شروع کړ. شل کاله نورمی په بوینگ کی د ډول ډول موډلونو د نویو الوتکو په انجینری کارونو د عالی رتبی انجینر (تیکنیکل فیلو) په صفت په بوینگ کی کار وکړ. د بوینگ سره یوه اختراع هم لرم او دا اختراع د امریکا د پتنت په اداره کی رسمی ثبت شوي. د انجینری مسؤلیت او کار برسیره ما پنځه ویشته (25) کاله په بوینگ کمپنی کی نورو انجینرانو ته د سترکچر په رشته کی وروسته له رسمی کاره تدریس هم وکړ.

په دی 40 کاله کاري مصروفیتونو په امریکا کی، زیات شمیر تخنیکي لیکنی درلودلی او هم زیات شمیر کاري جایزی، ستایني، او پیرندني له یونایتید تیکنالوجی، ناسا (NASA)، او له بوینگ ماته راکړل شوي. په کال 2022 کی د انجینری په مسلک کی د رهبری او لاسته راوړنو پر بنسټ د نری د انجینرانو په لست کی (Who's Who Worldwide) د انجینر په توگه پیژندل شوي دي.

له کومه وخته چی رسمی کار می بس کړی، یو کتاب د جوربستونو تحلیل په نامه په پښتو ژبه په دری ټوکونوکی ولیکه او هغه اوس په افغانستان کی په پوهنتونو کی تدریسی کتاب دی. په دی کتاب کی محترم ډاکتر بها د انجینری پوهنځی پخوانی رییس هم شریک دی. او هیله ده چی دا دوهم کتاب (د انجینری میخانیک) په نامه هم د زده کونکیو او راتلونکیو افغانی انجینرانو د پاره گټور تمام شی.



د ژباړونکي (زرجان بها) لنډه پيژندنه

(دا معلومات د اکتوبر په ۲۹ کال ۲۰۲۳ تيارشوی)

نوم او کورنی :

زما نوم **زرجان** دی او کله می چی پوهنتون شروع کا وا (۱۹۵۸) د تعلیم او تربیې مودیر راته وویل چی بنایې چی د کورنی نوم هم ولرم نو د پلار د نامه لمړنی برخه می په همغه ساعت کی د کورنی د نامه د پاره وټاکله او د هغو راهیسی می نوم **زرجان بها** دی. د پلار نوم می **بهاول خان** او د مور نوم می **کجله** دی. د یوسفخیلو په کلی کی چی دورگو د سید اباد په ولسوالی کی دی زیریدلی یم. زموږ په کلی کی چی کابو سل کوره وا یوازی زما پلار وا چی لوستل او لیکل یی کولی شوی. زما تره اغاجان خان د ولس ملک وا او د لیکل شویو اړین سندونو برابرول یی زما د پلار په غاړه وو. دواړه وروڼه د یوی کورنی په توگه یو ځای اوسیدل.

زما د اوو یشپیتو کالو د ژوند شریکه **فاطمه** اودری اولاده لرم چی دوه یی د طب ډاکتران او یو یی انجینر دی. دری سره د ژوند د شریکانو او اولادو سره په خپلو کورو کنبی د امریکا په مختلفو بڼه رو کی ژوند کوی. همدارنگه لس لمسیان لرم چی اوو یی پوهنتونونه خلاص کړی، کار کوی او یا لوری تخصصی زده کړی کوی، دوه یی په پوهنتون کی او یو یی په متوسطه بنونځی کی دی. زه به د خپل ځان په هکله به لاندی کړبنوکی په لنډیزه توگه شننه وکړم.

رسمی زده کړی:

لمړنی بنونځی دوره (د ۱ نه تر ۶ ټولگی): لمړنی زد کړی می د وردگو د تکیی به بنونځی کی بشپړی کړی او لدی کبله چی د شپږم ټولگینه د اول نمره په توگه فارغ شوم د پوهنی د وزارت د تعامل له مخی ددی مستحق شوم چی کابل ته د نورو زده کړو د پاره په کوم لیله بنونځی کی شامل شم.

د لیسی دوره (۷ نه تر ۱۲ ټولگی): د لیسی دوره می د کابل په دارالمعلمین کی تر سره کړه. د کابل دارالمعلمین دوی برخی درلودی چی یوی مسلکی برخه وه چی د نهم ټولگی فارغان دبنونکیو په توگه دافغانستان په شپږکلنه بنونځیو کی د بنونکیو په توگه وظیفه قبلوله چی زموږ په وخت کی مسلکی برخه یولسم ټولگی ته لوړه شوه، بله برخه یی متوسطه وه چی شپږ کاله وه او فارغانو یی کړی شوی د کابل په لیسو کی دبنونکی په توگه کار وکا او یا به د پوهنتون د ادبیاتو او ساینس پوهنځیو ته تلل چی د کابل په لیسو کی د ساینس او یا اجتماعیاتو بنونکی شی. زه اول مسلکی برخی ته معرفی شوی وم او بیا می دمکتب د مودیر نه وغوښتل چی متوسطی ته بدل شم چی زما غوښتنه یی قبوله کړه. د یادولو وړده چی په هغه وخت کی تر کابل پرته په ټول افغانستان کی یوازی تر

شپږم ټولگي پوري زده کړي وي. زموږ ټولگي ته د افغانستان د ټولو ولايتو نه اول نمره گان راغلي وو.

کله چې زه په بولسم ټولگي کې وم د زراعت معين د يو شمير نورو غړيو سره زموږ مکتب ته راغی او غوښتل یې چې ځنی زدکونکی د زراعت د تحصیل د پارترکيې ته انتخاب کړي. عبدالصمد خان چې زموږ د کميا معلم او هم د ليسي معاون و او زه یې اول ورته معرفي کړم چې زه د ټولگي اول نمره او کپتان هم وم. دري نور زموږ د ټولگي نه پدی ډله کې گډ شول. زه دی سکالر شیب ته پیر نه وم خوشحاله او د دی اند پینه را سره وه چې که پدی سکالر شیب کې کومه ستونځه پیداشي زما تحصیل به نیمگري پاتی شي. بڼه داشوه چې زموږ د ډلي نه د یوه ملگري پچه ختلی وه. پدی توگه نوموړی به اول د عسکري دوره تیره وله او بیا به یې د دی سکالر شیب نه گټه اخلسنله او پدی توگه د دی سکالر شیب نه پښیمانه شو. ماته هم لاره جوړه شوه چې زه هم تر دی سکالر شیب نه تیر شم. زموږ د ټولگي نه ځنی نورکاند یدان دنوموړی سکالر شیب دپاره پیداشول چې رښتیا یې تحصیل نیمگري شو.

د لوړو زدکړو دوره:

په افغانستان کې:

زموږ په وخت کې د پوهنتون د پاره کانکور نه و او زموږ نه یې یو امتحان واخیست چې دا امتحان د کانکور د جوړولو د پاره آزما یښتی امتحان و. ماته وویل شول چې د کابل په ټولو لیسو کې زما نمری دریمه درجه وي. اول او دوهم نمره گان د استقلال او نجات له ښونځیو نه وو. دی ازموینی زموږ د پوهنځیو په خوښید و کې هیڅ اغیزه نه درلودله. لکه چې پخوا می وویل چې زموږ د مکتب نه یوازی د ادبیاتو او ساینس پوهنځیو ته فارغان تللی شوی او زما دپاره یو طلايي چانس پیدا شو چې دانجینری پوهنځی ته شامل شم. د پوهنځی نه دوهم نمره فارغ شوم او پوهنځی موږ دواړه، اول نمره او دوهم نمره، د استادانو په توگه ومنلو چې په هغه وخت کې د یوه فارغ دپاره تر نورو ټولو ځایونه ښه انتخاب و. په پوهنځی کې می د ۱۹۶۲ کال د جنوری نه د ۱۹۶۳ کال تر سپتمبره پوری د استاد په توگه ډنده درلوده او په سپتمبر کې د نورو لوړو زدکړو له پاره امریکاته ولاړم.

د پوهنځی په دوره کې ما د ملگريو میلتو د (Food and Agriculture Organization, FAO) په دفتر کې د ډرافتمین په توگه کار کا. دا کار ماته د عبدال محبوب خان په مرسته پیدا شوی و. نوموړی د امریکا د وایومینگ پوهنتون نه لیسانس او د دیوس پوهنتون نه یې ما ستری اخستی وه. پیر وخت یې د هلمند په پورژه کې کار وکا او په آخر وختو کې د پروان د ابیاری د پروژې د امر او بیا د کود او برق د فابریکی چې په شبرغان ن کې وه دریس په توگه ډنده درلوده. د FAO د دفتر مشر د کرهني د وزارت په موافقه د ما دپاره یو بورس جوړ کا چې په امریکا کې د ابیاری په انجینری کې ما ستری واخلم.

کله چې زه د پوهنځی نه فارغ شوم له یوا خوا د FAO سکالرشپ و او له بلې خوا د پوهنځی له خوا د استاد په توګه کار راته پیدا شو. رښتیا هم چې دا یوه سخته فیصله وه چې زه کوم انتخاب کړم. په پای کې می د خپل ژوند د پرنسپ په اساس بی د چا د مشورې نه د پوهنتون کار انتخاب کا او پدی فیصله تر اوسه پوری خوشحاله یم.

په امریکا کې:

د ماستری د پاره: زه چې امریکاته راغلم اول د واشنگتن پوهنتون چې په سنټلویس کې دی ولاړم تر څو زما د یوه همکار، Walter Pilkey، چې زموږ په پوهنځی کې یی درس ورکاوا، په سپارښتنه د ده د یوه ملګری پرو فیسر تر لاس لاندې خپله ماستری هلته واخلم. پدی پوهنتون کې یو لړ داخلی ستونځی پیدا شوی وی چې ډیر پروفیسران، د ما د انتخاب شوی پروفیسر په ګډون، نورو پوهنتونو ته ولاړل او ما هم پس له دوو سمسترو چې زیاتره می د ایسانس دوری مضمونونه نیولی وو د پورډو پوهنتون ته چې زموږ د پوهنځی سره یی د نورو لسو امریکا پوهنتونو تر څنګ مرسته کوله انتخاب او د (۱۹۶۴) کال په پسرلی کې ځان بدل کا. د ۱۹۶۶ په جنوری کې می دسیول انجینریه ساحه کې ماستری واخستله. د فراغت نه ورسته افغانستان ته ولاړم او په پوهنځی کې می خپل کار ته دوام ورکا.

کله چې د پورډو په پوهنتون کې وم د (۱۹۶۵) کال په اوږی کې شیکاګو ته د عملی کار زده کولو د پاره ولاړم او هلته می د شپې له خوا د پریسترس کانکریت یوکورس په ایلونیای انسټیټوت اف تکنالوجی (IIT) کې واخیست چې ډیر په زړه پوری یوه پروفیسر درس راکاوا.

د ډاکتری د پاره: د ۱۹۶۹ کال په جنوری کې د نارت کرلینا ستیت پوهنتون ته چې په رالی کې دی د ډاکتری د تحصیل د پاره ولاړم او د ۱۹۷۳ کال په اوږی کې می په سیول انجینری کښی ډاکتری شهادت نامه واخسته او پیرته افغانستان ته ولاړم او د کابل د پوهنتون د انجینری په پوهنځی کې می کار ته دوام ورکا. زما د تیسس موضوع پریسترس پریکسټ کانکریت و او ما دا هیله درلوده چې ددی موادو کمپنی به په افغانستان کې جوړه وو تر څو دا مواد د فولادو ځای د ودانیو په جوړولو کې ونیسی.

کله چې هلته په پوهنتون کې وم یو څه وخت می د Nuclear Engineering به ډیپارتمنت کې د Coastal Erosion د اندازکولو په پروژه کې کار وکا.

زما د کارشنه:

د ۱۹۶۲ کال د جنوری نه د ۱۹۸۲ کال تر جنوری پوری (شل کاله) می د کابل پوهنتون د انجینری په پوهنځی کې کار درلود. په ۱۹۷۴ کال کې په پوهنځی کې د زراعت او سیول انجینری ډیپارتمنت

د مشر په توګه د استادانو له خوا انتخاب شوم. په ۱۹۷۵ کال کې د پوهنتون په پیشنهاد، د کابینې په مجلس کې د پوهنځی د رییس په توګه وټاکل شوم او تر څو چې په افغانستان کې کمونستانو قدرت ونیو (۱۹۷۸) د رییس په توګه پاتې شوم او بیا د ۱۹۸۲ کال تر جنوري پورې په پوهنځی کې استاد وم او زما علمي رتبه پوهنوالی وه. زموږ په پوهنځی کې تر دې لورې علمي رتبه یوازې د فزیک یو پوهاند درلوده.

د پوهنځی د کار په اولو کلو کې می د کرهڼی په وزارت کې د احصایی او وترنری کورسو کې درس ورکړی. همدارنگه د پوهنځی په

Center for Engineering Consulting Services and Applied Research (CECSAR)

کې می د مشاور په توګه د کار په ټوله دوره کې (بی دریاست د وخت نه) په آتلسو پروژو کې کار کړی.

کله چې د ۱۹۸۲ کال په جنوري کې د سیستم انجینری ورکشاپ د پاره د یونسکو له خوا IIT Bombay, India ته ولاړم تصمیم می ونیو چې امریکا ته راشم. د ځینې امریکایی ملګریو سره می تماس ونیو چې امریکا ته به را ځم او د کار په پیدا کولو کې به ددوی مرسته غواړم. په پورډو پوهنتون کې د تکنالوجی د کالج رییس Dr. George McNelly له خوا می لیک تر لاسه کا چې د

Building Construction and Contracting

په ډیپارټمنټ کې دی میلمه پروفیسر په توګه د یوه کال د پاره وظیفه درلودی شم. کله چې زه په جون د ۱۹۸۲ کال کې امریکا ته راغلم نو زما د پخوانی ملګری Walter Pilkey په کور کې چې په شارلټزویل ورجینیا کې اوسیدل د میلمه په توګه ووسیدم او د لنډ وخت د پاره می په University of Virginia کې کار وکا. په همدې دوبي کې د انټروویو د پاره پورډو ته راغلم او دا کار می قبول کا. په ۱۹۸۴ کال کې د ټینیرټرک اسوسیټ پروفیسر په توګه ومنل شوم او په ۱۹۹۰ کال کې می د پروفیسری (پوهاندی) علمي رتبه تر لاسه کړه او د ۲۰۲۲ کال د می تر میاشتی چې څلورنست کاله کیری په پورډو کې کار وکا. د ۲۰۱۹ کال په منی کې می تصمیم ونیو چې د کار مسولیت می نیمایی کړم او په دريو کالو کې خپله ډنډه په پوهنتون کې پای ته ورسوم. زما د ورسټیو کلو کې د کالج د مشاور (College Mentor) په توګه کار کاوا او کوم معین مضمون درس می نه ورکاوا.

په ۱۹۹۵ کال کې د پورډو انټرنشنل پروګرام د جهانی بانک یوه شل ملیونه ډالره پروژه واخسته او زمانه یی و غوښتل که ددی پروژې د پر مخ وړلو دپاره د Resident Program Coordinator په توګه چې په مالیزیا کې وه ولاړ شم چې ما دا کار قبول کا او د پنځو کالو پروژه می د ۱۹۹۹ کال په پای کې تکمیل کړه. پدی پروژه کې کابو یو سل استادانو چې د امریکا، انگلستان، کاناډا او استراليا

وو د لنډی او یا څه ووردی مودی د پاره کار وکا. پدی پروژہ کی مورکابو ۹۰۰ استادان د مالیزیا د پولیتخنیکو د پاره وروزل. زما په دفتر کی څلورو مالیزیاپانوچی ما خوبن کړی وو، کار کاوا، چی د موترچلولو، سکرتریت، اداری او مالی چارو مسولیت ورپه غاړه وا.

د ۲۰۰۲ کال راهیسی پنځه واری (د ۲۰۰۲ نه تر ۲۰۱۶) افغانستان ته د نورو پوریدو استادانو سره تللی یم تر څو د افغانستان د لوړو زده کړو، په ځا نگرې توگه د نویي تکنالوجی، په برخه کی مرسته وکړو. یو شمیر د پوهنتونو استادان مو امریکا ته د لنډ وخت د پاره راوستل او هلته مو څو ورکشاپونه جوړ کړل تر څو د پوهنتون یو شمیر استادان او نورانجیران د نویو تکنالوجیو سره بلد شی. همدارنگه مو یو سپین سرخلاصی را پور ولیکا چی په افغانستان کی د تکنالوجی زده کړو پنځه مرکزونه جوړشی چی یو په کابل، بل په کندار، بل په هرات، بل په مزار، او بل په ننگرار کی وی. په هر مرکز کی کوشش وشی چی د خیلی منطیقی د ضرورت وړ تکنالوجستان وروزی. دا مرکزونه بسایي چی مالی استقلال ولری تر څو د ضرورت وړشیان په بیړه د خپلو مرکزو د پاره تیار کړی شی.

BRIEF INTRODUCTION TO THIS BOOK

This book provides the student with a clear and thorough presentation of the theory and application of the principles of mechanics of materials. It is hoped that both the instructor and student will benefit greatly from it.

The translation to Pushto language has kept all the contents of the original book, tenth edition by R.C. Hibbeler.

The book is organized in 14 chapters, problems sets are located after each group of examples. In this way the students can have a better understanding of the covered materials. Solutions to the problem sets are provided at the end of the book.

Due to printing requirements the book is divided into two volumes. The first volume covers Chapters 1-8, and the second volume covers chapters 9-14. Appendices and problem solutions are provided at the end of each chapter.

CONTENTS

The subject matter is organized into 14 chapters. Chapter 1 begins with a review of the important concepts of statics, followed by a formal definition of both normal and shear stress, and a discussion of normal stress in axially loaded members and average shear stress caused by direct shear.

In Chapter 2 normal and shear strain are defined, and in Chapter 3 a discussion of some of the important mechanical properties of materials is given. Separate treatments of axial load, torsion, and bending are presented in Chapters 4, 5, and 6, respectively. In each of these chapters, both linear-elastic and plastic behavior of the material covered in the previous chapters, where the state of stress results from combined loadings. In Chapter 9 the concepts for transforming multiaxial states of stress are presented. In a similar manner, Chapter 10 discusses the methods for strain transformation, including the application of various theories of failure. Chapter 11 provides a means for a further summary and review of previous material by covering design applications of beams and shafts. In Chapter 12 various methods for computing deflections of beams and shafts are covered. Also included is a discussion about finding the reactions of these members if they are statically indeterminate. Chapter 13 provides a discussion of column buckling, and lastly, in Chapter 14 the problem of impact and the application of various energy methods for computing deflections are considered.

Sections of the book that contain more advanced material are indicated by a star (*). Time permitting, some of these topics may be included in the course. Furthermore, this material provides a suitable reference for basic principles when it is covered in other courses, and it can be used as a basis for assigning special projects.

د افغانستان د ۹ پوهنتونونو د ۳۸۹ چاپ شويو درسي کتابونو لېست

(کابل، کابل طبي پوهنتون، کابل پولي تخنيک، ننگرهار، خوست، کندهار، هرات، بلخ او کاپيسا) ۲۰۲۳ - ۲۰۱۰

پوهنتون	ليکوال	د کتاب نوم	د کتاب نوم	پوهنتون	ليکوال	د کتاب نوم	د کتاب نوم
۱. اخلاق، طبي لارښود او ترمينولوژي							
کابل طبي پوهنتون	پوهاند دوکتور نادر احمد اکسير	رهنمای تدریس طب	۲	بلخ	پوهاند داکتر عبدالغفور همدل صديقي	اخلاق طبابت	۱
ننگرهار	دوکتور گل سيما ابراهيم خيل قادری	طبي ترمينولوژي	۴	ننگرهار	پوهاند عبدالحی مومنی	د طبابت لنډ تاريخ	۳
کاپيسا	پوهنوال دوکتور محمد فرید برنایار	رهنمود PBL در افغانستان	۶	ننگرهار	ننگرهار طب پوهنځی	د ننگرهار طب پوهنځی نصاب او درسي مفردات (انگليسي)	۵
ننگرهار	زنخوړمل دوکتور عجب گل مومند	انگليسي- پښتو طبي قاموس I	۸	ننگرهار	زنخوړمل دوکتور عجب گل مومند	انگليسي- پښتو طبي قاموس I	۷
تول پوهنتونونه	بېلا بېل مؤلفين	۱۴۰ طبي کتابونه په ډي وي ډي کې (پښتو، دري او انگليسي)	۱۰	تول پوهنتونونه	داکتر يحيی وردک	د طب محصلينو درسي کتابونه	۹
ننگرهار	پوهنوال داکتر نظر محمد سلطانزی خدران	د طبيعي علومو انگليسي- پښتو قاموس	۱۲	تول پوهنتونونه	بېلا بېل مؤلفين	۲۱۴ طبي کتابونه په ډي وي ډي کې (پښتو، دري او انگليسي)	۱۱
۲. فزيک							
ننگرهار	پښتانه بنايي	بيوفزيک	۱۴	ننگرهار	گل احمد سهيل	په معاصر طب کې د فزيک پېژندنه	۱۳
بلخ	پوهاند مير محمد ظاهر حيدري	بيوفزيک	۱۶	ننگرهار	پوهنيار گل احمد سهيل	بيوفزيک	۱۵
بلخ	پوهاند مير محمد ظاهر حيدري	فزيک طبي بخش ميخانيک	۱۸	ننگرهار	پوهنيار هدايت الله مهمند	طبي فزيک	۱۷
بلخ	پوهاند مير محمد ظاهر حيدري	توضیح اساسات فزيکي، وسايل تشخيصيه طبي	۲۰	بلخ	پوهاند مير محمد ظاهر حيدري	فزيک طبي بخش حرارت	۱۹
هرات	پوهنوال غلام قادر دهگان	فزيک اوپتيک	۲۲	بلخ	پوهاند مير محمد ظاهر حيدري	فزيک نور	۲۱
ننگرهار	پوهنيار هدايت الله مهمند	د نور فزيک	۲۴	هرات	پوهنوال غلام قادر دهگان	نور و فزيک جديد	۲۳
ننگرهار	پوهنيار هدايت الله	ميخانيک او د نور فزيک	۲۶	ننگرهار	پوهنيار هدايت الله	د برق فزيک	۲۵
هرات	پوهنوال غلام قادر دهگان	حرارت و ترمودينامیک	۲۸	ننگرهار	پوهنيار اکرام الله وقار	کوانتم ميخانيک	۲۷
ننگرهار	پوهندوی علي جان عادل	ميخانيک، اهتزازات او نسيبت	۳۰	ننگرهار	پوهندوی توريالی همدرد	برنسا، مقناطيسيت او الکترو مقناطيسي تيوري	۲۹
۳. کيميا							
کابل طبي پوهنتون	پوهاند خان محمد احمدزی	طبي بيوشي	۲۲	خوست	پوهنوال امرالله آصفي	طبي کيميا	۳۱
ننگرهار	محمد طاهر کانی	کيميايي عنصرونه، دوهم ټوک	۲۴	ننگرهار	محمد طاهر کانی	کيميايي عنصرونه، لومړی ټوک	۳۳
ننگرهار	حبيب الله نوابزاده	فزيکی کيميا دوهم جلد، ترمودينامیک	۳۶	ننگرهار	پوهاند خير محمد ماموند	فزيکی کيميا گازونه او کيمياوي ترمودينامیک	۳۵
ننگرهار	پوهاند دوکتور خير محمد ماموند	فزيکی کيميا III	۳۸	ننگرهار	پوهاند دوکتور محمد غوث حکيمي	عضوي کيميا، کربوال ترکيبونه	۳۷
ننگرهار	پوهاند دوکتور خير محمد ماموند	عمومي کيميا	۴۰	ننگرهار	پوهاند دوکتور خير محمد ماموند	فزيکی کيميا III، کيمياوي کنتک او کنسلنس، کروماتوگرافي او اسپکټروسکوپي	۳۹
کابل	پوهنوال داکتر گل حسن وليزی	عضوي کيميا، د اروماتیک او هيترو سيکليک برخه	۴۲	خوست	پوهنوال داکتر گل حسن وليزی	عضوي کيميا، د اليفاتیک برخه	۴۱
ننگرهار	دوکتور محمد عظيم عظيمي	د شحمياتو انقلاب	۴۴	ننگرهار	پوهيالی دوکتور يحيی فهميم	د قندونو هضم، جذب او انقلاب	۴۳
۴. بيولوژي او جنيتيک							
ننگرهار	پوهندوی الفت شيرزی	عمومي بيولوژي	۴۶	ننگرهار	پوهندوی جماعت خان همت	عمومي بيولوژي	۴۵
کابل طبي پوهنتون	پوهنوال علی يوسف پور	بيولوژي ماليکولي حجره، بخش دوم	۴۸	کابل طبي پوهنتون	پوهنوال علی يوسف پور	بيولوژي ماليکولي حجره، بخش اول	۴۷
ننگرهار	پوهندوی جماعت خان همت	ماليکولي بيولوژي	۵۰	ننگرهار	پوهندوی جماعت خان همت	د حجري بيولوژي	۴۹
ننگرهار	دوکتور محمد صابر	کلاسيک او ماليکولي جنيتيک	۵۲	ننگرهار	پوهنوال دوکتور گل سالم شرافت	وراثت	۵۱
ننگرهار	پوهندوی الفت شيرزی	طبي جنيتيک	۵۴	ننگرهار	پوهنوال داکتر مسيح الله مسيح	وراثت او د سډورفولوژي	۵۳
ننگرهار	ډاکتره بابکر خيل	زولوجی غيرفقاريه	۵۶	ننگرهار	ډاکتره بابکر خيل	زولوجی فقاريه	۵۵
				هرات	پروفيسور داکتر ديپلوم علی آقا نحيف	حيوانات مفصليه	۵۷

۵. اناتومی و هستالوژی						
۵۸	اناتومی لومری جلد (هدیوکی، مفاصل او عضلات)	پوهنمل ډاکتر محمد ناصر نصرتی	ننگرهار	۵۹	د هدیوکو او مفاصلو اناتومی	پوهنوال دوکتور حمیدالله حامد
۶۰	د سر او غاړې اناتومی درسي کتاب I	پوهندوی دوکتور یما صدیقی	ننگرهار	۶۱	د سر او غاړې اناتومی درسي کتاب II	پوهندوی دوکتور یما صدیقی
۶۲	د تتر اناتومی	پوهنیار دوکتور یما صدیقی	ننگرهار	۶۳	اناتومی	پوهنمل ډاکتر حفیظ الله سهار
۶۴	د سینې بطن او حوصلې اناتومی	پوهنوال دوکتور حمیدالله حامد	خوست	۶۵	د چهاراتو اناتومی	پوهنوال ډاکتر محمد حسین یار
۶۶	د عصبي سیستم اناتومی	پوهنیار دوکتور یما صدیقی	ننگرهار	۶۷	اناتومی دریم جلد، عصبي سیستم، حواس او اندوکراین غدوات	پوهنمل ډاکتر محمد ناصر نصرتی
۶۸	د زړه او د وینې د رگونو اناتومی	پوهنمل ډاکتر محمد ناصر نصرتی	ننگرهار	۶۹	د هضمي سیستم اناتومی	پوهنمل ډاکتر محمد ناصر نصرتی
۷۰	د بولي تناسلي سیستم اناتومی	پوهنمل ډاکتر محمد ناصر نصرتی	ننگرهار	۷۱	د انسان فزیولوژی او اناتومی	عبدالملک پرهېز
۷۲	د انسان اناتومی (پورتنی طرف او صدر) ناحیوي او عملي له تسلیخ او کلینیک سره	پوهندوی ډاکتر توریالی سهاک	ننگرهار	۷۳	اناتومی و فزیولوژی انسان، جلد دوم	پوهندوی محمد طاهر نسیمی
۷۴	اناتومی و فزیولوژی انسان، جلد اول	پوهندوی محمد طاهر نسیمی	بلخ	۷۵	عمومي هستالوژی	پوهندوی ډاکتر فضل الهی
۷۶	عمومي هستالوژی	پوهاند ډاکتر خلیل احمد بهسودوال	ننگرهار	۷۷	طبی هستالوژی	پوهاند ډاکتر خلیل احمد بهسودوال
۷۸	طبی هستالوژی	پوهاند ډاکتر بری صدیقی	خوست	۷۹	هستالوژی	پوهاند ډاکتر بری صدیقی
۸۰	د سیستمونو هستالوژی	پوهاند ډاکتر خلیل احمد بهسودوال	ننگرهار			
۶. امبریولوژی						
۸۱	عمومي امبریولوژی	پوهاند دوکتور بری صدیقی	خوست	۸۲	امبریولوژی	پوهنوال ډاکتر محمد حسین یار
۸۳	امبریولوژی طبی	پوهندوی ډاکتر بشیر نورمل	کابل طبي پوهنتون	۸۴	طبی امبریولوژی	پوهنمل ډاکتر ناصر نصرتی
۸۵	امبریولوژی عمومي انسان	پوهندوی ډاکتر بشیر نورمل	کابل طبي پوهنتون	۸۶	د انسان عمومي کلینیکي امبریولوژی	پوهنیار ډاکتر عبدالله جان شینواری
۷. فزیولوژی او پتولوژی						
۸۷	طبی فزیولوژی	ډاکتر شریف الله	ننگرهار	۸۸	د ځانگړو حسیتونو، پوستکي، اوتونومیک او مرکزي سستم فزیولوژی	پوهنوال دوکتور محب الله شینواری
۸۹	د اندوکراین، زړه، رگونو او پښتورگو فزیولوژی	پوهنوال دوکتور احسان الله احسان	ننگرهار	۹۰	د تنفسي سیستم فزیولوژی	پوهنوال دوکتور احسان الله احسان
۹۱	د وینې فزیولوژی	پوهنمل ډاکتر ولي محمد ویاړ	کندهار	۹۲	عمومي پتالوژی	پوهاند دوکتور خلیل احمد بهسودوال
۹۳	پتالوژی عمومي	پوهندوی ډاکتر زهرا فروغ	هرات	۹۴	عمومي پتالوژی	پوهندوی دوکتور محمد آصف
۹۵	د سیستمونو پتالوژی	پوهندوی ډاکتر خلیل احمد بهسودوال	ننگرهار	۹۶	د سیستمونو پتالوژی دوهمه برخه	پوهاند دوکتور خلیل احمد بهسودوال
۹۷	د قلبی و عایبي، وینې، تنفسي او هضمي جهاز پتالوژی	پوهاند دوکتور خلیل احمد بهسودوال	ننگرهار	۹۸	د وینې، ججرو، تنفسي جهاز، هضمي جهاز او نویو زېږدلو فزیولوژی	پوهنوال دوکتور جنت میر مومند
۹۹	مالیکولي ایمینولوژی	پوهاند ډاکتر خلیل احمد بهسودوال	ننگرهار			
۸. مایکروبیولوژی او پرازیتولوژی						
۱۰۰	مایکرو بیولوژی طبی، جلد اول	پوهاند دوکتور عبیدالله عبید	کابل طبي پوهنتون	۱۰۱	مایکرو بیولوژی طبی، جلد دوم	پوهاند دوکتور عبیدالله عبید
۱۰۲	مایکروبیولوژی	پوهاند محمد جمعه حنیف	هرات	۱۰۳	مایکروبیولوژی عمومي	دوکتور شعیب احمد شاخص
۱۰۴	پرازیتولوژی طبی	پوهاند دوکتور عبیدالله عبید	کابل طبي پوهنتون	۱۰۵	اساسات پرازیتولوژی طبی	پوهنمل دوکتور محمد یوسف مبارک
۱۰۶	د پرازیتولوژی اساسات	ډاکتر محمد صابر	ننگرهار	۱۰۷	طبی پرازیتولوژی	پوهنوال دوکتور غلام جیلاني ولي
۱۰۸	هلمنتولوژی	پوهنوال ډاکتر سید رفیع الله حلیم	ننگرهار			

۹. فارمکولوژی							
۱۰۹	فارمکولوژی	پوهنوال داکتر قمبرعلي حیدري	ننگرهار	۱۱۰	فارمکولوژی، دریم ټوک	پوهنوال سید قمبر علي حیدري	ننگرهار
۱۱۱	فارمکولوژی، دوهم ټوک	پوهنوال داکتر قمبرعلي حیدري	ننگرهار	۱۱۲	د اتونوم او مرکزي عصبي سیستمونو فارمکولوژی	داکتر غلام ربی بهسودوال	ننگرهار
۱۱۳	گیاهان طبی مستعمله در تداوی امراض قلبی و وعایی	پوهنوال محمد عثمان بابری	کابل طبي پوهنتون	۱۱۴	امینو فارمکولوژی	پوهنوال سید قمبر علي حیدري	ننگرهار
۱۱۵	د درملو د استعمال عملي لارښود (انگلیسی / پښتو)	داکتر مالتی ایل وان بلومرودر	خوست	۱۱۶	فارمکولوژی (دریم کال، دوهم سمستر لپاره)	پوهنوال دوکتور غلام ربی بهسودوال	ننگرهار
۱۱۷	د درملو بدي اغیزې	پوهنوال سید قمبر علي حیدري	ننگرهار				
۱۰. عامه روغتیا							
۱۱۸	د عامې روغتیا اساسات او اداره	پوهنوال داکتر محمدعارف رحمانی	ننگرهار	۱۱۹	ډیموگرافي او کورنۍ تنظیم	پوهیالی داکتر محمد ابراهیم شیرزی	ننگرهار
۱۲۰	د چاپیریال او اندیزه روغتیا	پوهنوال داکتر محمدعارف رحمانی	ننگرهار	۱۲۱	تغذیه او روغتیا	پوهیالی داکتر محمد هارون	ننگرهار
۱۲۲	تغذیه او سوټغذیه	پوهنوال داکتر عبدالواحد وثیق	قندهار				
۱۱. داخله							
۱۲۳	فزیکل دیاگنوزس	پوهنوال داکتر حفیظ الله ابریدی	ننگرهار	۱۲۴	فزیکي تشخیص او د تاریخچې اخیستنه	پوهاند داکتر شریف الله	ننگرهار
۱۲۵	فزیکي تشخیص	داکتر ناصر جبارخیل	ننگرهار	۱۲۶	فزیکي تشخیص (هادي کلینیکل مېتود)	پوهاند داکتر سیف الله هادي	ټول پوهنتونونه
۱۲۷	د داخله ناروغیو تفریقي تشخیص I	پوهاند دوکتور سیف الله هادي	ننگرهار	۱۲۸	د داخله ناروغیو تفریقي تشخیص I	پوهاند دوکتور سیف الله هادي	ننگرهار
۱۲۹	د زړه برقي گراف (ECG)	زنخرووال داکتر سید عبدالله سادات	ننگرهار	۱۳۰	رهنمای عملی مشکلات عام طبی (دری)	داکتر مالتی ال-وان بلومرودر	بلخ
۱۳۱	هیماتولوژی، ایمینولوژی او د ویتامینونو کموالي ناروغی	پوهندوی دوکتور ایل شیرزی	ننگرهار	۱۳۲	د طبي عامو ستونځو عملي لارښود (انگلیسی)	داکتر مالتی ال-وان بلومرودر	ننگرهار
۱۳۳	د وینې ناروغی	پوهاند داکتر محمد ظاهرظفرزی	ننگرهار	۱۳۴	د وینې ناروغی	پوهنوال دوکتور حیات الله احمدزی	ننگرهار
۱۳۵	اندوکرینولوژی او روماتولوژی	پوهاند داکتر محمد طیب نشاط	ننگرهار	۱۳۶	د پښتورگو ناروغی	پوهاند داکتر محمد ظاهرظفرزی	ننگرهار
۱۳۷	د هضمي سیستم او پښتورگو ناروغی	پوهندوی داکتر سیف الله هادي	ننگرهار	۱۳۸	اندوکرینولوژی او روماتولوژی	پوهاند دوکتور سیف الله هادي	ننگرهار
۱۳۹	د خوډې او د هضمي سیستم ناروغی	پوهاند داکتر محمد ظاهرظفرزی	ننگرهار	۱۴۰	د هضمي جهاز ناروغی	پوهاند داکتر محمد ظاهرظفرزی	ننگرهار
۱۴۱	امراض جهاز هضمي و کېد	دوکتور محمد یونس فخری	بلخ	۱۴۲	د هضمي جهاز او پښتورگو ناروغی	پوهنوال داکتر عبدالواحد وثیق	کندهار
۱۴۳	د زړه او رگونو ناروغی	پوهندوی داکتر دل آقا دل	ننگرهار	۱۴۴	د ځیگر ناروغی	پوهاند داکتر محمد ظاهرظفرزی	ننگرهار
۱۴۵	د تنفسي سیستم او د زړه روماتیزمل ناروغی	پوهاند دوکتور سیف الله هادي	ننگرهار	۱۴۶	تنفسي او د زړه د دسامونو روماتیزمل ناروغی	پوهاند داکتر محمد طیب نشاط	ننگرهار
۱۴۷	د شکرې ناروغی	داکتر محمد نعیم همدرد	ننگرهار	۱۴۸	د تنفسي او د زړه روماتیزمل ناروغی	پوهندوی داکتر سلام جان شمس	ننگرهار
۱۲. بېړنۍ درملنه							
۱۴۹	بېړنۍ طبي پېښې	پوهنوال داکتر عبدالواحد وثیق	قندهار	۱۵۰	د داخلي بېړنې پېښې او د بحران څارنه	پوهنوال داکتر حفیظ الله ابریدی	ننگرهار
۱۵۱	بېړنۍ درملنې	داکتر عبدالولی زنجورمل وردک	خوست	۱۵۲	د بېړنیو پېښو د درملنې لارښود (انگلیسی)	پوهنوال داکتر ایل شیرزی	ننگرهار
۱۵۳	بېړنۍ طبي درملنې	داکتر سید ملیار سادات	ننگرهار	۱۵۴	ککم های اولیه	پوهاند دوکتور نجیب الله امرخیل	کابل طبي پوهنتون
۱۳. انکالوژی							
۱۵۵	د سینې سرطان، پېژندنه، درملنه او مخنیوی	پوهنوال داکتر نظر محمد سلطانزی خدران	ننگرهار	۱۵۶	د سرطاني ناروغیو اساسات	پوهاند داکتر محمد ظاهر ظفرزی	ننگرهار
۱۵۷	د وینې سرطان	پوهنوال داکتر نظر محمد سلطانزی	ننگرهار	۱۵۸	سرطان او د چاپیریال رادیو اکتیویټي	پوهنوال داکتر نظر محمد سلطانزی خدران	ننگرهار
۱۵۹	د سرطاني ناروغیو رادیوتراپی	پوهنوال داکتر نظر محمد سلطانزی خدران	خوست				

۱۴. جراحی						
۱۶۰	نرسنگ عملیات خانه	پوهاند دوکتورنجیب الله امرخیل	کابل طبي پوهنتون	۱۶۱	جراحی، د کلینیکي معایناتو سیستم	پوهندوی داکتر بادشاه زارعبدالی
۱۶۲	د عمومي جراحي اساسات	پوهندوی داکتر بادشاه زارعبدالی	خوست	۱۶۳	اساسات جراحی	پوهاند داکترنجیب الله امرخیل
۱۶۴	عمومي جراحي I	پوهندوی داکتر بادشاه زارعبدالی	خوست	۱۶۵	عمومي جراحي II	پوهندوی داکتر بادشاه زارعبدالی
۱۶۶	عمومي جراحي	داکترگل سیمه ابراهیم خیل قادري	خوست	۱۶۷	امراض جراحی سیستم هضمی وملحقات آن	پوهاند دوکتورعبدالوهاب نورا
۱۶۸	امراض جراحی بطن و ملحقات ان	پوهاند دوکتورمحمد معصوم عزیزي	کابل طبي پوهنتون	۱۶۹	امراض جراحی بطن و ملحقات ان دوست	پوهندوی داکترعبدالخالق
۱۷۰	جراحی بطن ، چاپ دوم	پوهاند دوکتورمحمد معصوم عزیزي	کابل طبي پوهنتون	۱۷۱	د گېډې د ملحقاتو د جراحي ناروغی	پوهنوال دوکتور بادشاه زار عبدالی
۱۷۲	بطن حاد و مزمن	پوهنوال داکترعبدالغفور ارساد	هرات	۱۷۳	د پلاستیک جراحی اساسات او تخنیکونه	داکتر الفت هاشمي
۱۷۴	د کولمو بندش او د پریطوان جراحي ناروغی	پوهاند داکترعبدالرؤف حسان	ننګرهار	۱۷۵	امراض یورولوژی	پوهندوی دوکتورغلام سخی حسنی
۱۷۶	یورولوژی	پوهندوی دوکتور غازي جمال عبدالناصر	ننګرهار	۱۷۷	یورولوژی	پوهنوال داکترعبدالحد حمید
۱۷۸	جراحی عصبی	پوهنوال دوکتور عبدالغفور ارساد	هرات	۱۷۹	عصبی جراحی	پوهندوی دوکتور فضل الرحیم شگیوال
۱۸۰	عصبی جراحی	پوهندوی داکتر عبدالصیر منگل	ننګرهار	۱۸۱	عصبی جراحی	پوهاند دکتور بادشاه زار عبدالی
۱۸۲	د جراحي انکال	رنځوربار داکتر عجب گل مومند	ننګرهار	۱۸۳	جراحی عمومی اطفال	پوهنیار داکتر نوربالی حکیمی
۱۸۴	د کوچنیانو جراحي	پوهاند داکتر فضل الرحیم شگیوال	ننګرهار	۱۸۵	حاد اپنډیساییتیس، تشخیص، اختلاطات او تداوي	پروفیسور دوکتور محمد شریف سروري
۱۸۶	تروماتولوژی	پوهنوال عبدالغفور ارساد	هرات	۱۸۷	د صدر ترخیصات	پروفیسور دوکتور محمد شریف سروري
۱۵. ارتوپیدی او انستیز یولوژی						
۱۸۸	کسرونه او خلعي	پوهندوی سید بها کریمي	ننګرهار	۱۸۹	اورتوپیدی	پوهندوی داکترسید شال سیدی
۱۹۰	اورتوپیدی اوکسرونه	پوهنمل داکتر محمد همایون مصطفی	کندهار	۱۹۱	د عامو کسرونو تړلې درملنه	پوهندوی دوکتور ظاهر گل منگل
۱۹۲	رهنمای انستیزی برای کشورهای رو به انکشاف، جلد اول	دانیل دی موس	کابل طبي پوهنتون	۱۹۳	رهنمای انستیزی برای کشورهای رو به انکشاف، جلد دوم	دانیل دی موس
۱۹۴	د اورتوپیدی د انتاناتو اساسات، وپلی او د ستون فقرات انتانات	رنځوروال دوکتور سیدالرحمن حکیمی	شیخ زاید			
۱۶. انتانی						
۱۹۵	انتانی ناروغی	پوهنوال داکترعبدالناصر جبارخیل	ننګرهار	۱۹۶	امراض انتانی (انگلیسی)	پوهنمل داکتر محمد ذکریا امیرزاده
۱۹۷	انتانی ناروغی	پوهنوال داکتر حفیظ الله اپریدی	ننګرهار	۱۹۸	د ساري ناروغیو کنترول	پوهندوی داکتر محمد عظیم منگل
۱۹۹	د کوچنیانو ساري ناروغی	پوهاند دوکتورسلطان محمد صافی	خوست	۲۰۰	د کوچنیانو ساري ناروغی	پوهندوی دوکتور نجیب الله امین
۲۰۱	امراض ساری اطفال	پوهاند داکترسلطان محمد صافی	کابل طبي پوهنتون	۲۰۲	د ماشومانو انتانی ناروغی	پوهاند دوکتور عبدالستار نیازی
۲۰۳	توبرکلوز	پوهندوی داکترسید انعام سیدی	ننګرهار	۲۰۴	په ماشومانو کې نری زنج	پوهنمل داکتر حفیق الله چارډیوال
۲۰۵	د توپرکلوز ناورغی	داکترمحمد ناصرناصری	کندهار	۲۰۶	د سینې ناروغی او توپرکلوز	داکتر ناصر محمد شینواری
۲۰۷	ملاریا	دوکتور محمد اسحاق شریفی	ننګرهار	۲۰۸	سارس - ۲ او کووید- 19	پروفیسور دوکتور محمد شریف سروري
۲۰۹	د خیگر ویروسي التهاب (طبي تشخیص او درملنه)	دوکتور محمد اسحاق شریفی	ننګرهار	۲۱۰	شل خپري ساري ناروغی	داکتر غلام سرور ظهیر

۱۷. اطفال						
۲۱۱	اطفال	پوهنوال ډاکټر محمد رسول فضلي	ننگرهار	۲۱۲	د کوچنيانو ناروغي I	پوهنوال دوکتور عبدالستار نيازی ننگرهار
۲۱۲	د کوچنيانو ناروغي II	پوهنوال دوکتور عبدالستار نيازی	ننگرهار	۲۱۴	د ماشومانو کلينيکي معاينات	پوهنوال ډاکټر ناصر کاموال ننگرهار
۲۱۵	روش های ارزيايي کلينيکي اطفال	پوهندوی ډاکټر فاروق حميدي	کابل طبي پوهنتون	۲۱۶	د کوچنيانو ناروغي تکست بوک	پوهاند ډاکټر سلطان محمد صافي کابل طبي پوهنتون
۲۱۷	د کوچنيانو د درملن X لارښود (انگليسي)	پوهندوی ډاکټر منصور اسلمزی	ننگرهار	۲۱۸	د کوچنيانو تغذيه	پوهنمل ډاکټر نجيب الله امين ننگرهار
۲۱۹	د کوچنيانو خواړخواکي	پوهندوی ډاکټر سميع الله حيات	ننگرهار	۲۲۰	د کوچنيانو د وينې ناروغي	پوهندوی ډاکټر منصور اسلمزی ننگرهار
۲۲۱	د نوي زيږيدلي ماشوم څارنه	پوهندوی ډاکټر ناصر خان کامه وال	ننگرهار	۲۲۲	د نيونالوژي او کوچنيانو ناروغيو کلينيکي هندبوک	پوهندوی ډاکټر منصور اسلمزی ننگرهار
۲۲۳	د ماشومانو د ناروغيو عملي لارښود	ډاکټر مالتی ال-وان بلومرودر	ننگرهار	۲۲۴	نيونالوژي	پوهنوال ډاکټر عبدالستار نيازی ننگرهار
۲۲۵	د کوچنيانو د جهازاتو معمولي ناروغي I	پوهنوال ډاکټر عبدالستار نيازی	ننگرهار	۲۲۶	د کوچنيانو ناروغي د پنځم صف لپاره لومړی سمیستر	پوهنوال ډاکټر عبدالستار نيازی ننگرهار
۲۲۷	د ماشومانو د معدې معايبي سيستم او يني ناروغي	پوهنمل ډاکټر ولي گل مخلص	خوست	۲۲۸	د کوچنيانو د جهازاتو معمولي ناروغي II	پوهنوال ډاکټر عبدالستار نيازی ننگرهار
۲۲۹	د کوچنيانو ناروغي I	پوهاند دوکتور احمد سير احمدي	ننگرهار	۲۳۰	د کوچنيانو ناروغي II	پوهاند دوکتور احمد سير احمدي ننگرهار
۲۳۱	د ماشومانو تنفسي، زړه، وينې او پښتورگي ناروغي	پوهاند ډاکټر نجيب الله امين	ننگرهار	۲۳۲	د کوچنيانو ناروغي	پوهاند ډاکټر سلطان محمد صافي کابل طبي پوهنتون
۲۳۳	د ماشومانو اساسات، هضمي، اندوکراين او عصبي ناروغي	پوهاند ډاکټر سميع الله حيات	ننگرهار	۲۳۴	معاينات کلينيکي اطفال بطور ساده	پوهندوی ډاکټر سيد نجم الدين جلال کابل طبي پوهنتون
۱۸. ولادي/ نسايي						
۲۳۵	زېږون	پوهنمل ډاکټر مريم اکرم معصوم	ننگرهار	۲۳۶	ولادي جراحي، لمړی ټوک	ډاکټر عجب گل مومند قندهار
۲۳۷	کتاب ولادي	پوهندوی ډاکټر حسن فريد	هرات	۲۳۸	ولادي جراحي، دوهم ټوک	ډاکټر عجب گل مومند قندهار
۲۳۹	امراض نسايي	پوهندوی ډاکټر حسن فريد	هرات	۲۴۰	د تدبې ناروغي	پروفیسور دوکتور محمد شريف سروري ټول پوهنتونونه
۲۴۱	نسايي ناروغي	پوهندوی دوکتورس تور بېکې اږيدی	ننگرهار	۲۴۲	امېندواري او زېږون	پوهنوال دوکتورس حفيظه سهاک ننگرهار
۱۹. روانشناسي، رواني/عقلي او عصبي						
۲۴۳	امراض روانی I	پوهندوی دوکتور عبدالعزيز نادری	کابل طبي پوهنتون	۲۴۴	امراض روانی II	پوهندوی دوکتور عبدالعزيز نادری کابل طبي پوهنتون
۲۴۵	رواني رنځپوهنه	پوهندوی ډاکټر جهان شاه تنی	خوست	۲۴۶	نشه يي توکي او اړونده ناروغي	ډاکټر محمد سمین ستانکزی ننگرهار
۲۴۷	د رواني روغتيايي ستونځو عملي لارښود (انگليسي)	سيان نيکولاس	ننگرهار	۲۴۸	عصبي ناروغي	پوهنمل ډاکټر بلال پاينده ننگرهار
۲۴۹	عقلي ناروغي	پوهنمل ډاکټر بلال پاينده	ننگرهار	۲۵۰	روانشناسي و ضرورت آن در جامعه افغانستان	ډاکټر اعظم دادفر کابل
۲۵۱	روانشناسی عمومی	پوهاند ماریا صاعد سلطانی	بلخ	۲۵۲	عصبي معاينات او سلوکپوهنه	پوهنوال دوکتور جهان شاه تنی خوست
۲۰. راډيولوژي/ تصوير برداری طبي						
۲۵۳	کلينيکي راډيولوژي	پوهنوال ډاکټر غلام سخي رحمانزی	ننگرهار	۲۵۴	د زړه او سپرو د ناروغيو تشخيصه راډيولوژي	پوهنيار ډاکټر شاه محمد زنجورمل خوست
۲۵۵	تشخيصي راډيولوژي	پوهنوال ډاکټر غلام سخي رحمانزی	ننگرهار	۲۵۶	تصويري يا ترسيبي راډيولوژي	پوهنوال ډاکټر غلام سخي رحمانزی ننگرهار
۲۵۷	راډيولوژي ازمويني او ناروغتياوي	پوهنوال ډاکټر غلام سخي رحمانزی	ننگرهار	۲۵۸	التراسونډ تشخيصه	پوهندوی ډاکټر محمد نواب کمال کابل طبي پوهنتون
۲۵۹	راډيولوژي	پوهنوال ډاکټر سيد عارف وياړ	ننگرهار	۲۶۰	التراسونډ	ډاکټر محمد يونس سلطاني ننگرهار
۲۶۱	تشخيصه راډيولوژي، سينه يا صدر، دوهمه برخه	پوهنوال دوکتور نور محمد شينواری	ننگرهار	۲۶۲	تلويزيوني آزمويني	پوهندوی ډاکټر نجيب الله خليلي ننگرهار
۲۶۳	د التراسونډ طبي کارول	پوهنوال ډاکټر نظر محمد سلطانی خدران				
۲۱. چشم، گوش و گلو، جلدی						
۲۶۴	د پوستکي ناروغي	پوهندوی دوکتور اسدالله شينواری	ننگرهار	۲۶۵	دغور، پزي او ستوني ناروغي	ډاکټر عزيز الله فقير کندهار
۲۶۶	د سترگو ناروغي	پوهنمل ډاکټر خالد يار	ننگرهار	۲۶۷	دغور، پزي او ستوني ناروغي	پوهنمل دوکتور مير محمد اسحاق خاورين ننگرهار

۲۶۸	د پوستکي ناروغی	پوهنمل ډاکټر سید انور اکبري	ننگرهار	۲۶۹	د سترگي کلينيکي ناروغی	پوهنوال ډاکټر عبدالصير صافي	ننگرهار
۲۲. غاښونه							
۲۷۰	رهنمای کلينيکي برای ډاکتران دندان	ډاکتر سيد معروف سيرت			ټول پوهنتونونه		
۲۳. انجنيري							
۲۷۱	د اوبو رسولو انجنيري	پروفیسور انجنير محمد عیسی تنها	ننگرهار	۲۷۲	د فاضله اوبو انجنيري	پوهاند انجنير زلمی خالقي	ننگرهار
۲۷۳	چگونگی مصرف انرژی در ساختمان های رهائشی	دوکتور انجنير محمد عمر تیموری	ننگرهار	۲۷۴	تأسیسات و تجهیزات تخنیکي ساختمان	دوکتور انجنير محمد عمر تیموری	پولی تخنیک کابل
۲۷۵	د ساختمانونو تحلیل، لومړی برخه	پوهاند محمد اسحق رازقي	ننگرهار	۲۷۶	د ساختمانونو تحلیل، دوهمه برخه	پوهاند محمد اسحق رازقي	ننگرهار
۲۷۷	د مهندسانو د پاره ساختماني ستاتیک زده کړه	ديپلوم انجنير اسدالله ملکزى	ننگرهار	۲۷۸	د جوړښتونو تحلیل، لومړی برخه	پروفیسور حفیظ الله وردک او پروفیسور ډکتور زرجان بها	خوست
۲۷۹	د جوړښتونو تحلیل، دوهمه برخه	پروفیسور حفیظ الله وردک او پروفیسور ډکتور زرجان بها	خوست	۲۸۰	۴۵ انجنيري درسي کتابونه (DVD)	ټول پوهنتونونه	ټول پوهنتونونه
۲۸۱	د موادو مقاومت	پوهنمل بهرام اميري	خوست	۲۸۲	اوسپنيز کانکريټي عناصر I	پوهنوال ديپلوم انجنير عبادالرحمن مومند	ننگرهار
۲۸۳	اوسپنيز کانکريټي عناصر ډيزاين دوهمه برخه، لومړی ټوک	پوهاند ديپلوم انجنير عبادالرحمن مومند	ننگرهار	۲۸۴	اوسپنيز کانکريټي عناصر ډيزاين دوهمه برخه، دوهم ټوک	پوهاند ديپلوم انجنير عبادالرحمن مومند	ننگرهار
۲۸۵	د اوسپنيز کانکريټي عناصرو د لومړی صنفی کار مېتوديکي لارښود	پوهندوی انجنير عبادالرحمن مومند	ننگرهار	۲۸۶	د جامداتو ميخانيک	پوهنوال محمد اسحق رازقي	ننگرهار
۲۸۷	په سپول انجنيري کې د اټوکلډ استعمال	پوهنوال ميا پاچا ميخېل	ننگرهار	۲۸۸	د سرخلاصو کانالونو هايډرولیک	پوهنوال ميا پاچا ميخېل	ننگرهار
۲۸۹	د لويو لارو د هندسي عناصرو ډيزاين	پوهنيار انجنير م. شاکر فاروقي	ننگرهار	۲۹۰	د ودانيو د تودولو تخنیک، لومړی برخه، د سون تخنیک	ډاکتر غلام فاروق مير احمدي	ننگرهار
۲۹۱	د تهاد انجنيري	پوهاند انجنير زلمی خالقي	ننگرهار	۲۹۲	معياري جدید اعمار ساختمان	دوکتور انجنير محمد عمر تیموری	ننگرهار
۲۹۳	د انجنيري ميخانيک	پوهنوال محمد اسحق رازقي	ننگرهار	۲۹۴	عمومي تخنیکي رسم	پوهيالی فضل اکبر	ننگرهار
۲۹۵	انژني سپما کوونکي ودانۍ	انجنير اسد الله ملکزى	ننگرهار	۲۹۶	انجنيري جيودوزي (سروي)	پوهندی گل حکيم شاه سيدي	ننگرهار
۲۹۷	د ساختمان د جوړولو طريقې I	پوهاند انجنير محمد عیسی تنها	ننگرهار	۲۹۸	رهنمود موثريت حفظ انرژی در تعميرات	ډاکتر انجنير محمد عمر تیموری	کابل
۲۹۹	اعمار ساختمانيها (اساسات، مواد و سيستم قفيري)	پوهندوی انجنير امان الله فقيري	کابل پوليتخنیک	۳۰۰	د ساختمان د جوړولو طريقې II	پوهاند انجنير محمد عیسی تنها	ننگرهار
۳۰۱	د ودانيو د جوړولو مهندسي اساسات II	ديپلوم انجنير اسدالله ملکزى	ننگرهار	۳۰۲	کيد او گرافیک	پوهنوال ديپلوم انجنير بهاوالدين جلالي	ننگرهار
۳۰۳	د اوبو لگولو انجنيري	پوهندوی ديپلوم انجنير اصغر غفورزی	ننگرهار	۳۰۴	د ودانيو د جوړولو مهندسي اساسات، لومړی ټوک	ديپلوم انجنير اسدالله ملکزى	ننگرهار
۳۰۵	د جوړښتونو تحلیل، درېيمه برخه	پروفیسور حفیظ الله وردک او پروفیسور ډکتور زرجان بها	خوست	۳۰۶	اساسات هندسه ترسيمی مسطح	پوهنوال سيد يوسف مانووال	بلخ
۳۰۷	د پولادي عناصرو ډيزاين لومړی ټوک	محمد ذکريا محمدي	ننگرهار	۳۰۸	د پولادي عناصرو ډيزاين دوهم ټوک	محمد ذکريا محمدي	ننگرهار
۳۰۹	د موادو ميخانيک لومړی برخه	حفیظ الله وردک او زرجان بها	خوست	۳۱۰	د موادو ميخانيک لومړی برخه	حفیظ الله وردک او زرجان بها	خوست
۲۴. زراعت							
۳۱۱	د خاوري تخريب او د چاپيريال ککړتيا	پوهنيار محمد حنيف هاشمي	خوست	۳۱۲	د کرنيزو محصولاتو بازار موندنه	پوهاند محمد طيب	ننگرهار
۳۱۳	د کرنې تشريحي قاموس، انگليسي-پښتو	پوهاند محمد بشير دوديال	ننگرهار	۳۱۴	د کورنيو الوتونکو د روزنې بنسټونه	پوهاند مير حاتم نيازی	ننگرهار
۳۱۵	نېماتولوژي	پوهنوال حسين آرمان	ننگرهار	۳۱۶	نباتي فزيولوژي لومړی جلد	پوهنمل محمد طاهر ميخېل	خوست
۳۱۷	نباتي فزيولوژي، دوهم جلد	پوهنمل محمد طاهر ميخېل	خوست	۳۱۸	عمومي نباتات	پوهنوال عبدالخليل افغاني	شيخ زايد
۲۵. وترنري							
۳۱۹	وترنري عمومي پتالوژي	پوهندوی محمد طاهر کاکړ	ننگرهار	۳۲۰	حيواني تغذيه، لومړی برخه	پوهندوی روزي خان صادق	ننگرهار
۳۲۱	حيواني تغذيه، دوهمه برخه	پوهندوی روزي خان صادق	ننگرهار	۳۲۲	وترنري داخله	پوهنوال پير محمد ستانکزى	ننگرهار
۳۲۳	وترنري فارمکولوژي دوهمه برخه	پوهنوال محمد باير درمل	ننگرهار	۳۲۴	د ژويو فزيولوژي	پوهاند غنچه گل حبيب صافي	ننگرهار
۲۶. ژورنالېزم							
۳۲۵	د راډيويي خپرونو توليد	پوهنوال دوکتور ماستر واحدی	خوست	۳۲۶	د ټلويزيوني خپرونو توليد	پوهنوال ډاکتر ماستر واحدی	خوست
۳۲۷	اطلاعاتو ته د لاسرسي لارې چارې	دانش کروخيل	ننگرهار				
۲۷. اقتصاد او مديريت							
۳۲۸	د اقتصادي پرمختيا تيوري	پوهاند محمد بشير دويال	ننگرهار	۳۲۹	د اقتصاد او تجارت اصطلاحات (انگليسي-پښتو تشريحي قاموس)	پوهنيار عبدالله عادل او امان الله وړين	ننگرهار
۳۳۰	تيوري و سياست بودجه عامه	پوهنوال ډاکتر سيد محمد ټينگار	کابل	۳۳۱	د پروژي مديريت په عمل کې	محمد داود علم او يو اف. گېل	ننگرهار
۳۳۲	د پروژي تحليل او مديريت	پوهاند محمد بشير دويال	ننگرهار	۳۳۳	مبادی اقتصاد زراعتی	پوهاند ولی محمد فائز	بلخ
۳۳۴	صنعتي اقتصاد	پوهاند محمد بشير دويال	ننگرهار	۳۳۵	د اقتصاد د علم اساسات	شېر خان حساس	ننگرهار

۳۳۶	مرکزي بانک او پرمختللي ټولې سياستونه	پوهاند دوکتور عبدالقيوم عارف	خوست	۳۳۷	اقتصادي جيولوجي (کانپوهنه-فلزي کانونه)	پوهاند دوکتور شريف الله سهاک	ننگرهار
۳۳۸	عامه اقتصاد	پوهندوی ریحان الله رحيمي	ننگرهار	۳۳۹	احصايه	پوهاند محمد بشير دوديال	ننگرهار
۳۴۰	د احصايې اساسات	پوهنيار محمد آغا ضياء	کندهار	۳۴۱	د اقتصاد تشريحي قاموس انگليسي - پښتو	پوهاند محمد بشير دوديال	ننگرهار
۳۴۲	د ادارې اومدبريت تشريحي قاموس انگليسي - پښتو	پوهاند محمد بشير دوديال	ننگرهار				
۲۸. عامه اداره او پالیسي							
۳۴۳	د څېړنې مېتودولوژي	پوهنيار نثار احمد مصلح	ننگرهار	۳۴۴	رهبري له تيوري تر عمله	پوهنمل محمد عرفان قریشي	ننگرهار
۳۴۵	د سازمانې اړیکو مدبریت	پوهاند محمد بشير دوديال	ننگرهار	۳۴۶	نړيوالې ټولني	احسان الله آرينزی	ننگرهار
۳۴۷	د بشري سرچينو مدبریت	پوهنمل منصور فقيرزی	ننگرهار	۳۴۸	پېداگوژي	پوهنيار راز محمد فيضي	ننگرهار
۳۴۹	گروه‌های اجتماعی بسته (مطالعه جامعه شناختی سکتها)	داکتر احمد سير مهجور	کابل پوهنتون	۳۵۰	د رهبري اصول	پوهنمل محمد عرفان قریشي	ننگرهار
۳۵۱	د بشري سرچينو د مدبریت اړین ټوکي	پوهندوی نعيم جان سروري	ننگرهار				
۲۹. چاپېریال او جغرافیه							
۳۵۲	د نفوسو جغرافیه	پوهنوال لطف الله صافی	ننگرهار	۳۵۳	حياتي جغرافیه	پوهاند لطف الله صافی	ننگرهار
۳۵۴	جيومورفولوژي	پوهنوال عزت الله	ننگرهار	۳۵۵	اقلیم پوهنه	پوهاند عزت الله سايل	ننگرهار
۳۵۶	کارټو گرافي يا اساسات توپوگرافي	پوهنوال دوکتور محمد طاهر عنایت	ننگرهار	۳۵۷	د مټيورولوژي مبادي	پوهنوال عبدالغیاث صافی	ننگرهار
۳۵۸	د ژوند چاپېریال	پوهاند عارف الله مندوزی	ننگرهار	۳۵۹	گرم شدن کره زمین	محمد نعيم نسين	بلخ
۳۰. ریاضیات							
۳۶۰	عمومي ریاضیات	پوهنوال گل محمد جنت زی	خوست	۳۶۱	د عالي ریاضیاتو عمومي کورس	پوهندوی محب الرحمن جنتي	ننگرهار
۳۶۲	عالي کلکولس I, 434 A ریاضي	پوهندوی حميدالله یار	ننگرهار	۳۶۳	عالي کلکولس II	پوهندوی نظر محمد	ننگرهار
۳۶۴	الجبر او د عددونو تيوري، لومړی برخه	سلطان احمد نیازمن	ننگرهار	۳۶۵	خطي الجبر	داکتر عبدالله مهمند	ننگرهار
۳۶۶	کلکولس او تحلیلي هندسه I	پوهندوی سيد شیر آقا سیدي	ننگرهار	۳۶۷	کلکولس او تحلیلي هندسه II	پوهندوی سيد شیر آقا سیدي	ننگرهار
۳۶۸	الجبر او د عددونو تيوري، دوهمه برخه	سلطان احمد نیازمن	ننگرهار	۳۶۹	د ریاضي په هکله خبرې اترې	سلطان احمد نیازمن	ننگرهار
۳۷۰	الجبر معاصر	داکتر عبدالله مهمند	بلخ	۳۷۱	معاصر الجبر	داکتر عبدالله مهمند	خوست
۳۷۲	سپټونه او هر څه د هغوی په هکله	لیف بوکوفسکي / سلطان احمد نیازمن	ننگرهار	۳۷۳	د ریاضي منطق	سلطان احمد نیازمن	ننگرهار
۳۷۴	د انجنیري اساسي ریاضي I	پوهندوی عبدالغفور نیاززی	ننگرهار	۳۷۵	د انجنیري اساسي ریاضي II	پوهندوی عبدالغفور نیاززی	ننگرهار
۳۷۶	د تحلیلي هندسي I	سيد شیر آقا سیدي	ننگرهار	۳۷۷	انالیز ریاضي I	سيد يوسف مانووال	بلخ
۳۷۸	عالي ریاضي د تشریحي مثالونو سره	داکتر عبدالله وردک	شیخ زاید				
۳۱. ژبه او ادبیات							
۳۷۹	آلماني د افغانانو لپاره	داکتر یحیی وردک	بېلابېل	۳۸۰	آلماني برای افغانها به دری	داکتر یحیی وردک	بېلابېل
۳۸۱	د جرمني ژبې آسانه زده کړه، له اساساتو نه تر ادبیاتو پورې	داکتر اکرم ملکزی	ننگرهار	۳۸۲	د افغانستان د پوهنتونونو د درسي کتابونو چاپول (پښتو)	داکتر یحیی وردک	ټولو ته
۳۸۳	د افغانستان د پوهنتونونو د درسي کتابونو چاپول (انگليسي)	داکتر یحیی وردک	ټولو ته	۳۸۴	د کتاب خپرولو لنډ لارښود	داکتر یحیی وردک	ټولو ته
۳۸۵	د کتاب خپرولو لنډ لارښود (انگليسي)	داکتر یحیی وردک	ټولو ته	۳۸۶	جرمني - پښتو ستر قاموس (لومړی ټوک)	داکتر اکرم ملکزی	شیخ زاید پوهنتون
۳۸۷	جرمني - پښتو ستر قاموس (دوهم ټوک)	داکتر اکرم ملکزی	شیخ زاید پوهنتون				
۳۲. کمپیوټر ساینس							
۳۸۸	د ډېټابېس اساسات	زگی حبیبي	ننگرهار	۳۸۹	د کمپیوټر جوړښت او اسمبلي ژبه	پوهندوی بادام نیازی	ننگرهار

مرسته کوونکي: (x4) Michael Klett(x6), DAUG (x7), Konrad Adenauer Stiftung (x8), DAAD (x96), Kinderhilfe-Afghanistan (x250).

سرکنسولگری جمهوری فدرال آلمان مزارشريف (x1) inasys (x1), humedica(x2), SlovakAid (x2), صافی بنسټ (x1) او افغانیک

تطبيق کوونکي: داکتر یحیی وردک، د لوړو زده کړو وزارت، څلورمه کارته، کابل افغانستان، مې ۲۰۲۳

موبایل: 0780232310, ۰۰۷۰۷۳۲۰۸۴۴ ایمیل: info@ecampus-afghanistan.org, www.mohe.gov.af

ټول کتابونه له دې وېب پاڼو څخه ډولودلای شئ: www.ecampus-afghanistan.org

افغاني درسي کتابونو ته آنلاين لاس رسي Access to Online Afghan Textbooks

 **ecampus-Afghanistan.org**

Full version of all textbooks can be downloaded as PDF from above website.



If you want to publish your textbooks please contact us: Dr. Yahya Wardak, Ministry of Higher Education, Kabul, Office: 0706320844, Email: info@ecampus-afghanistan.org

افغانيسټان پوهنتونونو
د درسي کتابونو چاپول

داکتر يحيی وردک

افغانيسټان

د کتاب خپرولو لنډ لارښود

داکتر يحيی وردک

Publishing Textbooks

Honorable lecturers and dear students!

The lack of quality textbooks in the universities of Afghanistan is a serious issue, which is repeatedly challenging students and teachers alike. To tackle this issue, we have initiated the process of providing textbooks to the students of Afghan universities.

For this reason, we have published 389 different textbooks of Medicine, Engineering, Science, Economics, Journalism, and Agriculture from Nangarhar, Khost, Kandahar, Herat, Balkh, Al-Beroni, Kabul, Kabul Polytechnic, and Kabul Medical universities since 2010. The book you are holding in your hands is a sample of a printed textbook. It should be mentioned that all these books have been distributed among all Afghan universities and many other institutions and organizations for free. All the published textbooks can be downloaded from www.ecampus-afghanistan.org.

The Afghan National Higher Education Strategy (2010-2014) states:

"Funds will be made available to encourage the writing and publication of textbooks in Dari and Pashto. Especially in priority areas, to improve the quality of teaching and learning and give students access to state-of-the-art information. In the meantime, translation of English language textbooks and journals into Dari and Pashto is a major challenge for curriculum reform. Without this facility it would not be possible for university students and faculty to access modern developments as knowledge in all disciplines accumulates at a rapid and exponential pace, in particular this is a huge obstacle for establishing a research culture. The Ministry of Higher Education together with the universities will examine strategies to overcome this deficit."

We would like to continue this project and to end the method of manual notes and papers. Based on the request of higher education institutions, there is the need to publish about 100 different textbooks each year.

I would like to ask all the lecturers to write new textbooks, translate or revise their lecture notes or written books and share them with us to be published. We will ensure quality composition, printing and distribution to Afghan universities free of charge. I would like the students to encourage and assist their lecturers in this regard. We welcome any recommendations and suggestions for improvement.

It is worth mentioning that the authors and publishers tried to prepare the books according to the international standards, but if there is any problem in the book, we kindly request the readers to send their comments to us or the authors in order to be corrected for future revised editions.

We are very thankful to Kinderhilfe-Afghanistan (German Aid for Afghan Children) and its director Dr. Eroes, who has provided fund for this book. We would also like to mention that he has provided funds for 250 medical and non-medical textbooks so far.

I would like to cordially thank Chancellor of Universities, Deans of faculties, and lecturers for their continuous cooperation and support for this project.

I am also thankful to all those lecturers who encouraged us and gave us all these books to be published and distributed all over Afghanistan. Finally, I would like to express my appreciation for the efforts of my colleagues Hekmatullah Aziz, Fahim Habibi, Gul Agha Ahmadi and Hewad Safi in the office for publishing and distributing the textbooks.

Dr. Yahya Wardak

Ministry of Higher Education, Kabul, Afghanistan, June, 2023

Mobile: 0706320844, 0780232310

Email: info@ecampus-afghanistan.org

Book Name Mechanics of Materials II
Translators Hafizullah Wardak & Zarjon Baha
Publisher Nangarhar University, Faculty of Engineering
Website www.szu.edu.af
Published 2023, First Edition
Copies 1000
Serial No 388
Download www.ecampus-afghanistan.org



This publication was financed by **Kinderhilfe-Afghanistan** (German Aid for Afghan Children) a private initiative of the Eroes family in Germany.

Administrative and technical support by Afghanic.

The contents and textual structure of this book have been developed by concerning translator and relevant faculty and being responsible for it.

Funding and supporting agencies are not holding any responsibilities.

If you want to publish your textbooks, please contact us:

Dr. Yahya Wardak, Ministry of Higher Education, Karte – 4, Kabul

Office 0780232310, 0706320844

Email info@ecampus-afghanistan.org

All rights reserved with the author.

Printed in Afghanistan 2023

ISBN 978-9936-622-69-2